



azienda casa emilia - romagna
provincia di bologna

Piazza della Resistenza 4 - 40122
Bologna - BO
tel. 051.292111 fax 051.554335
Codice Fiscale - Partita IVA e Registro
Imprese di Bologna n. 00322270372
sito web: www.acerbologna.it
posta elettronica: info@acerbologna.it

INTERVENTO

**FONDO COMPLEMENTARE AL PIANO NAZIONALE DI RIPRESA E RESILIENZA
PROGRAMMA "SICURO, VERDE E SOCIALE: RIQUALIFICAZIONE DELL'EDILIZIA RESIDENZIALE PUBBLICA"**

**PROGETTO DI MANUTENZIONE STRAORDINARIA PER IL RESTAURO E RISANAMENTO
CONSERVATIVO DI DUE CASAMENTI A CORTE SITI IN
COMUNE DI BOLOGNA LOCALITA' CIRENAICA.
VIA BENTIVOGLI CIV. 31+59 PER COMPLESSIVI 56 ALLOGGI
DI ERP CON RELATIVE PERTINENZE E PARTI COMUNI**

LOTTO **3053/PN_1**

PROGETTO ESECUTIVO

TAV. TAB_11		OGGETTO TABULATI DI CALCOLO CIVICO 49-51 STATO DI FATTO			DATA Settembre 2022	
SCALA					N. DISEGNO	
VERSIONE	DESCRIZIONE	DATA	REDATTO	VERIFICATO		APPROVATO
00	PRIMA EMISSIONE	Settembre 2022	F. DALMONTE	N. LEONE		N. LEONE
01						
02						
03						

Il Progettista Architettonico Arch. Francesca Tovoli Ing. Nicola Leone SIDEL Ingegneria Srl Via Isonzo, 13 40055 Villanova di Castenaso (BO)	Il Progettista Strutturale Ing. Nicola Leone SIDEL Ingegneria Srl Via Isonzo, 13 40055 Villanova di Castenaso (BO)	Il Progettista Impianti Elettrici Ing. Nicola Leone SIDEL Ingegneria Srl Via Isonzo, 13 40055 Villanova di Castenaso (BO)	Il Progettista Impianti Meccanici Ing. Nicola Leone SIDEL Ingegneria Srl Via Isonzo, 13 40055 Villanova di Castenaso (BO)
Il Coordinatore della Sicurezza in Fase Progettuale Ing. Nicola Leone SIDEL Ingegneria Srl Via Isonzo, 13 40055 Villanova di Castenaso (BO)	Il Coordinatore per la progettazione Ing. Nicola Leone SIDEL Ingegneria Srl Via Isonzo, 13 40055 Villanova di Castenaso (BO)	Collaboratori Progettisti: Ing. Marco Venturini Ing. Federica DalmonTE Geom. Alessio Breviglieri Arch. Domenico Conaci Geom. Arianna Danieli P. I. Andrea Gamberini Ing. Cesare Orsini	
Responsabile del Procedimento Ing. Antonio Frighi ACER Bologna Piazza della Resistenza, 4 40122 Bologna	Il Dirigente Responsabile del Servizio Tecnico Ing. Antonio Frighi ACER Bologna Piazza della Resistenza, 4 40122 Bologna	Il Direttore Generale Avv. Francesco Nitti ACER Bologna Piazza della Resistenza, 4 40122 Bologna	Il Presidente Marco Bertuzzi ACER Bologna Piazza della Resistenza, 4 40122 Bologna

**TABULATI DI CALCOLO
CIVICO 49/51
STATO DI FATTO**



Sommario

1 Risultati numerici	3
1.1 Sollecitazioni.....	3
1.1.1 Sollecitazioni aste.....	3
1.1.1.1 Convenzioni di segno aste	3
1.1.2 Sollecitazioni gusci.....	5
1.1.2.1 Convenzioni di segno gusci.....	5
1.1.2.2 Sollecitazioni estreme gusci.....	7
1.1.2.3 Sollecitazioni estreme gusci non verticali	8
1.1.2.4 Sollecitazioni estreme gusci verticali	10
1.1.3 Sollecitazioni gusci armati	11
1.1.3.1 Convenzioni di segno gusci.....	11
1.1.4 Sollecitazioni gusci muratura	13
1.1.4.1 Convenzioni di segno gusci muratura.....	13
1.1.5 Sollecitazioni aste in muratura	15
1.1.5.1 Convenzioni di segno aste	15
1.1.6 Sollecitazioni aste in muratura FRCM	17
1.1.6.1 Convenzioni di segno aste	17
1.1.7 Sollecitazioni aste in muratura armata	20
1.1.7.1 Convenzioni di segno aste	20
1.2 Reazioni nodali.....	22
1.2.1 Reazioni nodali estreme	22
1.2.2 Reazioni nodali in combinazioni di carico.....	23
1.3 Risposta modale	320
1.4 Equilibrio globale forze.....	321
1.5 Risposta di spettro.....	322
1.6 Annotazioni solutore.....	322
1.7 Statistiche soluzione	323
2 Verifiche	323
2.1 Verifica regolarità strutturale.....	323
2.2 Verifica sismica globale.....	324
2.3 Verifiche maschi in muratura	330
2.4 Verifiche travi di accoppiamento in muratura.....	390



1 Risultati numerici

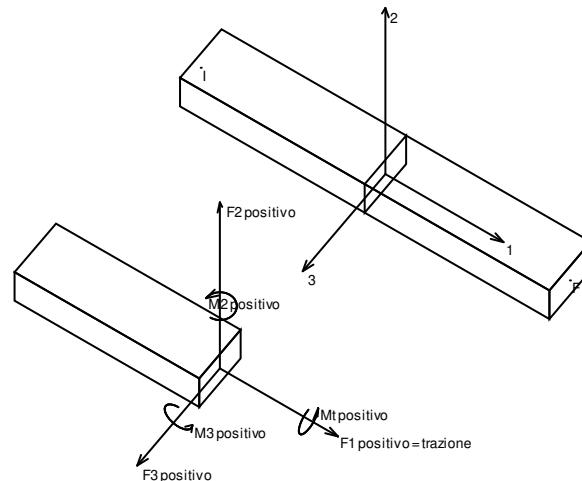
1.1 Sollecitazioni

1.1.1 Sollecitazioni aste

1.1.1.1 Convenzioni di segno aste

Le abbreviazioni relative alle sollecitazioni sugli elementi aste sono da intendersi:

- F1 (N): sforzo normale nell'asta;
- F2: sforzo di taglio agente nella direzione dell'asse locale 2;
- F3: sforzo di taglio agente nella direzione dell'asse locale 3;
- M1 (Mt): momento attorno all'asse locale 1; equivale al momento torcente;
- M2: momento attorno all'asse locale 2;
- M3: momento attorno all'asse locale 3.



La convenzione sui segni per i parametri di sollecitazione delle aste è la seguente:

presa un'asta con nodo iniziale i e nodo finale f, asse 1 che va da i a f, assi 2 e 3 presi secondo quanto indicato nei paragrafi successivi relativi al sistema locale delle aste sezionando l'asta in un punto e considerando la sezione sinistra del punto in cui si è effettuato il taglio (sezione da cui esce il versore asse 1) i parametri di sollecitazione sono positivi se hanno verso e direzione concordi con il sistema di riferimento locale dell'asta 1, 2, 3 (per i momenti si adotta la regola della mano destra).

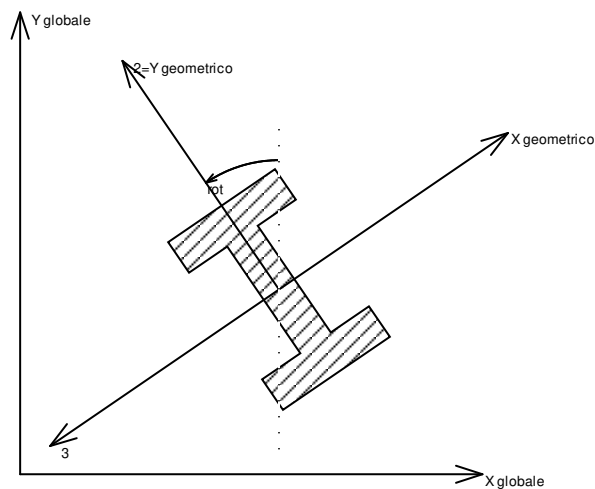
Il sistema è definito diversamente per tre categorie di aste, a seconda che siano originate da:

- aste verticali ad esempio pilastri e colonne;
- aste non verticali non di c.a., ad esempio travi di acciaio o legno;
- aste non verticali in c.a.: travi in c.a. di piano, falda o a quota generica.

Nel seguito si indica con 1, 2 e 3 il sistema locale dell'asta che non sempre coincide con gli assi principali della sezione. Si ricorda che per assi principali si intendono gli assi rispetto a cui si ha il raggio di inerzia minimo e massimo. Gli assi 1, 2 e 3 rispettano la regola della mano destra.

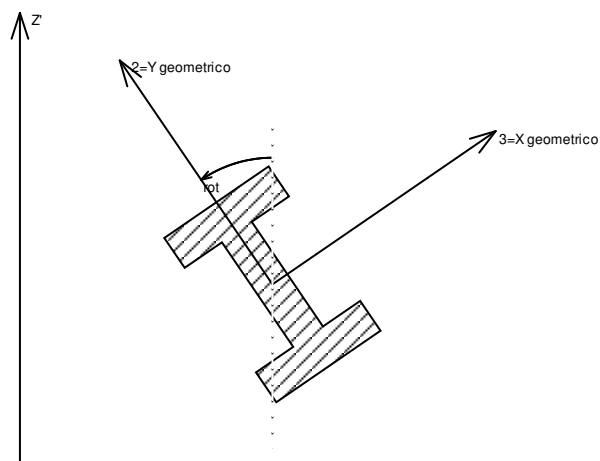


Sistema locale aste verticali



Nella figura si considera l'asse 1 uscente dal foglio (l'osservatore guarda in direzione opposta a quella dell'asse 1).

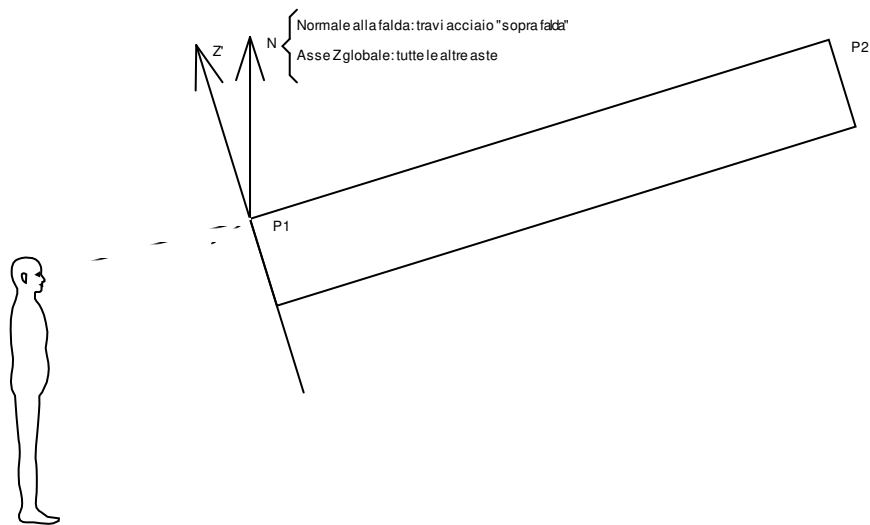
Sistema locale aste non verticali



Nella figura si considera l'asse 1 entrante nel foglio (l'osservatore guarda in direzione coincidente a quella dell'asse 1).

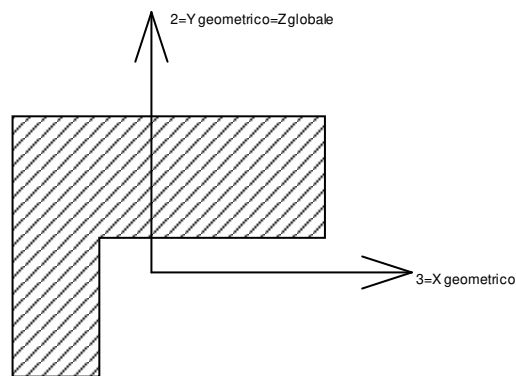
L'asse Z' è illustrato nella figura seguente dove:

- P1 è il punto di inserimento iniziale dell'asta;
- P2 è il punto di inserimento finale dell'asta;
- N è la normale al piano o falda di inserimento;



Z' è quindi l'intersezione tra il piano passante per $P1$, $P2$ contenente N e il piano della sezione iniziale dell'asta.

Sistema locale aste derivanti da travi in c.a.



Nella figura si considera l'asse 1 entrante nel foglio (l'osservatore guarda in direzione coincidente a quella dell'asse 1). L'asse 2 è sempre verticale e quindi coincidente con l'asse Z globale nonché con l'asse y geometrico. L'asse 3 coincide con l'asse x geometrico. Si sottolinea il fatto che gli assi 2 e 3 non corrispondono agli assi principali della sezione.

1.1.2 Sollecitazioni gusci

1.1.2.1 Convenzioni di segno gusci

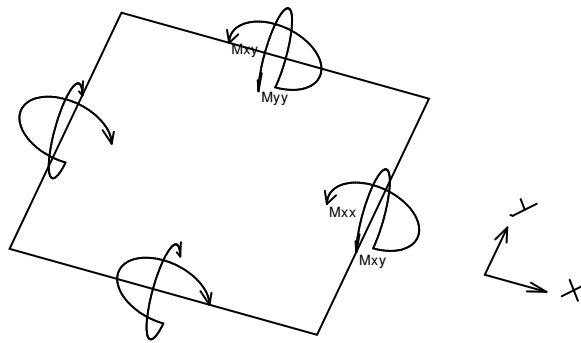
Sono individuate distinte convenzioni di segno in relazione al tipo di elemento strutturale a cui il guscio si riferisce:

- convenzione per gusci non verticali, originati ad esempio da piastre e platee;
- convenzione per gusci verticali, originati ad esempio da pareti e muri.

Convenzione di segno per gusci non verticali

Il sistema di riferimento nel quale sono espressi i parametri di sollecitazione è così definito: origine appartenente al piano dell'elemento, asse x e y contenuti nel piano dell'elemento e terzo asse (z) ortogonale al piano dell'elemento a formare una terna destrorsa. In particolare l'asse x ha proiezione in pianta parallela ed equiversa all'asse globale X . Nel caso di piastre orizzontali (caso più comune) gli assi x , y e z locali all'elemento sono paralleli ed equiversi agli assi X , Y e Z globali. Si sottolinea che non ha alcun interesse collocare esattamente nel piano dell'elemento la posizione dell'origine in quanto i parametri di sollecitazione sono invarianti rispetto a tale posizione.

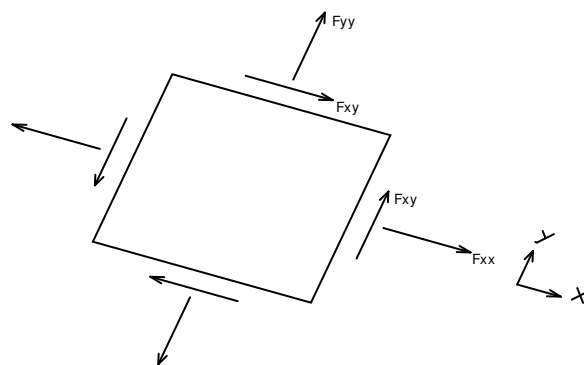
In figura è mostrato un elemento infinitesimo di shell orizzontale con indicato il sistema di riferimento e i parametri di sollecitazione M_{xx} , M_{yy} , M_{xy} .



Si definiscono:

- M_{xx} : momento flettente [Forza*Lunghezza/Lunghezza] agente sul bordo di normale x (verso positivo indicato dalla freccia in figura che tende le fibre inferiori);
- M_{yy} : momento flettente [Forza*Lunghezza/Lunghezza] agente sul bordo di normale y (verso positivo indicato dalla freccia in figura che tende le fibre inferiori);
- M_{xy} : momento torcente [Forza*Lunghezza/Lunghezza] agente sui bordi (verso positivo indicato dalla freccia in figura).

Per quanto riguarda le sollecitazioni estensionali si faccia riferimento alla figura seguente dove per lo stesso elemento infinitesimo di shell orizzontale con indicato il sistema di riferimento e i parametri di sollecitazione F_{xx} , F_{yy} , F_{xy} .



Si definiscono:

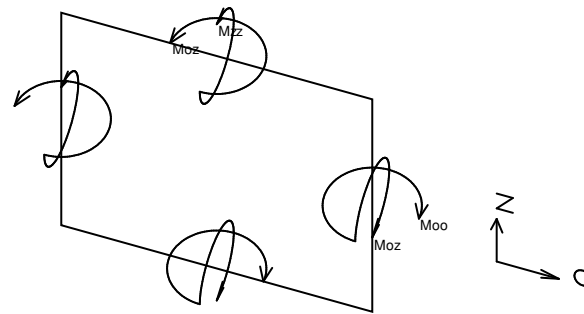
- F_{xx} : sforzo estensionale [Forza/Lunghezza] agente sul bordo di normale x (verso positivo indicato dalla freccia in figura che mette in trazione l'elemento);
- F_{yy} : sforzo estensionale [Forza/Lunghezza] agente sul bordo di normale all'asse y (verso positivo indicato dalla freccia in figura che mette in trazione l'elemento);
- F_{xy} : sforzo di taglio [Forza/Lunghezza] agente sui bordi (verso positivo indicato dalla freccia in figura).

Vengono riportati inoltre i tagli fuori dal piano dell'elemento guscio:

- V_x : taglio fuori piano [Forza/Lunghezza] applicato al bordo di normale parallela all'asse x;
- V_y : taglio fuori piano [Forza/Lunghezza] applicato al bordo di normale parallela all'asse y.

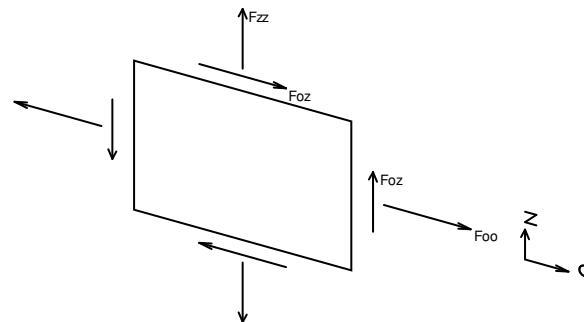
Convenzione di segno per gusci verticali

Il sistema di riferimento nel quale sono espressi i parametri di sollecitazione è così definito: origine appartenente al piano dell'elemento, asse O (ascisse) e z (ordinate) contenuti nel piano dell'elemento e terzo asse ortogonale al piano dell'elemento a formare una terna destrorsa. In particolare l'asse O è orizzontale e l'asse z parallelo ed equiverso con l'asse Z globale. Si sottolinea che non ha alcun interesse collocare esattamente nel piano dell'elemento la posizione dell'origine in quanto i parametri di sollecitazione sono invarianti rispetto a tale posizione. In figura è mostrato un elemento infinitesimo di shell orizzontale con indicato il sistema di riferimento e i parametri di sollecitazione M_{xx} , M_{yy} , M_{xy} , F_{xx} , F_{yy} , F_{xy} .



- Moo: momento flettente distribuito $[Forza * Lunghezza / Lunghezza]$ applicato al bordo di normale parallela all'asse O (verso positivo indicato dalla freccia in figura che tende le fibre inferiori);
- Mzz: momento flettente distribuito $[Forza * Lunghezza / Lunghezza]$ applicato al bordo di normale parallela all'asse z (verso positivo indicato dalla freccia in figura che tende le fibre inferiori);
- Moz: momento 'torcente' distribuito $[Forza * Lunghezza / Lunghezza]$ applicato sui bordi (verso positivo indicato dalla freccia in figura).

Per quanto riguarda le sollecitazioni estensionali si faccia riferimento alla figura seguente dove per lo stesso elemento infinitesimo di shell con indicato il sistema di riferimento i parametri di sollecitazione Foo, Fzz, Foz sono rispettivamente:



- Fzz: sforzo tensionale distribuito $[Forza / Lunghezza]$ applicato al bordo di normale parallela all'asse z (verso positivo indicato dalla freccia in figura che mette in trazione l'elemento);
- Foo: sforzo tensionale distribuito $[Forza / Lunghezza]$ applicato al bordo di normale parallela all'asse O (verso positivo indicato dalla freccia in figura che mette in trazione l'elemento);
- Foz: sforzo tagliante distribuito $[Forza / Lunghezza]$ applicato sui bordi (verso positivo indicato dalla freccia in figura).

Vengono riportati inoltre i tagli fuori dal piano dell'elemento guscio:

- Vo: taglio fuori piano applicato al bordo di normale parallela all'asse O;
- Vz: taglio fuori piano applicato al bordo di normale parallela all'asse z.

1.1.2.2 Sollecitazioni estreme gusci

Shell: elemento guscio a cui si riferiscono le sollecitazioni.

Ind: indice del guscio.

Cont.: contesto a cui si riferiscono le sollecitazioni.

N.br.: nome breve della condizione o combinazione di carico.

Nodo: nodo su cui si basa il guscio a cui si riferisce la sollecitazione.

Ind: indice del nodo.

Sollecitazione: valori della sollecitazione.

M11: componente M11 della sollecitazione del guscio nel nodo indicato. $[daN * m / m]$

M12: componente M12 della sollecitazione del guscio nel nodo indicato. $[daN * m / m]$

M22: componente M22 della sollecitazione del guscio nel nodo indicato. $[daN * m / m]$

F11: componente F11 della sollecitazione del guscio nel nodo indicato. $[daN / m]$

F12: componente F12 della sollecitazione del guscio nel nodo indicato. $[daN / m]$

F22: componente F22 della sollecitazione del guscio nel nodo indicato. $[daN / m]$

V13: componente V13 della sollecitazione del guscio nel nodo indicato. $[daN / m]$

V23: componente V23 della sollecitazione del guscio nel nodo indicato. $[daN / m]$

Sollecitazioni con momento M11 minimo

Vengono mostrati i soli 5 gusci più sollecitati.

Shell	Cont.	Nodo	Sollecitazione
-------	-------	------	----------------



Ind	N.br.	Ind	M11	M12	M22	F11	F12	F22	V13	V23
837	SLV 5	1394	-1655	27	-398	-2269	3901	-4765	4439	1159
514	SLV 9	1545	-1284	-21	-408	33226	9302	-958	5838	784
464	SLV 5	1554	-1214	17	-419	26467	-9397	-5115	-5125	-341
592	SLV 5	1533	-1183	64	-348	23562	-4387	-3319	4489	708
169	SLV 9	1304	-1165	34	-274	-1845	-1951	-6999	3497	987

Sollecitazioni con momento M11 massimo

Vengono mostrati i soli 5 gusci più sollecitati.

Shell	Cont.	Nodo	Sollecitazione							
Ind	N.br.	Ind	M11	M12	M22	F11	F12	F22	V13	V23
837	SLV 11	1394	1663	-28	398	-1973	1813	-5620	-4456	-1163
514	SLV Y	1545	1147	27	297	-29687	-9526	-4613	-5385	-561
169	SLV 7	1304	1130	-56	270	291	3841	-2310	-3405	-925
216	SLV 7	1311	1127	-97	331	371	1174	-2970	-2705	-747
957	SLV 7	1419	1080	81	297	-1835	842	-6323	3201	-587

Sollecitazioni con momento M22 minimo

Vengono mostrati i soli 5 gusci più sollecitati.

Shell	Cont.	Nodo	Sollecitazione							
Ind	N.br.	Ind	M11	M12	M22	F11	F12	F22	V13	V23
1262	SLV 9	1311	-467	19	-681	-734	-212	-1187	1121	-1671
1271	SLV 9	1311	-426	-49	-635	-98	510	-1569	-1029	-1118
1367	SLV 5	1329	-381	-32	-563	-735	563	-1770	-917	-1149
1376	SLV 5	1329	-380	41	-562	-734	-8	-1727	832	-1131
1921	SLV 9	1419	-425	18	-500	471	-821	-5114	-1277	-1448

Sollecitazioni con momento M22 massimo

Vengono mostrati i soli 5 gusci più sollecitati.

Shell	Cont.	Nodo	Sollecitazione							
Ind	N.br.	Ind	M11	M12	M22	F11	F12	F22	V13	V23
1262	SLV 7	1311	473	-20	693	11	540	-4732	-1137	1696
1271	SLV 7	1311	431	51	646	-111	-359	-4273	1043	1133
1367	SLV 11	1329	383	32	567	347	-474	-3755	923	1157
1376	SLV 11	1329	383	-41	565	261	292	-3697	-838	1139
1921	SLV 7	1419	417	-19	489	-570	442	-513	1256	1420

Sollecitazioni con sforzo F11 minimo

Vengono mostrati i soli 5 gusci più sollecitati.

Shell	Cont.	Nodo	Sollecitazione							
Ind	N.br.	Ind	M11	M12	M22	F11	F12	F22	V13	V23
597	SLV 9	1550	452	26	157	-44871	-3774	-1962	1138	-468
600	SLV 9	1560	526	22	-105	-42018	-6051	147	1908	350
168	SLV 5	1495	356	59	-62	-40735	-17001	-10108	1439	363
594	SLV 5	1538	427	-26	-75	-39301	-1772	263	-1617	248
1599	SLV 5	1508	216	-41	147	-36503	-4611	-6119	-1384	511

Sollecitazioni con sforzo F11 massimo

Vengono mostrati i soli 5 gusci più sollecitati.

Shell	Cont.	Nodo	Sollecitazione							
Ind	N.br.	Ind	M11	M12	M22	F11	F12	F22	V13	V23
1521	SLV 9	1526	120	-7	-145	37446	2169	3710	-375	-175
1522	SLV 9	1525	-83	14	-146	36665	859	5861	562	-168
597	SLV Y	1550	-381	-31	-125	36282	2077	991	-869	331
1559	SLV 7	1515	-123	4	-110	35847	2859	-5905	-386	177
514	SLV 9	1545	-1284	-21	-408	33226	9302	-958	5838	784

Sollecitazioni con sforzo F22 minimo

Vengono mostrati i soli 5 gusci più sollecitati.

Shell	Cont.	Nodo	Sollecitazione							
Ind	N.br.	Ind	M11	M12	M22	F11	F12	F22	V13	V23
304	SLU 81	1277	1	1	-1	-6564	-1285	-25157	3	-9
184	SLU 81	1268	0	0	4	-4619	-1436	-24914	3	15
287	SLU 82	1076	-3	-1	-5	-1706	1475	-24840	5	1
548	SLU 81	1086	3	-6	-57	-2988	-1014	-24329	-22	8
499	SLU 82	1087	-2	6	-36	-2494	1348	-24254	19	57

Sollecitazioni con sforzo F22 massimo

Vengono mostrati i soli 5 gusci più sollecitati.

Shell	Cont.	Nodo	Sollecitazione							
Ind	N.br.	Ind	M11	M12	M22	F11	F12	F22	V13	V23
2764	SLV 7	226	-3	-6	22	1182	3065	19326	-11	77
2743	SLV 11	225	4	9	-29	1117	2852	18087	16	-99
1500	SLV 5	2073	-22	69	68	1999	5177	15824	-205	-438
2806	SLV 9	218	-1	2	9	1171	-2672	15744	-10	31
1565	SLV Y	2071	-19	78	29	-2059	-3598	15634	-169	-321

1.1.2.3 Sollecitazioni estreme gusci non verticali

Shell: elemento guscio a cui si riferiscono le sollecitazioni.

Ind: indice del guscio.

Cont.: contesto a cui si riferiscono le sollecitazioni.

N.br.: nome breve della condizione o combinazione di carico.

Nodo: nodo su cui si basa il guscio a cui si riferisce la sollecitazione.

Ind: indice del nodo.



Sollecitazione: valori della sollecitazione.

Mxx: componente Mxx della sollecitazione del guscio nel nodo indicato. [daN*m/m]

Mxy: componente Mxy della sollecitazione del guscio nel nodo indicato. [daN*m/m]

Myy: componente Myy della sollecitazione del guscio nel nodo indicato. [daN*m/m]

Fxx: componente Fxx della sollecitazione del guscio nel nodo indicato. [daN/m]

Fxy: componente Fxy della sollecitazione del guscio nel nodo indicato. [daN/m]

Fyy: componente Fyy della sollecitazione del guscio nel nodo indicato. [daN/m]

Vx: componente Vo della sollecitazione del guscio nel nodo indicato. [daN/m]

Vy: componente Vz della sollecitazione del guscio nel nodo indicato. [daN/m]

Sollecitazioni con momento Mxx minimo

Vengono mostrati i soli 5 gusci più sollecitati.

Shell	Cont.	Nodo	Sollecitazione							
Ind	N.br.	Ind	Mxx	Mxy	Myy	Fxx	Fxy	Fyy	Vx	Vy
2269	SLV 13	2913	-96	-21	-31	384	1386	570	-96	-74
2081	SLV 1	2874	-96	-18	-29	381	1335	85	113	77
2180	SLV 3	2875	-94	-19	-30	686	1150	319	116	73
2279	SLV 15	2814	-93	18	-29	-294	-1232	560	-123	77
2258	SLV 15	2735	-80	-9	-21	-301	1386	-153	-105	-49

Sollecitazioni con momento Mxx massimo

Vengono mostrati i soli 5 gusci più sollecitati.

Shell	Cont.	Nodo	Sollecitazione							
Ind	N.br.	Ind	Mxx	Mxy	Myy	Fxx	Fxy	Fyy	Vx	Vy
2269	SLV 3	2913	95	20	31	-571	-1185	-866	92	74
2180	SLV 13	2875	93	19	29	-811	-1019	-541	-114	-74
2081	SLV 15	2874	93	17	28	-644	-924	-183	-103	-74
2279	SLV 1	2814	91	-17	28	78	976	-739	118	-76
2258	SLV 1	2735	78	8	20	80	-969	-541	99	49

Sollecitazioni con momento Myy minimo

Vengono mostrati i soli 5 gusci più sollecitati.

Shell	Cont.	Nodo	Sollecitazione							
Ind	N.br.	Ind	Mxx	Mxy	Myy	Fxx	Fxy	Fyy	Vx	Vy
2092	SLV 1	3077	-71	-46	-82	-2141	-369	-261	117	170
2280	SLV 15	2940	-68	-44	-78	-1252	-439	-297	-100	-157
2191	SLV 3	3086	-67	-43	-76	-930	-173	-16	52	73
2290	SLV 15	3006	-67	42	-74	-1439	283	134	-99	147
2048	SLV 15	2176	-34	-21	-36	5647	-187	-2214	96	67

Sollecitazioni con momento Myy massimo

Vengono mostrati i soli 5 gusci più sollecitati.

Shell	Cont.	Nodo	Sollecitazione							
Ind	N.br.	Ind	Mxx	Mxy	Myy	Fxx	Fxy	Fyy	Vx	Vy
2092	SLV 15	3077	71	46	81	1942	392	291	-113	-168
2280	SLV 1	2940	68	44	78	1114	547	195	100	159
2191	SLV 13	3086	67	43	76	919	233	-28	-52	-75
2290	SLV 1	3006	66	-42	73	1261	-322	-170	99	-148
2048	SLV 1	2176	35	21	36	-5566	768	932	-89	-62

Sollecitazioni con sforzo Fxx minimo

Vengono mostrati i soli 5 gusci più sollecitati.

Shell	Cont.	Nodo	Sollecitazione							
Ind	N.br.	Ind	Mxx	Mxy	Myy	Fxx	Fxy	Fyy	Vx	Vy
2103	SLV 7	1519	-8	-5	-9	-11257	-8599	-16819	19	37
2059	SLV 15	2337	32	-3	18	-6051	2655	-4379	-62	-24
2048	SLV 1	2176	35	21	36	-5566	768	932	-89	-62
2192	SLV 1	1321	16	11	16	-4206	-425	-292	27	41
2114	SLV 9	1670	-22	2	6	-4024	-1130	-5285	38	-11

Sollecitazioni con sforzo Fxx massimo

Vengono mostrati i soli 5 gusci più sollecitati.

Shell	Cont.	Nodo	Sollecitazione							
Ind	N.br.	Ind	Mxx	Mxy	Myy	Fxx	Fxy	Fyy	Vx	Vy
2103	SLV 9	1519	17	11	21	9929	9368	12082	-104	-108
2048	SLV 15	2176	-34	-21	-36	5647	-187	-2214	96	67
2059	SLV 1	2337	-36	3	-18	5611	-1969	3851	53	18
2203	SLV 15	1685	16	5	10	3473	-1231	-2755	-84	-42
2192	SLV X	1321	-14	-8	-13	3313	1370	-204	-16	-32

Sollecitazioni con sforzo Fyy minimo

Vengono mostrati i soli 5 gusci più sollecitati.

Shell	Cont.	Nodo	Sollecitazione							
Ind	N.br.	Ind	Mxx	Mxy	Myy	Fxx	Fxy	Fyy	Vx	Vy
2103	SLV 7	1519	-8	-5	-9	-11257	-8599	-16819	19	37
2197	SLV 1	1678	43	1	8	-2848	-1015	-7099	-140	3
2198	SLV 1	1676	32	-1	9	-2756	1357	-6723	-112	6
2196	SLV 1	1681	37	2	9	-2606	-2043	-6591	-121	-4
2192	SLV 15	1341	-14	1	-7	-1337	403	-5797	-47	-1

Sollecitazioni con sforzo Fyy massimo

Vengono mostrati i soli 5 gusci più sollecitati.



Shell	Cont.	Nodo	Sollecitazione							
Ind	N.br.	Ind	Mxx	Mxy	Myy	Fxx	Fxy	Fyy	Vx	Vy
2103	SLV 9	1492	-25	-1	-14	8612	10020	16995	-77	-142
2197	SLV 15	1678	-35	-1	-6	1850	1100	8387	61	-3
2198	SLV 15	1676	-23	2	-6	1649	-1243	7995	30	-7
2196	SLV 15	1681	-29	-2	-7	1600	2065	7854	43	5
2199	SLV 13	1674	-20	3	-5	1019	-2613	6474	18	-10

1.1.2.4 Sollecitazioni estreme gusci verticali

Shell: elemento guscio a cui si riferiscono le sollecitazioni.

Ind: indice del guscio.

Cont.: contesto a cui si riferiscono le sollecitazioni.

N.br.: nome breve della condizione o combinazione di carico.

Nodo: nodo su cui si basa il guscio a cui si riferisce la sollecitazione.

Ind: indice del nodo.

Sollecitazione: valori della sollecitazione.

Moo: componente Moo della sollecitazione del guscio nel nodo indicato. [daN*m/m]

Moz: componente Moz della sollecitazione del guscio nel nodo indicato. [daN*m/m]

Mzz: componente Mzz della sollecitazione del guscio nel nodo indicato. [daN*m/m]

Foo: componente Foo della sollecitazione del guscio nel nodo indicato. [daN/m]

Foz: componente Foz della sollecitazione del guscio nel nodo indicato. [daN/m]

Fzz: componente Fzz della sollecitazione del guscio nel nodo indicato. [daN/m]

Vo: componente Vo della sollecitazione del guscio nel nodo indicato. [daN/m]

Vz: componente Vz della sollecitazione del guscio nel nodo indicato. [daN/m]

Sollecitazioni con momento Moo minimo

Vengono mostrati i soli 5 gusci più sollecitati.

Shell	Cont.	Nodo	Sollecitazione							
Ind	N.br.	Ind	Moo	Moz	Mzz	Foo	Foz	Fzz	Vo	Vz
837	SLV 11	1394	-1663	-28	-398	-1973	-1813	-5620	-4456	1163
514	SLV Y	1545	-1147	27	-297	-29687	9526	-4613	-5385	561
169	SLV 7	1304	-1130	-56	-270	291	-3841	-2310	-3405	925
216	SLV 7	1311	-1127	-97	-331	371	-1174	-2970	-2705	747
957	SLV 7	1419	-1080	81	-297	-1835	-842	-6323	3201	587

Sollecitazioni con momento Moo massimo

Vengono mostrati i soli 5 gusci più sollecitati.

Shell	Cont.	Nodo	Sollecitazione							
Ind	N.br.	Ind	Moo	Moz	Mzz	Foo	Foz	Fzz	Vo	Vz
837	SLV 5	1394	1655	27	398	-2269	-3901	-4765	4439	-1159
514	SLV 9	1545	1284	-21	408	33226	-9302	-958	5838	-784
464	SLV 5	1554	1214	17	419	26467	9397	-5115	-5125	341
592	SLV 5	1533	1183	64	348	23562	4387	-3319	4489	-708
169	SLV 9	1304	1165	34	274	-1845	1951	-6999	3497	-987

Sollecitazioni con momento Mzz minimo

Vengono mostrati i soli 5 gusci più sollecitati.

Shell	Cont.	Nodo	Sollecitazione							
Ind	N.br.	Ind	Moo	Moz	Mzz	Foo	Foz	Fzz	Vo	Vz
1262	SLV 7	1311	-473	-20	-693	11	-540	-4732	-1137	-1696
1271	SLV 7	1311	-431	51	-646	-111	359	-4273	1043	-1133
1367	SLV 11	1329	-383	32	-567	347	474	-3755	923	-1157
1376	SLV 11	1329	-383	-41	-565	261	-292	-3697	-838	-1139
1921	SLV 7	1419	-417	-19	-489	-570	-442	-513	1256	-1420

Sollecitazioni con momento Mzz massimo

Vengono mostrati i soli 5 gusci più sollecitati.

Shell	Cont.	Nodo	Sollecitazione							
Ind	N.br.	Ind	Moo	Moz	Mzz	Foo	Foz	Fzz	Vo	Vz
1262	SLV 9	1311	467	19	681	-734	212	-1187	1121	1671
1271	SLV 9	1311	426	-49	635	-98	-510	-1569	-1029	1118
1367	SLV 5	1329	381	-32	563	-735	-563	-1770	-917	1149
1376	SLV 5	1329	380	41	562	-734	8	-1727	832	1131
1921	SLV 9	1419	425	18	500	471	821	-5114	-1277	1448

Sollecitazioni con sforzo Foo minimo

Vengono mostrati i soli 5 gusci più sollecitati.

Shell	Cont.	Nodo	Sollecitazione							
Ind	N.br.	Ind	Moo	Moz	Mzz	Foo	Foz	Fzz	Vo	Vz
597	SLV 9	1550	-452	26	-157	-44871	3774	-1962	1138	468
600	SLV 9	1560	-526	22	105	-42018	6051	147	1908	-350
168	SLV 5	1495	356	59	-62	-40735	-17001	-10108	1439	363
594	SLV 5	1538	-427	-26	75	-39301	1772	263	-1617	-248
1599	SLV 5	1508	-216	-41	-147	-36503	4611	-6119	-1384	-511

Sollecitazioni con sforzo Foo massimo

Vengono mostrati i soli 5 gusci più sollecitati.

Shell	Cont.	Nodo	Sollecitazione							
Ind	N.br.	Ind	Moo	Moz	Mzz	Foo	Foz	Fzz	Vo	Vz
1521	SLV 9	1526	-120	-7	145	37446	-2169	3710	-375	175
1522	SLV 9	1525	83	14	146	36665	-859	5861	562	168



Shell	Cont.	Nodo	Sollecitazione							
Ind	N.br.	Ind	Moo	Moz	Mzz	Foo	Foz	Fzz	Vo	Vz
597	SLV Y	1550	381	-31	125	36282	-2077	991	-869	-331
1559	SLV 7	1515	123	4	110	35847	-2859	-5905	-386	-177
514	SLV 9	1545	1284	-21	408	33226	-9302	-958	5838	-784

Sollecitazioni con sforzo Fzz minimo

Vengono mostrati i soli 5 gusci più sollecitati.

Shell	Cont.	Nodo	Sollecitazione							
Ind	N.br.	Ind	Moo	Moz	Mzz	Foo	Foz	Fzz	Vo	Vz
304	SLU 81	1277	-1	1	1	-6564	1285	-25157	3	9
184	SLU 81	1268	0	0	-4	-4619	1436	-24914	3	-15
287	SLU 82	1076	3	-1	5	-1706	-1475	-24840	5	-1
548	SLU 81	1086	-3	-6	57	-2988	1014	-24329	-22	-8
499	SLU 82	1087	2	6	36	-2494	-1348	-24254	19	-57

Sollecitazioni con sforzo Fzz massimo

Vengono mostrati i soli 5 gusci più sollecitati.

Shell	Cont.	Nodo	Sollecitazione							
Ind	N.br.	Ind	Moo	Moz	Mzz	Foo	Foz	Fzz	Vo	Vz
2764	SLV 7	226	-3	-6	22	1182	3065	19326	-11	77
2743	SLV 11	225	4	9	-29	1117	2852	18087	16	-99
1500	SLV 5	2073	22	69	-68	1999	-5177	15824	-205	438
2806	SLV 9	218	-1	2	9	1171	-2672	15744	-10	31
1565	SLV Y	2071	19	78	-29	-2059	3598	15634	-169	321

1.1.3 Sollecitazioni gusci armati

1.1.3.1 Convenzioni di segno gusci

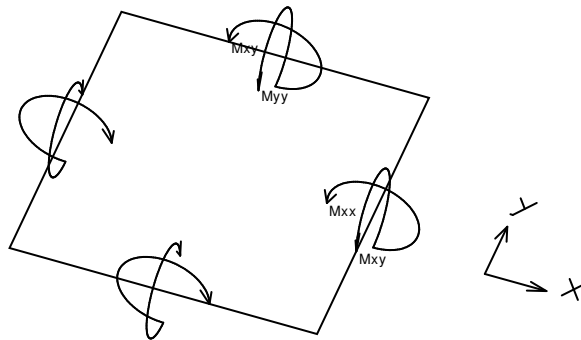
Sono individuate distinte convenzioni di segno in relazione al tipo di elemento strutturale a cui il guscio si riferisce:

- convenzione per gusci non verticali, originati ad esempio da piastre e platee;
- convenzione per gusci verticali, originati ad esempio da pareti e muri.

Convenzione di segno per gusci non verticali

Il sistema di riferimento nel quale sono espressi i parametri di sollecitazione è così definito: origine appartenente al piano dell'elemento, asse x e y contenuti nel piano dell'elemento e terzo asse (z) ortogonale al piano dell'elemento a formare una terna destrorsa. In particolare l'asse x ha proiezione in pianta parallela ed equiversa all'asse globale X. Nel caso di piastre orizzontali (caso più comune) gli assi x, y e z locali all'elemento sono paralleli ed equiversi agli assi X, Y e Z globali. Si sottolinea che non ha alcun interesse collocare esattamente nel piano dell'elemento la posizione dell'origine in quanto i parametri di sollecitazione sono invarianti rispetto a tale posizione.

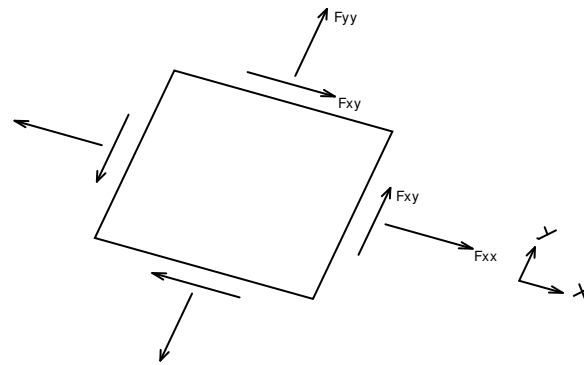
In figura è mostrato un elemento infinitesimo di shell orizzontale con indicato il sistema di riferimento e i parametri di sollecitazione Mxx, Myy, Mxy.



Si definiscono:

- Mxx: momento flettente $[Forza \cdot Lunghezza / Lunghezza]$ agente sul bordo di normale x (verso positivo indicato dalla freccia in figura che tende le fibre inferiori);
- Myy: momento flettente $[Forza \cdot Lunghezza / Lunghezza]$ agente sul bordo di normale y (verso positivo indicato dalla freccia in figura che tende le fibre inferiori);
- Mxy: momento torcente $[Forza \cdot Lunghezza / Lunghezza]$ agente sui bordi (verso positivo indicato dalla freccia in figura).

Per quanto riguarda le sollecitazioni estensionali si faccia riferimento alla figura seguente dove per lo stesso elemento infinitesimo di shell orizzontale con indicato il sistema di riferimento e i parametri di sollecitazione Fxx, Fyy, Fxy.



Si definiscono:

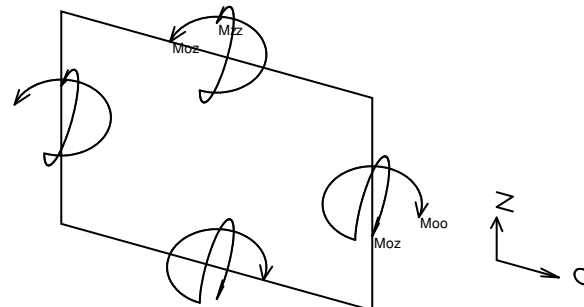
- F_{xx} : sforzo estensionale [Forza/Lunghezza] agente sul bordo di normale x (verso positivo indicato dalla freccia in figura che mette in trazione l'elemento);
- F_{yy} : sforzo estensionale [Forza/Lunghezza] agente sul bordo di normale all'asse y (verso positivo indicato dalla freccia in figura che mette in trazione l'elemento);
- F_{xy} : sforzo di taglio [Forza/Lunghezza] agente sui bordi (verso positivo indicato dalla freccia in figura).

Vengono riportati inoltre i tagli fuori dal piano dell'elemento guscio:

- V_x : taglio fuori piano [Forza/Lunghezza] applicato al bordo di normale parallela all'asse x ;
- V_y : taglio fuori piano [Forza/Lunghezza] applicato al bordo di normale parallela all'asse y .

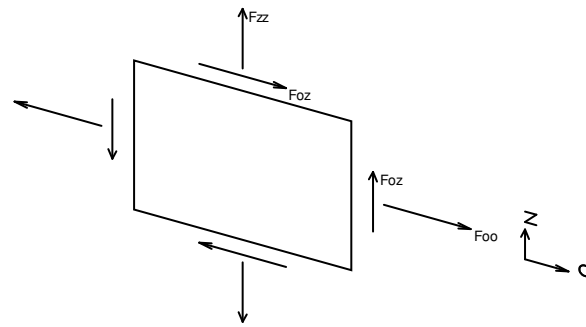
Convenzione di segno per gusci verticali

Il sistema di riferimento nel quale sono espressi i parametri di sollecitazione è così definito: origine appartenente al piano dell'elemento, asse O (ascisse) e z (ordinate) contenuti nel piano dell'elemento e terzo asse ortogonale al piano dell'elemento a formare una terna destrorsa. In particolare l'asse O è orizzontale e l'asse z parallelo ed equiverso con l'asse Z globale. Si sottolinea che non ha alcun interesse collocare esattamente nel piano dell'elemento la posizione dell'origine in quanto i parametri di sollecitazione sono invarianti rispetto a tale posizione. In figura è mostrato un elemento infinitesimo di shell orizzontale con indicato il sistema di riferimento e i parametri di sollecitazione M_{oo} , M_{zz} , M_{oz} .



- M_{oo} : momento flettente distribuito [Forza*Lunghezza/Lunghezza] applicato al bordo di normale parallela all'asse O (verso positivo indicato dalla freccia in figura che tende le fibre inferiori);
- M_{zz} : momento flettente distribuito [Forza*Lunghezza/Lunghezza] applicato al bordo di normale parallela all'asse z (verso positivo indicato dalla freccia in figura che tende le fibre inferiori);
- M_{oz} : momento 'torcente' distribuito [Forza*Lunghezza/Lunghezza] applicato sui bordi (verso positivo indicato dalla freccia in figura).

Per quanto riguarda le sollecitazioni estensionali si faccia riferimento alla figura seguente dove per lo stesso elemento infinitesimo di shell con indicato il sistema di riferimento i parametri di sollecitazione F_{oo} , F_{zz} , F_{oz} sono rispettivamente:



- F_{zz} : sforzo tensionale distribuito [Forza/Lunghezza] applicato al bordo di normale parallela all'asse z (verso positivo indicato dalla freccia in figura che mette in trazione l'elemento);
- F_{oo} : sforzo tensionale distribuito [Forza/Lunghezza] applicato al bordo di normale parallela all'asse O (verso positivo indicato dalla freccia in figura che mette in trazione l'elemento);
- F_{oz} : sforzo tagliante distribuito [Forza/Lunghezza] applicato sui bordi (verso positivo indicato dalla freccia in figura).

Vengono riportati inoltre i tagli fuori dal piano dell'elemento guscio:

- V_o : taglio fuori piano applicato al bordo di normale parallela all'asse O ;
- V_z : taglio fuori piano applicato al bordo di normale parallela all'asse z .

1.1.4 Sollecitazioni gusci muratura

1.1.4.1 Convenzioni di segno gusci muratura

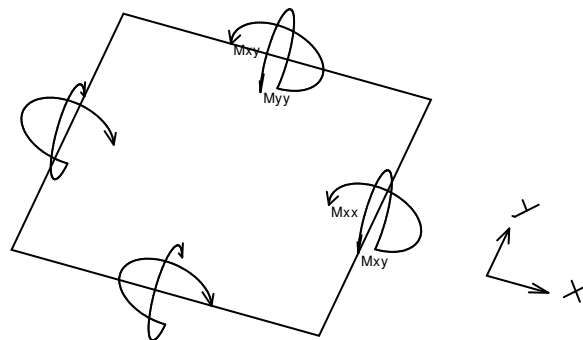
Sono individuate distinte convenzioni di segno in relazione al tipo di elemento strutturale a cui il guscio muratura si riferisce:

- convenzione per gusci non verticali, originati ad esempio da piastre e platee;
- convenzione per gusci verticali, originati ad esempio da pareti e muri.

Convenzione di segno per gusci non verticali

Il sistema di riferimento nel quale sono espressi i parametri di sollecitazione è così definito: origine appartenente al piano dell'elemento, asse x e y contenuti nel piano dell'elemento e terzo asse (z) ortogonale al piano dell'elemento a formare una terna destrorsa. In particolare l'asse x ha proiezione in pianta parallela ed equivale all'asse globale X . Nel caso di piastre orizzontali (caso più comune) gli assi x , y e z locali all'elemento sono paralleli ed equivale agli assi X , Y e Z globali. Si sottolinea che non ha alcun interesse collocare esattamente nel piano dell'elemento la posizione dell'origine in quanto i parametri di sollecitazione sono invarianti rispetto a tale posizione.

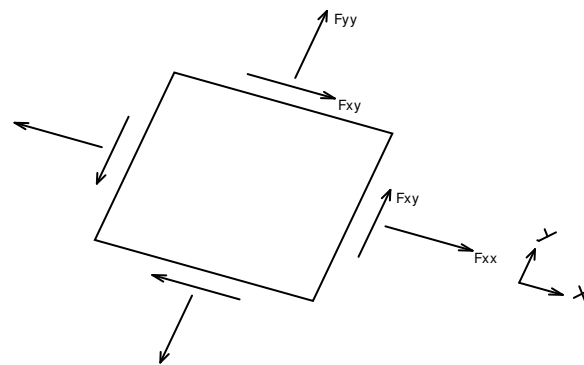
In figura è mostrato un elemento infinitesimo di shell orizzontale con indicato il sistema di riferimento e i parametri di sollecitazione M_{xx} , M_{yy} , M_{xy} .



Si definiscono:

- M_{xx} : momento flettente [Forza*Lunghezza/Lunghezza] agente sul bordo di normale x (verso positivo indicato dalla freccia in figura che tende le fibre inferiori);
- M_{yy} : momento flettente [Forza*Lunghezza/Lunghezza] agente sul bordo di normale y (verso positivo indicato dalla freccia in figura che tende le fibre inferiori);
- M_{xy} : momento torcente [Forza*Lunghezza/Lunghezza] agente sui bordi (verso positivo indicato dalla freccia in figura).

Per quanto riguarda le sollecitazioni estensionali si faccia riferimento alla figura seguente dove per lo stesso elemento infinitesimo di shell orizzontale con indicato il sistema di riferimento e i parametri di sollecitazione F_{xx} , F_{yy} , F_{xy} .

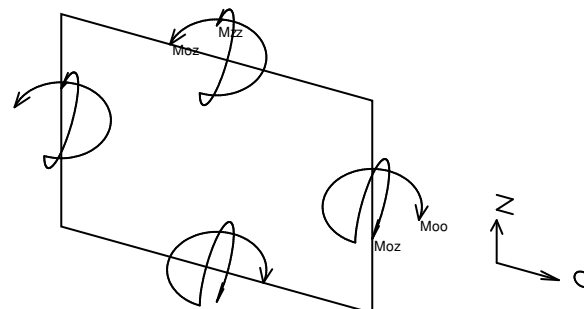


Si definiscono:

- F_{xx} : sforzo tensionale [Forza/Lunghezza] agente sul bordo di normale x (verso positivo indicato dalla freccia in figura che mette in trazione l'elemento);
- F_{yy} : sforzo tensionale [Forza/Lunghezza] agente sul bordo di normale all'asse y (verso positivo indicato dalla freccia in figura che mette in trazione l'elemento);
- F_{xy} : sforzo tagliante [Forza/Lunghezza] agente sui bordi (verso positivo indicato dalla freccia in figura).

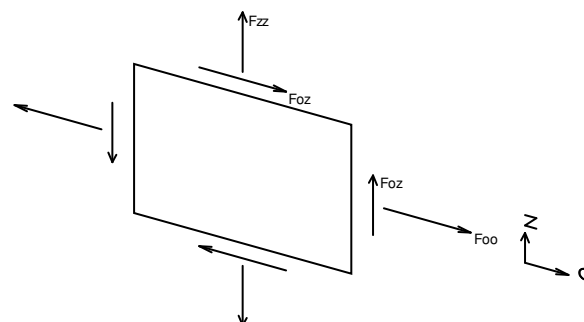
Convenzione di segno per gusci verticali

Il sistema di riferimento nel quale sono espressi i parametri di sollecitazione è così definito: origine appartenente al piano dell'elemento, asse O (ascisse) e z (ordinate) contenuti nel piano dell'elemento e terzo asse ortogonale al piano dell'elemento a formare una terna destrorsa. In particolare l'asse O è orizzontale e l'asse z parallelo ed equiverso con l'asse Z globale. Si sottolinea che non ha alcun interesse collocare esattamente nel piano dell'elemento la posizione dell'origine in quanto i parametri di sollecitazione sono invarianti rispetto a tale posizione. In figura è mostrato un elemento infinitesimo di shell orizzontale con indicato il sistema di riferimento e i parametri di sollecitazione M_{oo} , M_{zz} , M_{oz} .



- M_{oo} : momento flettente distribuito [Forza*Lunghezza/Lunghezza] applicato al bordo di normale parallela all'asse O (verso positivo indicato dalla freccia in figura che tende le fibre inferiori);
- M_{zz} : momento flettente distribuito [Forza*Lunghezza/Lunghezza] applicato al bordo di normale parallela all'asse z (verso positivo indicato dalla freccia in figura che tende le fibre inferiori);
- M_{oz} : momento 'torcente' distribuito [Forza*Lunghezza/Lunghezza] applicato sui bordi (verso positivo indicato dalla freccia in figura).

Per quanto riguarda le sollecitazioni estensionali si faccia riferimento alla figura seguente dove per lo stesso elemento infinitesimo di shell con indicato il sistema di riferimento i parametri di sollecitazione F_{oo} , F_{zz} , F_{oz} sono rispettivamente:



- F_{zz} : sforzo tensionale distribuito [Forza/Lunghezza] applicato al bordo di normale parallela all'asse z (verso positivo indicato dalla freccia in figura che



mette in trazione l'elemento);

- F_{oo} : sforzo tensionale distribuito [Forza/Lunghezza] applicato al bordo di normale parallela all'asse O (verso positivo indicato dalla freccia in figura che mette in trazione l'elemento);

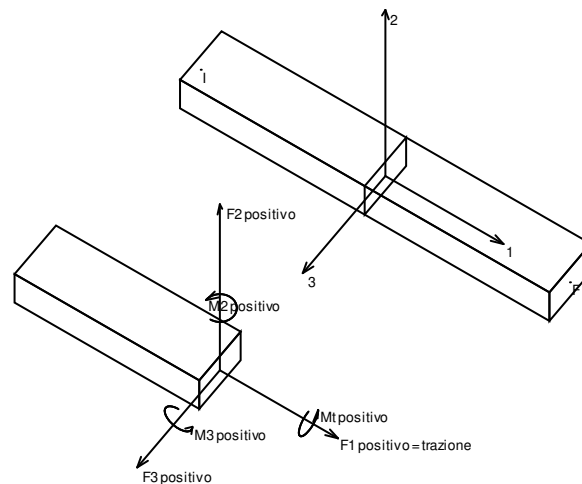
- F_{oz} : sforzo tagliante distribuito [Forza/Lunghezza] applicato sui bordi (verso positivo indicato dalla freccia in figura).

1.1.5 Sollecitazioni aste in muratura

1.1.5.1 Convenzioni di segno aste

Le abbreviazioni relative alle sollecitazioni sugli elementi aste sono da intendersi:

- F_1 (N): sforzo normale nell'asta;
- F_2 : sforzo di taglio agente nella direzione dell'asse locale 2;
- F_3 : sforzo di taglio agente nella direzione dell'asse locale 3;
- M_1 (M_t): momento attorno all'asse locale 1; equivale al momento torcente;
- M_2 : momento attorno all'asse locale 2;
- M_3 : momento attorno all'asse locale 3.



La convenzione sui segni per i parametri di sollecitazione delle aste è la seguente:

presa un'asta con nodo iniziale i e nodo finale f , asse 1 che va da i a f , assi 2 e 3 presi secondo quanto indicato nei paragrafi successivi relativi al sistema locale delle aste sezionando l'asta in un punto e considerando la sezione sinistra del punto in cui si è effettuato il taglio (sezione da cui esce il versore asse 1) i parametri di sollecitazione sono positivi se hanno verso e direzione concordi con il sistema di riferimento locale dell'asta 1, 2, 3 (per i momenti si adotta la regola della mano destra).

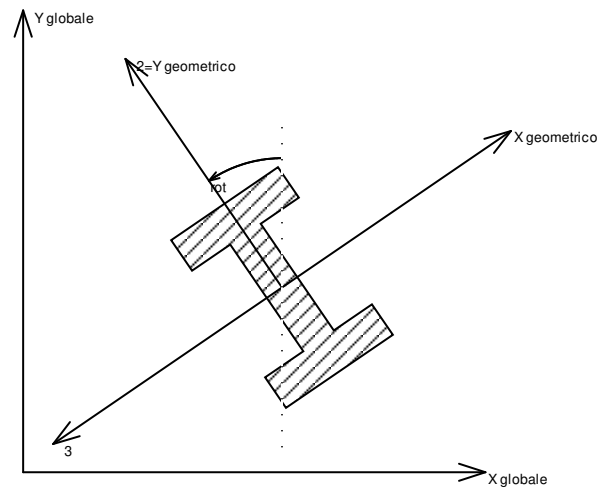
Il sistema è definito diversamente per tre categorie di aste, a seconda che siano originate da:

- aste verticali ad esempio pilastri e colonne;
- aste non verticali non di c.a., ad esempio travi di acciaio o legno;
- aste non verticali in c.a.: travi in c.a. di piano, falda o a quota generica.

Nel seguito si indica con 1, 2 e 3 il sistema locale dell'asta che non sempre coincide con gli assi principali della sezione. Si ricorda che per assi principali si intendono gli assi rispetto a cui si ha il raggio di inerzia minimo e massimo. Gli assi 1, 2 e 3 rispettano la regola della mano destra.

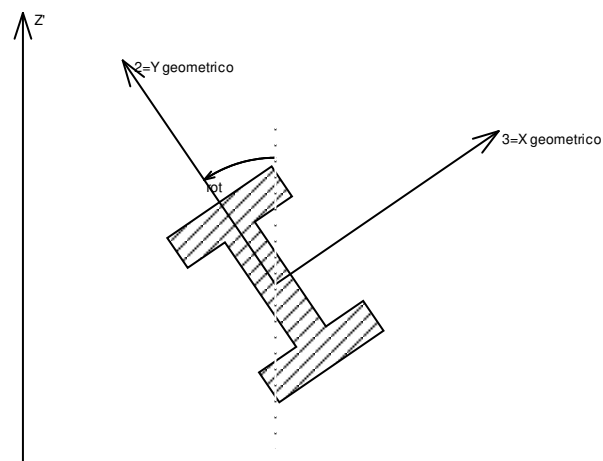


Sistema locale aste verticali



Nella figura si considera l'asse 1 uscente dal foglio (l'osservatore guarda in direzione opposta a quella dell'asse 1).

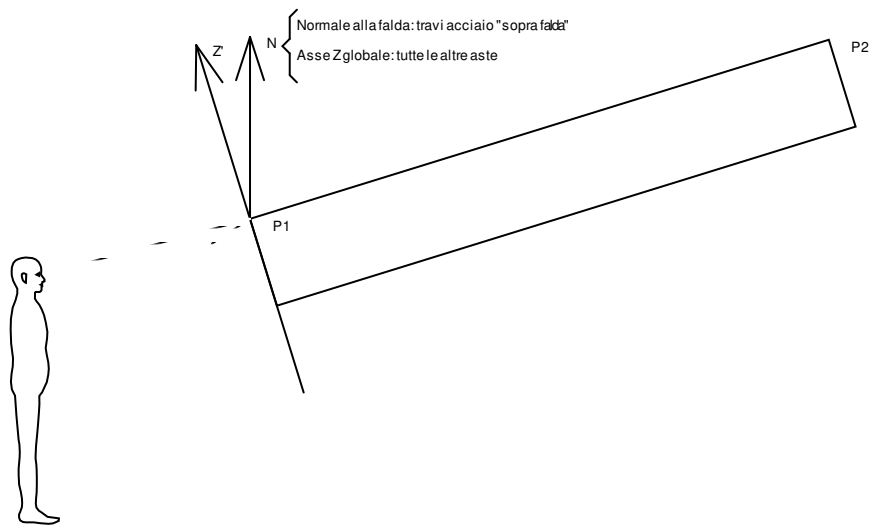
Sistema locale aste non verticali



Nella figura si considera l'asse 1 entrante nel foglio (l'osservatore guarda in direzione coincidente a quella dell'asse 1).

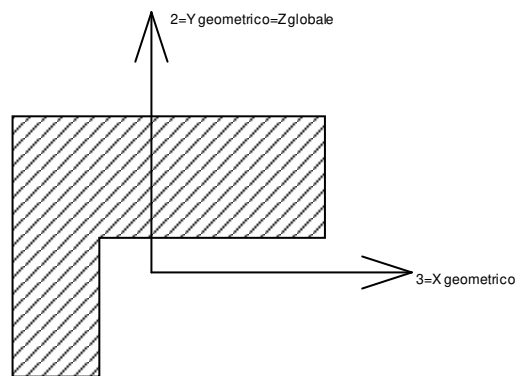
L'asse Z' è illustrato nella figura seguente dove:

- P1 è il punto di inserimento iniziale dell'asta;
- P2 è il punto di inserimento finale dell'asta;
- N è la normale al piano o falda di inserimento;



Z' è quindi l'intersezione tra il piano passante per P1, P2 contenente N e il piano della sezione iniziale dell'asta.

Sistema locale aste derivanti da travi in c.a.



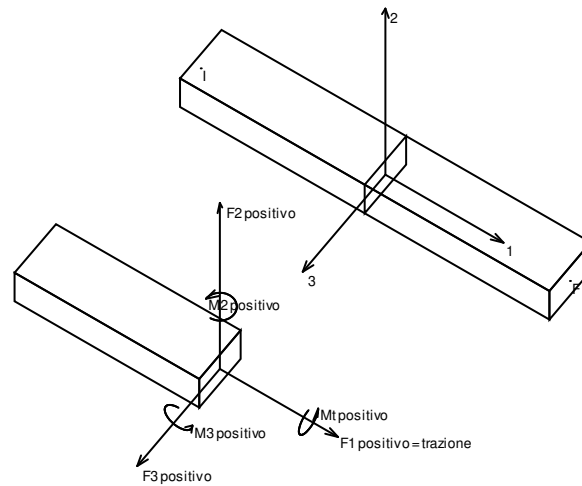
Nella figura si considera l'asse 1 entrante nel foglio (l'osservatore guarda in direzione coincidente a quella dell'asse 1). L'asse 2 è sempre verticale e quindi coincidente con l'asse Z globale nonché con l'asse y geometrico. L'asse 3 coincide con l'asse x geometrico. Si sottolinea il fatto che gli assi 2 e 3 non corrispondono agli assi principali della sezione.

1.1.6 Sollecitazioni aste in muratura FRCM

1.1.6.1 Convenzioni di segno aste

Le abbreviazioni relative alle sollecitazioni sugli elementi aste sono da intendersi:

- F1 (N): sforzo normale nell'asta;
- F2: sforzo di taglio agente nella direzione dell'asse locale 2;
- F3: sforzo di taglio agente nella direzione dell'asse locale 3;
- M1 (Mt): momento attorno all'asse locale 1; equivale al momento torcente;
- M2: momento attorno all'asse locale 2;
- M3: momento attorno all'asse locale 3.



La convenzione sui segni per i parametri di sollecitazione delle aste è la seguente:

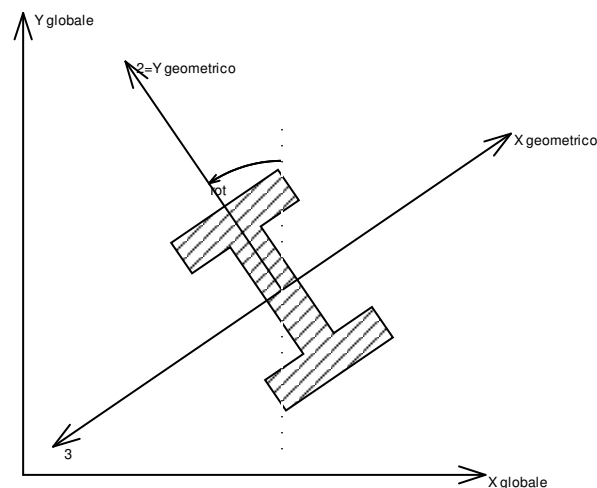
presa un'asta con nodo iniziale i e nodo finale f , asse 1 che va da i a f , assi 2 e 3 presi secondo quanto indicato nei paragrafi successivi relativi al sistema locale delle aste sezionando l'asta in un punto e considerando la sezione sinistra del punto in cui si è effettuato il taglio (sezione da cui esce il versore asse 1) i parametri di sollecitazione sono positivi se hanno verso e direzione concordi con il sistema di riferimento locale dell'asta 1, 2, 3 (per i momenti si adotta la regola della mano destra).

Il sistema è definito diversamente per tre categorie di aste, a seconda che siano originate da:

- aste verticali ad esempio pilastri e colonne;
- aste non verticali non di c.a., ad esempio travi di acciaio o legno;
- aste non verticali in c.a.: travi in c.a. di piano, falda o a quota generica.

Nel seguito si indica con 1, 2 e 3 il sistema locale dell'asta che non sempre coincide con gli assi principali della sezione. Si ricorda che per assi principali si intendono gli assi rispetto a cui si ha il raggio di inerzia minimo e massimo. Gli assi 1, 2 e 3 rispettano la regola della mano destra.

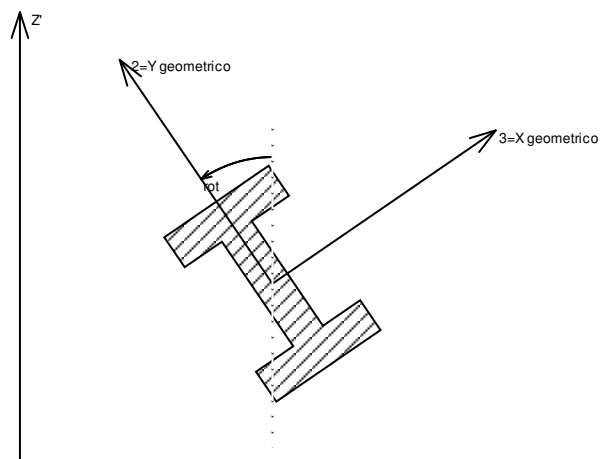
Sistema locale aste verticali



Nella figura si considera l'asse 1 uscente dal foglio (l'osservatore guarda in direzione opposta a quella dell'asse 1).



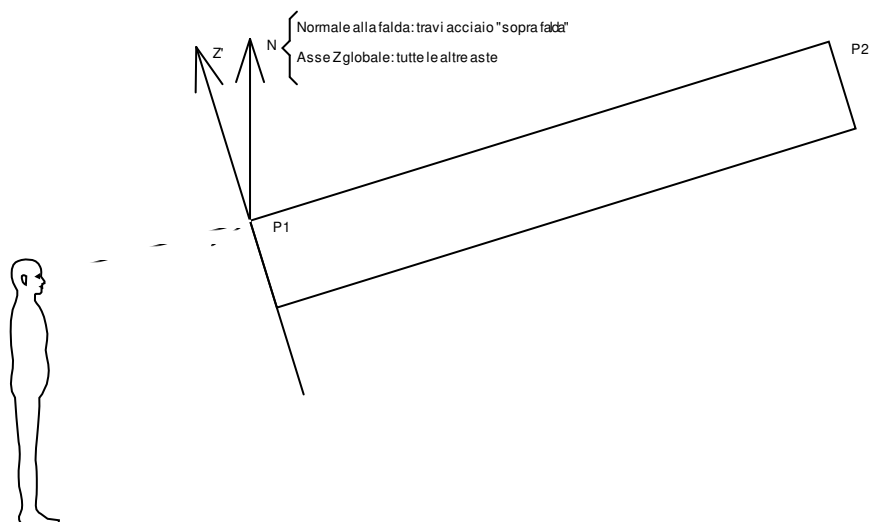
Sistema locale aste non verticali



Nella figura si considera l'asse 1 entrante nel foglio (l'osservatore guarda in direzione coincidente a quella dell'asse 1).

L'asse Z' è illustrato nella figura seguente dove:

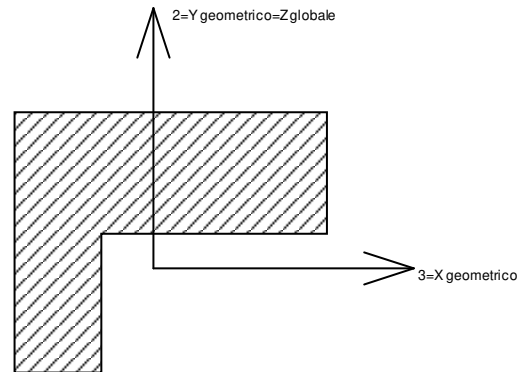
- P1 è il punto di inserimento iniziale dell'asta;
- P2 è il punto di inserimento finale dell'asta;
- N è la normale al piano o falda di inserimento;



Z' è quindi l'intersezione tra il piano passante per P1, P2 contenente N e il piano della sezione iniziale dell'asta.



Sistema locale aste derivanti da travi in c.a.



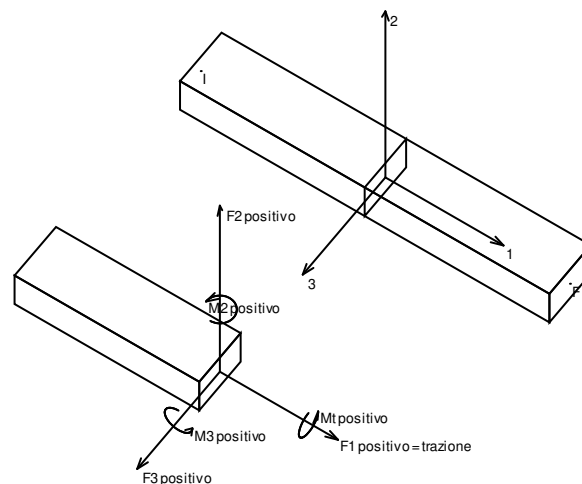
Nella figura si considera l'asse 1 entrante nel foglio (l'osservatore guarda in direzione coincidente a quella dell'asse 1). L'asse 2 è sempre verticale e quindi coincidente con l'asse Z globale nonché con l'asse y geometrico. L'asse 3 coincide con l'asse x geometrico. Si sottolinea il fatto che gli assi 2 e 3 non corrispondono agli assi principali della sezione.

1.1.7 Sollecitazioni aste in muratura armata

1.1.7.1 Convenzioni di segno aste

Le abbreviazioni relative alle sollecitazioni sugli elementi aste sono da intendersi:

- F1 (N): sforzo normale nell'asta;
- F2: sforzo di taglio agente nella direzione dell'asse locale 2;
- F3: sforzo di taglio agente nella direzione dell'asse locale 3;
- M1 (Mt): momento attorno all'asse locale 1; equivale al momento torcente;
- M2: momento attorno all'asse locale 2;
- M3: momento attorno all'asse locale 3.



La convenzione sui segni per i parametri di sollecitazione delle aste è la seguente:

presa un'asta con nodo iniziale i e nodo finale f, asse 1 che va da i a f, assi 2 e 3 presi secondo quanto indicato nei paragrafi successivi relativi al sistema locale delle aste sezionando l'asta in un punto e considerando la sezione sinistra del punto in cui si è effettuato il taglio (sezione da cui esce il versore asse 1) i parametri di sollecitazione sono positivi se hanno verso e direzione concordi con il sistema di riferimento locale dell'asta 1, 2, 3 (per i momenti si adotta la regola della mano destra).

Il sistema è definito diversamente per tre categorie di aste, a seconda che siano originate da:

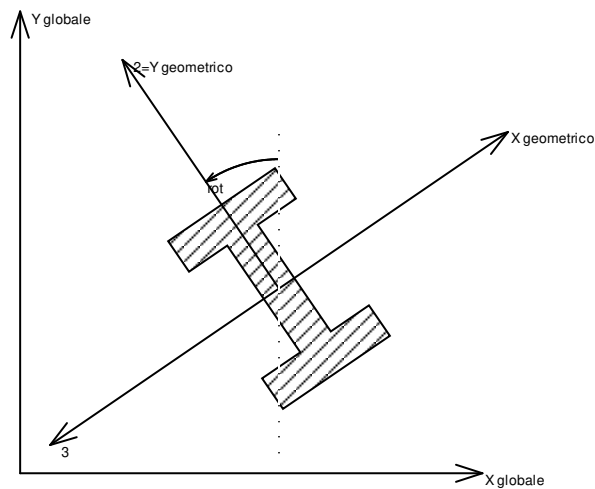
- aste verticali ad esempio pilastri e colonne;
- aste non verticali non di c.a., ad esempio travi di acciaio o legno;
- aste non verticali in c.a.: travi in c.a. di piano, falda o a quota generica.

Nel seguito si indica con 1, 2 e 3 il sistema locale dell'asta che non sempre coincide con gli assi principali della sezione. Si ricorda che per assi principali si intendono gli



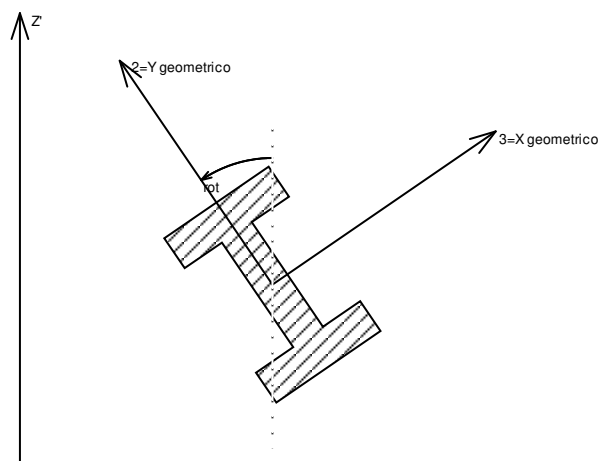
assi rispetto a cui si ha il raggio di inerzia minimo e massimo. Gli assi 1, 2 e 3 rispettano la regola della mano destra.

Sistema locale aste verticali



Nella figura si considera l'asse 1 uscente dal foglio (l'osservatore guarda in direzione opposta a quella dell'asse 1).

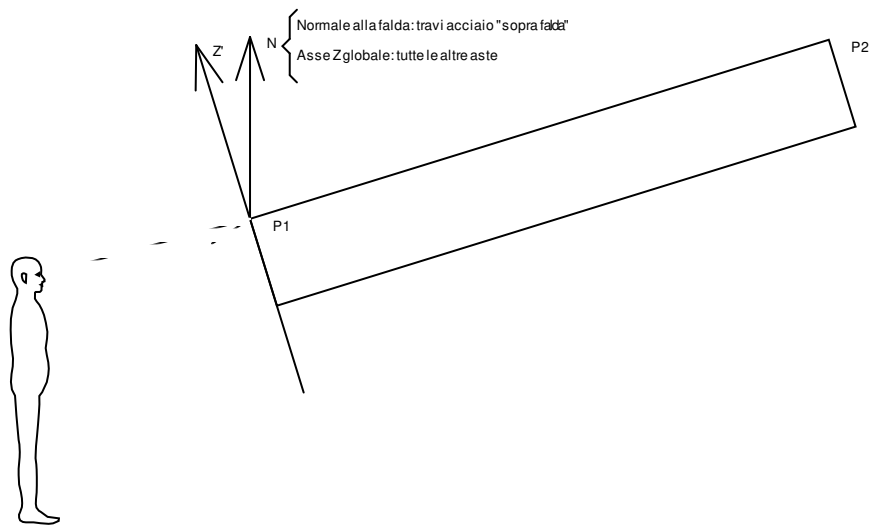
Sistema locale aste non verticali



Nella figura si considera l'asse 1 entrante nel foglio (l'osservatore guarda in direzione coincidente a quella dell'asse 1).

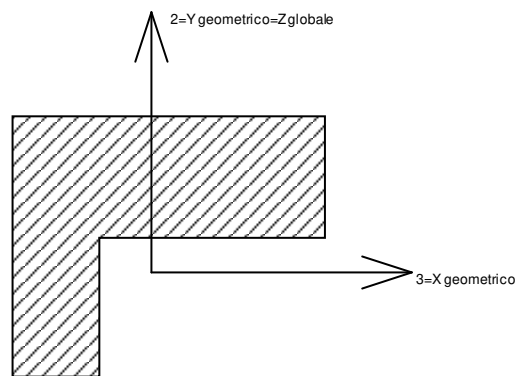
L'asse Z' è illustrato nella figura seguente dove:

- P1 è il punto di inserimento iniziale dell'asta;
- P2 è il punto di inserimento finale dell'asta;
- N è la normale al piano o falda di inserimento;



Z' è quindi l'intersezione tra il piano passante per $P1$, $P2$ contenente N e il piano della sezione iniziale dell'asta.

Sistema locale aste derivanti da travi in c.a.



Nella figura si considera l'asse 1 entrante nel foglio (l'osservatore guarda in direzione coincidente a quella dell'asse 1). L'asse 2 è sempre verticale e quindi coincidente con l'asse Z globale nonché con l'asse y geometrico. L'asse 3 coincide con l'asse x geometrico. Si sottolinea il fatto che gli assi 2 e 3 non corrispondono agli assi principali della sezione.

1.2 Reazioni nodali

1.2.1 Reazioni nodali estreme

Nodo: Nodo sollecitato dalla reazione vincolare.

Ind.: indice del nodo.

Cont.: Contesto a cui si riferisce la reazione vincolare.

N.br.: nome breve della condizione o combinazione di carico.

Reazione a traslazione: reazione vincolare traslazionale del nodo.

x: componente X della reazione vincolare del nodo. [daN]

y: componente Y della reazione vincolare del nodo. [daN]

z: componente Z della reazione vincolare del nodo. [daN]

Reazione a rotazione: reazione vincolare rotazionale del nodo.

x: componente X della reazione a rotazione del nodo. [daN*m]

y: componente Y della reazione a rotazione del nodo. [daN*m]

z: componente Z della reazione a rotazione del nodo. [daN*m]

Reazioni Fx minime

Vengono mostrati i soli 5 nodi più sollecitati.

Nodo	Cont.	Reazione a traslazione	Reazione a rotazione
------	-------	------------------------	----------------------



Ind.	N.br.	x	y	z	x	y	z
110	SLV 13	-1340	19	3239	-12.57	-53.75	0.03
109	SLV 13	-1222	28	3093	-23.57	-47.37	0
108	SLV 15	-1145	-12	3250	10.82	-45.02	0.03
107	SLV 15	-1081	-16	3297	12.61	-42.66	0
111	SLU 82	-1063	-196	6033	12.06	-34.05	0.08

Reazioni Fx massime

Vengono mostrati i soli 5 nodi più sollecitati.

Nodo	Cont.	Reazione a traslazione			Reazione a rotazione		
Ind.	N.br.	x	y	z	x	y	z
79	SLU 82	1517	0	3780	0.17	75.94	0
81	SLV 3	1201	-18	3116	11.24	58.46	-0.03
80	SLV 3	1176	9	2983	7.06	42.63	-0.03
78	SLU 82	1027	8	5851	0.52	30.94	0
83	SLV 3	996	-22	3325	17.71	47.87	0

Reazioni Fy minime

Vengono mostrati i soli 5 nodi più sollecitati.

Nodo	Cont.	Reazione a traslazione			Reazione a rotazione		
Ind.	N.br.	x	y	z	x	y	z
65	SLV Y	-26	-909	-3221	30.05	-9.76	1.63
47	SLV 7	9	-878	3052	30.33	-8.11	0.59
64	SLV Y	33	-860	-3042	28.56	12.09	-2.04
48	SLV 11	31	-786	2730	26.95	12.49	2.03
140	SLV 11	53	-750	3133	27.44	25.83	0.38

Reazioni Fy massime

Vengono mostrati i soli 5 nodi più sollecitati.

Nodo	Cont.	Reazione a traslazione			Reazione a rotazione		
Ind.	N.br.	x	y	z	x	y	z
65	SLV 9	23	1009	3479	-32.59	8.8	-1.46
64	SLV 5	-31	944	3232	-30.56	-11.24	1.89
70	SLV 9	18	806	4336	-44.96	12.53	0.07
75	SLV 9	4	779	2399	-44.1	5.64	-0.01
69	SLV 5	-19	765	4075	-42	-15.22	-0.11

Reazioni Fz minime

Vengono mostrati i soli 5 nodi più sollecitati.

Nodo	Cont.	Reazione a traslazione			Reazione a rotazione		
Ind.	N.br.	x	y	z	x	y	z
70	SLV Y	-19	-668	-3578	41.67	-13.77	-0.08
69	SLV Y	20	-633	-3376	39.52	16.27	0.12
65	SLV 7	-23	-896	-3274	30.62	-8.98	1.49
64	SLV 11	31	-831	-3047	28.53	11.42	-1.92
47	SLV 9	-9	755	-2709	-28	8.08	-0.6

Reazioni Fz massime

Vengono mostrati i soli 5 nodi più sollecitati.

Nodo	Cont.	Reazione a traslazione			Reazione a rotazione		
Ind.	N.br.	x	y	z	x	y	z
103	SLU 82	-329	-283	6581	8.1	-13.26	-0.02
86	SLU 82	285	-292	6565	8.26	8.07	0.02
95	SLU 82	-10	-298	6321	6.43	0.53	0
111	SLU 81	-1062	-202	6044	12.29	-34	0.08
78	SLU 82	1027	8	5851	0.52	30.94	0

1.2.2 Reazioni nodali in combinazioni di carico

Nodo: Nodo sollecitato dalla reazione vincolare.

Ind.: indice del nodo.

Cont.: Contesto a cui si riferisce la reazione vincolare.

N.br.: nome breve della condizione o combinazione di carico.

Reazione a traslazione: reazione vincolare traslazionale del nodo.

x: componente X della reazione vincolare del nodo. [daN]

y: componente Y della reazione vincolare del nodo. [daN]

z: componente Z della reazione vincolare del nodo. [daN]

Reazione a rotazione: reazione vincolare rotazionale del nodo.

x: componente X della reazione a rotazione del nodo. [daN*m]

y: componente Y della reazione a rotazione del nodo. [daN*m]

z: componente Z della reazione a rotazione del nodo. [daN*m]

Nodo	Cont.	Reazione a traslazione			Reazione a rotazione		
Ind.	N.br.	x	y	z	x	y	z
2	SLU 1	402	277	2676	-6.54	9.72	-0.05
2	SLU 2	401	283	2684	-6.78	9.71	-0.04
2	SLU 3	402	277	2676	-6.54	9.72	-0.05
2	SLU 4	401	281	2681	-6.68	9.71	-0.04
2	SLU 5	401	283	2684	-6.78	9.71	-0.04
2	SLU 6	402	277	2676	-6.54	9.72	-0.05
2	SLU 7	401	281	2681	-6.68	9.71	-0.04
2	SLU 8	402	277	2676	-6.54	9.72	-0.05
2	SLU 9	401	281	2681	-6.68	9.71	-0.04
2	SLU 10	507	307	3153	-6.96	13.11	-0.07



Nodo Ind.	Cont. N.br.	Reazione a traslazione			Reazione a rotazione		
		x	y	z	x	y	z
2	SLU 11	508	302	3145	-6.72	13.12	-0.07
2	SLU 12	507	305	3150	-6.86	13.11	-0.07
2	SLU 13	507	307	3153	-6.96	13.11	-0.07
2	SLU 14	508	302	3145	-6.72	13.12	-0.07
2	SLU 15	507	305	3150	-6.86	13.11	-0.07
2	SLU 16	508	302	3145	-6.72	13.12	-0.07
2	SLU 17	507	305	3150	-6.86	13.11	-0.07
2	SLU 18	553	312	3346	-6.8	14.57	-0.08
2	SLU 19	553	315	3351	-6.94	14.57	-0.08
2	SLU 20	553	312	3346	-6.8	14.57	-0.08
2	SLU 21	553	315	3351	-6.94	14.57	-0.08
2	SLU 22	456	290	2916	-6.63	11.46	-0.06
2	SLU 23	455	295	2924	-6.87	11.45	-0.06
2	SLU 24	456	290	2916	-6.63	11.46	-0.06
2	SLU 25	456	293	2921	-6.77	11.45	-0.06
2	SLU 26	455	295	2924	-6.87	11.45	-0.06
2	SLU 27	456	290	2916	-6.63	11.46	-0.06
2	SLU 28	456	293	2921	-6.77	11.45	-0.06
2	SLU 29	456	290	2916	-6.63	11.46	-0.06
2	SLU 30	456	293	2921	-6.77	11.45	-0.06
2	SLU 31	561	320	3393	-7.05	14.84	-0.08
2	SLU 32	562	314	3385	-6.81	14.85	-0.09
2	SLU 33	561	317	3390	-6.96	14.85	-0.08
2	SLU 34	561	320	3393	-7.05	14.84	-0.08
2	SLU 35	562	314	3385	-6.81	14.85	-0.09
2	SLU 36	561	317	3390	-6.96	14.85	-0.08
2	SLU 37	562	314	3385	-6.81	14.85	-0.09
2	SLU 38	561	317	3390	-6.96	14.85	-0.08
2	SLU 39	607	325	3586	-6.89	16.31	-0.1
2	SLU 40	607	328	3590	-7.04	16.3	-0.1
2	SLU 41	607	325	3586	-6.89	16.31	-0.1
2	SLU 42	607	328	3590	-7.04	16.3	-0.1
2	SLU 43	504	356	3397	-8.47	12.04	-0.05
2	SLU 44	503	362	3405	-8.71	12.03	-0.05
2	SLU 45	504	356	3397	-8.47	12.04	-0.05
2	SLU 46	503	359	3402	-8.61	12.03	-0.05
2	SLU 47	503	362	3405	-8.71	12.03	-0.05
2	SLU 48	504	356	3397	-8.47	12.04	-0.05
2	SLU 49	503	359	3402	-8.61	12.03	-0.05
2	SLU 50	504	356	3397	-8.47	12.04	-0.05
2	SLU 51	503	359	3402	-8.61	12.03	-0.05
2	SLU 52	609	386	3874	-8.89	15.43	-0.08
2	SLU 53	610	381	3866	-8.65	15.44	-0.08
2	SLU 54	609	384	3871	-8.79	15.43	-0.08
2	SLU 55	609	386	3874	-8.89	15.43	-0.08
2	SLU 56	610	381	3866	-8.65	15.44	-0.08
2	SLU 57	609	384	3871	-8.79	15.43	-0.08
2	SLU 58	610	381	3866	-8.65	15.44	-0.08
2	SLU 59	609	384	3871	-8.79	15.43	-0.08
2	SLU 60	655	391	4067	-8.73	16.89	-0.09
2	SLU 61	655	394	4072	-8.87	16.89	-0.09
2	SLU 62	655	391	4067	-8.73	16.89	-0.09
2	SLU 63	655	394	4072	-8.87	16.89	-0.09
2	SLU 64	558	369	3636	-8.56	13.78	-0.07
2	SLU 65	557	374	3645	-8.8	13.77	-0.06
2	SLU 66	558	369	3636	-8.56	13.78	-0.07
2	SLU 67	558	372	3641	-8.7	13.77	-0.07
2	SLU 68	557	374	3645	-8.8	13.77	-0.06
2	SLU 69	558	369	3636	-8.56	13.78	-0.07
2	SLU 70	558	372	3641	-8.7	13.77	-0.07
2	SLU 71	558	369	3636	-8.56	13.78	-0.07
2	SLU 72	558	372	3641	-8.7	13.77	-0.07
2	SLU 73	663	398	4113	-8.98	17.16	-0.09
2	SLU 74	664	393	4105	-8.74	17.17	-0.1
2	SLU 75	663	396	4110	-8.89	17.17	-0.09
2	SLU 76	663	398	4113	-8.98	17.16	-0.09
2	SLU 77	664	393	4105	-8.74	17.17	-0.1
2	SLU 78	663	396	4110	-8.89	17.17	-0.09
2	SLU 79	664	393	4105	-8.74	17.17	-0.1
2	SLU 80	663	396	4110	-8.89	17.17	-0.09
2	SLU 81	710	403	4306	-8.82	18.63	-0.11
2	SLU 82	709	407	4311	-8.97	18.62	-0.1
2	SLU 83	710	403	4306	-8.82	18.63	-0.11
2	SLU 84	709	407	4311	-8.97	18.62	-0.1
2	SLE RA 1	417	281	2745	-6.56	10.22	-0.05
2	SLE RA 2	417	284	2750	-6.72	10.21	-0.05
2	SLE RA 3	417	281	2745	-6.56	10.22	-0.05
2	SLE RA 4	417	283	2748	-6.66	10.21	-0.05
2	SLE RA 5	417	284	2750	-6.72	10.21	-0.05
2	SLE RA 6	417	281	2745	-6.56	10.22	-0.05
2	SLE RA 7	417	283	2748	-6.66	10.21	-0.05
2	SLE RA 8	417	281	2745	-6.56	10.22	-0.05
2	SLE RA 9	417	283	2748	-6.66	10.21	-0.05
2	SLE RA 10	487	301	3063	-6.85	12.47	-0.07
2	SLE RA 11	488	297	3057	-6.69	12.48	-0.07
2	SLE RA 12	488	299	3060	-6.78	12.48	-0.07
2	SLE RA 13	487	301	3063	-6.85	12.47	-0.07
2	SLE RA 14	488	297	3057	-6.69	12.48	-0.07



Nodo Ind.	Cont. N.br.	Reazione a traslazione			Reazione a rotazione		
		x	y	z	x	y	z
2	SLE RA 15	488	299	3060	-6.78	12.48	-0.07
2	SLE RA 16	488	297	3057	-6.69	12.48	-0.07
2	SLE RA 17	488	299	3060	-6.78	12.48	-0.07
2	SLE RA 18	518	304	3191	-6.74	13.45	-0.08
2	SLE RA 19	518	306	3194	-6.83	13.45	-0.07
2	SLE RA 20	518	304	3191	-6.74	13.45	-0.08
2	SLE RA 21	518	306	3194	-6.83	13.45	-0.07
2	SLE FR 1	417	281	2745	-6.56	10.22	-0.05
2	SLE FR 2	417	281	2746	-6.6	10.21	-0.05
2	SLE FR 3	417	281	2745	-6.56	10.22	-0.05
2	SLE FR 4	448	288	2880	-6.65	11.18	-0.06
2	SLE FR 5	448	288	2879	-6.62	11.19	-0.06
2	SLE FR 6	468	292	2968	-6.65	11.83	-0.06
2	SLE QP 1	417	281	2745	-6.56	10.22	-0.05
2	SLE QP 2	448	288	2879	-6.62	11.19	-0.06
2	SLD 1	560	283	3335	-6.42	15.46	-0.08
2	SLD 2	560	283	3335	-6.42	15.46	-0.08
2	SLD 3	532	226	3095	-4	14.83	-0.11
2	SLD 4	532	226	3095	-4	14.83	-0.11
2	SLD 5	524	373	3379	-10.23	13.43	-0.03
2	SLD 6	524	373	3379	-10.23	13.43	-0.03
2	SLD 7	430	183	2580	-2.16	11.32	-0.11
2	SLD 8	430	183	2580	-2.16	11.32	-0.11
2	SLD 9	465	393	3177	-11.07	11.05	-0.01
2	SLD 10	465	393	3177	-11.07	11.05	-0.01
2	SLD 11	372	202	2378	-3.01	8.94	-0.08
2	SLD 12	372	202	2378	-3.01	8.94	-0.08
2	SLD 13	364	349	2662	-9.24	7.54	-0.01
2	SLD 14	364	349	2662	-9.24	7.54	-0.01
2	SLD 15	336	292	2422	-6.82	6.91	-0.03
2	SLD 16	336	292	2422	-6.82	6.91	-0.03
2	SLV 1	712	276	3955	-6.08	21.28	-0.12
2	SLV 2	712	276	3955	-6.08	21.28	-0.12
2	SLV 3	646	141	3390	-0.35	19.79	-0.18
2	SLV 4	646	141	3390	-0.35	19.79	-0.18
2	SLV 5	626	489	4058	-15.15	16.48	0.01
2	SLV 6	626	489	4058	-15.15	16.48	0.01
2	SLV 7	408	39	2176	3.95	11.5	-0.18
2	SLV 8	408	39	2176	3.95	11.5	-0.18
2	SLV 9	488	537	3582	-17.19	10.87	0.06
2	SLV 10	488	537	3582	-17.19	10.87	0.06
2	SLV 11	269	86	1699	1.91	5.89	-0.12
2	SLV 12	269	86	1699	1.91	5.89	-0.12
2	SLV 13	249	434	2367	-12.88	2.58	0.06
2	SLV 14	249	434	2367	-12.88	2.58	0.06
2	SLV 15	184	299	1802	-7.15	1.09	0.01
2	SLV 16	184	299	1802	-7.15	1.09	0.01
3	SLU 1	418	5	2355	-1.59	23.25	-0.03
3	SLU 2	414	5	2355	-1.68	23	-0.03
3	SLU 3	418	5	2355	-1.59	23.25	-0.03
3	SLU 4	416	5	2355	-1.64	23.1	-0.03
3	SLU 5	414	5	2355	-1.68	23	-0.03
3	SLU 6	418	5	2355	-1.59	23.25	-0.03
3	SLU 7	416	5	2355	-1.64	23.1	-0.03
3	SLU 8	418	5	2355	-1.59	23.25	-0.03
3	SLU 9	416	5	2355	-1.64	23.1	-0.03
3	SLU 10	546	6	2780	-1.94	29	-0.03
3	SLU 11	551	6	2781	-1.86	29.24	-0.03
3	SLU 12	548	6	2781	-1.91	29.09	-0.03
3	SLU 13	546	6	2780	-1.94	29	-0.03
3	SLU 14	551	6	2781	-1.86	29.24	-0.03
3	SLU 15	548	6	2781	-1.91	29.09	-0.03
3	SLU 16	551	6	2781	-1.86	29.24	-0.03
3	SLU 17	548	6	2781	-1.91	29.09	-0.03
3	SLU 18	607	6	2963	-1.98	31.81	-0.03
3	SLU 19	604	7	2963	-2.03	31.66	-0.03
3	SLU 20	607	6	2963	-1.98	31.81	-0.03
3	SLU 21	604	7	2963	-2.03	31.66	-0.03
3	SLU 22	486	6	2573	-1.73	26.31	-0.03
3	SLU 23	482	6	2572	-1.81	26.07	-0.03
3	SLU 24	486	6	2573	-1.73	26.31	-0.03
3	SLU 25	483	6	2572	-1.78	26.16	-0.03
3	SLU 26	482	6	2572	-1.81	26.07	-0.03
3	SLU 27	486	6	2573	-1.73	26.31	-0.03
3	SLU 28	483	6	2572	-1.78	26.16	-0.03
3	SLU 29	486	6	2573	-1.73	26.31	-0.03
3	SLU 30	483	6	2572	-1.78	26.16	-0.03
3	SLU 31	614	7	2998	-2.08	32.06	-0.03
3	SLU 32	618	6	2998	-2	32.3	-0.03
3	SLU 33	615	7	2998	-2.05	32.16	-0.03
3	SLU 34	614	7	2998	-2.08	32.06	-0.03
3	SLU 35	618	6	2998	-2	32.3	-0.03
3	SLU 36	615	7	2998	-2.05	32.16	-0.03
3	SLU 37	618	6	2998	-2	32.3	-0.03
3	SLU 38	615	7	2998	-2.05	32.16	-0.03
3	SLU 39	675	7	3180	-2.11	34.87	-0.04
3	SLU 40	672	7	3180	-2.16	34.72	-0.04
3	SLU 41	675	7	3180	-2.11	34.87	-0.04



Nodo Ind.	Cont. N.br.	Reazione a traslazione			Reazione a rotazione		
		x	y	z	x	y	z
3	SLU 42	672	7	3180	-2.16	34.72	-0.04
3	SLU 43	521	7	2987	-2.02	29.17	-0.03
3	SLU 44	516	7	2987	-2.11	28.93	-0.04
3	SLU 45	521	7	2987	-2.02	29.17	-0.03
3	SLU 46	518	7	2987	-2.07	29.03	-0.04
3	SLU 47	516	7	2987	-2.11	28.93	-0.04
3	SLU 48	521	7	2987	-2.02	29.17	-0.03
3	SLU 49	518	7	2987	-2.07	29.03	-0.04
3	SLU 50	521	7	2987	-2.02	29.17	-0.03
3	SLU 51	518	7	2987	-2.07	29.03	-0.04
3	SLU 52	648	8	3413	-2.38	34.92	-0.04
3	SLU 53	653	7	3413	-2.29	35.16	-0.04
3	SLU 54	650	8	3413	-2.34	35.02	-0.04
3	SLU 55	648	8	3413	-2.38	34.92	-0.04
3	SLU 56	653	7	3413	-2.29	35.16	-0.04
3	SLU 57	650	8	3413	-2.34	35.02	-0.04
3	SLU 58	653	7	3413	-2.29	35.16	-0.04
3	SLU 59	650	8	3413	-2.34	35.02	-0.04
3	SLU 60	710	8	3595	-2.41	37.73	-0.04
3	SLU 61	707	8	3595	-2.46	37.58	-0.04
3	SLU 62	710	8	3595	-2.41	37.73	-0.04
3	SLU 63	707	8	3595	-2.46	37.58	-0.04
3	SLU 64	588	7	3205	-2.16	32.23	-0.04
3	SLU 65	584	7	3204	-2.24	31.99	-0.04
3	SLU 66	588	7	3205	-2.16	32.23	-0.04
3	SLU 67	586	7	3205	-2.21	32.09	-0.04
3	SLU 68	584	7	3204	-2.24	31.99	-0.04
3	SLU 69	588	7	3205	-2.16	32.23	-0.04
3	SLU 70	586	7	3205	-2.21	32.09	-0.04
3	SLU 71	588	7	3205	-2.16	32.23	-0.04
3	SLU 72	586	7	3205	-2.21	32.09	-0.04
3	SLU 73	716	8	3630	-2.51	37.98	-0.04
3	SLU 74	720	8	3630	-2.43	38.22	-0.04
3	SLU 75	718	8	3630	-2.48	38.08	-0.04
3	SLU 76	716	8	3630	-2.51	37.98	-0.04
3	SLU 77	720	8	3630	-2.43	38.22	-0.04
3	SLU 78	718	8	3630	-2.48	38.08	-0.04
3	SLU 79	720	8	3630	-2.43	38.22	-0.04
3	SLU 80	718	8	3630	-2.48	38.08	-0.04
3	SLU 81	777	8	3812	-2.54	40.79	-0.04
3	SLU 82	774	8	3812	-2.59	40.65	-0.04
3	SLU 83	777	8	3812	-2.54	40.79	-0.04
3	SLU 84	774	8	3812	-2.59	40.65	-0.04
3	SLE RA 1	438	5	2417	-1.63	24.12	-0.03
3	SLE RA 2	435	5	2417	-1.69	23.96	-0.03
3	SLE RA 3	438	5	2417	-1.63	24.12	-0.03
3	SLE RA 4	436	5	2417	-1.66	24.03	-0.03
3	SLE RA 5	435	5	2417	-1.69	23.96	-0.03
3	SLE RA 6	438	5	2417	-1.63	24.12	-0.03
3	SLE RA 7	436	5	2417	-1.66	24.03	-0.03
3	SLE RA 8	438	5	2417	-1.63	24.12	-0.03
3	SLE RA 9	436	5	2417	-1.66	24.03	-0.03
3	SLE RA 10	523	6	2701	-1.87	27.95	-0.03
3	SLE RA 11	526	6	2701	-1.81	28.12	-0.03
3	SLE RA 12	524	6	2701	-1.84	28.02	-0.03
3	SLE RA 13	523	6	2701	-1.87	27.95	-0.03
3	SLE RA 14	526	6	2701	-1.81	28.12	-0.03
3	SLE RA 15	524	6	2701	-1.84	28.02	-0.03
3	SLE RA 16	526	6	2701	-1.81	28.12	-0.03
3	SLE RA 17	524	6	2701	-1.84	28.02	-0.03
3	SLE RA 18	564	6	2822	-1.89	29.83	-0.03
3	SLE RA 19	562	6	2822	-1.92	29.73	-0.03
3	SLE RA 20	564	6	2822	-1.89	29.83	-0.03
3	SLE RA 21	562	6	2822	-1.92	29.73	-0.03
3	SLE FR 1	438	5	2417	-1.63	24.12	-0.03
3	SLE FR 2	437	5	2417	-1.64	24.09	-0.03
3	SLE FR 3	438	5	2417	-1.63	24.12	-0.03
3	SLE FR 4	475	6	2539	-1.72	25.8	-0.03
3	SLE FR 5	475	6	2539	-1.71	25.83	-0.03
3	SLE FR 6	501	6	2620	-1.76	26.98	-0.03
3	SLE QP 1	438	5	2417	-1.63	24.12	-0.03
3	SLE QP 2	475	6	2539	-1.71	25.83	-0.03
3	SLD 1	609	4	2844	-0.98	33.68	-0.02
3	SLD 2	609	4	2844	-0.98	33.68	-0.02
3	SLD 3	646	0	2670	3.2	31.89	-0.02
3	SLD 4	646	0	2670	3.2	31.89	-0.02
3	SLD 5	459	11	2894	-7.82	30.89	-0.04
3	SLD 6	459	11	2894	-7.82	30.89	-0.04
3	SLD 7	583	-2	2315	6.09	24.95	-0.01
3	SLD 8	583	-2	2315	6.09	24.95	-0.01
3	SLD 9	368	13	2763	-9.51	26.72	-0.04
3	SLD 10	368	13	2763	-9.51	26.72	-0.04
3	SLD 11	492	0	2184	4.4	20.78	-0.02
3	SLD 12	492	0	2184	4.4	20.78	-0.02
3	SLD 13	305	11	2408	-6.61	19.78	-0.04
3	SLD 14	305	11	2408	-6.61	19.78	-0.04
3	SLD 15	342	7	2234	-2.44	17.99	-0.03
3	SLD 16	342	7	2234	-2.44	17.99	-0.03



Nodo Ind.	Cont. N.br.	Reazione a traslazione			Reazione a rotazione		
		x	y	z	x	y	z
3	SLV 1	791	2	3258	0.44	44.5	-0.02
3	SLV 2	791	2	3258	0.44	44.5	-0.02
3	SLV 3	879	-8	2849	10.29	40.13	0
3	SLV 4	879	-8	2849	10.29	40.13	0
3	SLV 5	435	19	3375	-16	38.05	-0.05
3	SLV 6	435	19	3375	-16	38.05	-0.05
3	SLV 7	731	-13	2011	16.83	23.5	0.01
3	SLV 8	731	-13	2011	16.83	23.5	0.01
3	SLV 9	219	24	3066	-20.25	28.17	-0.07
3	SLV 10	219	24	3066	-20.25	28.17	-0.07
3	SLV 11	516	-7	1703	12.58	13.61	-0.01
3	SLV 12	516	-7	1703	12.58	13.61	-0.01
3	SLV 13	72	19	2229	-13.71	11.54	-0.06
3	SLV 14	72	19	2229	-13.71	11.54	-0.06
3	SLV 15	160	10	1820	-3.86	7.17	-0.04
3	SLV 16	160	10	1820	-3.86	7.17	-0.04
4	SLU 1	248	3	2190	-1.37	7.22	-0.01
4	SLU 2	248	3	2185	-1.48	7.29	-0.01
4	SLU 3	248	3	2190	-1.37	7.22	-0.01
4	SLU 4	248	3	2187	-1.44	7.26	-0.01
4	SLU 5	248	3	2185	-1.48	7.29	-0.01
4	SLU 6	248	3	2190	-1.37	7.22	-0.01
4	SLU 7	248	3	2187	-1.44	7.26	-0.01
4	SLU 8	248	3	2190	-1.37	7.22	-0.01
4	SLU 9	248	3	2187	-1.44	7.26	-0.01
4	SLU 10	362	3	2600	-1.79	11.83	-0.02
4	SLU 11	362	3	2605	-1.68	11.75	-0.02
4	SLU 12	362	3	2602	-1.75	11.8	-0.02
4	SLU 13	362	3	2600	-1.79	11.83	-0.02
4	SLU 14	362	3	2605	-1.68	11.75	-0.02
4	SLU 15	362	3	2602	-1.75	11.8	-0.02
4	SLU 16	362	3	2605	-1.68	11.75	-0.02
4	SLU 17	362	3	2602	-1.75	11.8	-0.02
4	SLU 18	411	3	2783	-1.81	13.69	-0.02
4	SLU 19	411	4	2780	-1.88	13.74	-0.02
4	SLU 20	411	3	2783	-1.81	13.69	-0.02
4	SLU 21	411	4	2780	-1.88	13.74	-0.02
4	SLU 22	307	3	2402	-1.53	9.53	-0.01
4	SLU 23	306	3	2397	-1.64	9.61	-0.02
4	SLU 24	307	3	2402	-1.53	9.53	-0.01
4	SLU 25	306	3	2399	-1.6	9.58	-0.02
4	SLU 26	306	3	2397	-1.64	9.61	-0.02
4	SLU 27	307	3	2402	-1.53	9.53	-0.01
4	SLU 28	306	3	2399	-1.6	9.58	-0.02
4	SLU 29	307	3	2402	-1.53	9.53	-0.01
4	SLU 30	306	3	2399	-1.6	9.58	-0.02
4	SLU 31	420	4	2812	-1.95	14.14	-0.02
4	SLU 32	421	4	2817	-1.84	14.07	-0.02
4	SLU 33	420	4	2814	-1.9	14.11	-0.02
4	SLU 34	420	4	2812	-1.95	14.14	-0.02
4	SLU 35	421	4	2817	-1.84	14.07	-0.02
4	SLU 36	420	4	2814	-1.9	14.11	-0.02
4	SLU 37	421	4	2817	-1.84	14.07	-0.02
4	SLU 38	420	4	2814	-1.9	14.11	-0.02
4	SLU 39	470	4	2995	-1.97	16.01	-0.02
4	SLU 40	469	4	2992	-2.04	16.06	-0.02
4	SLU 41	470	4	2995	-1.97	16.01	-0.02
4	SLU 42	469	4	2992	-2.04	16.06	-0.02
4	SLU 43	303	3	2774	-1.73	8.59	-0.02
4	SLU 44	302	4	2770	-1.84	8.66	-0.02
4	SLU 45	303	3	2774	-1.73	8.59	-0.02
4	SLU 46	302	4	2771	-1.8	8.63	-0.02
4	SLU 47	302	4	2770	-1.84	8.66	-0.02
4	SLU 48	303	3	2774	-1.73	8.59	-0.02
4	SLU 49	302	4	2771	-1.8	8.63	-0.02
4	SLU 50	303	3	2774	-1.73	8.59	-0.02
4	SLU 51	302	4	2771	-1.8	8.63	-0.02
4	SLU 52	416	4	3184	-2.15	13.2	-0.02
4	SLU 53	417	4	3189	-2.04	13.12	-0.02
4	SLU 54	416	4	3186	-2.11	13.17	-0.02
4	SLU 55	416	4	3184	-2.15	13.2	-0.02
4	SLU 56	417	4	3189	-2.04	13.12	-0.02
4	SLU 57	416	4	3186	-2.11	13.17	-0.02
4	SLU 58	417	4	3189	-2.04	13.12	-0.02
4	SLU 59	416	4	3186	-2.11	13.17	-0.02
4	SLU 60	466	4	3367	-2.17	15.06	-0.02
4	SLU 61	465	4	3364	-2.24	15.11	-0.02
4	SLU 62	466	4	3367	-2.17	15.06	-0.02
4	SLU 63	465	4	3364	-2.24	15.11	-0.02
4	SLU 64	361	4	2986	-1.89	10.9	-0.02
4	SLU 65	361	4	2982	-2	10.98	-0.02
4	SLU 66	361	4	2986	-1.89	10.9	-0.02
4	SLU 67	361	4	2983	-1.95	10.95	-0.02
4	SLU 68	361	4	2982	-2	10.98	-0.02
4	SLU 69	361	4	2986	-1.89	10.9	-0.02
4	SLU 70	361	4	2983	-1.95	10.95	-0.02
4	SLU 71	361	4	2986	-1.89	10.9	-0.02
4	SLU 72	361	4	2983	-1.95	10.95	-0.02



Nodo Ind.	Cont. N.br.	Reazione a traslazione			Reazione a rotazione		
		x	y	z	x	y	z
4	SLU 73	475	4	3396	-2.31	15.51	-0.02
4	SLU 74	475	4	3401	-2.2	15.44	-0.02
4	SLU 75	475	4	3398	-2.26	15.48	-0.02
4	SLU 76	475	4	3396	-2.31	15.51	-0.02
4	SLU 77	475	4	3401	-2.2	15.44	-0.02
4	SLU 78	475	4	3398	-2.26	15.48	-0.02
4	SLU 79	475	4	3401	-2.2	15.44	-0.02
4	SLU 80	475	4	3398	-2.26	15.48	-0.02
4	SLU 81	524	4	3579	-2.33	17.38	-0.02
4	SLU 82	524	5	3576	-2.39	17.43	-0.02
4	SLU 83	524	4	3579	-2.33	17.38	-0.02
4	SLU 84	524	5	3576	-2.39	17.43	-0.02
4	SLE RA 1	265	3	2250	-1.42	7.88	-0.01
4	SLE RA 2	265	3	2247	-1.49	7.93	-0.01
4	SLE RA 3	265	3	2250	-1.42	7.88	-0.01
4	SLE RA 4	265	3	2249	-1.46	7.91	-0.01
4	SLE RA 5	265	3	2247	-1.49	7.93	-0.01
4	SLE RA 6	265	3	2250	-1.42	7.88	-0.01
4	SLE RA 7	265	3	2249	-1.46	7.91	-0.01
4	SLE RA 8	265	3	2250	-1.42	7.88	-0.01
4	SLE RA 9	265	3	2249	-1.46	7.91	-0.01
4	SLE RA 10	341	3	2524	-1.7	10.95	-0.02
4	SLE RA 11	341	3	2527	-1.62	10.9	-0.02
4	SLE RA 12	341	3	2525	-1.67	10.93	-0.02
4	SLE RA 13	341	3	2524	-1.7	10.95	-0.02
4	SLE RA 14	341	3	2527	-1.62	10.9	-0.02
4	SLE RA 15	341	3	2525	-1.67	10.93	-0.02
4	SLE RA 16	341	3	2527	-1.62	10.9	-0.02
4	SLE RA 17	341	3	2525	-1.67	10.93	-0.02
4	SLE RA 18	374	3	2646	-1.71	12.2	-0.02
4	SLE RA 19	373	3	2644	-1.76	12.23	-0.02
4	SLE RA 20	374	3	2646	-1.71	12.2	-0.02
4	SLE RA 21	373	3	2644	-1.76	12.23	-0.02
4	SLE FR 1	265	3	2250	-1.42	7.88	-0.01
4	SLE FR 2	265	3	2250	-1.43	7.89	-0.01
4	SLE FR 3	265	3	2250	-1.42	7.88	-0.01
4	SLE FR 4	297	3	2368	-1.52	9.18	-0.01
4	SLE FR 5	297	3	2369	-1.51	9.17	-0.01
4	SLE FR 6	319	3	2448	-1.57	10.04	-0.01
4	SLE QP 1	265	3	2250	-1.42	7.88	-0.01
4	SLE QP 2	297	3	2369	-1.51	9.17	-0.01
4	SLD 1	455	1	2572	0.24	17.75	0
4	SLD 2	455	1	2572	0.24	17.75	0
4	SLD 3	488	-8	2439	8.12	16.23	0.03
4	SLD 4	488	-8	2439	8.12	16.23	0.03
4	SLD 5	294	16	2631	-12.95	14.05	-0.06
4	SLD 6	294	16	2631	-12.95	14.05	-0.06
4	SLD 7	405	-14	2188	13.34	8.99	0.05
4	SLD 8	405	-14	2188	13.34	8.99	0.05
4	SLD 9	190	20	2549	-16.36	9.36	-0.08
4	SLD 10	190	20	2549	-16.36	9.36	-0.08
4	SLD 11	300	-11	2106	9.93	4.3	0.03
4	SLD 12	300	-11	2106	9.93	4.3	0.03
4	SLD 13	107	14	2299	-11.14	2.12	-0.06
4	SLD 14	107	14	2299	-11.14	2.12	-0.06
4	SLD 15	140	5	2166	-3.25	0.6	-0.02
4	SLD 16	140	5	2166	-3.25	0.6	-0.02
4	SLV 1	669	-2	2847	3.56	29.44	0.01
4	SLV 2	669	-2	2847	3.56	29.44	0.01
4	SLV 3	747	-23	2535	22.17	25.84	0.09
4	SLV 4	747	-23	2535	22.17	25.84	0.09
4	SLV 5	291	35	2986	-28.23	20.7	-0.13
4	SLV 6	291	35	2986	-28.23	20.7	-0.13
4	SLV 7	550	-38	1945	33.84	8.73	0.14
4	SLV 8	550	-38	1945	33.84	8.73	0.14
4	SLV 9	44	44	2793	-36.85	9.62	-0.17
4	SLV 10	44	44	2793	-36.85	9.62	-0.17
4	SLV 11	304	-29	1752	25.21	-2.35	0.1
4	SLV 12	304	-29	1752	25.21	-2.35	0.1
4	SLV 13	-152	29	2203	-25.19	-7.5	-0.12
4	SLV 14	-152	29	2203	-25.19	-7.5	-0.12
4	SLV 15	-74	8	1891	-6.57	-11.09	-0.04
4	SLV 16	-74	8	1891	-6.57	-11.09	-0.04
5	SLU 1	272	1	2135	-1.02	14.92	-0.01
5	SLU 2	271	2	2130	-1.12	14.81	-0.01
5	SLU 3	272	1	2135	-1.02	14.92	-0.01
5	SLU 4	271	2	2132	-1.08	14.85	-0.01
5	SLU 5	271	2	2130	-1.12	14.81	-0.01
5	SLU 6	272	1	2135	-1.02	14.92	-0.01
5	SLU 7	271	2	2132	-1.08	14.85	-0.01
5	SLU 8	272	1	2135	-1.02	14.92	-0.01
5	SLU 9	271	2	2132	-1.08	14.85	-0.01
5	SLU 10	383	2	2564	-1.41	19.69	-0.01
5	SLU 11	384	2	2569	-1.3	19.8	-0.01
5	SLU 12	383	2	2566	-1.36	19.74	-0.01
5	SLU 13	383	2	2564	-1.41	19.69	-0.01
5	SLU 14	384	2	2569	-1.3	19.8	-0.01
5	SLU 15	383	2	2566	-1.36	19.74	-0.01



Nodo Ind.	Cont. N.br.	Reazione a traslazione			Reazione a rotazione		
		x	y	z	x	y	z
5	SLU 16	384	2	2569	-1.3	19.8	-0.01
5	SLU 17	383	2	2566	-1.36	19.74	-0.01
5	SLU 18	432	2	2755	-1.42	21.89	-0.01
5	SLU 19	431	2	2752	-1.48	21.83	-0.01
5	SLU 20	432	2	2755	-1.42	21.89	-0.01
5	SLU 21	431	2	2752	-1.48	21.83	-0.01
5	SLU 22	329	2	2357	-1.16	17.41	-0.01
5	SLU 23	328	2	2352	-1.27	17.31	-0.01
5	SLU 24	329	2	2357	-1.16	17.41	-0.01
5	SLU 25	328	2	2354	-1.23	17.35	-0.01
5	SLU 26	328	2	2352	-1.27	17.31	-0.01
5	SLU 27	329	2	2357	-1.16	17.41	-0.01
5	SLU 28	328	2	2354	-1.23	17.35	-0.01
5	SLU 29	329	2	2357	-1.16	17.41	-0.01
5	SLU 30	328	2	2354	-1.23	17.35	-0.01
5	SLU 31	440	2	2786	-1.55	22.19	-0.01
5	SLU 32	441	2	2791	-1.44	22.3	-0.01
5	SLU 33	440	2	2788	-1.51	22.23	-0.01
5	SLU 34	440	2	2786	-1.55	22.19	-0.01
5	SLU 35	441	2	2791	-1.44	22.3	-0.01
5	SLU 36	440	2	2788	-1.51	22.23	-0.01
5	SLU 37	441	2	2791	-1.44	22.3	-0.01
5	SLU 38	440	2	2788	-1.51	22.23	-0.01
5	SLU 39	489	2	2977	-1.56	24.39	-0.01
5	SLU 40	488	2	2974	-1.63	24.33	-0.02
5	SLU 41	489	2	2977	-1.56	24.39	-0.01
5	SLU 42	488	2	2974	-1.63	24.33	-0.02
5	SLU 43	334	2	2700	-1.27	18.53	-0.01
5	SLU 44	333	2	2695	-1.38	18.43	-0.01
5	SLU 45	334	2	2700	-1.27	18.53	-0.01
5	SLU 46	333	2	2697	-1.34	18.47	-0.01
5	SLU 47	333	2	2695	-1.38	18.43	-0.01
5	SLU 48	334	2	2700	-1.27	18.53	-0.01
5	SLU 49	333	2	2697	-1.34	18.47	-0.01
5	SLU 50	334	2	2700	-1.27	18.53	-0.01
5	SLU 51	333	2	2697	-1.34	18.47	-0.01
5	SLU 52	445	2	3128	-1.66	23.31	-0.02
5	SLU 53	446	2	3134	-1.56	23.42	-0.02
5	SLU 54	445	2	3130	-1.62	23.36	-0.02
5	SLU 55	445	2	3128	-1.66	23.31	-0.02
5	SLU 56	446	2	3134	-1.56	23.42	-0.02
5	SLU 57	445	2	3130	-1.62	23.36	-0.02
5	SLU 58	446	2	3134	-1.56	23.42	-0.02
5	SLU 59	445	2	3130	-1.62	23.36	-0.02
5	SLU 60	493	2	3320	-1.68	25.51	-0.02
5	SLU 61	493	2	3316	-1.74	25.45	-0.02
5	SLU 62	493	2	3320	-1.68	25.51	-0.02
5	SLU 63	493	2	3316	-1.74	25.45	-0.02
5	SLU 64	391	2	2922	-1.42	21.03	-0.01
5	SLU 65	390	2	2916	-1.52	20.93	-0.02
5	SLU 66	391	2	2922	-1.42	21.03	-0.01
5	SLU 67	390	2	2918	-1.48	20.97	-0.01
5	SLU 68	390	2	2916	-1.52	20.93	-0.02
5	SLU 69	391	2	2922	-1.42	21.03	-0.01
5	SLU 70	390	2	2918	-1.48	20.97	-0.01
5	SLU 71	391	2	2922	-1.42	21.03	-0.01
5	SLU 72	390	2	2918	-1.48	20.97	-0.01
5	SLU 73	502	3	3350	-1.81	25.81	-0.02
5	SLU 74	503	2	3355	-1.7	25.92	-0.02
5	SLU 75	502	3	3352	-1.76	25.85	-0.02
5	SLU 76	502	3	3350	-1.81	25.81	-0.02
5	SLU 77	503	2	3355	-1.7	25.92	-0.02
5	SLU 78	502	3	3352	-1.76	25.85	-0.02
5	SLU 79	503	2	3355	-1.7	25.92	-0.02
5	SLU 80	502	3	3352	-1.76	25.85	-0.02
5	SLU 81	551	3	3541	-1.82	28.01	-0.02
5	SLU 82	550	3	3538	-1.88	27.95	-0.02
5	SLU 83	551	3	3541	-1.82	28.01	-0.02
5	SLU 84	550	3	3538	-1.88	27.95	-0.02
5	SLE RA 1	288	2	2199	-1.06	15.63	-0.01
5	SLE RA 2	288	2	2195	-1.13	15.56	-0.01
5	SLE RA 3	288	2	2199	-1.06	15.63	-0.01
5	SLE RA 4	288	2	2197	-1.1	15.59	-0.01
5	SLE RA 5	288	2	2195	-1.13	15.56	-0.01
5	SLE RA 6	288	2	2199	-1.06	15.63	-0.01
5	SLE RA 7	288	2	2197	-1.1	15.59	-0.01
5	SLE RA 8	288	2	2199	-1.06	15.63	-0.01
5	SLE RA 9	288	2	2197	-1.1	15.59	-0.01
5	SLE RA 10	362	2	2484	-1.32	18.82	-0.01
5	SLE RA 11	363	2	2488	-1.25	18.89	-0.01
5	SLE RA 12	362	2	2486	-1.29	18.84	-0.01
5	SLE RA 13	362	2	2484	-1.32	18.82	-0.01
5	SLE RA 14	363	2	2488	-1.25	18.89	-0.01
5	SLE RA 15	362	2	2486	-1.29	18.84	-0.01
5	SLE RA 16	363	2	2488	-1.25	18.89	-0.01
5	SLE RA 17	362	2	2486	-1.29	18.84	-0.01
5	SLE RA 18	395	2	2612	-1.33	20.28	-0.01
5	SLE RA 19	394	2	2610	-1.37	20.24	-0.01



Nodo Ind.	Cont. N.br.	Reazione a traslazione			Reazione a rotazione		
		x	y	z	x	y	z
5	SLE RA 20	395	2	2612	-1.33	20.28	-0.01
5	SLE RA 21	394	2	2610	-1.37	20.24	-0.01
5	SLE FR 1	288	2	2199	-1.06	15.63	-0.01
5	SLE FR 2	288	2	2198	-1.07	15.61	-0.01
5	SLE FR 3	288	2	2199	-1.06	15.63	-0.01
5	SLE FR 4	320	2	2322	-1.15	17.01	-0.01
5	SLE FR 5	320	2	2323	-1.14	17.02	-0.01
5	SLE FR 6	341	2	2405	-1.19	17.95	-0.01
5	SLE QP 1	288	2	2199	-1.06	15.63	-0.01
5	SLE QP 2	320	2	2323	-1.14	17.02	-0.01
5	SLD 1	520	-2	2475	2.03	25.44	0.01
5	SLD 2	520	-2	2475	2.03	25.44	0.01
5	SLD 3	484	-15	2354	12	23.87	0.08
5	SLD 4	484	-15	2354	12	23.87	0.08
5	SLD 5	434	20	2551	-15.31	21.92	-0.12
5	SLD 6	434	20	2551	-15.31	21.92	-0.12
5	SLD 7	316	-23	2150	17.92	16.7	0.13
5	SLD 8	316	-23	2150	17.92	16.7	0.13
5	SLD 9	324	26	2496	-20.2	17.35	-0.15
5	SLD 10	324	26	2496	-20.2	17.35	-0.15
5	SLD 11	206	-17	2094	13.03	12.12	0.1
5	SLD 12	206	-17	2094	13.03	12.12	0.1
5	SLD 13	156	18	2291	-14.28	10.18	-0.11
5	SLD 14	156	18	2291	-14.28	10.18	-0.11
5	SLD 15	120	6	2171	-4.31	8.61	-0.03
5	SLD 16	120	6	2171	-4.31	8.61	-0.03
5	SLV 1	792	-9	2681	7.75	36.97	0.04
5	SLV 2	792	-9	2681	7.75	36.97	0.04
5	SLV 3	708	-40	2398	31.32	33.19	0.22
5	SLV 4	708	-40	2398	31.32	33.19	0.22
5	SLV 5	589	44	2859	-34.22	28.74	-0.27
5	SLV 6	589	44	2859	-34.22	28.74	-0.27
5	SLV 7	309	-57	1916	44.35	16.14	0.33
5	SLV 8	309	-57	1916	44.35	16.14	0.33
5	SLV 9	331	60	2729	-46.63	17.9	-0.35
5	SLV 10	331	60	2729	-46.63	17.9	-0.35
5	SLV 11	51	-41	1786	31.94	5.31	0.24
5	SLV 12	51	-41	1786	31.94	5.31	0.24
5	SLV 13	-68	43	2247	-33.6	0.86	-0.24
5	SLV 14	-68	43	2247	-33.6	0.86	-0.24
5	SLV 15	-152	13	1964	-10.03	-2.92	-0.06
5	SLV 16	-152	13	1964	-10.03	-2.92	-0.06
6	SLU 1	194	1	2130	-0.68	5.44	0
6	SLU 2	195	1	2125	-0.77	5.57	-0.01
6	SLU 3	194	1	2130	-0.68	5.44	0
6	SLU 4	195	1	2127	-0.74	5.52	0
6	SLU 5	195	1	2125	-0.77	5.57	-0.01
6	SLU 6	194	1	2130	-0.68	5.44	0
6	SLU 7	195	1	2127	-0.74	5.52	0
6	SLU 8	194	1	2130	-0.68	5.44	0
6	SLU 9	195	1	2127	-0.74	5.52	0
6	SLU 10	300	1	2592	-1.01	9.54	-0.01
6	SLU 11	298	1	2597	-0.92	9.42	-0.01
6	SLU 12	299	1	2594	-0.97	9.49	-0.01
6	SLU 13	300	1	2592	-1.01	9.54	-0.01
6	SLU 14	298	1	2597	-0.92	9.42	-0.01
6	SLU 15	299	1	2594	-0.97	9.49	-0.01
6	SLU 16	298	1	2597	-0.92	9.42	-0.01
6	SLU 17	299	1	2594	-0.97	9.49	-0.01
6	SLU 18	343	1	2797	-1.02	11.13	-0.01
6	SLU 19	344	1	2794	-1.07	11.2	-0.01
6	SLU 20	343	1	2797	-1.02	11.13	-0.01
6	SLU 21	344	1	2794	-1.07	11.2	-0.01
6	SLU 22	247	1	2369	-0.8	7.48	-0.01
6	SLU 23	249	1	2364	-0.89	7.6	-0.01
6	SLU 24	247	1	2369	-0.8	7.48	-0.01
6	SLU 25	248	1	2366	-0.86	7.55	-0.01
6	SLU 26	249	1	2364	-0.89	7.6	-0.01
6	SLU 27	247	1	2369	-0.8	7.48	-0.01
6	SLU 28	248	1	2366	-0.86	7.55	-0.01
6	SLU 29	247	1	2369	-0.8	7.48	-0.01
6	SLU 30	248	1	2366	-0.86	7.55	-0.01
6	SLU 31	353	1	2831	-1.13	11.58	-0.01
6	SLU 32	352	1	2836	-1.04	11.46	-0.01
6	SLU 33	353	1	2833	-1.09	11.53	-0.01
6	SLU 34	353	1	2831	-1.13	11.58	-0.01
6	SLU 35	352	1	2836	-1.04	11.46	-0.01
6	SLU 36	353	1	2833	-1.09	11.53	-0.01
6	SLU 37	352	1	2836	-1.04	11.46	-0.01
6	SLU 38	353	1	2833	-1.09	11.53	-0.01
6	SLU 39	397	1	3036	-1.14	13.16	-0.01
6	SLU 40	398	1	3033	-1.19	13.23	-0.01
6	SLU 41	397	1	3036	-1.14	13.16	-0.01
6	SLU 42	398	1	3033	-1.19	13.23	-0.01
6	SLU 43	234	1	2687	-0.85	6.38	-0.01
6	SLU 44	235	1	2682	-0.94	6.5	-0.01
6	SLU 45	234	1	2687	-0.85	6.38	-0.01
6	SLU 46	234	1	2684	-0.9	6.45	-0.01



Nodo Ind.	Cont. N.br.	Reazione a traslazione			Reazione a rotazione		
		x	y	z	x	y	z
6	SLU 47	235	1	2682	-0.94	6.5	-0.01
6	SLU 48	234	1	2687	-0.85	6.38	-0.01
6	SLU 49	234	1	2684	-0.9	6.45	-0.01
6	SLU 50	234	1	2687	-0.85	6.38	-0.01
6	SLU 51	234	1	2684	-0.9	6.45	-0.01
6	SLU 52	340	1	3149	-1.17	10.48	-0.01
6	SLU 53	338	1	3154	-1.08	10.36	-0.01
6	SLU 54	339	1	3151	-1.14	10.43	-0.01
6	SLU 55	340	1	3149	-1.17	10.48	-0.01
6	SLU 56	338	1	3154	-1.08	10.36	-0.01
6	SLU 57	339	1	3151	-1.14	10.43	-0.01
6	SLU 58	338	1	3154	-1.08	10.36	-0.01
6	SLU 59	339	1	3151	-1.14	10.43	-0.01
6	SLU 60	383	1	3354	-1.18	12.06	-0.01
6	SLU 61	384	1	3351	-1.24	12.14	-0.01
6	SLU 62	383	1	3354	-1.18	12.06	-0.01
6	SLU 63	384	1	3351	-1.24	12.14	-0.01
6	SLU 64	287	1	2926	-0.97	8.41	-0.01
6	SLU 65	289	1	2921	-1.05	8.54	-0.01
6	SLU 66	287	1	2926	-0.97	8.41	-0.01
6	SLU 67	288	1	2923	-1.02	8.49	-0.01
6	SLU 68	289	1	2921	-1.05	8.54	-0.01
6	SLU 69	287	1	2926	-0.97	8.41	-0.01
6	SLU 70	288	1	2923	-1.02	8.49	-0.01
6	SLU 71	287	1	2926	-0.97	8.41	-0.01
6	SLU 72	288	1	2923	-1.02	8.49	-0.01
6	SLU 73	393	1	3388	-1.29	12.51	-0.01
6	SLU 74	392	1	3393	-1.2	12.39	-0.01
6	SLU 75	393	1	3390	-1.26	12.46	-0.01
6	SLU 76	393	1	3388	-1.29	12.51	-0.01
6	SLU 77	392	1	3393	-1.2	12.39	-0.01
6	SLU 78	393	1	3390	-1.26	12.46	-0.01
6	SLU 79	392	1	3393	-1.2	12.39	-0.01
6	SLU 80	393	1	3390	-1.26	12.46	-0.01
6	SLU 81	437	1	3593	-1.3	14.1	-0.01
6	SLU 82	438	1	3590	-1.36	14.17	-0.01
6	SLU 83	437	1	3593	-1.3	14.1	-0.01
6	SLU 84	438	1	3590	-1.36	14.17	-0.01
6	SLE RA 1	209	1	2198	-0.72	6.03	0
6	SLE RA 2	210	1	2195	-0.78	6.11	-0.01
6	SLE RA 3	209	1	2198	-0.72	6.03	0
6	SLE RA 4	210	1	2196	-0.75	6.07	0
6	SLE RA 5	210	1	2195	-0.78	6.11	-0.01
6	SLE RA 6	209	1	2198	-0.72	6.03	0
6	SLE RA 7	210	1	2196	-0.75	6.07	0
6	SLE RA 8	209	1	2198	-0.72	6.03	0
6	SLE RA 9	210	1	2196	-0.75	6.07	0
6	SLE RA 10	280	1	2506	-0.93	8.76	-0.01
6	SLE RA 11	279	1	2510	-0.88	8.68	-0.01
6	SLE RA 12	279	1	2507	-0.91	8.73	-0.01
6	SLE RA 13	280	1	2506	-0.93	8.76	-0.01
6	SLE RA 14	279	1	2510	-0.88	8.68	-0.01
6	SLE RA 15	279	1	2507	-0.91	8.73	-0.01
6	SLE RA 16	279	1	2510	-0.88	8.68	-0.01
6	SLE RA 17	279	1	2507	-0.91	8.73	-0.01
6	SLE RA 18	309	1	2643	-0.94	9.81	-0.01
6	SLE RA 19	309	1	2641	-0.98	9.86	-0.01
6	SLE RA 20	309	1	2643	-0.94	9.81	-0.01
6	SLE RA 21	309	1	2641	-0.98	9.86	-0.01
6	SLE FR 1	209	1	2198	-0.72	6.03	0
6	SLE FR 2	209	1	2198	-0.73	6.04	0
6	SLE FR 3	209	1	2198	-0.72	6.03	0
6	SLE FR 4	239	1	2331	-0.8	7.18	-0.01
6	SLE FR 5	239	1	2332	-0.79	7.16	-0.01
6	SLE FR 6	259	1	2421	-0.83	7.92	-0.01
6	SLE QP 1	209	1	2198	-0.72	6.03	0
6	SLE QP 2	239	1	2332	-0.79	7.16	-0.01
6	SLD 1	455	-19	2463	3.75	16.54	0.03
6	SLD 2	455	-19	2463	3.75	16.54	0.03
6	SLD 3	412	-7	2336	13.28	14.65	0.09
6	SLD 4	412	-7	2336	13.28	14.65	0.09
6	SLD 5	369	-23	2565	-13.87	12.83	-0.1
6	SLD 6	369	-23	2565	-13.87	12.83	-0.1
6	SLD 7	225	16	2140	17.88	6.55	0.13
6	SLD 8	225	16	2140	17.88	6.55	0.13
6	SLD 9	252	-15	2524	-19.45	7.77	-0.14
6	SLD 10	252	-15	2524	-19.45	7.77	-0.14
6	SLD 11	109	24	2099	12.3	1.49	0.09
6	SLD 12	109	24	2099	12.3	1.49	0.09
6	SLD 13	66	8	2327	-14.85	-0.33	-0.1
6	SLD 14	66	8	2327	-14.85	-0.33	-0.1
6	SLD 15	23	20	2200	-5.33	-2.21	-0.04
6	SLD 16	23	20	2200	-5.33	-2.21	-0.04
6	SLV 1	748	-47	2642	11.56	29.31	0.08
6	SLV 2	748	-47	2642	11.56	29.31	0.08
6	SLV 3	647	-20	2343	34.14	24.86	0.24
6	SLV 4	647	-20	2343	34.14	24.86	0.24
6	SLV 5	545	-56	2879	-31.34	20.56	-0.22



Nodo Ind.	Cont. N.br.	Reazione a traslazione			Reazione a rotazione		
		x	y	z	x	y	z
6	SLV 6	545	-56	2879	-31.34	20.56	-0.22
6	SLV 7	208	37	1881	43.94	5.72	0.31
6	SLV 8	208	37	1881	43.94	5.72	0.31
6	SLV 9	270	-35	2782	-45.52	8.6	-0.32
6	SLV 10	270	-35	2782	-45.52	8.6	-0.32
6	SLV 11	-68	57	1785	29.76	-6.23	0.21
6	SLV 12	-68	57	1785	29.76	-6.23	0.21
6	SLV 13	-169	21	2321	-35.71	-10.54	-0.25
6	SLV 14	-169	21	2321	-35.71	-10.54	-0.25
6	SLV 15	-271	49	2021	-13.13	-14.99	-0.09
6	SLV 16	-271	49	2021	-13.13	-14.99	-0.09
7	SLU 1	228	0	2163	-0.49	11.42	0
7	SLU 2	229	0	2159	-0.54	11.4	0
7	SLU 3	228	0	2163	-0.49	11.42	0
7	SLU 4	229	0	2160	-0.52	11.41	0
7	SLU 5	229	0	2159	-0.54	11.4	0
7	SLU 6	228	0	2163	-0.49	11.42	0
7	SLU 7	229	0	2160	-0.52	11.41	0
7	SLU 8	228	0	2163	-0.49	11.42	0
7	SLU 9	229	0	2160	-0.52	11.41	0
7	SLU 10	332	0	2671	-0.73	15.68	-0.01
7	SLU 11	331	0	2675	-0.68	15.7	-0.01
7	SLU 12	332	0	2673	-0.71	15.69	-0.01
7	SLU 13	332	0	2671	-0.73	15.68	-0.01
7	SLU 14	331	0	2675	-0.68	15.7	-0.01
7	SLU 15	332	0	2673	-0.71	15.69	-0.01
7	SLU 16	331	0	2675	-0.68	15.7	-0.01
7	SLU 17	332	0	2673	-0.71	15.69	-0.01
7	SLU 18	376	0	2894	-0.76	17.54	-0.01
7	SLU 19	376	0	2892	-0.79	17.53	-0.01
7	SLU 20	376	0	2894	-0.76	17.54	-0.01
7	SLU 21	376	0	2892	-0.79	17.53	-0.01
7	SLU 22	281	0	2425	-0.58	13.61	0
7	SLU 23	282	0	2421	-0.64	13.59	0
7	SLU 24	281	0	2425	-0.58	13.61	0
7	SLU 25	281	0	2422	-0.62	13.6	0
7	SLU 26	282	0	2421	-0.64	13.59	0
7	SLU 27	281	0	2425	-0.58	13.61	0
7	SLU 28	281	0	2422	-0.62	13.6	0
7	SLU 29	281	0	2425	-0.58	13.61	0
7	SLU 30	281	0	2422	-0.62	13.6	0
7	SLU 31	385	0	2933	-0.83	17.87	-0.01
7	SLU 32	384	0	2937	-0.78	17.89	-0.01
7	SLU 33	385	0	2934	-0.81	17.88	-0.01
7	SLU 34	385	0	2933	-0.83	17.87	-0.01
7	SLU 35	384	0	2937	-0.78	17.89	-0.01
7	SLU 36	385	0	2934	-0.81	17.88	-0.01
7	SLU 37	384	0	2937	-0.78	17.89	-0.01
7	SLU 38	385	0	2934	-0.81	17.88	-0.01
7	SLU 39	428	0	3156	-0.86	19.73	-0.01
7	SLU 40	429	0	3154	-0.89	19.72	-0.01
7	SLU 41	428	0	3156	-0.86	19.73	-0.01
7	SLU 42	429	0	3154	-0.89	19.72	-0.01
7	SLU 43	278	0	2722	-0.6	14.1	-0.01
7	SLU 44	279	0	2718	-0.65	14.08	-0.01
7	SLU 45	278	0	2722	-0.6	14.1	-0.01
7	SLU 46	279	0	2720	-0.63	14.08	-0.01
7	SLU 47	279	0	2718	-0.65	14.08	-0.01
7	SLU 48	278	0	2722	-0.6	14.1	-0.01
7	SLU 49	279	0	2720	-0.63	14.08	-0.01
7	SLU 50	278	0	2722	-0.6	14.1	-0.01
7	SLU 51	279	0	2720	-0.63	14.08	-0.01
7	SLU 52	382	0	3230	-0.85	18.36	-0.01
7	SLU 53	382	0	3234	-0.79	18.38	-0.01
7	SLU 54	382	0	3232	-0.82	18.37	-0.01
7	SLU 55	382	0	3230	-0.85	18.36	-0.01
7	SLU 56	382	0	3234	-0.79	18.38	-0.01
7	SLU 57	382	0	3232	-0.82	18.37	-0.01
7	SLU 58	382	0	3234	-0.79	18.38	-0.01
7	SLU 59	382	0	3232	-0.82	18.37	-0.01
7	SLU 60	426	0	3454	-0.87	20.21	-0.01
7	SLU 61	426	0	3451	-0.91	20.2	-0.01
7	SLU 62	426	0	3454	-0.87	20.21	-0.01
7	SLU 63	426	0	3451	-0.91	20.2	-0.01
7	SLU 64	331	0	2984	-0.7	16.28	-0.01
7	SLU 65	332	0	2980	-0.75	16.27	-0.01
7	SLU 66	331	0	2984	-0.7	16.28	-0.01
7	SLU 67	332	0	2981	-0.73	16.27	-0.01
7	SLU 68	332	0	2980	-0.75	16.27	-0.01
7	SLU 69	331	0	2984	-0.7	16.28	-0.01
7	SLU 70	332	0	2981	-0.73	16.27	-0.01
7	SLU 71	331	0	2984	-0.7	16.28	-0.01
7	SLU 72	332	0	2981	-0.73	16.27	-0.01
7	SLU 73	435	0	3492	-0.94	20.55	-0.01
7	SLU 74	434	0	3496	-0.89	20.57	-0.01
7	SLU 75	435	0	3493	-0.92	20.56	-0.01
7	SLU 76	435	0	3492	-0.94	20.55	-0.01
7	SLU 77	434	0	3496	-0.89	20.57	-0.01



Nodo Ind.	Cont. N.br.	Reazione a traslazione			Reazione a rotazione		
		x	y	z	x	y	z
7	SLU 78	435	0	3493	-0.92	20.56	-0.01
7	SLU 79	434	0	3496	-0.89	20.57	-0.01
7	SLU 80	435	0	3493	-0.92	20.56	-0.01
7	SLU 81	479	0	3715	-0.97	22.4	-0.01
7	SLU 82	479	0	3713	-1	22.39	-0.01
7	SLU 83	479	0	3715	-0.97	22.4	-0.01
7	SLU 84	479	0	3713	-1	22.39	-0.01
7	SLE RA 1	243	0	2238	-0.51	12.05	0
7	SLE RA 2	244	0	2235	-0.55	12.03	0
7	SLE RA 3	243	0	2238	-0.51	12.05	0
7	SLE RA 4	243	0	2236	-0.54	12.04	0
7	SLE RA 5	244	0	2235	-0.55	12.03	0
7	SLE RA 6	243	0	2238	-0.51	12.05	0
7	SLE RA 7	243	0	2236	-0.54	12.04	0
7	SLE RA 8	243	0	2238	-0.51	12.05	0
7	SLE RA 9	243	0	2236	-0.54	12.04	0
7	SLE RA 10	313	0	2576	-0.68	14.89	-0.01
7	SLE RA 11	312	0	2579	-0.64	14.9	-0.01
7	SLE RA 12	312	0	2577	-0.66	14.89	-0.01
7	SLE RA 13	313	0	2576	-0.68	14.89	-0.01
7	SLE RA 14	312	0	2579	-0.64	14.9	-0.01
7	SLE RA 15	312	0	2577	-0.66	14.89	-0.01
7	SLE RA 16	312	0	2579	-0.64	14.9	-0.01
7	SLE RA 17	312	0	2577	-0.66	14.89	-0.01
7	SLE RA 18	342	0	2725	-0.7	16.12	-0.01
7	SLE RA 19	342	0	2724	-0.72	16.12	-0.01
7	SLE RA 20	342	0	2725	-0.7	16.12	-0.01
7	SLE RA 21	342	0	2724	-0.72	16.12	-0.01
7	SLE FR 1	243	0	2238	-0.51	12.05	0
7	SLE FR 2	243	0	2237	-0.52	12.04	0
7	SLE FR 3	243	0	2238	-0.51	12.05	0
7	SLE FR 4	273	0	2383	-0.58	13.27	0
7	SLE FR 5	273	0	2384	-0.57	13.27	0
7	SLE FR 6	292	0	2481	-0.61	14.08	0
7	SLE QP 1	243	0	2238	-0.51	12.05	0
7	SLE QP 2	273	0	2384	-0.57	13.27	0
7	SLD 1	487	-17	2531	4.33	22	0.02
7	SLD 2	487	-17	2531	4.33	22	0.02
7	SLD 3	438	-10	2373	11.31	20.23	0.06
7	SLD 4	438	-10	2373	11.31	20.23	0.06
7	SLD 5	412	-16	2669	-9.68	18.56	-0.05
7	SLD 6	412	-16	2669	-9.68	18.56	-0.05
7	SLD 7	247	8	2140	13.57	12.69	0.07
7	SLD 8	247	8	2140	13.57	12.69	0.07
7	SLD 9	298	-8	2627	-14.71	13.85	-0.08
7	SLD 10	298	-8	2627	-14.71	13.85	-0.08
7	SLD 11	134	16	2099	8.54	7.98	0.04
7	SLD 12	134	16	2099	8.54	7.98	0.04
7	SLD 13	107	10	2395	-12.45	6.3	-0.07
7	SLD 14	107	10	2395	-12.45	6.3	-0.07
7	SLD 15	58	17	2236	-5.47	4.54	-0.03
7	SLD 16	58	17	2236	-5.47	4.54	-0.03
7	SLV 1	779	-44	2733	12.46	33.88	0.07
7	SLV 2	779	-44	2733	12.46	33.88	0.07
7	SLV 3	663	-26	2361	29.08	29.73	0.15
7	SLV 4	663	-26	2361	29.08	29.73	0.15
7	SLV 5	600	-40	3053	-21.87	25.75	-0.11
7	SLV 6	600	-40	3053	-21.87	25.75	-0.11
7	SLV 7	214	19	1813	33.54	11.91	0.17
7	SLV 8	214	19	1813	33.54	11.91	0.17
7	SLV 9	331	-19	2955	-34.68	14.63	-0.18
7	SLV 10	331	-19	2955	-34.68	14.63	-0.18
7	SLV 11	-55	40	1715	20.74	0.79	0.1
7	SLV 12	-55	40	1715	20.74	0.79	0.1
7	SLV 13	-118	26	2407	-30.22	-3.2	-0.16
7	SLV 14	-118	26	2407	-30.22	-3.2	-0.16
7	SLV 15	-234	44	2035	-13.6	-7.35	-0.08
7	SLV 16	-234	44	2035	-13.6	-7.35	-0.08
8	SLU 1	155	1	2226	-0.58	4.39	0
8	SLU 2	157	1	2223	-0.61	4.5	0
8	SLU 3	155	1	2226	-0.58	4.39	0
8	SLU 4	156	1	2224	-0.6	4.46	0
8	SLU 5	157	1	2223	-0.61	4.5	0
8	SLU 6	155	1	2226	-0.58	4.39	0
8	SLU 7	156	1	2224	-0.6	4.46	0
8	SLU 8	155	1	2226	-0.58	4.39	0
8	SLU 9	156	1	2224	-0.6	4.46	0
8	SLU 10	244	1	2785	-0.81	7.73	0.01
8	SLU 11	242	1	2788	-0.78	7.62	0.01
8	SLU 12	243	1	2786	-0.8	7.68	0.01
8	SLU 13	244	1	2785	-0.81	7.73	0.01
8	SLU 14	242	1	2788	-0.78	7.62	0.01
8	SLU 15	243	1	2786	-0.8	7.68	0.01
8	SLU 16	242	1	2788	-0.78	7.62	0.01
8	SLU 17	243	1	2786	-0.8	7.68	0.01
8	SLU 18	279	1	3028	-0.87	9	0.01
8	SLU 19	280	1	3027	-0.88	9.07	0.01
8	SLU 20	279	1	3028	-0.87	9	0.01



Nodo Ind.	Cont. N.br.	Reazione a traslazione			Reazione a rotazione		
		x	y	z	x	y	z
8	SLU 21	280	1	3027	-0.88	9.07	0.01
8	SLU 22	199	1	2513	-0.69	6.04	0.01
8	SLU 23	201	1	2510	-0.71	6.15	0.01
8	SLU 24	199	1	2513	-0.69	6.04	0.01
8	SLU 25	201	1	2511	-0.7	6.11	0.01
8	SLU 26	201	1	2510	-0.71	6.15	0.01
8	SLU 27	199	1	2513	-0.69	6.04	0.01
8	SLU 28	201	1	2511	-0.7	6.11	0.01
8	SLU 29	199	1	2513	-0.69	6.04	0.01
8	SLU 30	201	1	2511	-0.7	6.11	0.01
8	SLU 31	288	1	3072	-0.91	9.38	0.01
8	SLU 32	286	1	3075	-0.88	9.27	0.01
8	SLU 33	287	1	3073	-0.9	9.33	0.01
8	SLU 34	288	1	3072	-0.91	9.38	0.01
8	SLU 35	286	1	3075	-0.88	9.27	0.01
8	SLU 36	287	1	3073	-0.9	9.33	0.01
8	SLU 37	286	1	3075	-0.88	9.27	0.01
8	SLU 38	287	1	3073	-0.9	9.33	0.01
8	SLU 39	323	1	3316	-0.97	10.65	0.01
8	SLU 40	324	1	3314	-0.98	10.72	0.01
8	SLU 41	323	1	3316	-0.97	10.65	0.01
8	SLU 42	324	1	3314	-0.98	10.72	0.01
8	SLU 43	187	1	2796	-0.72	5.14	0.01
8	SLU 44	188	1	2793	-0.75	5.25	0.01
8	SLU 45	187	1	2796	-0.72	5.14	0.01
8	SLU 46	188	1	2794	-0.74	5.21	0.01
8	SLU 47	188	1	2793	-0.75	5.25	0.01
8	SLU 48	187	1	2796	-0.72	5.14	0.01
8	SLU 49	188	1	2794	-0.74	5.21	0.01
8	SLU 50	187	1	2796	-0.72	5.14	0.01
8	SLU 51	188	1	2794	-0.74	5.21	0.01
8	SLU 52	275	1	3354	-0.95	8.48	0.01
8	SLU 53	273	1	3357	-0.92	8.37	0.01
8	SLU 54	274	1	3355	-0.94	8.43	0.01
8	SLU 55	275	1	3354	-0.95	8.48	0.01
8	SLU 56	273	1	3357	-0.92	8.37	0.01
8	SLU 57	274	1	3355	-0.94	8.43	0.01
8	SLU 58	273	1	3357	-0.92	8.37	0.01
8	SLU 59	274	1	3355	-0.94	8.43	0.01
8	SLU 60	310	2	3598	-1.01	9.75	0.01
8	SLU 61	311	2	3596	-1.02	9.82	0.01
8	SLU 62	310	2	3598	-1.01	9.75	0.01
8	SLU 63	311	2	3596	-1.02	9.82	0.01
8	SLU 64	231	1	3083	-0.83	6.79	0.01
8	SLU 65	233	1	3080	-0.85	6.9	0.01
8	SLU 66	231	1	3083	-0.83	6.79	0.01
8	SLU 67	232	1	3081	-0.84	6.86	0.01
8	SLU 68	233	1	3080	-0.85	6.9	0.01
8	SLU 69	231	1	3083	-0.83	6.79	0.01
8	SLU 70	232	1	3081	-0.84	6.86	0.01
8	SLU 71	231	1	3083	-0.83	6.79	0.01
8	SLU 72	232	1	3081	-0.84	6.86	0.01
8	SLU 73	319	2	3641	-1.05	10.13	0.01
8	SLU 74	317	2	3644	-1.02	10.02	0.01
8	SLU 75	319	2	3642	-1.04	10.08	0.01
8	SLU 76	319	2	3641	-1.05	10.13	0.01
8	SLU 77	317	2	3644	-1.02	10.02	0.01
8	SLU 78	319	2	3642	-1.04	10.08	0.01
8	SLU 79	317	2	3644	-1.02	10.02	0.01
8	SLU 80	319	2	3642	-1.04	10.08	0.01
8	SLU 81	355	2	3885	-1.11	11.4	0.01
8	SLU 82	356	2	3883	-1.12	11.47	0.01
8	SLU 83	355	2	3885	-1.11	11.4	0.01
8	SLU 84	356	2	3883	-1.12	11.47	0.01
8	SLE RA 1	168	1	2308	-0.61	4.86	0
8	SLE RA 2	169	1	2306	-0.63	4.94	0
8	SLE RA 3	168	1	2308	-0.61	4.86	0
8	SLE RA 4	169	1	2307	-0.62	4.91	0
8	SLE RA 5	169	1	2306	-0.63	4.94	0
8	SLE RA 6	168	1	2308	-0.61	4.86	0
8	SLE RA 7	169	1	2307	-0.62	4.91	0
8	SLE RA 8	168	1	2308	-0.61	4.86	0
8	SLE RA 9	169	1	2307	-0.62	4.91	0
8	SLE RA 10	227	1	2681	-0.76	7.09	0.01
8	SLE RA 11	226	1	2683	-0.74	7.01	0.01
8	SLE RA 12	226	1	2681	-0.76	7.06	0.01
8	SLE RA 13	227	1	2681	-0.76	7.09	0.01
8	SLE RA 14	226	1	2683	-0.74	7.01	0.01
8	SLE RA 15	226	1	2681	-0.76	7.06	0.01
8	SLE RA 16	226	1	2683	-0.74	7.01	0.01
8	SLE RA 17	226	1	2681	-0.76	7.06	0.01
8	SLE RA 18	250	1	2843	-0.8	7.93	0.01
8	SLE RA 19	251	1	2842	-0.81	7.98	0.01
8	SLE RA 20	250	1	2843	-0.8	7.93	0.01
8	SLE RA 21	251	1	2842	-0.81	7.98	0.01
8	SLE FR 1	168	1	2308	-0.61	4.86	0
8	SLE FR 2	168	1	2308	-0.62	4.88	0
8	SLE FR 3	168	1	2308	-0.61	4.86	0



Nodo Ind.	Cont. N.br.	Reazione a traslazione			Reazione a rotazione		
		x	y	z	x	y	z
8	SLE FR 4	193	1	2468	-0.67	5.8	0
8	SLE FR 5	193	1	2469	-0.67	5.78	0
8	SLE FR 6	209	1	2576	-0.71	6.4	0.01
8	SLE QP 1	168	1	2308	-0.61	4.86	0
8	SLE QP 2	193	1	2469	-0.67	5.78	0
8	SLD 1	412	-6	2484	2.51	14.99	0.04
8	SLD 2	412	-6	2484	2.51	14.99	0.04
8	SLD 3	352	-10	2249	6.25	12.82	0.03
8	SLD 4	352	-10	2249	6.25	12.82	0.03
8	SLD 5	349	5	2829	-5.38	11.83	0.04
8	SLD 6	349	5	2829	-5.38	11.83	0.04
8	SLD 7	150	-9	2047	7.07	4.61	-0.01
8	SLD 8	150	-9	2047	7.07	4.61	-0.01
8	SLD 9	235	11	2890	-8.41	6.96	0.02
8	SLD 10	235	11	2890	-8.41	6.96	0.02
8	SLD 11	37	-3	2109	4.04	-0.26	-0.03
8	SLD 12	37	-3	2109	4.04	-0.26	-0.03
8	SLD 13	33	13	2688	-7.59	-1.26	-0.02
8	SLD 14	33	13	2688	-7.59	-1.26	-0.02
8	SLD 15	-27	8	2454	-3.85	-3.42	-0.03
8	SLD 16	-27	8	2454	-3.85	-3.42	-0.03
8	SLV 1	710	-18	2496	7.72	27.52	0.1
8	SLV 2	710	-18	2496	7.72	27.52	0.1
8	SLV 3	571	-28	1946	16.64	22.42	0.06
8	SLV 4	571	-28	1946	16.64	22.42	0.06
8	SLV 5	560	11	3311	-11.69	20.05	0.08
8	SLV 6	560	11	3311	-11.69	20.05	0.08
8	SLV 7	94	-24	1477	18.06	3.03	-0.03
8	SLV 8	94	-24	1477	18.06	3.03	-0.03
8	SLV 9	291	26	3460	-19.4	8.53	0.04
8	SLV 10	291	26	3460	-19.4	8.53	0.04
8	SLV 11	-175	-9	1626	10.35	-8.48	-0.07
8	SLV 12	-175	-9	1626	10.35	-8.48	-0.07
8	SLV 13	-185	30	2991	-17.98	-10.86	-0.05
8	SLV 14	-185	30	2991	-17.98	-10.86	-0.05
8	SLV 15	-325	20	2441	-9.06	-15.96	-0.09
8	SLV 16	-325	20	2441	-9.06	-15.96	-0.09
9	SLU 1	127	133	2868	-3.77	6.67	-0.01
9	SLU 2	129	133	2866	-3.77	6.68	-0.01
9	SLU 3	127	133	2868	-3.77	6.67	-0.01
9	SLU 4	128	133	2866	-3.77	6.67	-0.01
9	SLU 5	129	133	2866	-3.77	6.68	-0.01
9	SLU 6	127	133	2868	-3.77	6.67	-0.01
9	SLU 7	128	133	2866	-3.77	6.67	-0.01
9	SLU 8	127	133	2868	-3.77	6.67	-0.01
9	SLU 9	128	133	2866	-3.77	6.67	-0.01
9	SLU 10	194	162	3612	-4.71	9.42	-0.01
9	SLU 11	193	162	3614	-4.71	9.41	-0.01
9	SLU 12	194	162	3613	-4.71	9.42	-0.01
9	SLU 13	194	162	3612	-4.71	9.42	-0.01
9	SLU 14	193	162	3614	-4.71	9.41	-0.01
9	SLU 15	194	162	3613	-4.71	9.42	-0.01
9	SLU 16	193	162	3614	-4.71	9.41	-0.01
9	SLU 17	194	162	3613	-4.71	9.42	-0.01
9	SLU 18	221	175	3934	-5.11	10.59	-0.01
9	SLU 19	222	175	3932	-5.11	10.59	-0.01
9	SLU 20	221	175	3934	-5.11	10.59	-0.01
9	SLU 21	222	175	3932	-5.11	10.59	-0.01
9	SLU 22	161	148	3249	-4.25	8.07	-0.01
9	SLU 23	162	148	3247	-4.25	8.08	-0.01
9	SLU 24	161	148	3249	-4.25	8.07	-0.01
9	SLU 25	162	148	3248	-4.25	8.08	-0.01
9	SLU 26	162	148	3247	-4.25	8.08	-0.01
9	SLU 27	161	148	3249	-4.25	8.07	-0.01
9	SLU 28	162	148	3248	-4.25	8.08	-0.01
9	SLU 29	161	148	3249	-4.25	8.07	-0.01
9	SLU 30	162	148	3248	-4.25	8.08	-0.01
9	SLU 31	228	177	3993	-5.19	10.82	-0.01
9	SLU 32	227	177	3995	-5.18	10.82	-0.01
9	SLU 33	227	177	3994	-5.19	10.82	-0.01
9	SLU 34	228	177	3993	-5.19	10.82	-0.01
9	SLU 35	227	177	3995	-5.18	10.82	-0.01
9	SLU 36	227	177	3994	-5.19	10.82	-0.01
9	SLU 37	227	177	3995	-5.18	10.82	-0.01
9	SLU 38	227	177	3994	-5.19	10.82	-0.01
9	SLU 39	255	189	4315	-5.59	11.99	-0.01
9	SLU 40	256	189	4314	-5.59	12	-0.01
9	SLU 41	255	189	4315	-5.59	11.99	-0.01
9	SLU 42	256	189	4314	-5.59	12	-0.01
9	SLU 43	154	168	3597	-4.74	8.19	-0.01
9	SLU 44	155	168	3595	-4.74	8.2	-0.01
9	SLU 45	154	168	3597	-4.74	8.19	-0.01
9	SLU 46	155	168	3596	-4.74	8.19	-0.01
9	SLU 47	155	168	3595	-4.74	8.2	-0.01
9	SLU 48	154	168	3597	-4.74	8.19	-0.01
9	SLU 49	155	168	3596	-4.74	8.19	-0.01
9	SLU 50	154	168	3597	-4.74	8.19	-0.01
9	SLU 51	155	168	3596	-4.74	8.19	-0.01



Nodo Ind.	Cont. N.br.	Reazione a traslazione			Reazione a rotazione		
		x	y	z	x	y	z
9	SLU 52	221	197	4341	-5.68	10.94	-0.01
9	SLU 53	220	197	4343	-5.67	10.93	-0.01
9	SLU 54	221	197	4342	-5.67	10.94	-0.01
9	SLU 55	221	197	4341	-5.68	10.94	-0.01
9	SLU 56	220	197	4343	-5.67	10.93	-0.01
9	SLU 57	221	197	4342	-5.67	10.94	-0.01
9	SLU 58	220	197	4343	-5.67	10.93	-0.01
9	SLU 59	221	197	4342	-5.67	10.94	-0.01
9	SLU 60	248	209	4663	-6.07	12.11	-0.01
9	SLU 61	249	209	4662	-6.08	12.11	-0.01
9	SLU 62	248	209	4663	-6.07	12.11	-0.01
9	SLU 63	249	209	4662	-6.08	12.11	-0.01
9	SLU 64	188	183	3979	-5.22	9.59	-0.01
9	SLU 65	189	183	3977	-5.22	9.6	-0.01
9	SLU 66	188	183	3979	-5.22	9.59	-0.01
9	SLU 67	188	183	3977	-5.22	9.6	-0.01
9	SLU 68	189	183	3977	-5.22	9.6	-0.01
9	SLU 69	188	183	3979	-5.22	9.59	-0.01
9	SLU 70	188	183	3977	-5.22	9.6	-0.01
9	SLU 71	188	183	3979	-5.22	9.59	-0.01
9	SLU 72	188	183	3977	-5.22	9.6	-0.01
9	SLU 73	255	212	4723	-6.16	12.34	-0.01
9	SLU 74	254	212	4725	-6.15	12.33	-0.01
9	SLU 75	254	212	4724	-6.15	12.34	-0.01
9	SLU 76	255	212	4723	-6.16	12.34	-0.01
9	SLU 77	254	212	4725	-6.15	12.33	-0.01
9	SLU 78	254	212	4724	-6.15	12.34	-0.01
9	SLU 79	254	212	4725	-6.15	12.33	-0.01
9	SLU 80	254	212	4724	-6.15	12.34	-0.01
9	SLU 81	282	224	5045	-6.55	13.51	-0.01
9	SLU 82	282	224	5043	-6.55	13.52	-0.01
9	SLU 83	282	224	5045	-6.55	13.51	-0.01
9	SLU 84	282	224	5043	-6.55	13.52	-0.01
9	SLE RA 1	137	137	2977	-3.91	7.07	-0.01
9	SLE RA 2	138	137	2975	-3.91	7.07	-0.01
9	SLE RA 3	137	137	2977	-3.91	7.07	-0.01
9	SLE RA 4	137	137	2976	-3.91	7.07	-0.01
9	SLE RA 5	138	137	2975	-3.91	7.07	-0.01
9	SLE RA 6	137	137	2977	-3.91	7.07	-0.01
9	SLE RA 7	137	137	2976	-3.91	7.07	-0.01
9	SLE RA 8	137	137	2977	-3.91	7.07	-0.01
9	SLE RA 9	137	137	2976	-3.91	7.07	-0.01
9	SLE RA 10	182	157	3473	-4.53	8.9	-0.01
9	SLE RA 11	181	157	3474	-4.53	8.9	-0.01
9	SLE RA 12	181	157	3473	-4.53	8.9	-0.01
9	SLE RA 13	182	157	3473	-4.53	8.9	-0.01
9	SLE RA 14	181	157	3474	-4.53	8.9	-0.01
9	SLE RA 15	181	157	3473	-4.53	8.9	-0.01
9	SLE RA 16	181	157	3474	-4.53	8.9	-0.01
9	SLE RA 17	181	157	3473	-4.53	8.9	-0.01
9	SLE RA 18	200	165	3687	-4.8	9.68	-0.01
9	SLE RA 19	200	165	3686	-4.8	9.69	-0.01
9	SLE RA 20	200	165	3687	-4.8	9.68	-0.01
9	SLE RA 21	200	165	3686	-4.8	9.69	-0.01
9	SLE FR 1	137	137	2977	-3.91	7.07	-0.01
9	SLE FR 2	137	137	2976	-3.91	7.07	-0.01
9	SLE FR 3	137	137	2977	-3.91	7.07	-0.01
9	SLE FR 4	156	146	3190	-4.17	7.85	-0.01
9	SLE FR 5	156	146	3190	-4.17	7.85	-0.01
9	SLE FR 6	168	151	3332	-4.35	8.38	-0.01
9	SLE QP 1	137	137	2977	-3.91	7.07	-0.01
9	SLE QP 2	156	146	3190	-4.17	7.85	-0.01
9	SLD 1	343	154	3199	-4.6	15.68	-0.02
9	SLD 2	343	154	3199	-4.6	15.68	-0.02
9	SLD 3	321	68	2815	-0.04	14.77	-0.02
9	SLD 4	321	68	2815	-0.04	14.77	-0.02
9	SLD 5	245	278	3774	-11.22	11.58	-0.02
9	SLD 6	245	278	3774	-11.22	11.58	-0.02
9	SLD 7	172	-8	2496	3.98	8.55	0
9	SLD 8	172	-8	2496	3.98	8.55	0
9	SLD 9	140	299	3884	-12.33	7.16	-0.01
9	SLD 10	140	299	3884	-12.33	7.16	-0.01
9	SLD 11	67	13	2605	2.87	4.12	0.01
9	SLD 12	67	13	2605	2.87	4.12	0.01
9	SLD 13	-9	223	3564	-8.3	0.93	0
9	SLD 14	-9	223	3564	-8.3	0.93	0
9	SLD 15	-31	138	3181	-3.74	0.02	0.01
9	SLD 16	-31	138	3181	-3.74	0.02	0.01
9	SLV 1	597	161	3197	-4.97	26.34	-0.04
9	SLV 2	597	161	3197	-4.97	26.34	-0.04
9	SLV 3	546	-40	2296	5.7	24.21	-0.03
9	SLV 4	546	-40	2296	5.7	24.21	-0.03
9	SLV 5	366	455	4557	-20.6	16.64	-0.04
9	SLV 6	366	455	4557	-20.6	16.64	-0.04
9	SLV 7	195	-215	1556	14.97	9.52	0
9	SLV 8	195	-215	1556	14.97	9.52	0
9	SLV 9	117	506	4823	-23.32	6.19	-0.02
9	SLV 10	117	506	4823	-23.32	6.19	-0.02



Nodo Ind.	Cont. N.br.	Reazione a traslazione			Reazione a rotazione		
		x	y	z	x	y	z
9	SLV 11	-54	-164	1822	12.25	-0.93	0.02
9	SLV 12	-54	-164	1822	12.25	-0.93	0.02
9	SLV 13	-234	332	4083	-14.05	-8.5	0.02
9	SLV 14	-234	332	4083	-14.05	-8.5	0.02
9	SLV 15	-285	131	3183	-3.38	-10.64	0.03
9	SLV 16	-285	131	3183	-3.38	-10.64	0.03
10	SLU 1	30	1	2124	-0.61	0.24	-0.01
10	SLU 2	31	1	2123	-0.59	0.32	-0.01
10	SLU 3	30	1	2124	-0.61	0.24	-0.01
10	SLU 4	31	1	2124	-0.6	0.29	-0.01
10	SLU 5	31	1	2123	-0.59	0.32	-0.01
10	SLU 6	30	1	2124	-0.61	0.24	-0.01
10	SLU 7	31	1	2124	-0.6	0.29	-0.01
10	SLU 8	30	1	2124	-0.61	0.24	-0.01
10	SLU 9	31	1	2124	-0.6	0.29	-0.01
10	SLU 10	65	1	2707	-0.76	1.62	-0.01
10	SLU 11	64	1	2708	-0.78	1.54	-0.01
10	SLU 12	65	1	2708	-0.77	1.59	-0.01
10	SLU 13	65	1	2707	-0.76	1.62	-0.01
10	SLU 14	64	1	2708	-0.78	1.54	-0.01
10	SLU 15	65	1	2708	-0.77	1.59	-0.01
10	SLU 16	64	1	2708	-0.78	1.54	-0.01
10	SLU 17	65	1	2708	-0.77	1.59	-0.01
10	SLU 18	78	2	2959	-0.85	2.1	-0.01
10	SLU 19	79	1	2958	-0.84	2.15	-0.01
10	SLU 20	78	2	2959	-0.85	2.1	-0.01
10	SLU 21	79	1	2958	-0.84	2.15	-0.01
10	SLU 22	47	1	2423	-0.7	0.91	-0.01
10	SLU 23	49	1	2422	-0.68	0.99	-0.01
10	SLU 24	47	1	2423	-0.7	0.91	-0.01
10	SLU 25	48	1	2422	-0.69	0.95	-0.01
10	SLU 26	49	1	2422	-0.68	0.99	-0.01
10	SLU 27	47	1	2423	-0.7	0.91	-0.01
10	SLU 28	48	1	2422	-0.69	0.95	-0.01
10	SLU 29	47	1	2423	-0.7	0.91	-0.01
10	SLU 30	48	1	2422	-0.69	0.95	-0.01
10	SLU 31	83	2	3006	-0.85	2.29	-0.01
10	SLU 32	81	2	3007	-0.87	2.21	-0.01
10	SLU 33	82	2	3006	-0.86	2.26	-0.01
10	SLU 34	83	2	3006	-0.85	2.29	-0.01
10	SLU 35	81	2	3007	-0.87	2.21	-0.01
10	SLU 36	82	2	3006	-0.86	2.26	-0.01
10	SLU 37	81	2	3007	-0.87	2.21	-0.01
10	SLU 38	82	2	3006	-0.86	2.26	-0.01
10	SLU 39	96	2	3257	-0.94	2.77	-0.01
10	SLU 40	97	2	3257	-0.93	2.82	-0.01
10	SLU 41	96	2	3257	-0.94	2.77	-0.01
10	SLU 42	97	2	3257	-0.93	2.82	-0.01
10	SLU 43	33	1	2659	-0.76	0.08	-0.01
10	SLU 44	34	1	2658	-0.74	0.16	-0.01
10	SLU 45	33	1	2659	-0.76	0.08	-0.01
10	SLU 46	34	1	2659	-0.75	0.13	-0.01
10	SLU 47	34	1	2658	-0.74	0.16	-0.01
10	SLU 48	33	1	2659	-0.76	0.08	-0.01
10	SLU 49	34	1	2659	-0.75	0.13	-0.01
10	SLU 50	33	1	2659	-0.76	0.08	-0.01
10	SLU 51	34	1	2659	-0.75	0.13	-0.01
10	SLU 52	68	2	3242	-0.91	1.47	-0.01
10	SLU 53	67	2	3243	-0.93	1.38	-0.01
10	SLU 54	68	2	3243	-0.92	1.43	-0.01
10	SLU 55	68	2	3242	-0.91	1.47	-0.01
10	SLU 56	67	2	3243	-0.93	1.38	-0.01
10	SLU 57	68	2	3243	-0.92	1.43	-0.01
10	SLU 58	67	2	3243	-0.93	1.38	-0.01
10	SLU 59	68	2	3243	-0.92	1.43	-0.01
10	SLU 60	81	2	3493	-1.01	1.94	-0.01
10	SLU 61	82	2	3493	-1	1.99	-0.01
10	SLU 62	81	2	3493	-1.01	1.94	-0.01
10	SLU 63	82	2	3493	-1	1.99	-0.01
10	SLU 64	50	2	2958	-0.85	0.75	-0.01
10	SLU 65	52	2	2957	-0.83	0.83	-0.01
10	SLU 66	50	2	2958	-0.85	0.75	-0.01
10	SLU 67	51	2	2957	-0.84	0.8	-0.01
10	SLU 68	52	2	2957	-0.83	0.83	-0.01
10	SLU 69	50	2	2958	-0.85	0.75	-0.01
10	SLU 70	51	2	2957	-0.84	0.8	-0.01
10	SLU 71	50	2	2958	-0.85	0.75	-0.01
10	SLU 72	51	2	2957	-0.84	0.8	-0.01
10	SLU 73	86	2	3541	-1	2.13	-0.01
10	SLU 74	84	2	3542	-1.02	2.05	-0.01
10	SLU 75	85	2	3541	-1.01	2.1	-0.01
10	SLU 76	86	2	3541	-1	2.13	-0.01
10	SLU 77	84	2	3542	-1.02	2.05	-0.01
10	SLU 78	85	2	3541	-1.01	2.1	-0.01
10	SLU 79	84	2	3542	-1.02	2.05	-0.01
10	SLU 80	85	2	3541	-1.01	2.1	-0.01
10	SLU 81	99	2	3792	-1.09	2.61	-0.02
10	SLU 82	100	2	3791	-1.08	2.66	-0.02



Nodo Ind.	Cont. N.br.	Reazione a traslazione			Reazione a rotazione		
		x	y	z	x	y	z
10	SLU 83	99	2	3792	-1.09	2.61	-0.02
10	SLU 84	100	2	3791	-1.08	2.66	-0.02
10	SLE RA 1	35	1	2210	-0.63	0.43	-0.01
10	SLE RA 2	36	1	2209	-0.62	0.48	-0.01
10	SLE RA 3	35	1	2210	-0.63	0.43	-0.01
10	SLE RA 4	35	1	2209	-0.63	0.46	-0.01
10	SLE RA 5	36	1	2209	-0.62	0.48	-0.01
10	SLE RA 6	35	1	2210	-0.63	0.43	-0.01
10	SLE RA 7	35	1	2209	-0.63	0.46	-0.01
10	SLE RA 8	35	1	2210	-0.63	0.43	-0.01
10	SLE RA 9	35	1	2209	-0.63	0.46	-0.01
10	SLE RA 10	58	1	2598	-0.74	1.35	-0.01
10	SLE RA 11	57	1	2599	-0.75	1.3	-0.01
10	SLE RA 12	58	1	2599	-0.74	1.33	-0.01
10	SLE RA 13	58	1	2598	-0.74	1.35	-0.01
10	SLE RA 14	57	1	2599	-0.75	1.3	-0.01
10	SLE RA 15	58	1	2599	-0.74	1.33	-0.01
10	SLE RA 16	57	1	2599	-0.75	1.3	-0.01
10	SLE RA 17	58	1	2599	-0.74	1.33	-0.01
10	SLE RA 18	67	1	2766	-0.8	1.67	-0.01
10	SLE RA 19	68	1	2765	-0.79	1.7	-0.01
10	SLE RA 20	67	1	2766	-0.8	1.67	-0.01
10	SLE RA 21	68	1	2765	-0.79	1.7	-0.01
10	SLE FR 1	35	1	2210	-0.63	0.43	-0.01
10	SLE FR 2	35	1	2209	-0.63	0.44	-0.01
10	SLE FR 3	35	1	2210	-0.63	0.43	-0.01
10	SLE FR 4	45	1	2376	-0.68	0.81	-0.01
10	SLE FR 5	45	1	2376	-0.68	0.8	-0.01
10	SLE FR 6	51	1	2488	-0.71	1.05	-0.01
10	SLE QP 1	35	1	2210	-0.63	0.43	-0.01
10	SLE QP 2	45	1	2376	-0.68	0.8	-0.01
10	SLD 1	195	3	2346	-7.24	7.54	-0.03
10	SLD 2	195	3	2346	-7.24	7.54	-0.03
10	SLD 3	238	9	2126	-4.79	8.96	-0.02
10	SLD 4	238	9	2126	-4.79	8.96	-0.02
10	SLD 5	25	-7	2701	-6.37	0.66	-0.03
10	SLD 6	25	-7	2701	-6.37	0.66	-0.03
10	SLD 7	167	12	1968	1.81	5.41	0
10	SLD 8	167	12	1968	1.81	5.41	0
10	SLD 9	-78	-9	2785	-3.17	-3.81	-0.02
10	SLD 10	-78	-9	2785	-3.17	-3.81	-0.02
10	SLD 11	64	9	2052	5.01	0.94	0.01
10	SLD 12	64	9	2052	5.01	0.94	0.01
10	SLD 13	-149	-6	2627	3.43	-7.36	0
10	SLD 14	-149	-6	2627	3.43	-7.36	0
10	SLD 15	-106	-1	2407	5.88	-5.93	0.01
10	SLD 16	-106	-1	2407	5.88	-5.93	0.01
10	SLV 1	401	7	2298	-17.32	16.71	-0.06
10	SLV 2	401	7	2298	-17.32	16.71	-0.06
10	SLV 3	501	20	1782	-11.27	20.08	-0.04
10	SLV 4	501	20	1782	-11.27	20.08	-0.04
10	SLV 5	-1	-17	3135	-14.85	0.47	-0.06
10	SLV 6	-1	-17	3135	-14.85	0.47	-0.06
10	SLV 7	334	27	1416	5.32	11.69	0.02
10	SLV 8	334	27	1416	5.32	11.69	0.02
10	SLV 9	-245	-24	3337	-6.69	-10.08	-0.04
10	SLV 10	-245	-24	3337	-6.69	-10.08	-0.04
10	SLV 11	90	20	1618	13.49	1.13	0.04
10	SLV 12	90	20	1618	13.49	1.13	0.04
10	SLV 13	-412	-17	2971	9.9	-18.47	0.02
10	SLV 14	-412	-17	2971	9.9	-18.47	0.02
10	SLV 15	-312	-4	2455	15.95	-15.11	0.04
10	SLV 16	-312	-4	2455	15.95	-15.11	0.04
11	SLU 1	9	0	2064	-0.48	1.77	0
11	SLU 2	10	0	2064	-0.45	1.78	0
11	SLU 3	9	0	2064	-0.48	1.77	0
11	SLU 4	9	0	2064	-0.46	1.77	0
11	SLU 5	10	0	2064	-0.45	1.78	0
11	SLU 6	9	0	2064	-0.48	1.77	0
11	SLU 7	9	0	2064	-0.46	1.77	0
11	SLU 8	9	0	2064	-0.48	1.77	0
11	SLU 9	9	0	2064	-0.46	1.77	0
11	SLU 10	23	0	2643	-0.59	2.5	0
11	SLU 11	22	0	2643	-0.62	2.49	0
11	SLU 12	22	0	2643	-0.6	2.5	0
11	SLU 13	23	0	2643	-0.59	2.5	0
11	SLU 14	22	0	2643	-0.62	2.49	0
11	SLU 15	22	0	2643	-0.6	2.5	0
11	SLU 16	22	0	2643	-0.62	2.49	0
11	SLU 17	22	0	2643	-0.6	2.5	0
11	SLU 18	28	0	2891	-0.67	2.8	0
11	SLU 19	28	0	2891	-0.66	2.81	0
11	SLU 20	28	0	2891	-0.67	2.8	0
11	SLU 21	28	0	2891	-0.66	2.81	0
11	SLU 22	16	0	2360	-0.55	2.14	0
11	SLU 23	16	0	2360	-0.52	2.14	0
11	SLU 24	16	0	2360	-0.55	2.14	0
11	SLU 25	16	0	2360	-0.53	2.14	0



Nodo Ind.	Cont. N.br.	Reazione a traslazione			Reazione a rotazione		
		x	y	z	x	y	z
11	SLU 26	16	0	2360	-0.52	2.14	0
11	SLU 27	16	0	2360	-0.55	2.14	0
11	SLU 28	16	0	2360	-0.53	2.14	0
11	SLU 29	16	0	2360	-0.55	2.14	0
11	SLU 30	16	0	2360	-0.53	2.14	0
11	SLU 31	29	0	2938	-0.66	2.87	0
11	SLU 32	29	0	2939	-0.68	2.86	0
11	SLU 33	29	0	2939	-0.67	2.87	0
11	SLU 34	29	0	2938	-0.66	2.87	0
11	SLU 35	29	0	2939	-0.68	2.86	0
11	SLU 36	29	0	2939	-0.67	2.87	0
11	SLU 37	29	0	2939	-0.68	2.86	0
11	SLU 38	29	0	2939	-0.67	2.87	0
11	SLU 39	34	0	3187	-0.74	3.17	0
11	SLU 40	35	0	3186	-0.73	3.18	0
11	SLU 41	34	0	3187	-0.74	3.17	0
11	SLU 42	35	0	3186	-0.73	3.18	0
11	SLU 43	10	0	2582	-0.6	2.18	0
11	SLU 44	10	0	2582	-0.57	2.18	0
11	SLU 45	10	0	2582	-0.6	2.18	0
11	SLU 46	10	0	2582	-0.58	2.18	0
11	SLU 47	10	0	2582	-0.57	2.18	0
11	SLU 48	10	0	2582	-0.6	2.18	0
11	SLU 49	10	0	2582	-0.58	2.18	0
11	SLU 50	10	0	2582	-0.6	2.18	0
11	SLU 51	10	0	2582	-0.58	2.18	0
11	SLU 52	23	0	3161	-0.71	2.9	0
11	SLU 53	23	0	3161	-0.74	2.9	0
11	SLU 54	23	0	3161	-0.72	2.9	0
11	SLU 55	23	0	3161	-0.71	2.9	0
11	SLU 56	23	0	3161	-0.74	2.9	0
11	SLU 57	23	0	3161	-0.72	2.9	0
11	SLU 58	23	0	3161	-0.74	2.9	0
11	SLU 59	23	0	3161	-0.72	2.9	0
11	SLU 60	28	0	3409	-0.79	3.21	0
11	SLU 61	28	0	3409	-0.78	3.21	0
11	SLU 62	28	0	3409	-0.79	3.21	0
11	SLU 63	28	0	3409	-0.78	3.21	0
11	SLU 64	16	0	2878	-0.67	2.55	0
11	SLU 65	17	0	2878	-0.64	2.55	0
11	SLU 66	16	0	2878	-0.67	2.55	0
11	SLU 67	17	0	2878	-0.65	2.55	0
11	SLU 68	17	0	2878	-0.64	2.55	0
11	SLU 69	16	0	2878	-0.67	2.55	0
11	SLU 70	17	0	2878	-0.65	2.55	0
11	SLU 71	16	0	2878	-0.67	2.55	0
11	SLU 72	17	0	2878	-0.65	2.55	0
11	SLU 73	30	0	3456	-0.78	3.27	0
11	SLU 74	29	0	3457	-0.81	3.27	0
11	SLU 75	30	0	3456	-0.79	3.27	0
11	SLU 76	30	0	3456	-0.78	3.27	0
11	SLU 77	29	0	3457	-0.81	3.27	0
11	SLU 78	30	0	3456	-0.79	3.27	0
11	SLU 79	29	0	3457	-0.81	3.27	0
11	SLU 80	30	0	3456	-0.79	3.27	0
11	SLU 81	35	0	3705	-0.86	3.58	0
11	SLU 82	35	0	3704	-0.85	3.58	0
11	SLU 83	35	0	3705	-0.86	3.58	0
11	SLU 84	35	0	3704	-0.85	3.58	0
11	SLE RA 1	11	0	2149	-0.5	1.88	0
11	SLE RA 2	11	0	2149	-0.48	1.88	0
11	SLE RA 3	11	0	2149	-0.5	1.88	0
11	SLE RA 4	11	0	2149	-0.49	1.88	0
11	SLE RA 5	11	0	2149	-0.48	1.88	0
11	SLE RA 6	11	0	2149	-0.5	1.88	0
11	SLE RA 7	11	0	2149	-0.49	1.88	0
11	SLE RA 8	11	0	2149	-0.5	1.88	0
11	SLE RA 9	11	0	2149	-0.49	1.88	0
11	SLE RA 10	20	0	2534	-0.57	2.36	0
11	SLE RA 11	20	0	2535	-0.59	2.36	0
11	SLE RA 12	20	0	2534	-0.58	2.36	0
11	SLE RA 13	20	0	2534	-0.57	2.36	0
11	SLE RA 14	20	0	2535	-0.59	2.36	0
11	SLE RA 15	20	0	2534	-0.58	2.36	0
11	SLE RA 16	20	0	2535	-0.59	2.36	0
11	SLE RA 17	20	0	2534	-0.58	2.36	0
11	SLE RA 18	23	0	2700	-0.63	2.57	0
11	SLE RA 19	24	0	2700	-0.62	2.57	0
11	SLE RA 20	23	0	2700	-0.63	2.57	0
11	SLE RA 21	24	0	2700	-0.62	2.57	0
11	SLE FR 1	11	0	2149	-0.5	1.88	0
11	SLE FR 2	11	0	2149	-0.5	1.88	0
11	SLE FR 3	11	0	2149	-0.5	1.88	0
11	SLE FR 4	15	0	2314	-0.53	2.08	0
11	SLE FR 5	15	0	2314	-0.54	2.08	0
11	SLE FR 6	17	0	2424	-0.56	2.22	0
11	SLE QP 1	11	0	2149	-0.5	1.88	0
11	SLE QP 2	15	0	2314	-0.54	2.08	0



Nodo Ind.	Cont. N.br.	Reazione a traslazione			Reazione a rotazione		
		x	y	z	x	y	z
11	SLD 1	171	7	2241	-13.13	8.96	-0.02
11	SLD 2	171	7	2241	-13.13	8.96	-0.02
11	SLD 3	209	14	2099	-8.49	10.35	-0.07
11	SLD 4	209	14	2099	-8.49	10.35	-0.07
11	SLD 5	5	-9	2508	-11.36	2.04	0.06
11	SLD 6	5	-9	2508	-11.36	2.04	0.06
11	SLD 7	130	16	2033	4.12	6.67	-0.09
11	SLD 8	130	16	2033	4.12	6.67	-0.09
11	SLD 9	-100	-15	2595	-5.2	-2.5	0.09
11	SLD 10	-100	-15	2595	-5.2	-2.5	0.09
11	SLD 11	24	10	2120	10.28	2.13	-0.06
11	SLD 12	24	10	2120	10.28	2.13	-0.06
11	SLD 13	-179	-14	2530	7.41	-6.18	0.07
11	SLD 14	-179	-14	2530	7.41	-6.18	0.07
11	SLD 15	-142	-6	2387	12.06	-4.79	0.03
11	SLD 16	-142	-6	2387	12.06	-4.79	0.03
11	SLV 1	385	17	2139	-32.48	18.34	-0.07
11	SLV 2	385	17	2139	-32.48	18.34	-0.07
11	SLV 3	473	35	1804	-21.03	21.61	-0.18
11	SLV 4	473	35	1804	-21.03	21.61	-0.18
11	SLV 5	-7	-22	2769	-27.5	2	0.15
11	SLV 6	-7	-22	2769	-27.5	2	0.15
11	SLV 7	285	38	1653	10.69	12.91	-0.22
11	SLV 8	285	38	1653	10.69	12.91	-0.22
11	SLV 9	-256	-38	2975	-11.77	-8.74	0.23
11	SLV 10	-256	-38	2975	-11.77	-8.74	0.23
11	SLV 11	37	22	1859	26.42	2.17	-0.15
11	SLV 12	37	22	1859	26.42	2.17	-0.15
11	SLV 13	-444	-35	2824	19.95	-17.45	0.18
11	SLV 14	-444	-35	2824	19.95	-17.45	0.18
11	SLV 15	-356	-17	2489	31.41	-14.17	0.07
11	SLV 16	-356	-17	2489	31.41	-14.17	0.07
12	SLU 1	-38	0	1988	-0.53	-1.97	0
12	SLU 2	-37	0	1989	-0.5	-1.92	0
12	SLU 3	-38	0	1988	-0.53	-1.97	0
12	SLU 4	-38	0	1989	-0.51	-1.94	0
12	SLU 5	-37	0	1989	-0.5	-1.92	0
12	SLU 6	-38	0	1988	-0.53	-1.97	0
12	SLU 7	-38	0	1989	-0.51	-1.94	0
12	SLU 8	-38	0	1988	-0.53	-1.97	0
12	SLU 9	-38	0	1989	-0.51	-1.94	0
12	SLU 10	-45	0	2545	-0.64	-2.16	0
12	SLU 11	-46	0	2545	-0.67	-2.2	0
12	SLU 12	-46	0	2545	-0.65	-2.18	0
12	SLU 13	-45	0	2545	-0.64	-2.16	0
12	SLU 14	-46	0	2545	-0.67	-2.2	0
12	SLU 15	-46	0	2545	-0.65	-2.18	0
12	SLU 16	-46	0	2545	-0.67	-2.2	0
12	SLU 17	-46	0	2545	-0.65	-2.18	0
12	SLU 18	-50	0	2784	-0.73	-2.3	0
12	SLU 19	-49	0	2784	-0.71	-2.28	0
12	SLU 20	-50	0	2784	-0.73	-2.3	0
12	SLU 21	-49	0	2784	-0.71	-2.28	0
12	SLU 22	-42	0	2273	-0.6	-2.09	0
12	SLU 23	-42	0	2273	-0.57	-2.04	0
12	SLU 24	-42	0	2273	-0.6	-2.09	0
12	SLU 25	-42	0	2273	-0.58	-2.06	0
12	SLU 26	-42	0	2273	-0.57	-2.04	0
12	SLU 27	-42	0	2273	-0.6	-2.09	0
12	SLU 28	-42	0	2273	-0.58	-2.06	0
12	SLU 29	-42	0	2273	-0.6	-2.09	0
12	SLU 30	-42	0	2273	-0.58	-2.06	0
12	SLU 31	-50	0	2830	-0.71	-2.28	0
12	SLU 32	-50	0	2830	-0.74	-2.32	0
12	SLU 33	-50	0	2830	-0.72	-2.3	0
12	SLU 34	-50	0	2830	-0.71	-2.28	0
12	SLU 35	-50	0	2830	-0.74	-2.32	0
12	SLU 36	-50	0	2830	-0.72	-2.3	0
12	SLU 37	-50	0	2830	-0.74	-2.32	0
12	SLU 38	-50	0	2830	-0.72	-2.3	0
12	SLU 39	-54	1	3069	-0.8	-2.42	0
12	SLU 40	-53	0	3069	-0.78	-2.4	0
12	SLU 41	-54	1	3069	-0.8	-2.42	0
12	SLU 42	-53	0	3069	-0.78	-2.4	0
12	SLU 43	-48	0	2487	-0.66	-2.52	0
12	SLU 44	-47	0	2487	-0.64	-2.47	0
12	SLU 45	-48	0	2487	-0.66	-2.52	0
12	SLU 46	-48	0	2487	-0.65	-2.49	0
12	SLU 47	-47	0	2487	-0.64	-2.47	0
12	SLU 48	-48	0	2487	-0.66	-2.52	0
12	SLU 49	-48	0	2487	-0.65	-2.49	0
12	SLU 50	-48	0	2487	-0.66	-2.52	0
12	SLU 51	-48	0	2487	-0.65	-2.49	0
12	SLU 52	-56	1	3044	-0.77	-2.71	0
12	SLU 53	-56	1	3044	-0.8	-2.75	0
12	SLU 54	-56	1	3044	-0.78	-2.72	0
12	SLU 55	-56	1	3044	-0.77	-2.71	0
12	SLU 56	-56	1	3044	-0.8	-2.75	0



Nodo Ind.	Cont. N.br.	Reazione a traslazione			Reazione a rotazione		
		x	y	z	x	y	z
12	SLU 57	-56	1	3044	-0.78	-2.72	0
12	SLU 58	-56	1	3044	-0.8	-2.75	0
12	SLU 59	-56	1	3044	-0.78	-2.72	0
12	SLU 60	-60	1	3283	-0.86	-2.85	0
12	SLU 61	-59	1	3283	-0.84	-2.83	0
12	SLU 62	-60	1	3283	-0.86	-2.85	0
12	SLU 63	-59	1	3283	-0.84	-2.83	0
12	SLU 64	-52	1	2772	-0.73	-2.64	0
12	SLU 65	-52	0	2772	-0.71	-2.59	0
12	SLU 66	-52	1	2772	-0.73	-2.64	0
12	SLU 67	-52	0	2772	-0.72	-2.61	0
12	SLU 68	-52	0	2772	-0.71	-2.59	0
12	SLU 69	-52	1	2772	-0.73	-2.64	0
12	SLU 70	-52	0	2772	-0.72	-2.61	0
12	SLU 71	-52	1	2772	-0.73	-2.64	0
12	SLU 72	-52	0	2772	-0.72	-2.61	0
12	SLU 73	-60	1	3329	-0.84	-2.83	0
12	SLU 74	-60	1	3329	-0.87	-2.87	0
12	SLU 75	-60	1	3329	-0.85	-2.84	0
12	SLU 76	-60	1	3329	-0.84	-2.83	0
12	SLU 77	-60	1	3329	-0.87	-2.87	0
12	SLU 78	-60	1	3329	-0.85	-2.84	0
12	SLU 79	-60	1	3329	-0.87	-2.87	0
12	SLU 80	-60	1	3329	-0.85	-2.84	0
12	SLU 81	-64	1	3568	-0.93	-2.97	0
12	SLU 82	-63	1	3568	-0.91	-2.94	0
12	SLU 83	-64	1	3568	-0.93	-2.97	0
12	SLU 84	-63	1	3568	-0.91	-2.94	0
12	SLE RA 1	-39	0	2070	-0.55	-2	0
12	SLE RA 2	-39	0	2070	-0.53	-1.97	0
12	SLE RA 3	-39	0	2070	-0.55	-2	0
12	SLE RA 4	-39	0	2070	-0.54	-1.98	0
12	SLE RA 5	-39	0	2070	-0.53	-1.97	0
12	SLE RA 6	-39	0	2070	-0.55	-2	0
12	SLE RA 7	-39	0	2070	-0.54	-1.98	0
12	SLE RA 8	-39	0	2070	-0.55	-2	0
12	SLE RA 9	-39	0	2070	-0.54	-1.98	0
12	SLE RA 10	-44	0	2441	-0.62	-2.13	0
12	SLE RA 11	-45	0	2441	-0.64	-2.16	0
12	SLE RA 12	-44	0	2441	-0.63	-2.14	0
12	SLE RA 13	-44	0	2441	-0.62	-2.13	0
12	SLE RA 14	-45	0	2441	-0.64	-2.16	0
12	SLE RA 15	-44	0	2441	-0.63	-2.14	0
12	SLE RA 16	-45	0	2441	-0.64	-2.16	0
12	SLE RA 17	-44	0	2441	-0.63	-2.14	0
12	SLE RA 18	-47	0	2600	-0.68	-2.23	0
12	SLE RA 19	-47	0	2600	-0.67	-2.21	0
12	SLE RA 20	-47	0	2600	-0.68	-2.23	0
12	SLE RA 21	-47	0	2600	-0.67	-2.21	0
12	SLE FR 1	-39	0	2070	-0.55	-2	0
12	SLE FR 2	-39	0	2070	-0.55	-1.99	0
12	SLE FR 3	-39	0	2070	-0.55	-2	0
12	SLE FR 4	-42	0	2229	-0.59	-2.06	0
12	SLE FR 5	-42	0	2229	-0.59	-2.07	0
12	SLE FR 6	-43	0	2335	-0.62	-2.11	0
12	SLE QP 1	-39	0	2070	-0.55	-2	0
12	SLE QP 2	-42	0	2229	-0.59	-2.07	0
12	SLD 1	126	13	2136	-17.93	5.18	-0.09
12	SLD 2	126	13	2136	-17.93	5.18	-0.09
12	SLD 3	159	21	2033	-11.62	6.48	-0.15
12	SLD 4	159	21	2033	-11.62	6.48	-0.15
12	SLD 5	-41	-8	2357	-15.36	-1.85	0.07
12	SLD 6	-41	-8	2357	-15.36	-1.85	0.07
12	SLD 7	68	19	2014	5.67	2.45	-0.14
12	SLD 8	68	19	2014	5.67	2.45	-0.14
12	SLD 9	-151	-18	2444	-6.85	-6.59	0.14
12	SLD 10	-151	-18	2444	-6.85	-6.59	0.14
12	SLD 11	-43	9	2101	14.18	-2.29	-0.07
12	SLD 12	-43	9	2101	14.18	-2.29	-0.07
12	SLD 13	-242	-20	2425	10.44	-10.61	0.14
12	SLD 14	-242	-20	2425	10.44	-10.61	0.14
12	SLD 15	-209	-12	2322	16.75	-9.32	0.08
12	SLD 16	-209	-12	2322	16.75	-9.32	0.08
12	SLV 1	355	32	2008	-44.59	15.07	-0.22
12	SLV 2	355	32	2008	-44.59	15.07	-0.22
12	SLV 3	431	52	1766	-29.01	18.11	-0.37
12	SLV 4	431	52	1766	-29.01	18.11	-0.37
12	SLV 5	-39	-20	2529	-37.43	-1.54	0.16
12	SLV 6	-39	-20	2529	-37.43	-1.54	0.16
12	SLV 7	217	46	1723	14.53	8.6	-0.34
12	SLV 8	217	46	1723	14.53	8.6	-0.34
12	SLV 9	-300	-45	2734	-15.71	-12.74	0.34
12	SLV 10	-300	-45	2734	-15.71	-12.74	0.34
12	SLV 11	-44	21	1928	36.25	-2.59	-0.17
12	SLV 12	-44	21	1928	36.25	-2.59	-0.17
12	SLV 13	-515	-51	2692	27.83	-22.25	0.36
12	SLV 14	-515	-51	2692	27.83	-22.25	0.36
12	SLV 15	-438	-31	2450	43.42	-19.2	0.21



Nodo Ind.	Cont. N.br.	Reazione a traslazione			Reazione a rotazione		
		x	y	z	x	y	z
12	SLV 16	-438	-31	2450	43.42	-19.2	0.21
13	SLU 1	-23	1	1908	-0.61	-0.24	-0.01
13	SLU 2	-23	1	1909	-0.58	-0.25	-0.01
13	SLU 3	-23	1	1908	-0.61	-0.24	-0.01
13	SLU 4	-23	1	1909	-0.59	-0.25	-0.01
13	SLU 5	-23	1	1909	-0.58	-0.25	-0.01
13	SLU 6	-23	1	1908	-0.61	-0.24	-0.01
13	SLU 7	-23	1	1909	-0.59	-0.25	-0.01
13	SLU 8	-23	1	1908	-0.61	-0.24	-0.01
13	SLU 9	-23	1	1909	-0.59	-0.25	-0.01
13	SLU 10	-38	1	2433	-0.73	-0.81	-0.01
13	SLU 11	-38	1	2433	-0.75	-0.81	-0.01
13	SLU 12	-38	1	2433	-0.74	-0.81	-0.01
13	SLU 13	-38	1	2433	-0.73	-0.81	-0.01
13	SLU 14	-38	1	2433	-0.75	-0.81	-0.01
13	SLU 15	-38	1	2433	-0.74	-0.81	-0.01
13	SLU 16	-38	1	2433	-0.75	-0.81	-0.01
13	SLU 17	-38	1	2433	-0.74	-0.81	-0.01
13	SLU 18	-45	1	2657	-0.81	-1.05	-0.01
13	SLU 19	-44	1	2657	-0.8	-1.05	-0.01
13	SLU 20	-45	1	2657	-0.81	-1.05	-0.01
13	SLU 21	-44	1	2657	-0.8	-1.05	-0.01
13	SLU 22	-31	1	2176	-0.68	-0.53	-0.01
13	SLU 23	-30	1	2177	-0.66	-0.54	-0.01
13	SLU 24	-31	1	2176	-0.68	-0.53	-0.01
13	SLU 25	-31	1	2177	-0.67	-0.54	-0.01
13	SLU 26	-30	1	2177	-0.66	-0.54	-0.01
13	SLU 27	-31	1	2176	-0.68	-0.53	-0.01
13	SLU 28	-31	1	2177	-0.67	-0.54	-0.01
13	SLU 29	-31	1	2176	-0.68	-0.53	-0.01
13	SLU 30	-31	1	2177	-0.67	-0.54	-0.01
13	SLU 31	-46	1	2701	-0.8	-1.1	-0.01
13	SLU 32	-46	1	2700	-0.82	-1.09	-0.01
13	SLU 33	-46	1	2701	-0.81	-1.1	-0.01
13	SLU 34	-46	1	2701	-0.8	-1.1	-0.01
13	SLU 35	-46	1	2700	-0.82	-1.09	-0.01
13	SLU 36	-46	1	2701	-0.81	-1.1	-0.01
13	SLU 37	-46	1	2700	-0.82	-1.09	-0.01
13	SLU 38	-46	1	2701	-0.81	-1.1	-0.01
13	SLU 39	-52	1	2925	-0.89	-1.33	-0.01
13	SLU 40	-52	1	2925	-0.87	-1.34	-0.01
13	SLU 41	-52	1	2925	-0.89	-1.33	-0.01
13	SLU 42	-52	1	2925	-0.87	-1.34	-0.01
13	SLU 43	-27	1	2389	-0.76	-0.22	-0.01
13	SLU 44	-27	1	2389	-0.74	-0.23	-0.01
13	SLU 45	-27	1	2389	-0.76	-0.22	-0.01
13	SLU 46	-27	1	2389	-0.75	-0.22	-0.01
13	SLU 47	-27	1	2389	-0.74	-0.23	-0.01
13	SLU 48	-27	1	2389	-0.76	-0.22	-0.01
13	SLU 49	-27	1	2389	-0.75	-0.22	-0.01
13	SLU 50	-27	1	2389	-0.76	-0.22	-0.01
13	SLU 51	-27	1	2389	-0.75	-0.22	-0.01
13	SLU 52	-42	1	2914	-0.88	-0.79	-0.01
13	SLU 53	-42	1	2913	-0.91	-0.78	-0.01
13	SLU 54	-42	1	2913	-0.89	-0.79	-0.01
13	SLU 55	-42	1	2914	-0.88	-0.79	-0.01
13	SLU 56	-42	1	2913	-0.91	-0.78	-0.01
13	SLU 57	-42	1	2913	-0.89	-0.79	-0.01
13	SLU 58	-42	1	2913	-0.91	-0.78	-0.01
13	SLU 59	-42	1	2913	-0.89	-0.79	-0.01
13	SLU 60	-49	1	3138	-0.97	-1.02	-0.01
13	SLU 61	-49	1	3138	-0.96	-1.03	-0.01
13	SLU 62	-49	1	3138	-0.97	-1.02	-0.01
13	SLU 63	-49	1	3138	-0.96	-1.03	-0.01
13	SLU 64	-35	1	2657	-0.84	-0.51	-0.01
13	SLU 65	-35	1	2657	-0.81	-0.51	-0.01
13	SLU 66	-35	1	2657	-0.84	-0.51	-0.01
13	SLU 67	-35	1	2657	-0.82	-0.51	-0.01
13	SLU 68	-35	1	2657	-0.81	-0.51	-0.01
13	SLU 69	-35	1	2657	-0.84	-0.51	-0.01
13	SLU 70	-35	1	2657	-0.82	-0.51	-0.01
13	SLU 71	-35	1	2657	-0.84	-0.51	-0.01
13	SLU 72	-35	1	2657	-0.82	-0.51	-0.01
13	SLU 73	-50	1	3182	-0.96	-1.08	-0.01
13	SLU 74	-50	1	3181	-0.98	-1.07	-0.01
13	SLU 75	-50	1	3181	-0.97	-1.07	-0.01
13	SLU 76	-50	1	3182	-0.96	-1.08	-0.01
13	SLU 77	-50	1	3181	-0.98	-1.07	-0.01
13	SLU 78	-50	1	3181	-0.97	-1.07	-0.01
13	SLU 79	-50	1	3181	-0.98	-1.07	-0.01
13	SLU 80	-50	1	3181	-0.97	-1.07	-0.01
13	SLU 81	-56	1	3406	-1.04	-1.31	-0.01
13	SLU 82	-56	1	3406	-1.03	-1.31	-0.01
13	SLU 83	-56	1	3406	-1.04	-1.31	-0.01
13	SLU 84	-56	1	3406	-1.03	-1.31	-0.01
13	SLE RA 1	-25	1	1985	-0.63	-0.33	-0.01
13	SLE RA 2	-25	1	1985	-0.61	-0.33	-0.01
13	SLE RA 3	-25	1	1985	-0.63	-0.33	-0.01



Nodo Ind.	Cont. N.br.	Reazione a traslazione			Reazione a rotazione		
		x	y	z	x	y	z
13	SLE RA 4	-25	1	1985	-0.62	-0.33	-0.01
13	SLE RA 5	-25	1	1985	-0.61	-0.33	-0.01
13	SLE RA 6	-25	1	1985	-0.63	-0.33	-0.01
13	SLE RA 7	-25	1	1985	-0.62	-0.33	-0.01
13	SLE RA 8	-25	1	1985	-0.63	-0.33	-0.01
13	SLE RA 9	-25	1	1985	-0.62	-0.33	-0.01
13	SLE RA 10	-35	1	2335	-0.71	-0.71	-0.01
13	SLE RA 11	-35	1	2334	-0.72	-0.7	-0.01
13	SLE RA 12	-35	1	2335	-0.71	-0.7	-0.01
13	SLE RA 13	-35	1	2335	-0.71	-0.71	-0.01
13	SLE RA 14	-35	1	2334	-0.72	-0.7	-0.01
13	SLE RA 15	-35	1	2335	-0.71	-0.7	-0.01
13	SLE RA 16	-35	1	2334	-0.72	-0.7	-0.01
13	SLE RA 17	-35	1	2335	-0.71	-0.7	-0.01
13	SLE RA 18	-40	1	2484	-0.77	-0.86	-0.01
13	SLE RA 19	-39	1	2484	-0.76	-0.86	-0.01
13	SLE RA 20	-40	1	2484	-0.77	-0.86	-0.01
13	SLE RA 21	-39	1	2484	-0.76	-0.86	-0.01
13	SLE FR 1	-25	1	1985	-0.63	-0.33	-0.01
13	SLE FR 2	-25	1	1985	-0.62	-0.33	-0.01
13	SLE FR 3	-25	1	1985	-0.63	-0.33	-0.01
13	SLE FR 4	-29	1	2135	-0.67	-0.49	-0.01
13	SLE FR 5	-29	1	2135	-0.67	-0.49	-0.01
13	SLE FR 6	-32	1	2235	-0.7	-0.59	-0.01
13	SLE QP 1	-25	1	1985	-0.63	-0.33	-0.01
13	SLE QP 2	-29	1	2135	-0.67	-0.49	-0.01
13	SLD 1	181	15	2045	-20.09	8.6	-0.14
13	SLD 2	181	15	2045	-20.09	8.6	-0.14
13	SLD 3	150	24	1965	-13.07	7.34	-0.22
13	SLD 4	150	24	1965	-13.07	7.34	-0.22
13	SLD 5	80	-9	2230	-17.15	4.14	0.08
13	SLD 6	80	-9	2230	-17.15	4.14	0.08
13	SLD 7	-21	21	1962	6.26	-0.04	-0.19
13	SLD 8	-21	21	1962	6.26	-0.04	-0.19
13	SLD 9	-37	-20	2308	-7.6	-0.93	0.18
13	SLD 10	-37	-20	2308	-7.6	-0.93	0.18
13	SLD 11	-138	10	2040	15.81	-5.11	-0.09
13	SLD 12	-138	10	2040	15.81	-5.11	-0.09
13	SLD 13	-209	-23	2305	11.73	-8.31	0.21
13	SLD 14	-209	-23	2305	11.73	-8.31	0.21
13	SLD 15	-239	-14	2224	18.76	-9.57	0.13
13	SLD 16	-239	-14	2224	18.76	-9.57	0.13
13	SLV 1	467	39	1923	-50	20.98	-0.35
13	SLV 2	467	39	1923	-50	20.98	-0.35
13	SLV 3	396	61	1733	-32.62	18.01	-0.55
13	SLV 4	396	61	1733	-32.62	18.01	-0.55
13	SLV 5	228	-21	2358	-41.82	10.45	0.2
13	SLV 6	228	-21	2358	-41.82	10.45	0.2
13	SLV 7	-10	52	1727	16.1	0.57	-0.47
13	SLV 8	-10	52	1727	16.1	0.57	-0.47
13	SLV 9	-49	-51	2542	-17.44	-1.54	0.46
13	SLV 10	-49	-51	2542	-17.44	-1.54	0.46
13	SLV 11	-287	23	1911	40.48	-11.42	-0.21
13	SLV 12	-287	23	1911	40.48	-11.42	-0.21
13	SLV 13	-454	-60	2536	31.29	-18.99	0.54
13	SLV 14	-454	-60	2536	31.29	-18.99	0.54
13	SLV 15	-526	-38	2347	48.66	-21.95	0.34
13	SLV 16	-526	-38	2347	48.66	-21.95	0.34
14	SLU 1	-10	1	1862	-0.66	-0.24	-0.01
14	SLU 2	-10	1	1862	-0.64	-0.23	-0.01
14	SLU 3	-10	1	1862	-0.66	-0.24	-0.01
14	SLU 4	-10	1	1862	-0.65	-0.23	-0.01
14	SLU 5	-10	1	1862	-0.64	-0.23	-0.01
14	SLU 6	-10	1	1862	-0.66	-0.24	-0.01
14	SLU 7	-10	1	1862	-0.65	-0.23	-0.01
14	SLU 8	-10	1	1862	-0.66	-0.24	-0.01
14	SLU 9	-10	1	1862	-0.65	-0.23	-0.01
14	SLU 10	-21	1	2359	-0.78	-0.36	-0.01
14	SLU 11	-21	1	2359	-0.8	-0.38	-0.01
14	SLU 12	-21	1	2359	-0.79	-0.37	-0.01
14	SLU 13	-21	1	2359	-0.78	-0.36	-0.01
14	SLU 14	-21	1	2359	-0.8	-0.38	-0.01
14	SLU 15	-21	1	2359	-0.79	-0.37	-0.01
14	SLU 16	-21	1	2359	-0.8	-0.38	-0.01
14	SLU 17	-21	1	2359	-0.79	-0.37	-0.01
14	SLU 18	-26	1	2572	-0.86	-0.44	-0.01
14	SLU 19	-26	1	2572	-0.85	-0.43	-0.01
14	SLU 20	-26	1	2572	-0.86	-0.44	-0.01
14	SLU 21	-26	1	2572	-0.85	-0.43	-0.01
14	SLU 22	-15	1	2116	-0.73	-0.31	-0.01
14	SLU 23	-15	1	2117	-0.71	-0.3	-0.01
14	SLU 24	-15	1	2116	-0.73	-0.31	-0.01
14	SLU 25	-15	1	2116	-0.72	-0.3	-0.01
14	SLU 26	-15	1	2117	-0.71	-0.3	-0.01
14	SLU 27	-15	1	2116	-0.73	-0.31	-0.01
14	SLU 28	-15	1	2116	-0.72	-0.3	-0.01
14	SLU 29	-15	1	2116	-0.73	-0.31	-0.01
14	SLU 30	-15	1	2116	-0.72	-0.3	-0.01



Nodo Ind.	Cont. N.br.	Reazione a traslazione			Reazione a rotazione		
		x	y	z	x	y	z
14	SLU 31	-27	1	2614	-0.85	-0.43	-0.01
14	SLU 32	-27	1	2613	-0.87	-0.45	-0.01
14	SLU 33	-27	1	2613	-0.86	-0.44	-0.01
14	SLU 34	-27	1	2614	-0.85	-0.43	-0.01
14	SLU 35	-27	1	2613	-0.87	-0.45	-0.01
14	SLU 36	-27	1	2613	-0.86	-0.44	-0.01
14	SLU 37	-27	1	2613	-0.87	-0.45	-0.01
14	SLU 38	-27	1	2613	-0.86	-0.44	-0.01
14	SLU 39	-32	1	2826	-0.93	-0.51	-0.01
14	SLU 40	-31	1	2827	-0.92	-0.5	-0.01
14	SLU 41	-32	1	2826	-0.93	-0.51	-0.01
14	SLU 42	-31	1	2827	-0.92	-0.5	-0.01
14	SLU 43	-11	1	2333	-0.83	-0.29	-0.01
14	SLU 44	-11	1	2334	-0.81	-0.27	-0.01
14	SLU 45	-11	1	2333	-0.83	-0.29	-0.01
14	SLU 46	-11	1	2333	-0.82	-0.28	-0.01
14	SLU 47	-11	1	2334	-0.81	-0.27	-0.01
14	SLU 48	-11	1	2333	-0.83	-0.29	-0.01
14	SLU 49	-11	1	2333	-0.82	-0.28	-0.01
14	SLU 50	-11	1	2333	-0.83	-0.29	-0.01
14	SLU 51	-11	1	2333	-0.82	-0.28	-0.01
14	SLU 52	-22	1	2831	-0.95	-0.41	-0.01
14	SLU 53	-22	1	2830	-0.97	-0.43	-0.01
14	SLU 54	-22	1	2831	-0.96	-0.42	-0.01
14	SLU 55	-22	1	2831	-0.95	-0.41	-0.01
14	SLU 56	-22	1	2830	-0.97	-0.43	-0.01
14	SLU 57	-22	1	2831	-0.96	-0.42	-0.01
14	SLU 58	-22	1	2830	-0.97	-0.43	-0.01
14	SLU 59	-22	1	2831	-0.96	-0.42	-0.01
14	SLU 60	-27	1	3043	-1.03	-0.48	-0.01
14	SLU 61	-27	1	3044	-1.02	-0.48	-0.01
14	SLU 62	-27	1	3043	-1.03	-0.48	-0.01
14	SLU 63	-27	1	3044	-1.02	-0.48	-0.01
14	SLU 64	-16	1	2587	-0.9	-0.36	-0.01
14	SLU 65	-16	1	2588	-0.89	-0.34	-0.01
14	SLU 66	-16	1	2587	-0.9	-0.36	-0.01
14	SLU 67	-16	1	2588	-0.89	-0.35	-0.01
14	SLU 68	-16	1	2588	-0.89	-0.34	-0.01
14	SLU 69	-16	1	2587	-0.9	-0.36	-0.01
14	SLU 70	-16	1	2588	-0.89	-0.35	-0.01
14	SLU 71	-16	1	2587	-0.9	-0.36	-0.01
14	SLU 72	-16	1	2588	-0.89	-0.35	-0.01
14	SLU 73	-28	1	3085	-1.03	-0.48	-0.01
14	SLU 74	-28	1	3085	-1.04	-0.5	-0.01
14	SLU 75	-28	1	3085	-1.03	-0.49	-0.01
14	SLU 76	-28	1	3085	-1.03	-0.48	-0.01
14	SLU 77	-28	1	3085	-1.04	-0.5	-0.01
14	SLU 78	-28	1	3085	-1.03	-0.49	-0.01
14	SLU 79	-28	1	3085	-1.04	-0.5	-0.01
14	SLU 80	-28	1	3085	-1.03	-0.49	-0.01
14	SLU 81	-33	1	3298	-1.1	-0.55	-0.01
14	SLU 82	-32	1	3298	-1.09	-0.55	-0.01
14	SLU 83	-33	1	3298	-1.1	-0.55	-0.01
14	SLU 84	-32	1	3298	-1.09	-0.55	-0.01
14	SLE RA 1	-11	1	1934	-0.68	-0.26	-0.01
14	SLE RA 2	-11	1	1935	-0.67	-0.25	-0.01
14	SLE RA 3	-11	1	1934	-0.68	-0.26	-0.01
14	SLE RA 4	-11	1	1935	-0.67	-0.25	-0.01
14	SLE RA 5	-11	1	1935	-0.67	-0.25	-0.01
14	SLE RA 6	-11	1	1934	-0.68	-0.26	-0.01
14	SLE RA 7	-11	1	1935	-0.67	-0.25	-0.01
14	SLE RA 8	-11	1	1934	-0.68	-0.26	-0.01
14	SLE RA 9	-11	1	1935	-0.67	-0.25	-0.01
14	SLE RA 10	-19	1	2266	-0.76	-0.34	-0.01
14	SLE RA 11	-19	1	2266	-0.77	-0.35	-0.01
14	SLE RA 12	-19	1	2266	-0.76	-0.35	-0.01
14	SLE RA 13	-19	1	2266	-0.76	-0.34	-0.01
14	SLE RA 14	-19	1	2266	-0.77	-0.35	-0.01
14	SLE RA 15	-19	1	2266	-0.76	-0.35	-0.01
14	SLE RA 16	-19	1	2266	-0.77	-0.35	-0.01
14	SLE RA 17	-19	1	2266	-0.76	-0.35	-0.01
14	SLE RA 18	-22	1	2408	-0.81	-0.39	-0.01
14	SLE RA 19	-22	1	2408	-0.8	-0.39	-0.01
14	SLE RA 20	-22	1	2408	-0.81	-0.39	-0.01
14	SLE RA 21	-22	1	2408	-0.8	-0.39	-0.01
14	SLE FR 1	-11	1	1934	-0.68	-0.26	-0.01
14	SLE FR 2	-11	1	1934	-0.67	-0.26	-0.01
14	SLE FR 3	-11	1	1934	-0.68	-0.26	-0.01
14	SLE FR 4	-15	1	2077	-0.71	-0.3	-0.01
14	SLE FR 5	-15	1	2076	-0.72	-0.3	-0.01
14	SLE FR 6	-17	1	2171	-0.74	-0.32	-0.01
14	SLE QP 1	-11	1	1934	-0.68	-0.26	-0.01
14	SLE QP 2	-15	1	2076	-0.72	-0.3	-0.01
14	SLD 1	197	23	2008	-18.78	8.82	-0.23
14	SLD 2	197	23	2008	-18.78	8.82	-0.23
14	SLD 3	168	15	1935	-12.32	7.6	-0.15
14	SLD 4	168	15	1935	-12.32	7.6	-0.15
14	SLD 5	94	21	2166	-15.94	4.29	-0.2



Nodo Ind.	Cont. N.br.	Reazione a traslazione			Reazione a rotazione		
		x	y	z	x	y	z
14	SLD 6	94	21	2166	-15.94	4.29	-0.2
14	SLD 7	-4	-8	1923	5.61	0.22	0.08
14	SLD 8	-4	-8	1923	5.61	0.22	0.08
14	SLD 9	-25	10	2229	-7.04	-0.82	-0.09
14	SLD 10	-25	10	2229	-7.04	-0.82	-0.09
14	SLD 11	-123	-19	1986	14.51	-4.88	0.18
14	SLD 12	-123	-19	1986	14.51	-4.88	0.18
14	SLD 13	-197	-13	2218	10.89	-8.19	0.13
14	SLD 14	-197	-13	2218	10.89	-8.19	0.13
14	SLD 15	-227	-22	2145	17.35	-9.41	0.21
14	SLD 16	-227	-22	2145	17.35	-9.41	0.21
14	SLV 1	486	58	1914	-46.62	21.23	-0.57
14	SLV 2	486	58	1914	-46.62	21.23	-0.57
14	SLV 3	417	37	1742	-30.6	18.36	-0.37
14	SLV 4	417	37	1742	-30.6	18.36	-0.37
14	SLV 5	241	50	2288	-38.8	10.51	-0.49
14	SLV 6	241	50	2288	-38.8	10.51	-0.49
14	SLV 7	10	-20	1716	14.63	0.94	0.19
14	SLV 8	10	-20	1716	14.63	0.94	0.19
14	SLV 9	-39	22	2437	-16.06	-1.54	-0.21
14	SLV 10	-39	22	2437	-16.06	-1.54	-0.21
14	SLV 11	-270	-48	1865	37.37	-11.11	0.47
14	SLV 12	-270	-48	1865	37.37	-11.11	0.47
14	SLV 13	-446	-35	2411	29.16	-18.95	0.35
14	SLV 14	-446	-35	2411	29.16	-18.95	0.35
14	SLV 15	-515	-56	2239	45.19	-21.82	0.56
14	SLV 16	-515	-56	2239	45.19	-21.82	0.56
15	SLU 1	9	1	1842	-0.67	0.22	-0.01
15	SLU 2	9	1	1843	-0.67	0.21	-0.01
15	SLU 3	9	1	1842	-0.67	0.22	-0.01
15	SLU 4	9	1	1842	-0.67	0.21	-0.01
15	SLU 5	9	1	1843	-0.67	0.21	-0.01
15	SLU 6	9	1	1842	-0.67	0.22	-0.01
15	SLU 7	9	1	1842	-0.67	0.21	-0.01
15	SLU 8	9	1	1842	-0.67	0.22	-0.01
15	SLU 9	9	1	1842	-0.67	0.21	-0.01
15	SLU 10	-2	1	2318	-0.78	-0.45	-0.01
15	SLU 11	-1	1	2317	-0.79	-0.43	-0.01
15	SLU 12	-2	1	2318	-0.79	-0.44	-0.01
15	SLU 13	-2	1	2318	-0.78	-0.45	-0.01
15	SLU 14	-1	1	2317	-0.79	-0.43	-0.01
15	SLU 15	-2	1	2318	-0.79	-0.44	-0.01
15	SLU 16	-1	1	2317	-0.79	-0.43	-0.01
15	SLU 17	-2	1	2318	-0.79	-0.44	-0.01
15	SLU 18	-6	1	2521	-0.84	-0.71	-0.01
15	SLU 19	-6	1	2522	-0.84	-0.72	-0.01
15	SLU 20	-6	1	2521	-0.84	-0.71	-0.01
15	SLU 21	-6	1	2522	-0.84	-0.72	-0.01
15	SLU 22	4	1	2085	-0.73	-0.11	-0.01
15	SLU 23	4	1	2086	-0.73	-0.13	-0.01
15	SLU 24	4	1	2085	-0.73	-0.11	-0.01
15	SLU 25	4	1	2085	-0.73	-0.12	-0.01
15	SLU 26	4	1	2086	-0.73	-0.13	-0.01
15	SLU 27	4	1	2085	-0.73	-0.11	-0.01
15	SLU 28	4	1	2085	-0.73	-0.12	-0.01
15	SLU 29	4	1	2085	-0.73	-0.11	-0.01
15	SLU 30	4	1	2085	-0.73	-0.12	-0.01
15	SLU 31	-7	1	2561	-0.84	-0.78	-0.01
15	SLU 32	-7	1	2561	-0.85	-0.76	-0.01
15	SLU 33	-7	1	2561	-0.85	-0.77	-0.01
15	SLU 34	-7	1	2561	-0.84	-0.78	-0.01
15	SLU 35	-7	1	2561	-0.85	-0.76	-0.01
15	SLU 36	-7	1	2561	-0.85	-0.77	-0.01
15	SLU 37	-7	1	2561	-0.85	-0.76	-0.01
15	SLU 38	-7	1	2561	-0.85	-0.77	-0.01
15	SLU 39	-11	1	2765	-0.9	-1.04	-0.01
15	SLU 40	-11	1	2765	-0.9	-1.05	-0.01
15	SLU 41	-11	1	2765	-0.9	-1.04	-0.01
15	SLU 42	-11	1	2765	-0.9	-1.05	-0.01
15	SLU 43	14	1	2311	-0.85	0.4	-0.01
15	SLU 44	13	1	2312	-0.85	0.39	-0.01
15	SLU 45	14	1	2311	-0.85	0.4	-0.01
15	SLU 46	14	1	2311	-0.85	0.39	-0.01
15	SLU 47	13	1	2312	-0.85	0.39	-0.01
15	SLU 48	14	1	2311	-0.85	0.4	-0.01
15	SLU 49	14	1	2311	-0.85	0.39	-0.01
15	SLU 50	14	1	2311	-0.85	0.4	-0.01
15	SLU 51	14	1	2311	-0.85	0.39	-0.01
15	SLU 52	3	1	2787	-0.97	-0.26	-0.01
15	SLU 53	3	1	2787	-0.97	-0.25	-0.01
15	SLU 54	3	1	2787	-0.97	-0.26	-0.01
15	SLU 55	3	1	2787	-0.97	-0.26	-0.01
15	SLU 56	3	1	2787	-0.97	-0.25	-0.01
15	SLU 57	3	1	2787	-0.97	-0.26	-0.01
15	SLU 58	3	1	2787	-0.97	-0.25	-0.01
15	SLU 59	3	1	2787	-0.97	-0.26	-0.01
15	SLU 60	-1	2	2991	-1.02	-0.53	-0.01
15	SLU 61	-2	2	2991	-1.02	-0.54	-0.01



Nodo Ind.	Cont. N.br.	Reazione a traslazione				Reazione a rotazione		
		x	y	z		x	y	z
15	SLU 62	-1	2	2991		-1.02	-0.53	-0.01
15	SLU 63	-2	2	2991		-1.02	-0.54	-0.01
15	SLU 64	8	1	2554		-0.91	0.07	-0.01
15	SLU 65	8	1	2555		-0.91	0.06	-0.01
15	SLU 66	8	1	2554		-0.91	0.07	-0.01
15	SLU 67	8	1	2555		-0.91	0.06	-0.01
15	SLU 68	8	1	2555		-0.91	0.06	-0.01
15	SLU 69	8	1	2554		-0.91	0.07	-0.01
15	SLU 70	8	1	2555		-0.91	0.06	-0.01
15	SLU 71	8	1	2554		-0.91	0.07	-0.01
15	SLU 72	8	1	2555		-0.91	0.06	-0.01
15	SLU 73	-2	2	3031		-1.03	-0.6	-0.02
15	SLU 74	-2	2	3030		-1.03	-0.58	-0.02
15	SLU 75	-2	2	3030		-1.03	-0.59	-0.02
15	SLU 76	-2	2	3031		-1.03	-0.6	-0.02
15	SLU 77	-2	2	3030		-1.03	-0.58	-0.02
15	SLU 78	-2	2	3030		-1.03	-0.59	-0.02
15	SLU 79	-2	2	3030		-1.03	-0.58	-0.02
15	SLU 80	-2	2	3030		-1.03	-0.59	-0.02
15	SLU 81	-7	2	3234		-1.08	-0.86	-0.02
15	SLU 82	-7	2	3234		-1.08	-0.87	-0.02
15	SLU 83	-7	2	3234		-1.08	-0.86	-0.02
15	SLU 84	-7	2	3234		-1.08	-0.87	-0.02
15	SLE RA 1	8	1	1911		-0.69	0.13	-0.01
15	SLE RA 2	7	1	1912		-0.69	0.12	-0.01
15	SLE RA 3	8	1	1911		-0.69	0.13	-0.01
15	SLE RA 4	7	1	1912		-0.69	0.12	-0.01
15	SLE RA 5	7	1	1912		-0.69	0.12	-0.01
15	SLE RA 6	8	1	1911		-0.69	0.13	-0.01
15	SLE RA 7	7	1	1912		-0.69	0.12	-0.01
15	SLE RA 8	8	1	1911		-0.69	0.13	-0.01
15	SLE RA 9	7	1	1912		-0.69	0.12	-0.01
15	SLE RA 10	0	1	2229		-0.76	-0.32	-0.01
15	SLE RA 11	1	1	2228		-0.77	-0.31	-0.01
15	SLE RA 12	0	1	2229		-0.77	-0.31	-0.01
15	SLE RA 13	0	1	2229		-0.76	-0.32	-0.01
15	SLE RA 14	1	1	2228		-0.77	-0.31	-0.01
15	SLE RA 15	0	1	2229		-0.77	-0.31	-0.01
15	SLE RA 16	1	1	2228		-0.77	-0.31	-0.01
15	SLE RA 17	0	1	2229		-0.77	-0.31	-0.01
15	SLE RA 18	-3	1	2364		-0.8	-0.49	-0.01
15	SLE RA 19	-3	1	2365		-0.8	-0.5	-0.01
15	SLE RA 20	-3	1	2364		-0.8	-0.49	-0.01
15	SLE RA 21	-3	1	2365		-0.8	-0.5	-0.01
15	SLE FR 1	8	1	1911		-0.69	0.13	-0.01
15	SLE FR 2	7	1	1911		-0.69	0.12	-0.01
15	SLE FR 3	8	1	1911		-0.69	0.13	-0.01
15	SLE FR 4	4	1	2047		-0.72	-0.06	-0.01
15	SLE FR 5	5	1	2047		-0.72	-0.06	-0.01
15	SLE FR 6	3	1	2138		-0.74	-0.18	-0.01
15	SLE QP 1	8	1	1911		-0.69	0.13	-0.01
15	SLE QP 2	5	1	2047		-0.72	-0.06	-0.01
15	SLD 1	213	18	2002		-14.38	8.9	-0.15
15	SLD 2	213	18	2002		-14.38	8.9	-0.15
15	SLD 3	183	10	1922		-9.42	7.67	-0.09
15	SLD 4	183	10	1922		-9.42	7.67	-0.09
15	SLD 5	113	19	2156		-12.34	4.49	-0.14
15	SLD 6	113	19	2156		-12.34	4.49	-0.14
15	SLD 7	12	-9	1888		4.19	0.4	0.05
15	SLD 8	12	-9	1888		4.19	0.4	0.05
15	SLD 9	-3	11	2207		-5.63	-0.51	-0.07
15	SLD 10	-3	11	2207		-5.63	-0.51	-0.07
15	SLD 11	-104	-17	1939		10.89	-4.61	0.12
15	SLD 12	-104	-17	1939		10.89	-4.61	0.12
15	SLD 13	-174	-8	2173		7.98	-7.79	0.07
15	SLD 14	-174	-8	2173		7.98	-7.79	0.07
15	SLD 15	-204	-16	2092		12.93	-9.01	0.13
15	SLD 16	-204	-16	2092		12.93	-9.01	0.13
15	SLV 1	498	45	1940		-35.42	21.11	-0.36
15	SLV 2	498	45	1940		-35.42	21.11	-0.36
15	SLV 3	426	24	1751		-23.13	18.2	-0.22
15	SLV 4	426	24	1751		-23.13	18.2	-0.22
15	SLV 5	262	45	2303		-29.77	10.69	-0.32
15	SLV 6	262	45	2303		-29.77	10.69	-0.32
15	SLV 7	22	-23	1671		11.19	1.02	0.13
15	SLV 8	22	-23	1671		11.19	1.02	0.13
15	SLV 9	-13	25	2423		-12.64	-1.14	-0.16
15	SLV 10	-13	25	2423		-12.64	-1.14	-0.16
15	SLV 11	-253	-43	1792		28.33	-10.81	0.3
15	SLV 12	-253	-43	1792		28.33	-10.81	0.3
15	SLV 13	-417	-22	2344		21.69	-18.32	0.2
15	SLV 14	-417	-22	2344		21.69	-18.32	0.2
15	SLV 15	-489	-43	2154		33.98	-21.22	0.34
15	SLV 16	-489	-43	2154		33.98	-21.22	0.34
16	SLU 1	20	2	1850		-0.71	0.82	0
16	SLU 2	19	2	1851		-0.71	0.81	0
16	SLU 3	20	2	1850		-0.71	0.82	0
16	SLU 4	19	2	1850		-0.71	0.82	0



Nodo Ind.	Cont. N.br.	Reazione a traslazione			Reazione a rotazione		
		x	y	z	x	y	z
16	SLU 5	19	2	1851	-0.71	0.81	0
16	SLU 6	20	2	1850	-0.71	0.82	0
16	SLU 7	19	2	1850	-0.71	0.82	0
16	SLU 8	20	2	1850	-0.71	0.82	0
16	SLU 9	19	2	1850	-0.71	0.82	0
16	SLU 10	17	2	2310	-0.78	1.02	0
16	SLU 11	17	2	2309	-0.78	1.02	0
16	SLU 12	17	2	2309	-0.78	1.02	0
16	SLU 13	17	2	2310	-0.78	1.02	0
16	SLU 14	17	2	2309	-0.78	1.02	0
16	SLU 15	17	2	2309	-0.78	1.02	0
16	SLU 16	17	2	2309	-0.78	1.02	0
16	SLU 17	17	2	2309	-0.78	1.02	0
16	SLU 18	16	2	2505	-0.81	1.1	0
16	SLU 19	16	2	2506	-0.81	1.1	0
16	SLU 20	16	2	2505	-0.81	1.1	0
16	SLU 21	16	2	2506	-0.81	1.1	0
16	SLU 22	18	2	2085	-0.75	0.92	0
16	SLU 23	18	2	2085	-0.75	0.92	0
16	SLU 24	18	2	2085	-0.75	0.92	0
16	SLU 25	18	2	2085	-0.75	0.92	0
16	SLU 26	18	2	2085	-0.75	0.92	0
16	SLU 27	18	2	2085	-0.75	0.92	0
16	SLU 28	18	2	2085	-0.75	0.92	0
16	SLU 29	18	2	2085	-0.75	0.92	0
16	SLU 30	18	2	2085	-0.75	0.92	0
16	SLU 31	16	2	2544	-0.82	1.12	0
16	SLU 32	16	2	2543	-0.82	1.12	0
16	SLU 33	16	2	2544	-0.82	1.12	0
16	SLU 34	16	2	2544	-0.82	1.12	0
16	SLU 35	16	2	2543	-0.82	1.12	0
16	SLU 36	16	2	2544	-0.82	1.12	0
16	SLU 37	16	2	2543	-0.82	1.12	0
16	SLU 38	16	2	2544	-0.82	1.12	0
16	SLU 39	15	3	2740	-0.85	1.21	0
16	SLU 40	15	3	2740	-0.85	1.21	0
16	SLU 41	15	3	2740	-0.85	1.21	0
16	SLU 42	15	3	2740	-0.85	1.21	0
16	SLU 43	26	3	2324	-0.91	1.03	0
16	SLU 44	26	3	2325	-0.91	1.02	0
16	SLU 45	26	3	2324	-0.91	1.03	0
16	SLU 46	26	3	2325	-0.91	1.03	0
16	SLU 47	26	3	2325	-0.91	1.02	0
16	SLU 48	26	3	2324	-0.91	1.03	0
16	SLU 49	26	3	2325	-0.91	1.03	0
16	SLU 50	26	3	2324	-0.91	1.03	0
16	SLU 51	26	3	2325	-0.91	1.03	0
16	SLU 52	23	3	2784	-0.98	1.23	0
16	SLU 53	23	3	2783	-0.98	1.23	0
16	SLU 54	23	3	2784	-0.98	1.23	0
16	SLU 55	23	3	2784	-0.98	1.23	0
16	SLU 56	23	3	2783	-0.98	1.23	0
16	SLU 57	23	3	2784	-0.98	1.23	0
16	SLU 58	23	3	2783	-0.98	1.23	0
16	SLU 59	23	3	2784	-0.98	1.23	0
16	SLU 60	22	3	2980	-1.01	1.31	0
16	SLU 61	22	3	2980	-1.01	1.31	0
16	SLU 62	22	3	2980	-1.01	1.31	0
16	SLU 63	22	3	2980	-1.01	1.31	0
16	SLU 64	25	3	2559	-0.95	1.13	0
16	SLU 65	24	3	2560	-0.95	1.13	0
16	SLU 66	25	3	2559	-0.95	1.13	0
16	SLU 67	25	3	2560	-0.95	1.13	0
16	SLU 68	24	3	2560	-0.95	1.13	0
16	SLU 69	25	3	2559	-0.95	1.13	0
16	SLU 70	25	3	2560	-0.95	1.13	0
16	SLU 71	25	3	2559	-0.95	1.13	0
16	SLU 72	25	3	2560	-0.95	1.13	0
16	SLU 73	22	3	3019	-1.02	1.33	0
16	SLU 74	22	3	3018	-1.02	1.33	0
16	SLU 75	22	3	3018	-1.02	1.33	0
16	SLU 76	22	3	3019	-1.02	1.33	0
16	SLU 77	22	3	3018	-1.02	1.33	0
16	SLU 78	22	3	3018	-1.02	1.33	0
16	SLU 79	22	3	3018	-1.02	1.33	0
16	SLU 80	22	3	3018	-1.02	1.33	0
16	SLU 81	21	3	3214	-1.05	1.42	0
16	SLU 82	21	3	3215	-1.05	1.42	0
16	SLU 83	21	3	3214	-1.05	1.42	0
16	SLU 84	21	3	3215	-1.05	1.42	0
16	SLE RA 1	19	2	1917	-0.72	0.85	0
16	SLE RA 2	19	2	1918	-0.72	0.85	0
16	SLE RA 3	19	2	1917	-0.72	0.85	0
16	SLE RA 4	19	2	1917	-0.72	0.85	0
16	SLE RA 5	19	2	1918	-0.72	0.85	0
16	SLE RA 6	19	2	1917	-0.72	0.85	0
16	SLE RA 7	19	2	1917	-0.72	0.85	0
16	SLE RA 8	19	2	1917	-0.72	0.85	0



Nodo Ind.	Cont. N.br.	Reazione a traslazione			Reazione a rotazione		
		x	y	z	x	y	z
16	SLE RA 9	19	2	1917	-0.72	0.85	0
16	SLE RA 10	17	2	2223	-0.77	0.98	0
16	SLE RA 11	18	2	2223	-0.77	0.98	0
16	SLE RA 12	17	2	2223	-0.77	0.98	0
16	SLE RA 13	17	2	2223	-0.77	0.98	0
16	SLE RA 14	18	2	2223	-0.77	0.98	0
16	SLE RA 15	17	2	2223	-0.77	0.98	0
16	SLE RA 16	18	2	2223	-0.77	0.98	0
16	SLE RA 17	17	2	2223	-0.77	0.98	0
16	SLE RA 18	17	2	2354	-0.79	1.04	0
16	SLE RA 19	17	2	2354	-0.79	1.04	0
16	SLE RA 20	17	2	2354	-0.79	1.04	0
16	SLE RA 21	17	2	2354	-0.79	1.04	0
16	SLE FR 1	19	2	1917	-0.72	0.85	0
16	SLE FR 2	19	2	1917	-0.72	0.85	0
16	SLE FR 3	19	2	1917	-0.72	0.85	0
16	SLE FR 4	18	2	2048	-0.74	0.9	0
16	SLE FR 5	18	2	2048	-0.74	0.9	0
16	SLE FR 6	18	2	2135	-0.75	0.94	0
16	SLE QP 1	19	2	1917	-0.72	0.85	0
16	SLE QP 2	18	2	2048	-0.74	0.9	0
16	SLD 1	222	12	2181	-7.99	9.74	-0.05
16	SLD 2	222	12	2181	-7.99	9.74	-0.05
16	SLD 3	188	5	2070	-5.2	8.46	-0.02
16	SLD 4	188	5	2070	-5.2	8.46	-0.02
16	SLD 5	130	15	2255	-7.16	5.51	-0.07
16	SLD 6	130	15	2255	-7.16	5.51	-0.07
16	SLD 7	18	-7	1887	2.16	1.21	0.04
16	SLD 8	18	-7	1887	2.16	1.21	0.04
16	SLD 9	19	12	2209	-3.64	0.59	-0.05
16	SLD 10	19	12	2209	-3.64	0.59	-0.05
16	SLD 11	-93	-11	1841	5.68	-3.7	0.06
16	SLD 12	-93	-11	1841	5.68	-3.7	0.06
16	SLD 13	-151	-1	2026	3.72	-6.65	0.02
16	SLD 14	-151	-1	2026	3.72	-6.65	0.02
16	SLD 15	-185	-8	1915	6.51	-7.94	0.05
16	SLD 16	-185	-8	1915	6.51	-7.94	0.05
16	SLV 1	498	26	2361	-19.14	21.78	-0.13
16	SLV 2	498	26	2361	-19.14	21.78	-0.13
16	SLV 3	419	10	2101	-12.25	18.75	-0.05
16	SLV 4	419	10	2101	-12.25	18.75	-0.05
16	SLV 5	282	34	2536	-16.72	11.77	-0.15
16	SLV 6	282	34	2536	-16.72	11.77	-0.15
16	SLV 7	19	-20	1669	6.27	1.66	0.1
16	SLV 8	19	-20	1669	6.27	1.66	0.1
16	SLV 9	18	24	2427	-7.75	0.15	-0.1
16	SLV 10	18	24	2427	-7.75	0.15	-0.1
16	SLV 11	-245	-29	1560	15.24	-9.96	0.15
16	SLV 12	-245	-29	1560	15.24	-9.96	0.15
16	SLV 13	-382	-6	1995	10.77	-16.94	0.04
16	SLV 14	-382	-6	1995	10.77	-16.94	0.04
16	SLV 15	-461	-22	1735	17.66	-19.98	0.12
16	SLV 16	-461	-22	1735	17.66	-19.98	0.12
17	SLU 1	8	138	2376	-3.35	0.3	0
17	SLU 2	7	139	2378	-3.39	0.28	0
17	SLU 3	8	138	2376	-3.35	0.3	0
17	SLU 4	8	139	2378	-3.37	0.29	0
17	SLU 5	7	139	2378	-3.39	0.28	0
17	SLU 6	8	138	2376	-3.35	0.3	0
17	SLU 7	8	139	2378	-3.37	0.29	0
17	SLU 8	8	138	2376	-3.35	0.3	0
17	SLU 9	8	139	2378	-3.37	0.29	0
17	SLU 10	8	148	2930	-3.13	0.17	0
17	SLU 11	8	147	2928	-3.1	0.19	0
17	SLU 12	8	148	2929	-3.12	0.18	0
17	SLU 13	8	148	2930	-3.13	0.17	0
17	SLU 14	8	147	2928	-3.1	0.19	0
17	SLU 15	8	148	2929	-3.12	0.18	0
17	SLU 16	8	147	2928	-3.1	0.19	0
17	SLU 17	8	148	2929	-3.12	0.18	0
17	SLU 18	8	151	3164	-2.99	0.15	0
17	SLU 19	8	152	3165	-3.01	0.13	0
17	SLU 20	8	151	3164	-2.99	0.15	0
17	SLU 21	8	152	3165	-3.01	0.13	0
17	SLU 22	8	143	2658	-3.22	0.25	0
17	SLU 23	8	144	2660	-3.26	0.22	0
17	SLU 24	8	143	2658	-3.22	0.25	0
17	SLU 25	8	143	2660	-3.24	0.23	0
17	SLU 26	8	144	2660	-3.26	0.22	0
17	SLU 27	8	143	2658	-3.22	0.25	0
17	SLU 28	8	143	2660	-3.24	0.23	0
17	SLU 29	8	143	2658	-3.22	0.25	0
17	SLU 30	8	143	2660	-3.24	0.23	0
17	SLU 31	8	153	3212	-3	0.11	0
17	SLU 32	8	152	3210	-2.97	0.14	0
17	SLU 33	8	152	3211	-2.99	0.12	0
17	SLU 34	8	153	3212	-3	0.11	0
17	SLU 35	8	152	3210	-2.97	0.14	0



Nodo Ind.	Cont. N.br.	Reazione a traslazione			Reazione a rotazione		
		x	y	z	x	y	z
17	SLU 36	8	152	3211	-2.99	0.12	0
17	SLU 37	8	152	3210	-2.97	0.14	0
17	SLU 38	8	152	3211	-2.99	0.12	0
17	SLU 39	8	156	3446	-2.86	0.09	0
17	SLU 40	8	156	3447	-2.88	0.08	0
17	SLU 41	8	156	3446	-2.86	0.09	0
17	SLU 42	8	156	3447	-2.88	0.08	0
17	SLU 43	10	178	2993	-4.41	0.41	0
17	SLU 44	10	179	2995	-4.44	0.39	0
17	SLU 45	10	178	2993	-4.41	0.41	0
17	SLU 46	10	179	2994	-4.43	0.4	0
17	SLU 47	10	179	2995	-4.44	0.39	0
17	SLU 48	10	178	2993	-4.41	0.41	0
17	SLU 49	10	179	2994	-4.43	0.4	0
17	SLU 50	10	178	2993	-4.41	0.41	0
17	SLU 51	10	179	2994	-4.43	0.4	0
17	SLU 52	10	188	3546	-4.18	0.28	0
17	SLU 53	10	187	3544	-4.15	0.3	0
17	SLU 54	10	188	3545	-4.17	0.29	0
17	SLU 55	10	188	3546	-4.18	0.28	0
17	SLU 56	10	187	3544	-4.15	0.3	0
17	SLU 57	10	188	3545	-4.17	0.29	0
17	SLU 58	10	187	3544	-4.15	0.3	0
17	SLU 59	10	188	3545	-4.17	0.29	0
17	SLU 60	11	191	3780	-4.04	0.25	0
17	SLU 61	10	191	3781	-4.06	0.24	0
17	SLU 62	11	191	3780	-4.04	0.25	0
17	SLU 63	10	191	3781	-4.06	0.24	0
17	SLU 64	10	183	3275	-4.28	0.35	0
17	SLU 65	10	183	3277	-4.31	0.33	0
17	SLU 66	10	183	3275	-4.28	0.35	0
17	SLU 67	10	183	3276	-4.3	0.34	0
17	SLU 68	10	183	3277	-4.31	0.33	0
17	SLU 69	10	183	3275	-4.28	0.35	0
17	SLU 70	10	183	3276	-4.3	0.34	0
17	SLU 71	10	183	3275	-4.28	0.35	0
17	SLU 72	10	183	3276	-4.3	0.34	0
17	SLU 73	10	193	3828	-4.05	0.22	0
17	SLU 74	11	192	3826	-4.02	0.25	0
17	SLU 75	10	192	3827	-4.04	0.23	0
17	SLU 76	10	193	3828	-4.05	0.22	0
17	SLU 77	11	192	3826	-4.02	0.25	0
17	SLU 78	10	192	3827	-4.04	0.23	0
17	SLU 79	11	192	3826	-4.02	0.25	0
17	SLU 80	10	192	3827	-4.04	0.23	0
17	SLU 81	11	196	4062	-3.91	0.2	0
17	SLU 82	10	196	4063	-3.93	0.19	0
17	SLU 83	11	196	4062	-3.91	0.2	0
17	SLU 84	10	196	4063	-3.93	0.19	0
17	SLE RA 1	8	140	2457	-3.32	0.29	0
17	SLE RA 2	8	140	2458	-3.34	0.27	0
17	SLE RA 3	8	140	2457	-3.32	0.29	0
17	SLE RA 4	8	140	2458	-3.33	0.28	0
17	SLE RA 5	8	140	2458	-3.34	0.27	0
17	SLE RA 6	8	140	2457	-3.32	0.29	0
17	SLE RA 7	8	140	2458	-3.33	0.28	0
17	SLE RA 8	8	140	2457	-3.32	0.29	0
17	SLE RA 9	8	140	2458	-3.33	0.28	0
17	SLE RA 10	8	146	2826	-3.17	0.2	0
17	SLE RA 11	8	146	2824	-3.15	0.21	0
17	SLE RA 12	8	146	2825	-3.16	0.2	0
17	SLE RA 13	8	146	2826	-3.17	0.2	0
17	SLE RA 14	8	146	2824	-3.15	0.21	0
17	SLE RA 15	8	146	2825	-3.16	0.2	0
17	SLE RA 16	8	146	2824	-3.15	0.21	0
17	SLE RA 17	8	146	2825	-3.16	0.2	0
17	SLE RA 18	8	148	2982	-3.07	0.18	0
17	SLE RA 19	8	148	2983	-3.08	0.17	0
17	SLE RA 20	8	148	2982	-3.07	0.18	0
17	SLE RA 21	8	148	2983	-3.08	0.17	0
17	SLE FR 1	8	140	2457	-3.32	0.29	0
17	SLE FR 2	8	140	2457	-3.32	0.28	0
17	SLE FR 3	8	140	2457	-3.32	0.29	0
17	SLE FR 4	8	142	2615	-3.25	0.25	0
17	SLE FR 5	8	142	2614	-3.24	0.25	0
17	SLE FR 6	8	144	2719	-3.19	0.23	0
17	SLE QP 1	8	140	2457	-3.32	0.29	0
17	SLE QP 2	8	142	2614	-3.24	0.25	0
17	SLD 1	188	204	2820	-5.97	8.25	-0.02
17	SLD 2	188	204	2820	-5.97	8.25	-0.02
17	SLD 3	167	142	2612	-3.18	7.34	-0.01
17	SLD 4	167	142	2612	-3.18	7.34	-0.01
17	SLD 5	94	255	2991	-8.29	4.03	-0.02
17	SLD 6	94	255	2991	-8.29	4.03	-0.02
17	SLD 7	23	48	2299	1.01	1	0
17	SLD 8	23	48	2299	1.01	1	0
17	SLD 9	-7	236	2930	-7.49	-0.5	-0.01
17	SLD 10	-7	236	2930	-7.49	-0.5	-0.01



Nodo Ind.	Cont. N.br.	Reazione a traslazione			Reazione a rotazione		
		x	y	z	x	y	z
17	SLD 11	-79	30	2238	1.81	-3.52	0.01
17	SLD 12	-79	30	2238	1.81	-3.52	0.01
17	SLD 13	-151	142	2617	-3.3	-6.83	0.01
17	SLD 14	-151	142	2617	-3.3	-6.83	0.01
17	SLD 15	-172	80	2409	-0.51	-7.74	0.01
17	SLD 16	-172	80	2409	-0.51	-7.74	0.01
17	SLV 1	434	291	3099	-9.78	19.14	-0.04
17	SLV 2	434	291	3099	-9.78	19.14	-0.04
17	SLV 3	384	145	2610	-3.22	17.01	-0.03
17	SLV 4	384	145	2610	-3.22	17.01	-0.03
17	SLV 5	212	408	3502	-15.16	9.15	-0.03
17	SLV 6	212	408	3502	-15.16	9.15	-0.03
17	SLV 7	44	-78	1871	6.72	2.05	0.01
17	SLV 8	44	-78	1871	6.72	2.05	0.01
17	SLV 9	-28	363	3358	-13.21	-1.54	-0.01
17	SLV 10	-28	363	3358	-13.21	-1.54	-0.01
17	SLV 11	-196	-124	1727	8.67	-8.64	0.03
17	SLV 12	-196	-124	1727	8.67	-8.64	0.03
17	SLV 13	-368	140	2619	-3.27	-16.5	0.02
17	SLV 14	-368	140	2619	-3.27	-16.5	0.02
17	SLV 15	-418	-6	2130	3.29	-18.63	0.04
17	SLV 16	-418	-6	2130	3.29	-18.63	0.04
18	SLU 1	-5	0	1644	-0.04	-0.22	-0.01
18	SLU 2	-6	0	1645	-0.04	-0.25	-0.01
18	SLU 3	-5	0	1644	-0.04	-0.22	-0.01
18	SLU 4	-5	0	1645	-0.04	-0.24	-0.01
18	SLU 5	-6	0	1645	-0.04	-0.25	-0.01
18	SLU 6	-5	0	1644	-0.04	-0.22	-0.01
18	SLU 7	-5	0	1645	-0.04	-0.24	-0.01
18	SLU 8	-5	0	1644	-0.04	-0.22	-0.01
18	SLU 9	-5	0	1645	-0.04	-0.24	-0.01
18	SLU 10	2	0	2051	0.05	0.04	-0.01
18	SLU 11	2	0	2050	0.05	0.06	-0.01
18	SLU 12	2	0	2051	0.05	0.05	-0.01
18	SLU 13	2	0	2051	0.05	0.04	-0.01
18	SLU 14	2	0	2050	0.05	0.06	-0.01
18	SLU 15	2	0	2051	0.05	0.05	-0.01
18	SLU 16	2	0	2050	0.05	0.06	-0.01
18	SLU 17	2	0	2051	0.05	0.05	-0.01
18	SLU 18	5	0	2224	0.08	0.18	-0.01
18	SLU 19	5	0	2224	0.08	0.17	-0.01
18	SLU 20	5	0	2224	0.08	0.18	-0.01
18	SLU 21	5	0	2224	0.08	0.17	-0.01
18	SLU 22	-1	0	1852	0	-0.08	-0.01
18	SLU 23	-2	0	1853	0	-0.1	-0.01
18	SLU 24	-1	0	1852	0	-0.08	-0.01
18	SLU 25	-2	0	1852	0	-0.09	-0.01
18	SLU 26	-2	0	1853	0	-0.1	-0.01
18	SLU 27	-1	0	1852	0	-0.08	-0.01
18	SLU 28	-2	0	1852	0	-0.09	-0.01
18	SLU 29	-1	0	1852	0	-0.08	-0.01
18	SLU 30	-2	0	1852	0	-0.09	-0.01
18	SLU 31	5	0	2258	0.09	0.18	-0.01
18	SLU 32	6	0	2258	0.09	0.21	-0.01
18	SLU 33	6	0	2258	0.09	0.19	-0.01
18	SLU 34	5	0	2258	0.09	0.18	-0.01
18	SLU 35	6	0	2258	0.09	0.21	-0.01
18	SLU 36	6	0	2258	0.09	0.19	-0.01
18	SLU 37	6	0	2258	0.09	0.21	-0.01
18	SLU 38	6	0	2258	0.09	0.19	-0.01
18	SLU 39	9	0	2432	0.13	0.33	-0.01
18	SLU 40	9	0	2432	0.13	0.31	-0.01
18	SLU 41	9	0	2432	0.13	0.33	-0.01
18	SLU 42	9	0	2432	0.13	0.31	-0.01
18	SLU 43	-8	1	2066	-0.07	-0.34	-0.01
18	SLU 44	-8	1	2067	-0.07	-0.36	-0.01
18	SLU 45	-8	1	2066	-0.07	-0.34	-0.01
18	SLU 46	-8	1	2067	-0.07	-0.35	-0.01
18	SLU 47	-8	1	2067	-0.07	-0.36	-0.01
18	SLU 48	-8	1	2066	-0.07	-0.34	-0.01
18	SLU 49	-8	1	2067	-0.07	-0.35	-0.01
18	SLU 50	-8	1	2066	-0.07	-0.34	-0.01
18	SLU 51	-8	1	2067	-0.07	-0.35	-0.01
18	SLU 52	-1	0	2473	0.02	-0.08	-0.01
18	SLU 53	0	0	2472	0.02	-0.05	-0.01
18	SLU 54	-1	0	2473	0.02	-0.07	-0.01
18	SLU 55	-1	0	2473	0.02	-0.08	-0.01
18	SLU 56	0	0	2472	0.02	-0.05	-0.01
18	SLU 57	-1	0	2473	0.02	-0.07	-0.01
18	SLU 58	0	0	2472	0.02	-0.05	-0.01
18	SLU 59	-1	0	2473	0.02	-0.07	-0.01
18	SLU 60	3	0	2646	0.06	0.07	-0.01
18	SLU 61	2	0	2647	0.06	0.05	-0.01
18	SLU 62	3	0	2646	0.06	0.07	-0.01
18	SLU 63	2	0	2647	0.06	0.05	-0.01
18	SLU 64	-4	1	2274	-0.02	-0.19	-0.01
18	SLU 65	-5	1	2275	-0.02	-0.22	-0.01
18	SLU 66	-4	1	2274	-0.02	-0.19	-0.01



Nodo Ind.	Cont. N.br.	Reazione a traslazione				Reazione a rotazione		
		x	y	z		x	y	z
18	SLU 67	-4	1	2274		-0.02	-0.21	-0.01
18	SLU 68	-5	1	2275		-0.02	-0.22	-0.01
18	SLU 69	-4	1	2274		-0.02	-0.19	-0.01
18	SLU 70	-4	1	2274		-0.02	-0.21	-0.01
18	SLU 71	-4	1	2274		-0.02	-0.19	-0.01
18	SLU 72	-4	1	2274		-0.02	-0.21	-0.01
18	SLU 73	3	0	2681		0.06	0.07	-0.01
18	SLU 74	3	0	2680		0.06	0.09	-0.01
18	SLU 75	3	0	2680		0.06	0.08	-0.01
18	SLU 76	3	0	2681		0.06	0.07	-0.01
18	SLU 77	3	0	2680		0.06	0.09	-0.01
18	SLU 78	3	0	2680		0.06	0.08	-0.01
18	SLU 79	3	0	2680		0.06	0.09	-0.01
18	SLU 80	3	0	2680		0.06	0.08	-0.01
18	SLU 81	6	0	2854		0.1	0.21	-0.01
18	SLU 82	6	0	2854		0.1	0.2	-0.01
18	SLU 83	6	0	2854		0.1	0.21	-0.01
18	SLU 84	6	0	2854		0.1	0.2	-0.01
18	SLE RA 1	-4	0	1704		-0.03	-0.18	-0.01
18	SLE RA 2	-4	0	1704		-0.03	-0.2	-0.01
18	SLE RA 3	-4	0	1704		-0.03	-0.18	-0.01
18	SLE RA 4	-4	0	1704		-0.03	-0.19	-0.01
18	SLE RA 5	-4	0	1704		-0.03	-0.2	-0.01
18	SLE RA 6	-4	0	1704		-0.03	-0.18	-0.01
18	SLE RA 7	-4	0	1704		-0.03	-0.19	-0.01
18	SLE RA 8	-4	0	1704		-0.03	-0.18	-0.01
18	SLE RA 9	-4	0	1704		-0.03	-0.19	-0.01
18	SLE RA 10	1	0	1975		0.03	-0.01	-0.01
18	SLE RA 11	1	0	1974		0.03	0.01	-0.01
18	SLE RA 12	1	0	1974		0.03	0	-0.01
18	SLE RA 13	1	0	1975		0.03	-0.01	-0.01
18	SLE RA 14	1	0	1974		0.03	0.01	-0.01
18	SLE RA 15	1	0	1974		0.03	0	-0.01
18	SLE RA 16	1	0	1974		0.03	0.01	-0.01
18	SLE RA 17	1	0	1974		0.03	0	-0.01
18	SLE RA 18	3	0	2090		0.06	0.09	-0.01
18	SLE RA 19	3	0	2090		0.06	0.08	-0.01
18	SLE RA 20	3	0	2090		0.06	0.09	-0.01
18	SLE RA 21	3	0	2090		0.06	0.08	-0.01
18	SLE FR 1	-4	0	1704		-0.03	-0.18	-0.01
18	SLE FR 2	-4	0	1704		-0.03	-0.18	-0.01
18	SLE FR 3	-4	0	1704		-0.03	-0.18	-0.01
18	SLE FR 4	-2	0	1820		0	-0.1	-0.01
18	SLE FR 5	-2	0	1820		0	-0.1	-0.01
18	SLE FR 6	0	0	1897		0.01	-0.04	-0.01
18	SLE QP 1	-4	0	1704		-0.03	-0.18	-0.01
18	SLE QP 2	-2	0	1820		0	-0.1	-0.01
18	SLD 1	149	-8	1932		6.11	6.84	0
18	SLD 2	149	-8	1932		6.11	6.84	0
18	SLD 3	170	-5	1830		3.46	7.74	0
18	SLD 4	170	-5	1830		3.46	7.74	0
18	SLD 5	12	-8	2009		5.85	0.62	-0.01
18	SLD 6	12	-8	2009		5.85	0.62	-0.01
18	SLD 7	81	4	1667		-2.98	3.61	0.01
18	SLD 8	81	4	1667		-2.98	3.61	0.01
18	SLD 9	-85	-3	1972		2.97	-3.81	-0.02
18	SLD 10	-85	-3	1972		2.97	-3.81	-0.02
18	SLD 11	-15	8	1630		-5.85	-0.82	0
18	SLD 12	-15	8	1630		-5.85	-0.82	0
18	SLD 13	-173	6	1809		-3.47	-7.93	-0.02
18	SLD 14	-173	6	1809		-3.47	-7.93	-0.02
18	SLD 15	-153	9	1707		-6.11	-7.04	-0.01
18	SLD 16	-153	9	1707		-6.11	-7.04	-0.01
18	SLV 1	354	-22	2086		15.48	16.29	0.01
18	SLV 2	354	-22	2086		15.48	16.29	0.01
18	SLV 3	403	-13	1844		8.99	18.41	0.02
18	SLV 4	403	-13	1844		8.99	18.41	0.02
18	SLV 5	30	-19	2265		14.48	1.61	-0.03
18	SLV 6	30	-19	2265		14.48	1.61	-0.03
18	SLV 7	194	9	1461		-7.14	8.66	0.02
18	SLV 8	194	9	1461		-7.14	8.66	0.02
18	SLV 9	-198	-8	2178		7.13	-8.86	-0.04
18	SLV 10	-198	-8	2178		7.13	-8.86	-0.04
18	SLV 11	-34	20	1374		-14.48	-1.81	0.01
18	SLV 12	-34	20	1374		-14.48	-1.81	0.01
18	SLV 13	-407	14	1795		-9	-18.6	-0.03
18	SLV 14	-407	14	1795		-9	-18.6	-0.03
18	SLV 15	-358	22	1553		-15.49	-16.49	-0.02
18	SLV 16	-358	22	1553		-15.49	-16.49	-0.02
19	SLU 1	-4	-1	1636		0.32	-0.02	0
19	SLU 2	-5	-1	1637		0.32	-0.05	0
19	SLU 3	-4	-1	1636		0.32	-0.02	0
19	SLU 4	-4	-1	1636		0.32	-0.04	0
19	SLU 5	-5	-1	1637		0.32	-0.05	0
19	SLU 6	-4	-1	1636		0.32	-0.02	0
19	SLU 7	-4	-1	1636		0.32	-0.04	0
19	SLU 8	-4	-1	1636		0.32	-0.02	0
19	SLU 9	-4	-1	1636		0.32	-0.04	0



Nodo Ind.	Cont. N.br.	Reazione a traslazione			Reazione a rotazione		
		x	y	z	x	y	z
19	SLU 10	1	-1	2055	0.45	0.23	0.01
19	SLU 11	2	-1	2054	0.44	0.26	0.01
19	SLU 12	2	-1	2055	0.45	0.24	0.01
19	SLU 13	1	-1	2055	0.45	0.23	0.01
19	SLU 14	2	-1	2054	0.44	0.26	0.01
19	SLU 15	2	-1	2055	0.45	0.24	0.01
19	SLU 16	2	-1	2054	0.44	0.26	0.01
19	SLU 17	2	-1	2055	0.45	0.24	0.01
19	SLU 18	5	-1	2234	0.5	0.38	0.01
19	SLU 19	4	-1	2234	0.5	0.36	0.01
19	SLU 20	5	-1	2234	0.5	0.38	0.01
19	SLU 21	4	-1	2234	0.5	0.36	0.01
19	SLU 22	-1	-1	1850	0.38	0.12	0.01
19	SLU 23	-2	-1	1850	0.39	0.09	0.01
19	SLU 24	-1	-1	1850	0.38	0.12	0.01
19	SLU 25	-1	-1	1850	0.38	0.1	0.01
19	SLU 26	-2	-1	1850	0.39	0.09	0.01
19	SLU 27	-1	-1	1850	0.38	0.12	0.01
19	SLU 28	-1	-1	1850	0.38	0.1	0.01
19	SLU 29	-1	-1	1850	0.38	0.12	0.01
19	SLU 30	-1	-1	1850	0.38	0.1	0.01
19	SLU 31	4	-1	2269	0.51	0.37	0.01
19	SLU 32	5	-1	2268	0.51	0.41	0.01
19	SLU 33	5	-1	2268	0.51	0.39	0.01
19	SLU 34	4	-1	2269	0.51	0.37	0.01
19	SLU 35	5	-1	2268	0.51	0.41	0.01
19	SLU 36	5	-1	2268	0.51	0.39	0.01
19	SLU 37	5	-1	2268	0.51	0.41	0.01
19	SLU 38	5	-1	2268	0.51	0.39	0.01
19	SLU 39	8	-2	2447	0.56	0.53	0.01
19	SLU 40	7	-2	2448	0.56	0.51	0.01
19	SLU 41	8	-2	2447	0.56	0.53	0.01
19	SLU 42	7	-2	2448	0.56	0.51	0.01
19	SLU 43	-6	-1	2054	0.39	-0.08	0.01
19	SLU 44	-7	-1	2054	0.4	-0.11	0.01
19	SLU 45	-6	-1	2054	0.39	-0.08	0.01
19	SLU 46	-7	-1	2054	0.39	-0.1	0.01
19	SLU 47	-7	-1	2054	0.4	-0.11	0.01
19	SLU 48	-6	-1	2054	0.39	-0.08	0.01
19	SLU 49	-7	-1	2054	0.39	-0.1	0.01
19	SLU 50	-6	-1	2054	0.39	-0.08	0.01
19	SLU 51	-7	-1	2054	0.39	-0.1	0.01
19	SLU 52	-1	-2	2472	0.52	0.17	0.01
19	SLU 53	0	-2	2472	0.51	0.21	0.01
19	SLU 54	-1	-2	2472	0.52	0.19	0.01
19	SLU 55	-1	-2	2472	0.52	0.17	0.01
19	SLU 56	0	-2	2472	0.51	0.21	0.01
19	SLU 57	-1	-2	2472	0.52	0.19	0.01
19	SLU 58	0	-2	2472	0.51	0.21	0.01
19	SLU 59	-1	-2	2472	0.52	0.19	0.01
19	SLU 60	2	-2	2651	0.57	0.33	0.01
19	SLU 61	2	-2	2651	0.57	0.31	0.01
19	SLU 62	2	-2	2651	0.57	0.33	0.01
19	SLU 63	2	-2	2651	0.57	0.31	0.01
19	SLU 64	-3	-1	2268	0.45	0.07	0.01
19	SLU 65	-4	-1	2268	0.46	0.03	0.01
19	SLU 66	-3	-1	2268	0.45	0.07	0.01
19	SLU 67	-4	-1	2268	0.46	0.05	0.01
19	SLU 68	-4	-1	2268	0.46	0.03	0.01
19	SLU 69	-3	-1	2268	0.45	0.07	0.01
19	SLU 70	-4	-1	2268	0.46	0.05	0.01
19	SLU 71	-3	-1	2268	0.45	0.07	0.01
19	SLU 72	-4	-1	2268	0.46	0.05	0.01
19	SLU 73	2	-2	2686	0.59	0.32	0.01
19	SLU 74	3	-2	2686	0.58	0.35	0.01
19	SLU 75	2	-2	2686	0.58	0.33	0.01
19	SLU 76	2	-2	2686	0.59	0.32	0.01
19	SLU 77	3	-2	2686	0.58	0.35	0.01
19	SLU 78	2	-2	2686	0.58	0.33	0.01
19	SLU 79	3	-2	2686	0.58	0.35	0.01
19	SLU 80	2	-2	2686	0.58	0.33	0.01
19	SLU 81	5	-2	2865	0.63	0.47	0.01
19	SLU 82	5	-2	2865	0.64	0.45	0.01
19	SLU 83	5	-2	2865	0.63	0.47	0.01
19	SLU 84	5	-2	2865	0.64	0.45	0.01
19	SLE RA 1	-3	-1	1697	0.33	0.02	0.01
19	SLE RA 2	-4	-1	1698	0.34	0	0.01
19	SLE RA 3	-3	-1	1697	0.33	0.02	0.01
19	SLE RA 4	-3	-1	1697	0.34	0.01	0.01
19	SLE RA 5	-4	-1	1698	0.34	0	0.01
19	SLE RA 6	-3	-1	1697	0.33	0.02	0.01
19	SLE RA 7	-3	-1	1697	0.34	0.01	0.01
19	SLE RA 8	-3	-1	1697	0.33	0.02	0.01
19	SLE RA 9	-3	-1	1697	0.34	0.01	0.01
19	SLE RA 10	0	-1	1976	0.42	0.19	0.01
19	SLE RA 11	1	-1	1976	0.42	0.21	0.01
19	SLE RA 12	1	-1	1976	0.42	0.2	0.01
19	SLE RA 13	0	-1	1976	0.42	0.19	0.01



Nodo Ind.	Cont. N.br.	Reazione a traslazione			Reazione a rotazione		
		x	y	z	x	y	z
19	SLE RA 14	1	-1	1976	0.42	0.21	0.01
19	SLE RA 15	1	-1	1976	0.42	0.2	0.01
19	SLE RA 16	1	-1	1976	0.42	0.21	0.01
19	SLE RA 17	1	-1	1976	0.42	0.2	0.01
19	SLE RA 18	3	-1	2096	0.45	0.29	0.01
19	SLE RA 19	2	-1	2096	0.46	0.28	0.01
19	SLE RA 20	3	-1	2096	0.45	0.29	0.01
19	SLE RA 21	2	-1	2096	0.46	0.28	0.01
19	SLE FR 1	-3	-1	1697	0.33	0.02	0.01
19	SLE FR 2	-3	-1	1697	0.34	0.01	0.01
19	SLE FR 3	-3	-1	1697	0.33	0.02	0.01
19	SLE FR 4	-1	-1	1817	0.37	0.1	0.01
19	SLE FR 5	-1	-1	1817	0.37	0.1	0.01
19	SLE FR 6	0	-1	1896	0.39	0.15	0.01
19	SLE QP 1	-3	-1	1697	0.33	0.02	0.01
19	SLE QP 2	-1	-1	1817	0.37	0.1	0.01
19	SLD 1	153	-16	1914	11.76	6.96	0.05
19	SLD 2	153	-16	1914	11.76	6.96	0.05
19	SLD 3	177	-11	1836	6.41	7.98	0.03
19	SLD 4	177	-11	1836	6.41	7.98	0.03
19	SLD 5	10	-14	1965	11.9	0.6	0.05
19	SLD 6	10	-14	1965	11.9	0.6	0.05
19	SLD 7	87	4	1703	-5.93	4.02	-0.01
19	SLD 8	87	4	1703	-5.93	4.02	-0.01
19	SLD 9	-90	-7	1930	6.67	-3.82	0.02
19	SLD 10	-90	-7	1930	6.67	-3.82	0.02
19	SLD 11	-12	12	1668	-11.16	-0.4	-0.04
19	SLD 12	-12	12	1668	-11.16	-0.4	-0.04
19	SLD 13	-179	9	1798	-5.67	-7.78	-0.02
19	SLD 14	-179	9	1798	-5.67	-7.78	-0.02
19	SLD 15	-156	14	1719	-11.02	-6.76	-0.04
19	SLD 16	-156	14	1719	-11.02	-6.76	-0.04
19	SLV 1	364	-40	2047	29.19	16.31	0.12
19	SLV 2	364	-40	2047	29.19	16.31	0.12
19	SLV 3	419	-26	1862	16.15	18.72	0.08
19	SLV 4	419	-26	1862	16.15	18.72	0.08
19	SLV 5	25	-33	2167	28.79	1.31	0.11
19	SLV 6	25	-33	2167	28.79	1.31	0.11
19	SLV 7	208	12	1549	-14.67	9.34	-0.04
19	SLV 8	208	12	1549	-14.67	9.34	-0.04
19	SLV 9	-211	-15	2084	15.41	-9.14	0.05
19	SLV 10	-211	-15	2084	15.41	-9.14	0.05
19	SLV 11	-27	31	1467	-28.05	-1.11	-0.1
19	SLV 12	-27	31	1467	-28.05	-1.11	-0.1
19	SLV 13	-421	24	1771	-15.41	-18.52	-0.07
19	SLV 14	-421	24	1771	-15.41	-18.52	-0.07
19	SLV 15	-366	37	1586	-28.45	-16.11	-0.11
19	SLV 16	-366	37	1586	-28.45	-16.11	-0.11
20	SLU 1	2	-1	1638	0.37	-0.03	0
20	SLU 2	1	-1	1638	0.39	-0.07	0
20	SLU 3	2	-1	1638	0.37	-0.03	0
20	SLU 4	2	-1	1638	0.38	-0.05	0
20	SLU 5	1	-1	1638	0.39	-0.07	0
20	SLU 6	2	-1	1638	0.37	-0.03	0
20	SLU 7	2	-1	1638	0.38	-0.05	0
20	SLU 8	2	-1	1638	0.37	-0.03	0
20	SLU 9	2	-1	1638	0.38	-0.05	0
20	SLU 10	8	-1	2064	0.5	0.08	0.01
20	SLU 11	8	-1	2064	0.48	0.12	0.01
20	SLU 12	8	-1	2064	0.49	0.1	0.01
20	SLU 13	8	-1	2064	0.5	0.08	0.01
20	SLU 14	8	-1	2064	0.48	0.12	0.01
20	SLU 15	8	-1	2064	0.49	0.1	0.01
20	SLU 16	8	-1	2064	0.48	0.12	0.01
20	SLU 17	8	-1	2064	0.49	0.1	0.01
20	SLU 18	11	-1	2247	0.53	0.18	0.01
20	SLU 19	11	-1	2247	0.54	0.16	0.01
20	SLU 20	11	-1	2247	0.53	0.18	0.01
20	SLU 21	11	-1	2247	0.54	0.16	0.01
20	SLU 22	5	-1	1856	0.43	0.05	0.01
20	SLU 23	5	-1	1856	0.45	0.01	0.01
20	SLU 24	5	-1	1856	0.43	0.05	0.01
20	SLU 25	5	-1	1856	0.44	0.02	0.01
20	SLU 26	5	-1	1856	0.45	0.01	0.01
20	SLU 27	5	-1	1856	0.43	0.05	0.01
20	SLU 28	5	-1	1856	0.44	0.02	0.01
20	SLU 29	5	-1	1856	0.43	0.05	0.01
20	SLU 30	5	-1	1856	0.44	0.02	0.01
20	SLU 31	11	-1	2282	0.56	0.16	0.01
20	SLU 32	12	-1	2282	0.54	0.2	0.01
20	SLU 33	11	-1	2282	0.55	0.17	0.01
20	SLU 34	11	-1	2282	0.56	0.16	0.01
20	SLU 35	12	-1	2282	0.54	0.2	0.01
20	SLU 36	11	-1	2282	0.55	0.17	0.01
20	SLU 37	12	-1	2282	0.54	0.2	0.01
20	SLU 38	11	-1	2282	0.55	0.17	0.01
20	SLU 39	14	-1	2465	0.59	0.26	0.01
20	SLU 40	14	-1	2465	0.6	0.24	0.01



Nodo Ind.	Cont. N.br.	Reazione a traslazione			Reazione a rotazione		
		x	y	z	x	y	z
20	SLU 41	14	-1	2465	0.59	0.26	0.01
20	SLU 42	14	-1	2465	0.6	0.24	0.01
20	SLU 43	2	-1	2054	0.46	-0.06	0.01
20	SLU 44	1	-1	2054	0.48	-0.1	0.01
20	SLU 45	2	-1	2054	0.46	-0.06	0.01
20	SLU 46	1	-1	2054	0.47	-0.09	0.01
20	SLU 47	1	-1	2054	0.48	-0.1	0.01
20	SLU 48	2	-1	2054	0.46	-0.06	0.01
20	SLU 49	1	-1	2054	0.47	-0.09	0.01
20	SLU 50	2	-1	2054	0.46	-0.06	0.01
20	SLU 51	1	-1	2054	0.47	-0.09	0.01
20	SLU 52	7	-1	2481	0.59	0.05	0.01
20	SLU 53	8	-1	2481	0.57	0.08	0.01
20	SLU 54	8	-1	2481	0.58	0.06	0.01
20	SLU 55	7	-1	2481	0.59	0.05	0.01
20	SLU 56	8	-1	2481	0.57	0.08	0.01
20	SLU 57	8	-1	2481	0.58	0.06	0.01
20	SLU 58	8	-1	2481	0.57	0.08	0.01
20	SLU 59	8	-1	2481	0.58	0.06	0.01
20	SLU 60	11	-2	2663	0.62	0.15	0.01
20	SLU 61	10	-2	2664	0.63	0.13	0.01
20	SLU 62	11	-2	2663	0.62	0.15	0.01
20	SLU 63	10	-2	2664	0.63	0.13	0.01
20	SLU 64	5	-1	2272	0.52	0.01	0.01
20	SLU 65	4	-1	2272	0.54	-0.03	0.01
20	SLU 66	5	-1	2272	0.52	0.01	0.01
20	SLU 67	4	-1	2272	0.53	-0.01	0.01
20	SLU 68	4	-1	2272	0.54	-0.03	0.01
20	SLU 69	5	-1	2272	0.52	0.01	0.01
20	SLU 70	4	-1	2272	0.53	-0.01	0.01
20	SLU 71	5	-1	2272	0.52	0.01	0.01
20	SLU 72	4	-1	2272	0.53	-0.01	0.01
20	SLU 73	10	-2	2699	0.65	0.12	0.01
20	SLU 74	11	-2	2699	0.63	0.16	0.01
20	SLU 75	11	-2	2699	0.64	0.14	0.01
20	SLU 76	10	-2	2699	0.65	0.12	0.01
20	SLU 77	11	-2	2699	0.63	0.16	0.01
20	SLU 78	11	-2	2699	0.64	0.14	0.01
20	SLU 79	11	-2	2699	0.63	0.16	0.01
20	SLU 80	11	-2	2699	0.64	0.14	0.01
20	SLU 81	14	-2	2881	0.68	0.22	0.01
20	SLU 82	13	-2	2882	0.69	0.2	0.01
20	SLU 83	14	-2	2881	0.68	0.22	0.01
20	SLU 84	13	-2	2882	0.69	0.2	0.01
20	SLE RA 1	3	-1	1700	0.39	-0.01	0
20	SLE RA 2	3	-1	1700	0.4	-0.03	0
20	SLE RA 3	3	-1	1700	0.39	-0.01	0
20	SLE RA 4	3	-1	1700	0.4	-0.02	0
20	SLE RA 5	3	-1	1700	0.4	-0.03	0
20	SLE RA 6	3	-1	1700	0.39	-0.01	0
20	SLE RA 7	3	-1	1700	0.4	-0.02	0
20	SLE RA 8	3	-1	1700	0.39	-0.01	0
20	SLE RA 9	3	-1	1700	0.4	-0.02	0
20	SLE RA 10	7	-1	1984	0.47	0.07	0.01
20	SLE RA 11	7	-1	1984	0.46	0.09	0.01
20	SLE RA 12	7	-1	1984	0.47	0.08	0.01
20	SLE RA 13	7	-1	1984	0.47	0.07	0.01
20	SLE RA 14	7	-1	1984	0.46	0.09	0.01
20	SLE RA 15	7	-1	1984	0.47	0.08	0.01
20	SLE RA 16	7	-1	1984	0.46	0.09	0.01
20	SLE RA 17	7	-1	1984	0.47	0.08	0.01
20	SLE RA 18	9	-1	2106	0.49	0.13	0.01
20	SLE RA 19	9	-1	2106	0.5	0.12	0.01
20	SLE RA 20	9	-1	2106	0.49	0.13	0.01
20	SLE RA 21	9	-1	2106	0.5	0.12	0.01
20	SLE FR 1	3	-1	1700	0.39	-0.01	0
20	SLE FR 2	3	-1	1700	0.39	-0.01	0
20	SLE FR 3	3	-1	1700	0.39	-0.01	0
20	SLE FR 4	5	-1	1822	0.42	0.03	0.01
20	SLE FR 5	5	-1	1822	0.42	0.03	0.01
20	SLE FR 6	6	-1	1903	0.44	0.06	0.01
20	SLE QP 1	3	-1	1700	0.39	-0.01	0
20	SLE QP 2	5	-1	1822	0.42	0.03	0.01
20	SLD 1	165	-21	1925	15.55	7.34	0.09
20	SLD 2	165	-21	1925	15.55	7.34	0.09
20	SLD 3	194	-12	1851	7.81	8.57	0.05
20	SLD 4	194	-12	1851	7.81	8.57	0.05
20	SLD 5	10	-21	1965	16.7	0.37	0.09
20	SLD 6	10	-21	1965	16.7	0.37	0.09
20	SLD 7	104	10	1719	-9.1	4.45	-0.04
20	SLD 8	104	10	1719	-9.1	4.45	-0.04
20	SLD 9	-94	-12	1925	9.94	-4.38	0.05
20	SLD 10	-94	-12	1925	9.94	-4.38	0.05
20	SLD 11	-1	19	1679	-15.86	-0.3	-0.08
20	SLD 12	-1	19	1679	-15.86	-0.3	-0.08
20	SLD 13	-184	10	1792	-6.98	-8.5	-0.04
20	SLD 14	-184	10	1792	-6.98	-8.5	-0.04
20	SLD 15	-156	19	1719	-14.72	-7.27	-0.08



Nodo Ind.	Cont. N.br.	Reazione a traslazione			Reazione a rotazione		
		x	y	z	x	y	z
20	SLD 16	-156	19	1719	-14.72	-7.27	-0.08
20	SLV 1	384	-53	2066	38.67	17.3	0.22
20	SLV 2	384	-53	2066	38.67	17.3	0.22
20	SLV 3	451	-30	1892	19.88	20.18	0.13
20	SLV 4	451	-30	1892	19.88	20.18	0.13
20	SLV 5	18	-51	2159	40.41	0.85	0.21
20	SLV 6	18	-51	2159	40.41	0.85	0.21
20	SLV 7	239	24	1579	-22.26	10.45	-0.09
20	SLV 8	239	24	1579	-22.26	10.45	-0.09
20	SLV 9	-229	-26	2065	23.09	-10.38	0.1
20	SLV 10	-229	-26	2065	23.09	-10.38	0.1
20	SLV 11	-9	49	1485	-39.57	-0.78	-0.2
20	SLV 12	-9	49	1485	-39.57	-0.78	-0.2
20	SLV 13	-441	28	1752	-19.04	-20.11	-0.12
20	SLV 14	-441	28	1752	-19.04	-20.11	-0.12
20	SLV 15	-375	51	1578	-37.84	-17.23	-0.21
20	SLV 16	-375	51	1578	-37.84	-17.23	-0.21
21	SLU 1	20	-1	1659	0.27	0.76	0
21	SLU 2	19	-1	1659	0.3	0.73	0
21	SLU 3	20	-1	1659	0.27	0.76	0
21	SLU 4	19	-1	1659	0.29	0.74	0
21	SLU 5	19	-1	1659	0.3	0.73	0
21	SLU 6	20	-1	1659	0.27	0.76	0
21	SLU 7	19	-1	1659	0.29	0.74	0
21	SLU 8	20	-1	1659	0.27	0.76	0
21	SLU 9	19	-1	1659	0.29	0.74	0
21	SLU 10	31	-1	2099	0.36	1.23	0
21	SLU 11	32	-1	2099	0.34	1.27	0
21	SLU 12	31	-1	2099	0.35	1.25	0
21	SLU 13	31	-1	2099	0.36	1.23	0
21	SLU 14	32	-1	2099	0.34	1.27	0
21	SLU 15	31	-1	2099	0.35	1.25	0
21	SLU 16	32	-1	2099	0.34	1.27	0
21	SLU 17	31	-1	2099	0.35	1.25	0
21	SLU 18	37	-1	2288	0.37	1.48	0
21	SLU 19	37	-1	2288	0.38	1.46	0
21	SLU 20	37	-1	2288	0.37	1.48	0
21	SLU 21	37	-1	2288	0.38	1.46	0
21	SLU 22	26	-1	1884	0.31	1.02	0
21	SLU 23	25	-1	1884	0.33	0.99	0
21	SLU 24	26	-1	1884	0.31	1.02	0
21	SLU 25	25	-1	1884	0.32	1	0
21	SLU 26	25	-1	1884	0.33	0.99	0
21	SLU 27	26	-1	1884	0.31	1.02	0
21	SLU 28	25	-1	1884	0.32	1	0
21	SLU 29	26	-1	1884	0.31	1.02	0
21	SLU 30	25	-1	1884	0.32	1	0
21	SLU 31	37	-1	2324	0.4	1.49	0
21	SLU 32	38	-1	2325	0.37	1.53	0
21	SLU 33	38	-1	2325	0.39	1.5	0
21	SLU 34	37	-1	2324	0.4	1.49	0
21	SLU 35	38	-1	2325	0.37	1.53	0
21	SLU 36	38	-1	2325	0.39	1.5	0
21	SLU 37	38	-1	2325	0.37	1.53	0
21	SLU 38	38	-1	2325	0.39	1.5	0
21	SLU 39	43	-1	2513	0.4	1.74	0
21	SLU 40	43	-1	2513	0.42	1.72	0
21	SLU 41	43	-1	2513	0.4	1.74	0
21	SLU 42	43	-1	2513	0.42	1.72	0
21	SLU 43	24	-1	2079	0.34	0.9	0
21	SLU 44	23	-1	2079	0.37	0.87	0
21	SLU 45	24	-1	2079	0.34	0.9	0
21	SLU 46	23	-1	2079	0.36	0.88	0
21	SLU 47	23	-1	2079	0.37	0.87	0
21	SLU 48	24	-1	2079	0.34	0.9	0
21	SLU 49	23	-1	2079	0.36	0.88	0
21	SLU 50	24	-1	2079	0.34	0.9	0
21	SLU 51	23	-1	2079	0.36	0.88	0
21	SLU 52	35	-1	2520	0.44	1.37	0
21	SLU 53	36	-1	2520	0.41	1.41	0
21	SLU 54	35	-1	2520	0.43	1.39	0
21	SLU 55	35	-1	2520	0.44	1.37	0
21	SLU 56	36	-1	2520	0.41	1.41	0
21	SLU 57	35	-1	2520	0.43	1.39	0
21	SLU 58	36	-1	2520	0.41	1.41	0
21	SLU 59	35	-1	2520	0.43	1.39	0
21	SLU 60	41	-1	2709	0.44	1.62	0
21	SLU 61	40	-1	2709	0.45	1.6	0
21	SLU 62	41	-1	2709	0.44	1.62	0
21	SLU 63	40	-1	2709	0.45	1.6	0
21	SLU 64	30	-1	2305	0.38	1.16	0
21	SLU 65	29	-1	2304	0.4	1.13	0
21	SLU 66	30	-1	2305	0.38	1.16	0
21	SLU 67	29	-1	2304	0.39	1.14	0
21	SLU 68	29	-1	2304	0.4	1.13	0
21	SLU 69	30	-1	2305	0.38	1.16	0
21	SLU 70	29	-1	2304	0.39	1.14	0
21	SLU 71	30	-1	2305	0.38	1.16	0



Nodo Ind.	Cont. N.br.	Reazione a traslazione			Reazione a rotazione		
		x	y	z	x	y	z
21	SLU 72	29	-1	2304	0.39	1.14	0
21	SLU 73	41	-1	2745	0.47	1.63	0
21	SLU 74	42	-1	2745	0.44	1.66	0
21	SLU 75	41	-1	2745	0.46	1.64	0
21	SLU 76	41	-1	2745	0.47	1.63	0
21	SLU 77	42	-1	2745	0.44	1.66	0
21	SLU 78	41	-1	2745	0.46	1.64	0
21	SLU 79	42	-1	2745	0.44	1.66	0
21	SLU 80	41	-1	2745	0.46	1.64	0
21	SLU 81	47	-1	2934	0.47	1.88	0
21	SLU 82	46	-1	2934	0.49	1.86	0
21	SLU 83	47	-1	2934	0.47	1.88	0
21	SLU 84	46	-1	2934	0.49	1.86	0
21	SLE RA 1	21	-1	1723	0.28	0.83	0
21	SLE RA 2	21	-1	1723	0.3	0.81	0
21	SLE RA 3	21	-1	1723	0.28	0.83	0
21	SLE RA 4	21	-1	1723	0.29	0.82	0
21	SLE RA 5	21	-1	1723	0.3	0.81	0
21	SLE RA 6	21	-1	1723	0.28	0.83	0
21	SLE RA 7	21	-1	1723	0.29	0.82	0
21	SLE RA 8	21	-1	1723	0.28	0.83	0
21	SLE RA 9	21	-1	1723	0.29	0.82	0
21	SLE RA 10	29	-1	2017	0.34	1.15	0
21	SLE RA 11	30	-1	2017	0.33	1.17	0
21	SLE RA 12	29	-1	2017	0.34	1.16	0
21	SLE RA 13	29	-1	2017	0.34	1.15	0
21	SLE RA 14	30	-1	2017	0.33	1.17	0
21	SLE RA 15	29	-1	2017	0.34	1.16	0
21	SLE RA 16	30	-1	2017	0.33	1.17	0
21	SLE RA 17	29	-1	2017	0.34	1.16	0
21	SLE RA 18	33	-1	2143	0.35	1.32	0
21	SLE RA 19	33	-1	2143	0.36	1.3	0
21	SLE RA 20	33	-1	2143	0.35	1.32	0
21	SLE RA 21	33	-1	2143	0.36	1.3	0
21	SLE FR 1	21	-1	1723	0.28	0.83	0
21	SLE FR 2	21	-1	1723	0.29	0.83	0
21	SLE FR 3	21	-1	1723	0.28	0.83	0
21	SLE FR 4	25	-1	1849	0.31	0.97	0
21	SLE FR 5	25	-1	1849	0.3	0.98	0
21	SLE FR 6	27	-1	1933	0.31	1.08	0
21	SLE QP 1	21	-1	1723	0.28	0.83	0
21	SLE QP 2	25	-1	1849	0.3	0.98	0
21	SLD 1	183	-23	1974	16.86	7.84	0.08
21	SLD 2	183	-23	1974	16.86	7.84	0.08
21	SLD 3	215	-12	1893	7.95	9.19	0.04
21	SLD 4	215	-12	1893	7.95	9.19	0.04
21	SLD 5	23	-25	2009	18.79	1	0.08
21	SLD 6	23	-25	2009	18.79	1	0.08
21	SLD 7	131	14	1740	-10.92	5.48	-0.04
21	SLD 8	131	14	1740	-10.92	5.48	-0.04
21	SLD 9	-81	-15	1958	11.53	-3.53	0.04
21	SLD 10	-81	-15	1958	11.53	-3.53	0.04
21	SLD 11	27	24	1689	-18.18	0.96	-0.07
21	SLD 12	27	24	1689	-18.18	0.96	-0.07
21	SLD 13	-165	10	1805	-7.34	-7.23	-0.04
21	SLD 14	-165	10	1805	-7.34	-7.23	-0.04
21	SLD 15	-133	22	1724	-16.26	-5.89	-0.07
21	SLD 16	-133	22	1724	-16.26	-5.89	-0.07
21	SLV 1	398	-58	2144	42.14	17.22	0.19
21	SLV 2	398	-58	2144	42.14	17.22	0.19
21	SLV 3	474	-30	1953	20.48	20.37	0.1
21	SLV 4	474	-30	1953	20.48	20.37	0.1
21	SLV 5	21	-61	2226	45.69	1.06	0.19
21	SLV 6	21	-61	2226	45.69	1.06	0.19
21	SLV 7	276	34	1592	-26.48	11.59	-0.1
21	SLV 8	276	34	1592	-26.48	11.59	-0.1
21	SLV 9	-226	-35	2107	27.09	-9.63	0.1
21	SLV 10	-226	-35	2107	27.09	-9.63	0.1
21	SLV 11	29	59	1472	-45.09	0.9	-0.18
21	SLV 12	29	59	1472	-45.09	0.9	-0.18
21	SLV 13	-424	28	1745	-19.88	-18.42	-0.1
21	SLV 14	-424	28	1745	-19.88	-18.42	-0.1
21	SLV 15	-348	57	1554	-41.53	-15.26	-0.18
21	SLV 16	-348	57	1554	-41.53	-15.26	-0.18
22	SLU 1	27	0	1703	0.11	0.77	0
22	SLU 2	27	0	1703	0.14	0.74	0
22	SLU 3	27	0	1703	0.11	0.77	0
22	SLU 4	27	0	1703	0.13	0.75	0
22	SLU 5	27	0	1703	0.14	0.74	0
22	SLU 6	27	0	1703	0.11	0.77	0
22	SLU 7	27	0	1703	0.13	0.75	0
22	SLU 8	27	0	1703	0.11	0.77	0
22	SLU 9	27	0	1703	0.13	0.75	0
22	SLU 10	38	0	2164	0.15	1	0
22	SLU 11	38	0	2164	0.12	1.04	0
22	SLU 12	38	0	2164	0.14	1.01	0
22	SLU 13	38	0	2164	0.15	1	0
22	SLU 14	38	0	2164	0.12	1.04	0



Nodo Ind.	Cont. N.br.	Reazione a traslazione			Reazione a rotazione		
		x	y	z	x	y	z
22	SLU 15	38	0	2164	0.14	1.01	0
22	SLU 16	38	0	2164	0.12	1.04	0
22	SLU 17	38	0	2164	0.14	1.01	0
22	SLU 18	43	0	2362	0.12	1.15	0
22	SLU 19	43	0	2362	0.14	1.13	0
22	SLU 20	43	0	2362	0.12	1.15	0
22	SLU 21	43	0	2362	0.14	1.13	0
22	SLU 22	33	0	1939	0.12	0.91	0
22	SLU 23	32	0	1938	0.15	0.87	0
22	SLU 24	33	0	1939	0.12	0.91	0
22	SLU 25	33	0	1939	0.13	0.89	0
22	SLU 26	32	0	1938	0.15	0.87	0
22	SLU 27	33	0	1939	0.12	0.91	0
22	SLU 28	33	0	1939	0.13	0.89	0
22	SLU 29	33	0	1939	0.12	0.91	0
22	SLU 30	33	0	1939	0.13	0.89	0
22	SLU 31	43	0	2400	0.15	1.13	0
22	SLU 32	44	0	2400	0.12	1.17	0
22	SLU 33	43	0	2400	0.14	1.15	0
22	SLU 34	43	0	2400	0.15	1.13	0
22	SLU 35	44	0	2400	0.12	1.17	0
22	SLU 36	43	0	2400	0.14	1.15	0
22	SLU 37	44	0	2400	0.12	1.17	0
22	SLU 38	43	0	2400	0.14	1.15	0
22	SLU 39	49	0	2598	0.13	1.28	0
22	SLU 40	48	0	2597	0.15	1.26	0
22	SLU 41	49	0	2598	0.13	1.28	0
22	SLU 42	48	0	2597	0.15	1.26	0
22	SLU 43	34	0	2133	0.14	0.96	0
22	SLU 44	33	0	2133	0.17	0.92	0
22	SLU 45	34	0	2133	0.14	0.96	0
22	SLU 46	33	0	2133	0.16	0.94	0
22	SLU 47	33	0	2133	0.17	0.92	0
22	SLU 48	34	0	2133	0.14	0.96	0
22	SLU 49	33	0	2133	0.16	0.94	0
22	SLU 50	34	0	2133	0.14	0.96	0
22	SLU 51	33	0	2133	0.16	0.94	0
22	SLU 52	44	-1	2594	0.18	1.19	0
22	SLU 53	45	0	2594	0.15	1.22	0
22	SLU 54	44	0	2594	0.17	1.2	0
22	SLU 55	44	-1	2594	0.18	1.19	0
22	SLU 56	45	0	2594	0.15	1.22	0
22	SLU 57	44	0	2594	0.17	1.2	0
22	SLU 58	45	0	2594	0.15	1.22	0
22	SLU 59	44	0	2594	0.17	1.2	0
22	SLU 60	49	0	2792	0.15	1.33	0
22	SLU 61	49	-1	2792	0.17	1.31	0
22	SLU 62	49	0	2792	0.15	1.33	0
22	SLU 63	49	-1	2792	0.17	1.31	0
22	SLU 64	39	0	2369	0.15	1.09	0
22	SLU 65	39	0	2368	0.18	1.06	0
22	SLU 66	39	0	2369	0.15	1.09	0
22	SLU 67	39	0	2369	0.17	1.07	0
22	SLU 68	39	0	2368	0.18	1.06	0
22	SLU 69	39	0	2369	0.15	1.09	0
22	SLU 70	39	0	2369	0.17	1.07	0
22	SLU 71	39	0	2369	0.15	1.09	0
22	SLU 72	39	0	2369	0.17	1.07	0
22	SLU 73	49	-1	2830	0.19	1.32	0
22	SLU 74	50	0	2830	0.16	1.35	0
22	SLU 75	50	-1	2830	0.17	1.33	0
22	SLU 76	49	-1	2830	0.19	1.32	0
22	SLU 77	50	0	2830	0.16	1.35	0
22	SLU 78	50	-1	2830	0.17	1.33	0
22	SLU 79	50	0	2830	0.16	1.35	0
22	SLU 80	50	-1	2830	0.17	1.33	0
22	SLU 81	55	-1	3028	0.16	1.47	0
22	SLU 82	54	-1	3027	0.18	1.45	0
22	SLU 83	55	-1	3028	0.16	1.47	0
22	SLU 84	54	-1	3027	0.18	1.45	0
22	SLE RA 1	29	0	1770	0.11	0.81	0
22	SLE RA 2	28	0	1770	0.13	0.79	0
22	SLE RA 3	29	0	1770	0.11	0.81	0
22	SLE RA 4	29	0	1770	0.12	0.8	0
22	SLE RA 5	28	0	1770	0.13	0.79	0
22	SLE RA 6	29	0	1770	0.11	0.81	0
22	SLE RA 7	29	0	1770	0.12	0.8	0
22	SLE RA 8	29	0	1770	0.11	0.81	0
22	SLE RA 9	29	0	1770	0.12	0.8	0
22	SLE RA 10	36	0	2078	0.14	0.96	0
22	SLE RA 11	36	0	2078	0.12	0.99	0
22	SLE RA 12	36	0	2078	0.13	0.97	0
22	SLE RA 13	36	0	2078	0.14	0.96	0
22	SLE RA 14	36	0	2078	0.12	0.99	0
22	SLE RA 15	36	0	2078	0.13	0.97	0
22	SLE RA 16	36	0	2078	0.12	0.99	0
22	SLE RA 17	36	0	2078	0.13	0.97	0
22	SLE RA 18	39	0	2210	0.12	1.06	0



Nodo Ind.	Cont. N.br.	Reazione a traslazione			Reazione a rotazione		
		x	y	z	x	y	z
22	SLE RA 19	39	0	2209	0.13	1.05	0
22	SLE RA 20	39	0	2210	0.12	1.06	0
22	SLE RA 21	39	0	2209	0.13	1.05	0
22	SLE FR 1	29	0	1770	0.11	0.81	0
22	SLE FR 2	29	0	1770	0.12	0.81	0
22	SLE FR 3	29	0	1770	0.11	0.81	0
22	SLE FR 4	32	0	1902	0.12	0.88	0
22	SLE FR 5	32	0	1902	0.11	0.89	0
22	SLE FR 6	34	0	1990	0.12	0.94	0
22	SLE QP 1	29	0	1770	0.11	0.81	0
22	SLE QP 2	32	0	1902	0.11	0.89	0
22	SLD 1	223	-21	2057	15.47	9.47	0.03
22	SLD 2	223	-21	2057	15.47	9.47	0.03
22	SLD 3	186	-10	1957	7.06	7.88	0.02
22	SLD 4	186	-10	1957	7.06	7.88	0.02
22	SLD 5	147	-23	2100	17.48	5.87	0.03
22	SLD 6	147	-23	2100	17.48	5.87	0.03
22	SLD 7	21	13	1767	-10.56	0.58	-0.02
22	SLD 8	21	13	1767	-10.56	0.58	-0.02
22	SLD 9	43	-14	2037	10.79	1.19	0.02
22	SLD 10	43	-14	2037	10.79	1.19	0.02
22	SLD 11	-82	23	1705	-17.25	-4.1	-0.03
22	SLD 12	-82	23	1705	-17.25	-4.1	-0.03
22	SLD 13	-122	10	1847	-6.83	-6.11	-0.02
22	SLD 14	-122	10	1847	-6.83	-6.11	-0.02
22	SLD 15	-159	21	1747	-15.24	-7.7	-0.03
22	SLD 16	-159	21	1747	-15.24	-7.7	-0.03
22	SLV 1	484	-54	2267	38.94	21.16	0.09
22	SLV 2	484	-54	2267	38.94	21.16	0.09
22	SLV 3	396	-27	2032	18.42	17.44	0.05
22	SLV 4	396	-27	2032	18.42	17.44	0.05
22	SLV 5	302	-58	2368	42.88	12.62	0.08
22	SLV 6	302	-58	2368	42.88	12.62	0.08
22	SLV 7	7	33	1585	-25.51	0.2	-0.04
22	SLV 8	7	33	1585	-25.51	0.2	-0.04
22	SLV 9	57	-34	2219	25.74	1.57	0.04
22	SLV 10	57	-34	2219	25.74	1.57	0.04
22	SLV 11	-237	57	1436	-42.65	-10.84	-0.08
22	SLV 12	-237	57	1436	-42.65	-10.84	-0.08
22	SLV 13	-332	26	1772	-18.19	-15.66	-0.05
22	SLV 14	-332	26	1772	-18.19	-15.66	-0.05
22	SLV 15	-420	53	1537	-38.71	-19.39	-0.09
22	SLV 16	-420	53	1537	-38.71	-19.39	-0.09
23	SLU 1	23	0	1761	-0.1	0.75	0
23	SLU 2	23	0	1760	-0.07	0.73	0
23	SLU 3	23	0	1761	-0.1	0.75	0
23	SLU 4	23	0	1760	-0.08	0.74	0
23	SLU 5	23	0	1760	-0.07	0.73	0
23	SLU 6	23	0	1761	-0.1	0.75	0
23	SLU 7	23	0	1760	-0.08	0.74	0
23	SLU 8	23	0	1761	-0.1	0.75	0
23	SLU 9	23	0	1760	-0.08	0.74	0
23	SLU 10	29	0	2244	-0.13	0.95	0
23	SLU 11	30	0	2245	-0.16	0.98	0
23	SLU 12	29	0	2244	-0.14	0.96	0
23	SLU 13	29	0	2244	-0.13	0.95	0
23	SLU 14	30	0	2245	-0.16	0.98	0
23	SLU 15	29	0	2244	-0.14	0.96	0
23	SLU 16	30	0	2245	-0.16	0.98	0
23	SLU 17	29	0	2244	-0.14	0.96	0
23	SLU 18	32	0	2452	-0.18	1.08	0
23	SLU 19	32	0	2452	-0.16	1.06	0
23	SLU 20	32	0	2452	-0.18	1.08	0
23	SLU 21	32	0	2452	-0.16	1.06	0
23	SLU 22	26	0	2008	-0.13	0.87	0
23	SLU 23	26	0	2008	-0.1	0.84	0
23	SLU 24	26	0	2008	-0.13	0.87	0
23	SLU 25	26	0	2008	-0.11	0.85	0
23	SLU 26	26	0	2008	-0.1	0.84	0
23	SLU 27	26	0	2008	-0.13	0.87	0
23	SLU 28	26	0	2008	-0.11	0.85	0
23	SLU 29	26	0	2008	-0.13	0.87	0
23	SLU 30	26	0	2008	-0.11	0.85	0
23	SLU 31	32	0	2492	-0.16	1.07	0
23	SLU 32	33	0	2492	-0.18	1.1	0
23	SLU 33	32	0	2492	-0.17	1.08	0
23	SLU 34	32	0	2492	-0.16	1.07	0
23	SLU 35	33	0	2492	-0.18	1.1	0
23	SLU 36	32	0	2492	-0.17	1.08	0
23	SLU 37	33	0	2492	-0.18	1.1	0
23	SLU 38	32	0	2492	-0.17	1.08	0
23	SLU 39	35	0	2699	-0.21	1.19	0
23	SLU 40	35	0	2699	-0.19	1.18	0
23	SLU 41	35	0	2699	-0.21	1.19	0
23	SLU 42	35	0	2699	-0.19	1.18	0
23	SLU 43	29	0	2204	-0.12	0.94	0
23	SLU 44	28	0	2204	-0.09	0.91	0
23	SLU 45	29	0	2204	-0.12	0.94	0



Nodo Ind.	Cont. N.br.	Reazione a traslazione				Reazione a rotazione			
		x	y	z		x	y	z	
23	SLU 46	29	0	2204		-0.11	0.92	0	
23	SLU 47	28	0	2204		-0.09	0.91	0	
23	SLU 48	29	0	2204		-0.12	0.94	0	
23	SLU 49	29	0	2204		-0.11	0.92	0	
23	SLU 50	29	0	2204		-0.12	0.94	0	
23	SLU 51	29	0	2204		-0.11	0.92	0	
23	SLU 52	35	0	2688		-0.15	1.14	0	
23	SLU 53	35	0	2688		-0.18	1.16	0	
23	SLU 54	35	0	2688		-0.16	1.15	0	
23	SLU 55	35	0	2688		-0.15	1.14	0	
23	SLU 56	35	0	2688		-0.18	1.16	0	
23	SLU 57	35	0	2688		-0.16	1.15	0	
23	SLU 58	35	0	2688		-0.18	1.16	0	
23	SLU 59	35	0	2688		-0.16	1.15	0	
23	SLU 60	38	0	2895		-0.2	1.26	0	
23	SLU 61	38	0	2895		-0.18	1.25	0	
23	SLU 62	38	0	2895		-0.2	1.26	0	
23	SLU 63	38	0	2895		-0.18	1.25	0	
23	SLU 64	32	0	2451		-0.15	1.05	0	
23	SLU 65	32	0	2451		-0.12	1.03	0	
23	SLU 66	32	0	2451		-0.15	1.05	0	
23	SLU 67	32	0	2451		-0.13	1.04	0	
23	SLU 68	32	0	2451		-0.12	1.03	0	
23	SLU 69	32	0	2451		-0.15	1.05	0	
23	SLU 70	32	0	2451		-0.13	1.04	0	
23	SLU 71	32	0	2451		-0.15	1.05	0	
23	SLU 72	32	0	2451		-0.13	1.04	0	
23	SLU 73	38	0	2935		-0.18	1.26	0	
23	SLU 74	39	0	2935		-0.2	1.28	0	
23	SLU 75	38	0	2935		-0.19	1.27	0	
23	SLU 76	38	0	2935		-0.18	1.26	0	
23	SLU 77	39	0	2935		-0.2	1.28	0	
23	SLU 78	38	0	2935		-0.19	1.27	0	
23	SLU 79	39	0	2935		-0.2	1.28	0	
23	SLU 80	38	0	2935		-0.19	1.27	0	
23	SLU 81	41	0	3143		-0.23	1.38	0	
23	SLU 82	41	0	3142		-0.21	1.36	0	
23	SLU 83	41	0	3143		-0.23	1.38	0	
23	SLU 84	41	0	3142		-0.21	1.36	0	
23	SLE RA 1	24	0	1831		-0.11	0.78	0	
23	SLE RA 2	24	0	1831		-0.09	0.77	0	
23	SLE RA 3	24	0	1831		-0.11	0.78	0	
23	SLE RA 4	24	0	1831		-0.1	0.77	0	
23	SLE RA 5	24	0	1831		-0.09	0.77	0	
23	SLE RA 6	24	0	1831		-0.11	0.78	0	
23	SLE RA 7	24	0	1831		-0.1	0.77	0	
23	SLE RA 8	24	0	1831		-0.11	0.78	0	
23	SLE RA 9	24	0	1831		-0.1	0.77	0	
23	SLE RA 10	28	0	2154		-0.13	0.92	0	
23	SLE RA 11	28	0	2154		-0.15	0.94	0	
23	SLE RA 12	28	0	2154		-0.13	0.93	0	
23	SLE RA 13	28	0	2154		-0.13	0.92	0	
23	SLE RA 14	28	0	2154		-0.15	0.94	0	
23	SLE RA 15	28	0	2154		-0.13	0.93	0	
23	SLE RA 16	28	0	2154		-0.15	0.94	0	
23	SLE RA 17	28	0	2154		-0.13	0.93	0	
23	SLE RA 18	30	0	2292		-0.16	1	0	
23	SLE RA 19	30	0	2292		-0.15	0.99	0	
23	SLE RA 20	30	0	2292		-0.16	1	0	
23	SLE RA 21	30	0	2292		-0.15	0.99	0	
23	SLE FR 1	24	0	1831		-0.11	0.78	0	
23	SLE FR 2	24	0	1831		-0.11	0.78	0	
23	SLE FR 3	24	0	1831		-0.11	0.78	0	
23	SLE FR 4	26	0	1970		-0.12	0.85	0	
23	SLE FR 5	26	0	1970		-0.13	0.85	0	
23	SLE FR 6	27	0	2062		-0.14	0.89	0	
23	SLE QP 1	24	0	1831		-0.11	0.78	0	
23	SLE QP 2	26	0	1970		-0.13	0.85	0	
23	SLD 1	209	-16	2154		11.66	8.7	0.02	
23	SLD 2	209	-16	2154		11.66	8.7	0.02	
23	SLD 3	167	-8	2021		5.2	7.15	0.01	
23	SLD 4	167	-8	2021		5.2	7.15	0.01	
23	SLD 5	143	-18	2225		13.19	5.56	0.03	
23	SLD 6	143	-18	2225		13.19	5.56	0.03	
23	SLD 7	6	11	1785		-8.31	0.38	-0.02	
23	SLD 8	6	11	1785		-8.31	0.38	-0.02	
23	SLD 9	46	-11	2154		8.06	1.32	0.02	
23	SLD 10	46	-11	2154		8.06	1.32	0.02	
23	SLD 11	-91	18	1714		-13.44	-3.86	-0.03	
23	SLD 12	-91	18	1714		-13.44	-3.86	-0.03	
23	SLD 13	-116	8	1918		-5.45	-5.45	-0.01	
23	SLD 14	-116	8	1918		-5.45	-5.45	-0.01	
23	SLD 15	-157	16	1786		-11.91	-7	-0.03	
23	SLD 16	-157	16	1786		-11.91	-7	-0.03	
23	SLV 1	458	-42	2403		29.7	19.39	0.06	
23	SLV 2	458	-42	2403		29.7	19.39	0.06	
23	SLV 3	361	-20	2092		13.87	15.75	0.02	
23	SLV 4	361	-20	2092		13.87	15.75	0.02	



Nodo Ind.	Cont. N.br.	Reazione a traslazione			Reazione a rotazione		
		x	y	z	x	y	z
23	SLV 5	302	-45	2572	32.83	11.93	0.07
23	SLV 6	302	-45	2572	32.83	11.93	0.07
23	SLV 7	-20	27	1534	-19.93	-0.2	-0.05
23	SLV 8	-20	27	1534	-19.93	-0.2	-0.05
23	SLV 9	72	-27	2405	19.68	1.9	0.05
23	SLV 10	72	-27	2405	19.68	1.9	0.05
23	SLV 11	-250	46	1367	-33.08	-10.23	-0.08
23	SLV 12	-250	46	1367	-33.08	-10.23	-0.08
23	SLV 13	-309	20	1847	-14.12	-14.06	-0.03
23	SLV 14	-309	20	1847	-14.12	-14.06	-0.03
23	SLV 15	-406	42	1536	-29.95	-17.7	-0.06
23	SLV 16	-406	42	1536	-29.95	-17.7	-0.06
24	SLU 1	-3	1	1822	-0.42	-0.49	0
24	SLU 2	-3	1	1821	-0.41	-0.52	0
24	SLU 3	-3	1	1822	-0.42	-0.49	0
24	SLU 4	-3	1	1821	-0.41	-0.51	0
24	SLU 5	-3	1	1821	-0.41	-0.52	0
24	SLU 6	-3	1	1822	-0.42	-0.49	0
24	SLU 7	-3	1	1821	-0.41	-0.51	0
24	SLU 8	-3	1	1822	-0.42	-0.49	0
24	SLU 9	-3	1	1821	-0.41	-0.51	0
24	SLU 10	-12	2	2325	-0.54	-1.03	0.01
24	SLU 11	-11	2	2325	-0.56	-1	0.01
24	SLU 12	-12	2	2325	-0.55	-1.02	0.01
24	SLU 13	-12	2	2325	-0.54	-1.03	0.01
24	SLU 14	-11	2	2325	-0.56	-1	0.01
24	SLU 15	-12	2	2325	-0.55	-1.02	0.01
24	SLU 16	-11	2	2325	-0.56	-1	0.01
24	SLU 17	-12	2	2325	-0.55	-1.02	0.01
24	SLU 18	-15	2	2541	-0.62	-1.22	0.01
24	SLU 19	-15	2	2541	-0.61	-1.24	0.01
24	SLU 20	-15	2	2541	-0.62	-1.22	0.01
24	SLU 21	-15	2	2541	-0.61	-1.24	0.01
24	SLU 22	-7	1	2079	-0.49	-0.76	0.01
24	SLU 23	-8	1	2079	-0.48	-0.78	0.01
24	SLU 24	-7	1	2079	-0.49	-0.76	0.01
24	SLU 25	-7	1	2079	-0.48	-0.77	0.01
24	SLU 26	-8	1	2079	-0.48	-0.78	0.01
24	SLU 27	-7	1	2079	-0.49	-0.76	0.01
24	SLU 28	-7	1	2079	-0.48	-0.77	0.01
24	SLU 29	-7	1	2079	-0.49	-0.76	0.01
24	SLU 30	-7	1	2079	-0.48	-0.77	0.01
24	SLU 31	-16	2	2582	-0.61	-1.29	0.01
24	SLU 32	-16	2	2582	-0.63	-1.26	0.01
24	SLU 33	-16	2	2582	-0.62	-1.28	0.01
24	SLU 34	-16	2	2582	-0.61	-1.29	0.01
24	SLU 35	-16	2	2582	-0.63	-1.26	0.01
24	SLU 36	-16	2	2582	-0.62	-1.28	0.01
24	SLU 37	-16	2	2582	-0.63	-1.26	0.01
24	SLU 38	-16	2	2582	-0.62	-1.28	0.01
24	SLU 39	-19	2	2798	-0.69	-1.48	0.01
24	SLU 40	-20	2	2798	-0.68	-1.5	0.01
24	SLU 41	-19	2	2798	-0.69	-1.48	0.01
24	SLU 42	-20	2	2798	-0.68	-1.5	0.01
24	SLU 43	-2	2	2280	-0.53	-0.55	0.01
24	SLU 44	-3	2	2280	-0.51	-0.58	0.01
24	SLU 45	-2	2	2280	-0.53	-0.55	0.01
24	SLU 46	-2	2	2280	-0.52	-0.57	0.01
24	SLU 47	-3	2	2280	-0.51	-0.58	0.01
24	SLU 48	-2	2	2280	-0.53	-0.55	0.01
24	SLU 49	-2	2	2280	-0.52	-0.57	0.01
24	SLU 50	-2	2	2280	-0.53	-0.55	0.01
24	SLU 51	-2	2	2280	-0.52	-0.57	0.01
24	SLU 52	-11	2	2783	-0.65	-1.09	0.01
24	SLU 53	-11	2	2783	-0.66	-1.06	0.01
24	SLU 54	-11	2	2783	-0.65	-1.08	0.01
24	SLU 55	-11	2	2783	-0.65	-1.09	0.01
24	SLU 56	-11	2	2783	-0.66	-1.06	0.01
24	SLU 57	-11	2	2783	-0.65	-1.08	0.01
24	SLU 58	-11	2	2783	-0.66	-1.06	0.01
24	SLU 59	-11	2	2783	-0.65	-1.08	0.01
24	SLU 60	-14	2	2999	-0.72	-1.28	0.01
24	SLU 61	-15	2	2999	-0.71	-1.3	0.01
24	SLU 62	-14	2	2999	-0.72	-1.28	0.01
24	SLU 63	-15	2	2999	-0.71	-1.3	0.01
24	SLU 64	-6	2	2537	-0.6	-0.81	0.01
24	SLU 65	-7	2	2537	-0.58	-0.84	0.01
24	SLU 66	-6	2	2537	-0.6	-0.81	0.01
24	SLU 67	-7	2	2537	-0.59	-0.83	0.01
24	SLU 68	-7	2	2537	-0.58	-0.84	0.01
24	SLU 69	-6	2	2537	-0.6	-0.81	0.01
24	SLU 70	-7	2	2537	-0.59	-0.83	0.01
24	SLU 71	-6	2	2537	-0.6	-0.81	0.01
24	SLU 72	-7	2	2537	-0.59	-0.83	0.01
24	SLU 73	-15	2	3040	-0.72	-1.35	0.01
24	SLU 74	-15	2	3041	-0.73	-1.32	0.01
24	SLU 75	-15	2	3040	-0.72	-1.34	0.01
24	SLU 76	-15	2	3040	-0.72	-1.35	0.01



Nodo Ind.	Cont. N.br.	Reazione a traslazione				Reazione a rotazione		
		x	y	z		x	y	z
24	SLU 77	-15	2	3041		-0.73	-1.32	0.01
24	SLU 78	-15	2	3040		-0.72	-1.34	0.01
24	SLU 79	-15	2	3041		-0.73	-1.32	0.01
24	SLU 80	-15	2	3040		-0.72	-1.34	0.01
24	SLU 81	-19	2	3256		-0.79	-1.54	0.01
24	SLU 82	-19	2	3256		-0.78	-1.56	0.01
24	SLU 83	-19	2	3256		-0.79	-1.54	0.01
24	SLU 84	-19	2	3256		-0.78	-1.56	0.01
24	SLE RA 1	-4	1	1895		-0.44	-0.57	0
24	SLE RA 2	-4	1	1895		-0.43	-0.59	0
24	SLE RA 3	-4	1	1895		-0.44	-0.57	0
24	SLE RA 4	-4	1	1895		-0.44	-0.58	0
24	SLE RA 5	-4	1	1895		-0.43	-0.59	0
24	SLE RA 6	-4	1	1895		-0.44	-0.57	0
24	SLE RA 7	-4	1	1895		-0.44	-0.58	0
24	SLE RA 8	-4	1	1895		-0.44	-0.57	0
24	SLE RA 9	-4	1	1895		-0.44	-0.58	0
24	SLE RA 10	-10	2	2231		-0.52	-0.92	0.01
24	SLE RA 11	-10	2	2231		-0.53	-0.91	0.01
24	SLE RA 12	-10	2	2231		-0.53	-0.92	0.01
24	SLE RA 13	-10	2	2231		-0.52	-0.92	0.01
24	SLE RA 14	-10	2	2231		-0.53	-0.91	0.01
24	SLE RA 15	-10	2	2231		-0.53	-0.92	0.01
24	SLE RA 16	-10	2	2231		-0.53	-0.91	0.01
24	SLE RA 17	-10	2	2231		-0.53	-0.92	0.01
24	SLE RA 18	-12	2	2374		-0.57	-1.05	0.01
24	SLE RA 19	-12	2	2374		-0.57	-1.06	0.01
24	SLE RA 20	-12	2	2374		-0.57	-1.05	0.01
24	SLE RA 21	-12	2	2374		-0.57	-1.06	0.01
24	SLE FR 1	-4	1	1895		-0.44	-0.57	0
24	SLE FR 2	-4	1	1895		-0.44	-0.57	0
24	SLE FR 3	-4	1	1895		-0.44	-0.57	0
24	SLE FR 4	-6	1	2039		-0.48	-0.72	0.01
24	SLE FR 5	-6	1	2039		-0.48	-0.71	0.01
24	SLE FR 6	-8	2	2135		-0.51	-0.81	0.01
24	SLE QP 1	-4	1	1895		-0.44	-0.57	0
24	SLE QP 2	-6	1	2039		-0.48	-0.71	0.01
24	SLD 1	172	-8	2258		5.96	7.14	0.02
24	SLD 2	172	-8	2258		5.96	7.14	0.02
24	SLD 3	127	-3	2065		2.36	5.47	0.01
24	SLD 4	127	-3	2065		2.36	5.47	0.01
24	SLD 5	115	-9	2398		6.91	4.17	0.02
24	SLD 6	115	-9	2398		6.91	4.17	0.02
24	SLD 7	-35	8	1753		-5.09	-1.39	-0.01
24	SLD 8	-35	8	1753		-5.09	-1.39	-0.01
24	SLD 9	22	-5	2324		4.12	-0.03	0.02
24	SLD 10	22	-5	2324		4.12	-0.03	0.02
24	SLD 11	-128	12	1680		-7.88	-5.6	-0.01
24	SLD 12	-128	12	1680		-7.88	-5.6	-0.01
24	SLD 13	-140	6	2013		-3.33	-6.9	0
24	SLD 14	-140	6	2013		-3.33	-6.9	0
24	SLD 15	-185	11	1820		-6.93	-8.57	-0.01
24	SLD 16	-185	11	1820		-6.93	-8.57	-0.01
24	SLV 1	415	-23	2555		15.83	17.83	0.04
24	SLV 2	415	-23	2555		15.83	17.83	0.04
24	SLV 3	309	-9	2100		6.99	13.91	0.02
24	SLV 4	309	-9	2100		6.99	13.91	0.02
24	SLV 5	280	-26	2884		17.82	10.78	0.05
24	SLV 6	280	-26	2884		17.82	10.78	0.05
24	SLV 7	-72	18	1367		-11.65	-2.26	-0.03
24	SLV 8	-72	18	1367		-11.65	-2.26	-0.03
24	SLV 9	59	-16	2711		10.68	0.83	0.04
24	SLV 10	59	-16	2711		10.68	0.83	0.04
24	SLV 11	-293	29	1194		-18.79	-12.21	-0.04
24	SLV 12	-293	29	1194		-18.79	-12.21	-0.04
24	SLV 13	-322	12	1978		-7.96	-15.34	-0.01
24	SLV 14	-322	12	1978		-7.96	-15.34	-0.01
24	SLV 15	-427	26	1523		-16.8	-19.26	-0.03
24	SLV 16	-427	26	1523		-16.8	-19.26	-0.03
25	SLU 1	-62	131	2661		-3.64	-2.57	0.01
25	SLU 2	-62	131	2662		-3.65	-2.59	0.01
25	SLU 3	-62	131	2661		-3.64	-2.57	0.01
25	SLU 4	-62	131	2661		-3.65	-2.58	0.01
25	SLU 5	-62	131	2662		-3.65	-2.59	0.01
25	SLU 6	-62	131	2661		-3.64	-2.57	0.01
25	SLU 7	-62	131	2661		-3.65	-2.58	0.01
25	SLU 8	-62	131	2661		-3.64	-2.57	0.01
25	SLU 9	-62	131	2661		-3.65	-2.58	0.01
25	SLU 10	-95	161	3377		-4.58	-3.92	0.01
25	SLU 11	-95	160	3376		-4.57	-3.9	0.01
25	SLU 12	-95	161	3377		-4.58	-3.91	0.01
25	SLU 13	-95	161	3377		-4.58	-3.92	0.01
25	SLU 14	-95	160	3376		-4.57	-3.9	0.01
25	SLU 15	-95	161	3377		-4.58	-3.91	0.01
25	SLU 16	-95	160	3376		-4.57	-3.9	0.01
25	SLU 17	-95	161	3377		-4.58	-3.91	0.01
25	SLU 18	-109	173	3683		-4.98	-4.47	0.01
25	SLU 19	-110	173	3683		-4.98	-4.48	0.01



Nodo Ind.	Cont. N.br.	Reazione a traslazione			Reazione a rotazione		
		x	y	z	x	y	z
25	SLU 20	-109	173	3683	-4.98	-4.47	0.01
25	SLU 21	-110	173	3683	-4.98	-4.48	0.01
25	SLU 22	-79	146	3027	-4.12	-3.25	0.01
25	SLU 23	-79	146	3027	-4.12	-3.27	0.01
25	SLU 24	-79	146	3027	-4.12	-3.25	0.01
25	SLU 25	-79	146	3027	-4.12	-3.26	0.01
25	SLU 26	-79	146	3027	-4.12	-3.27	0.01
25	SLU 27	-79	146	3027	-4.12	-3.25	0.01
25	SLU 28	-79	146	3027	-4.12	-3.26	0.01
25	SLU 29	-79	146	3027	-4.12	-3.25	0.01
25	SLU 30	-79	146	3027	-4.12	-3.26	0.01
25	SLU 31	-112	176	3743	-5.06	-4.6	0.01
25	SLU 32	-112	175	3742	-5.05	-4.58	0.01
25	SLU 33	-112	176	3742	-5.06	-4.59	0.01
25	SLU 34	-112	176	3743	-5.06	-4.6	0.01
25	SLU 35	-112	175	3742	-5.05	-4.58	0.01
25	SLU 36	-112	176	3742	-5.06	-4.59	0.01
25	SLU 37	-112	175	3742	-5.05	-4.58	0.01
25	SLU 38	-112	176	3742	-5.06	-4.59	0.01
25	SLU 39	-126	188	4049	-5.45	-5.15	0.01
25	SLU 40	-127	188	4049	-5.46	-5.16	0.01
25	SLU 41	-126	188	4049	-5.45	-5.15	0.01
25	SLU 42	-127	188	4049	-5.46	-5.16	0.01
25	SLU 43	-74	165	3334	-4.57	-3.1	0.01
25	SLU 44	-75	165	3334	-4.58	-3.12	0.01
25	SLU 45	-74	165	3334	-4.57	-3.1	0.01
25	SLU 46	-74	165	3334	-4.57	-3.12	0.01
25	SLU 47	-75	165	3334	-4.58	-3.12	0.01
25	SLU 48	-74	165	3334	-4.57	-3.1	0.01
25	SLU 49	-74	165	3334	-4.57	-3.12	0.01
25	SLU 50	-74	165	3334	-4.57	-3.1	0.01
25	SLU 51	-74	165	3334	-4.57	-3.12	0.01
25	SLU 52	-108	195	4050	-5.51	-4.46	0.01
25	SLU 53	-108	195	4049	-5.5	-4.43	0.01
25	SLU 54	-108	195	4050	-5.51	-4.45	0.01
25	SLU 55	-108	195	4050	-5.51	-4.46	0.01
25	SLU 56	-108	195	4049	-5.5	-4.43	0.01
25	SLU 57	-108	195	4050	-5.51	-4.45	0.01
25	SLU 58	-108	195	4049	-5.5	-4.43	0.01
25	SLU 59	-108	195	4050	-5.51	-4.45	0.01
25	SLU 60	-122	207	4356	-5.9	-5.01	0.01
25	SLU 61	-122	207	4356	-5.91	-5.02	0.01
25	SLU 62	-122	207	4356	-5.9	-5.01	0.01
25	SLU 63	-122	207	4356	-5.91	-5.02	0.01
25	SLU 64	-91	180	3700	-5.05	-3.78	0.01
25	SLU 65	-92	180	3700	-5.05	-3.8	0.01
25	SLU 66	-91	180	3700	-5.05	-3.78	0.01
25	SLU 67	-91	180	3700	-5.05	-3.8	0.01
25	SLU 68	-92	180	3700	-5.05	-3.8	0.01
25	SLU 69	-91	180	3700	-5.05	-3.78	0.01
25	SLU 70	-91	180	3700	-5.05	-3.8	0.01
25	SLU 71	-91	180	3700	-5.05	-3.78	0.01
25	SLU 72	-91	180	3700	-5.05	-3.8	0.01
25	SLU 73	-125	210	4416	-5.99	-5.14	0.01
25	SLU 74	-125	210	4415	-5.98	-5.12	0.01
25	SLU 75	-125	210	4415	-5.98	-5.13	0.01
25	SLU 76	-125	210	4416	-5.99	-5.14	0.01
25	SLU 77	-125	210	4415	-5.98	-5.12	0.01
25	SLU 78	-125	210	4415	-5.98	-5.13	0.01
25	SLU 79	-125	210	4415	-5.98	-5.12	0.01
25	SLU 80	-125	210	4415	-5.98	-5.13	0.01
25	SLU 81	-139	222	4722	-6.38	-5.69	0.01
25	SLU 82	-139	222	4722	-6.38	-5.7	0.01
25	SLU 83	-139	222	4722	-6.38	-5.69	0.01
25	SLU 84	-139	222	4722	-6.38	-5.7	0.01
25	SLE RA 1	-66	135	2766	-3.78	-2.76	0.01
25	SLE RA 2	-67	135	2766	-3.78	-2.77	0.01
25	SLE RA 3	-66	135	2766	-3.78	-2.76	0.01
25	SLE RA 4	-67	135	2766	-3.78	-2.77	0.01
25	SLE RA 5	-67	135	2766	-3.78	-2.77	0.01
25	SLE RA 6	-66	135	2766	-3.78	-2.76	0.01
25	SLE RA 7	-67	135	2766	-3.78	-2.77	0.01
25	SLE RA 8	-66	135	2766	-3.78	-2.76	0.01
25	SLE RA 9	-67	135	2766	-3.78	-2.77	0.01
25	SLE RA 10	-89	155	3243	-4.4	-3.66	0.01
25	SLE RA 11	-89	155	3242	-4.4	-3.65	0.01
25	SLE RA 12	-89	155	3243	-4.4	-3.66	0.01
25	SLE RA 13	-89	155	3243	-4.4	-3.66	0.01
25	SLE RA 14	-89	155	3242	-4.4	-3.65	0.01
25	SLE RA 15	-89	155	3243	-4.4	-3.66	0.01
25	SLE RA 16	-89	155	3242	-4.4	-3.65	0.01
25	SLE RA 17	-89	155	3243	-4.4	-3.66	0.01
25	SLE RA 18	-98	163	3447	-4.67	-4.03	0.01
25	SLE RA 19	-98	163	3447	-4.67	-4.04	0.01
25	SLE RA 20	-98	163	3447	-4.67	-4.03	0.01
25	SLE RA 21	-98	163	3447	-4.67	-4.04	0.01
25	SLE FR 1	-66	135	2766	-3.78	-2.76	0.01
25	SLE FR 2	-66	135	2766	-3.78	-2.76	0.01



Nodo Ind.	Cont. N.br.	Reazione a traslazione			Reazione a rotazione		
		x	y	z	x	y	z
25	SLE FR 3	-66	135	2766	-3.78	-2.76	0.01
25	SLE FR 4	-76	144	2970	-4.05	-3.14	0.01
25	SLE FR 5	-76	144	2970	-4.04	-3.14	0.01
25	SLE FR 6	-82	149	3106	-4.22	-3.4	0.01
25	SLE QP 1	-66	135	2766	-3.78	-2.76	0.01
25	SLE QP 2	-76	144	2970	-4.04	-3.14	0.01
25	SLD 1	75	204	3305	-7.29	3.36	0
25	SLD 2	75	204	3305	-7.29	3.36	0
25	SLD 3	100	124	2963	-3.1	4.41	-0.01
25	SLD 4	100	124	2963	-3.1	4.41	-0.01
25	SLD 5	-67	283	3589	-11.36	-2.78	0.01
25	SLD 6	-67	283	3589	-11.36	-2.78	0.01
25	SLD 7	13	17	2449	2.58	0.72	-0.01
25	SLD 8	13	17	2449	2.58	0.72	-0.01
25	SLD 9	-165	271	3491	-10.67	-7	0.02
25	SLD 10	-165	271	3491	-10.67	-7	0.02
25	SLD 11	-85	4	2350	3.27	-3.5	0
25	SLD 12	-85	4	2350	3.27	-3.5	0
25	SLD 13	-252	163	2977	-4.99	-10.69	0.02
25	SLD 14	-252	163	2977	-4.99	-10.69	0.02
25	SLD 15	-227	83	2635	-0.8	-9.64	0.02
25	SLD 16	-227	83	2635	-0.8	-9.64	0.02
25	SLV 1	282	286	3760	-11.71	12.23	-0.02
25	SLV 2	282	286	3760	-11.71	12.23	-0.02
25	SLV 3	339	98	2955	-1.88	14.7	-0.04
25	SLV 4	339	98	2955	-1.88	14.7	-0.04
25	SLV 5	-54	471	4428	-21.25	-2.26	0.03
25	SLV 6	-54	471	4428	-21.25	-2.26	0.03
25	SLV 7	134	-154	1744	11.51	5.95	-0.03
25	SLV 8	134	-154	1744	11.51	5.95	-0.03
25	SLV 9	-286	442	4196	-19.6	-12.23	0.05
25	SLV 10	-286	442	4196	-19.6	-12.23	0.05
25	SLV 11	-98	-183	1511	13.16	-4.02	-0.01
25	SLV 12	-98	-183	1511	13.16	-4.02	-0.01
25	SLV 13	-491	189	2985	-6.21	-20.98	0.05
25	SLV 14	-491	189	2985	-6.21	-20.98	0.05
25	SLV 15	-434	2	2180	3.62	-18.52	0.03
25	SLV 16	-434	2	2180	3.62	-18.52	0.03
26	SLU 1	-138	1	2137	-0.62	-5.54	-0.01
26	SLU 2	-138	1	2138	-0.65	-5.56	-0.01
26	SLU 3	-138	1	2137	-0.62	-5.54	-0.01
26	SLU 4	-138	1	2138	-0.64	-5.55	-0.01
26	SLU 5	-138	1	2138	-0.65	-5.56	-0.01
26	SLU 6	-138	1	2137	-0.62	-5.54	-0.01
26	SLU 7	-138	1	2138	-0.64	-5.55	-0.01
26	SLU 8	-138	1	2137	-0.62	-5.54	-0.01
26	SLU 9	-138	1	2138	-0.64	-5.55	-0.01
26	SLU 10	-204	2	2712	-0.85	-8.19	-0.01
26	SLU 11	-203	2	2711	-0.82	-8.16	-0.01
26	SLU 12	-204	2	2712	-0.84	-8.18	-0.01
26	SLU 13	-204	2	2712	-0.85	-8.19	-0.01
26	SLU 14	-203	2	2711	-0.82	-8.16	-0.01
26	SLU 15	-204	2	2712	-0.84	-8.18	-0.01
26	SLU 16	-203	2	2711	-0.82	-8.16	-0.01
26	SLU 17	-204	2	2712	-0.84	-8.18	-0.01
26	SLU 18	-231	2	2957	-0.91	-9.29	-0.01
26	SLU 19	-232	2	2958	-0.93	-9.3	-0.01
26	SLU 20	-231	2	2957	-0.91	-9.29	-0.01
26	SLU 21	-232	2	2958	-0.93	-9.3	-0.01
26	SLU 22	-171	2	2431	-0.72	-6.88	-0.01
26	SLU 23	-172	2	2431	-0.76	-6.9	-0.01
26	SLU 24	-171	2	2431	-0.72	-6.88	-0.01
26	SLU 25	-172	2	2431	-0.74	-6.89	-0.01
26	SLU 26	-172	2	2431	-0.76	-6.9	-0.01
26	SLU 27	-171	2	2431	-0.72	-6.88	-0.01
26	SLU 28	-172	2	2431	-0.74	-6.89	-0.01
26	SLU 29	-171	2	2431	-0.72	-6.88	-0.01
26	SLU 30	-172	2	2431	-0.74	-6.89	-0.01
26	SLU 31	-237	2	3005	-0.96	-9.53	-0.01
26	SLU 32	-237	2	3004	-0.93	-9.5	-0.01
26	SLU 33	-237	2	3005	-0.95	-9.52	-0.01
26	SLU 34	-237	2	3005	-0.96	-9.53	-0.01
26	SLU 35	-237	2	3004	-0.93	-9.5	-0.01
26	SLU 36	-237	2	3005	-0.95	-9.52	-0.01
26	SLU 37	-237	2	3004	-0.93	-9.5	-0.01
26	SLU 38	-237	2	3005	-0.95	-9.52	-0.01
26	SLU 39	-265	2	3250	-1.01	-10.63	-0.01
26	SLU 40	-265	2	3251	-1.03	-10.64	-0.01
26	SLU 41	-265	2	3250	-1.01	-10.63	-0.01
26	SLU 42	-265	2	3251	-1.03	-10.64	-0.01
26	SLU 43	-168	2	2678	-0.77	-6.74	-0.01
26	SLU 44	-168	2	2679	-0.8	-6.76	-0.01
26	SLU 45	-168	2	2678	-0.77	-6.74	-0.01
26	SLU 46	-168	2	2678	-0.79	-6.75	-0.01
26	SLU 47	-168	2	2679	-0.8	-6.76	-0.01
26	SLU 48	-168	2	2678	-0.77	-6.74	-0.01
26	SLU 49	-168	2	2678	-0.79	-6.75	-0.01
26	SLU 50	-168	2	2678	-0.77	-6.74	-0.01



Nodo Ind.	Cont. N.br.	Reazione a traslazione			Reazione a rotazione		
		x	y	z	x	y	z
26	SLU 51	-168	2	2678	-0.79	-6.75	-0.01
26	SLU 52	-234	2	3253	-1.01	-9.39	-0.01
26	SLU 53	-233	2	3252	-0.97	-9.36	-0.01
26	SLU 54	-234	2	3252	-0.99	-9.38	-0.01
26	SLU 55	-234	2	3253	-1.01	-9.39	-0.01
26	SLU 56	-233	2	3252	-0.97	-9.36	-0.01
26	SLU 57	-234	2	3252	-0.99	-9.38	-0.01
26	SLU 58	-233	2	3252	-0.97	-9.36	-0.01
26	SLU 59	-234	2	3252	-0.99	-9.38	-0.01
26	SLU 60	-261	2	3498	-1.06	-10.49	-0.01
26	SLU 61	-262	2	3498	-1.08	-10.5	-0.01
26	SLU 62	-261	2	3498	-1.06	-10.49	-0.01
26	SLU 63	-262	2	3498	-1.08	-10.5	-0.01
26	SLU 64	-201	2	2971	-0.88	-8.08	-0.01
26	SLU 65	-202	2	2972	-0.91	-8.11	-0.01
26	SLU 66	-201	2	2971	-0.88	-8.08	-0.01
26	SLU 67	-202	2	2972	-0.89	-8.1	-0.01
26	SLU 68	-202	2	2972	-0.91	-8.11	-0.01
26	SLU 69	-201	2	2971	-0.88	-8.08	-0.01
26	SLU 70	-202	2	2972	-0.89	-8.1	-0.01
26	SLU 71	-201	2	2971	-0.88	-8.08	-0.01
26	SLU 72	-202	2	2972	-0.89	-8.1	-0.01
26	SLU 73	-267	2	3546	-1.11	-10.73	-0.01
26	SLU 74	-267	2	3545	-1.08	-10.7	-0.01
26	SLU 75	-267	2	3546	-1.1	-10.72	-0.01
26	SLU 76	-267	2	3546	-1.11	-10.73	-0.01
26	SLU 77	-267	2	3545	-1.08	-10.7	-0.01
26	SLU 78	-267	2	3546	-1.1	-10.72	-0.01
26	SLU 79	-267	2	3545	-1.08	-10.7	-0.01
26	SLU 80	-267	2	3546	-1.1	-10.72	-0.01
26	SLU 81	-295	2	3791	-1.16	-11.83	-0.01
26	SLU 82	-295	2	3791	-1.18	-11.84	-0.01
26	SLU 83	-295	2	3791	-1.16	-11.83	-0.01
26	SLU 84	-295	2	3791	-1.18	-11.84	-0.01
26	SLE RA 1	-148	1	2221	-0.65	-5.92	-0.01
26	SLE RA 2	-148	1	2222	-0.67	-5.94	-0.01
26	SLE RA 3	-148	1	2221	-0.65	-5.92	-0.01
26	SLE RA 4	-148	1	2221	-0.66	-5.93	-0.01
26	SLE RA 5	-148	1	2222	-0.67	-5.94	-0.01
26	SLE RA 6	-148	1	2221	-0.65	-5.92	-0.01
26	SLE RA 7	-148	1	2221	-0.66	-5.93	-0.01
26	SLE RA 8	-148	1	2221	-0.65	-5.92	-0.01
26	SLE RA 9	-148	1	2221	-0.66	-5.93	-0.01
26	SLE RA 10	-191	2	2604	-0.81	-7.69	-0.01
26	SLE RA 11	-191	2	2604	-0.79	-7.67	-0.01
26	SLE RA 12	-191	2	2604	-0.8	-7.68	-0.01
26	SLE RA 13	-191	2	2604	-0.81	-7.69	-0.01
26	SLE RA 14	-191	2	2604	-0.79	-7.67	-0.01
26	SLE RA 15	-191	2	2604	-0.8	-7.68	-0.01
26	SLE RA 16	-191	2	2604	-0.79	-7.67	-0.01
26	SLE RA 17	-191	2	2604	-0.8	-7.68	-0.01
26	SLE RA 18	-210	2	2768	-0.84	-8.42	-0.01
26	SLE RA 19	-210	2	2768	-0.86	-8.43	-0.01
26	SLE RA 20	-210	2	2768	-0.84	-8.42	-0.01
26	SLE RA 21	-210	2	2768	-0.86	-8.43	-0.01
26	SLE FR 1	-148	1	2221	-0.65	-5.92	-0.01
26	SLE FR 2	-148	1	2221	-0.66	-5.92	-0.01
26	SLE FR 3	-148	1	2221	-0.65	-5.92	-0.01
26	SLE FR 4	-166	2	2385	-0.71	-6.67	-0.01
26	SLE FR 5	-166	2	2385	-0.71	-6.67	-0.01
26	SLE FR 6	-179	2	2494	-0.75	-7.17	-0.01
26	SLE QP 1	-148	1	2221	-0.65	-5.92	-0.01
26	SLE QP 2	-166	2	2385	-0.71	-6.67	-0.01
26	SLD 1	-13	13	2594	-9.28	0.11	-0.02
26	SLD 2	-13	13	2594	-9.28	0.11	-0.02
26	SLD 3	37	6	2382	-4.84	1.85	-0.01
26	SLD 4	37	6	2382	-4.84	1.85	-0.01
26	SLD 5	-197	17	2768	-10.02	-7.28	-0.03
26	SLD 6	-197	17	2768	-10.02	-7.28	-0.03
26	SLD 7	-28	-9	2064	4.79	-1.48	0.02
26	SLD 8	-28	-9	2064	4.79	-1.48	0.02
26	SLD 9	-304	12	2706	-6.21	-11.86	-0.03
26	SLD 10	-304	12	2706	-6.21	-11.86	-0.03
26	SLD 11	-135	-13	2002	8.6	-6.07	0.02
26	SLD 12	-135	-13	2002	8.6	-6.07	0.02
26	SLD 13	-370	-3	2388	3.42	-15.19	-0.01
26	SLD 14	-370	-3	2388	3.42	-15.19	-0.01
26	SLD 15	-319	-10	2177	7.86	-13.45	0.01
26	SLD 16	-319	-10	2177	7.86	-13.45	0.01
26	SLV 1	195	31	2877	-22.55	9.36	-0.05
26	SLV 2	195	31	2877	-22.55	9.36	-0.05
26	SLV 3	315	13	2379	-11.33	13.46	-0.01
26	SLV 4	315	13	2379	-11.33	13.46	-0.01
26	SLV 5	-239	38	3288	-24.28	-8.08	-0.07
26	SLV 6	-239	38	3288	-24.28	-8.08	-0.07
26	SLV 7	160	-23	1628	13.12	5.58	0.05
26	SLV 8	160	-23	1628	13.12	5.58	0.05
26	SLV 9	-492	26	3143	-14.54	-18.93	-0.06



Nodo Ind.	Cont. N.br.	Reazione a traslazione			Reazione a rotazione		
		x	y	z	x	y	z
26	SLV 10	-492	26	3143	-14.54	-18.93	-0.06
26	SLV 11	-93	-35	1482	22.86	-5.26	0.06
26	SLV 12	-93	-35	1482	22.86	-5.26	0.06
26	SLV 13	-647	-9	2392	9.91	-26.8	0
26	SLV 14	-647	-9	2392	9.91	-26.8	0
26	SLV 15	-528	-28	1893	21.13	-22.7	0.03
26	SLV 16	-528	-28	1893	21.13	-22.7	0.03
27	SLU 1	-197	0	2067	-0.43	-8.02	0
27	SLU 2	-198	0	2068	-0.49	-8.04	0
27	SLU 3	-197	0	2067	-0.43	-8.02	0
27	SLU 4	-197	0	2068	-0.47	-8.03	0
27	SLU 5	-198	0	2068	-0.49	-8.04	0
27	SLU 6	-197	0	2067	-0.43	-8.02	0
27	SLU 7	-197	0	2068	-0.47	-8.03	0
27	SLU 8	-197	0	2067	-0.43	-8.02	0
27	SLU 9	-197	0	2068	-0.47	-8.03	0
27	SLU 10	-288	0	2601	-0.66	-11.64	0
27	SLU 11	-287	0	2600	-0.59	-11.62	0
27	SLU 12	-288	0	2601	-0.63	-11.63	0
27	SLU 13	-288	0	2601	-0.66	-11.64	0
27	SLU 14	-287	0	2600	-0.59	-11.62	0
27	SLU 15	-288	0	2601	-0.63	-11.63	0
27	SLU 16	-287	0	2600	-0.59	-11.62	0
27	SLU 17	-288	0	2601	-0.63	-11.63	0
27	SLU 18	-326	0	2828	-0.66	-13.16	0
27	SLU 19	-326	0	2829	-0.7	-13.18	0
27	SLU 20	-326	0	2828	-0.66	-13.16	0
27	SLU 21	-326	0	2829	-0.7	-13.18	0
27	SLU 22	-243	0	2339	-0.51	-9.86	0
27	SLU 23	-244	0	2341	-0.58	-9.88	0
27	SLU 24	-243	0	2339	-0.51	-9.86	0
27	SLU 25	-244	0	2340	-0.55	-9.87	0
27	SLU 26	-244	0	2341	-0.58	-9.88	0
27	SLU 27	-243	0	2339	-0.51	-9.86	0
27	SLU 28	-244	0	2340	-0.55	-9.87	0
27	SLU 29	-243	0	2339	-0.51	-9.86	0
27	SLU 30	-244	0	2340	-0.55	-9.87	0
27	SLU 31	-334	0	2874	-0.74	-13.48	0
27	SLU 32	-333	0	2872	-0.68	-13.46	0
27	SLU 33	-334	0	2873	-0.71	-13.47	0
27	SLU 34	-334	0	2874	-0.74	-13.48	0
27	SLU 35	-333	0	2872	-0.68	-13.46	0
27	SLU 36	-334	0	2873	-0.71	-13.47	0
27	SLU 37	-333	0	2872	-0.68	-13.46	0
27	SLU 38	-334	0	2873	-0.71	-13.47	0
27	SLU 39	-372	1	3101	-0.75	-15.01	0
27	SLU 40	-372	1	3102	-0.78	-15.02	0
27	SLU 41	-372	1	3101	-0.75	-15.01	0
27	SLU 42	-372	1	3102	-0.78	-15.02	0
27	SLU 43	-241	0	2593	-0.53	-9.8	0
27	SLU 44	-241	0	2595	-0.59	-9.81	0
27	SLU 45	-241	0	2593	-0.53	-9.8	0
27	SLU 46	-241	0	2594	-0.57	-9.81	0
27	SLU 47	-241	0	2595	-0.59	-9.81	0
27	SLU 48	-241	0	2593	-0.53	-9.8	0
27	SLU 49	-241	0	2594	-0.57	-9.81	0
27	SLU 50	-241	0	2593	-0.53	-9.8	0
27	SLU 51	-241	0	2594	-0.57	-9.81	0
27	SLU 52	-331	0	3128	-0.76	-13.41	0
27	SLU 53	-331	0	3126	-0.69	-13.4	0
27	SLU 54	-331	0	3127	-0.73	-13.41	0
27	SLU 55	-331	0	3128	-0.76	-13.41	0
27	SLU 56	-331	0	3126	-0.69	-13.4	0
27	SLU 57	-331	0	3127	-0.73	-13.41	0
27	SLU 58	-331	0	3126	-0.69	-13.4	0
27	SLU 59	-331	0	3127	-0.73	-13.41	0
27	SLU 60	-369	1	3355	-0.76	-14.94	0
27	SLU 61	-370	1	3356	-0.8	-14.95	0
27	SLU 62	-369	1	3355	-0.76	-14.94	0
27	SLU 63	-370	1	3356	-0.8	-14.95	0
27	SLU 64	-287	0	2866	-0.61	-11.64	0
27	SLU 65	-287	0	2867	-0.68	-11.65	0
27	SLU 66	-287	0	2866	-0.61	-11.64	0
27	SLU 67	-287	0	2867	-0.65	-11.65	0
27	SLU 68	-287	0	2867	-0.68	-11.65	0
27	SLU 69	-287	0	2866	-0.61	-11.64	0
27	SLU 70	-287	0	2867	-0.65	-11.65	0
27	SLU 71	-287	0	2866	-0.61	-11.64	0
27	SLU 72	-287	0	2867	-0.65	-11.65	0
27	SLU 73	-377	1	3400	-0.84	-15.26	0
27	SLU 74	-377	1	3399	-0.78	-15.24	0
27	SLU 75	-377	1	3400	-0.81	-15.25	0
27	SLU 76	-377	1	3400	-0.84	-15.26	0
27	SLU 77	-377	1	3399	-0.78	-15.24	0
27	SLU 78	-377	1	3400	-0.81	-15.25	0
27	SLU 79	-377	1	3399	-0.78	-15.24	0
27	SLU 80	-377	1	3400	-0.81	-15.25	0
27	SLU 81	-415	1	3627	-0.85	-16.78	0



Nodo Ind.	Cont. N.br.	Reazione a traslazione			Reazione a rotazione		
		x	y	z	x	y	z
27	SLU 82	-416	1	3628	-0.88	-16.79	0
27	SLU 83	-415	1	3627	-0.85	-16.78	0
27	SLU 84	-416	1	3628	-0.88	-16.79	0
27	SLE RA 1	-210	0	2145	-0.45	-8.55	0
27	SLE RA 2	-211	0	2145	-0.5	-8.56	0
27	SLE RA 3	-210	0	2145	-0.45	-8.55	0
27	SLE RA 4	-211	0	2145	-0.48	-8.55	0
27	SLE RA 5	-211	0	2145	-0.5	-8.56	0
27	SLE RA 6	-210	0	2145	-0.45	-8.55	0
27	SLE RA 7	-211	0	2145	-0.48	-8.55	0
27	SLE RA 8	-210	0	2145	-0.45	-8.55	0
27	SLE RA 9	-211	0	2145	-0.48	-8.55	0
27	SLE RA 10	-271	0	2501	-0.61	-10.96	0
27	SLE RA 11	-270	0	2500	-0.56	-10.95	0
27	SLE RA 12	-271	0	2501	-0.59	-10.95	0
27	SLE RA 13	-271	0	2501	-0.61	-10.96	0
27	SLE RA 14	-270	0	2500	-0.56	-10.95	0
27	SLE RA 15	-271	0	2501	-0.59	-10.95	0
27	SLE RA 16	-270	0	2500	-0.56	-10.95	0
27	SLE RA 17	-271	0	2501	-0.59	-10.95	0
27	SLE RA 18	-296	0	2652	-0.61	-11.98	0
27	SLE RA 19	-296	0	2653	-0.63	-11.98	0
27	SLE RA 20	-296	0	2652	-0.61	-11.98	0
27	SLE RA 21	-296	0	2653	-0.63	-11.98	0
27	SLE FR 1	-210	0	2145	-0.45	-8.55	0
27	SLE FR 2	-210	0	2145	-0.46	-8.55	0
27	SLE FR 3	-210	0	2145	-0.45	-8.55	0
27	SLE FR 4	-236	0	2297	-0.51	-9.58	0
27	SLE FR 5	-236	0	2297	-0.5	-9.58	0
27	SLE FR 6	-253	0	2398	-0.53	-10.26	0
27	SLE QP 1	-210	0	2145	-0.45	-8.55	0
27	SLE QP 2	-236	0	2297	-0.5	-9.58	0
27	SLD 1	-79	20	2438	-16.36	-2.8	0.02
27	SLD 2	-79	20	2438	-16.36	-2.8	0.02
27	SLD 3	-32	9	2301	-7.99	-1	0.01
27	SLD 4	-32	9	2301	-7.99	-1	0.01
27	SLD 5	-261	23	2547	-17.96	-10.28	0.03
27	SLD 6	-261	23	2547	-17.96	-10.28	0.03
27	SLD 7	-103	-14	2091	9.96	-4.27	-0.02
27	SLD 8	-103	-14	2091	9.96	-4.27	-0.02
27	SLD 9	-369	14	2503	-10.96	-14.88	0.02
27	SLD 10	-369	14	2503	-10.96	-14.88	0.02
27	SLD 11	-212	-22	2047	16.96	-8.87	-0.03
27	SLD 12	-212	-22	2047	16.96	-8.87	-0.03
27	SLD 13	-441	-8	2293	6.99	-18.15	0
27	SLD 14	-441	-8	2293	6.99	-18.15	0
27	SLD 15	-393	-19	2156	15.36	-16.35	-0.02
27	SLD 16	-393	-19	2156	15.36	-16.35	-0.02
27	SLV 1	136	50	2629	-40.94	6.44	0.06
27	SLV 2	136	50	2629	-40.94	6.44	0.06
27	SLV 3	247	23	2306	-19.75	10.69	0.02
27	SLV 4	247	23	2306	-19.75	10.69	0.02
27	SLV 5	-293	57	2886	-44.76	-11.21	0.08
27	SLV 6	-293	57	2886	-44.76	-11.21	0.08
27	SLV 7	78	-34	1810	25.85	2.94	-0.05
27	SLV 8	78	-34	1810	25.85	2.94	-0.05
27	SLV 9	-550	35	2784	-26.85	-22.09	0.06
27	SLV 10	-550	35	2784	-26.85	-22.09	0.06
27	SLV 11	-179	-56	1708	43.76	-7.94	-0.07
27	SLV 12	-179	-56	1708	43.76	-7.94	-0.07
27	SLV 13	-719	-23	2288	18.75	-29.84	-0.01
27	SLV 14	-719	-23	2288	18.75	-29.84	-0.01
27	SLV 15	-608	-50	1965	39.94	-25.59	-0.05
27	SLV 16	-608	-50	1965	39.94	-25.59	-0.05
28	SLU 1	-232	0	1981	-0.37	-9.35	0
28	SLU 2	-232	0	1983	-0.47	-9.37	0
28	SLU 3	-232	0	1981	-0.37	-9.35	0
28	SLU 4	-232	0	1982	-0.43	-9.36	0
28	SLU 5	-232	0	1983	-0.47	-9.37	0
28	SLU 6	-232	0	1981	-0.37	-9.35	0
28	SLU 7	-232	0	1982	-0.43	-9.36	0
28	SLU 8	-232	0	1981	-0.37	-9.35	0
28	SLU 9	-232	0	1982	-0.43	-9.36	0
28	SLU 10	-338	0	2465	-0.62	-13.58	0
28	SLU 11	-338	0	2463	-0.51	-13.57	0
28	SLU 12	-338	0	2464	-0.58	-13.58	0
28	SLU 13	-338	0	2465	-0.62	-13.58	0
28	SLU 14	-338	0	2463	-0.51	-13.57	0
28	SLU 15	-338	0	2464	-0.58	-13.58	0
28	SLU 16	-338	0	2463	-0.51	-13.57	0
28	SLU 17	-338	0	2464	-0.58	-13.58	0
28	SLU 18	-383	0	2670	-0.58	-15.37	0
28	SLU 19	-383	0	2671	-0.64	-15.38	0
28	SLU 20	-383	0	2670	-0.58	-15.37	0
28	SLU 21	-383	0	2671	-0.64	-15.38	0
28	SLU 22	-286	0	2228	-0.44	-11.51	0
28	SLU 23	-286	0	2230	-0.55	-11.52	0
28	SLU 24	-286	0	2228	-0.44	-11.51	0



Nodo Ind.	Cont. N.br.	Reazione a traslazione				Reazione a rotazione		
		x	y	z		x	y	z
28	SLU 25	-286	0	2229		-0.51	-11.52	0
28	SLU 26	-286	0	2230		-0.55	-11.52	0
28	SLU 27	-286	0	2228		-0.44	-11.51	0
28	SLU 28	-286	0	2229		-0.51	-11.52	0
28	SLU 29	-286	0	2228		-0.44	-11.51	0
28	SLU 30	-286	0	2229		-0.51	-11.52	0
28	SLU 31	-392	0	2711		-0.69	-15.74	0
28	SLU 32	-392	0	2709		-0.59	-15.72	0
28	SLU 33	-392	0	2711		-0.65	-15.73	0
28	SLU 34	-392	0	2711		-0.69	-15.74	0
28	SLU 35	-392	0	2709		-0.59	-15.72	0
28	SLU 36	-392	0	2711		-0.65	-15.73	0
28	SLU 37	-392	0	2709		-0.59	-15.72	0
28	SLU 38	-392	0	2711		-0.65	-15.73	0
28	SLU 39	-437	0	2916		-0.65	-17.53	0
28	SLU 40	-437	1	2917		-0.71	-17.54	0
28	SLU 41	-437	0	2916		-0.65	-17.53	0
28	SLU 42	-437	1	2917		-0.71	-17.54	0
28	SLU 43	-283	0	2491		-0.46	-11.42	0
28	SLU 44	-283	0	2493		-0.56	-11.44	0
28	SLU 45	-283	0	2491		-0.46	-11.42	0
28	SLU 46	-283	0	2492		-0.52	-11.43	0
28	SLU 47	-283	0	2493		-0.56	-11.44	0
28	SLU 48	-283	0	2491		-0.46	-11.42	0
28	SLU 49	-283	0	2492		-0.52	-11.43	0
28	SLU 50	-283	0	2491		-0.46	-11.42	0
28	SLU 51	-283	0	2492		-0.52	-11.43	0
28	SLU 52	-389	0	2975		-0.7	-15.65	0
28	SLU 53	-389	0	2973		-0.6	-15.64	0
28	SLU 54	-389	0	2974		-0.66	-15.64	0
28	SLU 55	-389	0	2975		-0.7	-15.65	0
28	SLU 56	-389	0	2973		-0.6	-15.64	0
28	SLU 57	-389	0	2974		-0.66	-15.64	0
28	SLU 58	-389	0	2973		-0.6	-15.64	0
28	SLU 59	-389	0	2974		-0.66	-15.64	0
28	SLU 60	-434	0	3180		-0.66	-17.44	0
28	SLU 61	-434	1	3181		-0.72	-17.45	0
28	SLU 62	-434	0	3180		-0.66	-17.44	0
28	SLU 63	-434	1	3181		-0.72	-17.45	0
28	SLU 64	-337	0	2737		-0.53	-13.58	0
28	SLU 65	-337	0	2739		-0.63	-13.59	0
28	SLU 66	-337	0	2737		-0.53	-13.58	0
28	SLU 67	-337	0	2739		-0.59	-13.59	0
28	SLU 68	-337	0	2739		-0.63	-13.59	0
28	SLU 69	-337	0	2737		-0.53	-13.58	0
28	SLU 70	-337	0	2739		-0.59	-13.59	0
28	SLU 71	-337	0	2737		-0.53	-13.58	0
28	SLU 72	-337	0	2739		-0.59	-13.59	0
28	SLU 73	-443	1	3221		-0.78	-17.8	0
28	SLU 74	-443	0	3219		-0.67	-17.79	0
28	SLU 75	-443	1	3221		-0.74	-17.8	0
28	SLU 76	-443	1	3221		-0.78	-17.8	0
28	SLU 77	-443	0	3219		-0.67	-17.79	0
28	SLU 78	-443	1	3221		-0.74	-17.8	0
28	SLU 79	-443	0	3219		-0.67	-17.79	0
28	SLU 80	-443	1	3221		-0.74	-17.8	0
28	SLU 81	-488	0	3426		-0.74	-19.59	0
28	SLU 82	-489	1	3427		-0.8	-19.6	0
28	SLU 83	-488	0	3426		-0.74	-19.59	0
28	SLU 84	-489	1	3427		-0.8	-19.6	0
28	SLE RA 1	-248	0	2052		-0.39	-9.97	0
28	SLE RA 2	-248	0	2053		-0.46	-9.98	0
28	SLE RA 3	-248	0	2052		-0.39	-9.97	0
28	SLE RA 4	-248	0	2052		-0.43	-9.98	0
28	SLE RA 5	-248	0	2053		-0.46	-9.98	0
28	SLE RA 6	-248	0	2052		-0.39	-9.97	0
28	SLE RA 7	-248	0	2052		-0.43	-9.98	0
28	SLE RA 8	-248	0	2052		-0.39	-9.97	0
28	SLE RA 9	-248	0	2052		-0.43	-9.98	0
28	SLE RA 10	-318	0	2374		-0.56	-12.79	0
28	SLE RA 11	-318	0	2373		-0.49	-12.78	0
28	SLE RA 12	-318	0	2374		-0.53	-12.78	0
28	SLE RA 13	-318	0	2374		-0.56	-12.79	0
28	SLE RA 14	-318	0	2373		-0.49	-12.78	0
28	SLE RA 15	-318	0	2374		-0.53	-12.78	0
28	SLE RA 16	-318	0	2373		-0.49	-12.78	0
28	SLE RA 17	-318	0	2374		-0.53	-12.78	0
28	SLE RA 18	-348	0	2511		-0.53	-13.98	0
28	SLE RA 19	-348	0	2511		-0.57	-13.99	0
28	SLE RA 20	-348	0	2511		-0.53	-13.98	0
28	SLE RA 21	-348	0	2511		-0.57	-13.99	0
28	SLE FR 1	-248	0	2052		-0.39	-9.97	0
28	SLE FR 2	-248	0	2052		-0.4	-9.97	0
28	SLE FR 3	-248	0	2052		-0.39	-9.97	0
28	SLE FR 4	-278	0	2190		-0.45	-11.18	0
28	SLE FR 5	-278	0	2189		-0.43	-11.17	0
28	SLE FR 6	-298	0	2281		-0.46	-11.98	0
28	SLE QP 1	-248	0	2052		-0.39	-9.97	0



Nodo Ind.	Cont. N.br.	Reazione a traslazione			Reazione a rotazione		
		x	y	z	x	y	z
28	SLE QP 2	-278	0	2189	-0.43	-11.17	0
28	SLD 1	-114	26	2182	-21.37	-4.02	0.01
28	SLD 2	-114	26	2182	-21.37	-4.02	0.01
28	SLD 3	-71	12	2082	-9.87	-2.31	0
28	SLD 4	-71	12	2082	-9.87	-2.31	0
28	SLD 5	-294	29	2339	-24.16	-11.62	0.02
28	SLD 6	-294	29	2339	-24.16	-11.62	0.02
28	SLD 7	-150	-17	2006	14.18	-5.92	-0.02
28	SLD 8	-150	-17	2006	14.18	-5.92	-0.02
28	SLD 9	-405	17	2373	-15.05	-16.43	0.02
28	SLD 10	-405	17	2373	-15.05	-16.43	0.02
28	SLD 11	-262	-28	2040	23.3	-10.73	-0.02
28	SLD 12	-262	-28	2040	23.3	-10.73	-0.02
28	SLD 13	-485	-12	2296	9	-20.03	0
28	SLD 14	-485	-12	2296	9	-20.03	0
28	SLD 15	-442	-25	2196	20.51	-18.33	-0.01
28	SLD 16	-442	-25	2196	20.51	-18.33	-0.01
28	SLV 1	110	65	2173	-53.77	5.74	0.03
28	SLV 2	110	65	2173	-53.77	5.74	0.03
28	SLV 3	212	31	1936	-24.71	9.76	0
28	SLV 4	212	31	1936	-24.71	9.76	0
28	SLV 5	-315	72	2543	-60.51	-12.21	0.05
28	SLV 6	-315	72	2543	-60.51	-12.21	0.05
28	SLV 7	23	-43	1755	36.36	1.21	-0.04
28	SLV 8	23	-43	1755	36.36	1.21	-0.04
28	SLV 9	-578	43	2624	-37.22	-23.56	0.04
28	SLV 10	-578	43	2624	-37.22	-23.56	0.04
28	SLV 11	-241	-71	1836	59.65	-10.14	-0.05
28	SLV 12	-241	-71	1836	59.65	-10.14	-0.05
28	SLV 13	-767	-30	2442	23.85	-32.11	0
28	SLV 14	-767	-30	2442	23.85	-32.11	0
28	SLV 15	-666	-65	2206	52.91	-28.08	-0.03
28	SLV 16	-666	-65	2206	52.91	-28.08	-0.03
29	SLU 1	-247	0	1909	-0.34	-10.42	0
29	SLU 2	-247	0	1912	-0.48	-10.42	0
29	SLU 3	-247	0	1909	-0.34	-10.42	0
29	SLU 4	-247	0	1911	-0.43	-10.42	0
29	SLU 5	-247	0	1912	-0.48	-10.42	0
29	SLU 6	-247	0	1909	-0.34	-10.42	0
29	SLU 7	-247	0	1911	-0.43	-10.42	0
29	SLU 8	-247	0	1909	-0.34	-10.42	0
29	SLU 9	-247	0	1911	-0.43	-10.42	0
29	SLU 10	-360	0	2342	-0.61	-15.08	0
29	SLU 11	-360	0	2339	-0.47	-15.08	0
29	SLU 12	-360	0	2341	-0.55	-15.08	0
29	SLU 13	-360	0	2342	-0.61	-15.08	0
29	SLU 14	-360	0	2339	-0.47	-15.08	0
29	SLU 15	-360	0	2341	-0.55	-15.08	0
29	SLU 16	-360	0	2339	-0.47	-15.08	0
29	SLU 17	-360	0	2341	-0.55	-15.08	0
29	SLU 18	-409	0	2524	-0.52	-17.07	0
29	SLU 19	-409	0	2525	-0.6	-17.07	0
29	SLU 20	-409	0	2524	-0.52	-17.07	0
29	SLU 21	-409	0	2525	-0.6	-17.07	0
29	SLU 22	-305	0	2129	-0.41	-12.8	0
29	SLU 23	-305	0	2132	-0.55	-12.8	0
29	SLU 24	-305	0	2129	-0.41	-12.8	0
29	SLU 25	-305	0	2131	-0.49	-12.8	0
29	SLU 26	-305	0	2132	-0.55	-12.8	0
29	SLU 27	-305	0	2129	-0.41	-12.8	0
29	SLU 28	-305	0	2131	-0.49	-12.8	0
29	SLU 29	-305	0	2129	-0.41	-12.8	0
29	SLU 30	-305	0	2131	-0.49	-12.8	0
29	SLU 31	-418	0	2562	-0.67	-17.46	0
29	SLU 32	-418	0	2559	-0.53	-17.46	0
29	SLU 33	-418	0	2561	-0.61	-17.46	0
29	SLU 34	-418	0	2562	-0.67	-17.46	0
29	SLU 35	-418	0	2559	-0.53	-17.46	0
29	SLU 36	-418	0	2561	-0.61	-17.46	0
29	SLU 37	-418	0	2559	-0.53	-17.46	0
29	SLU 38	-418	0	2561	-0.61	-17.46	0
29	SLU 39	-467	0	2743	-0.58	-19.45	0
29	SLU 40	-467	0	2745	-0.67	-19.45	0
29	SLU 41	-467	0	2743	-0.58	-19.45	0
29	SLU 42	-467	0	2745	-0.67	-19.45	0
29	SLU 43	-301	0	2406	-0.42	-12.73	0
29	SLU 44	-301	0	2409	-0.56	-12.73	0
29	SLU 45	-301	0	2406	-0.42	-12.73	0
29	SLU 46	-301	0	2408	-0.51	-12.73	0
29	SLU 47	-301	0	2409	-0.56	-12.73	0
29	SLU 48	-301	0	2406	-0.42	-12.73	0
29	SLU 49	-301	0	2408	-0.51	-12.73	0
29	SLU 50	-301	0	2406	-0.42	-12.73	0
29	SLU 51	-301	0	2408	-0.51	-12.73	0
29	SLU 52	-415	0	2840	-0.69	-17.39	0
29	SLU 53	-415	0	2836	-0.55	-17.39	0
29	SLU 54	-415	0	2838	-0.63	-17.39	0
29	SLU 55	-415	0	2840	-0.69	-17.39	0



Nodo Ind.	Cont. N.br.	Reazione a traslazione			Reazione a rotazione		
		x	y	z	x	y	z
29	SLU 56	-415	0	2836	-0.55	-17.39	0
29	SLU 57	-415	0	2838	-0.63	-17.39	0
29	SLU 58	-415	0	2836	-0.55	-17.39	0
29	SLU 59	-415	0	2838	-0.63	-17.39	0
29	SLU 60	-463	0	3021	-0.6	-19.38	0
29	SLU 61	-463	0	3023	-0.68	-19.38	0
29	SLU 62	-463	0	3021	-0.6	-19.38	0
29	SLU 63	-463	0	3023	-0.68	-19.38	0
29	SLU 64	-359	0	2626	-0.49	-15.11	0
29	SLU 65	-359	0	2629	-0.63	-15.11	0
29	SLU 66	-359	0	2626	-0.49	-15.11	0
29	SLU 67	-359	0	2628	-0.57	-15.11	0
29	SLU 68	-359	0	2629	-0.63	-15.11	0
29	SLU 69	-359	0	2626	-0.49	-15.11	0
29	SLU 70	-359	0	2628	-0.57	-15.11	0
29	SLU 71	-359	0	2626	-0.49	-15.11	0
29	SLU 72	-359	0	2628	-0.57	-15.11	0
29	SLU 73	-473	1	3059	-0.75	-19.77	0
29	SLU 74	-473	0	3056	-0.61	-19.77	0
29	SLU 75	-473	0	3058	-0.69	-19.77	0
29	SLU 76	-473	1	3059	-0.75	-19.77	0
29	SLU 77	-473	0	3056	-0.61	-19.77	0
29	SLU 78	-473	0	3058	-0.69	-19.77	0
29	SLU 79	-473	0	3056	-0.61	-19.77	0
29	SLU 80	-473	0	3058	-0.69	-19.77	0
29	SLU 81	-521	0	3241	-0.66	-21.76	0
29	SLU 82	-521	1	3243	-0.75	-21.76	0
29	SLU 83	-521	0	3241	-0.66	-21.76	0
29	SLU 84	-521	1	3243	-0.75	-21.76	0
29	SLE RA 1	-264	0	1972	-0.36	-11.1	0
29	SLE RA 2	-264	0	1974	-0.45	-11.1	0
29	SLE RA 3	-264	0	1972	-0.36	-11.1	0
29	SLE RA 4	-264	0	1973	-0.42	-11.1	0
29	SLE RA 5	-264	0	1974	-0.45	-11.1	0
29	SLE RA 6	-264	0	1972	-0.36	-11.1	0
29	SLE RA 7	-264	0	1973	-0.42	-11.1	0
29	SLE RA 8	-264	0	1972	-0.36	-11.1	0
29	SLE RA 9	-264	0	1973	-0.42	-11.1	0
29	SLE RA 10	-339	0	2261	-0.54	-14.2	0
29	SLE RA 11	-339	0	2259	-0.44	-14.2	0
29	SLE RA 12	-339	0	2260	-0.5	-14.2	0
29	SLE RA 13	-339	0	2261	-0.54	-14.2	0
29	SLE RA 14	-339	0	2259	-0.44	-14.2	0
29	SLE RA 15	-339	0	2260	-0.5	-14.2	0
29	SLE RA 16	-339	0	2259	-0.44	-14.2	0
29	SLE RA 17	-339	0	2260	-0.5	-14.2	0
29	SLE RA 18	-372	0	2381	-0.48	-15.53	0
29	SLE RA 19	-372	0	2383	-0.53	-15.53	0
29	SLE RA 20	-372	0	2381	-0.48	-15.53	0
29	SLE RA 21	-372	0	2383	-0.53	-15.53	0
29	SLE FR 1	-264	0	1972	-0.36	-11.1	0
29	SLE FR 2	-264	0	1972	-0.38	-11.1	0
29	SLE FR 3	-264	0	1972	-0.36	-11.1	0
29	SLE FR 4	-296	0	2095	-0.42	-12.43	0
29	SLE FR 5	-296	0	2095	-0.4	-12.43	0
29	SLE FR 6	-318	0	2177	-0.42	-13.32	0
29	SLE QP 1	-264	0	1972	-0.36	-11.1	0
29	SLE QP 2	-296	0	2095	-0.4	-12.43	0
29	SLD 1	-132	28	2077	-23.11	-5.44	0.01
29	SLD 2	-132	28	2077	-23.11	-5.44	0.01
29	SLD 3	-92	12	1995	-10.02	-3.76	0
29	SLD 4	-92	12	1995	-10.02	-3.76	0
29	SLD 5	-309	33	2214	-27.05	-12.87	0.01
29	SLD 6	-309	33	2214	-27.05	-12.87	0.01
29	SLD 7	-173	-20	1941	16.56	-7.3	-0.01
29	SLD 8	-173	-20	1941	16.56	-7.3	-0.01
29	SLD 9	-419	21	2249	-17.35	-17.56	0.01
29	SLD 10	-419	21	2249	-17.35	-17.56	0.01
29	SLD 11	-283	-32	1976	26.26	-11.99	-0.01
29	SLD 12	-283	-32	1976	26.26	-11.99	-0.01
29	SLD 13	-500	-12	2194	9.23	-21.1	0
29	SLD 14	-500	-12	2194	9.23	-21.1	0
29	SLD 15	-460	-28	2112	22.31	-19.42	-0.01
29	SLD 16	-460	-28	2112	22.31	-19.42	-0.01
29	SLV 1	91	71	2054	-58.15	4.11	0.02
29	SLV 2	91	71	2054	-58.15	4.11	0.02
29	SLV 3	187	31	1859	-25.25	8.04	0.01
29	SLV 4	187	31	1859	-25.25	8.04	0.01
29	SLV 5	-325	82	2378	-67.64	-13.43	0.03
29	SLV 6	-325	82	2378	-67.64	-13.43	0.03
29	SLV 7	-6	-52	1729	42.06	-0.33	-0.02
29	SLV 8	-6	-52	1729	42.06	-0.33	-0.02
29	SLV 9	-586	52	2461	-42.85	-24.53	0.02
29	SLV 10	-586	52	2461	-42.85	-24.53	0.02
29	SLV 11	-267	-82	1812	66.84	-11.43	-0.03
29	SLV 12	-267	-82	1812	66.84	-11.43	-0.03
29	SLV 13	-779	-30	2330	24.45	-32.9	-0.01
29	SLV 14	-779	-30	2330	24.45	-32.9	-0.01



Nodo Ind.	Cont. N.br.	Reazione a traslazione			Reazione a rotazione		
		x	y	z	x	y	z
29	SLV 15	-683	-71	2135	57.36	-28.97	-0.02
29	SLV 16	-683	-71	2135	57.36	-28.97	-0.02
30	SLU 1	-244	0	1887	-0.34	-10.4	0
30	SLU 2	-244	0	1892	-0.5	-10.39	0
30	SLU 3	-244	0	1887	-0.34	-10.4	0
30	SLU 4	-244	0	1890	-0.44	-10.39	0
30	SLU 5	-244	0	1892	-0.5	-10.39	0
30	SLU 6	-244	0	1887	-0.34	-10.4	0
30	SLU 7	-244	0	1890	-0.44	-10.39	0
30	SLU 8	-244	0	1887	-0.34	-10.4	0
30	SLU 9	-244	0	1890	-0.44	-10.39	0
30	SLU 10	-357	0	2283	-0.6	-15.02	0
30	SLU 11	-357	0	2278	-0.44	-15.03	0
30	SLU 12	-357	0	2281	-0.54	-15.02	0
30	SLU 13	-357	0	2283	-0.6	-15.02	0
30	SLU 14	-357	0	2278	-0.44	-15.03	0
30	SLU 15	-357	0	2281	-0.54	-15.02	0
30	SLU 16	-357	0	2278	-0.44	-15.03	0
30	SLU 17	-357	0	2281	-0.54	-15.02	0
30	SLU 18	-406	0	2445	-0.49	-17.01	0
30	SLU 19	-405	0	2448	-0.58	-17	0
30	SLU 20	-406	0	2445	-0.49	-17.01	0
30	SLU 21	-405	0	2448	-0.58	-17	0
30	SLU 22	-302	0	2087	-0.39	-12.77	0
30	SLU 23	-302	0	2092	-0.55	-12.75	0
30	SLU 24	-302	0	2087	-0.39	-12.77	0
30	SLU 25	-302	0	2090	-0.49	-12.76	0
30	SLU 26	-302	0	2092	-0.55	-12.75	0
30	SLU 27	-302	0	2087	-0.39	-12.77	0
30	SLU 28	-302	0	2090	-0.49	-12.76	0
30	SLU 29	-302	0	2087	-0.39	-12.77	0
30	SLU 30	-302	0	2090	-0.49	-12.76	0
30	SLU 31	-415	0	2482	-0.65	-17.38	0
30	SLU 32	-415	0	2478	-0.5	-17.39	0
30	SLU 33	-415	0	2481	-0.59	-17.39	0
30	SLU 34	-415	0	2482	-0.65	-17.38	0
30	SLU 35	-415	0	2478	-0.5	-17.39	0
30	SLU 36	-415	0	2481	-0.59	-17.39	0
30	SLU 37	-415	0	2478	-0.5	-17.39	0
30	SLU 38	-415	0	2481	-0.59	-17.39	0
30	SLU 39	-464	0	2645	-0.54	-19.38	0
30	SLU 40	-463	0	2648	-0.63	-19.37	0
30	SLU 41	-464	0	2645	-0.54	-19.38	0
30	SLU 42	-463	0	2648	-0.63	-19.37	0
30	SLU 43	-298	0	2385	-0.43	-12.71	0
30	SLU 44	-297	0	2390	-0.58	-12.7	0
30	SLU 45	-298	0	2385	-0.43	-12.71	0
30	SLU 46	-298	0	2388	-0.52	-12.7	0
30	SLU 47	-297	0	2390	-0.58	-12.7	0
30	SLU 48	-298	0	2385	-0.43	-12.71	0
30	SLU 49	-298	0	2388	-0.52	-12.7	0
30	SLU 50	-298	0	2385	-0.43	-12.71	0
30	SLU 51	-298	0	2388	-0.52	-12.7	0
30	SLU 52	-410	0	2780	-0.69	-17.32	0
30	SLU 53	-411	0	2775	-0.53	-17.34	0
30	SLU 54	-411	0	2778	-0.62	-17.33	0
30	SLU 55	-410	0	2780	-0.69	-17.32	0
30	SLU 56	-411	0	2775	-0.53	-17.34	0
30	SLU 57	-411	0	2778	-0.62	-17.33	0
30	SLU 58	-411	0	2775	-0.53	-17.34	0
30	SLU 59	-411	0	2778	-0.62	-17.33	0
30	SLU 60	-459	0	2943	-0.57	-19.32	0
30	SLU 61	-459	0	2946	-0.67	-19.31	0
30	SLU 62	-459	0	2943	-0.57	-19.32	0
30	SLU 63	-459	0	2946	-0.67	-19.31	0
30	SLU 64	-356	0	2584	-0.48	-15.07	0
30	SLU 65	-355	0	2589	-0.64	-15.06	0
30	SLU 66	-356	0	2584	-0.48	-15.07	0
30	SLU 67	-355	0	2587	-0.57	-15.07	0
30	SLU 68	-355	0	2589	-0.64	-15.06	0
30	SLU 69	-356	0	2584	-0.48	-15.07	0
30	SLU 70	-355	0	2587	-0.57	-15.07	0
30	SLU 71	-356	0	2584	-0.48	-15.07	0
30	SLU 72	-355	0	2587	-0.57	-15.07	0
30	SLU 73	-468	1	2980	-0.74	-19.69	0
30	SLU 74	-469	0	2975	-0.58	-19.7	0
30	SLU 75	-468	0	2978	-0.68	-19.7	0
30	SLU 76	-468	1	2980	-0.74	-19.69	0
30	SLU 77	-469	0	2975	-0.58	-19.7	0
30	SLU 78	-468	0	2978	-0.68	-19.7	0
30	SLU 79	-469	0	2975	-0.58	-19.7	0
30	SLU 80	-468	0	2978	-0.68	-19.7	0
30	SLU 81	-517	0	3143	-0.63	-21.69	0
30	SLU 82	-517	0	3146	-0.72	-21.68	0
30	SLU 83	-517	0	3143	-0.63	-21.69	0
30	SLU 84	-517	0	3146	-0.72	-21.68	0
30	SLE RA 1	-261	0	1944	-0.36	-11.08	0
30	SLE RA 2	-261	0	1947	-0.46	-11.07	0



Nodo Ind.	Cont. N.br.	Reazione a traslazione			Reazione a rotazione		
		x	y	z	x	y	z
30	SLE RA 3	-261	0	1944	-0.36	-11.08	0
30	SLE RA 4	-261	0	1946	-0.42	-11.07	0
30	SLE RA 5	-261	0	1947	-0.46	-11.07	0
30	SLE RA 6	-261	0	1944	-0.36	-11.08	0
30	SLE RA 7	-261	0	1946	-0.42	-11.07	0
30	SLE RA 8	-261	0	1944	-0.36	-11.08	0
30	SLE RA 9	-261	0	1946	-0.42	-11.07	0
30	SLE RA 10	-336	0	2208	-0.53	-14.15	0
30	SLE RA 11	-336	0	2205	-0.43	-14.16	0
30	SLE RA 12	-336	0	2207	-0.49	-14.16	0
30	SLE RA 13	-336	0	2208	-0.53	-14.15	0
30	SLE RA 14	-336	0	2205	-0.43	-14.16	0
30	SLE RA 15	-336	0	2207	-0.49	-14.16	0
30	SLE RA 16	-336	0	2205	-0.43	-14.16	0
30	SLE RA 17	-336	0	2207	-0.49	-14.16	0
30	SLE RA 18	-369	0	2316	-0.45	-15.48	0
30	SLE RA 19	-368	0	2318	-0.52	-15.48	0
30	SLE RA 20	-369	0	2316	-0.45	-15.48	0
30	SLE RA 21	-368	0	2318	-0.52	-15.48	0
30	SLE FR 1	-261	0	1944	-0.36	-11.08	0
30	SLE FR 2	-261	0	1945	-0.38	-11.07	0
30	SLE FR 3	-261	0	1944	-0.36	-11.08	0
30	SLE FR 4	-293	0	2056	-0.41	-12.4	0
30	SLE FR 5	-293	0	2056	-0.39	-12.4	0
30	SLE FR 6	-315	0	2130	-0.41	-13.28	0
30	SLE QP 1	-261	0	1944	-0.36	-11.08	0
30	SLE QP 2	-293	0	2056	-0.39	-12.4	0
30	SLD 1	-136	25	2018	-20.99	-5.45	-0.02
30	SLD 2	-136	25	2018	-20.99	-5.45	-0.02
30	SLD 3	-97	10	1935	-8.65	-3.87	-0.01
30	SLD 4	-97	10	1935	-8.65	-3.87	-0.01
30	SLD 5	-305	31	2171	-25.28	-12.71	-0.03
30	SLD 6	-305	31	2171	-25.28	-12.71	-0.03
30	SLD 7	-175	-20	1893	15.85	-7.44	0.02
30	SLD 8	-175	-20	1893	15.85	-7.44	0.02
30	SLD 9	-411	20	2218	-16.62	-17.36	-0.02
30	SLD 10	-411	20	2218	-16.62	-17.36	-0.02
30	SLD 11	-281	-30	1941	24.51	-12.08	0.03
30	SLD 12	-281	-30	1941	24.51	-12.08	0.03
30	SLD 13	-490	-9	2177	7.88	-20.93	0.01
30	SLD 14	-490	-9	2177	7.88	-20.93	0.01
30	SLD 15	-451	-25	2094	20.22	-19.34	0.02
30	SLD 16	-451	-25	2094	20.22	-19.34	0.02
30	SLV 1	80	63	1967	-52.7	4.03	-0.06
30	SLV 2	80	63	1967	-52.7	4.03	-0.06
30	SLV 3	171	25	1768	-21.8	7.74	-0.03
30	SLV 4	171	25	1768	-21.8	7.74	-0.03
30	SLV 5	-320	76	2330	-62.94	-13.1	-0.07
30	SLV 6	-320	76	2330	-62.94	-13.1	-0.07
30	SLV 7	-15	-50	1668	40.05	-0.73	0.04
30	SLV 8	-15	-50	1668	40.05	-0.73	0.04
30	SLV 9	-572	50	2443	-40.82	-24.07	-0.04
30	SLV 10	-572	50	2443	-40.82	-24.07	-0.04
30	SLV 11	-266	-76	1781	62.16	-11.69	0.06
30	SLV 12	-266	-76	1781	62.16	-11.69	0.06
30	SLV 13	-758	-25	2343	21.03	-32.54	0.02
30	SLV 14	-758	-25	2343	21.03	-32.54	0.02
30	SLV 15	-666	-62	2145	51.92	-28.82	0.06
30	SLV 16	-666	-62	2145	51.92	-28.82	0.06
31	SLU 1	-271	0	1925	-0.44	-12.02	0
31	SLU 2	-270	1	1933	-0.59	-11.99	0
31	SLU 3	-271	0	1925	-0.44	-12.02	0
31	SLU 4	-270	0	1930	-0.53	-12	0
31	SLU 5	-270	1	1933	-0.59	-11.99	0
31	SLU 6	-271	0	1925	-0.44	-12.02	0
31	SLU 7	-270	0	1930	-0.53	-12	0
31	SLU 8	-271	0	1925	-0.44	-12.02	0
31	SLU 9	-270	0	1930	-0.53	-12	0
31	SLU 10	-388	1	2301	-0.68	-16.99	-0.01
31	SLU 11	-389	0	2293	-0.53	-17.02	-0.01
31	SLU 12	-388	0	2297	-0.62	-17	-0.01
31	SLU 13	-388	1	2301	-0.68	-16.99	-0.01
31	SLU 14	-389	0	2293	-0.53	-17.02	-0.01
31	SLU 15	-388	0	2297	-0.62	-17	-0.01
31	SLU 16	-389	0	2293	-0.53	-17.02	-0.01
31	SLU 17	-388	0	2297	-0.62	-17	-0.01
31	SLU 18	-439	0	2450	-0.57	-19.16	-0.01
31	SLU 19	-439	1	2455	-0.66	-19.14	-0.01
31	SLU 20	-439	0	2450	-0.57	-19.16	-0.01
31	SLU 21	-439	1	2455	-0.66	-19.14	-0.01
31	SLU 22	-331	0	2113	-0.49	-14.57	0
31	SLU 23	-330	1	2121	-0.64	-14.54	-0.01
31	SLU 24	-331	0	2113	-0.49	-14.57	0
31	SLU 25	-330	0	2118	-0.58	-14.56	-0.01
31	SLU 26	-330	1	2121	-0.64	-14.54	-0.01
31	SLU 27	-331	0	2113	-0.49	-14.57	0
31	SLU 28	-330	0	2118	-0.58	-14.56	-0.01
31	SLU 29	-331	0	2113	-0.49	-14.57	0



Nodo Ind.	Cont. N.br.	Reazione a traslazione			Reazione a rotazione		
		x	y	z	x	y	z
31	SLU 30	-330	0	2118	-0.58	-14.56	-0.01
31	SLU 31	-448	1	2488	-0.73	-19.54	-0.01
31	SLU 32	-449	0	2480	-0.58	-19.57	-0.01
31	SLU 33	-448	1	2485	-0.67	-19.56	-0.01
31	SLU 34	-448	1	2488	-0.73	-19.54	-0.01
31	SLU 35	-449	0	2480	-0.58	-19.57	-0.01
31	SLU 36	-448	1	2485	-0.67	-19.56	-0.01
31	SLU 37	-449	0	2480	-0.58	-19.57	-0.01
31	SLU 38	-448	1	2485	-0.67	-19.56	-0.01
31	SLU 39	-500	0	2638	-0.62	-21.72	-0.01
31	SLU 40	-499	1	2642	-0.71	-21.7	-0.01
31	SLU 41	-500	0	2638	-0.62	-21.72	-0.01
31	SLU 42	-499	1	2642	-0.71	-21.7	-0.01
31	SLU 43	-331	0	2439	-0.56	-14.75	-0.01
31	SLU 44	-330	1	2447	-0.71	-14.71	-0.01
31	SLU 45	-331	0	2439	-0.56	-14.75	-0.01
31	SLU 46	-331	0	2443	-0.65	-14.73	-0.01
31	SLU 47	-330	1	2447	-0.71	-14.71	-0.01
31	SLU 48	-331	0	2439	-0.56	-14.75	-0.01
31	SLU 49	-331	0	2443	-0.65	-14.73	-0.01
31	SLU 50	-331	0	2439	-0.56	-14.75	-0.01
31	SLU 51	-331	0	2443	-0.65	-14.73	-0.01
31	SLU 52	-448	1	2814	-0.8	-19.71	-0.01
31	SLU 53	-449	0	2806	-0.65	-19.75	-0.01
31	SLU 54	-449	1	2811	-0.74	-19.73	-0.01
31	SLU 55	-448	1	2814	-0.8	-19.71	-0.01
31	SLU 56	-449	0	2806	-0.65	-19.75	-0.01
31	SLU 57	-449	1	2811	-0.74	-19.73	-0.01
31	SLU 58	-449	0	2806	-0.65	-19.75	-0.01
31	SLU 59	-449	1	2811	-0.74	-19.73	-0.01
31	SLU 60	-500	0	2963	-0.69	-21.89	-0.01
31	SLU 61	-499	1	2968	-0.78	-21.87	-0.01
31	SLU 62	-500	0	2963	-0.69	-21.89	-0.01
31	SLU 63	-499	1	2968	-0.78	-21.87	-0.01
31	SLU 64	-392	0	2626	-0.61	-17.3	-0.01
31	SLU 65	-390	1	2634	-0.75	-17.27	-0.01
31	SLU 66	-392	0	2626	-0.61	-17.3	-0.01
31	SLU 67	-391	1	2631	-0.7	-17.28	-0.01
31	SLU 68	-390	1	2634	-0.75	-17.27	-0.01
31	SLU 69	-392	0	2626	-0.61	-17.3	-0.01
31	SLU 70	-391	1	2631	-0.7	-17.28	-0.01
31	SLU 71	-392	0	2626	-0.61	-17.3	-0.01
31	SLU 72	-391	1	2631	-0.7	-17.28	-0.01
31	SLU 73	-508	1	3001	-0.84	-22.27	-0.01
31	SLU 74	-510	0	2994	-0.7	-22.3	-0.01
31	SLU 75	-509	1	2998	-0.78	-22.28	-0.01
31	SLU 76	-508	1	3001	-0.84	-22.27	-0.01
31	SLU 77	-510	0	2994	-0.7	-22.3	-0.01
31	SLU 78	-509	1	2998	-0.78	-22.28	-0.01
31	SLU 79	-510	0	2994	-0.7	-22.3	-0.01
31	SLU 80	-509	1	2998	-0.78	-22.28	-0.01
31	SLU 81	-560	0	3151	-0.73	-24.45	-0.01
31	SLU 82	-559	1	3156	-0.82	-24.43	-0.01
31	SLU 83	-560	0	3151	-0.73	-24.45	-0.01
31	SLU 84	-559	1	3156	-0.82	-24.43	-0.01
31	SLE RA 1	-288	0	1979	-0.46	-12.75	0
31	SLE RA 2	-287	0	1984	-0.55	-12.73	0
31	SLE RA 3	-288	0	1979	-0.46	-12.75	0
31	SLE RA 4	-288	0	1982	-0.52	-12.74	0
31	SLE RA 5	-287	0	1984	-0.55	-12.73	0
31	SLE RA 6	-288	0	1979	-0.46	-12.75	0
31	SLE RA 7	-288	0	1982	-0.52	-12.74	0
31	SLE RA 8	-288	0	1979	-0.46	-12.75	0
31	SLE RA 9	-288	0	1982	-0.52	-12.74	0
31	SLE RA 10	-366	0	2229	-0.61	-16.06	-0.01
31	SLE RA 11	-367	0	2224	-0.52	-16.08	-0.01
31	SLE RA 12	-366	0	2227	-0.58	-16.07	-0.01
31	SLE RA 13	-366	0	2229	-0.61	-16.06	-0.01
31	SLE RA 14	-367	0	2224	-0.52	-16.08	-0.01
31	SLE RA 15	-366	0	2227	-0.58	-16.07	-0.01
31	SLE RA 16	-367	0	2224	-0.52	-16.08	-0.01
31	SLE RA 17	-366	0	2227	-0.58	-16.07	-0.01
31	SLE RA 18	-400	0	2329	-0.54	-17.51	-0.01
31	SLE RA 19	-400	0	2332	-0.6	-17.5	-0.01
31	SLE RA 20	-400	0	2329	-0.54	-17.51	-0.01
31	SLE RA 21	-400	0	2332	-0.6	-17.5	-0.01
31	SLE FR 1	-288	0	1979	-0.46	-12.75	0
31	SLE FR 2	-288	0	1980	-0.48	-12.74	0
31	SLE FR 3	-288	0	1979	-0.46	-12.75	0
31	SLE FR 4	-322	0	2085	-0.5	-14.17	0
31	SLE FR 5	-322	0	2084	-0.48	-14.18	0
31	SLE FR 6	-344	0	2154	-0.5	-15.13	-0.01
31	SLE QP 1	-288	0	1979	-0.46	-12.75	0
31	SLE QP 2	-322	0	2084	-0.48	-14.18	0
31	SLD 1	-140	18	2012	-15.67	-7.92	-0.03
31	SLD 2	-140	18	2012	-15.67	-7.92	-0.03
31	SLD 3	-179	7	1908	-6.37	-6.36	-0.01
31	SLD 4	-179	7	1908	-6.37	-6.36	-0.01



Nodo Ind.	Cont. N.br.	Reazione a traslazione			Reazione a rotazione		
		x	y	z	x	y	z
31	SLD 5	-208	22	2220	-19.15	-14.66	-0.03
31	SLD 6	-208	22	2220	-19.15	-14.66	-0.03
31	SLD 7	-338	-14	1874	11.86	-9.47	0.01
31	SLD 8	-338	-14	1874	11.86	-9.47	0.01
31	SLD 9	-305	15	2294	-12.82	-18.88	-0.02
31	SLD 10	-305	15	2294	-12.82	-18.88	-0.02
31	SLD 11	-435	-21	1948	18.18	-13.69	0.02
31	SLD 12	-435	-21	1948	18.18	-13.69	0.02
31	SLD 13	-465	-6	2260	5.41	-21.99	0
31	SLD 14	-465	-6	2260	5.41	-21.99	0
31	SLD 15	-504	-17	2156	14.71	-20.43	0.02
31	SLD 16	-504	-17	2156	14.71	-20.43	0.02
31	SLV 1	107	44	1915	-38.95	0.63	-0.06
31	SLV 2	107	44	1915	-38.95	0.63	-0.06
31	SLV 3	16	18	1667	-15.74	4.28	-0.03
31	SLV 4	16	18	1667	-15.74	4.28	-0.03
31	SLV 5	-54	54	2409	-47.22	-15.27	-0.08
31	SLV 6	-54	54	2409	-47.22	-15.27	-0.08
31	SLV 7	-359	-35	1583	30.14	-3.1	0.04
31	SLV 8	-359	-35	1583	30.14	-3.1	0.04
31	SLV 9	-284	35	2585	-31.1	-25.25	-0.05
31	SLV 10	-284	35	2585	-31.1	-25.25	-0.05
31	SLV 11	-589	-53	1759	46.26	-13.08	0.07
31	SLV 12	-589	-53	1759	46.26	-13.08	0.07
31	SLV 13	-660	-17	2501	14.78	-32.63	0.02
31	SLV 14	-660	-17	2501	14.78	-32.63	0.02
31	SLV 15	-751	-44	2253	37.99	-28.98	0.05
31	SLV 16	-751	-44	2253	37.99	-28.98	0.05
32	SLU 1	-317	3	2110	-0.86	-15.44	0.01
32	SLU 2	-315	3	2125	-0.97	-15.41	0.01
32	SLU 3	-317	3	2110	-0.86	-15.44	0.01
32	SLU 4	-316	3	2119	-0.93	-15.42	0.01
32	SLU 5	-315	3	2125	-0.97	-15.41	0.01
32	SLU 6	-317	3	2110	-0.86	-15.44	0.01
32	SLU 7	-316	3	2119	-0.93	-15.42	0.01
32	SLU 8	-317	3	2110	-0.86	-15.44	0.01
32	SLU 9	-316	3	2119	-0.93	-15.42	0.01
32	SLU 10	-439	3	2500	-1.07	-20.88	0.01
32	SLU 11	-442	3	2485	-0.96	-20.91	0.01
32	SLU 12	-440	3	2494	-1.03	-20.89	0.01
32	SLU 13	-439	3	2500	-1.07	-20.88	0.01
32	SLU 14	-442	3	2485	-0.96	-20.91	0.01
32	SLU 15	-440	3	2494	-1.03	-20.89	0.01
32	SLU 16	-442	3	2485	-0.96	-20.91	0.01
32	SLU 17	-440	3	2494	-1.03	-20.89	0.01
32	SLU 18	-495	3	2646	-1.01	-23.25	0.01
32	SLU 19	-493	3	2654	-1.07	-23.24	0.01
32	SLU 20	-495	3	2646	-1.01	-23.25	0.01
32	SLU 21	-493	3	2654	-1.07	-23.24	0.01
32	SLU 22	-381	3	2302	-0.91	-18.24	0.01
32	SLU 23	-379	3	2316	-1.02	-18.21	0.01
32	SLU 24	-381	3	2302	-0.91	-18.24	0.01
32	SLU 25	-380	3	2310	-0.98	-18.22	0.01
32	SLU 26	-379	3	2316	-1.02	-18.21	0.01
32	SLU 27	-381	3	2302	-0.91	-18.24	0.01
32	SLU 28	-380	3	2310	-0.98	-18.22	0.01
32	SLU 29	-381	3	2302	-0.91	-18.24	0.01
32	SLU 30	-380	3	2310	-0.98	-18.22	0.01
32	SLU 31	-503	3	2691	-1.12	-23.67	0.01
32	SLU 32	-505	3	2677	-1.01	-23.71	0.01
32	SLU 33	-504	3	2685	-1.08	-23.69	0.01
32	SLU 34	-503	3	2691	-1.12	-23.67	0.01
32	SLU 35	-505	3	2677	-1.01	-23.71	0.01
32	SLU 36	-504	3	2685	-1.08	-23.69	0.01
32	SLU 37	-505	3	2677	-1.01	-23.71	0.01
32	SLU 38	-504	3	2685	-1.08	-23.69	0.01
32	SLU 39	-558	3	2837	-1.06	-26.05	0.02
32	SLU 40	-557	3	2846	-1.12	-26.03	0.01
32	SLU 41	-558	3	2837	-1.06	-26.05	0.02
32	SLU 42	-557	3	2846	-1.12	-26.03	0.01
32	SLU 43	-391	3	2677	-1.1	-19.12	0.01
32	SLU 44	-389	4	2692	-1.21	-19.09	0.01
32	SLU 45	-391	3	2677	-1.1	-19.12	0.01
32	SLU 46	-390	3	2686	-1.17	-19.1	0.01
32	SLU 47	-389	4	2692	-1.21	-19.09	0.01
32	SLU 48	-391	3	2677	-1.1	-19.12	0.01
32	SLU 49	-390	3	2686	-1.17	-19.1	0.01
32	SLU 50	-391	3	2677	-1.1	-19.12	0.01
32	SLU 51	-390	3	2686	-1.17	-19.1	0.01
32	SLU 52	-513	4	3067	-1.31	-24.55	0.02
32	SLU 53	-515	4	3052	-1.2	-24.59	0.02
32	SLU 54	-514	4	3061	-1.27	-24.57	0.02
32	SLU 55	-513	4	3067	-1.31	-24.55	0.02
32	SLU 56	-515	4	3052	-1.2	-24.59	0.02
32	SLU 57	-514	4	3061	-1.27	-24.57	0.02
32	SLU 58	-515	4	3052	-1.2	-24.59	0.02
32	SLU 59	-514	4	3061	-1.27	-24.57	0.02
32	SLU 60	-568	4	3213	-1.25	-26.93	0.02



Nodo Ind.	Cont. N.br.	Reazione a traslazione			Reazione a rotazione		
		x	y	z	x	y	z
32	SLU 61	-567	4	3222	-1.31	-26.91	0.02
32	SLU 62	-568	4	3213	-1.25	-26.93	0.02
32	SLU 63	-567	4	3222	-1.31	-26.91	0.02
32	SLU 64	-454	3	2869	-1.15	-21.91	0.02
32	SLU 65	-452	4	2883	-1.26	-21.88	0.02
32	SLU 66	-454	3	2869	-1.15	-21.91	0.02
32	SLU 67	-453	4	2878	-1.22	-21.89	0.02
32	SLU 68	-452	4	2883	-1.26	-21.88	0.02
32	SLU 69	-454	3	2869	-1.15	-21.91	0.02
32	SLU 70	-453	4	2878	-1.22	-21.89	0.02
32	SLU 71	-454	3	2869	-1.15	-21.91	0.02
32	SLU 72	-453	4	2878	-1.22	-21.89	0.02
32	SLU 73	-576	4	3259	-1.36	-27.35	0.02
32	SLU 74	-579	4	3244	-1.25	-27.38	0.02
32	SLU 75	-577	4	3253	-1.32	-27.36	0.02
32	SLU 76	-576	4	3259	-1.36	-27.35	0.02
32	SLU 77	-579	4	3244	-1.25	-27.38	0.02
32	SLU 78	-577	4	3253	-1.32	-27.36	0.02
32	SLU 79	-579	4	3244	-1.25	-27.38	0.02
32	SLU 80	-577	4	3253	-1.32	-27.36	0.02
32	SLU 81	-632	4	3405	-1.3	-29.72	0.02
32	SLU 82	-630	4	3413	-1.36	-29.71	0.02
32	SLU 83	-632	4	3405	-1.3	-29.72	0.02
32	SLU 84	-630	4	3413	-1.36	-29.71	0.02
32	SLE RA 1	-336	3	2165	-0.88	-16.24	0.01
32	SLE RA 2	-334	3	2174	-0.95	-16.22	0.01
32	SLE RA 3	-336	3	2165	-0.88	-16.24	0.01
32	SLE RA 4	-335	3	2171	-0.92	-16.23	0.01
32	SLE RA 5	-334	3	2174	-0.95	-16.22	0.01
32	SLE RA 6	-336	3	2165	-0.88	-16.24	0.01
32	SLE RA 7	-335	3	2171	-0.92	-16.23	0.01
32	SLE RA 8	-336	3	2165	-0.88	-16.24	0.01
32	SLE RA 9	-335	3	2171	-0.92	-16.23	0.01
32	SLE RA 10	-417	3	2424	-1.02	-19.87	0.01
32	SLE RA 11	-418	3	2415	-0.94	-19.89	0.01
32	SLE RA 12	-417	3	2421	-0.99	-19.87	0.01
32	SLE RA 13	-417	3	2424	-1.02	-19.87	0.01
32	SLE RA 14	-418	3	2415	-0.94	-19.89	0.01
32	SLE RA 15	-417	3	2421	-0.99	-19.87	0.01
32	SLE RA 16	-418	3	2415	-0.94	-19.89	0.01
32	SLE RA 17	-417	3	2421	-0.99	-19.87	0.01
32	SLE RA 18	-454	3	2522	-0.97	-21.45	0.01
32	SLE RA 19	-453	3	2528	-1.02	-21.44	0.01
32	SLE RA 20	-454	3	2522	-0.97	-21.45	0.01
32	SLE RA 21	-453	3	2528	-1.02	-21.44	0.01
32	SLE FR 1	-336	3	2165	-0.88	-16.24	0.01
32	SLE FR 2	-335	3	2167	-0.89	-16.24	0.01
32	SLE FR 3	-336	3	2165	-0.88	-16.24	0.01
32	SLE FR 4	-371	3	2274	-0.92	-17.8	0.01
32	SLE FR 5	-371	3	2272	-0.91	-17.8	0.01
32	SLE FR 6	-395	3	2343	-0.92	-18.85	0.01
32	SLE QP 1	-336	3	2165	-0.88	-16.24	0.01
32	SLE QP 2	-371	3	2272	-0.91	-17.8	0.01
32	SLD 1	-203	12	2138	-8.81	-11.57	0
32	SLD 2	-203	12	2138	-8.81	-11.57	0
32	SLD 3	-244	7	1980	-3.93	-10.1	0.01
32	SLD 4	-244	7	1980	-3.93	-10.1	0.01
32	SLD 5	-259	13	2470	-10.68	-18.16	0
32	SLD 6	-259	13	2470	-10.68	-18.16	0
32	SLD 7	-395	-4	1946	5.59	-13.26	0.02
32	SLD 8	-395	-4	1946	5.59	-13.26	0.02
32	SLD 9	-347	9	2598	-7.41	-22.35	0
32	SLD 10	-347	9	2598	-7.41	-22.35	0
32	SLD 11	-484	-8	2073	8.87	-17.45	0.03
32	SLD 12	-484	-8	2073	8.87	-17.45	0.03
32	SLD 13	-498	-1	2563	2.11	-25.51	0.02
32	SLD 14	-498	-1	2563	2.11	-25.51	0.02
32	SLD 15	-539	-7	2406	7	-24.04	0.03
32	SLD 16	-539	-7	2406	7	-24.04	0.03
32	SLV 1	26	26	1957	-20.86	-3.06	-0.02
32	SLV 2	26	26	1957	-20.86	-3.06	-0.02
32	SLV 3	-70	13	1580	-8.71	0.39	0
32	SLV 4	-70	13	1580	-8.71	0.39	0
32	SLV 5	-106	29	2749	-25.32	-18.61	-0.03
32	SLV 6	-106	29	2749	-25.32	-18.61	-0.03
32	SLV 7	-426	-13	1493	15.18	-7.11	0.04
32	SLV 8	-426	-13	1493	15.18	-7.11	0.04
32	SLV 9	-316	19	3051	-16.99	-28.49	-0.01
32	SLV 10	-316	19	3051	-16.99	-28.49	-0.01
32	SLV 11	-636	-23	1795	23.51	-17	0.05
32	SLV 12	-636	-23	1795	23.51	-17	0.05
32	SLV 13	-672	-7	2963	6.89	-36	0.03
32	SLV 14	-672	-7	2963	6.89	-36	0.03
32	SLV 15	-768	-20	2587	19.04	-32.55	0.05
32	SLV 16	-768	-20	2587	19.04	-32.55	0.05
33	SLU 1	-371	320	2531	-8.43	-10.96	0.01
33	SLU 2	-372	328	2557	-8.75	-10.95	0.01
33	SLU 3	-371	320	2531	-8.43	-10.96	0.01



Nodo Ind.	Cont. N.br.	Reazione a traslazione			Reazione a rotazione		
		x	y	z	x	y	z
33	SLU 4	-371	325	2546	-8.63	-10.95	0.01
33	SLU 5	-372	328	2557	-8.75	-10.95	0.01
33	SLU 6	-371	320	2531	-8.43	-10.96	0.01
33	SLU 7	-371	325	2546	-8.63	-10.95	0.01
33	SLU 8	-371	320	2531	-8.43	-10.96	0.01
33	SLU 9	-371	325	2546	-8.63	-10.95	0.01
33	SLU 10	-471	354	2985	-9.01	-14.33	0.04
33	SLU 11	-470	346	2959	-8.69	-14.34	0.04
33	SLU 12	-471	351	2974	-8.88	-14.33	0.04
33	SLU 13	-471	354	2985	-9.01	-14.33	0.04
33	SLU 14	-470	346	2959	-8.69	-14.34	0.04
33	SLU 15	-471	351	2974	-8.88	-14.33	0.04
33	SLU 16	-470	346	2959	-8.69	-14.34	0.04
33	SLU 17	-471	351	2974	-8.88	-14.33	0.04
33	SLU 18	-513	357	3142	-8.8	-15.79	0.05
33	SLU 19	-513	362	3158	-8.99	-15.78	0.05
33	SLU 20	-513	357	3142	-8.8	-15.79	0.05
33	SLU 21	-513	362	3158	-8.99	-15.78	0.05
33	SLU 22	-422	333	2749	-8.56	-12.69	0.03
33	SLU 23	-422	341	2775	-8.88	-12.67	0.02
33	SLU 24	-422	333	2749	-8.56	-12.69	0.03
33	SLU 25	-422	338	2765	-8.75	-12.68	0.02
33	SLU 26	-422	341	2775	-8.88	-12.67	0.02
33	SLU 27	-422	333	2749	-8.56	-12.69	0.03
33	SLU 28	-422	338	2765	-8.75	-12.68	0.02
33	SLU 29	-422	333	2749	-8.56	-12.69	0.03
33	SLU 30	-422	338	2765	-8.75	-12.68	0.02
33	SLU 31	-522	367	3203	-9.14	-16.05	0.05
33	SLU 32	-521	359	3177	-8.82	-16.07	0.05
33	SLU 33	-521	364	3193	-9.01	-16.06	0.05
33	SLU 34	-522	367	3203	-9.14	-16.05	0.05
33	SLU 35	-521	359	3177	-8.82	-16.07	0.05
33	SLU 36	-521	364	3193	-9.01	-16.06	0.05
33	SLU 37	-521	359	3177	-8.82	-16.07	0.05
33	SLU 38	-521	364	3193	-9.01	-16.06	0.05
33	SLU 39	-563	370	3361	-8.93	-17.51	0.06
33	SLU 40	-564	375	3376	-9.12	-17.51	0.06
33	SLU 41	-563	370	3361	-8.93	-17.51	0.06
33	SLU 42	-564	375	3376	-9.12	-17.51	0.06
33	SLU 43	-465	412	3215	-10.92	-13.65	0.01
33	SLU 44	-465	420	3241	-11.24	-13.64	0.01
33	SLU 45	-465	412	3215	-10.92	-13.65	0.01
33	SLU 46	-465	417	3231	-11.11	-13.65	0.01
33	SLU 47	-465	420	3241	-11.24	-13.64	0.01
33	SLU 48	-465	412	3215	-10.92	-13.65	0.01
33	SLU 49	-465	417	3231	-11.11	-13.65	0.01
33	SLU 50	-465	412	3215	-10.92	-13.65	0.01
33	SLU 51	-465	417	3231	-11.11	-13.65	0.01
33	SLU 52	-565	446	3669	-11.5	-17.02	0.03
33	SLU 53	-564	438	3643	-11.18	-17.03	0.04
33	SLU 54	-564	442	3659	-11.37	-17.03	0.04
33	SLU 55	-565	446	3669	-11.5	-17.02	0.03
33	SLU 56	-564	438	3643	-11.18	-17.03	0.04
33	SLU 57	-564	442	3659	-11.37	-17.03	0.04
33	SLU 58	-564	438	3643	-11.18	-17.03	0.04
33	SLU 59	-564	442	3659	-11.37	-17.03	0.04
33	SLU 60	-606	449	3826	-11.29	-18.48	0.05
33	SLU 61	-607	453	3842	-11.48	-18.47	0.05
33	SLU 62	-606	449	3826	-11.29	-18.48	0.05
33	SLU 63	-607	453	3842	-11.48	-18.47	0.05
33	SLU 64	-515	425	3434	-11.05	-15.38	0.03
33	SLU 65	-516	433	3460	-11.37	-15.37	0.02
33	SLU 66	-515	425	3434	-11.05	-15.38	0.03
33	SLU 67	-516	430	3449	-11.24	-15.37	0.02
33	SLU 68	-516	433	3460	-11.37	-15.37	0.02
33	SLU 69	-515	425	3434	-11.05	-15.38	0.03
33	SLU 70	-516	430	3449	-11.24	-15.37	0.02
33	SLU 71	-515	425	3434	-11.05	-15.38	0.03
33	SLU 72	-516	430	3449	-11.24	-15.37	0.02
33	SLU 73	-615	459	3888	-11.62	-18.75	0.05
33	SLU 74	-615	451	3862	-11.3	-18.76	0.05
33	SLU 75	-615	455	3877	-11.5	-18.75	0.05
33	SLU 76	-615	459	3888	-11.62	-18.75	0.05
33	SLU 77	-615	451	3862	-11.3	-18.76	0.05
33	SLU 78	-615	455	3877	-11.5	-18.75	0.05
33	SLU 79	-615	451	3862	-11.3	-18.76	0.05
33	SLU 80	-615	455	3877	-11.5	-18.75	0.05
33	SLU 81	-657	462	4045	-11.41	-20.21	0.06
33	SLU 82	-658	466	4061	-11.61	-20.2	0.06
33	SLU 83	-657	462	4045	-11.41	-20.21	0.06
33	SLU 84	-658	466	4061	-11.61	-20.2	0.06
33	SLE RA 1	-385	324	2593	-8.47	-11.45	0.02
33	SLE RA 2	-386	330	2610	-8.68	-11.44	0.01
33	SLE RA 3	-385	324	2593	-8.47	-11.45	0.02
33	SLE RA 4	-386	327	2604	-8.6	-11.45	0.02
33	SLE RA 5	-386	330	2610	-8.68	-11.44	0.01
33	SLE RA 6	-385	324	2593	-8.47	-11.45	0.02
33	SLE RA 7	-386	327	2604	-8.6	-11.45	0.02



Nodo Ind.	Cont. N.br.	Reazione a traslazione			Reazione a rotazione		
		x	y	z	x	y	z
33	SLE RA 8	-385	324	2593	-8.47	-11.45	0.02
33	SLE RA 9	-386	327	2604	-8.6	-11.45	0.02
33	SLE RA 10	-452	347	2896	-8.85	-13.7	0.03
33	SLE RA 11	-451	341	2879	-8.64	-13.7	0.03
33	SLE RA 12	-452	344	2889	-8.77	-13.7	0.03
33	SLE RA 13	-452	347	2896	-8.85	-13.7	0.03
33	SLE RA 14	-451	341	2879	-8.64	-13.7	0.03
33	SLE RA 15	-452	344	2889	-8.77	-13.7	0.03
33	SLE RA 16	-451	341	2879	-8.64	-13.7	0.03
33	SLE RA 17	-452	344	2889	-8.77	-13.7	0.03
33	SLE RA 18	-480	348	3001	-8.71	-14.67	0.04
33	SLE RA 19	-480	352	3011	-8.84	-14.67	0.04
33	SLE RA 20	-480	348	3001	-8.71	-14.67	0.04
33	SLE RA 21	-480	352	3011	-8.84	-14.67	0.04
33	SLE FR 1	-385	324	2593	-8.47	-11.45	0.02
33	SLE FR 2	-385	325	2597	-8.51	-11.45	0.02
33	SLE FR 3	-385	324	2593	-8.47	-11.45	0.02
33	SLE FR 4	-414	333	2719	-8.59	-12.42	0.02
33	SLE FR 5	-414	331	2716	-8.54	-12.42	0.02
33	SLE FR 6	-433	336	2797	-8.59	-13.06	0.03
33	SLE QP 1	-385	324	2593	-8.47	-11.45	0.02
33	SLE QP 2	-414	331	2716	-8.54	-12.42	0.02
33	SLD 1	-329	327	2493	-11.52	-9.08	-0.03
33	SLD 2	-329	327	2493	-11.52	-9.08	-0.03
33	SLD 3	-308	258	2251	-8.62	-8.43	0
33	SLD 4	-308	258	2251	-8.62	-8.43	0
33	SLD 5	-420	435	3017	-13.85	-12.41	-0.04
33	SLD 6	-420	435	3017	-13.85	-12.41	-0.04
33	SLD 7	-351	205	2208	-4.16	-10.22	0.06
33	SLD 8	-351	205	2208	-4.16	-10.22	0.06
33	SLD 9	-477	458	3223	-12.93	-14.61	-0.01
33	SLD 10	-477	458	3223	-12.93	-14.61	-0.01
33	SLD 11	-408	228	2414	-3.24	-12.42	0.08
33	SLD 12	-408	228	2414	-3.24	-12.42	0.08
33	SLD 13	-519	405	3180	-8.47	-16.41	0.04
33	SLD 14	-519	405	3180	-8.47	-16.41	0.04
33	SLD 15	-498	336	2938	-5.56	-15.75	0.07
33	SLD 16	-498	336	2938	-5.56	-15.75	0.07
33	SLV 1	-214	322	2194	-15.72	-4.53	-0.09
33	SLV 2	-214	322	2194	-15.72	-4.53	-0.09
33	SLV 3	-164	158	1612	-8.75	-2.98	-0.03
33	SLV 4	-164	158	1612	-8.75	-2.98	-0.03
33	SLV 5	-429	578	3441	-21.26	-12.4	-0.12
33	SLV 6	-429	578	3441	-21.26	-12.4	-0.12
33	SLV 7	-263	30	1502	1.96	-7.24	0.11
33	SLV 8	-263	30	1502	1.96	-7.24	0.11
33	SLV 9	-564	633	3929	-19.05	-17.59	-0.07
33	SLV 10	-564	633	3929	-19.05	-17.59	-0.07
33	SLV 11	-398	85	1990	4.18	-12.44	0.16
33	SLV 12	-398	85	1990	4.18	-12.44	0.16
33	SLV 13	-663	505	3819	-8.34	-21.85	0.07
33	SLV 14	-663	505	3819	-8.34	-21.85	0.07
33	SLV 15	-613	341	3237	-1.37	-20.3	0.14
33	SLV 16	-613	341	3237	-1.37	-20.3	0.14
34	SLU 1	2	125	1983	-7.9	-0.27	0.01
34	SLU 2	2	136	1986	-8.42	-0.33	0.01
34	SLU 3	2	125	1983	-7.9	-0.27	0.01
34	SLU 4	2	132	1985	-8.21	-0.3	0.01
34	SLU 5	2	136	1986	-8.42	-0.33	0.01
34	SLU 6	2	125	1983	-7.9	-0.27	0.01
34	SLU 7	2	132	1985	-8.21	-0.3	0.01
34	SLU 8	2	125	1983	-7.9	-0.27	0.01
34	SLU 9	2	132	1985	-8.21	-0.3	0.01
34	SLU 10	3	112	2292	-8.02	-0.3	0.01
34	SLU 11	3	101	2289	-7.5	-0.24	0.01
34	SLU 12	3	107	2291	-7.81	-0.28	0.01
34	SLU 13	3	112	2292	-8.02	-0.3	0.01
34	SLU 14	3	101	2289	-7.5	-0.24	0.01
34	SLU 15	3	107	2291	-7.81	-0.28	0.01
34	SLU 16	3	101	2289	-7.5	-0.24	0.01
34	SLU 17	3	107	2291	-7.81	-0.28	0.01
34	SLU 18	3	90	2421	-7.33	-0.23	0.01
34	SLU 19	3	97	2422	-7.64	-0.26	0.01
34	SLU 20	3	90	2421	-7.33	-0.23	0.01
34	SLU 21	3	97	2422	-7.64	-0.26	0.01
34	SLU 22	3	113	2140	-7.69	-0.25	0.01
34	SLU 23	3	124	2142	-8.21	-0.31	0.01
34	SLU 24	3	113	2140	-7.69	-0.25	0.01
34	SLU 25	3	119	2141	-8.01	-0.29	0.01
34	SLU 26	3	124	2142	-8.21	-0.31	0.01
34	SLU 27	3	113	2140	-7.69	-0.25	0.01
34	SLU 28	3	119	2141	-8.01	-0.29	0.01
34	SLU 29	3	113	2140	-7.69	-0.25	0.01
34	SLU 30	3	119	2141	-8.01	-0.29	0.01
34	SLU 31	3	99	2448	-7.81	-0.29	0.01
34	SLU 32	3	88	2446	-7.29	-0.23	0.01
34	SLU 33	3	95	2447	-7.6	-0.26	0.01
34	SLU 34	3	99	2448	-7.81	-0.29	0.01



Nodo Ind.	Cont. N.br.	Reazione a traslazione			Reazione a rotazione		
		x	y	z	x	y	z
34	SLU 35	3	88	2446	-7.29	-0.23	0.01
34	SLU 36	3	95	2447	-7.6	-0.26	0.01
34	SLU 37	3	88	2446	-7.29	-0.23	0.01
34	SLU 38	3	95	2447	-7.6	-0.26	0.01
34	SLU 39	3	78	2577	-7.12	-0.21	0.01
34	SLU 40	3	84	2578	-7.43	-0.25	0.01
34	SLU 41	3	78	2577	-7.12	-0.21	0.01
34	SLU 42	3	84	2578	-7.43	-0.25	0.01
34	SLU 43	3	167	2525	-10.34	-0.35	0.01
34	SLU 44	3	178	2527	-10.87	-0.41	0.01
34	SLU 45	3	167	2525	-10.34	-0.35	0.01
34	SLU 46	3	174	2526	-10.66	-0.39	0.01
34	SLU 47	3	178	2527	-10.87	-0.41	0.01
34	SLU 48	3	167	2525	-10.34	-0.35	0.01
34	SLU 49	3	174	2526	-10.66	-0.39	0.01
34	SLU 50	3	167	2525	-10.34	-0.35	0.01
34	SLU 51	3	174	2526	-10.66	-0.39	0.01
34	SLU 52	4	154	2833	-10.46	-0.38	0.02
34	SLU 53	4	143	2831	-9.94	-0.33	0.02
34	SLU 54	4	149	2832	-10.25	-0.36	0.02
34	SLU 55	4	154	2833	-10.46	-0.38	0.02
34	SLU 56	4	143	2831	-9.94	-0.33	0.02
34	SLU 57	4	149	2832	-10.25	-0.36	0.02
34	SLU 58	4	143	2831	-9.94	-0.33	0.02
34	SLU 59	4	149	2832	-10.25	-0.36	0.02
34	SLU 60	4	132	2962	-9.77	-0.31	0.02
34	SLU 61	4	139	2963	-10.08	-0.35	0.02
34	SLU 62	4	132	2962	-9.77	-0.31	0.02
34	SLU 63	4	139	2963	-10.08	-0.35	0.02
34	SLU 64	3	155	2681	-10.13	-0.34	0.01
34	SLU 65	3	165	2684	-10.66	-0.4	0.01
34	SLU 66	3	155	2681	-10.13	-0.34	0.01
34	SLU 67	3	161	2683	-10.45	-0.37	0.01
34	SLU 68	3	165	2684	-10.66	-0.4	0.01
34	SLU 69	3	155	2681	-10.13	-0.34	0.01
34	SLU 70	3	161	2683	-10.45	-0.37	0.01
34	SLU 71	3	155	2681	-10.13	-0.34	0.01
34	SLU 72	3	161	2683	-10.45	-0.37	0.01
34	SLU 73	4	141	2990	-10.25	-0.37	0.02
34	SLU 74	4	130	2987	-9.73	-0.31	0.02
34	SLU 75	4	137	2989	-10.05	-0.35	0.02
34	SLU 76	4	141	2990	-10.25	-0.37	0.02
34	SLU 77	4	130	2987	-9.73	-0.31	0.02
34	SLU 78	4	137	2989	-10.05	-0.35	0.02
34	SLU 79	4	130	2987	-9.73	-0.31	0.02
34	SLU 80	4	137	2989	-10.05	-0.35	0.02
34	SLU 81	4	120	3118	-9.56	-0.3	0.02
34	SLU 82	4	126	3120	-9.87	-0.34	0.02
34	SLU 83	4	120	3118	-9.56	-0.3	0.02
34	SLU 84	4	126	3120	-9.87	-0.34	0.02
34	SLE RA 1	2	122	2028	-7.84	-0.26	0.01
34	SLE RA 2	2	129	2030	-8.19	-0.3	0.01
34	SLE RA 3	2	122	2028	-7.84	-0.26	0.01
34	SLE RA 4	2	126	2029	-8.05	-0.29	0.01
34	SLE RA 5	2	129	2030	-8.19	-0.3	0.01
34	SLE RA 6	2	122	2028	-7.84	-0.26	0.01
34	SLE RA 7	2	126	2029	-8.05	-0.29	0.01
34	SLE RA 8	2	122	2028	-7.84	-0.26	0.01
34	SLE RA 9	2	126	2029	-8.05	-0.29	0.01
34	SLE RA 10	3	113	2234	-7.92	-0.28	0.01
34	SLE RA 11	3	105	2232	-7.57	-0.25	0.01
34	SLE RA 12	3	110	2233	-7.78	-0.27	0.01
34	SLE RA 13	3	113	2234	-7.92	-0.28	0.01
34	SLE RA 14	3	105	2232	-7.57	-0.25	0.01
34	SLE RA 15	3	110	2233	-7.78	-0.27	0.01
34	SLE RA 16	3	105	2232	-7.57	-0.25	0.01
34	SLE RA 17	3	110	2233	-7.78	-0.27	0.01
34	SLE RA 18	3	98	2319	-7.46	-0.24	0.01
34	SLE RA 19	3	103	2320	-7.67	-0.26	0.01
34	SLE RA 20	3	98	2319	-7.46	-0.24	0.01
34	SLE RA 21	3	103	2320	-7.67	-0.26	0.01
34	SLE FR 1	2	122	2028	-7.84	-0.26	0.01
34	SLE FR 2	2	123	2028	-7.91	-0.27	0.01
34	SLE FR 3	2	122	2028	-7.84	-0.26	0.01
34	SLE FR 4	3	116	2116	-7.8	-0.26	0.01
34	SLE FR 5	3	115	2115	-7.73	-0.26	0.01
34	SLE FR 6	3	110	2174	-7.65	-0.25	0.01
34	SLE QP 1	2	122	2028	-7.84	-0.26	0.01
34	SLE QP 2	3	115	2115	-7.73	-0.26	0.01
34	SLD 1	4	98	2397	-7.29	0.34	0.01
34	SLD 2	4	98	2397	-7.29	0.34	0.01
34	SLD 3	9	16	2261	-3.4	3.2	0
34	SLD 4	9	16	2261	-3.4	3.2	0
34	SLD 5	-6	233	2406	-13.51	-4.43	0.02
34	SLD 6	-6	233	2406	-13.51	-4.43	0.02
34	SLD 7	13	-39	1953	-0.52	5.13	0
34	SLD 8	13	-39	1953	-0.52	5.13	0
34	SLD 9	-8	268	2278	-14.94	-5.64	0.03



Nodo Ind.	Cont. N.br.	Reazione a traslazione			Reazione a rotazione		
		x	y	z	x	y	z
34	SLD 10	-8	268	2278	-14.94	-5.64	0.03
34	SLD 11	11	-4	1825	-1.95	3.92	0
34	SLD 12	11	-4	1825	-1.95	3.92	0
34	SLD 13	-4	213	1970	-12.06	-3.72	0.02
34	SLD 14	-4	213	1970	-12.06	-3.72	0.02
34	SLD 15	2	131	1834	-8.16	-0.85	0.01
34	SLD 16	2	131	1834	-8.16	-0.85	0.01
34	SLV 1	6	74	2779	-6.64	1.36	0.01
34	SLV 2	6	74	2779	-6.64	1.36	0.01
34	SLV 3	19	-119	2458	2.57	8.14	-0.01
34	SLV 4	19	-119	2458	2.57	8.14	-0.01
34	SLV 5	-17	395	2802	-21.37	-10.05	0.04
34	SLV 6	-17	395	2802	-21.37	-10.05	0.04
34	SLV 7	28	-248	1731	9.33	12.54	-0.02
34	SLV 8	28	-248	1731	9.33	12.54	-0.02
34	SLV 9	-23	478	2499	-24.78	-13.05	0.05
34	SLV 10	-23	478	2499	-24.78	-13.05	0.05
34	SLV 11	22	-166	1429	5.91	9.54	-0.02
34	SLV 12	22	-166	1429	5.91	9.54	-0.02
34	SLV 13	-14	349	1772	-18.02	-8.65	0.03
34	SLV 14	-14	349	1772	-18.02	-8.65	0.03
34	SLV 15	0	155	1451	-8.81	-1.88	0.01
34	SLV 16	0	155	1451	-8.81	-1.88	0.01
35	SLU 1	-3	232	1950	-11.75	-0.85	-0.01
35	SLU 2	-3	244	1965	-12.36	-0.78	-0.01
35	SLU 3	-3	232	1950	-11.75	-0.85	-0.01
35	SLU 4	-3	239	1959	-12.11	-0.81	-0.01
35	SLU 5	-3	244	1965	-12.36	-0.78	-0.01
35	SLU 6	-3	232	1950	-11.75	-0.85	-0.01
35	SLU 7	-3	239	1959	-12.11	-0.81	-0.01
35	SLU 8	-3	232	1950	-11.75	-0.85	-0.01
35	SLU 9	-3	239	1959	-12.11	-0.81	-0.01
35	SLU 10	-3	228	2256	-12.16	-1	-0.01
35	SLU 11	-3	215	2241	-11.55	-1.06	-0.01
35	SLU 12	-3	223	2250	-11.92	-1.03	-0.01
35	SLU 13	-3	228	2256	-12.16	-1	-0.01
35	SLU 14	-3	215	2241	-11.55	-1.06	-0.01
35	SLU 15	-3	223	2250	-11.92	-1.03	-0.01
35	SLU 16	-3	215	2241	-11.55	-1.06	-0.01
35	SLU 17	-3	223	2250	-11.92	-1.03	-0.01
35	SLU 18	-4	209	2366	-11.47	-1.16	-0.01
35	SLU 19	-4	216	2375	-11.83	-1.12	-0.01
35	SLU 20	-4	209	2366	-11.47	-1.16	-0.01
35	SLU 21	-4	216	2375	-11.83	-1.12	-0.01
35	SLU 22	-3	223	2099	-11.64	-0.96	-0.01
35	SLU 23	-3	236	2114	-12.25	-0.89	-0.01
35	SLU 24	-3	223	2099	-11.64	-0.96	-0.01
35	SLU 25	-3	231	2108	-12.01	-0.92	-0.01
35	SLU 26	-3	236	2114	-12.25	-0.89	-0.01
35	SLU 27	-3	223	2099	-11.64	-0.96	-0.01
35	SLU 28	-3	231	2108	-12.01	-0.92	-0.01
35	SLU 29	-3	223	2099	-11.64	-0.96	-0.01
35	SLU 30	-3	231	2108	-12.01	-0.92	-0.01
35	SLU 31	-4	220	2405	-12.06	-1.11	-0.01
35	SLU 32	-4	207	2390	-11.45	-1.18	-0.01
35	SLU 33	-4	215	2399	-11.81	-1.14	-0.01
35	SLU 34	-4	220	2405	-12.06	-1.11	-0.01
35	SLU 35	-4	207	2390	-11.45	-1.18	-0.01
35	SLU 36	-4	215	2399	-11.81	-1.14	-0.01
35	SLU 37	-4	207	2390	-11.45	-1.18	-0.01
35	SLU 38	-4	215	2399	-11.81	-1.14	-0.01
35	SLU 39	-4	200	2515	-11.36	-1.27	-0.01
35	SLU 40	-4	208	2524	-11.73	-1.23	-0.01
35	SLU 41	-4	200	2515	-11.36	-1.27	-0.01
35	SLU 42	-4	208	2524	-11.73	-1.23	-0.01
35	SLU 43	-3	304	2484	-15.3	-1.06	-0.01
35	SLU 44	-4	317	2499	-15.92	-1	-0.01
35	SLU 45	-3	304	2484	-15.3	-1.06	-0.01
35	SLU 46	-3	312	2493	-15.67	-1.02	-0.01
35	SLU 47	-4	317	2499	-15.92	-1	-0.01
35	SLU 48	-3	304	2484	-15.3	-1.06	-0.01
35	SLU 49	-3	312	2493	-15.67	-1.02	-0.01
35	SLU 50	-3	304	2484	-15.3	-1.06	-0.01
35	SLU 51	-3	312	2493	-15.67	-1.02	-0.01
35	SLU 52	-4	301	2790	-15.72	-1.22	-0.01
35	SLU 53	-4	288	2775	-15.11	-1.28	-0.01
35	SLU 54	-4	296	2784	-15.48	-1.24	-0.01
35	SLU 55	-4	301	2790	-15.72	-1.22	-0.01
35	SLU 56	-4	288	2775	-15.11	-1.28	-0.01
35	SLU 57	-4	296	2784	-15.48	-1.24	-0.01
35	SLU 58	-4	288	2775	-15.11	-1.28	-0.01
35	SLU 59	-4	296	2784	-15.48	-1.24	-0.01
35	SLU 60	-4	281	2900	-15.03	-1.37	-0.01
35	SLU 61	-4	289	2909	-15.39	-1.34	-0.01
35	SLU 62	-4	281	2900	-15.03	-1.37	-0.01
35	SLU 63	-4	289	2909	-15.39	-1.34	-0.01
35	SLU 64	-4	296	2633	-15.2	-1.17	-0.01
35	SLU 65	-4	308	2648	-15.81	-1.11	-0.01



Nodo Ind.	Cont. N.br.	Reazione a traslazione			Reazione a rotazione		
		x	y	z	x	y	z
35	SLU 66	-4	296	2633	-15.2	-1.17	-0.01
35	SLU 67	-4	303	2642	-15.57	-1.13	-0.01
35	SLU 68	-4	308	2648	-15.81	-1.11	-0.01
35	SLU 69	-4	296	2633	-15.2	-1.17	-0.01
35	SLU 70	-4	303	2642	-15.57	-1.13	-0.01
35	SLU 71	-4	296	2633	-15.2	-1.17	-0.01
35	SLU 72	-4	303	2642	-15.57	-1.13	-0.01
35	SLU 73	-4	292	2939	-15.62	-1.33	-0.01
35	SLU 74	-4	279	2924	-15.01	-1.39	-0.01
35	SLU 75	-4	287	2933	-15.37	-1.35	-0.01
35	SLU 76	-4	292	2939	-15.62	-1.33	-0.01
35	SLU 77	-4	279	2924	-15.01	-1.39	-0.01
35	SLU 78	-4	287	2933	-15.37	-1.35	-0.01
35	SLU 79	-4	279	2924	-15.01	-1.39	-0.01
35	SLU 80	-4	287	2933	-15.37	-1.35	-0.01
35	SLU 81	-5	273	3049	-14.92	-1.49	-0.02
35	SLU 82	-5	280	3058	-15.29	-1.45	-0.02
35	SLU 83	-5	273	3049	-14.92	-1.49	-0.02
35	SLU 84	-5	280	3058	-15.29	-1.45	-0.02
35	SLE RA 1	-3	229	1992	-11.72	-0.88	-0.01
35	SLE RA 2	-3	238	2002	-12.12	-0.83	-0.01
35	SLE RA 3	-3	229	1992	-11.72	-0.88	-0.01
35	SLE RA 4	-3	234	1998	-11.96	-0.85	-0.01
35	SLE RA 5	-3	238	2002	-12.12	-0.83	-0.01
35	SLE RA 6	-3	229	1992	-11.72	-0.88	-0.01
35	SLE RA 7	-3	234	1998	-11.96	-0.85	-0.01
35	SLE RA 8	-3	229	1992	-11.72	-0.88	-0.01
35	SLE RA 9	-3	234	1998	-11.96	-0.85	-0.01
35	SLE RA 10	-3	227	2197	-11.99	-0.98	-0.01
35	SLE RA 11	-3	218	2187	-11.59	-1.02	-0.01
35	SLE RA 12	-3	224	2193	-11.83	-1	-0.01
35	SLE RA 13	-3	227	2197	-11.99	-0.98	-0.01
35	SLE RA 14	-3	218	2187	-11.59	-1.02	-0.01
35	SLE RA 15	-3	224	2193	-11.83	-1	-0.01
35	SLE RA 16	-3	218	2187	-11.59	-1.02	-0.01
35	SLE RA 17	-3	224	2193	-11.83	-1	-0.01
35	SLE RA 18	-3	214	2270	-11.53	-1.09	-0.01
35	SLE RA 19	-3	219	2276	-11.77	-1.06	-0.01
35	SLE RA 20	-3	214	2270	-11.53	-1.09	-0.01
35	SLE RA 21	-3	219	2276	-11.77	-1.06	-0.01
35	SLE FR 1	-3	229	1992	-11.72	-0.88	-0.01
35	SLE FR 2	-3	231	1994	-11.8	-0.87	-0.01
35	SLE FR 3	-3	229	1992	-11.72	-0.88	-0.01
35	SLE FR 4	-3	226	2078	-11.74	-0.93	-0.01
35	SLE FR 5	-3	225	2076	-11.66	-0.94	-0.01
35	SLE FR 6	-3	222	2131	-11.62	-0.98	-0.01
35	SLE QP 1	-3	229	1992	-11.72	-0.88	-0.01
35	SLE QP 2	-3	225	2076	-11.66	-0.94	-0.01
35	SLD 1	7	333	1924	-16.49	5.06	-0.01
35	SLD 2	7	333	1924	-16.49	5.06	-0.01
35	SLD 3	1	230	1778	-11.68	1.47	0
35	SLD 4	1	230	1778	-11.68	1.47	0
35	SLD 5	10	413	2252	-20.41	6.31	-0.02
35	SLD 6	10	413	2252	-20.41	6.31	-0.02
35	SLD 7	-12	70	1765	-4.37	-5.67	0.01
35	SLD 8	-12	70	1765	-4.37	-5.67	0.01
35	SLD 9	6	380	2387	-18.95	3.79	-0.03
35	SLD 10	6	380	2387	-18.95	3.79	-0.03
35	SLD 11	-16	36	1900	-2.91	-8.19	0
35	SLD 12	-16	36	1900	-2.91	-8.19	0
35	SLD 13	-7	220	2374	-11.64	-3.35	-0.02
35	SLD 14	-7	220	2374	-11.64	-3.35	-0.02
35	SLD 15	-13	116	2228	-6.83	-6.94	-0.01
35	SLD 16	-13	116	2228	-6.83	-6.94	-0.01
35	SLV 1	23	482	1719	-23.14	14.13	0
35	SLV 2	23	482	1719	-23.14	14.13	0
35	SLV 3	6	236	1369	-11.69	5.21	0.02
35	SLV 4	6	236	1369	-11.69	5.21	0.02
35	SLV 5	30	674	2500	-32.46	17.11	-0.04
35	SLV 6	30	674	2500	-32.46	17.11	-0.04
35	SLV 7	-25	-144	1333	5.69	-12.62	0.03
35	SLV 8	-25	-144	1333	5.69	-12.62	0.03
35	SLV 9	19	593	2819	-29.01	10.74	-0.05
35	SLV 10	19	593	2819	-29.01	10.74	-0.05
35	SLV 11	-36	-224	1652	9.14	-18.99	0.02
35	SLV 12	-36	-224	1652	9.14	-18.99	0.02
35	SLV 13	-12	213	2782	-11.63	-7.09	-0.04
35	SLV 14	-12	213	2782	-11.63	-7.09	-0.04
35	SLV 15	-29	-32	2432	-0.18	-16.01	-0.02
35	SLV 16	-29	-32	2432	-0.18	-16.01	-0.02
36	SLU 1	0	46	1111	-2.49	0.27	0
36	SLU 2	0	47	1112	-2.55	0.27	0
36	SLU 3	0	46	1111	-2.49	0.27	0
36	SLU 4	0	47	1112	-2.52	0.27	0
36	SLU 5	0	47	1112	-2.55	0.27	0
36	SLU 6	0	46	1111	-2.49	0.27	0
36	SLU 7	0	47	1112	-2.52	0.27	0
36	SLU 8	0	46	1111	-2.49	0.27	0



Nodo Ind.	Cont. N.br.	Reazione a traslazione			Reazione a rotazione		
		x	y	z	x	y	z
36	SLU 9	0	47	1112	-2.52	0.27	0
36	SLU 10	-1	12	1346	-1.23	0.33	0
36	SLU 11	-1	11	1345	-1.17	0.33	0
36	SLU 12	-1	12	1346	-1.2	0.33	0
36	SLU 13	-1	12	1346	-1.23	0.33	0
36	SLU 14	-1	11	1345	-1.17	0.33	0
36	SLU 15	-1	12	1346	-1.2	0.33	0
36	SLU 16	-1	11	1345	-1.17	0.33	0
36	SLU 17	-1	12	1346	-1.2	0.33	0
36	SLU 18	-1	-4	1446	-0.6	0.36	0
36	SLU 19	-1	-3	1446	-0.64	0.36	0
36	SLU 20	-1	-4	1446	-0.6	0.36	0
36	SLU 21	-1	-3	1446	-0.64	0.36	0
36	SLU 22	-1	28	1231	-1.82	0.3	0
36	SLU 23	-1	29	1232	-1.88	0.3	0
36	SLU 24	-1	28	1231	-1.82	0.3	0
36	SLU 25	-1	29	1231	-1.85	0.3	0
36	SLU 26	-1	29	1232	-1.88	0.3	0
36	SLU 27	-1	28	1231	-1.82	0.3	0
36	SLU 28	-1	29	1231	-1.85	0.3	0
36	SLU 29	-1	28	1231	-1.82	0.3	0
36	SLU 30	-1	29	1231	-1.85	0.3	0
36	SLU 31	-1	-6	1466	-0.55	0.36	0
36	SLU 32	-1	-7	1465	-0.49	0.36	0
36	SLU 33	-1	-6	1466	-0.53	0.36	0
36	SLU 34	-1	-6	1466	-0.55	0.36	0
36	SLU 35	-1	-7	1465	-0.49	0.36	0
36	SLU 36	-1	-6	1466	-0.53	0.36	0
36	SLU 37	-1	-7	1465	-0.49	0.36	0
36	SLU 38	-1	-6	1466	-0.53	0.36	0
36	SLU 39	-1	-22	1566	0.07	0.39	0
36	SLU 40	-1	-21	1566	0.04	0.39	0
36	SLU 41	-1	-22	1566	0.07	0.39	0
36	SLU 42	-1	-21	1566	0.04	0.39	0
36	SLU 43	-1	66	1403	-3.47	0.33	0
36	SLU 44	-1	67	1404	-3.53	0.33	0
36	SLU 45	-1	66	1403	-3.47	0.33	0
36	SLU 46	-1	67	1404	-3.5	0.33	0
36	SLU 47	-1	67	1404	-3.53	0.33	0
36	SLU 48	-1	66	1403	-3.47	0.33	0
36	SLU 49	-1	67	1404	-3.5	0.33	0
36	SLU 50	-1	66	1403	-3.47	0.33	0
36	SLU 51	-1	67	1404	-3.5	0.33	0
36	SLU 52	-1	32	1639	-2.2	0.4	0
36	SLU 53	-1	31	1638	-2.14	0.4	0
36	SLU 54	-1	32	1638	-2.18	0.4	0
36	SLU 55	-1	32	1639	-2.2	0.4	0
36	SLU 56	-1	31	1638	-2.14	0.4	0
36	SLU 57	-1	32	1638	-2.18	0.4	0
36	SLU 58	-1	31	1638	-2.14	0.4	0
36	SLU 59	-1	32	1638	-2.18	0.4	0
36	SLU 60	-1	16	1738	-1.58	0.42	0
36	SLU 61	-1	17	1739	-1.61	0.42	0
36	SLU 62	-1	16	1738	-1.58	0.42	0
36	SLU 63	-1	17	1739	-1.61	0.42	0
36	SLU 64	-1	48	1523	-2.79	0.37	0
36	SLU 65	-1	49	1524	-2.85	0.37	0
36	SLU 66	-1	48	1523	-2.79	0.37	0
36	SLU 67	-1	49	1524	-2.83	0.37	0
36	SLU 68	-1	49	1524	-2.85	0.37	0
36	SLU 69	-1	48	1523	-2.79	0.37	0
36	SLU 70	-1	49	1524	-2.83	0.37	0
36	SLU 71	-1	48	1523	-2.79	0.37	0
36	SLU 72	-1	49	1524	-2.83	0.37	0
36	SLU 73	-1	14	1758	-1.53	0.43	0
36	SLU 74	-1	13	1757	-1.47	0.43	0
36	SLU 75	-1	14	1758	-1.51	0.43	0
36	SLU 76	-1	14	1758	-1.53	0.43	0
36	SLU 77	-1	13	1757	-1.47	0.43	0
36	SLU 78	-1	14	1758	-1.51	0.43	0
36	SLU 79	-1	13	1757	-1.47	0.43	0
36	SLU 80	-1	14	1758	-1.51	0.43	0
36	SLU 81	-1	-2	1858	-0.91	0.46	0
36	SLU 82	-1	-1	1858	-0.94	0.46	0
36	SLU 83	-1	-2	1858	-0.91	0.46	0
36	SLU 84	-1	-1	1858	-0.94	0.46	0
36	SLE RA 1	-1	41	1145	-2.3	0.27	0
36	SLE RA 2	-1	42	1146	-2.34	0.27	0
36	SLE RA 3	-1	41	1145	-2.3	0.27	0
36	SLE RA 4	-1	41	1146	-2.32	0.27	0
36	SLE RA 5	-1	42	1146	-2.34	0.27	0
36	SLE RA 6	-1	41	1145	-2.3	0.27	0
36	SLE RA 7	-1	41	1146	-2.32	0.27	0
36	SLE RA 8	-1	41	1145	-2.3	0.27	0
36	SLE RA 9	-1	41	1146	-2.32	0.27	0
36	SLE RA 10	-1	18	1302	-1.46	0.32	0
36	SLE RA 11	-1	18	1302	-1.42	0.32	0
36	SLE RA 12	-1	18	1302	-1.44	0.32	0



Nodo Ind.	Cont. N.br.	Reazione a traslazione			Reazione a rotazione		
		x	y	z	x	y	z
36	SLE RA 13	-1	18	1302	-1.46	0.32	0
36	SLE RA 14	-1	18	1302	-1.42	0.32	0
36	SLE RA 15	-1	18	1302	-1.44	0.32	0
36	SLE RA 16	-1	18	1302	-1.42	0.32	0
36	SLE RA 17	-1	18	1302	-1.44	0.32	0
36	SLE RA 18	-1	8	1368	-1.04	0.33	0
36	SLE RA 19	-1	8	1369	-1.06	0.34	0
36	SLE RA 20	-1	8	1368	-1.04	0.33	0
36	SLE RA 21	-1	8	1369	-1.06	0.34	0
36	SLE FR 1	-1	41	1145	-2.3	0.27	0
36	SLE FR 2	-1	41	1145	-2.3	0.27	0
36	SLE FR 3	-1	41	1145	-2.3	0.27	0
36	SLE FR 4	-1	31	1212	-1.93	0.29	0
36	SLE FR 5	-1	31	1212	-1.92	0.29	0
36	SLE FR 6	-1	24	1257	-1.67	0.3	0
36	SLE QP 1	-1	41	1145	-2.3	0.27	0
36	SLE QP 2	-1	31	1212	-1.92	0.29	0
36	SLD 1	-4	138	1279	-6.58	2.38	0.01
36	SLD 2	-4	138	1279	-6.58	2.38	0.01
36	SLD 3	-6	33	1212	-1.78	1.53	0.01
36	SLD 4	-6	33	1212	-1.78	1.53	0.01
36	SLD 5	1	223	1334	-10.61	2.21	0
36	SLD 6	1	223	1334	-10.61	2.21	0
36	SLD 7	-5	-128	1110	5.41	-0.63	0.01
36	SLD 8	-5	-128	1110	5.41	-0.63	0.01
36	SLD 9	4	190	1315	-9.25	1.21	0
36	SLD 10	4	190	1315	-9.25	1.21	0
36	SLD 11	-2	-161	1090	6.77	-1.62	0
36	SLD 12	-2	-161	1090	6.77	-1.62	0
36	SLD 13	5	29	1213	-2.06	-0.94	-0.01
36	SLD 14	5	29	1213	-2.06	-0.94	-0.01
36	SLD 15	3	-77	1146	2.74	-1.79	0
36	SLD 16	3	-77	1146	2.74	-1.79	0
36	SLV 1	-10	288	1373	-13.05	5.56	0.01
36	SLV 2	-10	288	1373	-13.05	5.56	0.01
36	SLV 3	-14	40	1214	-1.74	3.47	0.02
36	SLV 4	-14	40	1214	-1.74	3.47	0.02
36	SLV 5	3	484	1502	-22.41	5.04	0
36	SLV 6	3	484	1502	-22.41	5.04	0
36	SLV 7	-11	-343	971	15.29	-1.92	0.01
36	SLV 8	-11	-343	971	15.29	-1.92	0.01
36	SLV 9	10	404	1453	-19.12	2.5	-0.01
36	SLV 10	10	404	1453	-19.12	2.5	-0.01
36	SLV 11	-4	-423	923	18.57	-4.45	0
36	SLV 12	-4	-423	923	18.57	-4.45	0
36	SLV 13	13	22	1211	-2.09	-2.89	-0.02
36	SLV 14	13	22	1211	-2.09	-2.89	-0.02
36	SLV 15	8	-227	1052	9.22	-4.97	-0.01
36	SLV 16	8	-227	1052	9.22	-4.97	-0.01
37	SLU 1	0	-1	974	-2	0.04	0
37	SLU 2	0	-1	973	-2.03	0.05	0
37	SLU 3	0	-1	974	-2	0.04	0
37	SLU 4	0	-1	973	-2.02	0.05	0
37	SLU 5	0	-1	973	-2.03	0.05	0
37	SLU 6	0	-1	974	-2	0.04	0
37	SLU 7	0	-1	973	-2.02	0.05	0
37	SLU 8	0	-1	974	-2	0.04	0
37	SLU 9	0	-1	973	-2.02	0.05	0
37	SLU 10	0	-12	1155	-2.44	0.08	0
37	SLU 11	0	-13	1157	-2.41	0.07	0
37	SLU 12	0	-12	1156	-2.43	0.08	0
37	SLU 13	0	-12	1155	-2.44	0.08	0
37	SLU 14	0	-13	1157	-2.41	0.07	0
37	SLU 15	0	-12	1156	-2.43	0.08	0
37	SLU 16	0	-13	1157	-2.41	0.07	0
37	SLU 17	0	-12	1156	-2.43	0.08	0
37	SLU 18	0	-18	1235	-2.59	0.08	0
37	SLU 19	0	-17	1234	-2.6	0.09	0
37	SLU 20	0	-18	1235	-2.59	0.08	0
37	SLU 21	0	-17	1234	-2.6	0.09	0
37	SLU 22	0	-7	1067	-2.21	0.06	0
37	SLU 23	0	-7	1066	-2.24	0.06	0
37	SLU 24	0	-7	1067	-2.21	0.06	0
37	SLU 25	0	-7	1067	-2.23	0.06	0
37	SLU 26	0	-7	1066	-2.24	0.06	0
37	SLU 27	0	-7	1067	-2.21	0.06	0
37	SLU 28	0	-7	1067	-2.23	0.06	0
37	SLU 29	0	-7	1067	-2.21	0.06	0
37	SLU 30	0	-7	1067	-2.23	0.06	0
37	SLU 31	0	-18	1249	-2.65	0.09	0
37	SLU 32	0	-19	1250	-2.62	0.09	0
37	SLU 33	0	-18	1249	-2.64	0.09	0
37	SLU 34	0	-18	1249	-2.65	0.09	0
37	SLU 35	0	-19	1250	-2.62	0.09	0
37	SLU 36	0	-18	1249	-2.64	0.09	0
37	SLU 37	0	-19	1250	-2.62	0.09	0
37	SLU 38	0	-18	1249	-2.64	0.09	0
37	SLU 39	0	-24	1328	-2.8	0.1	0



Nodo Ind.	Cont. N.br.	Reazione a traslazione			Reazione a rotazione		
		x	y	z	x	y	z
37	SLU 40	0	-23	1327	-2.81	0.1	0
37	SLU 41	0	-24	1328	-2.8	0.1	0
37	SLU 42	0	-23	1327	-2.81	0.1	0
37	SLU 43	0	1	1234	-2.53	0.05	0
37	SLU 44	0	1	1233	-2.55	0.06	0
37	SLU 45	0	1	1234	-2.53	0.05	0
37	SLU 46	0	1	1234	-2.55	0.05	0
37	SLU 47	0	1	1233	-2.55	0.06	0
37	SLU 48	0	1	1234	-2.53	0.05	0
37	SLU 49	0	1	1234	-2.55	0.05	0
37	SLU 50	0	1	1234	-2.53	0.05	0
37	SLU 51	0	1	1234	-2.55	0.05	0
37	SLU 52	0	-10	1416	-2.97	0.09	0
37	SLU 53	0	-11	1417	-2.94	0.08	0
37	SLU 54	0	-11	1416	-2.96	0.08	0
37	SLU 55	0	-10	1416	-2.97	0.09	0
37	SLU 56	0	-11	1417	-2.94	0.08	0
37	SLU 57	0	-11	1416	-2.96	0.08	0
37	SLU 58	0	-11	1417	-2.94	0.08	0
37	SLU 59	0	-11	1416	-2.96	0.08	0
37	SLU 60	0	-16	1495	-3.12	0.09	0
37	SLU 61	0	-16	1494	-3.13	0.1	0
37	SLU 62	0	-16	1495	-3.12	0.09	0
37	SLU 63	0	-16	1494	-3.13	0.1	0
37	SLU 64	0	-5	1328	-2.74	0.06	0
37	SLU 65	0	-5	1327	-2.76	0.07	0
37	SLU 66	0	-5	1328	-2.74	0.06	0
37	SLU 67	0	-5	1327	-2.76	0.07	0
37	SLU 68	0	-5	1327	-2.76	0.07	0
37	SLU 69	0	-5	1328	-2.74	0.06	0
37	SLU 70	0	-5	1327	-2.76	0.07	0
37	SLU 71	0	-5	1328	-2.74	0.06	0
37	SLU 72	0	-5	1327	-2.76	0.07	0
37	SLU 73	0	-16	1509	-3.18	0.1	0
37	SLU 74	0	-17	1510	-3.15	0.09	0
37	SLU 75	0	-17	1509	-3.17	0.1	0
37	SLU 76	0	-16	1509	-3.18	0.1	0
37	SLU 77	0	-17	1510	-3.15	0.09	0
37	SLU 78	0	-17	1509	-3.17	0.1	0
37	SLU 79	0	-17	1510	-3.15	0.09	0
37	SLU 80	0	-17	1509	-3.17	0.1	0
37	SLU 81	0	-22	1588	-3.33	0.11	0
37	SLU 82	0	-22	1588	-3.34	0.11	0
37	SLU 83	0	-22	1588	-3.33	0.11	0
37	SLU 84	0	-22	1588	-3.34	0.11	0
37	SLE RA 1	0	-3	1001	-2.06	0.05	0
37	SLE RA 2	0	-2	1000	-2.08	0.05	0
37	SLE RA 3	0	-3	1001	-2.06	0.05	0
37	SLE RA 4	0	-2	1000	-2.07	0.05	0
37	SLE RA 5	0	-2	1000	-2.08	0.05	0
37	SLE RA 6	0	-3	1001	-2.06	0.05	0
37	SLE RA 7	0	-2	1000	-2.07	0.05	0
37	SLE RA 8	0	-3	1001	-2.06	0.05	0
37	SLE RA 9	0	-2	1000	-2.07	0.05	0
37	SLE RA 10	0	-10	1122	-2.35	0.07	0
37	SLE RA 11	0	-10	1122	-2.34	0.07	0
37	SLE RA 12	0	-10	1122	-2.35	0.07	0
37	SLE RA 13	0	-10	1122	-2.35	0.07	0
37	SLE RA 14	0	-10	1122	-2.34	0.07	0
37	SLE RA 15	0	-10	1122	-2.35	0.07	0
37	SLE RA 16	0	-10	1122	-2.34	0.07	0
37	SLE RA 17	0	-10	1122	-2.35	0.07	0
37	SLE RA 18	0	-14	1174	-2.45	0.07	0
37	SLE RA 19	0	-14	1174	-2.46	0.08	0
37	SLE RA 20	0	-14	1174	-2.45	0.07	0
37	SLE RA 21	0	-14	1174	-2.46	0.08	0
37	SLE FR 1	0	-3	1001	-2.06	0.05	0
37	SLE FR 2	0	-3	1001	-2.07	0.05	0
37	SLE FR 3	0	-3	1001	-2.06	0.05	0
37	SLE FR 4	0	-6	1053	-2.18	0.05	0
37	SLE FR 5	0	-6	1053	-2.18	0.05	0
37	SLE FR 6	0	-8	1088	-2.26	0.06	0
37	SLE QP 1	0	-3	1001	-2.06	0.05	0
37	SLE QP 2	0	-6	1053	-2.18	0.05	0
37	SLD 1	-1	14	1024	-3.69	-1.26	0.01
37	SLD 2	-1	14	1024	-3.69	-1.26	0.01
37	SLD 3	-2	-143	1249	6.56	-2.21	0
37	SLD 4	-2	-143	1249	6.56	-2.21	0
37	SLD 5	1	237	704	-18.18	1.11	0.01
37	SLD 6	1	237	704	-18.18	1.11	0.01
37	SLD 7	-2	-285	1452	15.99	-2.07	0
37	SLD 8	-2	-285	1452	15.99	-2.07	0
37	SLD 9	2	273	654	-20.35	2.18	0
37	SLD 10	2	273	654	-20.35	2.18	0
37	SLD 11	-1	-249	1402	13.82	-1	-0.01
37	SLD 12	-1	-249	1402	13.82	-1	-0.01
37	SLD 13	2	131	857	-10.92	2.32	0
37	SLD 14	2	131	857	-10.92	2.32	0



Nodo Ind.	Cont. N.br.	Reazione a traslazione			Reazione a rotazione		
		x	y	z	x	y	z
37	SLD 15	1	-26	1081	-0.67	1.37	-0.01
37	SLD 16	1	-26	1081	-0.67	1.37	-0.01
37	SLV 1	-3	34	995	-5.39	-3.34	0.02
37	SLV 2	-3	34	995	-5.39	-3.34	0.02
37	SLV 3	-5	-334	1523	18.76	-5.66	0.01
37	SLV 4	-5	-334	1523	18.76	-5.66	0.01
37	SLV 5	2	564	235	-39.77	2.56	0.02
37	SLV 6	2	564	235	-39.77	2.56	0.02
37	SLV 7	-4	-662	1995	40.72	-5.18	-0.01
37	SLV 8	-4	-662	1995	40.72	-5.18	-0.01
37	SLV 9	5	650	111	-45.08	5.29	0.01
37	SLV 10	5	650	111	-45.08	5.29	0.01
37	SLV 11	-2	-576	1871	35.41	-2.45	-0.01
37	SLV 12	-2	-576	1871	35.41	-2.45	-0.01
37	SLV 13	5	322	583	-23.12	5.77	-0.01
37	SLV 14	5	322	583	-23.12	5.77	-0.01
37	SLV 15	3	-46	1111	1.03	3.45	-0.02
37	SLV 16	3	-46	1111	1.03	3.45	-0.02
38	SLU 1	0	0	960	-2.02	-0.06	0
38	SLU 2	0	0	960	-2.04	-0.07	0
38	SLU 3	0	0	960	-2.02	-0.06	0
38	SLU 4	0	0	960	-2.03	-0.06	0
38	SLU 5	0	0	960	-2.04	-0.07	0
38	SLU 6	0	0	960	-2.02	-0.06	0
38	SLU 7	0	0	960	-2.03	-0.06	0
38	SLU 8	0	0	960	-2.02	-0.06	0
38	SLU 9	0	0	960	-2.03	-0.06	0
38	SLU 10	0	-12	1147	-2.44	-0.09	0
38	SLU 11	0	-12	1147	-2.41	-0.08	0
38	SLU 12	0	-12	1147	-2.42	-0.09	0
38	SLU 13	0	-12	1147	-2.44	-0.09	0
38	SLU 14	0	-12	1147	-2.41	-0.08	0
38	SLU 15	0	-12	1147	-2.42	-0.09	0
38	SLU 16	0	-12	1147	-2.41	-0.08	0
38	SLU 17	0	-12	1147	-2.42	-0.09	0
38	SLU 18	0	-18	1227	-2.57	-0.09	0
38	SLU 19	0	-17	1227	-2.59	-0.1	0
38	SLU 20	0	-18	1227	-2.57	-0.09	0
38	SLU 21	0	-17	1227	-2.59	-0.1	0
38	SLU 22	0	-6	1056	-2.22	-0.07	0
38	SLU 23	0	-6	1055	-2.24	-0.08	0
38	SLU 24	0	-6	1056	-2.22	-0.07	0
38	SLU 25	0	-6	1055	-2.23	-0.08	0
38	SLU 26	0	-6	1055	-2.24	-0.08	0
38	SLU 27	0	-6	1056	-2.22	-0.07	0
38	SLU 28	0	-6	1055	-2.23	-0.08	0
38	SLU 29	0	-6	1056	-2.22	-0.07	0
38	SLU 30	0	-6	1055	-2.23	-0.08	0
38	SLU 31	0	-18	1242	-2.63	-0.11	0
38	SLU 32	0	-19	1243	-2.61	-0.1	0
38	SLU 33	0	-18	1242	-2.62	-0.1	0
38	SLU 34	0	-18	1242	-2.63	-0.11	0
38	SLU 35	0	-19	1243	-2.61	-0.1	0
38	SLU 36	0	-18	1242	-2.62	-0.1	0
38	SLU 37	0	-19	1243	-2.61	-0.1	0
38	SLU 38	0	-18	1242	-2.62	-0.1	0
38	SLU 39	0	-24	1323	-2.77	-0.11	0
38	SLU 40	0	-24	1323	-2.79	-0.11	0
38	SLU 41	0	-24	1323	-2.77	-0.11	0
38	SLU 42	0	-24	1323	-2.79	-0.11	0
38	SLU 43	0	2	1216	-2.55	-0.07	0
38	SLU 44	0	3	1215	-2.58	-0.08	0
38	SLU 45	0	2	1216	-2.55	-0.07	0
38	SLU 46	0	2	1215	-2.57	-0.08	0
38	SLU 47	0	3	1215	-2.58	-0.08	0
38	SLU 48	0	2	1216	-2.55	-0.07	0
38	SLU 49	0	2	1215	-2.57	-0.08	0
38	SLU 50	0	2	1216	-2.55	-0.07	0
38	SLU 51	0	2	1215	-2.57	-0.08	0
38	SLU 52	0	-10	1402	-2.97	-0.11	0
38	SLU 53	0	-10	1403	-2.94	-0.1	0
38	SLU 54	0	-10	1402	-2.96	-0.1	0
38	SLU 55	0	-10	1402	-2.97	-0.11	0
38	SLU 56	0	-10	1403	-2.94	-0.1	0
38	SLU 57	0	-10	1402	-2.96	-0.1	0
38	SLU 58	0	-10	1403	-2.94	-0.1	0
38	SLU 59	0	-10	1402	-2.96	-0.1	0
38	SLU 60	0	-15	1483	-3.11	-0.11	0
38	SLU 61	0	-15	1482	-3.13	-0.11	0
38	SLU 62	0	-15	1483	-3.11	-0.11	0
38	SLU 63	0	-15	1482	-3.13	-0.11	0
38	SLU 64	0	-4	1311	-2.75	-0.08	0
38	SLU 65	0	-4	1310	-2.78	-0.09	0
38	SLU 66	0	-4	1311	-2.75	-0.08	0
38	SLU 67	0	-4	1311	-2.77	-0.09	0
38	SLU 68	0	-4	1310	-2.78	-0.09	0
38	SLU 69	0	-4	1311	-2.75	-0.08	0
38	SLU 70	0	-4	1311	-2.77	-0.09	0



Nodo Ind.	Cont. N.br.	Reazione a traslazione			Reazione a rotazione		
		x	y	z	x	y	z
38	SLU 71	0	-4	1311	-2.75	-0.08	0
38	SLU 72	0	-4	1311	-2.77	-0.09	0
38	SLU 73	0	-16	1497	-3.17	-0.12	0
38	SLU 74	0	-17	1498	-3.14	-0.11	0
38	SLU 75	0	-16	1498	-3.16	-0.11	0
38	SLU 76	0	-16	1497	-3.17	-0.12	0
38	SLU 77	0	-17	1498	-3.14	-0.11	0
38	SLU 78	0	-16	1498	-3.16	-0.11	0
38	SLU 79	0	-17	1498	-3.14	-0.11	0
38	SLU 80	0	-16	1498	-3.16	-0.11	0
38	SLU 81	0	-22	1578	-3.31	-0.12	0
38	SLU 82	0	-22	1578	-3.33	-0.13	0
38	SLU 83	0	-22	1578	-3.31	-0.12	0
38	SLU 84	0	-22	1578	-3.33	-0.13	0
38	SLE RA 1	0	-2	988	-2.07	-0.06	0
38	SLE RA 2	0	-2	987	-2.09	-0.07	0
38	SLE RA 3	0	-2	988	-2.07	-0.06	0
38	SLE RA 4	0	-2	987	-2.08	-0.07	0
38	SLE RA 5	0	-2	987	-2.09	-0.07	0
38	SLE RA 6	0	-2	988	-2.07	-0.06	0
38	SLE RA 7	0	-2	987	-2.08	-0.07	0
38	SLE RA 8	0	-2	988	-2.07	-0.06	0
38	SLE RA 9	0	-2	987	-2.08	-0.07	0
38	SLE RA 10	0	-10	1112	-2.35	-0.08	0
38	SLE RA 11	0	-10	1112	-2.33	-0.08	0
38	SLE RA 12	0	-10	1112	-2.34	-0.08	0
38	SLE RA 13	0	-10	1112	-2.35	-0.08	0
38	SLE RA 14	0	-10	1112	-2.33	-0.08	0
38	SLE RA 15	0	-10	1112	-2.34	-0.08	0
38	SLE RA 16	0	-10	1112	-2.33	-0.08	0
38	SLE RA 17	0	-10	1112	-2.34	-0.08	0
38	SLE RA 18	0	-14	1166	-2.44	-0.09	0
38	SLE RA 19	0	-13	1165	-2.46	-0.09	0
38	SLE RA 20	0	-14	1166	-2.44	-0.09	0
38	SLE RA 21	0	-13	1165	-2.46	-0.09	0
38	SLE FR 1	0	-2	988	-2.07	-0.06	0
38	SLE FR 2	0	-2	987	-2.08	-0.06	0
38	SLE FR 3	0	-2	988	-2.07	-0.06	0
38	SLE FR 4	0	-5	1041	-2.19	-0.07	0
38	SLE FR 5	0	-5	1041	-2.18	-0.07	0
38	SLE FR 6	0	-8	1077	-2.26	-0.07	0
38	SLE QP 1	0	-2	988	-2.07	-0.06	0
38	SLE QP 2	0	-5	1041	-2.18	-0.07	0
38	SLD 1	-3	101	1001	-9.11	-2.92	0
38	SLD 2	-3	101	1001	-9.11	-2.92	0
38	SLD 3	-2	-41	1200	0.14	-1.39	0.01
38	SLD 4	-2	-41	1200	0.14	-1.39	0.01
38	SLD 5	-2	243	727	-18.29	-3.24	-0.01
38	SLD 6	-2	243	727	-18.29	-3.24	-0.01
38	SLD 7	1	-233	1390	12.54	1.86	0.01
38	SLD 8	1	-233	1390	12.54	1.86	0.01
38	SLD 9	-1	222	692	-16.91	-2	-0.01
38	SLD 10	-1	222	692	-16.91	-2	-0.01
38	SLD 11	2	-254	1355	13.92	3.11	0
38	SLD 12	2	-254	1355	13.92	3.11	0
38	SLD 13	1	31	882	-4.51	1.25	-0.01
38	SLD 14	1	31	882	-4.51	1.25	-0.01
38	SLD 15	2	-112	1081	4.74	2.78	0
38	SLD 16	2	-112	1081	4.74	2.78	0
38	SLV 1	-6	246	946	-18.61	-7.29	0.01
38	SLV 2	-6	246	946	-18.61	-7.29	0.01
38	SLV 3	-4	-90	1415	3.29	-3.48	0.02
38	SLV 4	-4	-90	1415	3.29	-3.48	0.02
38	SLV 5	-6	580	301	-40.32	-8.01	-0.01
38	SLV 6	-6	580	301	-40.32	-8.01	-0.01
38	SLV 7	2	-541	1865	32.67	4.68	0.02
38	SLV 8	2	-541	1865	32.67	4.68	0.02
38	SLV 9	-3	530	217	-37.04	-4.82	-0.02
38	SLV 10	-3	530	217	-37.04	-4.82	-0.02
38	SLV 11	5	-591	1781	35.95	7.87	0.01
38	SLV 12	5	-591	1781	35.95	7.87	0.01
38	SLV 13	3	80	667	-7.66	3.34	-0.02
38	SLV 14	3	80	667	-7.66	3.34	-0.02
38	SLV 15	6	-257	1136	14.24	7.15	-0.01
38	SLV 16	6	-257	1136	14.24	7.15	-0.01
39	SLU 1	-3	69	1738	-3.59	-2.32	0
39	SLU 2	-3	81	1738	-4.06	-2.45	0
39	SLU 3	-3	69	1738	-3.59	-2.32	0
39	SLU 4	-3	76	1738	-3.87	-2.4	0
39	SLU 5	-3	81	1738	-4.06	-2.45	0
39	SLU 6	-3	69	1738	-3.59	-2.32	0
39	SLU 7	-3	76	1738	-3.87	-2.4	0
39	SLU 8	-3	69	1738	-3.59	-2.32	0
39	SLU 9	-3	76	1738	-3.87	-2.4	0
39	SLU 10	-3	54	1966	-3.18	-2.82	0
39	SLU 11	-3	42	1965	-2.71	-2.69	0
39	SLU 12	-3	49	1966	-3	-2.77	0
39	SLU 13	-3	54	1966	-3.18	-2.82	0



Nodo Ind.	Cont. N.br.	Reazione a traslazione			Reazione a rotazione		
		x	y	z	x	y	z
39	SLU 14	-3	42	1965	-2.71	-2.69	0
39	SLU 15	-3	49	1966	-3	-2.77	0
39	SLU 16	-3	42	1965	-2.71	-2.69	0
39	SLU 17	-3	49	1966	-3	-2.77	0
39	SLU 18	-4	31	2063	-2.34	-2.84	0
39	SLU 19	-4	38	2063	-2.62	-2.92	0
39	SLU 20	-4	31	2063	-2.34	-2.84	0
39	SLU 21	-4	38	2063	-2.62	-2.92	0
39	SLU 22	-3	55	1854	-3.14	-2.51	0
39	SLU 23	-3	67	1854	-3.61	-2.64	0
39	SLU 24	-3	55	1854	-3.14	-2.51	0
39	SLU 25	-3	62	1854	-3.42	-2.59	0
39	SLU 26	-3	67	1854	-3.61	-2.64	0
39	SLU 27	-3	55	1854	-3.14	-2.51	0
39	SLU 28	-3	62	1854	-3.42	-2.59	0
39	SLU 29	-3	55	1854	-3.14	-2.51	0
39	SLU 30	-3	62	1854	-3.42	-2.59	0
39	SLU 31	-4	40	2082	-2.73	-3	0
39	SLU 32	-4	28	2082	-2.26	-2.87	0
39	SLU 33	-4	35	2082	-2.54	-2.95	0
39	SLU 34	-4	40	2082	-2.73	-3	0
39	SLU 35	-4	28	2082	-2.26	-2.87	0
39	SLU 36	-4	35	2082	-2.54	-2.95	0
39	SLU 37	-4	28	2082	-2.26	-2.87	0
39	SLU 38	-4	35	2082	-2.54	-2.95	0
39	SLU 39	-4	17	2180	-1.89	-3.03	0
39	SLU 40	-4	24	2180	-2.17	-3.11	0
39	SLU 41	-4	17	2180	-1.89	-3.03	0
39	SLU 42	-4	24	2180	-2.17	-3.11	0
39	SLU 43	-4	94	2219	-4.82	-2.96	0
39	SLU 44	-4	106	2219	-5.29	-3.09	0
39	SLU 45	-4	94	2219	-4.82	-2.96	0
39	SLU 46	-4	101	2219	-5.11	-3.03	0
39	SLU 47	-4	106	2219	-5.29	-3.09	0
39	SLU 48	-4	94	2219	-4.82	-2.96	0
39	SLU 49	-4	101	2219	-5.11	-3.03	0
39	SLU 50	-4	94	2219	-4.82	-2.96	0
39	SLU 51	-4	101	2219	-5.11	-3.03	0
39	SLU 52	-4	79	2447	-4.42	-3.45	0
39	SLU 53	-4	68	2447	-3.95	-3.32	0
39	SLU 54	-4	74	2447	-4.23	-3.4	0
39	SLU 55	-4	79	2447	-4.42	-3.45	0
39	SLU 56	-4	68	2447	-3.95	-3.32	0
39	SLU 57	-4	74	2447	-4.23	-3.4	0
39	SLU 58	-4	68	2447	-3.95	-3.32	0
39	SLU 59	-4	74	2447	-4.23	-3.4	0
39	SLU 60	-4	56	2544	-3.57	-3.47	0
39	SLU 61	-4	63	2545	-3.85	-3.55	0
39	SLU 62	-4	56	2544	-3.57	-3.47	0
39	SLU 63	-4	63	2545	-3.85	-3.55	0
39	SLU 64	-4	81	2335	-4.37	-3.14	0
39	SLU 65	-4	92	2335	-4.84	-3.27	0
39	SLU 66	-4	81	2335	-4.37	-3.14	0
39	SLU 67	-4	88	2335	-4.65	-3.22	0
39	SLU 68	-4	92	2335	-4.84	-3.27	0
39	SLU 69	-4	81	2335	-4.37	-3.14	0
39	SLU 70	-4	88	2335	-4.65	-3.22	0
39	SLU 71	-4	81	2335	-4.37	-3.14	0
39	SLU 72	-4	88	2335	-4.65	-3.22	0
39	SLU 73	-4	65	2563	-3.96	-3.64	0
39	SLU 74	-4	54	2563	-3.49	-3.5	0
39	SLU 75	-4	61	2563	-3.78	-3.58	0
39	SLU 76	-4	65	2563	-3.96	-3.64	0
39	SLU 77	-4	54	2563	-3.49	-3.5	0
39	SLU 78	-4	61	2563	-3.78	-3.58	0
39	SLU 79	-4	54	2563	-3.49	-3.5	0
39	SLU 80	-4	61	2563	-3.78	-3.58	0
39	SLU 81	-5	42	2661	-3.12	-3.66	0
39	SLU 82	-5	49	2661	-3.4	-3.74	0
39	SLU 83	-5	42	2661	-3.12	-3.66	0
39	SLU 84	-5	49	2661	-3.4	-3.74	0
39	SLE RA 1	-3	65	1771	-3.46	-2.38	0
39	SLE RA 2	-3	73	1771	-3.78	-2.46	0
39	SLE RA 3	-3	65	1771	-3.46	-2.38	0
39	SLE RA 4	-3	70	1771	-3.65	-2.43	0
39	SLE RA 5	-3	73	1771	-3.78	-2.46	0
39	SLE RA 6	-3	65	1771	-3.46	-2.38	0
39	SLE RA 7	-3	70	1771	-3.65	-2.43	0
39	SLE RA 8	-3	65	1771	-3.46	-2.38	0
39	SLE RA 9	-3	70	1771	-3.65	-2.43	0
39	SLE RA 10	-3	55	1923	-3.19	-2.71	0
39	SLE RA 11	-3	47	1923	-2.88	-2.62	0
39	SLE RA 12	-3	52	1923	-3.07	-2.67	0
39	SLE RA 13	-3	55	1923	-3.19	-2.71	0
39	SLE RA 14	-3	47	1923	-2.88	-2.62	0
39	SLE RA 15	-3	52	1923	-3.07	-2.67	0
39	SLE RA 16	-3	47	1923	-2.88	-2.62	0
39	SLE RA 17	-3	52	1923	-3.07	-2.67	0



Nodo Ind.	Cont. N.br.	Reazione a traslazione			Reazione a rotazione		
		x	y	z	x	y	z
39	SLE RA 18	-3	39	1988	-2.63	-2.72	0
39	SLE RA 19	-3	44	1988	-2.81	-2.77	0
39	SLE RA 20	-3	39	1988	-2.63	-2.72	0
39	SLE RA 21	-3	44	1988	-2.81	-2.77	0
39	SLE FR 1	-3	65	1771	-3.46	-2.38	0
39	SLE FR 2	-3	67	1771	-3.53	-2.39	0
39	SLE FR 3	-3	65	1771	-3.46	-2.38	0
39	SLE FR 4	-3	59	1836	-3.27	-2.5	0
39	SLE FR 5	-3	57	1836	-3.21	-2.48	0
39	SLE FR 6	-3	52	1879	-3.04	-2.55	0
39	SLE QP 1	-3	65	1771	-3.46	-2.38	0
39	SLE QP 2	-3	57	1836	-3.21	-2.48	0
39	SLD 1	-2	44	2027	-2.79	-1.16	-0.01
39	SLD 2	-2	44	2027	-2.79	-1.16	-0.01
39	SLD 3	6	-43	1945	1.22	3.72	-0.02
39	SLD 4	6	-43	1945	1.22	3.72	-0.02
39	SLD 5	-15	186	2018	-9.16	-9.48	0.01
39	SLD 6	-15	186	2018	-9.16	-9.48	0.01
39	SLD 7	12	-106	1744	4.19	6.77	-0.02
39	SLD 8	12	-106	1744	4.19	6.77	-0.02
39	SLD 9	-18	221	1928	-10.62	-11.73	0.01
39	SLD 10	-18	221	1928	-10.62	-11.73	0.01
39	SLD 11	9	-72	1654	2.74	4.52	-0.01
39	SLD 12	9	-72	1654	2.74	4.52	-0.01
39	SLD 13	-12	158	1726	-7.64	-8.67	0.01
39	SLD 14	-12	158	1726	-7.64	-8.67	0.01
39	SLD 15	-4	70	1644	-3.64	-3.8	0
39	SLD 16	-4	70	1644	-3.64	-3.8	0
39	SLV 1	0	25	2287	-2.15	0.94	-0.02
39	SLV 2	0	25	2287	-2.15	0.94	-0.02
39	SLV 3	19	-182	2093	7.34	12.47	-0.03
39	SLV 4	19	-182	2093	7.34	12.47	-0.03
39	SLV 5	-32	363	2266	-17.28	-18.96	0.02
39	SLV 6	-32	363	2266	-17.28	-18.96	0.02
39	SLV 7	33	-329	1619	14.34	19.51	-0.04
39	SLV 8	33	-329	1619	14.34	19.51	-0.04
39	SLV 9	-39	444	2053	-20.76	-24.47	0.03
39	SLV 10	-39	444	2053	-20.76	-24.47	0.03
39	SLV 11	26	-248	1406	10.85	14	-0.02
39	SLV 12	26	-248	1406	10.85	14	-0.02
39	SLV 13	-25	297	1579	-13.76	-17.43	0.03
39	SLV 14	-25	297	1579	-13.76	-17.43	0.03
39	SLV 15	-6	90	1385	-4.28	-5.89	0.01
39	SLV 16	-6	90	1385	-4.28	-5.89	0.01
40	SLU 1	0	176	1803	-7.64	-0.33	0
40	SLU 2	0	190	1813	-8.22	-0.18	0
40	SLU 3	0	176	1803	-7.64	-0.33	0
40	SLU 4	0	184	1809	-7.99	-0.24	0
40	SLU 5	0	190	1813	-8.22	-0.18	0
40	SLU 6	0	176	1803	-7.64	-0.33	0
40	SLU 7	0	184	1809	-7.99	-0.24	0
40	SLU 8	0	176	1803	-7.64	-0.33	0
40	SLU 9	0	184	1809	-7.99	-0.24	0
40	SLU 10	0	171	2047	-7.62	-0.26	0
40	SLU 11	0	157	2037	-7.04	-0.41	0.01
40	SLU 12	0	166	2043	-7.39	-0.32	0.01
40	SLU 13	0	171	2047	-7.62	-0.26	0
40	SLU 14	0	157	2037	-7.04	-0.41	0.01
40	SLU 15	0	166	2043	-7.39	-0.32	0.01
40	SLU 16	0	157	2037	-7.04	-0.41	0.01
40	SLU 17	0	166	2043	-7.39	-0.32	0.01
40	SLU 18	0	149	2137	-6.78	-0.44	0.01
40	SLU 19	0	158	2143	-7.13	-0.35	0.01
40	SLU 20	0	149	2137	-6.78	-0.44	0.01
40	SLU 21	0	158	2143	-7.13	-0.35	0.01
40	SLU 22	0	167	1922	-7.33	-0.37	0
40	SLU 23	0	180	1932	-7.91	-0.22	0
40	SLU 24	0	167	1922	-7.33	-0.37	0
40	SLU 25	0	175	1928	-7.68	-0.28	0
40	SLU 26	0	180	1932	-7.91	-0.22	0
40	SLU 27	0	167	1922	-7.33	-0.37	0
40	SLU 28	0	175	1928	-7.68	-0.28	0
40	SLU 29	0	167	1922	-7.33	-0.37	0
40	SLU 30	0	175	1928	-7.68	-0.28	0
40	SLU 31	0	162	2166	-7.31	-0.3	0.01
40	SLU 32	0	148	2157	-6.73	-0.45	0.01
40	SLU 33	0	156	2162	-7.08	-0.36	0.01
40	SLU 34	0	162	2166	-7.31	-0.3	0.01
40	SLU 35	0	148	2157	-6.73	-0.45	0.01
40	SLU 36	0	156	2162	-7.08	-0.36	0.01
40	SLU 37	0	148	2157	-6.73	-0.45	0.01
40	SLU 38	0	156	2162	-7.08	-0.36	0.01
40	SLU 39	0	140	2257	-6.47	-0.48	0.01
40	SLU 40	0	148	2263	-6.82	-0.39	0.01
40	SLU 41	0	140	2257	-6.47	-0.48	0.01
40	SLU 42	0	148	2263	-6.82	-0.39	0.01
40	SLU 43	0	232	2303	-10.04	-0.41	0.01
40	SLU 44	0	246	2312	-10.62	-0.26	0



Nodo Ind.	Cont. N.br.	Reazione a traslazione			Reazione a rotazione		
		x	y	z	x	y	z
40	SLU 45	0	232	2303	-10.04	-0.41	0.01
40	SLU 46	0	241	2308	-10.39	-0.32	0
40	SLU 47	0	246	2312	-10.62	-0.26	0
40	SLU 48	0	232	2303	-10.04	-0.41	0.01
40	SLU 49	0	241	2308	-10.39	-0.32	0
40	SLU 50	0	232	2303	-10.04	-0.41	0.01
40	SLU 51	0	241	2308	-10.39	-0.32	0
40	SLU 52	0	227	2547	-10.02	-0.34	0.01
40	SLU 53	0	214	2537	-9.44	-0.49	0.01
40	SLU 54	0	222	2543	-9.79	-0.4	0.01
40	SLU 55	0	227	2547	-10.02	-0.34	0.01
40	SLU 56	0	214	2537	-9.44	-0.49	0.01
40	SLU 57	0	222	2543	-9.79	-0.4	0.01
40	SLU 58	0	214	2537	-9.44	-0.49	0.01
40	SLU 59	0	222	2543	-9.79	-0.4	0.01
40	SLU 60	0	206	2637	-9.18	-0.52	0.01
40	SLU 61	0	214	2643	-9.53	-0.43	0.01
40	SLU 62	0	206	2637	-9.18	-0.52	0.01
40	SLU 63	0	214	2643	-9.53	-0.43	0.01
40	SLU 64	0	223	2422	-9.73	-0.45	0.01
40	SLU 65	0	236	2432	-10.31	-0.3	0.01
40	SLU 66	0	223	2422	-9.73	-0.45	0.01
40	SLU 67	0	231	2428	-10.08	-0.36	0.01
40	SLU 68	0	236	2432	-10.31	-0.3	0.01
40	SLU 69	0	223	2422	-9.73	-0.45	0.01
40	SLU 70	0	231	2428	-10.08	-0.36	0.01
40	SLU 71	0	223	2422	-9.73	-0.45	0.01
40	SLU 72	0	231	2428	-10.08	-0.36	0.01
40	SLU 73	0	218	2666	-9.71	-0.38	0.01
40	SLU 74	0	204	2656	-9.13	-0.53	0.01
40	SLU 75	0	212	2662	-9.48	-0.44	0.01
40	SLU 76	0	218	2666	-9.71	-0.38	0.01
40	SLU 77	0	204	2656	-9.13	-0.53	0.01
40	SLU 78	0	212	2662	-9.48	-0.44	0.01
40	SLU 79	0	204	2656	-9.13	-0.53	0.01
40	SLU 80	0	212	2662	-9.48	-0.44	0.01
40	SLU 81	0	196	2757	-8.87	-0.56	0.01
40	SLU 82	0	204	2763	-9.22	-0.47	0.01
40	SLU 83	0	196	2757	-8.87	-0.56	0.01
40	SLU 84	0	204	2763	-9.22	-0.47	0.01
40	SLE RA 1	0	173	1837	-7.55	-0.34	0
40	SLE RA 2	0	183	1843	-7.94	-0.24	0
40	SLE RA 3	0	173	1837	-7.55	-0.34	0
40	SLE RA 4	0	179	1841	-7.78	-0.28	0
40	SLE RA 5	0	183	1843	-7.94	-0.24	0
40	SLE RA 6	0	173	1837	-7.55	-0.34	0
40	SLE RA 7	0	179	1841	-7.78	-0.28	0
40	SLE RA 8	0	173	1837	-7.55	-0.34	0
40	SLE RA 9	0	179	1841	-7.78	-0.28	0
40	SLE RA 10	0	170	2000	-7.54	-0.29	0
40	SLE RA 11	0	161	1993	-7.15	-0.39	0
40	SLE RA 12	0	166	1997	-7.38	-0.33	0
40	SLE RA 13	0	170	2000	-7.54	-0.29	0
40	SLE RA 14	0	161	1993	-7.15	-0.39	0
40	SLE RA 15	0	166	1997	-7.38	-0.33	0
40	SLE RA 16	0	161	1993	-7.15	-0.39	0
40	SLE RA 17	0	166	1997	-7.38	-0.33	0
40	SLE RA 18	0	156	2060	-6.98	-0.41	0.01
40	SLE RA 19	0	161	2064	-7.21	-0.35	0.01
40	SLE RA 20	0	156	2060	-6.98	-0.41	0.01
40	SLE RA 21	0	161	2064	-7.21	-0.35	0.01
40	SLE FR 1	0	173	1837	-7.55	-0.34	0
40	SLE FR 2	0	175	1838	-7.63	-0.32	0
40	SLE FR 3	0	173	1837	-7.55	-0.34	0
40	SLE FR 4	0	170	1905	-7.46	-0.34	0
40	SLE FR 5	0	168	1904	-7.38	-0.36	0
40	SLE FR 6	0	165	1949	-7.27	-0.38	0
40	SLE QP 1	0	173	1837	-7.55	-0.34	0
40	SLE QP 2	0	168	1904	-7.38	-0.36	0
40	SLD 1	14	279	1783	-12.2	10.7	-0.01
40	SLD 2	14	279	1783	-12.2	10.7	-0.01
40	SLD 3	5	169	1688	-7.35	4.35	0
40	SLD 4	5	169	1688	-7.35	4.35	0
40	SLD 5	19	368	2012	-16.19	12.59	0
40	SLD 6	19	368	2012	-16.19	12.59	0
40	SLD 7	-13	2	1695	-0.01	-8.58	0.01
40	SLD 8	-13	2	1695	-0.01	-8.58	0.01
40	SLD 9	13	334	2113	-14.76	7.86	0
40	SLD 10	13	334	2113	-14.76	7.86	0
40	SLD 11	-19	-32	1796	1.43	-13.31	0.01
40	SLD 12	-19	-32	1796	1.43	-13.31	0.01
40	SLD 13	-5	167	2120	-7.41	-5.08	0.01
40	SLD 14	-5	167	2120	-7.41	-5.08	0.01
40	SLD 15	-15	57	2025	-2.56	-11.43	0.01
40	SLD 16	-15	57	2025	-2.56	-11.43	0.01
40	SLV 1	36	432	1620	-18.86	27.25	-0.02
40	SLV 2	36	432	1620	-18.86	27.25	-0.02
40	SLV 3	13	171	1393	-7.28	11.5	-0.01



Nodo Ind.	Cont. N.br.	Reazione a traslazione			Reazione a rotazione		
		x	y	z	x	y	z
40	SLV 4	13	171	1393	-7.28	11.5	-0.01
40	SLV 5	47	644	2164	-28.39	31.81	-0.02
40	SLV 6	47	644	2164	-28.39	31.81	-0.02
40	SLV 7	-33	-228	1405	10.21	-20.69	0.01
40	SLV 8	-33	-228	1405	10.21	-20.69	0.01
40	SLV 9	32	564	2402	-24.97	19.97	-0.01
40	SLV 10	32	564	2402	-24.97	19.97	-0.01
40	SLV 11	-48	-308	1644	13.62	-32.53	0.03
40	SLV 12	-48	-308	1644	13.62	-32.53	0.03
40	SLV 13	-13	165	2415	-7.48	-12.23	0.02
40	SLV 14	-13	165	2415	-7.48	-12.23	0.02
40	SLV 15	-37	-96	2188	4.1	-27.98	0.03
40	SLV 16	-37	-96	2188	4.1	-27.98	0.03
41	SLU 1	0	-20	1055	0.7	0.77	0
41	SLU 2	0	-19	1056	0.64	0.77	0
41	SLU 3	0	-20	1055	0.7	0.77	0
41	SLU 4	0	-19	1056	0.67	0.77	0
41	SLU 5	0	-19	1056	0.64	0.77	0
41	SLU 6	0	-20	1055	0.7	0.77	0
41	SLU 7	0	-19	1056	0.67	0.77	0
41	SLU 8	0	-20	1055	0.7	0.77	0
41	SLU 9	0	-19	1056	0.67	0.77	0
41	SLU 10	0	-65	1253	2.49	0.96	0
41	SLU 11	0	-67	1252	2.54	0.96	0
41	SLU 12	0	-66	1253	2.51	0.96	0
41	SLU 13	0	-65	1253	2.49	0.96	0
41	SLU 14	0	-67	1252	2.54	0.96	0
41	SLU 15	0	-66	1253	2.51	0.96	0
41	SLU 16	0	-67	1252	2.54	0.96	0
41	SLU 17	0	-66	1253	2.51	0.96	0
41	SLU 18	0	-87	1337	3.33	1.04	0
41	SLU 19	0	-86	1337	3.3	1.04	0
41	SLU 20	0	-87	1337	3.33	1.04	0
41	SLU 21	0	-86	1337	3.3	1.04	0
41	SLU 22	0	-44	1156	1.64	0.86	0
41	SLU 23	0	-43	1157	1.58	0.87	0
41	SLU 24	0	-44	1156	1.64	0.86	0
41	SLU 25	0	-43	1157	1.61	0.86	0
41	SLU 26	0	-43	1157	1.58	0.87	0
41	SLU 27	0	-44	1156	1.64	0.86	0
41	SLU 28	0	-43	1157	1.61	0.86	0
41	SLU 29	0	-44	1156	1.64	0.86	0
41	SLU 30	0	-43	1157	1.61	0.86	0
41	SLU 31	0	-89	1354	3.42	1.06	0
41	SLU 32	0	-91	1353	3.48	1.05	0
41	SLU 33	0	-90	1354	3.45	1.06	0
41	SLU 34	0	-89	1354	3.42	1.06	0
41	SLU 35	0	-91	1353	3.48	1.05	0
41	SLU 36	0	-90	1354	3.45	1.06	0
41	SLU 37	0	-91	1353	3.48	1.05	0
41	SLU 38	0	-90	1354	3.45	1.06	0
41	SLU 39	0	-111	1437	4.27	1.14	0
41	SLU 40	0	-110	1438	4.24	1.14	0
41	SLU 41	0	-111	1437	4.27	1.14	0
41	SLU 42	0	-110	1438	4.24	1.14	0
41	SLU 43	0	-18	1337	0.59	0.96	0
41	SLU 44	0	-17	1338	0.53	0.96	0
41	SLU 45	0	-18	1337	0.59	0.96	0
41	SLU 46	0	-17	1338	0.56	0.96	0
41	SLU 47	0	-17	1338	0.53	0.96	0
41	SLU 48	0	-18	1337	0.59	0.96	0
41	SLU 49	0	-17	1338	0.56	0.96	0
41	SLU 50	0	-18	1337	0.59	0.96	0
41	SLU 51	0	-17	1338	0.56	0.96	0
41	SLU 52	0	-63	1535	2.37	1.16	0
41	SLU 53	0	-65	1534	2.43	1.15	0
41	SLU 54	0	-64	1535	2.4	1.15	0
41	SLU 55	0	-63	1535	2.37	1.16	0
41	SLU 56	0	-65	1534	2.43	1.15	0
41	SLU 57	0	-64	1535	2.4	1.15	0
41	SLU 58	0	-65	1534	2.43	1.15	0
41	SLU 59	0	-64	1535	2.4	1.15	0
41	SLU 60	0	-85	1619	3.22	1.24	0
41	SLU 61	0	-84	1619	3.19	1.24	0
41	SLU 62	0	-85	1619	3.22	1.24	0
41	SLU 63	0	-84	1619	3.19	1.24	0
41	SLU 64	0	-42	1438	1.53	1.06	0
41	SLU 65	0	-40	1439	1.47	1.06	0
41	SLU 66	0	-42	1438	1.53	1.06	0
41	SLU 67	0	-41	1439	1.49	1.06	0
41	SLU 68	0	-40	1439	1.47	1.06	0
41	SLU 69	0	-42	1438	1.53	1.06	0
41	SLU 70	0	-41	1439	1.49	1.06	0
41	SLU 71	0	-42	1438	1.53	1.06	0
41	SLU 72	0	-41	1439	1.49	1.06	0
41	SLU 73	0	-87	1636	3.31	1.25	0
41	SLU 74	0	-89	1635	3.37	1.25	0
41	SLU 75	0	-88	1636	3.34	1.25	0



Nodo Ind.	Cont. N.br.	Reazione a traslazione			Reazione a rotazione		
		x	y	z	x	y	z
41	SLU 76	0	-87	1636	3.31	1.25	0
41	SLU 77	0	-89	1635	3.37	1.25	0
41	SLU 78	0	-88	1636	3.34	1.25	0
41	SLU 79	0	-89	1635	3.37	1.25	0
41	SLU 80	0	-88	1636	3.34	1.25	0
41	SLU 81	0	-109	1719	4.16	1.33	0
41	SLU 82	0	-108	1720	4.13	1.33	0
41	SLU 83	0	-109	1719	4.16	1.33	0
41	SLU 84	0	-108	1720	4.13	1.33	0
41	SLE RA 1	0	-27	1084	0.97	0.79	0
41	SLE RA 2	0	-26	1085	0.93	0.8	0
41	SLE RA 3	0	-27	1084	0.97	0.79	0
41	SLE RA 4	0	-26	1084	0.95	0.79	0
41	SLE RA 5	0	-26	1085	0.93	0.8	0
41	SLE RA 6	0	-27	1084	0.97	0.79	0
41	SLE RA 7	0	-26	1084	0.95	0.79	0
41	SLE RA 8	0	-27	1084	0.97	0.79	0
41	SLE RA 9	0	-26	1084	0.95	0.79	0
41	SLE RA 10	0	-57	1216	2.16	0.92	0
41	SLE RA 11	0	-58	1215	2.2	0.92	0
41	SLE RA 12	0	-58	1216	2.18	0.92	0
41	SLE RA 13	0	-57	1216	2.16	0.92	0
41	SLE RA 14	0	-58	1215	2.2	0.92	0
41	SLE RA 15	0	-58	1216	2.18	0.92	0
41	SLE RA 16	0	-58	1215	2.2	0.92	0
41	SLE RA 17	0	-58	1216	2.18	0.92	0
41	SLE RA 18	0	-71	1272	2.73	0.98	0
41	SLE RA 19	0	-71	1272	2.7	0.98	0
41	SLE RA 20	0	-71	1272	2.73	0.98	0
41	SLE RA 21	0	-71	1272	2.7	0.98	0
41	SLE FR 1	0	-27	1084	0.97	0.79	0
41	SLE FR 2	0	-27	1084	0.96	0.79	0
41	SLE FR 3	0	-27	1084	0.97	0.79	0
41	SLE FR 4	0	-40	1140	1.49	0.85	0
41	SLE FR 5	0	-40	1140	1.5	0.85	0
41	SLE FR 6	0	-49	1178	1.85	0.89	0
41	SLE QP 1	0	-27	1084	0.97	0.79	0
41	SLE QP 2	0	-40	1140	1.5	0.85	0
41	SLD 1	7	69	1098	-3.27	4.37	-0.01
41	SLD 2	7	69	1098	-3.27	4.37	-0.01
41	SLD 3	4	-41	1050	1.66	2.97	-0.01
41	SLD 4	4	-41	1050	1.66	2.97	-0.01
41	SLD 5	6	160	1200	-7.4	4.03	0
41	SLD 6	6	160	1200	-7.4	4.03	0
41	SLD 7	-2	-208	1041	9.01	-0.64	-0.01
41	SLD 8	-2	-208	1041	9.01	-0.64	-0.01
41	SLD 9	3	127	1240	-6.02	2.33	0
41	SLD 10	3	127	1240	-6.02	2.33	0
41	SLD 11	-5	-240	1081	10.39	-2.33	0
41	SLD 12	-5	-240	1081	10.39	-2.33	0
41	SLD 13	-4	-40	1230	1.34	-1.27	0
41	SLD 14	-4	-40	1230	1.34	-1.27	0
41	SLD 15	-6	-150	1183	6.26	-2.67	0
41	SLD 16	-6	-150	1183	6.26	-2.67	0
41	SLV 1	16	221	1037	-9.87	9.6	-0.01
41	SLV 2	16	221	1037	-9.87	9.6	-0.01
41	SLV 3	10	-38	923	1.71	6.19	-0.02
41	SLV 4	10	-38	923	1.71	6.19	-0.02
41	SLV 5	14	431	1282	-19.47	8.65	0
41	SLV 6	14	431	1282	-19.47	8.65	0
41	SLV 7	-6	-433	902	19.12	-2.72	-0.01
41	SLV 8	-6	-433	902	19.12	-2.72	-0.01
41	SLV 9	6	353	1378	-16.12	4.42	0.01
41	SLV 10	6	353	1378	-16.12	4.42	0.01
41	SLV 11	-13	-512	999	22.46	-6.95	0
41	SLV 12	-13	-512	999	22.46	-6.95	0
41	SLV 13	-10	-42	1358	1.29	-4.49	0.01
41	SLV 14	-10	-42	1358	1.29	-4.49	0.01
41	SLV 15	-16	-302	1244	12.86	-7.9	0.01
41	SLV 16	-16	-302	1244	12.86	-7.9	0.01
42	SLU 1	0	-75	590	1.4	-0.01	0
42	SLU 2	0	-75	589	1.39	0.01	0
42	SLU 3	0	-75	590	1.4	-0.01	0
42	SLU 4	0	-75	589	1.39	0	0
42	SLU 5	0	-75	589	1.39	0.01	0
42	SLU 6	0	-75	590	1.4	-0.01	0
42	SLU 7	0	-75	589	1.39	0	0
42	SLU 8	0	-75	590	1.4	-0.01	0
42	SLU 9	0	-75	589	1.39	0	0
42	SLU 10	0	-96	591	1.38	0.02	0
42	SLU 11	0	-96	592	1.39	0.01	0
42	SLU 12	0	-96	591	1.39	0.02	0
42	SLU 13	0	-96	591	1.38	0.02	0
42	SLU 14	0	-96	592	1.39	0.01	0
42	SLU 15	0	-96	591	1.39	0.02	0
42	SLU 16	0	-96	592	1.39	0.01	0
42	SLU 17	0	-96	591	1.39	0.02	0
42	SLU 18	0	-105	593	1.39	0.02	0



Nodo Ind.	Cont. N.br.	Reazione a traslazione			Reazione a rotazione		
		x	y	z	x	y	z
42	SLU 19	0	-105	592	1.39	0.03	0
42	SLU 20	0	-105	593	1.39	0.02	0
42	SLU 21	0	-105	592	1.39	0.03	0
42	SLU 22	0	-86	591	1.4	0	0
42	SLU 23	0	-86	590	1.39	0.02	0
42	SLU 24	0	-86	591	1.4	0	0
42	SLU 25	0	-86	590	1.39	0.01	0
42	SLU 26	0	-86	590	1.39	0.02	0
42	SLU 27	0	-86	591	1.4	0	0
42	SLU 28	0	-86	590	1.39	0.01	0
42	SLU 29	0	-86	591	1.4	0	0
42	SLU 30	0	-86	590	1.39	0.01	0
42	SLU 31	0	-107	592	1.38	0.03	0
42	SLU 32	0	-107	593	1.39	0.02	0
42	SLU 33	0	-107	593	1.38	0.03	0
42	SLU 34	0	-107	592	1.38	0.03	0
42	SLU 35	0	-107	593	1.39	0.02	0
42	SLU 36	0	-107	593	1.38	0.03	0
42	SLU 37	0	-107	593	1.39	0.02	0
42	SLU 38	0	-107	593	1.38	0.03	0
42	SLU 39	0	-116	594	1.39	0.02	0
42	SLU 40	0	-116	593	1.38	0.03	0
42	SLU 41	0	-116	594	1.39	0.02	0
42	SLU 42	0	-116	593	1.38	0.03	0
42	SLU 43	0	-94	767	1.82	-0.01	0
42	SLU 44	0	-93	765	1.81	0	0
42	SLU 45	0	-94	767	1.82	-0.01	0
42	SLU 46	0	-94	766	1.81	0	0
42	SLU 47	0	-93	765	1.81	0	0
42	SLU 48	0	-94	767	1.82	-0.01	0
42	SLU 49	0	-94	766	1.81	0	0
42	SLU 50	0	-94	767	1.82	-0.01	0
42	SLU 51	0	-94	766	1.81	0	0
42	SLU 52	0	-115	767	1.8	0.02	0
42	SLU 53	0	-115	769	1.81	0	0
42	SLU 54	0	-115	768	1.81	0.01	0
42	SLU 55	0	-115	767	1.8	0.02	0
42	SLU 56	0	-115	769	1.81	0	0
42	SLU 57	0	-115	768	1.81	0.01	0
42	SLU 58	0	-115	769	1.81	0	0
42	SLU 59	0	-115	768	1.81	0.01	0
42	SLU 60	0	-124	770	1.81	0.01	0
42	SLU 61	0	-124	769	1.81	0.02	0
42	SLU 62	0	-124	770	1.81	0.01	0
42	SLU 63	0	-124	769	1.81	0.02	0
42	SLU 64	0	-105	768	1.82	0	0
42	SLU 65	0	-104	766	1.81	0.01	0
42	SLU 66	0	-105	768	1.82	0	0
42	SLU 67	0	-104	767	1.81	0.01	0
42	SLU 68	0	-104	766	1.81	0.01	0
42	SLU 69	0	-105	768	1.82	0	0
42	SLU 70	0	-104	767	1.81	0.01	0
42	SLU 71	0	-105	768	1.82	0	0
42	SLU 72	0	-104	767	1.81	0.01	0
42	SLU 73	0	-126	769	1.8	0.03	0
42	SLU 74	0	-126	770	1.81	0.01	0
42	SLU 75	0	-126	769	1.81	0.02	0
42	SLU 76	0	-126	769	1.8	0.03	0
42	SLU 77	0	-126	770	1.81	0.01	0
42	SLU 78	0	-126	769	1.81	0.02	0
42	SLU 79	0	-126	770	1.81	0.01	0
42	SLU 80	0	-126	769	1.81	0.02	0
42	SLU 81	0	-135	771	1.81	0.02	0
42	SLU 82	0	-135	770	1.8	0.03	0
42	SLU 83	0	-135	771	1.81	0.02	0
42	SLU 84	0	-135	770	1.8	0.03	0
42	SLE RA 1	0	-78	591	1.4	0	0
42	SLE RA 2	0	-78	589	1.39	0.01	0
42	SLE RA 3	0	-78	591	1.4	0	0
42	SLE RA 4	0	-78	590	1.39	0	0
42	SLE RA 5	0	-78	589	1.39	0.01	0
42	SLE RA 6	0	-78	591	1.4	0	0
42	SLE RA 7	0	-78	590	1.39	0	0
42	SLE RA 8	0	-78	591	1.4	0	0
42	SLE RA 9	0	-78	590	1.39	0	0
42	SLE RA 10	0	-92	591	1.39	0.02	0
42	SLE RA 11	0	-92	592	1.39	0.01	0
42	SLE RA 12	0	-92	591	1.39	0.01	0
42	SLE RA 13	0	-92	591	1.39	0.02	0
42	SLE RA 14	0	-92	592	1.39	0.01	0
42	SLE RA 15	0	-92	591	1.39	0.01	0
42	SLE RA 16	0	-92	592	1.39	0.01	0
42	SLE RA 17	0	-92	591	1.39	0.01	0
42	SLE RA 18	0	-98	593	1.39	0.01	0
42	SLE RA 19	0	-98	592	1.39	0.02	0
42	SLE RA 20	0	-98	593	1.39	0.01	0
42	SLE RA 21	0	-98	592	1.39	0.02	0
42	SLE FR 1	0	-78	591	1.4	0	0



Nodo Ind.	Cont. N.br.	Reazione a traslazione			Reazione a rotazione		
		x	y	z	x	y	z
42	SLE FR 2	0	-78	590	1.4	0	0
42	SLE FR 3	0	-78	591	1.4	0	0
42	SLE FR 4	0	-84	591	1.4	0	0
42	SLE FR 5	0	-84	591	1.4	0	0
42	SLE FR 6	0	-88	592	1.4	0	0
42	SLE QP 1	0	-78	591	1.4	0	0
42	SLE QP 2	0	-84	591	1.4	0	0
42	SLD 1	-4	-71	501	0.87	-3.04	0.03
42	SLD 2	-4	-71	501	0.87	-3.04	0.03
42	SLD 3	-7	-206	1260	8.85	-5.12	0.02
42	SLD 4	-7	-206	1260	8.85	-5.12	0.02
42	SLD 5	3	124	-587	-10.88	2.24	0.03
42	SLD 6	3	124	-587	-10.88	2.24	0.03
42	SLD 7	-6	-325	1943	15.75	-4.69	-0.01
42	SLD 8	-6	-325	1943	15.75	-4.69	-0.01
42	SLD 9	6	157	-761	-12.95	4.69	0.01
42	SLD 10	6	157	-761	-12.95	4.69	0.01
42	SLD 11	-3	-292	1769	13.67	-2.24	-0.03
42	SLD 12	-3	-292	1769	13.67	-2.24	-0.03
42	SLD 13	7	38	-78	-6.06	5.12	-0.02
42	SLD 14	7	38	-78	-6.06	5.12	-0.02
42	SLD 15	4	-97	681	1.93	3.04	-0.03
42	SLD 16	4	-97	681	1.93	3.04	-0.03
42	SLV 1	-10	-61	412	0.58	-7.78	0.08
42	SLV 2	-10	-61	412	0.58	-7.78	0.08
42	SLV 3	-17	-377	2196	19.28	-12.85	0.05
42	SLV 4	-17	-377	2196	19.28	-12.85	0.05
42	SLV 5	8	401	-2168	-27.2	5.35	0.07
42	SLV 6	8	401	-2168	-27.2	5.35	0.07
42	SLV 7	-16	-651	3778	35.12	-11.54	-0.03
42	SLV 8	-16	-651	3778	35.12	-11.54	-0.03
42	SLV 9	16	482	-2596	-32.32	11.54	0.03
42	SLV 10	16	482	-2596	-32.32	11.54	0.03
42	SLV 11	-8	-570	3350	30	-5.35	-0.07
42	SLV 12	-8	-570	3350	30	-5.35	-0.07
42	SLV 13	17	208	-1014	-16.48	12.85	-0.05
42	SLV 14	17	208	-1014	-16.48	12.85	-0.05
42	SLV 15	10	-107	770	2.21	7.78	-0.08
42	SLV 16	10	-107	770	2.21	7.78	-0.08
43	SLU 1	0	-74	587	1.44	-0.07	0
43	SLU 2	0	-74	585	1.43	-0.08	0
43	SLU 3	0	-74	587	1.44	-0.07	0
43	SLU 4	0	-74	586	1.44	-0.08	0
43	SLU 5	0	-74	585	1.43	-0.08	0
43	SLU 6	0	-74	587	1.44	-0.07	0
43	SLU 7	0	-74	586	1.44	-0.08	0
43	SLU 8	0	-74	587	1.44	-0.07	0
43	SLU 9	0	-74	586	1.44	-0.08	0
43	SLU 10	0	-96	589	1.45	-0.11	0
43	SLU 11	0	-97	591	1.46	-0.09	0
43	SLU 12	0	-96	590	1.46	-0.1	0
43	SLU 13	0	-96	589	1.45	-0.11	0
43	SLU 14	0	-97	591	1.46	-0.09	0
43	SLU 15	0	-96	590	1.46	-0.1	0
43	SLU 16	0	-97	591	1.46	-0.09	0
43	SLU 17	0	-96	590	1.46	-0.1	0
43	SLU 18	0	-106	592	1.47	-0.1	0
43	SLU 19	0	-106	591	1.47	-0.11	0
43	SLU 20	0	-106	592	1.47	-0.1	0
43	SLU 21	0	-106	591	1.47	-0.11	0
43	SLU 22	0	-86	589	1.45	-0.08	0
43	SLU 23	0	-85	587	1.44	-0.1	0
43	SLU 24	0	-86	589	1.45	-0.08	0
43	SLU 25	0	-85	588	1.45	-0.09	0
43	SLU 26	0	-85	587	1.44	-0.1	0
43	SLU 27	0	-86	589	1.45	-0.08	0
43	SLU 28	0	-85	588	1.45	-0.09	0
43	SLU 29	0	-86	589	1.45	-0.08	0
43	SLU 30	0	-85	588	1.45	-0.09	0
43	SLU 31	0	-108	591	1.47	-0.12	0
43	SLU 32	0	-108	593	1.47	-0.1	0
43	SLU 33	0	-108	592	1.47	-0.12	0
43	SLU 34	0	-108	591	1.47	-0.12	0
43	SLU 35	0	-108	593	1.47	-0.1	0
43	SLU 36	0	-108	592	1.47	-0.12	0
43	SLU 37	0	-108	593	1.47	-0.1	0
43	SLU 38	0	-108	592	1.47	-0.12	0
43	SLU 39	0	-118	594	1.48	-0.12	0
43	SLU 40	0	-117	593	1.48	-0.13	0
43	SLU 41	0	-118	594	1.48	-0.12	0
43	SLU 42	0	-117	593	1.48	-0.13	0
43	SLU 43	0	-92	762	1.87	-0.08	0
43	SLU 44	0	-92	760	1.86	-0.1	0
43	SLU 45	0	-92	762	1.87	-0.08	0
43	SLU 46	0	-92	761	1.87	-0.09	0
43	SLU 47	0	-92	760	1.86	-0.1	0
43	SLU 48	0	-92	762	1.87	-0.08	0
43	SLU 49	0	-92	761	1.87	-0.09	0



Nodo Ind.	Cont. N.br.	Reazione a traslazione			Reazione a rotazione		
		x	y	z	x	y	z
43	SLU 50	0	-92	762	1.87	-0.08	0
43	SLU 51	0	-92	761	1.87	-0.09	0
43	SLU 52	0	-115	764	1.88	-0.13	0
43	SLU 53	0	-115	766	1.89	-0.11	0
43	SLU 54	0	-115	765	1.89	-0.12	0
43	SLU 55	0	-115	764	1.88	-0.13	0
43	SLU 56	0	-115	766	1.89	-0.11	0
43	SLU 57	0	-115	765	1.89	-0.12	0
43	SLU 58	0	-115	766	1.89	-0.11	0
43	SLU 59	0	-115	765	1.89	-0.12	0
43	SLU 60	0	-124	768	1.9	-0.12	0
43	SLU 61	0	-124	767	1.9	-0.13	0
43	SLU 62	0	-124	768	1.9	-0.12	0
43	SLU 63	0	-124	767	1.9	-0.13	0
43	SLU 64	0	-104	764	1.88	-0.09	0
43	SLU 65	0	-104	762	1.87	-0.11	0
43	SLU 66	0	-104	764	1.88	-0.09	0
43	SLU 67	0	-104	763	1.88	-0.11	0
43	SLU 68	0	-104	762	1.87	-0.11	0
43	SLU 69	0	-104	764	1.88	-0.09	0
43	SLU 70	0	-104	763	1.88	-0.11	0
43	SLU 71	0	-104	764	1.88	-0.09	0
43	SLU 72	0	-104	763	1.88	-0.11	0
43	SLU 73	0	-126	766	1.89	-0.14	0
43	SLU 74	0	-126	768	1.9	-0.12	0
43	SLU 75	0	-126	767	1.9	-0.13	0
43	SLU 76	0	-126	766	1.89	-0.14	0
43	SLU 77	0	-126	768	1.9	-0.12	0
43	SLU 78	0	-126	767	1.9	-0.13	0
43	SLU 79	0	-126	768	1.9	-0.12	0
43	SLU 80	0	-126	767	1.9	-0.13	0
43	SLU 81	0	-136	770	1.91	-0.13	0
43	SLU 82	0	-136	769	1.91	-0.14	0
43	SLU 83	0	-136	770	1.91	-0.13	0
43	SLU 84	0	-136	769	1.91	-0.14	0
43	SLE RA 1	0	-77	587	1.45	-0.07	0
43	SLE RA 2	0	-77	586	1.44	-0.08	0
43	SLE RA 3	0	-77	587	1.45	-0.07	0
43	SLE RA 4	0	-77	587	1.44	-0.08	0
43	SLE RA 5	0	-77	586	1.44	-0.08	0
43	SLE RA 6	0	-77	587	1.45	-0.07	0
43	SLE RA 7	0	-77	587	1.44	-0.08	0
43	SLE RA 8	0	-77	587	1.45	-0.07	0
43	SLE RA 9	0	-77	587	1.44	-0.08	0
43	SLE RA 10	0	-92	589	1.45	-0.1	0
43	SLE RA 11	0	-92	590	1.46	-0.09	0
43	SLE RA 12	0	-92	589	1.46	-0.09	0
43	SLE RA 13	0	-92	589	1.45	-0.1	0
43	SLE RA 14	0	-92	590	1.46	-0.09	0
43	SLE RA 15	0	-92	589	1.46	-0.09	0
43	SLE RA 16	0	-92	590	1.46	-0.09	0
43	SLE RA 17	0	-92	589	1.46	-0.09	0
43	SLE RA 18	0	-99	591	1.47	-0.09	0
43	SLE RA 19	0	-99	590	1.46	-0.1	0
43	SLE RA 20	0	-99	591	1.47	-0.09	0
43	SLE RA 21	0	-99	590	1.46	-0.1	0
43	SLE FR 1	0	-77	587	1.45	-0.07	0
43	SLE FR 2	0	-77	587	1.44	-0.07	0
43	SLE FR 3	0	-77	587	1.45	-0.07	0
43	SLE FR 4	0	-84	588	1.45	-0.08	0
43	SLE FR 5	0	-84	588	1.45	-0.08	0
43	SLE FR 6	0	-88	589	1.46	-0.08	0
43	SLE QP 1	0	-77	587	1.45	-0.07	0
43	SLE QP 2	0	-84	588	1.45	-0.08	0
43	SLD 1	-9	-51	78	-4.2	-6.44	0.04
43	SLD 2	-9	-51	78	-4.2	-6.44	0.04
43	SLD 3	-4	-177	765	3.43	-3	0.02
43	SLD 4	-4	-177	765	3.43	-3	0.02
43	SLD 5	-10	116	-607	-11.81	-7.21	0.04
43	SLD 6	-10	116	-607	-11.81	-7.21	0.04
43	SLD 7	6	-302	1684	13.61	4.27	-0.03
43	SLD 8	6	-302	1684	13.61	4.27	-0.03
43	SLD 9	-6	134	-507	-10.71	-4.42	0.03
43	SLD 10	-6	134	-507	-10.71	-4.42	0.03
43	SLD 11	9	-284	1784	14.72	7.05	-0.04
43	SLD 12	9	-284	1784	14.72	7.05	-0.04
43	SLD 13	4	9	412	-0.52	2.84	-0.02
43	SLD 14	4	9	412	-0.52	2.84	-0.02
43	SLD 15	8	-116	1099	7.1	6.29	-0.04
43	SLD 16	8	-116	1099	7.1	6.29	-0.04
43	SLV 1	-22	-8	-616	-11.87	-16.15	0.09
43	SLV 2	-22	-8	-616	-11.87	-16.15	0.09
43	SLV 3	-10	-302	1004	6.03	-7.61	0.04
43	SLV 4	-10	-302	1004	6.03	-7.61	0.04
43	SLV 5	-24	385	-2230	-29.68	-17.85	0.11
43	SLV 6	-24	385	-2230	-29.68	-17.85	0.11
43	SLV 7	14	-596	3170	29.96	10.61	-0.06
43	SLV 8	14	-596	3170	29.96	10.61	-0.06



Nodo Ind.	Cont. N.br.	Reazione a traslazione			Reazione a rotazione		
		x	y	z	x	y	z
43	SLV 9	-14	428	-1993	-27.06	-10.76	0.06
43	SLV 10	-14	428	-1993	-27.06	-10.76	0.06
43	SLV 11	24	-553	3407	32.59	17.69	-0.1
43	SLV 12	24	-553	3407	32.59	17.69	-0.1
43	SLV 13	10	135	173	-3.13	7.46	-0.04
43	SLV 14	10	135	173	-3.13	7.46	-0.04
43	SLV 15	22	-160	1793	14.77	16	-0.09
43	SLV 16	22	-160	1793	14.77	16	-0.09
44	SLU 1	-6	50	1604	-2.95	-4.05	0
44	SLU 2	-6	63	1605	-3.53	-4.27	0
44	SLU 3	-6	50	1604	-2.95	-4.05	0
44	SLU 4	-6	58	1604	-3.3	-4.18	0
44	SLU 5	-6	63	1605	-3.53	-4.27	0
44	SLU 6	-6	50	1604	-2.95	-4.05	0
44	SLU 7	-6	58	1604	-3.3	-4.18	0
44	SLU 8	-6	50	1604	-2.95	-4.05	0
44	SLU 9	-6	58	1604	-3.3	-4.18	0
44	SLU 10	-7	41	1784	-2.84	-4.93	0
44	SLU 11	-7	28	1784	-2.26	-4.71	0
44	SLU 12	-7	36	1784	-2.61	-4.84	0
44	SLU 13	-7	41	1784	-2.84	-4.93	0
44	SLU 14	-7	28	1784	-2.26	-4.71	0
44	SLU 15	-7	36	1784	-2.61	-4.84	0
44	SLU 16	-7	28	1784	-2.26	-4.71	0
44	SLU 17	-7	36	1784	-2.61	-4.84	0
44	SLU 18	-7	19	1860	-1.96	-4.99	0
44	SLU 19	-7	27	1861	-2.31	-5.13	0
44	SLU 20	-7	19	1860	-1.96	-4.99	0
44	SLU 21	-7	27	1861	-2.31	-5.13	0
44	SLU 22	-6	39	1696	-2.59	-4.39	0
44	SLU 23	-7	52	1696	-3.17	-4.61	0
44	SLU 24	-6	39	1696	-2.59	-4.39	0
44	SLU 25	-7	47	1696	-2.94	-4.52	0
44	SLU 26	-7	52	1696	-3.17	-4.61	0
44	SLU 27	-6	39	1696	-2.59	-4.39	0
44	SLU 28	-7	47	1696	-2.94	-4.52	0
44	SLU 29	-6	39	1696	-2.59	-4.39	0
44	SLU 30	-7	47	1696	-2.94	-4.52	0
44	SLU 31	-7	30	1875	-2.48	-5.27	0
44	SLU 32	-7	17	1875	-1.9	-5.05	0
44	SLU 33	-7	25	1875	-2.25	-5.18	0
44	SLU 34	-7	30	1875	-2.48	-5.27	0
44	SLU 35	-7	17	1875	-1.9	-5.05	0
44	SLU 36	-7	25	1875	-2.25	-5.18	0
44	SLU 37	-7	17	1875	-1.9	-5.05	0
44	SLU 38	-7	25	1875	-2.25	-5.18	0
44	SLU 39	-8	8	1952	-1.61	-5.33	0
44	SLU 40	-8	16	1952	-1.95	-5.46	0
44	SLU 41	-8	8	1952	-1.61	-5.33	0
44	SLU 42	-8	16	1952	-1.95	-5.46	0
44	SLU 43	-8	69	2054	-3.96	-5.15	0
44	SLU 44	-8	81	2054	-4.53	-5.37	0
44	SLU 45	-8	69	2054	-3.96	-5.15	0
44	SLU 46	-8	76	2054	-4.3	-5.28	0
44	SLU 47	-8	81	2054	-4.53	-5.37	0
44	SLU 48	-8	69	2054	-3.96	-5.15	0
44	SLU 49	-8	76	2054	-4.3	-5.28	0
44	SLU 50	-8	69	2054	-3.96	-5.15	0
44	SLU 51	-8	76	2054	-4.3	-5.28	0
44	SLU 52	-9	60	2234	-3.84	-6.03	0
44	SLU 53	-9	47	2233	-3.27	-5.81	0
44	SLU 54	-9	55	2234	-3.61	-5.94	0
44	SLU 55	-9	60	2234	-3.84	-6.03	0
44	SLU 56	-9	47	2233	-3.27	-5.81	0
44	SLU 57	-9	55	2234	-3.61	-5.94	0
44	SLU 58	-9	47	2233	-3.27	-5.81	0
44	SLU 59	-9	55	2234	-3.61	-5.94	0
44	SLU 60	-9	38	2310	-2.97	-6.09	0
44	SLU 61	-9	46	2310	-3.32	-6.23	0
44	SLU 62	-9	38	2310	-2.97	-6.09	0
44	SLU 63	-9	46	2310	-3.32	-6.23	0
44	SLU 64	-8	58	2146	-3.6	-5.49	0
44	SLU 65	-8	70	2146	-4.18	-5.71	0
44	SLU 66	-8	58	2146	-3.6	-5.49	0
44	SLU 67	-8	65	2146	-3.95	-5.62	0
44	SLU 68	-8	70	2146	-4.18	-5.71	0
44	SLU 69	-8	58	2146	-3.6	-5.49	0
44	SLU 70	-8	65	2146	-3.95	-5.62	0
44	SLU 71	-8	58	2146	-3.6	-5.49	0
44	SLU 72	-8	65	2146	-3.95	-5.62	0
44	SLU 73	-9	49	2325	-3.49	-6.37	0
44	SLU 74	-9	36	2325	-2.91	-6.15	0
44	SLU 75	-9	44	2325	-3.26	-6.28	0
44	SLU 76	-9	49	2325	-3.49	-6.37	0
44	SLU 77	-9	36	2325	-2.91	-6.15	0
44	SLU 78	-9	44	2325	-3.26	-6.28	0
44	SLU 79	-9	36	2325	-2.91	-6.15	0
44	SLU 80	-9	44	2325	-3.26	-6.28	0



Nodo Ind.	Cont. N.br.	Reazione a traslazione			Reazione a rotazione		
		x	y	z	x	y	z
44	SLU 81	-9	27	2402	-2.62	-6.43	0
44	SLU 82	-9	35	2402	-2.96	-6.56	0
44	SLU 83	-9	27	2402	-2.62	-6.43	0
44	SLU 84	-9	35	2402	-2.96	-6.56	0
44	SLE RA 1	-6	47	1630	-2.85	-4.15	0
44	SLE RA 2	-6	55	1631	-3.23	-4.29	0
44	SLE RA 3	-6	47	1630	-2.85	-4.15	0
44	SLE RA 4	-6	52	1631	-3.08	-4.24	0
44	SLE RA 5	-6	55	1631	-3.23	-4.29	0
44	SLE RA 6	-6	47	1630	-2.85	-4.15	0
44	SLE RA 7	-6	52	1631	-3.08	-4.24	0
44	SLE RA 8	-6	47	1630	-2.85	-4.15	0
44	SLE RA 9	-6	52	1631	-3.08	-4.24	0
44	SLE RA 10	-7	41	1750	-2.77	-4.73	0
44	SLE RA 11	-7	32	1750	-2.39	-4.59	0
44	SLE RA 12	-7	38	1750	-2.62	-4.68	0
44	SLE RA 13	-7	41	1750	-2.77	-4.73	0
44	SLE RA 14	-7	32	1750	-2.39	-4.59	0
44	SLE RA 15	-7	38	1750	-2.62	-4.68	0
44	SLE RA 16	-7	32	1750	-2.39	-4.59	0
44	SLE RA 17	-7	38	1750	-2.62	-4.68	0
44	SLE RA 18	-7	26	1801	-2.19	-4.77	0
44	SLE RA 19	-7	31	1801	-2.42	-4.86	0
44	SLE RA 20	-7	26	1801	-2.19	-4.77	0
44	SLE RA 21	-7	31	1801	-2.42	-4.86	0
44	SLE FR 1	-6	47	1630	-2.85	-4.15	0
44	SLE FR 2	-6	49	1630	-2.93	-4.18	0
44	SLE FR 3	-6	47	1630	-2.85	-4.15	0
44	SLE FR 4	-6	42	1682	-2.73	-4.36	0
44	SLE FR 5	-6	41	1682	-2.65	-4.33	0
44	SLE FR 6	-7	37	1716	-2.52	-4.46	0
44	SLE QP 1	-6	47	1630	-2.85	-4.15	0
44	SLE QP 2	-6	41	1682	-2.65	-4.33	0
44	SLD 1	-5	32	1835	-2.31	-1.96	-0.01
44	SLD 2	-5	32	1835	-2.31	-1.96	-0.01
44	SLD 3	4	-61	1766	1.69	3.91	-0.02
44	SLD 4	4	-61	1766	1.69	3.91	-0.02
44	SLD 5	-18	179	1832	-8.61	-12.53	0.01
44	SLD 6	-18	179	1832	-8.61	-12.53	0.01
44	SLD 7	9	-130	1603	4.71	7.05	-0.02
44	SLD 8	9	-130	1603	4.71	7.05	-0.02
44	SLD 9	-22	211	1761	-10.01	-15.72	0.02
44	SLD 10	-22	211	1761	-10.01	-15.72	0.02
44	SLD 11	6	-97	1531	3.31	3.86	-0.01
44	SLD 12	6	-97	1531	3.31	3.86	-0.01
44	SLD 13	-16	142	1597	-6.99	-12.58	0.02
44	SLD 14	-16	142	1597	-6.99	-12.58	0.02
44	SLD 15	-8	49	1529	-2.99	-6.71	0.01
44	SLD 16	-8	49	1529	-2.99	-6.71	0.01
44	SLV 1	-2	19	2042	-1.81	1.52	-0.01
44	SLV 2	-2	19	2042	-1.81	1.52	-0.01
44	SLV 3	18	-200	1880	7.64	15.47	-0.04
44	SLV 4	18	-200	1880	7.64	15.47	-0.04
44	SLV 5	-34	366	2036	-16.73	-23.74	0.03
44	SLV 6	-34	366	2036	-16.73	-23.74	0.03
44	SLV 7	30	-364	1495	14.77	22.76	-0.05
44	SLV 8	30	-364	1495	14.77	22.76	-0.05
44	SLV 9	-43	445	1869	-20.07	-31.43	0.05
44	SLV 10	-43	445	1869	-20.07	-31.43	0.05
44	SLV 11	22	-285	1327	11.43	15.07	-0.03
44	SLV 12	22	-285	1327	11.43	15.07	-0.03
44	SLV 13	-30	281	1483	-12.94	-24.14	0.04
44	SLV 14	-30	281	1483	-12.94	-24.14	0.04
44	SLV 15	-11	62	1321	-3.49	-10.19	0.02
44	SLV 16	-11	62	1321	-3.49	-10.19	0.02
45	SLU 1	0	135	1766	-5.87	-0.12	0
45	SLU 2	0	150	1774	-6.53	0.14	0
45	SLU 3	0	135	1766	-5.87	-0.12	0
45	SLU 4	0	144	1771	-6.26	0.03	0
45	SLU 5	0	150	1774	-6.53	0.14	0
45	SLU 6	0	135	1766	-5.87	-0.12	0
45	SLU 7	0	144	1771	-6.26	0.03	0
45	SLU 8	0	135	1766	-5.87	-0.12	0
45	SLU 9	0	144	1771	-6.26	0.03	0
45	SLU 10	0	133	1978	-5.93	0.11	0
45	SLU 11	0	118	1970	-5.28	-0.14	0
45	SLU 12	0	127	1975	-5.67	0.01	0
45	SLU 13	0	133	1978	-5.93	0.11	0
45	SLU 14	0	118	1970	-5.28	-0.14	0
45	SLU 15	0	127	1975	-5.67	0.01	0
45	SLU 16	0	118	1970	-5.28	-0.14	0
45	SLU 17	0	127	1975	-5.67	0.01	0
45	SLU 18	0	110	2058	-5.02	-0.15	0
45	SLU 19	0	119	2062	-5.42	0	0
45	SLU 20	0	110	2058	-5.02	-0.15	0
45	SLU 21	0	119	2062	-5.42	0	0
45	SLU 22	0	126	1870	-5.56	-0.13	0
45	SLU 23	0	141	1878	-6.22	0.12	0



Nodo Ind.	Cont. N.br.	Reazione a traslazione			Reazione a rotazione		
		x	y	z	x	y	z
45	SLU 24	0	126	1870	-5.56	-0.13	0
45	SLU 25	0	135	1875	-5.96	0.02	0
45	SLU 26	0	141	1878	-6.22	0.12	0
45	SLU 27	0	126	1870	-5.56	-0.13	0
45	SLU 28	0	135	1875	-5.96	0.02	0
45	SLU 29	0	126	1870	-5.56	-0.13	0
45	SLU 30	0	135	1875	-5.96	0.02	0
45	SLU 31	0	124	2082	-5.63	0.1	0
45	SLU 32	0	109	2075	-4.97	-0.16	0
45	SLU 33	0	118	2079	-5.37	0	0
45	SLU 34	0	124	2082	-5.63	0.1	0
45	SLU 35	0	109	2075	-4.97	-0.16	0
45	SLU 36	0	118	2079	-5.37	0	0
45	SLU 37	0	109	2075	-4.97	-0.16	0
45	SLU 38	0	118	2079	-5.37	0	0
45	SLU 39	0	102	2162	-4.72	-0.17	0
45	SLU 40	0	111	2167	-5.11	-0.02	0
45	SLU 41	0	102	2162	-4.72	-0.17	0
45	SLU 42	0	111	2167	-5.11	-0.02	0
45	SLU 43	0	178	2260	-7.73	-0.15	0
45	SLU 44	0	193	2268	-8.39	0.11	0
45	SLU 45	0	178	2260	-7.73	-0.15	0
45	SLU 46	0	187	2265	-8.13	0	0
45	SLU 47	0	193	2268	-8.39	0.11	0
45	SLU 48	0	178	2260	-7.73	-0.15	0
45	SLU 49	0	187	2265	-8.13	0	0
45	SLU 50	0	178	2260	-7.73	-0.15	0
45	SLU 51	0	187	2265	-8.13	0	0
45	SLU 52	0	176	2472	-7.8	0.08	0
45	SLU 53	0	161	2464	-7.14	-0.17	0
45	SLU 54	0	170	2469	-7.54	-0.02	0
45	SLU 55	0	176	2472	-7.8	0.08	0
45	SLU 56	0	161	2464	-7.14	-0.17	0
45	SLU 57	0	170	2469	-7.54	-0.02	0
45	SLU 58	0	161	2464	-7.14	-0.17	0
45	SLU 59	0	170	2469	-7.54	-0.02	0
45	SLU 60	0	154	2552	-6.89	-0.19	0
45	SLU 61	0	163	2557	-7.28	-0.03	0
45	SLU 62	0	154	2552	-6.89	-0.19	0
45	SLU 63	0	163	2557	-7.28	-0.03	0
45	SLU 64	0	169	2364	-7.43	-0.16	0
45	SLU 65	0	184	2372	-8.09	0.09	0
45	SLU 66	0	169	2364	-7.43	-0.16	0
45	SLU 67	0	178	2369	-7.82	-0.01	0
45	SLU 68	0	184	2372	-8.09	0.09	0
45	SLU 69	0	169	2364	-7.43	-0.16	0
45	SLU 70	0	178	2369	-7.82	-0.01	0
45	SLU 71	0	169	2364	-7.43	-0.16	0
45	SLU 72	0	178	2369	-7.82	-0.01	0
45	SLU 73	0	167	2576	-7.49	0.07	0
45	SLU 74	0	152	2569	-6.84	-0.19	0
45	SLU 75	0	161	2573	-7.23	-0.03	0
45	SLU 76	0	167	2576	-7.49	0.07	0
45	SLU 77	0	152	2569	-6.84	-0.19	0
45	SLU 78	0	161	2573	-7.23	-0.03	0
45	SLU 79	0	152	2569	-6.84	-0.19	0
45	SLU 80	0	161	2573	-7.23	-0.03	0
45	SLU 81	0	145	2656	-6.58	-0.2	0
45	SLU 82	0	154	2661	-6.98	-0.05	0
45	SLU 83	0	145	2656	-6.58	-0.2	0
45	SLU 84	0	154	2661	-6.98	-0.05	0
45	SLE RA 1	0	132	1796	-5.78	-0.12	0
45	SLE RA 2	0	142	1801	-6.22	0.05	0
45	SLE RA 3	0	132	1796	-5.78	-0.12	0
45	SLE RA 4	0	138	1799	-6.04	-0.02	0
45	SLE RA 5	0	142	1801	-6.22	0.05	0
45	SLE RA 6	0	132	1796	-5.78	-0.12	0
45	SLE RA 7	0	138	1799	-6.04	-0.02	0
45	SLE RA 8	0	132	1796	-5.78	-0.12	0
45	SLE RA 9	0	138	1799	-6.04	-0.02	0
45	SLE RA 10	0	131	1937	-5.83	0.03	0
45	SLE RA 11	0	121	1932	-5.39	-0.14	0
45	SLE RA 12	0	127	1935	-5.65	-0.04	0
45	SLE RA 13	0	131	1937	-5.83	0.03	0
45	SLE RA 14	0	121	1932	-5.39	-0.14	0
45	SLE RA 15	0	127	1935	-5.65	-0.04	0
45	SLE RA 16	0	121	1932	-5.39	-0.14	0
45	SLE RA 17	0	127	1935	-5.65	-0.04	0
45	SLE RA 18	0	116	1990	-5.22	-0.15	0
45	SLE RA 19	0	122	1993	-5.48	-0.04	0
45	SLE RA 20	0	116	1990	-5.22	-0.15	0
45	SLE RA 21	0	122	1993	-5.48	-0.04	0
45	SLE FR 1	0	132	1796	-5.78	-0.12	0
45	SLE FR 2	0	134	1797	-5.87	-0.09	0
45	SLE FR 3	0	132	1796	-5.78	-0.12	0
45	SLE FR 4	0	129	1855	-5.7	-0.09	0
45	SLE FR 5	0	127	1854	-5.61	-0.13	0
45	SLE FR 6	0	124	1893	-5.5	-0.13	0



Nodo Ind.	Cont. N.br.	Reazione a traslazione			Reazione a rotazione		
		x	y	z	x	y	z
45	SLE QP 1	0	132	1796	-5.78	-0.12	0
45	SLE QP 2	0	127	1854	-5.61	-0.13	0
45	SLD 1	16	241	1748	-10.47	14.94	-0.01
45	SLD 2	16	241	1748	-10.47	14.94	-0.01
45	SLD 3	6	128	1679	-5.62	6.82	-0.01
45	SLD 4	6	128	1679	-5.62	6.82	-0.01
45	SLD 5	20	334	1928	-14.43	16.71	-0.01
45	SLD 6	20	334	1928	-14.43	16.71	-0.01
45	SLD 7	-13	-45	1696	1.74	-10.36	0.01
45	SLD 8	-13	-45	1696	1.74	-10.36	0.01
45	SLD 9	13	299	2012	-12.97	10.11	-0.01
45	SLD 10	13	299	2012	-12.97	10.11	-0.01
45	SLD 11	-20	-79	1781	3.2	-16.97	0.02
45	SLD 12	-20	-79	1781	3.2	-16.97	0.02
45	SLD 13	-6	127	2029	-5.61	-7.07	0.01
45	SLD 14	-6	127	2029	-5.61	-7.07	0.01
45	SLD 15	-16	13	1960	-0.76	-15.2	0.01
45	SLD 16	-16	13	1960	-0.76	-15.2	0.01
45	SLV 1	41	399	1606	-17.17	37.2	-0.03
45	SLV 2	41	399	1606	-17.17	37.2	-0.03
45	SLV 3	16	128	1440	-5.61	17.06	-0.02
45	SLV 4	16	128	1440	-5.61	17.06	-0.02
45	SLV 5	50	619	2031	-26.61	41.62	-0.03
45	SLV 6	50	619	2031	-26.61	41.62	-0.03
45	SLV 7	-33	-283	1478	11.92	-25.52	0.02
45	SLV 8	-33	-283	1478	11.92	-25.52	0.02
45	SLV 9	33	537	2230	-23.14	25.26	-0.02
45	SLV 10	33	537	2230	-23.14	25.26	-0.02
45	SLV 11	-50	-364	1677	15.39	-41.88	0.04
45	SLV 12	-50	-364	1677	15.39	-41.88	0.04
45	SLV 13	-16	126	2269	-5.62	-17.32	0.02
45	SLV 14	-16	126	2269	-5.62	-17.32	0.02
45	SLV 15	-41	-144	2103	5.94	-37.46	0.03
45	SLV 16	-41	-144	2103	5.94	-37.46	0.03
46	SLU 1	1	-40	1001	1.4	1.38	0
46	SLU 2	1	-39	1002	1.33	1.38	0
46	SLU 3	1	-40	1001	1.4	1.38	0
46	SLU 4	1	-39	1001	1.36	1.38	0
46	SLU 5	1	-39	1002	1.33	1.38	0
46	SLU 6	1	-40	1001	1.4	1.38	0
46	SLU 7	1	-39	1001	1.36	1.38	0
46	SLU 8	1	-40	1001	1.4	1.38	0
46	SLU 9	1	-39	1001	1.36	1.38	0
46	SLU 10	2	-81	1166	3.04	1.73	0
46	SLU 11	2	-83	1164	3.11	1.73	0
46	SLU 12	2	-82	1165	3.07	1.73	0
46	SLU 13	2	-81	1166	3.04	1.73	0
46	SLU 14	2	-83	1164	3.11	1.73	0
46	SLU 15	2	-82	1165	3.07	1.73	0
46	SLU 16	2	-83	1164	3.11	1.73	0
46	SLU 17	2	-82	1165	3.07	1.73	0
46	SLU 18	2	-101	1235	3.84	1.88	0
46	SLU 19	2	-100	1235	3.8	1.88	0
46	SLU 20	2	-101	1235	3.84	1.88	0
46	SLU 21	2	-100	1235	3.8	1.88	0
46	SLU 22	2	-62	1084	2.27	1.56	0
46	SLU 23	2	-60	1085	2.2	1.56	0
46	SLU 24	2	-62	1084	2.27	1.56	0
46	SLU 25	2	-61	1085	2.23	1.56	0
46	SLU 26	2	-60	1085	2.2	1.56	0
46	SLU 27	2	-62	1084	2.27	1.56	0
46	SLU 28	2	-61	1085	2.23	1.56	0
46	SLU 29	2	-62	1084	2.27	1.56	0
46	SLU 30	2	-61	1085	2.23	1.56	0
46	SLU 31	2	-103	1249	3.91	1.91	0
46	SLU 32	2	-104	1248	3.98	1.91	0
46	SLU 33	2	-103	1249	3.94	1.91	0
46	SLU 34	2	-103	1249	3.91	1.91	0
46	SLU 35	2	-104	1248	3.98	1.91	0
46	SLU 36	2	-103	1249	3.94	1.91	0
46	SLU 37	2	-104	1248	3.98	1.91	0
46	SLU 38	2	-103	1249	3.94	1.91	0
46	SLU 39	2	-122	1318	4.71	2.06	0
46	SLU 40	2	-122	1319	4.67	2.06	0
46	SLU 41	2	-122	1318	4.71	2.06	0
46	SLU 42	2	-122	1319	4.67	2.06	0
46	SLU 43	2	-45	1272	1.52	1.73	0
46	SLU 44	2	-43	1273	1.45	1.73	0
46	SLU 45	2	-45	1272	1.52	1.73	0
46	SLU 46	2	-44	1273	1.48	1.73	0
46	SLU 47	2	-43	1273	1.45	1.73	0
46	SLU 48	2	-45	1272	1.52	1.73	0
46	SLU 49	2	-44	1273	1.48	1.73	0
46	SLU 50	2	-45	1272	1.52	1.73	0
46	SLU 51	2	-44	1273	1.48	1.73	0
46	SLU 52	2	-86	1437	3.16	2.08	0
46	SLU 53	2	-87	1436	3.23	2.08	0
46	SLU 54	2	-86	1437	3.19	2.08	0



Nodo Ind.	Cont. N.br.	Reazione a traslazione			Reazione a rotazione		
		x	y	z	x	y	z
46	SLU 55	2	-86	1437	3.16	2.08	0
46	SLU 56	2	-87	1436	3.23	2.08	0
46	SLU 57	2	-86	1437	3.19	2.08	0
46	SLU 58	2	-87	1436	3.23	2.08	0
46	SLU 59	2	-86	1437	3.19	2.08	0
46	SLU 60	2	-105	1506	3.96	2.23	0
46	SLU 61	2	-104	1507	3.92	2.23	0
46	SLU 62	2	-105	1506	3.96	2.23	0
46	SLU 63	2	-104	1507	3.92	2.23	0
46	SLU 64	2	-66	1356	2.39	1.91	0
46	SLU 65	2	-65	1357	2.32	1.91	0
46	SLU 66	2	-66	1356	2.39	1.91	0
46	SLU 67	2	-65	1356	2.35	1.91	0
46	SLU 68	2	-65	1357	2.32	1.91	0
46	SLU 69	2	-66	1356	2.39	1.91	0
46	SLU 70	2	-65	1356	2.35	1.91	0
46	SLU 71	2	-66	1356	2.39	1.91	0
46	SLU 72	2	-65	1356	2.35	1.91	0
46	SLU 73	2	-107	1521	4.03	2.26	0
46	SLU 74	2	-109	1519	4.1	2.26	0
46	SLU 75	2	-108	1520	4.06	2.26	0
46	SLU 76	2	-107	1521	4.03	2.26	0
46	SLU 77	2	-109	1519	4.1	2.26	0
46	SLU 78	2	-108	1520	4.06	2.26	0
46	SLU 79	2	-109	1519	4.1	2.26	0
46	SLU 80	2	-108	1520	4.06	2.26	0
46	SLU 81	2	-127	1590	4.83	2.41	0
46	SLU 82	2	-126	1590	4.79	2.41	0
46	SLU 83	2	-127	1590	4.83	2.41	0
46	SLU 84	2	-126	1590	4.79	2.41	0
46	SLE RA 1	1	-46	1024	1.65	1.43	0
46	SLE RA 2	1	-45	1025	1.6	1.43	0
46	SLE RA 3	1	-46	1024	1.65	1.43	0
46	SLE RA 4	1	-46	1025	1.62	1.43	0
46	SLE RA 5	1	-45	1025	1.6	1.43	0
46	SLE RA 6	1	-46	1024	1.65	1.43	0
46	SLE RA 7	1	-46	1025	1.62	1.43	0
46	SLE RA 8	1	-46	1024	1.65	1.43	0
46	SLE RA 9	1	-46	1025	1.62	1.43	0
46	SLE RA 10	2	-74	1134	2.74	1.67	0
46	SLE RA 11	2	-75	1134	2.79	1.66	0
46	SLE RA 12	2	-74	1134	2.76	1.66	0
46	SLE RA 13	2	-74	1134	2.74	1.67	0
46	SLE RA 14	2	-75	1134	2.79	1.66	0
46	SLE RA 15	2	-74	1134	2.76	1.66	0
46	SLE RA 16	2	-75	1134	2.79	1.66	0
46	SLE RA 17	2	-74	1134	2.76	1.66	0
46	SLE RA 18	2	-87	1180	3.27	1.77	0
46	SLE RA 19	2	-86	1181	3.25	1.77	0
46	SLE RA 20	2	-87	1180	3.27	1.77	0
46	SLE RA 21	2	-86	1181	3.25	1.77	0
46	SLE FR 1	1	-46	1024	1.65	1.43	0
46	SLE FR 2	1	-46	1025	1.64	1.43	0
46	SLE FR 3	1	-46	1024	1.65	1.43	0
46	SLE FR 4	2	-58	1071	2.13	1.53	0
46	SLE FR 5	2	-58	1071	2.14	1.53	0
46	SLE FR 6	2	-67	1102	2.46	1.6	0
46	SLE QP 1	1	-46	1024	1.65	1.43	0
46	SLE QP 2	2	-58	1071	2.14	1.53	0
46	SLD 1	7	46	985	-2.31	6.18	-0.01
46	SLD 2	7	46	985	-2.31	6.18	-0.01
46	SLD 3	5	-66	940	2.6	4.54	-0.01
46	SLD 4	5	-66	940	2.6	4.54	-0.01
46	SLD 5	7	144	1114	-6.65	5.4	0
46	SLD 6	7	144	1114	-6.65	5.4	0
46	SLD 7	-1	-232	963	9.73	-0.05	-0.01
46	SLD 8	-1	-232	963	9.73	-0.05	-0.01
46	SLD 9	4	115	1179	-5.45	3.1	0
46	SLD 10	4	115	1179	-5.45	3.1	0
46	SLD 11	-3	-261	1028	10.92	-2.35	0
46	SLD 12	-3	-261	1028	10.92	-2.35	0
46	SLD 13	-2	-50	1202	1.67	-1.49	0.01
46	SLD 14	-2	-50	1202	1.67	-1.49	0.01
46	SLD 15	-4	-163	1157	6.58	-3.12	0
46	SLD 16	-4	-163	1157	6.58	-3.12	0
46	SLV 1	15	189	866	-8.35	12.85	-0.01
46	SLV 2	15	189	866	-8.35	12.85	-0.01
46	SLV 3	10	-76	758	3.2	8.89	-0.02
46	SLV 4	10	-76	758	3.2	8.89	-0.02
46	SLV 5	14	418	1175	-18.52	10.93	0
46	SLV 6	14	418	1175	-18.52	10.93	0
46	SLV 7	-4	-466	812	19.97	-2.27	-0.02
46	SLV 8	-4	-466	812	19.97	-2.27	-0.02
46	SLV 9	7	349	1330	-15.7	5.33	0.01
46	SLV 10	7	349	1330	-15.7	5.33	0.01
46	SLV 11	-11	-534	968	22.79	-7.87	-0.01
46	SLV 12	-11	-534	968	22.79	-7.87	-0.01
46	SLV 13	-7	-41	1385	1.07	-5.83	0.02



Nodo Ind.	Cont. N.br.	Reazione a traslazione			Reazione a rotazione		
		x	y	z	x	y	z
46	SLV 14	-7	-41	1385	1.07	-5.83	0.02
46	SLV 15	-12	-306	1276	12.62	-9.79	0.01
46	SLV 16	-12	-306	1276	12.62	-9.79	0.01
47	SLU 1	0	-63	197	1.23	-0.02	0
47	SLU 2	0	-63	196	1.21	-0.01	0
47	SLU 3	0	-63	197	1.23	-0.02	0
47	SLU 4	0	-63	196	1.22	-0.01	0
47	SLU 5	0	-63	196	1.21	-0.01	0
47	SLU 6	0	-63	197	1.23	-0.02	0
47	SLU 7	0	-63	196	1.22	-0.01	0
47	SLU 8	0	-63	197	1.23	-0.02	0
47	SLU 9	0	-63	196	1.22	-0.01	0
47	SLU 10	0	-59	136	1.07	0	0
47	SLU 11	0	-59	138	1.09	-0.01	0
47	SLU 12	0	-59	137	1.08	-0.01	0
47	SLU 13	0	-59	136	1.07	0	0
47	SLU 14	0	-59	138	1.09	-0.01	0
47	SLU 15	0	-59	137	1.08	-0.01	0
47	SLU 16	0	-59	138	1.09	-0.01	0
47	SLU 17	0	-59	137	1.08	-0.01	0
47	SLU 18	0	-58	112	1.03	-0.01	0
47	SLU 19	0	-58	111	1.02	0	0
47	SLU 20	0	-58	112	1.03	-0.01	0
47	SLU 21	0	-58	111	1.02	0	0
47	SLU 22	0	-61	167	1.15	-0.01	0
47	SLU 23	0	-61	165	1.14	0	0
47	SLU 24	0	-61	167	1.15	-0.01	0
47	SLU 25	0	-61	166	1.14	-0.01	0
47	SLU 26	0	-61	165	1.14	0	0
47	SLU 27	0	-61	167	1.15	-0.01	0
47	SLU 28	0	-61	166	1.14	-0.01	0
47	SLU 29	0	-61	167	1.15	-0.01	0
47	SLU 30	0	-61	166	1.14	-0.01	0
47	SLU 31	0	-57	106	1	0	0
47	SLU 32	0	-57	107	1.02	-0.01	0
47	SLU 33	0	-57	107	1.01	0	0
47	SLU 34	0	-57	106	1	0	0
47	SLU 35	0	-57	107	1.02	-0.01	0
47	SLU 36	0	-57	107	1.01	0	0
47	SLU 37	0	-57	107	1.02	-0.01	0
47	SLU 38	0	-57	107	1.01	0	0
47	SLU 39	0	-56	82	0.96	-0.01	0
47	SLU 40	0	-56	81	0.95	0	0
47	SLU 41	0	-56	82	0.96	-0.01	0
47	SLU 42	0	-56	81	0.95	0	0
47	SLU 43	0	-82	266	1.62	-0.02	0
47	SLU 44	0	-82	265	1.6	-0.01	0
47	SLU 45	0	-82	266	1.62	-0.02	0
47	SLU 46	0	-82	266	1.61	-0.02	0
47	SLU 47	0	-82	265	1.6	-0.01	0
47	SLU 48	0	-82	266	1.62	-0.02	0
47	SLU 49	0	-82	266	1.61	-0.02	0
47	SLU 50	0	-82	266	1.62	-0.02	0
47	SLU 51	0	-82	266	1.61	-0.02	0
47	SLU 52	0	-78	206	1.46	-0.01	0
47	SLU 53	0	-79	207	1.48	-0.02	0
47	SLU 54	0	-79	206	1.47	-0.01	0
47	SLU 55	0	-78	206	1.46	-0.01	0
47	SLU 56	0	-79	207	1.48	-0.02	0
47	SLU 57	0	-79	206	1.47	-0.01	0
47	SLU 58	0	-79	207	1.48	-0.02	0
47	SLU 59	0	-79	206	1.47	-0.01	0
47	SLU 60	0	-77	182	1.42	-0.02	0
47	SLU 61	0	-77	181	1.41	-0.01	0
47	SLU 62	0	-77	182	1.42	-0.02	0
47	SLU 63	0	-77	181	1.41	-0.01	0
47	SLU 64	0	-81	236	1.55	-0.02	0
47	SLU 65	0	-80	235	1.53	-0.01	0
47	SLU 66	0	-81	236	1.55	-0.02	0
47	SLU 67	0	-80	235	1.54	-0.01	0
47	SLU 68	0	-80	235	1.53	-0.01	0
47	SLU 69	0	-81	236	1.55	-0.02	0
47	SLU 70	0	-80	235	1.54	-0.01	0
47	SLU 71	0	-81	236	1.55	-0.02	0
47	SLU 72	0	-80	235	1.54	-0.01	0
47	SLU 73	0	-77	176	1.39	0	0
47	SLU 74	0	-77	177	1.41	-0.01	0
47	SLU 75	0	-77	176	1.4	-0.01	0
47	SLU 76	0	-77	176	1.39	0	0
47	SLU 77	0	-77	177	1.41	-0.01	0
47	SLU 78	0	-77	176	1.4	-0.01	0
47	SLU 79	0	-77	177	1.41	-0.01	0
47	SLU 80	0	-77	176	1.4	-0.01	0
47	SLU 81	0	-75	151	1.35	-0.01	0
47	SLU 82	0	-75	151	1.34	-0.01	0
47	SLU 83	0	-75	151	1.35	-0.01	0
47	SLU 84	0	-75	151	1.34	-0.01	0
47	SLE RA 1	0	-62	188	1.2	-0.02	0



Nodo Ind.	Cont. N.br.	Reazione a traslazione			Reazione a rotazione		
		x	y	z	x	y	z
47	SLE RA 2	0	-62	187	1.19	-0.01	0
47	SLE RA 3	0	-62	188	1.2	-0.02	0
47	SLE RA 4	0	-62	188	1.2	-0.01	0
47	SLE RA 5	0	-62	187	1.19	-0.01	0
47	SLE RA 6	0	-62	188	1.2	-0.02	0
47	SLE RA 7	0	-62	188	1.2	-0.01	0
47	SLE RA 8	0	-62	188	1.2	-0.02	0
47	SLE RA 9	0	-62	188	1.2	-0.01	0
47	SLE RA 10	0	-60	148	1.1	-0.01	0
47	SLE RA 11	0	-60	149	1.11	-0.01	0
47	SLE RA 12	0	-60	148	1.11	-0.01	0
47	SLE RA 13	0	-60	148	1.1	-0.01	0
47	SLE RA 14	0	-60	149	1.11	-0.01	0
47	SLE RA 15	0	-60	148	1.11	-0.01	0
47	SLE RA 16	0	-60	149	1.11	-0.01	0
47	SLE RA 17	0	-60	148	1.11	-0.01	0
47	SLE RA 18	0	-59	132	1.07	-0.01	0
47	SLE RA 19	0	-59	131	1.07	-0.01	0
47	SLE RA 20	0	-59	132	1.07	-0.01	0
47	SLE RA 21	0	-59	131	1.07	-0.01	0
47	SLE FR 1	0	-62	188	1.2	-0.02	0
47	SLE FR 2	0	-62	188	1.2	-0.01	0
47	SLE FR 3	0	-62	188	1.2	-0.02	0
47	SLE FR 4	0	-61	171	1.16	-0.01	0
47	SLE FR 5	0	-61	171	1.17	-0.01	0
47	SLE FR 6	0	-61	160	1.14	-0.01	0
47	SLE QP 1	0	-62	188	1.2	-0.02	0
47	SLE QP 2	0	-61	171	1.17	-0.01	0
47	SLD 1	-9	-38	92	0.19	-2.21	-0.6
47	SLD 2	-9	-38	92	0.19	-2.21	-0.6
47	SLD 3	-6	-232	778	7.15	-3.66	-0.36
47	SLD 4	-6	-232	778	7.15	-3.66	-0.36
47	SLD 5	-8	241	-893	-9.68	1.52	-0.54
47	SLD 6	-8	241	-893	-9.68	1.52	-0.54
47	SLD 7	4	-408	1394	13.51	-3.31	0.24
47	SLD 8	4	-408	1394	13.51	-3.31	0.24
47	SLD 9	-4	285	-1051	-11.18	3.28	-0.25
47	SLD 10	-4	285	-1051	-11.18	3.28	-0.25
47	SLD 11	8	-363	1235	12.01	-1.55	0.53
47	SLD 12	8	-363	1235	12.01	-1.55	0.53
47	SLD 13	6	110	-436	-4.82	3.63	0.36
47	SLD 14	6	110	-436	-4.82	3.63	0.36
47	SLD 15	9	-85	250	2.14	2.18	0.59
47	SLD 16	9	-85	250	2.14	2.18	0.59
47	SLV 1	-23	-14	15	-0.89	-5.61	-1.49
47	SLV 2	-23	-14	15	-0.89	-5.61	-1.49
47	SLV 3	-14	-472	1627	15.5	-9.14	-0.92
47	SLV 4	-14	-472	1627	15.5	-9.14	-0.92
47	SLV 5	-20	646	-2319	-24.31	3.67	-1.32
47	SLV 6	-20	646	-2319	-24.31	3.67	-1.32
47	SLV 7	9	-878	3052	30.33	-8.11	0.59
47	SLV 8	9	-878	3052	30.33	-8.11	0.59
47	SLV 9	-9	755	-2709	-28	8.08	-0.6
47	SLV 10	-9	755	-2709	-28	8.08	-0.6
47	SLV 11	20	-769	2662	26.64	-3.7	1.31
47	SLV 12	20	-769	2662	26.64	-3.7	1.31
47	SLV 13	14	349	-1284	-13.17	9.11	0.91
47	SLV 14	14	349	-1284	-13.17	9.11	0.91
47	SLV 15	23	-108	327	3.22	5.58	1.48
47	SLV 16	23	-108	327	3.22	5.58	1.48
48	SLU 1	0	-63	198	1.21	-0.04	-0.01
48	SLU 2	0	-62	197	1.19	-0.05	-0.01
48	SLU 3	0	-63	198	1.21	-0.04	-0.01
48	SLU 4	0	-62	197	1.19	-0.04	-0.01
48	SLU 5	0	-62	197	1.19	-0.05	-0.01
48	SLU 6	0	-63	198	1.21	-0.04	-0.01
48	SLU 7	0	-62	197	1.19	-0.04	-0.01
48	SLU 8	0	-63	198	1.21	-0.04	-0.01
48	SLU 9	0	-62	197	1.19	-0.04	-0.01
48	SLU 10	0	-59	137	1.07	-0.06	-0.01
48	SLU 11	0	-59	139	1.09	-0.05	-0.01
48	SLU 12	0	-59	138	1.07	-0.06	-0.01
48	SLU 13	0	-59	137	1.07	-0.06	-0.01
48	SLU 14	0	-59	139	1.09	-0.05	-0.01
48	SLU 15	0	-59	138	1.07	-0.06	-0.01
48	SLU 16	0	-59	139	1.09	-0.05	-0.01
48	SLU 17	0	-59	138	1.07	-0.06	-0.01
48	SLU 18	0	-58	114	1.03	-0.06	-0.01
48	SLU 19	0	-58	113	1.02	-0.06	-0.01
48	SLU 20	0	-58	114	1.03	-0.06	-0.01
48	SLU 21	0	-58	113	1.02	-0.06	-0.01
48	SLU 22	0	-61	168	1.14	-0.04	-0.01
48	SLU 23	0	-61	166	1.12	-0.06	-0.01
48	SLU 24	0	-61	168	1.14	-0.04	-0.01
48	SLU 25	0	-61	167	1.13	-0.05	-0.01
48	SLU 26	0	-61	166	1.12	-0.06	-0.01
48	SLU 27	0	-61	168	1.14	-0.04	-0.01
48	SLU 28	0	-61	167	1.13	-0.05	-0.01



Nodo Ind.	Cont. N.br.	Reazione a traslazione			Reazione a rotazione		
		x	y	z	x	y	z
48	SLU 29	0	-61	168	1.14	-0.04	-0.01
48	SLU 30	0	-61	167	1.13	-0.05	-0.01
48	SLU 31	0	-57	107	1	-0.07	-0.01
48	SLU 32	0	-58	109	1.02	-0.06	-0.01
48	SLU 33	0	-58	108	1.01	-0.06	-0.01
48	SLU 34	0	-57	107	1	-0.07	-0.01
48	SLU 35	0	-58	109	1.02	-0.06	-0.01
48	SLU 36	0	-58	108	1.01	-0.06	-0.01
48	SLU 37	0	-58	109	1.02	-0.06	-0.01
48	SLU 38	0	-58	108	1.01	-0.06	-0.01
48	SLU 39	0	-57	84	0.97	-0.06	-0.01
48	SLU 40	0	-56	83	0.96	-0.07	-0.01
48	SLU 41	0	-57	84	0.97	-0.06	-0.01
48	SLU 42	0	-56	83	0.96	-0.07	-0.01
48	SLU 43	0	-82	268	1.59	-0.05	-0.01
48	SLU 44	0	-81	267	1.57	-0.06	-0.01
48	SLU 45	0	-82	268	1.59	-0.05	-0.01
48	SLU 46	0	-82	267	1.58	-0.05	-0.01
48	SLU 47	0	-81	267	1.57	-0.06	-0.01
48	SLU 48	0	-82	268	1.59	-0.05	-0.01
48	SLU 49	0	-82	267	1.58	-0.05	-0.01
48	SLU 50	0	-82	268	1.59	-0.05	-0.01
48	SLU 51	0	-82	267	1.58	-0.05	-0.01
48	SLU 52	0	-78	207	1.45	-0.07	-0.01
48	SLU 53	0	-79	209	1.47	-0.06	-0.01
48	SLU 54	0	-79	208	1.46	-0.07	-0.01
48	SLU 55	0	-78	207	1.45	-0.07	-0.01
48	SLU 56	0	-79	209	1.47	-0.06	-0.01
48	SLU 57	0	-79	208	1.46	-0.07	-0.01
48	SLU 58	0	-79	209	1.47	-0.06	-0.01
48	SLU 59	0	-79	208	1.46	-0.07	-0.01
48	SLU 60	0	-77	184	1.42	-0.06	-0.01
48	SLU 61	0	-77	183	1.4	-0.07	-0.01
48	SLU 62	0	-77	184	1.42	-0.06	-0.01
48	SLU 63	0	-77	183	1.4	-0.07	-0.01
48	SLU 64	0	-80	238	1.53	-0.05	-0.01
48	SLU 65	0	-80	236	1.51	-0.06	-0.01
48	SLU 66	0	-80	238	1.53	-0.05	-0.01
48	SLU 67	0	-80	237	1.51	-0.06	-0.01
48	SLU 68	0	-80	236	1.51	-0.06	-0.01
48	SLU 69	0	-80	238	1.53	-0.05	-0.01
48	SLU 70	0	-80	237	1.51	-0.06	-0.01
48	SLU 71	0	-80	238	1.53	-0.05	-0.01
48	SLU 72	0	-80	237	1.51	-0.06	-0.01
48	SLU 73	0	-77	177	1.39	-0.08	-0.01
48	SLU 74	0	-77	179	1.41	-0.07	-0.01
48	SLU 75	0	-77	178	1.39	-0.07	-0.01
48	SLU 76	0	-77	177	1.39	-0.08	-0.01
48	SLU 77	0	-77	179	1.41	-0.07	-0.01
48	SLU 78	0	-77	178	1.39	-0.07	-0.01
48	SLU 79	0	-77	179	1.41	-0.07	-0.01
48	SLU 80	0	-77	178	1.39	-0.07	-0.01
48	SLU 81	0	-76	153	1.36	-0.07	-0.01
48	SLU 82	0	-76	152	1.34	-0.08	-0.01
48	SLU 83	0	-76	153	1.36	-0.07	-0.01
48	SLU 84	0	-76	152	1.34	-0.08	-0.01
48	SLE RA 1	0	-62	190	1.19	-0.04	-0.01
48	SLE RA 2	0	-62	189	1.17	-0.05	-0.01
48	SLE RA 3	0	-62	190	1.19	-0.04	-0.01
48	SLE RA 4	0	-62	189	1.18	-0.04	-0.01
48	SLE RA 5	0	-62	189	1.17	-0.05	-0.01
48	SLE RA 6	0	-62	190	1.19	-0.04	-0.01
48	SLE RA 7	0	-62	189	1.18	-0.04	-0.01
48	SLE RA 8	0	-62	190	1.19	-0.04	-0.01
48	SLE RA 9	0	-62	189	1.18	-0.04	-0.01
48	SLE RA 10	0	-60	149	1.09	-0.06	-0.01
48	SLE RA 11	0	-60	150	1.11	-0.05	-0.01
48	SLE RA 12	0	-60	150	1.1	-0.05	-0.01
48	SLE RA 13	0	-60	149	1.09	-0.06	-0.01
48	SLE RA 14	0	-60	150	1.11	-0.05	-0.01
48	SLE RA 15	0	-60	150	1.1	-0.05	-0.01
48	SLE RA 16	0	-60	150	1.11	-0.05	-0.01
48	SLE RA 17	0	-60	150	1.1	-0.05	-0.01
48	SLE RA 18	0	-59	133	1.07	-0.05	-0.01
48	SLE RA 19	0	-59	133	1.07	-0.06	-0.01
48	SLE RA 20	0	-59	133	1.07	-0.05	-0.01
48	SLE RA 21	0	-59	133	1.07	-0.06	-0.01
48	SLE FR 1	0	-62	190	1.19	-0.04	-0.01
48	SLE FR 2	0	-62	189	1.19	-0.04	-0.01
48	SLE FR 3	0	-62	190	1.19	-0.04	-0.01
48	SLE FR 4	0	-61	173	1.15	-0.04	-0.01
48	SLE FR 5	0	-61	173	1.15	-0.04	-0.01
48	SLE FR 6	0	-61	161	1.13	-0.04	-0.01
48	SLE QP 1	0	-62	190	1.19	-0.04	-0.01
48	SLE QP 2	0	-61	173	1.15	-0.04	-0.01
48	SLD 1	-11	70	-293	-3.56	-4.55	-0.74
48	SLD 2	-11	70	-293	-3.56	-4.55	-0.74
48	SLD 3	-5	-107	331	2.7	-2.12	-0.34



Nodo Ind.	Cont. N.br.	Reazione a traslazione			Reazione a rotazione		
		x	y	z	x	y	z
48	SLD 4	-5	-107	331	2.7	-2.12	-0.34
48	SLD 5	-13	246	-912	-9.74	-5.08	-0.83
48	SLD 6	-13	246	-912	-9.74	-5.08	-0.83
48	SLD 7	8	-343	1166	11.1	3.03	0.49
48	SLD 8	8	-343	1166	11.1	3.03	0.49
48	SLD 9	-8	220	-820	-8.79	-3.11	-0.51
48	SLD 10	-8	220	-820	-8.79	-3.11	-0.51
48	SLD 11	13	-369	1258	12.05	5	0.81
48	SLD 12	13	-369	1258	12.05	5	0.81
48	SLD 13	5	-16	15	-0.39	2.03	0.33
48	SLD 14	5	-16	15	-0.39	2.03	0.33
48	SLD 15	11	-193	638	5.86	4.47	0.73
48	SLD 16	11	-193	638	5.86	4.47	0.73
48	SLV 1	-29	249	-924	-10.01	-11.39	-1.85
48	SLV 2	-29	249	-924	-10.01	-11.39	-1.85
48	SLV 3	-14	-168	544	4.79	-5.37	-0.87
48	SLV 4	-14	-168	544	4.79	-5.37	-0.87
48	SLV 5	-31	663	-2384	-24.64	-12.58	-2.04
48	SLV 6	-31	663	-2384	-24.64	-12.58	-2.04
48	SLV 7	19	-725	2512	24.69	7.49	1.22
48	SLV 8	19	-725	2512	24.69	7.49	1.22
48	SLV 9	-19	603	-2166	-22.39	-7.58	-1.23
48	SLV 10	-19	603	-2166	-22.39	-7.58	-1.23
48	SLV 11	31	-786	2730	26.95	12.49	2.03
48	SLV 12	31	-786	2730	26.95	12.49	2.03
48	SLV 13	13	45	-199	-2.49	5.28	0.86
48	SLV 14	13	45	-199	-2.49	5.28	0.86
48	SLV 15	28	-371	1270	12.31	11.3	1.84
48	SLV 16	28	-371	1270	12.31	11.3	1.84
49	SLU 1	-8	55	1510	-2.57	-5.34	0
49	SLU 2	-8	67	1511	-3.05	-5.66	0
49	SLU 3	-8	55	1510	-2.57	-5.34	0
49	SLU 4	-8	62	1511	-2.86	-5.53	0
49	SLU 5	-8	67	1511	-3.05	-5.66	0
49	SLU 6	-8	55	1510	-2.57	-5.34	0
49	SLU 7	-8	62	1511	-2.86	-5.53	0
49	SLU 8	-8	55	1510	-2.57	-5.34	0
49	SLU 9	-8	62	1511	-2.86	-5.53	0
49	SLU 10	-10	57	1657	-2.7	-6.53	0
49	SLU 11	-9	44	1656	-2.22	-6.21	0
49	SLU 12	-9	52	1656	-2.51	-6.4	0
49	SLU 13	-10	57	1657	-2.7	-6.53	0
49	SLU 14	-9	44	1656	-2.22	-6.21	0
49	SLU 15	-9	52	1656	-2.51	-6.4	0
49	SLU 16	-9	44	1656	-2.22	-6.21	0
49	SLU 17	-9	52	1656	-2.51	-6.4	0
49	SLU 18	-10	40	1718	-2.07	-6.58	0
49	SLU 19	-10	47	1719	-2.36	-6.77	0
49	SLU 20	-10	40	1718	-2.07	-6.58	0
49	SLU 21	-10	47	1719	-2.36	-6.77	0
49	SLU 22	-9	50	1584	-2.39	-5.78	0
49	SLU 23	-9	62	1585	-2.87	-6.1	0
49	SLU 24	-9	50	1584	-2.39	-5.78	0
49	SLU 25	-9	57	1585	-2.68	-5.97	0
49	SLU 26	-9	62	1585	-2.87	-6.1	0
49	SLU 27	-9	50	1584	-2.39	-5.78	0
49	SLU 28	-9	57	1585	-2.68	-5.97	0
49	SLU 29	-9	50	1584	-2.39	-5.78	0
49	SLU 30	-9	57	1585	-2.68	-5.97	0
49	SLU 31	-10	51	1731	-2.52	-6.97	0
49	SLU 32	-10	39	1730	-2.04	-6.65	0
49	SLU 33	-10	46	1731	-2.33	-6.84	0
49	SLU 34	-10	51	1731	-2.52	-6.97	0
49	SLU 35	-10	39	1730	-2.04	-6.65	0
49	SLU 36	-10	46	1731	-2.33	-6.84	0
49	SLU 37	-10	39	1730	-2.04	-6.65	0
49	SLU 38	-10	46	1731	-2.33	-6.84	0
49	SLU 39	-10	34	1793	-1.89	-7.03	0
49	SLU 40	-11	41	1793	-2.18	-7.22	0
49	SLU 41	-10	34	1793	-1.89	-7.03	0
49	SLU 42	-11	41	1793	-2.18	-7.22	0
49	SLU 43	-10	74	1938	-3.4	-6.79	0
49	SLU 44	-10	86	1938	-3.89	-7.11	0
49	SLU 45	-10	74	1938	-3.4	-6.79	0
49	SLU 46	-10	81	1938	-3.69	-6.98	0
49	SLU 47	-10	86	1938	-3.89	-7.11	0
49	SLU 48	-10	74	1938	-3.4	-6.79	0
49	SLU 49	-10	81	1938	-3.69	-6.98	0
49	SLU 50	-10	74	1938	-3.4	-6.79	0
49	SLU 51	-10	81	1938	-3.69	-6.98	0
49	SLU 52	-12	75	2084	-3.54	-7.98	0
49	SLU 53	-11	63	2083	-3.06	-7.66	0
49	SLU 54	-12	70	2084	-3.35	-7.85	0
49	SLU 55	-12	75	2084	-3.54	-7.98	0
49	SLU 56	-11	63	2083	-3.06	-7.66	0
49	SLU 57	-12	70	2084	-3.35	-7.85	0
49	SLU 58	-11	63	2083	-3.06	-7.66	0
49	SLU 59	-12	70	2084	-3.35	-7.85	0



Nodo Ind.	Cont. N.br.	Reazione a traslazione			Reazione a rotazione		
		x	y	z	x	y	z
49	SLU 60	-12	58	2146	-2.91	-8.03	0
49	SLU 61	-12	65	2146	-3.2	-8.22	0
49	SLU 62	-12	58	2146	-2.91	-8.03	0
49	SLU 63	-12	65	2146	-3.2	-8.22	0
49	SLU 64	-11	68	2012	-3.22	-7.23	0
49	SLU 65	-11	80	2013	-3.7	-7.55	0
49	SLU 66	-11	68	2012	-3.22	-7.23	0
49	SLU 67	-11	75	2012	-3.51	-7.42	0
49	SLU 68	-11	80	2013	-3.7	-7.55	0
49	SLU 69	-11	68	2012	-3.22	-7.23	0
49	SLU 70	-11	75	2012	-3.51	-7.42	0
49	SLU 71	-11	68	2012	-3.22	-7.23	0
49	SLU 72	-11	75	2012	-3.51	-7.42	0
49	SLU 73	-12	69	2159	-3.36	-8.42	0
49	SLU 74	-12	57	2158	-2.88	-8.1	0
49	SLU 75	-12	64	2158	-3.16	-8.29	0
49	SLU 76	-12	69	2159	-3.36	-8.42	0
49	SLU 77	-12	57	2158	-2.88	-8.1	0
49	SLU 78	-12	64	2158	-3.16	-8.29	0
49	SLU 79	-12	57	2158	-2.88	-8.1	0
49	SLU 80	-12	64	2158	-3.16	-8.29	0
49	SLU 81	-13	53	2220	-2.73	-8.48	0
49	SLU 82	-13	60	2221	-3.01	-8.67	0
49	SLU 83	-13	53	2220	-2.73	-8.48	0
49	SLU 84	-13	60	2221	-3.01	-8.67	0
49	SLE RA 1	-8	54	1531	-2.52	-5.47	0
49	SLE RA 2	-8	62	1532	-2.84	-5.68	0
49	SLE RA 3	-8	54	1531	-2.52	-5.47	0
49	SLE RA 4	-8	58	1532	-2.71	-5.59	0
49	SLE RA 5	-8	62	1532	-2.84	-5.68	0
49	SLE RA 6	-8	54	1531	-2.52	-5.47	0
49	SLE RA 7	-8	58	1532	-2.71	-5.59	0
49	SLE RA 8	-8	54	1531	-2.52	-5.47	0
49	SLE RA 9	-8	58	1532	-2.71	-5.59	0
49	SLE RA 10	-9	54	1629	-2.61	-6.26	0
49	SLE RA 11	-9	46	1628	-2.29	-6.05	0
49	SLE RA 12	-9	51	1629	-2.48	-6.17	0
49	SLE RA 13	-9	54	1629	-2.61	-6.26	0
49	SLE RA 14	-9	46	1628	-2.29	-6.05	0
49	SLE RA 15	-9	51	1629	-2.48	-6.17	0
49	SLE RA 16	-9	46	1628	-2.29	-6.05	0
49	SLE RA 17	-9	51	1629	-2.48	-6.17	0
49	SLE RA 18	-9	43	1670	-2.19	-6.29	0
49	SLE RA 19	-10	48	1670	-2.38	-6.42	0
49	SLE RA 20	-9	43	1670	-2.19	-6.29	0
49	SLE RA 21	-10	48	1670	-2.38	-6.42	0
49	SLE FR 1	-8	54	1531	-2.52	-5.47	0
49	SLE FR 2	-8	55	1531	-2.58	-5.51	0
49	SLE FR 3	-8	54	1531	-2.52	-5.47	0
49	SLE FR 4	-9	52	1573	-2.48	-5.76	0
49	SLE FR 5	-9	50	1573	-2.42	-5.71	0
49	SLE FR 6	-9	48	1601	-2.35	-5.88	0
49	SLE QP 1	-8	54	1531	-2.52	-5.47	0
49	SLE QP 2	-9	50	1573	-2.42	-5.71	0
49	SLD 1	-5	48	1712	-2.37	-2.27	-0.01
49	SLD 2	-5	48	1712	-2.37	-2.27	-0.01
49	SLD 3	2	-53	1640	2.12	3.93	0
49	SLD 4	2	-53	1640	2.12	3.93	0
49	SLD 5	-19	202	1725	-9.21	-14.09	-0.01
49	SLD 6	-19	202	1725	-9.21	-14.09	-0.01
49	SLD 7	6	-133	1483	5.75	6.59	0
49	SLD 8	6	-133	1483	5.75	6.59	0
49	SLD 9	-23	234	1663	-10.59	-18.01	0
49	SLD 10	-23	234	1663	-10.59	-18.01	0
49	SLD 11	2	-101	1421	4.37	2.66	0.01
49	SLD 12	2	-101	1421	4.37	2.66	0.01
49	SLD 13	-19	154	1506	-6.96	-15.36	0
49	SLD 14	-19	154	1506	-6.96	-15.36	0
49	SLD 15	-12	53	1434	-2.47	-9.16	0.01
49	SLD 16	-12	53	1434	-2.47	-9.16	0.01
49	SLV 1	0	43	1901	-2.24	2.56	-0.01
49	SLV 2	0	43	1901	-2.24	2.56	-0.01
49	SLV 3	17	-195	1730	8.37	17.36	0
49	SLV 4	17	-195	1730	8.37	17.36	0
49	SLV 5	-33	410	1931	-18.47	-25.69	-0.02
49	SLV 6	-33	410	1931	-18.47	-25.69	-0.02
49	SLV 7	26	-384	1360	16.92	23.66	0.01
49	SLV 8	26	-384	1360	16.92	23.66	0.01
49	SLV 9	-43	485	1785	-21.76	-35.09	-0.01
49	SLV 10	-43	485	1785	-21.76	-35.09	-0.01
49	SLV 11	15	-309	1215	13.63	14.26	0.02
49	SLV 12	15	-309	1215	13.63	14.26	0.02
49	SLV 13	-35	296	1416	-13.21	-28.79	0.01
49	SLV 14	-35	296	1416	-13.21	-28.79	0.01
49	SLV 15	-17	58	1245	-2.6	-13.99	0.01
49	SLV 16	-17	58	1245	-2.6	-13.99	0.01
50	SLU 1	0	108	1750	-4.45	-0.02	0
50	SLU 2	0	124	1757	-5.09	0.34	0



Nodo Ind.	Cont. N.br.	Reazione a traslazione			Reazione a rotazione		
		x	y	z	x	y	z
50	SLU 3	0	108	1750	-4.45	-0.02	0
50	SLU 4	0	118	1754	-4.83	0.19	0
50	SLU 5	0	124	1757	-5.09	0.34	0
50	SLU 6	0	108	1750	-4.45	-0.02	0
50	SLU 7	0	118	1754	-4.83	0.19	0
50	SLU 8	0	108	1750	-4.45	-0.02	0
50	SLU 9	0	118	1754	-4.83	0.19	0
50	SLU 10	0	113	1943	-4.69	0.34	0
50	SLU 11	0	97	1936	-4.06	-0.03	0
50	SLU 12	0	107	1940	-4.44	0.19	0
50	SLU 13	0	113	1943	-4.69	0.34	0
50	SLU 14	0	97	1936	-4.06	-0.03	0
50	SLU 15	0	107	1940	-4.44	0.19	0
50	SLU 16	0	97	1936	-4.06	-0.03	0
50	SLU 17	0	107	1940	-4.44	0.19	0
50	SLU 18	0	93	2015	-3.89	-0.03	0
50	SLU 19	0	102	2019	-4.27	0.19	0
50	SLU 20	0	93	2015	-3.89	-0.03	0
50	SLU 21	0	102	2019	-4.27	0.19	0
50	SLU 22	0	103	1845	-4.25	-0.02	0
50	SLU 23	0	118	1852	-4.88	0.34	0
50	SLU 24	0	103	1845	-4.25	-0.02	0
50	SLU 25	0	112	1849	-4.63	0.19	0
50	SLU 26	0	118	1852	-4.88	0.34	0
50	SLU 27	0	103	1845	-4.25	-0.02	0
50	SLU 28	0	112	1849	-4.63	0.19	0
50	SLU 29	0	103	1845	-4.25	-0.02	0
50	SLU 30	0	112	1849	-4.63	0.19	0
50	SLU 31	0	107	2037	-4.49	0.33	0
50	SLU 32	0	92	2030	-3.86	-0.03	0
50	SLU 33	0	101	2035	-4.24	0.19	0
50	SLU 34	0	107	2037	-4.49	0.33	0
50	SLU 35	0	92	2030	-3.86	-0.03	0
50	SLU 36	0	101	2035	-4.24	0.19	0
50	SLU 37	0	92	2030	-3.86	-0.03	0
50	SLU 38	0	101	2035	-4.24	0.19	0
50	SLU 39	0	87	2110	-3.69	-0.03	0
50	SLU 40	0	96	2114	-4.07	0.19	0
50	SLU 41	0	87	2110	-3.69	-0.03	0
50	SLU 42	0	96	2114	-4.07	0.19	0
50	SLU 43	0	143	2243	-5.85	-0.03	0
50	SLU 44	0	158	2250	-6.49	0.33	0
50	SLU 45	0	143	2243	-5.85	-0.03	0
50	SLU 46	0	152	2247	-6.24	0.19	0
50	SLU 47	0	158	2250	-6.49	0.33	0
50	SLU 48	0	143	2243	-5.85	-0.03	0
50	SLU 49	0	152	2247	-6.24	0.19	0
50	SLU 50	0	143	2243	-5.85	-0.03	0
50	SLU 51	0	152	2247	-6.24	0.19	0
50	SLU 52	0	147	2435	-6.1	0.33	0
50	SLU 53	0	132	2428	-5.46	-0.03	0
50	SLU 54	0	141	2433	-5.84	0.18	0
50	SLU 55	0	147	2435	-6.1	0.33	0
50	SLU 56	0	132	2428	-5.46	-0.03	0
50	SLU 57	0	141	2433	-5.84	0.18	0
50	SLU 58	0	132	2428	-5.46	-0.03	0
50	SLU 59	0	141	2433	-5.84	0.18	0
50	SLU 60	0	127	2508	-5.3	-0.03	0
50	SLU 61	0	136	2512	-5.68	0.18	0
50	SLU 62	0	127	2508	-5.3	-0.03	0
50	SLU 63	0	136	2512	-5.68	0.18	0
50	SLU 64	0	137	2337	-5.65	-0.03	0
50	SLU 65	0	153	2344	-6.29	0.33	0
50	SLU 66	0	137	2337	-5.65	-0.03	0
50	SLU 67	0	146	2342	-6.03	0.19	0
50	SLU 68	0	153	2344	-6.29	0.33	0
50	SLU 69	0	137	2337	-5.65	-0.03	0
50	SLU 70	0	146	2342	-6.03	0.19	0
50	SLU 71	0	137	2337	-5.65	-0.03	0
50	SLU 72	0	146	2342	-6.03	0.19	0
50	SLU 73	0	142	2530	-5.9	0.33	0
50	SLU 74	0	126	2523	-5.26	-0.04	0
50	SLU 75	0	135	2527	-5.64	0.18	0
50	SLU 76	0	142	2530	-5.9	0.33	0
50	SLU 77	0	126	2523	-5.26	-0.04	0
50	SLU 78	0	135	2527	-5.64	0.18	0
50	SLU 79	0	126	2523	-5.26	-0.04	0
50	SLU 80	0	135	2527	-5.64	0.18	0
50	SLU 81	0	121	2603	-5.09	-0.04	0
50	SLU 82	0	131	2607	-5.47	0.18	0
50	SLU 83	0	121	2603	-5.09	-0.04	0
50	SLU 84	0	131	2607	-5.47	0.18	0
50	SLE RA 1	0	107	1777	-4.39	-0.02	0
50	SLE RA 2	0	117	1782	-4.82	0.22	0
50	SLE RA 3	0	107	1777	-4.39	-0.02	0
50	SLE RA 4	0	113	1780	-4.65	0.12	0
50	SLE RA 5	0	117	1782	-4.82	0.22	0
50	SLE RA 6	0	107	1777	-4.39	-0.02	0



Nodo Ind.	Cont. N.br.	Reazione a traslazione			Reazione a rotazione		
		x	y	z	x	y	z
50	SLE RA 7	0	113	1780	-4.65	0.12	0
50	SLE RA 8	0	107	1777	-4.39	-0.02	0
50	SLE RA 9	0	113	1780	-4.65	0.12	0
50	SLE RA 10	0	110	1906	-4.55	0.22	0
50	SLE RA 11	0	99	1901	-4.13	-0.03	0
50	SLE RA 12	0	106	1904	-4.39	0.12	0
50	SLE RA 13	0	110	1906	-4.55	0.22	0
50	SLE RA 14	0	99	1901	-4.13	-0.03	0
50	SLE RA 15	0	106	1904	-4.39	0.12	0
50	SLE RA 16	0	99	1901	-4.13	-0.03	0
50	SLE RA 17	0	106	1904	-4.39	0.12	0
50	SLE RA 18	0	96	1954	-4.02	-0.03	0
50	SLE RA 19	0	102	1957	-4.27	0.12	0
50	SLE RA 20	0	96	1954	-4.02	-0.03	0
50	SLE RA 21	0	102	1957	-4.27	0.12	0
50	SLE FR 1	0	107	1777	-4.39	-0.02	0
50	SLE FR 2	0	109	1778	-4.48	0.02	0
50	SLE FR 3	0	107	1777	-4.39	-0.02	0
50	SLE FR 4	0	106	1831	-4.36	0.02	0
50	SLE FR 5	0	103	1830	-4.28	-0.02	0
50	SLE FR 6	0	101	1866	-4.21	-0.03	0
50	SLE QP 1	0	107	1777	-4.39	-0.02	0
50	SLE QP 2	0	103	1830	-4.28	-0.02	0
50	SLD 1	18	221	1734	-9.3	17.92	-0.01
50	SLD 2	18	221	1734	-9.3	17.92	-0.01
50	SLD 3	9	103	1682	-4.29	8.78	-0.01
50	SLD 4	9	103	1682	-4.29	8.78	-0.01
50	SLD 5	20	318	1880	-13.38	19.22	0
50	SLD 6	20	318	1880	-13.38	19.22	0
50	SLD 7	-12	-76	1707	3.31	-11.24	-0.01
50	SLD 8	-12	-76	1707	3.31	-11.24	-0.01
50	SLD 9	12	283	1953	-11.87	11.19	0.01
50	SLD 10	12	283	1953	-11.87	11.19	0.01
50	SLD 11	-20	-111	1781	4.82	-19.27	0
50	SLD 12	-20	-111	1781	4.82	-19.27	0
50	SLD 13	-8	104	1978	-4.27	-8.83	0.01
50	SLD 14	-8	104	1978	-4.27	-8.83	0.01
50	SLD 15	-18	-14	1927	0.74	-17.97	0.01
50	SLD 16	-18	-14	1927	0.74	-17.97	0.01
50	SLV 1	45	384	1604	-16.25	44.17	-0.01
50	SLV 2	45	384	1604	-16.25	44.17	-0.01
50	SLV 3	21	101	1480	-4.28	21.48	-0.02
50	SLV 4	21	101	1480	-4.28	21.48	-0.02
50	SLV 5	50	616	1951	-26.02	47.64	0.01
50	SLV 6	50	616	1951	-26.02	47.64	0.01
50	SLV 7	-30	-326	1537	13.87	-27.97	-0.02
50	SLV 8	-30	-326	1537	13.87	-27.97	-0.02
50	SLV 9	30	533	2124	-22.43	27.92	0.02
50	SLV 10	30	533	2124	-22.43	27.92	0.02
50	SLV 11	-50	-409	1710	17.46	-47.68	-0.01
50	SLV 12	-50	-409	1710	17.46	-47.68	-0.01
50	SLV 13	-21	106	2181	-4.28	-21.53	0.02
50	SLV 14	-21	106	2181	-4.28	-21.53	0.02
50	SLV 15	-45	-177	2057	7.69	-44.22	0.01
50	SLV 16	-45	-177	2057	7.69	-44.22	0.01
51	SLU 1	2	-34	961	1.44	1.88	0
51	SLU 2	2	-33	963	1.37	1.89	0
51	SLU 3	2	-34	961	1.44	1.88	0
51	SLU 4	2	-33	962	1.4	1.89	0
51	SLU 5	2	-33	963	1.37	1.89	0
51	SLU 6	2	-34	961	1.44	1.88	0
51	SLU 7	2	-33	962	1.4	1.89	0
51	SLU 8	2	-34	961	1.44	1.88	0
51	SLU 9	2	-33	962	1.4	1.89	0
51	SLU 10	3	-60	1106	2.5	2.38	0
51	SLU 11	3	-62	1105	2.57	2.38	0
51	SLU 12	3	-61	1106	2.52	2.38	0
51	SLU 13	3	-60	1106	2.5	2.38	0
51	SLU 14	3	-62	1105	2.57	2.38	0
51	SLU 15	3	-61	1106	2.52	2.38	0
51	SLU 16	3	-62	1105	2.57	2.38	0
51	SLU 17	3	-61	1106	2.52	2.38	0
51	SLU 18	3	-74	1166	3.05	2.59	0
51	SLU 19	3	-73	1167	3.01	2.59	0
51	SLU 20	3	-74	1166	3.05	2.59	0
51	SLU 21	3	-73	1167	3.01	2.59	0
51	SLU 22	3	-49	1035	2.02	2.14	0
51	SLU 23	3	-47	1036	1.95	2.14	0
51	SLU 24	3	-49	1035	2.02	2.14	0
51	SLU 25	3	-48	1036	1.97	2.14	0
51	SLU 26	3	-47	1036	1.95	2.14	0
51	SLU 27	3	-49	1035	2.02	2.14	0
51	SLU 28	3	-48	1036	1.97	2.14	0
51	SLU 29	3	-49	1035	2.02	2.14	0
51	SLU 30	3	-48	1036	1.97	2.14	0
51	SLU 31	3	-75	1179	3.07	2.64	0
51	SLU 32	3	-76	1178	3.14	2.63	0
51	SLU 33	3	-75	1179	3.1	2.63	0



Nodo Ind.	Cont. N.br.	Reazione a traslazione			Reazione a rotazione		
		x	y	z	x	y	z
51	SLU 34	3	-75	1179	3.07	2.64	0
51	SLU 35	3	-76	1178	3.14	2.63	0
51	SLU 36	3	-75	1179	3.1	2.63	0
51	SLU 37	3	-76	1178	3.14	2.63	0
51	SLU 38	3	-75	1179	3.1	2.63	0
51	SLU 39	3	-88	1239	3.62	2.85	0
51	SLU 40	3	-87	1240	3.58	2.85	0
51	SLU 41	3	-88	1239	3.62	2.85	0
51	SLU 42	3	-87	1240	3.58	2.85	0
51	SLU 43	3	-40	1225	1.68	2.36	0
51	SLU 44	3	-38	1226	1.61	2.36	0
51	SLU 45	3	-40	1225	1.68	2.36	0
51	SLU 46	3	-39	1226	1.64	2.36	0
51	SLU 47	3	-38	1226	1.61	2.36	0
51	SLU 48	3	-40	1225	1.68	2.36	0
51	SLU 49	3	-39	1226	1.64	2.36	0
51	SLU 50	3	-40	1225	1.68	2.36	0
51	SLU 51	3	-39	1226	1.64	2.36	0
51	SLU 52	3	-66	1370	2.73	2.86	0
51	SLU 53	3	-68	1368	2.8	2.86	0
51	SLU 54	3	-67	1369	2.76	2.86	0
51	SLU 55	3	-66	1370	2.73	2.86	0
51	SLU 56	3	-68	1368	2.8	2.86	0
51	SLU 57	3	-67	1369	2.76	2.86	0
51	SLU 58	3	-68	1368	2.8	2.86	0
51	SLU 59	3	-67	1369	2.76	2.86	0
51	SLU 60	4	-80	1429	3.29	3.07	0
51	SLU 61	4	-79	1430	3.24	3.07	0
51	SLU 62	4	-80	1429	3.29	3.07	0
51	SLU 63	4	-79	1430	3.24	3.07	0
51	SLU 64	3	-54	1298	2.25	2.62	0
51	SLU 65	3	-52	1300	2.18	2.62	0
51	SLU 66	3	-54	1298	2.25	2.62	0
51	SLU 67	3	-53	1299	2.21	2.62	0
51	SLU 68	3	-52	1300	2.18	2.62	0
51	SLU 69	3	-54	1298	2.25	2.62	0
51	SLU 70	3	-53	1299	2.21	2.62	0
51	SLU 71	3	-54	1298	2.25	2.62	0
51	SLU 72	3	-53	1299	2.21	2.62	0
51	SLU 73	4	-80	1443	3.31	3.11	0
51	SLU 74	4	-82	1441	3.38	3.11	0
51	SLU 75	4	-81	1442	3.33	3.11	0
51	SLU 76	4	-80	1443	3.31	3.11	0
51	SLU 77	4	-82	1441	3.38	3.11	0
51	SLU 78	4	-81	1442	3.33	3.11	0
51	SLU 79	4	-82	1441	3.38	3.11	0
51	SLU 80	4	-81	1442	3.33	3.11	0
51	SLU 81	4	-94	1503	3.86	3.33	0
51	SLU 82	4	-93	1504	3.82	3.33	0
51	SLU 83	4	-94	1503	3.86	3.33	0
51	SLU 84	4	-93	1504	3.82	3.33	0
51	SLE RA 1	2	-38	982	1.61	1.96	0
51	SLE RA 2	2	-37	983	1.56	1.96	0
51	SLE RA 3	2	-38	982	1.61	1.96	0
51	SLE RA 4	2	-38	983	1.58	1.96	0
51	SLE RA 5	2	-37	983	1.56	1.96	0
51	SLE RA 6	2	-38	982	1.61	1.96	0
51	SLE RA 7	2	-38	983	1.58	1.96	0
51	SLE RA 8	2	-38	982	1.61	1.96	0
51	SLE RA 9	2	-38	983	1.58	1.96	0
51	SLE RA 10	3	-56	1079	2.31	2.29	0
51	SLE RA 11	3	-57	1078	2.36	2.29	0
51	SLE RA 12	3	-56	1078	2.33	2.29	0
51	SLE RA 13	3	-56	1079	2.31	2.29	0
51	SLE RA 14	3	-57	1078	2.36	2.29	0
51	SLE RA 15	3	-56	1078	2.33	2.29	0
51	SLE RA 16	3	-57	1078	2.36	2.29	0
51	SLE RA 17	3	-56	1078	2.33	2.29	0
51	SLE RA 18	3	-65	1119	2.68	2.43	0
51	SLE RA 19	3	-64	1119	2.65	2.43	0
51	SLE RA 20	3	-65	1119	2.68	2.43	0
51	SLE RA 21	3	-64	1119	2.65	2.43	0
51	SLE FR 1	2	-38	982	1.61	1.96	0
51	SLE FR 2	2	-38	983	1.6	1.96	0
51	SLE FR 3	2	-38	982	1.61	1.96	0
51	SLE FR 4	3	-46	1023	1.92	2.1	0
51	SLE FR 5	3	-46	1023	1.93	2.1	0
51	SLE FR 6	3	-52	1051	2.14	2.19	0
51	SLE QP 1	2	-38	982	1.61	1.96	0
51	SLE QP 2	3	-46	1023	1.93	2.1	0
51	SLD 1	8	55	907	-2.46	7.76	0
51	SLD 2	8	55	907	-2.46	7.76	0
51	SLD 3	7	-59	860	2.48	6.08	0
51	SLD 4	7	-59	860	2.48	6.08	0
51	SLD 5	7	157	1059	-6.88	6.33	0
51	SLD 6	7	157	1059	-6.88	6.33	0
51	SLD 7	1	-223	904	9.58	0.76	0
51	SLD 8	1	-223	904	9.58	0.76	0



Nodo Ind.	Cont. N.br.	Reazione a traslazione			Reazione a rotazione		
		x	y	z	x	y	z
51	SLD 9	4	131	1142	-5.72	3.44	0
51	SLD 10	4	131	1142	-5.72	3.44	0
51	SLD 11	-2	-250	988	10.73	-2.14	0
51	SLD 12	-2	-250	988	10.73	-2.14	0
51	SLD 13	-1	-34	1186	1.38	-1.88	0
51	SLD 14	-1	-34	1186	1.38	-1.88	0
51	SLD 15	-3	-148	1140	6.32	-3.56	0
51	SLD 16	-3	-148	1140	6.32	-3.56	0
51	SLV 1	17	193	747	-8.4	15.69	-0.01
51	SLV 2	17	193	747	-8.4	15.69	-0.01
51	SLV 3	12	-76	636	3.2	11.66	-0.01
51	SLV 4	12	-76	636	3.2	11.66	-0.01
51	SLV 5	14	432	1109	-18.76	12.29	0
51	SLV 6	14	432	1109	-18.76	12.29	0
51	SLV 7	-2	-462	739	19.9	-1.14	-0.01
51	SLV 8	-2	-462	739	19.9	-1.14	-0.01
51	SLV 9	7	369	1308	-16.04	5.34	0
51	SLV 10	7	369	1308	-16.04	5.34	0
51	SLV 11	-9	-525	937	22.61	-8.09	0
51	SLV 12	-9	-525	937	22.61	-8.09	0
51	SLV 13	-7	-17	1410	0.66	-7.46	0.01
51	SLV 14	-7	-17	1410	0.66	-7.46	0.01
51	SLV 15	-12	-285	1299	12.26	-11.49	0.01
51	SLV 16	-12	-285	1299	12.26	-11.49	0.01
52	SLU 1	-9	82	1459	-3.89	-6.13	0
52	SLU 2	-10	95	1461	-4.48	-6.54	0
52	SLU 3	-9	82	1459	-3.89	-6.13	0
52	SLU 4	-9	89	1460	-4.25	-6.38	0
52	SLU 5	-10	95	1461	-4.48	-6.54	0
52	SLU 6	-9	82	1459	-3.89	-6.13	0
52	SLU 7	-9	89	1460	-4.25	-6.38	0
52	SLU 8	-9	82	1459	-3.89	-6.13	0
52	SLU 9	-9	89	1460	-4.25	-6.38	0
52	SLU 10	-11	98	1588	-4.69	-7.53	0
52	SLU 11	-11	85	1586	-4.09	-7.12	0
52	SLU 12	-11	92	1587	-4.45	-7.36	0
52	SLU 13	-11	98	1588	-4.69	-7.53	0
52	SLU 14	-11	85	1586	-4.09	-7.12	0
52	SLU 15	-11	92	1587	-4.45	-7.36	0
52	SLU 16	-11	85	1586	-4.09	-7.12	0
52	SLU 17	-11	92	1587	-4.45	-7.36	0
52	SLU 18	-11	86	1640	-4.18	-7.54	0
52	SLU 19	-12	94	1641	-4.54	-7.79	0
52	SLU 20	-11	86	1640	-4.18	-7.54	0
52	SLU 21	-12	94	1641	-4.54	-7.79	0
52	SLU 22	-10	83	1523	-3.99	-6.63	0
52	SLU 23	-10	96	1525	-4.59	-7.04	0
52	SLU 24	-10	83	1523	-3.99	-6.63	0
52	SLU 25	-10	91	1525	-4.35	-6.88	0
52	SLU 26	-10	96	1525	-4.59	-7.04	0
52	SLU 27	-10	83	1523	-3.99	-6.63	0
52	SLU 28	-10	91	1525	-4.35	-6.88	0
52	SLU 29	-10	83	1523	-3.99	-6.63	0
52	SLU 30	-10	91	1525	-4.35	-6.88	0
52	SLU 31	-12	99	1653	-4.79	-8.03	0
52	SLU 32	-11	86	1651	-4.2	-7.62	0
52	SLU 33	-12	94	1652	-4.55	-7.87	0
52	SLU 34	-12	99	1653	-4.79	-8.03	0
52	SLU 35	-11	86	1651	-4.2	-7.62	0
52	SLU 36	-12	94	1652	-4.55	-7.87	0
52	SLU 37	-11	86	1651	-4.2	-7.62	0
52	SLU 38	-12	94	1652	-4.55	-7.87	0
52	SLU 39	-12	87	1705	-4.28	-8.04	0
52	SLU 40	-12	95	1706	-4.64	-8.29	0
52	SLU 41	-12	87	1705	-4.28	-8.04	0
52	SLU 42	-12	95	1706	-4.64	-8.29	0
52	SLU 43	-12	106	1874	-5.02	-7.8	0
52	SLU 44	-12	119	1876	-5.62	-8.21	0
52	SLU 45	-12	106	1874	-5.02	-7.8	0
52	SLU 46	-12	114	1875	-5.38	-8.04	0
52	SLU 47	-12	119	1876	-5.62	-8.21	0
52	SLU 48	-12	106	1874	-5.02	-7.8	0
52	SLU 49	-12	114	1875	-5.38	-8.04	0
52	SLU 50	-12	106	1874	-5.02	-7.8	0
52	SLU 51	-12	114	1875	-5.38	-8.04	0
52	SLU 52	-14	122	2003	-5.82	-9.19	0
52	SLU 53	-13	109	2001	-5.23	-8.78	0
52	SLU 54	-13	116	2002	-5.58	-9.03	0
52	SLU 55	-14	122	2003	-5.82	-9.19	0
52	SLU 56	-13	109	2001	-5.23	-8.78	0
52	SLU 57	-13	116	2002	-5.58	-9.03	0
52	SLU 58	-13	109	2001	-5.23	-8.78	0
52	SLU 59	-13	116	2002	-5.58	-9.03	0
52	SLU 60	-14	110	2056	-5.31	-9.21	0
52	SLU 61	-14	118	2057	-5.67	-9.45	0
52	SLU 62	-14	110	2056	-5.31	-9.21	0
52	SLU 63	-14	118	2057	-5.67	-9.45	0
52	SLU 64	-13	107	1939	-5.12	-8.3	0



Nodo Ind.	Cont. N.br.	Reazione a traslazione			Reazione a rotazione		
		x	y	z	x	y	z
52	SLU 65	-13	120	1941	-5.72	-8.71	0
52	SLU 66	-13	107	1939	-5.12	-8.3	0
52	SLU 67	-13	115	1940	-5.48	-8.55	0
52	SLU 68	-13	120	1941	-5.72	-8.71	0
52	SLU 69	-13	107	1939	-5.12	-8.3	0
52	SLU 70	-13	115	1940	-5.48	-8.55	0
52	SLU 71	-13	107	1939	-5.12	-8.3	0
52	SLU 72	-13	115	1940	-5.48	-8.55	0
52	SLU 73	-14	123	2068	-5.92	-9.7	0
52	SLU 74	-14	110	2066	-5.33	-9.29	0
52	SLU 75	-14	118	2067	-5.68	-9.53	0
52	SLU 76	-14	123	2068	-5.92	-9.7	0
52	SLU 77	-14	110	2066	-5.33	-9.29	0
52	SLU 78	-14	118	2067	-5.68	-9.53	0
52	SLU 79	-14	110	2066	-5.33	-9.29	0
52	SLU 80	-14	118	2067	-5.68	-9.53	0
52	SLU 81	-15	111	2121	-5.42	-9.71	0
52	SLU 82	-15	119	2122	-5.77	-9.96	0
52	SLU 83	-15	111	2121	-5.42	-9.71	0
52	SLU 84	-15	119	2122	-5.77	-9.96	0
52	SLE RA 1	-9	82	1477	-3.92	-6.27	0
52	SLE RA 2	-10	91	1478	-4.32	-6.55	0
52	SLE RA 3	-9	82	1477	-3.92	-6.27	0
52	SLE RA 4	-10	87	1478	-4.16	-6.44	0
52	SLE RA 5	-10	91	1478	-4.32	-6.55	0
52	SLE RA 6	-9	82	1477	-3.92	-6.27	0
52	SLE RA 7	-10	87	1478	-4.16	-6.44	0
52	SLE RA 8	-9	82	1477	-3.92	-6.27	0
52	SLE RA 9	-10	87	1478	-4.16	-6.44	0
52	SLE RA 10	-11	93	1563	-4.45	-7.21	0
52	SLE RA 11	-10	84	1562	-4.06	-6.93	0
52	SLE RA 12	-11	89	1563	-4.29	-7.1	0
52	SLE RA 13	-11	93	1563	-4.45	-7.21	0
52	SLE RA 14	-10	84	1562	-4.06	-6.93	0
52	SLE RA 15	-11	89	1563	-4.29	-7.1	0
52	SLE RA 16	-10	84	1562	-4.06	-6.93	0
52	SLE RA 17	-11	89	1563	-4.29	-7.1	0
52	SLE RA 18	-11	85	1598	-4.11	-7.21	0
52	SLE RA 19	-11	90	1599	-4.35	-7.38	0
52	SLE RA 20	-11	85	1598	-4.11	-7.21	0
52	SLE RA 21	-11	90	1599	-4.35	-7.38	0
52	SLE FR 1	-9	82	1477	-3.92	-6.27	0
52	SLE FR 2	-10	84	1477	-4	-6.33	0
52	SLE FR 3	-9	82	1477	-3.92	-6.27	0
52	SLE FR 4	-10	85	1514	-4.06	-6.61	0
52	SLE FR 5	-10	83	1513	-3.98	-6.56	0
52	SLE FR 6	-10	84	1538	-4.02	-6.74	0
52	SLE QP 1	-9	82	1477	-3.92	-6.27	0
52	SLE QP 2	-10	83	1513	-3.98	-6.56	0
52	SLD 1	-5	85	1647	-4.04	-2.44	0
52	SLD 2	-5	85	1647	-4.04	-2.44	0
52	SLD 3	1	-22	1570	0.48	3.73	0
52	SLD 4	1	-22	1570	0.48	3.73	0
52	SLD 5	-18	245	1669	-10.85	-14.68	0
52	SLD 6	-18	245	1669	-10.85	-14.68	0
52	SLD 7	3	-110	1415	4.22	5.89	0
52	SLD 8	3	-110	1415	4.22	5.89	0
52	SLD 9	-23	276	1612	-12.17	-19	0
52	SLD 10	-23	276	1612	-12.17	-19	0
52	SLD 11	-1	-80	1357	2.9	1.57	0.01
52	SLD 12	-1	-80	1357	2.9	1.57	0.01
52	SLD 13	-21	188	1457	-8.44	-16.84	0
52	SLD 14	-21	188	1457	-8.44	-16.84	0
52	SLD 15	-15	81	1380	-3.92	-10.67	0
52	SLD 16	-15	81	1380	-3.92	-10.67	0
52	SLV 1	1	87	1829	-4.1	3.21	-0.01
52	SLV 2	1	87	1829	-4.1	3.21	-0.01
52	SLV 3	17	-165	1648	6.58	18.02	0
52	SLV 4	17	-165	1648	6.58	18.02	0
52	SLV 5	-30	467	1882	-20.21	-26.08	-0.01
52	SLV 6	-30	467	1882	-20.21	-26.08	-0.01
52	SLV 7	22	-374	1279	15.39	23.27	0.01
52	SLV 8	22	-374	1279	15.39	23.27	0.01
52	SLV 9	-41	540	1748	-23.34	-36.38	-0.01
52	SLV 10	-41	540	1748	-23.34	-36.38	-0.01
52	SLV 11	10	-301	1145	12.26	12.97	0.01
52	SLV 12	10	-301	1145	12.26	12.97	0.01
52	SLV 13	-37	331	1379	-14.54	-31.13	0
52	SLV 14	-37	331	1379	-14.54	-31.13	0
52	SLV 15	-21	79	1198	-3.86	-16.32	0.01
52	SLV 16	-21	79	1198	-3.86	-16.32	0.01
53	SLU 1	0	93	1752	-3.88	0.03	0
53	SLU 2	0	110	1759	-4.61	0.49	0
53	SLU 3	0	93	1752	-3.88	0.03	0
53	SLU 4	0	103	1756	-4.31	0.31	0
53	SLU 5	0	110	1759	-4.61	0.49	0
53	SLU 6	0	93	1752	-3.88	0.03	0
53	SLU 7	0	103	1756	-4.31	0.31	0



Nodo Ind.	Cont. N.br.	Reazione a traslazione			Reazione a rotazione		
		x	y	z	x	y	z
53	SLU 8	0	93	1752	-3.88	0.03	0
53	SLU 9	0	103	1756	-4.31	0.31	0
53	SLU 10	0	106	1936	-4.49	0.5	0
53	SLU 11	0	89	1930	-3.76	0.03	0
53	SLU 12	0	100	1934	-4.2	0.31	0
53	SLU 13	0	106	1936	-4.49	0.5	0
53	SLU 14	0	89	1930	-3.76	0.03	0
53	SLU 15	0	100	1934	-4.2	0.31	0
53	SLU 16	0	89	1930	-3.76	0.03	0
53	SLU 17	0	100	1934	-4.2	0.31	0
53	SLU 18	0	88	2006	-3.71	0.03	0
53	SLU 19	0	98	2010	-4.15	0.31	0
53	SLU 20	0	88	2006	-3.71	0.03	0
53	SLU 21	0	98	2010	-4.15	0.31	0
53	SLU 22	0	91	1843	-3.82	0.03	0
53	SLU 23	0	108	1849	-4.54	0.49	0
53	SLU 24	0	91	1843	-3.82	0.03	0
53	SLU 25	0	101	1847	-4.25	0.31	0
53	SLU 26	0	108	1849	-4.54	0.49	0
53	SLU 27	0	91	1843	-3.82	0.03	0
53	SLU 28	0	101	1847	-4.25	0.31	0
53	SLU 29	0	91	1843	-3.82	0.03	0
53	SLU 30	0	101	1847	-4.25	0.31	0
53	SLU 31	1	105	2027	-4.43	0.5	0
53	SLU 32	0	88	2020	-3.7	0.04	0
53	SLU 33	0	98	2024	-4.14	0.31	0
53	SLU 34	1	105	2027	-4.43	0.5	0
53	SLU 35	0	88	2020	-3.7	0.04	0
53	SLU 36	0	98	2024	-4.14	0.31	0
53	SLU 37	0	88	2020	-3.7	0.04	0
53	SLU 38	0	98	2024	-4.14	0.31	0
53	SLU 39	0	86	2096	-3.65	0.04	0
53	SLU 40	0	97	2100	-4.09	0.32	0
53	SLU 41	0	86	2096	-3.65	0.04	0
53	SLU 42	0	97	2100	-4.09	0.32	0
53	SLU 43	0	121	2247	-5.06	0.03	0
53	SLU 44	0	138	2253	-5.79	0.5	0
53	SLU 45	0	121	2247	-5.06	0.03	0
53	SLU 46	0	131	2251	-5.5	0.31	0
53	SLU 47	0	138	2253	-5.79	0.5	0
53	SLU 48	0	121	2247	-5.06	0.03	0
53	SLU 49	0	131	2251	-5.5	0.31	0
53	SLU 50	0	121	2247	-5.06	0.03	0
53	SLU 51	0	131	2251	-5.5	0.31	0
53	SLU 52	1	135	2431	-5.67	0.5	0
53	SLU 53	0	118	2424	-4.95	0.04	0
53	SLU 54	0	128	2428	-5.38	0.32	0
53	SLU 55	1	135	2431	-5.67	0.5	0
53	SLU 56	0	118	2424	-4.95	0.04	0
53	SLU 57	0	128	2428	-5.38	0.32	0
53	SLU 58	0	118	2424	-4.95	0.04	0
53	SLU 59	0	128	2428	-5.38	0.32	0
53	SLU 60	0	116	2500	-4.9	0.04	0
53	SLU 61	0	127	2504	-5.33	0.32	0
53	SLU 62	0	116	2500	-4.9	0.04	0
53	SLU 63	0	127	2504	-5.33	0.32	0
53	SLU 64	0	119	2337	-5	0.04	0
53	SLU 65	0	136	2344	-5.73	0.5	0
53	SLU 66	0	119	2337	-5	0.04	0
53	SLU 67	0	129	2341	-5.44	0.32	0
53	SLU 68	0	136	2344	-5.73	0.5	0
53	SLU 69	0	119	2337	-5	0.04	0
53	SLU 70	0	129	2341	-5.44	0.32	0
53	SLU 71	0	119	2337	-5	0.04	0
53	SLU 72	0	129	2341	-5.44	0.32	0
53	SLU 73	1	133	2521	-5.61	0.51	0
53	SLU 74	0	116	2515	-4.88	0.04	0
53	SLU 75	0	126	2519	-5.32	0.32	0
53	SLU 76	1	133	2521	-5.61	0.51	0
53	SLU 77	0	116	2515	-4.88	0.04	0
53	SLU 78	0	126	2519	-5.32	0.32	0
53	SLU 79	0	116	2515	-4.88	0.04	0
53	SLU 80	0	126	2519	-5.32	0.32	0
53	SLU 81	0	115	2591	-4.83	0.04	0
53	SLU 82	0	125	2595	-5.27	0.32	0
53	SLU 83	0	115	2591	-4.83	0.04	0
53	SLU 84	0	125	2595	-5.27	0.32	0
53	SLE RA 1	0	92	1778	-3.86	0.03	0
53	SLE RA 2	0	103	1782	-4.35	0.34	0
53	SLE RA 3	0	92	1778	-3.86	0.03	0
53	SLE RA 4	0	99	1781	-4.15	0.21	0
53	SLE RA 5	0	103	1782	-4.35	0.34	0
53	SLE RA 6	0	92	1778	-3.86	0.03	0
53	SLE RA 7	0	99	1781	-4.15	0.21	0
53	SLE RA 8	0	92	1778	-3.86	0.03	0
53	SLE RA 9	0	99	1781	-4.15	0.21	0
53	SLE RA 10	0	101	1901	-4.27	0.34	0
53	SLE RA 11	0	90	1896	-3.78	0.03	0



Nodo Ind.	Cont. N.br.	Reazione a traslazione			Reazione a rotazione		
		x	y	z	x	y	z
53	SLE RA 12	0	97	1899	-4.07	0.22	0
53	SLE RA 13	0	101	1901	-4.27	0.34	0
53	SLE RA 14	0	90	1896	-3.78	0.03	0
53	SLE RA 15	0	97	1899	-4.07	0.22	0
53	SLE RA 16	0	90	1896	-3.78	0.03	0
53	SLE RA 17	0	97	1899	-4.07	0.22	0
53	SLE RA 18	0	89	1947	-3.75	0.03	0
53	SLE RA 19	0	96	1950	-4.04	0.22	0
53	SLE RA 20	0	89	1947	-3.75	0.03	0
53	SLE RA 21	0	96	1950	-4.04	0.22	0
53	SLE FR 1	0	92	1778	-3.86	0.03	0
53	SLE FR 2	0	94	1779	-3.96	0.09	0
53	SLE FR 3	0	92	1778	-3.86	0.03	0
53	SLE FR 4	0	93	1830	-3.92	0.09	0
53	SLE FR 5	0	91	1829	-3.83	0.03	0
53	SLE FR 6	0	91	1862	-3.81	0.03	0
53	SLE QP 1	0	92	1778	-3.86	0.03	0
53	SLE QP 2	0	91	1829	-3.83	0.03	0
53	SLD 1	19	212	1738	-8.86	19.46	0
53	SLD 2	19	212	1738	-8.86	19.46	0
53	SLD 3	10	91	1698	-3.81	9.89	-0.01
53	SLD 4	10	91	1698	-3.81	9.89	-0.01
53	SLD 5	20	311	1861	-12.98	20.37	0
53	SLD 6	20	311	1861	-12.98	20.37	0
53	SLD 7	-11	-92	1730	3.82	-11.53	-0.01
53	SLD 8	-11	-92	1730	3.82	-11.53	-0.01
53	SLD 9	11	275	1928	-11.48	11.59	0.01
53	SLD 10	11	275	1928	-11.48	11.59	0.01
53	SLD 11	-20	-128	1796	5.33	-20.32	0
53	SLD 12	-20	-128	1796	5.33	-20.32	0
53	SLD 13	-10	92	1959	-3.84	-9.83	0.01
53	SLD 14	-10	92	1959	-3.84	-9.83	0.01
53	SLD 15	-19	-29	1920	1.2	-19.4	0
53	SLD 16	-19	-29	1920	1.2	-19.4	0
53	SLV 1	47	378	1615	-15.81	47.68	-0.01
53	SLV 2	47	378	1615	-15.81	47.68	-0.01
53	SLV 3	24	90	1520	-3.78	23.87	-0.02
53	SLV 4	24	90	1520	-3.78	23.87	-0.02
53	SLV 5	49	615	1908	-25.66	50.43	0.01
53	SLV 6	49	615	1908	-25.66	50.43	0.01
53	SLV 7	-27	-347	1593	14.43	-28.93	-0.02
53	SLV 8	-27	-347	1593	14.43	-28.93	-0.02
53	SLV 9	27	530	2064	-22.08	28.99	0.02
53	SLV 10	27	530	2064	-22.08	28.99	0.02
53	SLV 11	-49	-433	1750	18.01	-50.37	-0.01
53	SLV 12	-49	-433	1750	18.01	-50.37	-0.01
53	SLV 13	-24	93	2137	-3.87	-23.81	0.02
53	SLV 14	-24	93	2137	-3.87	-23.81	0.02
53	SLV 15	-47	-196	2043	8.15	-47.62	0.01
53	SLV 16	-47	-196	2043	8.15	-47.62	0.01
54	SLU 1	3	-10	954	0.42	2.17	0
54	SLU 2	3	-8	956	0.34	2.17	0
54	SLU 3	3	-10	954	0.42	2.17	0
54	SLU 4	3	-9	955	0.37	2.17	0
54	SLU 5	3	-8	956	0.34	2.17	0
54	SLU 6	3	-10	954	0.42	2.17	0
54	SLU 7	3	-9	955	0.37	2.17	0
54	SLU 8	3	-10	954	0.42	2.17	0
54	SLU 9	3	-9	955	0.37	2.17	0
54	SLU 10	3	-16	1097	0.74	2.75	0
54	SLU 11	3	-18	1095	0.82	2.75	0
54	SLU 12	3	-17	1096	0.77	2.75	0
54	SLU 13	3	-16	1097	0.74	2.75	0
54	SLU 14	3	-18	1095	0.82	2.75	0
54	SLU 15	3	-17	1096	0.77	2.75	0
54	SLU 16	3	-18	1095	0.82	2.75	0
54	SLU 17	3	-17	1096	0.77	2.75	0
54	SLU 18	4	-22	1155	0.99	3	0
54	SLU 19	4	-21	1156	0.94	3	0
54	SLU 20	4	-22	1155	0.99	3	0
54	SLU 21	4	-21	1156	0.94	3	0
54	SLU 22	3	-14	1026	0.63	2.46	0
54	SLU 23	3	-12	1028	0.54	2.46	0
54	SLU 24	3	-14	1026	0.63	2.46	0
54	SLU 25	3	-13	1027	0.58	2.46	0
54	SLU 26	3	-12	1028	0.54	2.46	0
54	SLU 27	3	-14	1026	0.63	2.46	0
54	SLU 28	3	-13	1027	0.58	2.46	0
54	SLU 29	3	-14	1026	0.63	2.46	0
54	SLU 30	3	-13	1027	0.58	2.46	0
54	SLU 31	4	-21	1169	0.94	3.05	0
54	SLU 32	4	-22	1166	1.02	3.05	0
54	SLU 33	4	-21	1168	0.98	3.05	0
54	SLU 34	4	-21	1169	0.94	3.05	0
54	SLU 35	4	-22	1166	1.02	3.05	0
54	SLU 36	4	-21	1168	0.98	3.05	0
54	SLU 37	4	-22	1166	1.02	3.05	0
54	SLU 38	4	-21	1168	0.98	3.05	0



Nodo Ind.	Cont. N.br.	Reazione a traslazione			Reazione a rotazione		
		x	y	z	x	y	z
54	SLU 39	4	-26	1227	1.2	3.3	0
54	SLU 40	4	-25	1228	1.15	3.3	0
54	SLU 41	4	-26	1227	1.2	3.3	0
54	SLU 42	4	-25	1228	1.15	3.3	0
54	SLU 43	3	-12	1215	0.48	2.72	0
54	SLU 44	3	-10	1218	0.4	2.72	0
54	SLU 45	3	-12	1215	0.48	2.72	0
54	SLU 46	3	-11	1217	0.43	2.72	0
54	SLU 47	3	-10	1218	0.4	2.72	0
54	SLU 48	3	-12	1215	0.48	2.72	0
54	SLU 49	3	-11	1217	0.43	2.72	0
54	SLU 50	3	-12	1215	0.48	2.72	0
54	SLU 51	3	-11	1217	0.43	2.72	0
54	SLU 52	4	-18	1358	0.79	3.3	0
54	SLU 53	4	-20	1356	0.88	3.3	0
54	SLU 54	4	-19	1357	0.83	3.3	0
54	SLU 55	4	-18	1358	0.79	3.3	0
54	SLU 56	4	-20	1356	0.88	3.3	0
54	SLU 57	4	-19	1357	0.83	3.3	0
54	SLU 58	4	-20	1356	0.88	3.3	0
54	SLU 59	4	-19	1357	0.83	3.3	0
54	SLU 60	4	-23	1417	1.05	3.55	0
54	SLU 61	4	-22	1418	1	3.55	0
54	SLU 62	4	-23	1417	1.05	3.55	0
54	SLU 63	4	-22	1418	1	3.55	0
54	SLU 64	4	-16	1287	0.68	3.01	0
54	SLU 65	4	-14	1289	0.6	3.01	0
54	SLU 66	4	-16	1287	0.68	3.01	0
54	SLU 67	4	-15	1289	0.63	3.01	0
54	SLU 68	4	-14	1289	0.6	3.01	0
54	SLU 69	4	-16	1287	0.68	3.01	0
54	SLU 70	4	-15	1289	0.63	3.01	0
54	SLU 71	4	-16	1287	0.68	3.01	0
54	SLU 72	4	-15	1289	0.63	3.01	0
54	SLU 73	5	-22	1430	1	3.6	0
54	SLU 74	5	-24	1428	1.08	3.6	0
54	SLU 75	5	-23	1429	1.03	3.6	0
54	SLU 76	5	-22	1430	1	3.6	0
54	SLU 77	5	-24	1428	1.08	3.6	0
54	SLU 78	5	-23	1429	1.03	3.6	0
54	SLU 79	5	-24	1428	1.08	3.6	0
54	SLU 80	5	-23	1429	1.03	3.6	0
54	SLU 81	5	-28	1488	1.25	3.85	0
54	SLU 82	5	-26	1490	1.2	3.85	0
54	SLU 83	5	-28	1488	1.25	3.85	0
54	SLU 84	5	-26	1490	1.2	3.85	0
54	SLE RA 1	3	-11	974	0.48	2.25	0
54	SLE RA 2	3	-10	976	0.42	2.25	0
54	SLE RA 3	3	-11	974	0.48	2.25	0
54	SLE RA 4	3	-11	975	0.45	2.25	0
54	SLE RA 5	3	-10	976	0.42	2.25	0
54	SLE RA 6	3	-11	974	0.48	2.25	0
54	SLE RA 7	3	-11	975	0.45	2.25	0
54	SLE RA 8	3	-11	974	0.48	2.25	0
54	SLE RA 9	3	-11	975	0.45	2.25	0
54	SLE RA 10	3	-16	1070	0.69	2.64	0
54	SLE RA 11	3	-17	1068	0.75	2.64	0
54	SLE RA 12	3	-16	1069	0.71	2.64	0
54	SLE RA 13	3	-16	1070	0.69	2.64	0
54	SLE RA 14	3	-17	1068	0.75	2.64	0
54	SLE RA 15	3	-16	1069	0.71	2.64	0
54	SLE RA 16	3	-17	1068	0.75	2.64	0
54	SLE RA 17	3	-16	1069	0.71	2.64	0
54	SLE RA 18	4	-19	1108	0.86	2.81	0
54	SLE RA 19	4	-18	1109	0.83	2.81	0
54	SLE RA 20	4	-19	1108	0.86	2.81	0
54	SLE RA 21	4	-18	1109	0.83	2.81	0
54	SLE FR 1	3	-11	974	0.48	2.25	0
54	SLE FR 2	3	-11	975	0.47	2.25	0
54	SLE FR 3	3	-11	974	0.48	2.25	0
54	SLE FR 4	3	-13	1015	0.58	2.42	0
54	SLE FR 5	3	-14	1015	0.59	2.42	0
54	SLE FR 6	3	-15	1041	0.67	2.53	0
54	SLE QP 1	3	-11	974	0.48	2.25	0
54	SLE QP 2	3	-14	1015	0.59	2.42	0
54	SLD 1	10	86	883	-3.73	8.65	0
54	SLD 2	10	86	883	-3.73	8.65	0
54	SLD 3	8	-30	837	1.26	7.07	-0.01
54	SLD 4	8	-30	837	1.26	7.07	-0.01
54	SLD 5	8	192	1045	-8.28	6.69	0
54	SLD 6	8	192	1045	-8.28	6.69	0
54	SLD 7	2	-194	891	8.37	1.41	-0.01
54	SLD 8	2	-194	891	8.37	1.41	-0.01
54	SLD 9	4	167	1138	-7.19	3.43	0.01
54	SLD 10	4	167	1138	-7.19	3.43	0.01
54	SLD 11	-1	-219	984	9.47	-1.85	-0.01
54	SLD 12	-1	-219	984	9.47	-1.85	-0.01
54	SLD 13	-2	3	1193	-0.08	-2.23	0.01



Nodo Ind.	Cont. N.br.	Reazione a traslazione			Reazione a rotazione		
		x	y	z	x	y	z
54	SLD 14	-2	3	1193	-0.08	-2.23	0.01
54	SLD 15	-4	-113	1146	4.92	-3.81	0
54	SLD 16	-4	-113	1146	4.92	-3.81	0
54	SLV 1	19	221	704	-9.6	17.33	-0.01
54	SLV 2	19	221	704	-9.6	17.33	-0.01
54	SLV 3	15	-51	594	2.15	13.52	-0.01
54	SLV 4	15	-51	594	2.15	13.52	-0.01
54	SLV 5	14	469	1088	-20.27	12.67	0.01
54	SLV 6	14	469	1088	-20.27	12.67	0.01
54	SLV 7	1	-438	721	18.87	-0.02	-0.02
54	SLV 8	1	-438	721	18.87	-0.02	-0.02
54	SLV 9	6	410	1308	-17.68	4.86	0.02
54	SLV 10	6	410	1308	-17.68	4.86	0.02
54	SLV 11	-8	-497	941	21.46	-7.83	-0.01
54	SLV 12	-8	-497	941	21.46	-7.83	-0.01
54	SLV 13	-9	24	1436	-0.96	-8.68	0.01
54	SLV 14	-9	24	1436	-0.96	-8.68	0.01
54	SLV 15	-13	-248	1326	10.78	-12.49	0
54	SLV 16	-13	-248	1326	10.78	-12.49	0
55	SLU 1	-10	106	1447	-4.29	-6.38	0
55	SLU 2	-10	118	1451	-4.75	-6.87	0
55	SLU 3	-10	106	1447	-4.29	-6.38	0
55	SLU 4	-10	113	1449	-4.57	-6.67	0
55	SLU 5	-10	118	1451	-4.75	-6.87	0
55	SLU 6	-10	106	1447	-4.29	-6.38	0
55	SLU 7	-10	113	1449	-4.57	-6.67	0
55	SLU 8	-10	106	1447	-4.29	-6.38	0
55	SLU 9	-10	113	1449	-4.57	-6.67	0
55	SLU 10	-12	135	1573	-5.44	-7.87	0
55	SLU 11	-11	123	1570	-4.98	-7.39	0
55	SLU 12	-11	130	1572	-5.25	-7.68	0
55	SLU 13	-12	135	1573	-5.44	-7.87	0
55	SLU 14	-11	123	1570	-4.98	-7.39	0
55	SLU 15	-11	130	1572	-5.25	-7.68	0
55	SLU 16	-11	123	1570	-4.98	-7.39	0
55	SLU 17	-11	130	1572	-5.25	-7.68	0
55	SLU 18	-12	130	1623	-5.27	-7.82	0
55	SLU 19	-12	137	1625	-5.55	-8.11	0
55	SLU 20	-12	130	1623	-5.27	-7.82	0
55	SLU 21	-12	137	1625	-5.55	-8.11	0
55	SLU 22	-10	115	1510	-4.64	-6.89	0
55	SLU 23	-11	127	1513	-5.1	-7.38	0
55	SLU 24	-10	115	1510	-4.64	-6.89	0
55	SLU 25	-11	122	1512	-4.91	-7.19	0
55	SLU 26	-11	127	1513	-5.1	-7.38	0
55	SLU 27	-10	115	1510	-4.64	-6.89	0
55	SLU 28	-11	122	1512	-4.91	-7.19	0
55	SLU 29	-10	115	1510	-4.64	-6.89	0
55	SLU 30	-11	122	1512	-4.91	-7.19	0
55	SLU 31	-12	143	1636	-5.78	-8.38	0
55	SLU 32	-12	131	1633	-5.32	-7.9	0
55	SLU 33	-12	138	1634	-5.6	-8.19	0
55	SLU 34	-12	143	1636	-5.78	-8.38	0
55	SLU 35	-12	131	1633	-5.32	-7.9	0
55	SLU 36	-12	138	1634	-5.6	-8.19	0
55	SLU 37	-12	131	1633	-5.32	-7.9	0
55	SLU 38	-12	138	1634	-5.6	-8.19	0
55	SLU 39	-12	138	1685	-5.62	-8.33	0
55	SLU 40	-13	145	1687	-5.89	-8.62	0
55	SLU 41	-12	138	1685	-5.62	-8.33	0
55	SLU 42	-13	145	1687	-5.89	-8.62	0
55	SLU 43	-12	135	1860	-5.46	-8.12	0
55	SLU 44	-13	147	1863	-5.92	-8.61	0
55	SLU 45	-12	135	1860	-5.46	-8.12	0
55	SLU 46	-13	142	1862	-5.74	-8.41	0
55	SLU 47	-13	147	1863	-5.92	-8.61	0
55	SLU 48	-12	135	1860	-5.46	-8.12	0
55	SLU 49	-13	142	1862	-5.74	-8.41	0
55	SLU 50	-12	135	1860	-5.46	-8.12	0
55	SLU 51	-13	142	1862	-5.74	-8.41	0
55	SLU 52	-14	164	1986	-6.61	-9.61	0
55	SLU 53	-14	152	1983	-6.15	-9.13	0
55	SLU 54	-14	159	1985	-6.42	-9.42	0
55	SLU 55	-14	164	1986	-6.61	-9.61	0
55	SLU 56	-14	152	1983	-6.15	-9.13	0
55	SLU 57	-14	159	1985	-6.42	-9.42	0
55	SLU 58	-14	152	1983	-6.15	-9.13	0
55	SLU 59	-14	159	1985	-6.42	-9.42	0
55	SLU 60	-14	159	2035	-6.44	-9.56	0
55	SLU 61	-15	166	2037	-6.72	-9.85	0
55	SLU 62	-14	159	2035	-6.44	-9.56	0
55	SLU 63	-15	166	2037	-6.72	-9.85	0
55	SLU 64	-13	144	1923	-5.81	-8.63	0
55	SLU 65	-14	156	1926	-6.27	-9.12	0
55	SLU 66	-13	144	1923	-5.81	-8.63	0
55	SLU 67	-13	151	1925	-6.08	-8.92	0
55	SLU 68	-14	156	1926	-6.27	-9.12	0
55	SLU 69	-13	144	1923	-5.81	-8.63	0



Nodo Ind.	Cont. N.br.	Reazione a traslazione			Reazione a rotazione		
		x	y	z	x	y	z
55	SLU 70	-13	151	1925	-6.08	-8.92	0
55	SLU 71	-13	144	1923	-5.81	-8.63	0
55	SLU 72	-13	151	1925	-6.08	-8.92	0
55	SLU 73	-15	172	2049	-6.95	-10.12	0
55	SLU 74	-15	160	2045	-6.49	-9.64	0
55	SLU 75	-15	167	2047	-6.77	-9.93	0
55	SLU 76	-15	172	2049	-6.95	-10.12	0
55	SLU 77	-15	160	2045	-6.49	-9.64	0
55	SLU 78	-15	167	2047	-6.77	-9.93	0
55	SLU 79	-15	160	2045	-6.49	-9.64	0
55	SLU 80	-15	167	2047	-6.77	-9.93	0
55	SLU 81	-15	167	2098	-6.79	-10.07	0
55	SLU 82	-15	174	2100	-7.06	-10.36	0
55	SLU 83	-15	167	2098	-6.79	-10.07	0
55	SLU 84	-15	174	2100	-7.06	-10.36	0
55	SLE RA 1	-10	109	1465	-4.39	-6.53	0
55	SLE RA 2	-10	117	1467	-4.7	-6.85	0
55	SLE RA 3	-10	109	1465	-4.39	-6.53	0
55	SLE RA 4	-10	113	1467	-4.58	-6.72	0
55	SLE RA 5	-10	117	1467	-4.7	-6.85	0
55	SLE RA 6	-10	109	1465	-4.39	-6.53	0
55	SLE RA 7	-10	113	1467	-4.58	-6.72	0
55	SLE RA 8	-10	109	1465	-4.39	-6.53	0
55	SLE RA 9	-10	113	1467	-4.58	-6.72	0
55	SLE RA 10	-11	128	1549	-5.15	-7.52	0
55	SLE RA 11	-11	120	1547	-4.85	-7.2	0
55	SLE RA 12	-11	124	1548	-5.03	-7.39	0
55	SLE RA 13	-11	128	1549	-5.15	-7.52	0
55	SLE RA 14	-11	120	1547	-4.85	-7.2	0
55	SLE RA 15	-11	124	1548	-5.03	-7.39	0
55	SLE RA 16	-11	120	1547	-4.85	-7.2	0
55	SLE RA 17	-11	124	1548	-5.03	-7.39	0
55	SLE RA 18	-11	124	1582	-5.04	-7.49	0
55	SLE RA 19	-11	129	1583	-5.23	-7.68	0
55	SLE RA 20	-11	124	1582	-5.04	-7.49	0
55	SLE RA 21	-11	129	1583	-5.23	-7.68	0
55	SLE FR 1	-10	109	1465	-4.39	-6.53	0
55	SLE FR 2	-10	110	1466	-4.45	-6.59	0
55	SLE FR 3	-10	109	1465	-4.39	-6.53	0
55	SLE FR 4	-10	115	1501	-4.65	-6.88	0
55	SLE FR 5	-10	113	1500	-4.59	-6.82	0
55	SLE FR 6	-11	116	1524	-4.72	-7.01	0
55	SLE QP 1	-10	109	1465	-4.39	-6.53	0
55	SLE QP 2	-10	113	1500	-4.59	-6.82	0
55	SLD 1	-5	118	1628	-4.8	-2.68	0.01
55	SLD 2	-5	118	1628	-4.8	-2.68	0.01
55	SLD 3	0	5	1550	0.12	3.29	0.01
55	SLD 4	0	5	1550	0.12	3.29	0.01
55	SLD 5	-18	286	1657	-12.12	-14.62	-0.01
55	SLD 6	-18	286	1657	-12.12	-14.62	-0.01
55	SLD 7	2	-90	1396	4.29	5.26	0.02
55	SLD 8	2	-90	1396	4.29	5.26	0.02
55	SLD 9	-22	317	1604	-13.47	-18.89	-0.02
55	SLD 10	-22	317	1604	-13.47	-18.89	-0.02
55	SLD 11	-3	-59	1343	2.94	0.99	0.01
55	SLD 12	-3	-59	1343	2.94	0.99	0.01
55	SLD 13	-21	222	1451	-9.3	-16.92	-0.01
55	SLD 14	-21	222	1451	-9.3	-16.92	-0.01
55	SLD 15	-15	109	1373	-4.38	-10.95	0
55	SLD 16	-15	109	1373	-4.38	-10.95	0
55	SLV 1	1	123	1802	-5.06	2.93	0.01
55	SLV 2	1	123	1802	-5.06	2.93	0.01
55	SLV 3	15	-143	1616	6.56	17.3	0.03
55	SLV 4	15	-143	1616	6.56	17.3	0.03
55	SLV 5	-28	520	1873	-22.37	-25.7	-0.03
55	SLV 6	-28	520	1873	-22.37	-25.7	-0.03
55	SLV 7	19	-367	1253	16.39	22.23	0.04
55	SLV 8	19	-367	1253	16.39	22.23	0.04
55	SLV 9	-39	594	1748	-25.57	-35.86	-0.04
55	SLV 10	-39	594	1748	-25.57	-35.86	-0.04
55	SLV 11	8	-293	1127	13.19	12.07	0.03
55	SLV 12	8	-293	1127	13.19	12.07	0.03
55	SLV 13	-36	370	1384	-15.74	-30.94	-0.03
55	SLV 14	-36	370	1384	-15.74	-30.94	-0.03
55	SLV 15	-22	104	1198	-4.11	-16.56	-0.01
55	SLV 16	-22	104	1198	-4.11	-16.56	-0.01
56	SLU 1	0	77	1768	-2.92	0.05	0
56	SLU 2	1	94	1774	-3.6	0.6	0
56	SLU 3	0	77	1768	-2.92	0.05	0
56	SLU 4	0	87	1772	-3.33	0.38	0
56	SLU 5	1	94	1774	-3.6	0.6	0
56	SLU 6	0	77	1768	-2.92	0.05	0
56	SLU 7	0	87	1772	-3.33	0.38	0
56	SLU 8	0	77	1768	-2.92	0.05	0
56	SLU 9	0	87	1772	-3.33	0.38	0
56	SLU 10	1	100	1953	-3.81	0.6	0
56	SLU 11	0	82	1946	-3.12	0.05	0
56	SLU 12	0	93	1950	-3.53	0.38	0



Nodo Ind.	Cont. N.br.	Reazione a traslazione			Reazione a rotazione		
		x	y	z	x	y	z
56	SLU 13	1	100	1953	-3.81	0.6	0
56	SLU 14	0	82	1946	-3.12	0.05	0
56	SLU 15	0	93	1950	-3.53	0.38	0
56	SLU 16	0	82	1946	-3.12	0.05	0
56	SLU 17	0	93	1950	-3.53	0.38	0
56	SLU 18	0	85	2023	-3.21	0.06	0
56	SLU 19	0	95	2027	-3.62	0.38	0
56	SLU 20	0	85	2023	-3.21	0.06	0
56	SLU 21	0	95	2027	-3.62	0.38	0
56	SLU 22	0	79	1859	-3.02	0.05	0
56	SLU 23	1	97	1865	-3.7	0.6	0
56	SLU 24	0	79	1859	-3.02	0.05	0
56	SLU 25	0	90	1863	-3.43	0.38	0
56	SLU 26	1	97	1865	-3.7	0.6	0
56	SLU 27	0	79	1859	-3.02	0.05	0
56	SLU 28	0	90	1863	-3.43	0.38	0
56	SLU 29	0	79	1859	-3.02	0.05	0
56	SLU 30	0	90	1863	-3.43	0.38	0
56	SLU 31	1	102	2044	-3.91	0.6	0
56	SLU 32	0	85	2038	-3.22	0.06	0
56	SLU 33	0	95	2042	-3.63	0.38	0
56	SLU 34	1	102	2044	-3.91	0.6	0
56	SLU 35	0	85	2038	-3.22	0.06	0
56	SLU 36	0	95	2042	-3.63	0.38	0
56	SLU 37	0	85	2038	-3.22	0.06	0
56	SLU 38	0	95	2042	-3.63	0.38	0
56	SLU 39	0	87	2114	-3.31	0.06	0
56	SLU 40	0	98	2118	-3.72	0.39	0
56	SLU 41	0	87	2114	-3.31	0.06	0
56	SLU 42	0	98	2118	-3.72	0.39	0
56	SLU 43	0	99	2266	-3.76	0.06	0
56	SLU 44	1	116	2273	-4.44	0.61	0
56	SLU 45	0	99	2266	-3.76	0.06	0
56	SLU 46	0	109	2271	-4.17	0.39	0
56	SLU 47	1	116	2273	-4.44	0.61	0
56	SLU 48	0	99	2266	-3.76	0.06	0
56	SLU 49	0	109	2271	-4.17	0.39	0
56	SLU 50	0	99	2266	-3.76	0.06	0
56	SLU 51	0	109	2271	-4.17	0.39	0
56	SLU 52	1	122	2452	-4.65	0.62	0
56	SLU 53	0	104	2445	-3.96	0.07	0
56	SLU 54	0	115	2449	-4.37	0.4	0
56	SLU 55	1	122	2452	-4.65	0.62	0
56	SLU 56	0	104	2445	-3.96	0.07	0
56	SLU 57	0	115	2449	-4.37	0.4	0
56	SLU 58	0	104	2445	-3.96	0.07	0
56	SLU 59	0	115	2449	-4.37	0.4	0
56	SLU 60	0	107	2522	-4.05	0.07	0
56	SLU 61	0	117	2526	-4.46	0.4	0
56	SLU 62	0	107	2522	-4.05	0.07	0
56	SLU 63	0	117	2526	-4.46	0.4	0
56	SLU 64	0	101	2358	-3.86	0.07	0
56	SLU 65	1	119	2364	-4.54	0.61	0
56	SLU 66	0	101	2358	-3.86	0.07	0
56	SLU 67	0	112	2362	-4.27	0.39	0
56	SLU 68	1	119	2364	-4.54	0.61	0
56	SLU 69	0	101	2358	-3.86	0.07	0
56	SLU 70	0	112	2362	-4.27	0.39	0
56	SLU 71	0	101	2358	-3.86	0.07	0
56	SLU 72	0	112	2362	-4.27	0.39	0
56	SLU 73	1	124	2543	-4.75	0.62	0
56	SLU 74	0	107	2537	-4.06	0.07	0
56	SLU 75	0	117	2541	-4.47	0.4	0
56	SLU 76	1	124	2543	-4.75	0.62	0
56	SLU 77	0	107	2537	-4.06	0.07	0
56	SLU 78	0	117	2541	-4.47	0.4	0
56	SLU 79	0	107	2537	-4.06	0.07	0
56	SLU 80	0	117	2541	-4.47	0.4	0
56	SLU 81	0	109	2613	-4.15	0.07	0
56	SLU 82	1	120	2617	-4.56	0.4	0
56	SLU 83	0	109	2613	-4.15	0.07	0
56	SLU 84	1	120	2617	-4.56	0.4	0
56	SLE RA 1	0	77	1794	-2.94	0.05	0
56	SLE RA 2	0	89	1798	-3.4	0.41	0
56	SLE RA 3	0	77	1794	-2.94	0.05	0
56	SLE RA 4	0	84	1796	-3.22	0.27	0
56	SLE RA 5	0	89	1798	-3.4	0.41	0
56	SLE RA 6	0	77	1794	-2.94	0.05	0
56	SLE RA 7	0	84	1796	-3.22	0.27	0
56	SLE RA 8	0	77	1794	-2.94	0.05	0
56	SLE RA 9	0	84	1796	-3.22	0.27	0
56	SLE RA 10	0	93	1917	-3.54	0.42	0
56	SLE RA 11	0	81	1913	-3.08	0.05	0
56	SLE RA 12	0	88	1916	-3.35	0.27	0
56	SLE RA 13	0	93	1917	-3.54	0.42	0
56	SLE RA 14	0	81	1913	-3.08	0.05	0
56	SLE RA 15	0	88	1916	-3.35	0.27	0
56	SLE RA 16	0	81	1913	-3.08	0.05	0



Nodo Ind.	Cont. N.br.	Reazione a traslazione			Reazione a rotazione		
		x	y	z	x	y	z
56	SLE RA 17	0	88	1916	-3.35	0.27	0
56	SLE RA 18	0	83	1964	-3.14	0.05	0
56	SLE RA 19	0	90	1967	-3.41	0.27	0
56	SLE RA 20	0	83	1964	-3.14	0.05	0
56	SLE RA 21	0	90	1967	-3.41	0.27	0
56	SLE FR 1	0	77	1794	-2.94	0.05	0
56	SLE FR 2	0	80	1794	-3.04	0.12	0
56	SLE FR 3	0	77	1794	-2.94	0.05	0
56	SLE FR 4	0	81	1846	-3.09	0.12	0
56	SLE FR 5	0	79	1845	-3	0.05	0
56	SLE FR 6	0	80	1879	-3.04	0.05	0
56	SLE QP 1	0	77	1794	-2.94	0.05	0
56	SLE QP 2	0	79	1845	-3	0.05	0
56	SLD 1	19	201	1755	-8.07	19.37	0
56	SLD 2	19	201	1755	-8.07	19.37	0
56	SLD 3	10	77	1726	-2.92	9.83	-0.01
56	SLD 4	10	77	1726	-2.92	9.83	-0.01
56	SLD 5	19	304	1863	-12.34	20.31	0.01
56	SLD 6	19	304	1863	-12.34	20.31	0.01
56	SLD 7	-10	-110	1764	4.83	-11.47	-0.01
56	SLD 8	-10	-110	1764	4.83	-11.47	-0.01
56	SLD 9	10	268	1925	-10.84	11.58	0.01
56	SLD 10	10	268	1925	-10.84	11.58	0.01
56	SLD 11	-19	-146	1827	6.33	-20.2	-0.01
56	SLD 12	-19	-146	1827	6.33	-20.2	-0.01
56	SLD 13	-10	81	1964	-3.09	-9.73	0.01
56	SLD 14	-10	81	1964	-3.09	-9.73	0.01
56	SLD 15	-19	-43	1934	2.07	-19.27	0
56	SLD 16	-19	-43	1934	2.07	-19.27	0
56	SLV 1	46	371	1634	-15.1	47.32	-0.01
56	SLV 2	46	371	1634	-15.1	47.32	-0.01
56	SLV 3	24	75	1563	-2.79	23.5	-0.02
56	SLV 4	24	75	1563	-2.79	23.5	-0.02
56	SLV 5	47	616	1889	-25.31	50.35	0.02
56	SLV 6	47	616	1889	-25.31	50.35	0.02
56	SLV 7	-26	-372	1652	15.74	-29.03	-0.02
56	SLV 8	-26	-372	1652	15.74	-29.03	-0.02
56	SLV 9	26	530	2037	-21.75	29.13	0.02
56	SLV 10	26	530	2037	-21.75	29.13	0.02
56	SLV 11	-46	-458	1800	19.31	-50.25	-0.02
56	SLV 12	-46	-458	1800	19.31	-50.25	-0.02
56	SLV 13	-24	83	2126	-3.22	-23.4	0.02
56	SLV 14	-24	83	2126	-3.22	-23.4	0.02
56	SLV 15	-45	-213	2055	9.1	-47.22	0.01
56	SLV 16	-45	-213	2055	9.1	-47.22	0.01
57	SLU 1	3	17	986	-0.39	2.18	0
57	SLU 2	3	19	988	-0.47	2.17	0
57	SLU 3	3	17	986	-0.39	2.18	0
57	SLU 4	3	19	987	-0.44	2.17	0
57	SLU 5	3	19	988	-0.47	2.17	0
57	SLU 6	3	17	986	-0.39	2.18	0
57	SLU 7	3	19	987	-0.44	2.17	0
57	SLU 8	3	17	986	-0.39	2.18	0
57	SLU 9	3	19	987	-0.44	2.17	0
57	SLU 10	4	34	1147	-0.95	2.77	0
57	SLU 11	4	32	1145	-0.86	2.77	0
57	SLU 12	4	33	1146	-0.91	2.77	0
57	SLU 13	4	34	1147	-0.95	2.77	0
57	SLU 14	4	32	1145	-0.86	2.77	0
57	SLU 15	4	33	1146	-0.91	2.77	0
57	SLU 16	4	32	1145	-0.86	2.77	0
57	SLU 17	4	33	1146	-0.91	2.77	0
57	SLU 18	4	38	1213	-1.07	3.02	0
57	SLU 19	4	39	1214	-1.12	3.02	0
57	SLU 20	4	38	1213	-1.07	3.02	0
57	SLU 21	4	39	1214	-1.12	3.02	0
57	SLU 22	3	25	1067	-0.63	2.48	0
57	SLU 23	3	27	1069	-0.71	2.48	0
57	SLU 24	3	25	1067	-0.63	2.48	0
57	SLU 25	3	26	1068	-0.68	2.48	0
57	SLU 26	3	27	1069	-0.71	2.48	0
57	SLU 27	3	25	1067	-0.63	2.48	0
57	SLU 28	3	26	1068	-0.68	2.48	0
57	SLU 29	3	25	1067	-0.63	2.48	0
57	SLU 30	3	26	1068	-0.68	2.48	0
57	SLU 31	4	41	1228	-1.19	3.07	0
57	SLU 32	4	39	1226	-1.11	3.07	0
57	SLU 33	4	40	1227	-1.16	3.07	0
57	SLU 34	4	41	1228	-1.19	3.07	0
57	SLU 35	4	39	1226	-1.11	3.07	0
57	SLU 36	4	40	1227	-1.16	3.07	0
57	SLU 37	4	39	1226	-1.11	3.07	0
57	SLU 38	4	40	1227	-1.16	3.07	0
57	SLU 39	4	45	1294	-1.31	3.33	0
57	SLU 40	4	46	1295	-1.36	3.33	0
57	SLU 41	4	45	1294	-1.31	3.33	0
57	SLU 42	4	46	1295	-1.36	3.33	0
57	SLU 43	4	20	1254	-0.42	2.73	0



Nodo Ind.	Cont. N.br.	Reazione a traslazione			Reazione a rotazione		
		x	y	z	x	y	z
57	SLU 44	4	22	1256	-0.5	2.72	0
57	SLU 45	4	20	1254	-0.42	2.73	0
57	SLU 46	4	21	1255	-0.47	2.72	0
57	SLU 47	4	22	1256	-0.5	2.72	0
57	SLU 48	4	20	1254	-0.42	2.73	0
57	SLU 49	4	21	1255	-0.47	2.72	0
57	SLU 50	4	20	1254	-0.42	2.73	0
57	SLU 51	4	21	1255	-0.47	2.72	0
57	SLU 52	4	36	1415	-0.98	3.32	0
57	SLU 53	4	34	1413	-0.9	3.32	0
57	SLU 54	4	36	1414	-0.95	3.32	0
57	SLU 55	4	36	1415	-0.98	3.32	0
57	SLU 56	4	34	1413	-0.9	3.32	0
57	SLU 57	4	36	1414	-0.95	3.32	0
57	SLU 58	4	34	1413	-0.9	3.32	0
57	SLU 59	4	36	1414	-0.95	3.32	0
57	SLU 60	5	40	1481	-1.1	3.57	0
57	SLU 61	5	42	1482	-1.15	3.57	0
57	SLU 62	5	40	1481	-1.1	3.57	0
57	SLU 63	5	42	1482	-1.15	3.57	0
57	SLU 64	4	27	1335	-0.66	3.03	0
57	SLU 65	4	29	1337	-0.75	3.03	0
57	SLU 66	4	27	1335	-0.66	3.03	0
57	SLU 67	4	29	1336	-0.71	3.03	0
57	SLU 68	4	29	1337	-0.75	3.03	0
57	SLU 69	4	27	1335	-0.66	3.03	0
57	SLU 70	4	29	1336	-0.71	3.03	0
57	SLU 71	4	27	1335	-0.66	3.03	0
57	SLU 72	4	29	1336	-0.71	3.03	0
57	SLU 73	5	44	1496	-1.22	3.62	0
57	SLU 74	5	42	1493	-1.14	3.62	0
57	SLU 75	5	43	1495	-1.19	3.62	0
57	SLU 76	5	44	1496	-1.22	3.62	0
57	SLU 77	5	42	1493	-1.14	3.62	0
57	SLU 78	5	43	1495	-1.19	3.62	0
57	SLU 79	5	42	1493	-1.14	3.62	0
57	SLU 80	5	43	1495	-1.19	3.62	0
57	SLU 81	5	48	1562	-1.34	3.88	0
57	SLU 82	5	49	1563	-1.4	3.87	0
57	SLU 83	5	48	1562	-1.34	3.88	0
57	SLU 84	5	49	1563	-1.4	3.87	0
57	SLE RA 1	3	19	1009	-0.45	2.26	0
57	SLE RA 2	3	21	1011	-0.51	2.26	0
57	SLE RA 3	3	19	1009	-0.45	2.26	0
57	SLE RA 4	3	20	1010	-0.49	2.26	0
57	SLE RA 5	3	21	1011	-0.51	2.26	0
57	SLE RA 6	3	19	1009	-0.45	2.26	0
57	SLE RA 7	3	20	1010	-0.49	2.26	0
57	SLE RA 8	3	19	1009	-0.45	2.26	0
57	SLE RA 9	3	20	1010	-0.49	2.26	0
57	SLE RA 10	3	30	1117	-0.83	2.66	0
57	SLE RA 11	3	29	1115	-0.77	2.66	0
57	SLE RA 12	3	30	1116	-0.81	2.66	0
57	SLE RA 13	3	30	1117	-0.83	2.66	0
57	SLE RA 14	3	29	1115	-0.77	2.66	0
57	SLE RA 15	3	30	1116	-0.81	2.66	0
57	SLE RA 16	3	29	1115	-0.77	2.66	0
57	SLE RA 17	3	30	1116	-0.81	2.66	0
57	SLE RA 18	4	33	1160	-0.91	2.83	0
57	SLE RA 19	4	34	1161	-0.94	2.83	0
57	SLE RA 20	4	33	1160	-0.91	2.83	0
57	SLE RA 21	4	34	1161	-0.94	2.83	0
57	SLE FR 1	3	19	1009	-0.45	2.26	0
57	SLE FR 2	3	20	1009	-0.47	2.26	0
57	SLE FR 3	3	19	1009	-0.45	2.26	0
57	SLE FR 4	3	24	1055	-0.6	2.43	0
57	SLE FR 5	3	23	1054	-0.59	2.43	0
57	SLE FR 6	3	26	1084	-0.68	2.55	0
57	SLE QP 1	3	19	1009	-0.45	2.26	0
57	SLE QP 2	3	23	1054	-0.59	2.43	0
57	SLD 1	10	37	1227	-1.21	8.52	0
57	SLD 2	10	37	1227	-1.21	8.52	0
57	SLD 3	8	-77	1185	3.68	7.13	0
57	SLD 4	8	-77	1185	3.68	7.13	0
57	SLD 5	7	201	1170	-8.19	6.36	0
57	SLD 6	7	201	1170	-8.19	6.36	0
57	SLD 7	3	-180	1029	8.11	1.74	0
57	SLD 8	3	-180	1029	8.11	1.74	0
57	SLD 9	4	227	1079	-9.29	3.13	0
57	SLD 10	4	227	1079	-9.29	3.13	0
57	SLD 11	-1	-154	938	7.01	-1.49	0
57	SLD 12	-1	-154	938	7.01	-1.49	0
57	SLD 13	-2	124	923	-4.86	-2.26	0
57	SLD 14	-2	124	923	-4.86	-2.26	0
57	SLD 15	-3	10	881	0.02	-3.65	0
57	SLD 16	-3	10	881	0.02	-3.65	0
57	SLV 1	18	54	1463	-1.99	16.97	0
57	SLV 2	18	54	1463	-1.99	16.97	0



Nodo Ind.	Cont. N.br.	Reazione a traslazione			Reazione a rotazione		
		x	y	z	x	y	z
57	SLV 3	15	-214	1362	9.49	13.64	0
57	SLV 4	15	-214	1362	9.49	13.64	0
57	SLV 5	13	440	1329	-18.44	11.84	0
57	SLV 6	13	440	1329	-18.44	11.84	0
57	SLV 7	2	-455	994	19.86	0.75	0
57	SLV 8	2	-455	994	19.86	0.75	0
57	SLV 9	4	502	1114	-21.04	4.12	0
57	SLV 10	4	502	1114	-21.04	4.12	0
57	SLV 11	-6	-393	779	17.25	-6.97	0
57	SLV 12	-6	-393	779	17.25	-6.97	0
57	SLV 13	-9	261	746	-10.68	-8.77	0
57	SLV 14	-9	261	746	-10.68	-8.77	0
57	SLV 15	-12	-7	646	0.81	-12.1	0
57	SLV 16	-12	-7	646	0.81	-12.1	0
58	SLU 1	-9	138	1476	-5.95	-6.05	0
58	SLU 2	-10	151	1481	-6.57	-6.58	0
58	SLU 3	-9	138	1476	-5.95	-6.05	0
58	SLU 4	-10	146	1479	-6.32	-6.37	0
58	SLU 5	-10	151	1481	-6.57	-6.58	0
58	SLU 6	-9	138	1476	-5.95	-6.05	0
58	SLU 7	-10	146	1479	-6.32	-6.37	0
58	SLU 8	-9	138	1476	-5.95	-6.05	0
58	SLU 9	-10	146	1479	-6.32	-6.37	0
58	SLU 10	-11	181	1612	-7.8	-7.5	0
58	SLU 11	-11	168	1607	-7.19	-6.97	0
58	SLU 12	-11	176	1610	-7.56	-7.29	0
58	SLU 13	-11	181	1612	-7.8	-7.5	0
58	SLU 14	-11	168	1607	-7.19	-6.97	0
58	SLU 15	-11	176	1610	-7.56	-7.29	0
58	SLU 16	-11	168	1607	-7.19	-6.97	0
58	SLU 17	-11	176	1610	-7.56	-7.29	0
58	SLU 18	-11	181	1663	-7.72	-7.36	0
58	SLU 19	-12	189	1666	-8.09	-7.68	0
58	SLU 20	-11	181	1663	-7.72	-7.36	0
58	SLU 21	-12	189	1666	-8.09	-7.68	0
58	SLU 22	-10	153	1543	-6.58	-6.52	0
58	SLU 23	-11	166	1547	-7.19	-7.05	0
58	SLU 24	-10	153	1543	-6.58	-6.52	0
58	SLU 25	-10	161	1546	-6.95	-6.84	0
58	SLU 26	-11	166	1547	-7.19	-7.05	0
58	SLU 27	-10	153	1543	-6.58	-6.52	0
58	SLU 28	-10	161	1546	-6.95	-6.84	0
58	SLU 29	-10	153	1543	-6.58	-6.52	0
58	SLU 30	-10	161	1546	-6.95	-6.84	0
58	SLU 31	-12	197	1679	-8.43	-7.97	0
58	SLU 32	-11	183	1674	-7.82	-7.44	0
58	SLU 33	-12	191	1677	-8.18	-7.75	0
58	SLU 34	-12	197	1679	-8.43	-7.97	0
58	SLU 35	-11	183	1674	-7.82	-7.44	0
58	SLU 36	-12	191	1677	-8.18	-7.75	0
58	SLU 37	-11	183	1674	-7.82	-7.44	0
58	SLU 38	-12	191	1677	-8.18	-7.75	0
58	SLU 39	-12	196	1730	-8.35	-7.83	0
58	SLU 40	-12	204	1733	-8.71	-8.15	0
58	SLU 41	-12	196	1730	-8.35	-7.83	0
58	SLU 42	-12	204	1733	-8.71	-8.15	0
58	SLU 43	-12	174	1896	-7.53	-7.7	0
58	SLU 44	-12	187	1900	-8.14	-8.23	0
58	SLU 45	-12	174	1896	-7.53	-7.7	0
58	SLU 46	-12	182	1898	-7.89	-8.02	0
58	SLU 47	-12	187	1900	-8.14	-8.23	0
58	SLU 48	-12	174	1896	-7.53	-7.7	0
58	SLU 49	-12	182	1898	-7.89	-8.02	0
58	SLU 50	-12	174	1896	-7.53	-7.7	0
58	SLU 51	-12	182	1898	-7.89	-8.02	0
58	SLU 52	-14	217	2032	-9.37	-9.15	0
58	SLU 53	-13	204	2027	-8.76	-8.62	0
58	SLU 54	-14	212	2030	-9.13	-8.94	0
58	SLU 55	-14	217	2032	-9.37	-9.15	0
58	SLU 56	-13	204	2027	-8.76	-8.62	0
58	SLU 57	-14	212	2030	-9.13	-8.94	0
58	SLU 58	-13	204	2027	-8.76	-8.62	0
58	SLU 59	-14	212	2030	-9.13	-8.94	0
58	SLU 60	-14	217	2083	-9.29	-9.02	0
58	SLU 61	-14	225	2086	-9.66	-9.33	0
58	SLU 62	-14	217	2083	-9.29	-9.02	0
58	SLU 63	-14	225	2086	-9.66	-9.33	0
58	SLU 64	-13	190	1963	-8.15	-8.17	0
58	SLU 65	-13	203	1967	-8.76	-8.7	0
58	SLU 66	-13	190	1963	-8.15	-8.17	0
58	SLU 67	-13	197	1965	-8.52	-8.49	0
58	SLU 68	-13	203	1967	-8.76	-8.7	0
58	SLU 69	-13	190	1963	-8.15	-8.17	0
58	SLU 70	-13	197	1965	-8.52	-8.49	0
58	SLU 71	-13	190	1963	-8.15	-8.17	0
58	SLU 72	-13	197	1965	-8.52	-8.49	0
58	SLU 73	-14	233	2099	-10	-9.62	0
58	SLU 74	-14	220	2094	-9.39	-9.09	0



Nodo Ind.	Cont. N.br.	Reazione a traslazione			Reazione a rotazione		
		x	y	z	x	y	z
58	SLU 75	-14	227	2097	-9.76	-9.41	0
58	SLU 76	-14	233	2099	-10	-9.62	0
58	SLU 77	-14	220	2094	-9.39	-9.09	0
58	SLU 78	-14	227	2097	-9.76	-9.41	0
58	SLU 79	-14	220	2094	-9.39	-9.09	0
58	SLU 80	-14	227	2097	-9.76	-9.41	0
58	SLU 81	-14	233	2150	-9.92	-9.48	0
58	SLU 82	-15	240	2153	-10.29	-9.8	0
58	SLU 83	-14	233	2150	-9.92	-9.48	0
58	SLU 84	-15	240	2153	-10.29	-9.8	0
58	SLE RA 1	-9	142	1495	-6.13	-6.18	0
58	SLE RA 2	-10	151	1498	-6.54	-6.54	0
58	SLE RA 3	-9	142	1495	-6.13	-6.18	0
58	SLE RA 4	-10	148	1497	-6.38	-6.4	0
58	SLE RA 5	-10	151	1498	-6.54	-6.54	0
58	SLE RA 6	-9	142	1495	-6.13	-6.18	0
58	SLE RA 7	-10	148	1497	-6.38	-6.4	0
58	SLE RA 8	-9	142	1495	-6.13	-6.18	0
58	SLE RA 9	-10	148	1497	-6.38	-6.4	0
58	SLE RA 10	-11	171	1586	-7.37	-7.15	0
58	SLE RA 11	-10	163	1582	-6.96	-6.8	0
58	SLE RA 12	-11	168	1584	-7.2	-7.01	0
58	SLE RA 13	-11	171	1586	-7.37	-7.15	0
58	SLE RA 14	-10	163	1582	-6.96	-6.8	0
58	SLE RA 15	-11	168	1584	-7.2	-7.01	0
58	SLE RA 16	-10	163	1582	-6.96	-6.8	0
58	SLE RA 17	-11	168	1584	-7.2	-7.01	0
58	SLE RA 18	-11	171	1620	-7.31	-7.06	0
58	SLE RA 19	-11	176	1622	-7.56	-7.27	0
58	SLE RA 20	-11	171	1620	-7.31	-7.06	0
58	SLE RA 21	-11	176	1622	-7.56	-7.27	0
58	SLE FR 1	-9	142	1495	-6.13	-6.18	0
58	SLE FR 2	-10	144	1496	-6.22	-6.25	0
58	SLE FR 3	-9	142	1495	-6.13	-6.18	0
58	SLE FR 4	-10	153	1533	-6.57	-6.52	0
58	SLE FR 5	-10	151	1532	-6.49	-6.45	0
58	SLE FR 6	-10	157	1557	-6.72	-6.62	0
58	SLE QP 1	-9	142	1495	-6.13	-6.18	0
58	SLE QP 2	-10	151	1532	-6.49	-6.45	0
58	SLD 1	-6	261	1655	-11.15	-3.02	0
58	SLD 2	-6	261	1655	-11.15	-3.02	0
58	SLD 3	0	149	1577	-6.39	2.69	0.01
58	SLD 4	0	149	1577	-6.39	2.69	0.01
58	SLD 5	-17	355	1689	-15.1	-14.07	0
58	SLD 6	-17	355	1689	-15.1	-14.07	0
58	SLD 7	2	-20	1427	0.75	4.94	0.01
58	SLD 8	2	-20	1427	0.75	4.94	0.01
58	SLD 9	-21	322	1638	-13.73	-17.83	-0.01
58	SLD 10	-21	322	1638	-13.73	-17.83	-0.01
58	SLD 11	-2	-52	1376	2.12	1.18	0.01
58	SLD 12	-2	-52	1376	2.12	1.18	0.01
58	SLD 13	-19	153	1488	-6.58	-15.58	-0.01
58	SLD 14	-19	153	1488	-6.58	-15.58	-0.01
58	SLD 15	-14	41	1410	-1.83	-9.87	0
58	SLD 16	-14	41	1410	-1.83	-9.87	0
58	SLV 1	-1	411	1824	-17.5	1.58	0.01
58	SLV 2	-1	411	1824	-17.5	1.58	0.01
58	SLV 3	12	146	1636	-6.28	15.37	0.02
58	SLV 4	12	146	1636	-6.28	15.37	0.02
58	SLV 5	-28	632	1905	-26.82	-24.96	-0.01
58	SLV 6	-28	632	1905	-26.82	-24.96	-0.01
58	SLV 7	18	-253	1278	10.6	21.02	0.02
58	SLV 8	18	-253	1278	10.6	21.02	0.02
58	SLV 9	-38	556	1786	-23.58	-33.91	-0.02
58	SLV 10	-38	556	1786	-23.58	-33.91	-0.02
58	SLV 11	9	-330	1160	13.85	12.07	0.01
58	SLV 12	9	-330	1160	13.85	12.07	0.01
58	SLV 13	-32	157	1429	-6.7	-28.26	-0.02
58	SLV 14	-32	157	1429	-6.7	-28.26	-0.02
58	SLV 15	-18	-109	1241	4.53	-14.47	-0.01
58	SLV 16	-18	-109	1241	4.53	-14.47	-0.01
59	SLU 1	0	66	1797	-2.62	0.04	0
59	SLU 2	1	84	1803	-3.39	0.64	0
59	SLU 3	0	66	1797	-2.62	0.04	0
59	SLU 4	0	77	1801	-3.08	0.4	0
59	SLU 5	1	84	1803	-3.39	0.64	0
59	SLU 6	0	66	1797	-2.62	0.04	0
59	SLU 7	0	77	1801	-3.08	0.4	0
59	SLU 8	0	66	1797	-2.62	0.04	0
59	SLU 9	0	77	1801	-3.08	0.4	0
59	SLU 10	1	99	1994	-3.91	0.64	0
59	SLU 11	0	80	1987	-3.13	0.04	0
59	SLU 12	1	92	1991	-3.6	0.4	0
59	SLU 13	1	99	1994	-3.91	0.64	0
59	SLU 14	0	80	1987	-3.13	0.04	0
59	SLU 15	1	92	1991	-3.6	0.4	0
59	SLU 16	0	80	1987	-3.13	0.04	0
59	SLU 17	1	92	1991	-3.6	0.4	0



Nodo Ind.	Cont. N.br.	Reazione a traslazione			Reazione a rotazione		
		x	y	z	x	y	z
59	SLU 18	0	87	2069	-3.35	0.04	0
59	SLU 19	1	98	2073	-3.82	0.39	0
59	SLU 20	0	87	2069	-3.35	0.04	0
59	SLU 21	1	98	2073	-3.82	0.39	0
59	SLU 22	0	73	1894	-2.87	0.04	0
59	SLU 23	1	92	1900	-3.65	0.64	0
59	SLU 24	0	73	1894	-2.87	0.04	0
59	SLU 25	1	84	1898	-3.34	0.4	0
59	SLU 26	1	92	1900	-3.65	0.64	0
59	SLU 27	0	73	1894	-2.87	0.04	0
59	SLU 28	1	84	1898	-3.34	0.4	0
59	SLU 29	0	73	1894	-2.87	0.04	0
59	SLU 30	1	84	1898	-3.34	0.4	0
59	SLU 31	1	106	2091	-4.17	0.63	0
59	SLU 32	0	88	2084	-3.39	0.03	0
59	SLU 33	1	99	2088	-3.86	0.39	0
59	SLU 34	1	106	2091	-4.17	0.63	0
59	SLU 35	0	88	2084	-3.39	0.03	0
59	SLU 36	1	99	2088	-3.86	0.39	0
59	SLU 37	0	88	2084	-3.39	0.03	0
59	SLU 38	1	99	2088	-3.86	0.39	0
59	SLU 39	0	94	2166	-3.61	0.03	0
59	SLU 40	1	105	2170	-4.08	0.39	0
59	SLU 41	0	94	2166	-3.61	0.03	0
59	SLU 42	1	105	2170	-4.08	0.39	0
59	SLU 43	0	83	2302	-3.31	0.06	0
59	SLU 44	1	101	2309	-4.09	0.65	0
59	SLU 45	0	83	2302	-3.31	0.06	0
59	SLU 46	1	94	2306	-3.78	0.41	0
59	SLU 47	1	101	2309	-4.09	0.65	0
59	SLU 48	0	83	2302	-3.31	0.06	0
59	SLU 49	1	94	2306	-3.78	0.41	0
59	SLU 50	0	83	2302	-3.31	0.06	0
59	SLU 51	1	94	2306	-3.78	0.41	0
59	SLU 52	1	116	2499	-4.6	0.65	0
59	SLU 53	0	98	2493	-3.83	0.05	0
59	SLU 54	1	109	2497	-4.29	0.41	0
59	SLU 55	1	116	2499	-4.6	0.65	0
59	SLU 56	0	98	2493	-3.83	0.05	0
59	SLU 57	1	109	2497	-4.29	0.41	0
59	SLU 58	0	98	2493	-3.83	0.05	0
59	SLU 59	1	109	2497	-4.29	0.41	0
59	SLU 60	0	104	2574	-4.05	0.05	0
59	SLU 61	1	115	2578	-4.51	0.41	0
59	SLU 62	0	104	2574	-4.05	0.05	0
59	SLU 63	1	115	2578	-4.51	0.41	0
59	SLU 64	0	90	2399	-3.57	0.05	0
59	SLU 65	1	109	2406	-4.35	0.65	0
59	SLU 66	0	90	2399	-3.57	0.05	0
59	SLU 67	1	101	2403	-4.04	0.41	0
59	SLU 68	1	109	2406	-4.35	0.65	0
59	SLU 69	0	90	2399	-3.57	0.05	0
59	SLU 70	1	101	2403	-4.04	0.41	0
59	SLU 71	0	90	2399	-3.57	0.05	0
59	SLU 72	1	101	2403	-4.04	0.41	0
59	SLU 73	1	123	2596	-4.86	0.65	0
59	SLU 74	0	105	2590	-4.09	0.05	0
59	SLU 75	1	116	2594	-4.55	0.41	0
59	SLU 76	1	123	2596	-4.86	0.65	0
59	SLU 77	0	105	2590	-4.09	0.05	0
59	SLU 78	1	116	2594	-4.55	0.41	0
59	SLU 79	0	105	2590	-4.09	0.05	0
59	SLU 80	1	116	2594	-4.55	0.41	0
59	SLU 81	0	111	2671	-4.31	0.05	0
59	SLU 82	1	122	2675	-4.77	0.4	0
59	SLU 83	0	111	2671	-4.31	0.05	0
59	SLU 84	1	122	2675	-4.77	0.4	0
59	SLE RA 1	0	68	1824	-2.69	0.04	0
59	SLE RA 2	1	80	1829	-3.21	0.44	0
59	SLE RA 3	0	68	1824	-2.69	0.04	0
59	SLE RA 4	0	75	1827	-3	0.28	0
59	SLE RA 5	1	80	1829	-3.21	0.44	0
59	SLE RA 6	0	68	1824	-2.69	0.04	0
59	SLE RA 7	0	75	1827	-3	0.28	0
59	SLE RA 8	0	68	1824	-2.69	0.04	0
59	SLE RA 9	0	75	1827	-3	0.28	0
59	SLE RA 10	1	90	1956	-3.55	0.44	0
59	SLE RA 11	0	78	1951	-3.03	0.04	0
59	SLE RA 12	0	85	1954	-3.34	0.28	0
59	SLE RA 13	1	90	1956	-3.55	0.44	0
59	SLE RA 14	0	78	1951	-3.03	0.04	0
59	SLE RA 15	0	85	1954	-3.34	0.28	0
59	SLE RA 16	0	78	1951	-3.03	0.04	0
59	SLE RA 17	0	85	1954	-3.34	0.28	0
59	SLE RA 18	0	82	2006	-3.18	0.04	0
59	SLE RA 19	0	89	2008	-3.49	0.28	0
59	SLE RA 20	0	82	2006	-3.18	0.04	0
59	SLE RA 21	0	89	2008	-3.49	0.28	0



Nodo Ind.	Cont. N.br.	Reazione a traslazione			Reazione a rotazione		
		x	y	z	x	y	z
59	SLE FR 1	0	68	1824	-2.69	0.04	0
59	SLE FR 2	0	70	1825	-2.79	0.12	0
59	SLE FR 3	0	68	1824	-2.69	0.04	0
59	SLE FR 4	0	74	1880	-2.94	0.12	0
59	SLE FR 5	0	72	1879	-2.84	0.04	0
59	SLE FR 6	0	75	1915	-2.94	0.04	0
59	SLE QP 1	0	68	1824	-2.69	0.04	0
59	SLE QP 2	0	72	1879	-2.84	0.04	0
59	SLD 1	8	73	1786	-7.88	17.69	0.01
59	SLD 2	8	73	1786	-7.88	17.69	0.01
59	SLD 3	17	-51	1765	-2.77	8.52	0
59	SLD 4	17	-51	1765	-2.77	8.52	0
59	SLD 5	-11	260	1883	-12.1	19.24	0.01
59	SLD 6	-11	260	1883	-12.1	19.24	0.01
59	SLD 7	18	-153	1813	4.93	-11.32	-0.01
59	SLD 8	18	-153	1813	4.93	-11.32	-0.01
59	SLD 9	-18	297	1945	-10.61	11.4	0.01
59	SLD 10	-18	297	1945	-10.61	11.4	0.01
59	SLD 11	11	-116	1875	6.43	-19.16	-0.01
59	SLD 12	11	-116	1875	6.43	-19.16	-0.01
59	SLD 13	-16	195	1993	-2.9	-8.44	0
59	SLD 14	-16	195	1993	-2.9	-8.44	0
59	SLD 15	-8	71	1972	2.21	-17.61	-0.01
59	SLD 16	-8	71	1972	2.21	-17.61	-0.01
59	SLV 1	18	74	1659	-14.87	43.23	0.02
59	SLV 2	18	74	1659	-14.87	43.23	0.02
59	SLV 3	40	-222	1609	-2.68	20.18	0.01
59	SLV 4	40	-222	1609	-2.68	20.18	0.01
59	SLV 5	-27	522	1890	-24.93	47.95	0.03
59	SLV 6	-27	522	1890	-24.93	47.95	0.03
59	SLV 7	45	-465	1721	15.7	-28.87	-0.02
59	SLV 8	45	-465	1721	15.7	-28.87	-0.02
59	SLV 9	-45	609	2037	-21.37	28.95	0.02
59	SLV 10	-45	609	2037	-21.37	28.95	0.02
59	SLV 11	28	-378	1867	19.26	-47.87	-0.03
59	SLV 12	28	-378	1867	19.26	-47.87	-0.03
59	SLV 13	-40	366	2149	-2.99	-20.1	-0.01
59	SLV 14	-40	366	2149	-2.99	-20.1	-0.01
59	SLV 15	-18	70	2098	9.19	-43.15	-0.02
59	SLV 16	-18	70	2098	9.19	-43.15	-0.02
60	SLU 1	2	45	1060	-1.53	1.9	0
60	SLU 2	2	48	1064	-1.63	1.9	0
60	SLU 3	2	45	1060	-1.53	1.9	0
60	SLU 4	2	47	1063	-1.59	1.9	0
60	SLU 5	2	48	1064	-1.63	1.9	0
60	SLU 6	2	45	1060	-1.53	1.9	0
60	SLU 7	2	47	1063	-1.59	1.9	0
60	SLU 8	2	45	1060	-1.53	1.9	0
60	SLU 9	2	47	1063	-1.59	1.9	0
60	SLU 10	3	83	1263	-2.85	2.42	0
60	SLU 11	3	81	1260	-2.75	2.43	0
60	SLU 12	3	82	1262	-2.81	2.42	0
60	SLU 13	3	83	1263	-2.85	2.42	0
60	SLU 14	3	81	1260	-2.75	2.43	0
60	SLU 15	3	82	1262	-2.81	2.42	0
60	SLU 16	3	81	1260	-2.75	2.43	0
60	SLU 17	3	82	1262	-2.81	2.42	0
60	SLU 18	3	96	1345	-3.28	2.65	0
60	SLU 19	3	97	1347	-3.34	2.65	0
60	SLU 20	3	96	1345	-3.28	2.65	0
60	SLU 21	3	97	1347	-3.34	2.65	0
60	SLU 22	3	63	1162	-2.15	2.17	0
60	SLU 23	3	66	1165	-2.25	2.16	0
60	SLU 24	3	63	1162	-2.15	2.17	0
60	SLU 25	3	65	1164	-2.21	2.17	0
60	SLU 26	3	66	1165	-2.25	2.16	0
60	SLU 27	3	63	1162	-2.15	2.17	0
60	SLU 28	3	65	1164	-2.21	2.17	0
60	SLU 29	3	63	1162	-2.15	2.17	0
60	SLU 30	3	65	1164	-2.21	2.17	0
60	SLU 31	3	101	1365	-3.48	2.69	0
60	SLU 32	3	99	1361	-3.38	2.69	0
60	SLU 33	3	100	1363	-3.44	2.69	0
60	SLU 34	3	101	1365	-3.48	2.69	0
60	SLU 35	3	99	1361	-3.38	2.69	0
60	SLU 36	3	100	1363	-3.44	2.69	0
60	SLU 37	3	99	1361	-3.38	2.69	0
60	SLU 38	3	100	1363	-3.44	2.69	0
60	SLU 39	4	114	1446	-3.9	2.92	0
60	SLU 40	4	115	1449	-3.96	2.91	0
60	SLU 41	4	114	1446	-3.9	2.92	0
60	SLU 42	4	115	1449	-3.96	2.91	0
60	SLU 43	3	53	1344	-1.77	2.38	0
60	SLU 44	3	55	1347	-1.87	2.38	0
60	SLU 45	3	53	1344	-1.77	2.38	0
60	SLU 46	3	54	1346	-1.83	2.38	0
60	SLU 47	3	55	1347	-1.87	2.38	0
60	SLU 48	3	53	1344	-1.77	2.38	0



Nodo Ind.	Cont. N.br.	Reazione a traslazione			Reazione a rotazione		
		x	y	z	x	y	z
60	SLU 49	3	54	1346	-1.83	2.38	0
60	SLU 50	3	53	1344	-1.77	2.38	0
60	SLU 51	3	54	1346	-1.83	2.38	0
60	SLU 52	4	90	1547	-3.1	2.9	0
60	SLU 53	4	88	1543	-3	2.91	0
60	SLU 54	4	90	1545	-3.06	2.9	0
60	SLU 55	4	90	1547	-3.1	2.9	0
60	SLU 56	4	88	1543	-3	2.91	0
60	SLU 57	4	90	1545	-3.06	2.9	0
60	SLU 58	4	88	1543	-3	2.91	0
60	SLU 59	4	90	1545	-3.06	2.9	0
60	SLU 60	4	103	1628	-3.52	3.13	0
60	SLU 61	4	105	1630	-3.58	3.13	0
60	SLU 62	4	103	1628	-3.52	3.13	0
60	SLU 63	4	105	1630	-3.58	3.13	0
60	SLU 64	3	71	1445	-2.4	2.65	0
60	SLU 65	3	73	1449	-2.5	2.64	0
60	SLU 66	3	71	1445	-2.4	2.65	0
60	SLU 67	3	72	1447	-2.46	2.65	0
60	SLU 68	3	73	1449	-2.5	2.64	0
60	SLU 69	3	71	1445	-2.4	2.65	0
60	SLU 70	3	72	1447	-2.46	2.65	0
60	SLU 71	3	71	1445	-2.4	2.65	0
60	SLU 72	3	72	1447	-2.46	2.65	0
60	SLU 73	4	108	1648	-3.72	3.17	0
60	SLU 74	4	106	1644	-3.62	3.17	0
60	SLU 75	4	107	1647	-3.68	3.17	0
60	SLU 76	4	108	1648	-3.72	3.17	0
60	SLU 77	4	106	1644	-3.62	3.17	0
60	SLU 78	4	107	1647	-3.68	3.17	0
60	SLU 79	4	106	1644	-3.62	3.17	0
60	SLU 80	4	107	1647	-3.68	3.17	0
60	SLU 81	4	121	1730	-4.15	3.4	0
60	SLU 82	4	122	1732	-4.21	3.39	0
60	SLU 83	4	121	1730	-4.15	3.4	0
60	SLU 84	4	122	1732	-4.21	3.39	0
60	SLE RA 1	2	51	1089	-1.71	1.98	0
60	SLE RA 2	2	52	1092	-1.77	1.98	0
60	SLE RA 3	2	51	1089	-1.71	1.98	0
60	SLE RA 4	2	52	1091	-1.75	1.98	0
60	SLE RA 5	2	52	1092	-1.77	1.98	0
60	SLE RA 6	2	51	1089	-1.71	1.98	0
60	SLE RA 7	2	52	1091	-1.75	1.98	0
60	SLE RA 8	2	51	1089	-1.71	1.98	0
60	SLE RA 9	2	52	1091	-1.75	1.98	0
60	SLE RA 10	3	76	1225	-2.59	2.32	0
60	SLE RA 11	3	74	1222	-2.52	2.33	0
60	SLE RA 12	3	75	1224	-2.56	2.33	0
60	SLE RA 13	3	76	1225	-2.59	2.32	0
60	SLE RA 14	3	74	1222	-2.52	2.33	0
60	SLE RA 15	3	75	1224	-2.56	2.33	0
60	SLE RA 16	3	74	1222	-2.52	2.33	0
60	SLE RA 17	3	75	1224	-2.56	2.33	0
60	SLE RA 18	3	84	1279	-2.87	2.48	0
60	SLE RA 19	3	85	1281	-2.91	2.48	0
60	SLE RA 20	3	84	1279	-2.87	2.48	0
60	SLE RA 21	3	85	1281	-2.91	2.48	0
60	SLE FR 1	2	51	1089	-1.71	1.98	0
60	SLE FR 2	2	51	1090	-1.72	1.98	0
60	SLE FR 3	2	51	1089	-1.71	1.98	0
60	SLE FR 4	3	61	1147	-2.07	2.13	0
60	SLE FR 5	3	61	1146	-2.06	2.13	0
60	SLE FR 6	3	67	1184	-2.29	2.23	0
60	SLE QP 1	2	51	1089	-1.71	1.98	0
60	SLE QP 2	3	61	1146	-2.06	2.13	0
60	SLD 1	7	71	1296	-2.58	7.26	0
60	SLD 2	7	71	1296	-2.58	7.26	0
60	SLD 3	8	-44	1261	2.41	6.17	0
60	SLD 4	8	-44	1261	2.41	6.17	0
60	SLD 5	2	237	1245	-9.78	5.31	0
60	SLD 6	2	237	1245	-9.78	5.31	0
60	SLD 7	6	-144	1127	6.85	1.7	0
60	SLD 8	6	-144	1127	6.85	1.7	0
60	SLD 9	0	265	1166	-10.96	2.56	0
60	SLD 10	0	265	1166	-10.96	2.56	0
60	SLD 11	3	-115	1047	5.66	-1.05	0
60	SLD 12	3	-115	1047	5.66	-1.05	0
60	SLD 13	-2	165	1032	-6.52	-1.91	0
60	SLD 14	-2	165	1032	-6.52	-1.91	0
60	SLD 15	-1	51	996	-1.54	-3	0
60	SLD 16	-1	51	996	-1.54	-3	0
60	SLV 1	12	82	1499	-3.17	14.38	0.01
60	SLV 2	12	82	1499	-3.17	14.38	0.01
60	SLV 3	14	-187	1415	8.55	11.78	0
60	SLV 4	14	-187	1415	8.55	11.78	0
60	SLV 5	2	474	1380	-20.17	9.75	0.01
60	SLV 6	2	474	1380	-20.17	9.75	0.01
60	SLV 7	10	-420	1099	18.91	1.07	-0.01



Nodo Ind.	Cont. N.br.	Reazione a traslazione			Reazione a rotazione		
		x	y	z	x	y	z
60	SLV 8	10	-420	1099	18.91	1.07	-0.01
60	SLV 9	-4	542	1193	-23.02	3.18	0.01
60	SLV 10	-4	542	1193	-23.02	3.18	0.01
60	SLV 11	3	-353	913	16.06	-5.5	-0.01
60	SLV 12	3	-353	913	16.06	-5.5	-0.01
60	SLV 13	-9	308	878	-12.67	-7.52	0
60	SLV 14	-9	308	878	-12.67	-7.52	0
60	SLV 15	-7	40	794	-0.94	-10.12	-0.01
60	SLV 16	-7	40	794	-0.94	-10.12	-0.01
61	SLU 1	-8	154	1540	-5.9	-5.07	0
61	SLU 2	-8	166	1546	-6.34	-5.6	0
61	SLU 3	-8	154	1540	-5.9	-5.07	0
61	SLU 4	-8	162	1544	-6.16	-5.39	0
61	SLU 5	-8	166	1546	-6.34	-5.6	0
61	SLU 6	-8	154	1540	-5.9	-5.07	0
61	SLU 7	-8	162	1544	-6.16	-5.39	0
61	SLU 8	-8	154	1540	-5.9	-5.07	0
61	SLU 9	-8	162	1544	-6.16	-5.39	0
61	SLU 10	-9	207	1699	-7.92	-6.33	0
61	SLU 11	-9	195	1692	-7.48	-5.8	0
61	SLU 12	-9	202	1696	-7.75	-6.12	0
61	SLU 13	-9	207	1699	-7.92	-6.33	0
61	SLU 14	-9	195	1692	-7.48	-5.8	0
61	SLU 15	-9	202	1696	-7.75	-6.12	0
61	SLU 16	-9	195	1692	-7.48	-5.8	0
61	SLU 17	-9	202	1696	-7.75	-6.12	0
61	SLU 18	-9	213	1758	-8.16	-6.11	0
61	SLU 19	-10	220	1762	-8.43	-6.43	0
61	SLU 20	-9	213	1758	-8.16	-6.11	0
61	SLU 21	-10	220	1762	-8.43	-6.43	0
61	SLU 22	-8	175	1617	-6.7	-5.44	0
61	SLU 23	-9	187	1624	-7.14	-5.98	0
61	SLU 24	-8	175	1617	-6.7	-5.44	0
61	SLU 25	-9	182	1621	-6.97	-5.76	0
61	SLU 26	-9	187	1624	-7.14	-5.98	0
61	SLU 27	-8	175	1617	-6.7	-5.44	0
61	SLU 28	-9	182	1621	-6.97	-5.76	0
61	SLU 29	-8	175	1617	-6.7	-5.44	0
61	SLU 30	-9	182	1621	-6.97	-5.76	0
61	SLU 31	-10	228	1777	-8.73	-6.7	0
61	SLU 32	-9	216	1770	-8.29	-6.17	0
61	SLU 33	-10	223	1774	-8.55	-6.49	0
61	SLU 34	-10	228	1777	-8.73	-6.7	0
61	SLU 35	-9	216	1770	-8.29	-6.17	0
61	SLU 36	-10	223	1774	-8.55	-6.49	0
61	SLU 37	-9	216	1770	-8.29	-6.17	0
61	SLU 38	-10	223	1774	-8.55	-6.49	0
61	SLU 39	-10	233	1835	-8.97	-6.48	0
61	SLU 40	-10	241	1839	-9.23	-6.8	0
61	SLU 41	-10	233	1835	-8.97	-6.48	0
61	SLU 42	-10	241	1839	-9.23	-6.8	0
61	SLU 43	-10	193	1975	-7.39	-6.46	0
61	SLU 44	-11	205	1981	-7.83	-7	0
61	SLU 45	-10	193	1975	-7.39	-6.46	0
61	SLU 46	-10	201	1979	-7.65	-6.78	0
61	SLU 47	-11	205	1981	-7.83	-7	0
61	SLU 48	-10	193	1975	-7.39	-6.46	0
61	SLU 49	-10	201	1979	-7.65	-6.78	0
61	SLU 50	-10	193	1975	-7.39	-6.46	0
61	SLU 51	-10	201	1979	-7.65	-6.78	0
61	SLU 52	-12	246	2134	-9.42	-7.73	0
61	SLU 53	-11	234	2127	-8.98	-7.19	0
61	SLU 54	-11	242	2131	-9.24	-7.51	0
61	SLU 55	-12	246	2134	-9.42	-7.73	0
61	SLU 56	-11	234	2127	-8.98	-7.19	0
61	SLU 57	-11	242	2131	-9.24	-7.51	0
61	SLU 58	-11	234	2127	-8.98	-7.19	0
61	SLU 59	-11	242	2131	-9.24	-7.51	0
61	SLU 60	-11	252	2193	-9.66	-7.5	0
61	SLU 61	-12	259	2197	-9.92	-7.82	0
61	SLU 62	-11	252	2193	-9.66	-7.5	0
61	SLU 63	-12	259	2197	-9.92	-7.82	0
61	SLU 64	-10	214	2053	-8.2	-6.83	0
61	SLU 65	-11	226	2059	-8.64	-7.37	0
61	SLU 66	-10	214	2053	-8.2	-6.83	0
61	SLU 67	-11	221	2057	-8.46	-7.15	0
61	SLU 68	-11	226	2059	-8.64	-7.37	0
61	SLU 69	-10	214	2053	-8.2	-6.83	0
61	SLU 70	-11	221	2057	-8.46	-7.15	0
61	SLU 71	-10	214	2053	-8.2	-6.83	0
61	SLU 72	-11	221	2057	-8.46	-7.15	0
61	SLU 73	-12	267	2212	-10.22	-8.1	0
61	SLU 74	-11	255	2205	-9.78	-7.56	0
61	SLU 75	-12	262	2209	-10.04	-7.88	0
61	SLU 76	-12	267	2212	-10.22	-8.1	0
61	SLU 77	-11	255	2205	-9.78	-7.56	0
61	SLU 78	-12	262	2209	-10.04	-7.88	0
61	SLU 79	-11	255	2205	-9.78	-7.56	0



Nodo Ind.	Cont. N.br.	Reazione a traslazione			Reazione a rotazione		
		x	y	z	x	y	z
61	SLU 80	-12	262	2209	-10.04	-7.88	0
61	SLU 81	-12	273	2271	-10.46	-7.87	0
61	SLU 82	-12	280	2275	-10.72	-8.19	0
61	SLU 83	-12	273	2271	-10.46	-7.87	0
61	SLU 84	-12	280	2275	-10.72	-8.19	0
61	SLE RA 1	-8	160	1562	-6.13	-5.17	0
61	SLE RA 2	-8	168	1566	-6.42	-5.53	0
61	SLE RA 3	-8	160	1562	-6.13	-5.17	0
61	SLE RA 4	-8	165	1564	-6.3	-5.39	0
61	SLE RA 5	-8	168	1566	-6.42	-5.53	0
61	SLE RA 6	-8	160	1562	-6.13	-5.17	0
61	SLE RA 7	-8	165	1564	-6.3	-5.39	0
61	SLE RA 8	-8	160	1562	-6.13	-5.17	0
61	SLE RA 9	-8	165	1564	-6.3	-5.39	0
61	SLE RA 10	-9	196	1668	-7.48	-6.02	0
61	SLE RA 11	-9	187	1664	-7.18	-5.66	0
61	SLE RA 12	-9	192	1666	-7.36	-5.87	0
61	SLE RA 13	-9	196	1668	-7.48	-6.02	0
61	SLE RA 14	-9	187	1664	-7.18	-5.66	0
61	SLE RA 15	-9	192	1666	-7.36	-5.87	0
61	SLE RA 16	-9	187	1664	-7.18	-5.66	0
61	SLE RA 17	-9	192	1666	-7.36	-5.87	0
61	SLE RA 18	-9	199	1707	-7.64	-5.87	0
61	SLE RA 19	-9	204	1710	-7.81	-6.08	0
61	SLE RA 20	-9	199	1707	-7.64	-5.87	0
61	SLE RA 21	-9	204	1710	-7.81	-6.08	0
61	SLE FR 1	-8	160	1562	-6.13	-5.17	0
61	SLE FR 2	-8	162	1563	-6.19	-5.25	0
61	SLE FR 3	-8	160	1562	-6.13	-5.17	0
61	SLE FR 4	-8	173	1606	-6.64	-5.45	0
61	SLE FR 5	-8	172	1605	-6.58	-5.38	0
61	SLE FR 6	-8	180	1635	-6.88	-5.52	0
61	SLE QP 1	-8	160	1562	-6.13	-5.17	0
61	SLE QP 2	-8	172	1605	-6.58	-5.38	0
61	SLD 1	-1	284	1730	-11.37	-3.28	0.01
61	SLD 2	-1	284	1730	-11.37	-3.28	0.01
61	SLD 3	-7	171	1652	-6.49	2.16	0.01
61	SLD 4	-7	171	1652	-6.49	2.16	0.01
61	SLD 5	4	376	1760	-15.42	-13.01	-0.01
61	SLD 6	4	376	1760	-15.42	-13.01	-0.01
61	SLD 7	-17	1	1502	0.85	5.14	0.02
61	SLD 8	-17	1	1502	0.85	5.14	0.02
61	SLD 9	1	342	1709	-14.01	-15.9	-0.02
61	SLD 10	1	342	1709	-14.01	-15.9	-0.02
61	SLD 11	-20	-32	1451	2.26	2.25	0.01
61	SLD 12	-20	-32	1451	2.26	2.25	0.01
61	SLD 13	-9	172	1558	-6.67	-12.93	-0.01
61	SLD 14	-9	172	1558	-6.67	-12.93	-0.01
61	SLD 15	-16	60	1481	-1.79	-7.48	-0.01
61	SLD 16	-16	60	1481	-1.79	-7.48	-0.01
61	SLV 1	9	436	1901	-17.91	-0.52	0.01
61	SLV 2	9	436	1901	-17.91	-0.52	0.01
61	SLV 3	-6	171	1715	-6.37	12.67	0.03
61	SLV 4	-6	171	1715	-6.37	12.67	0.03
61	SLV 5	20	654	1976	-27.49	-23.92	-0.02
61	SLV 6	20	654	1976	-27.49	-23.92	-0.02
61	SLV 7	-31	-231	1356	10.99	20.04	0.04
61	SLV 8	-31	-231	1356	10.99	20.04	0.04
61	SLV 9	14	575	1854	-24.15	-30.8	-0.04
61	SLV 10	14	575	1854	-24.15	-30.8	-0.04
61	SLV 11	-37	-310	1235	14.33	13.16	0.02
61	SLV 12	-37	-310	1235	14.33	13.16	0.02
61	SLV 13	-10	173	1496	-6.79	-23.44	-0.03
61	SLV 14	-10	173	1496	-6.79	-23.44	-0.03
61	SLV 15	-26	-93	1310	4.75	-10.25	-0.01
61	SLV 16	-26	-93	1310	4.75	-10.25	-0.01
62	SLU 1	0	47	1839	-1.49	0	0
62	SLU 2	1	64	1846	-2.19	0.6	0
62	SLU 3	0	47	1839	-1.49	0	0
62	SLU 4	1	57	1843	-1.91	0.36	0
62	SLU 5	1	64	1846	-2.19	0.6	0
62	SLU 6	0	47	1839	-1.49	0	0
62	SLU 7	1	57	1843	-1.91	0.36	0
62	SLU 8	0	47	1839	-1.49	0	0
62	SLU 9	1	57	1843	-1.91	0.36	0
62	SLU 10	1	89	2059	-3.03	0.57	0
62	SLU 11	0	71	2052	-2.33	-0.03	0
62	SLU 12	1	81	2056	-2.75	0.33	0
62	SLU 13	1	89	2059	-3.03	0.57	0
62	SLU 14	0	71	2052	-2.33	-0.03	0
62	SLU 15	1	81	2056	-2.75	0.33	0
62	SLU 16	0	71	2052	-2.33	-0.03	0
62	SLU 17	1	81	2056	-2.75	0.33	0
62	SLU 18	0	81	2144	-2.69	-0.04	0
62	SLU 19	1	92	2148	-3.11	0.32	0
62	SLU 20	0	81	2144	-2.69	-0.04	0
62	SLU 21	1	92	2148	-3.11	0.32	0
62	SLU 22	0	59	1948	-1.91	-0.02	0



Nodo Ind.	Cont. N.br.	Reazione a traslazione			Reazione a rotazione		
		x	y	z	x	y	z
62	SLE FR 6	0	62	1972	-2.01	-0.02	0
62	SLE QP 1	0	50	1870	-1.61	-0.01	0
62	SLE QP 2	0	57	1931	-1.85	-0.02	0
62	SLD 1	4	57	1827	-1.86	6.13	0.01
62	SLD 2	4	57	1827	-1.86	6.13	0.01
62	SLD 3	13	-66	1814	3.18	14.76	0
62	SLD 4	13	-66	1814	3.18	14.76	0
62	SLD 5	-13	244	1920	-9.49	-11.27	0.01
62	SLD 6	-13	244	1920	-9.49	-11.27	0.01
62	SLD 7	18	-167	1876	7.29	17.51	-0.01
62	SLD 8	18	-167	1876	7.29	17.51	-0.01
62	SLD 9	-18	281	1986	-10.99	-17.54	0.01
62	SLD 10	-18	281	1986	-10.99	-17.54	0.01
62	SLD 11	13	-130	1943	5.79	11.24	-0.02
62	SLD 12	13	-130	1943	5.79	11.24	-0.02
62	SLD 13	-13	180	2048	-6.88	-14.79	0
62	SLD 14	-13	180	2048	-6.88	-14.79	0
62	SLD 15	-4	57	2035	-1.84	-6.16	-0.01
62	SLD 16	-4	57	2035	-1.84	-6.16	-0.01
62	SLV 1	8	58	1685	-1.89	14.38	0.02
62	SLV 2	8	58	1685	-1.89	14.38	0.02
62	SLV 3	32	-237	1654	10.15	36.26	0.01
62	SLV 4	32	-237	1654	10.15	36.26	0.01
62	SLV 5	-34	504	1905	-20.13	-28.88	0.04
62	SLV 6	-34	504	1905	-20.13	-28.88	0.04
62	SLV 7	46	-478	1800	20.02	44.05	-0.03
62	SLV 8	46	-478	1800	20.02	44.05	-0.03
62	SLV 9	-46	592	2062	-23.72	-44.08	0.03
62	SLV 10	-46	592	2062	-23.72	-44.08	0.03
62	SLV 11	34	-390	1957	16.43	28.85	-0.04
62	SLV 12	34	-390	1957	16.43	28.85	-0.04
62	SLV 13	-32	351	2209	-13.85	-36.29	-0.01
62	SLV 14	-32	351	2209	-13.85	-36.29	-0.01
62	SLV 15	-8	56	2177	-1.81	-14.41	-0.03
62	SLV 16	-8	56	2177	-1.81	-14.41	-0.03
63	SLU 1	1	57	1178	-1.66	1.39	0
63	SLU 2	1	60	1182	-1.75	1.38	0
63	SLU 3	1	57	1178	-1.66	1.39	0
63	SLU 4	1	59	1181	-1.72	1.38	0
63	SLU 5	1	60	1182	-1.75	1.38	0
63	SLU 6	1	57	1178	-1.66	1.39	0
63	SLU 7	1	59	1181	-1.72	1.38	0
63	SLU 8	1	57	1178	-1.66	1.39	0
63	SLU 9	1	59	1181	-1.72	1.38	0
63	SLU 10	2	111	1444	-3.58	1.76	0
63	SLU 11	2	109	1440	-3.49	1.77	0
63	SLU 12	2	110	1442	-3.54	1.77	0
63	SLU 13	2	111	1444	-3.58	1.76	0
63	SLU 14	2	109	1440	-3.49	1.77	0
63	SLU 15	2	110	1442	-3.54	1.77	0
63	SLU 16	2	109	1440	-3.49	1.77	0
63	SLU 17	2	110	1442	-3.54	1.77	0
63	SLU 18	2	131	1552	-4.27	1.94	0
63	SLU 19	2	132	1555	-4.33	1.93	0
63	SLU 20	2	131	1552	-4.27	1.94	0
63	SLU 21	2	132	1555	-4.33	1.93	0
63	SLU 22	2	83	1311	-2.59	1.58	0
63	SLU 23	2	86	1316	-2.69	1.58	0
63	SLU 24	2	83	1311	-2.59	1.58	0
63	SLU 25	2	85	1314	-2.65	1.58	0
63	SLU 26	2	86	1316	-2.69	1.58	0
63	SLU 27	2	83	1311	-2.59	1.58	0
63	SLU 28	2	85	1314	-2.65	1.58	0
63	SLU 29	2	83	1311	-2.59	1.58	0
63	SLU 30	2	85	1314	-2.65	1.58	0
63	SLU 31	2	137	1577	-4.51	1.96	0
63	SLU 32	2	135	1573	-4.42	1.97	0
63	SLU 33	2	136	1576	-4.47	1.96	0
63	SLU 34	2	137	1577	-4.51	1.96	0
63	SLU 35	2	135	1573	-4.42	1.97	0
63	SLU 36	2	136	1576	-4.47	1.96	0
63	SLU 37	2	135	1573	-4.42	1.97	0
63	SLU 38	2	136	1576	-4.47	1.96	0
63	SLU 39	2	157	1685	-5.2	2.13	0
63	SLU 40	2	158	1688	-5.26	2.12	0
63	SLU 41	2	157	1685	-5.2	2.13	0
63	SLU 42	2	158	1688	-5.26	2.12	0
63	SLU 43	2	65	1485	-1.84	1.74	0
63	SLU 44	2	68	1490	-1.93	1.73	0
63	SLU 45	2	65	1485	-1.84	1.74	0
63	SLU 46	2	67	1488	-1.9	1.74	0
63	SLU 47	2	68	1490	-1.93	1.73	0
63	SLU 48	2	65	1485	-1.84	1.74	0
63	SLU 49	2	67	1488	-1.9	1.74	0
63	SLU 50	2	65	1485	-1.84	1.74	0
63	SLU 51	2	67	1488	-1.9	1.74	0
63	SLU 52	2	119	1752	-3.76	2.11	0
63	SLU 53	2	117	1747	-3.67	2.12	0



Nodo Ind.	Cont. N.br.	Reazione a traslazione			Reazione a rotazione		
		x	y	z	x	y	z
63	SLU 54	2	118	1750	-3.72	2.12	0
63	SLU 55	2	119	1752	-3.76	2.11	0
63	SLU 56	2	117	1747	-3.67	2.12	0
63	SLU 57	2	118	1750	-3.72	2.12	0
63	SLU 58	2	117	1747	-3.67	2.12	0
63	SLU 59	2	118	1750	-3.72	2.12	0
63	SLU 60	2	139	1859	-4.45	2.29	0
63	SLU 61	2	140	1862	-4.51	2.28	0
63	SLU 62	2	139	1859	-4.45	2.29	0
63	SLU 63	2	140	1862	-4.51	2.28	0
63	SLU 64	2	92	1619	-2.77	1.94	0
63	SLU 65	2	94	1623	-2.86	1.93	0
63	SLU 66	2	92	1619	-2.77	1.94	0
63	SLU 67	2	93	1621	-2.83	1.93	0
63	SLU 68	2	94	1623	-2.86	1.93	0
63	SLU 69	2	92	1619	-2.77	1.94	0
63	SLU 70	2	93	1621	-2.83	1.93	0
63	SLU 71	2	92	1619	-2.77	1.94	0
63	SLU 72	2	93	1621	-2.83	1.93	0
63	SLU 73	2	145	1885	-4.69	2.31	0
63	SLU 74	2	143	1881	-4.6	2.32	0
63	SLU 75	2	144	1883	-4.65	2.31	0
63	SLU 76	2	145	1885	-4.69	2.31	0
63	SLU 77	2	143	1881	-4.6	2.32	0
63	SLU 78	2	144	1883	-4.65	2.31	0
63	SLU 79	2	143	1881	-4.6	2.32	0
63	SLU 80	2	144	1883	-4.65	2.31	0
63	SLU 81	3	165	1993	-5.38	2.48	0
63	SLU 82	3	166	1995	-5.44	2.47	0
63	SLU 83	3	165	1993	-5.38	2.48	0
63	SLU 84	3	166	1995	-5.44	2.47	0
63	SLE RA 1	1	65	1216	-1.93	1.45	0
63	SLE RA 2	1	66	1219	-1.99	1.44	0
63	SLE RA 3	1	65	1216	-1.93	1.45	0
63	SLE RA 4	1	66	1218	-1.96	1.44	0
63	SLE RA 5	1	66	1219	-1.99	1.44	0
63	SLE RA 6	1	65	1216	-1.93	1.45	0
63	SLE RA 7	1	66	1218	-1.96	1.44	0
63	SLE RA 8	1	65	1216	-1.93	1.45	0
63	SLE RA 9	1	66	1218	-1.96	1.44	0
63	SLE RA 10	2	101	1393	-3.21	1.69	0
63	SLE RA 11	2	99	1390	-3.14	1.7	0
63	SLE RA 12	2	100	1392	-3.18	1.7	0
63	SLE RA 13	2	101	1393	-3.21	1.69	0
63	SLE RA 14	2	99	1390	-3.14	1.7	0
63	SLE RA 15	2	100	1392	-3.18	1.7	0
63	SLE RA 16	2	99	1390	-3.14	1.7	0
63	SLE RA 17	2	100	1392	-3.18	1.7	0
63	SLE RA 18	2	114	1465	-3.67	1.81	0
63	SLE RA 19	2	115	1467	-3.7	1.81	0
63	SLE RA 20	2	114	1465	-3.67	1.81	0
63	SLE RA 21	2	115	1467	-3.7	1.81	0
63	SLE FR 1	1	65	1216	-1.93	1.45	0
63	SLE FR 2	1	65	1216	-1.94	1.44	0
63	SLE FR 3	1	65	1216	-1.93	1.45	0
63	SLE FR 4	2	80	1291	-2.46	1.55	0
63	SLE FR 5	2	79	1291	-2.45	1.56	0
63	SLE FR 6	2	89	1341	-2.8	1.63	0
63	SLE QP 1	1	65	1216	-1.93	1.45	0
63	SLE QP 2	2	79	1291	-2.45	1.56	0
63	SLD 1	3	83	1375	-2.73	4.4	0.01
63	SLD 2	3	83	1375	-2.73	4.4	0.01
63	SLD 3	4	-26	1403	1.93	5.12	0
63	SLD 4	4	-26	1403	1.93	5.12	0
63	SLD 5	1	246	1275	-9.59	1.32	0
63	SLD 6	1	246	1275	-9.59	1.32	0
63	SLD 7	3	-118	1366	5.92	3.71	0
63	SLD 8	3	-118	1366	5.92	3.71	0
63	SLD 9	0	277	1216	-10.82	-0.6	0
63	SLD 10	0	277	1216	-10.82	-0.6	0
63	SLD 11	2	-87	1307	4.69	1.79	0
63	SLD 12	2	-87	1307	4.69	1.79	0
63	SLD 13	-1	184	1179	-6.83	-2.01	0
63	SLD 14	-1	184	1179	-6.83	-2.01	0
63	SLD 15	0	75	1206	-2.17	-1.29	0
63	SLD 16	0	75	1206	-2.17	-1.29	0
63	SLV 1	6	86	1490	-2.99	8.34	0.01
63	SLV 2	6	86	1490	-2.99	8.34	0.01
63	SLV 3	7	-170	1554	7.95	10.07	0.01
63	SLV 4	7	-170	1554	7.95	10.07	0.01
63	SLV 5	1	471	1252	-19.2	0.97	0.01
63	SLV 6	1	471	1252	-19.2	0.97	0.01
63	SLV 7	5	-385	1468	17.26	6.73	0
63	SLV 8	5	-385	1468	17.26	6.73	0
63	SLV 9	-2	544	1114	-22.16	-3.62	0
63	SLV 10	-2	544	1114	-22.16	-3.62	0
63	SLV 11	2	-312	1329	14.31	2.14	0
63	SLV 12	2	-312	1329	14.31	2.14	0



Nodo Ind.	Cont. N.br.	Reazione a traslazione			Reazione a rotazione		
		x	y	z	x	y	z
63	SLV 13	-4	329	1027	-12.85	-6.96	-0.01
63	SLV 14	-4	329	1027	-12.85	-6.96	-0.01
63	SLV 15	-3	72	1091	-1.91	-5.23	-0.01
63	SLV 16	-3	72	1091	-1.91	-5.23	-0.01
64	SLU 1	0	59	131	-1.08	0.08	-0.01
64	SLU 2	0	58	128	-1.06	0.14	-0.02
64	SLU 3	0	59	131	-1.08	0.08	-0.01
64	SLU 4	0	59	129	-1.07	0.12	-0.02
64	SLU 5	0	58	128	-1.06	0.14	-0.02
64	SLU 6	0	59	131	-1.08	0.08	-0.01
64	SLU 7	0	59	129	-1.07	0.12	-0.02
64	SLU 8	0	59	131	-1.08	0.08	-0.01
64	SLU 9	0	59	129	-1.07	0.12	-0.02
64	SLU 10	0	54	39	-0.9	0.16	-0.02
64	SLU 11	0	54	42	-0.92	0.09	-0.01
64	SLU 12	0	54	40	-0.91	0.13	-0.02
64	SLU 13	0	54	39	-0.9	0.16	-0.02
64	SLU 14	0	54	42	-0.92	0.09	-0.01
64	SLU 15	0	54	40	-0.91	0.13	-0.02
64	SLU 16	0	54	42	-0.92	0.09	-0.01
64	SLU 17	0	54	40	-0.91	0.13	-0.02
64	SLU 18	0	52	4	-0.85	0.1	-0.02
64	SLU 19	0	52	2	-0.84	0.14	-0.02
64	SLU 20	0	52	4	-0.85	0.1	-0.02
64	SLU 21	0	52	2	-0.84	0.14	-0.02
64	SLU 22	0	56	86	-1	0.09	-0.01
64	SLU 23	0	56	82	-0.97	0.15	-0.02
64	SLU 24	0	56	86	-1	0.09	-0.01
64	SLU 25	0	56	84	-0.98	0.12	-0.02
64	SLU 26	0	56	82	-0.97	0.15	-0.02
64	SLU 27	0	56	86	-1	0.09	-0.01
64	SLU 28	0	56	84	-0.98	0.12	-0.02
64	SLU 29	0	56	86	-1	0.09	-0.01
64	SLU 30	0	56	84	-0.98	0.12	-0.02
64	SLU 31	0	51	-6	-0.81	0.16	-0.03
64	SLU 32	0	52	-3	-0.84	0.1	-0.02
64	SLU 33	0	51	-5	-0.82	0.14	-0.02
64	SLU 34	0	51	-6	-0.81	0.16	-0.03
64	SLU 35	0	52	-3	-0.84	0.1	-0.02
64	SLU 36	0	51	-5	-0.82	0.14	-0.02
64	SLU 37	0	52	-3	-0.84	0.1	-0.02
64	SLU 38	0	51	-5	-0.82	0.14	-0.02
64	SLU 39	0	50	-41	-0.77	0.1	-0.02
64	SLU 40	0	49	-43	-0.75	0.14	-0.02
64	SLU 41	0	50	-41	-0.77	0.1	-0.02
64	SLU 42	0	49	-43	-0.75	0.14	-0.02
64	SLU 43	0	77	185	-1.44	0.1	-0.02
64	SLU 44	0	77	182	-1.41	0.17	-0.03
64	SLU 45	0	77	185	-1.44	0.1	-0.02
64	SLU 46	0	77	183	-1.42	0.14	-0.02
64	SLU 47	0	77	182	-1.41	0.17	-0.03
64	SLU 48	0	77	185	-1.44	0.1	-0.02
64	SLU 49	0	77	183	-1.42	0.14	-0.02
64	SLU 50	0	77	185	-1.44	0.1	-0.02
64	SLU 51	0	77	183	-1.42	0.14	-0.02
64	SLU 52	0	72	94	-1.25	0.18	-0.03
64	SLU 53	0	73	97	-1.27	0.12	-0.02
64	SLU 54	0	72	95	-1.26	0.15	-0.02
64	SLU 55	0	72	94	-1.25	0.18	-0.03
64	SLU 56	0	73	97	-1.27	0.12	-0.02
64	SLU 57	0	72	95	-1.26	0.15	-0.02
64	SLU 58	0	73	97	-1.27	0.12	-0.02
64	SLU 59	0	72	95	-1.26	0.15	-0.02
64	SLU 60	0	70	59	-1.2	0.12	-0.02
64	SLU 61	0	70	57	-1.19	0.16	-0.03
64	SLU 62	0	70	59	-1.2	0.12	-0.02
64	SLU 63	0	70	57	-1.19	0.16	-0.03
64	SLU 64	0	75	140	-1.35	0.11	-0.02
64	SLU 65	0	74	137	-1.33	0.17	-0.03
64	SLU 66	0	75	140	-1.35	0.11	-0.02
64	SLU 67	0	75	138	-1.34	0.15	-0.02
64	SLU 68	0	74	137	-1.33	0.17	-0.03
64	SLU 69	0	75	140	-1.35	0.11	-0.02
64	SLU 70	0	75	138	-1.34	0.15	-0.02
64	SLU 71	0	75	140	-1.35	0.11	-0.02
64	SLU 72	0	75	138	-1.34	0.15	-0.02
64	SLU 73	0	70	49	-1.17	0.18	-0.03
64	SLU 74	0	70	52	-1.19	0.12	-0.02
64	SLU 75	0	70	50	-1.18	0.16	-0.03
64	SLU 76	0	70	49	-1.17	0.18	-0.03
64	SLU 77	0	70	52	-1.19	0.12	-0.02
64	SLU 78	0	70	50	-1.18	0.16	-0.03
64	SLU 79	0	70	52	-1.19	0.12	-0.02
64	SLU 80	0	70	50	-1.18	0.16	-0.03
64	SLU 81	0	68	14	-1.12	0.13	-0.02
64	SLU 82	0	68	12	-1.11	0.16	-0.03
64	SLU 83	0	68	14	-1.12	0.13	-0.02
64	SLU 84	0	68	12	-1.11	0.16	-0.03



Nodo Ind.	Cont. N.br.	Reazione a traslazione			Reazione a rotazione		
		x	y	z	x	y	z
64	SLE RA 1	0	58	118	-1.06	0.08	-0.01
64	SLE RA 2	0	58	116	-1.04	0.12	-0.02
64	SLE RA 3	0	58	118	-1.06	0.08	-0.01
64	SLE RA 4	0	58	117	-1.05	0.11	-0.02
64	SLE RA 5	0	58	116	-1.04	0.12	-0.02
64	SLE RA 6	0	58	118	-1.06	0.08	-0.01
64	SLE RA 7	0	58	117	-1.05	0.11	-0.02
64	SLE RA 8	0	58	118	-1.06	0.08	-0.01
64	SLE RA 9	0	58	117	-1.05	0.11	-0.02
64	SLE RA 10	0	55	57	-0.93	0.13	-0.02
64	SLE RA 11	0	55	59	-0.95	0.09	-0.01
64	SLE RA 12	0	55	57	-0.94	0.12	-0.02
64	SLE RA 13	0	55	57	-0.93	0.13	-0.02
64	SLE RA 14	0	55	59	-0.95	0.09	-0.01
64	SLE RA 15	0	55	57	-0.94	0.12	-0.02
64	SLE RA 16	0	55	59	-0.95	0.09	-0.01
64	SLE RA 17	0	55	57	-0.94	0.12	-0.02
64	SLE RA 18	0	54	33	-0.9	0.09	-0.01
64	SLE RA 19	0	53	32	-0.89	0.12	-0.02
64	SLE RA 20	0	54	33	-0.9	0.09	-0.01
64	SLE RA 21	0	53	32	-0.89	0.12	-0.02
64	SLE FR 1	0	58	118	-1.06	0.08	-0.01
64	SLE FR 2	0	58	117	-1.06	0.09	-0.01
64	SLE FR 3	0	58	118	-1.06	0.08	-0.01
64	SLE FR 4	0	57	92	-1.01	0.09	-0.01
64	SLE FR 5	0	57	92	-1.01	0.09	-0.01
64	SLE FR 6	0	56	76	-0.98	0.09	-0.01
64	SLE QP 1	0	58	118	-1.06	0.08	-0.01
64	SLE QP 2	0	57	92	-1.01	0.09	-0.01
64	SLD 1	-1	202	607	-5.91	-0.35	0.05
64	SLD 2	-1	202	607	-5.91	-0.35	0.05
64	SLD 3	8	-14	-157	1.23	2.7	-0.46
64	SLD 4	8	-14	-157	1.23	2.7	-0.46
64	SLD 5	-13	428	1405	-13.32	-4.66	0.79
64	SLD 6	-13	428	1405	-13.32	-4.66	0.79
64	SLD 7	15	-292	-1141	10.5	5.49	-0.93
64	SLD 8	15	-292	-1141	10.5	5.49	-0.93
64	SLD 9	-15	405	1326	-12.52	-5.31	0.9
64	SLD 10	-15	405	1326	-12.52	-5.31	0.9
64	SLD 11	13	-314	-1220	11.29	4.83	-0.81
64	SLD 12	13	-314	-1220	11.29	4.83	-0.81
64	SLD 13	-7	127	342	-3.26	-2.52	0.43
64	SLD 14	-7	127	342	-3.26	-2.52	0.43
64	SLD 15	1	-89	-422	3.89	0.52	-0.08
64	SLD 16	1	-89	-422	3.89	0.52	-0.08
64	SLV 1	-2	407	1330	-12.88	-1	0.15
64	SLV 2	-2	407	1330	-12.88	-1	0.15
64	SLV 3	18	-109	-495	4.25	6.26	-1.07
64	SLV 4	18	-109	-495	4.25	6.26	-1.07
64	SLV 5	-31	944	3232	-30.56	-11.24	1.89
64	SLV 6	-31	944	3232	-30.56	-11.24	1.89
64	SLV 7	36	-775	-2852	26.55	12.94	-2.19
64	SLV 8	36	-775	-2852	26.55	12.94	-2.19
64	SLV 9	-36	889	3037	-28.58	-12.77	2.16
64	SLV 10	-36	889	3037	-28.58	-12.77	2.16
64	SLV 11	31	-831	-3047	28.53	11.42	-1.92
64	SLV 12	31	-831	-3047	28.53	11.42	-1.92
64	SLV 13	-18	222	680	-6.28	-6.08	1.05
64	SLV 14	-18	222	680	-6.28	-6.08	1.05
64	SLV 15	2	-294	-1145	10.86	1.17	-0.18
64	SLV 16	2	-294	-1145	10.86	1.17	-0.18
65	SLU 1	0	59	141	-1.06	-0.09	0.01
65	SLU 2	0	57	136	-1.02	-0.14	0.02
65	SLU 3	0	59	141	-1.06	-0.09	0.01
65	SLU 4	0	58	138	-1.03	-0.12	0.02
65	SLU 5	0	57	136	-1.02	-0.14	0.02
65	SLU 6	0	59	141	-1.06	-0.09	0.01
65	SLU 7	0	58	138	-1.03	-0.12	0.02
65	SLU 8	0	59	141	-1.06	-0.09	0.01
65	SLU 9	0	58	138	-1.03	-0.12	0.02
65	SLU 10	0	52	47	-0.84	-0.16	0.03
65	SLU 11	0	53	52	-0.89	-0.1	0.02
65	SLU 12	0	53	49	-0.86	-0.14	0.02
65	SLU 13	0	52	47	-0.84	-0.16	0.03
65	SLU 14	0	53	52	-0.89	-0.1	0.02
65	SLU 15	0	53	49	-0.86	-0.14	0.02
65	SLU 16	0	53	52	-0.89	-0.1	0.02
65	SLU 17	0	53	49	-0.86	-0.14	0.02
65	SLU 18	0	51	13	-0.81	-0.11	0.02
65	SLU 19	0	50	10	-0.78	-0.15	0.02
65	SLU 20	0	51	13	-0.81	-0.11	0.02
65	SLU 21	0	50	10	-0.78	-0.15	0.02
65	SLU 22	0	56	95	-0.97	-0.1	0.01
65	SLU 23	0	55	90	-0.93	-0.15	0.02
65	SLU 24	0	56	95	-0.97	-0.1	0.01
65	SLU 25	0	55	92	-0.94	-0.13	0.02
65	SLU 26	0	55	90	-0.93	-0.15	0.02
65	SLU 27	0	56	95	-0.97	-0.1	0.01



Nodo Ind.	Cont. N.br.	Reazione a traslazione			Reazione a rotazione		
		x	y	z	x	y	z
65	SLU 28	0	55	92	-0.94	-0.13	0.02
65	SLU 29	0	56	95	-0.97	-0.1	0.01
65	SLU 30	0	55	92	-0.94	-0.13	0.02
65	SLU 31	0	50	1	-0.75	-0.17	0.03
65	SLU 32	0	51	6	-0.8	-0.11	0.02
65	SLU 33	0	50	3	-0.77	-0.15	0.02
65	SLU 34	0	50	1	-0.75	-0.17	0.03
65	SLU 35	0	51	6	-0.8	-0.11	0.02
65	SLU 36	0	50	3	-0.77	-0.15	0.02
65	SLU 37	0	51	6	-0.8	-0.11	0.02
65	SLU 38	0	50	3	-0.77	-0.15	0.02
65	SLU 39	0	49	-32	-0.72	-0.12	0.02
65	SLU 40	0	48	-35	-0.69	-0.15	0.02
65	SLU 41	0	49	-32	-0.72	-0.12	0.02
65	SLU 42	0	48	-35	-0.69	-0.15	0.02
65	SLU 43	0	77	199	-1.41	-0.11	0.02
65	SLU 44	0	76	194	-1.37	-0.16	0.03
65	SLU 45	0	77	199	-1.41	-0.11	0.02
65	SLU 46	0	76	196	-1.38	-0.14	0.02
65	SLU 47	0	76	194	-1.37	-0.16	0.03
65	SLU 48	0	77	199	-1.41	-0.11	0.02
65	SLU 49	0	76	196	-1.38	-0.14	0.02
65	SLU 50	0	77	199	-1.41	-0.11	0.02
65	SLU 51	0	76	196	-1.38	-0.14	0.02
65	SLU 52	0	71	104	-1.19	-0.18	0.03
65	SLU 53	0	72	109	-1.24	-0.13	0.02
65	SLU 54	0	71	106	-1.21	-0.16	0.03
65	SLU 55	0	71	104	-1.19	-0.18	0.03
65	SLU 56	0	72	109	-1.24	-0.13	0.02
65	SLU 57	0	71	106	-1.21	-0.16	0.03
65	SLU 58	0	72	109	-1.24	-0.13	0.02
65	SLU 59	0	71	106	-1.21	-0.16	0.03
65	SLU 60	0	70	71	-1.16	-0.13	0.02
65	SLU 61	0	69	68	-1.13	-0.17	0.03
65	SLU 62	0	70	71	-1.16	-0.13	0.02
65	SLU 63	0	69	68	-1.13	-0.17	0.03
65	SLU 64	0	74	153	-1.32	-0.12	0.02
65	SLU 65	0	73	148	-1.28	-0.17	0.03
65	SLU 66	0	74	153	-1.32	-0.12	0.02
65	SLU 67	0	74	150	-1.29	-0.15	0.02
65	SLU 68	0	73	148	-1.28	-0.17	0.03
65	SLU 69	0	74	153	-1.32	-0.12	0.02
65	SLU 70	0	74	150	-1.29	-0.15	0.02
65	SLU 71	0	74	153	-1.32	-0.12	0.02
65	SLU 72	0	74	150	-1.29	-0.15	0.02
65	SLU 73	0	68	59	-1.1	-0.19	0.03
65	SLU 74	0	69	64	-1.15	-0.14	0.02
65	SLU 75	0	69	61	-1.12	-0.17	0.03
65	SLU 76	0	68	59	-1.1	-0.19	0.03
65	SLU 77	0	69	64	-1.15	-0.14	0.02
65	SLU 78	0	69	61	-1.12	-0.17	0.03
65	SLU 79	0	69	64	-1.15	-0.14	0.02
65	SLU 80	0	69	61	-1.12	-0.17	0.03
65	SLU 81	0	67	26	-1.07	-0.14	0.02
65	SLU 82	0	66	23	-1.04	-0.18	0.03
65	SLU 83	0	67	26	-1.07	-0.14	0.02
65	SLU 84	0	66	23	-1.04	-0.18	0.03
65	SLE RA 1	0	58	128	-1.04	-0.09	0.01
65	SLE RA 2	0	57	125	-1.01	-0.13	0.02
65	SLE RA 3	0	58	128	-1.04	-0.09	0.01
65	SLE RA 4	0	57	126	-1.02	-0.11	0.02
65	SLE RA 5	0	57	125	-1.01	-0.13	0.02
65	SLE RA 6	0	58	128	-1.04	-0.09	0.01
65	SLE RA 7	0	57	126	-1.02	-0.11	0.02
65	SLE RA 8	0	58	128	-1.04	-0.09	0.01
65	SLE RA 9	0	57	126	-1.02	-0.11	0.02
65	SLE RA 10	0	54	65	-0.89	-0.14	0.02
65	SLE RA 11	0	54	68	-0.92	-0.1	0.02
65	SLE RA 12	0	54	66	-0.9	-0.12	0.02
65	SLE RA 13	0	54	65	-0.89	-0.14	0.02
65	SLE RA 14	0	54	68	-0.92	-0.1	0.02
65	SLE RA 15	0	54	66	-0.9	-0.12	0.02
65	SLE RA 16	0	54	68	-0.92	-0.1	0.02
65	SLE RA 17	0	54	66	-0.9	-0.12	0.02
65	SLE RA 18	0	53	43	-0.87	-0.11	0.02
65	SLE RA 19	0	52	41	-0.85	-0.13	0.02
65	SLE RA 20	0	53	43	-0.87	-0.11	0.02
65	SLE RA 21	0	52	41	-0.85	-0.13	0.02
65	SLE FR 1	0	58	128	-1.04	-0.09	0.01
65	SLE FR 2	0	58	127	-1.03	-0.1	0.02
65	SLE FR 3	0	58	128	-1.04	-0.09	0.01
65	SLE FR 4	0	56	102	-0.98	-0.1	0.02
65	SLE FR 5	0	56	102	-0.99	-0.09	0.01
65	SLE FR 6	0	55	85	-0.95	-0.1	0.02
65	SLE QP 1	0	58	128	-1.04	-0.09	0.01
65	SLE QP 2	0	56	102	-0.99	-0.09	0.01
65	SLD 1	7	108	290	-2.57	2.28	-0.39
65	SLD 2	7	108	290	-2.57	2.28	-0.39



Nodo Ind.	Cont. N.br.	Reazione a traslazione			Reazione a rotazione		
		x	y	z	x	y	z
65	SLD 3	0	-115	-502	4.79	-0.03	0
65	SLD 4	0	-115	-502	4.79	-0.03	0
65	SLD 5	11	411	1360	-12.62	4.12	-0.69
65	SLD 6	11	411	1360	-12.62	4.12	-0.69
65	SLD 7	-9	-333	-1280	11.9	-3.58	0.59
65	SLD 8	-9	-333	-1280	11.9	-3.58	0.59
65	SLD 9	9	446	1485	-13.87	3.39	-0.57
65	SLD 10	9	446	1485	-13.87	3.39	-0.57
65	SLD 11	-11	-298	-1155	10.64	-4.31	0.72
65	SLD 12	-11	-298	-1155	10.64	-4.31	0.72
65	SLD 13	-1	227	707	-6.76	-0.15	0.03
65	SLD 14	-1	227	707	-6.76	-0.15	0.03
65	SLD 15	-7	4	-85	0.6	-2.46	0.42
65	SLD 16	-7	4	-85	0.6	-2.46	0.42
65	SLV 1	16	182	553	-4.8	5.74	-0.98
65	SLV 2	16	182	553	-4.8	5.74	-0.98
65	SLV 3	1	-363	-1380	13.23	-0.12	0
65	SLV 4	1	-363	-1380	13.23	-0.12	0
65	SLV 5	28	921	3169	-29.47	10.54	-1.77
65	SLV 6	28	921	3169	-29.47	10.54	-1.77
65	SLV 7	-23	-896	-3274	30.62	-8.98	1.49
65	SLV 8	-23	-896	-3274	30.62	-8.98	1.49
65	SLV 9	23	1009	3479	-32.59	8.8	-1.46
65	SLV 10	23	1009	3479	-32.59	8.8	-1.46
65	SLV 11	-28	-808	-2964	27.5	-10.73	1.8
65	SLV 12	-28	-808	-2964	27.5	-10.73	1.8
65	SLV 13	-1	476	1585	-15.2	-0.07	0.03
65	SLV 14	-1	476	1585	-15.2	-0.07	0.03
65	SLV 15	-17	-69	-348	2.83	-5.93	1.01
65	SLV 16	-17	-69	-348	2.83	-5.93	1.01
66	SLU 1	-5	170	1637	-7.08	-3.44	0
66	SLU 2	-5	184	1647	-7.76	-3.93	0
66	SLU 3	-5	170	1637	-7.08	-3.44	0
66	SLU 4	-5	178	1643	-7.49	-3.73	0
66	SLU 5	-5	184	1647	-7.76	-3.93	0
66	SLU 6	-5	170	1637	-7.08	-3.44	0
66	SLU 7	-5	178	1643	-7.49	-3.73	0
66	SLU 8	-5	170	1637	-7.08	-3.44	0
66	SLU 9	-5	178	1643	-7.49	-3.73	0
66	SLU 10	-6	233	1833	-9.7	-4.36	0
66	SLU 11	-5	219	1824	-9.03	-3.88	0
66	SLU 12	-6	227	1830	-9.43	-4.17	0
66	SLU 13	-6	233	1833	-9.7	-4.36	0
66	SLU 14	-5	219	1824	-9.03	-3.88	0
66	SLU 15	-6	227	1830	-9.43	-4.17	0
66	SLU 16	-5	219	1824	-9.03	-3.88	0
66	SLU 17	-6	227	1830	-9.43	-4.17	0
66	SLU 18	-6	240	1904	-9.86	-4.06	0
66	SLU 19	-6	248	1910	-10.27	-4.35	0
66	SLU 20	-6	240	1904	-9.86	-4.06	0
66	SLU 21	-6	248	1910	-10.27	-4.35	0
66	SLU 22	-5	195	1733	-8.07	-3.66	0
66	SLU 23	-6	209	1742	-8.74	-4.15	0
66	SLU 24	-5	195	1733	-8.07	-3.66	0
66	SLU 25	-5	203	1738	-8.48	-3.96	0
66	SLU 26	-6	209	1742	-8.74	-4.15	0
66	SLU 27	-5	195	1733	-8.07	-3.66	0
66	SLU 28	-5	203	1738	-8.48	-3.96	0
66	SLU 29	-5	195	1733	-8.07	-3.66	0
66	SLU 30	-5	203	1738	-8.48	-3.96	0
66	SLU 31	-6	258	1929	-10.69	-4.58	0
66	SLU 32	-6	244	1919	-10.02	-4.1	0
66	SLU 33	-6	252	1925	-10.42	-4.39	0
66	SLU 34	-6	258	1929	-10.69	-4.58	0
66	SLU 35	-6	244	1919	-10.02	-4.1	0
66	SLU 36	-6	252	1925	-10.42	-4.39	0
66	SLU 37	-6	244	1919	-10.02	-4.1	0
66	SLU 38	-6	252	1925	-10.42	-4.39	0
66	SLU 39	-6	265	2000	-10.85	-4.28	0
66	SLU 40	-6	273	2005	-11.26	-4.58	0
66	SLU 41	-6	265	2000	-10.85	-4.28	0
66	SLU 42	-6	273	2005	-11.26	-4.58	0
66	SLU 43	-6	212	2096	-8.87	-4.4	0
66	SLU 44	-7	226	2105	-9.54	-4.89	0
66	SLU 45	-6	212	2096	-8.87	-4.4	0
66	SLU 46	-6	220	2101	-9.27	-4.69	0
66	SLU 47	-7	226	2105	-9.54	-4.89	0
66	SLU 48	-6	212	2096	-8.87	-4.4	0
66	SLU 49	-6	220	2101	-9.27	-4.69	0
66	SLU 50	-6	212	2096	-8.87	-4.4	0
66	SLU 51	-6	220	2101	-9.27	-4.69	0
66	SLU 52	-7	275	2292	-11.49	-5.32	0
66	SLU 53	-7	261	2283	-10.82	-4.83	0
66	SLU 54	-7	269	2288	-11.22	-5.13	0
66	SLU 55	-7	275	2292	-11.49	-5.32	0
66	SLU 56	-7	261	2283	-10.82	-4.83	0
66	SLU 57	-7	269	2288	-11.22	-5.13	0
66	SLU 58	-7	261	2283	-10.82	-4.83	0



Nodo Ind.	Cont. N.br.	Reazione a traslazione			Reazione a rotazione		
		x	y	z	x	y	z
66	SLU 59	-7	269	2288	-11.22	-5.13	0
66	SLU 60	-7	282	2363	-11.65	-5.02	0
66	SLU 61	-7	291	2368	-12.05	-5.31	0
66	SLU 62	-7	282	2363	-11.65	-5.02	0
66	SLU 63	-7	291	2368	-12.05	-5.31	0
66	SLU 64	-6	237	2191	-9.86	-4.62	0
66	SLU 65	-7	251	2200	-10.53	-5.11	0
66	SLU 66	-6	237	2191	-9.86	-4.62	0
66	SLU 67	-7	245	2197	-10.26	-4.91	0
66	SLU 68	-7	251	2200	-10.53	-5.11	0
66	SLU 69	-6	237	2191	-9.86	-4.62	0
66	SLU 70	-7	245	2197	-10.26	-4.91	0
66	SLU 71	-6	237	2191	-9.86	-4.62	0
66	SLU 72	-7	245	2197	-10.26	-4.91	0
66	SLU 73	-8	300	2387	-12.48	-5.54	0
66	SLU 74	-7	286	2378	-11.81	-5.06	0
66	SLU 75	-7	295	2384	-12.21	-5.35	0
66	SLU 76	-8	300	2387	-12.48	-5.54	0
66	SLU 77	-7	286	2378	-11.81	-5.06	0
66	SLU 78	-7	295	2384	-12.21	-5.35	0
66	SLU 79	-7	286	2378	-11.81	-5.06	0
66	SLU 80	-7	295	2384	-12.21	-5.35	0
66	SLU 81	-7	307	2458	-12.64	-5.24	0
66	SLU 82	-8	316	2464	-13.04	-5.53	0
66	SLU 83	-7	307	2458	-12.64	-5.24	0
66	SLU 84	-8	316	2464	-13.04	-5.53	0
66	SLE RA 1	-5	177	1665	-7.37	-3.51	0
66	SLE RA 2	-5	186	1671	-7.81	-3.83	0
66	SLE RA 3	-5	177	1665	-7.37	-3.51	0
66	SLE RA 4	-5	182	1668	-7.64	-3.7	0
66	SLE RA 5	-5	186	1671	-7.81	-3.83	0
66	SLE RA 6	-5	177	1665	-7.37	-3.51	0
66	SLE RA 7	-5	182	1668	-7.64	-3.7	0
66	SLE RA 8	-5	177	1665	-7.37	-3.51	0
66	SLE RA 9	-5	182	1668	-7.64	-3.7	0
66	SLE RA 10	-6	219	1795	-9.11	-4.12	0
66	SLE RA 11	-5	210	1789	-8.66	-3.8	0
66	SLE RA 12	-5	215	1793	-8.93	-3.99	0
66	SLE RA 13	-6	219	1795	-9.11	-4.12	0
66	SLE RA 14	-5	210	1789	-8.66	-3.8	0
66	SLE RA 15	-5	215	1793	-8.93	-3.99	0
66	SLE RA 16	-5	210	1789	-8.66	-3.8	0
66	SLE RA 17	-5	215	1793	-8.93	-3.99	0
66	SLE RA 18	-5	224	1843	-9.22	-3.92	0
66	SLE RA 19	-6	229	1846	-9.49	-4.11	0
66	SLE RA 20	-5	224	1843	-9.22	-3.92	0
66	SLE RA 21	-6	229	1846	-9.49	-4.11	0
66	SLE FR 1	-5	177	1665	-7.37	-3.51	0
66	SLE FR 2	-5	179	1666	-7.46	-3.57	0
66	SLE FR 3	-5	177	1665	-7.37	-3.51	0
66	SLE FR 4	-5	193	1719	-8.01	-3.69	0
66	SLE FR 5	-5	191	1718	-7.92	-3.63	0
66	SLE FR 6	-5	200	1754	-8.29	-3.71	0
66	SLE QP 1	-5	177	1665	-7.37	-3.51	0
66	SLE QP 2	-5	191	1718	-7.92	-3.63	0
66	SLD 1	-3	302	1854	-12.61	1.99	0
66	SLD 2	-3	302	1854	-12.61	1.99	0
66	SLD 3	-10	194	1784	-8.04	-3.13	0.01
66	SLD 4	-10	194	1784	-8.04	-3.13	0.01
66	SLD 5	7	387	1865	-16.28	5.81	-0.01
66	SLD 6	7	387	1865	-16.28	5.81	-0.01
66	SLD 7	-18	29	1631	-1.01	-11.23	0.01
66	SLD 8	-18	29	1631	-1.01	-11.23	0.01
66	SLD 9	8	352	1805	-14.83	3.97	-0.02
66	SLD 10	8	352	1805	-14.83	3.97	-0.02
66	SLD 11	-17	-5	1571	0.43	-13.07	0.01
66	SLD 12	-17	-5	1571	0.43	-13.07	0.01
66	SLD 13	0	187	1652	-7.81	-4.13	-0.01
66	SLD 14	0	187	1652	-7.81	-4.13	-0.01
66	SLD 15	-7	80	1582	-3.23	-9.25	-0.01
66	SLD 16	-7	80	1582	-3.23	-9.25	-0.01
66	SLV 1	0	453	2040	-19.03	9.85	0.01
66	SLV 2	0	453	2040	-19.03	9.85	0.01
66	SLV 3	-18	200	1871	-8.21	-2.52	0.03
66	SLV 4	-18	200	1871	-8.21	-2.52	0.03
66	SLV 5	24	654	2070	-27.68	19.18	-0.02
66	SLV 6	24	654	2070	-27.68	19.18	-0.02
66	SLV 7	-36	-191	1508	8.42	-22.06	0.03
66	SLV 8	-36	-191	1508	8.42	-22.06	0.03
66	SLV 9	26	573	1928	-24.26	14.8	-0.04
66	SLV 10	26	573	1928	-24.26	14.8	-0.04
66	SLV 11	-34	-273	1365	11.83	-26.44	0.02
66	SLV 12	-34	-273	1365	11.83	-26.44	0.02
66	SLV 13	8	182	1565	-7.64	-4.74	-0.03
66	SLV 14	8	182	1565	-7.64	-4.74	-0.03
66	SLV 15	-10	-72	1396	3.19	-17.11	-0.02
66	SLV 16	-10	-72	1396	3.19	-17.11	-0.02
67	SLU 1	0	26	1899	-0.87	-0.12	0



Nodo Ind.	Cont. N.br.	Reazione a traslazione			Reazione a rotazione		
		x	y	z	x	y	z
67	SLU 2	1	44	1904	-1.64	0.43	0
67	SLU 3	0	26	1899	-0.87	-0.12	0
67	SLU 4	0	37	1902	-1.33	0.21	0
67	SLU 5	1	44	1904	-1.64	0.43	0
67	SLU 6	0	26	1899	-0.87	-0.12	0
67	SLU 7	0	37	1902	-1.33	0.21	0
67	SLU 8	0	26	1899	-0.87	-0.12	0
67	SLU 9	0	37	1902	-1.33	0.21	0
67	SLU 10	1	77	2154	-2.71	0.36	0
67	SLU 11	0	58	2149	-1.94	-0.19	0
67	SLU 12	0	69	2152	-2.4	0.14	0
67	SLU 13	1	77	2154	-2.71	0.36	0
67	SLU 14	0	58	2149	-1.94	-0.19	0
67	SLU 15	0	69	2152	-2.4	0.14	0
67	SLU 16	0	58	2149	-1.94	-0.19	0
67	SLU 17	0	69	2152	-2.4	0.14	0
67	SLU 18	0	72	2256	-2.4	-0.22	0
67	SLU 19	0	83	2259	-2.86	0.11	0
67	SLU 20	0	72	2256	-2.4	-0.22	0
67	SLU 21	0	83	2259	-2.86	0.11	0
67	SLU 22	0	42	2026	-1.41	-0.15	0
67	SLU 23	1	61	2031	-2.18	0.4	0
67	SLU 24	0	42	2026	-1.41	-0.15	0
67	SLU 25	0	53	2029	-1.87	0.18	0
67	SLU 26	1	61	2031	-2.18	0.4	0
67	SLU 27	0	42	2026	-1.41	-0.15	0
67	SLU 28	0	53	2029	-1.87	0.18	0
67	SLU 29	0	42	2026	-1.41	-0.15	0
67	SLU 30	0	53	2029	-1.87	0.18	0
67	SLU 31	1	93	2281	-3.25	0.32	0
67	SLU 32	0	75	2276	-2.48	-0.23	0
67	SLU 33	0	86	2279	-2.94	0.1	0
67	SLU 34	1	93	2281	-3.25	0.32	0
67	SLU 35	0	75	2276	-2.48	-0.23	0
67	SLU 36	0	86	2279	-2.94	0.1	0
67	SLU 37	0	75	2276	-2.48	-0.23	0
67	SLU 38	0	86	2279	-2.94	0.1	0
67	SLU 39	0	89	2383	-2.94	-0.26	0
67	SLU 40	0	100	2386	-3.4	0.07	0
67	SLU 41	0	89	2383	-2.94	-0.26	0
67	SLU 42	0	100	2386	-3.4	0.07	0
67	SLU 43	0	28	2425	-0.94	-0.14	0
67	SLU 44	1	46	2430	-1.71	0.41	0
67	SLU 45	0	28	2425	-0.94	-0.14	0
67	SLU 46	1	39	2428	-1.4	0.19	0
67	SLU 47	1	46	2430	-1.71	0.41	0
67	SLU 48	0	28	2425	-0.94	-0.14	0
67	SLU 49	1	39	2428	-1.4	0.19	0
67	SLU 50	0	28	2425	-0.94	-0.14	0
67	SLU 51	1	39	2428	-1.4	0.19	0
67	SLU 52	1	79	2680	-2.78	0.34	0
67	SLU 53	0	61	2675	-2.01	-0.21	0
67	SLU 54	1	72	2678	-2.48	0.12	0
67	SLU 55	1	79	2680	-2.78	0.34	0
67	SLU 56	0	61	2675	-2.01	-0.21	0
67	SLU 57	1	72	2678	-2.48	0.12	0
67	SLU 58	0	61	2675	-2.01	-0.21	0
67	SLU 59	1	72	2678	-2.48	0.12	0
67	SLU 60	0	75	2782	-2.47	-0.24	0
67	SLU 61	1	85	2785	-2.93	0.09	0
67	SLU 62	0	75	2782	-2.47	-0.24	0
67	SLU 63	1	85	2785	-2.93	0.09	0
67	SLU 64	0	45	2552	-1.48	-0.18	0
67	SLU 65	1	63	2557	-2.25	0.37	0
67	SLU 66	0	45	2552	-1.48	-0.18	0
67	SLU 67	1	56	2555	-1.95	0.15	0
67	SLU 68	1	63	2557	-2.25	0.37	0
67	SLU 69	0	45	2552	-1.48	-0.18	0
67	SLU 70	1	56	2555	-1.95	0.15	0
67	SLU 71	0	45	2552	-1.48	-0.18	0
67	SLU 72	1	56	2555	-1.95	0.15	0
67	SLU 73	1	95	2807	-3.33	0.3	0
67	SLU 74	0	77	2802	-2.56	-0.25	0
67	SLU 75	1	88	2805	-3.02	0.08	0
67	SLU 76	1	95	2807	-3.33	0.3	0
67	SLU 77	0	77	2802	-2.56	-0.25	0
67	SLU 78	1	88	2805	-3.02	0.08	0
67	SLU 79	0	77	2802	-2.56	-0.25	0
67	SLU 80	1	88	2805	-3.02	0.08	0
67	SLU 81	0	91	2909	-3.02	-0.28	0
67	SLU 82	1	102	2912	-3.48	0.05	0
67	SLU 83	0	91	2909	-3.02	-0.28	0
67	SLU 84	1	102	2912	-3.48	0.05	0
67	SLE RA 1	0	31	1935	-1.02	-0.13	0
67	SLE RA 2	1	43	1939	-1.54	0.24	0
67	SLE RA 3	0	31	1935	-1.02	-0.13	0
67	SLE RA 4	0	38	1937	-1.33	0.09	0
67	SLE RA 5	1	43	1939	-1.54	0.24	0



Nodo Ind.	Cont. N.br.	Reazione a traslazione			Reazione a rotazione		
		x	y	z	x	y	z
67	SLE RA 6	0	31	1935	-1.02	-0.13	0
67	SLE RA 7	0	38	1937	-1.33	0.09	0
67	SLE RA 8	0	31	1935	-1.02	-0.13	0
67	SLE RA 9	0	38	1937	-1.33	0.09	0
67	SLE RA 10	1	64	2105	-2.25	0.19	0
67	SLE RA 11	0	52	2102	-1.74	-0.18	0
67	SLE RA 12	0	60	2104	-2.05	0.04	0
67	SLE RA 13	1	64	2105	-2.25	0.19	0
67	SLE RA 14	0	52	2102	-1.74	-0.18	0
67	SLE RA 15	0	60	2104	-2.05	0.04	0
67	SLE RA 16	0	52	2102	-1.74	-0.18	0
67	SLE RA 17	0	60	2104	-2.05	0.04	0
67	SLE RA 18	0	62	2173	-2.04	-0.2	0
67	SLE RA 19	0	69	2175	-2.35	0.02	0
67	SLE RA 20	0	62	2173	-2.04	-0.2	0
67	SLE RA 21	0	69	2175	-2.35	0.02	0
67	SLE FR 1	0	31	1935	-1.02	-0.13	0
67	SLE FR 2	0	33	1936	-1.13	-0.06	0
67	SLE FR 3	0	31	1935	-1.02	-0.13	0
67	SLE FR 4	0	42	2007	-1.43	-0.08	0
67	SLE FR 5	0	40	2007	-1.33	-0.15	0
67	SLE FR 6	0	46	2054	-1.53	-0.16	0
67	SLE QP 1	0	31	1935	-1.02	-0.13	0
67	SLE QP 2	0	40	2007	-1.33	-0.15	0
67	SLD 1	-1	37	1886	-1.25	3.17	0.01
67	SLD 2	-1	37	1886	-1.25	3.17	0.01
67	SLD 3	10	-81	1871	3.56	11.13	0
67	SLD 4	10	-81	1871	3.56	11.13	0
67	SLD 5	-17	218	1993	-8.59	-11.23	0.01
67	SLD 6	-17	218	1993	-8.59	-11.23	0.01
67	SLD 7	20	-175	1943	7.43	15.31	-0.01
67	SLD 8	20	-175	1943	7.43	15.31	-0.01
67	SLD 9	-20	255	2070	-10.08	-15.61	0.01
67	SLD 10	-20	255	2070	-10.08	-15.61	0.01
67	SLD 11	17	-138	2020	5.93	10.93	-0.02
67	SLD 12	17	-138	2020	5.93	10.93	-0.02
67	SLD 13	-10	161	2142	-6.22	-11.42	0
67	SLD 14	-10	161	2142	-6.22	-11.42	0
67	SLD 15	1	43	2128	-1.41	-3.46	-0.01
67	SLD 16	1	43	2128	-1.41	-3.46	-0.01
67	SLV 1	-3	32	1721	-1.14	7.39	0.02
67	SLV 2	-3	32	1721	-1.14	7.39	0.02
67	SLV 3	26	-249	1685	10.32	27.71	0
67	SLV 4	26	-249	1685	10.32	27.71	0
67	SLV 5	-44	464	1975	-18.65	-28.7	0.04
67	SLV 6	-44	464	1975	-18.65	-28.7	0.04
67	SLV 7	51	-473	1856	19.54	39.03	-0.03
67	SLV 8	51	-473	1856	19.54	39.03	-0.03
67	SLV 9	-51	553	2157	-22.2	-39.32	0.03
67	SLV 10	-51	553	2157	-22.2	-39.32	0.03
67	SLV 11	44	-384	2038	15.99	28.4	-0.04
67	SLV 12	44	-384	2038	15.99	28.4	-0.04
67	SLV 13	-26	329	2328	-12.98	-28.01	0
67	SLV 14	-26	329	2328	-12.98	-28.01	0
67	SLV 15	3	48	2292	-1.52	-7.69	-0.02
67	SLV 16	3	48	2292	-1.52	-7.69	-0.02
68	SLU 1	0	41	1329	-1.02	0.76	0
68	SLU 2	0	43	1335	-1.12	0.75	0
68	SLU 3	0	41	1329	-1.02	0.76	0
68	SLU 4	0	42	1333	-1.08	0.76	0
68	SLU 5	0	43	1335	-1.12	0.75	0
68	SLU 6	0	41	1329	-1.02	0.76	0
68	SLU 7	0	42	1333	-1.08	0.76	0
68	SLU 8	0	41	1329	-1.02	0.76	0
68	SLU 9	0	42	1333	-1.08	0.76	0
68	SLU 10	0	98	1679	-2.98	0.96	0
68	SLU 11	0	95	1673	-2.89	0.97	0
68	SLU 12	0	97	1677	-2.94	0.96	0
68	SLU 13	0	98	1679	-2.98	0.96	0
68	SLU 14	0	95	1673	-2.89	0.97	0
68	SLU 15	0	97	1677	-2.94	0.96	0
68	SLU 16	0	95	1673	-2.89	0.97	0
68	SLU 17	0	97	1677	-2.94	0.96	0
68	SLU 18	0	119	1821	-3.69	1.06	0
68	SLU 19	0	120	1824	-3.74	1.05	0
68	SLU 20	0	119	1821	-3.69	1.06	0
68	SLU 21	0	120	1824	-3.74	1.05	0
68	SLU 22	0	69	1504	-1.97	0.87	0
68	SLU 23	0	71	1510	-2.07	0.86	0
68	SLU 24	0	69	1504	-1.97	0.87	0
68	SLU 25	0	70	1508	-2.03	0.86	0
68	SLU 26	0	71	1510	-2.07	0.86	0
68	SLU 27	0	69	1504	-1.97	0.87	0
68	SLU 28	0	70	1508	-2.03	0.86	0
68	SLU 29	0	69	1504	-1.97	0.87	0
68	SLU 30	0	70	1508	-2.03	0.86	0
68	SLU 31	0	126	1854	-3.93	1.06	0
68	SLU 32	0	123	1848	-3.84	1.07	0



Nodo Ind.	Cont. N.br.	Reazione a traslazione			Reazione a rotazione		
		x	y	z	x	y	z
68	SLU 33	0	125	1852	-3.89	1.07	0
68	SLU 34	0	126	1854	-3.93	1.06	0
68	SLU 35	0	123	1848	-3.84	1.07	0
68	SLU 36	0	125	1852	-3.89	1.07	0
68	SLU 37	0	123	1848	-3.84	1.07	0
68	SLU 38	0	125	1852	-3.89	1.07	0
68	SLU 39	0	147	1996	-4.64	1.16	0
68	SLU 40	0	148	1999	-4.69	1.16	0
68	SLU 41	0	147	1996	-4.64	1.16	0
68	SLU 42	0	148	1999	-4.69	1.16	0
68	SLU 43	0	43	1668	-1.01	0.95	0
68	SLU 44	0	46	1674	-1.1	0.94	0
68	SLU 45	0	43	1668	-1.01	0.95	0
68	SLU 46	0	45	1671	-1.06	0.95	0
68	SLU 47	0	46	1674	-1.1	0.94	0
68	SLU 48	0	43	1668	-1.01	0.95	0
68	SLU 49	0	45	1671	-1.06	0.95	0
68	SLU 50	0	43	1668	-1.01	0.95	0
68	SLU 51	0	45	1671	-1.06	0.95	0
68	SLU 52	0	100	2018	-2.96	1.15	0
68	SLU 53	0	98	2012	-2.87	1.16	0
68	SLU 54	0	99	2015	-2.93	1.15	0
68	SLU 55	0	100	2018	-2.96	1.15	0
68	SLU 56	0	98	2012	-2.87	1.16	0
68	SLU 57	0	99	2015	-2.93	1.15	0
68	SLU 58	0	98	2012	-2.87	1.16	0
68	SLU 59	0	99	2015	-2.93	1.15	0
68	SLU 60	0	122	2159	-3.67	1.25	0
68	SLU 61	0	123	2163	-3.72	1.24	0
68	SLU 62	0	122	2159	-3.67	1.25	0
68	SLU 63	0	123	2163	-3.72	1.24	0
68	SLU 64	0	71	1843	-1.96	1.06	0
68	SLU 65	0	74	1849	-2.05	1.05	0
68	SLU 66	0	71	1843	-1.96	1.06	0
68	SLU 67	0	73	1846	-2.01	1.05	0
68	SLU 68	0	74	1849	-2.05	1.05	0
68	SLU 69	0	71	1843	-1.96	1.06	0
68	SLU 70	0	73	1846	-2.01	1.05	0
68	SLU 71	0	71	1843	-1.96	1.06	0
68	SLU 72	0	73	1846	-2.01	1.05	0
68	SLU 73	0	128	2193	-3.91	1.26	0
68	SLU 74	0	126	2187	-3.82	1.27	0
68	SLU 75	0	127	2190	-3.88	1.26	0
68	SLU 76	0	128	2193	-3.91	1.26	0
68	SLU 77	0	126	2187	-3.82	1.27	0
68	SLU 78	0	127	2190	-3.88	1.26	0
68	SLU 79	0	126	2187	-3.82	1.27	0
68	SLU 80	0	127	2190	-3.88	1.26	0
68	SLU 81	0	149	2335	-4.62	1.36	0
68	SLU 82	0	151	2338	-4.67	1.35	0
68	SLU 83	0	149	2335	-4.62	1.36	0
68	SLU 84	0	151	2338	-4.67	1.35	0
68	SLE RA 1	0	49	1379	-1.3	0.79	0
68	SLE RA 2	0	50	1383	-1.36	0.78	0
68	SLE RA 3	0	49	1379	-1.3	0.79	0
68	SLE RA 4	0	50	1381	-1.33	0.79	0
68	SLE RA 5	0	50	1383	-1.36	0.78	0
68	SLE RA 6	0	49	1379	-1.3	0.79	0
68	SLE RA 7	0	50	1381	-1.33	0.79	0
68	SLE RA 8	0	49	1379	-1.3	0.79	0
68	SLE RA 9	0	50	1381	-1.33	0.79	0
68	SLE RA 10	0	87	1612	-2.6	0.92	0
68	SLE RA 11	0	85	1609	-2.54	0.93	0
68	SLE RA 12	0	86	1611	-2.58	0.93	0
68	SLE RA 13	0	87	1612	-2.6	0.92	0
68	SLE RA 14	0	85	1609	-2.54	0.93	0
68	SLE RA 15	0	86	1611	-2.58	0.93	0
68	SLE RA 16	0	85	1609	-2.54	0.93	0
68	SLE RA 17	0	86	1611	-2.58	0.93	0
68	SLE RA 18	0	101	1707	-3.07	0.99	0
68	SLE RA 19	0	102	1709	-3.11	0.98	0
68	SLE RA 20	0	101	1707	-3.07	0.99	0
68	SLE RA 21	0	102	1709	-3.11	0.98	0
68	SLE FR 1	0	49	1379	-1.3	0.79	0
68	SLE FR 2	0	49	1380	-1.31	0.79	0
68	SLE FR 3	0	49	1379	-1.3	0.79	0
68	SLE FR 4	0	65	1478	-1.84	0.85	0
68	SLE FR 5	0	64	1478	-1.83	0.85	0
68	SLE FR 6	0	75	1543	-2.18	0.89	0
68	SLE QP 1	0	49	1379	-1.3	0.79	0
68	SLE QP 2	0	64	1478	-1.83	0.85	0
68	SLD 1	-1	65	1524	-2.04	2.33	0.01
68	SLD 2	-1	65	1524	-2.04	2.33	0.01
68	SLD 3	0	-42	1551	2.71	2.71	0.01
68	SLD 4	0	-42	1551	2.71	2.71	0.01
68	SLD 5	-1	227	1451	-9.1	0.72	0.01
68	SLD 6	-1	227	1451	-9.1	0.72	0.01
68	SLD 7	1	-130	1540	6.74	1.98	0



Nodo Ind.	Cont. N.br.	Reazione a traslazione			Reazione a rotazione		
		x	y	z	x	y	z
68	SLD 8	1	-130	1540	6.74	1.98	0
68	SLD 9	0	258	1415	-10.4	-0.28	0
68	SLD 10	0	258	1415	-10.4	-0.28	0
68	SLD 11	1	-98	1504	5.44	0.98	0
68	SLD 12	1	-98	1504	5.44	0.98	0
68	SLD 13	1	170	1404	-6.37	-1	0
68	SLD 14	1	170	1404	-6.37	-1	0
68	SLD 15	1	63	1431	-1.62	-0.63	0
68	SLD 16	1	63	1431	-1.62	-0.63	0
68	SLV 1	-2	63	1588	-2.15	4.37	0.02
68	SLV 2	-2	63	1588	-2.15	4.37	0.02
68	SLV 3	-1	-188	1651	9.03	5.28	0.01
68	SLV 4	-1	-188	1651	9.03	5.28	0.01
68	SLV 5	-2	446	1414	-18.88	0.53	0.01
68	SLV 6	-2	446	1414	-18.88	0.53	0.01
68	SLV 7	2	-393	1626	18.38	3.56	0
68	SLV 8	2	-393	1626	18.38	3.56	0
68	SLV 9	-1	522	1329	-22.04	-1.86	0
68	SLV 10	-1	522	1329	-22.04	-1.86	0
68	SLV 11	3	-317	1541	15.22	1.17	-0.01
68	SLV 12	3	-317	1541	15.22	1.17	-0.01
68	SLV 13	1	317	1304	-12.68	-3.58	-0.01
68	SLV 14	1	317	1304	-12.68	-3.58	-0.01
68	SLV 15	2	65	1367	-1.5	-2.67	-0.01
68	SLV 16	2	65	1367	-1.5	-2.67	-0.01
69	SLU 1	0	99	586	-1.4	0.14	0
69	SLU 2	0	100	585	-1.42	0.24	0
69	SLU 3	0	99	586	-1.4	0.14	0
69	SLU 4	0	100	586	-1.41	0.2	0
69	SLU 5	0	100	585	-1.42	0.24	0
69	SLU 6	0	99	586	-1.4	0.14	0
69	SLU 7	0	100	586	-1.41	0.2	0
69	SLU 8	0	99	586	-1.4	0.14	0
69	SLU 9	0	100	586	-1.41	0.2	0
69	SLU 10	0	134	594	-1.42	0.26	0
69	SLU 11	0	133	595	-1.4	0.17	0
69	SLU 12	0	134	594	-1.41	0.23	0
69	SLU 13	0	134	594	-1.42	0.26	0
69	SLU 14	0	133	595	-1.4	0.17	0
69	SLU 15	0	134	594	-1.41	0.23	0
69	SLU 16	0	133	595	-1.4	0.17	0
69	SLU 17	0	134	594	-1.41	0.23	0
69	SLU 18	0	148	599	-1.41	0.18	0
69	SLU 19	0	149	598	-1.42	0.24	0
69	SLU 20	0	148	599	-1.41	0.18	0
69	SLU 21	0	149	598	-1.42	0.24	0
69	SLU 22	0	117	591	-1.4	0.16	0
69	SLU 23	0	117	589	-1.42	0.25	0
69	SLU 24	0	117	591	-1.4	0.16	0
69	SLU 25	0	117	590	-1.41	0.21	0
69	SLU 26	0	117	589	-1.42	0.25	0
69	SLU 27	0	117	591	-1.4	0.16	0
69	SLU 28	0	117	590	-1.41	0.21	0
69	SLU 29	0	117	591	-1.4	0.16	0
69	SLU 30	0	117	590	-1.41	0.21	0
69	SLU 31	0	152	598	-1.42	0.28	0
69	SLU 32	0	151	600	-1.41	0.19	0
69	SLU 33	0	151	599	-1.42	0.24	0
69	SLU 34	0	152	598	-1.42	0.28	0
69	SLU 35	0	151	600	-1.41	0.19	0
69	SLU 36	0	151	599	-1.42	0.24	0
69	SLU 37	0	151	600	-1.41	0.19	0
69	SLU 38	0	151	599	-1.42	0.24	0
69	SLU 39	0	166	603	-1.41	0.2	0
69	SLU 40	0	166	603	-1.42	0.25	0
69	SLU 41	0	166	603	-1.41	0.2	0
69	SLU 42	0	166	603	-1.42	0.25	0
69	SLU 43	0	123	761	-1.82	0.18	0
69	SLU 44	0	124	759	-1.84	0.27	0
69	SLU 45	0	123	761	-1.82	0.18	0
69	SLU 46	0	123	760	-1.83	0.24	0
69	SLU 47	0	124	759	-1.84	0.27	0
69	SLU 48	0	123	761	-1.82	0.18	0
69	SLU 49	0	123	760	-1.83	0.24	0
69	SLU 50	0	123	761	-1.82	0.18	0
69	SLU 51	0	123	760	-1.83	0.24	0
69	SLU 52	0	158	768	-1.84	0.3	0
69	SLU 53	0	157	770	-1.82	0.21	0
69	SLU 54	0	158	769	-1.83	0.27	0
69	SLU 55	0	158	768	-1.84	0.3	0
69	SLU 56	0	157	770	-1.82	0.21	0
69	SLU 57	0	158	769	-1.83	0.27	0
69	SLU 58	0	157	770	-1.82	0.21	0
69	SLU 59	0	158	769	-1.83	0.27	0
69	SLU 60	0	172	773	-1.82	0.22	0
69	SLU 61	0	172	773	-1.84	0.28	0
69	SLU 62	0	172	773	-1.82	0.22	0
69	SLU 63	0	172	773	-1.84	0.28	0



Nodo Ind.	Cont. N.br.	Reazione a traslazione			Reazione a rotazione		
		x	y	z	x	y	z
69	SLU 64	0	140	765	-1.82	0.19	0
69	SLU 65	0	141	764	-1.84	0.29	0
69	SLU 66	0	140	765	-1.82	0.19	0
69	SLU 67	0	141	764	-1.83	0.25	0
69	SLU 68	0	141	764	-1.84	0.29	0
69	SLU 69	0	140	765	-1.82	0.19	0
69	SLU 70	0	141	764	-1.83	0.25	0
69	SLU 71	0	140	765	-1.82	0.19	0
69	SLU 72	0	141	764	-1.83	0.25	0
69	SLU 73	0	175	773	-1.84	0.32	0
69	SLU 74	0	175	774	-1.83	0.22	0
69	SLU 75	0	175	773	-1.84	0.28	0
69	SLU 76	0	175	773	-1.84	0.32	0
69	SLU 77	0	175	774	-1.83	0.22	0
69	SLU 78	0	175	773	-1.84	0.28	0
69	SLU 79	0	175	774	-1.83	0.22	0
69	SLU 80	0	175	773	-1.84	0.28	0
69	SLU 81	0	189	778	-1.83	0.24	0
69	SLU 82	0	190	777	-1.84	0.29	0
69	SLU 83	0	189	778	-1.83	0.24	0
69	SLU 84	0	190	777	-1.84	0.29	0
69	SLE RA 1	0	104	588	-1.4	0.15	0
69	SLE RA 2	0	105	587	-1.41	0.21	0
69	SLE RA 3	0	104	588	-1.4	0.15	0
69	SLE RA 4	0	104	587	-1.41	0.18	0
69	SLE RA 5	0	105	587	-1.41	0.21	0
69	SLE RA 6	0	104	588	-1.4	0.15	0
69	SLE RA 7	0	104	587	-1.41	0.18	0
69	SLE RA 8	0	104	588	-1.4	0.15	0
69	SLE RA 9	0	104	587	-1.41	0.18	0
69	SLE RA 10	0	128	593	-1.42	0.23	0
69	SLE RA 11	0	127	594	-1.4	0.17	0
69	SLE RA 12	0	127	593	-1.41	0.2	0
69	SLE RA 13	0	128	593	-1.42	0.23	0
69	SLE RA 14	0	127	594	-1.4	0.17	0
69	SLE RA 15	0	127	593	-1.41	0.2	0
69	SLE RA 16	0	127	594	-1.4	0.17	0
69	SLE RA 17	0	127	593	-1.41	0.2	0
69	SLE RA 18	0	137	596	-1.4	0.17	0
69	SLE RA 19	0	137	596	-1.41	0.21	0
69	SLE RA 20	0	137	596	-1.4	0.17	0
69	SLE RA 21	0	137	596	-1.41	0.21	0
69	SLE FR 1	0	104	588	-1.4	0.15	0
69	SLE FR 2	0	104	588	-1.4	0.16	0
69	SLE FR 3	0	104	588	-1.4	0.15	0
69	SLE FR 4	0	114	590	-1.4	0.17	0
69	SLE FR 5	0	114	590	-1.4	0.16	0
69	SLE FR 6	0	120	592	-1.4	0.16	0
69	SLE QP 1	0	104	588	-1.4	0.15	0
69	SLE QP 2	0	114	590	-1.4	0.16	0
69	SLD 1	-1	218	1161	-7.9	-0.62	0
69	SLD 2	-1	218	1161	-7.9	-0.62	0
69	SLD 3	4	58	314	2.08	3.47	0.03
69	SLD 4	4	58	314	2.08	3.47	0.03
69	SLD 5	-8	387	2047	-18.48	-6.27	-0.04
69	SLD 6	-8	387	2047	-18.48	-6.27	-0.04
69	SLD 7	9	-145	-778	14.78	7.34	0.05
69	SLD 8	9	-145	-778	14.78	7.34	0.05
69	SLD 9	-8	373	1958	-17.58	-7.03	-0.05
69	SLD 10	-8	373	1958	-17.58	-7.03	-0.05
69	SLD 11	8	-159	-866	15.68	6.58	0.05
69	SLD 12	8	-159	-866	15.68	6.58	0.05
69	SLD 13	-3	169	866	-4.88	-3.16	-0.03
69	SLD 14	-3	169	866	-4.88	-3.16	-0.03
69	SLD 15	2	10	19	5.1	0.93	0
69	SLD 16	2	10	19	5.1	0.93	0
69	SLV 1	-4	363	1965	-16.86	-1.75	0
69	SLV 2	-4	363	1965	-16.86	-1.75	0
69	SLV 3	8	-17	-60	6.85	8.01	0.07
69	SLV 4	8	-17	-60	6.85	8.01	0.07
69	SLV 5	-19	765	4075	-42	-15.22	-0.11
69	SLV 6	-19	765	4075	-42	-15.22	-0.11
69	SLV 7	21	-502	-2677	37.04	17.32	0.13
69	SLV 8	21	-502	-2677	37.04	17.32	0.13
69	SLV 9	-21	730	3857	-39.84	-17.01	-0.12
69	SLV 10	-21	730	3857	-39.84	-17.01	-0.12
69	SLV 11	20	-537	-2894	39.19	15.53	0.11
69	SLV 12	20	-537	-2894	39.19	15.53	0.11
69	SLV 13	-8	245	1240	-9.66	-7.7	-0.06
69	SLV 14	-8	245	1240	-9.66	-7.7	-0.06
69	SLV 15	4	-135	-785	14.05	2.06	0.01
69	SLV 16	4	-135	-785	14.05	2.06	0.01
70	SLU 1	0	93	581	-1.4	-0.15	0
70	SLU 2	0	93	576	-1.38	-0.23	0
70	SLU 3	0	93	581	-1.4	-0.15	0
70	SLU 4	0	93	578	-1.39	-0.2	0
70	SLU 5	0	93	576	-1.38	-0.23	0
70	SLU 6	0	93	581	-1.4	-0.15	0



Nodo Ind.	Cont. N.br.	Reazione a traslazione			Reazione a rotazione		
		x	y	z	x	y	z
70	SLU 7	0	93	578	-1.39	-0.2	0
70	SLU 8	0	93	581	-1.4	-0.15	0
70	SLU 9	0	93	578	-1.39	-0.2	0
70	SLU 10	0	128	584	-1.38	-0.27	0
70	SLU 11	0	128	588	-1.4	-0.19	0
70	SLU 12	0	128	585	-1.38	-0.24	0
70	SLU 13	0	128	584	-1.38	-0.27	0
70	SLU 14	0	128	588	-1.4	-0.19	0
70	SLU 15	0	128	585	-1.38	-0.24	0
70	SLU 16	0	128	588	-1.4	-0.19	0
70	SLU 17	0	128	585	-1.38	-0.24	0
70	SLU 18	0	142	591	-1.4	-0.2	0
70	SLU 19	0	142	589	-1.38	-0.25	0
70	SLU 20	0	142	591	-1.4	-0.2	0
70	SLU 21	0	142	589	-1.38	-0.25	0
70	SLU 22	0	111	584	-1.4	-0.17	0
70	SLU 23	0	111	580	-1.38	-0.25	0
70	SLU 24	0	111	584	-1.4	-0.17	0
70	SLU 25	0	111	582	-1.38	-0.22	0
70	SLU 26	0	111	580	-1.38	-0.25	0
70	SLU 27	0	111	584	-1.4	-0.17	0
70	SLU 28	0	111	582	-1.38	-0.22	0
70	SLU 29	0	111	584	-1.4	-0.17	0
70	SLU 30	0	111	582	-1.38	-0.22	0
70	SLU 31	0	145	587	-1.38	-0.29	0
70	SLU 32	0	145	592	-1.4	-0.21	0
70	SLU 33	0	145	589	-1.38	-0.26	0
70	SLU 34	0	145	587	-1.38	-0.29	0
70	SLU 35	0	145	592	-1.4	-0.21	0
70	SLU 36	0	145	589	-1.38	-0.26	0
70	SLU 37	0	145	592	-1.4	-0.21	0
70	SLU 38	0	145	589	-1.38	-0.26	0
70	SLU 39	0	160	595	-1.4	-0.22	0
70	SLU 40	0	160	593	-1.38	-0.27	0
70	SLU 41	0	160	595	-1.4	-0.22	0
70	SLU 42	0	160	593	-1.38	-0.27	0
70	SLU 43	0	116	753	-1.82	-0.19	0
70	SLU 44	0	115	749	-1.8	-0.27	0
70	SLU 45	0	116	753	-1.82	-0.19	0
70	SLU 46	0	116	751	-1.8	-0.24	0
70	SLU 47	0	115	749	-1.8	-0.27	0
70	SLU 48	0	116	753	-1.82	-0.19	0
70	SLU 49	0	116	751	-1.8	-0.24	0
70	SLU 50	0	116	753	-1.82	-0.19	0
70	SLU 51	0	116	751	-1.8	-0.24	0
70	SLU 52	0	150	756	-1.8	-0.31	0
70	SLU 53	0	150	761	-1.82	-0.23	0
70	SLU 54	0	150	758	-1.8	-0.27	0
70	SLU 55	0	150	756	-1.8	-0.31	0
70	SLU 56	0	150	761	-1.82	-0.23	0
70	SLU 57	0	150	758	-1.8	-0.27	0
70	SLU 58	0	150	761	-1.82	-0.23	0
70	SLU 59	0	150	758	-1.8	-0.27	0
70	SLU 60	0	164	764	-1.82	-0.24	0
70	SLU 61	0	164	762	-1.8	-0.29	0
70	SLU 62	0	164	764	-1.82	-0.24	0
70	SLU 63	0	164	762	-1.8	-0.29	0
70	SLU 64	0	133	757	-1.82	-0.21	0
70	SLU 65	0	133	753	-1.8	-0.29	0
70	SLU 66	0	133	757	-1.82	-0.21	0
70	SLU 67	0	133	754	-1.8	-0.26	0
70	SLU 68	0	133	753	-1.8	-0.29	0
70	SLU 69	0	133	757	-1.82	-0.21	0
70	SLU 70	0	133	754	-1.8	-0.26	0
70	SLU 71	0	133	757	-1.82	-0.21	0
70	SLU 72	0	133	754	-1.8	-0.26	0
70	SLU 73	0	167	760	-1.8	-0.33	0
70	SLU 74	0	167	765	-1.82	-0.25	0
70	SLU 75	0	167	762	-1.8	-0.29	0
70	SLU 76	0	167	760	-1.8	-0.33	0
70	SLU 77	0	167	765	-1.82	-0.25	0
70	SLU 78	0	167	762	-1.8	-0.29	0
70	SLU 79	0	167	765	-1.82	-0.25	0
70	SLU 80	0	167	762	-1.8	-0.29	0
70	SLU 81	0	182	768	-1.81	-0.26	0
70	SLU 82	0	182	765	-1.8	-0.31	0
70	SLU 83	0	182	768	-1.81	-0.26	0
70	SLU 84	0	182	765	-1.8	-0.31	0
70	SLE RA 1	0	98	582	-1.4	-0.16	0
70	SLE RA 2	0	98	579	-1.38	-0.21	0
70	SLE RA 3	0	98	582	-1.4	-0.16	0
70	SLE RA 4	0	98	580	-1.39	-0.19	0
70	SLE RA 5	0	98	579	-1.38	-0.21	0
70	SLE RA 6	0	98	582	-1.4	-0.16	0
70	SLE RA 7	0	98	580	-1.39	-0.19	0
70	SLE RA 8	0	98	582	-1.4	-0.16	0
70	SLE RA 9	0	98	580	-1.39	-0.19	0
70	SLE RA 10	0	121	584	-1.38	-0.23	0



Nodo Ind.	Cont. N.br.	Reazione a traslazione			Reazione a rotazione		
		x	y	z	x	y	z
70	SLE RA 11	0	121	587	-1.4	-0.18	0
70	SLE RA 12	0	121	585	-1.39	-0.21	0
70	SLE RA 13	0	121	584	-1.38	-0.23	0
70	SLE RA 14	0	121	587	-1.4	-0.18	0
70	SLE RA 15	0	121	585	-1.39	-0.21	0
70	SLE RA 16	0	121	587	-1.4	-0.18	0
70	SLE RA 17	0	121	585	-1.39	-0.21	0
70	SLE RA 18	0	131	589	-1.4	-0.19	0
70	SLE RA 19	0	131	587	-1.39	-0.22	0
70	SLE RA 20	0	131	589	-1.4	-0.19	0
70	SLE RA 21	0	131	587	-1.39	-0.22	0
70	SLE FR 1	0	98	582	-1.4	-0.16	0
70	SLE FR 2	0	98	581	-1.39	-0.17	0
70	SLE FR 3	0	98	582	-1.4	-0.16	0
70	SLE FR 4	0	108	583	-1.39	-0.18	0
70	SLE FR 5	0	108	584	-1.4	-0.17	0
70	SLE FR 6	0	115	585	-1.4	-0.17	0
70	SLE QP 1	0	98	582	-1.4	-0.16	0
70	SLE QP 2	0	108	584	-1.4	-0.17	0
70	SLD 1	3	150	789	-3.95	2.93	0.02
70	SLD 2	3	150	789	-3.95	2.93	0.02
70	SLD 3	-1	-15	-91	6.36	-0.31	0
70	SLD 4	-1	-15	-91	6.36	-0.31	0
70	SLD 5	8	370	1980	-17.8	5.69	0.03
70	SLD 6	8	370	1980	-17.8	5.69	0.03
70	SLD 7	-7	-178	-953	16.56	-5.13	-0.03
70	SLD 8	-7	-178	-953	16.56	-5.13	-0.03
70	SLD 9	7	395	2121	-19.36	4.8	0.03
70	SLD 10	7	395	2121	-19.36	4.8	0.03
70	SLD 11	-8	-154	-813	15	-6.02	-0.04
70	SLD 12	-8	-154	-813	15	-6.02	-0.04
70	SLD 13	1	231	1258	-9.15	-0.02	0
70	SLD 14	1	231	1258	-9.15	-0.02	0
70	SLD 15	-4	67	378	1.16	-3.27	-0.02
70	SLD 16	-4	67	378	1.16	-3.27	-0.02
70	SLV 1	9	208	1077	-7.6	7.52	0.05
70	SLV 2	9	208	1077	-7.6	7.52	0.05
70	SLV 3	-3	-192	-1070	17.4	-0.74	0
70	SLV 4	-3	-192	-1070	17.4	-0.74	0
70	SLV 5	20	746	3988	-41.18	14.67	0.09
70	SLV 6	20	746	3988	-41.18	14.67	0.09
70	SLV 7	-18	-589	-3169	42.16	-12.87	-0.07
70	SLV 8	-18	-589	-3169	42.16	-12.87	-0.07
70	SLV 9	18	806	4336	-44.96	12.53	0.07
70	SLV 10	18	806	4336	-44.96	12.53	0.07
70	SLV 11	-20	-529	-2820	38.39	-15	-0.09
70	SLV 12	-20	-529	-2820	38.39	-15	-0.09
70	SLV 13	2	409	2238	-20.19	0.41	-0.01
70	SLV 14	2	409	2238	-20.19	0.41	-0.01
70	SLV 15	-9	8	91	4.81	-7.85	-0.05
70	SLV 16	-9	8	91	4.81	-7.85	-0.05
71	SLU 1	0	158	1765	-5.46	-1.31	0
71	SLU 2	-1	171	1777	-5.9	-1.69	0
71	SLU 3	0	158	1765	-5.46	-1.31	0
71	SLU 4	0	166	1772	-5.73	-1.54	0
71	SLU 5	-1	171	1777	-5.9	-1.69	0
71	SLU 6	0	158	1765	-5.46	-1.31	0
71	SLU 7	0	166	1772	-5.73	-1.54	0
71	SLU 8	0	158	1765	-5.46	-1.31	0
71	SLU 9	0	166	1772	-5.73	-1.54	0
71	SLU 10	0	224	2013	-7.77	-1.73	0
71	SLU 11	0	211	2000	-7.33	-1.36	0
71	SLU 12	0	219	2008	-7.59	-1.58	0
71	SLU 13	0	224	2013	-7.77	-1.73	0
71	SLU 14	0	211	2000	-7.33	-1.36	0
71	SLU 15	0	219	2008	-7.59	-1.58	0
71	SLU 16	0	211	2000	-7.33	-1.36	0
71	SLU 17	0	219	2008	-7.59	-1.58	0
71	SLU 18	0	233	2101	-8.13	-1.38	0
71	SLU 19	0	241	2109	-8.4	-1.6	0
71	SLU 20	0	233	2101	-8.13	-1.38	0
71	SLU 21	0	241	2109	-8.4	-1.6	0
71	SLU 22	0	185	1885	-6.41	-1.34	0
71	SLU 23	-1	198	1897	-6.85	-1.71	0
71	SLU 24	0	185	1885	-6.41	-1.34	0
71	SLU 25	0	193	1892	-6.68	-1.56	0
71	SLU 26	-1	198	1897	-6.85	-1.71	0
71	SLU 27	0	185	1885	-6.41	-1.34	0
71	SLU 28	0	193	1892	-6.68	-1.56	0
71	SLU 29	0	185	1885	-6.41	-1.34	0
71	SLU 30	0	193	1892	-6.68	-1.56	0
71	SLU 31	0	251	2132	-8.72	-1.75	0
71	SLU 32	0	237	2120	-8.28	-1.38	0
71	SLU 33	0	245	2127	-8.54	-1.6	0
71	SLU 34	0	251	2132	-8.72	-1.75	0
71	SLU 35	0	237	2120	-8.28	-1.38	0
71	SLU 36	0	245	2127	-8.54	-1.6	0
71	SLU 37	0	237	2120	-8.28	-1.38	0



Nodo Ind.	Cont. N.br.	Reazione a traslazione			Reazione a rotazione		
		x	y	z	x	y	z
71	SLU 38	0	245	2127	-8.54	-1.6	0
71	SLU 39	0	260	2221	-9.08	-1.4	0
71	SLU 40	0	268	2228	-9.35	-1.62	0
71	SLU 41	0	260	2221	-9.08	-1.4	0
71	SLU 42	0	268	2228	-9.35	-1.62	0
71	SLU 43	0	196	2253	-6.77	-1.7	0
71	SLU 44	-1	210	2266	-7.22	-2.07	0
71	SLU 45	0	196	2253	-6.77	-1.7	0
71	SLU 46	-1	204	2261	-7.04	-1.92	0
71	SLU 47	-1	210	2266	-7.22	-2.07	0
71	SLU 48	0	196	2253	-6.77	-1.7	0
71	SLU 49	-1	204	2261	-7.04	-1.92	0
71	SLU 50	0	196	2253	-6.77	-1.7	0
71	SLU 51	-1	204	2261	-7.04	-1.92	0
71	SLU 52	-1	262	2501	-9.08	-2.12	0
71	SLU 53	0	249	2489	-8.64	-1.75	0
71	SLU 54	0	257	2496	-8.91	-1.97	0
71	SLU 55	-1	262	2501	-9.08	-2.12	0
71	SLU 56	0	249	2489	-8.64	-1.75	0
71	SLU 57	0	257	2496	-8.91	-1.97	0
71	SLU 58	0	249	2489	-8.64	-1.75	0
71	SLU 59	0	257	2496	-8.91	-1.97	0
71	SLU 60	0	272	2590	-9.44	-1.76	0
71	SLU 61	0	279	2597	-9.71	-1.99	0
71	SLU 62	0	272	2590	-9.44	-1.76	0
71	SLU 63	0	279	2597	-9.71	-1.99	0
71	SLU 64	0	223	2373	-7.72	-1.72	0
71	SLU 65	-1	236	2386	-8.17	-2.09	0
71	SLU 66	0	223	2373	-7.72	-1.72	0
71	SLU 67	0	231	2381	-7.99	-1.95	0
71	SLU 68	-1	236	2386	-8.17	-2.09	0
71	SLU 69	0	223	2373	-7.72	-1.72	0
71	SLU 70	0	231	2381	-7.99	-1.95	0
71	SLU 71	0	223	2373	-7.72	-1.72	0
71	SLU 72	0	231	2381	-7.99	-1.95	0
71	SLU 73	0	289	2621	-10.04	-2.14	0
71	SLU 74	0	276	2608	-9.59	-1.77	0
71	SLU 75	0	284	2616	-9.86	-1.99	0
71	SLU 76	0	289	2621	-10.04	-2.14	0
71	SLU 77	0	276	2608	-9.59	-1.77	0
71	SLU 78	0	284	2616	-9.86	-1.99	0
71	SLU 79	0	276	2608	-9.59	-1.77	0
71	SLU 80	0	284	2616	-9.86	-1.99	0
71	SLU 81	0	298	2709	-10.39	-1.79	0
71	SLU 82	0	306	2717	-10.66	-2.01	0
71	SLU 83	0	298	2709	-10.39	-1.79	0
71	SLU 84	0	306	2717	-10.66	-2.01	0
71	SLE RA 1	0	166	1799	-5.73	-1.32	0
71	SLE RA 2	0	175	1808	-6.03	-1.57	0
71	SLE RA 3	0	166	1799	-5.73	-1.32	0
71	SLE RA 4	0	171	1804	-5.91	-1.47	0
71	SLE RA 5	0	175	1808	-6.03	-1.57	0
71	SLE RA 6	0	166	1799	-5.73	-1.32	0
71	SLE RA 7	0	171	1804	-5.91	-1.47	0
71	SLE RA 8	0	166	1799	-5.73	-1.32	0
71	SLE RA 9	0	171	1804	-5.91	-1.47	0
71	SLE RA 10	0	210	1964	-7.27	-1.6	0
71	SLE RA 11	0	201	1956	-6.97	-1.35	0
71	SLE RA 12	0	206	1961	-7.15	-1.5	0
71	SLE RA 13	0	210	1964	-7.27	-1.6	0
71	SLE RA 14	0	201	1956	-6.97	-1.35	0
71	SLE RA 15	0	206	1961	-7.15	-1.5	0
71	SLE RA 16	0	201	1956	-6.97	-1.35	0
71	SLE RA 17	0	206	1961	-7.15	-1.5	0
71	SLE RA 18	0	216	2023	-7.51	-1.36	0
71	SLE RA 19	0	221	2028	-7.69	-1.51	0
71	SLE RA 20	0	216	2023	-7.51	-1.36	0
71	SLE RA 21	0	221	2028	-7.69	-1.51	0
71	SLE FR 1	0	166	1799	-5.73	-1.32	0
71	SLE FR 2	0	168	1801	-5.79	-1.37	0
71	SLE FR 3	0	166	1799	-5.73	-1.32	0
71	SLE FR 4	0	183	1868	-6.32	-1.38	0
71	SLE FR 5	0	181	1866	-6.26	-1.33	0
71	SLE FR 6	0	191	1911	-6.62	-1.34	0
71	SLE QP 1	0	166	1799	-5.73	-1.32	0
71	SLE QP 2	0	181	1866	-6.26	-1.33	0
71	SLD 1	2	292	2024	-10.95	2.32	0.01
71	SLD 2	2	292	2024	-10.95	2.32	0.01
71	SLD 3	-6	186	1969	-6.32	-2.03	0.01
71	SLD 4	-6	186	1969	-6.32	-2.03	0.01
71	SLD 5	13	375	1997	-14.7	6.36	-0.01
71	SLD 6	13	375	1997	-14.7	6.36	-0.01
71	SLD 7	-14	22	1814	0.76	-8.14	0.01
71	SLD 8	-14	22	1814	0.76	-8.14	0.01
71	SLD 9	14	340	1919	-13.28	5.47	-0.01
71	SLD 10	14	340	1919	-13.28	5.47	-0.01
71	SLD 11	-13	-13	1736	2.18	-9.03	0.01
71	SLD 12	-13	-13	1736	2.18	-9.03	0.01



Nodo Ind.	Cont. N.br.	Reazione a traslazione			Reazione a rotazione		
		x	y	z	x	y	z
71	SLD 13	6	176	1764	-6.21	-0.64	-0.01
71	SLD 14	6	176	1764	-6.21	-0.64	-0.01
71	SLD 15	-2	70	1709	-1.57	-4.99	-0.01
71	SLD 16	-2	70	1709	-1.57	-4.99	-0.01
71	SLV 1	5	444	2239	-17.38	7.49	0.02
71	SLV 2	5	444	2239	-17.38	7.49	0.02
71	SLV 3	-15	193	2106	-6.4	-3.01	0.03
71	SLV 4	-15	193	2106	-6.4	-3.01	0.03
71	SLV 5	31	640	2178	-26.25	17.25	-0.01
71	SLV 6	31	640	2178	-26.25	17.25	-0.01
71	SLV 7	-34	-196	1738	10.35	-17.77	0.03
71	SLV 8	-34	-196	1738	10.35	-17.77	0.03
71	SLV 9	34	557	1995	-22.88	15.11	-0.03
71	SLV 10	34	557	1995	-22.88	15.11	-0.03
71	SLV 11	-31	-278	1554	13.73	-19.92	0.02
71	SLV 12	-31	-278	1554	13.73	-19.92	0.02
71	SLV 13	15	169	1627	-6.13	0.35	-0.03
71	SLV 14	15	169	1627	-6.13	0.35	-0.03
71	SLV 15	-5	-82	1494	4.86	-10.16	-0.01
71	SLV 16	-5	-82	1494	4.86	-10.16	-0.01
72	SLU 1	0	-15	1981	1.24	-0.42	-0.01
72	SLU 2	0	1	1983	0.61	0.01	-0.01
72	SLU 3	0	-15	1981	1.24	-0.42	-0.01
72	SLU 4	0	-5	1982	0.86	-0.16	-0.01
72	SLU 5	0	1	1983	0.61	0.01	-0.01
72	SLU 6	0	-15	1981	1.24	-0.42	-0.01
72	SLU 7	0	-5	1982	0.86	-0.16	-0.01
72	SLU 8	0	-15	1981	1.24	-0.42	-0.01
72	SLU 9	0	-5	1982	0.86	-0.16	-0.01
72	SLU 10	0	40	2288	-0.6	-0.17	-0.01
72	SLU 11	0	24	2285	0.03	-0.6	-0.01
72	SLU 12	0	34	2287	-0.35	-0.34	-0.01
72	SLU 13	0	40	2288	-0.6	-0.17	-0.01
72	SLU 14	0	24	2285	0.03	-0.6	-0.01
72	SLU 15	0	34	2287	-0.35	-0.34	-0.01
72	SLU 16	0	24	2285	0.03	-0.6	-0.01
72	SLU 17	0	34	2287	-0.35	-0.34	-0.01
72	SLU 18	0	40	2416	-0.49	-0.68	-0.01
72	SLU 19	0	50	2417	-0.87	-0.42	-0.01
72	SLU 20	0	40	2416	-0.49	-0.68	-0.01
72	SLU 21	0	50	2417	-0.87	-0.42	-0.01
72	SLU 22	0	5	2136	0.62	-0.51	-0.01
72	SLU 23	0	21	2138	0	-0.08	-0.01
72	SLU 24	0	5	2136	0.62	-0.51	-0.01
72	SLU 25	0	15	2137	0.25	-0.25	-0.01
72	SLU 26	0	21	2138	0	-0.08	-0.01
72	SLU 27	0	5	2136	0.62	-0.51	-0.01
72	SLU 28	0	15	2137	0.25	-0.25	-0.01
72	SLU 29	0	5	2136	0.62	-0.51	-0.01
72	SLU 30	0	15	2137	0.25	-0.25	-0.01
72	SLU 31	0	60	2443	-1.22	-0.26	-0.01
72	SLU 32	0	43	2441	-0.59	-0.69	-0.01
72	SLU 33	0	53	2442	-0.97	-0.43	-0.01
72	SLU 34	0	60	2443	-1.22	-0.26	-0.01
72	SLU 35	0	43	2441	-0.59	-0.69	-0.01
72	SLU 36	0	53	2442	-0.97	-0.43	-0.01
72	SLU 37	0	43	2441	-0.59	-0.69	-0.01
72	SLU 38	0	53	2442	-0.97	-0.43	-0.01
72	SLU 39	0	60	2571	-1.11	-0.77	-0.01
72	SLU 40	0	70	2573	-1.49	-0.51	-0.01
72	SLU 41	0	60	2571	-1.11	-0.77	-0.01
72	SLU 42	0	70	2573	-1.49	-0.51	-0.01
72	SLU 43	0	-26	2521	1.82	-0.52	-0.01
72	SLU 44	0	-10	2524	1.2	-0.08	-0.01
72	SLU 45	0	-26	2521	1.82	-0.52	-0.01
72	SLU 46	0	-16	2523	1.45	-0.26	-0.01
72	SLU 47	0	-10	2524	1.2	-0.08	-0.01
72	SLU 48	0	-26	2521	1.82	-0.52	-0.01
72	SLU 49	0	-16	2523	1.45	-0.26	-0.01
72	SLU 50	0	-26	2521	1.82	-0.52	-0.01
72	SLU 51	0	-16	2523	1.45	-0.26	-0.01
72	SLU 52	0	29	2828	-0.02	-0.26	-0.01
72	SLU 53	0	13	2826	0.61	-0.7	-0.01
72	SLU 54	0	22	2828	0.23	-0.44	-0.01
72	SLU 55	0	29	2828	-0.02	-0.26	-0.01
72	SLU 56	0	13	2826	0.61	-0.7	-0.01
72	SLU 57	0	22	2828	0.23	-0.44	-0.01
72	SLU 58	0	13	2826	0.61	-0.7	-0.01
72	SLU 59	0	22	2828	0.23	-0.44	-0.01
72	SLU 60	0	29	2957	0.09	-0.77	-0.01
72	SLU 61	0	39	2958	-0.29	-0.51	-0.01
72	SLU 62	0	29	2957	0.09	-0.77	-0.01
72	SLU 63	0	39	2958	-0.29	-0.51	-0.01
72	SLU 64	0	-6	2677	1.21	-0.61	-0.01
72	SLU 65	0	10	2679	0.58	-0.18	-0.01
72	SLU 66	0	-6	2677	1.21	-0.61	-0.01
72	SLU 67	0	3	2678	0.83	-0.35	-0.01
72	SLU 68	0	10	2679	0.58	-0.18	-0.01



Nodo Ind.	Cont. N.br.	Reazione a traslazione			Reazione a rotazione		
		x	y	z	x	y	z
72	SLU 69	0	-6	2677	1.21	-0.61	-0.01
72	SLU 70	0	3	2678	0.83	-0.35	-0.01
72	SLU 71	0	-6	2677	1.21	-0.61	-0.01
72	SLU 72	0	3	2678	0.83	-0.35	-0.01
72	SLU 73	0	48	2984	-0.63	-0.36	-0.01
72	SLU 74	0	32	2982	-0.01	-0.79	-0.01
72	SLU 75	0	42	2983	-0.38	-0.53	-0.01
72	SLU 76	0	48	2984	-0.63	-0.36	-0.01
72	SLU 77	0	32	2982	-0.01	-0.79	-0.01
72	SLU 78	0	42	2983	-0.38	-0.53	-0.01
72	SLU 79	0	32	2982	-0.01	-0.79	-0.01
72	SLU 80	0	42	2983	-0.38	-0.53	-0.01
72	SLU 81	0	49	3112	-0.53	-0.87	-0.01
72	SLU 82	0	59	3114	-0.9	-0.61	-0.01
72	SLU 83	0	49	3112	-0.53	-0.87	-0.01
72	SLU 84	0	59	3114	-0.9	-0.61	-0.01
72	SLE RA 1	0	-9	2025	1.06	-0.45	-0.01
72	SLE RA 2	0	2	2026	0.65	-0.16	-0.01
72	SLE RA 3	0	-9	2025	1.06	-0.45	-0.01
72	SLE RA 4	0	-3	2026	0.81	-0.27	-0.01
72	SLE RA 5	0	2	2026	0.65	-0.16	-0.01
72	SLE RA 6	0	-9	2025	1.06	-0.45	-0.01
72	SLE RA 7	0	-3	2026	0.81	-0.27	-0.01
72	SLE RA 8	0	-9	2025	1.06	-0.45	-0.01
72	SLE RA 9	0	-3	2026	0.81	-0.27	-0.01
72	SLE RA 10	0	27	2230	-0.16	-0.28	-0.01
72	SLE RA 11	0	17	2228	0.25	-0.57	-0.01
72	SLE RA 12	0	23	2229	0	-0.39	-0.01
72	SLE RA 13	0	27	2230	-0.16	-0.28	-0.01
72	SLE RA 14	0	17	2228	0.25	-0.57	-0.01
72	SLE RA 15	0	23	2229	0	-0.39	-0.01
72	SLE RA 16	0	17	2228	0.25	-0.57	-0.01
72	SLE RA 17	0	23	2229	0	-0.39	-0.01
72	SLE RA 18	0	28	2315	-0.09	-0.62	-0.01
72	SLE RA 19	0	34	2316	-0.34	-0.45	-0.01
72	SLE RA 20	0	28	2315	-0.09	-0.62	-0.01
72	SLE RA 21	0	34	2316	-0.34	-0.45	-0.01
72	SLE FR 1	0	-9	2025	1.06	-0.45	-0.01
72	SLE FR 2	0	-7	2025	0.98	-0.39	-0.01
72	SLE FR 3	0	-9	2025	1.06	-0.45	-0.01
72	SLE FR 4	0	4	2112	0.63	-0.44	-0.01
72	SLE FR 5	0	2	2112	0.72	-0.5	-0.01
72	SLE FR 6	0	9	2170	0.49	-0.53	-0.01
72	SLE QP 1	0	-9	2025	1.06	-0.45	-0.01
72	SLE QP 2	0	2	2112	0.72	-0.5	-0.01
72	SLD 1	-10	-5	1932	0.87	0.41	0.01
72	SLD 2	-10	-5	1932	0.87	0.41	0.01
72	SLD 3	2	-116	1969	5.42	7.21	-0.01
72	SLD 4	2	-116	1969	5.42	7.21	-0.01
72	SLD 5	-23	167	2001	-6.14	-10.54	0.01
72	SLD 6	-23	167	2001	-6.14	-10.54	0.01
72	SLD 7	20	-201	2126	9.03	12.13	-0.02
72	SLD 8	20	-201	2126	9.03	12.13	-0.02
72	SLD 9	-20	204	2098	-7.6	-13.13	0.01
72	SLD 10	-20	204	2098	-7.6	-13.13	0.01
72	SLD 11	22	-163	2223	7.57	9.54	-0.03
72	SLD 12	22	-163	2223	7.57	9.54	-0.03
72	SLD 13	-3	119	2255	-3.99	-8.21	-0.01
72	SLD 14	-3	119	2255	-3.99	-8.21	-0.01
72	SLD 15	10	9	2292	0.56	-1.41	-0.02
72	SLD 16	10	9	2292	0.56	-1.41	-0.02
72	SLV 1	-26	-15	1685	1.07	1.31	0.02
72	SLV 2	-26	-15	1685	1.07	1.31	0.02
72	SLV 3	6	-278	1775	11.94	18.74	0
72	SLV 4	6	-278	1775	11.94	18.74	0
72	SLV 5	-58	396	1848	-15.67	-26.39	0.04
72	SLV 6	-58	396	1848	-15.67	-26.39	0.04
72	SLV 7	51	-482	2147	20.58	31.71	-0.05
72	SLV 8	51	-482	2147	20.58	31.71	-0.05
72	SLV 9	-52	485	2077	-19.15	-32.7	0.03
72	SLV 10	-52	485	2077	-19.15	-32.7	0.03
72	SLV 11	57	-393	2376	17.11	25.39	-0.06
72	SLV 12	57	-393	2376	17.11	25.39	-0.06
72	SLV 13	-7	282	2449	-10.51	-19.74	-0.01
72	SLV 14	-7	282	2449	-10.51	-19.74	-0.01
72	SLV 15	26	18	2539	0.37	-2.31	-0.04
72	SLV 16	26	18	2539	0.37	-2.31	-0.04
73	SLU 1	-1	-37	1514	2.82	0.25	0
73	SLU 2	-1	-35	1521	2.76	0.24	0
73	SLU 3	-1	-37	1514	2.82	0.25	0
73	SLU 4	-1	-36	1518	2.78	0.24	0
73	SLU 5	-1	-35	1521	2.76	0.24	0
73	SLU 6	-1	-37	1514	2.82	0.25	0
73	SLU 7	-1	-36	1518	2.78	0.24	0
73	SLU 8	-1	-37	1514	2.82	0.25	0
73	SLU 9	-1	-36	1518	2.78	0.24	0
73	SLU 10	-1	-1	1963	1.86	0.31	0
73	SLU 11	-1	-2	1957	1.93	0.31	0



Nodo Ind.	Cont. N.br.	Reazione a traslazione			Reazione a rotazione		
		x	y	z	x	y	z
73	SLU 12	-1	-1	1961	1.89	0.31	0
73	SLU 13	-1	-1	1963	1.86	0.31	0
73	SLU 14	-1	-2	1957	1.93	0.31	0
73	SLU 15	-1	-1	1961	1.89	0.31	0
73	SLU 16	-1	-2	1957	1.93	0.31	0
73	SLU 17	-1	-1	1961	1.89	0.31	0
73	SLU 18	-1	13	2147	1.54	0.34	0
73	SLU 19	-1	14	2151	1.5	0.34	0
73	SLU 20	-1	13	2147	1.54	0.34	0
73	SLU 21	-1	14	2151	1.5	0.34	0
73	SLU 22	-1	-19	1739	2.36	0.28	0
73	SLU 23	-1	-18	1746	2.3	0.27	0
73	SLU 24	-1	-19	1739	2.36	0.28	0
73	SLU 25	-1	-18	1743	2.33	0.28	0
73	SLU 26	-1	-18	1746	2.3	0.27	0
73	SLU 27	-1	-19	1739	2.36	0.28	0
73	SLU 28	-1	-18	1743	2.33	0.28	0
73	SLU 29	-1	-19	1739	2.36	0.28	0
73	SLU 30	-1	-18	1743	2.33	0.28	0
73	SLU 31	-1	17	2189	1.4	0.34	0
73	SLU 32	-1	15	2182	1.47	0.35	0
73	SLU 33	-1	16	2186	1.43	0.34	0
73	SLU 34	-1	17	2189	1.4	0.34	0
73	SLU 35	-1	15	2182	1.47	0.35	0
73	SLU 36	-1	16	2186	1.43	0.34	0
73	SLU 37	-1	15	2182	1.47	0.35	0
73	SLU 38	-1	16	2186	1.43	0.34	0
73	SLU 39	-1	30	2372	1.08	0.37	0
73	SLU 40	-1	31	2376	1.05	0.37	0
73	SLU 41	-1	30	2372	1.08	0.37	0
73	SLU 42	-1	31	2376	1.05	0.37	0
73	SLU 43	-1	-54	1891	3.82	0.31	0
73	SLU 44	-1	-52	1898	3.76	0.3	0
73	SLU 45	-1	-54	1891	3.82	0.31	0
73	SLU 46	-1	-53	1895	3.79	0.31	0
73	SLU 47	-1	-52	1898	3.76	0.3	0
73	SLU 48	-1	-54	1891	3.82	0.31	0
73	SLU 49	-1	-53	1895	3.79	0.31	0
73	SLU 50	-1	-54	1891	3.82	0.31	0
73	SLU 51	-1	-53	1895	3.79	0.31	0
73	SLU 52	-1	-18	2340	2.86	0.37	0
73	SLU 53	-1	-19	2334	2.93	0.38	0
73	SLU 54	-1	-18	2338	2.89	0.37	0
73	SLU 55	-1	-18	2340	2.86	0.37	0
73	SLU 56	-1	-19	2334	2.93	0.38	0
73	SLU 57	-1	-18	2338	2.89	0.37	0
73	SLU 58	-1	-19	2334	2.93	0.38	0
73	SLU 59	-1	-18	2338	2.89	0.37	0
73	SLU 60	-1	-5	2523	2.54	0.4	0
73	SLU 61	-1	-3	2527	2.51	0.4	0
73	SLU 62	-1	-5	2523	2.54	0.4	0
73	SLU 63	-1	-3	2527	2.51	0.4	0
73	SLU 64	-1	-36	2116	3.37	0.34	0
73	SLU 65	-1	-35	2123	3.3	0.34	0
73	SLU 66	-1	-36	2116	3.37	0.34	0
73	SLU 67	-1	-35	2120	3.33	0.34	0
73	SLU 68	-1	-35	2123	3.3	0.34	0
73	SLU 69	-1	-36	2116	3.37	0.34	0
73	SLU 70	-1	-35	2120	3.33	0.34	0
73	SLU 71	-1	-36	2116	3.37	0.34	0
73	SLU 72	-1	-35	2120	3.33	0.34	0
73	SLU 73	-1	0	2566	2.41	0.4	0
73	SLU 74	-1	-2	2559	2.47	0.41	0
73	SLU 75	-1	-1	2563	2.43	0.4	0
73	SLU 76	-1	0	2566	2.41	0.4	0
73	SLU 77	-1	-2	2559	2.47	0.41	0
73	SLU 78	-1	-1	2563	2.43	0.4	0
73	SLU 79	-1	-2	2559	2.47	0.41	0
73	SLU 80	-1	-1	2563	2.43	0.4	0
73	SLU 81	-1	13	2749	2.09	0.44	0
73	SLU 82	-1	14	2753	2.05	0.43	0
73	SLU 83	-1	13	2749	2.09	0.44	0
73	SLU 84	-1	14	2753	2.05	0.43	0
73	SLE RA 1	-1	-32	1578	2.69	0.26	0
73	SLE RA 2	-1	-31	1583	2.65	0.25	0
73	SLE RA 3	-1	-32	1578	2.69	0.26	0
73	SLE RA 4	-1	-31	1581	2.66	0.25	0
73	SLE RA 5	-1	-31	1583	2.65	0.25	0
73	SLE RA 6	-1	-32	1578	2.69	0.26	0
73	SLE RA 7	-1	-31	1581	2.66	0.25	0
73	SLE RA 8	-1	-32	1578	2.69	0.26	0
73	SLE RA 9	-1	-31	1581	2.66	0.25	0
73	SLE RA 10	-1	-8	1878	2.05	0.3	0
73	SLE RA 11	-1	-9	1874	2.09	0.3	0
73	SLE RA 12	-1	-8	1876	2.07	0.3	0
73	SLE RA 13	-1	-8	1878	2.05	0.3	0
73	SLE RA 14	-1	-9	1874	2.09	0.3	0
73	SLE RA 15	-1	-8	1876	2.07	0.3	0



Nodo Ind.	Cont. N.br.	Reazione a traslazione			Reazione a rotazione		
		x	y	z	x	y	z
73	SLE RA 16	-1	-9	1874	2.09	0.3	0
73	SLE RA 17	-1	-8	1876	2.07	0.3	0
73	SLE RA 18	-1	1	2000	1.84	0.32	0
73	SLE RA 19	-1	2	2003	1.81	0.32	0
73	SLE RA 20	-1	1	2000	1.84	0.32	0
73	SLE RA 21	-1	2	2003	1.81	0.32	0
73	SLE FR 1	-1	-32	1578	2.69	0.26	0
73	SLE FR 2	-1	-32	1579	2.68	0.26	0
73	SLE FR 3	-1	-32	1578	2.69	0.26	0
73	SLE FR 4	-1	-22	1706	2.43	0.27	0
73	SLE FR 5	-1	-22	1705	2.43	0.28	0
73	SLE FR 6	-1	-15	1789	2.26	0.29	0
73	SLE QP 1	-1	-32	1578	2.69	0.26	0
73	SLE QP 2	-1	-22	1705	2.43	0.28	0
73	SLD 1	-3	-23	1722	2.39	0.75	0
73	SLD 2	-3	-23	1722	2.39	0.75	0
73	SLD 3	-2	-123	1773	6.76	0.9	0
73	SLD 4	-2	-123	1773	6.76	0.9	0
73	SLD 5	-2	129	1633	-4.21	0.18	0
73	SLD 6	-2	129	1633	-4.21	0.18	0
73	SLD 7	0	-204	1803	10.36	0.7	0
73	SLD 8	0	-204	1803	10.36	0.7	0
73	SLD 9	-1	160	1607	-5.49	-0.15	0
73	SLD 10	-1	160	1607	-5.49	-0.15	0
73	SLD 11	1	-173	1777	9.08	0.37	0
73	SLD 12	1	-173	1777	9.08	0.37	0
73	SLD 13	1	79	1637	-1.89	-0.35	0
73	SLD 14	1	79	1637	-1.89	-0.35	0
73	SLD 15	1	-21	1688	2.48	-0.19	0
73	SLD 16	1	-21	1688	2.48	-0.19	0
73	SLV 1	-6	-28	1752	2.49	1.4	-0.01
73	SLV 2	-6	-28	1752	2.49	1.4	-0.01
73	SLV 3	-4	-263	1873	12.78	1.77	-0.01
73	SLV 4	-4	-263	1873	12.78	1.77	-0.01
73	SLV 5	-4	333	1536	-13.16	0.04	-0.01
73	SLV 6	-4	333	1536	-13.16	0.04	-0.01
73	SLV 7	1	-451	1939	21.15	1.3	0
73	SLV 8	1	-451	1939	21.15	1.3	0
73	SLV 9	-2	407	1471	-16.28	-0.75	0
73	SLV 10	-2	407	1471	-16.28	-0.75	0
73	SLV 11	3	-377	1874	18.03	0.51	0.01
73	SLV 12	3	-377	1874	18.03	0.51	0.01
73	SLV 13	3	219	1537	-7.91	-1.22	0.01
73	SLV 14	3	219	1537	-7.91	-1.22	0.01
73	SLV 15	4	-16	1658	2.38	-0.85	0.01
73	SLV 16	4	-16	1658	2.38	-0.85	0.01
74	SLU 1	0	23	1174	2.23	0.12	0
74	SLU 2	0	24	1179	2.27	0.17	0
74	SLU 3	0	23	1174	2.23	0.12	0
74	SLU 4	0	23	1177	2.26	0.15	0
74	SLU 5	0	24	1179	2.27	0.17	0
74	SLU 6	0	23	1174	2.23	0.12	0
74	SLU 7	0	23	1177	2.26	0.15	0
74	SLU 8	0	23	1174	2.23	0.12	0
74	SLU 9	0	23	1177	2.26	0.15	0
74	SLU 10	0	45	1471	2.83	0.21	0
74	SLU 11	0	44	1465	2.79	0.17	0
74	SLU 12	0	44	1468	2.82	0.19	0
74	SLU 13	0	45	1471	2.83	0.21	0
74	SLU 14	0	44	1465	2.79	0.17	0
74	SLU 15	0	44	1468	2.82	0.19	0
74	SLU 16	0	44	1465	2.79	0.17	0
74	SLU 17	0	44	1468	2.82	0.19	0
74	SLU 18	0	53	1590	3.03	0.19	0
74	SLU 19	0	53	1593	3.06	0.21	0
74	SLU 20	0	53	1590	3.03	0.19	0
74	SLU 21	0	53	1593	3.06	0.21	0
74	SLU 22	0	34	1322	2.52	0.15	0
74	SLU 23	0	34	1328	2.56	0.19	0
74	SLU 24	0	34	1322	2.52	0.15	0
74	SLU 25	0	34	1325	2.54	0.17	0
74	SLU 26	0	34	1328	2.56	0.19	0
74	SLU 27	0	34	1322	2.52	0.15	0
74	SLU 28	0	34	1325	2.54	0.17	0
74	SLU 29	0	34	1322	2.52	0.15	0
74	SLU 30	0	34	1325	2.54	0.17	0
74	SLU 31	0	55	1619	3.12	0.23	0
74	SLU 32	0	55	1614	3.08	0.19	0
74	SLU 33	0	55	1617	3.1	0.22	0
74	SLU 34	0	55	1619	3.12	0.23	0
74	SLU 35	0	55	1614	3.08	0.19	0
74	SLU 36	0	55	1617	3.1	0.22	0
74	SLU 37	0	55	1614	3.08	0.19	0
74	SLU 38	0	55	1617	3.1	0.22	0
74	SLU 39	0	64	1738	3.32	0.21	0
74	SLU 40	0	64	1742	3.34	0.23	0
74	SLU 41	0	64	1738	3.32	0.21	0
74	SLU 42	0	64	1742	3.34	0.23	0



Nodo Ind.	Cont. N.br.	Reazione a traslazione			Reazione a rotazione		
		x	y	z	x	y	z
74	SLU 43	0	27	1475	2.8	0.15	0
74	SLU 44	0	27	1481	2.85	0.2	0
74	SLU 45	0	27	1475	2.8	0.15	0
74	SLU 46	0	27	1479	2.83	0.18	0
74	SLU 47	0	27	1481	2.85	0.2	0
74	SLU 48	0	27	1475	2.8	0.15	0
74	SLU 49	0	27	1479	2.83	0.18	0
74	SLU 50	0	27	1475	2.8	0.15	0
74	SLU 51	0	27	1479	2.83	0.18	0
74	SLU 52	0	48	1772	3.4	0.24	0
74	SLU 53	0	48	1767	3.36	0.2	0
74	SLU 54	0	48	1770	3.39	0.22	0
74	SLU 55	0	48	1772	3.4	0.24	0
74	SLU 56	0	48	1767	3.36	0.2	0
74	SLU 57	0	48	1770	3.39	0.22	0
74	SLU 58	0	48	1767	3.36	0.2	0
74	SLU 59	0	48	1770	3.39	0.22	0
74	SLU 60	0	57	1892	3.6	0.21	0
74	SLU 61	0	57	1895	3.63	0.24	0
74	SLU 62	0	57	1892	3.6	0.21	0
74	SLU 63	0	57	1895	3.63	0.24	0
74	SLU 64	0	37	1624	3.09	0.17	0
74	SLU 65	0	38	1629	3.13	0.22	0
74	SLU 66	0	37	1624	3.09	0.17	0
74	SLU 67	0	37	1627	3.11	0.2	0
74	SLU 68	0	38	1629	3.13	0.22	0
74	SLU 69	0	37	1624	3.09	0.17	0
74	SLU 70	0	37	1627	3.11	0.2	0
74	SLU 71	0	37	1624	3.09	0.17	0
74	SLU 72	0	37	1627	3.11	0.2	0
74	SLU 73	1	59	1920	3.69	0.26	0
74	SLU 74	0	58	1915	3.65	0.22	0
74	SLU 75	0	58	1918	3.67	0.25	0
74	SLU 76	1	59	1920	3.69	0.26	0
74	SLU 77	0	58	1915	3.65	0.22	0
74	SLU 78	0	58	1918	3.67	0.25	0
74	SLU 79	0	58	1915	3.65	0.22	0
74	SLU 80	0	58	1918	3.67	0.25	0
74	SLU 81	1	67	2040	3.89	0.24	0
74	SLU 82	1	67	2043	3.91	0.26	0
74	SLU 83	1	67	2040	3.89	0.24	0
74	SLU 84	1	67	2043	3.91	0.26	0
74	SLE RA 1	0	26	1216	2.31	0.13	0
74	SLE RA 2	0	26	1220	2.34	0.16	0
74	SLE RA 3	0	26	1216	2.31	0.13	0
74	SLE RA 4	0	26	1219	2.33	0.15	0
74	SLE RA 5	0	26	1220	2.34	0.16	0
74	SLE RA 6	0	26	1216	2.31	0.13	0
74	SLE RA 7	0	26	1219	2.33	0.15	0
74	SLE RA 8	0	26	1216	2.31	0.13	0
74	SLE RA 9	0	26	1219	2.33	0.15	0
74	SLE RA 10	0	41	1414	2.71	0.19	0
74	SLE RA 11	0	40	1411	2.69	0.16	0
74	SLE RA 12	0	40	1413	2.7	0.18	0
74	SLE RA 13	0	41	1414	2.71	0.19	0
74	SLE RA 14	0	40	1411	2.69	0.16	0
74	SLE RA 15	0	40	1413	2.7	0.18	0
74	SLE RA 16	0	40	1411	2.69	0.16	0
74	SLE RA 17	0	40	1413	2.7	0.18	0
74	SLE RA 18	0	46	1494	2.85	0.17	0
74	SLE RA 19	0	46	1496	2.86	0.19	0
74	SLE RA 20	0	46	1494	2.85	0.17	0
74	SLE RA 21	0	46	1496	2.86	0.19	0
74	SLE FR 1	0	26	1216	2.31	0.13	0
74	SLE FR 2	0	26	1217	2.32	0.14	0
74	SLE FR 3	0	26	1216	2.31	0.13	0
74	SLE FR 4	0	32	1300	2.48	0.15	0
74	SLE FR 5	0	32	1300	2.47	0.14	0
74	SLE FR 6	0	36	1355	2.58	0.15	0
74	SLE QP 1	0	26	1216	2.31	0.13	0
74	SLE QP 2	0	32	1300	2.47	0.14	0
74	SLD 1	1	147	1476	-4.78	-0.32	0
74	SLD 2	1	147	1476	-4.78	-0.32	0
74	SLD 3	3	-24	1219	5.77	1.36	-0.01
74	SLD 4	3	-24	1219	5.77	1.36	-0.01
74	SLD 5	-3	327	1743	-15.71	-2.55	0.01
74	SLD 6	-3	327	1743	-15.71	-2.55	0.01
74	SLD 7	4	-245	885	19.47	3.06	-0.01
74	SLD 8	4	-245	885	19.47	3.06	-0.01
74	SLD 9	-3	309	1714	-14.52	-2.78	0.01
74	SLD 10	-3	309	1714	-14.52	-2.78	0.01
74	SLD 11	3	-262	856	20.66	2.83	-0.01
74	SLD 12	3	-262	856	20.66	2.83	-0.01
74	SLD 13	-2	89	1380	-0.82	-1.08	0.01
74	SLD 14	-2	89	1380	-0.82	-1.08	0.01
74	SLD 15	0	-82	1123	9.73	0.6	0
74	SLD 16	0	-82	1123	9.73	0.6	0
74	SLV 1	1	308	1726	-15.1	-0.97	0



Nodo Ind.	Cont. N.br.	Reazione a traslazione			Reazione a rotazione		
		x	y	z	x	y	z
74	SLV 2	1	308	1726	-15.1	-0.97	0
74	SLV 3	6	-101	1110	10.21	3.06	-0.02
74	SLV 4	6	-101	1110	10.21	3.06	-0.02
74	SLV 5	-7	736	2361	-41.19	-6.32	0.03
74	SLV 6	-7	736	2361	-41.19	-6.32	0.03
74	SLV 7	9	-629	309	43.19	7.14	-0.03
74	SLV 8	9	-629	309	43.19	7.14	-0.03
74	SLV 9	-8	694	2290	-38.24	-6.86	0.03
74	SLV 10	-8	694	2290	-38.24	-6.86	0.03
74	SLV 11	7	-672	238	46.14	6.6	-0.03
74	SLV 12	7	-672	238	46.14	6.6	-0.03
74	SLV 13	-5	166	1489	-5.26	-2.78	0.02
74	SLV 14	-5	166	1489	-5.26	-2.78	0.02
74	SLV 15	0	-244	874	20.05	1.26	0
74	SLV 16	0	-244	874	20.05	1.26	0
75	SLU 1	0	18	1125	2.21	-0.13	0
75	SLU 2	0	18	1126	2.28	-0.17	0
75	SLU 3	0	18	1125	2.21	-0.13	0
75	SLU 4	0	18	1126	2.25	-0.15	0
75	SLU 5	0	18	1126	2.28	-0.17	0
75	SLU 6	0	18	1125	2.21	-0.13	0
75	SLU 7	0	18	1126	2.25	-0.15	0
75	SLU 8	0	18	1125	2.21	-0.13	0
75	SLU 9	0	18	1126	2.25	-0.15	0
75	SLU 10	0	39	1417	2.85	-0.21	0
75	SLU 11	0	39	1415	2.78	-0.18	0
75	SLU 12	0	39	1416	2.82	-0.2	0
75	SLU 13	0	39	1417	2.85	-0.21	0
75	SLU 14	0	39	1415	2.78	-0.18	0
75	SLU 15	0	39	1416	2.82	-0.2	0
75	SLU 16	0	39	1415	2.78	-0.18	0
75	SLU 17	0	39	1416	2.82	-0.2	0
75	SLU 18	0	48	1539	3.03	-0.2	0
75	SLU 19	0	48	1540	3.07	-0.22	0
75	SLU 20	0	48	1539	3.03	-0.2	0
75	SLU 21	0	48	1540	3.07	-0.22	0
75	SLU 22	0	29	1272	2.5	-0.15	0
75	SLU 23	0	28	1274	2.57	-0.19	0
75	SLU 24	0	29	1272	2.5	-0.15	0
75	SLU 25	0	29	1273	2.54	-0.18	0
75	SLU 26	0	28	1274	2.57	-0.19	0
75	SLU 27	0	29	1272	2.5	-0.15	0
75	SLU 28	0	29	1273	2.54	-0.18	0
75	SLU 29	0	29	1272	2.5	-0.15	0
75	SLU 30	0	29	1273	2.54	-0.18	0
75	SLU 31	0	49	1564	3.14	-0.24	0
75	SLU 32	0	50	1563	3.07	-0.2	0
75	SLU 33	0	49	1564	3.12	-0.22	0
75	SLU 34	0	49	1564	3.14	-0.24	0
75	SLU 35	0	50	1563	3.07	-0.2	0
75	SLU 36	0	49	1564	3.12	-0.22	0
75	SLU 37	0	50	1563	3.07	-0.2	0
75	SLU 38	0	49	1564	3.12	-0.22	0
75	SLU 39	0	59	1687	3.32	-0.22	0
75	SLU 40	-1	58	1688	3.36	-0.24	0
75	SLU 41	0	59	1687	3.32	-0.22	0
75	SLU 42	-1	58	1688	3.36	-0.24	0
75	SLU 43	0	20	1412	2.77	-0.16	0
75	SLU 44	0	20	1413	2.84	-0.2	0
75	SLU 45	0	20	1412	2.77	-0.16	0
75	SLU 46	0	20	1413	2.81	-0.19	0
75	SLU 47	0	20	1413	2.84	-0.2	0
75	SLU 48	0	20	1412	2.77	-0.16	0
75	SLU 49	0	20	1413	2.81	-0.19	0
75	SLU 50	0	20	1412	2.77	-0.16	0
75	SLU 51	0	20	1413	2.81	-0.19	0
75	SLU 52	0	41	1703	3.41	-0.25	0
75	SLU 53	0	41	1702	3.34	-0.21	0
75	SLU 54	0	41	1703	3.39	-0.23	0
75	SLU 55	0	41	1703	3.41	-0.25	0
75	SLU 56	0	41	1702	3.34	-0.21	0
75	SLU 57	0	41	1703	3.39	-0.23	0
75	SLU 58	0	41	1702	3.34	-0.21	0
75	SLU 59	0	41	1703	3.39	-0.23	0
75	SLU 60	0	50	1826	3.59	-0.23	0
75	SLU 61	-1	50	1827	3.63	-0.25	0
75	SLU 62	0	50	1826	3.59	-0.23	0
75	SLU 63	-1	50	1827	3.63	-0.25	0
75	SLU 64	0	31	1559	3.06	-0.19	0
75	SLU 65	0	30	1561	3.13	-0.22	0
75	SLU 66	0	31	1559	3.06	-0.19	0
75	SLU 67	0	31	1560	3.1	-0.21	0
75	SLU 68	0	30	1561	3.13	-0.22	0
75	SLU 69	0	31	1559	3.06	-0.19	0
75	SLU 70	0	31	1560	3.1	-0.21	0
75	SLU 71	0	31	1559	3.06	-0.19	0
75	SLU 72	0	31	1560	3.1	-0.21	0
75	SLU 73	-1	51	1851	3.71	-0.27	0



Nodo Ind.	Cont. N.br.	Reazione a traslazione			Reazione a rotazione		
		x	y	z	x	y	z
75	SLU 74	-1	52	1849	3.64	-0.23	0
75	SLU 75	-1	51	1850	3.68	-0.25	0
75	SLU 76	-1	51	1851	3.71	-0.27	0
75	SLU 77	-1	52	1849	3.64	-0.23	0
75	SLU 78	-1	51	1850	3.68	-0.25	0
75	SLU 79	-1	52	1849	3.64	-0.23	0
75	SLU 80	-1	51	1850	3.68	-0.25	0
75	SLU 81	-1	61	1974	3.88	-0.25	0
75	SLU 82	-1	60	1975	3.92	-0.27	0
75	SLU 83	-1	61	1974	3.88	-0.25	0
75	SLU 84	-1	60	1975	3.92	-0.27	0
75	SLE RA 1	0	21	1167	2.29	-0.14	0
75	SLE RA 2	0	21	1168	2.34	-0.16	0
75	SLE RA 3	0	21	1167	2.29	-0.14	0
75	SLE RA 4	0	21	1168	2.32	-0.15	0
75	SLE RA 5	0	21	1168	2.34	-0.16	0
75	SLE RA 6	0	21	1167	2.29	-0.14	0
75	SLE RA 7	0	21	1168	2.32	-0.15	0
75	SLE RA 8	0	21	1167	2.29	-0.14	0
75	SLE RA 9	0	21	1168	2.32	-0.15	0
75	SLE RA 10	0	35	1362	2.72	-0.19	0
75	SLE RA 11	0	35	1360	2.67	-0.17	0
75	SLE RA 12	0	35	1361	2.7	-0.18	0
75	SLE RA 13	0	35	1362	2.72	-0.19	0
75	SLE RA 14	0	35	1360	2.67	-0.17	0
75	SLE RA 15	0	35	1361	2.7	-0.18	0
75	SLE RA 16	0	35	1360	2.67	-0.17	0
75	SLE RA 17	0	35	1361	2.7	-0.18	0
75	SLE RA 18	0	41	1443	2.84	-0.18	0
75	SLE RA 19	0	41	1444	2.87	-0.2	0
75	SLE RA 20	0	41	1443	2.84	-0.18	0
75	SLE RA 21	0	41	1444	2.87	-0.2	0
75	SLE FR 1	0	21	1167	2.29	-0.14	0
75	SLE FR 2	0	21	1167	2.3	-0.14	0
75	SLE FR 3	0	21	1167	2.29	-0.14	0
75	SLE FR 4	0	27	1250	2.46	-0.16	0
75	SLE FR 5	0	27	1250	2.46	-0.15	0
75	SLE FR 6	0	31	1305	2.56	-0.16	0
75	SLE QP 1	0	21	1167	2.29	-0.14	0
75	SLE QP 2	0	27	1250	2.46	-0.15	0
75	SLD 1	2	69	1308	0.11	1.08	-0.01
75	SLD 2	2	69	1308	0.11	1.08	-0.01
75	SLD 3	0	-107	1039	10.94	-0.37	0
75	SLD 4	0	-107	1039	10.94	-0.37	0
75	SLD 5	2	307	1675	-14.67	2.41	-0.01
75	SLD 6	2	307	1675	-14.67	2.41	-0.01
75	SLD 7	-2	-280	779	21.43	-2.41	0.01
75	SLD 8	-2	-280	779	21.43	-2.41	0.01
75	SLD 9	2	335	1721	-16.52	2.11	0
75	SLD 10	2	335	1721	-16.52	2.11	0
75	SLD 11	-3	-252	825	19.59	-2.72	0.01
75	SLD 12	-3	-252	825	19.59	-2.72	0.01
75	SLD 13	-1	162	1461	-6.03	0.07	0
75	SLD 14	-1	162	1461	-6.03	0.07	0
75	SLD 15	-2	-14	1192	4.8	-1.38	0.01
75	SLD 16	-2	-14	1192	4.8	-1.38	0.01
75	SLV 1	4	127	1387	-3.19	2.95	-0.01
75	SLV 2	4	127	1387	-3.19	2.95	-0.01
75	SLV 3	1	-303	732	23.37	-0.75	0
75	SLV 4	1	-303	732	23.37	-0.75	0
75	SLV 5	6	710	2284	-39.52	6.39	-0.02
75	SLV 6	6	710	2284	-39.52	6.39	-0.02
75	SLV 7	-5	-725	101	49.01	-5.94	0.02
75	SLV 8	-5	-725	101	49.01	-5.94	0.02
75	SLV 9	4	779	2399	-44.1	5.64	-0.01
75	SLV 10	4	779	2399	-44.1	5.64	-0.01
75	SLV 11	-7	-655	215	44.43	-6.69	0.02
75	SLV 12	-7	-655	215	44.43	-6.69	0.02
75	SLV 13	-2	358	1768	-18.46	0.45	0.01
75	SLV 14	-2	358	1768	-18.46	0.45	0.01
75	SLV 15	-5	-72	1113	8.1	-3.25	0.02
75	SLV 16	-5	-72	1113	8.1	-3.25	0.02
76	SLU 1	7	161	1984	-5.98	0.93	-0.02
76	SLU 2	7	177	2001	-6.78	0.74	-0.02
76	SLU 3	7	161	1984	-5.98	0.93	-0.02
76	SLU 4	7	171	1994	-6.46	0.81	-0.02
76	SLU 5	7	177	2001	-6.78	0.74	-0.02
76	SLU 6	7	161	1984	-5.98	0.93	-0.02
76	SLU 7	7	171	1994	-6.46	0.81	-0.02
76	SLU 8	7	161	1984	-5.98	0.93	-0.02
76	SLU 9	7	171	1994	-6.46	0.81	-0.02
76	SLU 10	9	234	2323	-8.67	1.18	-0.03
76	SLU 11	9	217	2306	-7.87	1.37	-0.02
76	SLU 12	9	227	2316	-8.35	1.26	-0.03
76	SLU 13	9	234	2323	-8.67	1.18	-0.03
76	SLU 14	9	217	2306	-7.87	1.37	-0.02
76	SLU 15	9	227	2316	-8.35	1.26	-0.03
76	SLU 16	9	217	2306	-7.87	1.37	-0.02



Nodo Ind.	Cont. N.br.	Reazione a traslazione			Reazione a rotazione		
		x	y	z	x	y	z
76	SLU 17	9	227	2316	-8.35	1.26	-0.03
76	SLU 18	10	241	2443	-8.68	1.56	-0.03
76	SLU 19	10	251	2454	-9.16	1.45	-0.03
76	SLU 20	10	241	2443	-8.68	1.56	-0.03
76	SLU 21	10	251	2454	-9.16	1.45	-0.03
76	SLU 22	8	189	2148	-6.94	1.15	-0.02
76	SLU 23	8	206	2165	-7.74	0.96	-0.02
76	SLU 24	8	189	2148	-6.94	1.15	-0.02
76	SLU 25	8	199	2158	-7.42	1.04	-0.02
76	SLU 26	8	206	2165	-7.74	0.96	-0.02
76	SLU 27	8	189	2148	-6.94	1.15	-0.02
76	SLU 28	8	199	2158	-7.42	1.04	-0.02
76	SLU 29	8	189	2148	-6.94	1.15	-0.02
76	SLU 30	8	199	2158	-7.42	1.04	-0.02
76	SLU 31	10	262	2487	-9.63	1.4	-0.03
76	SLU 32	10	246	2469	-8.83	1.6	-0.03
76	SLU 33	10	256	2480	-9.31	1.48	-0.03
76	SLU 34	10	262	2487	-9.63	1.4	-0.03
76	SLU 35	10	246	2469	-8.83	1.6	-0.03
76	SLU 36	10	256	2480	-9.31	1.48	-0.03
76	SLU 37	10	246	2469	-8.83	1.6	-0.03
76	SLU 38	10	256	2480	-9.31	1.48	-0.03
76	SLU 39	11	270	2607	-9.64	1.79	-0.03
76	SLU 40	11	280	2618	-10.12	1.67	-0.03
76	SLU 41	11	270	2607	-9.64	1.79	-0.03
76	SLU 42	11	280	2618	-10.12	1.67	-0.03
76	SLU 43	9	199	2523	-7.44	1.13	-0.02
76	SLU 44	9	216	2540	-8.25	0.94	-0.02
76	SLU 45	9	199	2523	-7.44	1.13	-0.02
76	SLU 46	9	209	2533	-7.93	1.02	-0.02
76	SLU 47	9	216	2540	-8.25	0.94	-0.02
76	SLU 48	9	199	2523	-7.44	1.13	-0.02
76	SLU 49	9	209	2533	-7.93	1.02	-0.02
76	SLU 50	9	199	2523	-7.44	1.13	-0.02
76	SLU 51	9	209	2533	-7.93	1.02	-0.02
76	SLU 52	11	272	2862	-10.14	1.38	-0.03
76	SLU 53	11	255	2845	-9.33	1.57	-0.03
76	SLU 54	11	265	2855	-9.82	1.46	-0.03
76	SLU 55	11	272	2862	-10.14	1.38	-0.03
76	SLU 56	11	255	2845	-9.33	1.57	-0.03
76	SLU 57	11	265	2855	-9.82	1.46	-0.03
76	SLU 58	11	255	2845	-9.33	1.57	-0.03
76	SLU 59	11	265	2855	-9.82	1.46	-0.03
76	SLU 60	12	280	2982	-10.14	1.76	-0.03
76	SLU 61	12	290	2993	-10.62	1.65	-0.03
76	SLU 62	12	280	2982	-10.14	1.76	-0.03
76	SLU 63	12	290	2993	-10.62	1.65	-0.03
76	SLU 64	10	228	2687	-8.4	1.36	-0.03
76	SLU 65	10	244	2704	-9.21	1.16	-0.03
76	SLU 66	10	228	2687	-8.4	1.36	-0.03
76	SLU 67	10	238	2697	-8.89	1.24	-0.03
76	SLU 68	10	244	2704	-9.21	1.16	-0.03
76	SLU 69	10	228	2687	-8.4	1.36	-0.03
76	SLU 70	10	238	2697	-8.89	1.24	-0.03
76	SLU 71	10	228	2687	-8.4	1.36	-0.03
76	SLU 72	10	238	2697	-8.89	1.24	-0.03
76	SLU 73	12	301	3026	-11.1	1.61	-0.03
76	SLU 74	12	284	3008	-10.29	1.8	-0.03
76	SLU 75	12	294	3019	-10.78	1.68	-0.03
76	SLU 76	12	301	3026	-11.1	1.61	-0.03
76	SLU 77	12	284	3008	-10.29	1.8	-0.03
76	SLU 78	12	294	3019	-10.78	1.68	-0.03
76	SLU 79	12	284	3008	-10.29	1.8	-0.03
76	SLU 80	12	294	3019	-10.78	1.68	-0.03
76	SLU 81	13	308	3146	-11.1	1.99	-0.04
76	SLU 82	13	318	3157	-11.59	1.87	-0.04
76	SLU 83	13	308	3146	-11.1	1.99	-0.04
76	SLU 84	13	318	3157	-11.59	1.87	-0.04
76	SLE RA 1	7	169	2031	-6.25	0.99	-0.02
76	SLE RA 2	7	180	2042	-6.79	0.87	-0.02
76	SLE RA 3	7	169	2031	-6.25	0.99	-0.02
76	SLE RA 4	7	175	2038	-6.58	0.92	-0.02
76	SLE RA 5	7	180	2042	-6.79	0.87	-0.02
76	SLE RA 6	7	169	2031	-6.25	0.99	-0.02
76	SLE RA 7	7	175	2038	-6.58	0.92	-0.02
76	SLE RA 8	7	169	2031	-6.25	0.99	-0.02
76	SLE RA 9	7	175	2038	-6.58	0.92	-0.02
76	SLE RA 10	9	217	2257	-8.05	1.16	-0.02
76	SLE RA 11	9	206	2245	-7.51	1.29	-0.02
76	SLE RA 12	9	213	2252	-7.83	1.21	-0.02
76	SLE RA 13	9	217	2257	-8.05	1.16	-0.02
76	SLE RA 14	9	206	2245	-7.51	1.29	-0.02
76	SLE RA 15	9	213	2252	-7.83	1.21	-0.02
76	SLE RA 16	9	206	2245	-7.51	1.29	-0.02
76	SLE RA 17	9	213	2252	-7.83	1.21	-0.02
76	SLE RA 18	9	223	2337	-8.05	1.41	-0.03
76	SLE RA 19	9	229	2344	-8.37	1.34	-0.03
76	SLE RA 20	9	223	2337	-8.05	1.41	-0.03



Nodo Ind.	Cont. N.br.	Reazione a traslazione				Reazione a rotazione		
		x	y	z		x	y	z
76	SLE RA 21	9	229	2344		-8.37	1.34	-0.03
76	SLE FR 1	7	169	2031		-6.25	0.99	-0.02
76	SLE FR 2	7	171	2033		-6.36	0.97	-0.02
76	SLE FR 3	7	169	2031		-6.25	0.99	-0.02
76	SLE FR 4	8	187	2125		-6.9	1.09	-0.02
76	SLE FR 5	8	185	2123		-6.79	1.12	-0.02
76	SLE FR 6	8	196	2184		-7.15	1.2	-0.02
76	SLE QP 1	7	169	2031		-6.25	0.99	-0.02
76	SLE QP 2	8	185	2123		-6.79	1.12	-0.02
76	SLD 1	8	298	2329		-11.46	3.13	-0.02
76	SLD 2	8	298	2329		-11.46	3.13	-0.02
76	SLD 3	2	196	2298		-7.07	0.48	-0.03
76	SLD 4	2	196	2298		-7.07	0.48	-0.03
76	SLD 5	17	374	2232		-14.85	5.74	-0.01
76	SLD 6	17	374	2232		-14.85	5.74	-0.01
76	SLD 7	-3	33	2128		-0.22	-3.09	-0.04
76	SLD 8	-3	33	2128		-0.22	-3.09	-0.04
76	SLD 9	19	337	2117		-13.37	5.33	0
76	SLD 10	19	337	2117		-13.37	5.33	0
76	SLD 11	-1	-4	2013		1.26	-3.5	-0.04
76	SLD 12	-1	-4	2013		1.26	-3.5	-0.04
76	SLD 13	14	174	1947		-6.52	1.76	-0.01
76	SLD 14	14	174	1947		-6.52	1.76	-0.01
76	SLD 15	8	72	1916		-2.13	-0.89	-0.02
76	SLD 16	8	72	1916		-2.13	-0.89	-0.02
76	SLV 1	9	454	2611		-17.88	5.98	-0.03
76	SLV 2	9	454	2611		-17.88	5.98	-0.03
76	SLV 3	-6	211	2536		-7.48	-0.4	-0.05
76	SLV 4	-6	211	2536		-7.48	-0.4	-0.05
76	SLV 5	30	634	2382		-25.9	12.27	0.01
76	SLV 6	30	634	2382		-25.9	12.27	0.01
76	SLV 7	-18	-175	2133		8.78	-9.03	-0.07
76	SLV 8	-18	-175	2133		8.78	-9.03	-0.07
76	SLV 9	34	545	2112		-22.37	11.27	0.02
76	SLV 10	34	545	2112		-22.37	11.27	0.02
76	SLV 11	-14	-264	1863		12.31	-10.03	-0.06
76	SLV 12	-14	-264	1863		12.31	-10.03	-0.06
76	SLV 13	22	159	1709		-6.11	2.64	0.01
76	SLV 14	22	159	1709		-6.11	2.64	0.01
76	SLV 15	7	-84	1634		4.29	-3.74	-0.02
76	SLV 16	7	-84	1634		4.29	-3.74	-0.02
77	SLU 1	-4	-59	2152		3.57	-1.27	0.02
77	SLU 2	-4	-43	2148		2.89	-1.02	0.02
77	SLU 3	-4	-59	2152		3.57	-1.27	0.02
77	SLU 4	-4	-49	2149		3.16	-1.12	0.02
77	SLU 5	-4	-43	2148		2.89	-1.02	0.02
77	SLU 6	-4	-59	2152		3.57	-1.27	0.02
77	SLU 7	-4	-49	2149		3.16	-1.12	0.02
77	SLU 8	-4	-59	2152		3.57	-1.27	0.02
77	SLU 9	-4	-49	2149		3.16	-1.12	0.02
77	SLU 10	-5	-1	2554		1.96	-1.5	0.02
77	SLU 11	-6	-16	2557		2.63	-1.75	0.02
77	SLU 12	-5	-7	2555		2.23	-1.6	0.02
77	SLU 13	-5	-1	2554		1.96	-1.5	0.02
77	SLU 14	-6	-16	2557		2.63	-1.75	0.02
77	SLU 15	-5	-7	2555		2.23	-1.6	0.02
77	SLU 16	-6	-16	2557		2.63	-1.75	0.02
77	SLU 17	-5	-7	2555		2.23	-1.6	0.02
77	SLU 18	-6	2	2731		2.23	-1.95	0.03
77	SLU 19	-6	11	2729		1.83	-1.81	0.03
77	SLU 20	-6	2	2731		2.23	-1.95	0.03
77	SLU 21	-6	11	2729		1.83	-1.81	0.03
77	SLU 22	-5	-37	2358		3.1	-1.51	0.02
77	SLU 23	-5	-22	2354		2.42	-1.26	0.02
77	SLU 24	-5	-37	2358		3.1	-1.51	0.02
77	SLU 25	-5	-28	2356		2.69	-1.36	0.02
77	SLU 26	-5	-22	2354		2.42	-1.26	0.02
77	SLU 27	-5	-37	2358		3.1	-1.51	0.02
77	SLU 28	-5	-28	2356		2.69	-1.36	0.02
77	SLU 29	-5	-37	2358		3.1	-1.51	0.02
77	SLU 30	-5	-28	2356		2.69	-1.36	0.02
77	SLU 31	-6	20	2760		1.48	-1.75	0.03
77	SLU 32	-6	5	2764		2.16	-1.99	0.03
77	SLU 33	-6	14	2762		1.75	-1.85	0.03
77	SLU 34	-6	20	2760		1.48	-1.75	0.03
77	SLU 35	-6	5	2764		2.16	-1.99	0.03
77	SLU 36	-6	14	2762		1.75	-1.85	0.03
77	SLU 37	-6	5	2764		2.16	-1.99	0.03
77	SLU 38	-6	14	2762		1.75	-1.85	0.03
77	SLU 39	-7	23	2938		1.76	-2.2	0.03
77	SLU 40	-7	32	2936		1.35	-2.05	0.03
77	SLU 41	-7	23	2938		1.76	-2.2	0.03
77	SLU 42	-7	32	2936		1.35	-2.05	0.03
77	SLU 43	-5	-84	2726		4.8	-1.56	0.02
77	SLU 44	-5	-68	2722		4.13	-1.32	0.02
77	SLU 45	-5	-84	2726		4.8	-1.56	0.02
77	SLU 46	-5	-74	2724		4.4	-1.41	0.02
77	SLU 47	-5	-68	2722		4.13	-1.32	0.02



Nodo Ind.	Cont. N.br.	Reazione a traslazione			Reazione a rotazione		
		x	y	z	x	y	z
77	SLU 48	-5	-84	2726	4.8	-1.56	0.02
77	SLU 49	-5	-74	2724	4.4	-1.41	0.02
77	SLU 50	-5	-84	2726	4.8	-1.56	0.02
77	SLU 51	-5	-74	2724	4.4	-1.41	0.02
77	SLU 52	-6	-26	3128	3.19	-1.8	0.03
77	SLU 53	-7	-41	3132	3.87	-2.04	0.03
77	SLU 54	-6	-32	3130	3.46	-1.9	0.03
77	SLU 55	-6	-26	3128	3.19	-1.8	0.03
77	SLU 56	-7	-41	3132	3.87	-2.04	0.03
77	SLU 57	-6	-32	3130	3.46	-1.9	0.03
77	SLU 58	-7	-41	3132	3.87	-2.04	0.03
77	SLU 59	-6	-32	3130	3.46	-1.9	0.03
77	SLU 60	-7	-23	3306	3.47	-2.25	0.03
77	SLU 61	-7	-14	3304	3.06	-2.1	0.03
77	SLU 62	-7	-23	3306	3.47	-2.25	0.03
77	SLU 63	-7	-14	3304	3.06	-2.1	0.03
77	SLU 64	-6	-62	2933	4.33	-1.81	0.03
77	SLU 65	-6	-47	2929	3.65	-1.56	0.03
77	SLU 66	-6	-62	2933	4.33	-1.81	0.03
77	SLU 67	-6	-53	2931	3.92	-1.66	0.03
77	SLU 68	-6	-47	2929	3.65	-1.56	0.03
77	SLU 69	-6	-62	2933	4.33	-1.81	0.03
77	SLU 70	-6	-53	2931	3.92	-1.66	0.03
77	SLU 71	-6	-62	2933	4.33	-1.81	0.03
77	SLU 72	-6	-53	2931	3.92	-1.66	0.03
77	SLU 73	-7	-5	3335	2.72	-2.04	0.03
77	SLU 74	-7	-20	3339	3.39	-2.29	0.03
77	SLU 75	-7	-11	3336	2.99	-2.14	0.03
77	SLU 76	-7	-5	3335	2.72	-2.04	0.03
77	SLU 77	-7	-20	3339	3.39	-2.29	0.03
77	SLU 78	-7	-11	3336	2.99	-2.14	0.03
77	SLU 79	-7	-20	3339	3.39	-2.29	0.03
77	SLU 80	-7	-11	3336	2.99	-2.14	0.03
77	SLU 81	-8	-2	3513	2.99	-2.5	0.04
77	SLU 82	-8	7	3510	2.59	-2.35	0.03
77	SLU 83	-8	-2	3513	2.99	-2.5	0.04
77	SLU 84	-8	7	3510	2.59	-2.35	0.03
77	SLE RA 1	-4	-52	2211	3.43	-1.34	0.02
77	SLE RA 2	-4	-42	2208	2.98	-1.17	0.02
77	SLE RA 3	-4	-52	2211	3.43	-1.34	0.02
77	SLE RA 4	-4	-46	2209	3.16	-1.24	0.02
77	SLE RA 5	-4	-42	2208	2.98	-1.17	0.02
77	SLE RA 6	-4	-52	2211	3.43	-1.34	0.02
77	SLE RA 7	-4	-46	2209	3.16	-1.24	0.02
77	SLE RA 8	-4	-52	2211	3.43	-1.34	0.02
77	SLE RA 9	-4	-46	2209	3.16	-1.24	0.02
77	SLE RA 10	-5	-14	2479	2.36	-1.49	0.02
77	SLE RA 11	-5	-24	2481	2.81	-1.66	0.02
77	SLE RA 12	-5	-18	2480	2.54	-1.56	0.02
77	SLE RA 13	-5	-14	2479	2.36	-1.49	0.02
77	SLE RA 14	-5	-24	2481	2.81	-1.66	0.02
77	SLE RA 15	-5	-18	2480	2.54	-1.56	0.02
77	SLE RA 16	-5	-24	2481	2.81	-1.66	0.02
77	SLE RA 17	-5	-18	2480	2.54	-1.56	0.02
77	SLE RA 18	-6	-12	2597	2.54	-1.8	0.03
77	SLE RA 19	-6	-6	2596	2.27	-1.7	0.03
77	SLE RA 20	-6	-12	2597	2.54	-1.8	0.03
77	SLE RA 21	-6	-6	2596	2.27	-1.7	0.03
77	SLE FR 1	-4	-52	2211	3.43	-1.34	0.02
77	SLE FR 2	-4	-50	2210	3.34	-1.3	0.02
77	SLE FR 3	-4	-52	2211	3.43	-1.34	0.02
77	SLE FR 4	-5	-38	2326	3.08	-1.44	0.02
77	SLE FR 5	-5	-40	2327	3.17	-1.47	0.02
77	SLE FR 6	-5	-32	2404	2.99	-1.57	0.02
77	SLE QP 1	-4	-52	2211	3.43	-1.34	0.02
77	SLE QP 2	-5	-40	2327	3.17	-1.47	0.02
77	SLD 1	-14	-55	2049	3.45	-1.6	0.01
77	SLD 2	-14	-55	2049	3.45	-1.6	0.01
77	SLD 3	-3	-152	2132	7.57	2.73	0
77	SLD 4	-3	-152	2132	7.57	2.73	0
77	SLD 5	-25	102	2117	-2.99	-8.07	0.04
77	SLD 6	-25	102	2117	-2.99	-8.07	0.04
77	SLD 7	13	-221	2395	10.73	6.35	0
77	SLD 8	13	-221	2395	10.73	6.35	0
77	SLD 9	-23	140	2258	-4.39	-9.3	0.04
77	SLD 10	-23	140	2258	-4.39	-9.3	0.04
77	SLD 11	15	-183	2536	9.32	5.13	0.01
77	SLD 12	15	-183	2536	9.32	5.13	0.01
77	SLD 13	-7	71	2521	-1.23	-5.68	0.04
77	SLD 14	-7	71	2521	-1.23	-5.68	0.04
77	SLD 15	4	-26	2604	2.88	-1.35	0.03
77	SLD 16	4	-26	2604	2.88	-1.35	0.03
77	SLV 1	-29	-75	1669	3.85	-1.99	0.01
77	SLV 2	-29	-75	1669	3.85	-1.99	0.01
77	SLV 3	1	-306	1869	13.62	9.11	-0.02
77	SLV 4	1	-306	1869	13.62	9.11	-0.02
77	SLV 5	-56	298	1825	-11.45	-18.46	0.06
77	SLV 6	-56	298	1825	-11.45	-18.46	0.06



Nodo Ind.	Cont. N.br.	Reazione a traslazione			Reazione a rotazione		
		x	y	z	x	y	z
77	SLV 7	41	-469	2494	21.13	18.54	-0.03
77	SLV 8	41	-469	2494	21.13	18.54	-0.03
77	SLV 9	-51	388	2160	-14.79	-21.49	0.08
77	SLV 10	-51	388	2160	-14.79	-21.49	0.08
77	SLV 11	47	-379	2828	17.79	15.52	-0.02
77	SLV 12	47	-379	2828	17.79	15.52	-0.02
77	SLV 13	-10	225	2784	-7.29	-12.06	0.06
77	SLV 14	-10	225	2784	-7.29	-12.06	0.06
77	SLV 15	19	-6	2985	2.49	-0.96	0.04
77	SLV 16	19	-6	2985	2.49	-0.96	0.04
78	SLU 1	544	0	3522	0.59	15.2	0
78	SLU 2	548	15	3556	0.12	15.24	0
78	SLU 3	544	0	3522	0.59	15.2	0
78	SLU 4	546	9	3543	0.31	15.23	0
78	SLU 5	548	15	3556	0.12	15.24	0
78	SLU 6	544	0	3522	0.59	15.2	0
78	SLU 7	546	9	3543	0.31	15.23	0
78	SLU 8	544	0	3522	0.59	15.2	0
78	SLU 9	546	9	3543	0.31	15.23	0
78	SLU 10	728	15	4267	0.15	21.57	0
78	SLU 11	724	0	4232	0.61	21.53	0
78	SLU 12	726	9	4253	0.33	21.55	0
78	SLU 13	728	15	4267	0.15	21.57	0
78	SLU 14	724	0	4232	0.61	21.53	0
78	SLU 15	726	9	4253	0.33	21.55	0
78	SLU 16	724	0	4232	0.61	21.53	0
78	SLU 17	726	9	4253	0.33	21.55	0
78	SLU 18	801	0	4536	0.62	24.24	0
78	SLU 19	804	9	4557	0.34	24.26	0
78	SLU 20	801	0	4536	0.62	24.24	0
78	SLU 21	804	9	4557	0.34	24.26	0
78	SLU 22	635	0	3883	0.6	18.42	0
78	SLU 23	639	15	3918	0.14	18.46	0
78	SLU 24	635	0	3883	0.6	18.42	0
78	SLU 25	638	9	3904	0.32	18.45	0
78	SLU 26	639	15	3918	0.14	18.46	0
78	SLU 27	635	0	3883	0.6	18.42	0
78	SLU 28	638	9	3904	0.32	18.45	0
78	SLU 29	635	0	3883	0.6	18.42	0
78	SLU 30	638	9	3904	0.32	18.45	0
78	SLU 31	820	15	4628	0.16	24.79	0
78	SLU 32	815	0	4593	0.62	24.75	0
78	SLU 33	818	9	4614	0.34	24.77	0
78	SLU 34	820	15	4628	0.16	24.79	0
78	SLU 35	815	0	4593	0.62	24.75	0
78	SLU 36	818	9	4614	0.34	24.77	0
78	SLU 37	815	0	4593	0.62	24.75	0
78	SLU 38	818	9	4614	0.34	24.77	0
78	SLU 39	893	-1	4898	0.63	27.46	0
78	SLU 40	895	8	4919	0.35	27.48	0
78	SLU 41	893	-1	4898	0.63	27.46	0
78	SLU 42	895	8	4919	0.35	27.48	0
78	SLU 43	675	0	4454	0.76	18.66	0
78	SLU 44	679	15	4489	0.3	18.7	0
78	SLU 45	675	0	4454	0.76	18.66	0
78	SLU 46	678	9	4475	0.48	18.69	0
78	SLU 47	679	15	4489	0.3	18.7	0
78	SLU 48	675	0	4454	0.76	18.66	0
78	SLU 49	678	9	4475	0.48	18.69	0
78	SLU 50	675	0	4454	0.76	18.66	0
78	SLU 51	678	9	4475	0.48	18.69	0
78	SLU 52	860	15	5199	0.32	25.03	0
78	SLU 53	855	0	5164	0.78	24.99	0
78	SLU 54	858	9	5185	0.5	25.01	0
78	SLU 55	860	15	5199	0.32	25.03	0
78	SLU 56	855	0	5164	0.78	24.99	0
78	SLU 57	858	9	5185	0.5	25.01	0
78	SLU 58	855	0	5164	0.78	24.99	0
78	SLU 59	858	9	5185	0.5	25.01	0
78	SLU 60	933	0	5469	0.79	27.7	0
78	SLU 61	935	9	5490	0.51	27.72	0
78	SLU 62	933	0	5469	0.79	27.7	0
78	SLU 63	935	9	5490	0.51	27.72	0
78	SLU 64	767	0	4816	0.77	21.88	0
78	SLU 65	771	15	4851	0.31	21.92	0
78	SLU 66	767	0	4816	0.77	21.88	0
78	SLU 67	769	9	4837	0.49	21.9	0
78	SLU 68	771	15	4851	0.31	21.92	0
78	SLU 69	767	0	4816	0.77	21.88	0
78	SLU 70	769	9	4837	0.49	21.9	0
78	SLU 71	767	0	4816	0.77	21.88	0
78	SLU 72	769	9	4837	0.49	21.9	0
78	SLU 73	951	15	5561	0.33	28.24	0
78	SLU 74	947	0	5526	0.79	28.2	0
78	SLU 75	950	9	5547	0.51	28.23	0
78	SLU 76	951	15	5561	0.33	28.24	0
78	SLU 77	947	0	5526	0.79	28.2	0
78	SLU 78	950	9	5547	0.51	28.23	0



Nodo Ind.	Cont. N.br.	Reazione a traslazione			Reazione a rotazione		
		x	y	z	x	y	z
78	SLU 79	947	0	5526	0.79	28.2	0
78	SLU 80	950	9	5547	0.51	28.23	0
78	SLU 81	1024	-1	5830	0.8	30.91	0
78	SLU 82	1027	8	5851	0.52	30.94	0
78	SLU 83	1024	-1	5830	0.8	30.91	0
78	SLU 84	1027	8	5851	0.52	30.94	0
78	SLE RA 1	570	0	3625	0.59	16.12	0
78	SLE RA 2	573	10	3648	0.28	16.15	0
78	SLE RA 3	570	0	3625	0.59	16.12	0
78	SLE RA 4	571	6	3639	0.4	16.14	0
78	SLE RA 5	573	10	3648	0.28	16.15	0
78	SLE RA 6	570	0	3625	0.59	16.12	0
78	SLE RA 7	571	6	3639	0.4	16.14	0
78	SLE RA 8	570	0	3625	0.59	16.12	0
78	SLE RA 9	571	6	3639	0.4	16.14	0
78	SLE RA 10	693	10	4122	0.3	20.37	0
78	SLE RA 11	690	0	4098	0.6	20.34	0
78	SLE RA 12	692	6	4112	0.42	20.36	0
78	SLE RA 13	693	10	4122	0.3	20.37	0
78	SLE RA 14	690	0	4098	0.6	20.34	0
78	SLE RA 15	692	6	4112	0.42	20.36	0
78	SLE RA 16	690	0	4098	0.6	20.34	0
78	SLE RA 17	692	6	4112	0.42	20.36	0
78	SLE RA 18	741	0	4301	0.61	22.15	0
78	SLE RA 19	743	6	4315	0.42	22.16	0
78	SLE RA 20	741	0	4301	0.61	22.15	0
78	SLE RA 21	743	6	4315	0.42	22.16	0
78	SLE FR 1	570	0	3625	0.59	16.12	0
78	SLE FR 2	570	2	3630	0.53	16.13	0
78	SLE FR 3	570	0	3625	0.59	16.12	0
78	SLE FR 4	622	2	3832	0.53	17.94	0
78	SLE FR 5	621	0	3828	0.6	17.93	0
78	SLE FR 6	656	0	3963	0.6	19.14	0
78	SLE QP 1	570	0	3625	0.59	16.12	0
78	SLE QP 2	621	0	3828	0.6	17.93	0
78	SLD 1	748	104	4288	0.53	23.2	0.03
78	SLD 2	748	104	4288	0.53	23.2	0.03
78	SLD 3	764	1	4246	5.28	23.86	0
78	SLD 4	764	1	4246	5.28	23.86	0
78	SLD 5	636	187	4031	-6.62	18.5	0.05
78	SLD 6	636	187	4031	-6.62	18.5	0.05
78	SLD 7	688	-156	3888	9.2	20.72	-0.04
78	SLD 8	688	-156	3888	9.2	20.72	-0.04
78	SLD 9	555	156	3767	-8.01	15.15	0.04
78	SLD 10	555	156	3767	-8.01	15.15	0.04
78	SLD 11	607	-187	3625	7.81	17.36	-0.05
78	SLD 12	607	-187	3625	7.81	17.36	-0.05
78	SLD 13	478	-1	3410	-4.09	12	0
78	SLD 14	478	-1	3410	-4.09	12	0
78	SLD 15	494	-104	3367	0.66	12.66	-0.02
78	SLD 16	494	-104	3367	0.66	12.66	-0.02
78	SLV 1	922	247	4916	0.46	30.36	0.06
78	SLV 2	922	247	4916	0.46	30.36	0.06
78	SLV 3	959	3	4814	11.74	31.93	0
78	SLV 4	959	3	4814	11.74	31.93	0
78	SLV 5	655	444	4309	-16.54	19.27	0.12
78	SLV 6	655	444	4309	-16.54	19.27	0.12
78	SLV 7	779	-369	3969	21.04	24.51	-0.1
78	SLV 8	779	-369	3969	21.04	24.51	-0.1
78	SLV 9	463	369	3687	-19.85	11.35	0.1
78	SLV 10	463	369	3687	-19.85	11.35	0.1
78	SLV 11	588	-444	3346	17.73	16.59	-0.12
78	SLV 12	588	-444	3346	17.73	16.59	-0.12
78	SLV 13	284	-3	2842	-10.55	3.93	0.01
78	SLV 14	284	-3	2842	-10.55	3.93	0.01
78	SLV 15	321	-247	2739	0.73	5.51	-0.06
78	SLV 16	321	-247	2739	0.73	5.51	-0.06
79	SLU 1	769	0	2242	0.02	39.85	0
79	SLU 2	778	0	2263	0.19	40.44	0
79	SLU 3	769	0	2242	0.02	39.85	0
79	SLU 4	774	0	2254	0.12	40.2	0
79	SLU 5	778	0	2263	0.19	40.44	0
79	SLU 6	769	0	2242	0.02	39.85	0
79	SLU 7	774	0	2254	0.12	40.2	0
79	SLU 8	769	0	2242	0.02	39.85	0
79	SLU 9	774	0	2254	0.12	40.2	0
79	SLU 10	1068	0	2746	0.21	53.93	0
79	SLU 11	1059	0	2726	0.04	53.34	0
79	SLU 12	1065	0	2738	0.14	53.69	0
79	SLU 13	1068	0	2746	0.21	53.93	0
79	SLU 14	1059	0	2726	0.04	53.34	0
79	SLU 15	1065	0	2738	0.14	53.69	0
79	SLU 16	1059	0	2726	0.04	53.34	0
79	SLU 17	1065	0	2738	0.14	53.69	0
79	SLU 18	1184	0	2933	0.05	59.12	0
79	SLU 19	1189	0	2945	0.15	59.48	0
79	SLU 20	1184	0	2933	0.05	59.12	0
79	SLU 21	1189	0	2945	0.15	59.48	0



Nodo Ind.	Cont. N.br.	Reazione a traslazione			Reazione a rotazione		
		x	y	z	x	y	z
79	SLU 22	917	0	2488	0.03	46.72	0
79	SLU 23	925	0	2509	0.2	47.31	0
79	SLU 24	917	0	2488	0.03	46.72	0
79	SLU 25	922	0	2501	0.13	47.07	0
79	SLU 26	925	0	2509	0.2	47.31	0
79	SLU 27	917	0	2488	0.03	46.72	0
79	SLU 28	922	0	2501	0.13	47.07	0
79	SLU 29	917	0	2488	0.03	46.72	0
79	SLU 30	922	0	2501	0.13	47.07	0
79	SLU 31	1216	0	2992	0.22	60.8	0
79	SLU 32	1207	0	2972	0.05	60.21	0
79	SLU 33	1212	0	2984	0.15	60.56	0
79	SLU 34	1216	0	2992	0.22	60.8	0
79	SLU 35	1207	0	2972	0.05	60.21	0
79	SLU 36	1212	0	2984	0.15	60.56	0
79	SLU 37	1207	0	2972	0.05	60.21	0
79	SLU 38	1212	0	2984	0.15	60.56	0
79	SLU 39	1332	0	3179	0.06	65.99	0
79	SLU 40	1337	0	3191	0.16	66.34	0
79	SLU 41	1332	0	3179	0.06	65.99	0
79	SLU 42	1337	0	3191	0.16	66.34	0
79	SLU 43	949	0	2830	0.03	49.45	0
79	SLU 44	958	0	2851	0.19	50.04	0
79	SLU 45	949	0	2830	0.03	49.45	0
79	SLU 46	954	0	2843	0.13	49.81	0
79	SLU 47	958	0	2851	0.19	50.04	0
79	SLU 48	949	0	2830	0.03	49.45	0
79	SLU 49	954	0	2843	0.13	49.81	0
79	SLU 50	949	0	2830	0.03	49.45	0
79	SLU 51	954	0	2843	0.13	49.81	0
79	SLU 52	1248	0	3334	0.21	63.53	0
79	SLU 53	1239	0	3314	0.05	62.94	0
79	SLU 54	1245	0	3326	0.15	63.3	0
79	SLU 55	1248	0	3334	0.21	63.53	0
79	SLU 56	1239	0	3314	0.05	62.94	0
79	SLU 57	1245	0	3326	0.15	63.3	0
79	SLU 58	1239	0	3314	0.05	62.94	0
79	SLU 59	1245	0	3326	0.15	63.3	0
79	SLU 60	1364	0	3521	0.06	68.72	0
79	SLU 61	1369	0	3534	0.16	69.08	0
79	SLU 62	1364	0	3521	0.06	68.72	0
79	SLU 63	1369	0	3534	0.16	69.08	0
79	SLU 64	1097	0	3076	0.04	56.32	0
79	SLU 65	1105	0	3097	0.2	56.91	0
79	SLU 66	1097	0	3076	0.04	56.32	0
79	SLU 67	1102	0	3089	0.14	56.67	0
79	SLU 68	1105	0	3097	0.2	56.91	0
79	SLU 69	1097	0	3076	0.04	56.32	0
79	SLU 70	1102	0	3089	0.14	56.67	0
79	SLU 71	1097	0	3076	0.04	56.32	0
79	SLU 72	1102	0	3089	0.14	56.67	0
79	SLU 73	1396	0	3581	0.22	70.4	0
79	SLU 74	1387	0	3560	0.06	69.81	0
79	SLU 75	1392	0	3572	0.16	70.16	0
79	SLU 76	1396	0	3581	0.22	70.4	0
79	SLU 77	1387	0	3560	0.06	69.81	0
79	SLU 78	1392	0	3572	0.16	70.16	0
79	SLU 79	1387	0	3560	0.06	69.81	0
79	SLU 80	1392	0	3572	0.16	70.16	0
79	SLU 81	1512	0	3767	0.07	75.59	0
79	SLU 82	1517	0	3780	0.17	75.94	0
79	SLU 83	1512	0	3767	0.07	75.59	0
79	SLU 84	1517	0	3780	0.17	75.94	0
79	SLE RA 1	811	0	2312	0.03	41.81	0
79	SLE RA 2	817	0	2326	0.14	42.21	0
79	SLE RA 3	811	0	2312	0.03	41.81	0
79	SLE RA 4	815	0	2321	0.09	42.05	0
79	SLE RA 5	817	0	2326	0.14	42.21	0
79	SLE RA 6	811	0	2312	0.03	41.81	0
79	SLE RA 7	815	0	2321	0.09	42.05	0
79	SLE RA 8	811	0	2312	0.03	41.81	0
79	SLE RA 9	815	0	2321	0.09	42.05	0
79	SLE RA 10	1011	0	2649	0.15	51.2	0
79	SLE RA 11	1005	0	2635	0.04	50.8	0
79	SLE RA 12	1008	0	2643	0.11	51.04	0
79	SLE RA 13	1011	0	2649	0.15	51.2	0
79	SLE RA 14	1005	0	2635	0.04	50.8	0
79	SLE RA 15	1008	0	2643	0.11	51.04	0
79	SLE RA 16	1005	0	2635	0.04	50.8	0
79	SLE RA 17	1008	0	2643	0.11	51.04	0
79	SLE RA 18	1088	0	2773	0.05	54.66	0
79	SLE RA 19	1091	0	2781	0.11	54.9	0
79	SLE RA 20	1088	0	2773	0.05	54.66	0
79	SLE RA 21	1091	0	2781	0.11	54.9	0
79	SLE FR 1	811	0	2312	0.03	41.81	0
79	SLE FR 2	812	0	2315	0.05	41.89	0
79	SLE FR 3	811	0	2312	0.03	41.81	0
79	SLE FR 4	895	0	2453	0.06	45.74	0



Nodo Ind.	Cont. N.br.	Reazione a traslazione			Reazione a rotazione		
		x	y	z	x	y	z
79	SLE FR 5	894	0	2451	0.03	45.67	0
79	SLE FR 6	949	0	2543	0.04	48.24	0
79	SLE QP 1	811	0	2312	0.03	41.81	0
79	SLE QP 2	894	0	2451	0.03	45.67	0
79	SLD 1	1105	0	2655	-2.03	55.63	0
79	SLD 2	1105	0	2655	-2.03	55.63	0
79	SLD 3	1135	2	2629	1.25	57.07	0
79	SLD 4	1135	2	2629	1.25	57.07	0
79	SLD 5	913	-3	2551	-5.56	46.47	0
79	SLD 6	913	-3	2551	-5.56	46.47	0
79	SLD 7	1011	4	2465	5.38	51.27	0.01
79	SLD 8	1011	4	2465	5.38	51.27	0.01
79	SLD 9	777	-3	2437	-5.31	40.06	-0.01
79	SLD 10	777	-3	2437	-5.31	40.06	-0.01
79	SLD 11	876	3	2350	5.63	44.86	0
79	SLD 12	876	3	2350	5.63	44.86	0
79	SLD 13	654	-2	2273	-1.19	34.26	0
79	SLD 14	654	-2	2273	-1.19	34.26	0
79	SLD 15	683	0	2247	2.1	35.7	0
79	SLD 16	683	0	2247	2.1	35.7	0
79	SLV 1	1394	0	2935	-4.99	69.28	0
79	SLV 2	1394	0	2935	-4.99	69.28	0
79	SLV 3	1464	4	2872	2.92	72.75	0.01
79	SLV 4	1464	4	2872	2.92	72.75	0.01
79	SLV 5	937	-7	2691	-13.47	47.48	-0.01
79	SLV 6	937	-7	2691	-13.47	47.48	-0.01
79	SLV 7	1172	9	2482	12.9	59.06	0.01
79	SLV 8	1172	9	2482	12.9	59.06	0.01
79	SLV 9	616	-8	2419	-12.83	32.27	-0.01
79	SLV 10	616	-8	2419	-12.83	32.27	-0.01
79	SLV 11	851	7	2210	13.54	43.85	0.01
79	SLV 12	851	7	2210	13.54	43.85	0.01
79	SLV 13	324	-4	2029	-2.85	18.58	-0.01
79	SLV 14	324	-4	2029	-2.85	18.58	-0.01
79	SLV 15	395	1	1966	5.06	22.05	0
79	SLV 16	395	1	1966	5.06	22.05	0
80	SLU 1	503	0	2368	0.12	14.26	0
80	SLU 2	506	0	2389	0.42	14.18	0
80	SLU 3	503	0	2368	0.12	14.26	0
80	SLU 4	505	0	2381	0.3	14.21	0
80	SLU 5	506	0	2389	0.42	14.18	0
80	SLU 6	503	0	2368	0.12	14.26	0
80	SLU 7	505	0	2381	0.3	14.21	0
80	SLU 8	503	0	2368	0.12	14.26	0
80	SLU 9	505	0	2381	0.3	14.21	0
80	SLU 10	750	0	2948	0.47	23.08	0
80	SLU 11	746	0	2927	0.16	23.16	0
80	SLU 12	748	0	2940	0.35	23.11	0
80	SLU 13	750	0	2948	0.47	23.08	0
80	SLU 14	746	0	2927	0.16	23.16	0
80	SLU 15	748	0	2940	0.35	23.11	0
80	SLU 16	746	0	2927	0.16	23.16	0
80	SLU 17	748	0	2940	0.35	23.11	0
80	SLU 18	851	0	3166	0.18	26.97	0
80	SLU 19	853	0	3179	0.37	26.92	0
80	SLU 20	851	0	3166	0.18	26.97	0
80	SLU 21	853	0	3179	0.37	26.92	0
80	SLU 22	627	0	2653	0.14	18.79	0
80	SLU 23	630	0	2674	0.45	18.7	0
80	SLU 24	627	0	2653	0.14	18.79	0
80	SLU 25	629	0	2665	0.32	18.74	0
80	SLU 26	630	0	2674	0.45	18.7	0
80	SLU 27	627	0	2653	0.14	18.79	0
80	SLU 28	629	0	2665	0.32	18.74	0
80	SLU 29	627	0	2653	0.14	18.79	0
80	SLU 30	629	0	2665	0.32	18.74	0
80	SLU 31	873	0	3233	0.5	27.6	0
80	SLU 32	870	0	3211	0.19	27.68	0
80	SLU 33	872	0	3224	0.37	27.63	0
80	SLU 34	873	0	3233	0.5	27.6	0
80	SLU 35	870	0	3211	0.19	27.68	0
80	SLU 36	872	0	3224	0.37	27.63	0
80	SLU 37	870	0	3211	0.19	27.68	0
80	SLU 38	872	0	3224	0.37	27.63	0
80	SLU 39	975	0	3451	0.21	31.5	0
80	SLU 40	977	0	3464	0.39	31.45	0
80	SLU 41	975	0	3451	0.21	31.5	0
80	SLU 42	977	0	3464	0.39	31.45	0
80	SLU 43	611	0	2981	0.14	16.98	0
80	SLU 44	614	0	3002	0.45	16.9	0
80	SLU 45	611	0	2981	0.14	16.98	0
80	SLU 46	613	0	2994	0.33	16.94	0
80	SLU 47	614	0	3002	0.45	16.9	0
80	SLU 48	611	0	2981	0.14	16.98	0
80	SLU 49	613	0	2994	0.33	16.94	0
80	SLU 50	611	0	2981	0.14	16.98	0
80	SLU 51	613	0	2994	0.33	16.94	0
80	SLU 52	858	0	3561	0.5	25.8	0



Nodo Ind.	Cont. N.br.	Reazione a traslazione			Reazione a rotazione		
		x	y	z	x	y	z
80	SLU 53	855	0	3540	0.19	25.88	0
80	SLU 54	857	0	3553	0.37	25.83	0
80	SLU 55	858	0	3561	0.5	25.8	0
80	SLU 56	855	0	3540	0.19	25.88	0
80	SLU 57	857	0	3553	0.37	25.83	0
80	SLU 58	855	0	3540	0.19	25.88	0
80	SLU 59	857	0	3553	0.37	25.83	0
80	SLU 60	959	0	3779	0.21	29.7	0
80	SLU 61	961	0	3792	0.4	29.65	0
80	SLU 62	959	0	3779	0.21	29.7	0
80	SLU 63	961	0	3792	0.4	29.65	0
80	SLU 64	735	0	3266	0.17	21.51	0
80	SLU 65	738	0	3287	0.47	21.43	0
80	SLU 66	735	0	3266	0.17	21.51	0
80	SLU 67	737	0	3278	0.35	21.46	0
80	SLU 68	738	0	3287	0.47	21.43	0
80	SLU 69	735	0	3266	0.17	21.51	0
80	SLU 70	737	0	3278	0.35	21.46	0
80	SLU 71	735	0	3266	0.17	21.51	0
80	SLU 72	737	0	3278	0.35	21.46	0
80	SLU 73	982	0	3845	0.52	30.33	0
80	SLU 74	979	0	3824	0.21	30.41	0
80	SLU 75	981	0	3837	0.4	30.36	0
80	SLU 76	982	0	3845	0.52	30.33	0
80	SLU 77	979	0	3824	0.21	30.41	0
80	SLU 78	981	0	3837	0.4	30.36	0
80	SLU 79	979	0	3824	0.21	30.41	0
80	SLU 80	981	0	3837	0.4	30.36	0
80	SLU 81	1083	0	4064	0.24	34.22	0
80	SLU 82	1085	0	4077	0.42	34.17	0
80	SLU 83	1083	0	4064	0.24	34.22	0
80	SLU 84	1085	0	4077	0.42	34.17	0
80	SLE RA 1	538	0	2449	0.12	15.55	0
80	SLE RA 2	540	0	2464	0.33	15.5	0
80	SLE RA 3	538	0	2449	0.12	15.55	0
80	SLE RA 4	540	0	2458	0.25	15.52	0
80	SLE RA 5	540	0	2464	0.33	15.5	0
80	SLE RA 6	538	0	2449	0.12	15.55	0
80	SLE RA 7	540	0	2458	0.25	15.52	0
80	SLE RA 8	538	0	2449	0.12	15.55	0
80	SLE RA 9	540	0	2458	0.25	15.52	0
80	SLE RA 10	703	0	2836	0.36	21.43	0
80	SLE RA 11	701	0	2822	0.15	21.48	0
80	SLE RA 12	702	0	2830	0.28	21.45	0
80	SLE RA 13	703	0	2836	0.36	21.43	0
80	SLE RA 14	701	0	2822	0.15	21.48	0
80	SLE RA 15	702	0	2830	0.28	21.45	0
80	SLE RA 16	701	0	2822	0.15	21.48	0
80	SLE RA 17	702	0	2830	0.28	21.45	0
80	SLE RA 18	770	0	2982	0.17	24.03	0
80	SLE RA 19	772	0	2990	0.29	23.99	0
80	SLE RA 20	770	0	2982	0.17	24.03	0
80	SLE RA 21	772	0	2990	0.29	23.99	0
80	SLE FR 1	538	0	2449	0.12	15.55	0
80	SLE FR 2	539	0	2452	0.16	15.54	0
80	SLE FR 3	538	0	2449	0.12	15.55	0
80	SLE FR 4	608	0	2612	0.18	18.08	0
80	SLE FR 5	608	0	2609	0.14	18.09	0
80	SLE FR 6	654	0	2716	0.15	19.79	0
80	SLE QP 1	538	0	2449	0.12	15.55	0
80	SLE QP 2	608	0	2609	0.14	18.09	0
80	SLD 1	819	-1	2732	-4.23	27.22	0
80	SLD 2	819	-1	2732	-4.23	27.22	0
80	SLD 3	848	4	2765	3.05	28.49	-0.01
80	SLD 4	848	4	2765	3.05	28.49	-0.01
80	SLD 5	626	-8	2596	-12.22	18.91	0.03
80	SLD 6	626	-8	2596	-12.22	18.91	0.03
80	SLD 7	725	9	2706	12.06	23.13	-0.03
80	SLD 8	725	9	2706	12.06	23.13	-0.03
80	SLD 9	490	-9	2512	-11.78	13.06	0.03
80	SLD 10	490	-9	2512	-11.78	13.06	0.03
80	SLD 11	590	8	2622	12.49	17.28	-0.03
80	SLD 12	590	8	2622	12.49	17.28	-0.03
80	SLD 13	367	-3	2453	-2.78	7.7	0.01
80	SLD 14	367	-3	2453	-2.78	7.7	0.01
80	SLD 15	397	2	2486	4.5	8.97	0
80	SLD 16	397	2	2486	4.5	8.97	0
80	SLV 1	1105	-3	2903	-10.48	39.62	0.01
80	SLV 2	1105	-3	2903	-10.48	39.62	0.01
80	SLV 3	1176	9	2983	7.06	42.63	-0.03
80	SLV 4	1176	9	2983	7.06	42.63	-0.03
80	SLV 5	650	-20	2576	-29.66	19.99	0.06
80	SLV 6	650	-20	2576	-29.66	19.99	0.06
80	SLV 7	885	21	2843	28.82	30.02	-0.07
80	SLV 8	885	21	2843	28.82	30.02	-0.07
80	SLV 9	330	-21	2376	-28.55	6.17	0.07
80	SLV 10	330	-21	2376	-28.55	6.17	0.07
80	SLV 11	566	20	2642	29.93	16.2	-0.06



Nodo Ind.	Cont. N.br.	Reazione a traslazione			Reazione a rotazione		
		x	y	z	x	y	z
80	SLV 12	566	20	2642	29.93	16.2	-0.06
80	SLV 13	40	-9	2235	-6.79	-6.44	0.03
80	SLV 14	40	-9	2235	-6.79	-6.44	0.03
80	SLV 15	111	4	2315	10.76	-3.43	-0.01
80	SLV 16	111	4	2315	10.76	-3.43	-0.01
81	SLU 1	511	0	2500	0.25	27.39	0
81	SLU 2	517	-1	2521	0.61	27.82	0
81	SLU 3	511	0	2500	0.25	27.39	0
81	SLU 4	515	0	2513	0.47	27.65	0
81	SLU 5	517	-1	2521	0.61	27.82	0
81	SLU 6	511	0	2500	0.25	27.39	0
81	SLU 7	515	0	2513	0.47	27.65	0
81	SLU 8	511	0	2500	0.25	27.39	0
81	SLU 9	515	0	2513	0.47	27.65	0
81	SLU 10	749	-1	3166	0.7	38.39	0
81	SLU 11	743	0	3145	0.34	37.95	0
81	SLU 12	747	0	3158	0.56	38.21	0
81	SLU 13	749	-1	3166	0.7	38.39	0
81	SLU 14	743	0	3145	0.34	37.95	0
81	SLU 15	747	0	3158	0.56	38.21	0
81	SLU 16	743	0	3145	0.34	37.95	0
81	SLU 17	747	0	3158	0.56	38.21	0
81	SLU 18	842	0	3421	0.38	42.48	0
81	SLU 19	846	0	3434	0.59	42.74	0
81	SLU 20	842	0	3421	0.38	42.48	0
81	SLU 21	846	0	3434	0.59	42.74	0
81	SLU 22	629	0	2828	0.3	32.76	0
81	SLU 23	635	-1	2850	0.66	33.2	0
81	SLU 24	629	0	2828	0.3	32.76	0
81	SLU 25	633	0	2841	0.51	33.02	0
81	SLU 26	635	-1	2850	0.66	33.2	0
81	SLU 27	629	0	2828	0.3	32.76	0
81	SLU 28	633	0	2841	0.51	33.02	0
81	SLU 29	629	0	2828	0.3	32.76	0
81	SLU 30	633	0	2841	0.51	33.02	0
81	SLU 31	867	-1	3494	0.75	43.76	0
81	SLU 32	861	0	3473	0.38	43.33	0
81	SLU 33	864	0	3486	0.6	43.59	0
81	SLU 34	867	-1	3494	0.75	43.76	0
81	SLU 35	861	0	3473	0.38	43.33	0
81	SLU 36	864	0	3486	0.6	43.59	0
81	SLU 37	861	0	3473	0.38	43.33	0
81	SLU 38	864	0	3486	0.6	43.59	0
81	SLU 39	960	0	3749	0.42	47.85	0
81	SLU 40	964	0	3762	0.64	48.12	0
81	SLU 41	960	0	3749	0.42	47.85	0
81	SLU 42	964	0	3762	0.64	48.12	0
81	SLU 43	624	0	3137	0.31	33.76	0
81	SLU 44	630	-1	3159	0.68	34.2	0
81	SLU 45	624	0	3137	0.31	33.76	0
81	SLU 46	628	0	3150	0.53	34.02	0
81	SLU 47	630	-1	3159	0.68	34.2	0
81	SLU 48	624	0	3137	0.31	33.76	0
81	SLU 49	628	0	3150	0.53	34.02	0
81	SLU 50	624	0	3137	0.31	33.76	0
81	SLU 51	628	0	3150	0.53	34.02	0
81	SLU 52	862	-1	3804	0.76	44.76	0
81	SLU 53	856	0	3782	0.4	44.32	0
81	SLU 54	859	0	3795	0.62	44.59	0
81	SLU 55	862	-1	3804	0.76	44.76	0
81	SLU 56	856	0	3782	0.4	44.32	0
81	SLU 57	859	0	3795	0.62	44.59	0
81	SLU 58	856	0	3782	0.4	44.32	0
81	SLU 59	859	0	3795	0.62	44.59	0
81	SLU 60	955	0	4058	0.44	48.85	0
81	SLU 61	959	0	4071	0.65	49.11	0
81	SLU 62	955	0	4058	0.44	48.85	0
81	SLU 63	959	0	4071	0.65	49.11	0
81	SLU 64	742	0	3465	0.36	39.13	0
81	SLU 65	748	-1	3487	0.72	39.57	0
81	SLU 66	742	0	3465	0.36	39.13	0
81	SLU 67	746	0	3478	0.57	39.4	0
81	SLU 68	748	-1	3487	0.72	39.57	0
81	SLU 69	742	0	3465	0.36	39.13	0
81	SLU 70	746	0	3478	0.57	39.4	0
81	SLU 71	742	0	3465	0.36	39.13	0
81	SLU 72	746	0	3478	0.57	39.4	0
81	SLU 73	980	-1	4132	0.81	50.14	0
81	SLU 74	974	0	4110	0.44	49.7	0
81	SLU 75	977	0	4123	0.66	49.96	0
81	SLU 76	980	-1	4132	0.81	50.14	0
81	SLU 77	974	0	4110	0.44	49.7	0
81	SLU 78	977	0	4123	0.66	49.96	0
81	SLU 79	974	0	4110	0.44	49.7	0
81	SLU 80	977	0	4123	0.66	49.96	0
81	SLU 81	1073	0	4386	0.48	54.23	0
81	SLU 82	1077	0	4399	0.7	54.49	0
81	SLU 83	1073	0	4386	0.48	54.23	0



Nodo Ind.	Cont. N.br.	Reazione a traslazione			Reazione a rotazione		
		x	y	z	x	y	z
81	SLU 84	1077	0	4399	0.7	54.49	0
81	SLE RA 1	545	0	2594	0.26	28.92	0
81	SLE RA 2	549	0	2608	0.51	29.21	0
81	SLE RA 3	545	0	2594	0.26	28.92	0
81	SLE RA 4	547	0	2602	0.41	29.1	0
81	SLE RA 5	549	0	2608	0.51	29.21	0
81	SLE RA 6	545	0	2594	0.26	28.92	0
81	SLE RA 7	547	0	2602	0.41	29.1	0
81	SLE RA 8	545	0	2594	0.26	28.92	0
81	SLE RA 9	547	0	2602	0.41	29.1	0
81	SLE RA 10	703	0	3038	0.56	36.26	0
81	SLE RA 11	699	0	3023	0.32	35.96	0
81	SLE RA 12	702	0	3032	0.47	36.14	0
81	SLE RA 13	703	0	3038	0.56	36.26	0
81	SLE RA 14	699	0	3023	0.32	35.96	0
81	SLE RA 15	702	0	3032	0.47	36.14	0
81	SLE RA 16	699	0	3023	0.32	35.96	0
81	SLE RA 17	702	0	3032	0.47	36.14	0
81	SLE RA 18	766	0	3208	0.35	38.98	0
81	SLE RA 19	768	0	3216	0.49	39.16	0
81	SLE RA 20	766	0	3208	0.35	38.98	0
81	SLE RA 21	768	0	3216	0.49	39.16	0
81	SLE FR 1	545	0	2594	0.26	28.92	0
81	SLE FR 2	546	0	2596	0.31	28.98	0
81	SLE FR 3	545	0	2594	0.26	28.92	0
81	SLE FR 4	612	0	2781	0.34	32	0
81	SLE FR 5	611	0	2778	0.29	31.94	0
81	SLE FR 6	655	0	2901	0.31	33.95	0
81	SLE QP 1	545	0	2594	0.26	28.92	0
81	SLE QP 2	611	0	2778	0.29	31.94	0
81	SLD 1	827	5	2872	-6.18	41.66	0
81	SLD 2	827	5	2872	-6.18	41.66	0
81	SLD 3	861	-7	2918	4.89	43.13	-0.01
81	SLD 4	861	-7	2918	4.89	43.13	-0.01
81	SLD 5	626	20	2736	-18.43	32.62	0.02
81	SLD 6	626	20	2736	-18.43	32.62	0.02
81	SLD 7	736	-21	2890	18.44	37.53	-0.02
81	SLD 8	736	-21	2890	18.44	37.53	-0.02
81	SLD 9	486	21	2666	-17.87	26.35	0.02
81	SLD 10	486	21	2666	-17.87	26.35	0.02
81	SLD 11	597	-20	2819	19.01	31.26	-0.02
81	SLD 12	597	-20	2819	19.01	31.26	-0.02
81	SLD 13	362	7	2637	-4.31	20.75	0.01
81	SLD 14	362	7	2637	-4.31	20.75	0.01
81	SLD 15	395	-5	2683	6.75	22.22	0
81	SLD 16	395	-5	2683	6.75	22.22	0
81	SLV 1	1122	12	3005	-15.41	54.95	0
81	SLV 2	1122	12	3005	-15.41	54.95	0
81	SLV 3	1201	-18	3116	11.24	58.46	-0.03
81	SLV 4	1201	-18	3116	11.24	58.46	-0.03
81	SLV 5	645	49	2679	-44.83	33.52	0.05
81	SLV 6	645	49	2679	-44.83	33.52	0.05
81	SLV 7	908	-51	3047	43.98	45.21	-0.05
81	SLV 8	908	-51	3047	43.98	45.21	-0.05
81	SLV 9	315	50	2509	-43.41	18.67	0.05
81	SLV 10	315	50	2509	-43.41	18.67	0.05
81	SLV 11	577	-49	2877	45.41	30.35	-0.05
81	SLV 12	577	-49	2877	45.41	30.35	-0.05
81	SLV 13	21	18	2440	-10.66	5.42	0.03
81	SLV 14	21	18	2440	-10.66	5.42	0.03
81	SLV 15	100	-12	2550	15.98	8.93	0
81	SLV 16	100	-12	2550	15.98	8.93	0
82	SLU 1	302	0	2605	0.39	7.31	0
82	SLU 2	303	-1	2627	0.75	7.18	0
82	SLU 3	302	0	2605	0.39	7.31	0
82	SLU 4	302	-1	2619	0.61	7.23	0
82	SLU 5	303	-1	2627	0.75	7.18	0
82	SLU 6	302	0	2605	0.39	7.31	0
82	SLU 7	302	-1	2619	0.61	7.23	0
82	SLU 8	302	0	2605	0.39	7.31	0
82	SLU 9	302	-1	2619	0.61	7.23	0
82	SLU 10	481	-1	3347	0.88	13.63	0
82	SLU 11	480	0	3325	0.52	13.76	0
82	SLU 12	481	-1	3338	0.73	13.68	0
82	SLU 13	481	-1	3347	0.88	13.63	0
82	SLU 14	480	0	3325	0.52	13.76	0
82	SLU 15	481	-1	3338	0.73	13.68	0
82	SLU 16	480	0	3325	0.52	13.76	0
82	SLU 17	481	-1	3338	0.73	13.68	0
82	SLU 18	557	0	3634	0.58	16.52	0
82	SLU 19	557	-1	3647	0.79	16.44	0
82	SLU 20	557	0	3634	0.58	16.52	0
82	SLU 21	557	-1	3647	0.79	16.44	0
82	SLU 22	392	0	2972	0.46	10.59	0
82	SLU 23	393	-1	2994	0.81	10.46	0
82	SLU 24	392	0	2972	0.46	10.59	0
82	SLU 25	393	-1	2985	0.67	10.51	0
82	SLU 26	393	-1	2994	0.81	10.46	0



Nodo Ind.	Cont. N.br.	Reazione a traslazione			Reazione a rotazione		
		x	y	z	x	y	z
82	SLU 27	392	0	2972	0.46	10.59	0
82	SLU 28	393	-1	2985	0.67	10.51	0
82	SLU 29	392	0	2972	0.46	10.59	0
82	SLU 30	393	-1	2985	0.67	10.51	0
82	SLU 31	572	-1	3714	0.94	16.91	0
82	SLU 32	571	0	3692	0.59	17.04	0
82	SLU 33	572	-1	3705	0.8	16.96	0
82	SLU 34	572	-1	3714	0.94	16.91	0
82	SLU 35	571	0	3692	0.59	17.04	0
82	SLU 36	572	-1	3705	0.8	16.96	0
82	SLU 37	571	0	3692	0.59	17.04	0
82	SLU 38	572	-1	3705	0.8	16.96	0
82	SLU 39	648	0	4000	0.64	19.8	0
82	SLU 40	648	-1	4013	0.85	19.72	0
82	SLU 41	648	0	4000	0.64	19.8	0
82	SLU 42	648	-1	4013	0.85	19.72	0
82	SLU 43	361	0	3261	0.49	8.37	0
82	SLU 44	362	-1	3283	0.84	8.24	0
82	SLU 45	361	0	3261	0.49	8.37	0
82	SLU 46	361	-1	3275	0.7	8.3	0
82	SLU 47	362	-1	3283	0.84	8.24	0
82	SLU 48	361	0	3261	0.49	8.37	0
82	SLU 49	361	-1	3275	0.7	8.3	0
82	SLU 50	361	0	3261	0.49	8.37	0
82	SLU 51	361	-1	3275	0.7	8.3	0
82	SLU 52	540	-1	4003	0.97	14.69	0
82	SLU 53	540	0	3981	0.62	14.82	0
82	SLU 54	540	-1	3994	0.83	14.75	0
82	SLU 55	540	-1	4003	0.97	14.69	0
82	SLU 56	540	0	3981	0.62	14.82	0
82	SLU 57	540	-1	3994	0.83	14.75	0
82	SLU 58	540	0	3981	0.62	14.82	0
82	SLU 59	540	-1	3994	0.83	14.75	0
82	SLU 60	616	0	4290	0.67	17.59	0
82	SLU 61	617	-1	4303	0.88	17.51	0
82	SLU 62	616	0	4290	0.67	17.59	0
82	SLU 63	617	-1	4303	0.88	17.51	0
82	SLU 64	452	0	3628	0.55	11.65	0
82	SLU 65	453	-1	3650	0.91	11.53	0
82	SLU 66	452	0	3628	0.55	11.65	0
82	SLU 67	452	-1	3641	0.77	11.58	0
82	SLU 68	453	-1	3650	0.91	11.53	0
82	SLU 69	452	0	3628	0.55	11.65	0
82	SLU 70	452	-1	3641	0.77	11.58	0
82	SLU 71	452	0	3628	0.55	11.65	0
82	SLU 72	452	-1	3641	0.77	11.58	0
82	SLU 73	631	-1	4370	1.04	17.98	0
82	SLU 74	630	-1	4348	0.68	18.1	0
82	SLU 75	631	-1	4361	0.9	18.03	0
82	SLU 76	631	-1	4370	1.04	17.98	0
82	SLU 77	630	-1	4348	0.68	18.1	0
82	SLU 78	631	-1	4361	0.9	18.03	0
82	SLU 79	630	-1	4348	0.68	18.1	0
82	SLU 80	631	-1	4361	0.9	18.03	0
82	SLU 81	707	-1	4656	0.74	20.87	0
82	SLU 82	708	-1	4669	0.95	20.79	0
82	SLU 83	707	-1	4656	0.74	20.87	0
82	SLU 84	708	-1	4669	0.95	20.79	0
82	SLE RA 1	328	0	2710	0.41	8.24	0
82	SLE RA 2	328	-1	2725	0.65	8.16	0
82	SLE RA 3	328	0	2710	0.41	8.24	0
82	SLE RA 4	328	-1	2719	0.55	8.19	0
82	SLE RA 5	328	-1	2725	0.65	8.16	0
82	SLE RA 6	328	0	2710	0.41	8.24	0
82	SLE RA 7	328	-1	2719	0.55	8.19	0
82	SLE RA 8	328	0	2710	0.41	8.24	0
82	SLE RA 9	328	-1	2719	0.55	8.19	0
82	SLE RA 10	447	-1	3205	0.73	12.46	0
82	SLE RA 11	447	0	3190	0.5	12.54	0
82	SLE RA 12	447	-1	3199	0.64	12.49	0
82	SLE RA 13	447	-1	3205	0.73	12.46	0
82	SLE RA 14	447	0	3190	0.5	12.54	0
82	SLE RA 15	447	-1	3199	0.64	12.49	0
82	SLE RA 16	447	0	3190	0.5	12.54	0
82	SLE RA 17	447	-1	3199	0.64	12.49	0
82	SLE RA 18	498	0	3396	0.53	14.39	0
82	SLE RA 19	498	-1	3404	0.68	14.34	0
82	SLE RA 20	498	0	3396	0.53	14.39	0
82	SLE RA 21	498	-1	3404	0.68	14.34	0
82	SLE FR 1	328	0	2710	0.41	8.24	0
82	SLE FR 2	328	0	2713	0.46	8.23	0
82	SLE FR 3	328	0	2710	0.41	8.24	0
82	SLE FR 4	379	0	2919	0.5	10.07	0
82	SLE FR 5	379	0	2916	0.45	10.09	0
82	SLE FR 6	413	0	3053	0.47	11.31	0
82	SLE QP 1	328	0	2710	0.41	8.24	0
82	SLE QP 2	379	0	2916	0.45	10.09	0
82	SLD 1	592	7	2988	-5.02	19.34	0



Nodo Ind.	Cont. N.br.	Reazione a traslazione			Reazione a rotazione		
		x	y	z	x	y	z
82	SLD 2	592	7	2988	-5.02	19.34	0
82	SLD 3	629	-10	3053	7.96	20.84	-0.01
82	SLD 4	629	-10	3053	7.96	20.84	-0.01
82	SLD 5	388	27	2840	-20.88	10.59	0.01
82	SLD 6	388	27	2840	-20.88	10.59	0.01
82	SLD 7	509	-28	3055	22.39	15.58	-0.02
82	SLD 8	509	-28	3055	22.39	15.58	-0.02
82	SLD 9	248	27	2777	-21.5	4.59	0.02
82	SLD 10	248	27	2777	-21.5	4.59	0.02
82	SLD 11	370	-27	2992	21.78	9.58	-0.01
82	SLD 12	370	-27	2992	21.78	9.58	-0.01
82	SLD 13	128	9	2779	-7.06	-0.67	0.01
82	SLD 14	128	9	2779	-7.06	-0.67	0.01
82	SLD 15	165	-7	2843	5.92	0.83	0
82	SLD 16	165	-7	2843	5.92	0.83	0
82	SLV 1	883	16	3093	-12.61	31.91	-0.01
82	SLV 2	883	16	3093	-12.61	31.91	-0.01
82	SLV 3	969	-23	3247	18.66	35.48	-0.03
82	SLV 4	969	-23	3247	18.66	35.48	-0.03
82	SLV 5	399	65	2735	-50.89	11.22	0.03
82	SLV 6	399	65	2735	-50.89	11.22	0.03
82	SLV 7	687	-67	3249	53.33	23.12	-0.04
82	SLV 8	687	-67	3249	53.33	23.12	-0.04
82	SLV 9	70	67	2583	-52.44	-2.94	0.04
82	SLV 10	70	67	2583	-52.44	-2.94	0.04
82	SLV 11	358	-65	3096	51.79	8.95	-0.03
82	SLV 12	358	-65	3096	51.79	8.95	-0.03
82	SLV 13	-212	23	2585	-17.76	-15.31	0.03
82	SLV 14	-212	23	2585	-17.76	-15.31	0.03
82	SLV 15	-126	-17	2739	13.5	-11.74	0.01
82	SLV 16	-126	-17	2739	13.5	-11.74	0.01
83	SLU 1	318	0	2655	0.51	17.97	0
83	SLU 2	321	-1	2677	0.82	18.25	0
83	SLU 3	318	0	2655	0.51	17.97	0
83	SLU 4	320	-1	2668	0.7	18.14	0
83	SLU 5	321	-1	2677	0.82	18.25	0
83	SLU 6	318	0	2655	0.51	17.97	0
83	SLU 7	320	-1	2668	0.7	18.14	0
83	SLU 8	318	0	2655	0.51	17.97	0
83	SLU 9	320	-1	2668	0.7	18.14	0
83	SLU 10	483	-1	3453	0.99	25.74	0
83	SLU 11	480	-1	3432	0.68	25.45	0
83	SLU 12	482	-1	3445	0.86	25.62	0
83	SLU 13	483	-1	3453	0.99	25.74	0
83	SLU 14	480	-1	3432	0.68	25.45	0
83	SLU 15	482	-1	3445	0.86	25.62	0
83	SLU 16	480	-1	3432	0.68	25.45	0
83	SLU 17	482	-1	3445	0.86	25.62	0
83	SLU 18	549	-1	3765	0.75	28.66	0
83	SLU 19	551	-1	3777	0.93	28.83	0
83	SLU 20	549	-1	3765	0.75	28.66	0
83	SLU 21	551	-1	3777	0.93	28.83	0
83	SLU 22	400	-1	3051	0.6	21.78	0
83	SLU 23	404	-1	3072	0.9	22.06	0
83	SLU 24	400	-1	3051	0.6	21.78	0
83	SLU 25	402	-1	3063	0.78	21.95	0
83	SLU 26	404	-1	3072	0.9	22.06	0
83	SLU 27	400	-1	3051	0.6	21.78	0
83	SLU 28	402	-1	3063	0.78	21.95	0
83	SLU 29	400	-1	3051	0.6	21.78	0
83	SLU 30	402	-1	3063	0.78	21.95	0
83	SLU 31	566	-1	3848	1.07	29.54	0
83	SLU 32	562	-1	3827	0.76	29.26	0
83	SLU 33	564	-1	3840	0.95	29.43	0
83	SLU 34	566	-1	3848	1.07	29.54	0
83	SLU 35	562	-1	3827	0.76	29.26	0
83	SLU 36	564	-1	3840	0.95	29.43	0
83	SLU 37	562	-1	3827	0.76	29.26	0
83	SLU 38	564	-1	3840	0.95	29.43	0
83	SLU 39	632	-1	4160	0.83	32.46	0
83	SLU 40	634	-1	4172	1.02	32.64	0
83	SLU 41	632	-1	4160	0.83	32.46	0
83	SLU 42	634	-1	4172	1.02	32.64	0
83	SLU 43	385	-1	3317	0.64	22.05	0
83	SLU 44	388	-1	3338	0.95	22.34	0
83	SLU 45	385	-1	3317	0.64	22.05	0
83	SLU 46	387	-1	3329	0.82	22.23	0
83	SLU 47	388	-1	3338	0.95	22.34	0
83	SLU 48	385	-1	3317	0.64	22.05	0
83	SLU 49	387	-1	3329	0.82	22.23	0
83	SLU 50	385	-1	3317	0.64	22.05	0
83	SLU 51	387	-1	3329	0.82	22.23	0
83	SLU 52	550	-1	4114	1.11	29.82	0
83	SLU 53	547	-1	4093	0.8	29.54	0
83	SLU 54	549	-1	4106	0.99	29.71	0
83	SLU 55	550	-1	4114	1.11	29.82	0
83	SLU 56	547	-1	4093	0.8	29.54	0
83	SLU 57	549	-1	4106	0.99	29.71	0



Nodo Ind.	Cont. N.br.	Reazione a traslazione			Reazione a rotazione		
		x	y	z	x	y	z
83	SLU 58	547	-1	4093	0.8	29.54	0
83	SLU 59	549	-1	4106	0.99	29.71	0
83	SLU 60	617	-1	4426	0.88	32.74	0
83	SLU 61	618	-1	4438	1.06	32.91	0
83	SLU 62	617	-1	4426	0.88	32.74	0
83	SLU 63	618	-1	4438	1.06	32.91	0
83	SLU 64	467	-1	3712	0.72	25.86	0
83	SLU 65	471	-1	3733	1.03	26.15	0
83	SLU 66	467	-1	3712	0.72	25.86	0
83	SLU 67	469	-1	3725	0.91	26.03	0
83	SLU 68	471	-1	3733	1.03	26.15	0
83	SLU 69	467	-1	3712	0.72	25.86	0
83	SLU 70	469	-1	3725	0.91	26.03	0
83	SLU 71	467	-1	3712	0.72	25.86	0
83	SLU 72	469	-1	3725	0.91	26.03	0
83	SLU 73	633	-1	4509	1.19	33.63	0
83	SLU 74	630	-1	4488	0.89	33.34	0
83	SLU 75	631	-1	4501	1.07	33.51	0
83	SLU 76	633	-1	4509	1.19	33.63	0
83	SLU 77	630	-1	4488	0.89	33.34	0
83	SLU 78	631	-1	4501	1.07	33.51	0
83	SLU 79	630	-1	4488	0.89	33.34	0
83	SLU 80	631	-1	4501	1.07	33.51	0
83	SLU 81	699	-1	4821	0.96	36.55	0
83	SLU 82	701	-1	4834	1.14	36.72	0
83	SLU 83	699	-1	4821	0.96	36.55	0
83	SLU 84	701	-1	4834	1.14	36.72	0
83	SLE RA 1	341	0	2768	0.54	19.06	0
83	SLE RA 2	344	-1	2783	0.74	19.25	0
83	SLE RA 3	341	0	2768	0.54	19.06	0
83	SLE RA 4	343	-1	2777	0.66	19.17	0
83	SLE RA 5	344	-1	2783	0.74	19.25	0
83	SLE RA 6	341	0	2768	0.54	19.06	0
83	SLE RA 7	343	-1	2777	0.66	19.17	0
83	SLE RA 8	341	0	2768	0.54	19.06	0
83	SLE RA 9	343	-1	2777	0.66	19.17	0
83	SLE RA 10	452	-1	3300	0.85	24.23	0
83	SLE RA 11	450	-1	3286	0.65	24.04	0
83	SLE RA 12	451	-1	3294	0.77	24.16	0
83	SLE RA 13	452	-1	3300	0.85	24.23	0
83	SLE RA 14	450	-1	3286	0.65	24.04	0
83	SLE RA 15	451	-1	3294	0.77	24.16	0
83	SLE RA 16	450	-1	3286	0.65	24.04	0
83	SLE RA 17	451	-1	3294	0.77	24.16	0
83	SLE RA 18	496	-1	3508	0.7	26.18	0
83	SLE RA 19	497	-1	3516	0.82	26.3	0
83	SLE RA 20	496	-1	3508	0.7	26.18	0
83	SLE RA 21	497	-1	3516	0.82	26.3	0
83	SLE FR 1	341	0	2768	0.54	19.06	0
83	SLE FR 2	342	-1	2771	0.58	19.09	0
83	SLE FR 3	341	0	2768	0.54	19.06	0
83	SLE FR 4	388	-1	2993	0.63	21.23	0
83	SLE FR 5	388	-1	2990	0.59	21.19	0
83	SLE FR 6	419	-1	3138	0.62	22.62	0
83	SLE QP 1	341	0	2768	0.54	19.06	0
83	SLE QP 2	388	-1	2990	0.59	21.19	0
83	SLD 1	604	6	3037	-4.54	30.79	-0.01
83	SLD 2	604	6	3037	-4.54	30.79	-0.01
83	SLD 3	645	-9	3129	7.66	32.48	0
83	SLD 4	645	-9	3129	7.66	32.48	0
83	SLD 5	389	24	2865	-19.45	21.51	-0.02
83	SLD 6	389	24	2865	-19.45	21.51	-0.02
83	SLD 7	528	-26	3171	21.21	27.14	0.01
83	SLD 8	528	-26	3171	21.21	27.14	0.01
83	SLD 9	247	25	2810	-20.03	15.25	-0.01
83	SLD 10	247	25	2810	-20.03	15.25	-0.01
83	SLD 11	386	-25	3115	20.62	20.88	0.02
83	SLD 12	386	-25	3115	20.62	20.88	0.02
83	SLD 13	130	8	2852	-6.49	9.91	0
83	SLD 14	130	8	2852	-6.49	9.91	0
83	SLD 15	172	-7	2943	5.71	11.6	0.01
83	SLD 16	172	-7	2943	5.71	11.6	0.01
83	SLV 1	898	14	3107	-11.66	43.86	-0.03
83	SLV 2	898	14	3107	-11.66	43.86	-0.03
83	SLV 3	996	-22	3325	17.71	47.87	0
83	SLV 4	996	-22	3325	17.71	47.87	0
83	SLV 5	391	59	2694	-47.64	21.92	-0.04
83	SLV 6	391	59	2694	-47.64	21.92	-0.04
83	SLV 7	720	-62	3422	50.27	35.28	0.04
83	SLV 8	720	-62	3422	50.27	35.28	0.04
83	SLV 9	56	61	2559	-49.1	7.11	-0.03
83	SLV 10	56	61	2559	-49.1	7.11	-0.03
83	SLV 11	384	-60	3286	48.81	20.47	0.04
83	SLV 12	384	-60	3286	48.81	20.47	0.04
83	SLV 13	-221	21	2655	-16.54	-5.48	0
83	SLV 14	-221	21	2655	-16.54	-5.48	0
83	SLV 15	-122	-15	2873	12.83	-1.48	0.03
83	SLV 16	-122	-15	2873	12.83	-1.48	0.03



Nodo Ind.	Cont. N.br.	Reazione a traslazione			Reazione a rotazione		
		x	y	z	x	y	z
84	SLU 1	178	-1	2697	0.63	3.74	0
84	SLU 2	178	-1	2718	0.85	3.63	0
84	SLU 3	178	-1	2697	0.63	3.74	0
84	SLU 4	178	-1	2710	0.76	3.67	0
84	SLU 5	178	-1	2718	0.85	3.63	0
84	SLU 6	178	-1	2697	0.63	3.74	0
84	SLU 7	178	-1	2710	0.76	3.67	0
84	SLU 8	178	-1	2697	0.63	3.74	0
84	SLU 9	178	-1	2710	0.76	3.67	0
84	SLU 10	298	-1	3539	1.06	7.93	0
84	SLU 11	298	-1	3519	0.83	8.04	0
84	SLU 12	298	-1	3531	0.96	7.97	0
84	SLU 13	298	-1	3539	1.06	7.93	0
84	SLU 14	298	-1	3519	0.83	8.04	0
84	SLU 15	298	-1	3531	0.96	7.97	0
84	SLU 16	298	-1	3519	0.83	8.04	0
84	SLU 17	298	-1	3531	0.96	7.97	0
84	SLU 18	349	-1	3871	0.92	9.88	0
84	SLU 19	349	-1	3883	1.05	9.82	0
84	SLU 20	349	-1	3871	0.92	9.88	0
84	SLU 21	349	-1	3883	1.05	9.82	0
84	SLU 22	239	-1	3115	0.73	5.93	0
84	SLU 23	239	-1	3136	0.96	5.81	0
84	SLU 24	239	-1	3115	0.73	5.93	0
84	SLU 25	239	-1	3128	0.87	5.86	0
84	SLU 26	239	-1	3136	0.96	5.81	0
84	SLU 27	239	-1	3115	0.73	5.93	0
84	SLU 28	239	-1	3128	0.87	5.86	0
84	SLU 29	239	-1	3115	0.73	5.93	0
84	SLU 30	239	-1	3128	0.87	5.86	0
84	SLU 31	359	-1	3957	1.16	10.11	0
84	SLU 32	359	-1	3937	0.93	10.23	0
84	SLU 33	359	-1	3949	1.07	10.16	0
84	SLU 34	359	-1	3957	1.16	10.11	0
84	SLU 35	359	-1	3937	0.93	10.23	0
84	SLU 36	359	-1	3949	1.07	10.16	0
84	SLU 37	359	-1	3937	0.93	10.23	0
84	SLU 38	359	-1	3949	1.07	10.16	0
84	SLU 39	410	-1	4289	1.02	12.07	0
84	SLU 40	410	-1	4301	1.15	12	0
84	SLU 41	410	-1	4289	1.02	12.07	0
84	SLU 42	410	-1	4301	1.15	12	0
84	SLU 43	211	-1	3363	0.78	4.11	0
84	SLU 44	211	-1	3384	1.01	4	0
84	SLU 45	211	-1	3363	0.78	4.11	0
84	SLU 46	211	-1	3375	0.92	4.05	0
84	SLU 47	211	-1	3384	1.01	4	0
84	SLU 48	211	-1	3363	0.78	4.11	0
84	SLU 49	211	-1	3375	0.92	4.05	0
84	SLU 50	211	-1	3363	0.78	4.11	0
84	SLU 51	211	-1	3375	0.92	4.05	0
84	SLU 52	330	-1	4205	1.21	8.3	0
84	SLU 53	330	-1	4184	0.98	8.41	0
84	SLU 54	330	-1	4197	1.12	8.35	0
84	SLU 55	330	-1	4205	1.21	8.3	0
84	SLU 56	330	-1	4184	0.98	8.41	0
84	SLU 57	330	-1	4197	1.12	8.35	0
84	SLU 58	330	-1	4184	0.98	8.41	0
84	SLU 59	330	-1	4197	1.12	8.35	0
84	SLU 60	382	-1	4537	1.07	10.26	0
84	SLU 61	382	-1	4549	1.2	10.19	0
84	SLU 62	382	-1	4537	1.07	10.26	0
84	SLU 63	382	-1	4549	1.2	10.19	0
84	SLU 64	271	-1	3781	0.88	6.3	0
84	SLU 65	272	-1	3802	1.11	6.19	0
84	SLU 66	271	-1	3781	0.88	6.3	0
84	SLU 67	272	-1	3793	1.02	6.23	0
84	SLU 68	272	-1	3802	1.11	6.19	0
84	SLU 69	271	-1	3781	0.88	6.3	0
84	SLU 70	272	-1	3793	1.02	6.23	0
84	SLU 71	271	-1	3781	0.88	6.3	0
84	SLU 72	272	-1	3793	1.02	6.23	0
84	SLU 73	391	-1	4623	1.31	10.49	0
84	SLU 74	391	-1	4603	1.08	10.6	0
84	SLU 75	391	-1	4615	1.22	10.53	0
84	SLU 76	391	-1	4623	1.31	10.49	0
84	SLU 77	391	-1	4603	1.08	10.6	0
84	SLU 78	391	-1	4615	1.22	10.53	0
84	SLU 79	391	-1	4603	1.08	10.6	0
84	SLU 80	391	-1	4615	1.22	10.53	0
84	SLU 81	442	-1	4955	1.17	12.44	0
84	SLU 82	442	-1	4967	1.31	12.38	0
84	SLU 83	442	-1	4955	1.17	12.44	0
84	SLU 84	442	-1	4967	1.31	12.38	0
84	SLE RA 1	195	-1	2817	0.66	4.37	0
84	SLE RA 2	195	-1	2830	0.81	4.29	0
84	SLE RA 3	195	-1	2817	0.66	4.37	0
84	SLE RA 4	195	-1	2825	0.75	4.32	0



Nodo Ind.	Cont. N.br.	Reazione a traslazione			Reazione a rotazione		
		x	y	z	x	y	z
84	SLE RA 5	195	-1	2830	0.81	4.29	0
84	SLE RA 6	195	-1	2817	0.66	4.37	0
84	SLE RA 7	195	-1	2825	0.75	4.32	0
84	SLE RA 8	195	-1	2817	0.66	4.37	0
84	SLE RA 9	195	-1	2825	0.75	4.32	0
84	SLE RA 10	275	-1	3378	0.94	7.16	0
84	SLE RA 11	275	-1	3364	0.79	7.23	0
84	SLE RA 12	275	-1	3373	0.88	7.19	0
84	SLE RA 13	275	-1	3378	0.94	7.16	0
84	SLE RA 14	275	-1	3364	0.79	7.23	0
84	SLE RA 15	275	-1	3373	0.88	7.19	0
84	SLE RA 16	275	-1	3364	0.79	7.23	0
84	SLE RA 17	275	-1	3373	0.88	7.19	0
84	SLE RA 18	309	-1	3599	0.85	8.46	0
84	SLE RA 19	309	-1	3607	0.94	8.42	0
84	SLE RA 20	309	-1	3599	0.85	8.46	0
84	SLE RA 21	309	-1	3607	0.94	8.42	0
84	SLE FR 1	195	-1	2817	0.66	4.37	0
84	SLE FR 2	195	-1	2819	0.69	4.35	0
84	SLE FR 3	195	-1	2817	0.66	4.37	0
84	SLE FR 4	230	-1	3054	0.74	5.58	0
84	SLE FR 5	230	-1	3051	0.71	5.6	0
84	SLE FR 6	252	-1	3208	0.75	6.41	0
84	SLE QP 1	195	-1	2817	0.66	4.37	0
84	SLE QP 2	230	-1	3051	0.71	5.6	0
84	SLD 1	443	3	3070	-3.02	14.94	0
84	SLD 2	443	3	3070	-3.02	14.94	0
84	SLD 3	491	-7	3204	6.07	16.72	0.01
84	SLD 4	491	-7	3204	6.07	16.72	0.01
84	SLD 5	221	15	2854	-14.19	5.7	-0.02
84	SLD 6	221	15	2854	-14.19	5.7	-0.02
84	SLD 7	380	-17	3300	16.1	11.63	0.03
84	SLD 8	380	-17	3300	16.1	11.63	0.03
84	SLD 9	79	16	2803	-14.67	-0.44	-0.02
84	SLD 10	79	16	2803	-14.67	-0.44	-0.02
84	SLD 11	238	-16	3248	15.62	5.49	0.03
84	SLD 12	238	-16	3248	15.62	5.49	0.03
84	SLD 13	-32	5	2899	-4.64	-5.53	-0.01
84	SLD 14	-32	5	2899	-4.64	-5.53	-0.01
84	SLD 15	16	-4	3032	4.45	-3.75	0.01
84	SLD 16	16	-4	3032	4.45	-3.75	0.01
84	SLV 1	733	7	3102	-8.23	27.61	-0.01
84	SLV 2	733	7	3102	-8.23	27.61	-0.01
84	SLV 3	846	-15	3420	13.65	31.86	0.03
84	SLV 4	846	-15	3420	13.65	31.86	0.03
84	SLV 5	209	36	2583	-35.16	5.76	-0.05
84	SLV 6	209	36	2583	-35.16	5.76	-0.05
84	SLV 7	587	-40	3646	37.78	19.92	0.06
84	SLV 8	587	-40	3646	37.78	19.92	0.06
84	SLV 9	-127	38	2457	-36.36	-8.73	-0.06
84	SLV 10	-127	38	2457	-36.36	-8.73	-0.06
84	SLV 11	251	-38	3520	36.59	5.43	0.06
84	SLV 12	251	-38	3520	36.59	5.43	0.06
84	SLV 13	-387	14	2682	-12.22	-20.67	-0.02
84	SLV 14	-387	14	2682	-12.22	-20.67	-0.02
84	SLV 15	-274	-9	3001	9.66	-16.42	0.02
84	SLV 16	-274	-9	3001	9.66	-16.42	0.02
85	SLU 1	202	-2	2709	0.84	11.76	-0.01
85	SLU 2	204	-2	2729	0.96	11.95	-0.01
85	SLU 3	202	-2	2709	0.84	11.76	-0.01
85	SLU 4	204	-2	2721	0.91	11.88	-0.01
85	SLU 5	204	-2	2729	0.96	11.95	-0.01
85	SLU 6	202	-2	2709	0.84	11.76	-0.01
85	SLU 7	204	-2	2721	0.91	11.88	-0.01
85	SLU 8	202	-2	2709	0.84	11.76	-0.01
85	SLU 9	204	-2	2721	0.91	11.88	-0.01
85	SLU 10	312	-3	3583	1.23	16.97	-0.01
85	SLU 11	310	-2	3563	1.11	16.77	-0.01
85	SLU 12	311	-2	3575	1.18	16.89	-0.01
85	SLU 13	312	-3	3583	1.23	16.97	-0.01
85	SLU 14	310	-2	3563	1.11	16.77	-0.01
85	SLU 15	311	-2	3575	1.18	16.89	-0.01
85	SLU 16	310	-2	3563	1.11	16.77	-0.01
85	SLU 17	311	-2	3575	1.18	16.89	-0.01
85	SLU 18	356	-3	3929	1.22	18.92	-0.01
85	SLU 19	357	-3	3941	1.3	19.04	-0.01
85	SLU 20	356	-3	3929	1.22	18.92	-0.01
85	SLU 21	357	-3	3941	1.3	19.04	-0.01
85	SLU 22	257	-2	3144	0.98	14.31	-0.01
85	SLU 23	259	-2	3163	1.1	14.5	-0.01
85	SLU 24	257	-2	3144	0.98	14.31	-0.01
85	SLU 25	258	-2	3156	1.05	14.43	-0.01
85	SLU 26	259	-2	3163	1.1	14.5	-0.01
85	SLU 27	257	-2	3144	0.98	14.31	-0.01
85	SLU 28	258	-2	3156	1.05	14.43	-0.01
85	SLU 29	257	-2	3144	0.98	14.31	-0.01
85	SLU 30	258	-2	3156	1.05	14.43	-0.01
85	SLU 31	367	-3	4018	1.37	19.51	-0.01



Nodo Ind.	Cont. N.br.	Reazione a traslazione			Reazione a rotazione		
		x	y	z	x	y	z
85	SLU 32	365	-3	3998	1.25	19.32	-0.01
85	SLU 33	366	-3	4010	1.32	19.44	-0.01
85	SLU 34	367	-3	4018	1.37	19.51	-0.01
85	SLU 35	365	-3	3998	1.25	19.32	-0.01
85	SLU 36	366	-3	4010	1.32	19.44	-0.01
85	SLU 37	365	-3	3998	1.25	19.32	-0.01
85	SLU 38	366	-3	4010	1.32	19.44	-0.01
85	SLU 39	411	-3	4364	1.36	21.47	-0.01
85	SLU 40	412	-3	4376	1.44	21.59	-0.01
85	SLU 41	411	-3	4364	1.36	21.47	-0.01
85	SLU 42	412	-3	4376	1.44	21.59	-0.01
85	SLU 43	244	-2	3373	1.04	14.42	-0.01
85	SLU 44	246	-3	3392	1.17	14.61	-0.01
85	SLU 45	244	-2	3373	1.04	14.42	-0.01
85	SLU 46	246	-3	3385	1.12	14.53	-0.01
85	SLU 47	246	-3	3392	1.17	14.61	-0.01
85	SLU 48	244	-2	3373	1.04	14.42	-0.01
85	SLU 49	246	-3	3385	1.12	14.53	-0.01
85	SLU 50	244	-2	3373	1.04	14.42	-0.01
85	SLU 51	246	-3	3385	1.12	14.53	-0.01
85	SLU 52	354	-3	4247	1.44	19.62	-0.01
85	SLU 53	352	-3	4227	1.31	19.43	-0.01
85	SLU 54	353	-3	4239	1.39	19.54	-0.01
85	SLU 55	354	-3	4247	1.44	19.62	-0.01
85	SLU 56	352	-3	4227	1.31	19.43	-0.01
85	SLU 57	353	-3	4239	1.39	19.54	-0.01
85	SLU 58	352	-3	4227	1.31	19.43	-0.01
85	SLU 59	353	-3	4239	1.39	19.54	-0.01
85	SLU 60	398	-3	4593	1.43	21.58	-0.01
85	SLU 61	399	-3	4605	1.5	21.69	-0.01
85	SLU 62	398	-3	4593	1.43	21.58	-0.01
85	SLU 63	399	-3	4605	1.5	21.69	-0.01
85	SLU 64	299	-3	3808	1.18	16.97	-0.01
85	SLU 65	301	-3	3827	1.3	17.16	-0.01
85	SLU 66	299	-3	3808	1.18	16.97	-0.01
85	SLU 67	300	-3	3819	1.25	17.08	-0.01
85	SLU 68	301	-3	3827	1.3	17.16	-0.01
85	SLU 69	299	-3	3808	1.18	16.97	-0.01
85	SLU 70	300	-3	3819	1.25	17.08	-0.01
85	SLU 71	299	-3	3808	1.18	16.97	-0.01
85	SLU 72	300	-3	3819	1.25	17.08	-0.01
85	SLU 73	409	-3	4681	1.58	22.17	-0.01
85	SLU 74	407	-3	4662	1.45	21.98	-0.01
85	SLU 75	408	-3	4673	1.53	22.09	-0.01
85	SLU 76	409	-3	4681	1.58	22.17	-0.01
85	SLU 77	407	-3	4662	1.45	21.98	-0.01
85	SLU 78	408	-3	4673	1.53	22.09	-0.01
85	SLU 79	407	-3	4662	1.45	21.98	-0.01
85	SLU 80	408	-3	4673	1.53	22.09	-0.01
85	SLU 81	453	-3	5028	1.57	24.13	-0.01
85	SLU 82	454	-3	5040	1.64	24.24	-0.01
85	SLU 83	453	-3	5028	1.57	24.13	-0.01
85	SLU 84	454	-3	5040	1.64	24.24	-0.01
85	SLE RA 1	218	-2	2833	0.88	12.49	-0.01
85	SLE RA 2	219	-2	2846	0.96	12.62	-0.01
85	SLE RA 3	218	-2	2833	0.88	12.49	-0.01
85	SLE RA 4	219	-2	2841	0.93	12.57	-0.01
85	SLE RA 5	219	-2	2846	0.96	12.62	-0.01
85	SLE RA 6	218	-2	2833	0.88	12.49	-0.01
85	SLE RA 7	219	-2	2841	0.93	12.57	-0.01
85	SLE RA 8	218	-2	2833	0.88	12.49	-0.01
85	SLE RA 9	219	-2	2841	0.93	12.57	-0.01
85	SLE RA 10	291	-2	3416	1.14	15.96	-0.01
85	SLE RA 11	290	-2	3403	1.06	15.83	-0.01
85	SLE RA 12	290	-2	3411	1.11	15.91	-0.01
85	SLE RA 13	291	-2	3416	1.14	15.96	-0.01
85	SLE RA 14	290	-2	3403	1.06	15.83	-0.01
85	SLE RA 15	290	-2	3411	1.11	15.91	-0.01
85	SLE RA 16	290	-2	3403	1.06	15.83	-0.01
85	SLE RA 17	290	-2	3411	1.11	15.91	-0.01
85	SLE RA 18	320	-2	3647	1.14	17.26	-0.01
85	SLE RA 19	321	-2	3655	1.19	17.34	-0.01
85	SLE RA 20	320	-2	3647	1.14	17.26	-0.01
85	SLE RA 21	321	-2	3655	1.19	17.34	-0.01
85	SLE FR 1	218	-2	2833	0.88	12.49	-0.01
85	SLE FR 2	218	-2	2836	0.89	12.52	-0.01
85	SLE FR 3	218	-2	2833	0.88	12.49	-0.01
85	SLE FR 4	249	-2	3080	0.97	13.95	-0.01
85	SLE FR 5	249	-2	3077	0.95	13.92	-0.01
85	SLE FR 6	269	-2	3240	1.01	14.88	-0.01
85	SLE QP 1	218	-2	2833	0.88	12.49	-0.01
85	SLE QP 2	249	-2	3077	0.95	13.92	-0.01
85	SLD 1	462	1	3052	-1.02	23.47	0
85	SLD 2	462	1	3052	-1.02	23.47	0
85	SLD 3	516	-3	3267	3.95	25.34	-0.01
85	SLD 4	516	-3	3267	3.95	25.34	-0.01
85	SLD 5	231	6	2743	-7.18	13.95	0
85	SLD 6	231	6	2743	-7.18	13.95	0



Nodo Ind.	Cont. N.br.	Reazione a traslazione			Reazione a rotazione		
		x	y	z	x	y	z
85	SLD 7	411	-9	3462	9.4	20.19	-0.01
85	SLD 8	411	-9	3462	9.4	20.19	-0.01
85	SLD 9	86	5	2693	-7.49	7.66	0
85	SLD 10	86	5	2693	-7.49	7.66	0
85	SLD 11	267	-10	3412	9.09	13.9	-0.02
85	SLD 12	267	-10	3412	9.09	13.9	-0.02
85	SLD 13	-19	-1	2888	-2.04	2.5	-0.01
85	SLD 14	-19	-1	2888	-2.04	2.5	-0.01
85	SLD 15	35	-5	3103	2.93	4.37	-0.01
85	SLD 16	35	-5	3103	2.93	4.37	-0.01
85	SLV 1	752	6	3021	-3.78	36.47	0
85	SLV 2	752	6	3021	-3.78	36.47	0
85	SLV 3	881	-5	3536	8.2	40.92	-0.01
85	SLV 4	881	-5	3536	8.2	40.92	-0.01
85	SLV 5	204	16	2281	-18.64	13.95	0.01
85	SLV 6	204	16	2281	-18.64	13.95	0.01
85	SLV 7	634	-19	3995	21.3	28.76	-0.02
85	SLV 8	634	-19	3995	21.3	28.76	-0.02
85	SLV 9	-136	15	2160	-19.39	-0.91	0.01
85	SLV 10	-136	15	2160	-19.39	-0.91	0.01
85	SLV 11	293	-21	3874	20.55	13.89	-0.03
85	SLV 12	293	-21	3874	20.55	13.89	-0.03
85	SLV 13	-384	1	2619	-6.29	-13.07	-0.01
85	SLV 14	-384	1	2619	-6.29	-13.07	-0.01
85	SLV 15	-255	-10	3133	5.69	-8.63	-0.02
85	SLV 16	-255	-10	3133	5.69	-8.63	-0.02
86	SLU 1	115	-163	3521	4.46	2.46	0.01
86	SLU 2	115	-163	3544	4.48	2.4	0.01
86	SLU 3	115	-163	3521	4.46	2.46	0.01
86	SLU 4	115	-163	3535	4.47	2.42	0.01
86	SLU 5	115	-163	3544	4.48	2.4	0.01
86	SLU 6	115	-163	3521	4.46	2.46	0.01
86	SLU 7	115	-163	3535	4.47	2.42	0.01
86	SLU 8	115	-163	3521	4.46	2.46	0.01
86	SLU 9	115	-163	3535	4.47	2.42	0.01
86	SLU 10	192	-209	4664	5.87	5.18	0.02
86	SLU 11	192	-208	4640	5.85	5.24	0.02
86	SLU 12	192	-208	4655	5.86	5.21	0.02
86	SLU 13	192	-209	4664	5.87	5.18	0.02
86	SLU 14	192	-208	4640	5.85	5.24	0.02
86	SLU 15	192	-208	4655	5.86	5.21	0.02
86	SLU 16	192	-208	4640	5.85	5.24	0.02
86	SLU 17	192	-208	4655	5.86	5.21	0.02
86	SLU 18	225	-227	5120	6.44	6.44	0.02
86	SLU 19	225	-228	5135	6.46	6.4	0.02
86	SLU 20	225	-227	5120	6.44	6.44	0.02
86	SLU 21	225	-228	5135	6.46	6.4	0.02
86	SLU 22	154	-186	4090	5.17	3.88	0.01
86	SLU 23	154	-186	4114	5.19	3.81	0.01
86	SLU 24	154	-186	4090	5.17	3.88	0.01
86	SLU 25	154	-186	4105	5.18	3.84	0.01
86	SLU 26	154	-186	4114	5.19	3.81	0.01
86	SLU 27	154	-186	4090	5.17	3.88	0.01
86	SLU 28	154	-186	4105	5.18	3.84	0.01
86	SLU 29	154	-186	4090	5.17	3.88	0.01
86	SLU 30	154	-186	4105	5.18	3.84	0.01
86	SLU 31	231	-232	5234	6.58	6.6	0.02
86	SLU 32	231	-231	5210	6.56	6.66	0.02
86	SLU 33	231	-232	5225	6.57	6.62	0.02
86	SLU 34	231	-232	5234	6.58	6.6	0.02
86	SLU 35	231	-231	5210	6.56	6.66	0.02
86	SLU 36	231	-232	5225	6.57	6.62	0.02
86	SLU 37	231	-231	5210	6.56	6.66	0.02
86	SLU 38	231	-232	5225	6.57	6.62	0.02
86	SLU 39	264	-251	5690	7.15	7.85	0.02
86	SLU 40	264	-251	5705	7.16	7.81	0.02
86	SLU 41	264	-251	5690	7.15	7.85	0.02
86	SLU 42	264	-251	5705	7.16	7.81	0.02
86	SLU 43	136	-203	4381	5.56	2.71	0.01
86	SLU 44	136	-204	4405	5.58	2.65	0.01
86	SLU 45	136	-203	4381	5.56	2.71	0.01
86	SLU 46	136	-204	4396	5.57	2.68	0.01
86	SLU 47	136	-204	4405	5.58	2.65	0.01
86	SLU 48	136	-203	4381	5.56	2.71	0.01
86	SLU 49	136	-204	4396	5.57	2.68	0.01
86	SLU 50	136	-203	4381	5.56	2.71	0.01
86	SLU 51	136	-204	4396	5.57	2.68	0.01
86	SLU 52	213	-250	5525	6.97	5.43	0.02
86	SLU 53	213	-249	5501	6.95	5.5	0.02
86	SLU 54	213	-249	5515	6.96	5.46	0.02
86	SLU 55	213	-250	5525	6.97	5.43	0.02
86	SLU 56	213	-249	5501	6.95	5.5	0.02
86	SLU 57	213	-249	5515	6.96	5.46	0.02
86	SLU 58	213	-249	5501	6.95	5.5	0.02
86	SLU 59	213	-249	5515	6.96	5.46	0.02
86	SLU 60	246	-268	5981	7.54	6.69	0.02
86	SLU 61	246	-269	5995	7.55	6.65	0.02
86	SLU 62	246	-268	5981	7.54	6.69	0.02



Nodo Ind.	Cont. N.br.	Reazione a traslazione			Reazione a rotazione		
		x	y	z	x	y	z
86	SLU 63	246	-269	5995	7.55	6.65	0.02
86	SLU 64	175	-227	4951	6.26	4.13	0.02
86	SLU 65	175	-227	4975	6.28	4.07	0.02
86	SLU 66	175	-227	4951	6.26	4.13	0.02
86	SLU 67	175	-227	4965	6.28	4.09	0.02
86	SLU 68	175	-227	4975	6.28	4.07	0.02
86	SLU 69	175	-227	4951	6.26	4.13	0.02
86	SLU 70	175	-227	4965	6.28	4.09	0.02
86	SLU 71	175	-227	4951	6.26	4.13	0.02
86	SLU 72	175	-227	4965	6.28	4.09	0.02
86	SLU 73	252	-273	6095	7.67	6.85	0.02
86	SLU 74	252	-272	6071	7.65	6.91	0.02
86	SLU 75	252	-272	6085	7.66	6.87	0.02
86	SLU 76	252	-273	6095	7.67	6.85	0.02
86	SLU 77	252	-272	6071	7.65	6.91	0.02
86	SLU 78	252	-272	6085	7.66	6.87	0.02
86	SLU 79	252	-272	6071	7.65	6.91	0.02
86	SLU 80	252	-272	6085	7.66	6.87	0.02
86	SLU 81	285	-291	6551	8.25	8.1	0.02
86	SLU 82	285	-292	6565	8.26	8.07	0.02
86	SLU 83	285	-291	6551	8.25	8.1	0.02
86	SLU 84	285	-292	6565	8.26	8.07	0.02
86	SLE RA 1	126	-169	3683	4.66	2.86	0.01
86	SLE RA 2	126	-170	3699	4.68	2.82	0.01
86	SLE RA 3	126	-169	3683	4.66	2.86	0.01
86	SLE RA 4	126	-169	3693	4.67	2.84	0.01
86	SLE RA 5	126	-170	3699	4.68	2.82	0.01
86	SLE RA 6	126	-169	3683	4.66	2.86	0.01
86	SLE RA 7	126	-169	3693	4.67	2.84	0.01
86	SLE RA 8	126	-169	3683	4.66	2.86	0.01
86	SLE RA 9	126	-169	3693	4.67	2.84	0.01
86	SLE RA 10	177	-200	4446	5.6	4.68	0.01
86	SLE RA 11	177	-199	4430	5.59	4.72	0.01
86	SLE RA 12	177	-200	4439	5.6	4.7	0.01
86	SLE RA 13	177	-200	4446	5.6	4.68	0.01
86	SLE RA 14	177	-199	4430	5.59	4.72	0.01
86	SLE RA 15	177	-200	4439	5.6	4.7	0.01
86	SLE RA 16	177	-199	4430	5.59	4.72	0.01
86	SLE RA 17	177	-200	4439	5.6	4.7	0.01
86	SLE RA 18	199	-212	4750	5.99	5.52	0.02
86	SLE RA 19	199	-213	4759	5.99	5.49	0.02
86	SLE RA 20	199	-212	4750	5.99	5.52	0.02
86	SLE RA 21	199	-213	4759	5.99	5.49	0.02
86	SLE FR 1	126	-169	3683	4.66	2.86	0.01
86	SLE FR 2	126	-169	3687	4.67	2.86	0.01
86	SLE FR 3	126	-169	3683	4.66	2.86	0.01
86	SLE FR 4	148	-182	4007	5.06	3.65	0.01
86	SLE FR 5	148	-182	4003	5.06	3.66	0.01
86	SLE FR 6	163	-191	4217	5.32	4.19	0.01
86	SLE QP 1	126	-169	3683	4.66	2.86	0.01
86	SLE QP 2	148	-182	4003	5.06	3.66	0.01
86	SLD 1	396	-148	3923	3.17	14.45	0.03
86	SLD 2	396	-148	3923	3.17	14.45	0.03
86	SLD 3	374	-248	4296	8.61	13.49	0.03
86	SLD 4	374	-248	4296	8.61	13.49	0.03
86	SLD 5	255	-20	3413	-3.75	8.35	0
86	SLD 6	255	-20	3413	-3.75	8.35	0
86	SLD 7	183	-354	4657	14.37	5.15	0.03
86	SLD 8	183	-354	4657	14.37	5.15	0.03
86	SLD 9	113	-11	3349	-4.25	2.17	-0.01
86	SLD 10	113	-11	3349	-4.25	2.17	-0.01
86	SLD 11	41	-344	4594	13.87	-1.03	0.02
86	SLD 12	41	-344	4594	13.87	-1.03	0.02
86	SLD 13	-78	-116	3710	1.52	-6.17	-0.01
86	SLD 14	-78	-116	3710	1.52	-6.17	-0.01
86	SLD 15	-99	-216	4084	6.95	-7.13	0
86	SLD 16	-99	-216	4084	6.95	-7.13	0
86	SLV 1	733	-102	3820	0.58	29.12	0.04
86	SLV 2	733	-102	3820	0.58	29.12	0.04
86	SLV 3	682	-340	4709	13.51	26.84	0.06
86	SLV 4	682	-340	4709	13.51	26.84	0.06
86	SLV 5	401	203	2599	-15.9	14.76	-0.01
86	SLV 6	401	203	2599	-15.9	14.76	-0.01
86	SLV 7	231	-591	5565	27.21	7.16	0.06
86	SLV 8	231	-591	5565	27.21	7.16	0.06
86	SLV 9	65	226	2442	-17.09	0.16	-0.03
86	SLV 10	65	226	2442	-17.09	0.16	-0.03
86	SLV 11	-104	-567	5408	26.02	-7.44	0.03
86	SLV 12	-104	-567	5408	26.02	-7.44	0.03
86	SLV 13	-385	-24	3297	-3.39	-19.52	-0.04
86	SLV 14	-385	-24	3297	-3.39	-19.52	-0.04
86	SLV 15	-436	-262	4187	9.54	-21.8	-0.02
86	SLV 16	-436	-262	4187	9.54	-21.8	-0.02
87	SLU 1	130	-2	2619	0.58	7.69	0.01
87	SLU 2	131	-1	2637	0.48	7.83	0.01
87	SLU 3	130	-2	2619	0.58	7.69	0.01
87	SLU 4	131	-2	2630	0.52	7.78	0.01
87	SLU 5	131	-1	2637	0.48	7.83	0.01



Nodo Ind.	Cont. N.br.	Reazione a traslazione			Reazione a rotazione		
		x	y	z	x	y	z
87	SLU 6	130	-2	2619	0.58	7.69	0.01
87	SLU 7	131	-2	2630	0.52	7.78	0.01
87	SLU 8	130	-2	2619	0.58	7.69	0.01
87	SLU 9	131	-2	2630	0.52	7.78	0.01
87	SLU 10	197	-2	3498	0.73	10.99	0.01
87	SLU 11	196	-2	3481	0.84	10.85	0.01
87	SLU 12	197	-2	3491	0.78	10.93	0.01
87	SLU 13	197	-2	3498	0.73	10.99	0.01
87	SLU 14	196	-2	3481	0.84	10.85	0.01
87	SLU 15	197	-2	3491	0.78	10.93	0.01
87	SLU 16	196	-2	3481	0.84	10.85	0.01
87	SLU 17	197	-2	3491	0.78	10.93	0.01
87	SLU 18	224	-2	3850	0.95	12.2	0.01
87	SLU 19	225	-2	3861	0.89	12.28	0.01
87	SLU 20	224	-2	3850	0.95	12.2	0.01
87	SLU 21	225	-2	3861	0.89	12.28	0.01
87	SLU 22	163	-2	3058	0.72	9.3	0.01
87	SLU 23	165	-2	3075	0.61	9.44	0.01
87	SLU 24	163	-2	3058	0.72	9.3	0.01
87	SLU 25	164	-2	3068	0.65	9.38	0.01
87	SLU 26	165	-2	3075	0.61	9.44	0.01
87	SLU 27	163	-2	3058	0.72	9.3	0.01
87	SLU 28	164	-2	3068	0.65	9.38	0.01
87	SLU 29	163	-2	3058	0.72	9.3	0.01
87	SLU 30	164	-2	3068	0.65	9.38	0.01
87	SLU 31	231	-2	3937	0.86	12.59	0.01
87	SLU 32	229	-2	3919	0.97	12.45	0.01
87	SLU 33	230	-2	3930	0.91	12.53	0.01
87	SLU 34	231	-2	3937	0.86	12.59	0.01
87	SLU 35	229	-2	3919	0.97	12.45	0.01
87	SLU 36	230	-2	3930	0.91	12.53	0.01
87	SLU 37	229	-2	3919	0.97	12.45	0.01
87	SLU 38	230	-2	3930	0.91	12.53	0.01
87	SLU 39	257	-3	4289	1.08	13.8	0.01
87	SLU 40	258	-2	4299	1.02	13.89	0.01
87	SLU 41	257	-3	4289	1.08	13.8	0.01
87	SLU 42	258	-2	4299	1.02	13.89	0.01
87	SLU 43	157	-2	3255	0.71	9.45	0.01
87	SLU 44	159	-2	3272	0.61	9.59	0.01
87	SLU 45	157	-2	3255	0.71	9.45	0.01
87	SLU 46	158	-2	3265	0.65	9.53	0.01
87	SLU 47	159	-2	3272	0.61	9.59	0.01
87	SLU 48	157	-2	3255	0.71	9.45	0.01
87	SLU 49	158	-2	3265	0.65	9.53	0.01
87	SLU 50	157	-2	3255	0.71	9.45	0.01
87	SLU 51	158	-2	3265	0.65	9.53	0.01
87	SLU 52	225	-2	4134	0.86	12.74	0.01
87	SLU 53	223	-2	4116	0.97	12.6	0.01
87	SLU 54	224	-2	4127	0.91	12.69	0.01
87	SLU 55	225	-2	4134	0.86	12.74	0.01
87	SLU 56	223	-2	4116	0.97	12.6	0.01
87	SLU 57	224	-2	4127	0.91	12.69	0.01
87	SLU 58	223	-2	4116	0.97	12.6	0.01
87	SLU 59	224	-2	4127	0.91	12.69	0.01
87	SLU 60	251	-3	4486	1.08	13.95	0.01
87	SLU 61	252	-3	4496	1.02	14.04	0.01
87	SLU 62	251	-3	4486	1.08	13.95	0.01
87	SLU 63	252	-3	4496	1.02	14.04	0.01
87	SLU 64	191	-2	3693	0.85	11.05	0.01
87	SLU 65	192	-2	3711	0.74	11.19	0.01
87	SLU 66	191	-2	3693	0.85	11.05	0.01
87	SLU 67	192	-2	3704	0.78	11.14	0.01
87	SLU 68	192	-2	3711	0.74	11.19	0.01
87	SLU 69	191	-2	3693	0.85	11.05	0.01
87	SLU 70	192	-2	3704	0.78	11.14	0.01
87	SLU 71	191	-2	3693	0.85	11.05	0.01
87	SLU 72	192	-2	3704	0.78	11.14	0.01
87	SLU 73	258	-3	4572	0.99	14.35	0.01
87	SLU 74	256	-3	4555	1.1	14.21	0.01
87	SLU 75	257	-3	4565	1.04	14.29	0.01
87	SLU 76	258	-3	4572	0.99	14.35	0.01
87	SLU 77	256	-3	4555	1.1	14.21	0.01
87	SLU 78	257	-3	4565	1.04	14.29	0.01
87	SLU 79	256	-3	4555	1.1	14.21	0.01
87	SLU 80	257	-3	4565	1.04	14.29	0.01
87	SLU 81	285	-3	4924	1.21	15.56	0.01
87	SLU 82	286	-3	4935	1.15	15.64	0.01
87	SLU 83	285	-3	4924	1.21	15.56	0.01
87	SLU 84	286	-3	4935	1.15	15.64	0.01
87	SLE RA 1	139	-2	2745	0.62	8.15	0.01
87	SLE RA 2	140	-2	2756	0.55	8.24	0.01
87	SLE RA 3	139	-2	2745	0.62	8.15	0.01
87	SLE RA 4	140	-2	2751	0.58	8.21	0.01
87	SLE RA 5	140	-2	2756	0.55	8.24	0.01
87	SLE RA 6	139	-2	2745	0.62	8.15	0.01
87	SLE RA 7	140	-2	2751	0.58	8.21	0.01
87	SLE RA 8	139	-2	2745	0.62	8.15	0.01
87	SLE RA 9	140	-2	2751	0.58	8.21	0.01



Nodo Ind.	Cont. N.br.	Reazione a traslazione			Reazione a rotazione		
		x	y	z	x	y	z
87	SLE RA 10	184	-2	3331	0.72	10.35	0.01
87	SLE RA 11	183	-2	3319	0.79	10.25	0.01
87	SLE RA 12	184	-2	3326	0.75	10.31	0.01
87	SLE RA 13	184	-2	3331	0.72	10.35	0.01
87	SLE RA 14	183	-2	3319	0.79	10.25	0.01
87	SLE RA 15	184	-2	3326	0.75	10.31	0.01
87	SLE RA 16	183	-2	3319	0.79	10.25	0.01
87	SLE RA 17	184	-2	3326	0.75	10.31	0.01
87	SLE RA 18	202	-2	3565	0.87	11.15	0.01
87	SLE RA 19	203	-2	3572	0.82	11.21	0.01
87	SLE RA 20	202	-2	3565	0.87	11.15	0.01
87	SLE RA 21	203	-2	3572	0.82	11.21	0.01
87	SLE FR 1	139	-2	2745	0.62	8.15	0.01
87	SLE FR 2	140	-2	2747	0.61	8.17	0.01
87	SLE FR 3	139	-2	2745	0.62	8.15	0.01
87	SLE FR 4	158	-2	2993	0.68	9.07	0.01
87	SLE FR 5	158	-2	2991	0.7	9.05	0.01
87	SLE FR 6	171	-2	3155	0.74	9.65	0.01
87	SLE QP 1	139	-2	2745	0.62	8.15	0.01
87	SLE QP 2	158	-2	2991	0.7	9.05	0.01
87	SLD 1	418	-5	2954	2.6	20.21	0.01
87	SLD 2	418	-5	2954	2.6	20.21	0.01
87	SLD 3	367	3	3168	-0.33	18.42	0.02
87	SLD 4	367	3	3168	-0.33	18.42	0.02
87	SLD 5	313	-15	2655	5.7	15.11	-0.02
87	SLD 6	313	-15	2655	5.7	15.11	-0.02
87	SLD 7	144	12	3369	-4.05	9.15	0.04
87	SLD 8	144	12	3369	-4.05	9.15	0.04
87	SLD 9	172	-16	2613	5.44	8.95	-0.02
87	SLD 10	172	-16	2613	5.44	8.95	-0.02
87	SLD 11	3	11	3327	-4.31	2.99	0.03
87	SLD 12	3	11	3327	-4.31	2.99	0.03
87	SLD 13	-51	-7	2813	1.72	-0.32	-0.01
87	SLD 14	-51	-7	2813	1.72	-0.32	-0.01
87	SLD 15	-101	1	3028	-1.21	-2.11	0.01
87	SLD 16	-101	1	3028	-1.21	-2.11	0.01
87	SLV 1	772	-9	2909	5.26	35.44	0.01
87	SLV 2	772	-9	2909	5.26	35.44	0.01
87	SLV 3	651	11	3419	-1.76	31.17	0.05
87	SLV 4	651	11	3419	-1.76	31.17	0.05
87	SLV 5	526	-33	2192	12.71	23.44	-0.06
87	SLV 6	526	-33	2192	12.71	23.44	-0.06
87	SLV 7	122	31	3894	-10.68	9.21	0.08
87	SLV 8	122	31	3894	-10.68	9.21	0.08
87	SLV 9	194	-35	2088	12.07	8.89	-0.07
87	SLV 10	194	-35	2088	12.07	8.89	-0.07
87	SLV 11	-210	30	3790	-11.31	-5.34	0.07
87	SLV 12	-210	30	3790	-11.31	-5.34	0.07
87	SLV 13	-334	-14	2562	3.15	-13.07	-0.03
87	SLV 14	-334	-14	2562	3.15	-13.07	-0.03
87	SLV 15	-456	5	3073	-3.87	-17.34	0.01
87	SLV 16	-456	5	3073	-3.87	-17.34	0.01
88	SLU 1	78	0	2627	0.2	1.67	0
88	SLU 2	79	0	2644	-0.01	1.64	0
88	SLU 3	78	0	2627	0.2	1.67	0
88	SLU 4	79	0	2637	0.07	1.65	0
88	SLU 5	79	0	2644	-0.01	1.64	0
88	SLU 6	78	0	2627	0.2	1.67	0
88	SLU 7	79	0	2637	0.07	1.65	0
88	SLU 8	78	0	2627	0.2	1.67	0
88	SLU 9	79	0	2637	0.07	1.65	0
88	SLU 10	125	0	3519	0.17	3.29	0
88	SLU 11	125	0	3502	0.39	3.32	0
88	SLU 12	125	0	3512	0.26	3.3	0
88	SLU 13	125	0	3519	0.17	3.29	0
88	SLU 14	125	0	3502	0.39	3.32	0
88	SLU 15	125	0	3512	0.26	3.3	0
88	SLU 16	125	0	3502	0.39	3.32	0
88	SLU 17	125	0	3512	0.26	3.3	0
88	SLU 18	145	0	3877	0.46	4.02	0
88	SLU 19	145	0	3887	0.34	4.01	0
88	SLU 20	145	0	3877	0.46	4.02	0
88	SLU 21	145	0	3887	0.34	4.01	0
88	SLU 22	102	0	3072	0.29	2.51	0
88	SLU 23	102	0	3089	0.08	2.48	0
88	SLU 24	102	0	3072	0.29	2.51	0
88	SLU 25	102	0	3082	0.17	2.49	0
88	SLU 26	102	0	3089	0.08	2.48	0
88	SLU 27	102	0	3072	0.29	2.51	0
88	SLU 28	102	0	3082	0.17	2.49	0
88	SLU 29	102	0	3072	0.29	2.51	0
88	SLU 30	102	0	3082	0.17	2.49	0
88	SLU 31	149	0	3964	0.27	4.13	0
88	SLU 32	148	0	3947	0.48	4.16	0
88	SLU 33	149	0	3957	0.35	4.14	0
88	SLU 34	149	0	3964	0.27	4.13	0
88	SLU 35	148	0	3947	0.48	4.16	0
88	SLU 36	149	0	3957	0.35	4.14	0



Nodo Ind.	Cont. N.br.	Reazione a traslazione			Reazione a rotazione		
		x	y	z	x	y	z
88	SLU 37	148	0	3947	0.48	4.16	0
88	SLU 38	149	0	3957	0.35	4.14	0
88	SLU 39	168	0	4322	0.56	4.86	0
88	SLU 40	169	0	4332	0.43	4.85	0
88	SLU 41	168	0	4322	0.56	4.86	0
88	SLU 42	169	0	4332	0.43	4.85	0
88	SLU 43	94	0	3262	0.23	1.88	0
88	SLU 44	94	0	3279	0.01	1.86	0
88	SLU 45	94	0	3262	0.23	1.88	0
88	SLU 46	94	0	3273	0.1	1.87	0
88	SLU 47	94	0	3279	0.01	1.86	0
88	SLU 48	94	0	3262	0.23	1.88	0
88	SLU 49	94	0	3273	0.1	1.87	0
88	SLU 50	94	0	3262	0.23	1.88	0
88	SLU 51	94	0	3273	0.1	1.87	0
88	SLU 52	141	0	4154	0.2	3.5	0
88	SLU 53	140	0	4137	0.41	3.53	0
88	SLU 54	140	0	4147	0.29	3.52	0
88	SLU 55	141	0	4154	0.2	3.5	0
88	SLU 56	140	0	4137	0.41	3.53	0
88	SLU 57	140	0	4147	0.29	3.52	0
88	SLU 58	140	0	4137	0.41	3.53	0
88	SLU 59	140	0	4147	0.29	3.52	0
88	SLU 60	160	0	4512	0.49	4.24	0
88	SLU 61	160	0	4522	0.36	4.22	0
88	SLU 62	160	0	4512	0.49	4.24	0
88	SLU 63	160	0	4522	0.36	4.22	0
88	SLU 64	117	0	3708	0.32	2.72	0
88	SLU 65	118	0	3725	0.11	2.69	0
88	SLU 66	117	0	3708	0.32	2.72	0
88	SLU 67	118	0	3718	0.19	2.7	0
88	SLU 68	118	0	3725	0.11	2.69	0
88	SLU 69	117	0	3708	0.32	2.72	0
88	SLU 70	118	0	3718	0.19	2.7	0
88	SLU 71	117	0	3708	0.32	2.72	0
88	SLU 72	118	0	3718	0.19	2.7	0
88	SLU 73	164	0	4599	0.29	4.34	0
88	SLU 74	164	0	4582	0.51	4.37	0
88	SLU 75	164	0	4593	0.38	4.35	0
88	SLU 76	164	0	4599	0.29	4.34	0
88	SLU 77	164	0	4582	0.51	4.37	0
88	SLU 78	164	0	4593	0.38	4.35	0
88	SLU 79	164	0	4582	0.51	4.37	0
88	SLU 80	164	0	4593	0.38	4.35	0
88	SLU 81	184	0	4957	0.59	5.08	0
88	SLU 82	184	0	4967	0.46	5.06	0
88	SLU 83	184	0	4957	0.59	5.08	0
88	SLU 84	184	0	4967	0.46	5.06	0
88	SLE RA 1	85	0	2754	0.23	1.91	0
88	SLE RA 2	85	0	2766	0.08	1.89	0
88	SLE RA 3	85	0	2754	0.23	1.91	0
88	SLE RA 4	85	0	2761	0.14	1.9	0
88	SLE RA 5	85	0	2766	0.08	1.89	0
88	SLE RA 6	85	0	2754	0.23	1.91	0
88	SLE RA 7	85	0	2761	0.14	1.9	0
88	SLE RA 8	85	0	2754	0.23	1.91	0
88	SLE RA 9	85	0	2761	0.14	1.9	0
88	SLE RA 10	116	0	3349	0.21	2.99	0
88	SLE RA 11	116	0	3337	0.35	3.01	0
88	SLE RA 12	116	0	3344	0.27	3	0
88	SLE RA 13	116	0	3349	0.21	2.99	0
88	SLE RA 14	116	0	3337	0.35	3.01	0
88	SLE RA 15	116	0	3344	0.27	3	0
88	SLE RA 16	116	0	3337	0.35	3.01	0
88	SLE RA 17	116	0	3344	0.27	3	0
88	SLE RA 18	129	0	3587	0.4	3.48	0
88	SLE RA 19	129	0	3594	0.32	3.47	0
88	SLE RA 20	129	0	3587	0.4	3.48	0
88	SLE RA 21	129	0	3594	0.32	3.47	0
88	SLE FR 1	85	0	2754	0.23	1.91	0
88	SLE FR 2	85	0	2756	0.2	1.9	0
88	SLE FR 3	85	0	2754	0.23	1.91	0
88	SLE FR 4	98	0	3006	0.25	2.38	0
88	SLE FR 5	98	0	3004	0.28	2.38	0
88	SLE FR 6	107	0	3171	0.32	2.69	0
88	SLE QP 1	85	0	2754	0.23	1.91	0
88	SLE QP 2	98	0	3004	0.28	2.38	0
88	SLD 1	355	-4	2997	3.46	13.39	0
88	SLD 2	355	-4	2997	3.46	13.39	0
88	SLD 3	311	7	3136	-1.44	11.78	-0.01
88	SLD 4	311	7	3136	-1.44	11.78	-0.01
88	SLD 5	241	-19	2791	8.66	8.13	0
88	SLD 6	241	-19	2791	8.66	8.13	0
88	SLD 7	96	20	3254	-7.66	2.75	-0.01
88	SLD 8	96	20	3254	-7.66	2.75	-0.01
88	SLD 9	100	-20	2754	8.22	2.01	0
88	SLD 10	100	-20	2754	8.22	2.01	0
88	SLD 11	-45	19	3217	-8.1	-3.37	-0.01



Nodo Ind.	Cont. N.br.	Reazione a traslazione			Reazione a rotazione		
		x	y	z	x	y	z
88	SLD 12	-45	19	3217	-8.1	-3.37	-0.01
88	SLD 13	-115	-7	2873	2	-7.02	0
88	SLD 14	-115	-7	2873	2	-7.02	0
88	SLD 15	-158	4	3012	-2.9	-8.63	0
88	SLD 16	-158	4	3012	-2.9	-8.63	0
88	SLV 1	704	-10	2992	7.93	28.39	-0.01
88	SLV 2	704	-10	2992	7.93	28.39	-0.01
88	SLV 3	600	18	3323	-3.84	24.53	-0.01
88	SLV 4	600	18	3323	-3.84	24.53	-0.01
88	SLV 5	438	-46	2499	20.42	16.02	0.01
88	SLV 6	438	-46	2499	20.42	16.02	0.01
88	SLV 7	91	48	3601	-18.8	3.18	-0.02
88	SLV 8	91	48	3601	-18.8	3.18	-0.02
88	SLV 9	105	-48	2407	19.36	1.58	0.01
88	SLV 10	105	-48	2407	19.36	1.58	0.01
88	SLV 11	-241	46	3509	-19.86	-11.26	-0.01
88	SLV 12	-241	46	3509	-19.86	-11.26	-0.01
88	SLV 13	-404	-17	2685	4.4	-19.78	0.01
88	SLV 14	-404	-17	2685	4.4	-19.78	0.01
88	SLV 15	-508	11	3016	-7.37	-23.63	0
88	SLV 16	-508	11	3016	-7.37	-23.63	0
89	SLU 1	85	0	2628	0.02	5.13	0
89	SLU 2	87	1	2644	-0.26	5.24	0
89	SLU 3	85	0	2628	0.02	5.13	0
89	SLU 4	86	1	2637	-0.15	5.2	0
89	SLU 5	87	1	2644	-0.26	5.24	0
89	SLU 6	85	0	2628	0.02	5.13	0
89	SLU 7	86	1	2637	-0.15	5.2	0
89	SLU 8	85	0	2628	0.02	5.13	0
89	SLU 9	86	1	2637	-0.15	5.2	0
89	SLU 10	125	1	3527	-0.1	7.13	0
89	SLU 11	123	0	3511	0.18	7.02	0
89	SLU 12	124	1	3521	0.01	7.08	0
89	SLU 13	125	1	3527	-0.1	7.13	0
89	SLU 14	123	0	3511	0.18	7.02	0
89	SLU 15	124	1	3521	0.01	7.08	0
89	SLU 16	123	0	3511	0.18	7.02	0
89	SLU 17	124	1	3521	0.01	7.08	0
89	SLU 18	140	0	3889	0.25	7.83	0
89	SLU 19	140	0	3899	0.08	7.89	0
89	SLU 20	140	0	3889	0.25	7.83	0
89	SLU 21	140	0	3899	0.08	7.89	0
89	SLU 22	105	0	3077	0.11	6.09	0
89	SLU 23	106	1	3093	-0.18	6.2	0
89	SLU 24	105	0	3077	0.11	6.09	0
89	SLU 25	105	1	3087	-0.07	6.16	0
89	SLU 26	106	1	3093	-0.18	6.2	0
89	SLU 27	105	0	3077	0.11	6.09	0
89	SLU 28	105	1	3087	-0.07	6.16	0
89	SLU 29	105	0	3077	0.11	6.09	0
89	SLU 30	105	1	3087	-0.07	6.16	0
89	SLU 31	144	1	3977	-0.02	8.09	0
89	SLU 32	143	0	3960	0.27	7.98	0
89	SLU 33	144	0	3970	0.09	8.04	0
89	SLU 34	144	1	3977	-0.02	8.09	0
89	SLU 35	143	0	3960	0.27	7.98	0
89	SLU 36	144	0	3970	0.09	8.04	0
89	SLU 37	143	0	3960	0.27	7.98	0
89	SLU 38	144	0	3970	0.09	8.04	0
89	SLU 39	159	0	4339	0.33	8.79	0
89	SLU 40	160	0	4349	0.16	8.85	0
89	SLU 41	159	0	4339	0.33	8.79	0
89	SLU 42	160	0	4349	0.16	8.85	0
89	SLU 43	104	0	3262	0	6.34	0
89	SLU 44	106	1	3278	-0.28	6.45	0
89	SLU 45	104	0	3262	0	6.34	0
89	SLU 46	105	1	3272	-0.17	6.41	0
89	SLU 47	106	1	3278	-0.28	6.45	0
89	SLU 48	104	0	3262	0	6.34	0
89	SLU 49	105	1	3272	-0.17	6.41	0
89	SLU 50	104	0	3262	0	6.34	0
89	SLU 51	105	1	3272	-0.17	6.41	0
89	SLU 52	144	1	4161	-0.12	8.34	0
89	SLU 53	142	0	4145	0.16	8.23	0
89	SLU 54	143	1	4155	-0.01	8.3	0
89	SLU 55	144	1	4161	-0.12	8.34	0
89	SLU 56	142	0	4145	0.16	8.23	0
89	SLU 57	143	1	4155	-0.01	8.3	0
89	SLU 58	142	0	4145	0.16	8.23	0
89	SLU 59	143	1	4155	-0.01	8.3	0
89	SLU 60	159	0	4524	0.23	9.04	0
89	SLU 61	159	1	4533	0.06	9.1	0
89	SLU 62	159	0	4524	0.23	9.04	0
89	SLU 63	159	1	4533	0.06	9.1	0
89	SLU 64	124	0	3711	0.09	7.3	0
89	SLU 65	125	1	3728	-0.2	7.41	0
89	SLU 66	124	0	3711	0.09	7.3	0
89	SLU 67	124	1	3721	-0.09	7.37	0



Nodo Ind.	Cont. N.br.	Reazione a traslazione			Reazione a rotazione		
		x	y	z	x	y	z
89	SLU 68	125	1	3728	-0.2	7.41	0
89	SLU 69	124	0	3711	0.09	7.3	0
89	SLU 70	124	1	3721	-0.09	7.37	0
89	SLU 71	124	0	3711	0.09	7.3	0
89	SLU 72	124	1	3721	-0.09	7.37	0
89	SLU 73	163	1	4611	-0.04	9.3	0
89	SLU 74	162	0	4595	0.24	9.19	0
89	SLU 75	162	1	4604	0.07	9.25	0
89	SLU 76	163	1	4611	-0.04	9.3	0
89	SLU 77	162	0	4595	0.24	9.19	0
89	SLU 78	162	1	4604	0.07	9.25	0
89	SLU 79	162	0	4595	0.24	9.19	0
89	SLU 80	162	1	4604	0.07	9.25	0
89	SLU 81	178	0	4973	0.31	10	0
89	SLU 82	179	1	4983	0.14	10.06	0
89	SLU 83	178	0	4973	0.31	10	0
89	SLU 84	179	1	4983	0.14	10.06	0
89	SLE RA 1	91	0	2756	0.05	5.41	0
89	SLE RA 2	92	1	2767	-0.14	5.48	0
89	SLE RA 3	91	0	2756	0.05	5.41	0
89	SLE RA 4	91	1	2763	-0.07	5.45	0
89	SLE RA 5	92	1	2767	-0.14	5.48	0
89	SLE RA 6	91	0	2756	0.05	5.41	0
89	SLE RA 7	91	1	2763	-0.07	5.45	0
89	SLE RA 8	91	0	2756	0.05	5.41	0
89	SLE RA 9	91	1	2763	-0.07	5.45	0
89	SLE RA 10	117	1	3356	-0.04	6.74	0
89	SLE RA 11	116	0	3345	0.15	6.66	0
89	SLE RA 12	117	0	3351	0.04	6.71	0
89	SLE RA 13	117	1	3356	-0.04	6.74	0
89	SLE RA 14	116	0	3345	0.15	6.66	0
89	SLE RA 15	117	0	3351	0.04	6.71	0
89	SLE RA 16	116	0	3345	0.15	6.66	0
89	SLE RA 17	117	0	3351	0.04	6.71	0
89	SLE RA 18	127	0	3597	0.2	7.2	0
89	SLE RA 19	128	0	3604	0.09	7.25	0
89	SLE RA 20	127	0	3597	0.2	7.2	0
89	SLE RA 21	128	0	3604	0.09	7.25	0
89	SLE FR 1	91	0	2756	0.05	5.41	0
89	SLE FR 2	91	0	2758	0.01	5.42	0
89	SLE FR 3	91	0	2756	0.05	5.41	0
89	SLE FR 4	102	0	3011	0.06	5.96	0
89	SLE FR 5	102	0	3008	0.09	5.95	0
89	SLE FR 6	109	0	3177	0.12	6.31	0
89	SLE QP 1	91	0	2756	0.05	5.41	0
89	SLE QP 2	102	0	3008	0.09	5.95	0
89	SLD 1	357	-6	3016	3.57	17.05	0
89	SLD 2	357	-6	3016	3.57	17.05	0
89	SLD 3	320	4	3118	-1.49	15.53	-0.01
89	SLD 4	320	4	3118	-1.49	15.53	-0.01
89	SLD 5	234	-16	2856	8.81	11.58	0.01
89	SLD 6	234	-16	2856	8.81	11.58	0.01
89	SLD 7	111	16	3196	-8.06	6.52	-0.01
89	SLD 8	111	16	3196	-8.06	6.52	-0.01
89	SLD 9	92	-16	2821	8.24	5.37	0.01
89	SLD 10	92	-16	2821	8.24	5.37	0.01
89	SLD 11	-31	17	3161	-8.63	0.31	-0.01
89	SLD 12	-31	17	3161	-8.63	0.31	-0.01
89	SLD 13	-117	-3	2899	1.67	-3.64	0.01
89	SLD 14	-117	-3	2899	1.67	-3.64	0.01
89	SLD 15	-154	7	3001	-3.39	-5.16	0
89	SLD 16	-154	7	3001	-3.39	-5.16	0
89	SLV 1	705	-15	3032	8.46	32.21	-0.01
89	SLV 2	705	-15	3032	8.46	32.21	-0.01
89	SLV 3	617	9	3274	-3.68	28.59	-0.02
89	SLV 4	617	9	3274	-3.68	28.59	-0.02
89	SLV 5	417	-40	2649	21.02	19.31	0.01
89	SLV 6	417	-40	2649	21.02	19.31	0.01
89	SLV 7	122	39	3455	-19.46	7.25	-0.02
89	SLV 8	122	39	3455	-19.46	7.25	-0.02
89	SLV 9	81	-38	2562	19.64	4.64	0.02
89	SLV 10	81	-38	2562	19.64	4.64	0.02
89	SLV 11	-213	41	3368	-20.83	-7.42	-0.01
89	SLV 12	-213	41	3368	-20.83	-7.42	-0.01
89	SLV 13	-413	-8	2743	3.87	-16.7	0.02
89	SLV 14	-413	-8	2743	3.87	-16.7	0.02
89	SLV 15	-502	15	2984	-8.27	-20.32	0.01
89	SLV 16	-502	15	2984	-8.27	-20.32	0.01
90	SLU 1	40	0	2627	-0.01	0.61	0
90	SLU 2	41	1	2643	-0.32	0.6	0
90	SLU 3	40	0	2627	-0.01	0.61	0
90	SLU 4	41	1	2637	-0.2	0.61	0
90	SLU 5	41	1	2643	-0.32	0.6	0
90	SLU 6	40	0	2627	-0.01	0.61	0
90	SLU 7	41	1	2637	-0.2	0.61	0
90	SLU 8	40	0	2627	-0.01	0.61	0
90	SLU 9	41	1	2637	-0.2	0.61	0
90	SLU 10	62	1	3531	-0.17	1.26	0



Nodo Ind.	Cont. N.br.	Reazione a traslazione			Reazione a rotazione		
		x	y	z	x	y	z
90	SLU 11	61	0	3515	0.14	1.27	0
90	SLU 12	61	1	3524	-0.04	1.26	0
90	SLU 13	62	1	3531	-0.17	1.26	0
90	SLU 14	61	0	3515	0.14	1.27	0
90	SLU 15	61	1	3524	-0.04	1.26	0
90	SLU 16	61	0	3515	0.14	1.27	0
90	SLU 17	61	1	3524	-0.04	1.26	0
90	SLU 18	70	0	3895	0.21	1.55	0
90	SLU 19	70	0	3905	0.02	1.54	0
90	SLU 20	70	0	3895	0.21	1.55	0
90	SLU 21	70	0	3905	0.02	1.54	0
90	SLU 22	51	0	3079	0.07	0.94	0
90	SLU 23	51	1	3095	-0.24	0.94	0
90	SLU 24	51	0	3079	0.07	0.94	0
90	SLU 25	51	1	3089	-0.12	0.94	0
90	SLU 26	51	1	3095	-0.24	0.94	0
90	SLU 27	51	0	3079	0.07	0.94	0
90	SLU 28	51	1	3089	-0.12	0.94	0
90	SLU 29	51	0	3079	0.07	0.94	0
90	SLU 30	51	1	3089	-0.12	0.94	0
90	SLU 31	72	1	3982	-0.09	1.59	0
90	SLU 32	71	0	3967	0.22	1.6	0
90	SLU 33	72	0	3976	0.03	1.59	0
90	SLU 34	72	1	3982	-0.09	1.59	0
90	SLU 35	71	0	3967	0.22	1.6	0
90	SLU 36	72	0	3976	0.03	1.59	0
90	SLU 37	71	0	3967	0.22	1.6	0
90	SLU 38	72	0	3976	0.03	1.59	0
90	SLU 39	80	0	4347	0.28	1.88	0
90	SLU 40	80	0	4356	0.1	1.87	0
90	SLU 41	80	0	4347	0.28	1.88	0
90	SLU 42	80	0	4356	0.1	1.87	0
90	SLU 43	49	0	3261	-0.04	0.68	0
90	SLU 44	50	1	3277	-0.35	0.67	0
90	SLU 45	49	0	3261	-0.04	0.68	0
90	SLU 46	49	1	3270	-0.23	0.68	0
90	SLU 47	50	1	3277	-0.35	0.67	0
90	SLU 48	49	0	3261	-0.04	0.68	0
90	SLU 49	49	1	3270	-0.23	0.68	0
90	SLU 50	49	0	3261	-0.04	0.68	0
90	SLU 51	49	1	3270	-0.23	0.68	0
90	SLU 52	70	1	4164	-0.2	1.33	0
90	SLU 53	70	0	4148	0.11	1.34	0
90	SLU 54	70	1	4158	-0.07	1.33	0
90	SLU 55	70	1	4164	-0.2	1.33	0
90	SLU 56	70	0	4148	0.11	1.34	0
90	SLU 57	70	1	4158	-0.07	1.33	0
90	SLU 58	70	0	4148	0.11	1.34	0
90	SLU 59	70	1	4158	-0.07	1.33	0
90	SLU 60	78	0	4529	0.18	1.62	0
90	SLU 61	79	1	4538	-0.01	1.61	0
90	SLU 62	78	0	4529	0.18	1.62	0
90	SLU 63	79	1	4538	-0.01	1.61	0
90	SLU 64	59	0	3712	0.04	1.01	0
90	SLU 65	60	1	3728	-0.27	1	0
90	SLU 66	59	0	3712	0.04	1.01	0
90	SLU 67	60	1	3722	-0.15	1.01	0
90	SLU 68	60	1	3728	-0.27	1	0
90	SLU 69	59	0	3712	0.04	1.01	0
90	SLU 70	60	1	3722	-0.15	1.01	0
90	SLU 71	59	0	3712	0.04	1.01	0
90	SLU 72	60	1	3722	-0.15	1.01	0
90	SLU 73	80	1	4616	-0.12	1.66	0
90	SLU 74	80	0	4600	0.19	1.67	0
90	SLU 75	80	1	4609	0	1.66	0
90	SLU 76	80	1	4616	-0.12	1.66	0
90	SLU 77	80	0	4600	0.19	1.67	0
90	SLU 78	80	1	4609	0	1.66	0
90	SLU 79	80	0	4600	0.19	1.67	0
90	SLU 80	80	1	4609	0	1.66	0
90	SLU 81	89	0	4980	0.25	1.95	0
90	SLU 82	89	1	4990	0.07	1.94	0
90	SLU 83	89	0	4980	0.25	1.95	0
90	SLU 84	89	1	4990	0.07	1.94	0
90	SLE RA 1	43	0	2756	0.01	0.71	0
90	SLE RA 2	44	1	2767	-0.19	0.7	0
90	SLE RA 3	43	0	2756	0.01	0.71	0
90	SLE RA 4	44	1	2763	-0.11	0.7	0
90	SLE RA 5	44	1	2767	-0.19	0.7	0
90	SLE RA 6	43	0	2756	0.01	0.71	0
90	SLE RA 7	44	1	2763	-0.11	0.7	0
90	SLE RA 8	43	0	2756	0.01	0.71	0
90	SLE RA 9	44	1	2763	-0.11	0.7	0
90	SLE RA 10	57	1	3359	-0.09	1.14	0
90	SLE RA 11	57	0	3348	0.11	1.14	0
90	SLE RA 12	57	0	3354	-0.01	1.14	0
90	SLE RA 13	57	1	3359	-0.09	1.14	0
90	SLE RA 14	57	0	3348	0.11	1.14	0



Nodo Ind.	Cont. N.br.	Reazione a traslazione			Reazione a rotazione		
		x	y	z	x	y	z
90	SLE RA 15	57	0	3354	-0.01	1.14	0
90	SLE RA 16	57	0	3348	0.11	1.14	0
90	SLE RA 17	57	0	3354	-0.01	1.14	0
90	SLE RA 18	63	0	3602	0.16	1.33	0
90	SLE RA 19	63	0	3608	0.03	1.33	0
90	SLE RA 20	63	0	3602	0.16	1.33	0
90	SLE RA 21	63	0	3608	0.03	1.33	0
90	SLE FR 1	43	0	2756	0.01	0.71	0
90	SLE FR 2	44	0	2759	-0.03	0.71	0
90	SLE FR 3	43	0	2756	0.01	0.71	0
90	SLE FR 4	49	0	3012	0.01	0.89	0
90	SLE FR 5	49	0	3010	0.06	0.89	0
90	SLE FR 6	53	0	3179	0.08	1.02	0
90	SLE QP 1	43	0	2756	0.01	0.71	0
90	SLE QP 2	49	0	3010	0.06	0.89	0
90	SLD 1	302	-4	3028	3.3	11.82	0
90	SLD 2	302	-4	3028	3.3	11.82	0
90	SLD 3	271	2	3108	-0.84	10.55	0
90	SLD 4	271	2	3108	-0.84	10.55	0
90	SLD 5	172	-11	2894	7.32	6.1	0
90	SLD 6	172	-11	2894	7.32	6.1	0
90	SLD 7	69	11	3161	-6.5	1.86	-0.01
90	SLD 8	69	11	3161	-6.5	1.86	-0.01
90	SLD 9	30	-10	2859	6.61	-0.08	0.01
90	SLD 10	30	-10	2859	6.61	-0.08	0.01
90	SLD 11	-74	12	3126	-7.21	-4.31	0
90	SLD 12	-74	12	3126	-7.21	-4.31	0
90	SLD 13	-172	-1	2912	0.95	-8.76	0.01
90	SLD 14	-172	-1	2912	0.95	-8.76	0.01
90	SLD 15	-203	5	2992	-3.19	-10.03	0
90	SLD 16	-203	5	2992	-3.19	-10.03	0
90	SLV 1	646	-11	3060	7.86	26.72	0
90	SLV 2	646	-11	3060	7.86	26.72	0
90	SLV 3	572	5	3250	-2.06	23.68	-0.01
90	SLV 4	572	5	3250	-2.06	23.68	-0.01
90	SLV 5	341	-27	2737	17.45	13.24	0.01
90	SLV 6	341	-27	2737	17.45	13.24	0.01
90	SLV 7	93	25	3371	-15.63	3.13	-0.01
90	SLV 8	93	25	3371	-15.63	3.13	-0.01
90	SLV 9	5	-24	2650	15.74	-1.34	0.02
90	SLV 10	5	-24	2650	15.74	-1.34	0.02
90	SLV 11	-242	27	3283	-17.33	-11.46	-0.01
90	SLV 12	-242	27	3283	-17.33	-11.46	-0.01
90	SLV 13	-473	-4	2770	2.17	-21.89	0.01
90	SLV 14	-473	-4	2770	2.17	-21.89	0.01
90	SLV 15	-548	12	2960	-7.75	-24.93	0
90	SLV 16	-548	12	2960	-7.75	-24.93	0
91	SLU 1	38	0	2614	0.07	2.72	0
91	SLU 2	39	0	2629	-0.21	2.8	0
91	SLU 3	38	0	2614	0.07	2.72	0
91	SLU 4	38	0	2623	-0.09	2.77	0
91	SLU 5	39	0	2629	-0.21	2.8	0
91	SLU 6	38	0	2614	0.07	2.72	0
91	SLU 7	38	0	2623	-0.09	2.77	0
91	SLU 8	38	0	2614	0.07	2.72	0
91	SLU 9	38	0	2623	-0.09	2.77	0
91	SLU 10	51	0	3513	-0.06	3.55	0
91	SLU 11	50	0	3498	0.23	3.47	0
91	SLU 12	50	0	3507	0.06	3.52	0
91	SLU 13	51	0	3513	-0.06	3.55	0
91	SLU 14	50	0	3498	0.23	3.47	0
91	SLU 15	50	0	3507	0.06	3.52	0
91	SLU 16	50	0	3498	0.23	3.47	0
91	SLU 17	50	0	3507	0.06	3.52	0
91	SLU 18	55	0	3877	0.29	3.79	0
91	SLU 19	55	0	3887	0.12	3.84	0
91	SLU 20	55	0	3877	0.29	3.79	0
91	SLU 21	55	0	3887	0.12	3.84	0
91	SLU 22	44	0	3064	0.15	3.1	0
91	SLU 23	45	0	3079	-0.13	3.18	0
91	SLU 24	44	0	3064	0.15	3.1	0
91	SLU 25	44	0	3073	-0.02	3.15	0
91	SLU 26	45	0	3079	-0.13	3.18	0
91	SLU 27	44	0	3064	0.15	3.1	0
91	SLU 28	44	0	3073	-0.02	3.15	0
91	SLU 29	44	0	3064	0.15	3.1	0
91	SLU 30	44	0	3073	-0.02	3.15	0
91	SLU 31	57	0	3964	0.02	3.93	0
91	SLU 32	56	0	3948	0.3	3.85	0
91	SLU 33	56	0	3958	0.13	3.9	0
91	SLU 34	57	0	3964	0.02	3.93	0
91	SLU 35	56	0	3948	0.3	3.85	0
91	SLU 36	56	0	3958	0.13	3.9	0
91	SLU 37	56	0	3948	0.3	3.85	0
91	SLU 38	56	0	3958	0.13	3.9	0
91	SLU 39	61	0	4328	0.37	4.17	0
91	SLU 40	61	0	4337	0.2	4.22	0
91	SLU 41	61	0	4328	0.37	4.17	0



Nodo Ind.	Cont. N.br.	Reazione a traslazione			Reazione a rotazione		
		x	y	z	x	y	z
91	SLU 42	61	0	4337	0.2	4.22	0
91	SLU 43	47	0	3243	0.07	3.41	0
91	SLU 44	48	1	3259	-0.21	3.48	0
91	SLU 45	47	0	3243	0.07	3.41	0
91	SLU 46	48	0	3252	-0.1	3.45	0
91	SLU 47	48	1	3259	-0.21	3.48	0
91	SLU 48	47	0	3243	0.07	3.41	0
91	SLU 49	48	0	3252	-0.1	3.45	0
91	SLU 50	47	0	3243	0.07	3.41	0
91	SLU 51	48	0	3252	-0.1	3.45	0
91	SLU 52	60	0	4143	-0.06	4.23	0
91	SLU 53	59	0	4128	0.22	4.16	0
91	SLU 54	60	0	4137	0.05	4.2	0
91	SLU 55	60	0	4143	-0.06	4.23	0
91	SLU 56	59	0	4128	0.22	4.16	0
91	SLU 57	60	0	4137	0.05	4.2	0
91	SLU 58	59	0	4128	0.22	4.16	0
91	SLU 59	60	0	4137	0.05	4.2	0
91	SLU 60	64	0	4507	0.29	4.48	0
91	SLU 61	65	0	4516	0.12	4.52	0
91	SLU 62	64	0	4507	0.29	4.48	0
91	SLU 63	65	0	4516	0.12	4.52	0
91	SLU 64	53	0	3693	0.15	3.79	0
91	SLU 65	54	0	3709	-0.13	3.86	0
91	SLU 66	53	0	3693	0.15	3.79	0
91	SLU 67	54	0	3703	-0.02	3.83	0
91	SLU 68	54	0	3709	-0.13	3.86	0
91	SLU 69	53	0	3693	0.15	3.79	0
91	SLU 70	54	0	3703	-0.02	3.83	0
91	SLU 71	53	0	3693	0.15	3.79	0
91	SLU 72	54	0	3703	-0.02	3.83	0
91	SLU 73	66	0	4593	0.02	4.61	0
91	SLU 74	65	0	4578	0.3	4.54	0
91	SLU 75	66	0	4587	0.13	4.58	0
91	SLU 76	66	0	4593	0.02	4.61	0
91	SLU 77	65	0	4578	0.3	4.54	0
91	SLU 78	66	0	4587	0.13	4.58	0
91	SLU 79	65	0	4578	0.3	4.54	0
91	SLU 80	66	0	4587	0.13	4.58	0
91	SLU 81	70	0	4957	0.36	4.86	0
91	SLU 82	71	0	4966	0.19	4.9	0
91	SLU 83	70	0	4957	0.36	4.86	0
91	SLU 84	71	0	4966	0.19	4.9	0
91	SLE RA 1	40	0	2742	0.1	2.83	0
91	SLE RA 2	40	0	2752	-0.09	2.88	0
91	SLE RA 3	40	0	2742	0.1	2.83	0
91	SLE RA 4	40	0	2748	-0.02	2.86	0
91	SLE RA 5	40	0	2752	-0.09	2.88	0
91	SLE RA 6	40	0	2742	0.1	2.83	0
91	SLE RA 7	40	0	2748	-0.02	2.86	0
91	SLE RA 8	40	0	2742	0.1	2.83	0
91	SLE RA 9	40	0	2748	-0.02	2.86	0
91	SLE RA 10	48	0	3342	0.01	3.38	0
91	SLE RA 11	47	0	3332	0.2	3.33	0
91	SLE RA 12	48	0	3338	0.08	3.36	0
91	SLE RA 13	48	0	3342	0.01	3.38	0
91	SLE RA 14	47	0	3332	0.2	3.33	0
91	SLE RA 15	48	0	3338	0.08	3.36	0
91	SLE RA 16	47	0	3332	0.2	3.33	0
91	SLE RA 17	48	0	3338	0.08	3.36	0
91	SLE RA 18	51	0	3585	0.24	3.54	0
91	SLE RA 19	51	0	3591	0.13	3.57	0
91	SLE RA 20	51	0	3585	0.24	3.54	0
91	SLE RA 21	51	0	3591	0.13	3.57	0
91	SLE FR 1	40	0	2742	0.1	2.83	0
91	SLE FR 2	40	0	2744	0.06	2.84	0
91	SLE FR 3	40	0	2742	0.1	2.83	0
91	SLE FR 4	43	0	2997	0.1	3.05	0
91	SLE FR 5	43	0	2995	0.14	3.04	0
91	SLE FR 6	45	0	3163	0.17	3.19	0
91	SLE QP 1	40	0	2742	0.1	2.83	0
91	SLE QP 2	43	0	2995	0.14	3.04	0
91	SLD 1	295	-4	3021	0.09	14.03	0
91	SLD 2	295	-4	3021	0.09	14.03	0
91	SLD 3	268	0	3090	2.97	12.89	-0.01
91	SLD 4	268	0	3090	2.97	12.89	-0.01
91	SLD 5	159	-6	2898	-4.24	8.07	0.01
91	SLD 6	159	-6	2898	-4.24	8.07	0.01
91	SLD 7	70	5	3128	5.35	4.27	-0.01
91	SLD 8	70	5	3128	5.35	4.27	-0.01
91	SLD 9	16	-5	2862	-5.07	1.82	0.01
91	SLD 10	16	-5	2862	-5.07	1.82	0.01
91	SLD 11	-74	6	3092	4.52	-1.98	-0.01
91	SLD 12	-74	6	3092	4.52	-1.98	-0.01
91	SLD 13	-182	0	2900	-2.69	-6.8	0.01
91	SLD 14	-182	0	2900	-2.69	-6.8	0.01
91	SLD 15	-209	4	2969	0.19	-7.94	0
91	SLD 16	-209	4	2969	0.19	-7.94	0



Nodo Ind.	Cont. N.br.	Reazione a traslazione			Reazione a rotazione		
		x	y	z	x	y	z
91	SLV 1	639	-9	3064	0.07	29.03	-0.01
91	SLV 2	639	-9	3064	0.07	29.03	-0.01
91	SLV 3	575	-1	3227	6.92	26.31	-0.02
91	SLV 4	575	-1	3227	6.92	26.31	-0.02
91	SLV 5	319	-15	2768	-10.28	14.96	0.02
91	SLV 6	319	-15	2768	-10.28	14.96	0.02
91	SLV 7	105	12	3312	12.57	5.9	-0.03
91	SLV 8	105	12	3312	12.57	5.9	-0.03
91	SLV 9	-19	-12	2678	-12.29	0.19	0.03
91	SLV 10	-19	-12	2678	-12.29	0.19	0.03
91	SLV 11	-234	15	3222	10.56	-8.87	-0.02
91	SLV 12	-234	15	3222	10.56	-8.87	-0.02
91	SLV 13	-489	1	2763	-6.64	-20.22	0.02
91	SLV 14	-489	1	2763	-6.64	-20.22	0.02
91	SLV 15	-553	9	2926	0.21	-22.94	0.01
91	SLV 16	-553	9	2926	0.21	-22.94	0.01
92	SLU 1	2	0	2594	0.25	-0.59	0
92	SLU 2	2	0	2609	0.04	-0.6	0
92	SLU 3	2	0	2594	0.25	-0.59	0
92	SLU 4	2	0	2603	0.12	-0.6	0
92	SLU 5	2	0	2609	0.04	-0.6	0
92	SLU 6	2	0	2594	0.25	-0.59	0
92	SLU 7	2	0	2603	0.12	-0.6	0
92	SLU 8	2	0	2594	0.25	-0.59	0
92	SLU 9	2	0	2603	0.12	-0.6	0
92	SLU 10	-1	0	3485	0.19	-0.82	0
92	SLU 11	-1	-1	3470	0.4	-0.81	0
92	SLU 12	-1	0	3479	0.27	-0.82	0
92	SLU 13	-1	0	3485	0.19	-0.82	0
92	SLU 14	-1	-1	3470	0.4	-0.81	0
92	SLU 15	-1	0	3479	0.27	-0.82	0
92	SLU 16	-1	-1	3470	0.4	-0.81	0
92	SLU 17	-1	0	3479	0.27	-0.82	0
92	SLU 18	-2	-1	3845	0.46	-0.91	0
92	SLU 19	-2	0	3854	0.34	-0.91	0
92	SLU 20	-2	-1	3845	0.46	-0.91	0
92	SLU 21	-2	0	3854	0.34	-0.91	0
92	SLU 22	0	0	3040	0.32	-0.71	0
92	SLU 23	1	0	3054	0.11	-0.71	0
92	SLU 24	0	0	3040	0.32	-0.71	0
92	SLU 25	1	0	3049	0.2	-0.71	0
92	SLU 26	1	0	3054	0.11	-0.71	0
92	SLU 27	0	0	3040	0.32	-0.71	0
92	SLU 28	1	0	3049	0.2	-0.71	0
92	SLU 29	0	0	3040	0.32	-0.71	0
92	SLU 30	1	0	3049	0.2	-0.71	0
92	SLU 31	-2	0	3930	0.27	-0.93	0
92	SLU 32	-2	-1	3916	0.47	-0.93	0
92	SLU 33	-2	-1	3924	0.35	-0.93	0
92	SLU 34	-2	0	3930	0.27	-0.93	0
92	SLU 35	-2	-1	3916	0.47	-0.93	0
92	SLU 36	-2	-1	3924	0.35	-0.93	0
92	SLU 37	-2	-1	3916	0.47	-0.93	0
92	SLU 38	-2	-1	3924	0.35	-0.93	0
92	SLU 39	-3	-1	4291	0.54	-1.02	0
92	SLU 40	-3	-1	4300	0.41	-1.03	0
92	SLU 41	-3	-1	4291	0.54	-1.02	0
92	SLU 42	-3	-1	4300	0.41	-1.03	0
92	SLU 43	3	0	3220	0.29	-0.73	0
92	SLU 44	3	0	3234	0.08	-0.74	0
92	SLU 45	3	0	3220	0.29	-0.73	0
92	SLU 46	3	0	3228	0.17	-0.74	0
92	SLU 47	3	0	3234	0.08	-0.74	0
92	SLU 48	3	0	3220	0.29	-0.73	0
92	SLU 49	3	0	3228	0.17	-0.74	0
92	SLU 50	3	0	3220	0.29	-0.73	0
92	SLU 51	3	0	3228	0.17	-0.74	0
92	SLU 52	0	0	4110	0.24	-0.96	0
92	SLU 53	0	-1	4095	0.44	-0.95	0
92	SLU 54	0	0	4104	0.32	-0.96	0
92	SLU 55	0	0	4110	0.24	-0.96	0
92	SLU 56	0	-1	4095	0.44	-0.95	0
92	SLU 57	0	0	4104	0.32	-0.96	0
92	SLU 58	0	-1	4095	0.44	-0.95	0
92	SLU 59	0	0	4104	0.32	-0.96	0
92	SLU 60	-1	-1	4471	0.51	-1.05	0
92	SLU 61	-1	-1	4480	0.38	-1.05	0
92	SLU 62	-1	-1	4471	0.51	-1.05	0
92	SLU 63	-1	-1	4480	0.38	-1.05	0
92	SLU 64	1	-1	3665	0.37	-0.85	0
92	SLU 65	2	0	3680	0.16	-0.85	0
92	SLU 66	1	-1	3665	0.37	-0.85	0
92	SLU 67	2	0	3674	0.24	-0.85	0
92	SLU 68	2	0	3680	0.16	-0.85	0
92	SLU 69	1	-1	3665	0.37	-0.85	0
92	SLU 70	2	0	3674	0.24	-0.85	0
92	SLU 71	1	-1	3665	0.37	-0.85	0
92	SLU 72	2	0	3674	0.24	-0.85	0



Nodo Ind.	Cont. N.br.	Reazione a traslazione			Reazione a rotazione		
		x	y	z	x	y	z
92	SLU 73	-1	-1	4556	0.31	-1.07	0
92	SLU 74	-1	-1	4541	0.52	-1.07	0
92	SLU 75	-1	-1	4550	0.4	-1.07	0
92	SLU 76	-1	-1	4556	0.31	-1.07	0
92	SLU 77	-1	-1	4541	0.52	-1.07	0
92	SLU 78	-1	-1	4550	0.4	-1.07	0
92	SLU 79	-1	-1	4541	0.52	-1.07	0
92	SLU 80	-1	-1	4550	0.4	-1.07	0
92	SLU 81	-2	-1	4916	0.58	-1.16	0
92	SLU 82	-2	-1	4925	0.46	-1.16	0
92	SLU 83	-2	-1	4916	0.58	-1.16	0
92	SLU 84	-2	-1	4925	0.46	-1.16	0
92	SLE RA 1	1	0	2721	0.27	-0.63	0
92	SLE RA 2	2	0	2731	0.13	-0.63	0
92	SLE RA 3	1	0	2721	0.27	-0.63	0
92	SLE RA 4	1	0	2727	0.18	-0.63	0
92	SLE RA 5	2	0	2731	0.13	-0.63	0
92	SLE RA 6	1	0	2721	0.27	-0.63	0
92	SLE RA 7	1	0	2727	0.18	-0.63	0
92	SLE RA 8	1	0	2721	0.27	-0.63	0
92	SLE RA 9	1	0	2727	0.18	-0.63	0
92	SLE RA 10	0	0	3315	0.23	-0.78	0
92	SLE RA 11	0	-1	3305	0.37	-0.77	0
92	SLE RA 12	0	0	3311	0.28	-0.78	0
92	SLE RA 13	0	0	3315	0.23	-0.78	0
92	SLE RA 14	0	-1	3305	0.37	-0.77	0
92	SLE RA 15	0	0	3311	0.28	-0.78	0
92	SLE RA 16	0	-1	3305	0.37	-0.77	0
92	SLE RA 17	0	0	3311	0.28	-0.78	0
92	SLE RA 18	-1	-1	3556	0.41	-0.84	0
92	SLE RA 19	-1	0	3561	0.33	-0.84	0
92	SLE RA 20	-1	-1	3556	0.41	-0.84	0
92	SLE RA 21	-1	0	3561	0.33	-0.84	0
92	SLE FR 1	1	0	2721	0.27	-0.63	0
92	SLE FR 2	1	0	2723	0.24	-0.63	0
92	SLE FR 3	1	0	2721	0.27	-0.63	0
92	SLE FR 4	1	0	2974	0.28	-0.69	0
92	SLE FR 5	1	0	2972	0.31	-0.69	0
92	SLE FR 6	0	0	3139	0.34	-0.73	0
92	SLE QP 1	1	0	2721	0.27	-0.63	0
92	SLE QP 2	1	0	2972	0.31	-0.69	0
92	SLD 1	227	-2	3004	0.94	9.17	-0.01
92	SLD 2	227	-2	3004	0.94	9.17	-0.01
92	SLD 3	252	-4	3071	2.64	10.19	0
92	SLD 4	252	-4	3071	2.64	10.19	0
92	SLD 5	32	1	2881	-2.09	0.72	-0.01
92	SLD 6	32	1	2881	-2.09	0.72	-0.01
92	SLD 7	113	-3	3102	3.6	4.12	0
92	SLD 8	113	-3	3102	3.6	4.12	0
92	SLD 9	-111	2	2841	-2.98	-5.5	0
92	SLD 10	-111	2	2841	-2.98	-5.5	0
92	SLD 11	-31	-2	3063	2.71	-2.1	0
92	SLD 12	-31	-2	3063	2.71	-2.1	0
92	SLD 13	-250	3	2873	-2.02	-11.57	0
92	SLD 14	-250	3	2873	-2.02	-11.57	0
92	SLD 15	-226	1	2939	-0.31	-10.55	0
92	SLD 16	-226	1	2939	-0.31	-10.55	0
92	SLV 1	536	-5	3057	1.85	22.6	-0.01
92	SLV 2	536	-5	3057	1.85	22.6	-0.01
92	SLV 3	594	-8	3214	5.9	25.04	-0.01
92	SLV 4	594	-8	3214	5.9	25.04	-0.01
92	SLV 5	74	3	2760	-5.37	2.61	-0.01
92	SLV 6	74	3	2760	-5.37	2.61	-0.01
92	SLV 7	266	-7	3282	8.13	10.72	0.01
92	SLV 8	266	-7	3282	8.13	10.72	0.01
92	SLV 9	-265	7	2661	-7.51	-12.1	-0.01
92	SLV 10	-265	7	2661	-7.51	-12.1	-0.01
92	SLV 11	-72	-4	3184	5.99	-3.98	0.01
92	SLV 12	-72	-4	3184	5.99	-3.98	0.01
92	SLV 13	-593	7	2730	-5.28	-26.41	0
92	SLV 14	-593	7	2730	-5.28	-26.41	0
92	SLV 15	-535	4	2887	-1.23	-23.98	0.01
92	SLV 16	-535	4	2887	-1.23	-23.98	0.01
93	SLU 1	-2	-1	2560	0.46	0.78	0
93	SLU 2	-1	-1	2574	0.35	0.83	0
93	SLU 3	-2	-1	2560	0.46	0.78	0
93	SLU 4	-2	-1	2569	0.39	0.81	0
93	SLU 5	-1	-1	2574	0.35	0.83	0
93	SLU 6	-2	-1	2560	0.46	0.78	0
93	SLU 7	-2	-1	2569	0.39	0.81	0
93	SLU 8	-2	-1	2560	0.46	0.78	0
93	SLU 9	-2	-1	2569	0.39	0.81	0
93	SLU 10	-10	-1	3433	0.5	0.74	0
93	SLU 11	-10	-1	3420	0.61	0.68	0
93	SLU 12	-10	-1	3428	0.54	0.72	0
93	SLU 13	-10	-1	3433	0.5	0.74	0
93	SLU 14	-10	-1	3420	0.61	0.68	0
93	SLU 15	-10	-1	3428	0.54	0.72	0



Nodo Ind.	Cont. N.br.	Reazione a traslazione			Reazione a rotazione		
		x	y	z	x	y	z
93	SLU 16	-10	-1	3420	0.61	0.68	0
93	SLU 17	-10	-1	3428	0.54	0.72	0
93	SLU 18	-14	-1	3788	0.68	0.64	0
93	SLU 19	-14	-1	3796	0.61	0.68	0
93	SLU 20	-14	-1	3788	0.68	0.64	0
93	SLU 21	-14	-1	3796	0.61	0.68	0
93	SLU 22	-6	-1	2998	0.54	0.73	0
93	SLU 23	-6	-1	3011	0.42	0.78	0
93	SLU 24	-6	-1	2998	0.54	0.73	0
93	SLU 25	-6	-1	3006	0.47	0.76	0
93	SLU 26	-6	-1	3011	0.42	0.78	0
93	SLU 27	-6	-1	2998	0.54	0.73	0
93	SLU 28	-6	-1	3006	0.47	0.76	0
93	SLU 29	-6	-1	2998	0.54	0.73	0
93	SLU 30	-6	-1	3006	0.47	0.76	0
93	SLU 31	-14	-1	3871	0.58	0.69	0
93	SLU 32	-15	-1	3857	0.69	0.64	0
93	SLU 33	-14	-1	3865	0.62	0.67	0
93	SLU 34	-14	-1	3871	0.58	0.69	0
93	SLU 35	-15	-1	3857	0.69	0.64	0
93	SLU 36	-14	-1	3865	0.62	0.67	0
93	SLU 37	-15	-1	3857	0.69	0.64	0
93	SLU 38	-14	-1	3865	0.62	0.67	0
93	SLU 39	-18	-1	4225	0.76	0.6	0
93	SLU 40	-18	-1	4234	0.69	0.63	0
93	SLU 41	-18	-1	4225	0.76	0.6	0
93	SLU 42	-18	-1	4234	0.69	0.63	0
93	SLU 43	-1	-1	3179	0.58	1.03	0
93	SLU 44	-1	-1	3192	0.46	1.08	0
93	SLU 45	-1	-1	3179	0.58	1.03	0
93	SLU 46	-1	-1	3187	0.51	1.06	0
93	SLU 47	-1	-1	3192	0.46	1.08	0
93	SLU 48	-1	-1	3179	0.58	1.03	0
93	SLU 49	-1	-1	3187	0.51	1.06	0
93	SLU 50	-1	-1	3179	0.58	1.03	0
93	SLU 51	-1	-1	3187	0.51	1.06	0
93	SLU 52	-9	-1	4052	0.61	0.99	0
93	SLU 53	-10	-1	4038	0.73	0.94	0
93	SLU 54	-9	-1	4046	0.66	0.97	0
93	SLU 55	-9	-1	4052	0.61	0.99	0
93	SLU 56	-10	-1	4038	0.73	0.94	0
93	SLU 57	-9	-1	4046	0.66	0.97	0
93	SLU 58	-10	-1	4038	0.73	0.94	0
93	SLU 59	-9	-1	4046	0.66	0.97	0
93	SLU 60	-13	-2	4406	0.79	0.89	0
93	SLU 61	-13	-2	4414	0.72	0.93	0
93	SLU 62	-13	-2	4406	0.79	0.89	0
93	SLU 63	-13	-2	4414	0.72	0.93	0
93	SLU 64	-5	-1	3616	0.65	0.98	0
93	SLU 65	-5	-1	3630	0.54	1.03	0
93	SLU 66	-5	-1	3616	0.65	0.98	0
93	SLU 67	-5	-1	3624	0.58	1.01	0
93	SLU 68	-5	-1	3630	0.54	1.03	0
93	SLU 69	-5	-1	3616	0.65	0.98	0
93	SLU 70	-5	-1	3624	0.58	1.01	0
93	SLU 71	-5	-1	3616	0.65	0.98	0
93	SLU 72	-5	-1	3624	0.58	1.01	0
93	SLU 73	-13	-2	4489	0.69	0.94	0
93	SLU 74	-14	-2	4475	0.8	0.89	0
93	SLU 75	-13	-2	4483	0.73	0.92	0
93	SLU 76	-13	-2	4489	0.69	0.94	0
93	SLU 77	-14	-2	4475	0.8	0.89	0
93	SLU 78	-13	-2	4483	0.73	0.92	0
93	SLU 79	-14	-2	4475	0.8	0.89	0
93	SLU 80	-13	-2	4483	0.73	0.92	0
93	SLU 81	-17	-2	4844	0.87	0.85	0
93	SLU 82	-17	-2	4852	0.8	0.88	0
93	SLU 83	-17	-2	4844	0.87	0.85	0
93	SLU 84	-17	-2	4852	0.8	0.88	0
93	SLE RA 1	-3	-1	2685	0.49	0.77	0
93	SLE RA 2	-3	-1	2694	0.41	0.8	0
93	SLE RA 3	-3	-1	2685	0.49	0.77	0
93	SLE RA 4	-3	-1	2691	0.44	0.79	0
93	SLE RA 5	-3	-1	2694	0.41	0.8	0
93	SLE RA 6	-3	-1	2685	0.49	0.77	0
93	SLE RA 7	-3	-1	2691	0.44	0.79	0
93	SLE RA 8	-3	-1	2685	0.49	0.77	0
93	SLE RA 9	-3	-1	2691	0.44	0.79	0
93	SLE RA 10	-8	-1	3267	0.51	0.74	0
93	SLE RA 11	-9	-1	3258	0.59	0.7	0
93	SLE RA 12	-9	-1	3264	0.54	0.72	0
93	SLE RA 13	-8	-1	3267	0.51	0.74	0
93	SLE RA 14	-9	-1	3258	0.59	0.7	0
93	SLE RA 15	-9	-1	3264	0.54	0.72	0
93	SLE RA 16	-9	-1	3258	0.59	0.7	0
93	SLE RA 17	-9	-1	3264	0.54	0.72	0
93	SLE RA 18	-11	-1	3504	0.63	0.68	0
93	SLE RA 19	-11	-1	3509	0.58	0.7	0



Nodo Ind.	Cont. N.br.	Reazione a traslazione			Reazione a rotazione		
		x	y	z	x	y	z
94	SLV 6	51	2	2581	-0.44	1.97	0.01
94	SLV 7	239	-11	3317	3.26	9.83	-0.02
94	SLV 8	239	-11	3317	3.26	9.83	-0.02
94	SLV 9	-289	5	2455	-1.66	-12.78	0.01
94	SLV 10	-289	5	2455	-1.66	-12.78	0.01
94	SLV 11	-101	-8	3191	2.05	-4.92	-0.03
94	SLV 12	-101	-8	3191	2.05	-4.92	-0.03
94	SLV 13	-619	3	2565	-1.78	-27.23	-0.01
94	SLV 14	-619	3	2565	-1.78	-27.23	-0.01
94	SLV 15	-563	0	2786	-0.67	-24.88	-0.03
94	SLV 16	-563	0	2786	-0.67	-24.88	-0.03
95	SLU 1	-4	-182	3388	4.36	0.37	0
95	SLU 2	-3	-182	3403	4.34	0.43	0
95	SLU 3	-4	-182	3388	4.36	0.37	0
95	SLU 4	-3	-182	3397	4.35	0.4	0
95	SLU 5	-3	-182	3403	4.34	0.43	0
95	SLU 6	-4	-182	3388	4.36	0.37	0
95	SLU 7	-3	-182	3397	4.35	0.4	0
95	SLU 8	-4	-182	3388	4.36	0.37	0
95	SLU 9	-3	-182	3397	4.35	0.4	0
95	SLU 10	-6	-217	4485	4.78	0.43	0
95	SLU 11	-7	-217	4470	4.8	0.38	0
95	SLU 12	-6	-217	4479	4.79	0.41	0
95	SLU 13	-6	-217	4485	4.78	0.43	0
95	SLU 14	-7	-217	4470	4.8	0.38	0
95	SLU 15	-6	-217	4479	4.79	0.41	0
95	SLU 16	-7	-217	4470	4.8	0.38	0
95	SLU 17	-6	-217	4479	4.79	0.41	0
95	SLU 18	-8	-232	4934	4.99	0.38	0
95	SLU 19	-8	-232	4943	4.97	0.41	0
95	SLU 20	-8	-232	4934	4.99	0.38	0
95	SLU 21	-8	-232	4943	4.97	0.41	0
95	SLU 22	-5	-200	3938	4.58	0.38	0
95	SLU 23	-5	-200	3953	4.56	0.43	0
95	SLU 24	-5	-200	3938	4.58	0.38	0
95	SLU 25	-5	-200	3947	4.57	0.41	0
95	SLU 26	-5	-200	3953	4.56	0.43	0
95	SLU 27	-5	-200	3938	4.58	0.38	0
95	SLU 28	-5	-200	3947	4.57	0.41	0
95	SLU 29	-5	-200	3938	4.58	0.38	0
95	SLU 30	-5	-200	3947	4.57	0.41	0
95	SLU 31	-7	-235	5036	5	0.43	0
95	SLU 32	-8	-235	5021	5.02	0.38	0
95	SLU 33	-8	-235	5030	5.01	0.41	0
95	SLU 34	-7	-235	5036	5	0.43	0
95	SLU 35	-8	-235	5021	5.02	0.38	0
95	SLU 36	-8	-235	5030	5.01	0.41	0
95	SLU 37	-8	-235	5021	5.02	0.38	0
95	SLU 38	-8	-235	5030	5.01	0.41	0
95	SLU 39	-10	-250	5484	5.21	0.38	0
95	SLU 40	-9	-250	5493	5.19	0.41	0
95	SLU 41	-10	-250	5484	5.21	0.38	0
95	SLU 42	-9	-250	5493	5.19	0.41	0
95	SLU 43	-5	-231	4215	5.59	0.49	0
95	SLU 44	-4	-231	4230	5.57	0.54	0
95	SLU 45	-5	-231	4215	5.59	0.49	0
95	SLU 46	-4	-231	4224	5.58	0.52	0
95	SLU 47	-4	-231	4230	5.57	0.54	0
95	SLU 48	-5	-231	4215	5.59	0.49	0
95	SLU 49	-4	-231	4224	5.58	0.52	0
95	SLU 50	-5	-231	4215	5.59	0.49	0
95	SLU 51	-4	-231	4224	5.58	0.52	0
95	SLU 52	-7	-266	5313	6.01	0.54	0
95	SLU 53	-8	-266	5297	6.03	0.49	0
95	SLU 54	-7	-266	5306	6.02	0.52	0
95	SLU 55	-7	-266	5313	6.01	0.54	0
95	SLU 56	-8	-266	5297	6.03	0.49	0
95	SLU 57	-7	-266	5306	6.02	0.52	0
95	SLU 58	-8	-266	5297	6.03	0.49	0
95	SLU 59	-7	-266	5306	6.02	0.52	0
95	SLU 60	-9	-281	5761	6.22	0.49	0
95	SLU 61	-8	-281	5770	6.21	0.52	0
95	SLU 62	-9	-281	5761	6.22	0.49	0
95	SLU 63	-8	-281	5770	6.21	0.52	0
95	SLU 64	-6	-249	4766	5.82	0.49	0
95	SLU 65	-5	-249	4781	5.79	0.54	0
95	SLU 66	-6	-249	4766	5.82	0.49	0
95	SLU 67	-6	-249	4775	5.8	0.52	0
95	SLU 68	-5	-249	4781	5.79	0.54	0
95	SLU 69	-6	-249	4766	5.82	0.49	0
95	SLU 70	-6	-249	4775	5.8	0.52	0
95	SLU 71	-6	-249	4766	5.82	0.49	0
95	SLU 72	-6	-249	4775	5.8	0.52	0
95	SLU 73	-8	-284	5863	6.23	0.54	0
95	SLU 74	-9	-284	5848	6.25	0.49	0
95	SLU 75	-8	-284	5857	6.24	0.52	0
95	SLU 76	-8	-284	5863	6.23	0.54	0
95	SLU 77	-9	-284	5848	6.25	0.49	0



Nodo Ind.	Cont. N.br.	Reazione a traslazione			Reazione a rotazione		
		x	y	z	x	y	z
96	SLE FR 4	-3	-1	2860	0.24	-0.7	0.01
96	SLE FR 5	-3	-1	2859	0.24	-0.7	0.01
96	SLE FR 6	-2	-1	3017	0.24	-0.7	0.01
96	SLE QP 1	-5	-1	2622	0.24	-0.7	0.01
96	SLE QP 2	-3	-1	2859	0.24	-0.7	0.01
96	SLD 1	250	1	2897	-0.78	10.29	0.01
96	SLD 2	250	1	2897	-0.78	10.29	0.01
96	SLD 3	217	0	2989	-0.18	8.96	0.02
96	SLD 4	217	0	2989	-0.18	8.96	0.02
96	SLD 5	124	1	2731	-0.98	4.61	0
96	SLD 6	124	1	2731	-0.98	4.61	0
96	SLD 7	11	-3	3037	1.02	0.19	0.02
96	SLD 8	11	-3	3037	1.02	0.19	0.02
96	SLD 9	-18	0	2681	-0.55	-1.59	0
96	SLD 10	-18	0	2681	-0.55	-1.59	0
96	SLD 11	-131	-4	2987	1.46	-6.01	0.01
96	SLD 12	-131	-4	2987	1.46	-6.01	0.01
96	SLD 13	-223	-3	2729	0.66	-10.36	0
96	SLD 14	-223	-3	2729	0.66	-10.36	0
96	SLD 15	-257	-4	2821	1.26	-11.69	0
96	SLD 16	-257	-4	2821	1.26	-11.69	0
96	SLV 1	596	5	2958	-2.21	25.26	0.02
96	SLV 2	596	5	2958	-2.21	25.26	0.02
96	SLV 3	516	2	3175	-0.73	22.1	0.03
96	SLV 4	516	2	3175	-0.73	22.1	0.03
96	SLV 5	298	5	2560	-2.73	11.87	0
96	SLV 6	298	5	2560	-2.73	11.87	0
96	SLV 7	31	-4	3282	2.18	1.36	0.03
96	SLV 8	31	-4	3282	2.18	1.36	0.03
96	SLV 9	-37	2	2436	-1.71	-2.76	-0.01
96	SLV 10	-37	2	2436	-1.71	-2.76	-0.01
96	SLV 11	-305	-7	3157	3.21	-13.27	0.02
96	SLV 12	-305	-7	3157	3.21	-13.27	0.02
96	SLV 13	-522	-5	2543	1.21	-23.5	-0.01
96	SLV 14	-522	-5	2543	1.21	-23.5	-0.01
96	SLV 15	-603	-7	2759	2.68	-26.66	0
96	SLV 16	-603	-7	2759	2.68	-26.66	0
97	SLU 1	-6	1	2518	-0.24	0.02	0
97	SLU 2	-5	1	2530	-0.26	0.07	0
97	SLU 3	-6	1	2518	-0.24	0.02	0
97	SLU 4	-5	1	2525	-0.25	0.05	0
97	SLU 5	-5	1	2530	-0.26	0.07	0
97	SLU 6	-6	1	2518	-0.24	0.02	0
97	SLU 7	-5	1	2525	-0.25	0.05	0
97	SLU 8	-6	1	2518	-0.24	0.02	0
97	SLU 9	-5	1	2525	-0.25	0.05	0
97	SLU 10	-1	1	3381	-0.34	0.2	0
97	SLU 11	-2	1	3369	-0.32	0.15	0
97	SLU 12	-2	1	3376	-0.33	0.18	0
97	SLU 13	-1	1	3381	-0.34	0.2	0
97	SLU 14	-2	1	3369	-0.32	0.15	0
97	SLU 15	-2	1	3376	-0.33	0.18	0
97	SLU 16	-2	1	3369	-0.32	0.15	0
97	SLU 17	-2	1	3376	-0.33	0.18	0
97	SLU 18	-1	1	3733	-0.35	0.21	0
97	SLU 19	0	1	3741	-0.36	0.23	0
97	SLU 20	-1	1	3733	-0.35	0.21	0
97	SLU 21	0	1	3741	-0.36	0.23	0
97	SLU 22	-4	1	2951	-0.28	0.09	0
97	SLU 23	-3	1	2963	-0.3	0.14	0
97	SLU 24	-4	1	2951	-0.28	0.09	0
97	SLU 25	-3	1	2958	-0.29	0.12	0
97	SLU 26	-3	1	2963	-0.3	0.14	0
97	SLU 27	-4	1	2951	-0.28	0.09	0
97	SLU 28	-3	1	2958	-0.29	0.12	0
97	SLU 29	-4	1	2951	-0.28	0.09	0
97	SLU 30	-3	1	2958	-0.29	0.12	0
97	SLU 31	0	1	3814	-0.37	0.26	0
97	SLU 32	-1	1	3801	-0.36	0.22	0
97	SLU 33	0	1	3809	-0.37	0.25	0
97	SLU 34	0	1	3814	-0.37	0.26	0
97	SLU 35	-1	1	3801	-0.36	0.22	0
97	SLU 36	0	1	3809	-0.37	0.25	0
97	SLU 37	-1	1	3801	-0.36	0.22	0
97	SLU 38	0	1	3809	-0.37	0.25	0
97	SLU 39	1	1	4166	-0.39	0.27	0
97	SLU 40	1	1	4174	-0.4	0.3	0
97	SLU 41	1	1	4166	-0.39	0.27	0
97	SLU 42	1	1	4174	-0.4	0.3	0
97	SLU 43	-8	1	3124	-0.3	0.01	0
97	SLU 44	-7	1	3137	-0.32	0.05	0
97	SLU 45	-8	1	3124	-0.3	0.01	0
97	SLU 46	-7	1	3132	-0.31	0.03	0
97	SLU 47	-7	1	3137	-0.32	0.05	0
97	SLU 48	-8	1	3124	-0.3	0.01	0
97	SLU 49	-7	1	3132	-0.31	0.03	0
97	SLU 50	-8	1	3124	-0.3	0.01	0
97	SLU 51	-7	1	3132	-0.31	0.03	0



Nodo Ind.	Cont. N.br.	Reazione a traslazione			Reazione a rotazione		
		x	y	z	x	y	z
97	SLU 52	-4	1	3988	-0.39	0.18	0
97	SLU 53	-5	1	3975	-0.38	0.13	0
97	SLU 54	-4	1	3983	-0.39	0.16	0
97	SLU 55	-4	1	3988	-0.39	0.18	0
97	SLU 56	-5	1	3975	-0.38	0.13	0
97	SLU 57	-4	1	3983	-0.39	0.16	0
97	SLU 58	-5	1	3975	-0.38	0.13	0
97	SLU 59	-4	1	3983	-0.39	0.16	0
97	SLU 60	-3	2	4340	-0.41	0.19	0
97	SLU 61	-3	1	4348	-0.42	0.22	0
97	SLU 62	-3	2	4340	-0.41	0.19	0
97	SLU 63	-3	1	4348	-0.42	0.22	0
97	SLU 64	-6	1	3557	-0.34	0.07	0
97	SLU 65	-5	1	3570	-0.36	0.12	0
97	SLU 66	-6	1	3557	-0.34	0.07	0
97	SLU 67	-6	1	3565	-0.35	0.1	0
97	SLU 68	-5	1	3570	-0.36	0.12	0
97	SLU 69	-6	1	3557	-0.34	0.07	0
97	SLU 70	-6	1	3565	-0.35	0.1	0
97	SLU 71	-6	1	3557	-0.34	0.07	0
97	SLU 72	-6	1	3565	-0.35	0.1	0
97	SLU 73	-2	1	4421	-0.43	0.25	0
97	SLU 74	-3	2	4408	-0.42	0.2	0
97	SLU 75	-2	1	4416	-0.43	0.23	0
97	SLU 76	-2	1	4421	-0.43	0.25	0
97	SLU 77	-3	2	4408	-0.42	0.2	0
97	SLU 78	-2	1	4416	-0.43	0.23	0
97	SLU 79	-3	2	4408	-0.42	0.2	0
97	SLU 80	-2	1	4416	-0.43	0.23	0
97	SLU 81	-2	2	4773	-0.45	0.26	0
97	SLU 82	-1	2	4780	-0.46	0.28	0
97	SLU 83	-2	2	4773	-0.45	0.26	0
97	SLU 84	-1	2	4780	-0.46	0.28	0
97	SLE RA 1	-5	1	2641	-0.25	0.04	0
97	SLE RA 2	-4	1	2650	-0.26	0.07	0
97	SLE RA 3	-5	1	2641	-0.25	0.04	0
97	SLE RA 4	-5	1	2646	-0.26	0.06	0
97	SLE RA 5	-4	1	2650	-0.26	0.07	0
97	SLE RA 6	-5	1	2641	-0.25	0.04	0
97	SLE RA 7	-5	1	2646	-0.26	0.06	0
97	SLE RA 8	-5	1	2641	-0.25	0.04	0
97	SLE RA 9	-5	1	2646	-0.26	0.06	0
97	SLE RA 10	-2	1	3217	-0.32	0.16	0
97	SLE RA 11	-3	1	3209	-0.3	0.13	0
97	SLE RA 12	-3	1	3214	-0.31	0.15	0
97	SLE RA 13	-2	1	3217	-0.32	0.16	0
97	SLE RA 14	-3	1	3209	-0.3	0.13	0
97	SLE RA 15	-3	1	3214	-0.31	0.15	0
97	SLE RA 16	-3	1	3209	-0.3	0.13	0
97	SLE RA 17	-3	1	3214	-0.31	0.15	0
97	SLE RA 18	-2	1	3452	-0.33	0.16	0
97	SLE RA 19	-2	1	3457	-0.33	0.18	0
97	SLE RA 20	-2	1	3452	-0.33	0.16	0
97	SLE RA 21	-2	1	3457	-0.33	0.18	0
97	SLE FR 1	-5	1	2641	-0.25	0.04	0
97	SLE FR 2	-5	1	2643	-0.26	0.05	0
97	SLE FR 3	-5	1	2641	-0.25	0.04	0
97	SLE FR 4	-4	1	2886	-0.28	0.08	0
97	SLE FR 5	-4	1	2884	-0.27	0.08	0
97	SLE FR 6	-4	1	3047	-0.29	0.1	0
97	SLE QP 1	-5	1	2641	-0.25	0.04	0
97	SLE QP 2	-4	1	2884	-0.27	0.08	0
97	SLD 1	249	3	2920	-0.76	11.1	0
97	SLD 2	249	3	2920	-0.76	11.1	0
97	SLD 3	217	4	2990	-2.05	9.77	0.01
97	SLD 4	217	4	2990	-2.05	9.77	0.01
97	SLD 5	122	0	2788	1.53	5.4	-0.01
97	SLD 6	122	0	2788	1.53	5.4	-0.01
97	SLD 7	12	4	3023	-2.76	0.97	0.01
97	SLD 8	12	4	3023	-2.76	0.97	0.01
97	SLD 9	-20	-2	2746	2.21	-0.81	-0.01
97	SLD 10	-20	-2	2746	2.21	-0.81	-0.01
97	SLD 11	-130	2	2981	-2.08	-5.25	0.01
97	SLD 12	-130	2	2981	-2.08	-5.25	0.01
97	SLD 13	-225	-2	2779	1.5	-9.61	-0.01
97	SLD 14	-225	-2	2779	1.5	-9.61	-0.01
97	SLD 15	-258	-1	2849	0.21	-10.94	0
97	SLD 16	-258	-1	2849	0.21	-10.94	0
97	SLV 1	595	6	2976	-1.36	26.12	0.01
97	SLV 2	595	6	2976	-1.36	26.12	0.01
97	SLV 3	516	9	3143	-4.59	22.94	0.02
97	SLV 4	516	9	3143	-4.59	22.94	0.02
97	SLV 5	295	-2	2659	4.29	12.73	-0.02
97	SLV 6	295	-2	2659	4.29	12.73	-0.02
97	SLV 7	32	8	3214	-6.46	2.1	0.03
97	SLV 8	32	8	3214	-6.46	2.1	0.03
97	SLV 9	-41	-6	2554	5.91	-1.94	-0.03
97	SLV 10	-41	-6	2554	5.91	-1.94	-0.03



Nodo Ind.	Cont. N.br.	Reazione a traslazione			Reazione a rotazione		
		x	y	z	x	y	z
97	SLV 11	-304	4	3109	-4.84	-12.57	0.02
97	SLV 12	-304	4	3109	-4.84	-12.57	0.02
97	SLV 13	-525	-7	2626	4.04	-22.78	-0.03
97	SLV 14	-525	-7	2626	4.04	-22.78	-0.03
97	SLV 15	-603	-4	2793	0.81	-25.97	-0.01
97	SLV 16	-603	-4	2793	0.81	-25.97	-0.01
98	SLU 1	-30	1	2531	-0.39	-1.65	0
98	SLU 2	-29	1	2544	-0.46	-1.64	0
98	SLU 3	-30	1	2531	-0.39	-1.65	0
98	SLU 4	-29	1	2539	-0.43	-1.64	0
98	SLU 5	-29	1	2544	-0.46	-1.64	0
98	SLU 6	-30	1	2531	-0.39	-1.65	0
98	SLU 7	-29	1	2539	-0.43	-1.64	0
98	SLU 8	-30	1	2531	-0.39	-1.65	0
98	SLU 9	-29	1	2539	-0.43	-1.64	0
98	SLU 10	-36	1	3408	-0.53	-2.07	0
98	SLU 11	-37	1	3396	-0.46	-2.08	0
98	SLU 12	-36	1	3403	-0.5	-2.08	0
98	SLU 13	-36	1	3408	-0.53	-2.07	0
98	SLU 14	-37	1	3396	-0.46	-2.08	0
98	SLU 15	-36	1	3403	-0.5	-2.08	0
98	SLU 16	-37	1	3396	-0.46	-2.08	0
98	SLU 17	-36	1	3403	-0.5	-2.08	0
98	SLU 18	-39	1	3766	-0.49	-2.27	0
98	SLU 19	-39	1	3774	-0.53	-2.26	0
98	SLU 20	-39	1	3766	-0.49	-2.27	0
98	SLU 21	-39	1	3774	-0.53	-2.26	0
98	SLU 22	-33	1	2971	-0.43	-1.87	0
98	SLU 23	-33	1	2984	-0.5	-1.86	0
98	SLU 24	-33	1	2971	-0.43	-1.87	0
98	SLU 25	-33	1	2979	-0.47	-1.86	0
98	SLU 26	-33	1	2984	-0.5	-1.86	0
98	SLU 27	-33	1	2971	-0.43	-1.87	0
98	SLU 28	-33	1	2979	-0.47	-1.86	0
98	SLU 29	-33	1	2971	-0.43	-1.87	0
98	SLU 30	-33	1	2979	-0.47	-1.86	0
98	SLU 31	-40	1	3848	-0.57	-2.29	0.01
98	SLU 32	-40	1	3835	-0.5	-2.3	0
98	SLU 33	-40	1	3843	-0.54	-2.3	0
98	SLU 34	-40	1	3848	-0.57	-2.29	0.01
98	SLU 35	-40	1	3835	-0.5	-2.3	0
98	SLU 36	-40	1	3843	-0.54	-2.3	0
98	SLU 37	-40	1	3835	-0.5	-2.3	0
98	SLU 38	-40	1	3843	-0.54	-2.3	0
98	SLU 39	-43	2	4206	-0.53	-2.49	0.01
98	SLU 40	-43	2	4214	-0.57	-2.48	0.01
98	SLU 41	-43	2	4206	-0.53	-2.49	0.01
98	SLU 42	-43	2	4214	-0.57	-2.48	0.01
98	SLU 43	-37	1	3140	-0.5	-2.06	0
98	SLU 44	-37	1	3153	-0.57	-2.05	0
98	SLU 45	-37	1	3140	-0.5	-2.06	0
98	SLU 46	-37	1	3148	-0.54	-2.06	0
98	SLU 47	-37	1	3153	-0.57	-2.05	0
98	SLU 48	-37	1	3140	-0.5	-2.06	0
98	SLU 49	-37	1	3148	-0.54	-2.06	0
98	SLU 50	-37	1	3140	-0.5	-2.06	0
98	SLU 51	-37	1	3148	-0.54	-2.06	0
98	SLU 52	-44	2	4017	-0.64	-2.49	0.01
98	SLU 53	-44	2	4004	-0.57	-2.5	0.01
98	SLU 54	-44	2	4012	-0.61	-2.49	0.01
98	SLU 55	-44	2	4017	-0.64	-2.49	0.01
98	SLU 56	-44	2	4004	-0.57	-2.5	0.01
98	SLU 57	-44	2	4012	-0.61	-2.49	0.01
98	SLU 58	-44	2	4004	-0.57	-2.5	0.01
98	SLU 59	-44	2	4012	-0.61	-2.49	0.01
98	SLU 60	-47	2	4375	-0.6	-2.69	0.01
98	SLU 61	-47	2	4382	-0.64	-2.68	0.01
98	SLU 62	-47	2	4375	-0.6	-2.69	0.01
98	SLU 63	-47	2	4382	-0.64	-2.68	0.01
98	SLU 64	-41	1	3580	-0.53	-2.29	0
98	SLU 65	-40	1	3592	-0.6	-2.28	0.01
98	SLU 66	-41	1	3580	-0.53	-2.29	0
98	SLU 67	-41	1	3587	-0.58	-2.28	0
98	SLU 68	-40	1	3592	-0.6	-2.28	0.01
98	SLU 69	-41	1	3580	-0.53	-2.29	0
98	SLU 70	-41	1	3587	-0.58	-2.28	0
98	SLU 71	-41	1	3580	-0.53	-2.29	0
98	SLU 72	-41	1	3587	-0.58	-2.28	0
98	SLU 73	-47	2	4457	-0.67	-2.71	0.01
98	SLU 74	-48	2	4444	-0.6	-2.72	0.01
98	SLU 75	-47	2	4452	-0.65	-2.71	0.01
98	SLU 76	-47	2	4457	-0.67	-2.71	0.01
98	SLU 77	-48	2	4444	-0.6	-2.72	0.01
98	SLU 78	-47	2	4452	-0.65	-2.71	0.01
98	SLU 79	-48	2	4444	-0.6	-2.72	0.01
98	SLU 80	-47	2	4452	-0.65	-2.71	0.01
98	SLU 81	-51	2	4815	-0.63	-2.91	0.01
98	SLU 82	-50	2	4822	-0.68	-2.9	0.01



Nodo Ind.	Cont. N.br.	Reazione a traslazione			Reazione a rotazione		
		x	y	z	x	y	z
98	SLU 83	-51	2	4815	-0.63	-2.91	0.01
98	SLU 84	-50	2	4822	-0.68	-2.9	0.01
98	SLE RA 1	-31	1	2657	-0.4	-1.71	0
98	SLE RA 2	-30	1	2665	-0.45	-1.7	0
98	SLE RA 3	-31	1	2657	-0.4	-1.71	0
98	SLE RA 4	-30	1	2662	-0.43	-1.71	0
98	SLE RA 5	-30	1	2665	-0.45	-1.7	0
98	SLE RA 6	-31	1	2657	-0.4	-1.71	0
98	SLE RA 7	-30	1	2662	-0.43	-1.71	0
98	SLE RA 8	-31	1	2657	-0.4	-1.71	0
98	SLE RA 9	-30	1	2662	-0.43	-1.71	0
98	SLE RA 10	-35	1	3242	-0.5	-1.99	0
98	SLE RA 11	-35	1	3233	-0.45	-2	0
98	SLE RA 12	-35	1	3238	-0.48	-2	0
98	SLE RA 13	-35	1	3242	-0.5	-1.99	0
98	SLE RA 14	-35	1	3233	-0.45	-2	0
98	SLE RA 15	-35	1	3238	-0.48	-2	0
98	SLE RA 16	-35	1	3233	-0.45	-2	0
98	SLE RA 17	-35	1	3238	-0.48	-2	0
98	SLE RA 18	-37	1	3480	-0.47	-2.12	0
98	SLE RA 19	-37	1	3485	-0.5	-2.12	0
98	SLE RA 20	-37	1	3480	-0.47	-2.12	0
98	SLE RA 21	-37	1	3485	-0.5	-2.12	0
98	SLE FR 1	-31	1	2657	-0.4	-1.71	0
98	SLE FR 2	-31	1	2659	-0.41	-1.71	0
98	SLE FR 3	-31	1	2657	-0.4	-1.71	0
98	SLE FR 4	-33	1	2906	-0.43	-1.83	0
98	SLE FR 5	-33	1	2904	-0.42	-1.83	0
98	SLE FR 6	-34	1	3069	-0.44	-1.92	0
98	SLE QP 1	-31	1	2657	-0.4	-1.71	0
98	SLE QP 2	-33	1	2904	-0.42	-1.83	0
98	SLD 1	222	2	2931	-0.49	9.21	0
98	SLD 2	222	2	2931	-0.49	9.21	0
98	SLD 3	187	5	2999	-2.8	7.79	0.02
98	SLD 4	187	5	2999	-2.8	7.79	0.02
98	SLD 5	96	-3	2809	3.06	3.63	-0.02
98	SLD 6	96	-3	2809	3.06	3.63	-0.02
98	SLD 7	-19	6	3035	-4.64	-1.1	0.03
98	SLD 8	-19	6	3035	-4.64	-1.1	0.03
98	SLD 9	-47	-4	2772	3.8	-2.57	-0.03
98	SLD 10	-47	-4	2772	3.8	-2.57	-0.03
98	SLD 11	-161	5	2999	-3.9	-7.3	0.03
98	SLD 12	-161	5	2999	-3.9	-7.3	0.03
98	SLD 13	-252	-3	2809	1.96	-11.46	-0.01
98	SLD 14	-252	-3	2809	1.96	-11.46	-0.01
98	SLD 15	-287	0	2877	-0.35	-12.88	0
98	SLD 16	-287	0	2877	-0.35	-12.88	0
98	SLV 1	568	3	2974	-0.47	24.28	0
98	SLV 2	568	3	2974	-0.47	24.28	0
98	SLV 3	486	10	3136	-6.31	20.87	0.05
98	SLV 4	486	10	3136	-6.31	20.87	0.05
98	SLV 5	273	-9	2680	8.42	11.18	-0.06
98	SLV 6	273	-9	2680	8.42	11.18	-0.06
98	SLV 7	-2	15	3218	-11.05	-0.2	0.08
98	SLV 8	-2	15	3218	-11.05	-0.2	0.08
98	SLV 9	-63	-12	2590	10.2	-3.46	-0.07
98	SLV 10	-63	-12	2590	10.2	-3.46	-0.07
98	SLV 11	-338	11	3128	-9.27	-14.85	0.07
98	SLV 12	-338	11	3128	-9.27	-14.85	0.07
98	SLV 13	-551	-8	2672	5.46	-24.54	-0.04
98	SLV 14	-551	-8	2672	5.46	-24.54	-0.04
98	SLV 15	-634	-1	2834	-0.38	-27.95	0
98	SLV 16	-634	-1	2834	-0.38	-27.95	0
99	SLU 1	-47	1	2533	-0.35	-1.76	0
99	SLU 2	-47	1	2545	-0.47	-1.75	0
99	SLU 3	-47	1	2533	-0.35	-1.76	0
99	SLU 4	-47	1	2540	-0.42	-1.75	0
99	SLU 5	-47	1	2545	-0.47	-1.75	0
99	SLU 6	-47	1	2533	-0.35	-1.76	0
99	SLU 7	-47	1	2540	-0.42	-1.75	0
99	SLU 8	-47	1	2533	-0.35	-1.76	0
99	SLU 9	-47	1	2540	-0.42	-1.75	0
99	SLU 10	-63	1	3416	-0.49	-2.39	0.01
99	SLU 11	-63	1	3403	-0.37	-2.4	0
99	SLU 12	-63	1	3411	-0.44	-2.4	0
99	SLU 13	-63	1	3416	-0.49	-2.39	0.01
99	SLU 14	-63	1	3403	-0.37	-2.4	0
99	SLU 15	-63	1	3411	-0.44	-2.4	0
99	SLU 16	-63	1	3403	-0.37	-2.4	0
99	SLU 17	-63	1	3411	-0.44	-2.4	0
99	SLU 18	-70	1	3776	-0.38	-2.68	0
99	SLU 19	-70	1	3784	-0.45	-2.67	0.01
99	SLU 20	-70	1	3776	-0.38	-2.68	0
99	SLU 21	-70	1	3784	-0.45	-2.67	0.01
99	SLU 22	-55	1	2975	-0.36	-2.08	0
99	SLU 23	-55	1	2988	-0.48	-2.07	0
99	SLU 24	-55	1	2975	-0.36	-2.08	0
99	SLU 25	-55	1	2983	-0.43	-2.08	0



Nodo Ind.	Cont. N.br.	Reazione a traslazione			Reazione a rotazione		
		x	y	z	x	y	z
99	SLU 26	-55	1	2988	-0.48	-2.07	0
99	SLU 27	-55	1	2975	-0.36	-2.08	0
99	SLU 28	-55	1	2983	-0.43	-2.08	0
99	SLU 29	-55	1	2975	-0.36	-2.08	0
99	SLU 30	-55	1	2983	-0.43	-2.08	0
99	SLU 31	-71	1	3859	-0.5	-2.72	0.01
99	SLU 32	-71	1	3846	-0.38	-2.73	0
99	SLU 33	-71	1	3854	-0.45	-2.72	0.01
99	SLU 34	-71	1	3859	-0.5	-2.72	0.01
99	SLU 35	-71	1	3846	-0.38	-2.73	0
99	SLU 36	-71	1	3854	-0.45	-2.72	0.01
99	SLU 37	-71	1	3846	-0.38	-2.73	0
99	SLU 38	-71	1	3854	-0.45	-2.72	0.01
99	SLU 39	-78	1	4219	-0.39	-3.01	0
99	SLU 40	-78	1	4227	-0.46	-3	0.01
99	SLU 41	-78	1	4219	-0.39	-3.01	0
99	SLU 42	-78	1	4227	-0.46	-3	0.01
99	SLU 43	-58	1	3140	-0.45	-2.17	0
99	SLU 44	-58	1	3153	-0.58	-2.16	0.01
99	SLU 45	-58	1	3140	-0.45	-2.17	0
99	SLU 46	-58	1	3148	-0.53	-2.16	0.01
99	SLU 47	-58	1	3153	-0.58	-2.16	0.01
99	SLU 48	-58	1	3140	-0.45	-2.17	0
99	SLU 49	-58	1	3148	-0.53	-2.16	0.01
99	SLU 50	-58	1	3140	-0.45	-2.17	0
99	SLU 51	-58	1	3148	-0.53	-2.16	0.01
99	SLU 52	-74	1	4024	-0.59	-2.81	0.01
99	SLU 53	-74	1	4011	-0.47	-2.82	0.01
99	SLU 54	-74	1	4018	-0.55	-2.81	0.01
99	SLU 55	-74	1	4024	-0.59	-2.81	0.01
99	SLU 56	-74	1	4011	-0.47	-2.82	0.01
99	SLU 57	-74	1	4018	-0.55	-2.81	0.01
99	SLU 58	-74	1	4011	-0.47	-2.82	0.01
99	SLU 59	-74	1	4018	-0.55	-2.81	0.01
99	SLU 60	-81	1	4384	-0.48	-3.09	0.01
99	SLU 61	-81	1	4392	-0.55	-3.09	0.01
99	SLU 62	-81	1	4384	-0.48	-3.09	0.01
99	SLU 63	-81	1	4392	-0.55	-3.09	0.01
99	SLU 64	-67	1	3583	-0.46	-2.5	0
99	SLU 65	-66	1	3596	-0.59	-2.49	0.01
99	SLU 66	-67	1	3583	-0.46	-2.5	0
99	SLU 67	-67	1	3591	-0.54	-2.49	0.01
99	SLU 68	-66	1	3596	-0.59	-2.49	0.01
99	SLU 69	-67	1	3583	-0.46	-2.5	0
99	SLU 70	-67	1	3591	-0.54	-2.49	0.01
99	SLU 71	-67	1	3583	-0.46	-2.5	0
99	SLU 72	-67	1	3591	-0.54	-2.49	0.01
99	SLU 73	-83	1	4466	-0.6	-3.13	0.01
99	SLU 74	-83	1	4454	-0.48	-3.14	0.01
99	SLU 75	-83	1	4461	-0.56	-3.14	0.01
99	SLU 76	-83	1	4466	-0.6	-3.13	0.01
99	SLU 77	-83	1	4454	-0.48	-3.14	0.01
99	SLU 78	-83	1	4461	-0.56	-3.14	0.01
99	SLU 79	-83	1	4454	-0.48	-3.14	0.01
99	SLU 80	-83	1	4461	-0.56	-3.14	0.01
99	SLU 81	-90	1	4827	-0.49	-3.42	0.01
99	SLU 82	-90	1	4834	-0.56	-3.42	0.01
99	SLU 83	-90	1	4827	-0.49	-3.42	0.01
99	SLU 84	-90	1	4834	-0.56	-3.42	0.01
99	SLE RA 1	-49	1	2659	-0.35	-1.85	0
99	SLE RA 2	-49	1	2668	-0.44	-1.84	0
99	SLE RA 3	-49	1	2659	-0.35	-1.85	0
99	SLE RA 4	-49	1	2664	-0.4	-1.85	0
99	SLE RA 5	-49	1	2668	-0.44	-1.84	0
99	SLE RA 6	-49	1	2659	-0.35	-1.85	0
99	SLE RA 7	-49	1	2664	-0.4	-1.85	0
99	SLE RA 8	-49	1	2659	-0.35	-1.85	0
99	SLE RA 9	-49	1	2664	-0.4	-1.85	0
99	SLE RA 10	-60	1	3248	-0.45	-2.27	0
99	SLE RA 11	-60	1	3239	-0.37	-2.28	0
99	SLE RA 12	-60	1	3244	-0.42	-2.28	0
99	SLE RA 13	-60	1	3248	-0.45	-2.27	0
99	SLE RA 14	-60	1	3239	-0.37	-2.28	0
99	SLE RA 15	-60	1	3244	-0.42	-2.28	0
99	SLE RA 16	-60	1	3239	-0.37	-2.28	0
99	SLE RA 17	-60	1	3244	-0.42	-2.28	0
99	SLE RA 18	-65	1	3488	-0.37	-2.47	0
99	SLE RA 19	-65	1	3493	-0.42	-2.46	0
99	SLE RA 20	-65	1	3488	-0.37	-2.47	0
99	SLE RA 21	-65	1	3493	-0.42	-2.46	0
99	SLE FR 1	-49	1	2659	-0.35	-1.85	0
99	SLE FR 2	-49	1	2661	-0.37	-1.85	0
99	SLE FR 3	-49	1	2659	-0.35	-1.85	0
99	SLE FR 4	-54	1	2909	-0.38	-2.03	0
99	SLE FR 5	-54	1	2908	-0.36	-2.03	0
99	SLE FR 6	-57	1	3074	-0.36	-2.16	0
99	SLE QP 1	-49	1	2659	-0.35	-1.85	0
99	SLE QP 2	-54	1	2908	-0.36	-2.03	0



Nodo Ind.	Cont. N.br.	Reazione a traslazione			Reazione a rotazione		
		x	y	z	x	y	z
99	SLD 1	165	0	2922	0.12	7.58	0
99	SLD 2	165	0	2922	0.12	7.58	0
99	SLD 3	202	6	3000	-3.33	9.08	0.03
99	SLD 4	202	6	3000	-3.33	9.08	0.03
99	SLD 5	-44	-8	2794	5.01	-1.43	-0.05
99	SLD 6	-44	-8	2794	5.01	-1.43	-0.05
99	SLD 7	79	11	3053	-6.48	3.58	0.06
99	SLD 8	79	11	3053	-6.48	3.58	0.06
99	SLD 9	-187	-9	2762	5.76	-7.65	-0.05
99	SLD 10	-187	-9	2762	5.76	-7.65	-0.05
99	SLD 11	-64	10	3021	-5.73	-2.64	0.05
99	SLD 12	-64	10	3021	-5.73	-2.64	0.05
99	SLD 13	-310	-4	2816	2.61	-13.15	-0.02
99	SLD 14	-310	-4	2816	2.61	-13.15	-0.02
99	SLD 15	-273	2	2893	-0.84	-11.65	0.01
99	SLD 16	-273	2	2893	-0.84	-11.65	0.01
99	SLV 1	462	-1	2948	0.95	20.62	-0.01
99	SLV 2	462	-1	2948	0.95	20.62	-0.01
99	SLV 3	551	13	3134	-7.81	24.27	0.07
99	SLV 4	551	13	3134	-7.81	24.27	0.07
99	SLV 5	-35	-21	2638	13.32	-0.77	-0.12
99	SLV 6	-35	-21	2638	13.32	-0.77	-0.12
99	SLV 7	264	26	3257	-15.88	11.39	0.15
99	SLV 8	264	26	3257	-15.88	11.39	0.15
99	SLV 9	-372	-24	2558	15.16	-15.46	-0.14
99	SLV 10	-372	-24	2558	15.16	-15.46	-0.14
99	SLV 11	-73	23	3178	-14.04	-3.3	0.13
99	SLV 12	-73	23	3178	-14.04	-3.3	0.13
99	SLV 13	-659	-11	2682	7.09	-28.34	-0.06
99	SLV 14	-659	-11	2682	7.09	-28.34	-0.06
99	SLV 15	-570	3	2868	-1.67	-24.69	0.02
99	SLV 16	-570	3	2868	-1.67	-24.69	0.02
100	SLU 1	-75	1	2525	-0.19	-3.45	0
100	SLU 2	-76	1	2537	-0.34	-3.47	0
100	SLU 3	-75	1	2525	-0.19	-3.45	0
100	SLU 4	-76	1	2532	-0.28	-3.46	0
100	SLU 5	-76	1	2537	-0.34	-3.47	0
100	SLU 6	-75	1	2525	-0.19	-3.45	0
100	SLU 7	-76	1	2532	-0.28	-3.46	0
100	SLU 8	-75	1	2525	-0.19	-3.45	0
100	SLU 9	-76	1	2532	-0.28	-3.46	0
100	SLU 10	-105	1	3408	-0.29	-4.8	0
100	SLU 11	-105	1	3395	-0.14	-4.77	0
100	SLU 12	-105	1	3403	-0.23	-4.79	0
100	SLU 13	-105	1	3408	-0.29	-4.8	0
100	SLU 14	-105	1	3395	-0.14	-4.77	0
100	SLU 15	-105	1	3403	-0.23	-4.79	0
100	SLU 16	-105	1	3395	-0.14	-4.77	0
100	SLU 17	-105	1	3403	-0.23	-4.79	0
100	SLU 18	-117	1	3769	-0.12	-5.34	0
100	SLU 19	-117	1	3776	-0.21	-5.35	0
100	SLU 20	-117	1	3769	-0.12	-5.34	0
100	SLU 21	-117	1	3776	-0.21	-5.35	0
100	SLU 22	-90	1	2968	-0.17	-4.12	0
100	SLU 23	-91	1	2980	-0.32	-4.15	0
100	SLU 24	-90	1	2968	-0.17	-4.12	0
100	SLU 25	-91	1	2975	-0.26	-4.14	0
100	SLU 26	-91	1	2980	-0.32	-4.15	0
100	SLU 27	-90	1	2968	-0.17	-4.12	0
100	SLU 28	-91	1	2975	-0.26	-4.14	0
100	SLU 29	-90	1	2968	-0.17	-4.12	0
100	SLU 30	-91	1	2975	-0.26	-4.14	0
100	SLU 31	-120	1	3851	-0.27	-5.47	0
100	SLU 32	-119	1	3839	-0.12	-5.44	0
100	SLU 33	-120	1	3846	-0.21	-5.46	0
100	SLU 34	-120	1	3851	-0.27	-5.47	0
100	SLU 35	-119	1	3839	-0.12	-5.44	0
100	SLU 36	-120	1	3846	-0.21	-5.46	0
100	SLU 37	-119	1	3839	-0.12	-5.44	0
100	SLU 38	-120	1	3846	-0.21	-5.46	0
100	SLU 39	-132	1	4212	-0.1	-6.01	0
100	SLU 40	-132	1	4219	-0.19	-6.03	0
100	SLU 41	-132	1	4212	-0.1	-6.01	0
100	SLU 42	-132	1	4219	-0.19	-6.03	0
100	SLU 43	-93	1	3130	-0.26	-4.25	0
100	SLU 44	-93	1	3143	-0.41	-4.28	0
100	SLU 45	-93	1	3130	-0.26	-4.25	0
100	SLU 46	-93	1	3138	-0.35	-4.27	0
100	SLU 47	-93	1	3143	-0.41	-4.28	0
100	SLU 48	-93	1	3130	-0.26	-4.25	0
100	SLU 49	-93	1	3138	-0.35	-4.27	0
100	SLU 50	-93	1	3130	-0.26	-4.25	0
100	SLU 51	-93	1	3138	-0.35	-4.27	0
100	SLU 52	-123	1	4013	-0.36	-5.6	0
100	SLU 53	-122	1	4001	-0.21	-5.57	0
100	SLU 54	-122	1	4008	-0.3	-5.59	0
100	SLU 55	-123	1	4013	-0.36	-5.6	0
100	SLU 56	-122	1	4001	-0.21	-5.57	0



Nodo Ind.	Cont. N.br.	Reazione a traslazione			Reazione a rotazione		
		x	y	z	x	y	z
100	SLU 57	-122	1	4008	-0.3	-5.59	0
100	SLU 58	-122	1	4001	-0.21	-5.57	0
100	SLU 59	-122	1	4008	-0.3	-5.59	0
100	SLU 60	-135	1	4374	-0.19	-6.14	0
100	SLU 61	-135	1	4382	-0.28	-6.16	0
100	SLU 62	-135	1	4374	-0.19	-6.14	0
100	SLU 63	-135	1	4382	-0.28	-6.16	0
100	SLU 64	-108	1	3573	-0.23	-4.92	0
100	SLU 65	-108	1	3586	-0.38	-4.95	0
100	SLU 66	-108	1	3573	-0.23	-4.92	0
100	SLU 67	-108	1	3581	-0.32	-4.94	0
100	SLU 68	-108	1	3586	-0.38	-4.95	0
100	SLU 69	-108	1	3573	-0.23	-4.92	0
100	SLU 70	-108	1	3581	-0.32	-4.94	0
100	SLU 71	-108	1	3573	-0.23	-4.92	0
100	SLU 72	-108	1	3581	-0.32	-4.94	0
100	SLU 73	-138	1	4456	-0.34	-6.27	0
100	SLU 74	-137	1	4444	-0.18	-6.24	0
100	SLU 75	-137	1	4451	-0.27	-6.26	0
100	SLU 76	-138	1	4456	-0.34	-6.27	0
100	SLU 77	-137	1	4444	-0.18	-6.24	0
100	SLU 78	-137	1	4451	-0.27	-6.26	0
100	SLU 79	-137	1	4444	-0.18	-6.24	0
100	SLU 80	-137	1	4451	-0.27	-6.26	0
100	SLU 81	-149	1	4817	-0.16	-6.81	0
100	SLU 82	-150	1	4825	-0.25	-6.83	0
100	SLU 83	-149	1	4817	-0.16	-6.81	0
100	SLU 84	-150	1	4825	-0.25	-6.83	0
100	SLE RA 1	-80	1	2651	-0.18	-3.64	0
100	SLE RA 2	-80	1	2660	-0.28	-3.66	0
100	SLE RA 3	-80	1	2651	-0.18	-3.64	0
100	SLE RA 4	-80	1	2656	-0.24	-3.65	0
100	SLE RA 5	-80	1	2660	-0.28	-3.66	0
100	SLE RA 6	-80	1	2651	-0.18	-3.64	0
100	SLE RA 7	-80	1	2656	-0.24	-3.65	0
100	SLE RA 8	-80	1	2651	-0.18	-3.64	0
100	SLE RA 9	-80	1	2656	-0.24	-3.65	0
100	SLE RA 10	-99	1	3240	-0.25	-4.54	0
100	SLE RA 11	-99	1	3232	-0.15	-4.52	0
100	SLE RA 12	-99	1	3237	-0.21	-4.53	0
100	SLE RA 13	-99	1	3240	-0.25	-4.54	0
100	SLE RA 14	-99	1	3232	-0.15	-4.52	0
100	SLE RA 15	-99	1	3237	-0.21	-4.53	0
100	SLE RA 16	-99	1	3232	-0.15	-4.52	0
100	SLE RA 17	-99	1	3237	-0.21	-4.53	0
100	SLE RA 18	-107	1	3481	-0.14	-4.9	0
100	SLE RA 19	-108	1	3486	-0.2	-4.91	0
100	SLE RA 20	-107	1	3481	-0.14	-4.9	0
100	SLE RA 21	-108	1	3486	-0.2	-4.91	0
100	SLE FR 1	-80	1	2651	-0.18	-3.64	0
100	SLE FR 2	-80	1	2653	-0.2	-3.64	0
100	SLE FR 3	-80	1	2651	-0.18	-3.64	0
100	SLE FR 4	-88	1	2902	-0.19	-4.02	0
100	SLE FR 5	-88	1	2900	-0.17	-4.02	0
100	SLE FR 6	-94	1	3066	-0.16	-4.27	0
100	SLE QP 1	-80	1	2651	-0.18	-3.64	0
100	SLE QP 2	-88	1	2900	-0.17	-4.02	0
100	SLD 1	128	-1	2899	0.69	5.49	-0.01
100	SLD 2	128	-1	2899	0.69	5.49	-0.01
100	SLD 3	170	7	2999	-3.63	7.17	0.04
100	SLD 4	170	7	2999	-3.63	7.17	0.04
100	SLD 5	-86	-13	2748	6.64	-3.71	-0.07
100	SLD 6	-86	-13	2748	6.64	-3.71	-0.07
100	SLD 7	52	16	3082	-7.76	1.89	0.08
100	SLD 8	52	16	3082	-7.76	1.89	0.08
100	SLD 9	-228	-15	2719	7.42	-9.92	-0.08
100	SLD 10	-228	-15	2719	7.42	-9.92	-0.08
100	SLD 11	-90	14	3052	-6.98	-4.32	0.07
100	SLD 12	-90	14	3052	-6.98	-4.32	0.07
100	SLD 13	-346	-6	2801	3.29	-15.2	-0.03
100	SLD 14	-346	-6	2801	3.29	-15.2	-0.03
100	SLD 15	-304	2	2901	-1.03	-13.53	0.01
100	SLD 16	-304	2	2901	-1.03	-13.53	0.01
100	SLV 1	422	-4	2901	2.08	18.39	-0.02
100	SLV 2	422	-4	2901	2.08	18.39	-0.02
100	SLV 3	523	18	3142	-8.92	22.47	0.09
100	SLV 4	523	18	3142	-8.92	22.47	0.09
100	SLV 5	-88	-34	2534	17.2	-3.49	-0.18
100	SLV 6	-88	-34	2534	17.2	-3.49	-0.18
100	SLV 7	249	39	3339	-19.49	10.12	0.2
100	SLV 8	249	39	3339	-19.49	10.12	0.2
100	SLV 9	-425	-38	2461	19.15	-18.16	-0.2
100	SLV 10	-425	-38	2461	19.15	-18.16	-0.2
100	SLV 11	-87	36	3266	-17.54	-4.54	0.18
100	SLV 12	-87	36	3266	-17.54	-4.54	0.18
100	SLV 13	-699	-17	2658	8.58	-30.5	-0.09
100	SLV 14	-699	-17	2658	8.58	-30.5	-0.09
100	SLV 15	-598	5	2899	-2.42	-26.42	0.03



Nodo Ind.	Cont. N.br.	Reazione a traslazione			Reazione a rotazione		
		x	y	z	x	y	z
100	SLV 16	-598	5	2899	-2.42	-26.42	0.03
101	SLU 1	-95	0	2508	0.08	-3.83	0
101	SLU 2	-96	0	2519	-0.06	-3.86	0
101	SLU 3	-95	0	2508	0.08	-3.83	0
101	SLU 4	-96	0	2515	-0.01	-3.85	0
101	SLU 5	-96	0	2519	-0.06	-3.86	0
101	SLU 6	-95	0	2508	0.08	-3.83	0
101	SLU 7	-96	0	2515	-0.01	-3.85	0
101	SLU 8	-95	0	2508	0.08	-3.83	0
101	SLU 9	-96	0	2515	-0.01	-3.85	0
101	SLU 10	-136	0	3384	0.06	-5.52	0
101	SLU 11	-135	0	3373	0.2	-5.48	0
101	SLU 12	-136	0	3380	0.12	-5.51	0
101	SLU 13	-136	0	3384	0.06	-5.52	0
101	SLU 14	-135	0	3373	0.2	-5.48	0
101	SLU 15	-136	0	3380	0.12	-5.51	0
101	SLU 16	-135	0	3373	0.2	-5.48	0
101	SLU 17	-136	0	3380	0.12	-5.51	0
101	SLU 18	-153	0	3743	0.25	-6.19	0
101	SLU 19	-153	0	3750	0.17	-6.21	0
101	SLU 20	-153	0	3743	0.25	-6.19	0
101	SLU 21	-153	0	3750	0.17	-6.21	0
101	SLU 22	-116	0	2948	0.14	-4.67	0
101	SLU 23	-117	0	2960	0	-4.71	0
101	SLU 24	-116	0	2948	0.14	-4.67	0
101	SLU 25	-116	0	2955	0.06	-4.69	0
101	SLU 26	-117	0	2960	0	-4.71	0
101	SLU 27	-116	0	2948	0.14	-4.67	0
101	SLU 28	-116	0	2955	0.06	-4.69	0
101	SLU 29	-116	0	2948	0.14	-4.67	0
101	SLU 30	-116	0	2955	0.06	-4.69	0
101	SLU 31	-157	0	3825	0.13	-6.36	0
101	SLU 32	-156	0	3813	0.26	-6.33	0
101	SLU 33	-157	0	3820	0.18	-6.35	0
101	SLU 34	-157	0	3825	0.13	-6.36	0
101	SLU 35	-156	0	3813	0.26	-6.33	0
101	SLU 36	-157	0	3820	0.18	-6.35	0
101	SLU 37	-156	0	3813	0.26	-6.33	0
101	SLU 38	-157	0	3820	0.18	-6.35	0
101	SLU 39	-173	0	4184	0.32	-7.03	0
101	SLU 40	-174	0	4191	0.23	-7.06	0
101	SLU 41	-173	0	4184	0.32	-7.03	0
101	SLU 42	-174	0	4191	0.23	-7.06	0
101	SLU 43	-117	0	3109	0.08	-4.69	0
101	SLU 44	-118	0	3121	-0.06	-4.72	0
101	SLU 45	-117	0	3109	0.08	-4.69	0
101	SLU 46	-117	0	3116	0	-4.71	0
101	SLU 47	-118	0	3121	-0.06	-4.72	0
101	SLU 48	-117	0	3109	0.08	-4.69	0
101	SLU 49	-117	0	3116	0	-4.71	0
101	SLU 50	-117	0	3109	0.08	-4.69	0
101	SLU 51	-117	0	3116	0	-4.71	0
101	SLU 52	-158	0	3986	0.06	-6.38	0
101	SLU 53	-157	0	3974	0.2	-6.34	0
101	SLU 54	-158	0	3981	0.12	-6.36	0
101	SLU 55	-158	0	3986	0.06	-6.38	0
101	SLU 56	-157	0	3974	0.2	-6.34	0
101	SLU 57	-158	0	3981	0.12	-6.36	0
101	SLU 58	-157	0	3974	0.2	-6.34	0
101	SLU 59	-158	0	3981	0.12	-6.36	0
101	SLU 60	-174	0	4345	0.25	-7.05	0
101	SLU 61	-175	0	4352	0.17	-7.07	0
101	SLU 62	-174	0	4345	0.25	-7.05	0
101	SLU 63	-175	0	4352	0.17	-7.07	0
101	SLU 64	-137	0	3549	0.14	-5.53	0
101	SLU 65	-138	0	3561	0	-5.57	0
101	SLU 66	-137	0	3549	0.14	-5.53	0
101	SLU 67	-138	0	3556	0.06	-5.55	0
101	SLU 68	-138	0	3561	0	-5.57	0
101	SLU 69	-137	0	3549	0.14	-5.53	0
101	SLU 70	-138	0	3556	0.06	-5.55	0
101	SLU 71	-137	0	3549	0.14	-5.53	0
101	SLU 72	-138	0	3556	0.06	-5.55	0
101	SLU 73	-178	0	4426	0.13	-7.22	0
101	SLU 74	-177	0	4414	0.26	-7.18	0
101	SLU 75	-178	0	4421	0.18	-7.21	0
101	SLU 76	-178	0	4426	0.13	-7.22	0
101	SLU 77	-177	0	4414	0.26	-7.18	0
101	SLU 78	-178	0	4421	0.18	-7.21	0
101	SLU 79	-177	0	4414	0.26	-7.18	0
101	SLU 80	-178	0	4421	0.18	-7.21	0
101	SLU 81	-195	0	4785	0.32	-7.89	0
101	SLU 82	-195	0	4792	0.23	-7.92	0
101	SLU 83	-195	0	4785	0.32	-7.89	0
101	SLU 84	-195	0	4792	0.23	-7.92	0
101	SLE RA 1	-101	0	2633	0.1	-4.07	0
101	SLE RA 2	-102	0	2641	0	-4.09	0
101	SLE RA 3	-101	0	2633	0.1	-4.07	0



Nodo Ind.	Cont. N.br.	Reazione a traslazione			Reazione a rotazione		
		x	y	z	x	y	z
101	SLE RA 4	-101	0	2638	0.04	-4.08	0
101	SLE RA 5	-102	0	2641	0	-4.09	0
101	SLE RA 6	-101	0	2633	0.1	-4.07	0
101	SLE RA 7	-101	0	2638	0.04	-4.08	0
101	SLE RA 8	-101	0	2633	0.1	-4.07	0
101	SLE RA 9	-101	0	2638	0.04	-4.08	0
101	SLE RA 10	-129	0	3218	0.09	-5.2	0
101	SLE RA 11	-128	0	3210	0.18	-5.17	0
101	SLE RA 12	-128	0	3215	0.12	-5.19	0
101	SLE RA 13	-129	0	3218	0.09	-5.2	0
101	SLE RA 14	-128	0	3210	0.18	-5.17	0
101	SLE RA 15	-128	0	3215	0.12	-5.19	0
101	SLE RA 16	-128	0	3210	0.18	-5.17	0
101	SLE RA 17	-128	0	3215	0.12	-5.19	0
101	SLE RA 18	-139	0	3457	0.21	-5.64	0
101	SLE RA 19	-140	0	3462	0.16	-5.66	0
101	SLE RA 20	-139	0	3457	0.21	-5.64	0
101	SLE RA 21	-140	0	3462	0.16	-5.66	0
101	SLE FR 1	-101	0	2633	0.1	-4.07	0
101	SLE FR 2	-101	0	2635	0.08	-4.07	0
101	SLE FR 3	-101	0	2633	0.1	-4.07	0
101	SLE FR 4	-113	0	2882	0.11	-4.55	0
101	SLE FR 5	-112	0	2881	0.13	-4.54	0
101	SLE FR 6	-120	0	3045	0.15	-4.86	0
101	SLE QP 1	-101	0	2633	0.1	-4.07	0
101	SLE QP 2	-112	0	2881	0.13	-4.54	0
101	SLD 1	101	-8	2859	1.06	4.94	-0.03
101	SLD 2	101	-8	2859	1.06	4.94	-0.03
101	SLD 3	148	3	2999	-3.22	6.68	0.01
101	SLD 4	148	3	2999	-3.22	6.68	0.01
101	SLD 5	-119	-18	2662	6.91	-4.34	-0.07
101	SLD 6	-119	-18	2662	6.91	-4.34	-0.07
101	SLD 7	37	17	3128	-7.38	1.47	0.07
101	SLD 8	37	17	3128	-7.38	1.47	0.07
101	SLD 9	-262	-17	2633	7.64	-10.55	-0.06
101	SLD 10	-262	-17	2633	7.64	-10.55	-0.06
101	SLD 11	-106	19	3099	-6.65	-4.74	0.07
101	SLD 12	-106	19	3099	-6.65	-4.74	0.07
101	SLD 13	-373	-2	2762	3.48	-15.76	-0.01
101	SLD 14	-373	-2	2762	3.48	-15.76	-0.01
101	SLD 15	-326	8	2902	-0.8	-14.02	0.03
101	SLD 16	-326	8	2902	-0.8	-14.02	0.03
101	SLV 1	391	-21	2831	2.54	17.77	-0.08
101	SLV 2	391	-21	2831	2.54	17.77	-0.08
101	SLV 3	505	6	3170	-8.39	22.04	0.03
101	SLV 4	505	6	3170	-8.39	22.04	0.03
101	SLV 5	-136	-47	2352	17.43	-4.32	-0.18
101	SLV 6	-136	-47	2352	17.43	-4.32	-0.18
101	SLV 7	247	43	3481	-19	9.91	0.16
101	SLV 8	247	43	3481	-19	9.91	0.16
101	SLV 9	-472	-43	2280	19.26	-18.99	-0.16
101	SLV 10	-472	-43	2280	19.26	-18.99	-0.16
101	SLV 11	-89	47	3409	-17.17	-4.76	0.18
101	SLV 12	-89	47	3409	-17.17	-4.76	0.18
101	SLV 13	-730	-6	2591	8.65	-31.13	-0.02
101	SLV 14	-730	-6	2591	8.65	-31.13	-0.02
101	SLV 15	-615	21	2930	-2.28	-26.86	0.08
101	SLV 16	-615	21	2930	-2.28	-26.86	0.08
102	SLU 1	-118	-2	2490	0.51	-5.24	-0.01
102	SLU 2	-120	-1	2501	0.43	-5.31	-0.01
102	SLU 3	-118	-2	2490	0.51	-5.24	-0.01
102	SLU 4	-119	-1	2497	0.46	-5.28	-0.01
102	SLU 5	-120	-1	2501	0.43	-5.31	-0.01
102	SLU 6	-118	-2	2490	0.51	-5.24	-0.01
102	SLU 7	-119	-1	2497	0.46	-5.28	-0.01
102	SLU 8	-118	-2	2490	0.51	-5.24	-0.01
102	SLU 9	-119	-1	2497	0.46	-5.28	-0.01
102	SLU 10	-173	-2	3358	0.66	-7.63	-0.01
102	SLU 11	-172	-2	3346	0.74	-7.56	-0.01
102	SLU 12	-172	-2	3353	0.69	-7.6	-0.01
102	SLU 13	-173	-2	3358	0.66	-7.63	-0.01
102	SLU 14	-172	-2	3346	0.74	-7.56	-0.01
102	SLU 15	-172	-2	3353	0.69	-7.6	-0.01
102	SLU 16	-172	-2	3346	0.74	-7.56	-0.01
102	SLU 17	-172	-2	3353	0.69	-7.6	-0.01
102	SLU 18	-194	-2	3713	0.84	-8.56	-0.01
102	SLU 19	-195	-2	3720	0.79	-8.59	-0.01
102	SLU 20	-194	-2	3713	0.84	-8.56	-0.01
102	SLU 21	-195	-2	3720	0.79	-8.59	-0.01
102	SLU 22	-145	-2	2926	0.63	-6.42	-0.01
102	SLU 23	-147	-2	2937	0.55	-6.49	-0.01
102	SLU 24	-145	-2	2926	0.63	-6.42	-0.01
102	SLU 25	-146	-2	2932	0.58	-6.46	-0.01
102	SLU 26	-147	-2	2937	0.55	-6.49	-0.01
102	SLU 27	-145	-2	2926	0.63	-6.42	-0.01
102	SLU 28	-146	-2	2932	0.58	-6.46	-0.01
102	SLU 29	-145	-2	2926	0.63	-6.42	-0.01
102	SLU 30	-146	-2	2932	0.58	-6.46	-0.01



Nodo Ind.	Cont. N.br.	Reazione a traslazione			Reazione a rotazione		
		x	y	z	x	y	z
102	SLU 31	-200	-2	3793	0.78	-8.8	-0.01
102	SLU 32	-199	-2	3782	0.86	-8.74	-0.01
102	SLU 33	-200	-2	3789	0.81	-8.78	-0.01
102	SLU 34	-200	-2	3793	0.78	-8.8	-0.01
102	SLU 35	-199	-2	3782	0.86	-8.74	-0.01
102	SLU 36	-200	-2	3789	0.81	-8.78	-0.01
102	SLU 37	-199	-2	3782	0.86	-8.74	-0.01
102	SLU 38	-200	-2	3789	0.81	-8.78	-0.01
102	SLU 39	-221	-2	4149	0.96	-9.73	-0.01
102	SLU 40	-222	-2	4156	0.91	-9.77	-0.01
102	SLU 41	-221	-2	4149	0.96	-9.73	-0.01
102	SLU 42	-222	-2	4156	0.91	-9.77	-0.01
102	SLU 43	-145	-2	3087	0.62	-6.41	-0.01
102	SLU 44	-146	-2	3098	0.54	-6.48	-0.01
102	SLU 45	-145	-2	3087	0.62	-6.41	-0.01
102	SLU 46	-145	-2	3094	0.57	-6.45	-0.01
102	SLU 47	-146	-2	3098	0.54	-6.48	-0.01
102	SLU 48	-145	-2	3087	0.62	-6.41	-0.01
102	SLU 49	-145	-2	3094	0.57	-6.45	-0.01
102	SLU 50	-145	-2	3087	0.62	-6.41	-0.01
102	SLU 51	-145	-2	3094	0.57	-6.45	-0.01
102	SLU 52	-199	-2	3955	0.77	-8.79	-0.01
102	SLU 53	-198	-2	3944	0.85	-8.73	-0.01
102	SLU 54	-199	-2	3951	0.8	-8.77	-0.01
102	SLU 55	-199	-2	3955	0.77	-8.79	-0.01
102	SLU 56	-198	-2	3944	0.85	-8.73	-0.01
102	SLU 57	-199	-2	3951	0.8	-8.77	-0.01
102	SLU 58	-198	-2	3944	0.85	-8.73	-0.01
102	SLU 59	-199	-2	3951	0.8	-8.77	-0.01
102	SLU 60	-221	-3	4311	0.95	-9.72	-0.01
102	SLU 61	-221	-2	4318	0.9	-9.76	-0.01
102	SLU 62	-221	-3	4311	0.95	-9.72	-0.01
102	SLU 63	-221	-2	4318	0.9	-9.76	-0.01
102	SLU 64	-172	-2	3523	0.74	-7.59	-0.01
102	SLU 65	-173	-2	3534	0.66	-7.65	-0.01
102	SLU 66	-172	-2	3523	0.74	-7.59	-0.01
102	SLU 67	-173	-2	3530	0.69	-7.63	-0.01
102	SLU 68	-173	-2	3534	0.66	-7.65	-0.01
102	SLU 69	-172	-2	3523	0.74	-7.59	-0.01
102	SLU 70	-173	-2	3530	0.69	-7.63	-0.01
102	SLU 71	-172	-2	3523	0.74	-7.59	-0.01
102	SLU 72	-173	-2	3530	0.69	-7.63	-0.01
102	SLU 73	-226	-2	4391	0.89	-9.97	-0.01
102	SLU 74	-225	-3	4380	0.97	-9.91	-0.01
102	SLU 75	-226	-3	4386	0.92	-9.95	-0.01
102	SLU 76	-226	-2	4391	0.89	-9.97	-0.01
102	SLU 77	-225	-3	4380	0.97	-9.91	-0.01
102	SLU 78	-226	-3	4386	0.92	-9.95	-0.01
102	SLU 79	-225	-3	4380	0.97	-9.91	-0.01
102	SLU 80	-226	-3	4386	0.92	-9.95	-0.01
102	SLU 81	-248	-3	4747	1.07	-10.9	-0.02
102	SLU 82	-249	-3	4754	1.02	-10.94	-0.02
102	SLU 83	-248	-3	4747	1.07	-10.9	-0.02
102	SLU 84	-249	-3	4754	1.02	-10.94	-0.02
102	SLE RA 1	-126	-2	2614	0.54	-5.58	-0.01
102	SLE RA 2	-127	-1	2622	0.49	-5.62	-0.01
102	SLE RA 3	-126	-2	2614	0.54	-5.58	-0.01
102	SLE RA 4	-127	-2	2619	0.51	-5.61	-0.01
102	SLE RA 5	-127	-1	2622	0.49	-5.62	-0.01
102	SLE RA 6	-126	-2	2614	0.54	-5.58	-0.01
102	SLE RA 7	-127	-2	2619	0.51	-5.61	-0.01
102	SLE RA 8	-126	-2	2614	0.54	-5.58	-0.01
102	SLE RA 9	-127	-2	2619	0.51	-5.61	-0.01
102	SLE RA 10	-163	-2	3193	0.64	-7.17	-0.01
102	SLE RA 11	-162	-2	3185	0.7	-7.13	-0.01
102	SLE RA 12	-162	-2	3190	0.66	-7.15	-0.01
102	SLE RA 13	-163	-2	3193	0.64	-7.17	-0.01
102	SLE RA 14	-162	-2	3185	0.7	-7.13	-0.01
102	SLE RA 15	-162	-2	3190	0.66	-7.15	-0.01
102	SLE RA 16	-162	-2	3185	0.7	-7.13	-0.01
102	SLE RA 17	-162	-2	3190	0.66	-7.15	-0.01
102	SLE RA 18	-177	-2	3430	0.76	-7.79	-0.01
102	SLE RA 19	-177	-2	3435	0.73	-7.81	-0.01
102	SLE RA 20	-177	-2	3430	0.76	-7.79	-0.01
102	SLE RA 21	-177	-2	3435	0.73	-7.81	-0.01
102	SLE FR 1	-126	-2	2614	0.54	-5.58	-0.01
102	SLE FR 2	-126	-2	2616	0.53	-5.59	-0.01
102	SLE FR 3	-126	-2	2614	0.54	-5.58	-0.01
102	SLE FR 4	-141	-2	2861	0.6	-6.25	-0.01
102	SLE FR 5	-141	-2	2859	0.61	-6.24	-0.01
102	SLE FR 6	-151	-2	3022	0.65	-6.68	-0.01
102	SLE QP 1	-126	-2	2614	0.54	-5.58	-0.01
102	SLE QP 2	-141	-2	2859	0.61	-6.24	-0.01
102	SLD 1	69	-8	2809	2.65	3.11	-0.01
102	SLD 2	69	-8	2809	2.65	3.11	-0.01
102	SLD 3	122	0	3027	0.04	5	-0.01
102	SLD 4	122	0	3027	0.04	5	-0.01
102	SLD 5	-159	-15	2513	5.19	-6.31	0



Nodo Ind.	Cont. N.br.	Reazione a traslazione			Reazione a rotazione		
		x	y	z	x	y	z
102	SLD 6	-159	-15	2513	5.19	-6.31	0
102	SLD 7	19	10	3241	-3.53	0	-0.02
102	SLD 8	19	10	3241	-3.53	0	-0.02
102	SLD 9	-301	-14	2477	4.75	-12.48	0
102	SLD 10	-301	-14	2477	4.75	-12.48	0
102	SLD 11	-123	12	3205	-3.97	-6.18	-0.02
102	SLD 12	-123	12	3205	-3.97	-6.18	-0.02
102	SLD 13	-405	-3	2691	1.18	-17.48	-0.01
102	SLD 14	-405	-3	2691	1.18	-17.48	-0.01
102	SLD 15	-351	4	2909	-1.44	-15.59	-0.01
102	SLD 16	-351	4	2909	-1.44	-15.59	-0.01
102	SLV 1	353	-17	2738	5.78	15.77	-0.01
102	SLV 2	353	-17	2738	5.78	15.77	-0.01
102	SLV 3	484	3	3270	-0.87	20.4	-0.02
102	SLV 4	484	3	3270	-0.87	20.4	-0.02
102	SLV 5	-191	-36	2017	12.24	-6.66	0.01
102	SLV 6	-191	-36	2017	12.24	-6.66	0.01
102	SLV 7	245	29	3788	-9.91	8.77	-0.03
102	SLV 8	245	29	3788	-9.91	8.77	-0.03
102	SLV 9	-527	-32	1930	11.13	-21.25	0.01
102	SLV 10	-527	-32	1930	11.13	-21.25	0.01
102	SLV 11	-91	32	3701	-11.02	-5.83	-0.03
102	SLV 12	-91	32	3701	-11.02	-5.83	-0.03
102	SLV 13	-766	-6	2449	2.09	-32.88	0
102	SLV 14	-766	-6	2449	2.09	-32.88	0
102	SLV 15	-636	13	2980	-4.56	-28.25	-0.01
102	SLV 16	-636	13	2980	-4.56	-28.25	-0.01
103	SLU 1	-153	-156	3472	4.31	-6.17	-0.01
103	SLU 2	-155	-157	3486	4.35	-6.26	-0.01
103	SLU 3	-153	-156	3472	4.31	-6.17	-0.01
103	SLU 4	-154	-157	3480	4.33	-6.22	-0.01
103	SLU 5	-155	-157	3486	4.35	-6.26	-0.01
103	SLU 6	-153	-156	3472	4.31	-6.17	-0.01
103	SLU 7	-154	-157	3480	4.33	-6.22	-0.01
103	SLU 8	-153	-156	3472	4.31	-6.17	-0.01
103	SLU 9	-154	-157	3480	4.33	-6.22	-0.01
103	SLU 10	-228	-202	4654	5.75	-9.2	-0.02
103	SLU 11	-226	-201	4640	5.72	-9.11	-0.02
103	SLU 12	-227	-202	4648	5.74	-9.16	-0.02
103	SLU 13	-228	-202	4654	5.75	-9.2	-0.02
103	SLU 14	-226	-201	4640	5.72	-9.11	-0.02
103	SLU 15	-227	-202	4648	5.74	-9.16	-0.02
103	SLU 16	-226	-201	4640	5.72	-9.11	-0.02
103	SLU 17	-227	-202	4648	5.74	-9.16	-0.02
103	SLU 18	-257	-221	5140	6.32	-10.37	-0.02
103	SLU 19	-259	-221	5149	6.34	-10.42	-0.02
103	SLU 20	-257	-221	5140	6.32	-10.37	-0.02
103	SLU 21	-259	-221	5149	6.34	-10.42	-0.02
103	SLU 22	-190	-179	4066	5.03	-7.66	-0.01
103	SLU 23	-192	-180	4080	5.06	-7.75	-0.01
103	SLU 24	-190	-179	4066	5.03	-7.66	-0.01
103	SLU 25	-192	-180	4075	5.05	-7.72	-0.01
103	SLU 26	-192	-180	4080	5.06	-7.75	-0.01
103	SLU 27	-190	-179	4066	5.03	-7.66	-0.01
103	SLU 28	-192	-180	4075	5.05	-7.72	-0.01
103	SLU 29	-190	-179	4066	5.03	-7.66	-0.01
103	SLU 30	-192	-180	4075	5.05	-7.72	-0.01
103	SLU 31	-265	-225	5248	6.46	-10.7	-0.02
103	SLU 32	-263	-225	5234	6.43	-10.61	-0.02
103	SLU 33	-265	-225	5243	6.45	-10.66	-0.02
103	SLU 34	-265	-225	5248	6.46	-10.7	-0.02
103	SLU 35	-263	-225	5234	6.43	-10.61	-0.02
103	SLU 36	-265	-225	5243	6.45	-10.66	-0.02
103	SLU 37	-263	-225	5234	6.43	-10.61	-0.02
103	SLU 38	-265	-225	5243	6.45	-10.66	-0.02
103	SLU 39	-295	-244	5735	7.03	-11.87	-0.02
103	SLU 40	-296	-245	5743	7.05	-11.92	-0.02
103	SLU 41	-295	-244	5735	7.03	-11.87	-0.02
103	SLU 42	-296	-245	5743	7.05	-11.92	-0.02
103	SLU 43	-186	-195	4310	5.36	-7.5	-0.01
103	SLU 44	-188	-196	4324	5.4	-7.59	-0.01
103	SLU 45	-186	-195	4310	5.36	-7.5	-0.01
103	SLU 46	-188	-195	4318	5.38	-7.56	-0.01
103	SLU 47	-188	-196	4324	5.4	-7.59	-0.01
103	SLU 48	-186	-195	4310	5.36	-7.5	-0.01
103	SLU 49	-188	-195	4318	5.38	-7.56	-0.01
103	SLU 50	-186	-195	4310	5.36	-7.5	-0.01
103	SLU 51	-188	-195	4318	5.38	-7.56	-0.01
103	SLU 52	-261	-241	5492	6.8	-10.54	-0.02
103	SLU 53	-259	-240	5478	6.77	-10.45	-0.02
103	SLU 54	-261	-241	5486	6.79	-10.5	-0.02
103	SLU 55	-261	-241	5492	6.8	-10.54	-0.02
103	SLU 56	-259	-240	5478	6.77	-10.45	-0.02
103	SLU 57	-261	-241	5486	6.79	-10.5	-0.02
103	SLU 58	-259	-240	5478	6.77	-10.45	-0.02
103	SLU 59	-261	-241	5486	6.79	-10.5	-0.02
103	SLU 60	-291	-260	5978	7.37	-11.71	-0.02
103	SLU 61	-292	-260	5987	7.39	-11.76	-0.02



Nodo Ind.	Cont. N.br.	Reazione a traslazione			Reazione a rotazione		
		x	y	z	x	y	z
103	SLU 62	-291	-260	5978	7.37	-11.71	-0.02
103	SLU 63	-292	-260	5987	7.39	-11.76	-0.02
103	SLU 64	-223	-218	4904	6.08	-9	-0.02
103	SLU 65	-226	-219	4918	6.11	-9.09	-0.02
103	SLU 66	-223	-218	4904	6.08	-9	-0.02
103	SLU 67	-225	-219	4912	6.1	-9.05	-0.02
103	SLU 68	-226	-219	4918	6.11	-9.09	-0.02
103	SLU 69	-223	-218	4904	6.08	-9	-0.02
103	SLU 70	-225	-219	4912	6.1	-9.05	-0.02
103	SLU 71	-223	-218	4904	6.08	-9	-0.02
103	SLU 72	-225	-219	4912	6.1	-9.05	-0.02
103	SLU 73	-299	-264	6086	7.51	-12.03	-0.02
103	SLU 74	-296	-263	6072	7.48	-11.94	-0.02
103	SLU 75	-298	-264	6080	7.5	-12	-0.02
103	SLU 76	-299	-264	6086	7.51	-12.03	-0.02
103	SLU 77	-296	-263	6072	7.48	-11.94	-0.02
103	SLU 78	-298	-264	6080	7.5	-12	-0.02
103	SLU 79	-296	-263	6072	7.48	-11.94	-0.02
103	SLU 80	-298	-264	6080	7.5	-12	-0.02
103	SLU 81	-328	-283	6572	8.08	-13.2	-0.02
103	SLU 82	-329	-283	6581	8.1	-13.26	-0.02
103	SLU 83	-328	-283	6572	8.08	-13.2	-0.02
103	SLU 84	-329	-283	6581	8.1	-13.26	-0.02
103	SLE RA 1	-164	-163	3642	4.52	-6.59	-0.01
103	SLE RA 2	-165	-163	3651	4.54	-6.65	-0.01
103	SLE RA 3	-164	-163	3642	4.52	-6.59	-0.01
103	SLE RA 4	-165	-163	3647	4.53	-6.63	-0.01
103	SLE RA 5	-165	-163	3651	4.54	-6.65	-0.01
103	SLE RA 6	-164	-163	3642	4.52	-6.59	-0.01
103	SLE RA 7	-165	-163	3647	4.53	-6.63	-0.01
103	SLE RA 8	-164	-163	3642	4.52	-6.59	-0.01
103	SLE RA 9	-165	-163	3647	4.53	-6.63	-0.01
103	SLE RA 10	-214	-193	4430	5.47	-8.62	-0.02
103	SLE RA 11	-212	-193	4420	5.45	-8.56	-0.02
103	SLE RA 12	-213	-193	4426	5.47	-8.59	-0.02
103	SLE RA 13	-214	-193	4430	5.47	-8.62	-0.02
103	SLE RA 14	-212	-193	4420	5.45	-8.56	-0.02
103	SLE RA 15	-213	-193	4426	5.47	-8.59	-0.02
103	SLE RA 16	-212	-193	4420	5.45	-8.56	-0.02
103	SLE RA 17	-213	-193	4426	5.47	-8.59	-0.02
103	SLE RA 18	-233	-206	4754	5.85	-9.4	-0.02
103	SLE RA 19	-234	-206	4760	5.87	-9.43	-0.02
103	SLE RA 20	-233	-206	4754	5.85	-9.4	-0.02
103	SLE RA 21	-234	-206	4760	5.87	-9.43	-0.02
103	SLE FR 1	-164	-163	3642	4.52	-6.59	-0.01
103	SLE FR 2	-164	-163	3644	4.52	-6.61	-0.01
103	SLE FR 3	-164	-163	3642	4.52	-6.59	-0.01
103	SLE FR 4	-185	-176	3977	4.92	-7.45	-0.01
103	SLE FR 5	-185	-176	3975	4.92	-7.43	-0.01
103	SLE FR 6	-198	-184	4198	5.19	-7.99	-0.01
103	SLE QP 1	-164	-163	3642	4.52	-6.59	-0.01
103	SLE QP 2	-185	-176	3975	4.92	-7.43	-0.01
103	SLD 1	82	-150	3876	3.44	4.02	0.01
103	SLD 2	82	-150	3876	3.44	4.02	0.01
103	SLD 3	56	-253	4275	9.21	2.93	0
103	SLD 4	56	-253	4275	9.21	2.93	0
103	SLD 5	-66	-12	3339	-4.27	-2.36	0
103	SLD 6	-66	-12	3339	-4.27	-2.36	0
103	SLD 7	-151	-355	4671	14.95	-5.97	-0.02
103	SLD 8	-151	-355	4671	14.95	-5.97	-0.02
103	SLD 9	-218	4	3279	-5.11	-8.9	-0.01
103	SLD 10	-218	4	3279	-5.11	-8.9	-0.01
103	SLD 11	-303	-340	4611	14.11	-12.51	-0.03
103	SLD 12	-303	-340	4611	14.11	-12.51	-0.03
103	SLD 13	-425	-98	3675	0.63	-17.8	-0.03
103	SLD 14	-425	-98	3675	0.63	-17.8	-0.03
103	SLD 15	-451	-201	4075	6.4	-18.88	-0.03
103	SLD 16	-451	-201	4075	6.4	-18.88	-0.03
103	SLV 1	445	-113	3734	1.33	19.62	0.03
103	SLV 2	445	-113	3734	1.33	19.62	0.03
103	SLV 3	384	-364	4707	15.36	17.05	0.02
103	SLV 4	384	-364	4707	15.36	17.05	0.02
103	SLV 5	97	223	2426	-17.45	4.57	0.02
103	SLV 6	97	223	2426	-17.45	4.57	0.02
103	SLV 7	-106	-612	5672	29.34	-3.98	-0.03
103	SLV 8	-106	-612	5672	29.34	-3.98	-0.03
103	SLV 9	-263	261	2279	-19.51	-10.89	0
103	SLV 10	-263	261	2279	-19.51	-10.89	0
103	SLV 11	-466	-574	5525	27.29	-19.44	-0.05
103	SLV 12	-466	-574	5525	27.29	-19.44	-0.05
103	SLV 13	-753	12	3243	-5.53	-31.92	-0.05
103	SLV 14	-753	12	3243	-5.53	-31.92	-0.05
103	SLV 15	-814	-238	4217	8.51	-34.48	-0.06
103	SLV 16	-814	-238	4217	8.51	-34.48	-0.06
104	SLU 1	-201	-2	2831	0.89	-8.23	0.01
104	SLU 2	-204	-2	2841	1.02	-8.34	0.01
104	SLU 3	-201	-2	2831	0.89	-8.23	0.01
104	SLU 4	-202	-2	2837	0.97	-8.3	0.01



Nodo Ind.	Cont. N.br.	Reazione a traslazione			Reazione a rotazione		
		x	y	z	x	y	z
104	SLU 5	-204	-2	2841	1.02	-8.34	0.01
104	SLU 6	-201	-2	2831	0.89	-8.23	0.01
104	SLU 7	-202	-2	2837	0.97	-8.3	0.01
104	SLU 8	-201	-2	2831	0.89	-8.23	0.01
104	SLU 9	-202	-2	2837	0.97	-8.3	0.01
104	SLU 10	-304	-2	3798	1.34	-12.37	0.01
104	SLU 11	-301	-2	3787	1.2	-12.26	0.01
104	SLU 12	-302	-2	3794	1.28	-12.33	0.01
104	SLU 13	-304	-2	3798	1.34	-12.37	0.01
104	SLU 14	-301	-2	3787	1.2	-12.26	0.01
104	SLU 15	-302	-2	3794	1.28	-12.33	0.01
104	SLU 16	-301	-2	3787	1.2	-12.26	0.01
104	SLU 17	-302	-2	3794	1.28	-12.33	0.01
104	SLU 18	-343	-3	4197	1.34	-13.99	0.01
104	SLU 19	-345	-3	4203	1.42	-14.06	0.01
104	SLU 20	-343	-3	4197	1.34	-13.99	0.01
104	SLU 21	-345	-3	4203	1.42	-14.06	0.01
104	SLU 22	-251	-2	3318	1.05	-10.28	0.01
104	SLU 23	-254	-2	3328	1.18	-10.39	0.01
104	SLU 24	-251	-2	3318	1.05	-10.28	0.01
104	SLU 25	-253	-2	3324	1.13	-10.35	0.01
104	SLU 26	-254	-2	3328	1.18	-10.39	0.01
104	SLU 27	-251	-2	3318	1.05	-10.28	0.01
104	SLU 28	-253	-2	3324	1.13	-10.35	0.01
104	SLU 29	-251	-2	3318	1.05	-10.28	0.01
104	SLU 30	-253	-2	3324	1.13	-10.35	0.01
104	SLU 31	-354	-3	4284	1.5	-14.43	0.01
104	SLU 32	-351	-3	4274	1.36	-14.32	0.01
104	SLU 33	-353	-3	4280	1.44	-14.38	0.01
104	SLU 34	-354	-3	4284	1.5	-14.43	0.01
104	SLU 35	-351	-3	4274	1.36	-14.32	0.01
104	SLU 36	-353	-3	4280	1.44	-14.38	0.01
104	SLU 37	-351	-3	4274	1.36	-14.32	0.01
104	SLU 38	-353	-3	4280	1.44	-14.38	0.01
104	SLU 39	-394	-3	4684	1.5	-16.04	0.01
104	SLU 40	-396	-3	4690	1.58	-16.11	0.01
104	SLU 41	-394	-3	4684	1.5	-16.04	0.01
104	SLU 42	-396	-3	4690	1.58	-16.11	0.01
104	SLU 43	-243	-2	3513	1.1	-10	0.01
104	SLU 44	-246	-2	3523	1.23	-10.11	0.01
104	SLU 45	-243	-2	3513	1.1	-10	0.01
104	SLU 46	-245	-2	3519	1.18	-10.06	0.01
104	SLU 47	-246	-2	3523	1.23	-10.11	0.01
104	SLU 48	-243	-2	3513	1.1	-10	0.01
104	SLU 49	-245	-2	3519	1.18	-10.06	0.01
104	SLU 50	-243	-2	3513	1.1	-10	0.01
104	SLU 51	-245	-2	3519	1.18	-10.06	0.01
104	SLU 52	-346	-3	4480	1.55	-14.14	0.01
104	SLU 53	-343	-3	4470	1.42	-14.03	0.01
104	SLU 54	-345	-3	4476	1.5	-14.1	0.01
104	SLU 55	-346	-3	4480	1.55	-14.14	0.01
104	SLU 56	-343	-3	4470	1.42	-14.03	0.01
104	SLU 57	-345	-3	4476	1.5	-14.1	0.01
104	SLU 58	-343	-3	4470	1.42	-14.03	0.01
104	SLU 59	-345	-3	4476	1.5	-14.1	0.01
104	SLU 60	-386	-3	4880	1.55	-15.76	0.01
104	SLU 61	-388	-3	4886	1.63	-15.82	0.01
104	SLU 62	-386	-3	4880	1.55	-15.76	0.01
104	SLU 63	-388	-3	4886	1.63	-15.82	0.01
104	SLU 64	-294	-3	4000	1.26	-12.05	0.01
104	SLU 65	-297	-3	4010	1.39	-12.16	0.01
104	SLU 66	-294	-3	4000	1.26	-12.05	0.01
104	SLU 67	-296	-3	4006	1.34	-12.11	0.01
104	SLU 68	-297	-3	4010	1.39	-12.16	0.01
104	SLU 69	-294	-3	4000	1.26	-12.05	0.01
104	SLU 70	-296	-3	4006	1.34	-12.11	0.01
104	SLU 71	-294	-3	4000	1.26	-12.05	0.01
104	SLU 72	-296	-3	4006	1.34	-12.11	0.01
104	SLU 73	-397	-3	4967	1.71	-16.19	0.01
104	SLU 74	-394	-3	4957	1.58	-16.08	0.01
104	SLU 75	-396	-3	4963	1.66	-16.15	0.01
104	SLU 76	-397	-3	4967	1.71	-16.19	0.01
104	SLU 77	-394	-3	4957	1.58	-16.08	0.01
104	SLU 78	-396	-3	4963	1.66	-16.15	0.01
104	SLU 79	-394	-3	4957	1.58	-16.08	0.01
104	SLU 80	-396	-3	4963	1.66	-16.15	0.01
104	SLU 81	-437	-3	5367	1.71	-17.81	0.01
104	SLU 82	-439	-3	5373	1.79	-17.88	0.01
104	SLU 83	-437	-3	5367	1.71	-17.81	0.01
104	SLU 84	-439	-3	5373	1.79	-17.88	0.01
104	SLE RA 1	-215	-2	2970	0.94	-8.82	0.01
104	SLE RA 2	-217	-2	2977	1.02	-8.89	0.01
104	SLE RA 3	-215	-2	2970	0.94	-8.82	0.01
104	SLE RA 4	-216	-2	2974	0.99	-8.86	0.01
104	SLE RA 5	-217	-2	2977	1.02	-8.89	0.01
104	SLE RA 6	-215	-2	2970	0.94	-8.82	0.01
104	SLE RA 7	-216	-2	2974	0.99	-8.86	0.01
104	SLE RA 8	-215	-2	2970	0.94	-8.82	0.01



Nodo Ind.	Cont. N.br.	Reazione a traslazione			Reazione a rotazione		
		x	y	z	x	y	z
104	SLE RA 9	-216	-2	2974	0.99	-8.86	0.01
104	SLE RA 10	-284	-2	3614	1.23	-11.58	0.01
104	SLE RA 11	-282	-2	3608	1.14	-11.51	0.01
104	SLE RA 12	-283	-2	3612	1.2	-11.55	0.01
104	SLE RA 13	-284	-2	3614	1.23	-11.58	0.01
104	SLE RA 14	-282	-2	3608	1.14	-11.51	0.01
104	SLE RA 15	-283	-2	3612	1.2	-11.55	0.01
104	SLE RA 16	-282	-2	3608	1.14	-11.51	0.01
104	SLE RA 17	-283	-2	3612	1.2	-11.55	0.01
104	SLE RA 18	-310	-2	3881	1.23	-12.66	0.01
104	SLE RA 19	-312	-2	3885	1.29	-12.7	0.01
104	SLE RA 20	-310	-2	3881	1.23	-12.66	0.01
104	SLE RA 21	-312	-2	3885	1.29	-12.7	0.01
104	SLE FR 1	-215	-2	2970	0.94	-8.82	0.01
104	SLE FR 2	-216	-2	2971	0.95	-8.83	0.01
104	SLE FR 3	-215	-2	2970	0.94	-8.82	0.01
104	SLE FR 4	-244	-2	3245	1.04	-9.98	0.01
104	SLE FR 5	-244	-2	3243	1.03	-9.97	0.01
104	SLE FR 6	-263	-2	3426	1.08	-10.74	0.01
104	SLE QP 1	-215	-2	2970	0.94	-8.82	0.01
104	SLE QP 2	-244	-2	3243	1.03	-9.97	0.01
104	SLD 1	57	1	3188	-0.42	2.23	0.01
104	SLD 2	57	1	3188	-0.42	2.23	0.01
104	SLD 3	-6	-2	3427	5.39	0.12	0.02
104	SLD 4	-6	-2	3427	5.39	0.12	0.02
104	SLD 5	-58	3	2863	-8.22	-3.11	0
104	SLD 6	-58	3	2863	-8.22	-3.11	0
104	SLD 7	-268	-6	3662	11.15	-10.14	0.02
104	SLD 8	-268	-6	3662	11.15	-10.14	0.02
104	SLD 9	-219	2	2825	-9.1	-9.79	-0.01
104	SLD 10	-219	2	2825	-9.1	-9.79	-0.01
104	SLD 11	-430	-7	3623	10.27	-16.83	0.02
104	SLD 12	-430	-7	3623	10.27	-16.83	0.02
104	SLD 13	-482	-2	3059	-3.34	-20.06	0
104	SLD 14	-482	-2	3059	-3.34	-20.06	0
104	SLD 15	-545	-5	3299	2.47	-22.17	0.01
104	SLD 16	-545	-5	3299	2.47	-22.17	0.01
104	SLV 1	469	5	3108	-2.7	18.89	0.01
104	SLV 2	469	5	3108	-2.7	18.89	0.01
104	SLV 3	317	-2	3692	12.16	13.82	0.03
104	SLV 4	317	-2	3692	12.16	13.82	0.03
104	SLV 5	200	11	2317	-22.64	6.38	-0.02
104	SLV 6	200	11	2317	-22.64	6.38	-0.02
104	SLV 7	-306	-13	4263	26.91	-10.53	0.04
104	SLV 8	-306	-13	4263	26.91	-10.53	0.04
104	SLV 9	-182	9	2223	-24.86	-9.41	-0.02
104	SLV 10	-182	9	2223	-24.86	-9.41	-0.02
104	SLV 11	-688	-15	4169	24.69	-26.32	0.03
104	SLV 12	-688	-15	4169	24.69	-26.32	0.03
104	SLV 13	-804	-2	2795	-10.11	-33.76	-0.01
104	SLV 14	-804	-2	2795	-10.11	-33.76	-0.01
104	SLV 15	-956	-9	3379	4.75	-38.83	0
104	SLV 16	-956	-9	3379	4.75	-38.83	0
105	SLU 1	-234	-1	2788	0.71	-9.19	0
105	SLU 2	-237	-1	2796	0.97	-9.31	0
105	SLU 3	-234	-1	2788	0.71	-9.19	0
105	SLU 4	-236	-1	2792	0.87	-9.26	0
105	SLU 5	-237	-1	2796	0.97	-9.31	0
105	SLU 6	-234	-1	2788	0.71	-9.19	0
105	SLU 7	-236	-1	2792	0.87	-9.26	0
105	SLU 8	-234	-1	2788	0.71	-9.19	0
105	SLU 9	-236	-1	2792	0.87	-9.26	0
105	SLU 10	-361	-1	3719	1.23	-14.1	0
105	SLU 11	-357	-1	3711	0.96	-13.98	0
105	SLU 12	-359	-1	3716	1.12	-14.05	0
105	SLU 13	-361	-1	3719	1.23	-14.1	0
105	SLU 14	-357	-1	3711	0.96	-13.98	0
105	SLU 15	-359	-1	3716	1.12	-14.05	0
105	SLU 16	-357	-1	3711	0.96	-13.98	0
105	SLU 17	-359	-1	3716	1.12	-14.05	0
105	SLU 18	-410	-1	4107	1.07	-16.03	0
105	SLU 19	-412	-1	4112	1.23	-16.11	0
105	SLU 20	-410	-1	4107	1.07	-16.03	0
105	SLU 21	-412	-1	4112	1.23	-16.11	0
105	SLU 22	-297	-1	3258	0.83	-11.63	0
105	SLU 23	-300	-1	3266	1.1	-11.75	0
105	SLU 24	-297	-1	3258	0.83	-11.63	0
105	SLU 25	-299	-1	3262	0.99	-11.7	0
105	SLU 26	-300	-1	3266	1.1	-11.75	0
105	SLU 27	-297	-1	3258	0.83	-11.63	0
105	SLU 28	-299	-1	3262	0.99	-11.7	0
105	SLU 29	-297	-1	3258	0.83	-11.63	0
105	SLU 30	-299	-1	3262	0.99	-11.7	0
105	SLU 31	-423	-1	4189	1.35	-16.54	-0.01
105	SLU 32	-420	-1	4181	1.09	-16.42	0
105	SLU 33	-422	-1	4186	1.25	-16.49	0
105	SLU 34	-423	-1	4189	1.35	-16.54	-0.01
105	SLU 35	-420	-1	4181	1.09	-16.42	0



Nodo Ind.	Cont. N.br.	Reazione a traslazione			Reazione a rotazione		
		x	y	z	x	y	z
105	SLU 36	-422	-1	4186	1.25	-16.49	0
105	SLU 37	-420	-1	4181	1.09	-16.42	0
105	SLU 38	-422	-1	4186	1.25	-16.49	0
105	SLU 39	-473	-1	4577	1.19	-18.47	-0.01
105	SLU 40	-475	-1	4582	1.36	-18.55	-0.01
105	SLU 41	-473	-1	4577	1.19	-18.47	-0.01
105	SLU 42	-475	-1	4582	1.36	-18.55	-0.01
105	SLU 43	-283	-1	3463	0.87	-11.11	0
105	SLU 44	-286	-1	3471	1.14	-11.23	0
105	SLU 45	-283	-1	3463	0.87	-11.11	0
105	SLU 46	-285	-1	3468	1.03	-11.18	0
105	SLU 47	-286	-1	3471	1.14	-11.23	0
105	SLU 48	-283	-1	3463	0.87	-11.11	0
105	SLU 49	-285	-1	3468	1.03	-11.18	0
105	SLU 50	-283	-1	3463	0.87	-11.11	0
105	SLU 51	-285	-1	3468	1.03	-11.18	0
105	SLU 52	-409	-1	4394	1.39	-16.02	-0.01
105	SLU 53	-406	-1	4386	1.13	-15.9	-0.01
105	SLU 54	-408	-1	4391	1.29	-15.97	-0.01
105	SLU 55	-409	-1	4394	1.39	-16.02	-0.01
105	SLU 56	-406	-1	4386	1.13	-15.9	-0.01
105	SLU 57	-408	-1	4391	1.29	-15.97	-0.01
105	SLU 58	-406	-1	4386	1.13	-15.9	-0.01
105	SLU 59	-408	-1	4391	1.29	-15.97	-0.01
105	SLU 60	-459	-1	4782	1.23	-17.95	-0.01
105	SLU 61	-461	-1	4787	1.39	-18.03	-0.01
105	SLU 62	-459	-1	4782	1.23	-17.95	-0.01
105	SLU 63	-461	-1	4787	1.39	-18.03	-0.01
105	SLU 64	-346	-1	3933	1	-13.55	0
105	SLU 65	-349	-1	3941	1.27	-13.67	0
105	SLU 66	-346	-1	3933	1	-13.55	0
105	SLU 67	-347	-1	3938	1.16	-13.62	0
105	SLU 68	-349	-1	3941	1.27	-13.67	0
105	SLU 69	-346	-1	3933	1	-13.55	0
105	SLU 70	-347	-1	3938	1.16	-13.62	0
105	SLU 71	-346	-1	3933	1	-13.55	0
105	SLU 72	-347	-1	3938	1.16	-13.62	0
105	SLU 73	-472	-1	4864	1.52	-18.46	-0.01
105	SLU 74	-469	-1	4856	1.25	-18.34	-0.01
105	SLU 75	-471	-1	4861	1.41	-18.41	-0.01
105	SLU 76	-472	-1	4864	1.52	-18.46	-0.01
105	SLU 77	-469	-1	4856	1.25	-18.34	-0.01
105	SLU 78	-471	-1	4861	1.41	-18.41	-0.01
105	SLU 79	-469	-1	4856	1.25	-18.34	-0.01
105	SLU 80	-471	-1	4861	1.41	-18.41	-0.01
105	SLU 81	-522	-1	5252	1.36	-20.39	-0.01
105	SLU 82	-524	-1	5257	1.52	-20.47	-0.01
105	SLU 83	-522	-1	5252	1.36	-20.39	-0.01
105	SLU 84	-524	-1	5257	1.52	-20.47	-0.01
105	SLE RA 1	-252	-1	2922	0.74	-9.88	0
105	SLE RA 2	-254	-1	2927	0.92	-9.97	0
105	SLE RA 3	-252	-1	2922	0.74	-9.88	0
105	SLE RA 4	-253	-1	2925	0.85	-9.93	0
105	SLE RA 5	-254	-1	2927	0.92	-9.97	0
105	SLE RA 6	-252	-1	2922	0.74	-9.88	0
105	SLE RA 7	-253	-1	2925	0.85	-9.93	0
105	SLE RA 8	-252	-1	2922	0.74	-9.88	0
105	SLE RA 9	-253	-1	2925	0.85	-9.93	0
105	SLE RA 10	-336	-1	3543	1.09	-13.16	0
105	SLE RA 11	-334	-1	3538	0.91	-13.08	0
105	SLE RA 12	-335	-1	3541	1.02	-13.13	0
105	SLE RA 13	-336	-1	3543	1.09	-13.16	0
105	SLE RA 14	-334	-1	3538	0.91	-13.08	0
105	SLE RA 15	-335	-1	3541	1.02	-13.13	0
105	SLE RA 16	-334	-1	3538	0.91	-13.08	0
105	SLE RA 17	-335	-1	3541	1.02	-13.13	0
105	SLE RA 18	-369	-1	3802	0.98	-14.45	0
105	SLE RA 19	-371	-1	3805	1.09	-14.5	0
105	SLE RA 20	-369	-1	3802	0.98	-14.45	0
105	SLE RA 21	-371	-1	3805	1.09	-14.5	0
105	SLE FR 1	-252	-1	2922	0.74	-9.88	0
105	SLE FR 2	-252	-1	2923	0.78	-9.9	0
105	SLE FR 3	-252	-1	2922	0.74	-9.88	0
105	SLE FR 4	-288	-1	3187	0.85	-11.27	0
105	SLE FR 5	-287	-1	3186	0.81	-11.25	0
105	SLE FR 6	-311	-1	3362	0.86	-12.17	0
105	SLE QP 1	-252	-1	2922	0.74	-9.88	0
105	SLE QP 2	-287	-1	3186	0.81	-11.25	0
105	SLD 1	7	7	3062	-2.13	0.69	0
105	SLD 2	7	7	3062	-2.13	0.69	0
105	SLD 3	-47	-3	3208	9.29	-1.21	-0.02
105	SLD 4	-47	-3	3208	9.29	-1.21	-0.02
105	SLD 5	-117	16	2927	-17.38	-4.78	0.04
105	SLD 6	-117	16	2927	-17.38	-4.78	0.04
105	SLD 7	-297	-16	3414	20.67	-11.13	-0.05
105	SLD 8	-297	-16	3414	20.67	-11.13	-0.05
105	SLD 9	-277	15	2958	-19.04	-11.38	0.04
105	SLD 10	-277	15	2958	-19.04	-11.38	0.04



Nodo Ind.	Cont. N.br.	Reazione a traslazione			Reazione a rotazione		
		x	y	z	x	y	z
105	SLD 11	-458	-18	3445	19.01	-17.72	-0.04
105	SLD 12	-458	-18	3445	19.01	-17.72	-0.04
105	SLD 13	-528	2	3164	-7.66	-21.29	0.02
105	SLD 14	-528	2	3164	-7.66	-21.29	0.02
105	SLD 15	-582	-8	3310	3.76	-23.2	-0.01
105	SLD 16	-582	-8	3310	3.76	-23.2	-0.01
105	SLV 1	409	18	2884	-6.74	16.99	0.01
105	SLV 2	409	18	2884	-6.74	16.99	0.01
105	SLV 3	279	-7	3241	22.5	12.44	-0.06
105	SLV 4	279	-7	3241	22.5	12.44	-0.06
105	SLV 5	119	42	2555	-45.79	4.12	0.1
105	SLV 6	119	42	2555	-45.79	4.12	0.1
105	SLV 7	-315	-40	3743	51.66	-11.05	-0.12
105	SLV 8	-315	-40	3743	51.66	-11.05	-0.12
105	SLV 9	-260	39	2629	-50.03	-11.46	0.11
105	SLV 10	-260	39	2629	-50.03	-11.46	0.11
105	SLV 11	-693	-44	3817	47.42	-26.62	-0.1
105	SLV 12	-693	-44	3817	47.42	-26.62	-0.1
105	SLV 13	-854	6	3131	-20.87	-34.94	0.05
105	SLV 14	-854	6	3131	-20.87	-34.94	0.05
105	SLV 15	-984	-19	3487	8.37	-39.49	-0.01
105	SLV 16	-984	-19	3487	8.37	-39.49	-0.01
106	SLU 1	-286	-1	2742	0.63	-11.45	0
106	SLU 2	-289	-1	2748	1.03	-11.56	0
106	SLU 3	-286	-1	2742	0.63	-11.45	0
106	SLU 4	-288	-1	2745	0.87	-11.51	0
106	SLU 5	-289	-1	2748	1.03	-11.56	0
106	SLU 6	-286	-1	2742	0.63	-11.45	0
106	SLU 7	-288	-1	2745	0.87	-11.51	0
106	SLU 8	-286	-1	2742	0.63	-11.45	0
106	SLU 9	-288	-1	2745	0.87	-11.51	0
106	SLU 10	-444	-1	3628	1.26	-17.63	0
106	SLU 11	-441	-1	3622	0.85	-17.52	0
106	SLU 12	-443	-1	3626	1.1	-17.58	0
106	SLU 13	-444	-1	3628	1.26	-17.63	0
106	SLU 14	-441	-1	3622	0.85	-17.52	0
106	SLU 15	-443	-1	3626	1.1	-17.58	0
106	SLU 16	-441	-1	3622	0.85	-17.52	0
106	SLU 17	-443	-1	3626	1.1	-17.58	0
106	SLU 18	-508	-1	3999	0.95	-20.12	0
106	SLU 19	-510	-1	4003	1.19	-20.18	0
106	SLU 20	-508	-1	3999	0.95	-20.12	0
106	SLU 21	-510	-1	4003	1.19	-20.18	0
106	SLU 22	-365	-1	3190	0.74	-14.54	0
106	SLU 23	-368	-1	3196	1.15	-14.64	0
106	SLU 24	-365	-1	3190	0.74	-14.54	0
106	SLU 25	-367	-1	3193	0.99	-14.6	0
106	SLU 26	-368	-1	3196	1.15	-14.64	0
106	SLU 27	-365	-1	3190	0.74	-14.54	0
106	SLU 28	-367	-1	3193	0.99	-14.6	0
106	SLU 29	-365	-1	3190	0.74	-14.54	0
106	SLU 30	-367	-1	3193	0.99	-14.6	0
106	SLU 31	-523	-1	4076	1.37	-20.71	0
106	SLU 32	-520	-1	4070	0.97	-20.6	0
106	SLU 33	-522	-1	4074	1.21	-20.67	0
106	SLU 34	-523	-1	4076	1.37	-20.71	0
106	SLU 35	-520	-1	4070	0.97	-20.6	0
106	SLU 36	-522	-1	4074	1.21	-20.67	0
106	SLU 37	-520	-1	4070	0.97	-20.6	0
106	SLU 38	-522	-1	4074	1.21	-20.67	0
106	SLU 39	-587	-1	4447	1.06	-23.2	0
106	SLU 40	-589	-1	4451	1.3	-23.27	0
106	SLU 41	-587	-1	4447	1.06	-23.2	0
106	SLU 42	-589	-1	4451	1.3	-23.27	0
106	SLU 43	-345	-1	3410	0.78	-13.82	0
106	SLU 44	-348	-1	3417	1.18	-13.93	0
106	SLU 45	-345	-1	3410	0.78	-13.82	0
106	SLU 46	-347	-1	3414	1.02	-13.89	0
106	SLU 47	-348	-1	3417	1.18	-13.93	0
106	SLU 48	-345	-1	3410	0.78	-13.82	0
106	SLU 49	-347	-1	3414	1.02	-13.89	0
106	SLU 50	-345	-1	3410	0.78	-13.82	0
106	SLU 51	-347	-1	3414	1.02	-13.89	0
106	SLU 52	-503	-1	4297	1.41	-20	0
106	SLU 53	-500	-1	4291	1	-19.89	0
106	SLU 54	-502	-1	4295	1.25	-19.96	0
106	SLU 55	-503	-1	4297	1.41	-20	0
106	SLU 56	-500	-1	4291	1	-19.89	0
106	SLU 57	-502	-1	4295	1.25	-19.96	0
106	SLU 58	-500	-1	4291	1	-19.89	0
106	SLU 59	-502	-1	4295	1.25	-19.96	0
106	SLU 60	-567	-1	4668	1.1	-22.49	0
106	SLU 61	-569	-1	4672	1.34	-22.56	0
106	SLU 62	-567	-1	4668	1.1	-22.49	0
106	SLU 63	-569	-1	4672	1.34	-22.56	0
106	SLU 64	-424	-1	3859	0.9	-16.91	0
106	SLU 65	-427	-1	3865	1.3	-17.02	0
106	SLU 66	-424	-1	3859	0.9	-16.91	0



Nodo Ind.	Cont. N.br.	Reazione a traslazione			Reazione a rotazione		
		x	y	z	x	y	z
106	SLU 67	-426	-1	3862	1.14	-16.98	0
106	SLU 68	-427	-1	3865	1.3	-17.02	0
106	SLU 69	-424	-1	3859	0.9	-16.91	0
106	SLU 70	-426	-1	3862	1.14	-16.98	0
106	SLU 71	-424	-1	3859	0.9	-16.91	0
106	SLU 72	-426	-1	3862	1.14	-16.98	0
106	SLU 73	-582	-1	4745	1.52	-23.09	0
106	SLU 74	-579	-1	4739	1.12	-22.98	0
106	SLU 75	-581	-1	4743	1.36	-23.05	0
106	SLU 76	-582	-1	4745	1.52	-23.09	0
106	SLU 77	-579	-1	4739	1.12	-22.98	0
106	SLU 78	-581	-1	4743	1.36	-23.05	0
106	SLU 79	-579	-1	4739	1.12	-22.98	0
106	SLU 80	-581	-1	4743	1.36	-23.05	0
106	SLU 81	-646	-1	5116	1.21	-25.58	0
106	SLU 82	-647	-1	5120	1.45	-25.65	0
106	SLU 83	-646	-1	5116	1.21	-25.58	0
106	SLU 84	-647	-1	5120	1.45	-25.65	0
106	SLE RA 1	-309	-1	2870	0.66	-12.33	0
106	SLE RA 2	-311	-1	2874	0.93	-12.4	0
106	SLE RA 3	-309	-1	2870	0.66	-12.33	0
106	SLE RA 4	-310	-1	2872	0.82	-12.37	0
106	SLE RA 5	-311	-1	2874	0.93	-12.4	0
106	SLE RA 6	-309	-1	2870	0.66	-12.33	0
106	SLE RA 7	-310	-1	2872	0.82	-12.37	0
106	SLE RA 8	-309	-1	2870	0.66	-12.33	0
106	SLE RA 9	-310	-1	2872	0.82	-12.37	0
106	SLE RA 10	-414	-1	3461	1.08	-16.45	0
106	SLE RA 11	-412	-1	3457	0.81	-16.38	0
106	SLE RA 12	-413	-1	3459	0.97	-16.42	0
106	SLE RA 13	-414	-1	3461	1.08	-16.45	0
106	SLE RA 14	-412	-1	3457	0.81	-16.38	0
106	SLE RA 15	-413	-1	3459	0.97	-16.42	0
106	SLE RA 16	-412	-1	3457	0.81	-16.38	0
106	SLE RA 17	-413	-1	3459	0.97	-16.42	0
106	SLE RA 18	-457	-1	3708	0.88	-18.11	0
106	SLE RA 19	-458	-1	3711	1.04	-18.15	0
106	SLE RA 20	-457	-1	3708	0.88	-18.11	0
106	SLE RA 21	-458	-1	3711	1.04	-18.15	0
106	SLE FR 1	-309	-1	2870	0.66	-12.33	0
106	SLE FR 2	-309	-1	2870	0.72	-12.35	0
106	SLE FR 3	-309	-1	2870	0.66	-12.33	0
106	SLE FR 4	-354	-1	3122	0.78	-14.08	0
106	SLE FR 5	-353	-1	3121	0.73	-14.06	0
106	SLE FR 6	-383	-1	3289	0.77	-15.22	0
106	SLE QP 1	-309	-1	2870	0.66	-12.33	0
106	SLE QP 2	-353	-1	3121	0.73	-14.06	0
106	SLD 1	-67	4	3016	-3.5	-2.55	0
106	SLD 2	-67	4	3016	-3.5	-2.55	0
106	SLD 3	-114	-14	3117	12.76	-4.32	-0.02
106	SLD 4	-114	-14	3117	12.76	-4.32	-0.02
106	SLD 5	-197	29	2936	-25.21	-7.91	0.03
106	SLD 6	-197	29	2936	-25.21	-7.91	0.03
106	SLD 7	-352	-32	3273	29.01	-13.84	-0.03
106	SLD 8	-352	-32	3273	29.01	-13.84	-0.03
106	SLD 9	-354	31	2969	-27.55	-14.29	0.03
106	SLD 10	-354	31	2969	-27.55	-14.29	0.03
106	SLD 11	-510	-30	3306	26.67	-20.21	-0.03
106	SLD 12	-510	-30	3306	26.67	-20.21	-0.03
106	SLD 13	-593	13	3125	-11.31	-23.81	0.02
106	SLD 14	-593	13	3125	-11.31	-23.81	0.02
106	SLD 15	-639	-6	3226	4.96	-25.58	0
106	SLD 16	-639	-6	3226	4.96	-25.58	0
106	SLV 1	323	12	2868	-10.11	13.18	0.01
106	SLV 2	323	12	2868	-10.11	13.18	0.01
106	SLV 3	212	-35	3115	31.55	8.9	-0.04
106	SLV 4	212	-35	3115	31.55	8.9	-0.04
106	SLV 5	20	74	2670	-65.71	0.59	0.08
106	SLV 6	20	74	2670	-65.71	0.59	0.08
106	SLV 7	-353	-82	3494	73.16	-13.66	-0.09
106	SLV 8	-353	-82	3494	73.16	-13.66	-0.09
106	SLV 9	-353	81	2749	-71.7	-14.47	0.09
106	SLV 10	-353	81	2749	-71.7	-14.47	0.09
106	SLV 11	-726	-76	3572	67.16	-28.72	-0.08
106	SLV 12	-726	-76	3572	67.16	-28.72	-0.08
106	SLV 13	-918	33	3128	-30.09	-37.03	0.04
106	SLV 14	-918	33	3128	-30.09	-37.03	0.04
106	SLV 15	-1030	-14	3375	11.57	-41.3	-0.01
106	SLV 16	-1030	-14	3375	11.57	-41.3	-0.01
107	SLU 1	-343	0	2684	0.55	-13.19	0
107	SLU 2	-346	-1	2688	1.06	-13.33	0
107	SLU 3	-343	0	2684	0.55	-13.19	0
107	SLU 4	-345	-1	2687	0.86	-13.28	0
107	SLU 5	-346	-1	2688	1.06	-13.33	0
107	SLU 6	-343	0	2684	0.55	-13.19	0
107	SLU 7	-345	-1	2687	0.86	-13.28	0
107	SLU 8	-343	0	2684	0.55	-13.19	0
107	SLU 9	-345	-1	2687	0.86	-13.28	0



Nodo Ind.	Cont. N.br.	Reazione a traslazione			Reazione a rotazione		
		x	y	z	x	y	z
107	SLU 10	-534	-1	3511	1.24	-20.43	0
107	SLU 11	-531	-1	3507	0.74	-20.29	0
107	SLU 12	-533	-1	3509	1.04	-20.38	0
107	SLU 13	-534	-1	3511	1.24	-20.43	0
107	SLU 14	-531	-1	3507	0.74	-20.29	0
107	SLU 15	-533	-1	3509	1.04	-20.38	0
107	SLU 16	-531	-1	3507	0.74	-20.29	0
107	SLU 17	-533	-1	3509	1.04	-20.38	0
107	SLU 18	-611	-1	3859	0.82	-23.34	0
107	SLU 19	-613	-1	3862	1.12	-23.42	0
107	SLU 20	-611	-1	3859	0.82	-23.34	0
107	SLU 21	-613	-1	3862	1.12	-23.42	0
107	SLU 22	-438	-1	3103	0.65	-16.81	0
107	SLU 23	-442	-1	3107	1.15	-16.94	0
107	SLU 24	-438	-1	3103	0.65	-16.81	0
107	SLU 25	-441	-1	3105	0.95	-16.89	0
107	SLU 26	-442	-1	3107	1.15	-16.94	0
107	SLU 27	-438	-1	3103	0.65	-16.81	0
107	SLU 28	-441	-1	3105	0.95	-16.89	0
107	SLU 29	-438	-1	3103	0.65	-16.81	0
107	SLU 30	-441	-1	3105	0.95	-16.89	0
107	SLU 31	-630	-1	3930	1.34	-24.05	0
107	SLU 32	-626	-1	3925	0.84	-23.91	0
107	SLU 33	-628	-1	3928	1.14	-23.99	0
107	SLU 34	-630	-1	3930	1.34	-24.05	0
107	SLU 35	-626	-1	3925	0.84	-23.91	0
107	SLU 36	-628	-1	3928	1.14	-23.99	0
107	SLU 37	-626	-1	3925	0.84	-23.91	0
107	SLU 38	-628	-1	3928	1.14	-23.99	0
107	SLU 39	-707	-1	4278	0.92	-26.95	0
107	SLU 40	-709	-1	4280	1.22	-27.03	0
107	SLU 41	-707	-1	4278	0.92	-26.95	0
107	SLU 42	-709	-1	4280	1.22	-27.03	0
107	SLU 43	-413	-1	3346	0.69	-15.91	0
107	SLU 44	-416	-1	3350	1.19	-16.05	0
107	SLU 45	-413	-1	3346	0.69	-15.91	0
107	SLU 46	-415	-1	3348	0.99	-15.99	0
107	SLU 47	-416	-1	3350	1.19	-16.05	0
107	SLU 48	-413	-1	3346	0.69	-15.91	0
107	SLU 49	-415	-1	3348	0.99	-15.99	0
107	SLU 50	-413	-1	3346	0.69	-15.91	0
107	SLU 51	-415	-1	3348	0.99	-15.99	0
107	SLU 52	-604	-1	4173	1.38	-23.15	0
107	SLU 53	-601	-1	4168	0.88	-23.01	0
107	SLU 54	-603	-1	4171	1.18	-23.1	0
107	SLU 55	-604	-1	4173	1.38	-23.15	0
107	SLU 56	-601	-1	4168	0.88	-23.01	0
107	SLU 57	-603	-1	4171	1.18	-23.1	0
107	SLU 58	-601	-1	4168	0.88	-23.01	0
107	SLU 59	-603	-1	4171	1.18	-23.1	0
107	SLU 60	-681	-1	4521	0.96	-26.06	0
107	SLU 61	-683	-1	4523	1.26	-26.14	0
107	SLU 62	-681	-1	4521	0.96	-26.06	0
107	SLU 63	-683	-1	4523	1.26	-26.14	0
107	SLU 64	-509	-1	3764	0.78	-19.52	0
107	SLU 65	-512	-1	3769	1.28	-19.66	0
107	SLU 66	-509	-1	3764	0.78	-19.52	0
107	SLU 67	-511	-1	3767	1.08	-19.61	0
107	SLU 68	-512	-1	3769	1.28	-19.66	0
107	SLU 69	-509	-1	3764	0.78	-19.52	0
107	SLU 70	-511	-1	3767	1.08	-19.61	0
107	SLU 71	-509	-1	3764	0.78	-19.52	0
107	SLU 72	-511	-1	3767	1.08	-19.61	0
107	SLU 73	-700	-1	4591	1.47	-26.76	0
107	SLU 74	-696	-1	4587	0.97	-26.63	0
107	SLU 75	-698	-1	4590	1.27	-26.71	0
107	SLU 76	-700	-1	4591	1.47	-26.76	0
107	SLU 77	-696	-1	4587	0.97	-26.63	0
107	SLU 78	-698	-1	4590	1.27	-26.71	0
107	SLU 79	-696	-1	4587	0.97	-26.63	0
107	SLU 80	-698	-1	4590	1.27	-26.71	0
107	SLU 81	-777	-1	4940	1.05	-29.67	0
107	SLU 82	-779	-1	4942	1.35	-29.75	0
107	SLU 83	-777	-1	4940	1.05	-29.67	0
107	SLU 84	-779	-1	4942	1.35	-29.75	0
107	SLE RA 1	-370	0	2804	0.58	-14.22	0
107	SLE RA 2	-372	-1	2806	0.92	-14.32	0
107	SLE RA 3	-370	0	2804	0.58	-14.22	0
107	SLE RA 4	-372	-1	2805	0.78	-14.28	0
107	SLE RA 5	-372	-1	2806	0.92	-14.32	0
107	SLE RA 6	-370	0	2804	0.58	-14.22	0
107	SLE RA 7	-372	-1	2805	0.78	-14.28	0
107	SLE RA 8	-370	0	2804	0.58	-14.22	0
107	SLE RA 9	-372	-1	2805	0.78	-14.28	0
107	SLE RA 10	-498	-1	3355	1.04	-19.05	0
107	SLE RA 11	-495	-1	3352	0.71	-18.96	0
107	SLE RA 12	-497	-1	3354	0.91	-19.01	0
107	SLE RA 13	-498	-1	3355	1.04	-19.05	0



Nodo Ind.	Cont. N.br.	Reazione a traslazione			Reazione a rotazione		
		x	y	z	x	y	z
107	SLE RA 14	-495	-1	3352	0.71	-18.96	0
107	SLE RA 15	-497	-1	3354	0.91	-19.01	0
107	SLE RA 16	-495	-1	3352	0.71	-18.96	0
107	SLE RA 17	-497	-1	3354	0.91	-19.01	0
107	SLE RA 18	-549	-1	3587	0.76	-20.99	0
107	SLE RA 19	-550	-1	3589	0.96	-21.04	0
107	SLE RA 20	-549	-1	3587	0.76	-20.99	0
107	SLE RA 21	-550	-1	3589	0.96	-21.04	0
107	SLE FR 1	-370	0	2804	0.58	-14.22	0
107	SLE FR 2	-371	-1	2804	0.65	-14.24	0
107	SLE FR 3	-370	0	2804	0.58	-14.22	0
107	SLE FR 4	-424	-1	3039	0.7	-16.27	0
107	SLE FR 5	-424	0	3039	0.64	-16.25	0
107	SLE FR 6	-460	-1	3195	0.67	-17.61	0
107	SLE QP 1	-370	0	2804	0.58	-14.22	0
107	SLE QP 2	-424	0	3039	0.64	-16.25	0
107	SLD 1	-146	5	2931	-4.03	-5.08	0
107	SLD 2	-146	5	2931	-4.03	-5.08	0
107	SLD 3	-185	-17	3006	14.22	-6.54	-0.01
107	SLD 4	-185	-17	3006	14.22	-6.54	-0.01
107	SLD 5	-281	35	2892	-28.44	-10.68	0.01
107	SLD 6	-281	35	2892	-28.44	-10.68	0.01
107	SLD 7	-412	-39	3143	32.39	-15.56	-0.02
107	SLD 8	-412	-39	3143	32.39	-15.56	-0.02
107	SLD 9	-436	38	2934	-31.12	-16.95	0.02
107	SLD 10	-436	38	2934	-31.12	-16.95	0.02
107	SLD 11	-567	-36	3185	29.71	-21.83	-0.01
107	SLD 12	-567	-36	3185	29.71	-21.83	-0.01
107	SLD 13	-663	16	3071	-12.95	-25.96	0.01
107	SLD 14	-663	16	3071	-12.95	-25.96	0.01
107	SLD 15	-702	-6	3147	5.3	-27.43	0
107	SLD 16	-702	-6	3147	5.3	-27.43	0
107	SLV 1	233	15	2781	-11.33	10.15	0
107	SLV 2	233	15	2781	-11.33	10.15	0
107	SLV 3	139	-42	2965	35.42	6.67	-0.02
107	SLV 4	139	-42	2965	35.42	6.67	-0.02
107	SLV 5	-85	90	2682	-73.87	-3.04	0.03
107	SLV 6	-85	90	2682	-73.87	-3.04	0.03
107	SLV 7	-397	-99	3296	81.98	-14.66	-0.04
107	SLV 8	-397	-99	3296	81.98	-14.66	-0.04
107	SLV 9	-451	98	2782	-80.71	-17.84	0.04
107	SLV 10	-451	98	2782	-80.71	-17.84	0.04
107	SLV 11	-763	-91	3395	75.14	-29.46	-0.03
107	SLV 12	-763	-91	3395	75.14	-29.46	-0.03
107	SLV 13	-987	41	3112	-34.15	-39.17	0.02
107	SLV 14	-987	41	3112	-34.15	-39.17	0.02
107	SLV 15	-1081	-16	3297	12.61	-42.66	0
107	SLV 16	-1081	-16	3297	12.61	-42.66	0
108	SLU 1	-418	0	2616	0.48	-16.27	0
108	SLU 2	-421	-1	2618	1.01	-16.38	0
108	SLU 3	-418	0	2616	0.48	-16.27	0
108	SLU 4	-420	-1	2617	0.8	-16.33	0
108	SLU 5	-421	-1	2618	1.01	-16.38	0
108	SLU 6	-418	0	2616	0.48	-16.27	0
108	SLU 7	-420	-1	2617	0.8	-16.33	0
108	SLU 8	-418	0	2616	0.48	-16.27	0
108	SLU 9	-420	-1	2617	0.8	-16.33	0
108	SLU 10	-645	-1	3368	1.16	-24.9	0
108	SLU 11	-642	0	3366	0.63	-24.79	0
108	SLU 12	-644	-1	3368	0.95	-24.85	0
108	SLU 13	-645	-1	3368	1.16	-24.9	0
108	SLU 14	-642	0	3366	0.63	-24.79	0
108	SLU 15	-644	-1	3368	0.95	-24.85	0
108	SLU 16	-642	0	3366	0.63	-24.79	0
108	SLU 17	-644	-1	3368	0.95	-24.85	0
108	SLU 18	-738	0	3688	0.69	-28.44	0
108	SLU 19	-740	-1	3689	1.01	-28.51	0
108	SLU 20	-738	0	3688	0.69	-28.44	0
108	SLU 21	-740	-1	3689	1.01	-28.51	0
108	SLU 22	-532	0	2998	0.56	-20.6	0
108	SLU 23	-535	-1	3000	1.09	-20.71	0
108	SLU 24	-532	0	2998	0.56	-20.6	0
108	SLU 25	-534	-1	2999	0.87	-20.67	0
108	SLU 26	-535	-1	3000	1.09	-20.71	0
108	SLU 27	-532	0	2998	0.56	-20.6	0
108	SLU 28	-534	-1	2999	0.87	-20.67	0
108	SLU 29	-532	0	2998	0.56	-20.6	0
108	SLU 30	-534	-1	2999	0.87	-20.67	0
108	SLU 31	-759	-1	3750	1.24	-29.23	0
108	SLU 32	-756	0	3748	0.71	-29.12	0
108	SLU 33	-758	-1	3750	1.03	-29.19	0
108	SLU 34	-759	-1	3750	1.24	-29.23	0
108	SLU 35	-756	0	3748	0.71	-29.12	0
108	SLU 36	-758	-1	3750	1.03	-29.19	0
108	SLU 37	-756	0	3748	0.71	-29.12	0
108	SLU 38	-758	-1	3750	1.03	-29.19	0
108	SLU 39	-852	-1	4070	0.77	-32.77	0
108	SLU 40	-854	-1	4071	1.09	-32.84	0



Nodo Ind.	Cont. N.br.	Reazione a traslazione			Reazione a rotazione		
		x	y	z	x	y	z
108	SLU 41	-852	-1	4070	0.77	-32.77	0
108	SLU 42	-854	-1	4071	1.09	-32.84	0
108	SLU 43	-504	0	3269	0.6	-19.66	0
108	SLU 44	-507	-1	3272	1.13	-19.77	0
108	SLU 45	-504	0	3269	0.6	-19.66	0
108	SLU 46	-506	-1	3271	0.91	-19.73	0
108	SLU 47	-507	-1	3272	1.13	-19.77	0
108	SLU 48	-504	0	3269	0.6	-19.66	0
108	SLU 49	-506	-1	3271	0.91	-19.73	0
108	SLU 50	-504	0	3269	0.6	-19.66	0
108	SLU 51	-506	-1	3271	0.91	-19.73	0
108	SLU 52	-731	-1	4022	1.28	-28.29	0
108	SLU 53	-728	-1	4020	0.75	-28.18	0
108	SLU 54	-730	-1	4021	1.07	-28.25	0
108	SLU 55	-731	-1	4022	1.28	-28.29	0
108	SLU 56	-728	-1	4020	0.75	-28.18	0
108	SLU 57	-730	-1	4021	1.07	-28.25	0
108	SLU 58	-728	-1	4020	0.75	-28.18	0
108	SLU 59	-730	-1	4021	1.07	-28.25	0
108	SLU 60	-824	-1	4342	0.81	-31.83	0
108	SLU 61	-826	-1	4343	1.13	-31.9	0
108	SLU 62	-824	-1	4342	0.81	-31.83	0
108	SLU 63	-826	-1	4343	1.13	-31.9	0
108	SLU 64	-618	0	3651	0.67	-23.99	0
108	SLU 65	-621	-1	3654	1.2	-24.11	0
108	SLU 66	-618	0	3651	0.67	-23.99	0
108	SLU 67	-620	-1	3653	0.99	-24.06	0
108	SLU 68	-621	-1	3654	1.2	-24.11	0
108	SLU 69	-618	0	3651	0.67	-23.99	0
108	SLU 70	-620	-1	3653	0.99	-24.06	0
108	SLU 71	-618	0	3651	0.67	-23.99	0
108	SLU 72	-620	-1	3653	0.99	-24.06	0
108	SLU 73	-845	-1	4404	1.35	-32.63	0
108	SLU 74	-842	-1	4402	0.82	-32.52	0
108	SLU 75	-844	-1	4403	1.14	-32.58	0
108	SLU 76	-845	-1	4404	1.35	-32.63	0
108	SLU 77	-842	-1	4402	0.82	-32.52	0
108	SLU 78	-844	-1	4403	1.14	-32.58	0
108	SLU 79	-842	-1	4402	0.82	-32.52	0
108	SLU 80	-844	-1	4403	1.14	-32.58	0
108	SLU 81	-938	-1	4724	0.89	-36.17	0
108	SLU 82	-940	-1	4725	1.21	-36.23	0
108	SLU 83	-938	-1	4724	0.89	-36.17	0
108	SLU 84	-940	-1	4725	1.21	-36.23	0
108	SLE RA 1	-450	0	2725	0.5	-17.5	0
108	SLE RA 2	-453	-1	2726	0.85	-17.58	0
108	SLE RA 3	-450	0	2725	0.5	-17.5	0
108	SLE RA 4	-452	-1	2726	0.71	-17.55	0
108	SLE RA 5	-453	-1	2726	0.85	-17.58	0
108	SLE RA 6	-450	0	2725	0.5	-17.5	0
108	SLE RA 7	-452	-1	2726	0.71	-17.55	0
108	SLE RA 8	-450	0	2725	0.5	-17.5	0
108	SLE RA 9	-452	-1	2726	0.71	-17.55	0
108	SLE RA 10	-602	-1	3227	0.96	-23.26	0
108	SLE RA 11	-600	0	3225	0.6	-23.19	0
108	SLE RA 12	-601	-1	3226	0.81	-23.23	0
108	SLE RA 13	-602	-1	3227	0.96	-23.26	0
108	SLE RA 14	-600	0	3225	0.6	-23.19	0
108	SLE RA 15	-601	-1	3226	0.81	-23.23	0
108	SLE RA 16	-600	0	3225	0.6	-23.19	0
108	SLE RA 17	-601	-1	3226	0.81	-23.23	0
108	SLE RA 18	-664	0	3440	0.64	-25.62	0
108	SLE RA 19	-665	-1	3440	0.86	-25.66	0
108	SLE RA 20	-664	0	3440	0.64	-25.62	0
108	SLE RA 21	-665	-1	3440	0.86	-25.66	0
108	SLE FR 1	-450	0	2725	0.5	-17.5	0
108	SLE FR 2	-451	0	2725	0.57	-17.52	0
108	SLE FR 3	-450	0	2725	0.5	-17.5	0
108	SLE FR 4	-515	0	2940	0.61	-19.95	0
108	SLE FR 5	-514	0	2939	0.54	-19.94	0
108	SLE FR 6	-557	0	3082	0.57	-21.56	0
108	SLE QP 1	-450	0	2725	0.5	-17.5	0
108	SLE QP 2	-514	0	2939	0.54	-19.94	0
108	SLD 1	-247	4	2808	-3.45	-9.33	-0.01
108	SLD 2	-247	4	2808	-3.45	-9.33	-0.01
108	SLD 3	-281	-15	2872	13.08	-10.66	0
108	SLD 4	-281	-15	2872	13.08	-10.66	0
108	SLD 5	-382	30	2804	-25.72	-14.74	-0.01
108	SLD 6	-382	30	2804	-25.72	-14.74	-0.01
108	SLD 7	-496	-34	3016	29.37	-19.17	0.01
108	SLD 8	-496	-34	3016	29.37	-19.17	0.01
108	SLD 9	-532	33	2863	-28.28	-20.7	-0.01
108	SLD 10	-532	33	2863	-28.28	-20.7	-0.01
108	SLD 11	-646	-31	3075	26.81	-25.14	0.01
108	SLD 12	-646	-31	3075	26.81	-25.14	0.01
108	SLD 13	-747	14	3006	-11.99	-29.22	0
108	SLD 14	-747	14	3006	-11.99	-29.22	0
108	SLD 15	-781	-5	3070	4.54	-30.55	0.01



Nodo Ind.	Cont. N.br.	Reazione a traslazione			Reazione a rotazione		
		x	y	z	x	y	z
108	SLD 16	-781	-5	3070	4.54	-30.55	0.01
108	SLV 1	117	11	2628	-9.74	5.15	-0.02
108	SLV 2	117	11	2628	-9.74	5.15	-0.02
108	SLV 3	35	-38	2784	32.63	1.95	-0.01
108	SLV 4	35	-38	2784	32.63	1.95	-0.01
108	SLV 5	-201	77	2610	-66.79	-7.57	-0.03
108	SLV 6	-201	77	2610	-66.79	-7.57	-0.03
108	SLV 7	-473	-86	3129	74.42	-18.22	0.03
108	SLV 8	-473	-86	3129	74.42	-18.22	0.03
108	SLV 9	-555	85	2750	-73.33	-21.66	-0.03
108	SLV 10	-555	85	2750	-73.33	-21.66	-0.03
108	SLV 11	-827	-78	3269	67.88	-32.31	0.04
108	SLV 12	-827	-78	3269	67.88	-32.31	0.04
108	SLV 13	-1064	37	3095	-31.54	-41.83	0.01
108	SLV 14	-1064	37	3095	-31.54	-41.83	0.01
108	SLV 15	-1145	-12	3250	10.82	-45.02	0.03
108	SLV 16	-1145	-12	3250	10.82	-45.02	0.03
109	SLU 1	-503	0	2543	0.47	-18.95	0
109	SLU 2	-508	-1	2542	0.93	-19.13	0
109	SLU 3	-503	0	2543	0.47	-18.95	0
109	SLU 4	-506	-1	2542	0.74	-19.06	0
109	SLU 5	-508	-1	2542	0.93	-19.13	0
109	SLU 6	-503	0	2543	0.47	-18.95	0
109	SLU 7	-506	-1	2542	0.74	-19.06	0
109	SLU 8	-503	0	2543	0.47	-18.95	0
109	SLU 9	-506	-1	2542	0.74	-19.06	0
109	SLU 10	-763	-1	3212	1.05	-28.58	0
109	SLU 11	-759	-1	3212	0.59	-28.4	0
109	SLU 12	-761	-1	3212	0.87	-28.5	0
109	SLU 13	-763	-1	3212	1.05	-28.58	0
109	SLU 14	-759	-1	3212	0.59	-28.4	0
109	SLU 15	-761	-1	3212	0.87	-28.5	0
109	SLU 16	-759	-1	3212	0.59	-28.4	0
109	SLU 17	-761	-1	3212	0.87	-28.5	0
109	SLU 18	-868	-1	3499	0.64	-32.44	0
109	SLU 19	-871	-1	3499	0.92	-32.55	0
109	SLU 20	-868	-1	3499	0.64	-32.44	0
109	SLU 21	-871	-1	3499	0.92	-32.55	0
109	SLU 22	-633	0	2884	0.53	-23.76	0
109	SLU 23	-638	-1	2883	0.99	-23.94	0
109	SLU 24	-633	0	2884	0.53	-23.76	0
109	SLU 25	-636	-1	2883	0.81	-23.87	0
109	SLU 26	-638	-1	2883	0.99	-23.94	0
109	SLU 27	-633	0	2884	0.53	-23.76	0
109	SLU 28	-636	-1	2883	0.81	-23.87	0
109	SLU 29	-633	0	2884	0.53	-23.76	0
109	SLU 30	-636	-1	2883	0.81	-23.87	0
109	SLU 31	-893	-1	3552	1.12	-33.38	0
109	SLU 32	-889	-1	3553	0.65	-33.2	0
109	SLU 33	-891	-1	3553	0.93	-33.31	0
109	SLU 34	-893	-1	3552	1.12	-33.38	0
109	SLU 35	-889	-1	3553	0.65	-33.2	0
109	SLU 36	-891	-1	3553	0.93	-33.31	0
109	SLU 37	-889	-1	3553	0.65	-33.2	0
109	SLU 38	-891	-1	3553	0.93	-33.31	0
109	SLU 39	-998	-1	3840	0.71	-37.25	0
109	SLU 40	-1001	-1	3839	0.98	-37.36	0
109	SLU 41	-998	-1	3840	0.71	-37.25	0
109	SLU 42	-1001	-1	3839	0.98	-37.36	0
109	SLU 43	-610	0	3189	0.58	-22.99	0
109	SLU 44	-615	-1	3188	1.04	-23.17	0
109	SLU 45	-610	0	3189	0.58	-22.99	0
109	SLU 46	-613	-1	3189	0.86	-23.1	0
109	SLU 47	-615	-1	3188	1.04	-23.17	0
109	SLU 48	-610	0	3189	0.58	-22.99	0
109	SLU 49	-613	-1	3189	0.86	-23.1	0
109	SLU 50	-610	0	3189	0.58	-22.99	0
109	SLU 51	-613	-1	3189	0.86	-23.1	0
109	SLU 52	-870	-1	3858	1.17	-32.61	0
109	SLU 53	-865	-1	3858	0.71	-32.44	0
109	SLU 54	-868	-1	3858	0.99	-32.54	0
109	SLU 55	-870	-1	3858	1.17	-32.61	0
109	SLU 56	-865	-1	3858	0.71	-32.44	0
109	SLU 57	-868	-1	3858	0.99	-32.54	0
109	SLU 58	-865	-1	3858	0.71	-32.44	0
109	SLU 59	-868	-1	3858	0.99	-32.54	0
109	SLU 60	-975	-1	4145	0.76	-36.48	0
109	SLU 61	-977	-1	4145	1.04	-36.59	0
109	SLU 62	-975	-1	4145	0.76	-36.48	0
109	SLU 63	-977	-1	4145	1.04	-36.59	0
109	SLU 64	-740	-1	3530	0.65	-27.8	0
109	SLU 65	-744	-1	3529	1.11	-27.98	0
109	SLU 66	-740	-1	3530	0.65	-27.8	0
109	SLU 67	-743	-1	3529	0.92	-27.91	0
109	SLU 68	-744	-1	3529	1.11	-27.98	0
109	SLU 69	-740	-1	3530	0.65	-27.8	0
109	SLU 70	-743	-1	3529	0.92	-27.91	0
109	SLU 71	-740	-1	3530	0.65	-27.8	0



Nodo Ind.	Cont. N.br.	Reazione a traslazione			Reazione a rotazione		
		x	y	z	x	y	z
109	SLU 72	-743	-1	3529	0.92	-27.91	0
109	SLU 73	-1000	-1	4198	1.23	-37.42	0
109	SLU 74	-995	-1	4199	0.77	-37.24	0
109	SLU 75	-998	-1	4199	1.05	-37.35	0
109	SLU 76	-1000	-1	4198	1.23	-37.42	0
109	SLU 77	-995	-1	4199	0.77	-37.24	0
109	SLU 78	-998	-1	4199	1.05	-37.35	0
109	SLU 79	-995	-1	4199	0.77	-37.24	0
109	SLU 80	-998	-1	4199	1.05	-37.35	0
109	SLU 81	-1104	-1	4486	0.83	-41.29	0
109	SLU 82	-1107	-1	4486	1.1	-41.39	0
109	SLU 83	-1104	-1	4486	0.83	-41.29	0
109	SLU 84	-1107	-1	4486	1.1	-41.39	0
109	SLE RA 1	-541	0	2640	0.48	-20.33	0
109	SLE RA 2	-544	-1	2640	0.79	-20.45	0
109	SLE RA 3	-541	0	2640	0.48	-20.33	0
109	SLE RA 4	-542	-1	2640	0.67	-20.4	0
109	SLE RA 5	-544	-1	2640	0.79	-20.45	0
109	SLE RA 6	-541	0	2640	0.48	-20.33	0
109	SLE RA 7	-542	-1	2640	0.67	-20.4	0
109	SLE RA 8	-541	0	2640	0.48	-20.33	0
109	SLE RA 9	-542	-1	2640	0.67	-20.4	0
109	SLE RA 10	-714	-1	3086	0.87	-26.74	0
109	SLE RA 11	-711	0	3087	0.57	-26.62	0
109	SLE RA 12	-713	-1	3086	0.75	-26.69	0
109	SLE RA 13	-714	-1	3086	0.87	-26.74	0
109	SLE RA 14	-711	0	3087	0.57	-26.62	0
109	SLE RA 15	-713	-1	3086	0.75	-26.69	0
109	SLE RA 16	-711	0	3087	0.57	-26.62	0
109	SLE RA 17	-713	-1	3086	0.75	-26.69	0
109	SLE RA 18	-784	-1	3278	0.6	-29.32	0
109	SLE RA 19	-785	-1	3277	0.79	-29.39	0
109	SLE RA 20	-784	-1	3278	0.6	-29.32	0
109	SLE RA 21	-785	-1	3277	0.79	-29.39	0
109	SLE FR 1	-541	0	2640	0.48	-20.33	0
109	SLE FR 2	-541	-1	2640	0.55	-20.35	0
109	SLE FR 3	-541	0	2640	0.48	-20.33	0
109	SLE FR 4	-614	-1	2831	0.58	-23.05	0
109	SLE FR 5	-613	0	2832	0.52	-23.02	0
109	SLE FR 6	-662	0	2959	0.54	-24.82	0
109	SLE QP 1	-541	0	2640	0.48	-20.33	0
109	SLE QP 2	-613	0	2832	0.52	-23.02	0
109	SLD 1	-386	0	2651	-1.94	-13.86	-0.01
109	SLD 2	-386	0	2651	-1.94	-13.86	-0.01
109	SLD 3	-356	-12	2720	9.95	-12.72	0
109	SLD 4	-356	-12	2720	9.95	-12.72	0
109	SLD 5	-591	18	2673	-18.27	-22.02	-0.02
109	SLD 6	-591	18	2673	-18.27	-22.02	-0.02
109	SLD 7	-491	-22	2902	21.4	-18.19	0.02
109	SLD 8	-491	-22	2902	21.4	-18.19	0.02
109	SLD 9	-736	21	2761	-20.36	-27.86	-0.02
109	SLD 10	-736	21	2761	-20.36	-27.86	-0.02
109	SLD 11	-636	-18	2990	19.31	-24.03	0.03
109	SLD 12	-636	-18	2990	19.31	-24.03	0.03
109	SLD 13	-871	11	2943	-8.91	-33.33	0
109	SLD 14	-871	11	2943	-8.91	-33.33	0
109	SLD 15	-841	-1	3012	2.98	-32.19	0.02
109	SLD 16	-841	-1	3012	2.98	-32.19	0.02
109	SLV 1	-76	2	2403	-5.9	-1.39	-0.03
109	SLV 2	-76	2	2403	-5.9	-1.39	-0.03
109	SLV 3	-5	-29	2570	24.61	1.32	0
109	SLV 4	-5	-29	2570	24.61	1.32	0
109	SLV 5	-560	46	2450	-47.69	-20.65	-0.06
109	SLV 6	-560	46	2450	-47.69	-20.65	-0.06
109	SLV 7	-323	-55	3006	54.03	-11.61	0.05
109	SLV 8	-323	-55	3006	54.03	-11.61	0.05
109	SLV 9	-904	54	2657	-52.99	-34.44	-0.05
109	SLV 10	-904	54	2657	-52.99	-34.44	-0.05
109	SLV 11	-667	-47	3213	48.73	-25.4	0.06
109	SLV 12	-667	-47	3213	48.73	-25.4	0.06
109	SLV 13	-1222	28	3093	-23.57	-47.37	0
109	SLV 14	-1222	28	3093	-23.57	-47.37	0
109	SLV 15	-1151	-2	3260	6.94	-44.66	0.04
109	SLV 16	-1151	-2	3260	6.94	-44.66	0.04
110	SLU 1	-635	-2	2530	0.63	-25.15	-0.01
110	SLU 2	-640	-2	2524	0.9	-25.29	-0.01
110	SLU 3	-635	-2	2530	0.63	-25.15	-0.01
110	SLU 4	-638	-2	2526	0.79	-25.23	-0.01
110	SLU 5	-640	-2	2524	0.9	-25.29	-0.01
110	SLU 6	-635	-2	2530	0.63	-25.15	-0.01
110	SLU 7	-638	-2	2526	0.79	-25.23	-0.01
110	SLU 8	-635	-2	2530	0.63	-25.15	-0.01
110	SLU 9	-638	-2	2526	0.79	-25.23	-0.01
110	SLU 10	-924	-3	3137	1.01	-36.29	-0.01
110	SLU 11	-919	-2	3143	0.74	-36.14	-0.01
110	SLU 12	-922	-2	3140	0.9	-36.23	-0.01
110	SLU 13	-924	-3	3137	1.01	-36.29	-0.01
110	SLU 14	-919	-2	3143	0.74	-36.14	-0.01



Nodo Ind.	Cont. N.br.	Reazione a traslazione			Reazione a rotazione		
		x	y	z	x	y	z
110	SLU 15	-922	-2	3140	0.9	-36.23	-0.01
110	SLU 16	-919	-2	3143	0.74	-36.14	-0.01
110	SLU 17	-922	-2	3140	0.9	-36.23	-0.01
110	SLU 18	-1041	-2	3406	0.79	-40.85	-0.01
110	SLU 19	-1044	-3	3402	0.95	-40.94	-0.01
110	SLU 20	-1041	-2	3406	0.79	-40.85	-0.01
110	SLU 21	-1044	-3	3402	0.95	-40.94	-0.01
110	SLU 22	-779	-2	2842	0.69	-30.74	-0.01
110	SLU 23	-784	-2	2836	0.95	-30.89	-0.01
110	SLU 24	-779	-2	2842	0.69	-30.74	-0.01
110	SLU 25	-782	-2	2839	0.85	-30.83	-0.01
110	SLU 26	-784	-2	2836	0.95	-30.89	-0.01
110	SLU 27	-779	-2	2842	0.69	-30.74	-0.01
110	SLU 28	-782	-2	2839	0.85	-30.83	-0.01
110	SLU 29	-779	-2	2842	0.69	-30.74	-0.01
110	SLU 30	-782	-2	2839	0.85	-30.83	-0.01
110	SLU 31	-1068	-3	3449	1.06	-41.88	-0.01
110	SLU 32	-1063	-2	3455	0.8	-41.74	-0.01
110	SLU 33	-1066	-3	3452	0.96	-41.82	-0.01
110	SLU 34	-1068	-3	3449	1.06	-41.88	-0.01
110	SLU 35	-1063	-2	3455	0.8	-41.74	-0.01
110	SLU 36	-1066	-3	3452	0.96	-41.82	-0.01
110	SLU 37	-1063	-2	3455	0.8	-41.74	-0.01
110	SLU 38	-1066	-3	3452	0.96	-41.82	-0.01
110	SLU 39	-1185	-2	3718	0.85	-46.45	-0.01
110	SLU 40	-1188	-3	3714	1.01	-46.54	-0.01
110	SLU 41	-1185	-2	3718	0.85	-46.45	-0.01
110	SLU 42	-1188	-3	3714	1.01	-46.54	-0.01
110	SLU 43	-776	-2	3182	0.8	-30.77	-0.01
110	SLU 44	-781	-3	3176	1.07	-30.92	-0.01
110	SLU 45	-776	-2	3182	0.8	-30.77	-0.01
110	SLU 46	-779	-3	3178	0.96	-30.86	-0.01
110	SLU 47	-781	-3	3176	1.07	-30.92	-0.01
110	SLU 48	-776	-2	3182	0.8	-30.77	-0.01
110	SLU 49	-779	-3	3178	0.96	-30.86	-0.01
110	SLU 50	-776	-2	3182	0.8	-30.77	-0.01
110	SLU 51	-779	-3	3178	0.96	-30.86	-0.01
110	SLU 52	-1065	-3	3789	1.18	-41.91	-0.01
110	SLU 53	-1060	-3	3795	0.91	-41.77	-0.01
110	SLU 54	-1063	-3	3792	1.07	-41.85	-0.01
110	SLU 55	-1065	-3	3789	1.18	-41.91	-0.01
110	SLU 56	-1060	-3	3795	0.91	-41.77	-0.01
110	SLU 57	-1063	-3	3792	1.07	-41.85	-0.01
110	SLU 58	-1060	-3	3795	0.91	-41.77	-0.01
110	SLU 59	-1063	-3	3792	1.07	-41.85	-0.01
110	SLU 60	-1181	-3	4058	0.96	-46.48	-0.01
110	SLU 61	-1184	-3	4054	1.12	-46.57	-0.01
110	SLU 62	-1181	-3	4058	0.96	-46.48	-0.01
110	SLU 63	-1184	-3	4054	1.12	-46.57	-0.01
110	SLU 64	-920	-2	3494	0.86	-36.37	-0.01
110	SLU 65	-925	-3	3488	1.12	-36.51	-0.01
110	SLU 66	-920	-2	3494	0.86	-36.37	-0.01
110	SLU 67	-923	-3	3491	1.02	-36.45	-0.01
110	SLU 68	-925	-3	3488	1.12	-36.51	-0.01
110	SLU 69	-920	-2	3494	0.86	-36.37	-0.01
110	SLU 70	-923	-3	3491	1.02	-36.45	-0.01
110	SLU 71	-920	-2	3494	0.86	-36.37	-0.01
110	SLU 72	-923	-3	3491	1.02	-36.45	-0.01
110	SLU 73	-1209	-3	4101	1.23	-47.51	-0.01
110	SLU 74	-1204	-3	4107	0.97	-47.36	-0.01
110	SLU 75	-1207	-3	4104	1.13	-47.45	-0.01
110	SLU 76	-1209	-3	4101	1.23	-47.51	-0.01
110	SLU 77	-1204	-3	4107	0.97	-47.36	-0.01
110	SLU 78	-1207	-3	4104	1.13	-47.45	-0.01
110	SLU 79	-1204	-3	4107	0.97	-47.36	-0.01
110	SLU 80	-1207	-3	4104	1.13	-47.45	-0.01
110	SLU 81	-1326	-3	4370	1.02	-52.07	-0.01
110	SLU 82	-1329	-3	4366	1.18	-52.16	-0.01
110	SLU 83	-1326	-3	4370	1.02	-52.07	-0.01
110	SLU 84	-1329	-3	4366	1.18	-52.16	-0.01
110	SLE RA 1	-676	-2	2619	0.65	-26.74	-0.01
110	SLE RA 2	-679	-2	2615	0.82	-26.84	-0.01
110	SLE RA 3	-676	-2	2619	0.65	-26.74	-0.01
110	SLE RA 4	-678	-2	2617	0.75	-26.8	-0.01
110	SLE RA 5	-679	-2	2615	0.82	-26.84	-0.01
110	SLE RA 6	-676	-2	2619	0.65	-26.74	-0.01
110	SLE RA 7	-678	-2	2617	0.75	-26.8	-0.01
110	SLE RA 8	-676	-2	2619	0.65	-26.74	-0.01
110	SLE RA 9	-678	-2	2617	0.75	-26.8	-0.01
110	SLE RA 10	-869	-2	3024	0.9	-34.17	-0.01
110	SLE RA 11	-865	-2	3028	0.72	-34.07	-0.01
110	SLE RA 12	-867	-2	3026	0.83	-34.13	-0.01
110	SLE RA 13	-869	-2	3024	0.9	-34.17	-0.01
110	SLE RA 14	-865	-2	3028	0.72	-34.07	-0.01
110	SLE RA 15	-867	-2	3026	0.83	-34.13	-0.01
110	SLE RA 16	-865	-2	3028	0.72	-34.07	-0.01
110	SLE RA 17	-867	-2	3026	0.83	-34.13	-0.01
110	SLE RA 18	-947	-2	3203	0.75	-37.22	-0.01



Nodo Ind.	Cont. N.br.	Reazione a traslazione				Reazione a rotazione		
		x	y	z		x	y	z
110	SLE RA 19	-949	-2	3201		0.86	-37.28	-0.01
110	SLE RA 20	-947	-2	3203		0.75	-37.22	-0.01
110	SLE RA 21	-949	-2	3201		0.86	-37.28	-0.01
110	SLE FR 1	-676	-2	2619		0.65	-26.74	-0.01
110	SLE FR 2	-677	-2	2618		0.68	-26.76	-0.01
110	SLE FR 3	-676	-2	2619		0.65	-26.74	-0.01
110	SLE FR 4	-758	-2	2794		0.71	-29.91	-0.01
110	SLE FR 5	-757	-2	2794		0.68	-29.89	-0.01
110	SLE FR 6	-811	-2	2911		0.7	-31.98	-0.01
110	SLE QP 1	-676	-2	2619		0.65	-26.74	-0.01
110	SLE QP 2	-757	-2	2794		0.68	-29.89	-0.01
110	SLD 1	-540	-4	2506		-0.24	-20.97	0
110	SLD 2	-540	-4	2506		-0.24	-20.97	0
110	SLD 3	-511	-10	2605		5.89	-19.79	-0.02
110	SLD 4	-511	-10	2605		5.89	-19.79	-0.02
110	SLD 5	-736	7	2558		-8.89	-29	0.02
110	SLD 6	-736	7	2558		-8.89	-29	0.02
110	SLD 7	-639	-14	2888		11.53	-25.07	-0.04
110	SLD 8	-639	-14	2888		11.53	-25.07	-0.04
110	SLD 9	-875	10	2701		-10.18	-34.7	0.02
110	SLD 10	-875	10	2701		-10.18	-34.7	0.02
110	SLD 11	-778	-11	3031		10.24	-30.77	-0.03
110	SLD 12	-778	-11	3031		10.24	-30.77	-0.03
110	SLD 13	-1004	6	2984		-4.53	-39.98	0.01
110	SLD 14	-1004	6	2984		-4.53	-39.98	0.01
110	SLD 15	-975	0	3083		1.59	-38.8	-0.01
110	SLD 16	-975	0	3083		1.59	-38.8	-0.01
110	SLV 1	-244	-6	2111		-1.79	-8.86	0
110	SLV 2	-244	-6	2111		-1.79	-8.86	0
110	SLV 3	-175	-22	2350		13.92	-6.03	-0.04
110	SLV 4	-175	-22	2350		13.92	-6.03	-0.04
110	SLV 5	-708	22	2228		-23.89	-27.88	0.06
110	SLV 6	-708	22	2228		-23.89	-27.88	0.06
110	SLV 7	-478	-33	3023		28.48	-18.43	-0.09
110	SLV 8	-478	-33	3023		28.48	-18.43	-0.09
110	SLV 9	-1037	29	2566		-27.13	-41.34	0.07
110	SLV 10	-1037	29	2566		-27.13	-41.34	0.07
110	SLV 11	-806	-26	3361		25.25	-31.89	-0.08
110	SLV 12	-806	-26	3361		25.25	-31.89	-0.08
110	SLV 13	-1340	19	3239		-12.57	-53.75	0.03
110	SLV 14	-1340	19	3239		-12.57	-53.75	0.03
110	SLV 15	-1270	2	3478		3.15	-50.91	-0.02
110	SLV 16	-1270	2	3478		3.15	-50.91	-0.02
111	SLU 1	-551	-155	3534		8.66	-17.14	0.06
111	SLU 2	-553	-146	3516		8.28	-17.22	0.05
111	SLU 3	-551	-155	3534		8.66	-17.14	0.06
111	SLU 4	-552	-150	3523		8.43	-17.19	0.05
111	SLU 5	-553	-146	3516		8.28	-17.22	0.05
111	SLU 6	-551	-155	3534		8.66	-17.14	0.06
111	SLU 7	-552	-150	3523		8.43	-17.19	0.05
111	SLU 8	-551	-155	3534		8.66	-17.14	0.06
111	SLU 9	-552	-150	3523		8.43	-17.19	0.05
111	SLU 10	-749	-146	4338		8.86	-23.87	0.06
111	SLU 11	-747	-155	4356		9.25	-23.79	0.06
111	SLU 12	-748	-150	4346		9.02	-23.84	0.06
111	SLU 13	-749	-146	4338		8.86	-23.87	0.06
111	SLU 14	-747	-155	4356		9.25	-23.79	0.06
111	SLU 15	-748	-150	4346		9.02	-23.84	0.06
111	SLU 16	-747	-155	4356		9.25	-23.79	0.06
111	SLU 17	-748	-150	4346		9.02	-23.84	0.06
111	SLU 18	-831	-155	4709		9.5	-26.64	0.06
111	SLU 19	-832	-150	4698		9.27	-26.69	0.06
111	SLU 20	-831	-155	4709		9.5	-26.64	0.06
111	SLU 21	-832	-150	4698		9.27	-26.69	0.06
111	SLU 22	-651	-155	3953		8.96	-20.52	0.06
111	SLU 23	-653	-146	3934		8.58	-20.6	0.06
111	SLU 24	-651	-155	3953		8.96	-20.52	0.06
111	SLU 25	-652	-150	3942		8.73	-20.57	0.06
111	SLU 26	-653	-146	3934		8.58	-20.6	0.06
111	SLU 27	-651	-155	3953		8.96	-20.52	0.06
111	SLU 28	-652	-150	3942		8.73	-20.57	0.06
111	SLU 29	-651	-155	3953		8.96	-20.52	0.06
111	SLU 30	-652	-150	3942		8.73	-20.57	0.06
111	SLU 31	-849	-146	4757		9.16	-27.25	0.06
111	SLU 32	-847	-155	4775		9.55	-27.17	0.06
111	SLU 33	-848	-150	4764		9.32	-27.22	0.06
111	SLU 34	-849	-146	4757		9.16	-27.25	0.06
111	SLU 35	-847	-155	4775		9.55	-27.17	0.06
111	SLU 36	-848	-150	4764		9.32	-27.22	0.06
111	SLU 37	-847	-155	4775		9.55	-27.17	0.06
111	SLU 38	-848	-150	4764		9.32	-27.22	0.06
111	SLU 39	-931	-155	5128		9.8	-30.02	0.06
111	SLU 40	-932	-149	5117		9.57	-30.07	0.06
111	SLU 41	-931	-155	5128		9.8	-30.02	0.06
111	SLU 42	-932	-149	5117		9.57	-30.07	0.06
111	SLU 43	-683	-202	4450		11.15	-21.12	0.07
111	SLU 44	-684	-193	4432		10.77	-21.2	0.07
111	SLU 45	-683	-202	4450		11.15	-21.12	0.07



Nodo Ind.	Cont. N.br.	Reazione a traslazione			Reazione a rotazione		
		x	y	z	x	y	z
111	SLU 46	-684	-197	4440	10.92	-21.17	0.07
111	SLU 47	-684	-193	4432	10.77	-21.2	0.07
111	SLU 48	-683	-202	4450	11.15	-21.12	0.07
111	SLU 49	-684	-197	4440	10.92	-21.17	0.07
111	SLU 50	-683	-202	4450	11.15	-21.12	0.07
111	SLU 51	-684	-197	4440	10.92	-21.17	0.07
111	SLU 52	-880	-193	5255	11.36	-27.85	0.07
111	SLU 53	-879	-202	5273	11.74	-27.77	0.08
111	SLU 54	-880	-196	5262	11.51	-27.82	0.08
111	SLU 55	-880	-193	5255	11.36	-27.85	0.07
111	SLU 56	-879	-202	5273	11.74	-27.77	0.08
111	SLU 57	-880	-196	5262	11.51	-27.82	0.08
111	SLU 58	-879	-202	5273	11.74	-27.77	0.08
111	SLU 59	-880	-196	5262	11.51	-27.82	0.08
111	SLU 60	-963	-202	5626	11.99	-30.62	0.08
111	SLU 61	-964	-196	5615	11.76	-30.67	0.08
111	SLU 62	-963	-202	5626	11.99	-30.62	0.08
111	SLU 63	-964	-196	5615	11.76	-30.67	0.08
111	SLU 64	-782	-202	4869	11.45	-24.5	0.07
111	SLU 65	-784	-193	4851	11.07	-24.58	0.07
111	SLU 66	-782	-202	4869	11.45	-24.5	0.07
111	SLU 67	-783	-197	4858	11.22	-24.55	0.07
111	SLU 68	-784	-193	4851	11.07	-24.58	0.07
111	SLU 69	-782	-202	4869	11.45	-24.5	0.07
111	SLU 70	-783	-197	4858	11.22	-24.55	0.07
111	SLU 71	-782	-202	4869	11.45	-24.5	0.07
111	SLU 72	-783	-197	4858	11.22	-24.55	0.07
111	SLU 73	-980	-193	5674	11.66	-31.23	0.08
111	SLU 74	-978	-202	5692	12.04	-31.15	0.08
111	SLU 75	-979	-196	5681	11.81	-31.2	0.08
111	SLU 76	-980	-193	5674	11.66	-31.23	0.08
111	SLU 77	-978	-202	5692	12.04	-31.15	0.08
111	SLU 78	-979	-196	5681	11.81	-31.2	0.08
111	SLU 79	-978	-202	5692	12.04	-31.15	0.08
111	SLU 80	-979	-196	5681	11.81	-31.2	0.08
111	SLU 81	-1062	-202	6044	12.29	-34	0.08
111	SLU 82	-1063	-196	6033	12.06	-34.05	0.08
111	SLU 83	-1062	-202	6044	12.29	-34	0.08
111	SLU 84	-1063	-196	6033	12.06	-34.05	0.08
111	SLE RA 1	-580	-155	3653	8.74	-18.11	0.06
111	SLE RA 2	-581	-149	3641	8.49	-18.16	0.06
111	SLE RA 3	-580	-155	3653	8.74	-18.11	0.06
111	SLE RA 4	-581	-152	3646	8.59	-18.14	0.06
111	SLE RA 5	-581	-149	3641	8.49	-18.16	0.06
111	SLE RA 6	-580	-155	3653	8.74	-18.11	0.06
111	SLE RA 7	-581	-152	3646	8.59	-18.14	0.06
111	SLE RA 8	-580	-155	3653	8.74	-18.11	0.06
111	SLE RA 9	-581	-152	3646	8.59	-18.14	0.06
111	SLE RA 10	-712	-149	4190	8.88	-22.59	0.06
111	SLE RA 11	-710	-155	4202	9.14	-22.54	0.06
111	SLE RA 12	-711	-152	4195	8.98	-22.57	0.06
111	SLE RA 13	-712	-149	4190	8.88	-22.59	0.06
111	SLE RA 14	-710	-155	4202	9.14	-22.54	0.06
111	SLE RA 15	-711	-152	4195	8.98	-22.57	0.06
111	SLE RA 16	-710	-155	4202	9.14	-22.54	0.06
111	SLE RA 17	-711	-152	4195	8.98	-22.57	0.06
111	SLE RA 18	-766	-155	4437	9.3	-24.44	0.06
111	SLE RA 19	-767	-152	4430	9.15	-24.47	0.06
111	SLE RA 20	-766	-155	4437	9.3	-24.44	0.06
111	SLE RA 21	-767	-152	4430	9.15	-24.47	0.06
111	SLE FR 1	-580	-155	3653	8.74	-18.11	0.06
111	SLE FR 2	-580	-154	3651	8.69	-18.12	0.06
111	SLE FR 3	-580	-155	3653	8.74	-18.11	0.06
111	SLE FR 4	-636	-154	3886	8.86	-20.02	0.06
111	SLE FR 5	-636	-155	3888	8.91	-20.01	0.06
111	SLE FR 6	-673	-155	4045	9.02	-21.27	0.06
111	SLE QP 1	-580	-155	3653	8.74	-18.11	0.06
111	SLE QP 2	-636	-155	3888	8.91	-20.01	0.06
111	SLD 1	-482	-93	3274	5.36	-14.77	0.05
111	SLD 2	-482	-93	3274	5.36	-14.77	0.05
111	SLD 3	-499	-152	3491	8.89	-14.19	0.1
111	SLD 4	-499	-152	3491	8.89	-14.19	0.1
111	SLD 5	-563	-46	3375	2.49	-19.31	-0.02
111	SLD 6	-563	-46	3375	2.49	-19.31	-0.02
111	SLD 7	-621	-245	4099	14.26	-17.38	0.15
111	SLD 8	-621	-245	4099	14.26	-17.38	0.15
111	SLD 9	-651	-66	3678	3.56	-22.63	-0.03
111	SLD 10	-651	-66	3678	3.56	-22.63	-0.03
111	SLD 11	-708	-264	4402	15.33	-20.7	0.13
111	SLD 12	-708	-264	4402	15.33	-20.7	0.13
111	SLD 13	-773	-158	4286	8.93	-25.82	0.01
111	SLD 14	-773	-158	4286	8.93	-25.82	0.01
111	SLD 15	-790	-218	4503	12.46	-25.24	0.06
111	SLD 16	-790	-218	4503	12.46	-25.24	0.06
111	SLV 1	-271	-8	2433	0.38	-7.63	0.05
111	SLV 2	-271	-8	2433	0.38	-7.63	0.05
111	SLV 3	-312	-148	2955	8.93	-6.27	0.17
111	SLV 4	-312	-148	2955	8.93	-6.27	0.17



Nodo Ind.	Cont. N.br.	Reazione a traslazione			Reazione a rotazione		
		x	y	z	x	y	z
111	SLV 5	-464	102	2660	-6.62	-18.36	-0.14
111	SLV 6	-464	102	2660	-6.62	-18.36	-0.14
111	SLV 7	-601	-367	4400	21.89	-13.82	0.28
111	SLV 8	-601	-367	4400	21.89	-13.82	0.28
111	SLV 9	-671	56	3377	-4.06	-26.19	-0.17
111	SLV 10	-671	56	3377	-4.06	-26.19	-0.17
111	SLV 11	-807	-413	5117	24.44	-21.65	0.25
111	SLV 12	-807	-413	5117	24.44	-21.65	0.25
111	SLV 13	-959	-162	4822	8.89	-33.74	-0.06
111	SLV 14	-959	-162	4822	8.89	-33.74	-0.06
111	SLV 15	-1000	-303	5344	17.44	-32.38	0.07
111	SLV 16	-1000	-303	5344	17.44	-32.38	0.07
112	SLU 1	-3	-301	951	5.23	-0.79	-0.16
112	SLU 2	-4	-296	938	5.07	-0.86	-0.18
112	SLU 3	-3	-301	951	5.23	-0.79	-0.16
112	SLU 4	-3	-298	943	5.14	-0.83	-0.18
112	SLU 5	-4	-296	938	5.07	-0.86	-0.18
112	SLU 6	-3	-301	951	5.23	-0.79	-0.16
112	SLU 7	-3	-298	943	5.14	-0.83	-0.18
112	SLU 8	-3	-301	951	5.23	-0.79	-0.16
112	SLU 9	-3	-298	943	5.14	-0.83	-0.18
112	SLU 10	-5	-357	1140	6.03	-1.17	-0.25
112	SLU 11	-4	-363	1153	6.19	-1.09	-0.23
112	SLU 12	-5	-360	1145	6.09	-1.14	-0.24
112	SLU 13	-5	-357	1140	6.03	-1.17	-0.25
112	SLU 14	-4	-363	1153	6.19	-1.09	-0.23
112	SLU 15	-5	-360	1145	6.09	-1.14	-0.24
112	SLU 16	-4	-363	1153	6.19	-1.09	-0.23
112	SLU 17	-5	-360	1145	6.09	-1.14	-0.24
112	SLU 18	-5	-389	1240	6.6	-1.22	-0.25
112	SLU 19	-5	-386	1232	6.5	-1.27	-0.27
112	SLU 20	-5	-389	1240	6.6	-1.22	-0.25
112	SLU 21	-5	-386	1232	6.5	-1.27	-0.27
112	SLU 22	-4	-333	1054	5.72	-0.94	-0.2
112	SLU 23	-4	-327	1041	5.56	-1.02	-0.22
112	SLU 24	-4	-333	1054	5.72	-0.94	-0.2
112	SLU 25	-4	-329	1046	5.62	-0.99	-0.21
112	SLU 26	-4	-327	1041	5.56	-1.02	-0.22
112	SLU 27	-4	-333	1054	5.72	-0.94	-0.2
112	SLU 28	-4	-329	1046	5.62	-0.99	-0.21
112	SLU 29	-4	-333	1054	5.72	-0.94	-0.2
112	SLU 30	-4	-329	1046	5.62	-0.99	-0.21
112	SLU 31	-5	-389	1243	6.52	-1.32	-0.28
112	SLU 32	-5	-394	1256	6.68	-1.25	-0.26
112	SLU 33	-5	-391	1248	6.58	-1.29	-0.27
112	SLU 34	-5	-389	1243	6.52	-1.32	-0.28
112	SLU 35	-5	-394	1256	6.68	-1.25	-0.26
112	SLU 36	-5	-391	1248	6.58	-1.29	-0.27
112	SLU 37	-5	-394	1256	6.68	-1.25	-0.26
112	SLU 38	-5	-391	1248	6.58	-1.29	-0.27
112	SLU 39	-5	-420	1343	7.09	-1.38	-0.29
112	SLU 40	-6	-417	1335	6.99	-1.42	-0.3
112	SLU 41	-5	-420	1343	7.09	-1.38	-0.29
112	SLU 42	-6	-417	1335	6.99	-1.42	-0.3
112	SLU 43	-4	-381	1201	6.64	-0.97	-0.2
112	SLU 44	-4	-376	1188	6.47	-1.05	-0.22
112	SLU 45	-4	-381	1201	6.64	-0.97	-0.2
112	SLU 46	-4	-378	1193	6.54	-1.02	-0.21
112	SLU 47	-4	-376	1188	6.47	-1.05	-0.22
112	SLU 48	-4	-381	1201	6.64	-0.97	-0.2
112	SLU 49	-4	-378	1193	6.54	-1.02	-0.21
112	SLU 50	-4	-381	1201	6.64	-0.97	-0.2
112	SLU 51	-4	-378	1193	6.54	-1.02	-0.21
112	SLU 52	-6	-437	1390	7.43	-1.35	-0.28
112	SLU 53	-5	-442	1403	7.59	-1.28	-0.26
112	SLU 54	-5	-439	1395	7.5	-1.32	-0.28
112	SLU 55	-6	-437	1390	7.43	-1.35	-0.28
112	SLU 56	-5	-442	1403	7.59	-1.28	-0.26
112	SLU 57	-5	-439	1395	7.5	-1.32	-0.28
112	SLU 58	-5	-442	1403	7.59	-1.28	-0.26
112	SLU 59	-5	-439	1395	7.5	-1.32	-0.28
112	SLU 60	-5	-469	1490	8	-1.41	-0.29
112	SLU 61	-6	-466	1482	7.91	-1.45	-0.3
112	SLU 62	-5	-469	1490	8	-1.41	-0.29
112	SLU 63	-6	-466	1482	7.91	-1.45	-0.3
112	SLU 64	-4	-412	1304	7.12	-1.13	-0.23
112	SLU 65	-5	-407	1291	6.96	-1.2	-0.25
112	SLU 66	-4	-412	1304	7.12	-1.13	-0.23
112	SLU 67	-5	-409	1296	7.03	-1.17	-0.25
112	SLU 68	-5	-407	1291	6.96	-1.2	-0.25
112	SLU 69	-4	-412	1304	7.12	-1.13	-0.23
112	SLU 70	-5	-409	1296	7.03	-1.17	-0.25
112	SLU 71	-4	-412	1304	7.12	-1.13	-0.23
112	SLU 72	-5	-409	1296	7.03	-1.17	-0.25
112	SLU 73	-6	-468	1493	7.92	-1.5	-0.32
112	SLU 74	-5	-474	1506	8.08	-1.43	-0.3
112	SLU 75	-6	-470	1498	7.98	-1.47	-0.31
112	SLU 76	-6	-468	1493	7.92	-1.5	-0.32



Nodo Ind.	Cont. N.br.	Reazione a traslazione			Reazione a rotazione		
		x	y	z	x	y	z
112	SLU 77	-5	-474	1506	8.08	-1.43	-0.3
112	SLU 78	-6	-470	1498	7.98	-1.47	-0.31
112	SLU 79	-5	-474	1506	8.08	-1.43	-0.3
112	SLU 80	-6	-470	1498	7.98	-1.47	-0.31
112	SLU 81	-6	-500	1593	8.49	-1.56	-0.32
112	SLU 82	-6	-497	1585	8.39	-1.6	-0.34
112	SLU 83	-6	-500	1593	8.49	-1.56	-0.32
112	SLU 84	-6	-497	1585	8.39	-1.6	-0.34
112	SLE RA 1	-3	-310	980	5.37	-0.83	-0.17
112	SLE RA 2	-4	-307	972	5.26	-0.88	-0.19
112	SLE RA 3	-3	-310	980	5.37	-0.83	-0.17
112	SLE RA 4	-3	-308	975	5.31	-0.86	-0.18
112	SLE RA 5	-4	-307	972	5.26	-0.88	-0.19
112	SLE RA 6	-3	-310	980	5.37	-0.83	-0.17
112	SLE RA 7	-3	-308	975	5.31	-0.86	-0.18
112	SLE RA 8	-3	-310	980	5.37	-0.83	-0.17
112	SLE RA 9	-3	-308	975	5.31	-0.86	-0.18
112	SLE RA 10	-4	-348	1107	5.9	-1.08	-0.23
112	SLE RA 11	-4	-351	1115	6.01	-1.04	-0.21
112	SLE RA 12	-4	-349	1110	5.95	-1.07	-0.22
112	SLE RA 13	-4	-348	1107	5.9	-1.08	-0.23
112	SLE RA 14	-4	-351	1115	6.01	-1.04	-0.21
112	SLE RA 15	-4	-349	1110	5.95	-1.07	-0.22
112	SLE RA 16	-4	-351	1115	6.01	-1.04	-0.21
112	SLE RA 17	-4	-349	1110	5.95	-1.07	-0.22
112	SLE RA 18	-4	-369	1173	6.28	-1.12	-0.23
112	SLE RA 19	-5	-367	1168	6.22	-1.15	-0.24
112	SLE RA 20	-4	-369	1173	6.28	-1.12	-0.23
112	SLE RA 21	-5	-367	1168	6.22	-1.15	-0.24
112	SLE FR 1	-3	-310	980	5.37	-0.83	-0.17
112	SLE FR 2	-3	-310	979	5.35	-0.84	-0.18
112	SLE FR 3	-3	-310	980	5.37	-0.83	-0.17
112	SLE FR 4	-4	-327	1036	5.62	-0.93	-0.19
112	SLE FR 5	-3	-328	1038	5.65	-0.92	-0.19
112	SLE FR 6	-4	-340	1077	5.83	-0.98	-0.2
112	SLE QP 1	-3	-310	980	5.37	-0.83	-0.17
112	SLE QP 2	-3	-328	1038	5.65	-0.92	-0.19
112	SLD 1	-2	-264	850	4.3	-0.83	-0.16
112	SLD 2	-2	-264	850	4.3	-0.83	-0.16
112	SLD 3	-16	-305	958	5.36	-2.11	-0.51
112	SLD 4	-16	-305	958	5.36	-2.11	-0.51
112	SLD 5	18	-246	817	3.64	1.04	0.35
112	SLD 6	18	-246	817	3.64	1.04	0.35
112	SLD 7	-28	-384	1179	7.16	-3.21	-0.82
112	SLD 8	-28	-384	1179	7.16	-3.21	-0.82
112	SLD 9	22	-272	897	4.13	1.37	0.44
112	SLD 10	22	-272	897	4.13	1.37	0.44
112	SLD 11	-25	-410	1260	7.65	-2.88	-0.73
112	SLD 12	-25	-410	1260	7.65	-2.88	-0.73
112	SLD 13	9	-351	1118	5.93	0.27	0.13
112	SLD 14	9	-351	1118	5.93	0.27	0.13
112	SLD 15	-5	-392	1227	6.99	-1.01	-0.22
112	SLD 16	-5	-392	1227	6.99	-1.01	-0.22
112	SLV 1	0	-176	591	2.46	-0.65	-0.11
112	SLV 2	0	-176	591	2.46	-0.65	-0.11
112	SLV 3	-35	-274	851	4.97	-3.92	-1.01
112	SLV 4	-35	-274	851	4.97	-3.92	-1.01
112	SLV 5	52	-133	510	0.88	4.12	1.2
112	SLV 6	52	-133	510	0.88	4.12	1.2
112	SLV 7	-67	-461	1376	9.25	-6.78	-1.8
112	SLV 8	-67	-461	1376	9.25	-6.78	-1.8
112	SLV 9	61	-195	700	2.04	4.94	1.42
112	SLV 10	61	-195	700	2.04	4.94	1.42
112	SLV 11	-59	-523	1566	10.41	-5.97	-1.58
112	SLV 12	-59	-523	1566	10.41	-5.97	-1.58
112	SLV 13	29	-381	1226	6.32	2.08	0.62
112	SLV 14	29	-381	1226	6.32	2.08	0.62
112	SLV 15	-7	-480	1485	8.83	-1.19	-0.27
112	SLV 16	-7	-480	1485	8.83	-1.19	-0.27
113	SLU 1	7	-138	2007	3.81	0.91	0.02
113	SLU 2	7	-119	2032	2.81	1.13	0.02
113	SLU 3	7	-138	2007	3.81	0.91	0.02
113	SLU 4	7	-127	2022	3.21	1.04	0.02
113	SLU 5	7	-119	2032	2.81	1.13	0.02
113	SLU 6	7	-138	2007	3.81	0.91	0.02
113	SLU 7	7	-127	2022	3.21	1.04	0.02
113	SLU 8	7	-138	2007	3.81	0.91	0.02
113	SLU 9	7	-127	2022	3.21	1.04	0.02
113	SLU 10	9	-176	2355	4.68	1.61	0.03
113	SLU 11	9	-195	2330	5.67	1.39	0.02
113	SLU 12	9	-184	2345	5.08	1.52	0.03
113	SLU 13	9	-176	2355	4.68	1.61	0.03
113	SLU 14	9	-195	2330	5.67	1.39	0.02
113	SLU 15	9	-184	2345	5.08	1.52	0.03
113	SLU 16	9	-195	2330	5.67	1.39	0.02
113	SLU 17	9	-184	2345	5.08	1.52	0.03
113	SLU 18	10	-219	2468	6.48	1.6	0.03
113	SLU 19	10	-208	2483	5.88	1.73	0.03



Nodo Ind.	Cont. N.br.	Reazione a traslazione			Reazione a rotazione		
		x	y	z	x	y	z
113	SLU 20	10	-219	2468	6.48	1.6	0.03
113	SLU 21	10	-208	2483	5.88	1.73	0.03
113	SLU 22	8	-167	2171	4.76	1.16	0.02
113	SLU 23	8	-148	2197	3.76	1.37	0.02
113	SLU 24	8	-167	2171	4.76	1.16	0.02
113	SLU 25	8	-156	2186	4.16	1.29	0.02
113	SLU 26	8	-148	2197	3.76	1.37	0.02
113	SLU 27	8	-167	2171	4.76	1.16	0.02
113	SLU 28	8	-156	2186	4.16	1.29	0.02
113	SLU 29	8	-167	2171	4.76	1.16	0.02
113	SLU 30	8	-156	2186	4.16	1.29	0.02
113	SLU 31	10	-205	2520	5.63	1.85	0.03
113	SLU 32	10	-224	2494	6.63	1.64	0.03
113	SLU 33	10	-213	2509	6.03	1.77	0.03
113	SLU 34	10	-205	2520	5.63	1.85	0.03
113	SLU 35	10	-224	2494	6.63	1.64	0.03
113	SLU 36	10	-213	2509	6.03	1.77	0.03
113	SLU 37	10	-224	2494	6.63	1.64	0.03
113	SLU 38	10	-213	2509	6.03	1.77	0.03
113	SLU 39	11	-248	2632	7.43	1.85	0.03
113	SLU 40	11	-237	2648	6.83	1.97	0.03
113	SLU 41	11	-248	2632	7.43	1.85	0.03
113	SLU 42	11	-237	2648	6.83	1.97	0.03
113	SLU 43	9	-170	2552	4.62	1.1	0.02
113	SLU 44	9	-151	2578	3.63	1.32	0.02
113	SLU 45	9	-170	2552	4.62	1.1	0.02
113	SLU 46	9	-159	2568	4.03	1.23	0.02
113	SLU 47	9	-151	2578	3.63	1.32	0.02
113	SLU 48	9	-170	2552	4.62	1.1	0.02
113	SLU 49	9	-159	2568	4.03	1.23	0.02
113	SLU 50	9	-170	2552	4.62	1.1	0.02
113	SLU 51	9	-159	2568	4.03	1.23	0.02
113	SLU 52	11	-208	2901	5.49	1.8	0.03
113	SLU 53	11	-227	2875	6.49	1.58	0.03
113	SLU 54	11	-215	2891	5.89	1.71	0.03
113	SLU 55	11	-208	2901	5.49	1.8	0.03
113	SLU 56	11	-227	2875	6.49	1.58	0.03
113	SLU 57	11	-215	2891	5.89	1.71	0.03
113	SLU 58	11	-227	2875	6.49	1.58	0.03
113	SLU 59	11	-215	2891	5.89	1.71	0.03
113	SLU 60	12	-251	3014	7.29	1.79	0.03
113	SLU 61	12	-240	3029	6.69	1.92	0.03
113	SLU 62	12	-251	3014	7.29	1.79	0.03
113	SLU 63	12	-240	3029	6.69	1.92	0.03
113	SLU 64	10	-199	2717	5.57	1.35	0.03
113	SLU 65	10	-180	2742	4.58	1.56	0.03
113	SLU 66	10	-199	2717	5.57	1.35	0.03
113	SLU 67	10	-187	2732	4.98	1.48	0.03
113	SLU 68	10	-180	2742	4.58	1.56	0.03
113	SLU 69	10	-199	2717	5.57	1.35	0.03
113	SLU 70	10	-187	2732	4.98	1.48	0.03
113	SLU 71	10	-199	2717	5.57	1.35	0.03
113	SLU 72	10	-187	2732	4.98	1.48	0.03
113	SLU 73	12	-237	3065	6.45	2.04	0.03
113	SLU 74	12	-256	3040	7.44	1.83	0.03
113	SLU 75	12	-244	3055	6.84	1.96	0.03
113	SLU 76	12	-237	3065	6.45	2.04	0.03
113	SLU 77	12	-256	3040	7.44	1.83	0.03
113	SLU 78	12	-244	3055	6.84	1.96	0.03
113	SLU 79	12	-256	3040	7.44	1.83	0.03
113	SLU 80	12	-244	3055	6.84	1.96	0.03
113	SLU 81	13	-280	3178	8.24	2.04	0.04
113	SLU 82	13	-268	3193	7.64	2.16	0.04
113	SLU 83	13	-280	3178	8.24	2.04	0.04
113	SLU 84	13	-268	3193	7.64	2.16	0.04
113	SLE RA 1	8	-147	2054	4.08	0.98	0.02
113	SLE RA 2	8	-134	2071	3.41	1.12	0.02
113	SLE RA 3	8	-147	2054	4.08	0.98	0.02
113	SLE RA 4	8	-139	2064	3.68	1.07	0.02
113	SLE RA 5	8	-134	2071	3.41	1.12	0.02
113	SLE RA 6	8	-147	2054	4.08	0.98	0.02
113	SLE RA 7	8	-139	2064	3.68	1.07	0.02
113	SLE RA 8	8	-147	2054	4.08	0.98	0.02
113	SLE RA 9	8	-139	2064	3.68	1.07	0.02
113	SLE RA 10	9	-172	2286	4.66	1.45	0.02
113	SLE RA 11	9	-184	2269	5.32	1.3	0.02
113	SLE RA 12	9	-177	2279	4.93	1.39	0.02
113	SLE RA 13	9	-172	2286	4.66	1.45	0.02
113	SLE RA 14	9	-184	2269	5.32	1.3	0.02
113	SLE RA 15	9	-177	2279	4.93	1.39	0.02
113	SLE RA 16	9	-184	2269	5.32	1.3	0.02
113	SLE RA 17	9	-177	2279	4.93	1.39	0.02
113	SLE RA 18	10	-201	2361	5.86	1.44	0.03
113	SLE RA 19	9	-193	2371	5.46	1.53	0.03
113	SLE RA 20	10	-201	2361	5.86	1.44	0.03
113	SLE RA 21	9	-193	2371	5.46	1.53	0.03
113	SLE FR 1	8	-147	2054	4.08	0.98	0.02
113	SLE FR 2	8	-144	2057	3.95	1.01	0.02



Nodo Ind.	Cont. N.br.	Reazione a traslazione			Reazione a rotazione		
		x	y	z	x	y	z
113	SLE FR 3	8	-147	2054	4.08	0.98	0.02
113	SLE FR 4	8	-160	2149	4.48	1.15	0.02
113	SLE FR 5	8	-163	2146	4.61	1.12	0.02
113	SLE FR 6	9	-174	2207	4.97	1.21	0.02
113	SLE QP 1	8	-147	2054	4.08	0.98	0.02
113	SLE QP 2	8	-163	2146	4.61	1.12	0.02
113	SLD 1	2	-181	2355	5.14	0.47	0.03
113	SLD 2	2	-181	2355	5.14	0.47	0.03
113	SLD 3	9	-285	2319	9.6	3.18	0.02
113	SLD 4	9	-285	2319	9.6	3.18	0.02
113	SLD 5	-4	-11	2263	-1.98	-3.18	0.04
113	SLD 6	-4	-11	2263	-1.98	-3.18	0.04
113	SLD 7	18	-357	2143	12.86	5.84	0.01
113	SLD 8	18	-357	2143	12.86	5.84	0.01
113	SLD 9	-2	31	2149	-3.64	-3.6	0.04
113	SLD 10	-2	31	2149	-3.64	-3.6	0.04
113	SLD 11	20	-315	2028	11.21	5.42	0
113	SLD 12	20	-315	2028	11.21	5.42	0
113	SLD 13	8	-41	1972	-0.37	-0.93	0.02
113	SLD 14	8	-41	1972	-0.37	-0.93	0.02
113	SLD 15	14	-145	1936	4.08	1.77	0.01
113	SLD 16	14	-145	1936	4.08	1.77	0.01
113	SLV 1	-6	-206	2641	5.91	-0.44	0.05
113	SLV 2	-6	-206	2641	5.91	-0.44	0.05
113	SLV 3	10	-453	2554	16.5	6.09	0.03
113	SLV 4	10	-453	2554	16.5	6.09	0.03
113	SLV 5	-20	199	2425	-11.06	-9.25	0.06
113	SLV 6	-20	199	2425	-11.06	-9.25	0.06
113	SLV 7	33	-625	2137	24.24	12.51	-0.01
113	SLV 8	33	-625	2137	24.24	12.51	-0.01
113	SLV 9	-16	299	2154	-15.02	-10.27	0.05
113	SLV 10	-16	299	2154	-15.02	-10.27	0.05
113	SLV 11	36	-525	1866	20.29	11.49	-0.02
113	SLV 12	36	-525	1866	20.29	11.49	-0.02
113	SLV 13	7	127	1738	-7.28	-3.84	0.02
113	SLV 14	7	127	1738	-7.28	-3.84	0.02
113	SLV 15	22	-120	1651	3.31	2.68	-0.01
113	SLV 16	22	-120	1651	3.31	2.68	-0.01
114	SLU 1	0	-160	1795	6.93	-1.44	0
114	SLU 2	0	-142	1824	6.39	-0.97	0
114	SLU 3	0	-160	1795	6.93	-1.44	0
114	SLU 4	0	-149	1812	6.61	-1.16	0
114	SLU 5	0	-142	1824	6.39	-0.97	0
114	SLU 6	0	-160	1795	6.93	-1.44	0
114	SLU 7	0	-149	1812	6.61	-1.16	0
114	SLU 8	0	-160	1795	6.93	-1.44	0
114	SLU 9	0	-149	1812	6.61	-1.16	0
114	SLU 10	0	-195	2059	8.33	-0.95	0
114	SLU 11	0	-214	2030	8.87	-1.42	0
114	SLU 12	0	-203	2047	8.54	-1.14	0
114	SLU 13	0	-195	2059	8.33	-0.95	0
114	SLU 14	0	-214	2030	8.87	-1.42	0
114	SLU 15	0	-203	2047	8.54	-1.14	0
114	SLU 16	0	-214	2030	8.87	-1.42	0
114	SLU 17	0	-203	2047	8.54	-1.14	0
114	SLU 18	0	-237	2131	9.69	-1.41	0
114	SLU 19	0	-226	2148	9.37	-1.13	0
114	SLU 20	0	-237	2131	9.69	-1.41	0
114	SLU 21	0	-226	2148	9.37	-1.13	0
114	SLU 22	0	-187	1915	7.92	-1.43	0
114	SLU 23	0	-169	1943	7.38	-0.96	0
114	SLU 24	0	-187	1915	7.92	-1.43	0
114	SLU 25	0	-176	1932	7.59	-1.15	0
114	SLU 26	0	-169	1943	7.38	-0.96	0
114	SLU 27	0	-187	1915	7.92	-1.43	0
114	SLU 28	0	-176	1932	7.59	-1.15	0
114	SLU 29	0	-187	1915	7.92	-1.43	0
114	SLU 30	0	-176	1932	7.59	-1.15	0
114	SLU 31	0	-223	2179	9.31	-0.94	0
114	SLU 32	0	-241	2150	9.85	-1.41	0
114	SLU 33	0	-230	2167	9.53	-1.13	0
114	SLU 34	0	-223	2179	9.31	-0.94	0
114	SLU 35	0	-241	2150	9.85	-1.41	0
114	SLU 36	0	-230	2167	9.53	-1.13	0
114	SLU 37	0	-241	2150	9.85	-1.41	0
114	SLU 38	0	-230	2167	9.53	-1.13	0
114	SLU 39	0	-264	2251	10.68	-1.4	0
114	SLU 40	0	-253	2268	10.35	-1.12	0
114	SLU 41	0	-264	2251	10.68	-1.4	0
114	SLU 42	0	-253	2268	10.35	-1.12	0
114	SLU 43	0	-199	2293	8.68	-1.87	0
114	SLU 44	0	-180	2321	8.14	-1.4	0
114	SLU 45	0	-199	2293	8.68	-1.87	0
114	SLU 46	0	-188	2310	8.35	-1.59	0
114	SLU 47	0	-180	2321	8.14	-1.4	0
114	SLU 48	0	-199	2293	8.68	-1.87	0
114	SLU 49	0	-188	2310	8.35	-1.59	0
114	SLU 50	0	-199	2293	8.68	-1.87	0



Nodo Ind.	Cont. N.br.	Reazione a traslazione			Reazione a rotazione		
		x	y	z	x	y	z
114	SLU 51	0	-188	2310	8.35	-1.59	0
114	SLU 52	0	-234	2556	10.07	-1.38	0
114	SLU 53	0	-252	2528	10.61	-1.85	0
114	SLU 54	0	-241	2545	10.29	-1.57	0
114	SLU 55	0	-234	2556	10.07	-1.38	0
114	SLU 56	0	-252	2528	10.61	-1.85	0
114	SLU 57	0	-241	2545	10.29	-1.57	0
114	SLU 58	0	-252	2528	10.61	-1.85	0
114	SLU 59	0	-241	2545	10.29	-1.57	0
114	SLU 60	0	-275	2629	11.44	-1.84	0
114	SLU 61	0	-264	2646	11.11	-1.56	0
114	SLU 62	0	-275	2629	11.44	-1.84	0
114	SLU 63	0	-264	2646	11.11	-1.56	0
114	SLU 64	0	-226	2412	9.66	-1.86	0
114	SLU 65	0	-208	2441	9.12	-1.39	0
114	SLU 66	0	-226	2412	9.66	-1.86	0
114	SLU 67	0	-215	2429	9.34	-1.58	0
114	SLU 68	0	-208	2441	9.12	-1.39	0
114	SLU 69	0	-226	2412	9.66	-1.86	0
114	SLU 70	0	-215	2429	9.34	-1.58	0
114	SLU 71	0	-226	2412	9.66	-1.86	0
114	SLU 72	0	-215	2429	9.34	-1.58	0
114	SLU 73	0	-261	2676	11.05	-1.37	0
114	SLU 74	0	-280	2648	11.59	-1.84	0
114	SLU 75	0	-269	2665	11.27	-1.56	0
114	SLU 76	0	-261	2676	11.05	-1.37	0
114	SLU 77	0	-280	2648	11.59	-1.84	0
114	SLU 78	0	-269	2665	11.27	-1.56	0
114	SLU 79	0	-280	2648	11.59	-1.84	0
114	SLU 80	0	-269	2665	11.27	-1.56	0
114	SLU 81	0	-303	2748	12.42	-1.83	0
114	SLU 82	0	-292	2765	12.1	-1.55	0
114	SLU 83	0	-303	2748	12.42	-1.83	0
114	SLU 84	0	-292	2765	12.1	-1.55	0
114	SLE RA 1	0	-168	1829	7.21	-1.43	0
114	SLE RA 2	0	-156	1848	6.86	-1.12	0
114	SLE RA 3	0	-168	1829	7.21	-1.43	0
114	SLE RA 4	0	-161	1841	7	-1.25	0
114	SLE RA 5	0	-156	1848	6.86	-1.12	0
114	SLE RA 6	0	-168	1829	7.21	-1.43	0
114	SLE RA 7	0	-161	1841	7	-1.25	0
114	SLE RA 8	0	-168	1829	7.21	-1.43	0
114	SLE RA 9	0	-161	1841	7	-1.25	0
114	SLE RA 10	0	-191	2005	8.14	-1.11	0
114	SLE RA 11	0	-204	1986	8.5	-1.42	0
114	SLE RA 12	0	-196	1998	8.29	-1.23	0
114	SLE RA 13	0	-191	2005	8.14	-1.11	0
114	SLE RA 14	0	-204	1986	8.5	-1.42	0
114	SLE RA 15	0	-196	1998	8.29	-1.23	0
114	SLE RA 16	0	-204	1986	8.5	-1.42	0
114	SLE RA 17	0	-196	1998	8.29	-1.23	0
114	SLE RA 18	0	-219	2053	9.05	-1.41	0
114	SLE RA 19	0	-212	2065	8.84	-1.23	0
114	SLE RA 20	0	-219	2053	9.05	-1.41	0
114	SLE RA 21	0	-212	2065	8.84	-1.23	0
114	SLE FR 1	0	-168	1829	7.21	-1.43	0
114	SLE FR 2	0	-165	1833	7.14	-1.37	0
114	SLE FR 3	0	-168	1829	7.21	-1.43	0
114	SLE FR 4	0	-181	1900	7.69	-1.36	0
114	SLE FR 5	0	-183	1897	7.77	-1.43	0
114	SLE FR 6	0	-193	1941	8.13	-1.42	0
114	SLE QP 1	0	-168	1829	7.21	-1.43	0
114	SLE QP 2	0	-183	1897	7.77	-1.43	0
114	SLD 1	-7	-197	2053	8.17	-1.98	-0.01
114	SLD 2	-7	-197	2053	8.17	-1.98	-0.01
114	SLD 3	2	-306	1999	12.91	2.27	-0.01
114	SLD 4	2	-306	1999	12.91	2.27	-0.01
114	SLD 5	-15	-23	2026	0.71	-8.04	-0.01
114	SLD 6	-15	-23	2026	0.71	-8.04	-0.01
114	SLD 7	14	-385	1845	16.49	6.13	0.01
114	SLD 8	14	-385	1845	16.49	6.13	0.01
114	SLD 9	-14	18	1948	-0.96	-8.98	-0.01
114	SLD 10	-14	18	1948	-0.96	-8.98	-0.01
114	SLD 11	15	-344	1768	14.83	5.19	0.01
114	SLD 12	15	-344	1768	14.83	5.19	0.01
114	SLD 13	-2	-61	1794	2.63	-5.13	0.01
114	SLD 14	-2	-61	1794	2.63	-5.13	0.01
114	SLD 15	6	-169	1740	7.36	-0.87	0.01
114	SLD 16	6	-169	1740	7.36	-0.87	0.01
114	SLV 1	-16	-217	2267	8.76	-2.77	-0.03
114	SLV 2	-16	-217	2267	8.76	-2.77	-0.03
114	SLV 3	5	-475	2137	20.03	7.47	-0.01
114	SLV 4	5	-475	2137	20.03	7.47	-0.01
114	SLV 5	-36	199	2204	-9.03	-17.36	-0.03
114	SLV 6	-36	199	2204	-9.03	-17.36	-0.03
114	SLV 7	33	-663	1772	28.53	16.77	0.02
114	SLV 8	33	-663	1772	28.53	16.77	0.02
114	SLV 9	-33	297	2021	-13	-19.63	-0.02



Nodo Ind.	Cont. N.br.	Reazione a traslazione			Reazione a rotazione		
		x	y	z	x	y	z
114	SLV 10	-33	297	2021	-13	-19.63	-0.02
114	SLV 11	36	-565	1589	24.56	14.51	0.03
114	SLV 12	36	-565	1589	24.56	14.51	0.03
114	SLV 13	-5	109	1656	-4.49	-10.32	0.01
114	SLV 14	-5	109	1656	-4.49	-10.32	0.01
114	SLV 15	16	-150	1527	6.77	-0.08	0.03
114	SLV 16	16	-150	1527	6.77	-0.08	0.03
115	SLU 1	-5	-145	1679	4.54	-3.72	0
115	SLU 2	-5	-118	1713	3.14	-2.91	0
115	SLU 3	-5	-145	1679	4.54	-3.72	0
115	SLU 4	-5	-129	1699	3.7	-3.24	0
115	SLU 5	-5	-118	1713	3.14	-2.91	0
115	SLU 6	-5	-145	1679	4.54	-3.72	0
115	SLU 7	-5	-129	1699	3.7	-3.24	0
115	SLU 8	-5	-145	1679	4.54	-3.72	0
115	SLU 9	-5	-129	1699	3.7	-3.24	0
115	SLU 10	-5	-168	1899	5.07	-3.27	0
115	SLU 11	-6	-195	1865	6.47	-4.08	0
115	SLU 12	-5	-179	1885	5.63	-3.59	0
115	SLU 13	-5	-168	1899	5.07	-3.27	0
115	SLU 14	-6	-195	1865	6.47	-4.08	0
115	SLU 15	-5	-179	1885	5.63	-3.59	0
115	SLU 16	-6	-195	1865	6.47	-4.08	0
115	SLU 17	-5	-179	1885	5.63	-3.59	0
115	SLU 18	-6	-216	1944	7.3	-4.23	0
115	SLU 19	-6	-200	1965	6.46	-3.74	0
115	SLU 20	-6	-216	1944	7.3	-4.23	0
115	SLU 21	-6	-200	1965	6.46	-3.74	0
115	SLU 22	-5	-170	1773	5.53	-3.9	0
115	SLU 23	-5	-144	1808	4.12	-3.09	0
115	SLU 24	-5	-170	1773	5.53	-3.9	0
115	SLU 25	-5	-154	1794	4.68	-3.42	0
115	SLU 26	-5	-144	1808	4.12	-3.09	0
115	SLU 27	-5	-170	1773	5.53	-3.9	0
115	SLU 28	-5	-154	1794	4.68	-3.42	0
115	SLU 29	-5	-170	1773	5.53	-3.9	0
115	SLU 30	-5	-154	1794	4.68	-3.42	0
115	SLU 31	-6	-193	1994	6.05	-3.45	0
115	SLU 32	-6	-220	1959	7.46	-4.26	0
115	SLU 33	-6	-204	1980	6.61	-3.77	0
115	SLU 34	-6	-193	1994	6.05	-3.45	0
115	SLU 35	-6	-220	1959	7.46	-4.26	0
115	SLU 36	-6	-204	1980	6.61	-3.77	0
115	SLU 37	-6	-220	1959	7.46	-4.26	0
115	SLU 38	-6	-204	1980	6.61	-3.77	0
115	SLU 39	-6	-241	2039	8.29	-4.41	0
115	SLU 40	-6	-225	2060	7.44	-3.92	0
115	SLU 41	-6	-241	2039	8.29	-4.41	0
115	SLU 42	-6	-225	2060	7.44	-3.92	0
115	SLU 43	-7	-180	2150	5.57	-4.78	0
115	SLU 44	-6	-153	2184	4.16	-3.97	0
115	SLU 45	-7	-180	2150	5.57	-4.78	0
115	SLU 46	-6	-164	2170	4.72	-4.29	0
115	SLU 47	-6	-153	2184	4.16	-3.97	0
115	SLU 48	-7	-180	2150	5.57	-4.78	0
115	SLU 49	-6	-164	2170	4.72	-4.29	0
115	SLU 50	-7	-180	2150	5.57	-4.78	0
115	SLU 51	-6	-164	2170	4.72	-4.29	0
115	SLU 52	-7	-203	2370	6.09	-4.32	0
115	SLU 53	-7	-229	2336	7.5	-5.13	0
115	SLU 54	-7	-213	2356	6.66	-4.65	0
115	SLU 55	-7	-203	2370	6.09	-4.32	0
115	SLU 56	-7	-229	2336	7.5	-5.13	0
115	SLU 57	-7	-213	2356	6.66	-4.65	0
115	SLU 58	-7	-229	2336	7.5	-5.13	0
115	SLU 59	-7	-213	2356	6.66	-4.65	0
115	SLU 60	-7	-251	2415	8.33	-5.28	0
115	SLU 61	-7	-235	2436	7.49	-4.8	0
115	SLU 62	-7	-251	2415	8.33	-5.28	0
115	SLU 63	-7	-235	2436	7.49	-4.8	0
115	SLU 64	-7	-205	2245	6.55	-4.96	0
115	SLU 65	-7	-178	2279	5.14	-4.15	0
115	SLU 66	-7	-205	2245	6.55	-4.96	0
115	SLU 67	-7	-189	2265	5.71	-4.47	0
115	SLU 68	-7	-178	2279	5.14	-4.15	0
115	SLU 69	-7	-205	2245	6.55	-4.96	0
115	SLU 70	-7	-189	2265	5.71	-4.47	0
115	SLU 71	-7	-205	2245	6.55	-4.96	0
115	SLU 72	-7	-189	2265	5.71	-4.47	0
115	SLU 73	-7	-228	2465	7.08	-4.5	0
115	SLU 74	-7	-255	2430	8.48	-5.31	0
115	SLU 75	-7	-239	2451	7.64	-4.83	0
115	SLU 76	-7	-228	2465	7.08	-4.5	0
115	SLU 77	-7	-255	2430	8.48	-5.31	0
115	SLU 78	-7	-239	2451	7.64	-4.83	0
115	SLU 79	-7	-255	2430	8.48	-5.31	0
115	SLU 80	-7	-239	2451	7.64	-4.83	0
115	SLU 81	-7	-276	2510	9.31	-5.46	0



Nodo Ind.	Cont. N.br.	Reazione a traslazione			Reazione a rotazione		
		x	y	z	x	y	z
115	SLU 82	-7	-260	2531	8.47	-4.98	0
115	SLU 83	-7	-276	2510	9.31	-5.46	0
115	SLU 84	-7	-260	2531	8.47	-4.98	0
115	SLE RA 1	-5	-152	1706	4.82	-3.77	0
115	SLE RA 2	-5	-134	1729	3.89	-3.23	0
115	SLE RA 3	-5	-152	1706	4.82	-3.77	0
115	SLE RA 4	-5	-141	1719	4.26	-3.45	0
115	SLE RA 5	-5	-134	1729	3.89	-3.23	0
115	SLE RA 6	-5	-152	1706	4.82	-3.77	0
115	SLE RA 7	-5	-141	1719	4.26	-3.45	0
115	SLE RA 8	-5	-152	1706	4.82	-3.77	0
115	SLE RA 9	-5	-141	1719	4.26	-3.45	0
115	SLE RA 10	-5	-168	1853	5.17	-3.47	0
115	SLE RA 11	-5	-185	1830	6.11	-4.01	0
115	SLE RA 12	-5	-175	1843	5.55	-3.69	0
115	SLE RA 13	-5	-168	1853	5.17	-3.47	0
115	SLE RA 14	-5	-185	1830	6.11	-4.01	0
115	SLE RA 15	-5	-175	1843	5.55	-3.69	0
115	SLE RA 16	-5	-185	1830	6.11	-4.01	0
115	SLE RA 17	-5	-175	1843	5.55	-3.69	0
115	SLE RA 18	-6	-200	1883	6.66	-4.11	0
115	SLE RA 19	-6	-189	1897	6.1	-3.79	0
115	SLE RA 20	-6	-200	1883	6.66	-4.11	0
115	SLE RA 21	-6	-189	1897	6.1	-3.79	0
115	SLE FR 1	-5	-152	1706	4.82	-3.77	0
115	SLE FR 2	-5	-149	1710	4.64	-3.67	0
115	SLE FR 3	-5	-152	1706	4.82	-3.77	0
115	SLE FR 4	-5	-163	1763	5.19	-3.77	0
115	SLE FR 5	-5	-166	1759	5.38	-3.87	0
115	SLE FR 6	-5	-176	1794	5.74	-3.94	0
115	SLE QP 1	-5	-152	1706	4.82	-3.77	0
115	SLE QP 2	-5	-166	1759	5.38	-3.87	0
115	SLD 1	-11	-177	1893	5.82	-3.04	-0.01
115	SLD 2	-11	-177	1893	5.82	-3.04	-0.01
115	SLD 3	-3	-291	1828	10.7	1.61	0
115	SLD 4	-3	-291	1828	10.7	1.61	0
115	SLD 5	-19	3	1898	-1.89	-10.67	-0.01
115	SLD 6	-19	3	1898	-1.89	-10.67	-0.01
115	SLD 7	7	-377	1681	14.37	4.82	0.01
115	SLD 8	7	-377	1681	14.37	4.82	0.01
115	SLD 9	-17	44	1837	-3.62	-12.57	-0.01
115	SLD 10	-17	44	1837	-3.62	-12.57	-0.01
115	SLD 11	8	-336	1620	12.64	2.92	0.01
115	SLD 12	8	-336	1620	12.64	2.92	0.01
115	SLD 13	-7	-41	1690	0.05	-9.36	0.01
115	SLD 14	-7	-41	1690	0.05	-9.36	0.01
115	SLD 15	1	-155	1625	4.93	-4.71	0.01
115	SLD 16	1	-155	1625	4.93	-4.71	0.01
115	SLV 1	-19	-193	2078	6.47	-1.95	-0.03
115	SLV 2	-19	-193	2078	6.47	-1.95	-0.03
115	SLV 3	-1	-466	1922	18.14	9.23	-0.01
115	SLV 4	-1	-466	1922	18.14	9.23	-0.01
115	SLV 5	-38	239	2091	-12	-20.27	-0.03
115	SLV 6	-38	239	2091	-12	-20.27	-0.03
115	SLV 7	24	-669	1571	26.91	17.03	0.02
115	SLV 8	24	-669	1571	26.91	17.03	0.02
115	SLV 9	-35	337	1947	-16.16	-24.78	-0.01
115	SLV 10	-35	337	1947	-16.16	-24.78	-0.01
115	SLV 11	27	-572	1427	22.76	12.52	0.03
115	SLV 12	27	-572	1427	22.76	12.52	0.03
115	SLV 13	-10	133	1596	-7.39	-16.98	0.01
115	SLV 14	-10	133	1596	-7.39	-16.98	0.01
115	SLV 15	9	-140	1440	4.28	-5.79	0.03
115	SLV 16	9	-140	1440	4.28	-5.79	0.03
116	SLU 1	1	281	1148	-7.3	-0.16	0.02
116	SLU 2	6	308	1229	-8.2	-0.61	0.06
116	SLU 3	1	281	1148	-7.3	-0.16	0.02
116	SLU 4	4	297	1197	-7.84	-0.43	0.04
116	SLU 5	6	308	1229	-8.2	-0.61	0.06
116	SLU 6	1	281	1148	-7.3	-0.16	0.02
116	SLU 7	4	297	1197	-7.84	-0.43	0.04
116	SLU 8	1	281	1148	-7.3	-0.16	0.02
116	SLU 9	4	297	1197	-7.84	-0.43	0.04
116	SLU 10	6	321	1291	-8.47	-0.66	0.06
116	SLU 11	0	294	1210	-7.58	-0.21	0.03
116	SLU 12	4	310	1259	-8.12	-0.48	0.05
116	SLU 13	6	321	1291	-8.47	-0.66	0.06
116	SLU 14	0	294	1210	-7.58	-0.21	0.03
116	SLU 15	4	310	1259	-8.12	-0.48	0.05
116	SLU 16	0	294	1210	-7.58	-0.21	0.03
116	SLU 17	4	310	1259	-8.12	-0.48	0.05
116	SLU 18	0	299	1236	-7.7	-0.23	0.03
116	SLU 19	4	316	1285	-8.24	-0.5	0.05
116	SLU 20	0	299	1236	-7.7	-0.23	0.03
116	SLU 21	4	316	1285	-8.24	-0.5	0.05
116	SLU 22	1	287	1179	-7.44	-0.19	0.02
116	SLU 23	6	314	1261	-8.34	-0.64	0.06
116	SLU 24	1	287	1179	-7.44	-0.19	0.02



Nodo Ind.	Cont. N.br.	Reazione a traslazione			Reazione a rotazione		
		x	y	z	x	y	z
116	SLU 25	4	304	1228	-7.98	-0.46	0.05
116	SLU 26	6	314	1261	-8.34	-0.64	0.06
116	SLU 27	1	287	1179	-7.44	-0.19	0.02
116	SLU 28	4	304	1228	-7.98	-0.46	0.05
116	SLU 29	1	287	1179	-7.44	-0.19	0.02
116	SLU 30	4	304	1228	-7.98	-0.46	0.05
116	SLU 31	6	328	1323	-8.62	-0.68	0.07
116	SLU 32	0	300	1241	-7.72	-0.23	0.03
116	SLU 33	4	317	1290	-8.26	-0.5	0.05
116	SLU 34	6	328	1323	-8.62	-0.68	0.07
116	SLU 35	0	300	1241	-7.72	-0.23	0.03
116	SLU 36	4	317	1290	-8.26	-0.5	0.05
116	SLU 37	0	300	1241	-7.72	-0.23	0.03
116	SLU 38	4	317	1290	-8.26	-0.5	0.05
116	SLU 39	0	306	1268	-7.84	-0.26	0.03
116	SLU 40	4	322	1317	-8.38	-0.52	0.06
116	SLU 41	0	306	1268	-7.84	-0.26	0.03
116	SLU 42	4	322	1317	-8.38	-0.52	0.06
116	SLU 43	1	363	1481	-9.44	-0.2	0.03
116	SLU 44	6	390	1563	-10.34	-0.65	0.06
116	SLU 45	1	363	1481	-9.44	-0.2	0.03
116	SLU 46	4	379	1530	-9.98	-0.47	0.05
116	SLU 47	6	390	1563	-10.34	-0.65	0.06
116	SLU 48	1	363	1481	-9.44	-0.2	0.03
116	SLU 49	4	379	1530	-9.98	-0.47	0.05
116	SLU 50	1	363	1481	-9.44	-0.2	0.03
116	SLU 51	4	379	1530	-9.98	-0.47	0.05
116	SLU 52	6	403	1625	-10.62	-0.7	0.07
116	SLU 53	1	376	1543	-9.72	-0.25	0.03
116	SLU 54	4	392	1592	-10.26	-0.52	0.05
116	SLU 55	6	403	1625	-10.62	-0.7	0.07
116	SLU 56	1	376	1543	-9.72	-0.25	0.03
116	SLU 57	4	392	1592	-10.26	-0.52	0.05
116	SLU 58	1	376	1543	-9.72	-0.25	0.03
116	SLU 59	4	392	1592	-10.26	-0.52	0.05
116	SLU 60	1	381	1570	-9.84	-0.27	0.04
116	SLU 61	4	397	1619	-10.38	-0.54	0.06
116	SLU 62	1	381	1570	-9.84	-0.27	0.04
116	SLU 63	4	397	1619	-10.38	-0.54	0.06
116	SLU 64	1	369	1513	-9.58	-0.23	0.03
116	SLU 65	6	396	1594	-10.48	-0.68	0.06
116	SLU 66	1	369	1513	-9.58	-0.23	0.03
116	SLU 67	4	386	1562	-10.12	-0.5	0.05
116	SLU 68	6	396	1594	-10.48	-0.68	0.06
116	SLU 69	1	369	1513	-9.58	-0.23	0.03
116	SLU 70	4	386	1562	-10.12	-0.5	0.05
116	SLU 71	1	369	1513	-9.58	-0.23	0.03
116	SLU 72	4	386	1562	-10.12	-0.5	0.05
116	SLU 73	6	409	1656	-10.76	-0.72	0.07
116	SLU 74	1	382	1575	-9.86	-0.27	0.04
116	SLU 75	4	399	1624	-10.4	-0.54	0.06
116	SLU 76	6	409	1656	-10.76	-0.72	0.07
116	SLU 77	1	382	1575	-9.86	-0.27	0.04
116	SLU 78	4	399	1624	-10.4	-0.54	0.06
116	SLU 79	1	382	1575	-9.86	-0.27	0.04
116	SLU 80	4	399	1624	-10.4	-0.54	0.06
116	SLU 81	1	388	1601	-9.98	-0.3	0.04
116	SLU 82	4	404	1650	-10.52	-0.57	0.06
116	SLU 83	1	388	1601	-9.98	-0.3	0.04
116	SLU 84	4	404	1650	-10.52	-0.57	0.06
116	SLE RA 1	1	283	1157	-7.34	-0.17	0.02
116	SLE RA 2	4	301	1211	-7.94	-0.47	0.05
116	SLE RA 3	1	283	1157	-7.34	-0.17	0.02
116	SLE RA 4	3	293	1189	-7.7	-0.35	0.04
116	SLE RA 5	4	301	1211	-7.94	-0.47	0.05
116	SLE RA 6	1	283	1157	-7.34	-0.17	0.02
116	SLE RA 7	3	293	1189	-7.7	-0.35	0.04
116	SLE RA 8	1	283	1157	-7.34	-0.17	0.02
116	SLE RA 9	3	293	1189	-7.7	-0.35	0.04
116	SLE RA 10	4	309	1252	-8.12	-0.5	0.05
116	SLE RA 11	1	291	1198	-7.53	-0.2	0.03
116	SLE RA 12	3	302	1231	-7.89	-0.38	0.04
116	SLE RA 13	4	309	1252	-8.12	-0.5	0.05
116	SLE RA 14	1	291	1198	-7.53	-0.2	0.03
116	SLE RA 15	3	302	1231	-7.89	-0.38	0.04
116	SLE RA 16	1	291	1198	-7.53	-0.2	0.03
116	SLE RA 17	3	302	1231	-7.89	-0.38	0.04
116	SLE RA 18	0	295	1216	-7.61	-0.21	0.03
116	SLE RA 19	3	306	1248	-7.96	-0.39	0.04
116	SLE RA 20	0	295	1216	-7.61	-0.21	0.03
116	SLE RA 21	3	306	1248	-7.96	-0.39	0.04
116	SLE FR 1	1	283	1157	-7.34	-0.17	0.02
116	SLE FR 2	1	286	1168	-7.46	-0.23	0.03
116	SLE FR 3	1	283	1157	-7.34	-0.17	0.02
116	SLE FR 4	1	290	1185	-7.54	-0.24	0.03
116	SLE FR 5	1	286	1174	-7.42	-0.18	0.02
116	SLE FR 6	1	289	1186	-7.47	-0.19	0.03
116	SLE QP 1	1	283	1157	-7.34	-0.17	0.02



Nodo Ind.	Cont. N.br.	Reazione a traslazione			Reazione a rotazione		
		x	y	z	x	y	z
116	SLE QP 2	1	286	1174	-7.42	-0.18	0.02
116	SLD 1	-8	283	1165	-7.38	6.83	-0.97
116	SLD 2	-8	283	1165	-7.38	6.83	-0.97
116	SLD 3	-21	209	967	-4.55	3.51	-0.41
116	SLD 4	-21	209	967	-4.55	3.51	-0.41
116	SLD 5	17	397	1471	-11.71	6.96	-1.12
116	SLD 6	17	397	1471	-11.71	6.96	-1.12
116	SLD 7	-25	151	813	-2.26	-4.12	0.74
116	SLD 8	-25	151	813	-2.26	-4.12	0.74
116	SLD 9	26	421	1536	-12.58	3.75	-0.69
116	SLD 10	26	421	1536	-12.58	3.75	-0.69
116	SLD 11	-16	175	878	-3.14	-7.33	1.17
116	SLD 12	-16	175	878	-3.14	-7.33	1.17
116	SLD 13	22	363	1382	-10.29	-3.87	0.46
116	SLD 14	22	363	1382	-10.29	-3.87	0.46
116	SLD 15	9	289	1184	-7.46	-7.2	1.02
116	SLD 16	9	289	1184	-7.46	-7.2	1.02
116	SLV 1	-21	279	1150	-7.32	16.79	-2.39
116	SLV 2	-21	279	1150	-7.32	16.79	-2.39
116	SLV 3	-53	101	673	-0.53	8.4	-0.98
116	SLV 4	-53	101	673	-0.53	8.4	-0.98
116	SLV 5	43	554	1891	-17.69	17.64	-2.84
116	SLV 6	43	554	1891	-17.69	17.64	-2.84
116	SLV 7	-65	-39	301	4.94	-10.33	1.86
116	SLV 8	-65	-39	301	4.94	-10.33	1.86
116	SLV 9	66	611	2048	-19.78	9.97	-1.81
116	SLV 10	66	611	2048	-19.78	9.97	-1.81
116	SLV 11	-42	19	458	2.85	-18	2.89
116	SLV 12	-42	19	458	2.85	-18	2.89
116	SLV 13	54	471	1676	-14.31	-8.76	1.02
116	SLV 14	54	471	1676	-14.31	-8.76	1.02
116	SLV 15	22	294	1199	-7.52	-17.16	2.43
116	SLV 16	22	294	1199	-7.52	-17.16	2.43
117	SLU 1	-2	63	290	0.29	-1.77	0.27
117	SLU 2	-4	119	477	-1.28	-3.34	0.51
117	SLU 3	-2	63	290	0.29	-1.77	0.27
117	SLU 4	-3	97	402	-0.65	-2.71	0.42
117	SLU 5	-4	119	477	-1.28	-3.34	0.51
117	SLU 6	-2	63	290	0.29	-1.77	0.27
117	SLU 7	-3	97	402	-0.65	-2.71	0.42
117	SLU 8	-2	63	290	0.29	-1.77	0.27
117	SLU 9	-3	97	402	-0.65	-2.71	0.42
117	SLU 10	-4	106	432	-0.59	-3.48	0.53
117	SLU 11	-3	49	245	0.98	-1.9	0.29
117	SLU 12	-4	83	357	0.04	-2.85	0.43
117	SLU 13	-4	106	432	-0.59	-3.48	0.53
117	SLU 14	-3	49	245	0.98	-1.9	0.29
117	SLU 15	-4	83	357	0.04	-2.85	0.43
117	SLU 16	-3	49	245	0.98	-1.9	0.29
117	SLU 17	-4	83	357	0.04	-2.85	0.43
117	SLU 18	-3	44	225	1.28	-1.96	0.3
117	SLU 19	-4	78	338	0.34	-2.91	0.44
117	SLU 20	-3	44	225	1.28	-1.96	0.3
117	SLU 21	-4	78	338	0.34	-2.91	0.44
117	SLU 22	-3	56	266	0.65	-1.84	0.28
117	SLU 23	-4	113	454	-0.93	-3.41	0.52
117	SLU 24	-3	56	266	0.65	-1.84	0.28
117	SLU 25	-3	90	379	-0.3	-2.78	0.43
117	SLU 26	-4	113	454	-0.93	-3.41	0.52
117	SLU 27	-3	56	266	0.65	-1.84	0.28
117	SLU 28	-3	90	379	-0.3	-2.78	0.43
117	SLU 29	-3	56	266	0.65	-1.84	0.28
117	SLU 30	-3	90	379	-0.3	-2.78	0.43
117	SLU 31	-4	99	409	-0.24	-3.55	0.54
117	SLU 32	-3	43	221	1.34	-1.97	0.3
117	SLU 33	-4	77	334	0.39	-2.92	0.44
117	SLU 34	-4	99	409	-0.24	-3.55	0.54
117	SLU 35	-3	43	221	1.34	-1.97	0.3
117	SLU 36	-4	77	334	0.39	-2.92	0.44
117	SLU 37	-3	43	221	1.34	-1.97	0.3
117	SLU 38	-4	77	334	0.39	-2.92	0.44
117	SLU 39	-3	37	202	1.64	-2.03	0.31
117	SLU 40	-4	71	315	0.69	-2.97	0.45
117	SLU 41	-3	37	202	1.64	-2.03	0.31
117	SLU 42	-4	71	315	0.69	-2.97	0.45
117	SLU 43	-3	84	384	0.26	-2.28	0.35
117	SLU 44	-5	140	572	-1.32	-3.85	0.59
117	SLU 45	-3	84	384	0.26	-2.28	0.35
117	SLU 46	-4	118	497	-0.69	-3.22	0.49
117	SLU 47	-5	140	572	-1.32	-3.85	0.59
117	SLU 48	-3	84	384	0.26	-2.28	0.35
117	SLU 49	-4	118	497	-0.69	-3.22	0.49
117	SLU 50	-3	84	384	0.26	-2.28	0.35
117	SLU 51	-4	118	497	-0.69	-3.22	0.49
117	SLU 52	-5	127	527	-0.62	-3.98	0.61
117	SLU 53	-3	71	339	0.95	-2.41	0.37
117	SLU 54	-4	105	452	0.01	-3.36	0.51
117	SLU 55	-5	127	527	-0.62	-3.98	0.61



Nodo Ind.	Cont. N.br.	Reazione a traslazione			Reazione a rotazione		
		x	y	z	x	y	z
117	SLU 56	-3	71	339	0.95	-2.41	0.37
117	SLU 57	-4	105	452	0.01	-3.36	0.51
117	SLU 58	-3	71	339	0.95	-2.41	0.37
117	SLU 59	-4	105	452	0.01	-3.36	0.51
117	SLU 60	-3	65	320	1.25	-2.47	0.38
117	SLU 61	-4	99	433	0.3	-3.41	0.52
117	SLU 62	-3	65	320	1.25	-2.47	0.38
117	SLU 63	-4	99	433	0.3	-3.41	0.52
117	SLU 64	-3	77	361	0.61	-2.35	0.36
117	SLU 65	-5	134	549	-0.96	-3.92	0.6
117	SLU 66	-3	77	361	0.61	-2.35	0.36
117	SLU 67	-4	111	474	-0.33	-3.29	0.5
117	SLU 68	-5	134	549	-0.96	-3.92	0.6
117	SLU 69	-3	77	361	0.61	-2.35	0.36
117	SLU 70	-4	111	474	-0.33	-3.29	0.5
117	SLU 71	-3	77	361	0.61	-2.35	0.36
117	SLU 72	-4	111	474	-0.33	-3.29	0.5
117	SLU 73	-5	120	504	-0.27	-4.05	0.62
117	SLU 74	-3	64	316	1.31	-2.48	0.38
117	SLU 75	-4	98	429	0.36	-3.42	0.52
117	SLU 76	-5	120	504	-0.27	-4.05	0.62
117	SLU 77	-3	64	316	1.31	-2.48	0.38
117	SLU 78	-4	98	429	0.36	-3.42	0.52
117	SLU 79	-3	64	316	1.31	-2.48	0.38
117	SLU 80	-4	98	429	0.36	-3.42	0.52
117	SLU 81	-4	58	297	1.6	-2.54	0.39
117	SLU 82	-4	92	409	0.66	-3.48	0.53
117	SLU 83	-4	58	297	1.6	-2.54	0.39
117	SLU 84	-4	92	409	0.66	-3.48	0.53
117	SLE RA 1	-2	61	283	0.39	-1.79	0.27
117	SLE RA 2	-4	98	408	-0.66	-2.84	0.43
117	SLE RA 3	-2	61	283	0.39	-1.79	0.27
117	SLE RA 4	-3	83	358	-0.24	-2.42	0.37
117	SLE RA 5	-4	98	408	-0.66	-2.84	0.43
117	SLE RA 6	-2	61	283	0.39	-1.79	0.27
117	SLE RA 7	-3	83	358	-0.24	-2.42	0.37
117	SLE RA 8	-2	61	283	0.39	-1.79	0.27
117	SLE RA 9	-3	83	358	-0.24	-2.42	0.37
117	SLE RA 10	-4	90	378	-0.19	-2.93	0.45
117	SLE RA 11	-3	52	253	0.86	-1.88	0.29
117	SLE RA 12	-3	75	328	0.23	-2.51	0.38
117	SLE RA 13	-4	90	378	-0.19	-2.93	0.45
117	SLE RA 14	-3	52	253	0.86	-1.88	0.29
117	SLE RA 15	-3	75	328	0.23	-2.51	0.38
117	SLE RA 16	-3	52	253	0.86	-1.88	0.29
117	SLE RA 17	-3	75	328	0.23	-2.51	0.38
117	SLE RA 18	-3	48	240	1.05	-1.92	0.29
117	SLE RA 19	-3	71	315	0.42	-2.55	0.39
117	SLE RA 20	-3	48	240	1.05	-1.92	0.29
117	SLE RA 21	-3	71	315	0.42	-2.55	0.39
117	SLE FR 1	-2	61	283	0.39	-1.79	0.27
117	SLE FR 2	-3	68	308	0.18	-2	0.31
117	SLE FR 3	-2	61	283	0.39	-1.79	0.27
117	SLE FR 4	-3	64	295	0.38	-2.04	0.31
117	SLE FR 5	-3	57	270	0.59	-1.83	0.28
117	SLE FR 6	-3	54	262	0.72	-1.85	0.28
117	SLE QP 1	-2	61	283	0.39	-1.79	0.27
117	SLE QP 2	-3	57	270	0.59	-1.83	0.28
117	SLD 1	5	41	206	1.05	5.38	-0.83
117	SLD 2	5	41	206	1.05	5.38	-0.83
117	SLD 3	8	-62	-116	4.22	9.22	-1.42
117	SLD 4	8	-62	-116	4.22	9.22	-1.42
117	SLD 5	-6	208	738	-4.07	-5.49	0.84
117	SLD 6	-6	208	738	-4.07	-5.49	0.84
117	SLD 7	7	-135	-333	6.48	7.31	-1.12
117	SLD 8	7	-135	-333	6.48	7.31	-1.12
117	SLD 9	-12	249	873	-5.3	-10.97	1.68
117	SLD 10	-12	249	873	-5.3	-10.97	1.68
117	SLD 11	1	-94	-198	5.25	1.83	-0.28
117	SLD 12	1	-94	-198	5.25	1.83	-0.28
117	SLD 13	-14	175	656	-3.04	-12.88	1.98
117	SLD 14	-14	175	656	-3.04	-12.88	1.98
117	SLD 15	-10	73	334	0.13	-9.04	1.39
117	SLD 16	-10	73	334	0.13	-9.04	1.39
117	SLV 1	15	8	77	2.05	16.19	-2.49
117	SLV 2	15	8	77	2.05	16.19	-2.49
117	SLV 3	25	-234	-681	9.5	25.67	-3.95
117	SLV 4	25	-234	-681	9.5	25.67	-3.95
117	SLV 5	-12	409	1361	-10.27	-10.8	1.65
117	SLV 6	-12	409	1361	-10.27	-10.8	1.65
117	SLV 7	20	-398	-1164	14.56	20.79	-3.19
117	SLV 8	20	-398	-1164	14.56	20.79	-3.19
117	SLV 9	-25	511	1704	-13.38	-24.45	3.75
117	SLV 10	-25	511	1704	-13.38	-24.45	3.75
117	SLV 11	6	-295	-821	11.45	7.14	-1.09
117	SLV 12	6	-295	-821	11.45	7.14	-1.09
117	SLV 13	-30	348	1221	-8.32	-29.32	4.5
117	SLV 14	-30	348	1221	-8.32	-29.32	4.5



Nodo Ind.	Cont. N.br.	Reazione a traslazione			Reazione a rotazione		
		x	y	z	x	y	z
117	SLV 15	-20	106	464	-0.87	-19.84	3.05
117	SLV 16	-20	106	464	-0.87	-19.84	3.05
118	SLU 1	-2	97	405	-0.76	-1.38	0.21
118	SLU 2	-3	154	583	-2.39	-1.59	0.25
118	SLU 3	-2	97	405	-0.76	-1.38	0.21
118	SLU 4	-3	131	511	-1.74	-1.5	0.24
118	SLU 5	-3	154	583	-2.39	-1.59	0.25
118	SLU 6	-2	97	405	-0.76	-1.38	0.21
118	SLU 7	-3	131	511	-1.74	-1.5	0.24
118	SLU 8	-2	97	405	-0.76	-1.38	0.21
118	SLU 9	-3	131	511	-1.74	-1.5	0.24
118	SLU 10	-4	148	563	-1.88	-1.76	0.28
118	SLU 11	-3	91	385	-0.24	-1.55	0.24
118	SLU 12	-3	125	492	-1.23	-1.67	0.26
118	SLU 13	-4	148	563	-1.88	-1.76	0.28
118	SLU 14	-3	91	385	-0.24	-1.55	0.24
118	SLU 15	-3	125	492	-1.23	-1.67	0.26
118	SLU 16	-3	91	385	-0.24	-1.55	0.24
118	SLU 17	-3	125	492	-1.23	-1.67	0.26
118	SLU 18	-3	88	376	-0.02	-1.62	0.25
118	SLU 19	-3	122	483	-1.01	-1.75	0.27
118	SLU 20	-3	88	376	-0.02	-1.62	0.25
118	SLU 21	-3	122	483	-1.01	-1.75	0.27
118	SLU 22	-3	94	394	-0.49	-1.46	0.23
118	SLU 23	-3	151	572	-2.13	-1.67	0.26
118	SLU 24	-3	94	394	-0.49	-1.46	0.23
118	SLU 25	-3	128	501	-1.47	-1.59	0.25
118	SLU 26	-3	151	572	-2.13	-1.67	0.26
118	SLU 27	-3	94	394	-0.49	-1.46	0.23
118	SLU 28	-3	128	501	-1.47	-1.59	0.25
118	SLU 29	-3	94	394	-0.49	-1.46	0.23
118	SLU 30	-3	128	501	-1.47	-1.59	0.25
118	SLU 31	-4	145	553	-1.62	-1.84	0.29
118	SLU 32	-3	87	374	0.02	-1.63	0.25
118	SLU 33	-3	122	481	-0.96	-1.76	0.27
118	SLU 34	-4	145	553	-1.62	-1.84	0.29
118	SLU 35	-3	87	374	0.02	-1.63	0.25
118	SLU 36	-3	122	481	-0.96	-1.76	0.27
118	SLU 37	-3	87	374	0.02	-1.63	0.25
118	SLU 38	-3	122	481	-0.96	-1.76	0.27
118	SLU 39	-3	85	366	0.24	-1.71	0.26
118	SLU 40	-3	119	473	-0.74	-1.83	0.29
118	SLU 41	-3	85	366	0.24	-1.71	0.26
118	SLU 42	-3	119	473	-0.74	-1.83	0.29
118	SLU 43	-3	127	529	-1.07	-1.76	0.27
118	SLU 44	-4	185	707	-2.71	-1.97	0.31
118	SLU 45	-3	127	529	-1.07	-1.76	0.27
118	SLU 46	-4	162	636	-2.05	-1.89	0.3
118	SLU 47	-4	185	707	-2.71	-1.97	0.31
118	SLU 48	-3	127	529	-1.07	-1.76	0.27
118	SLU 49	-4	162	636	-2.05	-1.89	0.3
118	SLU 50	-3	127	529	-1.07	-1.76	0.27
118	SLU 51	-4	162	636	-2.05	-1.89	0.3
118	SLU 52	-4	178	688	-2.2	-2.14	0.34
118	SLU 53	-3	121	510	-0.56	-1.93	0.3
118	SLU 54	-4	155	616	-1.54	-2.06	0.32
118	SLU 55	-4	178	688	-2.2	-2.14	0.34
118	SLU 56	-3	121	510	-0.56	-1.93	0.3
118	SLU 57	-4	155	616	-1.54	-2.06	0.32
118	SLU 58	-3	121	510	-0.56	-1.93	0.3
118	SLU 59	-4	155	616	-1.54	-2.06	0.32
118	SLU 60	-3	118	501	-0.34	-2	0.31
118	SLU 61	-4	153	608	-1.32	-2.13	0.33
118	SLU 62	-3	118	501	-0.34	-2	0.31
118	SLU 63	-4	153	608	-1.32	-2.13	0.33
118	SLU 64	-3	124	519	-0.81	-1.85	0.29
118	SLU 65	-4	181	697	-2.45	-2.06	0.32
118	SLU 66	-3	124	519	-0.81	-1.85	0.29
118	SLU 67	-4	158	626	-1.79	-1.97	0.31
118	SLU 68	-4	181	697	-2.45	-2.06	0.32
118	SLU 69	-3	124	519	-0.81	-1.85	0.29
118	SLU 70	-4	158	626	-1.79	-1.97	0.31
118	SLU 71	-3	124	519	-0.81	-1.85	0.29
118	SLU 72	-4	158	626	-1.79	-1.97	0.31
118	SLU 73	-4	175	677	-1.93	-2.23	0.35
118	SLU 74	-3	118	499	-0.3	-2.02	0.31
118	SLU 75	-4	152	606	-1.28	-2.14	0.33
118	SLU 76	-4	175	677	-1.93	-2.23	0.35
118	SLU 77	-3	118	499	-0.3	-2.02	0.31
118	SLU 78	-4	152	606	-1.28	-2.14	0.33
118	SLU 79	-3	118	499	-0.3	-2.02	0.31
118	SLU 80	-4	152	606	-1.28	-2.14	0.33
118	SLU 81	-4	115	491	-0.08	-2.09	0.32
118	SLU 82	-4	149	598	-1.06	-2.22	0.35
118	SLU 83	-4	115	491	-0.08	-2.09	0.32
118	SLU 84	-4	149	598	-1.06	-2.22	0.35
118	SLE RA 1	-2	96	402	-0.68	-1.4	0.22
118	SLE RA 2	-3	134	520	-1.77	-1.54	0.24



Nodo Ind.	Cont. N.br.	Reazione a traslazione			Reazione a rotazione		
		x	y	z	x	y	z
118	SLE RA 3	-2	96	402	-0.68	-1.4	0.22
118	SLE RA 4	-3	119	473	-1.34	-1.49	0.23
118	SLE RA 5	-3	134	520	-1.77	-1.54	0.24
118	SLE RA 6	-2	96	402	-0.68	-1.4	0.22
118	SLE RA 7	-3	119	473	-1.34	-1.49	0.23
118	SLE RA 8	-2	96	402	-0.68	-1.4	0.22
118	SLE RA 9	-3	119	473	-1.34	-1.49	0.23
118	SLE RA 10	-3	130	507	-1.43	-1.66	0.26
118	SLE RA 11	-3	92	388	-0.34	-1.51	0.23
118	SLE RA 12	-3	115	460	-0.99	-1.6	0.25
118	SLE RA 13	-3	130	507	-1.43	-1.66	0.26
118	SLE RA 14	-3	92	388	-0.34	-1.51	0.23
118	SLE RA 15	-3	115	460	-0.99	-1.6	0.25
118	SLE RA 16	-3	92	388	-0.34	-1.51	0.23
118	SLE RA 17	-3	115	460	-0.99	-1.6	0.25
118	SLE RA 18	-3	90	383	-0.19	-1.56	0.24
118	SLE RA 19	-3	113	454	-0.85	-1.65	0.26
118	SLE RA 20	-3	90	383	-0.19	-1.56	0.24
118	SLE RA 21	-3	113	454	-0.85	-1.65	0.26
118	SLE FR 1	-2	96	402	-0.68	-1.4	0.22
118	SLE FR 2	-3	104	425	-0.9	-1.43	0.22
118	SLE FR 3	-2	96	402	-0.68	-1.4	0.22
118	SLE FR 4	-3	102	420	-0.75	-1.48	0.23
118	SLE FR 5	-2	94	396	-0.53	-1.45	0.22
118	SLE FR 6	-3	93	392	-0.44	-1.48	0.23
118	SLE QP 1	-2	96	402	-0.68	-1.4	0.22
118	SLE QP 2	-2	94	396	-0.53	-1.45	0.22
118	SLD 1	4	81	327	-0.29	4.82	-0.76
118	SLD 2	4	81	327	-0.29	4.82	-0.76
118	SLD 3	9	-16	23	2.65	9.1	-1.44
118	SLD 4	9	-16	23	2.65	9.1	-1.44
118	SLD 5	-9	237	837	-4.93	-6.07	0.96
118	SLD 6	-9	237	837	-4.93	-6.07	0.96
118	SLD 7	9	-85	-177	4.89	8.21	-1.3
118	SLD 8	9	-85	-177	4.89	8.21	-1.3
118	SLD 9	-14	274	969	-5.96	-11.11	1.75
118	SLD 10	-14	274	969	-5.96	-11.11	1.75
118	SLD 11	4	-48	-45	3.86	3.17	-0.51
118	SLD 12	4	-48	-45	3.86	3.17	-0.51
118	SLD 13	-14	204	769	-3.72	-12	1.89
118	SLD 14	-14	204	769	-3.72	-12	1.89
118	SLD 15	-8	108	465	-0.78	-7.71	1.21
118	SLD 16	-8	108	465	-0.78	-7.71	1.21
118	SLV 1	13	51	191	0.32	14.55	-2.3
118	SLV 2	13	51	191	0.32	14.55	-2.3
118	SLV 3	25	-175	-520	7.23	24.6	-3.89
118	SLV 4	25	-175	-520	7.23	24.6	-3.89
118	SLV 5	-16	424	1412	-10.76	-11.89	1.88
118	SLV 6	-16	424	1412	-10.76	-11.89	1.88
118	SLV 7	24	-329	-956	12.28	21.61	-3.42
118	SLV 8	24	-329	-956	12.28	21.61	-3.42
118	SLV 9	-29	517	1748	-13.35	-24.5	3.87
118	SLV 10	-29	517	1748	-13.35	-24.5	3.87
118	SLV 11	11	-236	-620	9.7	8.99	-1.43
118	SLV 12	11	-236	-620	9.7	8.99	-1.43
118	SLV 13	-30	363	1311	-8.3	-27.5	4.34
118	SLV 14	-30	363	1311	-8.3	-27.5	4.34
118	SLV 15	-18	137	601	-1.39	-17.45	2.75
118	SLV 16	-18	137	601	-1.39	-17.45	2.75
119	SLU 1	-8	-160	1588	7.93	-5.54	0
119	SLU 2	-8	-136	1627	7.28	-4.33	0
119	SLU 3	-8	-160	1588	7.93	-5.54	0
119	SLU 4	-8	-146	1611	7.54	-4.81	0
119	SLU 5	-8	-136	1627	7.28	-4.33	0
119	SLU 6	-8	-160	1588	7.93	-5.54	0
119	SLU 7	-8	-146	1611	7.54	-4.81	0
119	SLU 8	-8	-160	1588	7.93	-5.54	0
119	SLU 9	-8	-146	1611	7.54	-4.81	0
119	SLU 10	-9	-178	1778	8.95	-4.96	0
119	SLU 11	-9	-202	1738	9.6	-6.17	0
119	SLU 12	-9	-188	1762	9.21	-5.45	0
119	SLU 13	-9	-178	1778	8.95	-4.96	0
119	SLU 14	-9	-202	1738	9.6	-6.17	0
119	SLU 15	-9	-188	1762	9.21	-5.45	0
119	SLU 16	-9	-202	1738	9.6	-6.17	0
119	SLU 17	-9	-188	1762	9.21	-5.45	0
119	SLU 18	-10	-220	1803	10.31	-6.44	0
119	SLU 19	-9	-206	1827	9.92	-5.72	0
119	SLU 20	-10	-220	1803	10.31	-6.44	0
119	SLU 21	-9	-206	1827	9.92	-5.72	0
119	SLU 22	-9	-182	1664	8.78	-5.86	0
119	SLU 23	-8	-158	1704	8.13	-4.65	0
119	SLU 24	-9	-182	1664	8.78	-5.86	0
119	SLU 25	-9	-167	1688	8.39	-5.14	0
119	SLU 26	-8	-158	1704	8.13	-4.65	0
119	SLU 27	-9	-182	1664	8.78	-5.86	0
119	SLU 28	-9	-167	1688	8.39	-5.14	0
119	SLU 29	-9	-182	1664	8.78	-5.86	0



Nodo Ind.	Cont. N.br.	Reazione a traslazione			Reazione a rotazione		
		x	y	z	x	y	z
119	SLU 30	-9	-167	1688	8.39	-5.14	0
119	SLU 31	-9	-200	1855	9.8	-5.29	0
119	SLU 32	-10	-224	1815	10.44	-6.49	0
119	SLU 33	-9	-209	1839	10.06	-5.77	0
119	SLU 34	-9	-200	1855	9.8	-5.29	0
119	SLU 35	-10	-224	1815	10.44	-6.49	0
119	SLU 36	-9	-209	1839	10.06	-5.77	0
119	SLU 37	-10	-224	1815	10.44	-6.49	0
119	SLU 38	-9	-209	1839	10.06	-5.77	0
119	SLU 39	-10	-242	1880	11.16	-6.77	0
119	SLU 40	-10	-228	1903	10.77	-6.04	0
119	SLU 41	-10	-242	1880	11.16	-6.77	0
119	SLU 42	-10	-228	1903	10.77	-6.04	0
119	SLU 43	-11	-201	2038	10.02	-7.09	0
119	SLU 44	-10	-177	2077	9.37	-5.88	0
119	SLU 45	-11	-201	2038	10.02	-7.09	0
119	SLU 46	-10	-186	2061	9.63	-6.36	0
119	SLU 47	-10	-177	2077	9.37	-5.88	0
119	SLU 48	-11	-201	2038	10.02	-7.09	0
119	SLU 49	-10	-186	2061	9.63	-6.36	0
119	SLU 50	-11	-201	2038	10.02	-7.09	0
119	SLU 51	-10	-186	2061	9.63	-6.36	0
119	SLU 52	-11	-219	2228	11.04	-6.51	0
119	SLU 53	-12	-243	2188	11.69	-7.72	0
119	SLU 54	-11	-229	2212	11.3	-7	0
119	SLU 55	-11	-219	2228	11.04	-6.51	0
119	SLU 56	-12	-243	2188	11.69	-7.72	0
119	SLU 57	-11	-229	2212	11.3	-7	0
119	SLU 58	-12	-243	2188	11.69	-7.72	0
119	SLU 59	-11	-229	2212	11.3	-7	0
119	SLU 60	-12	-261	2253	12.4	-7.99	0
119	SLU 61	-12	-247	2277	12.01	-7.27	0
119	SLU 62	-12	-261	2253	12.4	-7.99	0
119	SLU 63	-12	-247	2277	12.01	-7.27	0
119	SLU 64	-11	-222	2114	10.87	-7.41	0
119	SLU 65	-11	-198	2154	10.22	-6.2	0
119	SLU 66	-11	-222	2114	10.87	-7.41	0
119	SLU 67	-11	-208	2138	10.48	-6.69	0
119	SLU 68	-11	-198	2154	10.22	-6.2	0
119	SLU 69	-11	-222	2114	10.87	-7.41	0
119	SLU 70	-11	-208	2138	10.48	-6.69	0
119	SLU 71	-11	-222	2114	10.87	-7.41	0
119	SLU 72	-11	-208	2138	10.48	-6.69	0
119	SLU 73	-12	-241	2305	11.89	-6.84	0
119	SLU 74	-12	-264	2265	12.53	-8.04	0
119	SLU 75	-12	-250	2289	12.15	-7.32	0
119	SLU 76	-12	-241	2305	11.89	-6.84	0
119	SLU 77	-12	-264	2265	12.53	-8.04	0
119	SLU 78	-12	-250	2289	12.15	-7.32	0
119	SLU 79	-12	-264	2265	12.53	-8.04	0
119	SLU 80	-12	-250	2289	12.15	-7.32	0
119	SLU 81	-13	-282	2330	13.25	-8.32	0
119	SLU 82	-12	-268	2353	12.86	-7.59	0
119	SLU 83	-13	-282	2330	13.25	-8.32	0
119	SLU 84	-12	-268	2353	12.86	-7.59	0
119	SLE RA 1	-9	-166	1610	8.17	-5.63	0
119	SLE RA 2	-8	-150	1636	7.74	-4.82	0
119	SLE RA 3	-9	-166	1610	8.17	-5.63	0
119	SLE RA 4	-8	-157	1625	7.91	-5.15	0
119	SLE RA 5	-8	-150	1636	7.74	-4.82	0
119	SLE RA 6	-9	-166	1610	8.17	-5.63	0
119	SLE RA 7	-8	-157	1625	7.91	-5.15	0
119	SLE RA 8	-9	-166	1610	8.17	-5.63	0
119	SLE RA 9	-8	-157	1625	7.91	-5.15	0
119	SLE RA 10	-9	-178	1736	8.85	-5.25	0
119	SLE RA 11	-9	-194	1710	9.28	-6.05	0
119	SLE RA 12	-9	-185	1726	9.03	-5.57	0
119	SLE RA 13	-9	-178	1736	8.85	-5.25	0
119	SLE RA 14	-9	-194	1710	9.28	-6.05	0
119	SLE RA 15	-9	-185	1726	9.03	-5.57	0
119	SLE RA 16	-9	-194	1710	9.28	-6.05	0
119	SLE RA 17	-9	-185	1726	9.03	-5.57	0
119	SLE RA 18	-9	-206	1753	9.76	-6.23	0
119	SLE RA 19	-9	-197	1769	9.5	-5.75	0
119	SLE RA 20	-9	-206	1753	9.76	-6.23	0
119	SLE RA 21	-9	-197	1769	9.5	-5.75	0
119	SLE FR 1	-9	-166	1610	8.17	-5.63	0
119	SLE FR 2	-8	-163	1615	8.09	-5.47	0
119	SLE FR 3	-9	-166	1610	8.17	-5.63	0
119	SLE FR 4	-9	-175	1658	8.56	-5.65	0
119	SLE FR 5	-9	-178	1653	8.65	-5.81	0
119	SLE FR 6	-9	-186	1681	8.97	-5.93	0
119	SLE QP 1	-9	-166	1610	8.17	-5.63	0
119	SLE QP 2	-9	-178	1653	8.65	-5.81	0
119	SLD 1	-7	-185	1777	8.84	1.29	-0.01
119	SLD 2	-7	-185	1777	8.84	1.29	-0.01
119	SLD 3	-1	-303	1708	13.89	-3.14	-0.01
119	SLD 4	-1	-303	1708	13.89	-3.14	-0.01



Nodo Ind.	Cont. N.br.	Reazione a traslazione			Reazione a rotazione		
		x	y	z	x	y	z
119	SLD 5	-17	-1	1793	1.04	3.04	-0.01
119	SLD 6	-17	-1	1793	1.04	3.04	-0.01
119	SLD 7	2	-395	1566	17.88	-11.72	0.01
119	SLD 8	2	-395	1566	17.88	-11.72	0.01
119	SLD 9	-20	38	1740	-0.58	0.1	-0.01
119	SLD 10	-20	38	1740	-0.58	0.1	-0.01
119	SLD 11	0	-355	1512	16.25	-14.66	0.01
119	SLD 12	0	-355	1512	16.25	-14.66	0.01
119	SLD 13	-16	-54	1597	3.41	-8.48	0.01
119	SLD 14	-16	-54	1597	3.41	-8.48	0.01
119	SLD 15	-10	-172	1529	8.46	-12.91	0.01
119	SLD 16	-10	-172	1529	8.46	-12.91	0.01
119	SLV 1	-5	-193	1949	9.1	11.1	-0.03
119	SLV 2	-5	-193	1949	9.1	11.1	-0.03
119	SLV 3	9	-476	1785	21.15	0.43	-0.01
119	SLV 4	9	-476	1785	21.15	0.43	-0.01
119	SLV 5	-29	245	1991	-9.49	15.45	-0.03
119	SLV 6	-29	245	1991	-9.49	15.45	-0.03
119	SLV 7	18	-696	1443	30.67	-20.13	0.02
119	SLV 8	18	-696	1443	30.67	-20.13	0.02
119	SLV 9	-36	339	1863	-13.38	8.51	-0.02
119	SLV 10	-36	339	1863	-13.38	8.51	-0.02
119	SLV 11	12	-602	1314	26.79	-27.07	0.03
119	SLV 12	12	-602	1314	26.79	-27.07	0.03
119	SLV 13	-27	119	1521	-3.85	-12.04	0.01
119	SLV 14	-27	119	1521	-3.85	-12.04	0.01
119	SLV 15	-12	-163	1356	8.2	-22.72	0.03
119	SLV 16	-12	-163	1356	8.2	-22.72	0.03
120	SLU 1	0	177	2048	-9.79	-0.48	0
120	SLU 2	-2	206	2152	-12.1	-2.85	0
120	SLU 3	0	177	2048	-9.79	-0.48	0
120	SLU 4	-2	194	2111	-11.18	-1.91	0
120	SLU 5	-2	206	2152	-12.1	-2.85	0
120	SLU 6	0	177	2048	-9.79	-0.48	0
120	SLU 7	-2	194	2111	-11.18	-1.91	0
120	SLU 8	0	177	2048	-9.79	-0.48	0
120	SLU 9	-2	194	2111	-11.18	-1.91	0
120	SLU 10	-2	209	2283	-11.84	-2.95	0
120	SLU 11	-1	181	2179	-9.53	-0.58	0
120	SLU 12	-2	198	2241	-10.91	-2	0
120	SLU 13	-2	209	2283	-11.84	-2.95	0
120	SLU 14	-1	181	2179	-9.53	-0.58	0
120	SLU 15	-2	198	2241	-10.91	-2	0
120	SLU 16	-1	181	2179	-9.53	-0.58	0
120	SLU 17	-2	198	2241	-10.91	-2	0
120	SLU 18	-1	183	2235	-9.41	-0.63	0
120	SLU 19	-2	200	2297	-10.8	-2.05	0
120	SLU 20	-1	183	2235	-9.41	-0.63	0
120	SLU 21	-2	200	2297	-10.8	-2.05	0
120	SLU 22	0	179	2115	-9.66	-0.54	0
120	SLU 23	-2	208	2219	-11.97	-2.9	0
120	SLU 24	0	179	2115	-9.66	-0.54	0
120	SLU 25	-2	196	2177	-11.05	-1.96	0
120	SLU 26	-2	208	2219	-11.97	-2.9	0
120	SLU 27	0	179	2115	-9.66	-0.54	0
120	SLU 28	-2	196	2177	-11.05	-1.96	0
120	SLU 29	0	179	2115	-9.66	-0.54	0
120	SLU 30	-2	196	2177	-11.05	-1.96	0
120	SLU 31	-2	212	2350	-11.71	-3	0
120	SLU 32	-1	183	2245	-9.4	-0.63	0
120	SLU 33	-2	200	2308	-10.78	-2.05	0
120	SLU 34	-2	212	2350	-11.71	-3	0
120	SLU 35	-1	183	2245	-9.4	-0.63	0
120	SLU 36	-2	200	2308	-10.78	-2.05	0
120	SLU 37	-1	183	2245	-9.4	-0.63	0
120	SLU 38	-2	200	2308	-10.78	-2.05	0
120	SLU 39	-1	185	2301	-9.28	-0.68	0
120	SLU 40	-2	202	2364	-10.67	-2.1	0
120	SLU 41	-1	185	2301	-9.28	-0.68	0
120	SLU 42	-2	202	2364	-10.67	-2.1	0
120	SLU 43	-1	230	2639	-12.77	-0.61	0
120	SLU 44	-2	258	2744	-15.09	-2.98	0
120	SLU 45	-1	230	2639	-12.77	-0.61	0
120	SLU 46	-2	247	2702	-14.16	-2.03	0
120	SLU 47	-2	258	2744	-15.09	-2.98	0
120	SLU 48	-1	230	2639	-12.77	-0.61	0
120	SLU 49	-2	247	2702	-14.16	-2.03	0
120	SLU 50	-1	230	2639	-12.77	-0.61	0
120	SLU 51	-2	247	2702	-14.16	-2.03	0
120	SLU 52	-3	262	2874	-14.82	-3.08	0
120	SLU 53	-1	234	2770	-12.51	-0.71	0
120	SLU 54	-2	251	2833	-13.9	-2.13	0
120	SLU 55	-3	262	2874	-14.82	-3.08	0
120	SLU 56	-1	234	2770	-12.51	-0.71	0
120	SLU 57	-2	251	2833	-13.9	-2.13	0
120	SLU 58	-1	234	2770	-12.51	-0.71	0
120	SLU 59	-2	251	2833	-13.9	-2.13	0
120	SLU 60	-1	235	2826	-12.4	-0.75	0



Nodo Ind.	Cont. N.br.	Reazione a traslazione			Reazione a rotazione		
		x	y	z	x	y	z
120	SLU 61	-2	252	2889	-13.78	-2.17	0
120	SLU 62	-1	235	2826	-12.4	-0.75	0
120	SLU 63	-2	252	2889	-13.78	-2.17	0
120	SLU 64	-1	232	2706	-12.64	-0.66	0
120	SLU 65	-2	260	2811	-14.96	-3.03	0
120	SLU 66	-1	232	2706	-12.64	-0.66	0
120	SLU 67	-2	249	2769	-14.03	-2.08	0
120	SLU 68	-2	260	2811	-14.96	-3.03	0
120	SLU 69	-1	232	2706	-12.64	-0.66	0
120	SLU 70	-2	249	2769	-14.03	-2.08	0
120	SLU 71	-1	232	2706	-12.64	-0.66	0
120	SLU 72	-2	249	2769	-14.03	-2.08	0
120	SLU 73	-3	264	2941	-14.69	-3.13	0
120	SLU 74	-1	236	2837	-12.38	-0.76	0
120	SLU 75	-2	253	2899	-13.77	-2.18	0
120	SLU 76	-3	264	2941	-14.69	-3.13	0
120	SLU 77	-1	236	2837	-12.38	-0.76	0
120	SLU 78	-2	253	2899	-13.77	-2.18	0
120	SLU 79	-1	236	2837	-12.38	-0.76	0
120	SLU 80	-2	253	2899	-13.77	-2.18	0
120	SLU 81	-1	238	2893	-12.27	-0.8	0
120	SLU 82	-2	254	2955	-13.65	-2.22	0
120	SLU 83	-1	238	2893	-12.27	-0.8	0
120	SLU 84	-2	254	2955	-13.65	-2.22	0
120	SLE RA 1	0	178	2067	-9.75	-0.5	0
120	SLE RA 2	-2	197	2137	-11.3	-2.08	0
120	SLE RA 3	0	178	2067	-9.75	-0.5	0
120	SLE RA 4	-1	189	2109	-10.68	-1.45	0
120	SLE RA 5	-2	197	2137	-11.3	-2.08	0
120	SLE RA 6	0	178	2067	-9.75	-0.5	0
120	SLE RA 7	-1	189	2109	-10.68	-1.45	0
120	SLE RA 8	0	178	2067	-9.75	-0.5	0
120	SLE RA 9	-1	189	2109	-10.68	-1.45	0
120	SLE RA 10	-2	199	2224	-11.12	-2.14	0
120	SLE RA 11	-1	181	2154	-9.58	-0.57	0
120	SLE RA 12	-1	192	2196	-10.5	-1.51	0
120	SLE RA 13	-2	199	2224	-11.12	-2.14	0
120	SLE RA 14	-1	181	2154	-9.58	-0.57	0
120	SLE RA 15	-1	192	2196	-10.5	-1.51	0
120	SLE RA 16	-1	181	2154	-9.58	-0.57	0
120	SLE RA 17	-1	192	2196	-10.5	-1.51	0
120	SLE RA 18	-1	182	2191	-9.5	-0.59	0
120	SLE RA 19	-1	193	2233	-10.43	-1.54	0
120	SLE RA 20	-1	182	2191	-9.5	-0.59	0
120	SLE RA 21	-1	193	2233	-10.43	-1.54	0
120	SLE FR 1	0	178	2067	-9.75	-0.5	0
120	SLE FR 2	-1	182	2081	-10.06	-0.81	0
120	SLE FR 3	0	178	2067	-9.75	-0.5	0
120	SLE FR 4	-1	183	2118	-9.99	-0.84	0
120	SLE FR 5	0	179	2104	-9.68	-0.53	0
120	SLE FR 6	-1	180	2129	-9.63	-0.55	0
120	SLE QP 1	0	178	2067	-9.75	-0.5	0
120	SLE QP 2	0	179	2104	-9.68	-0.53	0
120	SLD 1	20	177	2076	-9.55	17.24	0.05
120	SLD 2	20	177	2076	-9.55	17.24	0.05
120	SLD 3	13	99	1864	-3.59	11.87	0.12
120	SLD 4	13	99	1864	-3.59	11.87	0.12
120	SLD 5	16	296	2418	-18.67	12.94	-0.1
120	SLD 6	16	296	2418	-18.67	12.94	-0.1
120	SLD 7	-6	37	1710	1.18	-4.94	0.16
120	SLD 8	-6	37	1710	1.18	-4.94	0.16
120	SLD 9	5	321	2498	-20.53	3.89	-0.15
120	SLD 10	5	321	2498	-20.53	3.89	-0.15
120	SLD 11	-17	62	1791	-0.69	-13.99	0.11
120	SLD 12	-17	62	1791	-0.69	-13.99	0.11
120	SLD 13	-14	259	2345	-15.76	-12.93	-0.12
120	SLD 14	-14	259	2345	-15.76	-12.93	-0.12
120	SLD 15	-21	181	2132	-9.81	-18.29	-0.04
120	SLD 16	-21	181	2132	-9.81	-18.29	-0.04
120	SLV 1	48	173	2035	-9.32	42.35	0.1
120	SLV 2	48	173	2035	-9.32	42.35	0.1
120	SLV 3	32	-13	1521	5.02	28.95	0.3
120	SLV 4	32	-13	1521	5.02	28.95	0.3
120	SLV 5	39	460	2864	-31.31	32.67	-0.27
120	SLV 6	39	460	2864	-31.31	32.67	-0.27
120	SLV 7	-16	-161	1149	16.48	-12.02	0.39
120	SLV 8	-16	-161	1149	16.48	-12.02	0.39
120	SLV 9	15	519	3059	-35.83	10.96	-0.39
120	SLV 10	15	519	3059	-35.83	10.96	-0.39
120	SLV 11	-40	-101	1345	11.96	-33.72	0.27
120	SLV 12	-40	-101	1345	11.96	-33.72	0.27
120	SLV 13	-33	371	2687	-24.38	-30	-0.3
120	SLV 14	-33	371	2687	-24.38	-30	-0.3
120	SLV 15	-49	185	2173	-10.04	-43.41	-0.1
120	SLV 16	-49	185	2173	-10.04	-43.41	-0.1
121	SLU 1	-5	99	564	-7.08	-3.35	-0.01
121	SLU 2	-9	164	797	-10.94	-6.35	-0.03
121	SLU 3	-5	99	564	-7.08	-3.35	-0.01



Nodo Ind.	Cont. N.br.	Reazione a traslazione			Reazione a rotazione		
		x	y	z	x	y	z
121	SLU 4	-7	138	703	-9.4	-5.15	-0.02
121	SLU 5	-9	164	797	-10.94	-6.35	-0.03
121	SLU 6	-5	99	564	-7.08	-3.35	-0.01
121	SLU 7	-7	138	703	-9.4	-5.15	-0.02
121	SLU 8	-5	99	564	-7.08	-3.35	-0.01
121	SLU 9	-7	138	703	-9.4	-5.15	-0.02
121	SLU 10	-9	165	750	-11.27	-6.64	-0.03
121	SLU 11	-6	100	517	-7.41	-3.63	-0.01
121	SLU 12	-8	139	656	-9.72	-5.44	-0.02
121	SLU 13	-9	165	750	-11.27	-6.64	-0.03
121	SLU 14	-6	100	517	-7.41	-3.63	-0.01
121	SLU 15	-8	139	656	-9.72	-5.44	-0.02
121	SLU 16	-6	100	517	-7.41	-3.63	-0.01
121	SLU 17	-8	139	656	-9.72	-5.44	-0.02
121	SLU 18	-6	101	496	-7.55	-3.75	-0.02
121	SLU 19	-8	140	636	-9.86	-5.56	-0.02
121	SLU 20	-6	101	496	-7.55	-3.75	-0.02
121	SLU 21	-8	140	636	-9.86	-5.56	-0.02
121	SLU 22	-5	100	539	-7.25	-3.5	-0.01
121	SLU 23	-9	165	772	-11.11	-6.5	-0.03
121	SLU 24	-5	100	539	-7.25	-3.5	-0.01
121	SLU 25	-7	139	679	-9.56	-5.3	-0.02
121	SLU 26	-9	165	772	-11.11	-6.5	-0.03
121	SLU 27	-5	100	539	-7.25	-3.5	-0.01
121	SLU 28	-7	139	679	-9.56	-5.3	-0.02
121	SLU 29	-5	100	539	-7.25	-3.5	-0.01
121	SLU 30	-7	139	679	-9.56	-5.3	-0.02
121	SLU 31	-9	166	725	-11.43	-6.78	-0.03
121	SLU 32	-6	101	492	-7.58	-3.78	-0.02
121	SLU 33	-8	140	632	-9.89	-5.58	-0.02
121	SLU 34	-9	166	725	-11.43	-6.78	-0.03
121	SLU 35	-6	101	492	-7.58	-3.78	-0.02
121	SLU 36	-8	140	632	-9.89	-5.58	-0.02
121	SLU 37	-6	101	492	-7.58	-3.78	-0.02
121	SLU 38	-8	140	632	-9.89	-5.58	-0.02
121	SLU 39	-6	101	472	-7.72	-3.9	-0.02
121	SLU 40	-8	140	612	-10.03	-5.7	-0.02
121	SLU 41	-6	101	472	-7.72	-3.9	-0.02
121	SLU 42	-8	140	612	-10.03	-5.7	-0.02
121	SLU 43	-6	129	741	-9.15	-4.31	-0.02
121	SLU 44	-10	194	974	-13.01	-7.31	-0.03
121	SLU 45	-6	129	741	-9.15	-4.31	-0.02
121	SLU 46	-9	168	881	-11.46	-6.11	-0.03
121	SLU 47	-10	194	974	-13.01	-7.31	-0.03
121	SLU 48	-6	129	741	-9.15	-4.31	-0.02
121	SLU 49	-9	168	881	-11.46	-6.11	-0.03
121	SLU 50	-6	129	741	-9.15	-4.31	-0.02
121	SLU 51	-9	168	881	-11.46	-6.11	-0.03
121	SLU 52	-11	195	927	-13.33	-7.59	-0.03
121	SLU 53	-7	130	694	-9.48	-4.59	-0.02
121	SLU 54	-9	169	834	-11.79	-6.39	-0.03
121	SLU 55	-11	195	927	-13.33	-7.59	-0.03
121	SLU 56	-7	130	694	-9.48	-4.59	-0.02
121	SLU 57	-9	169	834	-11.79	-6.39	-0.03
121	SLU 58	-7	130	694	-9.48	-4.59	-0.02
121	SLU 59	-9	169	834	-11.79	-6.39	-0.03
121	SLU 60	-7	130	674	-9.62	-4.71	-0.02
121	SLU 61	-9	169	814	-11.93	-6.51	-0.03
121	SLU 62	-7	130	674	-9.62	-4.71	-0.02
121	SLU 63	-9	169	814	-11.93	-6.51	-0.03
121	SLU 64	-7	129	717	-9.32	-4.45	-0.02
121	SLU 65	-10	194	950	-13.17	-7.45	-0.03
121	SLU 66	-7	129	717	-9.32	-4.45	-0.02
121	SLU 67	-9	168	857	-11.63	-6.25	-0.03
121	SLU 68	-10	194	950	-13.17	-7.45	-0.03
121	SLU 69	-7	129	717	-9.32	-4.45	-0.02
121	SLU 70	-9	168	857	-11.63	-6.25	-0.03
121	SLU 71	-7	129	717	-9.32	-4.45	-0.02
121	SLU 72	-9	168	857	-11.63	-6.25	-0.03
121	SLU 73	-11	195	903	-13.5	-7.74	-0.03
121	SLU 74	-7	130	670	-9.64	-4.73	-0.02
121	SLU 75	-9	169	810	-11.96	-6.54	-0.03
121	SLU 76	-11	195	903	-13.5	-7.74	-0.03
121	SLU 77	-7	130	670	-9.64	-4.73	-0.02
121	SLU 78	-9	169	810	-11.96	-6.54	-0.03
121	SLU 79	-7	130	670	-9.64	-4.73	-0.02
121	SLU 80	-9	169	810	-11.96	-6.54	-0.03
121	SLU 81	-7	131	650	-9.78	-4.86	-0.02
121	SLU 82	-10	170	789	-12.1	-6.66	-0.03
121	SLU 83	-7	131	650	-9.78	-4.86	-0.02
121	SLU 84	-10	170	789	-12.1	-6.66	-0.03
121	SLE RA 1	-5	99	557	-7.13	-3.39	-0.01
121	SLE RA 2	-8	143	712	-9.7	-5.4	-0.02
121	SLE RA 3	-5	99	557	-7.13	-3.39	-0.01
121	SLE RA 4	-7	125	650	-8.67	-4.59	-0.02
121	SLE RA 5	-8	143	712	-9.7	-5.4	-0.02
121	SLE RA 6	-5	99	557	-7.13	-3.39	-0.01
121	SLE RA 7	-7	125	650	-8.67	-4.59	-0.02



Nodo Ind.	Cont. N.br.	Reazione a traslazione			Reazione a rotazione		
		x	y	z	x	y	z
121	SLE RA 8	-5	99	557	-7.13	-3.39	-0.01
121	SLE RA 9	-7	125	650	-8.67	-4.59	-0.02
121	SLE RA 10	-8	143	681	-9.92	-5.58	-0.02
121	SLE RA 11	-5	100	525	-7.35	-3.58	-0.01
121	SLE RA 12	-7	126	619	-8.89	-4.78	-0.02
121	SLE RA 13	-8	143	681	-9.92	-5.58	-0.02
121	SLE RA 14	-5	100	525	-7.35	-3.58	-0.01
121	SLE RA 15	-7	126	619	-8.89	-4.78	-0.02
121	SLE RA 16	-5	100	525	-7.35	-3.58	-0.01
121	SLE RA 17	-7	126	619	-8.89	-4.78	-0.02
121	SLE RA 18	-6	100	512	-7.44	-3.66	-0.01
121	SLE RA 19	-7	126	605	-8.98	-4.86	-0.02
121	SLE RA 20	-6	100	512	-7.44	-3.66	-0.01
121	SLE RA 21	-7	126	605	-8.98	-4.86	-0.02
121	SLE FR 1	-5	99	557	-7.13	-3.39	-0.01
121	SLE FR 2	-6	108	588	-7.64	-3.79	-0.02
121	SLE FR 3	-5	99	557	-7.13	-3.39	-0.01
121	SLE FR 4	-6	108	574	-7.74	-3.87	-0.02
121	SLE FR 5	-5	100	543	-7.22	-3.47	-0.01
121	SLE FR 6	-5	100	534	-7.29	-3.53	-0.01
121	SLE QP 1	-5	99	557	-7.13	-3.39	-0.01
121	SLE QP 2	-5	100	543	-7.22	-3.47	-0.01
121	SLD 1	12	97	426	-7.28	10.18	0.05
121	SLD 2	12	97	426	-7.28	10.18	0.05
121	SLD 3	21	-23	39	-0.57	17.55	0.08
121	SLD 4	21	-23	39	-0.57	17.55	0.08
121	SLD 5	-14	281	1095	-17.41	-10.56	-0.05
121	SLD 6	-14	281	1095	-17.41	-10.56	-0.05
121	SLD 7	16	-120	-195	4.95	14.01	0.07
121	SLD 8	16	-120	-195	4.95	14.01	0.07
121	SLD 9	-27	319	1282	-19.39	-20.96	-0.1
121	SLD 10	-27	319	1282	-19.39	-20.96	-0.1
121	SLD 11	3	-82	-9	2.97	3.61	0.02
121	SLD 12	3	-82	-9	2.97	3.61	0.02
121	SLD 13	-31	222	1048	-13.88	-24.5	-0.11
121	SLD 14	-31	222	1048	-13.88	-24.5	-0.11
121	SLD 15	-22	102	661	-7.17	-17.13	-0.08
121	SLD 16	-22	102	661	-7.17	-17.13	-0.08
121	SLV 1	37	83	208	-6.75	30.66	0.14
121	SLV 2	37	83	208	-6.75	30.66	0.14
121	SLV 3	59	-199	-705	8.97	48.88	0.23
121	SLV 4	59	-199	-705	8.97	48.88	0.23
121	SLV 5	-26	522	1829	-30.92	-20.88	-0.1
121	SLV 6	-26	522	1829	-30.92	-20.88	-0.1
121	SLV 7	48	-418	-1217	21.47	39.88	0.19
121	SLV 8	48	-418	-1217	21.47	39.88	0.19
121	SLV 9	-58	617	2304	-35.92	-46.83	-0.22
121	SLV 10	-58	617	2304	-35.92	-46.83	-0.22
121	SLV 11	16	-323	-742	16.47	13.93	0.07
121	SLV 12	16	-323	-742	16.47	13.93	0.07
121	SLV 13	-70	399	1792	-23.41	-55.83	-0.26
121	SLV 14	-70	399	1792	-23.41	-55.83	-0.26
121	SLV 15	-47	117	878	-7.7	-37.6	-0.17
121	SLV 16	-47	117	878	-7.7	-37.6	-0.17
122	SLU 1	-4	121	733	-8.08	-2.59	-0.01
122	SLU 2	-5	192	949	-12.2	-2.81	-0.01
122	SLU 3	-4	121	733	-8.08	-2.59	-0.01
122	SLU 4	-5	164	862	-10.55	-2.72	-0.01
122	SLU 5	-5	192	949	-12.2	-2.81	-0.01
122	SLU 6	-4	121	733	-8.08	-2.59	-0.01
122	SLU 7	-5	164	862	-10.55	-2.72	-0.01
122	SLU 8	-4	121	733	-8.08	-2.59	-0.01
122	SLU 9	-5	164	862	-10.55	-2.72	-0.01
122	SLU 10	-6	199	939	-12.84	-3.17	-0.01
122	SLU 11	-5	128	724	-8.73	-2.95	-0.01
122	SLU 12	-5	171	853	-11.2	-3.08	-0.01
122	SLU 13	-6	199	939	-12.84	-3.17	-0.01
122	SLU 14	-5	128	724	-8.73	-2.95	-0.01
122	SLU 15	-5	171	853	-11.2	-3.08	-0.01
122	SLU 16	-5	128	724	-8.73	-2.95	-0.01
122	SLU 17	-5	171	853	-11.2	-3.08	-0.01
122	SLU 18	-5	131	720	-9.01	-3.1	-0.01
122	SLU 19	-6	173	849	-11.47	-3.23	-0.01
122	SLU 20	-5	131	720	-9.01	-3.1	-0.01
122	SLU 21	-6	173	849	-11.47	-3.23	-0.01
122	SLU 22	-5	125	728	-8.41	-2.77	-0.01
122	SLU 23	-5	195	944	-12.53	-2.99	-0.01
122	SLU 24	-5	125	728	-8.41	-2.77	-0.01
122	SLU 25	-5	167	858	-10.88	-2.9	-0.01
122	SLU 26	-5	195	944	-12.53	-2.99	-0.01
122	SLU 27	-5	125	728	-8.41	-2.77	-0.01
122	SLU 28	-5	167	858	-10.88	-2.9	-0.01
122	SLU 29	-5	125	728	-8.41	-2.77	-0.01
122	SLU 30	-5	167	858	-10.88	-2.9	-0.01
122	SLU 31	-6	202	934	-13.17	-3.35	-0.01
122	SLU 32	-5	132	719	-9.06	-3.13	-0.01
122	SLU 33	-6	174	848	-11.53	-3.26	-0.01
122	SLU 34	-6	202	934	-13.17	-3.35	-0.01



Nodo Ind.	Cont. N.br.	Reazione a traslazione			Reazione a rotazione		
		x	y	z	x	y	z
122	SLU 35	-5	132	719	-9.06	-3.13	-0.01
122	SLU 36	-6	174	848	-11.53	-3.26	-0.01
122	SLU 37	-5	132	719	-9.06	-3.13	-0.01
122	SLU 38	-6	174	848	-11.53	-3.26	-0.01
122	SLU 39	-6	135	715	-9.34	-3.28	-0.01
122	SLU 40	-6	177	844	-11.8	-3.42	-0.01
122	SLU 41	-6	135	715	-9.34	-3.28	-0.01
122	SLU 42	-6	177	844	-11.8	-3.42	-0.01
122	SLU 43	-6	157	955	-10.39	-3.3	-0.01
122	SLU 44	-6	227	1170	-14.51	-3.52	-0.01
122	SLU 45	-6	157	955	-10.39	-3.3	-0.01
122	SLU 46	-6	199	1084	-12.86	-3.43	-0.01
122	SLU 47	-6	227	1170	-14.51	-3.52	-0.01
122	SLU 48	-6	157	955	-10.39	-3.3	-0.01
122	SLU 49	-6	199	1084	-12.86	-3.43	-0.01
122	SLU 50	-6	157	955	-10.39	-3.3	-0.01
122	SLU 51	-6	199	1084	-12.86	-3.43	-0.01
122	SLU 52	-7	234	1161	-15.15	-3.88	-0.01
122	SLU 53	-6	163	946	-11.04	-3.66	-0.01
122	SLU 54	-7	206	1075	-13.51	-3.79	-0.01
122	SLU 55	-7	234	1161	-15.15	-3.88	-0.01
122	SLU 56	-6	163	946	-11.04	-3.66	-0.01
122	SLU 57	-7	206	1075	-13.51	-3.79	-0.01
122	SLU 58	-6	163	946	-11.04	-3.66	-0.01
122	SLU 59	-7	206	1075	-13.51	-3.79	-0.01
122	SLU 60	-7	166	942	-11.32	-3.82	-0.01
122	SLU 61	-7	209	1071	-13.79	-3.95	-0.01
122	SLU 62	-7	166	942	-11.32	-3.82	-0.01
122	SLU 63	-7	209	1071	-13.79	-3.95	-0.01
122	SLU 64	-6	160	950	-10.72	-3.49	-0.01
122	SLU 65	-6	231	1165	-14.84	-3.7	-0.01
122	SLU 66	-6	160	950	-10.72	-3.49	-0.01
122	SLU 67	-6	202	1079	-13.19	-3.62	-0.01
122	SLU 68	-6	231	1165	-14.84	-3.7	-0.01
122	SLU 69	-6	160	950	-10.72	-3.49	-0.01
122	SLU 70	-6	202	1079	-13.19	-3.62	-0.01
122	SLU 71	-6	160	950	-10.72	-3.49	-0.01
122	SLU 72	-6	202	1079	-13.19	-3.62	-0.01
122	SLU 73	-7	238	1156	-15.48	-4.06	-0.02
122	SLU 74	-7	167	941	-11.37	-3.85	-0.01
122	SLU 75	-7	209	1070	-13.84	-3.98	-0.01
122	SLU 76	-7	238	1156	-15.48	-4.06	-0.02
122	SLU 77	-7	167	941	-11.37	-3.85	-0.01
122	SLU 78	-7	209	1070	-13.84	-3.98	-0.01
122	SLU 79	-7	167	941	-11.37	-3.85	-0.01
122	SLU 80	-7	209	1070	-13.84	-3.98	-0.01
122	SLU 81	-7	170	937	-11.65	-4	-0.01
122	SLU 82	-7	212	1066	-14.12	-4.13	-0.02
122	SLU 83	-7	170	937	-11.65	-4	-0.01
122	SLU 84	-7	212	1066	-14.12	-4.13	-0.02
122	SLE RA 1	-5	122	732	-8.18	-2.64	-0.01
122	SLE RA 2	-5	169	875	-10.92	-2.79	-0.01
122	SLE RA 3	-5	122	732	-8.18	-2.64	-0.01
122	SLE RA 4	-5	151	818	-9.82	-2.73	-0.01
122	SLE RA 5	-5	169	875	-10.92	-2.79	-0.01
122	SLE RA 6	-5	122	732	-8.18	-2.64	-0.01
122	SLE RA 7	-5	151	818	-9.82	-2.73	-0.01
122	SLE RA 8	-5	122	732	-8.18	-2.64	-0.01
122	SLE RA 9	-5	151	818	-9.82	-2.73	-0.01
122	SLE RA 10	-5	174	869	-11.35	-3.03	-0.01
122	SLE RA 11	-5	127	726	-8.61	-2.88	-0.01
122	SLE RA 12	-5	155	812	-10.25	-2.97	-0.01
122	SLE RA 13	-5	174	869	-11.35	-3.03	-0.01
122	SLE RA 14	-5	127	726	-8.61	-2.88	-0.01
122	SLE RA 15	-5	155	812	-10.25	-2.97	-0.01
122	SLE RA 16	-5	127	726	-8.61	-2.88	-0.01
122	SLE RA 17	-5	155	812	-10.25	-2.97	-0.01
122	SLE RA 18	-5	129	723	-8.79	-2.98	-0.01
122	SLE RA 19	-5	157	809	-10.44	-3.07	-0.01
122	SLE RA 20	-5	129	723	-8.79	-2.98	-0.01
122	SLE RA 21	-5	157	809	-10.44	-3.07	-0.01
122	SLE FR 1	-5	122	732	-8.18	-2.64	-0.01
122	SLE FR 2	-5	132	761	-8.72	-2.67	-0.01
122	SLE FR 3	-5	122	732	-8.18	-2.64	-0.01
122	SLE FR 4	-5	134	758	-8.91	-2.77	-0.01
122	SLE FR 5	-5	124	729	-8.36	-2.74	-0.01
122	SLE FR 6	-5	126	728	-8.48	-2.81	-0.01
122	SLE QP 1	-5	122	732	-8.18	-2.64	-0.01
122	SLE QP 2	-5	124	729	-8.36	-2.74	-0.01
122	SLD 1	10	121	591	-8.2	9.1	0.04
122	SLD 2	10	121	591	-8.2	9.1	0.04
122	SLD 3	20	15	222	-2.2	17.11	0.08
122	SLD 4	20	15	222	-2.2	17.11	0.08
122	SLD 5	-16	284	1247	-17.41	-11.34	-0.05
122	SLD 6	-16	284	1247	-17.41	-11.34	-0.05
122	SLD 7	18	-70	17	2.59	15.36	0.07
122	SLD 8	18	-70	17	2.59	15.36	0.07
122	SLD 9	-27	318	1441	-19.31	-20.85	-0.09



Nodo Ind.	Cont. N.br.	Reazione a traslazione			Reazione a rotazione		
		x	y	z	x	y	z
122	SLD 10	-27	318	1441	-19.31	-20.85	-0.09
122	SLD 11	6	-36	211	0.69	5.85	0.03
122	SLD 12	6	-36	211	0.69	5.85	0.03
122	SLD 13	-29	234	1237	-14.53	-22.6	-0.1
122	SLD 14	-29	234	1237	-14.53	-22.6	-0.1
122	SLD 15	-19	128	868	-8.53	-14.58	-0.06
122	SLD 16	-19	128	868	-8.53	-14.58	-0.06
122	SLV 1	32	108	339	-7.43	27.49	0.13
122	SLV 2	32	108	339	-7.43	27.49	0.13
122	SLV 3	56	-141	-523	6.6	46.3	0.21
122	SLV 4	56	-141	-523	6.6	46.3	0.21
122	SLV 5	-29	497	1919	-29.36	-22.2	-0.1
122	SLV 6	-29	497	1919	-29.36	-22.2	-0.1
122	SLV 7	49	-333	-953	17.4	40.5	0.19
122	SLV 8	49	-333	-953	17.4	40.5	0.19
122	SLV 9	-58	582	2412	-34.13	-45.99	-0.21
122	SLV 10	-58	582	2412	-34.13	-45.99	-0.21
122	SLV 11	20	-248	-460	12.64	16.72	0.08
122	SLV 12	20	-248	-460	12.64	16.72	0.08
122	SLV 13	-65	390	1981	-23.32	-51.79	-0.23
122	SLV 14	-65	390	1981	-23.32	-51.79	-0.23
122	SLV 15	-42	141	1120	-9.29	-32.98	-0.15
122	SLV 16	-42	141	1120	-9.29	-32.98	-0.15
123	SLU 1	-10	-109	1537	2.71	-6.72	0
123	SLU 2	-9	-76	1583	0.89	-5.12	0
123	SLU 3	-10	-109	1537	2.71	-6.72	0
123	SLU 4	-10	-89	1565	1.62	-5.76	0
123	SLU 5	-9	-76	1583	0.89	-5.12	0
123	SLU 6	-10	-109	1537	2.71	-6.72	0
123	SLU 7	-10	-89	1565	1.62	-5.76	0
123	SLU 8	-10	-109	1537	2.71	-6.72	0
123	SLU 9	-10	-89	1565	1.62	-5.76	0
123	SLU 10	-10	-107	1711	2.12	-5.93	0
123	SLU 11	-11	-140	1665	3.93	-7.54	0
123	SLU 12	-11	-120	1693	2.84	-6.57	0
123	SLU 13	-10	-107	1711	2.12	-5.93	0
123	SLU 14	-11	-140	1665	3.93	-7.54	0
123	SLU 15	-11	-120	1693	2.84	-6.57	0
123	SLU 16	-11	-140	1665	3.93	-7.54	0
123	SLU 17	-11	-120	1693	2.84	-6.57	0
123	SLU 18	-12	-153	1720	4.45	-7.88	0
123	SLU 19	-11	-133	1748	3.37	-6.92	0
123	SLU 20	-12	-153	1720	4.45	-7.88	0
123	SLU 21	-11	-133	1748	3.37	-6.92	0
123	SLU 22	-11	-125	1603	3.33	-7.14	0
123	SLU 23	-10	-92	1648	1.51	-5.53	0
123	SLU 24	-11	-125	1603	3.33	-7.14	0
123	SLU 25	-10	-105	1630	2.24	-6.17	0
123	SLU 26	-10	-92	1648	1.51	-5.53	0
123	SLU 27	-11	-125	1603	3.33	-7.14	0
123	SLU 28	-10	-105	1630	2.24	-6.17	0
123	SLU 29	-11	-125	1603	3.33	-7.14	0
123	SLU 30	-10	-105	1630	2.24	-6.17	0
123	SLU 31	-11	-123	1776	2.74	-6.34	0
123	SLU 32	-12	-155	1731	4.55	-7.95	0
123	SLU 33	-11	-136	1758	3.46	-6.99	0
123	SLU 34	-11	-123	1776	2.74	-6.34	0
123	SLU 35	-12	-155	1731	4.55	-7.95	0
123	SLU 36	-11	-136	1758	3.46	-6.99	0
123	SLU 37	-12	-155	1731	4.55	-7.95	0
123	SLU 38	-11	-136	1758	3.46	-6.99	0
123	SLU 39	-13	-169	1786	5.08	-8.3	0
123	SLU 40	-12	-149	1813	3.99	-7.33	0
123	SLU 41	-13	-169	1786	5.08	-8.3	0
123	SLU 42	-12	-149	1813	3.99	-7.33	0
123	SLU 43	-13	-136	1976	3.31	-8.6	0
123	SLU 44	-12	-103	2021	1.49	-6.99	0
123	SLU 45	-13	-136	1976	3.31	-8.6	0
123	SLU 46	-12	-117	2003	2.22	-7.63	0
123	SLU 47	-12	-103	2021	1.49	-6.99	0
123	SLU 48	-13	-136	1976	3.31	-8.6	0
123	SLU 49	-12	-117	2003	2.22	-7.63	0
123	SLU 50	-13	-136	1976	3.31	-8.6	0
123	SLU 51	-12	-117	2003	2.22	-7.63	0
123	SLU 52	-13	-134	2150	2.72	-7.8	0
123	SLU 53	-14	-167	2104	4.53	-9.41	0
123	SLU 54	-14	-147	2131	3.44	-8.45	0
123	SLU 55	-13	-134	2150	2.72	-7.8	0
123	SLU 56	-14	-167	2104	4.53	-9.41	0
123	SLU 57	-14	-147	2131	3.44	-8.45	0
123	SLU 58	-14	-167	2104	4.53	-9.41	0
123	SLU 59	-14	-147	2131	3.44	-8.45	0
123	SLU 60	-15	-180	2159	5.05	-9.76	0
123	SLU 61	-14	-161	2186	3.97	-8.79	0
123	SLU 62	-15	-180	2159	5.05	-9.76	0
123	SLU 63	-14	-161	2186	3.97	-8.79	0
123	SLU 64	-14	-152	2041	3.93	-9.01	0
123	SLU 65	-13	-119	2087	2.11	-7.4	0



Nodo Ind.	Cont. N.br.	Reazione a traslazione			Reazione a rotazione		
		x	y	z	x	y	z
123	SLU 66	-14	-152	2041	3.93	-9.01	0
123	SLU 67	-13	-132	2069	2.84	-8.05	0
123	SLU 68	-13	-119	2087	2.11	-7.4	0
123	SLU 69	-14	-152	2041	3.93	-9.01	0
123	SLU 70	-13	-132	2069	2.84	-8.05	0
123	SLU 71	-14	-152	2041	3.93	-9.01	0
123	SLU 72	-13	-132	2069	2.84	-8.05	0
123	SLU 73	-14	-150	2215	3.34	-8.22	0
123	SLU 74	-15	-183	2169	5.15	-9.82	0
123	SLU 75	-14	-163	2197	4.06	-8.86	0
123	SLU 76	-14	-150	2215	3.34	-8.22	0
123	SLU 77	-15	-183	2169	5.15	-9.82	0
123	SLU 78	-14	-163	2197	4.06	-8.86	0
123	SLU 79	-15	-183	2169	5.15	-9.82	0
123	SLU 80	-14	-163	2197	4.06	-8.86	0
123	SLU 81	-15	-196	2224	5.67	-10.17	0
123	SLU 82	-15	-176	2252	4.59	-9.21	0
123	SLU 83	-15	-196	2224	5.67	-10.17	0
123	SLU 84	-15	-176	2252	4.59	-9.21	0
123	SLE RA 1	-10	-113	1556	2.88	-6.84	0
123	SLE RA 2	-10	-92	1586	1.68	-5.77	0
123	SLE RA 3	-10	-113	1556	2.88	-6.84	0
123	SLE RA 4	-10	-100	1574	2.16	-6.2	0
123	SLE RA 5	-10	-92	1586	1.68	-5.77	0
123	SLE RA 6	-10	-113	1556	2.88	-6.84	0
123	SLE RA 7	-10	-100	1574	2.16	-6.2	0
123	SLE RA 8	-10	-113	1556	2.88	-6.84	0
123	SLE RA 9	-10	-100	1574	2.16	-6.2	0
123	SLE RA 10	-10	-112	1672	2.49	-6.31	0
123	SLE RA 11	-11	-134	1641	3.7	-7.38	0
123	SLE RA 12	-11	-121	1660	2.97	-6.74	0
123	SLE RA 13	-10	-112	1672	2.49	-6.31	0
123	SLE RA 14	-11	-134	1641	3.7	-7.38	0
123	SLE RA 15	-11	-121	1660	2.97	-6.74	0
123	SLE RA 16	-11	-134	1641	3.7	-7.38	0
123	SLE RA 17	-11	-121	1660	2.97	-6.74	0
123	SLE RA 18	-12	-143	1678	4.05	-7.62	0
123	SLE RA 19	-11	-130	1696	3.32	-6.97	0
123	SLE RA 20	-12	-143	1678	4.05	-7.62	0
123	SLE RA 21	-11	-130	1696	3.32	-6.97	0
123	SLE FR 1	-10	-113	1556	2.88	-6.84	0
123	SLE FR 2	-10	-109	1562	2.64	-6.63	0
123	SLE FR 3	-10	-113	1556	2.88	-6.84	0
123	SLE FR 4	-11	-118	1599	2.99	-6.86	0
123	SLE FR 5	-11	-122	1592	3.23	-7.07	0
123	SLE FR 6	-11	-128	1617	3.47	-7.23	0
123	SLE QP 1	-10	-113	1556	2.88	-6.84	0
123	SLE QP 2	-11	-122	1592	3.23	-7.07	0
123	SLD 1	-2	1	1716	-2.18	1.24	-0.01
123	SLD 2	-2	1	1716	-2.18	1.24	-0.01
123	SLD 3	-6	-120	1650	3.04	-2.85	0
123	SLD 4	-6	-120	1650	3.04	-2.85	0
123	SLD 5	-1	98	1731	-6.31	1.62	-0.01
123	SLD 6	-1	98	1731	-6.31	1.62	-0.01
123	SLD 7	-16	-305	1508	11.09	-12.01	0
123	SLD 8	-16	-305	1508	11.09	-12.01	0
123	SLD 9	-5	60	1677	-4.62	-2.14	-0.01
123	SLD 10	-5	60	1677	-4.62	-2.14	-0.01
123	SLD 11	-20	-342	1454	12.77	-15.77	0.01
123	SLD 12	-20	-342	1454	12.77	-15.77	0.01
123	SLD 13	-15	-124	1535	3.43	-11.3	0
123	SLD 14	-15	-124	1535	3.43	-11.3	0
123	SLD 15	-20	-245	1469	8.64	-15.39	0.01
123	SLD 16	-20	-245	1469	8.64	-15.39	0.01
123	SLV 1	10	173	1891	-9.79	12.74	-0.02
123	SLV 2	10	173	1891	-9.79	12.74	-0.02
123	SLV 3	0	-117	1729	2.73	2.81	-0.01
123	SLV 4	0	-117	1729	2.73	2.81	-0.01
123	SLV 5	12	405	1928	-19.66	13.94	-0.02
123	SLV 6	12	405	1928	-19.66	13.94	-0.02
123	SLV 7	-24	-559	1388	22.07	-19.18	0.01
123	SLV 8	-24	-559	1388	22.07	-19.18	0.01
123	SLV 9	3	315	1797	-15.61	5.03	-0.01
123	SLV 10	3	315	1797	-15.61	5.03	-0.01
123	SLV 11	-34	-649	1257	26.13	-28.08	0.02
123	SLV 12	-34	-649	1257	26.13	-28.08	0.02
123	SLV 13	-21	-128	1456	3.73	-16.95	0.01
123	SLV 14	-21	-128	1456	3.73	-16.95	0.01
123	SLV 15	-32	-417	1294	16.26	-26.89	0.02
123	SLV 16	-32	-417	1294	16.26	-26.89	0.02
124	SLU 1	-1	37	2046	-0.58	-0.58	0.01
124	SLU 2	-4	65	2114	-1.63	-4.22	0.05
124	SLU 3	-1	37	2046	-0.58	-0.58	0.01
124	SLU 4	-3	54	2087	-1.21	-2.76	0.03
124	SLU 5	-4	65	2114	-1.63	-4.22	0.05
124	SLU 6	-1	37	2046	-0.58	-0.58	0.01
124	SLU 7	-3	54	2087	-1.21	-2.76	0.03
124	SLU 8	-1	37	2046	-0.58	-0.58	0.01



Nodo Ind.	Cont. N.br.	Reazione a traslazione			Reazione a rotazione		
		x	y	z	x	y	z
124	SLU 9	-3	54	2087	-1.21	-2.76	0.03
124	SLU 10	-4	57	2266	-1.31	-4.32	0.05
124	SLU 11	-1	29	2198	-0.26	-0.68	0.01
124	SLU 12	-3	46	2238	-0.89	-2.86	0.03
124	SLU 13	-4	57	2266	-1.31	-4.32	0.05
124	SLU 14	-1	29	2198	-0.26	-0.68	0.01
124	SLU 15	-3	46	2238	-0.89	-2.86	0.03
124	SLU 16	-1	29	2198	-0.26	-0.68	0.01
124	SLU 17	-3	46	2238	-0.89	-2.86	0.03
124	SLU 18	-1	26	2263	-0.12	-0.72	0.01
124	SLU 19	-3	43	2304	-0.75	-2.91	0.03
124	SLU 20	-1	26	2263	-0.12	-0.72	0.01
124	SLU 21	-3	43	2304	-0.75	-2.91	0.03
124	SLU 22	-1	33	2123	-0.42	-0.63	0.01
124	SLU 23	-4	61	2191	-1.47	-4.27	0.05
124	SLU 24	-1	33	2123	-0.42	-0.63	0.01
124	SLU 25	-3	50	2164	-1.05	-2.82	0.03
124	SLU 26	-4	61	2191	-1.47	-4.27	0.05
124	SLU 27	-1	33	2123	-0.42	-0.63	0.01
124	SLU 28	-3	50	2164	-1.05	-2.82	0.03
124	SLU 29	-1	33	2123	-0.42	-0.63	0.01
124	SLU 30	-3	50	2164	-1.05	-2.82	0.03
124	SLU 31	-4	54	2343	-1.15	-4.37	0.05
124	SLU 32	-1	25	2275	-0.1	-0.73	0.01
124	SLU 33	-3	42	2316	-0.73	-2.92	0.03
124	SLU 34	-4	54	2343	-1.15	-4.37	0.05
124	SLU 35	-1	25	2275	-0.1	-0.73	0.01
124	SLU 36	-3	42	2316	-0.73	-2.92	0.03
124	SLU 37	-1	25	2275	-0.1	-0.73	0.01
124	SLU 38	-3	42	2316	-0.73	-2.92	0.03
124	SLU 39	-1	22	2340	0.04	-0.77	0.01
124	SLU 40	-3	39	2381	-0.59	-2.96	0.03
124	SLU 41	-1	22	2340	0.04	-0.77	0.01
124	SLU 42	-3	39	2381	-0.59	-2.96	0.03
124	SLU 43	-1	49	2633	-0.82	-0.73	0.01
124	SLU 44	-4	78	2701	-1.86	-4.38	0.05
124	SLU 45	-1	49	2633	-0.82	-0.73	0.01
124	SLU 46	-3	66	2674	-1.44	-2.92	0.03
124	SLU 47	-4	78	2701	-1.86	-4.38	0.05
124	SLU 48	-1	49	2633	-0.82	-0.73	0.01
124	SLU 49	-3	66	2674	-1.44	-2.92	0.03
124	SLU 50	-1	49	2633	-0.82	-0.73	0.01
124	SLU 51	-3	66	2674	-1.44	-2.92	0.03
124	SLU 52	-4	70	2853	-1.54	-4.48	0.05
124	SLU 53	-1	42	2785	-0.49	-0.83	0.01
124	SLU 54	-3	59	2826	-1.12	-3.02	0.03
124	SLU 55	-4	70	2853	-1.54	-4.48	0.05
124	SLU 56	-1	42	2785	-0.49	-0.83	0.01
124	SLU 57	-3	59	2826	-1.12	-3.02	0.03
124	SLU 58	-1	42	2785	-0.49	-0.83	0.01
124	SLU 59	-3	59	2826	-1.12	-3.02	0.03
124	SLU 60	-1	38	2850	-0.35	-0.88	0.01
124	SLU 61	-3	55	2891	-0.98	-3.06	0.03
124	SLU 62	-1	38	2850	-0.35	-0.88	0.01
124	SLU 63	-3	55	2891	-0.98	-3.06	0.03
124	SLU 64	-1	46	2710	-0.65	-0.78	0.01
124	SLU 65	-4	74	2778	-1.7	-4.43	0.05
124	SLU 66	-1	46	2710	-0.65	-0.78	0.01
124	SLU 67	-3	62	2751	-1.28	-2.97	0.03
124	SLU 68	-4	74	2778	-1.7	-4.43	0.05
124	SLU 69	-1	46	2710	-0.65	-0.78	0.01
124	SLU 70	-3	62	2751	-1.28	-2.97	0.03
124	SLU 71	-1	46	2710	-0.65	-0.78	0.01
124	SLU 72	-3	62	2751	-1.28	-2.97	0.03
124	SLU 73	-4	66	2930	-1.38	-4.53	0.05
124	SLU 74	-1	38	2862	-0.33	-0.88	0.01
124	SLU 75	-3	55	2903	-0.96	-3.07	0.03
124	SLU 76	-4	66	2930	-1.38	-4.53	0.05
124	SLU 77	-1	38	2862	-0.33	-0.88	0.01
124	SLU 78	-3	55	2903	-0.96	-3.07	0.03
124	SLU 79	-1	38	2862	-0.33	-0.88	0.01
124	SLU 80	-3	55	2903	-0.96	-3.07	0.03
124	SLU 81	-1	34	2927	-0.19	-0.93	0.01
124	SLU 82	-3	51	2968	-0.82	-3.11	0.04
124	SLU 83	-1	34	2927	-0.19	-0.93	0.01
124	SLU 84	-3	51	2968	-0.82	-3.11	0.04
124	SLE RA 1	-1	36	2068	-0.54	-0.59	0.01
124	SLE RA 2	-3	55	2113	-1.24	-3.02	0.03
124	SLE RA 3	-1	36	2068	-0.54	-0.59	0.01
124	SLE RA 4	-2	47	2095	-0.96	-2.05	0.02
124	SLE RA 5	-3	55	2113	-1.24	-3.02	0.03
124	SLE RA 6	-1	36	2068	-0.54	-0.59	0.01
124	SLE RA 7	-2	47	2095	-0.96	-2.05	0.02
124	SLE RA 8	-1	36	2068	-0.54	-0.59	0.01
124	SLE RA 9	-2	47	2095	-0.96	-2.05	0.02
124	SLE RA 10	-3	49	2215	-1.02	-3.09	0.03
124	SLE RA 11	-1	31	2169	-0.32	-0.66	0.01
124	SLE RA 12	-2	42	2196	-0.74	-2.12	0.02



Nodo Ind.	Cont. N.br.	Reazione a traslazione			Reazione a rotazione		
		x	y	z	x	y	z
124	SLE RA 13	-3	49	2215	-1.02	-3.09	0.03
124	SLE RA 14	-1	31	2169	-0.32	-0.66	0.01
124	SLE RA 15	-2	42	2196	-0.74	-2.12	0.02
124	SLE RA 16	-1	31	2169	-0.32	-0.66	0.01
124	SLE RA 17	-2	42	2196	-0.74	-2.12	0.02
124	SLE RA 18	-1	28	2212	-0.23	-0.69	0.01
124	SLE RA 19	-2	40	2240	-0.65	-2.15	0.02
124	SLE RA 20	-1	28	2212	-0.23	-0.69	0.01
124	SLE RA 21	-2	40	2240	-0.65	-2.15	0.02
124	SLE FR 1	-1	36	2068	-0.54	-0.59	0.01
124	SLE FR 2	-1	40	2077	-0.68	-1.08	0.01
124	SLE FR 3	-1	36	2068	-0.54	-0.59	0.01
124	SLE FR 4	-1	37	2120	-0.59	-1.11	0.01
124	SLE FR 5	-1	34	2111	-0.45	-0.62	0.01
124	SLE FR 6	-1	32	2140	-0.38	-0.64	0.01
124	SLE QP 1	-1	36	2068	-0.54	-0.59	0.01
124	SLE QP 2	-1	34	2111	-0.45	-0.62	0.01
124	SLD 1	16	31	2057	-0.41	14.54	-0.21
124	SLD 2	16	31	2057	-0.41	14.54	-0.21
124	SLD 3	22	-76	1969	4.14	19.95	-0.29
124	SLD 4	22	-76	1969	4.14	19.95	-0.29
124	SLD 5	-4	195	2227	-7.34	-4.28	0.06
124	SLD 6	-4	195	2227	-7.34	-4.28	0.06
124	SLD 7	15	-161	1936	7.84	13.76	-0.2
124	SLD 8	15	-161	1936	7.84	13.76	-0.2
124	SLD 9	-16	229	2286	-8.73	-15	0.21
124	SLD 10	-16	229	2286	-8.73	-15	0.21
124	SLD 11	3	-128	1995	6.45	3.04	-0.05
124	SLD 12	3	-128	1995	6.45	3.04	-0.05
124	SLD 13	-23	143	2253	-5.04	-21.19	0.3
124	SLD 14	-23	143	2253	-5.04	-21.19	0.3
124	SLD 15	-17	36	2166	-0.48	-15.78	0.23
124	SLD 16	-17	36	2166	-0.48	-15.78	0.23
124	SLV 1	39	28	1980	-0.35	35.59	-0.51
124	SLV 2	39	28	1980	-0.35	35.59	-0.51
124	SLV 3	54	-227	1768	10.5	49.18	-0.71
124	SLV 4	54	-227	1768	10.5	49.18	-0.71
124	SLV 5	-11	418	2394	-16.87	-10.37	0.15
124	SLV 6	-11	418	2394	-16.87	-10.37	0.15
124	SLV 7	38	-431	1686	19.29	34.94	-0.5
124	SLV 8	38	-431	1686	19.29	34.94	-0.5
124	SLV 9	-39	499	2536	-20.19	-36.18	0.52
124	SLV 10	-39	499	2536	-20.19	-36.18	0.52
124	SLV 11	10	-351	1828	15.98	9.13	-0.13
124	SLV 12	10	-351	1828	15.98	9.13	-0.13
124	SLV 13	-55	295	2455	-11.39	-50.43	0.72
124	SLV 14	-55	295	2455	-11.39	-50.43	0.72
124	SLV 15	-40	40	2242	-0.54	-36.83	0.52
124	SLV 16	-40	40	2242	-0.54	-36.83	0.52
125	SLU 1	-4	16	642	3.13	-2.9	0
125	SLU 2	-6	79	788	0.63	-5.41	0
125	SLU 3	-4	16	642	3.13	-2.9	0
125	SLU 4	-5	54	730	1.63	-4.41	0
125	SLU 5	-6	79	788	0.63	-5.41	0
125	SLU 6	-4	16	642	3.13	-2.9	0
125	SLU 7	-5	54	730	1.63	-4.41	0
125	SLU 8	-4	16	642	3.13	-2.9	0
125	SLU 9	-5	54	730	1.63	-4.41	0
125	SLU 10	-6	72	783	1.69	-5.7	0
125	SLU 11	-4	9	637	4.19	-3.18	0
125	SLU 12	-5	47	724	2.69	-4.69	0
125	SLU 13	-6	72	783	1.69	-5.7	0
125	SLU 14	-4	9	637	4.19	-3.18	0
125	SLU 15	-5	47	724	2.69	-4.69	0
125	SLU 16	-4	9	637	4.19	-3.18	0
125	SLU 17	-5	47	724	2.69	-4.69	0
125	SLU 18	-4	6	634	4.65	-3.3	0
125	SLU 19	-5	44	722	3.15	-4.81	0
125	SLU 20	-4	6	634	4.65	-3.3	0
125	SLU 21	-5	44	722	3.15	-4.81	0
125	SLU 22	-4	13	639	3.68	-3.04	0
125	SLU 23	-6	75	786	1.18	-5.56	0
125	SLU 24	-4	13	639	3.68	-3.04	0
125	SLU 25	-5	50	727	2.18	-4.55	0
125	SLU 26	-6	75	786	1.18	-5.56	0
125	SLU 27	-4	13	639	3.68	-3.04	0
125	SLU 28	-5	50	727	2.18	-4.55	0
125	SLU 29	-4	13	639	3.68	-3.04	0
125	SLU 30	-5	50	727	2.18	-4.55	0
125	SLU 31	-6	68	780	2.24	-5.84	0
125	SLU 32	-4	5	634	4.74	-3.32	0
125	SLU 33	-5	43	722	3.24	-4.83	0
125	SLU 34	-6	68	780	2.24	-5.84	0
125	SLU 35	-4	5	634	4.74	-3.32	0
125	SLU 36	-5	43	722	3.24	-4.83	0
125	SLU 37	-4	5	634	4.74	-3.32	0
125	SLU 38	-5	43	722	3.24	-4.83	0
125	SLU 39	-4	2	631	5.19	-3.44	0



Nodo Ind.	Cont. N.br.	Reazione a traslazione			Reazione a rotazione		
		x	y	z	x	y	z
125	SLU 40	-6	40	719	3.69	-4.95	0
125	SLU 41	-4	2	631	5.19	-3.44	0
125	SLU 42	-6	40	719	3.69	-4.95	0
125	SLU 43	-4	22	836	3.88	-3.72	0
125	SLU 44	-7	85	982	1.38	-6.23	0
125	SLU 45	-4	22	836	3.88	-3.72	0
125	SLU 46	-6	60	924	2.38	-5.23	0
125	SLU 47	-7	85	982	1.38	-6.23	0
125	SLU 48	-4	22	836	3.88	-3.72	0
125	SLU 49	-6	60	924	2.38	-5.23	0
125	SLU 50	-4	22	836	3.88	-3.72	0
125	SLU 51	-6	60	924	2.38	-5.23	0
125	SLU 52	-7	78	977	2.45	-6.51	0
125	SLU 53	-5	15	830	4.95	-4	0
125	SLU 54	-6	53	918	3.45	-5.51	0
125	SLU 55	-7	78	977	2.45	-6.51	0
125	SLU 56	-5	15	830	4.95	-4	0
125	SLU 57	-6	53	918	3.45	-5.51	0
125	SLU 58	-5	15	830	4.95	-4	0
125	SLU 59	-6	53	918	3.45	-5.51	0
125	SLU 60	-5	12	828	5.4	-4.12	0
125	SLU 61	-6	50	916	3.9	-5.63	0
125	SLU 62	-5	12	828	5.4	-4.12	0
125	SLU 63	-6	50	916	3.9	-5.63	0
125	SLU 64	-5	19	833	4.43	-3.86	0
125	SLU 65	-7	81	979	1.93	-6.38	0
125	SLU 66	-5	19	833	4.43	-3.86	0
125	SLU 67	-6	56	921	2.93	-5.37	0
125	SLU 68	-7	81	979	1.93	-6.38	0
125	SLU 69	-5	19	833	4.43	-3.86	0
125	SLU 70	-6	56	921	2.93	-5.37	0
125	SLU 71	-5	19	833	4.43	-3.86	0
125	SLU 72	-6	56	921	2.93	-5.37	0
125	SLU 73	-7	74	974	2.99	-6.66	0
125	SLU 74	-5	12	828	5.49	-4.14	0
125	SLU 75	-6	49	915	3.99	-5.65	0
125	SLU 76	-7	74	974	2.99	-6.66	0
125	SLU 77	-5	12	828	5.49	-4.14	0
125	SLU 78	-6	49	915	3.99	-5.65	0
125	SLU 79	-5	12	828	5.49	-4.14	0
125	SLU 80	-6	49	915	3.99	-5.65	0
125	SLU 81	-5	8	825	5.95	-4.26	0
125	SLU 82	-7	46	913	4.45	-5.77	0
125	SLU 83	-5	8	825	5.95	-4.26	0
125	SLU 84	-7	46	913	4.45	-5.77	0
125	SLE RA 1	-4	15	641	3.29	-2.94	0
125	SLE RA 2	-5	57	739	1.62	-4.62	0
125	SLE RA 3	-4	15	641	3.29	-2.94	0
125	SLE RA 4	-4	40	700	2.29	-3.94	0
125	SLE RA 5	-5	57	739	1.62	-4.62	0
125	SLE RA 6	-4	15	641	3.29	-2.94	0
125	SLE RA 7	-4	40	700	2.29	-3.94	0
125	SLE RA 8	-4	15	641	3.29	-2.94	0
125	SLE RA 9	-4	40	700	2.29	-3.94	0
125	SLE RA 10	-5	52	735	2.33	-4.8	0
125	SLE RA 11	-4	10	638	3.99	-3.13	0
125	SLE RA 12	-5	36	696	3	-4.13	0
125	SLE RA 13	-5	52	735	2.33	-4.8	0
125	SLE RA 14	-4	10	638	3.99	-3.13	0
125	SLE RA 15	-5	36	696	3	-4.13	0
125	SLE RA 16	-4	10	638	3.99	-3.13	0
125	SLE RA 17	-5	36	696	3	-4.13	0
125	SLE RA 18	-4	8	636	4.3	-3.21	0
125	SLE RA 19	-5	33	695	3.3	-4.21	0
125	SLE RA 20	-4	8	636	4.3	-3.21	0
125	SLE RA 21	-5	33	695	3.3	-4.21	0
125	SLE FR 1	-4	15	641	3.29	-2.94	0
125	SLE FR 2	-4	24	661	2.95	-3.27	0
125	SLE FR 3	-4	15	641	3.29	-2.94	0
125	SLE FR 4	-4	22	659	3.26	-3.35	0
125	SLE FR 5	-4	13	640	3.59	-3.02	0
125	SLE FR 6	-4	12	639	3.79	-3.07	0
125	SLE QP 1	-4	15	641	3.29	-2.94	0
125	SLE QP 2	-4	13	640	3.59	-3.02	0
125	SLD 1	6	16	519	3.73	8.16	0
125	SLD 2	6	16	519	3.73	8.16	0
125	SLD 3	11	-113	282	9.3	14.4	-0.01
125	SLD 4	11	-113	282	9.3	14.4	-0.01
125	SLD 5	-9	210	964	-4.82	-9.13	0.01
125	SLD 6	-9	210	964	-4.82	-9.13	0.01
125	SLD 7	9	-220	173	13.76	11.67	-0.01
125	SLD 8	9	-220	173	13.76	11.67	-0.01
125	SLD 9	-16	247	1107	-6.58	-17.71	0.02
125	SLD 10	-16	247	1107	-6.58	-17.71	0.02
125	SLD 11	1	-183	316	12	3.09	-0.01
125	SLD 12	1	-183	316	12	3.09	-0.01
125	SLD 13	-18	139	998	-2.12	-20.44	0.01
125	SLD 14	-18	139	998	-2.12	-20.44	0.01



Nodo Ind.	Cont. N.br.	Reazione a traslazione			Reazione a rotazione		
		x	y	z	x	y	z
125	SLD 15	-13	10	760	3.45	-14.2	0.01
125	SLD 16	-13	10	760	3.45	-14.2	0.01
125	SLV 1	20	9	311	4.41	24.94	-0.01
125	SLV 2	20	9	311	4.41	24.94	-0.01
125	SLV 3	33	-293	-250	17.49	40.41	-0.03
125	SLV 4	33	-293	-250	17.49	40.41	-0.03
125	SLV 5	-16	471	1391	-16.01	-18.09	0.03
125	SLV 6	-16	471	1391	-16.01	-18.09	0.03
125	SLV 7	27	-537	-477	27.6	33.46	-0.04
125	SLV 8	27	-537	-477	27.6	33.46	-0.04
125	SLV 9	-34	564	1757	-20.42	-39.5	0.04
125	SLV 10	-34	564	1757	-20.42	-39.5	0.04
125	SLV 11	9	-444	-112	23.19	12.05	-0.02
125	SLV 12	9	-444	-112	23.19	12.05	-0.02
125	SLV 13	-40	319	1529	-10.31	-46.45	0.03
125	SLV 14	-40	319	1529	-10.31	-46.45	0.03
125	SLV 15	-27	17	969	2.77	-30.98	0.01
125	SLV 16	-27	17	969	2.77	-30.98	0.01
126	SLU 1	-3	38	783	1.84	-2.29	0
126	SLU 2	-3	110	918	-1.03	-2.27	0
126	SLU 3	-3	38	783	1.84	-2.29	0
126	SLU 4	-3	81	864	0.12	-2.28	0
126	SLU 5	-3	110	918	-1.03	-2.27	0
126	SLU 6	-3	38	783	1.84	-2.29	0
126	SLU 7	-3	81	864	0.12	-2.28	0
126	SLU 8	-3	38	783	1.84	-2.29	0
126	SLU 9	-3	81	864	0.12	-2.28	0
126	SLU 10	-4	106	944	-0.12	-2.63	0
126	SLU 11	-4	35	809	2.74	-2.65	0
126	SLU 12	-4	78	890	1.03	-2.64	0
126	SLU 13	-4	106	944	-0.12	-2.63	0
126	SLU 14	-4	35	809	2.74	-2.65	0
126	SLU 15	-4	78	890	1.03	-2.64	0
126	SLU 16	-4	35	809	2.74	-2.65	0
126	SLU 17	-4	78	890	1.03	-2.64	0
126	SLU 18	-4	33	820	3.13	-2.81	0
126	SLU 19	-4	76	901	1.41	-2.79	0
126	SLU 20	-4	33	820	3.13	-2.81	0
126	SLU 21	-4	76	901	1.41	-2.79	0
126	SLU 22	-4	36	796	2.3	-2.47	0
126	SLU 23	-4	108	931	-0.56	-2.46	0
126	SLU 24	-4	36	796	2.3	-2.47	0
126	SLU 25	-4	79	877	0.58	-2.46	0
126	SLU 26	-4	108	931	-0.56	-2.46	0
126	SLU 27	-4	36	796	2.3	-2.47	0
126	SLU 28	-4	79	877	0.58	-2.46	0
126	SLU 29	-4	36	796	2.3	-2.47	0
126	SLU 30	-4	79	877	0.58	-2.46	0
126	SLU 31	-4	105	957	0.35	-2.82	0
126	SLU 32	-4	33	822	3.21	-2.84	0
126	SLU 33	-4	76	903	1.49	-2.82	0
126	SLU 34	-4	105	957	0.35	-2.82	0
126	SLU 35	-4	33	822	3.21	-2.84	0
126	SLU 36	-4	76	903	1.49	-2.82	0
126	SLU 37	-4	33	822	3.21	-2.84	0
126	SLU 38	-4	76	903	1.49	-2.82	0
126	SLU 39	-5	32	833	3.6	-2.99	0
126	SLU 40	-5	75	914	1.88	-2.98	0
126	SLU 41	-5	32	833	3.6	-2.99	0
126	SLU 42	-5	75	914	1.88	-2.98	0
126	SLU 43	-4	50	1013	2.23	-2.91	0
126	SLU 44	-4	122	1148	-0.63	-2.9	0
126	SLU 45	-4	50	1013	2.23	-2.91	0
126	SLU 46	-4	93	1094	0.51	-2.9	0
126	SLU 47	-4	122	1148	-0.63	-2.9	0
126	SLU 48	-4	50	1013	2.23	-2.91	0
126	SLU 49	-4	93	1094	0.51	-2.9	0
126	SLU 50	-4	50	1013	2.23	-2.91	0
126	SLU 51	-4	93	1094	0.51	-2.9	0
126	SLU 52	-5	118	1174	0.27	-3.26	0
126	SLU 53	-5	47	1039	3.14	-3.27	0
126	SLU 54	-5	90	1120	1.42	-3.26	0
126	SLU 55	-5	118	1174	0.27	-3.26	0
126	SLU 56	-5	47	1039	3.14	-3.27	0
126	SLU 57	-5	90	1120	1.42	-3.26	0
126	SLU 58	-5	47	1039	3.14	-3.27	0
126	SLU 59	-5	90	1120	1.42	-3.26	0
126	SLU 60	-5	45	1050	3.53	-3.43	0
126	SLU 61	-5	88	1131	1.81	-3.42	0
126	SLU 62	-5	45	1050	3.53	-3.43	0
126	SLU 63	-5	88	1131	1.81	-3.42	0
126	SLU 64	-5	48	1026	2.7	-3.1	0
126	SLU 65	-5	120	1161	-0.17	-3.08	0
126	SLU 66	-5	48	1026	2.7	-3.1	0
126	SLU 67	-5	91	1107	0.98	-3.09	0
126	SLU 68	-5	120	1161	-0.17	-3.08	0
126	SLU 69	-5	48	1026	2.7	-3.1	0
126	SLU 70	-5	91	1107	0.98	-3.09	0



Nodo Ind.	Cont. N.br.	Reazione a traslazione			Reazione a rotazione		
		x	y	z	x	y	z
126	SLU 71	-5	48	1026	2.7	-3.1	0
126	SLU 72	-5	91	1107	0.98	-3.09	0
126	SLU 73	-5	117	1188	0.74	-3.44	0
126	SLU 74	-5	45	1052	3.6	-3.46	0
126	SLU 75	-5	88	1133	1.88	-3.45	0
126	SLU 76	-5	117	1188	0.74	-3.44	0
126	SLU 77	-5	45	1052	3.6	-3.46	0
126	SLU 78	-5	88	1133	1.88	-3.45	0
126	SLU 79	-5	45	1052	3.6	-3.46	0
126	SLU 80	-5	88	1133	1.88	-3.45	0
126	SLU 81	-5	44	1063	3.99	-3.61	0
126	SLU 82	-5	87	1145	2.27	-3.6	0
126	SLU 83	-5	44	1063	3.99	-3.61	0
126	SLU 84	-5	87	1145	2.27	-3.6	0
126	SLE RA 1	-3	38	786	1.97	-2.34	0
126	SLE RA 2	-3	85	877	0.06	-2.33	0
126	SLE RA 3	-3	38	786	1.97	-2.34	0
126	SLE RA 4	-3	66	840	0.83	-2.33	0
126	SLE RA 5	-3	85	877	0.06	-2.33	0
126	SLE RA 6	-3	38	786	1.97	-2.34	0
126	SLE RA 7	-3	66	840	0.83	-2.33	0
126	SLE RA 8	-3	38	786	1.97	-2.34	0
126	SLE RA 9	-3	66	840	0.83	-2.33	0
126	SLE RA 10	-4	83	894	0.67	-2.57	0
126	SLE RA 11	-4	35	804	2.58	-2.58	0
126	SLE RA 12	-4	64	858	1.43	-2.58	0
126	SLE RA 13	-4	83	894	0.67	-2.57	0
126	SLE RA 14	-4	35	804	2.58	-2.58	0
126	SLE RA 15	-4	64	858	1.43	-2.58	0
126	SLE RA 16	-4	35	804	2.58	-2.58	0
126	SLE RA 17	-4	64	858	1.43	-2.58	0
126	SLE RA 18	-4	35	811	2.83	-2.69	0
126	SLE RA 19	-4	63	865	1.69	-2.68	0
126	SLE RA 20	-4	35	811	2.83	-2.69	0
126	SLE RA 21	-4	63	865	1.69	-2.68	0
126	SLE FR 1	-3	38	786	1.97	-2.34	0
126	SLE FR 2	-3	47	804	1.59	-2.34	0
126	SLE FR 3	-3	38	786	1.97	-2.34	0
126	SLE FR 4	-4	46	812	1.85	-2.44	0
126	SLE FR 5	-4	37	794	2.23	-2.45	0
126	SLE FR 6	-4	36	799	2.4	-2.51	0
126	SLE QP 1	-3	38	786	1.97	-2.34	0
126	SLE QP 2	-4	37	794	2.23	-2.45	0
126	SLD 1	4	40	645	2.1	7.18	0
126	SLD 2	4	40	645	2.1	7.18	0
126	SLD 3	9	-75	421	7.22	13.73	0
126	SLD 4	9	-75	421	7.22	13.73	0
126	SLD 5	-10	211	1090	-5.58	-9.49	0
126	SLD 6	-10	211	1090	-5.58	-9.49	0
126	SLD 7	9	-171	342	11.49	12.34	0
126	SLD 8	9	-171	342	11.49	12.34	0
126	SLD 9	-16	244	1246	-7.03	-17.23	0
126	SLD 10	-16	244	1246	-7.03	-17.23	0
126	SLD 11	2	-138	498	10.04	4.6	0
126	SLD 12	2	-138	498	10.04	4.6	0
126	SLD 13	-17	148	1167	-2.76	-18.62	0
126	SLD 14	-17	148	1167	-2.76	-18.62	0
126	SLD 15	-11	34	942	2.36	-12.07	0
126	SLD 16	-11	34	942	2.36	-12.07	0
126	SLV 1	16	36	392	2.22	22.13	0
126	SLV 2	16	36	392	2.22	22.13	0
126	SLV 3	29	-233	-133	14.26	37.53	0
126	SLV 4	29	-233	-133	14.26	37.53	0
126	SLV 5	-17	445	1470	-16.03	-18.44	0.01
126	SLV 6	-17	445	1470	-16.03	-18.44	0.01
126	SLV 7	26	-453	-281	24.09	32.92	-0.01
126	SLV 8	26	-453	-281	24.09	32.92	-0.01
126	SLV 9	-33	526	1868	-19.63	-37.81	0.01
126	SLV 10	-33	526	1868	-19.63	-37.81	0.01
126	SLV 11	10	-372	118	20.49	13.55	0
126	SLV 12	10	-372	118	20.49	13.55	0
126	SLV 13	-36	307	1720	-9.79	-42.43	0.01
126	SLV 14	-36	307	1720	-9.79	-42.43	0.01
126	SLV 15	-23	38	1195	2.24	-27.02	0
126	SLV 16	-23	38	1195	2.24	-27.02	0
127	SLU 1	-11	-121	1514	7.34	-7.28	0
127	SLU 2	-9	-98	1561	6.88	-5.31	0
127	SLU 3	-11	-121	1514	7.34	-7.28	0
127	SLU 4	-10	-107	1542	7.07	-6.1	0
127	SLU 5	-9	-98	1561	6.88	-5.31	0
127	SLU 6	-11	-121	1514	7.34	-7.28	0
127	SLU 7	-10	-107	1542	7.07	-6.1	0
127	SLU 8	-11	-121	1514	7.34	-7.28	0
127	SLU 9	-10	-107	1542	7.07	-6.1	0
127	SLU 10	-11	-116	1679	7.68	-6.19	0
127	SLU 11	-12	-139	1632	8.14	-8.17	0
127	SLU 12	-11	-125	1660	7.86	-6.98	0
127	SLU 13	-11	-116	1679	7.68	-6.19	0



Nodo Ind.	Cont. N.br.	Reazione a traslazione			Reazione a rotazione		
		x	y	z	x	y	z
127	SLU 14	-12	-139	1632	8.14	-8.17	0
127	SLU 15	-11	-125	1660	7.86	-6.98	0
127	SLU 16	-12	-139	1632	8.14	-8.17	0
127	SLU 17	-11	-125	1660	7.86	-6.98	0
127	SLU 18	-13	-147	1683	8.48	-8.55	0
127	SLU 19	-12	-133	1711	8.21	-7.36	0
127	SLU 20	-13	-147	1683	8.48	-8.55	0
127	SLU 21	-12	-133	1711	8.21	-7.36	0
127	SLU 22	-12	-130	1574	7.74	-7.73	0
127	SLU 23	-10	-107	1621	7.29	-5.76	0
127	SLU 24	-12	-130	1574	7.74	-7.73	0
127	SLU 25	-11	-116	1603	7.47	-6.55	0
127	SLU 26	-10	-107	1621	7.29	-5.76	0
127	SLU 27	-12	-130	1574	7.74	-7.73	0
127	SLU 28	-11	-116	1603	7.47	-6.55	0
127	SLU 29	-12	-130	1574	7.74	-7.73	0
127	SLU 30	-11	-116	1603	7.47	-6.55	0
127	SLU 31	-11	-126	1740	8.08	-6.65	0
127	SLU 32	-13	-148	1693	8.54	-8.62	0
127	SLU 33	-12	-135	1721	8.27	-7.43	0
127	SLU 34	-11	-126	1740	8.08	-6.65	0
127	SLU 35	-13	-148	1693	8.54	-8.62	0
127	SLU 36	-12	-135	1721	8.27	-7.43	0
127	SLU 37	-13	-148	1693	8.54	-8.62	0
127	SLU 38	-12	-135	1721	8.27	-7.43	0
127	SLU 39	-14	-156	1743	8.89	-9	0
127	SLU 40	-13	-143	1771	8.61	-7.81	0
127	SLU 41	-14	-156	1743	8.89	-9	0
127	SLU 42	-13	-143	1771	8.61	-7.81	0
127	SLU 43	-14	-154	1948	9.4	-9.31	0
127	SLU 44	-12	-131	1995	8.95	-7.34	0
127	SLU 45	-14	-154	1948	9.4	-9.31	0
127	SLU 46	-13	-140	1976	9.13	-8.13	0
127	SLU 47	-12	-131	1995	8.95	-7.34	0
127	SLU 48	-14	-154	1948	9.4	-9.31	0
127	SLU 49	-13	-140	1976	9.13	-8.13	0
127	SLU 50	-14	-154	1948	9.4	-9.31	0
127	SLU 51	-13	-140	1976	9.13	-8.13	0
127	SLU 52	-14	-149	2113	9.74	-8.22	0
127	SLU 53	-15	-172	2066	10.2	-10.2	0
127	SLU 54	-14	-158	2094	9.93	-9.01	0
127	SLU 55	-14	-149	2113	9.74	-8.22	0
127	SLU 56	-15	-172	2066	10.2	-10.2	0
127	SLU 57	-14	-158	2094	9.93	-9.01	0
127	SLU 58	-15	-172	2066	10.2	-10.2	0
127	SLU 59	-14	-158	2094	9.93	-9.01	0
127	SLU 60	-16	-180	2116	10.55	-10.58	0
127	SLU 61	-15	-166	2145	10.27	-9.39	0
127	SLU 62	-16	-180	2116	10.55	-10.58	0
127	SLU 63	-15	-166	2145	10.27	-9.39	0
127	SLU 64	-15	-163	2008	9.81	-9.76	0
127	SLU 65	-13	-140	2055	9.35	-7.79	0
127	SLU 66	-15	-163	2008	9.81	-9.76	0
127	SLU 67	-14	-149	2036	9.53	-8.58	0
127	SLU 68	-13	-140	2055	9.35	-7.79	0
127	SLU 69	-15	-163	2008	9.81	-9.76	0
127	SLU 70	-14	-149	2036	9.53	-8.58	0
127	SLU 71	-15	-163	2008	9.81	-9.76	0
127	SLU 72	-14	-149	2036	9.53	-8.58	0
127	SLU 73	-14	-159	2173	10.15	-8.68	0
127	SLU 74	-16	-181	2126	10.61	-10.65	0
127	SLU 75	-15	-168	2154	10.33	-9.46	0
127	SLU 76	-14	-159	2173	10.15	-8.68	0
127	SLU 77	-16	-181	2126	10.61	-10.65	0
127	SLU 78	-15	-168	2154	10.33	-9.46	0
127	SLU 79	-16	-181	2126	10.61	-10.65	0
127	SLU 80	-15	-168	2154	10.33	-9.46	0
127	SLU 81	-17	-189	2177	10.95	-11.03	0
127	SLU 82	-16	-176	2205	10.67	-9.84	0
127	SLU 83	-17	-189	2177	10.95	-11.03	0
127	SLU 84	-16	-176	2205	10.67	-9.84	0
127	SLE RA 1	-11	-123	1531	7.46	-7.41	0
127	SLE RA 2	-10	-108	1563	7.15	-6.1	0
127	SLE RA 3	-11	-123	1531	7.46	-7.41	0
127	SLE RA 4	-11	-114	1550	7.27	-6.62	0
127	SLE RA 5	-10	-108	1563	7.15	-6.1	0
127	SLE RA 6	-11	-123	1531	7.46	-7.41	0
127	SLE RA 7	-11	-114	1550	7.27	-6.62	0
127	SLE RA 8	-11	-123	1531	7.46	-7.41	0
127	SLE RA 9	-11	-114	1550	7.27	-6.62	0
127	SLE RA 10	-11	-120	1641	7.68	-6.69	0
127	SLE RA 11	-12	-136	1610	7.99	-8	0
127	SLE RA 12	-11	-126	1629	7.81	-7.21	0
127	SLE RA 13	-11	-120	1641	7.68	-6.69	0
127	SLE RA 14	-12	-136	1610	7.99	-8	0
127	SLE RA 15	-11	-126	1629	7.81	-7.21	0
127	SLE RA 16	-12	-136	1610	7.99	-8	0
127	SLE RA 17	-11	-126	1629	7.81	-7.21	0



Nodo Ind.	Cont. N.br.	Reazione a traslazione			Reazione a rotazione		
		x	y	z	x	y	z
127	SLE RA 18	-12	-141	1644	8.22	-8.25	0
127	SLE RA 19	-12	-132	1663	8.03	-7.46	0
127	SLE RA 20	-12	-141	1644	8.22	-8.25	0
127	SLE RA 21	-12	-132	1663	8.03	-7.46	0
127	SLE FR 1	-11	-123	1531	7.46	-7.41	0
127	SLE FR 2	-11	-120	1538	7.4	-7.15	0
127	SLE FR 3	-11	-123	1531	7.46	-7.41	0
127	SLE FR 4	-11	-125	1571	7.62	-7.4	0
127	SLE FR 5	-12	-128	1565	7.68	-7.66	0
127	SLE FR 6	-12	-132	1588	7.84	-7.83	0
127	SLE QP 1	-11	-123	1531	7.46	-7.41	0
127	SLE QP 2	-12	-128	1565	7.68	-7.66	0
127	SLD 1	-2	-16	1691	7.58	1.33	-0.01
127	SLD 2	-2	-16	1691	7.58	1.33	-0.01
127	SLD 3	-6	-131	1628	12.43	-2.61	0
127	SLD 4	-6	-131	1628	12.43	-2.61	0
127	SLD 5	-3	79	1699	0.3	1.01	-0.02
127	SLD 6	-3	79	1699	0.3	1.01	-0.02
127	SLD 7	-16	-303	1488	16.46	-12.13	0.01
127	SLD 8	-16	-303	1488	16.46	-12.13	0.01
127	SLD 9	-7	46	1642	-1.09	-3.2	-0.01
127	SLD 10	-7	46	1642	-1.09	-3.2	-0.01
127	SLD 11	-20	-336	1431	15.07	-16.34	0.01
127	SLD 12	-20	-336	1431	15.07	-16.34	0.01
127	SLD 13	-17	-126	1502	2.94	-12.71	0
127	SLD 14	-17	-126	1502	2.94	-12.71	0
127	SLD 15	-21	-241	1439	7.79	-16.66	0.01
127	SLD 16	-21	-241	1439	7.79	-16.66	0.01
127	SLV 1	12	139	1870	7.43	13.84	-0.03
127	SLV 2	12	139	1870	7.43	13.84	-0.03
127	SLV 3	2	-135	1715	18.95	4.11	-0.01
127	SLV 4	2	-135	1715	18.95	4.11	-0.01
127	SLV 5	10	367	1891	-9.86	13.55	-0.04
127	SLV 6	10	367	1891	-9.86	13.55	-0.04
127	SLV 7	-22	-545	1376	28.54	-18.89	0.02
127	SLV 8	-22	-545	1376	28.54	-18.89	0.02
127	SLV 9	-1	288	1754	-13.17	3.56	-0.02
127	SLV 10	-1	288	1754	-13.17	3.56	-0.02
127	SLV 11	-33	-624	1239	25.23	-28.87	0.03
127	SLV 12	-33	-624	1239	25.23	-28.87	0.03
127	SLV 13	-25	-122	1415	-3.58	-19.44	0.01
127	SLV 14	-25	-122	1415	-3.58	-19.44	0.01
127	SLV 15	-35	-396	1260	7.94	-29.17	0.03
127	SLV 16	-35	-396	1260	7.94	-29.17	0.03
128	SLU 1	0	-38	2068	0.87	-0.56	0
128	SLU 2	-5	-10	2117	-0.49	-4.92	0.03
128	SLU 3	0	-38	2068	0.87	-0.56	0
128	SLU 4	-3	-21	2098	0.05	-3.18	0.02
128	SLU 5	-5	-10	2117	-0.49	-4.92	0.03
128	SLU 6	0	-38	2068	0.87	-0.56	0
128	SLU 7	-3	-21	2098	0.05	-3.18	0.02
128	SLU 8	0	-38	2068	0.87	-0.56	0
128	SLU 9	-3	-21	2098	0.05	-3.18	0.02
128	SLU 10	-5	-24	2285	0.17	-5.04	0.03
128	SLU 11	0	-52	2235	1.52	-0.68	0
128	SLU 12	-3	-35	2265	0.71	-3.29	0.02
128	SLU 13	-5	-24	2285	0.17	-5.04	0.03
128	SLU 14	0	-52	2235	1.52	-0.68	0
128	SLU 15	-3	-35	2265	0.71	-3.29	0.02
128	SLU 16	0	-52	2235	1.52	-0.68	0
128	SLU 17	-3	-35	2265	0.71	-3.29	0.02
128	SLU 18	-1	-58	2307	1.81	-0.72	0
128	SLU 19	-1	-41	2337	1	-3.34	0.02
128	SLU 20	-3	-58	2307	1.81	-0.72	0
128	SLU 21	-3	-41	2337	1	-3.34	0.02
128	SLU 22	0	-45	2153	1.2	-0.62	0
128	SLU 23	-5	-17	2203	-0.16	-4.98	0.03
128	SLU 24	0	-45	2153	1.2	-0.62	0
128	SLU 25	-3	-28	2183	0.39	-3.24	0.02
128	SLU 26	-5	-17	2203	-0.16	-4.98	0.03
128	SLU 27	0	-45	2153	1.2	-0.62	0
128	SLU 28	-3	-28	2183	0.39	-3.24	0.02
128	SLU 29	0	-45	2153	1.2	-0.62	0
128	SLU 30	-3	-28	2183	0.39	-3.24	0.02
128	SLU 31	-5	-30	2370	0.5	-5.09	0.03
128	SLU 32	-1	-59	2321	1.86	-0.73	0
128	SLU 33	-3	-42	2350	1.04	-3.35	0.02
128	SLU 34	-5	-30	2370	0.5	-5.09	0.03
128	SLU 35	-1	-59	2321	1.86	-0.73	0
128	SLU 36	-3	-42	2350	1.04	-3.35	0.02
128	SLU 37	-1	-59	2321	1.86	-0.73	0
128	SLU 38	-3	-42	2350	1.04	-3.35	0.02
128	SLU 39	-1	-64	2392	2.14	-0.78	0
128	SLU 40	-3	-48	2422	1.33	-3.4	0.02
128	SLU 41	-1	-64	2392	2.14	-0.78	0
128	SLU 42	-3	-48	2422	1.33	-3.4	0.02
128	SLU 43	-1	-47	2659	1.01	-0.71	0
128	SLU 44	-5	-19	2708	-0.34	-5.07	0.03



Nodo Ind.	Cont. N.br.	Reazione a traslazione			Reazione a rotazione		
		x	y	z	x	y	z
128	SLU 45	-1	-47	2659	1.01	-0.71	0
128	SLU 46	-3	-30	2689	0.2	-3.33	0.02
128	SLU 47	-5	-19	2708	-0.34	-5.07	0.03
128	SLU 48	-1	-47	2659	1.01	-0.71	0
128	SLU 49	-3	-30	2689	0.2	-3.33	0.02
128	SLU 50	-1	-47	2659	1.01	-0.71	0
128	SLU 51	-3	-30	2689	0.2	-3.33	0.02
128	SLU 52	-5	-33	2876	0.32	-5.19	0.03
128	SLU 53	-1	-61	2826	1.67	-0.82	0
128	SLU 54	-3	-44	2856	0.86	-3.44	0.02
128	SLU 55	-5	-33	2876	0.32	-5.19	0.03
128	SLU 56	-1	-61	2826	1.67	-0.82	0
128	SLU 57	-3	-44	2856	0.86	-3.44	0.02
128	SLU 58	-1	-61	2826	1.67	-0.82	0
128	SLU 59	-3	-44	2856	0.86	-3.44	0.02
128	SLU 60	-1	-67	2898	1.95	-0.87	0
128	SLU 61	-3	-50	2928	1.14	-3.49	0.02
128	SLU 62	-1	-67	2898	1.95	-0.87	0
128	SLU 63	-3	-50	2928	1.14	-3.49	0.02
128	SLU 64	-1	-54	2744	1.34	-0.77	0
128	SLU 65	-5	-26	2794	-0.01	-5.13	0.03
128	SLU 66	-1	-54	2744	1.34	-0.77	0
128	SLU 67	-3	-37	2774	0.53	-3.39	0.02
128	SLU 68	-5	-26	2794	-0.01	-5.13	0.03
128	SLU 69	-1	-54	2744	1.34	-0.77	0
128	SLU 70	-3	-37	2774	0.53	-3.39	0.02
128	SLU 71	-1	-54	2744	1.34	-0.77	0
128	SLU 72	-3	-37	2774	0.53	-3.39	0.02
128	SLU 73	-5	-40	2961	0.65	-5.24	0.03
128	SLU 74	-1	-68	2912	2	-0.88	0
128	SLU 75	-3	-51	2941	1.19	-3.5	0.02
128	SLU 76	-5	-40	2961	0.65	-5.24	0.03
128	SLU 77	-1	-68	2912	2	-0.88	0
128	SLU 78	-3	-51	2941	1.19	-3.5	0.02
128	SLU 79	-1	-68	2912	2	-0.88	0
128	SLU 80	-3	-51	2941	1.19	-3.5	0.02
128	SLU 81	-1	-74	2983	2.29	-0.93	0
128	SLU 82	-3	-57	3013	1.47	-3.55	0.02
128	SLU 83	-1	-74	2983	2.29	-0.93	0
128	SLU 84	-3	-57	3013	1.47	-3.55	0.02
128	SLE RA 1	0	-40	2092	0.96	-0.58	0
128	SLE RA 2	-3	-21	2125	0.06	-3.49	0.02
128	SLE RA 3	0	-40	2092	0.96	-0.58	0
128	SLE RA 4	-2	-29	2112	0.42	-2.32	0.01
128	SLE RA 5	-3	-21	2125	0.06	-3.49	0.02
128	SLE RA 6	0	-40	2092	0.96	-0.58	0
128	SLE RA 7	-2	-29	2112	0.42	-2.32	0.01
128	SLE RA 8	0	-40	2092	0.96	-0.58	0
128	SLE RA 9	-2	-29	2112	0.42	-2.32	0.01
128	SLE RA 10	-3	-30	2237	0.5	-3.56	0.02
128	SLE RA 11	0	-49	2204	1.4	-0.65	0
128	SLE RA 12	-2	-38	2224	0.86	-2.4	0.01
128	SLE RA 13	-3	-30	2237	0.5	-3.56	0.02
128	SLE RA 14	0	-49	2204	1.4	-0.65	0
128	SLE RA 15	-2	-38	2224	0.86	-2.4	0.01
128	SLE RA 16	0	-49	2204	1.4	-0.65	0
128	SLE RA 17	-2	-38	2224	0.86	-2.4	0.01
128	SLE RA 18	-1	-53	2252	1.59	-0.69	0
128	SLE RA 19	-2	-42	2271	1.05	-2.43	0.01
128	SLE RA 20	-1	-53	2252	1.59	-0.69	0
128	SLE RA 21	-2	-42	2271	1.05	-2.43	0.01
128	SLE FR 1	0	-40	2092	0.96	-0.58	0
128	SLE FR 2	-1	-36	2099	0.78	-1.16	0.01
128	SLE FR 3	0	-40	2092	0.96	-0.58	0
128	SLE FR 4	-1	-40	2147	0.97	-1.19	0.01
128	SLE FR 5	0	-44	2140	1.15	-0.61	0
128	SLE FR 6	0	-47	2172	1.27	-0.63	0
128	SLE QP 1	0	-40	2092	0.96	-0.58	0
128	SLE QP 2	0	-44	2140	1.15	-0.61	0
128	SLD 1	13	-45	2062	1.22	13.8	-0.08
128	SLD 2	13	-45	2062	1.22	13.8	-0.08
128	SLD 3	21	-160	2026	5.66	20.48	-0.13
128	SLD 4	21	-160	2026	5.66	20.48	-0.13
128	SLD 5	-9	129	2172	-5.57	-6.43	0.05
128	SLD 6	-9	129	2172	-5.57	-6.43	0.05
128	SLD 7	18	-252	2051	9.24	15.86	-0.11
128	SLD 8	18	-252	2051	9.24	15.86	-0.11
128	SLD 9	-19	164	2229	-6.94	-17.08	0.12
128	SLD 10	-19	164	2229	-6.94	-17.08	0.12
128	SLD 11	8	-217	2109	7.86	5.21	-0.05
128	SLD 12	8	-217	2109	7.86	5.21	-0.05
128	SLD 13	-22	72	2254	-3.37	-21.71	0.14
128	SLD 14	-22	72	2254	-3.37	-21.71	0.14
128	SLD 15	-14	-42	2218	1.08	-15.02	0.09
128	SLD 16	-14	-42	2218	1.08	-15.02	0.09
128	SLV 1	32	-48	1954	1.34	33.74	-0.2
128	SLV 2	32	-48	1954	1.34	33.74	-0.2
128	SLV 3	53	-320	1866	11.96	50.73	-0.33



Nodo Ind.	Cont. N.br.	Reazione a traslazione			Reazione a rotazione		
		x	y	z	x	y	z
128	SLV 4	53	-320	1866	11.96	50.73	-0.33
128	SLV 5	-22	367	2218	-14.9	-16.07	0.14
128	SLV 6	-22	367	2218	-14.9	-16.07	0.14
128	SLV 7	47	-539	1924	20.5	40.55	-0.29
128	SLV 8	47	-539	1924	20.5	40.55	-0.29
128	SLV 9	-48	451	2356	-18.2	-41.78	0.3
128	SLV 10	-48	451	2356	-18.2	-41.78	0.3
128	SLV 11	21	-455	2062	17.2	14.85	-0.13
128	SLV 12	21	-455	2062	17.2	14.85	-0.13
128	SLV 13	-54	232	2414	-9.67	-51.95	0.33
128	SLV 14	-54	232	2414	-9.67	-51.95	0.33
128	SLV 15	-33	-40	2326	0.95	-34.96	0.2
128	SLV 16	-33	-40	2326	0.95	-34.96	0.2
129	SLU 1	-3	73	744	-6.26	-2.48	0
129	SLU 2	-5	149	844	-10.14	-4.52	0
129	SLU 3	-3	73	744	-6.26	-2.48	0
129	SLU 4	-4	119	804	-8.58	-3.71	0
129	SLU 5	-5	149	844	-10.14	-4.52	0
129	SLU 6	-3	73	744	-6.26	-2.48	0
129	SLU 7	-4	119	804	-8.58	-3.71	0
129	SLU 8	-3	73	744	-6.26	-2.48	0
129	SLU 9	-4	119	804	-8.58	-3.71	0
129	SLU 10	-5	158	877	-10.93	-4.8	0
129	SLU 11	-4	82	777	-7.05	-2.75	0
129	SLU 12	-4	128	837	-9.38	-3.98	0
129	SLU 13	-5	158	877	-10.93	-4.8	0
129	SLU 14	-4	82	777	-7.05	-2.75	0
129	SLU 15	-4	128	837	-9.38	-3.98	0
129	SLU 16	-4	82	777	-7.05	-2.75	0
129	SLU 17	-4	128	837	-9.38	-3.98	0
129	SLU 18	-4	86	791	-7.39	-2.87	0
129	SLU 19	-5	131	851	-9.72	-4.1	0
129	SLU 20	-4	86	791	-7.39	-2.87	0
129	SLU 21	-5	131	851	-9.72	-4.1	0
129	SLU 22	-3	78	761	-6.67	-2.62	0
129	SLU 23	-5	154	861	-10.54	-4.66	0
129	SLU 24	-3	78	761	-6.67	-2.62	0
129	SLU 25	-4	123	821	-8.99	-3.85	0
129	SLU 26	-5	154	861	-10.54	-4.66	0
129	SLU 27	-3	78	761	-6.67	-2.62	0
129	SLU 28	-4	123	821	-8.99	-3.85	0
129	SLU 29	-3	78	761	-6.67	-2.62	0
129	SLU 30	-4	123	821	-8.99	-3.85	0
129	SLU 31	-5	162	893	-11.34	-4.94	0
129	SLU 32	-4	87	794	-7.46	-2.89	0
129	SLU 33	-5	132	854	-9.79	-4.12	0
129	SLU 34	-5	162	893	-11.34	-4.94	0
129	SLU 35	-4	87	794	-7.46	-2.89	0
129	SLU 36	-5	132	854	-9.79	-4.12	0
129	SLU 37	-4	87	794	-7.46	-2.89	0
129	SLU 38	-5	132	854	-9.79	-4.12	0
129	SLU 39	-4	91	808	-7.8	-3.01	0
129	SLU 40	-5	136	868	-10.13	-4.24	0
129	SLU 41	-4	91	808	-7.8	-3.01	0
129	SLU 42	-5	136	868	-10.13	-4.24	0
129	SLU 43	-4	94	961	-7.99	-3.17	0
129	SLU 44	-5	170	1061	-11.87	-5.22	0
129	SLU 45	-4	94	961	-7.99	-3.17	0
129	SLU 46	-5	139	1021	-10.32	-4.4	0
129	SLU 47	-5	170	1061	-11.87	-5.22	0
129	SLU 48	-4	94	961	-7.99	-3.17	0
129	SLU 49	-5	139	1021	-10.32	-4.4	0
129	SLU 50	-4	94	961	-7.99	-3.17	0
129	SLU 51	-5	139	1021	-10.32	-4.4	0
129	SLU 52	-6	178	1094	-12.67	-5.49	0
129	SLU 53	-4	103	994	-8.79	-3.45	0
129	SLU 54	-5	148	1054	-11.12	-4.68	0
129	SLU 55	-6	178	1094	-12.67	-5.49	0
129	SLU 56	-4	103	994	-8.79	-3.45	0
129	SLU 57	-5	148	1054	-11.12	-4.68	0
129	SLU 58	-4	103	994	-8.79	-3.45	0
129	SLU 59	-5	148	1054	-11.12	-4.68	0
129	SLU 60	-5	107	1008	-9.13	-3.56	0
129	SLU 61	-6	152	1068	-11.46	-4.79	0
129	SLU 62	-5	107	1008	-9.13	-3.56	0
129	SLU 63	-6	152	1068	-11.46	-4.79	0
129	SLU 64	-4	98	978	-8.4	-3.31	0
129	SLU 65	-6	174	1078	-12.28	-5.36	0
129	SLU 66	-4	98	978	-8.4	-3.31	0
129	SLU 67	-5	144	1038	-10.73	-4.54	0
129	SLU 68	-6	174	1078	-12.28	-5.36	0
129	SLU 69	-4	98	978	-8.4	-3.31	0
129	SLU 70	-5	144	1038	-10.73	-4.54	0
129	SLU 71	-4	98	978	-8.4	-3.31	0
129	SLU 72	-5	144	1038	-10.73	-4.54	0
129	SLU 73	-6	183	1111	-13.08	-5.63	0
129	SLU 74	-5	107	1011	-9.2	-3.59	0
129	SLU 75	-6	153	1071	-11.53	-4.81	0



Nodo Ind.	Cont. N.br.	Reazione a traslazione			Reazione a rotazione		
		x	y	z	x	y	z
129	SLU 76	-6	183	1111	-13.08	-5.63	0
129	SLU 77	-5	107	1011	-9.2	-3.59	0
129	SLU 78	-6	153	1071	-11.53	-4.81	0
129	SLU 79	-5	107	1011	-9.2	-3.59	0
129	SLU 80	-6	153	1071	-11.53	-4.81	0
129	SLU 81	-5	111	1025	-9.54	-3.7	0
129	SLU 82	-6	156	1085	-11.87	-4.93	0
129	SLU 83	-5	111	1025	-9.54	-3.7	0
129	SLU 84	-6	156	1085	-11.87	-4.93	0
129	SLE RA 1	-3	75	749	-6.37	-2.52	0
129	SLE RA 2	-4	125	815	-8.96	-3.88	0
129	SLE RA 3	-3	75	749	-6.37	-2.52	0
129	SLE RA 4	-4	105	789	-7.92	-3.34	0
129	SLE RA 5	-4	125	815	-8.96	-3.88	0
129	SLE RA 6	-3	75	749	-6.37	-2.52	0
129	SLE RA 7	-4	105	789	-7.92	-3.34	0
129	SLE RA 8	-3	75	749	-6.37	-2.52	0
129	SLE RA 9	-4	105	789	-7.92	-3.34	0
129	SLE RA 10	-5	131	837	-9.49	-4.06	0
129	SLE RA 11	-4	81	771	-6.9	-2.7	0
129	SLE RA 12	-4	111	811	-8.46	-3.52	0
129	SLE RA 13	-5	131	837	-9.49	-4.06	0
129	SLE RA 14	-4	81	771	-6.9	-2.7	0
129	SLE RA 15	-4	111	811	-8.46	-3.52	0
129	SLE RA 16	-4	81	771	-6.9	-2.7	0
129	SLE RA 17	-4	111	811	-8.46	-3.52	0
129	SLE RA 18	-4	83	780	-7.13	-2.78	0
129	SLE RA 19	-4	113	820	-8.68	-3.6	0
129	SLE RA 20	-4	83	780	-7.13	-2.78	0
129	SLE RA 21	-4	113	820	-8.68	-3.6	0
129	SLE FR 1	-3	75	749	-6.37	-2.52	0
129	SLE FR 2	-3	85	762	-6.89	-2.79	0
129	SLE FR 3	-3	75	749	-6.37	-2.52	0
129	SLE FR 4	-4	87	771	-7.12	-2.87	0
129	SLE FR 5	-3	77	758	-6.6	-2.6	0
129	SLE FR 6	-3	79	764	-6.75	-2.65	0
129	SLE QP 1	-3	75	749	-6.37	-2.52	0
129	SLE QP 2	-3	77	758	-6.6	-2.6	0
129	SLD 1	3	91	636	-12.66	5.99	0
129	SLD 2	3	91	636	-12.66	5.99	0
129	SLD 3	7	-52	475	-5.91	11.1	0
129	SLD 4	7	-52	475	-5.91	11.1	0
129	SLD 5	-8	298	966	-18.66	-7.78	0.01
129	SLD 6	-8	298	966	-18.66	-7.78	0.01
129	SLD 7	6	-178	428	3.85	9.28	-0.01
129	SLD 8	6	-178	428	3.85	9.28	-0.01
129	SLD 9	-12	333	1088	-17.05	-14.47	0.01
129	SLD 10	-12	333	1088	-17.05	-14.47	0.01
129	SLD 11	1	-143	550	5.46	2.59	0
129	SLD 12	1	-143	550	5.46	2.59	0
129	SLD 13	-14	207	1041	-7.29	-16.3	0.01
129	SLD 14	-14	207	1041	-7.29	-16.3	0.01
129	SLD 15	-9	64	880	-0.54	-11.18	0
129	SLD 16	-9	64	880	-0.54	-11.18	0
129	SLV 1	12	100	434	-21.26	18.88	0
129	SLV 2	12	100	434	-21.26	18.88	0
129	SLV 3	22	-235	53	-5.44	31.6	-0.01
129	SLV 4	22	-235	53	-5.44	31.6	-0.01
129	SLV 5	-14	591	1239	-34.99	-15.45	0.01
129	SLV 6	-14	591	1239	-34.99	-15.45	0.01
129	SLV 7	19	-524	-32	17.74	26.96	-0.01
129	SLV 8	19	-524	-32	17.74	26.96	-0.01
129	SLV 9	-26	678	1548	-30.94	-32.15	0.02
129	SLV 10	-26	678	1548	-30.94	-32.15	0.02
129	SLV 11	7	-437	277	21.79	10.26	-0.01
129	SLV 12	7	-437	277	21.79	10.26	-0.01
129	SLV 13	-29	390	1464	-7.76	-36.79	0.01
129	SLV 14	-29	390	1464	-7.76	-36.79	0.01
129	SLV 15	-19	55	1082	8.06	-24.07	0.01
129	SLV 16	-19	55	1082	8.06	-24.07	0.01
130	SLU 1	-3	78	865	-6.27	-2.05	0
130	SLU 2	-3	162	962	-10.47	-1.85	0
130	SLU 3	-3	78	865	-6.27	-2.05	0
130	SLU 4	-3	128	923	-8.79	-1.93	0
130	SLU 5	-3	162	962	-10.47	-1.85	0
130	SLU 6	-3	78	865	-6.27	-2.05	0
130	SLU 7	-3	128	923	-8.79	-1.93	0
130	SLU 8	-3	78	865	-6.27	-2.05	0
130	SLU 9	-3	128	923	-8.79	-1.93	0
130	SLU 10	-4	172	1023	-11.39	-2.2	0
130	SLU 11	-4	89	925	-7.19	-2.4	0
130	SLU 12	-4	139	984	-9.71	-2.28	0
130	SLU 13	-4	172	1023	-11.39	-2.2	0
130	SLU 14	-4	89	925	-7.19	-2.4	0
130	SLU 15	-4	139	984	-9.71	-2.28	0
130	SLU 16	-4	89	925	-7.19	-2.4	0
130	SLU 17	-4	139	984	-9.71	-2.28	0
130	SLU 18	-4	93	951	-7.59	-2.55	0



Nodo Ind.	Cont. N.br.	Reazione a traslazione			Reazione a rotazione		
		x	y	z	x	y	z
130	SLU 19	-4	144	1010	-10.11	-2.43	0
130	SLU 20	-4	93	951	-7.59	-2.55	0
130	SLU 21	-4	144	1010	-10.11	-2.43	0
130	SLU 22	-4	84	896	-6.74	-2.23	0
130	SLU 23	-3	167	993	-10.95	-2.03	0
130	SLU 24	-4	84	896	-6.74	-2.23	0
130	SLU 25	-3	134	954	-9.27	-2.11	0
130	SLU 26	-3	167	993	-10.95	-2.03	0
130	SLU 27	-4	84	896	-6.74	-2.23	0
130	SLU 28	-3	134	954	-9.27	-2.11	0
130	SLU 29	-4	84	896	-6.74	-2.23	0
130	SLU 30	-3	134	954	-9.27	-2.11	0
130	SLU 31	-4	178	1054	-11.87	-2.38	0
130	SLU 32	-4	94	956	-7.66	-2.58	0
130	SLU 33	-4	145	1015	-10.18	-2.46	0
130	SLU 34	-4	178	1054	-11.87	-2.38	0
130	SLU 35	-4	94	956	-7.66	-2.58	0
130	SLU 36	-4	145	1015	-10.18	-2.46	0
130	SLU 37	-4	94	956	-7.66	-2.58	0
130	SLU 38	-4	145	1015	-10.18	-2.46	0
130	SLU 39	-4	99	982	-8.06	-2.73	0
130	SLU 40	-4	149	1041	-10.58	-2.61	0
130	SLU 41	-4	99	982	-8.06	-2.73	0
130	SLU 42	-4	149	1041	-10.58	-2.61	0
130	SLU 43	-4	100	1114	-7.99	-2.6	0
130	SLU 44	-4	183	1211	-12.19	-2.4	0
130	SLU 45	-4	100	1114	-7.99	-2.6	0
130	SLU 46	-4	150	1172	-10.51	-2.48	0
130	SLU 47	-4	183	1211	-12.19	-2.4	0
130	SLU 48	-4	100	1114	-7.99	-2.6	0
130	SLU 49	-4	150	1172	-10.51	-2.48	0
130	SLU 50	-4	100	1114	-7.99	-2.6	0
130	SLU 51	-4	150	1172	-10.51	-2.48	0
130	SLU 52	-4	194	1272	-13.11	-2.75	0
130	SLU 53	-5	110	1174	-8.91	-2.95	0
130	SLU 54	-5	161	1233	-11.43	-2.83	0
130	SLU 55	-4	194	1272	-13.11	-2.75	0
130	SLU 56	-5	110	1174	-8.91	-2.95	0
130	SLU 57	-5	161	1233	-11.43	-2.83	0
130	SLU 58	-5	110	1174	-8.91	-2.95	0
130	SLU 59	-5	161	1233	-11.43	-2.83	0
130	SLU 60	-5	115	1200	-9.31	-3.1	0
130	SLU 61	-5	165	1259	-11.83	-2.99	0
130	SLU 62	-5	115	1200	-9.31	-3.1	0
130	SLU 63	-5	165	1259	-11.83	-2.99	0
130	SLU 64	-4	105	1145	-8.46	-2.78	0
130	SLU 65	-4	189	1242	-12.67	-2.58	0
130	SLU 66	-4	105	1145	-8.46	-2.78	0
130	SLU 67	-4	155	1203	-10.99	-2.66	0
130	SLU 68	-4	189	1242	-12.67	-2.58	0
130	SLU 69	-4	105	1145	-8.46	-2.78	0
130	SLU 70	-4	155	1203	-10.99	-2.66	0
130	SLU 71	-4	105	1145	-8.46	-2.78	0
130	SLU 72	-4	155	1203	-10.99	-2.66	0
130	SLU 73	-5	199	1303	-13.59	-2.94	0
130	SLU 74	-5	116	1205	-9.38	-3.13	0
130	SLU 75	-5	166	1264	-11.91	-3.01	0
130	SLU 76	-5	199	1303	-13.59	-2.94	0
130	SLU 77	-5	116	1205	-9.38	-3.13	0
130	SLU 78	-5	166	1264	-11.91	-3.01	0
130	SLU 79	-5	116	1205	-9.38	-3.13	0
130	SLU 80	-5	166	1264	-11.91	-3.01	0
130	SLU 81	-5	120	1231	-9.78	-3.28	0
130	SLU 82	-5	171	1290	-12.3	-3.17	0
130	SLU 83	-5	120	1231	-9.78	-3.28	0
130	SLU 84	-5	171	1290	-12.3	-3.17	0
130	SLE RA 1	-3	80	874	-6.41	-2.1	0
130	SLE RA 2	-3	135	939	-9.21	-1.97	0
130	SLE RA 3	-3	80	874	-6.41	-2.1	0
130	SLE RA 4	-3	113	913	-8.09	-2.02	0
130	SLE RA 5	-3	135	939	-9.21	-1.97	0
130	SLE RA 6	-3	80	874	-6.41	-2.1	0
130	SLE RA 7	-3	113	913	-8.09	-2.02	0
130	SLE RA 8	-3	80	874	-6.41	-2.1	0
130	SLE RA 9	-3	113	913	-8.09	-2.02	0
130	SLE RA 10	-4	143	979	-9.82	-2.2	0
130	SLE RA 11	-4	87	914	-7.02	-2.33	0
130	SLE RA 12	-4	120	953	-8.7	-2.25	0
130	SLE RA 13	-4	143	979	-9.82	-2.2	0
130	SLE RA 14	-4	87	914	-7.02	-2.33	0
130	SLE RA 15	-4	120	953	-8.7	-2.25	0
130	SLE RA 16	-4	87	914	-7.02	-2.33	0
130	SLE RA 17	-4	120	953	-8.7	-2.25	0
130	SLE RA 18	-4	90	931	-7.28	-2.43	0
130	SLE RA 19	-4	123	970	-8.96	-2.36	0
130	SLE RA 20	-4	90	931	-7.28	-2.43	0
130	SLE RA 21	-4	123	970	-8.96	-2.36	0
130	SLE FR 1	-3	80	874	-6.41	-2.1	0



Nodo Ind.	Cont. N.br.	Reazione a traslazione			Reazione a rotazione		
		x	y	z	x	y	z
130	SLE FR 2	-3	91	887	-6.97	-2.07	0
130	SLE FR 3	-3	80	874	-6.41	-2.1	0
130	SLE FR 4	-3	94	904	-7.23	-2.17	0
130	SLE FR 5	-3	83	891	-6.67	-2.2	0
130	SLE FR 6	-4	85	902	-6.85	-2.27	0
130	SLE QP 1	-3	80	874	-6.41	-2.1	0
130	SLE QP 2	-3	83	891	-6.67	-2.2	0
130	SLD 1	1	206	744	-12.66	5.07	0
130	SLD 2	1	206	744	-12.66	5.07	0
130	SLD 3	5	79	594	-6.59	10.21	0
130	SLD 4	5	79	594	-6.59	10.21	0
130	SLD 5	-8	313	1074	-17.67	-7.82	0
130	SLD 6	-8	313	1074	-17.67	-7.82	0
130	SLD 7	5	-112	575	2.55	9.33	0
130	SLD 8	5	-112	575	2.55	9.33	0
130	SLD 9	-12	277	1207	-15.89	-13.73	0
130	SLD 10	-12	277	1207	-15.89	-13.73	0
130	SLD 11	1	-148	707	4.33	3.43	0
130	SLD 12	1	-148	707	4.33	3.43	0
130	SLD 13	-12	86	1187	-6.75	-14.61	0
130	SLD 14	-12	86	1187	-6.75	-14.61	0
130	SLD 15	-8	-41	1037	-0.68	-9.46	0
130	SLD 16	-8	-41	1037	-0.68	-9.46	0
130	SLV 1	8	381	504	-21.12	16.34	0
130	SLV 2	8	381	504	-21.12	16.34	0
130	SLV 3	18	83	150	-6.94	28.5	0
130	SLV 4	18	83	150	-6.94	28.5	0
130	SLV 5	-14	624	1311	-32.51	-15.08	0.01
130	SLV 6	-14	624	1311	-32.51	-15.08	0.01
130	SLV 7	17	-369	133	14.75	25.46	-0.01
130	SLV 8	17	-369	133	14.75	25.46	-0.01
130	SLV 9	-24	535	1649	-28.09	-29.86	0.01
130	SLV 10	-24	535	1649	-28.09	-29.86	0.01
130	SLV 11	7	-459	471	19.17	10.69	0
130	SLV 12	7	-459	471	19.17	10.69	0
130	SLV 13	-25	82	1632	-6.4	-32.9	0.01
130	SLV 14	-25	82	1632	-6.4	-32.9	0.01
130	SLV 15	-15	-216	1278	7.78	-20.74	0
130	SLV 16	-15	-216	1278	7.78	-20.74	0
131	SLU 1	-11	-50	1539	-0.26	-7.27	0
131	SLU 2	-9	-21	1583	-2.14	-5.01	0
131	SLU 3	-11	-50	1539	-0.26	-7.27	0
131	SLU 4	-10	-33	1566	-1.39	-5.91	0
131	SLU 5	-9	-21	1583	-2.14	-5.01	0
131	SLU 6	-11	-50	1539	-0.26	-7.27	0
131	SLU 7	-10	-33	1566	-1.39	-5.91	0
131	SLU 8	-11	-50	1539	-0.26	-7.27	0
131	SLU 9	-10	-33	1566	-1.39	-5.91	0
131	SLU 10	-10	-25	1705	-1.95	-5.86	0
131	SLU 11	-12	-54	1660	-0.07	-8.12	0
131	SLU 12	-11	-37	1687	-1.2	-6.77	0
131	SLU 13	-10	-25	1705	-1.95	-5.86	0
131	SLU 14	-12	-54	1660	-0.07	-8.12	0
131	SLU 15	-11	-37	1687	-1.2	-6.77	0
131	SLU 16	-12	-54	1660	-0.07	-8.12	0
131	SLU 17	-11	-37	1687	-1.2	-6.77	0
131	SLU 18	-13	-55	1713	0.01	-8.49	0
131	SLU 19	-11	-38	1739	-1.12	-7.13	0
131	SLU 20	-13	-55	1713	0.01	-8.49	0
131	SLU 21	-11	-38	1739	-1.12	-7.13	0
131	SLU 22	-12	-52	1601	-0.17	-7.7	0
131	SLU 23	-10	-23	1645	-2.05	-5.45	0
131	SLU 24	-12	-52	1601	-0.17	-7.7	0
131	SLU 25	-10	-34	1628	-1.3	-6.35	0
131	SLU 26	-10	-23	1645	-2.05	-5.45	0
131	SLU 27	-12	-52	1601	-0.17	-7.7	0
131	SLU 28	-10	-34	1628	-1.3	-6.35	0
131	SLU 29	-12	-52	1601	-0.17	-7.7	0
131	SLU 30	-10	-34	1628	-1.3	-6.35	0
131	SLU 31	-11	-27	1767	-1.86	-6.3	0
131	SLU 32	-13	-56	1723	0.02	-8.56	0
131	SLU 33	-12	-39	1749	-1.11	-7.2	0
131	SLU 34	-11	-27	1767	-1.86	-6.3	0
131	SLU 35	-13	-56	1723	0.02	-8.56	0
131	SLU 36	-12	-39	1749	-1.11	-7.2	0
131	SLU 37	-13	-56	1723	0.02	-8.56	0
131	SLU 38	-12	-39	1749	-1.11	-7.2	0
131	SLU 39	-13	-57	1775	0.1	-8.92	0
131	SLU 40	-12	-40	1801	-1.02	-7.57	0
131	SLU 41	-13	-57	1775	0.1	-8.92	0
131	SLU 42	-12	-40	1801	-1.02	-7.57	0
131	SLU 43	-14	-64	1979	-0.37	-9.3	0
131	SLU 44	-12	-35	2024	-2.25	-7.04	0
131	SLU 45	-14	-64	1979	-0.37	-9.3	0
131	SLU 46	-13	-47	2006	-1.5	-7.95	0
131	SLU 47	-12	-35	2024	-2.25	-7.04	0
131	SLU 48	-14	-64	1979	-0.37	-9.3	0
131	SLU 49	-13	-47	2006	-1.5	-7.95	0



Nodo Ind.	Cont. N.br.	Reazione a traslazione			Reazione a rotazione		
		x	y	z	x	y	z
131	SLU 50	-14	-64	1979	-0.37	-9.3	0
131	SLU 51	-13	-47	2006	-1.5	-7.95	0
131	SLU 52	-13	-39	2145	-2.06	-7.9	0
131	SLU 53	-15	-68	2101	-0.18	-10.15	0
131	SLU 54	-14	-51	2127	-1.31	-8.8	0
131	SLU 55	-13	-39	2145	-2.06	-7.9	0
131	SLU 56	-15	-68	2101	-0.18	-10.15	0
131	SLU 57	-14	-51	2127	-1.31	-8.8	0
131	SLU 58	-15	-68	2101	-0.18	-10.15	0
131	SLU 59	-14	-51	2127	-1.31	-8.8	0
131	SLU 60	-16	-70	2153	-0.1	-10.52	0
131	SLU 61	-15	-53	2180	-1.23	-9.16	0
131	SLU 62	-16	-70	2153	-0.1	-10.52	0
131	SLU 63	-15	-53	2180	-1.23	-9.16	0
131	SLU 64	-15	-66	2041	-0.28	-9.74	0
131	SLU 65	-13	-37	2086	-2.16	-7.48	0
131	SLU 66	-15	-66	2041	-0.28	-9.74	0
131	SLU 67	-13	-49	2068	-1.41	-8.38	0
131	SLU 68	-13	-37	2086	-2.16	-7.48	0
131	SLU 69	-15	-66	2041	-0.28	-9.74	0
131	SLU 70	-13	-49	2068	-1.41	-8.38	0
131	SLU 71	-15	-66	2041	-0.28	-9.74	0
131	SLU 72	-13	-49	2068	-1.41	-8.38	0
131	SLU 73	-14	-41	2207	-1.97	-8.33	0
131	SLU 74	-16	-70	2163	-0.09	-10.59	0
131	SLU 75	-15	-53	2190	-1.22	-9.23	0
131	SLU 76	-14	-41	2207	-1.97	-8.33	0
131	SLU 77	-16	-70	2163	-0.09	-10.59	0
131	SLU 78	-15	-53	2190	-1.22	-9.23	0
131	SLU 79	-16	-70	2163	-0.09	-10.59	0
131	SLU 80	-15	-53	2190	-1.22	-9.23	0
131	SLU 81	-16	-72	2215	-0.01	-10.95	0
131	SLU 82	-15	-54	2242	-1.14	-9.6	0
131	SLU 83	-16	-72	2215	-0.01	-10.95	0
131	SLU 84	-15	-54	2242	-1.14	-9.6	0
131	SLE RA 1	-11	-50	1557	-0.24	-7.39	0
131	SLE RA 2	-10	-31	1586	-1.49	-5.89	0
131	SLE RA 3	-11	-50	1557	-0.24	-7.39	0
131	SLE RA 4	-10	-39	1574	-0.99	-6.49	0
131	SLE RA 5	-10	-31	1586	-1.49	-5.89	0
131	SLE RA 6	-11	-50	1557	-0.24	-7.39	0
131	SLE RA 7	-10	-39	1574	-0.99	-6.49	0
131	SLE RA 8	-11	-50	1557	-0.24	-7.39	0
131	SLE RA 9	-10	-39	1574	-0.99	-6.49	0
131	SLE RA 10	-11	-34	1667	-1.36	-6.46	0
131	SLE RA 11	-12	-53	1638	-0.11	-7.96	0
131	SLE RA 12	-11	-41	1655	-0.86	-7.06	0
131	SLE RA 13	-11	-34	1667	-1.36	-6.46	0
131	SLE RA 14	-12	-53	1638	-0.11	-7.96	0
131	SLE RA 15	-11	-41	1655	-0.86	-7.06	0
131	SLE RA 16	-12	-53	1638	-0.11	-7.96	0
131	SLE RA 17	-11	-41	1655	-0.86	-7.06	0
131	SLE RA 18	-12	-54	1672	-0.05	-8.2	0
131	SLE RA 19	-12	-43	1690	-0.81	-7.3	0
131	SLE RA 20	-12	-54	1672	-0.05	-8.2	0
131	SLE RA 21	-12	-43	1690	-0.81	-7.3	0
131	SLE FR 1	-11	-50	1557	-0.24	-7.39	0
131	SLE FR 2	-11	-46	1563	-0.49	-7.09	0
131	SLE FR 3	-11	-50	1557	-0.24	-7.39	0
131	SLE FR 4	-11	-48	1597	-0.43	-7.34	0
131	SLE FR 5	-12	-51	1591	-0.18	-7.64	0
131	SLE FR 6	-12	-52	1615	-0.15	-7.8	0
131	SLE QP 1	-11	-50	1557	-0.24	-7.39	0
131	SLE QP 2	-12	-51	1591	-0.18	-7.64	0
131	SLD 1	-1	56	1660	-5.2	1.42	0
131	SLD 2	-1	56	1660	-5.2	1.42	0
131	SLD 3	-6	-53	1717	-0.37	-2.66	0.01
131	SLD 4	-6	-53	1717	-0.37	-2.66	0.01
131	SLD 5	-2	146	1525	-9.01	1.28	-0.01
131	SLD 6	-2	146	1525	-9.01	1.28	-0.01
131	SLD 7	-17	-217	1716	7.08	-12.34	0.01
131	SLD 8	-17	-217	1716	7.08	-12.34	0.01
131	SLD 9	-6	114	1467	-7.45	-2.93	-0.01
131	SLD 10	-6	114	1467	-7.45	-2.93	-0.01
131	SLD 11	-21	-248	1658	8.64	-16.55	0.01
131	SLD 12	-21	-248	1658	8.64	-16.55	0.01
131	SLD 13	-17	-50	1465	0.01	-12.61	-0.01
131	SLD 14	-17	-50	1465	0.01	-12.61	-0.01
131	SLD 15	-22	-158	1523	4.83	-16.7	0
131	SLD 16	-22	-158	1523	4.83	-16.7	0
131	SLV 1	13	204	1755	-12.22	14.17	0
131	SLV 2	13	204	1755	-12.22	14.17	0
131	SLV 3	1	-55	1894	-0.71	3.91	0.01
131	SLV 4	1	-55	1894	-0.71	3.91	0.01
131	SLV 5	13	417	1429	-21.24	14.47	-0.01
131	SLV 6	13	417	1429	-21.24	14.47	-0.01
131	SLV 7	-25	-444	1894	17.11	-19.74	0.02
131	SLV 8	-25	-444	1894	17.11	-19.74	0.02



Nodo Ind.	Cont. N.br.	Reazione a traslazione			Reazione a rotazione		
		x	y	z	x	y	z
131	SLV 9	1	341	1289	-17.47	4.47	-0.02
131	SLV 10	1	341	1289	-17.47	4.47	-0.02
131	SLV 11	-36	-519	1754	20.88	-29.75	0.01
131	SLV 12	-36	-519	1754	20.88	-29.75	0.01
131	SLV 13	-24	-48	1289	0.35	-19.18	-0.01
131	SLV 14	-24	-48	1289	0.35	-19.18	-0.01
131	SLV 15	-36	-306	1428	11.85	-29.45	0
131	SLV 16	-36	-306	1428	11.85	-29.45	0
132	SLU 1	0	-118	2079	5.13	-0.46	0
132	SLU 2	-5	-106	2109	4.92	-5.04	0.02
132	SLU 3	0	-118	2079	5.13	-0.46	0
132	SLU 4	-3	-111	2097	5	-3.21	0.01
132	SLU 5	-5	-106	2109	4.92	-5.04	0.02
132	SLU 6	0	-118	2079	5.13	-0.46	0
132	SLU 7	-3	-111	2097	5	-3.21	0.01
132	SLU 8	0	-118	2079	5.13	-0.46	0
132	SLU 9	-3	-111	2097	5	-3.21	0.01
132	SLU 10	-5	-115	2293	5.22	-5.19	0.02
132	SLU 11	0	-128	2263	5.43	-0.6	0
132	SLU 12	-3	-120	2281	5.3	-3.35	0.01
132	SLU 13	-5	-115	2293	5.22	-5.19	0.02
132	SLU 14	0	-128	2263	5.43	-0.6	0
132	SLU 15	-3	-120	2281	5.3	-3.35	0.01
132	SLU 16	0	-128	2263	5.43	-0.6	0
132	SLU 17	-3	-120	2281	5.3	-3.35	0.01
132	SLU 18	0	-132	2342	5.56	-0.66	0
132	SLU 19	-3	-124	2360	5.43	-3.42	0.01
132	SLU 20	0	-132	2342	5.56	-0.66	0
132	SLU 21	-3	-124	2360	5.43	-3.42	0.01
132	SLU 22	0	-123	2173	5.27	-0.53	0
132	SLU 23	-5	-110	2203	5.07	-5.12	0.02
132	SLU 24	0	-123	2173	5.27	-0.53	0
132	SLU 25	-3	-115	2191	5.15	-3.28	0.01
132	SLU 26	-5	-110	2203	5.07	-5.12	0.02
132	SLU 27	0	-123	2173	5.27	-0.53	0
132	SLU 28	-3	-115	2191	5.15	-3.28	0.01
132	SLU 29	0	-123	2173	5.27	-0.53	0
132	SLU 30	-3	-115	2191	5.15	-3.28	0.01
132	SLU 31	-5	-120	2387	5.36	-5.26	0.02
132	SLU 32	0	-133	2357	5.57	-0.68	0
132	SLU 33	-3	-125	2375	5.45	-3.43	0.01
132	SLU 34	-5	-120	2387	5.36	-5.26	0.02
132	SLU 35	0	-133	2357	5.57	-0.68	0
132	SLU 36	-3	-125	2375	5.45	-3.43	0.01
132	SLU 37	0	-133	2357	5.57	-0.68	0
132	SLU 38	-3	-125	2375	5.45	-3.43	0.01
132	SLU 39	0	-137	2436	5.7	-0.74	0
132	SLU 40	-3	-129	2454	5.58	-3.49	0.01
132	SLU 41	0	-137	2436	5.7	-0.74	0
132	SLU 42	-3	-129	2454	5.58	-3.49	0.01
132	SLU 43	0	-152	2671	6.61	-0.57	0
132	SLU 44	-5	-139	2701	6.41	-5.16	0.02
132	SLU 45	0	-152	2671	6.61	-0.57	0
132	SLU 46	-3	-144	2689	6.49	-3.32	0.01
132	SLU 47	-5	-139	2701	6.41	-5.16	0.02
132	SLU 48	0	-152	2671	6.61	-0.57	0
132	SLU 49	-3	-144	2689	6.49	-3.32	0.01
132	SLU 50	0	-152	2671	6.61	-0.57	0
132	SLU 51	-3	-144	2689	6.49	-3.32	0.01
132	SLU 52	-5	-149	2884	6.7	-5.3	0.02
132	SLU 53	0	-162	2855	6.91	-0.71	0
132	SLU 54	-3	-154	2873	6.79	-3.47	0.01
132	SLU 55	-5	-149	2884	6.7	-5.3	0.02
132	SLU 56	0	-162	2855	6.91	-0.71	0
132	SLU 57	-3	-154	2873	6.79	-3.47	0.01
132	SLU 58	0	-162	2855	6.91	-0.71	0
132	SLU 59	-3	-154	2873	6.79	-3.47	0.01
132	SLU 60	0	-166	2934	7.04	-0.78	0
132	SLU 61	-3	-158	2951	6.92	-3.53	0.01
132	SLU 62	0	-166	2934	7.04	-0.78	0
132	SLU 63	-3	-158	2951	6.92	-3.53	0.01
132	SLU 64	0	-157	2765	6.76	-0.64	0
132	SLU 65	-5	-144	2795	6.55	-5.23	0.02
132	SLU 66	0	-157	2765	6.76	-0.64	0
132	SLU 67	-3	-149	2783	6.64	-3.4	0.01
132	SLU 68	-5	-144	2795	6.55	-5.23	0.02
132	SLU 69	0	-157	2765	6.76	-0.64	0
132	SLU 70	-3	-149	2783	6.64	-3.4	0.01
132	SLU 71	0	-157	2765	6.76	-0.64	0
132	SLU 72	-3	-149	2783	6.64	-3.4	0.01
132	SLU 73	-5	-154	2978	6.85	-5.38	0.02
132	SLU 74	0	-167	2949	7.06	-0.79	0
132	SLU 75	-3	-159	2967	6.94	-3.54	0.01
132	SLU 76	-5	-154	2978	6.85	-5.38	0.02
132	SLU 77	0	-167	2949	7.06	-0.79	0
132	SLU 78	-3	-159	2967	6.94	-3.54	0.01
132	SLU 79	0	-167	2949	7.06	-0.79	0
132	SLU 80	-3	-159	2967	6.94	-3.54	0.01



Nodo Ind.	Cont. N.br.	Reazione a traslazione			Reazione a rotazione		
		x	y	z	x	y	z
132	SLU 81	0	-171	3028	7.19	-0.85	0
132	SLU 82	-3	-163	3045	7.06	-3.6	0.01
132	SLU 83	0	-171	3028	7.19	-0.85	0
132	SLU 84	-3	-163	3045	7.06	-3.6	0.01
132	SLE RA 1	0	-120	2106	5.17	-0.48	0
132	SLE RA 2	-3	-111	2126	5.03	-3.54	0.01
132	SLE RA 3	0	-120	2106	5.17	-0.48	0
132	SLE RA 4	-2	-115	2118	5.09	-2.31	0.01
132	SLE RA 5	-3	-111	2126	5.03	-3.54	0.01
132	SLE RA 6	0	-120	2106	5.17	-0.48	0
132	SLE RA 7	-2	-115	2118	5.09	-2.31	0.01
132	SLE RA 8	0	-120	2106	5.17	-0.48	0
132	SLE RA 9	-2	-115	2118	5.09	-2.31	0.01
132	SLE RA 10	-3	-118	2249	5.23	-3.63	0.01
132	SLE RA 11	0	-126	2229	5.37	-0.58	0
132	SLE RA 12	-2	-121	2241	5.29	-2.41	0.01
132	SLE RA 13	-3	-118	2249	5.23	-3.63	0.01
132	SLE RA 14	0	-126	2229	5.37	-0.58	0
132	SLE RA 15	-2	-121	2241	5.29	-2.41	0.01
132	SLE RA 16	0	-126	2229	5.37	-0.58	0
132	SLE RA 17	-2	-121	2241	5.29	-2.41	0.01
132	SLE RA 18	0	-129	2281	5.45	-0.62	0
132	SLE RA 19	-2	-124	2293	5.37	-2.45	0.01
132	SLE RA 20	0	-129	2281	5.45	-0.62	0
132	SLE RA 21	-2	-124	2293	5.37	-2.45	0.01
132	SLE FR 1	0	-120	2106	5.17	-0.48	0
132	SLE FR 2	-1	-118	2110	5.14	-1.09	0
132	SLE FR 3	0	-120	2106	5.17	-0.48	0
132	SLE FR 4	-1	-121	2163	5.23	-1.13	0
132	SLE FR 5	0	-122	2159	5.26	-0.52	0
132	SLE FR 6	0	-124	2194	5.31	-0.55	0
132	SLE QP 1	0	-120	2106	5.17	-0.48	0
132	SLE QP 2	0	-122	2159	5.26	-0.52	0
132	SLD 1	9	-5	2028	0.96	11.04	-0.03
132	SLD 2	9	-5	2028	0.96	11.04	-0.03
132	SLD 3	19	-118	2080	5.09	18.89	-0.08
132	SLD 4	19	-118	2080	5.09	18.89	-0.08
132	SLD 5	-13	85	2039	-2.3	-8.96	0.07
132	SLD 6	-13	85	2039	-2.3	-8.96	0.07
132	SLD 7	21	-294	2215	11.47	17.21	-0.1
132	SLD 8	21	-294	2215	11.47	17.21	-0.1
132	SLD 9	-21	49	2102	-0.96	-18.25	0.1
132	SLD 10	-21	49	2102	-0.96	-18.25	0.1
132	SLD 11	12	-330	2278	12.81	7.92	-0.07
132	SLD 12	12	-330	2278	12.81	7.92	-0.07
132	SLD 13	-20	-127	2237	5.42	-19.93	0.08
132	SLD 14	-20	-127	2237	5.42	-19.93	0.08
132	SLD 15	-10	-240	2290	9.55	-12.08	0.03
132	SLD 16	-10	-240	2290	9.55	-12.08	0.03
132	SLV 1	22	157	1844	-4.92	26.92	-0.06
132	SLV 2	22	157	1844	-4.92	26.92	-0.06
132	SLV 3	47	-112	1975	4.84	46.96	-0.19
132	SLV 4	47	-112	1975	4.84	46.96	-0.19
132	SLV 5	-33	369	1865	-12.6	-22.68	0.18
132	SLV 6	-33	369	1865	-12.6	-22.68	0.18
132	SLV 7	53	-527	2303	19.94	44.12	-0.25
132	SLV 8	53	-527	2303	19.94	44.12	-0.25
132	SLV 9	-54	283	2015	-9.43	-45.16	0.25
132	SLV 10	-54	283	2015	-9.43	-45.16	0.25
132	SLV 11	32	-614	2452	23.11	21.64	-0.18
132	SLV 12	32	-614	2452	23.11	21.64	-0.18
132	SLV 13	-48	-133	2342	5.67	-48	0.19
132	SLV 14	-48	-133	2342	5.67	-48	0.19
132	SLV 15	-22	-402	2473	15.43	-27.96	0.06
132	SLV 16	-22	-402	2473	15.43	-27.96	0.06
133	SLU 1	-3	-13	843	5.15	-2.03	0
133	SLU 2	-4	55	907	2.65	-3.67	0
133	SLU 3	-3	-13	843	5.15	-2.03	0
133	SLU 4	-3	28	881	3.65	-3.01	0
133	SLU 5	-4	55	907	2.65	-3.67	0
133	SLU 6	-3	-13	843	5.15	-2.03	0
133	SLU 7	-3	28	881	3.65	-3.01	0
133	SLU 8	-3	-13	843	5.15	-2.03	0
133	SLU 9	-3	28	881	3.65	-3.01	0
133	SLU 10	-4	56	980	3.51	-3.91	0
133	SLU 11	-3	-12	916	6.01	-2.28	0
133	SLU 12	-4	29	954	4.51	-3.26	0
133	SLU 13	-4	56	980	3.51	-3.91	0
133	SLU 14	-3	-12	916	6.01	-2.28	0
133	SLU 15	-4	29	954	4.51	-3.26	0
133	SLU 16	-3	-12	916	6.01	-2.28	0
133	SLU 17	-4	29	954	4.51	-3.26	0
133	SLU 18	-3	-11	948	6.38	-2.38	0
133	SLU 19	-4	29	986	4.88	-3.36	0
133	SLU 20	-3	-11	948	6.38	-2.38	0
133	SLU 21	-4	29	986	4.88	-3.36	0
133	SLU 22	-3	-12	881	5.59	-2.16	0
133	SLU 23	-4	56	944	3.09	-3.79	0



Nodo Ind.	Cont. N.br.	Reazione a traslazione			Reazione a rotazione		
		x	y	z	x	y	z
133	SLU 24	-3	-12	881	5.59	-2.16	0
133	SLU 25	-4	28	919	4.09	-3.14	0
133	SLU 26	-4	56	944	3.09	-3.79	0
133	SLU 27	-3	-12	881	5.59	-2.16	0
133	SLU 28	-4	28	919	4.09	-3.14	0
133	SLU 29	-3	-12	881	5.59	-2.16	0
133	SLU 30	-4	28	919	4.09	-3.14	0
133	SLU 31	-5	57	1017	3.95	-4.03	0
133	SLU 32	-3	-11	954	6.46	-2.4	0
133	SLU 33	-4	29	992	4.95	-3.38	0
133	SLU 34	-5	57	1017	3.95	-4.03	0
133	SLU 35	-3	-11	954	6.46	-2.4	0
133	SLU 36	-4	29	992	4.95	-3.38	0
133	SLU 37	-3	-11	954	6.46	-2.4	0
133	SLU 38	-4	29	992	4.95	-3.38	0
133	SLU 39	-4	-11	985	6.83	-2.5	0
133	SLU 40	-4	30	1023	5.32	-3.48	0
133	SLU 41	-4	-11	985	6.83	-2.5	0
133	SLU 42	-4	30	1023	5.32	-3.48	0
133	SLU 43	-3	-17	1083	6.55	-2.6	0
133	SLU 44	-5	51	1147	4.04	-4.23	0
133	SLU 45	-3	-17	1083	6.55	-2.6	0
133	SLU 46	-4	24	1121	5.04	-3.58	0
133	SLU 47	-5	51	1147	4.04	-4.23	0
133	SLU 48	-3	-17	1083	6.55	-2.6	0
133	SLU 49	-4	24	1121	5.04	-3.58	0
133	SLU 50	-3	-17	1083	6.55	-2.6	0
133	SLU 51	-4	24	1121	5.04	-3.58	0
133	SLU 52	-5	52	1220	4.9	-4.48	0
133	SLU 53	-4	-16	1156	7.41	-2.84	0
133	SLU 54	-5	25	1195	5.91	-3.82	0
133	SLU 55	-5	52	1220	4.9	-4.48	0
133	SLU 56	-4	-16	1156	7.41	-2.84	0
133	SLU 57	-5	25	1195	5.91	-3.82	0
133	SLU 58	-4	-16	1156	7.41	-2.84	0
133	SLU 59	-5	25	1195	5.91	-3.82	0
133	SLU 60	-4	-15	1188	7.78	-2.95	0
133	SLU 61	-5	25	1226	6.27	-3.93	0
133	SLU 62	-4	-15	1188	7.78	-2.95	0
133	SLU 63	-5	25	1226	6.27	-3.93	0
133	SLU 64	-4	-16	1121	6.99	-2.72	0
133	SLU 65	-5	52	1184	4.48	-4.36	0
133	SLU 66	-4	-16	1121	6.99	-2.72	0
133	SLU 67	-4	24	1159	5.49	-3.7	0
133	SLU 68	-5	52	1184	4.48	-4.36	0
133	SLU 69	-4	-16	1121	6.99	-2.72	0
133	SLU 70	-4	24	1159	5.49	-3.7	0
133	SLU 71	-4	-16	1121	6.99	-2.72	0
133	SLU 72	-4	24	1159	5.49	-3.7	0
133	SLU 73	-5	52	1257	5.34	-4.6	0
133	SLU 74	-4	-15	1194	7.85	-2.97	0
133	SLU 75	-5	25	1232	6.35	-3.95	0
133	SLU 76	-5	52	1257	5.34	-4.6	0
133	SLU 77	-4	-15	1194	7.85	-2.97	0
133	SLU 78	-5	25	1232	6.35	-3.95	0
133	SLU 79	-4	-15	1194	7.85	-2.97	0
133	SLU 80	-5	25	1232	6.35	-3.95	0
133	SLU 81	-4	-15	1225	8.22	-3.07	0
133	SLU 82	-5	26	1263	6.72	-4.05	0
133	SLU 83	-4	-15	1225	8.22	-3.07	0
133	SLU 84	-5	26	1263	6.72	-4.05	0
133	SLE RA 1	-3	-13	854	5.28	-2.07	0
133	SLE RA 2	-4	33	896	3.61	-3.16	0
133	SLE RA 3	-3	-13	854	5.28	-2.07	0
133	SLE RA 4	-3	14	879	4.28	-2.72	0
133	SLE RA 5	-4	33	896	3.61	-3.16	0
133	SLE RA 6	-3	-13	854	5.28	-2.07	0
133	SLE RA 7	-3	14	879	4.28	-2.72	0
133	SLE RA 8	-3	-13	854	5.28	-2.07	0
133	SLE RA 9	-3	14	879	4.28	-2.72	0
133	SLE RA 10	-4	33	945	4.18	-3.32	0
133	SLE RA 11	-3	-12	903	5.85	-2.23	0
133	SLE RA 12	-4	15	928	4.85	-2.88	0
133	SLE RA 13	-4	33	945	4.18	-3.32	0
133	SLE RA 14	-3	-12	903	5.85	-2.23	0
133	SLE RA 15	-4	15	928	4.85	-2.88	0
133	SLE RA 16	-3	-12	903	5.85	-2.23	0
133	SLE RA 17	-4	15	928	4.85	-2.88	0
133	SLE RA 18	-3	-12	924	6.1	-2.3	0
133	SLE RA 19	-4	15	949	5.1	-2.95	0
133	SLE RA 20	-3	-12	924	6.1	-2.3	0
133	SLE RA 21	-4	15	949	5.1	-2.95	0
133	SLE FR 1	-3	-13	854	5.28	-2.07	0
133	SLE FR 2	-3	-4	862	4.95	-2.29	0
133	SLE FR 3	-3	-13	854	5.28	-2.07	0
133	SLE FR 4	-3	-3	883	5.19	-2.36	0
133	SLE FR 5	-3	-12	875	5.53	-2.14	0
133	SLE FR 6	-3	-12	889	5.69	-2.18	0



Nodo Ind.	Cont. N.br.	Reazione a traslazione			Reazione a rotazione		
		x	y	z	x	y	z
133	SLE QP 1	-3	-13	854	5.28	-2.07	0
133	SLE QP 2	-3	-12	875	5.53	-2.14	0
133	SLD 1	1	7	759	5.03	3.93	0.01
133	SLD 2	1	7	759	5.03	3.93	0.01
133	SLD 3	4	-133	652	10.83	8.05	0
133	SLD 4	4	-133	652	10.83	8.05	0
133	SLD 5	-7	204	1002	-3.42	-6.57	0.01
133	SLD 6	-7	204	1002	-3.42	-6.57	0.01
133	SLD 7	4	-260	646	15.91	7.18	-0.01
133	SLD 8	4	-260	646	15.91	7.18	-0.01
133	SLD 9	-10	235	1103	-4.86	-11.45	0.01
133	SLD 10	-10	235	1103	-4.86	-11.45	0.01
133	SLD 11	1	-229	748	14.47	2.3	-0.01
133	SLD 12	1	-229	748	14.47	2.3	-0.01
133	SLD 13	-10	108	1097	0.22	-12.33	0
133	SLD 14	-10	108	1097	0.22	-12.33	0
133	SLD 15	-6	-31	991	6.02	-8.2	-0.01
133	SLD 16	-6	-31	991	6.02	-8.2	-0.01
133	SLV 1	6	24	572	4.71	13.04	0.02
133	SLV 2	6	24	572	4.71	13.04	0.02
133	SLV 3	14	-302	320	18.3	23.34	0.01
133	SLV 4	14	-302	320	18.3	23.34	0.01
133	SLV 5	-13	493	1167	-15.33	-13.2	0.02
133	SLV 6	-13	493	1167	-15.33	-13.2	0.02
133	SLV 7	15	-594	326	29.97	21.12	-0.01
133	SLV 8	15	-594	326	29.97	21.12	-0.01
133	SLV 9	-21	569	1424	-18.92	-25.39	0.01
133	SLV 10	-21	569	1424	-18.92	-25.39	0.01
133	SLV 11	7	-518	583	26.39	8.92	-0.02
133	SLV 12	7	-518	583	26.39	8.92	-0.02
133	SLV 13	-20	277	1430	-7.25	-27.62	-0.01
133	SLV 14	-20	277	1430	-7.25	-27.62	-0.01
133	SLV 15	-12	-49	1177	6.34	-17.32	-0.02
133	SLV 16	-12	-49	1177	6.34	-17.32	-0.02
134	SLU 1	-3	-12	942	4.64	-1.77	0
134	SLU 2	-2	62	1010	1.9	-1.43	0
134	SLU 3	-3	-12	942	4.64	-1.77	0
134	SLU 4	-3	32	982	3	-1.56	0
134	SLU 5	-2	62	1010	1.9	-1.43	0
134	SLU 6	-3	-12	942	4.64	-1.77	0
134	SLU 7	-3	32	982	3	-1.56	0
134	SLU 8	-3	-12	942	4.64	-1.77	0
134	SLU 9	-3	32	982	3	-1.56	0
134	SLU 10	-3	62	1106	2.78	-1.75	0
134	SLU 11	-4	-11	1038	5.53	-2.09	0
134	SLU 12	-3	33	1079	3.88	-1.88	0
134	SLU 13	-3	62	1106	2.78	-1.75	0
134	SLU 14	-4	-11	1038	5.53	-2.09	0
134	SLU 15	-3	33	1079	3.88	-1.88	0
134	SLU 16	-4	-11	1038	5.53	-2.09	0
134	SLU 17	-3	33	1079	3.88	-1.88	0
134	SLU 18	-4	-11	1079	5.91	-2.23	0
134	SLU 19	-3	33	1120	4.26	-2.02	0
134	SLU 20	-4	-11	1079	5.91	-2.23	0
134	SLU 21	-3	33	1120	4.26	-2.02	0
134	SLU 22	-3	-11	991	5.1	-1.93	0
134	SLU 23	-3	62	1059	2.35	-1.59	0
134	SLU 24	-3	-11	991	5.1	-1.93	0
134	SLU 25	-3	33	1032	3.45	-1.73	0
134	SLU 26	-3	62	1059	2.35	-1.59	0
134	SLU 27	-3	-11	991	5.1	-1.93	0
134	SLU 28	-3	33	1032	3.45	-1.73	0
134	SLU 29	-3	-11	991	5.1	-1.93	0
134	SLU 30	-3	33	1032	3.45	-1.73	0
134	SLU 31	-3	62	1155	3.24	-1.91	0
134	SLU 32	-4	-11	1087	5.98	-2.25	0
134	SLU 33	-4	33	1128	4.34	-2.05	0
134	SLU 34	-3	62	1155	3.24	-1.91	0
134	SLU 35	-4	-11	1087	5.98	-2.25	0
134	SLU 36	-4	33	1128	4.34	-2.05	0
134	SLU 37	-4	-11	1087	5.98	-2.25	0
134	SLU 38	-4	33	1128	4.34	-2.05	0
134	SLU 39	-4	-11	1128	6.36	-2.39	0
134	SLU 40	-4	33	1169	4.72	-2.19	0
134	SLU 41	-4	-11	1128	6.36	-2.39	0
134	SLU 42	-4	33	1169	4.72	-2.19	0
134	SLU 43	-4	-15	1207	5.88	-2.24	0
134	SLU 44	-3	58	1275	3.14	-1.9	0
134	SLU 45	-4	-15	1207	5.88	-2.24	0
134	SLU 46	-3	29	1248	4.23	-2.03	0
134	SLU 47	-3	58	1275	3.14	-1.9	0
134	SLU 48	-4	-15	1207	5.88	-2.24	0
134	SLU 49	-3	29	1248	4.23	-2.03	0
134	SLU 50	-4	-15	1207	5.88	-2.24	0
134	SLU 51	-3	29	1248	4.23	-2.03	0
134	SLU 52	-4	58	1371	4.02	-2.22	0
134	SLU 53	-4	-15	1304	6.76	-2.56	0
134	SLU 54	-4	29	1344	5.12	-2.36	0



Nodo Ind.	Cont. N.br.	Reazione a traslazione			Reazione a rotazione		
		x	y	z	x	y	z
134	SLU 55	-4	58	1371	4.02	-2.22	0
134	SLU 56	-4	-15	1304	6.76	-2.56	0
134	SLU 57	-4	29	1344	5.12	-2.36	0
134	SLU 58	-4	-15	1304	6.76	-2.56	0
134	SLU 59	-4	29	1344	5.12	-2.36	0
134	SLU 60	-5	-15	1345	7.14	-2.7	0
134	SLU 61	-4	29	1385	5.5	-2.5	0
134	SLU 62	-5	-15	1345	7.14	-2.7	0
134	SLU 63	-4	29	1385	5.5	-2.5	0
134	SLU 64	-4	-15	1257	6.33	-2.4	0
134	SLU 65	-4	58	1324	3.59	-2.06	0
134	SLU 66	-4	-15	1257	6.33	-2.4	0
134	SLU 67	-4	29	1297	4.69	-2.2	0
134	SLU 68	-4	58	1324	3.59	-2.06	0
134	SLU 69	-4	-15	1257	6.33	-2.4	0
134	SLU 70	-4	29	1297	4.69	-2.2	0
134	SLU 71	-4	-15	1257	6.33	-2.4	0
134	SLU 72	-4	29	1297	4.69	-2.2	0
134	SLU 73	-4	59	1421	4.48	-2.39	0
134	SLU 74	-5	-15	1353	7.22	-2.73	0
134	SLU 75	-4	29	1393	5.57	-2.52	0
134	SLU 76	-4	59	1421	4.48	-2.39	0
134	SLU 77	-5	-15	1353	7.22	-2.73	0
134	SLU 78	-4	29	1393	5.57	-2.52	0
134	SLU 79	-5	-15	1353	7.22	-2.73	0
134	SLU 80	-4	29	1393	5.57	-2.52	0
134	SLU 81	-5	-15	1394	7.6	-2.87	0
134	SLU 82	-5	29	1435	5.95	-2.66	0
134	SLU 83	-5	-15	1394	7.6	-2.87	0
134	SLU 84	-5	29	1435	5.95	-2.66	0
134	SLE RA 1	-3	-11	956	4.77	-1.81	0
134	SLE RA 2	-3	37	1001	2.94	-1.59	0
134	SLE RA 3	-3	-11	956	4.77	-1.81	0
134	SLE RA 4	-3	18	983	3.67	-1.68	0
134	SLE RA 5	-3	37	1001	2.94	-1.59	0
134	SLE RA 6	-3	-11	956	4.77	-1.81	0
134	SLE RA 7	-3	18	983	3.67	-1.68	0
134	SLE RA 8	-3	-11	956	4.77	-1.81	0
134	SLE RA 9	-3	18	983	3.67	-1.68	0
134	SLE RA 10	-3	38	1065	3.53	-1.8	0
134	SLE RA 11	-3	-11	1020	5.36	-2.03	0
134	SLE RA 12	-3	18	1047	4.26	-1.89	0
134	SLE RA 13	-3	38	1065	3.53	-1.8	0
134	SLE RA 14	-3	-11	1020	5.36	-2.03	0
134	SLE RA 15	-3	18	1047	4.26	-1.89	0
134	SLE RA 16	-3	-11	1020	5.36	-2.03	0
134	SLE RA 17	-3	18	1047	4.26	-1.89	0
134	SLE RA 18	-4	-11	1047	5.61	-2.12	0
134	SLE RA 19	-3	18	1074	4.52	-1.98	0
134	SLE RA 20	-4	-11	1047	5.61	-2.12	0
134	SLE RA 21	-3	18	1074	4.52	-1.98	0
134	SLE FR 1	-3	-11	956	4.77	-1.81	0
134	SLE FR 2	-3	-2	965	4.41	-1.77	0
134	SLE FR 3	-3	-11	956	4.77	-1.81	0
134	SLE FR 4	-3	-2	992	4.66	-1.86	0
134	SLE FR 5	-3	-11	983	5.02	-1.9	0
134	SLE FR 6	-3	-11	1002	5.19	-1.97	0
134	SLE QP 1	-3	-11	956	4.77	-1.81	0
134	SLE QP 2	-3	-11	983	5.02	-1.9	0
134	SLD 1	2	108	849	0.05	3.07	0.01
134	SLD 2	2	108	849	0.05	3.07	0.01
134	SLD 3	-1	-20	751	5.47	7.03	0
134	SLD 4	-1	-20	751	5.47	7.03	0
134	SLD 5	3	218	1092	-4.69	-6.41	0.01
134	SLD 6	3	218	1092	-4.69	-6.41	0.01
134	SLD 7	-8	-207	765	13.38	6.78	0
134	SLD 8	-8	-207	765	13.38	6.78	0
134	SLD 9	1	184	1201	-3.33	-10.59	0.01
134	SLD 10	1	184	1201	-3.33	-10.59	0.01
134	SLD 11	-10	-241	875	14.74	2.6	-0.01
134	SLD 12	-10	-241	875	14.74	2.6	-0.01
134	SLD 13	-5	-3	1215	4.58	-10.84	0
134	SLD 14	-5	-3	1215	4.58	-10.84	0
134	SLD 15	-8	-131	1117	10	-6.88	-0.01
134	SLD 16	-8	-131	1117	10	-6.88	-0.01
134	SLV 1	10	275	634	-6.86	10.77	0.02
134	SLV 2	10	275	634	-6.86	10.77	0.02
134	SLV 3	2	-22	401	5.8	20.22	0.01
134	SLV 4	2	-22	401	5.8	20.22	0.01
134	SLV 5	13	526	1232	-17.75	-12.42	0.02
134	SLV 6	13	526	1232	-17.75	-12.42	0.02
134	SLV 7	-14	-466	455	24.47	19.05	-0.01
134	SLV 8	-14	-466	455	24.47	19.05	-0.01
134	SLV 9	7	443	1512	-14.42	-22.86	0.01
134	SLV 10	7	443	1512	-14.42	-22.86	0.01
134	SLV 11	-19	-549	734	27.8	8.61	-0.02
134	SLV 12	-19	-549	734	27.8	8.61	-0.02
134	SLV 13	-8	0	1566	4.24	-24.03	0



Nodo Ind.	Cont. N.br.	Reazione a traslazione			Reazione a rotazione		
		x	y	z	x	y	z
134	SLV 14	-8	0	1566	4.24	-24.03	0
134	SLV 15	-16	-298	1333	16.91	-14.58	-0.01
134	SLV 16	-16	-298	1333	16.91	-14.58	-0.01
135	SLU 1	-10	-88	1591	7.26	-6.7	0
135	SLU 2	-8	-82	1619	7.58	-4.29	0
135	SLU 3	-10	-88	1591	7.26	-6.7	0
135	SLU 4	-9	-84	1608	7.45	-5.26	0
135	SLU 5	-8	-82	1619	7.58	-4.29	0
135	SLU 6	-10	-88	1591	7.26	-6.7	0
135	SLU 7	-9	-84	1608	7.45	-5.26	0
135	SLU 8	-10	-88	1591	7.26	-6.7	0
135	SLU 9	-9	-84	1608	7.45	-5.26	0
135	SLU 10	-9	-73	1758	7.38	-5.02	0
135	SLU 11	-11	-80	1729	7.06	-7.42	0
135	SLU 12	-10	-76	1746	7.26	-5.98	0
135	SLU 13	-9	-73	1758	7.38	-5.02	0
135	SLU 14	-11	-80	1729	7.06	-7.42	0
135	SLU 15	-10	-76	1746	7.26	-5.98	0
135	SLU 16	-11	-80	1729	7.06	-7.42	0
135	SLU 17	-10	-76	1746	7.26	-5.98	0
135	SLU 18	-12	-76	1788	6.98	-7.73	0
135	SLU 19	-10	-72	1805	7.17	-6.29	0
135	SLU 20	-12	-76	1788	6.98	-7.73	0
135	SLU 21	-10	-72	1805	7.17	-6.29	0
135	SLU 22	-11	-84	1661	7.15	-7.07	0
135	SLU 23	-8	-77	1690	7.47	-4.66	0
135	SLU 24	-11	-84	1661	7.15	-7.07	0
135	SLU 25	-9	-80	1679	7.35	-5.62	0
135	SLU 26	-8	-77	1690	7.47	-4.66	0
135	SLU 27	-11	-84	1661	7.15	-7.07	0
135	SLU 28	-9	-80	1679	7.35	-5.62	0
135	SLU 29	-11	-84	1661	7.15	-7.07	0
135	SLU 30	-9	-80	1679	7.35	-5.62	0
135	SLU 31	-9	-69	1828	7.28	-5.38	0
135	SLU 32	-12	-75	1800	6.96	-7.79	0
135	SLU 33	-10	-71	1817	7.15	-6.35	0
135	SLU 34	-9	-69	1828	7.28	-5.38	0
135	SLU 35	-12	-75	1800	6.96	-7.79	0
135	SLU 36	-10	-71	1817	7.15	-6.35	0
135	SLU 37	-12	-75	1800	6.96	-7.79	0
135	SLU 38	-10	-71	1817	7.15	-6.35	0
135	SLU 39	-12	-72	1859	6.88	-8.1	0
135	SLU 40	-11	-68	1876	7.07	-6.65	0
135	SLU 41	-12	-72	1859	6.88	-8.1	0
135	SLU 42	-11	-68	1876	7.07	-6.65	0
135	SLU 43	-13	-116	2043	9.47	-8.58	0
135	SLU 44	-11	-110	2072	9.79	-6.18	0
135	SLU 45	-13	-116	2043	9.47	-8.58	0
135	SLU 46	-12	-112	2061	9.66	-7.14	0
135	SLU 47	-11	-110	2072	9.79	-6.18	0
135	SLU 48	-13	-116	2043	9.47	-8.58	0
135	SLU 49	-12	-112	2061	9.66	-7.14	0
135	SLU 50	-13	-116	2043	9.47	-8.58	0
135	SLU 51	-12	-112	2061	9.66	-7.14	0
135	SLU 52	-12	-101	2210	9.6	-6.9	0
135	SLU 53	-14	-108	2182	9.28	-9.3	0
135	SLU 54	-13	-104	2199	9.47	-7.86	0
135	SLU 55	-12	-101	2210	9.6	-6.9	0
135	SLU 56	-14	-108	2182	9.28	-9.3	0
135	SLU 57	-13	-104	2199	9.47	-7.86	0
135	SLU 58	-14	-108	2182	9.28	-9.3	0
135	SLU 59	-13	-104	2199	9.47	-7.86	0
135	SLU 60	-15	-104	2241	9.19	-9.61	0
135	SLU 61	-13	-100	2258	9.39	-8.17	0
135	SLU 62	-15	-104	2241	9.19	-9.61	0
135	SLU 63	-13	-100	2258	9.39	-8.17	0
135	SLU 64	-14	-112	2114	9.37	-8.95	0
135	SLU 65	-11	-105	2143	9.69	-6.55	0
135	SLU 66	-14	-112	2114	9.37	-8.95	0
135	SLU 67	-12	-108	2131	9.56	-7.51	0
135	SLU 68	-11	-105	2143	9.69	-6.55	0
135	SLU 69	-14	-112	2114	9.37	-8.95	0
135	SLU 70	-12	-108	2131	9.56	-7.51	0
135	SLU 71	-14	-112	2114	9.37	-8.95	0
135	SLU 72	-12	-108	2131	9.56	-7.51	0
135	SLU 73	-12	-97	2281	9.49	-7.27	0
135	SLU 74	-15	-103	2253	9.17	-9.67	0
135	SLU 75	-13	-99	2270	9.37	-8.23	0
135	SLU 76	-12	-97	2281	9.49	-7.27	0
135	SLU 77	-15	-103	2253	9.17	-9.67	0
135	SLU 78	-13	-99	2270	9.37	-8.23	0
135	SLU 79	-15	-103	2253	9.17	-9.67	0
135	SLU 80	-13	-99	2270	9.37	-8.23	0
135	SLU 81	-15	-100	2312	9.09	-9.98	0
135	SLU 82	-14	-96	2329	9.28	-8.54	0
135	SLU 83	-15	-100	2312	9.09	-9.98	0
135	SLU 84	-14	-96	2329	9.28	-8.54	0
135	SLE RA 1	-10	-87	1611	7.23	-6.8	0



Nodo Ind.	Cont. N.br.	Reazione a traslazione			Reazione a rotazione		
		x	y	z	x	y	z
135	SLE RA 2	-9	-83	1630	7.44	-5.2	0
135	SLE RA 3	-10	-87	1611	7.23	-6.8	0
135	SLE RA 4	-9	-84	1622	7.36	-5.84	0
135	SLE RA 5	-9	-83	1630	7.44	-5.2	0
135	SLE RA 6	-10	-87	1611	7.23	-6.8	0
135	SLE RA 7	-9	-84	1622	7.36	-5.84	0
135	SLE RA 8	-10	-87	1611	7.23	-6.8	0
135	SLE RA 9	-9	-84	1622	7.36	-5.84	0
135	SLE RA 10	-9	-77	1722	7.31	-5.68	0
135	SLE RA 11	-11	-81	1703	7.1	-7.28	0
135	SLE RA 12	-10	-79	1714	7.23	-6.32	0
135	SLE RA 13	-9	-77	1722	7.31	-5.68	0
135	SLE RA 14	-11	-81	1703	7.1	-7.28	0
135	SLE RA 15	-10	-79	1714	7.23	-6.32	0
135	SLE RA 16	-11	-81	1703	7.1	-7.28	0
135	SLE RA 17	-10	-79	1714	7.23	-6.32	0
135	SLE RA 18	-11	-79	1743	7.04	-7.49	0
135	SLE RA 19	-10	-76	1754	7.17	-6.53	0
135	SLE RA 20	-11	-79	1743	7.04	-7.49	0
135	SLE RA 21	-10	-76	1754	7.17	-6.53	0
135	SLE FR 1	-10	-87	1611	7.23	-6.8	0
135	SLE FR 2	-10	-86	1615	7.27	-6.48	0
135	SLE FR 3	-10	-87	1611	7.23	-6.8	0
135	SLE FR 4	-10	-84	1654	7.22	-6.69	0
135	SLE FR 5	-11	-84	1650	7.17	-7.01	0
135	SLE FR 6	-11	-83	1677	7.14	-7.15	0
135	SLE QP 1	-10	-87	1611	7.23	-6.8	0
135	SLE QP 2	-11	-84	1650	7.17	-7.01	0
135	SLD 1	-1	12	1725	7.21	1.51	0
135	SLD 2	-1	12	1725	7.21	1.51	0
135	SLD 3	-7	-85	1774	11.41	-2.91	0.01
135	SLD 4	-7	-85	1774	11.41	-2.91	0.01
135	SLD 5	1	91	1600	0.82	2.24	-0.01
135	SLD 6	1	91	1600	0.82	2.24	-0.01
135	SLD 7	-18	-231	1761	14.81	-12.47	0.01
135	SLD 8	-18	-231	1761	14.81	-12.47	0.01
135	SLD 9	-3	62	1540	-0.46	-1.54	-0.01
135	SLD 10	-3	62	1540	-0.46	-1.54	-0.01
135	SLD 11	-22	-260	1701	13.52	-16.26	0.01
135	SLD 12	-22	-260	1701	13.52	-16.26	0.01
135	SLD 13	-15	-84	1527	2.94	-11.11	-0.01
135	SLD 14	-15	-84	1527	2.94	-11.11	-0.01
135	SLD 15	-20	-181	1575	7.13	-15.52	0
135	SLD 16	-20	-181	1575	7.13	-15.52	0
135	SLV 1	13	144	1828	7.29	13.66	0.01
135	SLV 2	13	144	1828	7.29	13.66	0.01
135	SLV 3	-2	-84	1943	17.17	2.46	0.02
135	SLV 4	-2	-84	1943	17.17	2.46	0.02
135	SLV 5	19	330	1529	-7.77	16.17	-0.02
135	SLV 6	19	330	1529	-7.77	16.17	-0.02
135	SLV 7	-30	-430	1912	25.15	-21.15	0.02
135	SLV 8	-30	-430	1912	25.15	-21.15	0.02
135	SLV 9	9	261	1388	-10.81	7.13	-0.02
135	SLV 10	9	261	1388	-10.81	7.13	-0.02
135	SLV 11	-40	-498	1771	22.12	-30.19	0.02
135	SLV 12	-40	-498	1771	22.12	-30.19	0.02
135	SLV 13	-20	-85	1357	-2.83	-16.48	-0.02
135	SLV 14	-20	-85	1357	-2.83	-16.48	-0.02
135	SLV 15	-35	-313	1472	7.05	-27.68	0
135	SLV 16	-35	-313	1472	7.05	-27.68	0
136	SLU 1	0	-153	2096	4.28	-0.29	0
136	SLU 2	-5	-143	2098	3.61	-4.64	0
136	SLU 3	0	-153	2096	4.28	-0.29	0
136	SLU 4	-3	-147	2097	3.88	-2.9	0
136	SLU 5	-5	-143	2098	3.61	-4.64	0
136	SLU 6	0	-153	2096	4.28	-0.29	0
136	SLU 7	-3	-147	2097	3.88	-2.9	0
136	SLU 8	0	-153	2096	4.28	-0.29	0
136	SLU 9	-3	-147	2097	3.88	-2.9	0
136	SLU 10	-5	-151	2307	4.05	-4.84	0
136	SLU 11	0	-161	2304	4.73	-0.49	0
136	SLU 12	-3	-155	2306	4.32	-3.1	0
136	SLU 13	-5	-151	2307	4.05	-4.84	0
136	SLU 14	0	-161	2304	4.73	-0.49	0
136	SLU 15	-3	-155	2306	4.32	-3.1	0
136	SLU 16	0	-161	2304	4.73	-0.49	0
136	SLU 17	-3	-155	2306	4.32	-3.1	0
136	SLU 18	0	-164	2394	4.91	-0.57	0
136	SLU 19	-3	-159	2395	4.51	-3.18	0
136	SLU 20	0	-164	2394	4.91	-0.57	0
136	SLU 21	-3	-159	2395	4.51	-3.18	0
136	SLU 22	0	-157	2202	4.5	-0.39	0
136	SLU 23	-5	-147	2205	3.83	-4.74	0
136	SLU 24	0	-157	2202	4.5	-0.39	0
136	SLU 25	-3	-151	2204	4.1	-3	0
136	SLU 26	-5	-147	2205	3.83	-4.74	0
136	SLU 27	0	-157	2202	4.5	-0.39	0
136	SLU 28	-3	-151	2204	4.1	-3	0



Nodo Ind.	Cont. N.br.	Reazione a traslazione			Reazione a rotazione		
		x	y	z	x	y	z
136	SLU 29	0	-157	2202	4.5	-0.39	0
136	SLU 30	-3	-151	2204	4.1	-3	0
136	SLU 31	-5	-155	2414	4.27	-4.94	0
136	SLU 32	0	-165	2411	4.95	-0.59	0
136	SLU 33	-3	-159	2413	4.54	-3.2	0
136	SLU 34	-5	-155	2414	4.27	-4.94	0
136	SLU 35	0	-165	2411	4.95	-0.59	0
136	SLU 36	-3	-159	2413	4.54	-3.2	0
136	SLU 37	0	-165	2411	4.95	-0.59	0
136	SLU 38	-3	-159	2413	4.54	-3.2	0
136	SLU 39	0	-168	2501	5.13	-0.67	0
136	SLU 40	-3	-163	2502	4.73	-3.28	0
136	SLU 41	0	-168	2501	5.13	-0.67	0
136	SLU 42	-3	-163	2502	4.73	-3.28	0
136	SLU 43	0	-197	2688	5.49	-0.34	0
136	SLU 44	-5	-188	2690	4.82	-4.69	0
136	SLU 45	0	-197	2688	5.49	-0.34	0
136	SLU 46	-3	-191	2689	5.09	-2.95	0
136	SLU 47	-5	-188	2690	4.82	-4.69	0
136	SLU 48	0	-197	2688	5.49	-0.34	0
136	SLU 49	-3	-191	2689	5.09	-2.95	0
136	SLU 50	0	-197	2688	5.49	-0.34	0
136	SLU 51	-3	-191	2689	5.09	-2.95	0
136	SLU 52	-5	-196	2899	5.26	-4.89	0
136	SLU 53	0	-205	2896	5.93	-0.54	0
136	SLU 54	-3	-200	2898	5.53	-3.15	0
136	SLU 55	-5	-196	2899	5.26	-4.89	0
136	SLU 56	0	-205	2896	5.93	-0.54	0
136	SLU 57	-3	-200	2898	5.53	-3.15	0
136	SLU 58	0	-205	2896	5.93	-0.54	0
136	SLU 59	-3	-200	2898	5.53	-3.15	0
136	SLU 60	0	-209	2986	6.12	-0.62	0
136	SLU 61	-3	-203	2987	5.72	-3.23	0
136	SLU 62	0	-209	2986	6.12	-0.62	0
136	SLU 63	-3	-203	2987	5.72	-3.23	0
136	SLU 64	0	-201	2794	5.71	-0.44	0
136	SLU 65	-5	-192	2797	5.04	-4.79	0
136	SLU 66	0	-201	2794	5.71	-0.44	0
136	SLU 67	-3	-195	2796	5.31	-3.05	0
136	SLU 68	-5	-192	2797	5.04	-4.79	0
136	SLU 69	0	-201	2794	5.71	-0.44	0
136	SLU 70	-3	-195	2796	5.31	-3.05	0
136	SLU 71	0	-201	2794	5.71	-0.44	0
136	SLU 72	-3	-195	2796	5.31	-3.05	0
136	SLU 73	-5	-200	3006	5.48	-4.99	0
136	SLU 74	0	-209	3003	6.16	-0.64	0
136	SLU 75	-3	-204	3005	5.75	-3.25	0
136	SLU 76	-5	-200	3006	5.48	-4.99	0
136	SLU 77	0	-209	3003	6.16	-0.64	0
136	SLU 78	-3	-204	3005	5.75	-3.25	0
136	SLU 79	0	-209	3003	6.16	-0.64	0
136	SLU 80	-3	-204	3005	5.75	-3.25	0
136	SLU 81	0	-213	3093	6.34	-0.72	0
136	SLU 82	-3	-207	3094	5.94	-3.33	0
136	SLU 83	0	-213	3093	6.34	-0.72	0
136	SLU 84	-3	-207	3094	5.94	-3.33	0
136	SLE RA 1	0	-154	2126	4.35	-0.32	0
136	SLE RA 2	-3	-148	2128	3.9	-3.22	0
136	SLE RA 3	0	-154	2126	4.35	-0.32	0
136	SLE RA 4	-2	-150	2127	4.08	-2.06	0
136	SLE RA 5	-3	-148	2128	3.9	-3.22	0
136	SLE RA 6	0	-154	2126	4.35	-0.32	0
136	SLE RA 7	-2	-150	2127	4.08	-2.06	0
136	SLE RA 8	0	-154	2126	4.35	-0.32	0
136	SLE RA 9	-2	-150	2127	4.08	-2.06	0
136	SLE RA 10	-3	-153	2267	4.19	-3.35	0
136	SLE RA 11	0	-159	2265	4.64	-0.45	0
136	SLE RA 12	-2	-155	2266	4.37	-2.19	0
136	SLE RA 13	-3	-153	2267	4.19	-3.35	0
136	SLE RA 14	0	-159	2265	4.64	-0.45	0
136	SLE RA 15	-2	-155	2266	4.37	-2.19	0
136	SLE RA 16	0	-159	2265	4.64	-0.45	0
136	SLE RA 17	-2	-155	2266	4.37	-2.19	0
136	SLE RA 18	0	-161	2325	4.77	-0.51	0
136	SLE RA 19	-2	-158	2326	4.5	-2.25	0
136	SLE RA 20	0	-161	2325	4.77	-0.51	0
136	SLE RA 21	-2	-158	2326	4.5	-2.25	0
136	SLE FR 1	0	-154	2126	4.35	-0.32	0
136	SLE FR 2	0	-152	2126	4.26	-0.9	0
136	SLE FR 3	0	-154	2126	4.35	-0.32	0
136	SLE FR 4	-1	-155	2186	4.38	-0.96	0
136	SLE FR 5	0	-156	2186	4.47	-0.38	0
136	SLE FR 6	0	-158	2226	4.56	-0.41	0
136	SLE QP 1	0	-154	2126	4.35	-0.32	0
136	SLE QP 2	0	-156	2186	4.47	-0.38	0
136	SLD 1	4	-36	2006	4.58	7.18	0.01
136	SLD 2	4	-36	2006	4.58	7.18	0.01
136	SLD 3	16	-151	2114	8.57	15.54	0



Nodo Ind.	Cont. N.br.	Reazione a traslazione			Reazione a rotazione		
		x	y	z	x	y	z
136	SLD 4	16	-151	2114	8.57	15.54	0
136	SLD 5	-18	54	1968	-1.55	-10.8	0.02
136	SLD 6	-18	54	1968	-1.55	-10.8	0.02
136	SLD 7	24	-329	2328	11.76	17.09	-0.02
136	SLD 8	24	-329	2328	11.76	17.09	-0.02
136	SLD 9	-24	16	2044	-2.81	-17.84	0.02
136	SLD 10	-24	16	2044	-2.81	-17.84	0.02
136	SLD 11	18	-366	2403	10.5	10.04	-0.02
136	SLD 12	18	-366	2403	10.5	10.04	-0.02
136	SLD 13	-16	-161	2258	0.37	-16.29	0
136	SLD 14	-16	-161	2258	0.37	-16.29	0
136	SLD 15	-4	-276	2366	4.37	-7.93	-0.01
136	SLD 16	-4	-276	2366	4.37	-7.93	-0.01
136	SLV 1	9	128	1753	4.74	17.43	0.03
136	SLV 2	9	128	1753	4.74	17.43	0.03
136	SLV 3	41	-143	2023	14.2	38.8	0
136	SLV 4	41	-143	2023	14.2	38.8	0
136	SLV 5	-45	341	1646	-9.8	-27.46	0.05
136	SLV 6	-45	341	1646	-9.8	-27.46	0.05
136	SLV 7	60	-564	2547	21.74	43.8	-0.05
136	SLV 8	60	-564	2547	21.74	43.8	-0.05
136	SLV 9	-60	252	1825	-12.8	-44.55	0.04
136	SLV 10	-60	252	1825	-12.8	-44.55	0.04
136	SLV 11	46	-653	2725	18.75	26.71	-0.06
136	SLV 12	46	-653	2725	18.75	26.71	-0.06
136	SLV 13	-40	-169	2349	-5.25	-39.55	0
136	SLV 14	-40	-169	2349	-5.25	-39.55	0
136	SLV 15	-9	-440	2619	4.21	-18.18	-0.04
136	SLV 16	-9	-440	2619	4.21	-18.18	-0.04
137	SLU 1	-2	66	970	-6.52	-1.46	0
137	SLU 2	-3	146	1003	-10.63	-2.69	0
137	SLU 3	-2	66	970	-6.52	-1.46	0
137	SLU 4	-2	114	990	-8.99	-2.2	0
137	SLU 5	-3	146	1003	-10.63	-2.69	0
137	SLU 6	-2	66	970	-6.52	-1.46	0
137	SLU 7	-2	114	990	-8.99	-2.2	0
137	SLU 8	-2	66	970	-6.52	-1.46	0
137	SLU 9	-2	114	990	-8.99	-2.2	0
137	SLU 10	-3	167	1126	-11.97	-2.87	0
137	SLU 11	-2	87	1093	-7.87	-1.64	0
137	SLU 12	-3	135	1113	-10.33	-2.38	0
137	SLU 13	-3	167	1126	-11.97	-2.87	0
137	SLU 14	-2	87	1093	-7.87	-1.64	0
137	SLU 15	-3	135	1113	-10.33	-2.38	0
137	SLU 16	-2	87	1093	-7.87	-1.64	0
137	SLU 17	-3	135	1113	-10.33	-2.38	0
137	SLU 18	-2	96	1146	-8.45	-1.72	0
137	SLU 19	-3	144	1166	-10.91	-2.45	0
137	SLU 20	-2	96	1146	-8.45	-1.72	0
137	SLU 21	-3	144	1166	-10.91	-2.45	0
137	SLU 22	-2	77	1033	-7.21	-1.55	0
137	SLU 23	-3	156	1066	-11.32	-2.78	0
137	SLU 24	-2	77	1033	-7.21	-1.55	0
137	SLU 25	-3	124	1053	-9.68	-2.29	0
137	SLU 26	-3	156	1066	-11.32	-2.78	0
137	SLU 27	-2	77	1033	-7.21	-1.55	0
137	SLU 28	-3	124	1053	-9.68	-2.29	0
137	SLU 29	-2	77	1033	-7.21	-1.55	0
137	SLU 30	-3	124	1053	-9.68	-2.29	0
137	SLU 31	-3	177	1189	-12.66	-2.96	0
137	SLU 32	-2	98	1156	-8.56	-1.73	0
137	SLU 33	-3	145	1176	-11.02	-2.47	0
137	SLU 34	-3	177	1189	-12.66	-2.96	0
137	SLU 35	-2	98	1156	-8.56	-1.73	0
137	SLU 36	-3	145	1176	-11.02	-2.47	0
137	SLU 37	-2	98	1156	-8.56	-1.73	0
137	SLU 38	-3	145	1176	-11.02	-2.47	0
137	SLU 39	-2	106	1209	-9.14	-1.81	0
137	SLU 40	-3	154	1229	-11.6	-2.55	0
137	SLU 41	-2	106	1209	-9.14	-1.81	0
137	SLU 42	-3	154	1229	-11.6	-2.55	0
137	SLU 43	-2	82	1240	-8.25	-1.87	0
137	SLU 44	-3	162	1273	-12.35	-3.1	0
137	SLU 45	-2	82	1240	-8.25	-1.87	0
137	SLU 46	-3	130	1259	-10.71	-2.6	0
137	SLU 47	-3	162	1273	-12.35	-3.1	0
137	SLU 48	-2	82	1240	-8.25	-1.87	0
137	SLU 49	-3	130	1259	-10.71	-2.6	0
137	SLU 50	-2	82	1240	-8.25	-1.87	0
137	SLU 51	-3	130	1259	-10.71	-2.6	0
137	SLU 52	-4	183	1396	-13.69	-3.28	0
137	SLU 53	-3	103	1363	-9.59	-2.05	0
137	SLU 54	-3	151	1382	-12.05	-2.78	0
137	SLU 55	-4	183	1396	-13.69	-3.28	0
137	SLU 56	-3	103	1363	-9.59	-2.05	0
137	SLU 57	-3	151	1382	-12.05	-2.78	0
137	SLU 58	-3	103	1363	-9.59	-2.05	0
137	SLU 59	-3	151	1382	-12.05	-2.78	0



Nodo Ind.	Cont. N.br.	Reazione a traslazione			Reazione a rotazione		
		x	y	z	x	y	z
137	SLU 60	-3	112	1415	-10.17	-2.12	0
137	SLU 61	-3	160	1435	-12.63	-2.86	0
137	SLU 62	-3	112	1415	-10.17	-2.12	0
137	SLU 63	-3	160	1435	-12.63	-2.86	0
137	SLU 64	-3	93	1303	-8.94	-1.96	0
137	SLU 65	-3	172	1336	-13.04	-3.19	0
137	SLU 66	-3	93	1303	-8.94	-1.96	0
137	SLU 67	-3	140	1322	-11.4	-2.7	0
137	SLU 68	-3	172	1336	-13.04	-3.19	0
137	SLU 69	-3	93	1303	-8.94	-1.96	0
137	SLU 70	-3	140	1322	-11.4	-2.7	0
137	SLU 71	-3	93	1303	-8.94	-1.96	0
137	SLU 72	-3	140	1322	-11.4	-2.7	0
137	SLU 73	-4	193	1459	-14.38	-3.37	0
137	SLU 74	-3	114	1426	-10.28	-2.14	0
137	SLU 75	-3	161	1445	-12.74	-2.88	0
137	SLU 76	-4	193	1459	-14.38	-3.37	0
137	SLU 77	-3	114	1426	-10.28	-2.14	0
137	SLU 78	-3	161	1445	-12.74	-2.88	0
137	SLU 79	-3	114	1426	-10.28	-2.14	0
137	SLU 80	-3	161	1445	-12.74	-2.88	0
137	SLU 81	-3	123	1478	-10.86	-2.22	0
137	SLU 82	-4	170	1498	-13.32	-2.95	0
137	SLU 83	-3	123	1478	-10.86	-2.22	0
137	SLU 84	-4	170	1498	-13.32	-2.95	0
137	SLE RA 1	-2	69	988	-6.72	-1.49	0
137	SLE RA 2	-3	122	1010	-9.46	-2.31	0
137	SLE RA 3	-2	69	988	-6.72	-1.49	0
137	SLE RA 4	-2	101	1001	-8.36	-1.98	0
137	SLE RA 5	-3	122	1010	-9.46	-2.31	0
137	SLE RA 6	-2	69	988	-6.72	-1.49	0
137	SLE RA 7	-2	101	1001	-8.36	-1.98	0
137	SLE RA 8	-2	69	988	-6.72	-1.49	0
137	SLE RA 9	-2	101	1001	-8.36	-1.98	0
137	SLE RA 10	-3	136	1092	-10.35	-2.43	0
137	SLE RA 11	-2	83	1070	-7.62	-1.61	0
137	SLE RA 12	-2	115	1083	-9.26	-2.1	0
137	SLE RA 13	-3	136	1092	-10.35	-2.43	0
137	SLE RA 14	-2	83	1070	-7.62	-1.61	0
137	SLE RA 15	-2	115	1083	-9.26	-2.1	0
137	SLE RA 16	-2	83	1070	-7.62	-1.61	0
137	SLE RA 17	-2	115	1083	-9.26	-2.1	0
137	SLE RA 18	-2	89	1105	-8	-1.66	0
137	SLE RA 19	-3	121	1119	-9.64	-2.15	0
137	SLE RA 20	-2	89	1105	-8	-1.66	0
137	SLE RA 21	-3	121	1119	-9.64	-2.15	0
137	SLE FR 1	-2	69	988	-6.72	-1.49	0
137	SLE FR 2	-2	79	993	-7.27	-1.65	0
137	SLE FR 3	-2	69	988	-6.72	-1.49	0
137	SLE FR 4	-2	85	1028	-7.65	-1.7	0
137	SLE FR 5	-2	75	1023	-7.11	-1.54	0
137	SLE FR 6	-2	79	1047	-7.36	-1.57	0
137	SLE QP 1	-2	69	988	-6.72	-1.49	0
137	SLE QP 2	-2	75	1023	-7.11	-1.54	0
137	SLD 1	-2	201	926	-13.13	2.06	0.01
137	SLD 2	-2	201	926	-13.13	2.06	0.01
137	SLD 3	2	56	864	-6.34	5.26	0
137	SLD 4	2	56	864	-6.34	5.26	0
137	SLD 5	-7	333	1087	-19.21	-5.31	0.01
137	SLD 6	-7	333	1087	-19.21	-5.31	0.01
137	SLD 7	4	-151	883	3.42	5.36	0
137	SLD 8	4	-151	883	3.42	5.36	0
137	SLD 9	-8	301	1164	-17.64	-8.43	0
137	SLD 10	-8	301	1164	-17.64	-8.43	0
137	SLD 11	3	-183	960	5	2.23	-0.01
137	SLD 12	3	-183	960	5	2.23	-0.01
137	SLD 13	-6	94	1182	-7.88	-8.34	0
137	SLD 14	-6	94	1182	-7.88	-8.34	0
137	SLD 15	-2	-51	1121	-1.09	-5.14	-0.01
137	SLD 16	-2	-51	1121	-1.09	-5.14	-0.01
137	SLV 1	-1	378	773	-21.66	7.48	0.02
137	SLV 2	-1	378	773	-21.66	7.48	0.02
137	SLV 3	7	38	626	-5.73	15.5	0.01
137	SLV 4	7	38	626	-5.73	15.5	0.01
137	SLV 5	-13	682	1171	-35.64	-10.99	0.02
137	SLV 6	-13	682	1171	-35.64	-10.99	0.02
137	SLV 7	13	-453	681	17.48	15.74	-0.01
137	SLV 8	13	-453	681	17.48	15.74	-0.01
137	SLV 9	-17	602	1365	-31.69	-18.81	0.01
137	SLV 10	-17	602	1365	-31.69	-18.81	0.01
137	SLV 11	9	-532	876	21.43	7.92	-0.02
137	SLV 12	9	-532	876	21.43	7.92	-0.02
137	SLV 13	-11	112	1421	-8.49	-18.58	-0.01
137	SLV 14	-11	112	1421	-8.49	-18.58	-0.01
137	SLV 15	-3	-228	1274	7.45	-10.56	-0.02
137	SLV 16	-3	-228	1274	7.45	-10.56	-0.02
138	SLU 1	-2	46	1037	-5.52	-1.34	0
138	SLU 2	-1	127	1077	-9.67	-0.9	0



Nodo Ind.	Cont. N.br.	Reazione a traslazione			Reazione a rotazione		
		x	y	z	x	y	z
138	SLU 3	-2	46	1037	-5.52	-1.34	0
138	SLU 4	-2	95	1061	-8.01	-1.08	0
138	SLU 5	-1	127	1077	-9.67	-0.9	0
138	SLU 6	-2	46	1037	-5.52	-1.34	0
138	SLU 7	-2	95	1061	-8.01	-1.08	0
138	SLU 8	-2	46	1037	-5.52	-1.34	0
138	SLU 9	-2	95	1061	-8.01	-1.08	0
138	SLU 10	-2	145	1216	-10.95	-1.16	0
138	SLU 11	-3	64	1177	-6.8	-1.6	0
138	SLU 12	-2	113	1201	-9.29	-1.34	0
138	SLU 13	-2	145	1216	-10.95	-1.16	0
138	SLU 14	-3	64	1177	-6.8	-1.6	0
138	SLU 15	-2	113	1201	-9.29	-1.34	0
138	SLU 16	-3	64	1177	-6.8	-1.6	0
138	SLU 17	-2	113	1201	-9.29	-1.34	0
138	SLU 18	-3	72	1236	-7.34	-1.71	0
138	SLU 19	-2	120	1260	-9.84	-1.45	0
138	SLU 20	-3	72	1236	-7.34	-1.71	0
138	SLU 21	-2	120	1260	-9.84	-1.45	0
138	SLU 22	-2	56	1109	-6.17	-1.47	0
138	SLU 23	-2	136	1149	-10.33	-1.03	0
138	SLU 24	-2	56	1109	-6.17	-1.47	0
138	SLU 25	-2	104	1133	-8.67	-1.21	0
138	SLU 26	-2	136	1149	-10.33	-1.03	0
138	SLU 27	-2	56	1109	-6.17	-1.47	0
138	SLU 28	-2	104	1133	-8.67	-1.21	0
138	SLU 29	-2	56	1109	-6.17	-1.47	0
138	SLU 30	-2	104	1133	-8.67	-1.21	0
138	SLU 31	-2	154	1288	-11.61	-1.29	0
138	SLU 32	-3	74	1248	-7.45	-1.73	0
138	SLU 33	-2	122	1272	-9.95	-1.47	0
138	SLU 34	-2	154	1288	-11.61	-1.29	0
138	SLU 35	-3	74	1248	-7.45	-1.73	0
138	SLU 36	-2	122	1272	-9.95	-1.47	0
138	SLU 37	-3	74	1248	-7.45	-1.73	0
138	SLU 38	-2	122	1272	-9.95	-1.47	0
138	SLU 39	-3	81	1308	-8	-1.84	0
138	SLU 40	-3	130	1332	-10.49	-1.58	0
138	SLU 41	-3	81	1308	-8	-1.84	0
138	SLU 42	-3	130	1332	-10.49	-1.58	0
138	SLU 43	-3	57	1324	-6.95	-1.7	0
138	SLU 44	-2	138	1364	-11.1	-1.26	0
138	SLU 45	-3	57	1324	-6.95	-1.7	0
138	SLU 46	-2	106	1348	-9.44	-1.44	0
138	SLU 47	-2	138	1364	-11.1	-1.26	0
138	SLU 48	-3	57	1324	-6.95	-1.7	0
138	SLU 49	-2	106	1348	-9.44	-1.44	0
138	SLU 50	-3	57	1324	-6.95	-1.7	0
138	SLU 51	-2	106	1348	-9.44	-1.44	0
138	SLU 52	-2	156	1503	-12.38	-1.52	0
138	SLU 53	-3	75	1464	-8.23	-1.96	0
138	SLU 54	-3	123	1487	-10.72	-1.69	0
138	SLU 55	-2	156	1503	-12.38	-1.52	0
138	SLU 56	-3	75	1464	-8.23	-1.96	0
138	SLU 57	-3	123	1487	-10.72	-1.69	0
138	SLU 58	-3	75	1464	-8.23	-1.96	0
138	SLU 59	-3	123	1487	-10.72	-1.69	0
138	SLU 60	-3	83	1523	-8.77	-2.07	0
138	SLU 61	-3	131	1547	-11.27	-1.8	0
138	SLU 62	-3	83	1523	-8.77	-2.07	0
138	SLU 63	-3	131	1547	-11.27	-1.8	0
138	SLU 64	-3	66	1396	-7.61	-1.83	0
138	SLU 65	-2	147	1435	-11.76	-1.39	0
138	SLU 66	-3	66	1396	-7.61	-1.83	0
138	SLU 67	-3	115	1419	-10.1	-1.57	0
138	SLU 68	-2	147	1435	-11.76	-1.39	0
138	SLU 69	-3	66	1396	-7.61	-1.83	0
138	SLU 70	-3	115	1419	-10.1	-1.57	0
138	SLU 71	-3	66	1396	-7.61	-1.83	0
138	SLU 72	-3	115	1419	-10.1	-1.57	0
138	SLU 73	-3	165	1575	-13.04	-1.65	0
138	SLU 74	-3	84	1535	-8.88	-2.09	0
138	SLU 75	-3	133	1559	-11.38	-1.82	0
138	SLU 76	-3	165	1575	-13.04	-1.65	0
138	SLU 77	-3	84	1535	-8.88	-2.09	0
138	SLU 78	-3	133	1559	-11.38	-1.82	0
138	SLU 79	-3	84	1535	-8.88	-2.09	0
138	SLU 80	-3	133	1559	-11.38	-1.82	0
138	SLU 81	-4	92	1595	-9.43	-2.2	0
138	SLU 82	-3	140	1618	-11.92	-1.94	0
138	SLU 83	-4	92	1595	-9.43	-2.2	0
138	SLU 84	-3	140	1618	-11.92	-1.94	0
138	SLE RA 1	-2	49	1058	-5.71	-1.38	0
138	SLE RA 2	-2	103	1084	-8.48	-1.09	0
138	SLE RA 3	-2	49	1058	-5.71	-1.38	0
138	SLE RA 4	-2	81	1074	-7.37	-1.2	0
138	SLE RA 5	-2	103	1084	-8.48	-1.09	0
138	SLE RA 6	-2	49	1058	-5.71	-1.38	0



Nodo Ind.	Cont. N.br.	Reazione a traslazione			Reazione a rotazione		
		x	y	z	x	y	z
138	SLE RA 7	-2	81	1074	-7.37	-1.2	0
138	SLE RA 8	-2	49	1058	-5.71	-1.38	0
138	SLE RA 9	-2	81	1074	-7.37	-1.2	0
138	SLE RA 10	-2	115	1177	-9.33	-1.26	0
138	SLE RA 11	-3	61	1151	-6.56	-1.55	0
138	SLE RA 12	-2	93	1167	-8.22	-1.38	0
138	SLE RA 13	-2	115	1177	-9.33	-1.26	0
138	SLE RA 14	-3	61	1151	-6.56	-1.55	0
138	SLE RA 15	-2	93	1167	-8.22	-1.38	0
138	SLE RA 16	-3	61	1151	-6.56	-1.55	0
138	SLE RA 17	-2	93	1167	-8.22	-1.38	0
138	SLE RA 18	-3	66	1190	-6.92	-1.63	0
138	SLE RA 19	-2	98	1206	-8.58	-1.45	0
138	SLE RA 20	-3	66	1190	-6.92	-1.63	0
138	SLE RA 21	-2	98	1206	-8.58	-1.45	0
138	SLE FR 1	-2	49	1058	-5.71	-1.38	0
138	SLE FR 2	-2	60	1063	-6.26	-1.32	0
138	SLE FR 3	-2	49	1058	-5.71	-1.38	0
138	SLE FR 4	-2	65	1103	-6.63	-1.4	0
138	SLE FR 5	-2	54	1098	-6.07	-1.45	0
138	SLE FR 6	-2	58	1124	-6.31	-1.5	0
138	SLE QP 1	-2	49	1058	-5.71	-1.38	0
138	SLE QP 2	-2	54	1098	-6.07	-1.45	0
138	SLD 1	-2	187	989	-12.4	4.28	0
138	SLD 2	-2	187	989	-12.4	4.28	0
138	SLD 3	-5	50	929	-5.98	1.3	0.01
138	SLD 4	-5	50	929	-5.98	1.3	0.01
138	SLD 5	3	302	1156	-17.71	4.78	-0.01
138	SLD 6	3	302	1156	-17.71	4.78	-0.01
138	SLD 7	-8	-155	956	3.7	-5.14	0.01
138	SLD 8	-8	-155	956	3.7	-5.14	0.01
138	SLD 9	4	263	1239	-15.84	2.24	-0.01
138	SLD 10	4	263	1239	-15.84	2.24	-0.01
138	SLD 11	-8	-194	1039	5.57	-7.69	0.01
138	SLD 12	-8	-194	1039	5.57	-7.69	0.01
138	SLD 13	0	58	1266	-6.17	-4.21	-0.01
138	SLD 14	0	58	1266	-6.17	-4.21	-0.01
138	SLD 15	-3	-79	1206	0.26	-7.19	0
138	SLD 16	-3	-79	1206	0.26	-7.19	0
138	SLV 1	-1	374	818	-21.32	12.77	0.01
138	SLV 2	-1	374	818	-21.32	12.77	0.01
138	SLV 3	-9	55	674	-6.37	5.53	0.02
138	SLV 4	-9	55	674	-6.37	5.53	0.02
138	SLV 5	11	634	1232	-33.32	13.79	-0.01
138	SLV 6	11	634	1232	-33.32	13.79	-0.01
138	SLV 7	-18	-429	752	16.52	-10.34	0.02
138	SLV 8	-18	-429	752	16.52	-10.34	0.02
138	SLV 9	13	538	1443	-28.66	7.43	-0.02
138	SLV 10	13	538	1443	-28.66	7.43	-0.02
138	SLV 11	-16	-526	963	21.18	-16.7	0.01
138	SLV 12	-16	-526	963	21.18	-16.7	0.01
138	SLV 13	5	53	1521	-5.77	-8.44	-0.02
138	SLV 14	5	53	1521	-5.77	-8.44	-0.02
138	SLV 15	-4	-266	1378	9.18	-15.68	-0.01
138	SLV 16	-4	-266	1378	9.18	-15.68	-0.01
139	SLU 1	-9	-22	1692	-1.99	-5.54	0
139	SLU 2	-6	-12	1693	-3.4	-3.21	0
139	SLU 3	-9	-22	1692	-1.99	-5.54	0
139	SLU 4	-7	-16	1693	-2.84	-4.14	0
139	SLU 5	-6	-12	1693	-3.4	-3.21	0
139	SLU 6	-9	-22	1692	-1.99	-5.54	0
139	SLU 7	-7	-16	1693	-2.84	-4.14	0
139	SLU 8	-9	-22	1692	-1.99	-5.54	0
139	SLU 9	-7	-16	1693	-2.84	-4.14	0
139	SLU 10	-6	9	1863	-4.14	-3.71	0
139	SLU 11	-9	-1	1863	-2.72	-6.04	0
139	SLU 12	-8	5	1863	-3.57	-4.64	0
139	SLU 13	-6	9	1863	-4.14	-3.71	0
139	SLU 14	-9	-1	1863	-2.72	-6.04	0
139	SLU 15	-8	5	1863	-3.57	-4.64	0
139	SLU 16	-9	-1	1863	-2.72	-6.04	0
139	SLU 17	-8	5	1863	-3.57	-4.64	0
139	SLU 18	-10	8	1936	-3.04	-6.26	0
139	SLU 19	-8	14	1936	-3.88	-4.86	0
139	SLU 20	-10	8	1936	-3.04	-6.26	0
139	SLU 21	-8	14	1936	-3.88	-4.86	0
139	SLU 22	-9	-11	1780	-2.37	-5.8	0
139	SLU 23	-6	-1	1780	-3.78	-3.47	0
139	SLU 24	-9	-11	1780	-2.37	-5.8	0
139	SLU 25	-7	-5	1780	-3.22	-4.4	0
139	SLU 26	-6	-1	1780	-3.78	-3.47	0
139	SLU 27	-9	-11	1780	-2.37	-5.8	0
139	SLU 28	-7	-5	1780	-3.22	-4.4	0
139	SLU 29	-9	-11	1780	-2.37	-5.8	0
139	SLU 30	-7	-5	1780	-3.22	-4.4	0
139	SLU 31	-7	20	1951	-4.51	-3.97	0
139	SLU 32	-10	10	1950	-3.1	-6.3	0
139	SLU 33	-8	16	1950	-3.95	-4.9	0



Nodo Ind.	Cont. N.br.	Reazione a traslazione			Reazione a rotazione		
		x	y	z	x	y	z
139	SLU 34	-7	20	1951	-4.51	-3.97	0
139	SLU 35	-10	10	1950	-3.1	-6.3	0
139	SLU 36	-8	16	1950	-3.95	-4.9	0
139	SLU 37	-10	10	1950	-3.1	-6.3	0
139	SLU 38	-8	16	1950	-3.95	-4.9	0
139	SLU 39	-10	19	2023	-3.41	-6.51	0
139	SLU 40	-8	25	2023	-4.26	-5.11	0
139	SLU 41	-10	19	2023	-3.41	-6.51	0
139	SLU 42	-8	25	2023	-4.26	-5.11	0
139	SLU 43	-11	-32	2170	-2.46	-7.12	0
139	SLU 44	-8	-22	2171	-3.87	-4.79	0
139	SLU 45	-11	-32	2170	-2.46	-7.12	0
139	SLU 46	-9	-26	2170	-3.31	-5.72	0
139	SLU 47	-8	-22	2171	-3.87	-4.79	0
139	SLU 48	-11	-32	2170	-2.46	-7.12	0
139	SLU 49	-9	-26	2170	-3.31	-5.72	0
139	SLU 50	-11	-32	2170	-2.46	-7.12	0
139	SLU 51	-9	-26	2170	-3.31	-5.72	0
139	SLU 52	-9	-1	2341	-4.6	-5.29	0
139	SLU 53	-12	-11	2341	-3.19	-7.62	0
139	SLU 54	-10	-5	2341	-4.04	-6.22	0
139	SLU 55	-9	-1	2341	-4.6	-5.29	0
139	SLU 56	-12	-11	2341	-3.19	-7.62	0
139	SLU 57	-10	-5	2341	-4.04	-6.22	0
139	SLU 58	-12	-11	2341	-3.19	-7.62	0
139	SLU 59	-10	-5	2341	-4.04	-6.22	0
139	SLU 60	-12	-2	2414	-3.5	-7.83	0
139	SLU 61	-10	4	2414	-4.35	-6.43	0
139	SLU 62	-12	-2	2414	-3.5	-7.83	0
139	SLU 63	-10	4	2414	-4.35	-6.43	0
139	SLU 64	-12	-21	2257	-2.84	-7.37	0
139	SLU 65	-9	-11	2258	-4.25	-5.04	0
139	SLU 66	-12	-21	2257	-2.84	-7.37	0
139	SLU 67	-10	-15	2258	-3.68	-5.97	0
139	SLU 68	-9	-11	2258	-4.25	-5.04	0
139	SLU 69	-12	-21	2257	-2.84	-7.37	0
139	SLU 70	-10	-15	2258	-3.68	-5.97	0
139	SLU 71	-12	-21	2257	-2.84	-7.37	0
139	SLU 72	-10	-15	2258	-3.68	-5.97	0
139	SLU 73	-9	9	2428	-4.98	-5.54	0
139	SLU 74	-12	0	2428	-3.57	-7.87	0
139	SLU 75	-10	6	2428	-4.42	-6.47	0
139	SLU 76	-9	9	2428	-4.98	-5.54	0
139	SLU 77	-12	0	2428	-3.57	-7.87	0
139	SLU 78	-10	6	2428	-4.42	-6.47	0
139	SLU 79	-12	0	2428	-3.57	-7.87	0
139	SLU 80	-10	6	2428	-4.42	-6.47	0
139	SLU 81	-13	9	2501	-3.88	-8.08	0
139	SLU 82	-11	14	2501	-4.73	-6.69	0
139	SLU 83	-13	9	2501	-3.88	-8.08	0
139	SLU 84	-11	14	2501	-4.73	-6.69	0
139	SLE RA 1	-9	-19	1717	-2.1	-5.61	0
139	SLE RA 2	-7	-12	1718	-3.04	-4.06	0
139	SLE RA 3	-9	-19	1717	-2.1	-5.61	0
139	SLE RA 4	-8	-15	1717	-2.66	-4.68	0
139	SLE RA 5	-7	-12	1718	-3.04	-4.06	0
139	SLE RA 6	-9	-19	1717	-2.1	-5.61	0
139	SLE RA 7	-8	-15	1717	-2.66	-4.68	0
139	SLE RA 8	-9	-19	1717	-2.1	-5.61	0
139	SLE RA 9	-8	-15	1717	-2.66	-4.68	0
139	SLE RA 10	-7	2	1831	-3.53	-4.39	0
139	SLE RA 11	-9	-5	1831	-2.59	-5.95	0
139	SLE RA 12	-8	-1	1831	-3.15	-5.02	0
139	SLE RA 13	-7	2	1831	-3.53	-4.39	0
139	SLE RA 14	-9	-5	1831	-2.59	-5.95	0
139	SLE RA 15	-8	-1	1831	-3.15	-5.02	0
139	SLE RA 16	-9	-5	1831	-2.59	-5.95	0
139	SLE RA 17	-8	-1	1831	-3.15	-5.02	0
139	SLE RA 18	-9	1	1880	-2.8	-6.09	0
139	SLE RA 19	-8	5	1880	-3.36	-5.16	0
139	SLE RA 20	-9	1	1880	-2.8	-6.09	0
139	SLE RA 21	-8	5	1880	-3.36	-5.16	0
139	SLE FR 1	-9	-19	1717	-2.1	-5.61	0
139	SLE FR 2	-8	-17	1717	-2.29	-5.3	0
139	SLE FR 3	-9	-19	1717	-2.1	-5.61	0
139	SLE FR 4	-9	-11	1766	-2.5	-5.45	0
139	SLE FR 5	-9	-13	1766	-2.31	-5.76	0
139	SLE FR 6	-9	-9	1798	-2.45	-5.85	0
139	SLE QP 1	-9	-19	1717	-2.1	-5.61	0
139	SLE QP 2	-9	-13	1766	-2.31	-5.76	0
139	SLD 1	0	88	1849	-7.05	1.63	0.01
139	SLD 2	0	88	1849	-7.05	1.63	0.01
139	SLD 3	-7	-4	1916	-2.95	-3	0.01
139	SLD 4	-7	-4	1916	-2.95	-3	0.01
139	SLD 5	5	157	1689	-9.96	3.48	-0.01
139	SLD 6	5	157	1689	-9.96	3.48	-0.01
139	SLD 7	-20	-149	1912	3.73	-11.95	0.01
139	SLD 8	-20	-149	1912	3.73	-11.95	0.01



Nodo Ind.	Cont. N.br.	Reazione a traslazione			Reazione a rotazione		
		x	y	z	x	y	z
139	SLD 9	2	124	1620	-8.34	0.44	-0.01
139	SLD 10	2	124	1620	-8.34	0.44	-0.01
139	SLD 11	-23	-182	1843	5.34	-15	0.01
139	SLD 12	-23	-182	1843	5.34	-15	0.01
139	SLD 13	-11	-22	1616	-1.67	-8.52	-0.01
139	SLD 14	-11	-22	1616	-1.67	-8.52	-0.01
139	SLD 15	-18	-113	1683	2.44	-13.15	0
139	SLD 16	-18	-113	1683	2.44	-13.15	0
139	SLV 1	14	227	1960	-13.65	12.37	0.01
139	SLV 2	14	227	1960	-13.65	12.37	0.01
139	SLV 3	-5	11	2122	-3.98	0.6	0.02
139	SLV 4	-5	11	2122	-3.98	0.6	0.02
139	SLV 5	27	387	1579	-20.36	17.54	-0.02
139	SLV 6	27	387	1579	-20.36	17.54	-0.02
139	SLV 7	-37	-333	2118	11.84	-21.71	0.03
139	SLV 8	-37	-333	2118	11.84	-21.71	0.03
139	SLV 9	19	308	1414	-16.46	10.19	-0.03
139	SLV 10	19	308	1414	-16.46	10.19	-0.03
139	SLV 11	-45	-412	1953	15.75	-29.05	0.02
139	SLV 12	-45	-412	1953	15.75	-29.05	0.02
139	SLV 13	-13	-36	1410	-0.63	-12.11	-0.02
139	SLV 14	-13	-36	1410	-0.63	-12.11	-0.02
139	SLV 15	-32	-252	1572	9.03	-23.89	-0.01
139	SLV 16	-32	-252	1572	9.03	-23.89	-0.01
140	SLU 1	1	-249	2123	9.29	-0.22	-0.01
140	SLU 2	-4	-258	2083	9.75	-3.62	-0.04
140	SLU 3	1	-249	2123	9.29	-0.22	-0.01
140	SLU 4	-2	-254	2099	9.57	-2.26	-0.03
140	SLU 5	-4	-258	2083	9.75	-3.62	-0.04
140	SLU 6	1	-249	2123	9.29	-0.22	-0.01
140	SLU 7	-2	-254	2099	9.57	-2.26	-0.03
140	SLU 8	1	-249	2123	9.29	-0.22	-0.01
140	SLU 9	-2	-254	2099	9.57	-2.26	-0.03
140	SLU 10	-4	-261	2333	9.87	-3.89	-0.05
140	SLU 11	0	-252	2373	9.4	-0.49	-0.01
140	SLU 12	-2	-257	2349	9.68	-2.53	-0.04
140	SLU 13	-4	-261	2333	9.87	-3.89	-0.05
140	SLU 14	0	-252	2373	9.4	-0.49	-0.01
140	SLU 15	-2	-257	2349	9.68	-2.53	-0.04
140	SLU 16	0	-252	2373	9.4	-0.49	-0.01
140	SLU 17	-2	-257	2349	9.68	-2.53	-0.04
140	SLU 18	0	-253	2480	9.45	-0.6	-0.02
140	SLU 19	-3	-259	2456	9.73	-2.64	-0.04
140	SLU 20	0	-253	2480	9.45	-0.6	-0.02
140	SLU 21	-3	-259	2456	9.73	-2.64	-0.04
140	SLU 22	1	-250	2251	9.34	-0.36	-0.01
140	SLU 23	-4	-259	2211	9.81	-3.76	-0.05
140	SLU 24	1	-250	2251	9.34	-0.36	-0.01
140	SLU 25	-2	-256	2227	9.62	-2.4	-0.03
140	SLU 26	-4	-259	2211	9.81	-3.76	-0.05
140	SLU 27	1	-250	2251	9.34	-0.36	-0.01
140	SLU 28	-2	-256	2227	9.62	-2.4	-0.03
140	SLU 29	1	-250	2251	9.34	-0.36	-0.01
140	SLU 30	-2	-256	2227	9.62	-2.4	-0.03
140	SLU 31	-4	-262	2461	9.92	-4.03	-0.05
140	SLU 32	0	-253	2501	9.45	-0.63	-0.02
140	SLU 33	-3	-259	2477	9.73	-2.67	-0.04
140	SLU 34	-4	-262	2461	9.92	-4.03	-0.05
140	SLU 35	0	-253	2501	9.45	-0.63	-0.02
140	SLU 36	-3	-259	2477	9.73	-2.67	-0.04
140	SLU 37	0	-253	2501	9.45	-0.63	-0.02
140	SLU 38	-3	-259	2477	9.73	-2.67	-0.04
140	SLU 39	0	-254	2608	9.5	-0.74	-0.02
140	SLU 40	-3	-260	2584	9.78	-2.78	-0.04
140	SLU 41	0	-254	2608	9.5	-0.74	-0.02
140	SLU 42	-3	-260	2584	9.78	-2.78	-0.04
140	SLU 43	1	-323	2717	12.06	-0.24	-0.01
140	SLU 44	-3	-332	2676	12.52	-3.64	-0.04
140	SLU 45	1	-323	2717	12.06	-0.24	-0.01
140	SLU 46	-2	-328	2692	12.33	-2.28	-0.03
140	SLU 47	-3	-332	2676	12.52	-3.64	-0.04
140	SLU 48	1	-323	2717	12.06	-0.24	-0.01
140	SLU 49	-2	-328	2692	12.33	-2.28	-0.03
140	SLU 50	1	-323	2717	12.06	-0.24	-0.01
140	SLU 51	-2	-328	2692	12.33	-2.28	-0.03
140	SLU 52	-4	-335	2926	12.64	-3.91	-0.05
140	SLU 53	1	-326	2966	12.17	-0.51	-0.01
140	SLU 54	-2	-331	2942	12.45	-2.55	-0.04
140	SLU 55	-4	-335	2926	12.64	-3.91	-0.05
140	SLU 56	1	-326	2966	12.17	-0.51	-0.01
140	SLU 57	-2	-331	2942	12.45	-2.55	-0.04
140	SLU 58	1	-326	2966	12.17	-0.51	-0.01
140	SLU 59	-2	-331	2942	12.45	-2.55	-0.04
140	SLU 60	1	-327	3073	12.22	-0.62	-0.02
140	SLU 61	-2	-333	3049	12.5	-2.66	-0.04
140	SLU 62	1	-327	3073	12.22	-0.62	-0.02
140	SLU 63	-2	-333	3049	12.5	-2.66	-0.04
140	SLU 64	1	-324	2845	12.11	-0.38	-0.01



Nodo Ind.	Cont. N.br.	Reazione a traslazione			Reazione a rotazione		
		x	y	z	x	y	z
140	SLU 65	-4	-334	2804	12.57	-3.78	-0.05
140	SLU 66	1	-324	2845	12.11	-0.38	-0.01
140	SLU 67	-2	-330	2820	12.39	-2.42	-0.03
140	SLU 68	-4	-334	2804	12.57	-3.78	-0.05
140	SLU 69	1	-324	2845	12.11	-0.38	-0.01
140	SLU 70	-2	-330	2820	12.39	-2.42	-0.03
140	SLU 71	1	-324	2845	12.11	-0.38	-0.01
140	SLU 72	-2	-330	2820	12.39	-2.42	-0.03
140	SLU 73	-4	-337	3054	12.69	-4.05	-0.05
140	SLU 74	0	-327	3094	12.22	-0.65	-0.02
140	SLU 75	-2	-333	3070	12.5	-2.69	-0.04
140	SLU 76	-4	-337	3054	12.69	-4.05	-0.05
140	SLU 77	0	-327	3094	12.22	-0.65	-0.02
140	SLU 78	-2	-333	3070	12.5	-2.69	-0.04
140	SLU 79	0	-327	3094	12.22	-0.65	-0.02
140	SLU 80	-2	-333	3070	12.5	-2.69	-0.04
140	SLU 81	0	-328	3201	12.27	-0.76	-0.02
140	SLU 82	-2	-334	3177	12.55	-2.8	-0.04
140	SLU 83	0	-328	3201	12.27	-0.76	-0.02
140	SLU 84	-2	-334	3177	12.55	-2.8	-0.04
140	SLE RA 1	1	-249	2160	9.3	-0.26	-0.01
140	SLE RA 2	-2	-255	2133	9.61	-2.53	-0.03
140	SLE RA 3	1	-249	2160	9.3	-0.26	-0.01
140	SLE RA 4	-1	-253	2144	9.49	-1.62	-0.02
140	SLE RA 5	-2	-255	2133	9.61	-2.53	-0.03
140	SLE RA 6	1	-249	2160	9.3	-0.26	-0.01
140	SLE RA 7	-1	-253	2144	9.49	-1.62	-0.02
140	SLE RA 8	1	-249	2160	9.3	-0.26	-0.01
140	SLE RA 9	-1	-253	2144	9.49	-1.62	-0.02
140	SLE RA 10	-3	-257	2300	9.69	-2.71	-0.04
140	SLE RA 11	0	-251	2326	9.38	-0.44	-0.01
140	SLE RA 12	-1	-255	2310	9.56	-1.8	-0.03
140	SLE RA 13	-3	-257	2300	9.69	-2.71	-0.04
140	SLE RA 14	0	-251	2326	9.38	-0.44	-0.01
140	SLE RA 15	-1	-255	2310	9.56	-1.8	-0.03
140	SLE RA 16	0	-251	2326	9.38	-0.44	-0.01
140	SLE RA 17	-1	-255	2310	9.56	-1.8	-0.03
140	SLE RA 18	0	-252	2398	9.41	-0.52	-0.01
140	SLE RA 19	-1	-256	2382	9.6	-1.88	-0.03
140	SLE RA 20	0	-252	2398	9.41	-0.52	-0.01
140	SLE RA 21	-1	-256	2382	9.6	-1.88	-0.03
140	SLE FR 1	1	-249	2160	9.3	-0.26	-0.01
140	SLE FR 2	0	-250	2155	9.36	-0.71	-0.01
140	SLE FR 3	1	-249	2160	9.3	-0.26	-0.01
140	SLE FR 4	0	-251	2226	9.4	-0.79	-0.01
140	SLE FR 5	1	-250	2231	9.34	-0.34	-0.01
140	SLE FR 6	1	-250	2279	9.36	-0.39	-0.01
140	SLE QP 1	1	-249	2160	9.3	-0.26	-0.01
140	SLE QP 2	1	-250	2231	9.34	-0.34	-0.01
140	SLD 1	-1	-124	1970	4.78	3.04	-0.01
140	SLD 2	-1	-124	1970	4.78	3.04	-0.01
140	SLD 3	13	-239	2157	8.93	10.4	0.1
140	SLD 4	13	-239	2157	8.93	10.4	0.1
140	SLD 5	-20	-38	1870	1.67	-10.48	-0.16
140	SLD 6	-20	-38	1870	1.67	-10.48	-0.16
140	SLD 7	24	-421	2492	15.51	14.04	0.18
140	SLD 8	24	-421	2492	15.51	14.04	0.18
140	SLD 9	-23	-79	1970	3.16	-14.71	-0.2
140	SLD 10	-23	-79	1970	3.16	-14.71	-0.2
140	SLD 11	21	-462	2593	17	9.81	0.14
140	SLD 12	21	-462	2593	17	9.81	0.14
140	SLD 13	-11	-261	2306	9.74	-11.07	-0.12
140	SLD 14	-11	-261	2306	9.74	-11.07	-0.12
140	SLD 15	2	-376	2492	13.89	-3.71	-0.01
140	SLD 16	2	-376	2492	13.89	-3.71	-0.01
140	SLV 1	-3	49	1598	-1.47	7.51	0
140	SLV 2	-3	49	1598	-1.47	7.51	0
140	SLV 3	31	-222	2068	8.33	26.32	0.26
140	SLV 4	31	-222	2068	8.33	26.32	0.26
140	SLV 5	-52	251	1329	-8.77	-26.5	-0.4
140	SLV 6	-52	251	1329	-8.77	-26.5	-0.4
140	SLV 7	61	-653	2894	23.9	36.18	0.46
140	SLV 8	61	-653	2894	23.9	36.18	0.46
140	SLV 9	-60	153	1568	-5.23	-36.85	-0.48
140	SLV 10	-60	153	1568	-5.23	-36.85	-0.48
140	SLV 11	53	-750	3133	27.44	25.83	0.38
140	SLV 12	53	-750	3133	27.44	25.83	0.38
140	SLV 13	-30	-277	2395	10.34	-26.99	-0.28
140	SLV 14	-30	-277	2395	10.34	-26.99	-0.28
140	SLV 15	4	-548	2865	20.14	-8.18	-0.02
140	SLV 16	4	-548	2865	20.14	-8.18	-0.02
141	SLU 1	0	-60	1104	7.89	-0.78	0
141	SLU 2	-1	6	1104	5.54	-1.6	0
141	SLU 3	0	-60	1104	7.89	-0.78	0
141	SLU 4	-1	-21	1104	6.48	-1.27	0
141	SLU 5	-1	6	1104	5.54	-1.6	0
141	SLU 6	0	-60	1104	7.89	-0.78	0
141	SLU 7	-1	-21	1104	6.48	-1.27	0



Nodo Ind.	Cont. N.br.	Reazione a traslazione			Reazione a rotazione		
		x	y	z	x	y	z
141	SLU 8	0	-60	1104	7.89	-0.78	0
141	SLU 9	-1	-21	1104	6.48	-1.27	0
141	SLU 10	-1	11	1285	6.38	-1.69	0
141	SLU 11	-1	-55	1285	8.73	-0.88	0
141	SLU 12	-1	-15	1285	7.32	-1.37	0
141	SLU 13	-1	11	1285	6.38	-1.69	0
141	SLU 14	-1	-55	1285	8.73	-0.88	0
141	SLU 15	-1	-15	1285	7.32	-1.37	0
141	SLU 16	-1	-55	1285	8.73	-0.88	0
141	SLU 17	-1	-15	1285	7.32	-1.37	0
141	SLU 18	-1	-52	1362	9.09	-0.92	0
141	SLU 19	-1	-13	1363	7.68	-1.41	0
141	SLU 20	-1	-52	1362	9.09	-0.92	0
141	SLU 21	-1	-13	1363	7.68	-1.41	0
141	SLU 22	-1	-57	1197	8.32	-0.83	0
141	SLU 23	-1	9	1197	5.97	-1.65	0
141	SLU 24	-1	-57	1197	8.32	-0.83	0
141	SLU 25	-1	-18	1197	6.91	-1.32	0
141	SLU 26	-1	9	1197	5.97	-1.65	0
141	SLU 27	-1	-57	1197	8.32	-0.83	0
141	SLU 28	-1	-18	1197	6.91	-1.32	0
141	SLU 29	-1	-57	1197	8.32	-0.83	0
141	SLU 30	-1	-18	1197	6.91	-1.32	0
141	SLU 31	-1	14	1378	6.81	-1.74	0
141	SLU 32	-1	-52	1378	9.16	-0.93	0
141	SLU 33	-1	-12	1378	7.75	-1.42	0
141	SLU 34	-1	14	1378	6.81	-1.74	0
141	SLU 35	-1	-52	1378	9.16	-0.93	0
141	SLU 36	-1	-12	1378	7.75	-1.42	0
141	SLU 37	-1	-52	1378	9.16	-0.93	0
141	SLU 38	-1	-12	1378	7.75	-1.42	0
141	SLU 39	-1	-49	1455	9.52	-0.97	0
141	SLU 40	-1	-10	1455	8.11	-1.46	0
141	SLU 41	-1	-49	1455	9.52	-0.97	0
141	SLU 42	-1	-10	1455	8.11	-1.46	0
141	SLU 43	-1	-79	1403	10.11	-1	0
141	SLU 44	-1	-13	1404	7.76	-1.82	0
141	SLU 45	-1	-79	1403	10.11	-1	0
141	SLU 46	-1	-40	1404	8.7	-1.49	0
141	SLU 47	-1	-13	1404	7.76	-1.82	0
141	SLU 48	-1	-79	1403	10.11	-1	0
141	SLU 49	-1	-40	1404	8.7	-1.49	0
141	SLU 50	-1	-79	1403	10.11	-1	0
141	SLU 51	-1	-40	1404	8.7	-1.49	0
141	SLU 52	-1	-8	1585	8.6	-1.91	0
141	SLU 53	-1	-74	1584	10.95	-1.1	0
141	SLU 54	-1	-34	1585	9.54	-1.59	0
141	SLU 55	-1	-8	1585	8.6	-1.91	0
141	SLU 56	-1	-74	1584	10.95	-1.1	0
141	SLU 57	-1	-34	1585	9.54	-1.59	0
141	SLU 58	-1	-74	1584	10.95	-1.1	0
141	SLU 59	-1	-34	1585	9.54	-1.59	0
141	SLU 60	-1	-71	1662	11.31	-1.14	0
141	SLU 61	-1	-32	1662	9.9	-1.63	0
141	SLU 62	-1	-71	1662	11.31	-1.14	0
141	SLU 63	-1	-32	1662	9.9	-1.63	0
141	SLU 64	-1	-76	1496	10.54	-1.05	0
141	SLU 65	-1	-11	1497	8.19	-1.86	0
141	SLU 66	-1	-76	1496	10.54	-1.05	0
141	SLU 67	-1	-37	1496	9.13	-1.54	0
141	SLU 68	-1	-11	1497	8.19	-1.86	0
141	SLU 69	-1	-76	1496	10.54	-1.05	0
141	SLU 70	-1	-37	1496	9.13	-1.54	0
141	SLU 71	-1	-76	1496	10.54	-1.05	0
141	SLU 72	-1	-37	1496	9.13	-1.54	0
141	SLU 73	-1	-5	1678	9.03	-1.96	0
141	SLU 74	-1	-71	1677	11.38	-1.15	0
141	SLU 75	-1	-31	1677	9.97	-1.63	0
141	SLU 76	-1	-5	1678	9.03	-1.96	0
141	SLU 77	-1	-71	1677	11.38	-1.15	0
141	SLU 78	-1	-31	1677	9.97	-1.63	0
141	SLU 79	-1	-71	1677	11.38	-1.15	0
141	SLU 80	-1	-31	1677	9.97	-1.63	0
141	SLU 81	-1	-68	1754	11.74	-1.19	0
141	SLU 82	-1	-29	1755	10.33	-1.68	0
141	SLU 83	-1	-68	1754	11.74	-1.19	0
141	SLU 84	-1	-29	1755	10.33	-1.68	0
141	SLE RA 1	0	-59	1130	8.01	-0.8	0
141	SLE RA 2	-1	-15	1131	6.44	-1.34	0
141	SLE RA 3	0	-59	1130	8.01	-0.8	0
141	SLE RA 4	-1	-33	1131	7.07	-1.12	0
141	SLE RA 5	-1	-15	1131	6.44	-1.34	0
141	SLE RA 6	0	-59	1130	8.01	-0.8	0
141	SLE RA 7	-1	-33	1131	7.07	-1.12	0
141	SLE RA 8	0	-59	1130	8.01	-0.8	0
141	SLE RA 9	-1	-33	1131	7.07	-1.12	0
141	SLE RA 10	-1	-12	1251	7.01	-1.4	0
141	SLE RA 11	-1	-56	1251	8.58	-0.86	0



Nodo Ind.	Cont. N.br.	Reazione a traslazione			Reazione a rotazione		
		x	y	z	x	y	z
141	SLE RA 12	-1	-29	1251	7.63	-1.19	0
141	SLE RA 13	-1	-12	1251	7.01	-1.4	0
141	SLE RA 14	-1	-56	1251	8.58	-0.86	0
141	SLE RA 15	-1	-29	1251	7.63	-1.19	0
141	SLE RA 16	-1	-56	1251	8.58	-0.86	0
141	SLE RA 17	-1	-29	1251	7.63	-1.19	0
141	SLE RA 18	-1	-54	1303	8.82	-0.89	0
141	SLE RA 19	-1	-28	1303	7.87	-1.21	0
141	SLE RA 20	-1	-54	1303	8.82	-0.89	0
141	SLE RA 21	-1	-28	1303	7.87	-1.21	0
141	SLE FR 1	0	-59	1130	8.01	-0.8	0
141	SLE FR 2	-1	-51	1130	7.7	-0.91	0
141	SLE FR 3	0	-59	1130	8.01	-0.8	0
141	SLE FR 4	-1	-49	1182	7.94	-0.93	0
141	SLE FR 5	-1	-58	1182	8.25	-0.83	0
141	SLE FR 6	-1	-57	1217	8.41	-0.84	0
141	SLE QP 1	0	-59	1130	8.01	-0.8	0
141	SLE QP 2	-1	-58	1182	8.25	-0.83	0
141	SLD 1	-4	59	1078	7.3	0.66	0.01
141	SLD 2	-4	59	1078	7.3	0.66	0.01
141	SLD 3	-1	-78	1125	13.1	2.96	0
141	SLD 4	-1	-78	1125	13.1	2.96	0
141	SLD 5	-6	186	1079	-0.83	-3.87	0.01
141	SLD 6	-6	186	1079	-0.83	-3.87	0.01
141	SLD 7	4	-272	1236	18.5	3.8	-0.01
141	SLD 8	4	-272	1236	18.5	3.8	-0.01
141	SLD 9	-5	156	1128	-2	-5.45	0
141	SLD 10	-5	156	1128	-2	-5.45	0
141	SLD 11	5	-301	1285	17.34	2.22	-0.01
141	SLD 12	5	-301	1285	17.34	2.22	-0.01
141	SLD 13	0	-38	1239	3.41	-4.62	-0.01
141	SLD 14	0	-38	1239	3.41	-4.62	-0.01
141	SLD 15	3	-175	1286	9.21	-2.31	-0.01
141	SLD 16	3	-175	1286	9.21	-2.31	-0.01
141	SLV 1	-9	224	922	6.25	2.93	0.02
141	SLV 2	-9	224	922	6.25	2.93	0.02
141	SLV 3	-2	-98	1038	19.84	8.7	0.01
141	SLV 4	-2	-98	1038	19.84	8.7	0.01
141	SLV 5	-15	515	928	-12.96	-8.46	0.02
141	SLV 6	-15	515	928	-12.96	-8.46	0.02
141	SLV 7	11	-558	1315	32.34	10.79	-0.01
141	SLV 8	11	-558	1315	32.34	10.79	-0.01
141	SLV 9	-12	443	1049	-15.83	-12.44	0.01
141	SLV 10	-12	443	1049	-15.83	-12.44	0.01
141	SLV 11	14	-631	1436	29.47	6.81	-0.02
141	SLV 12	14	-631	1436	29.47	6.81	-0.02
141	SLV 13	0	-17	1326	-3.33	-10.35	-0.01
141	SLV 14	0	-17	1326	-3.33	-10.35	-0.01
141	SLV 15	8	-339	1442	10.26	-4.58	-0.02
141	SLV 16	8	-339	1442	10.26	-4.58	-0.02
142	SLU 1	-1	-79	1132	8.1	-0.79	0
142	SLU 2	0	-15	1137	5.79	-0.34	0
142	SLU 3	-1	-79	1132	8.1	-0.79	0
142	SLU 4	0	-41	1135	6.72	-0.52	0
142	SLU 5	0	-15	1137	5.79	-0.34	0
142	SLU 6	-1	-79	1132	8.1	-0.79	0
142	SLU 7	0	-41	1135	6.72	-0.52	0
142	SLU 8	-1	-79	1132	8.1	-0.79	0
142	SLU 9	0	-41	1135	6.72	-0.52	0
142	SLU 10	0	-15	1326	6.82	-0.5	0
142	SLU 11	-1	-78	1321	9.13	-0.95	0
142	SLU 12	-1	-40	1324	7.75	-0.68	0
142	SLU 13	0	-15	1326	6.82	-0.5	0
142	SLU 14	-1	-78	1321	9.13	-0.95	0
142	SLU 15	-1	-40	1324	7.75	-0.68	0
142	SLU 16	-1	-78	1321	9.13	-0.95	0
142	SLU 17	-1	-40	1324	7.75	-0.68	0
142	SLU 18	-1	-78	1402	9.57	-1.02	0
142	SLU 19	-1	-40	1405	8.19	-0.75	0
142	SLU 20	-1	-78	1402	9.57	-1.02	0
142	SLU 21	-1	-40	1405	8.19	-0.75	0
142	SLU 22	-1	-79	1229	8.63	-0.87	0
142	SLU 23	0	-15	1234	6.32	-0.42	0
142	SLU 24	-1	-79	1229	8.63	-0.87	0
142	SLU 25	0	-41	1232	7.24	-0.6	0
142	SLU 26	0	-15	1234	6.32	-0.42	0
142	SLU 27	-1	-79	1229	8.63	-0.87	0
142	SLU 28	0	-41	1232	7.24	-0.6	0
142	SLU 29	-1	-79	1229	8.63	-0.87	0
142	SLU 30	0	-41	1232	7.24	-0.6	0
142	SLU 31	0	-15	1423	7.35	-0.58	0
142	SLU 32	-1	-78	1418	9.66	-1.03	0
142	SLU 33	-1	-40	1421	8.27	-0.76	0
142	SLU 34	0	-15	1423	7.35	-0.58	0
142	SLU 35	-1	-78	1418	9.66	-1.03	0
142	SLU 36	-1	-40	1421	8.27	-0.76	0
142	SLU 37	-1	-78	1418	9.66	-1.03	0
142	SLU 38	-1	-40	1421	8.27	-0.76	0



Nodo Ind.	Cont. N.br.	Reazione a traslazione			Reazione a rotazione		
		x	y	z	x	y	z
142	SLU 39	-1	-78	1498	10.1	-1.1	0
142	SLU 40	-1	-40	1502	8.72	-0.83	0
142	SLU 41	-1	-78	1498	10.1	-1.1	0
142	SLU 42	-1	-40	1502	8.72	-0.83	0
142	SLU 43	-1	-103	1439	10.35	-1	0
142	SLU 44	0	-39	1444	8.04	-0.55	0
142	SLU 45	-1	-103	1439	10.35	-1	0
142	SLU 46	-1	-65	1442	8.97	-0.73	0
142	SLU 47	0	-39	1444	8.04	-0.55	0
142	SLU 48	-1	-103	1439	10.35	-1	0
142	SLU 49	-1	-65	1442	8.97	-0.73	0
142	SLU 50	-1	-103	1439	10.35	-1	0
142	SLU 51	-1	-65	1442	8.97	-0.73	0
142	SLU 52	0	-39	1633	9.07	-0.71	0
142	SLU 53	-1	-102	1627	11.38	-1.16	0
142	SLU 54	-1	-64	1630	10	-0.89	0
142	SLU 55	0	-39	1633	9.07	-0.71	0
142	SLU 56	-1	-102	1627	11.38	-1.16	0
142	SLU 57	-1	-64	1630	10	-0.89	0
142	SLU 58	-1	-102	1627	11.38	-1.16	0
142	SLU 59	-1	-64	1630	10	-0.89	0
142	SLU 60	-1	-102	1708	11.82	-1.23	0
142	SLU 61	-1	-64	1711	10.44	-0.96	0
142	SLU 62	-1	-102	1708	11.82	-1.23	0
142	SLU 63	-1	-64	1711	10.44	-0.96	0
142	SLU 64	-1	-102	1535	10.88	-1.08	0
142	SLU 65	0	-39	1541	8.57	-0.63	0
142	SLU 66	-1	-102	1535	10.88	-1.08	0
142	SLU 67	-1	-64	1539	9.49	-0.81	0
142	SLU 68	0	-39	1541	8.57	-0.63	0
142	SLU 69	-1	-102	1535	10.88	-1.08	0
142	SLU 70	-1	-64	1539	9.49	-0.81	0
142	SLU 71	-1	-102	1535	10.88	-1.08	0
142	SLU 72	-1	-64	1539	9.49	-0.81	0
142	SLU 73	-1	-38	1729	9.6	-0.79	0
142	SLU 74	-1	-102	1724	11.91	-1.24	0
142	SLU 75	-1	-64	1727	10.52	-0.97	0
142	SLU 76	-1	-38	1729	9.6	-0.79	0
142	SLU 77	-1	-102	1724	11.91	-1.24	0
142	SLU 78	-1	-64	1727	10.52	-0.97	0
142	SLU 79	-1	-102	1724	11.91	-1.24	0
142	SLU 80	-1	-64	1727	10.52	-0.97	0
142	SLU 81	-2	-101	1805	12.35	-1.31	0
142	SLU 82	-1	-63	1808	10.97	-1.04	0
142	SLU 83	-2	-101	1805	12.35	-1.31	0
142	SLU 84	-1	-63	1808	10.97	-1.04	0
142	SLE RA 1	-1	-79	1160	8.25	-0.82	0
142	SLE RA 2	0	-37	1163	6.71	-0.51	0
142	SLE RA 3	-1	-79	1160	8.25	-0.82	0
142	SLE RA 4	-1	-53	1162	7.33	-0.63	0
142	SLE RA 5	0	-37	1163	6.71	-0.51	0
142	SLE RA 6	-1	-79	1160	8.25	-0.82	0
142	SLE RA 7	-1	-53	1162	7.33	-0.63	0
142	SLE RA 8	-1	-79	1160	8.25	-0.82	0
142	SLE RA 9	-1	-53	1162	7.33	-0.63	0
142	SLE RA 10	0	-36	1289	7.4	-0.62	0
142	SLE RA 11	-1	-78	1286	8.94	-0.92	0
142	SLE RA 12	-1	-53	1288	8.02	-0.74	0
142	SLE RA 13	0	-36	1289	7.4	-0.62	0
142	SLE RA 14	-1	-78	1286	8.94	-0.92	0
142	SLE RA 15	-1	-53	1288	8.02	-0.74	0
142	SLE RA 16	-1	-78	1286	8.94	-0.92	0
142	SLE RA 17	-1	-53	1288	8.02	-0.74	0
142	SLE RA 18	-1	-78	1339	9.23	-0.97	0
142	SLE RA 19	-1	-53	1342	8.31	-0.79	0
142	SLE RA 20	-1	-78	1339	9.23	-0.97	0
142	SLE RA 21	-1	-53	1342	8.31	-0.79	0
142	SLE FR 1	-1	-79	1160	8.25	-0.82	0
142	SLE FR 2	-1	-70	1160	7.95	-0.75	0
142	SLE FR 3	-1	-79	1160	8.25	-0.82	0
142	SLE FR 4	-1	-70	1214	8.24	-0.8	0
142	SLE FR 5	-1	-79	1214	8.55	-0.86	0
142	SLE FR 6	-1	-78	1250	8.74	-0.89	0
142	SLE QP 1	-1	-79	1160	8.25	-0.82	0
142	SLE QP 2	-1	-79	1214	8.55	-0.86	0
142	SLD 1	-2	49	1097	3.51	2.22	0
142	SLD 2	-2	49	1097	3.51	2.22	0
142	SLD 3	-6	-84	1149	9.16	0.04	0.01
142	SLD 4	-6	-84	1149	9.16	0.04	0.01
142	SLD 5	5	162	1100	-1.52	3.38	-0.01
142	SLD 6	5	162	1100	-1.52	3.38	-0.01
142	SLD 7	-9	-282	1273	17.29	-3.91	0.01
142	SLD 8	-9	-282	1273	17.29	-3.91	0.01
142	SLD 9	7	125	1155	-0.19	2.19	-0.01
142	SLD 10	7	125	1155	-0.19	2.19	-0.01
142	SLD 11	-7	-319	1327	18.62	-5.1	0
142	SLD 12	-7	-319	1327	18.62	-5.1	0
142	SLD 13	4	-73	1279	7.94	-1.76	-0.01



Nodo Ind.	Cont. N.br.	Reazione a traslazione			Reazione a rotazione		
		x	y	z	x	y	z
142	SLD 14	4	-73	1279	7.94	-1.76	-0.01
142	SLD 15	0	-206	1330	13.58	-3.95	-0.01
142	SLD 16	0	-206	1330	13.58	-3.95	-0.01
142	SLV 1	-3	227	923	-3.43	6.82	0.01
142	SLV 2	-3	227	923	-3.43	6.82	0.01
142	SLV 3	-13	-82	1045	9.69	1.39	0.02
142	SLV 4	-13	-82	1045	9.69	1.39	0.02
142	SLV 5	14	482	941	-14.95	9.68	-0.02
142	SLV 6	14	482	941	-14.95	9.68	-0.02
142	SLV 7	-20	-549	1348	28.79	-8.42	0.02
142	SLV 8	-20	-549	1348	28.79	-8.42	0.02
142	SLV 9	18	392	1079	-11.69	6.7	-0.02
142	SLV 10	18	392	1079	-11.69	6.7	-0.02
142	SLV 11	-16	-639	1486	32.04	-11.4	0.01
142	SLV 12	-16	-639	1486	32.04	-11.4	0.01
142	SLV 13	11	-75	1383	7.41	-3.11	-0.02
142	SLV 14	11	-75	1383	7.41	-3.11	-0.02
142	SLV 15	1	-384	1505	20.53	-8.54	-0.01
142	SLV 16	1	-384	1505	20.53	-8.54	-0.01
143	SLU 1	-6	-127	1818	10.14	-3.71	0
143	SLU 2	-3	-145	1771	11.48	-1.79	0
143	SLU 3	-6	-127	1818	10.14	-3.71	0
143	SLU 4	-4	-138	1789	10.95	-2.56	0
143	SLU 5	-3	-145	1771	11.48	-1.79	0
143	SLU 6	-6	-127	1818	10.14	-3.71	0
143	SLU 7	-4	-138	1789	10.95	-2.56	0
143	SLU 8	-6	-127	1818	10.14	-3.71	0
143	SLU 9	-4	-138	1789	10.95	-2.56	0
143	SLU 10	-3	-119	1989	10.73	-1.99	0
143	SLU 11	-6	-101	2037	9.38	-3.92	0
143	SLU 12	-4	-111	2008	10.19	-2.76	0
143	SLU 13	-3	-119	1989	10.73	-1.99	0
143	SLU 14	-6	-101	2037	9.38	-3.92	0
143	SLU 15	-4	-111	2008	10.19	-2.76	0
143	SLU 16	-6	-101	2037	9.38	-3.92	0
143	SLU 17	-4	-111	2008	10.19	-2.76	0
143	SLU 18	-6	-89	2130	9.06	-4	0
143	SLU 19	-4	-100	2102	9.86	-2.85	0
143	SLU 20	-6	-89	2130	9.06	-4	0
143	SLU 21	-4	-100	2102	9.86	-2.85	0
143	SLU 22	-6	-113	1930	9.75	-3.82	0
143	SLU 23	-3	-131	1883	11.09	-1.89	0
143	SLU 24	-6	-113	1930	9.75	-3.82	0
143	SLU 25	-4	-124	1902	10.55	-2.66	0
143	SLU 26	-3	-131	1883	11.09	-1.89	0
143	SLU 27	-6	-113	1930	9.75	-3.82	0
143	SLU 28	-4	-124	1902	10.55	-2.66	0
143	SLU 29	-6	-113	1930	9.75	-3.82	0
143	SLU 30	-4	-124	1902	10.55	-2.66	0
143	SLU 31	-3	-105	2101	10.33	-2.1	0
143	SLU 32	-6	-87	2149	8.99	-4.02	0
143	SLU 33	-4	-98	2120	9.8	-2.87	0
143	SLU 34	-3	-105	2101	10.33	-2.1	0
143	SLU 35	-6	-87	2149	8.99	-4.02	0
143	SLU 36	-4	-98	2120	9.8	-2.87	0
143	SLU 37	-6	-87	2149	8.99	-4.02	0
143	SLU 38	-4	-98	2120	9.8	-2.87	0
143	SLU 39	-6	-76	2242	8.67	-4.11	0
143	SLU 40	-4	-87	2214	9.47	-2.95	0
143	SLU 41	-6	-76	2242	8.67	-4.11	0
143	SLU 42	-4	-87	2214	9.47	-2.95	0
143	SLU 43	-8	-169	2325	13.32	-4.79	0
143	SLU 44	-5	-187	2277	14.66	-2.87	0
143	SLU 45	-8	-169	2325	13.32	-4.79	0
143	SLU 46	-6	-180	2296	14.12	-3.64	0
143	SLU 47	-5	-187	2277	14.66	-2.87	0
143	SLU 48	-8	-169	2325	13.32	-4.79	0
143	SLU 49	-6	-180	2296	14.12	-3.64	0
143	SLU 50	-8	-169	2325	13.32	-4.79	0
143	SLU 51	-6	-180	2296	14.12	-3.64	0
143	SLU 52	-5	-161	2496	13.9	-3.07	0
143	SLU 53	-8	-143	2543	12.56	-4.99	0.01
143	SLU 54	-6	-154	2515	13.36	-3.84	0
143	SLU 55	-5	-161	2496	13.9	-3.07	0
143	SLU 56	-8	-143	2543	12.56	-4.99	0.01
143	SLU 57	-6	-154	2515	13.36	-3.84	0
143	SLU 58	-8	-143	2543	12.56	-4.99	0.01
143	SLU 59	-6	-154	2515	13.36	-3.84	0
143	SLU 60	-8	-132	2637	12.23	-5.08	0.01
143	SLU 61	-6	-143	2609	13.04	-3.93	0.01
143	SLU 62	-8	-132	2637	12.23	-5.08	0.01
143	SLU 63	-6	-143	2609	13.04	-3.93	0.01
143	SLU 64	-8	-156	2437	12.92	-4.89	0.01
143	SLU 65	-5	-174	2390	14.27	-2.97	0
143	SLU 66	-8	-156	2437	12.92	-4.89	0.01
143	SLU 67	-6	-167	2408	13.73	-3.74	0
143	SLU 68	-5	-174	2390	14.27	-2.97	0
143	SLU 69	-8	-156	2437	12.92	-4.89	0.01



Nodo Ind.	Cont. N.br.	Reazione a traslazione			Reazione a rotazione		
		x	y	z	x	y	z
143	SLU 70	-6	-167	2408	13.73	-3.74	0
143	SLU 71	-8	-156	2437	12.92	-4.89	0.01
143	SLU 72	-6	-167	2408	13.73	-3.74	0
143	SLU 73	-5	-148	2608	13.51	-3.18	0
143	SLU 74	-8	-130	2656	12.17	-5.1	0.01
143	SLU 75	-6	-141	2627	12.97	-3.94	0.01
143	SLU 76	-5	-148	2608	13.51	-3.18	0
143	SLU 77	-8	-130	2656	12.17	-5.1	0.01
143	SLU 78	-6	-141	2627	12.97	-3.94	0.01
143	SLU 79	-8	-130	2656	12.17	-5.1	0.01
143	SLU 80	-6	-141	2627	12.97	-3.94	0.01
143	SLU 81	-8	-119	2749	11.84	-5.18	0.01
143	SLU 82	-6	-129	2721	12.65	-4.03	0.01
143	SLU 83	-8	-119	2749	11.84	-5.18	0.01
143	SLU 84	-6	-129	2721	12.65	-4.03	0.01
143	SLE RA 1	-6	-123	1850	10.03	-3.74	0
143	SLE RA 2	-4	-135	1818	10.92	-2.46	0
143	SLE RA 3	-6	-123	1850	10.03	-3.74	0
143	SLE RA 4	-5	-130	1831	10.57	-2.97	0
143	SLE RA 5	-4	-135	1818	10.92	-2.46	0
143	SLE RA 6	-6	-123	1850	10.03	-3.74	0
143	SLE RA 7	-5	-130	1831	10.57	-2.97	0
143	SLE RA 8	-6	-123	1850	10.03	-3.74	0
143	SLE RA 9	-5	-130	1831	10.57	-2.97	0
143	SLE RA 10	-4	-117	1964	10.42	-2.6	0
143	SLE RA 11	-6	-106	1996	9.52	-3.88	0
143	SLE RA 12	-5	-113	1977	10.06	-3.11	0
143	SLE RA 13	-4	-117	1964	10.42	-2.6	0
143	SLE RA 14	-6	-106	1996	9.52	-3.88	0
143	SLE RA 15	-5	-113	1977	10.06	-3.11	0
143	SLE RA 16	-6	-106	1996	9.52	-3.88	0
143	SLE RA 17	-5	-113	1977	10.06	-3.11	0
143	SLE RA 18	-6	-98	2058	9.31	-3.94	0
143	SLE RA 19	-5	-105	2039	9.84	-3.17	0
143	SLE RA 20	-6	-98	2058	9.31	-3.94	0
143	SLE RA 21	-5	-105	2039	9.84	-3.17	0
143	SLE FR 1	-6	-123	1850	10.03	-3.74	0
143	SLE FR 2	-6	-125	1843	10.21	-3.49	0
143	SLE FR 3	-6	-123	1850	10.03	-3.74	0
143	SLE FR 4	-6	-118	1906	9.99	-3.54	0
143	SLE FR 5	-6	-115	1912	9.81	-3.8	0
143	SLE FR 6	-6	-110	1954	9.67	-3.84	0
143	SLE QP 1	-6	-123	1850	10.03	-3.74	0
143	SLE QP 2	-6	-115	1912	9.81	-3.8	0
143	SLD 1	3	-9	2010	5.13	1.88	0.01
143	SLD 2	3	-9	2010	5.13	1.88	0.01
143	SLD 3	-6	-101	2143	9.22	-2.35	0.01
143	SLD 4	-6	-101	2143	9.22	-2.35	0.01
143	SLD 5	10	56	1740	2.19	4.32	0
143	SLD 6	10	56	1740	2.19	4.32	0
143	SLD 7	-19	-251	2183	15.85	-9.78	0.02
143	SLD 8	-19	-251	2183	15.85	-9.78	0.02
143	SLD 9	7	20	1641	3.78	2.18	-0.01
143	SLD 10	7	20	1641	3.78	2.18	-0.01
143	SLD 11	-22	-287	2085	17.43	-11.92	0.01
143	SLD 12	-22	-287	2085	17.43	-11.92	0.01
143	SLD 13	-7	-130	1682	10.4	-5.25	-0.01
143	SLD 14	-7	-130	1682	10.4	-5.25	-0.01
143	SLD 15	-15	-222	1815	14.5	-9.48	0
143	SLD 16	-15	-222	1815	14.5	-9.48	0
143	SLV 1	17	141	2138	-1.43	10.3	0.02
143	SLV 2	17	141	2138	-1.43	10.3	0.02
143	SLV 3	-5	-78	2470	8.3	-0.45	0.03
143	SLV 4	-5	-78	2470	8.3	-0.45	0.03
143	SLV 5	34	294	1477	-8.32	16.74	-0.02
143	SLV 6	34	294	1477	-8.32	16.74	-0.02
143	SLV 7	-39	-437	2582	24.12	-19.11	0.03
143	SLV 8	-39	-437	2582	24.12	-19.11	0.03
143	SLV 9	26	206	1242	-4.5	11.51	-0.03
143	SLV 10	26	206	1242	-4.5	11.51	-0.03
143	SLV 11	-46	-525	2347	27.95	-24.34	0.02
143	SLV 12	-46	-525	2347	27.95	-24.34	0.02
143	SLV 13	-8	-152	1354	11.32	-7.15	-0.02
143	SLV 14	-8	-152	1354	11.32	-7.15	-0.02
143	SLV 15	-29	-372	1686	21.06	-17.9	-0.01
143	SLV 16	-29	-372	1686	21.06	-17.9	-0.01
144	SLU 1	-1	-281	2316	13.03	-0.72	0.03
144	SLU 2	-4	-293	2211	12.14	-2.57	0.04
144	SLU 3	-1	-281	2316	13.03	-0.72	0.03
144	SLU 4	-3	-289	2253	12.5	-1.83	0.04
144	SLU 5	-4	-293	2211	12.14	-2.57	0.04
144	SLU 6	-1	-281	2316	13.03	-0.72	0.03
144	SLU 7	-3	-289	2253	12.5	-1.83	0.04
144	SLU 8	-1	-281	2316	13.03	-0.72	0.03
144	SLU 9	-3	-289	2253	12.5	-1.83	0.04
144	SLU 10	-5	-290	2551	13.41	-2.97	0.03
144	SLU 11	-3	-278	2656	14.29	-1.12	0.02
144	SLU 12	-4	-286	2593	13.76	-2.23	0.03



Nodo Ind.	Cont. N.br.	Reazione a traslazione			Reazione a rotazione		
		x	y	z	x	y	z
144	SLU 13	-5	-290	2551	13.41	-2.97	0.03
144	SLU 14	-3	-278	2656	14.29	-1.12	0.02
144	SLU 15	-4	-286	2593	13.76	-2.23	0.03
144	SLU 16	-3	-278	2656	14.29	-1.12	0.02
144	SLU 17	-4	-286	2593	13.76	-2.23	0.03
144	SLU 18	-3	-277	2801	14.84	-1.29	0.02
144	SLU 19	-5	-284	2739	14.3	-2.4	0.03
144	SLU 20	-3	-277	2801	14.84	-1.29	0.02
144	SLU 21	-5	-284	2739	14.3	-2.4	0.03
144	SLU 22	-2	-280	2490	13.67	-0.92	0.03
144	SLU 23	-5	-292	2385	12.78	-2.77	0.04
144	SLU 24	-2	-280	2490	13.67	-0.92	0.03
144	SLU 25	-4	-287	2427	13.14	-2.03	0.03
144	SLU 26	-5	-292	2385	12.78	-2.77	0.04
144	SLU 27	-2	-280	2490	13.67	-0.92	0.03
144	SLU 28	-4	-287	2427	13.14	-2.03	0.03
144	SLU 29	-2	-280	2490	13.67	-0.92	0.03
144	SLU 30	-4	-287	2427	13.14	-2.03	0.03
144	SLU 31	-6	-289	2726	14.05	-3.18	0.03
144	SLU 32	-3	-277	2830	14.93	-1.33	0.02
144	SLU 33	-5	-284	2767	14.4	-2.44	0.03
144	SLU 34	-6	-289	2726	14.05	-3.18	0.03
144	SLU 35	-3	-277	2830	14.93	-1.33	0.02
144	SLU 36	-5	-284	2767	14.4	-2.44	0.03
144	SLU 37	-3	-277	2830	14.93	-1.33	0.02
144	SLU 38	-5	-284	2767	14.4	-2.44	0.03
144	SLU 39	-4	-276	2976	15.48	-1.5	0.02
144	SLU 40	-5	-283	2913	14.94	-2.61	0.03
144	SLU 41	-4	-276	2976	15.48	-1.5	0.02
144	SLU 42	-5	-283	2913	14.94	-2.61	0.03
144	SLU 43	-2	-366	2951	16.72	-0.86	0.04
144	SLU 44	-4	-378	2846	15.83	-2.71	0.05
144	SLU 45	-2	-366	2951	16.72	-0.86	0.04
144	SLU 46	-3	-374	2888	16.19	-1.97	0.05
144	SLU 47	-4	-378	2846	15.83	-2.71	0.05
144	SLU 48	-2	-366	2951	16.72	-0.86	0.04
144	SLU 49	-3	-374	2888	16.19	-1.97	0.05
144	SLU 50	-2	-366	2951	16.72	-0.86	0.04
144	SLU 51	-3	-374	2888	16.19	-1.97	0.05
144	SLU 52	-5	-375	3186	17.1	-3.12	0.04
144	SLU 53	-3	-363	3291	17.98	-1.26	0.03
144	SLU 54	-4	-371	3228	17.45	-2.37	0.04
144	SLU 55	-5	-375	3186	17.1	-3.12	0.04
144	SLU 56	-3	-363	3291	17.98	-1.26	0.03
144	SLU 57	-4	-371	3228	17.45	-2.37	0.04
144	SLU 58	-3	-363	3291	17.98	-1.26	0.03
144	SLU 59	-4	-371	3228	17.45	-2.37	0.04
144	SLU 60	-3	-362	3436	18.53	-1.44	0.03
144	SLU 61	-5	-369	3374	17.99	-2.55	0.04
144	SLU 62	-3	-362	3436	18.53	-1.44	0.03
144	SLU 63	-5	-369	3374	17.99	-2.55	0.04
144	SLU 64	-2	-365	3125	17.36	-1.07	0.04
144	SLU 65	-5	-377	3020	16.47	-2.92	0.05
144	SLU 66	-2	-365	3125	17.36	-1.07	0.04
144	SLU 67	-4	-372	3062	16.83	-2.18	0.04
144	SLU 68	-5	-377	3020	16.47	-2.92	0.05
144	SLU 69	-2	-365	3125	17.36	-1.07	0.04
144	SLU 70	-4	-372	3062	16.83	-2.18	0.04
144	SLU 71	-2	-365	3125	17.36	-1.07	0.04
144	SLU 72	-4	-372	3062	16.83	-2.18	0.04
144	SLU 73	-6	-374	3360	17.74	-3.32	0.04
144	SLU 74	-3	-362	3465	18.62	-1.47	0.03
144	SLU 75	-5	-369	3402	18.09	-2.58	0.04
144	SLU 76	-6	-374	3360	17.74	-3.32	0.04
144	SLU 77	-3	-362	3465	18.62	-1.47	0.03
144	SLU 78	-5	-369	3402	18.09	-2.58	0.04
144	SLU 79	-3	-362	3465	18.62	-1.47	0.03
144	SLU 80	-5	-369	3402	18.09	-2.58	0.04
144	SLU 81	-4	-361	3611	19.17	-1.64	0.03
144	SLU 82	-5	-368	3548	18.63	-2.75	0.04
144	SLU 83	-4	-361	3611	19.17	-1.64	0.03
144	SLU 84	-5	-368	3548	18.63	-2.75	0.04
144	SLE RA 1	-2	-281	2365	13.21	-0.78	0.03
144	SLE RA 2	-3	-289	2296	12.62	-2.01	0.04
144	SLE RA 3	-2	-281	2365	13.21	-0.78	0.03
144	SLE RA 4	-3	-286	2324	12.86	-1.52	0.03
144	SLE RA 5	-3	-289	2296	12.62	-2.01	0.04
144	SLE RA 6	-2	-281	2365	13.21	-0.78	0.03
144	SLE RA 7	-3	-286	2324	12.86	-1.52	0.03
144	SLE RA 8	-2	-281	2365	13.21	-0.78	0.03
144	SLE RA 9	-3	-286	2324	12.86	-1.52	0.03
144	SLE RA 10	-4	-287	2523	13.46	-2.28	0.03
144	SLE RA 11	-2	-279	2592	14.06	-1.04	0.03
144	SLE RA 12	-3	-284	2550	13.7	-1.78	0.03
144	SLE RA 13	-4	-287	2523	13.46	-2.28	0.03
144	SLE RA 14	-2	-279	2592	14.06	-1.04	0.03
144	SLE RA 15	-3	-284	2550	13.7	-1.78	0.03
144	SLE RA 16	-2	-279	2592	14.06	-1.04	0.03



Nodo Ind.	Cont. N.br.	Reazione a traslazione			Reazione a rotazione		
		x	y	z	x	y	z
144	SLE RA 17	-3	-284	2550	13.7	-1.78	0.03
144	SLE RA 18	-3	-278	2689	14.42	-1.16	0.02
144	SLE RA 19	-4	-283	2647	14.06	-1.9	0.03
144	SLE RA 20	-3	-278	2689	14.42	-1.16	0.02
144	SLE RA 21	-4	-283	2647	14.06	-1.9	0.03
144	SLE FR 1	-2	-281	2365	13.21	-0.78	0.03
144	SLE FR 2	-2	-283	2351	13.1	-1.02	0.03
144	SLE FR 3	-2	-281	2365	13.21	-0.78	0.03
144	SLE FR 4	-2	-282	2449	13.46	-1.14	0.03
144	SLE FR 5	-2	-280	2463	13.58	-0.89	0.03
144	SLE FR 6	-2	-280	2527	13.82	-0.97	0.03
144	SLE QP 1	-2	-281	2365	13.21	-0.78	0.03
144	SLE QP 2	-2	-280	2463	13.58	-0.89	0.03
144	SLD 1	-3	-297	2052	8	0.04	-0.17
144	SLD 2	-3	-297	2052	8	0.04	-0.17
144	SLD 3	6	-401	2348	13.52	4.54	-0.11
144	SLD 4	6	-401	2348	13.52	4.54	-0.11
144	SLD 5	-16	-129	1890	3.53	-7.43	-0.12
144	SLD 6	-16	-129	1890	3.53	-7.43	-0.12
144	SLD 7	14	-473	2878	21.93	7.55	0.07
144	SLD 8	14	-473	2878	21.93	7.55	0.07
144	SLD 9	-18	-87	2047	5.22	-9.33	-0.02
144	SLD 10	-18	-87	2047	5.22	-9.33	-0.02
144	SLD 11	12	-432	3035	23.62	5.64	0.18
144	SLD 12	12	-432	3035	23.62	5.64	0.18
144	SLD 13	-10	-160	2577	13.63	-6.32	0.17
144	SLD 14	-10	-160	2577	13.63	-6.32	0.17
144	SLD 15	-1	-263	2873	19.15	-1.82	0.23
144	SLD 16	-1	-263	2873	19.15	-1.82	0.23
144	SLV 1	-4	-322	1464	0.33	1.22	-0.46
144	SLV 2	-4	-322	1464	0.33	1.22	-0.46
144	SLV 3	19	-566	2207	13.44	12.7	-0.31
144	SLV 4	19	-566	2207	13.44	12.7	-0.31
144	SLV 5	-37	77	1035	-10.29	-17.67	-0.34
144	SLV 6	-37	77	1035	-10.29	-17.67	-0.34
144	SLV 7	39	-736	3514	33.42	20.6	0.15
144	SLV 8	39	-736	3514	33.42	20.6	0.15
144	SLV 9	-43	175	1411	-6.27	-22.38	-0.09
144	SLV 10	-43	175	1411	-6.27	-22.38	-0.09
144	SLV 11	34	-637	3890	37.44	15.89	0.39
144	SLV 12	34	-637	3890	37.44	15.89	0.39
144	SLV 13	-23	6	2718	13.71	-14.48	0.36
144	SLV 14	-23	6	2718	13.71	-14.48	0.36
144	SLV 15	0	-238	3462	26.82	-3	0.51
144	SLV 16	0	-238	3462	26.82	-3	0.51
145	SLU 1	1	-32	1255	-2.31	-0.22	0
145	SLU 2	1	44	1215	-6.4	-0.61	0
145	SLU 3	1	-32	1255	-2.31	-0.22	0
145	SLU 4	1	13	1231	-4.76	-0.45	0
145	SLU 5	1	44	1215	-6.4	-0.61	0
145	SLU 6	1	-32	1255	-2.31	-0.22	0
145	SLU 7	1	13	1231	-4.76	-0.45	0
145	SLU 8	1	-32	1255	-2.31	-0.22	0
145	SLU 9	1	13	1231	-4.76	-0.45	0
145	SLU 10	1	54	1464	-7.19	-0.63	0
145	SLU 11	1	-22	1504	-3.1	-0.24	0
145	SLU 12	1	23	1480	-5.56	-0.47	0
145	SLU 13	1	54	1464	-7.19	-0.63	0
145	SLU 14	1	-22	1504	-3.1	-0.24	0
145	SLU 15	1	23	1480	-5.56	-0.47	0
145	SLU 16	1	-22	1504	-3.1	-0.24	0
145	SLU 17	1	23	1480	-5.56	-0.47	0
145	SLU 18	1	-18	1611	-3.44	-0.25	0
145	SLU 19	1	28	1587	-5.9	-0.48	0
145	SLU 20	1	-18	1611	-3.44	-0.25	0
145	SLU 21	1	28	1587	-5.9	-0.48	0
145	SLU 22	1	-27	1383	-2.72	-0.23	0
145	SLU 23	1	49	1342	-6.8	-0.62	0
145	SLU 24	1	-27	1383	-2.72	-0.23	0
145	SLU 25	1	18	1359	-5.17	-0.46	0
145	SLU 26	1	49	1342	-6.8	-0.62	0
145	SLU 27	1	-27	1383	-2.72	-0.23	0
145	SLU 28	1	18	1359	-5.17	-0.46	0
145	SLU 29	1	-27	1383	-2.72	-0.23	0
145	SLU 30	1	18	1359	-5.17	-0.46	0
145	SLU 31	1	59	1592	-7.6	-0.64	0
145	SLU 32	1	-17	1632	-3.51	-0.25	0
145	SLU 33	1	29	1608	-5.96	-0.49	0
145	SLU 34	1	59	1592	-7.6	-0.64	0
145	SLU 35	1	-17	1632	-3.51	-0.25	0
145	SLU 36	1	29	1608	-5.96	-0.49	0
145	SLU 37	1	-17	1632	-3.51	-0.25	0
145	SLU 38	1	29	1608	-5.96	-0.49	0
145	SLU 39	1	-13	1739	-3.85	-0.26	0
145	SLU 40	1	33	1714	-6.3	-0.5	0
145	SLU 41	1	-13	1739	-3.85	-0.26	0
145	SLU 42	1	33	1714	-6.3	-0.5	0
145	SLU 43	1	-44	1588	-2.87	-0.28	0



Nodo Ind.	Cont. N.br.	Reazione a traslazione			Reazione a rotazione		
		x	y	z	x	y	z
145	SLU 44	1	32	1547	-6.95	-0.67	0
145	SLU 45	1	-44	1588	-2.87	-0.28	0
145	SLU 46	1	2	1564	-5.32	-0.51	0
145	SLU 47	1	32	1547	-6.95	-0.67	0
145	SLU 48	1	-44	1588	-2.87	-0.28	0
145	SLU 49	1	2	1564	-5.32	-0.51	0
145	SLU 50	1	-44	1588	-2.87	-0.28	0
145	SLU 51	1	2	1564	-5.32	-0.51	0
145	SLU 52	1	42	1797	-7.74	-0.69	0
145	SLU 53	1	-34	1837	-3.66	-0.3	0
145	SLU 54	1	12	1813	-6.11	-0.53	0
145	SLU 55	1	42	1797	-7.74	-0.69	0
145	SLU 56	1	-34	1837	-3.66	-0.3	0
145	SLU 57	1	12	1813	-6.11	-0.53	0
145	SLU 58	1	-34	1837	-3.66	-0.3	0
145	SLU 59	1	12	1813	-6.11	-0.53	0
145	SLU 60	1	-30	1944	-4	-0.31	0
145	SLU 61	1	16	1919	-6.45	-0.54	0
145	SLU 62	1	-30	1944	-4	-0.31	0
145	SLU 63	1	16	1919	-6.45	-0.54	0
145	SLU 64	1	-39	1716	-3.27	-0.29	0
145	SLU 65	1	37	1675	-7.36	-0.68	0
145	SLU 66	1	-39	1716	-3.27	-0.29	0
145	SLU 67	1	7	1691	-5.72	-0.52	0
145	SLU 68	1	37	1675	-7.36	-0.68	0
145	SLU 69	1	-39	1716	-3.27	-0.29	0
145	SLU 70	1	7	1691	-5.72	-0.52	0
145	SLU 71	1	-39	1716	-3.27	-0.29	0
145	SLU 72	1	7	1691	-5.72	-0.52	0
145	SLU 73	1	47	1924	-8.15	-0.7	0
145	SLU 74	1	-29	1965	-4.07	-0.31	0
145	SLU 75	1	17	1940	-6.52	-0.55	0
145	SLU 76	1	47	1924	-8.15	-0.7	0
145	SLU 77	1	-29	1965	-4.07	-0.31	0
145	SLU 78	1	17	1940	-6.52	-0.55	0
145	SLU 79	1	-29	1965	-4.07	-0.31	0
145	SLU 80	1	17	1940	-6.52	-0.55	0
145	SLU 81	1	-24	2071	-4.4	-0.32	0
145	SLU 82	1	21	2047	-6.86	-0.56	0
145	SLU 83	1	-24	2071	-4.4	-0.32	0
145	SLU 84	1	21	2047	-6.86	-0.56	0
145	SLE RA 1	1	-31	1292	-2.43	-0.22	0
145	SLE RA 2	1	20	1265	-5.15	-0.48	0
145	SLE RA 3	1	-31	1292	-2.43	-0.22	0
145	SLE RA 4	1	-1	1275	-4.06	-0.37	0
145	SLE RA 5	1	20	1265	-5.15	-0.48	0
145	SLE RA 6	1	-31	1292	-2.43	-0.22	0
145	SLE RA 7	1	-1	1275	-4.06	-0.37	0
145	SLE RA 8	1	-31	1292	-2.43	-0.22	0
145	SLE RA 9	1	-1	1275	-4.06	-0.37	0
145	SLE RA 10	1	27	1431	-5.68	-0.49	0
145	SLE RA 11	1	-24	1458	-2.96	-0.23	0
145	SLE RA 12	1	6	1442	-4.59	-0.39	0
145	SLE RA 13	1	27	1431	-5.68	-0.49	0
145	SLE RA 14	1	-24	1458	-2.96	-0.23	0
145	SLE RA 15	1	6	1442	-4.59	-0.39	0
145	SLE RA 16	1	-24	1458	-2.96	-0.23	0
145	SLE RA 17	1	6	1442	-4.59	-0.39	0
145	SLE RA 18	1	-21	1529	-3.18	-0.24	0
145	SLE RA 19	1	9	1513	-4.82	-0.4	0
145	SLE RA 20	1	-21	1529	-3.18	-0.24	0
145	SLE RA 21	1	9	1513	-4.82	-0.4	0
145	SLE FR 1	1	-31	1292	-2.43	-0.22	0
145	SLE FR 2	1	-21	1286	-2.97	-0.27	0
145	SLE FR 3	1	-31	1292	-2.43	-0.22	0
145	SLE FR 4	1	-18	1357	-3.2	-0.28	0
145	SLE FR 5	1	-28	1363	-2.66	-0.23	0
145	SLE FR 6	1	-26	1410	-2.81	-0.23	0
145	SLE QP 1	1	-31	1292	-2.43	-0.22	0
145	SLE QP 2	1	-28	1363	-2.66	-0.23	0
145	SLD 1	-3	104	1255	-9.09	0.05	0
145	SLD 2	-3	104	1255	-9.09	0.05	0
145	SLD 3	-1	-38	1359	-2.32	1.33	-0.01
145	SLD 4	-1	-38	1359	-2.32	1.33	-0.01
145	SLD 5	-4	226	1173	-14.85	-2.09	0
145	SLD 6	-4	226	1173	-14.85	-2.09	0
145	SLD 7	4	-246	1520	7.72	2.19	-0.01
145	SLD 8	4	-246	1520	7.72	2.19	-0.01
145	SLD 9	-3	190	1206	-13.03	-2.64	0
145	SLD 10	-3	190	1206	-13.03	-2.64	0
145	SLD 11	6	-282	1553	9.54	1.64	0
145	SLD 12	6	-282	1553	9.54	1.64	0
145	SLD 13	2	-18	1366	-2.99	-1.78	0.01
145	SLD 14	2	-18	1366	-2.99	-1.78	0.01
145	SLD 15	5	-160	1470	3.78	-0.5	0
145	SLD 16	5	-160	1470	3.78	-0.5	0
145	SLV 1	-9	290	1099	-18.23	0.48	-0.01
145	SLV 2	-9	290	1099	-18.23	0.48	-0.01



Nodo Ind.	Cont. N.br.	Reazione a traslazione			Reazione a rotazione		
		x	y	z	x	y	z
145	SLV 3	-3	-42	1348	-2.31	3.7	-0.01
145	SLV 4	-3	-42	1348	-2.31	3.7	-0.01
145	SLV 5	-12	572	907	-31.47	-4.89	0.01
145	SLV 6	-12	572	907	-31.47	-4.89	0.01
145	SLV 7	9	-537	1735	21.59	5.83	-0.01
145	SLV 8	9	-537	1735	21.59	5.83	-0.01
145	SLV 9	-8	481	991	-26.9	-6.28	0.01
145	SLV 10	-8	481	991	-26.9	-6.28	0.01
145	SLV 11	13	-628	1818	26.16	4.44	-0.01
145	SLV 12	13	-628	1818	26.16	4.44	-0.01
145	SLV 13	5	-14	1378	-3	-4.15	0.01
145	SLV 14	5	-14	1378	-3	-4.15	0.01
145	SLV 15	11	-346	1626	12.92	-0.93	0.01
145	SLV 16	11	-346	1626	12.92	-0.93	0.01
146	SLU 1	0	-63	1239	-0.83	-0.3	0
146	SLU 2	1	8	1199	-4.71	0	0
146	SLU 3	0	-63	1239	-0.83	-0.3	0
146	SLU 4	1	-20	1215	-3.16	-0.12	0
146	SLU 5	1	8	1199	-4.71	0	0
146	SLU 6	0	-63	1239	-0.83	-0.3	0
146	SLU 7	1	-20	1215	-3.16	-0.12	0
146	SLU 8	0	-63	1239	-0.83	-0.3	0
146	SLU 9	1	-20	1215	-3.16	-0.12	0
146	SLU 10	1	13	1446	-5.35	-0.06	0
146	SLU 11	0	-58	1487	-1.46	-0.36	0
146	SLU 12	1	-15	1462	-3.79	-0.18	0
146	SLU 13	1	13	1446	-5.35	-0.06	0
146	SLU 14	0	-58	1487	-1.46	-0.36	0
146	SLU 15	1	-15	1462	-3.79	-0.18	0
146	SLU 16	0	-58	1487	-1.46	-0.36	0
146	SLU 17	1	-15	1462	-3.79	-0.18	0
146	SLU 18	0	-55	1593	-1.73	-0.39	0
146	SLU 19	1	-13	1568	-4.06	-0.21	0
146	SLU 20	0	-55	1593	-1.73	-0.39	0
146	SLU 21	1	-13	1568	-4.06	-0.21	0
146	SLU 22	0	-60	1366	-1.15	-0.33	0
146	SLU 23	1	11	1325	-5.04	-0.03	0
146	SLU 24	0	-60	1366	-1.15	-0.33	0
146	SLU 25	1	-18	1342	-3.48	-0.15	0
146	SLU 26	1	11	1325	-5.04	-0.03	0
146	SLU 27	0	-60	1366	-1.15	-0.33	0
146	SLU 28	1	-18	1342	-3.48	-0.15	0
146	SLU 29	0	-60	1366	-1.15	-0.33	0
146	SLU 30	1	-18	1342	-3.48	-0.15	0
146	SLU 31	1	16	1573	-5.67	-0.09	0
146	SLU 32	0	-55	1614	-1.79	-0.39	0
146	SLU 33	1	-13	1589	-4.12	-0.21	0
146	SLU 34	1	16	1573	-5.67	-0.09	0
146	SLU 35	0	-55	1614	-1.79	-0.39	0
146	SLU 36	1	-13	1589	-4.12	-0.21	0
146	SLU 37	0	-55	1614	-1.79	-0.39	0
146	SLU 38	1	-13	1589	-4.12	-0.21	0
146	SLU 39	0	-53	1720	-2.06	-0.42	0
146	SLU 40	1	-10	1695	-4.39	-0.24	0
146	SLU 41	0	-53	1720	-2.06	-0.42	0
146	SLU 42	1	-10	1695	-4.39	-0.24	0
146	SLU 43	0	-82	1567	-0.96	-0.37	0
146	SLU 44	1	-12	1527	-4.85	-0.07	0
146	SLU 45	0	-82	1567	-0.96	-0.37	0
146	SLU 46	1	-40	1543	-3.29	-0.19	0
146	SLU 47	1	-12	1527	-4.85	-0.07	0
146	SLU 48	0	-82	1567	-0.96	-0.37	0
146	SLU 49	1	-40	1543	-3.29	-0.19	0
146	SLU 50	0	-82	1567	-0.96	-0.37	0
146	SLU 51	1	-40	1543	-3.29	-0.19	0
146	SLU 52	1	-7	1774	-5.48	-0.14	0
146	SLU 53	0	-77	1815	-1.6	-0.44	0
146	SLU 54	1	-35	1791	-3.93	-0.26	0
146	SLU 55	1	-7	1774	-5.48	-0.14	0
146	SLU 56	0	-77	1815	-1.6	-0.44	0
146	SLU 57	1	-35	1791	-3.93	-0.26	0
146	SLU 58	0	-77	1815	-1.6	-0.44	0
146	SLU 59	1	-35	1791	-3.93	-0.26	0
146	SLU 60	0	-75	1921	-1.87	-0.47	0
146	SLU 61	1	-33	1897	-4.2	-0.29	0
146	SLU 62	0	-75	1921	-1.87	-0.47	0
146	SLU 63	1	-33	1897	-4.2	-0.29	0
146	SLU 64	0	-80	1694	-1.29	-0.41	0
146	SLU 65	1	-9	1654	-5.17	-0.11	0
146	SLU 66	0	-80	1694	-1.29	-0.41	0
146	SLU 67	1	-37	1670	-3.62	-0.23	0
146	SLU 68	1	-9	1654	-5.17	-0.11	0
146	SLU 69	0	-80	1694	-1.29	-0.41	0
146	SLU 70	1	-37	1670	-3.62	-0.23	0
146	SLU 71	0	-80	1694	-1.29	-0.41	0
146	SLU 72	1	-37	1670	-3.62	-0.23	0
146	SLU 73	1	-4	1901	-5.81	-0.17	0
146	SLU 74	0	-75	1942	-1.92	-0.47	0



Nodo Ind.	Cont. N.br.	Reazione a traslazione			Reazione a rotazione		
		x	y	z	x	y	z
146	SLU 75	1	-32	1917	-4.25	-0.29	0
146	SLU 76	1	-4	1901	-5.81	-0.17	0
146	SLU 77	0	-75	1942	-1.92	-0.47	0
146	SLU 78	1	-32	1917	-4.25	-0.29	0
146	SLU 79	0	-75	1942	-1.92	-0.47	0
146	SLU 80	1	-32	1917	-4.25	-0.29	0
146	SLU 81	0	-73	2048	-2.19	-0.5	0
146	SLU 82	1	-30	2024	-4.53	-0.32	0
146	SLU 83	0	-73	2048	-2.19	-0.5	0
146	SLU 84	1	-30	2024	-4.53	-0.32	0
146	SLE RA 1	0	-62	1275	-0.92	-0.31	0
146	SLE RA 2	1	-15	1248	-3.51	-0.11	0
146	SLE RA 3	0	-62	1275	-0.92	-0.31	0
146	SLE RA 4	1	-34	1259	-2.47	-0.19	0
146	SLE RA 5	1	-15	1248	-3.51	-0.11	0
146	SLE RA 6	0	-62	1275	-0.92	-0.31	0
146	SLE RA 7	1	-34	1259	-2.47	-0.19	0
146	SLE RA 8	0	-62	1275	-0.92	-0.31	0
146	SLE RA 9	1	-34	1259	-2.47	-0.19	0
146	SLE RA 10	1	-11	1413	-3.93	-0.15	0
146	SLE RA 11	0	-59	1440	-1.34	-0.35	0
146	SLE RA 12	1	-30	1424	-2.9	-0.23	0
146	SLE RA 13	1	-11	1413	-3.93	-0.15	0
146	SLE RA 14	0	-59	1440	-1.34	-0.35	0
146	SLE RA 15	1	-30	1424	-2.9	-0.23	0
146	SLE RA 16	0	-59	1440	-1.34	-0.35	0
146	SLE RA 17	1	-30	1424	-2.9	-0.23	0
146	SLE RA 18	0	-57	1511	-1.52	-0.37	0
146	SLE RA 19	1	-29	1495	-3.08	-0.25	0
146	SLE RA 20	0	-57	1511	-1.52	-0.37	0
146	SLE RA 21	1	-29	1495	-3.08	-0.25	0
146	SLE FR 1	0	-62	1275	-0.92	-0.31	0
146	SLE FR 2	0	-53	1270	-1.44	-0.27	0
146	SLE FR 3	0	-62	1275	-0.92	-0.31	0
146	SLE FR 4	0	-51	1341	-1.62	-0.28	0
146	SLE FR 5	0	-61	1346	-1.1	-0.32	0
146	SLE FR 6	0	-60	1393	-1.22	-0.34	0
146	SLE QP 1	0	-62	1275	-0.92	-0.31	0
146	SLE QP 2	0	-61	1346	-1.1	-0.32	0
146	SLD 1	-1	81	1238	-7.93	0.94	0
146	SLD 2	-1	81	1238	-7.93	0.94	0
146	SLD 3	-4	-59	1338	-1.24	-0.35	-0.01
146	SLD 4	-4	-59	1338	-1.24	-0.35	-0.01
146	SLD 5	5	195	1162	-13.31	2.01	0
146	SLD 6	5	195	1162	-13.31	2.01	0
146	SLD 7	-6	-273	1495	9.02	-2.29	-0.01
146	SLD 8	-6	-273	1495	9.02	-2.29	-0.01
146	SLD 9	7	152	1197	-11.22	1.64	0.01
146	SLD 10	7	152	1197	-11.22	1.64	0.01
146	SLD 11	-4	-316	1530	11.11	-2.66	0
146	SLD 12	-4	-316	1530	11.11	-2.66	0
146	SLD 13	5	-62	1355	-0.96	-0.3	0.01
146	SLD 14	5	-62	1355	-0.96	-0.3	0.01
146	SLD 15	2	-202	1455	5.73	-1.59	0
146	SLD 16	2	-202	1455	5.73	-1.59	0
146	SLV 1	-3	281	1081	-17.57	2.83	-0.01
146	SLV 2	-3	281	1081	-17.57	2.83	-0.01
146	SLV 3	-11	-46	1316	-2	-0.4	-0.02
146	SLV 4	-11	-46	1316	-2	-0.4	-0.02
146	SLV 5	12	537	909	-29.65	5.52	0.01
146	SLV 6	12	537	909	-29.65	5.52	0.01
146	SLV 7	-16	-551	1694	22.24	-5.24	-0.02
146	SLV 8	-16	-551	1694	22.24	-5.24	-0.02
146	SLV 9	16	430	998	-24.44	4.59	0.02
146	SLV 10	16	430	998	-24.44	4.59	0.02
146	SLV 11	-11	-658	1783	27.46	-6.16	-0.01
146	SLV 12	-11	-658	1783	27.46	-6.16	-0.01
146	SLV 13	12	-75	1376	-0.2	-0.25	0.02
146	SLV 14	12	-75	1376	-0.2	-0.25	0.02
146	SLV 15	4	-402	1611	15.37	-3.48	0.01
146	SLV 16	4	-402	1611	15.37	-3.48	0.01
147	SLU 1	0	-97	2075	2.55	-1.13	-0.01
147	SLU 2	2	-102	1959	1.43	-0.08	-0.01
147	SLU 3	0	-97	2075	2.55	-1.13	-0.01
147	SLU 4	1	-100	2005	1.88	-0.5	-0.01
147	SLU 5	2	-102	1959	1.43	-0.08	-0.01
147	SLU 6	0	-97	2075	2.55	-1.13	-0.01
147	SLU 7	1	-100	2005	1.88	-0.5	-0.01
147	SLU 8	0	-97	2075	2.55	-1.13	-0.01
147	SLU 9	1	-100	2005	1.88	-0.5	-0.01
147	SLU 10	3	-72	2264	0.79	0.08	-0.01
147	SLU 11	1	-67	2380	1.91	-0.97	-0.01
147	SLU 12	2	-70	2311	1.24	-0.34	-0.01
147	SLU 13	3	-72	2264	0.79	0.08	-0.01
147	SLU 14	1	-67	2380	1.91	-0.97	-0.01
147	SLU 15	2	-70	2311	1.24	-0.34	-0.01
147	SLU 16	1	-67	2380	1.91	-0.97	-0.01
147	SLU 17	2	-70	2311	1.24	-0.34	-0.01



Nodo Ind.	Cont. N.br.	Reazione a traslazione			Reazione a rotazione		
		x	y	z	x	y	z
147	SLU 18	1	-54	2511	1.64	-0.9	-0.01
147	SLU 19	2	-57	2441	0.97	-0.27	-0.01
147	SLU 20	1	-54	2511	1.64	-0.9	-0.01
147	SLU 21	2	-57	2441	0.97	-0.27	-0.01
147	SLU 22	0	-82	2231	2.22	-1.05	-0.01
147	SLU 23	2	-87	2116	1.1	0	-0.01
147	SLU 24	0	-82	2231	2.22	-1.05	-0.01
147	SLU 25	2	-85	2162	1.55	-0.42	-0.01
147	SLU 26	2	-87	2116	1.1	0	-0.01
147	SLU 27	0	-82	2231	2.22	-1.05	-0.01
147	SLU 28	2	-85	2162	1.55	-0.42	-0.01
147	SLU 29	0	-82	2231	2.22	-1.05	-0.01
147	SLU 30	2	-85	2162	1.55	-0.42	-0.01
147	SLU 31	3	-57	2421	0.46	0.17	-0.01
147	SLU 32	1	-52	2536	1.58	-0.88	-0.02
147	SLU 33	2	-55	2467	0.91	-0.25	-0.01
147	SLU 34	3	-57	2421	0.46	0.17	-0.01
147	SLU 35	1	-52	2536	1.58	-0.88	-0.02
147	SLU 36	2	-55	2467	0.91	-0.25	-0.01
147	SLU 37	1	-52	2536	1.58	-0.88	-0.02
147	SLU 38	2	-55	2467	0.91	-0.25	-0.01
147	SLU 39	2	-39	2667	1.31	-0.81	-0.02
147	SLU 40	3	-42	2598	0.64	-0.18	-0.01
147	SLU 41	2	-39	2667	1.31	-0.81	-0.02
147	SLU 42	3	-42	2598	0.64	-0.18	-0.01
147	SLU 43	0	-132	2643	3.42	-1.5	-0.02
147	SLU 44	2	-137	2528	2.3	-0.45	-0.01
147	SLU 45	0	-132	2643	3.42	-1.5	-0.02
147	SLU 46	1	-135	2574	2.75	-0.87	-0.01
147	SLU 47	2	-137	2528	2.3	-0.45	-0.01
147	SLU 48	0	-132	2643	3.42	-1.5	-0.02
147	SLU 49	1	-135	2574	2.75	-0.87	-0.01
147	SLU 50	0	-132	2643	3.42	-1.5	-0.02
147	SLU 51	1	-135	2574	2.75	-0.87	-0.01
147	SLU 52	3	-107	2833	1.67	-0.29	-0.01
147	SLU 53	1	-102	2948	2.79	-1.34	-0.02
147	SLU 54	2	-105	2879	2.12	-0.71	-0.01
147	SLU 55	3	-107	2833	1.67	-0.29	-0.01
147	SLU 56	1	-102	2948	2.79	-1.34	-0.02
147	SLU 57	2	-105	2879	2.12	-0.71	-0.01
147	SLU 58	1	-102	2948	2.79	-1.34	-0.02
147	SLU 59	2	-105	2879	2.12	-0.71	-0.01
147	SLU 60	1	-89	3079	2.52	-1.27	-0.02
147	SLU 61	2	-92	3010	1.84	-0.64	-0.02
147	SLU 62	1	-89	3079	2.52	-1.27	-0.02
147	SLU 63	2	-92	3010	1.84	-0.64	-0.02
147	SLU 64	0	-116	2800	3.1	-1.42	-0.02
147	SLU 65	2	-121	2684	1.98	-0.37	-0.01
147	SLU 66	0	-116	2800	3.1	-1.42	-0.02
147	SLU 67	1	-119	2730	2.42	-0.79	-0.01
147	SLU 68	2	-121	2684	1.98	-0.37	-0.01
147	SLU 69	0	-116	2800	3.1	-1.42	-0.02
147	SLU 70	1	-119	2730	2.42	-0.79	-0.01
147	SLU 71	0	-116	2800	3.1	-1.42	-0.02
147	SLU 72	1	-119	2730	2.42	-0.79	-0.01
147	SLU 73	3	-91	2989	1.34	-0.2	-0.01
147	SLU 74	1	-86	3105	2.46	-1.25	-0.02
147	SLU 75	2	-89	3036	1.79	-0.62	-0.02
147	SLU 76	3	-91	2989	1.34	-0.2	-0.01
147	SLU 77	1	-86	3105	2.46	-1.25	-0.02
147	SLU 78	2	-89	3036	1.79	-0.62	-0.02
147	SLU 79	1	-86	3105	2.46	-1.25	-0.02
147	SLU 80	2	-89	3036	1.79	-0.62	-0.02
147	SLU 81	2	-73	3236	2.19	-1.18	-0.02
147	SLU 82	3	-76	3166	1.52	-0.55	-0.02
147	SLU 83	2	-73	3236	2.19	-1.18	-0.02
147	SLU 84	3	-76	3166	1.52	-0.55	-0.02
147	SLE RA 1	0	-93	2119	2.45	-1.11	-0.01
147	SLE RA 2	1	-96	2042	1.71	-0.41	-0.01
147	SLE RA 3	0	-93	2119	2.45	-1.11	-0.01
147	SLE RA 4	1	-95	2073	2.01	-0.69	-0.01
147	SLE RA 5	1	-96	2042	1.71	-0.41	-0.01
147	SLE RA 6	0	-93	2119	2.45	-1.11	-0.01
147	SLE RA 7	1	-95	2073	2.01	-0.69	-0.01
147	SLE RA 8	0	-93	2119	2.45	-1.11	-0.01
147	SLE RA 9	1	-95	2073	2.01	-0.69	-0.01
147	SLE RA 10	2	-76	2246	1.28	-0.3	-0.01
147	SLE RA 11	1	-73	2323	2.03	-1	-0.01
147	SLE RA 12	1	-75	2277	1.58	-0.58	-0.01
147	SLE RA 13	2	-76	2246	1.28	-0.3	-0.01
147	SLE RA 14	1	-73	2323	2.03	-1	-0.01
147	SLE RA 15	1	-75	2277	1.58	-0.58	-0.01
147	SLE RA 16	1	-73	2323	2.03	-1	-0.01
147	SLE RA 17	1	-75	2277	1.58	-0.58	-0.01
147	SLE RA 18	1	-64	2410	1.85	-0.95	-0.01
147	SLE RA 19	2	-66	2364	1.4	-0.53	-0.01
147	SLE RA 20	1	-64	2410	1.85	-0.95	-0.01
147	SLE RA 21	2	-66	2364	1.4	-0.53	-0.01



Nodo Ind.	Cont. N.br.	Reazione a traslazione			Reazione a rotazione		
		x	y	z	x	y	z
147	SLE FR 1	0	-93	2119	2.45	-1.11	-0.01
147	SLE FR 2	0	-94	2104	2.3	-0.97	-0.01
147	SLE FR 3	0	-93	2119	2.45	-1.11	-0.01
147	SLE FR 4	1	-85	2191	2.12	-0.92	-0.01
147	SLE FR 5	0	-84	2206	2.27	-1.06	-0.01
147	SLE FR 6	1	-79	2265	2.15	-1.03	-0.01
147	SLE QP 1	0	-93	2119	2.45	-1.11	-0.01
147	SLE QP 2	0	-84	2206	2.27	-1.06	-0.01
147	SLD 1	7	25	2351	-2.74	2.13	0
147	SLD 2	7	25	2351	-2.74	2.13	0
147	SLD 3	1	-62	2585	1.23	-0.5	-0.01
147	SLD 4	1	-62	2585	1.23	-0.5	-0.01
147	SLD 5	12	81	1896	-5.25	3.9	0
147	SLD 6	12	81	1896	-5.25	3.9	0
147	SLD 7	-9	-210	2674	7.98	-4.9	-0.03
147	SLD 8	-9	-210	2674	7.98	-4.9	-0.03
147	SLD 9	10	41	1739	-3.43	2.77	0
147	SLD 10	10	41	1739	-3.43	2.77	0
147	SLD 11	-11	-249	2517	9.79	-6.02	-0.03
147	SLD 12	-11	-249	2517	9.79	-6.02	-0.03
147	SLD 13	0	-106	1828	3.32	-1.62	-0.01
147	SLD 14	0	-106	1828	3.32	-1.62	-0.01
147	SLD 15	-6	-194	2061	7.28	-4.26	-0.02
147	SLD 16	-6	-194	2061	7.28	-4.26	-0.02
147	SLV 1	17	178	2545	-9.74	6.93	0.01
147	SLV 2	17	178	2545	-9.74	6.93	0.01
147	SLV 3	1	-28	3130	-0.4	0.24	-0.01
147	SLV 4	1	-28	3130	-0.4	0.24	-0.01
147	SLV 5	30	308	1422	-15.49	11.49	0.03
147	SLV 6	30	308	1422	-15.49	11.49	0.03
147	SLV 7	-24	-381	3370	15.63	-10.83	-0.04
147	SLV 8	-24	-381	3370	15.63	-10.83	-0.04
147	SLV 9	25	212	1043	-11.09	8.7	0.02
147	SLV 10	25	212	1043	-11.09	8.7	0.02
147	SLV 11	-29	-476	2991	20.04	-13.62	-0.05
147	SLV 12	-29	-476	2991	20.04	-13.62	-0.05
147	SLV 13	0	-140	1283	4.95	-2.36	-0.02
147	SLV 14	0	-140	1283	4.95	-2.36	-0.02
147	SLV 15	-17	-347	1867	14.28	-9.06	-0.04
147	SLV 16	-17	-347	1867	14.28	-9.06	-0.04
148	SLU 1	398	-314	2660	10.15	8.28	0.06
148	SLU 2	354	-311	2467	10.54	6.49	0.05
148	SLU 3	398	-314	2660	10.15	8.28	0.06
148	SLU 4	371	-313	2544	10.39	7.21	0.06
148	SLU 5	354	-311	2467	10.54	6.49	0.05
148	SLU 6	398	-314	2660	10.15	8.28	0.06
148	SLU 7	371	-313	2544	10.39	7.21	0.06
148	SLU 8	398	-314	2660	10.15	8.28	0.06
148	SLU 9	371	-313	2544	10.39	7.21	0.06
148	SLU 10	468	-334	2932	10.66	10.32	0.09
148	SLU 11	511	-337	3126	10.27	12.1	0.09
148	SLU 12	485	-335	3010	10.5	11.03	0.09
148	SLU 13	468	-334	2932	10.66	10.32	0.09
148	SLU 14	511	-337	3126	10.27	12.1	0.09
148	SLU 15	485	-335	3010	10.5	11.03	0.09
148	SLU 16	511	-337	3126	10.27	12.1	0.09
148	SLU 17	485	-335	3010	10.5	11.03	0.09
148	SLU 18	560	-347	3325	10.31	13.74	0.11
148	SLU 19	534	-345	3209	10.55	12.67	0.11
148	SLU 20	560	-347	3325	10.31	13.74	0.11
148	SLU 21	534	-345	3209	10.55	12.67	0.11
148	SLU 22	456	-326	2899	10.21	10.24	0.08
148	SLU 23	412	-323	2705	10.6	8.46	0.07
148	SLU 24	456	-326	2899	10.21	10.24	0.08
148	SLU 25	430	-324	2783	10.44	9.17	0.07
148	SLU 26	412	-323	2705	10.6	8.46	0.07
148	SLU 27	456	-326	2899	10.21	10.24	0.08
148	SLU 28	430	-324	2783	10.44	9.17	0.07
148	SLU 29	456	-326	2899	10.21	10.24	0.08
148	SLU 30	430	-324	2783	10.44	9.17	0.07
148	SLU 31	526	-345	3171	10.72	12.28	0.11
148	SLU 32	570	-348	3365	10.32	14.06	0.11
148	SLU 33	544	-347	3248	10.56	13	0.11
148	SLU 34	526	-345	3171	10.72	12.28	0.11
148	SLU 35	570	-348	3365	10.32	14.06	0.11
148	SLU 36	544	-347	3248	10.56	13	0.11
148	SLU 37	570	-348	3365	10.32	14.06	0.11
148	SLU 38	544	-347	3248	10.56	13	0.11
148	SLU 39	618	-358	3564	10.37	15.7	0.13
148	SLU 40	592	-356	3448	10.61	14.64	0.12
148	SLU 41	618	-358	3564	10.37	15.7	0.13
148	SLU 42	592	-356	3448	10.61	14.64	0.12
148	SLU 43	497	-405	3377	13.17	10.09	0.07
148	SLU 44	453	-402	3183	13.57	8.3	0.07
148	SLU 45	497	-405	3377	13.17	10.09	0.07
148	SLU 46	471	-403	3261	13.41	9.02	0.07
148	SLU 47	453	-402	3183	13.57	8.3	0.07
148	SLU 48	497	-405	3377	13.17	10.09	0.07



Nodo Ind.	Cont. N.br.	Reazione a traslazione			Reazione a rotazione		
		x	y	z	x	y	z
148	SLU 49	471	-403	3261	13.41	9.02	0.07
148	SLU 50	497	-405	3377	13.17	10.09	0.07
148	SLU 51	471	-403	3261	13.41	9.02	0.07
148	SLU 52	567	-424	3649	13.68	12.13	0.1
148	SLU 53	611	-427	3842	13.29	13.91	0.11
148	SLU 54	585	-425	3726	13.53	12.84	0.1
148	SLU 55	567	-424	3649	13.68	12.13	0.1
148	SLU 56	611	-427	3842	13.29	13.91	0.11
148	SLU 57	585	-425	3726	13.53	12.84	0.1
148	SLU 58	611	-427	3842	13.29	13.91	0.11
148	SLU 59	585	-425	3726	13.53	12.84	0.1
148	SLU 60	659	-437	4042	13.34	15.55	0.12
148	SLU 61	633	-435	3926	13.58	14.48	0.12
148	SLU 62	659	-437	4042	13.34	15.55	0.12
148	SLU 63	633	-435	3926	13.58	14.48	0.12
148	SLU 64	555	-416	3615	13.23	12.05	0.09
148	SLU 65	512	-413	3422	13.63	10.27	0.08
148	SLU 66	555	-416	3615	13.23	12.05	0.09
148	SLU 67	529	-414	3499	13.47	10.98	0.09
148	SLU 68	512	-413	3422	13.63	10.27	0.08
148	SLU 69	555	-416	3615	13.23	12.05	0.09
148	SLU 70	529	-414	3499	13.47	10.98	0.09
148	SLU 71	555	-416	3615	13.23	12.05	0.09
148	SLU 72	529	-414	3499	13.47	10.98	0.09
148	SLU 73	625	-436	3887	13.74	14.09	0.12
148	SLU 74	669	-439	4081	13.35	15.87	0.12
148	SLU 75	643	-437	3965	13.58	14.81	0.12
148	SLU 76	625	-436	3887	13.74	14.09	0.12
148	SLU 77	669	-439	4081	13.35	15.87	0.12
148	SLU 78	643	-437	3965	13.58	14.81	0.12
148	SLU 79	669	-439	4081	13.35	15.87	0.12
148	SLU 80	643	-437	3965	13.58	14.81	0.12
148	SLU 81	718	-449	4280	13.4	17.51	0.14
148	SLU 82	692	-447	4164	13.63	16.45	0.13
148	SLU 83	718	-449	4280	13.4	17.51	0.14
148	SLU 84	692	-447	4164	13.63	16.45	0.13
148	SLE RA 1	414	-318	2729	10.17	8.84	0.07
148	SLE RA 2	385	-316	2599	10.43	7.65	0.06
148	SLE RA 3	414	-318	2729	10.17	8.84	0.07
148	SLE RA 4	397	-316	2651	10.32	8.12	0.06
148	SLE RA 5	385	-316	2599	10.43	7.65	0.06
148	SLE RA 6	414	-318	2729	10.17	8.84	0.07
148	SLE RA 7	397	-316	2651	10.32	8.12	0.06
148	SLE RA 8	414	-318	2729	10.17	8.84	0.07
148	SLE RA 9	397	-316	2651	10.32	8.12	0.06
148	SLE RA 10	461	-331	2910	10.51	10.2	0.08
148	SLE RA 11	490	-333	3039	10.24	11.39	0.09
148	SLE RA 12	473	-331	2961	10.4	10.68	0.09
148	SLE RA 13	461	-331	2910	10.51	10.2	0.08
148	SLE RA 14	490	-333	3039	10.24	11.39	0.09
148	SLE RA 15	473	-331	2961	10.4	10.68	0.09
148	SLE RA 16	490	-333	3039	10.24	11.39	0.09
148	SLE RA 17	473	-331	2961	10.4	10.68	0.09
148	SLE RA 18	523	-339	3172	10.28	12.48	0.1
148	SLE RA 19	505	-338	3094	10.43	11.77	0.1
148	SLE RA 20	523	-339	3172	10.28	12.48	0.1
148	SLE RA 21	505	-338	3094	10.43	11.77	0.1
148	SLE FR 1	414	-318	2729	10.17	8.84	0.07
148	SLE FR 2	408	-317	2703	10.22	8.6	0.06
148	SLE FR 3	414	-318	2729	10.17	8.84	0.07
148	SLE FR 4	441	-324	2836	10.25	9.69	0.07
148	SLE FR 5	447	-324	2862	10.2	9.93	0.07
148	SLE FR 6	468	-328	2950	10.22	10.66	0.08
148	SLE QP 1	414	-318	2729	10.17	8.84	0.07
148	SLE QP 2	447	-324	2862	10.2	9.93	0.07
148	SLD 1	532	-329	3097	10.43	13.47	0.13
148	SLD 2	532	-329	3097	10.43	13.47	0.13
148	SLD 3	574	-386	3432	12.61	14.61	0.1
148	SLD 4	574	-386	3432	12.61	14.61	0.1
148	SLD 5	408	-240	2424	6.96	9.27	0.13
148	SLD 6	408	-240	2424	6.96	9.27	0.13
148	SLD 7	549	-428	3541	14.23	13.06	0.05
148	SLD 8	549	-428	3541	14.23	13.06	0.05
148	SLD 9	345	-220	2182	6.17	6.8	0.1
148	SLD 10	345	-220	2182	6.17	6.8	0.1
148	SLD 11	485	-408	3299	13.44	10.59	0.02
148	SLD 12	485	-408	3299	13.44	10.59	0.02
148	SLD 13	320	-263	2291	7.79	5.25	0.04
148	SLD 14	320	-263	2291	7.79	5.25	0.04
148	SLD 15	362	-319	2626	9.97	6.39	0.02
148	SLD 16	362	-319	2626	9.97	6.39	0.02
148	SLV 1	647	-336	3416	10.76	18.3	0.21
148	SLV 2	647	-336	3416	10.76	18.3	0.21
148	SLV 3	754	-469	4250	15.9	21.15	0.15
148	SLV 4	754	-469	4250	15.9	21.15	0.15
148	SLV 5	346	-126	1763	2.58	8.13	0.2
148	SLV 6	346	-126	1763	2.58	8.13	0.2
148	SLV 7	700	-570	4543	19.7	17.61	0.01



Nodo Ind.	Cont. N.br.	Reazione a traslazione			Reazione a rotazione		
		x	y	z	x	y	z
148	SLV 8	700	-570	4543	19.7	17.61	0.01
148	SLV 9	193	-79	1180	0.7	2.26	0.14
148	SLV 10	193	-79	1180	0.7	2.26	0.14
148	SLV 11	548	-522	3961	17.82	11.73	-0.06
148	SLV 12	548	-522	3961	17.82	11.73	-0.06
148	SLV 13	140	-179	1473	4.5	-1.29	0
148	SLV 14	140	-179	1473	4.5	-1.29	0
148	SLV 15	246	-312	2307	9.63	1.56	-0.06
148	SLV 16	246	-312	2307	9.63	1.56	-0.06
149	SLU 1	438	-7	2207	2.77	26.78	0
149	SLU 2	417	-6	2067	1.51	26.66	0
149	SLU 3	438	-7	2207	2.77	26.78	0
149	SLU 4	425	-6	2123	2.01	26.71	0
149	SLU 5	417	-6	2067	1.51	26.66	0
149	SLU 6	438	-7	2207	2.77	26.78	0
149	SLU 7	425	-6	2123	2.01	26.71	0
149	SLU 8	438	-7	2207	2.77	26.78	0
149	SLU 9	425	-6	2123	2.01	26.71	0
149	SLU 10	560	-7	2473	1.6	33.14	0
149	SLU 11	581	-7	2613	2.87	33.26	0
149	SLU 12	569	-7	2529	2.11	33.19	0
149	SLU 13	560	-7	2473	1.6	33.14	0
149	SLU 14	581	-7	2613	2.87	33.26	0
149	SLU 15	569	-7	2529	2.11	33.19	0
149	SLU 16	581	-7	2613	2.87	33.26	0
149	SLU 17	569	-7	2529	2.11	33.19	0
149	SLU 18	642	-8	2787	2.91	36.04	0
149	SLU 19	630	-8	2703	2.15	35.97	0
149	SLU 20	642	-8	2787	2.91	36.04	0
149	SLU 21	630	-8	2703	2.15	35.97	0
149	SLU 22	511	-7	2415	2.82	30.1	0
149	SLU 23	490	-7	2275	1.56	29.98	0
149	SLU 24	511	-7	2415	2.82	30.1	0
149	SLU 25	499	-7	2331	2.06	30.03	0
149	SLU 26	490	-7	2275	1.56	29.98	0
149	SLU 27	511	-7	2415	2.82	30.1	0
149	SLU 28	499	-7	2331	2.06	30.03	0
149	SLU 29	511	-7	2415	2.82	30.1	0
149	SLU 30	499	-7	2331	2.06	30.03	0
149	SLU 31	633	-8	2681	1.65	36.46	0
149	SLU 32	655	-8	2821	2.91	36.59	0
149	SLU 33	642	-8	2737	2.16	36.51	0
149	SLU 34	633	-8	2681	1.65	36.46	0
149	SLU 35	655	-8	2821	2.91	36.59	0
149	SLU 36	642	-8	2737	2.16	36.51	0
149	SLU 37	655	-8	2821	2.91	36.59	0
149	SLU 38	642	-8	2737	2.16	36.51	0
149	SLU 39	716	-8	2995	2.96	39.36	0
149	SLU 40	703	-8	2911	2.2	39.29	0
149	SLU 41	716	-8	2995	2.96	39.36	0
149	SLU 42	703	-8	2911	2.2	39.29	0
149	SLU 43	544	-8	2798	3.58	33.68	0
149	SLU 44	523	-8	2658	2.32	33.55	0
149	SLU 45	544	-8	2798	3.58	33.68	0
149	SLU 46	532	-8	2714	2.83	33.6	0
149	SLU 47	523	-8	2658	2.32	33.55	0
149	SLU 48	544	-8	2798	3.58	33.68	0
149	SLU 49	532	-8	2714	2.83	33.6	0
149	SLU 50	544	-8	2798	3.58	33.68	0
149	SLU 51	532	-8	2714	2.83	33.6	0
149	SLU 52	666	-9	3064	2.42	40.03	0
149	SLU 53	687	-9	3204	3.68	40.16	0
149	SLU 54	675	-9	3120	2.92	40.08	0
149	SLU 55	666	-9	3064	2.42	40.03	0
149	SLU 56	687	-9	3204	3.68	40.16	0
149	SLU 57	675	-9	3120	2.92	40.08	0
149	SLU 58	687	-9	3204	3.68	40.16	0
149	SLU 59	675	-9	3120	2.92	40.08	0
149	SLU 60	749	-9	3378	3.72	42.94	0
149	SLU 61	736	-9	3294	2.96	42.86	0
149	SLU 62	749	-9	3378	3.72	42.94	0
149	SLU 63	736	-9	3294	2.96	42.86	0
149	SLU 64	618	-9	3006	3.63	37	0
149	SLU 65	597	-9	2866	2.37	36.88	0
149	SLU 66	618	-9	3006	3.63	37	0
149	SLU 67	605	-9	2922	2.88	36.92	0
149	SLU 68	597	-9	2866	2.37	36.88	0
149	SLU 69	618	-9	3006	3.63	37	0
149	SLU 70	605	-9	2922	2.88	36.92	0
149	SLU 71	618	-9	3006	3.63	37	0
149	SLU 72	605	-9	2922	2.88	36.92	0
149	SLU 73	740	-9	3272	2.47	43.36	0
149	SLU 74	761	-10	3412	3.73	43.48	0
149	SLU 75	748	-9	3328	2.97	43.41	0
149	SLU 76	740	-9	3272	2.47	43.36	0
149	SLU 77	761	-10	3412	3.73	43.48	0
149	SLU 78	748	-9	3328	2.97	43.41	0
149	SLU 79	761	-10	3412	3.73	43.48	0



Nodo Ind.	Cont. N.br.	Reazione a traslazione			Reazione a rotazione		
		x	y	z	x	y	z
149	SLU 80	748	-9	3328	2.97	43.41	0
149	SLU 81	822	-10	3586	3.77	46.26	0
149	SLU 82	809	-10	3502	3.01	46.18	0
149	SLU 83	822	-10	3586	3.77	46.26	0
149	SLU 84	809	-10	3502	3.01	46.18	0
149	SLE RA 1	459	-7	2267	2.78	27.73	0
149	SLE RA 2	445	-7	2173	1.94	27.65	0
149	SLE RA 3	459	-7	2267	2.78	27.73	0
149	SLE RA 4	451	-7	2211	2.28	27.68	0
149	SLE RA 5	445	-7	2173	1.94	27.65	0
149	SLE RA 6	459	-7	2267	2.78	27.73	0
149	SLE RA 7	451	-7	2211	2.28	27.68	0
149	SLE RA 8	459	-7	2267	2.78	27.73	0
149	SLE RA 9	451	-7	2211	2.28	27.68	0
149	SLE RA 10	540	-7	2444	2.01	31.97	0
149	SLE RA 11	554	-7	2537	2.85	32.05	0
149	SLE RA 12	546	-7	2481	2.34	32	0
149	SLE RA 13	540	-7	2444	2.01	31.97	0
149	SLE RA 14	554	-7	2537	2.85	32.05	0
149	SLE RA 15	546	-7	2481	2.34	32	0
149	SLE RA 16	554	-7	2537	2.85	32.05	0
149	SLE RA 17	546	-7	2481	2.34	32	0
149	SLE RA 18	595	-7	2653	2.88	33.9	0
149	SLE RA 19	587	-7	2597	2.37	33.85	0
149	SLE RA 20	595	-7	2653	2.88	33.9	0
149	SLE RA 21	587	-7	2597	2.37	33.85	0
149	SLE FR 1	459	-7	2267	2.78	27.73	0
149	SLE FR 2	456	-7	2248	2.62	27.71	0
149	SLE FR 3	459	-7	2267	2.78	27.73	0
149	SLE FR 4	497	-7	2364	2.64	29.57	0
149	SLE FR 5	500	-7	2383	2.81	29.58	0
149	SLE FR 6	527	-7	2460	2.83	30.82	0
149	SLE QP 1	459	-7	2267	2.78	27.73	0
149	SLE QP 2	500	-7	2383	2.81	29.58	0
149	SLD 1	626	-3	2523	-0.85	35.89	0.01
149	SLD 2	626	-3	2523	-0.85	35.89	0.01
149	SLD 3	668	-5	2751	2.46	37.71	0
149	SLD 4	668	-5	2751	2.46	37.71	0
149	SLD 5	474	-4	2080	-3.3	28.71	0.01
149	SLD 6	474	-4	2080	-3.3	28.71	0.01
149	SLD 7	614	-8	2838	7.72	34.78	-0.01
149	SLD 8	614	-8	2838	7.72	34.78	-0.01
149	SLD 9	385	-6	1927	-2.1	24.39	0
149	SLD 10	385	-6	1927	-2.1	24.39	0
149	SLD 11	526	-10	2685	8.93	30.45	-0.01
149	SLD 12	526	-10	2685	8.93	30.45	-0.01
149	SLD 13	332	-9	2014	3.16	21.46	-0.01
149	SLD 14	332	-9	2014	3.16	21.46	-0.01
149	SLD 15	374	-10	2242	6.47	23.28	-0.01
149	SLD 16	374	-10	2242	6.47	23.28	-0.01
149	SLV 1	798	1	2715	-6.44	44.59	0.02
149	SLV 2	798	1	2715	-6.44	44.59	0.02
149	SLV 3	900	-2	3283	1.95	48.98	0.01
149	SLV 4	900	-2	3283	1.95	48.98	0.01
149	SLV 5	435	0	1621	-12.68	27.43	0.02
149	SLV 6	435	0	1621	-12.68	27.43	0.02
149	SLV 7	775	-10	3514	15.27	42.06	-0.01
149	SLV 8	775	-10	3514	15.27	42.06	-0.01
149	SLV 9	225	-4	1251	-9.65	17.11	0.01
149	SLV 10	225	-4	1251	-9.65	17.11	0.01
149	SLV 11	565	-14	3144	18.3	31.74	-0.03
149	SLV 12	565	-14	3144	18.3	31.74	-0.03
149	SLV 13	100	-12	1482	3.67	10.19	-0.02
149	SLV 14	100	-12	1482	3.67	10.19	-0.02
149	SLV 15	202	-15	2050	12.06	14.58	-0.03
149	SLV 16	202	-15	2050	12.06	14.58	-0.03
150	SLU 1	228	-7	2060	3.93	4.41	-0.03
150	SLU 2	195	-6	1971	1.27	1.63	-0.02
150	SLU 3	228	-7	2060	3.93	4.41	-0.03
150	SLU 4	208	-6	2006	2.33	2.74	-0.02
150	SLU 5	195	-6	1971	1.27	1.63	-0.02
150	SLU 6	228	-7	2060	3.93	4.41	-0.03
150	SLU 7	208	-6	2006	2.33	2.74	-0.02
150	SLU 8	228	-7	2060	3.93	4.41	-0.03
150	SLU 9	208	-6	2006	2.33	2.74	-0.02
150	SLU 10	317	-6	2376	1.23	6.81	-0.02
150	SLU 11	350	-7	2465	3.89	9.6	-0.03
150	SLU 12	330	-6	2411	2.29	7.93	-0.03
150	SLU 13	317	-6	2376	1.23	6.81	-0.02
150	SLU 14	350	-7	2465	3.89	9.6	-0.03
150	SLU 15	330	-6	2411	2.29	7.93	-0.03
150	SLU 16	350	-7	2465	3.89	9.6	-0.03
150	SLU 17	330	-6	2411	2.29	7.93	-0.03
150	SLU 18	403	-7	2638	3.88	11.82	-0.03
150	SLU 19	383	-6	2585	2.28	10.15	-0.03
150	SLU 20	403	-7	2638	3.88	11.82	-0.03
150	SLU 21	383	-6	2585	2.28	10.15	-0.03
150	SLU 22	291	-7	2267	3.91	7.07	-0.03



Nodo Ind.	Cont. N.br.	Reazione a traslazione			Reazione a rotazione		
		x	y	z	x	y	z
150	SLU 23	258	-6	2178	1.25	4.29	-0.02
150	SLU 24	291	-7	2267	3.91	7.07	-0.03
150	SLU 25	271	-6	2214	2.31	5.4	-0.02
150	SLU 26	258	-6	2178	1.25	4.29	-0.02
150	SLU 27	291	-7	2267	3.91	7.07	-0.03
150	SLU 28	271	-6	2214	2.31	5.4	-0.02
150	SLU 29	291	-7	2267	3.91	7.07	-0.03
150	SLU 30	271	-6	2214	2.31	5.4	-0.02
150	SLU 31	380	-6	2583	1.21	9.47	-0.02
150	SLU 32	413	-7	2672	3.87	12.25	-0.03
150	SLU 33	393	-6	2619	2.27	10.59	-0.03
150	SLU 34	380	-6	2583	1.21	9.47	-0.02
150	SLU 35	413	-7	2672	3.87	12.25	-0.03
150	SLU 36	393	-6	2619	2.27	10.59	-0.03
150	SLU 37	413	-7	2672	3.87	12.25	-0.03
150	SLU 38	393	-6	2619	2.27	10.59	-0.03
150	SLU 39	466	-7	2846	3.86	14.48	-0.03
150	SLU 40	446	-7	2792	2.26	12.81	-0.03
150	SLU 41	466	-7	2846	3.86	14.48	-0.03
150	SLU 42	446	-7	2792	2.26	12.81	-0.03
150	SLU 43	275	-8	2607	5.11	4.83	-0.04
150	SLU 44	242	-8	2517	2.45	2.04	-0.03
150	SLU 45	275	-8	2607	5.11	4.83	-0.04
150	SLU 46	255	-8	2553	3.52	3.16	-0.03
150	SLU 47	242	-8	2517	2.45	2.04	-0.03
150	SLU 48	275	-8	2607	5.11	4.83	-0.04
150	SLU 49	255	-8	2553	3.52	3.16	-0.03
150	SLU 50	275	-8	2607	5.11	4.83	-0.04
150	SLU 51	255	-8	2553	3.52	3.16	-0.03
150	SLU 52	364	-8	2922	2.41	7.23	-0.03
150	SLU 53	397	-9	3012	5.08	10.01	-0.04
150	SLU 54	377	-8	2958	3.48	8.34	-0.03
150	SLU 55	364	-8	2922	2.41	7.23	-0.03
150	SLU 56	397	-9	3012	5.08	10.01	-0.04
150	SLU 57	377	-8	2958	3.48	8.34	-0.03
150	SLU 58	397	-9	3012	5.08	10.01	-0.04
150	SLU 59	377	-8	2958	3.48	8.34	-0.03
150	SLU 60	450	-9	3185	5.06	12.23	-0.04
150	SLU 61	430	-8	3132	3.46	10.56	-0.03
150	SLU 62	450	-9	3185	5.06	12.23	-0.04
150	SLU 63	430	-8	3132	3.46	10.56	-0.03
150	SLU 64	338	-9	2814	5.09	7.49	-0.04
150	SLU 65	304	-8	2725	2.43	4.7	-0.03
150	SLU 66	338	-9	2814	5.09	7.49	-0.04
150	SLU 67	318	-8	2761	3.5	5.82	-0.03
150	SLU 68	304	-8	2725	2.43	4.7	-0.03
150	SLU 69	338	-9	2814	5.09	7.49	-0.04
150	SLU 70	318	-8	2761	3.5	5.82	-0.03
150	SLU 71	338	-9	2814	5.09	7.49	-0.04
150	SLU 72	318	-8	2761	3.5	5.82	-0.03
150	SLU 73	427	-8	3130	2.39	9.89	-0.03
150	SLU 74	460	-9	3219	5.06	12.67	-0.04
150	SLU 75	440	-8	3166	3.46	11	-0.03
150	SLU 76	427	-8	3130	2.39	9.89	-0.03
150	SLU 77	460	-9	3219	5.06	12.67	-0.04
150	SLU 78	440	-8	3166	3.46	11	-0.03
150	SLU 79	460	-9	3219	5.06	12.67	-0.04
150	SLU 80	440	-8	3166	3.46	11	-0.03
150	SLU 81	513	-9	3393	5.04	14.89	-0.04
150	SLU 82	493	-8	3339	3.44	13.22	-0.03
150	SLU 83	513	-9	3393	5.04	14.89	-0.04
150	SLU 84	493	-8	3339	3.44	13.22	-0.03
150	SLE RA 1	246	-7	2119	3.92	5.17	-0.03
150	SLE RA 2	224	-6	2060	2.15	3.32	-0.02
150	SLE RA 3	246	-7	2119	3.92	5.17	-0.03
150	SLE RA 4	233	-6	2084	2.86	4.06	-0.03
150	SLE RA 5	224	-6	2060	2.15	3.32	-0.02
150	SLE RA 6	246	-7	2119	3.92	5.17	-0.03
150	SLE RA 7	233	-6	2084	2.86	4.06	-0.03
150	SLE RA 8	246	-7	2119	3.92	5.17	-0.03
150	SLE RA 9	233	-6	2084	2.86	4.06	-0.03
150	SLE RA 10	305	-6	2330	2.12	6.77	-0.02
150	SLE RA 11	328	-7	2389	3.9	8.63	-0.03
150	SLE RA 12	314	-6	2353	2.83	7.52	-0.03
150	SLE RA 13	305	-6	2330	2.12	6.77	-0.02
150	SLE RA 14	328	-7	2389	3.9	8.63	-0.03
150	SLE RA 15	314	-6	2353	2.83	7.52	-0.03
150	SLE RA 16	328	-7	2389	3.9	8.63	-0.03
150	SLE RA 17	314	-6	2353	2.83	7.52	-0.03
150	SLE RA 18	363	-7	2505	3.89	10.11	-0.03
150	SLE RA 19	349	-7	2469	2.82	9	-0.03
150	SLE RA 20	363	-7	2505	3.89	10.11	-0.03
150	SLE RA 21	349	-7	2469	2.82	9	-0.03
150	SLE FR 1	246	-7	2119	3.92	5.17	-0.03
150	SLE FR 2	242	-6	2107	3.57	4.8	-0.03
150	SLE FR 3	246	-7	2119	3.92	5.17	-0.03
150	SLE FR 4	277	-7	2223	3.56	6.28	-0.03
150	SLE FR 5	281	-7	2235	3.91	6.65	-0.03



Nodo Ind.	Cont. N.br.	Reazione a traslazione			Reazione a rotazione		
		x	y	z	x	y	z
150	SLE FR 6	304	-7	2312	3.91	7.64	-0.03
150	SLE QP 1	246	-7	2119	3.92	5.17	-0.03
150	SLE QP 2	281	-7	2235	3.91	6.65	-0.03
150	SLD 1	416	-1	2322	-3.91	13.32	0
150	SLD 2	416	-1	2322	-3.91	13.32	0
150	SLD 3	461	-5	2442	3.37	15.03	-0.03
150	SLD 4	461	-5	2442	3.37	15.03	-0.03
150	SLD 5	255	1	2078	-9.48	6.05	0.03
150	SLD 6	255	1	2078	-9.48	6.05	0.03
150	SLD 7	402	-12	2480	14.79	11.77	-0.08
150	SLD 8	402	-12	2480	14.79	11.77	-0.08
150	SLD 9	160	-1	1990	-6.97	1.54	0.02
150	SLD 10	160	-1	1990	-6.97	1.54	0.02
150	SLD 11	307	-14	2392	17.3	7.26	-0.09
150	SLD 12	307	-14	2392	17.3	7.26	-0.09
150	SLD 13	101	-8	2028	4.46	-1.73	-0.03
150	SLD 14	101	-8	2028	4.46	-1.73	-0.03
150	SLD 15	145	-12	2148	11.74	-0.01	-0.06
150	SLD 16	145	-12	2148	11.74	-0.01	-0.06
150	SLV 1	600	7	2442	-15.95	22.44	0.05
150	SLV 2	600	7	2442	-15.95	22.44	0.05
150	SLV 3	709	-3	2739	2.5	26.62	-0.02
150	SLV 4	709	-3	2739	2.5	26.62	-0.02
150	SLV 5	212	12	1847	-30.03	5.04	0.11
150	SLV 6	212	12	1847	-30.03	5.04	0.11
150	SLV 7	574	-20	2837	31.48	18.99	-0.15
150	SLV 8	574	-20	2837	31.48	18.99	-0.15
150	SLV 9	-12	7	1633	-23.65	-5.68	0.09
150	SLV 10	-12	7	1633	-23.65	-5.68	0.09
150	SLV 11	350	-25	2623	37.86	8.26	-0.17
150	SLV 12	350	-25	2623	37.86	8.26	-0.17
150	SLV 13	-147	-10	1731	5.32	-13.31	-0.04
150	SLV 14	-147	-10	1731	5.32	-13.31	-0.04
150	SLV 15	-38	-20	2028	23.78	-9.13	-0.11
150	SLV 16	-38	-20	2028	23.78	-9.13	-0.11
151	SLU 1	264	-7	1984	4.73	17.67	-0.04
151	SLU 2	259	-5	1934	0.54	18.36	-0.02
151	SLU 3	264	-7	1984	4.73	17.67	-0.04
151	SLU 4	261	-6	1954	2.22	18.09	-0.03
151	SLU 5	259	-5	1934	0.54	18.36	-0.02
151	SLU 6	264	-7	1984	4.73	17.67	-0.04
151	SLU 7	261	-6	1954	2.22	18.09	-0.03
151	SLU 8	264	-7	1984	4.73	17.67	-0.04
151	SLU 9	261	-6	1954	2.22	18.09	-0.03
151	SLU 10	359	-5	2354	0.3	22.71	-0.02
151	SLU 11	363	-7	2405	4.49	22.03	-0.04
151	SLU 12	360	-6	2374	1.98	22.44	-0.03
151	SLU 13	359	-5	2354	0.3	22.71	-0.02
151	SLU 14	363	-7	2405	4.49	22.03	-0.04
151	SLU 15	360	-6	2374	1.98	22.44	-0.03
151	SLU 16	363	-7	2405	4.49	22.03	-0.04
151	SLU 17	360	-6	2374	1.98	22.44	-0.03
151	SLU 18	405	-7	2585	4.39	23.9	-0.04
151	SLU 19	403	-6	2555	1.88	24.31	-0.03
151	SLU 20	405	-7	2585	4.39	23.9	-0.04
151	SLU 21	403	-6	2555	1.88	24.31	-0.03
151	SLU 22	315	-7	2200	4.6	19.91	-0.04
151	SLU 23	310	-5	2149	0.42	20.59	-0.02
151	SLU 24	315	-7	2200	4.6	19.91	-0.04
151	SLU 25	312	-6	2169	2.09	20.32	-0.03
151	SLU 26	310	-5	2149	0.42	20.59	-0.02
151	SLU 27	315	-7	2200	4.6	19.91	-0.04
151	SLU 28	312	-6	2169	2.09	20.32	-0.03
151	SLU 29	315	-7	2200	4.6	19.91	-0.04
151	SLU 30	312	-6	2169	2.09	20.32	-0.03
151	SLU 31	409	-4	2570	0.18	24.95	-0.02
151	SLU 32	414	-7	2621	4.37	24.26	-0.04
151	SLU 33	411	-6	2590	1.86	24.67	-0.03
151	SLU 34	409	-4	2570	0.18	24.95	-0.02
151	SLU 35	414	-7	2621	4.37	24.26	-0.04
151	SLU 36	411	-6	2590	1.86	24.67	-0.03
151	SLU 37	414	-7	2621	4.37	24.26	-0.04
151	SLU 38	411	-6	2590	1.86	24.67	-0.03
151	SLU 39	456	-7	2801	4.27	26.13	-0.04
151	SLU 40	454	-5	2770	1.75	26.54	-0.03
151	SLU 41	456	-7	2801	4.27	26.13	-0.04
151	SLU 42	454	-5	2770	1.75	26.54	-0.03
151	SLU 43	325	-10	2506	6.19	22.21	-0.05
151	SLU 44	321	-7	2455	2	22.9	-0.04
151	SLU 45	325	-10	2506	6.19	22.21	-0.05
151	SLU 46	323	-8	2475	3.68	22.62	-0.04
151	SLU 47	321	-7	2455	2	22.9	-0.04
151	SLU 48	325	-10	2506	6.19	22.21	-0.05
151	SLU 49	323	-8	2475	3.68	22.62	-0.04
151	SLU 50	325	-10	2506	6.19	22.21	-0.05
151	SLU 51	323	-8	2475	3.68	22.62	-0.04
151	SLU 52	420	-7	2875	1.76	27.25	-0.03
151	SLU 53	425	-9	2926	5.95	26.57	-0.05



Nodo Ind.	Cont. N.br.	Reazione a traslazione			Reazione a rotazione		
		x	y	z	x	y	z
151	SLU 54	422	-8	2896	3.44	26.98	-0.04
151	SLU 55	420	-7	2875	1.76	27.25	-0.03
151	SLU 56	425	-9	2926	5.95	26.57	-0.05
151	SLU 57	422	-8	2896	3.44	26.98	-0.04
151	SLU 58	425	-9	2926	5.95	26.57	-0.05
151	SLU 59	422	-8	2896	3.44	26.98	-0.04
151	SLU 60	467	-9	3107	5.85	28.43	-0.05
151	SLU 61	464	-8	3076	3.34	28.84	-0.04
151	SLU 62	467	-9	3107	5.85	28.43	-0.05
151	SLU 63	464	-8	3076	3.34	28.84	-0.04
151	SLU 64	376	-10	2721	6.06	24.44	-0.05
151	SLU 65	372	-7	2671	1.88	25.13	-0.03
151	SLU 66	376	-10	2721	6.06	24.44	-0.05
151	SLU 67	374	-8	2691	3.55	24.86	-0.04
151	SLU 68	372	-7	2671	1.88	25.13	-0.03
151	SLU 69	376	-10	2721	6.06	24.44	-0.05
151	SLU 70	374	-8	2691	3.55	24.86	-0.04
151	SLU 71	376	-10	2721	6.06	24.44	-0.05
151	SLU 72	374	-8	2691	3.55	24.86	-0.04
151	SLU 73	471	-7	3091	1.64	29.48	-0.03
151	SLU 74	475	-9	3142	5.83	28.8	-0.05
151	SLU 75	473	-8	3111	3.32	29.21	-0.04
151	SLU 76	471	-7	3091	1.64	29.48	-0.03
151	SLU 77	475	-9	3142	5.83	28.8	-0.05
151	SLU 78	473	-8	3111	3.32	29.21	-0.04
151	SLU 79	475	-9	3142	5.83	28.8	-0.05
151	SLU 80	473	-8	3111	3.32	29.21	-0.04
151	SLU 81	518	-9	3322	5.73	30.66	-0.05
151	SLU 82	515	-8	3292	3.21	31.08	-0.04
151	SLU 83	518	-9	3322	5.73	30.66	-0.05
151	SLU 84	515	-8	3292	3.21	31.08	-0.04
151	SLE RA 1	278	-7	2046	4.69	18.31	-0.04
151	SLE RA 2	275	-6	2012	1.9	18.77	-0.03
151	SLE RA 3	278	-7	2046	4.69	18.31	-0.04
151	SLE RA 4	276	-6	2026	3.02	18.59	-0.03
151	SLE RA 5	275	-6	2012	1.9	18.77	-0.03
151	SLE RA 6	278	-7	2046	4.69	18.31	-0.04
151	SLE RA 7	276	-6	2026	3.02	18.59	-0.03
151	SLE RA 8	278	-7	2046	4.69	18.31	-0.04
151	SLE RA 9	276	-6	2026	3.02	18.59	-0.03
151	SLE RA 10	341	-6	2292	1.74	21.67	-0.03
151	SLE RA 11	344	-7	2326	4.53	21.22	-0.04
151	SLE RA 12	343	-6	2306	2.86	21.49	-0.03
151	SLE RA 13	341	-6	2292	1.74	21.67	-0.03
151	SLE RA 14	344	-7	2326	4.53	21.22	-0.04
151	SLE RA 15	343	-6	2306	2.86	21.49	-0.03
151	SLE RA 16	344	-7	2326	4.53	21.22	-0.04
151	SLE RA 17	343	-6	2306	2.86	21.49	-0.03
151	SLE RA 18	373	-7	2447	4.47	22.46	-0.04
151	SLE RA 19	371	-6	2426	2.79	22.73	-0.03
151	SLE RA 20	373	-7	2447	4.47	22.46	-0.04
151	SLE RA 21	371	-6	2426	2.79	22.73	-0.03
151	SLE FR 1	278	-7	2046	4.69	18.31	-0.04
151	SLE FR 2	278	-7	2039	4.13	18.4	-0.04
151	SLE FR 3	278	-7	2046	4.69	18.31	-0.04
151	SLE FR 4	306	-7	2159	4.07	19.65	-0.04
151	SLE FR 5	307	-7	2166	4.62	19.56	-0.04
151	SLE FR 6	325	-7	2246	4.58	20.39	-0.04
151	SLE QP 1	278	-7	2046	4.69	18.31	-0.04
151	SLE QP 2	307	-7	2166	4.62	19.56	-0.04
151	SLD 1	500	3	2214	-7.75	28.34	0.03
151	SLD 2	500	3	2214	-7.75	28.34	0.03
151	SLD 3	446	-7	2291	3.86	25.94	-0.04
151	SLD 4	446	-7	2291	3.86	25.94	-0.04
151	SLD 5	447	10	2063	-16.69	25.83	0.08
151	SLD 6	447	10	2063	-16.69	25.83	0.08
151	SLD 7	266	-22	2321	22	17.83	-0.14
151	SLD 8	266	-22	2321	22	17.83	-0.14
151	SLD 9	347	7	2011	-12.75	21.28	0.06
151	SLD 10	347	7	2011	-12.75	21.28	0.06
151	SLD 11	166	-25	2269	25.94	13.28	-0.16
151	SLD 12	166	-25	2269	25.94	13.28	-0.16
151	SLD 13	167	-8	2041	5.39	13.17	-0.04
151	SLD 14	167	-8	2041	5.39	13.17	-0.04
151	SLD 15	113	-18	2119	17	10.77	-0.11
151	SLD 16	113	-18	2119	17	10.77	-0.11
151	SLV 1	768	19	2279	-26.84	40.54	0.14
151	SLV 2	768	19	2279	-26.84	40.54	0.14
151	SLV 3	633	-6	2467	2.58	34.62	-0.03
151	SLV 4	633	-6	2467	2.58	34.62	-0.03
151	SLV 5	649	37	1915	-49.44	34.84	0.27
151	SLV 6	649	37	1915	-49.44	34.84	0.27
151	SLV 7	200	-44	2542	48.63	15.09	-0.29
151	SLV 8	200	-44	2542	48.63	15.09	-0.29
151	SLV 9	413	29	1791	-39.39	24.03	0.21
151	SLV 10	413	29	1791	-39.39	24.03	0.21
151	SLV 11	-36	-52	2417	58.69	4.27	-0.35
151	SLV 12	-36	-52	2417	58.69	4.27	-0.35



Nodo Ind.	Cont. N.br.	Reazione a traslazione			Reazione a rotazione		
		x	y	z	x	y	z
151	SLV 13	-20	-9	1865	6.67	4.5	-0.05
151	SLV 14	-20	-9	1865	6.67	4.5	-0.05
151	SLV 15	-155	-33	2053	36.09	-1.43	-0.22
151	SLV 16	-155	-33	2053	36.09	-1.43	-0.22
152	SLU 1	122	-7	1929	5.04	0.3	-0.05
152	SLU 2	102	-3	1915	-0.52	-1.76	-0.02
152	SLU 3	122	-7	1929	5.04	0.3	-0.05
152	SLU 4	110	-5	1921	1.71	-0.93	-0.03
152	SLU 5	102	-3	1915	-0.52	-1.76	-0.02
152	SLU 6	122	-7	1929	5.04	0.3	-0.05
152	SLU 7	110	-5	1921	1.71	-0.93	-0.03
152	SLU 8	122	-7	1929	5.04	0.3	-0.05
152	SLU 9	110	-5	1921	1.71	-0.93	-0.03
152	SLU 10	180	-2	2344	-0.94	1.57	-0.01
152	SLU 11	200	-7	2358	4.62	3.63	-0.04
152	SLU 12	188	-4	2350	1.28	2.4	-0.03
152	SLU 13	180	-2	2344	-0.94	1.57	-0.01
152	SLU 14	200	-7	2358	4.62	3.63	-0.04
152	SLU 15	188	-4	2350	1.28	2.4	-0.03
152	SLU 16	200	-7	2358	4.62	3.63	-0.04
152	SLU 17	188	-4	2350	1.28	2.4	-0.03
152	SLU 18	233	-7	2542	4.44	5.06	-0.04
152	SLU 19	221	-4	2533	1.1	3.82	-0.02
152	SLU 20	233	-7	2542	4.44	5.06	-0.04
152	SLU 21	221	-4	2533	1.1	3.82	-0.02
152	SLU 22	162	-7	2149	4.83	2.01	-0.05
152	SLU 23	142	-3	2135	-0.73	-0.05	-0.02
152	SLU 24	162	-7	2149	4.83	2.01	-0.05
152	SLU 25	150	-4	2141	1.49	0.77	-0.03
152	SLU 26	142	-3	2135	-0.73	-0.05	-0.02
152	SLU 27	162	-7	2149	4.83	2.01	-0.05
152	SLU 28	150	-4	2141	1.49	0.77	-0.03
152	SLU 29	162	-7	2149	4.83	2.01	-0.05
152	SLU 30	150	-4	2141	1.49	0.77	-0.03
152	SLU 31	220	-2	2564	-1.16	3.28	-0.01
152	SLU 32	240	-6	2578	4.4	5.34	-0.04
152	SLU 33	228	-4	2569	1.07	4.11	-0.02
152	SLU 34	220	-2	2564	-1.16	3.28	-0.01
152	SLU 35	240	-6	2578	4.4	5.34	-0.04
152	SLU 36	228	-4	2569	1.07	4.11	-0.02
152	SLU 37	240	-6	2578	4.4	5.34	-0.04
152	SLU 38	228	-4	2569	1.07	4.11	-0.02
152	SLU 39	273	-6	2762	4.22	6.77	-0.04
152	SLU 40	261	-4	2753	0.88	5.53	-0.02
152	SLU 41	273	-6	2762	4.22	6.77	-0.04
152	SLU 42	261	-4	2753	0.88	5.53	-0.02
152	SLU 43	144	-10	2433	6.63	-0.19	-0.06
152	SLU 44	124	-5	2419	1.07	-2.25	-0.03
152	SLU 45	144	-10	2433	6.63	-0.19	-0.06
152	SLU 46	132	-7	2424	3.3	-1.43	-0.04
152	SLU 47	124	-5	2419	1.07	-2.25	-0.03
152	SLU 48	144	-10	2433	6.63	-0.19	-0.06
152	SLU 49	132	-7	2424	3.3	-1.43	-0.04
152	SLU 50	144	-10	2433	6.63	-0.19	-0.06
152	SLU 51	132	-7	2424	3.3	-1.43	-0.04
152	SLU 52	203	-5	2847	0.65	1.08	-0.03
152	SLU 53	222	-9	2862	6.21	3.14	-0.06
152	SLU 54	211	-6	2853	2.87	1.9	-0.04
152	SLU 55	203	-5	2847	0.65	1.08	-0.03
152	SLU 56	222	-9	2862	6.21	3.14	-0.06
152	SLU 57	211	-6	2853	2.87	1.9	-0.04
152	SLU 58	222	-9	2862	6.21	3.14	-0.06
152	SLU 59	211	-6	2853	2.87	1.9	-0.04
152	SLU 60	256	-9	3045	6.03	4.57	-0.06
152	SLU 61	244	-6	3037	2.69	3.33	-0.04
152	SLU 62	256	-9	3045	6.03	4.57	-0.06
152	SLU 63	244	-6	3037	2.69	3.33	-0.04
152	SLU 64	184	-9	2653	6.42	1.52	-0.06
152	SLU 65	164	-5	2639	0.85	-0.54	-0.03
152	SLU 66	184	-9	2653	6.42	1.52	-0.06
152	SLU 67	172	-7	2644	3.08	0.28	-0.04
152	SLU 68	164	-5	2639	0.85	-0.54	-0.03
152	SLU 69	184	-9	2653	6.42	1.52	-0.06
152	SLU 70	172	-7	2644	3.08	0.28	-0.04
152	SLU 71	184	-9	2653	6.42	1.52	-0.06
152	SLU 72	172	-7	2644	3.08	0.28	-0.04
152	SLU 73	243	-4	3067	0.43	2.79	-0.03
152	SLU 74	263	-9	3082	5.99	4.85	-0.06
152	SLU 75	251	-6	3073	2.65	3.61	-0.04
152	SLU 76	243	-4	3067	0.43	2.79	-0.03
152	SLU 77	263	-9	3082	5.99	4.85	-0.06
152	SLU 78	251	-6	3073	2.65	3.61	-0.04
152	SLU 79	263	-9	3082	5.99	4.85	-0.06
152	SLU 80	251	-6	3073	2.65	3.61	-0.04
152	SLU 81	296	-9	3265	5.81	6.28	-0.06
152	SLU 82	284	-6	3257	2.47	5.04	-0.04
152	SLU 83	296	-9	3265	5.81	6.28	-0.06
152	SLU 84	284	-6	3257	2.47	5.04	-0.04



Nodo Ind.	Cont. N.br.	Reazione a traslazione			Reazione a rotazione		
		x	y	z	x	y	z
152	SLE RA 1	133	-7	1992	4.98	0.79	-0.05
152	SLE RA 2	120	-4	1983	1.28	-0.58	-0.03
152	SLE RA 3	133	-7	1992	4.98	0.79	-0.05
152	SLE RA 4	125	-5	1987	2.76	-0.03	-0.04
152	SLE RA 5	120	-4	1983	1.28	-0.58	-0.03
152	SLE RA 6	133	-7	1992	4.98	0.79	-0.05
152	SLE RA 7	125	-5	1987	2.76	-0.03	-0.04
152	SLE RA 8	133	-7	1992	4.98	0.79	-0.05
152	SLE RA 9	125	-5	1987	2.76	-0.03	-0.04
152	SLE RA 10	172	-4	2269	0.99	1.64	-0.02
152	SLE RA 11	185	-7	2278	4.7	3.01	-0.04
152	SLE RA 12	177	-5	2272	2.48	2.19	-0.03
152	SLE RA 13	172	-4	2269	0.99	1.64	-0.02
152	SLE RA 14	185	-7	2278	4.7	3.01	-0.04
152	SLE RA 15	177	-5	2272	2.48	2.19	-0.03
152	SLE RA 16	185	-7	2278	4.7	3.01	-0.04
152	SLE RA 17	177	-5	2272	2.48	2.19	-0.03
152	SLE RA 18	207	-7	2401	4.58	3.96	-0.04
152	SLE RA 19	200	-5	2395	2.35	3.14	-0.03
152	SLE RA 20	207	-7	2401	4.58	3.96	-0.04
152	SLE RA 21	200	-5	2395	2.35	3.14	-0.03
152	SLE FR 1	133	-7	1992	4.98	0.79	-0.05
152	SLE FR 2	130	-7	1990	4.24	0.52	-0.04
152	SLE FR 3	133	-7	1992	4.98	0.79	-0.05
152	SLE FR 4	153	-6	2113	4.12	1.47	-0.04
152	SLE FR 5	155	-7	2115	4.86	1.74	-0.05
152	SLE FR 6	170	-7	2196	4.78	2.38	-0.05
152	SLE QP 1	133	-7	1992	4.98	0.79	-0.05
152	SLE QP 2	155	-7	2115	4.86	1.74	-0.05
152	SLD 1	313	9	2122	-11.61	9.23	0.06
152	SLD 2	313	9	2122	-11.61	9.23	0.06
152	SLD 3	360	-6	2255	3.79	10.98	-0.04
152	SLD 4	360	-6	2255	3.79	10.98	-0.04
152	SLD 5	131	20	1915	-23.43	1.34	0.14
152	SLD 6	131	20	1915	-23.43	1.34	0.14
152	SLD 7	288	-30	2359	27.89	7.16	-0.2
152	SLD 8	288	-30	2359	27.89	7.16	-0.2
152	SLD 9	22	16	1871	-18.17	-3.68	0.11
152	SLD 10	22	16	1871	-18.17	-3.68	0.11
152	SLD 11	180	-35	2315	33.16	2.15	-0.23
152	SLD 12	180	-35	2315	33.16	2.15	-0.23
152	SLD 13	-49	-8	1975	5.93	-7.49	-0.05
152	SLD 14	-49	-8	1975	5.93	-7.49	-0.05
152	SLD 15	-2	-23	2108	21.33	-5.74	-0.15
152	SLD 16	-2	-23	2108	21.33	-5.74	-0.15
152	SLV 1	526	33	2127	-37.04	19.47	0.23
152	SLV 2	526	33	2127	-37.04	19.47	0.23
152	SLV 3	641	-5	2463	2.02	23.65	-0.03
152	SLV 4	641	-5	2463	2.02	23.65	-0.03
152	SLV 5	92	63	1609	-66.94	0.72	0.43
152	SLV 6	92	63	1609	-66.94	0.72	0.43
152	SLV 7	476	-64	2729	63.24	14.66	-0.43
152	SLV 8	476	-64	2729	63.24	14.66	-0.43
152	SLV 9	-165	50	1501	-53.51	-11.17	0.34
152	SLV 10	-165	50	1501	-53.51	-11.17	0.34
152	SLV 11	219	-77	2621	76.66	2.77	-0.52
152	SLV 12	219	-77	2621	76.66	2.77	-0.52
152	SLV 13	-330	-9	1767	7.71	-20.16	-0.06
152	SLV 14	-330	-9	1767	7.71	-20.16	-0.06
152	SLV 15	-215	-47	2103	46.76	-15.98	-0.32
152	SLV 16	-215	-47	2103	46.76	-15.98	-0.32
153	SLU 1	207	-7	1865	5.01	14.21	-0.05
153	SLU 2	204	-1	1870	-1.48	14.77	-0.01
153	SLU 3	207	-7	1865	5.01	14.21	-0.05
153	SLU 4	205	-3	1868	1.11	14.55	-0.02
153	SLU 5	204	-1	1870	-1.48	14.77	-0.01
153	SLU 6	207	-7	1865	5.01	14.21	-0.05
153	SLU 7	205	-3	1868	1.11	14.55	-0.02
153	SLU 8	207	-7	1865	5.01	14.21	-0.05
153	SLU 9	205	-3	1868	1.11	14.55	-0.02
153	SLU 10	272	0	2305	-2.03	17.88	0
153	SLU 11	276	-6	2299	4.46	17.33	-0.04
153	SLU 12	273	-2	2302	0.57	17.66	-0.02
153	SLU 13	272	0	2305	-2.03	17.88	0
153	SLU 14	276	-6	2299	4.46	17.33	-0.04
153	SLU 15	273	-2	2302	0.57	17.66	-0.02
153	SLU 16	276	-6	2299	4.46	17.33	-0.04
153	SLU 17	273	-2	2302	0.57	17.66	-0.02
153	SLU 18	305	-6	2485	4.23	18.67	-0.04
153	SLU 19	303	-2	2488	0.33	19	-0.02
153	SLU 20	305	-6	2485	4.23	18.67	-0.04
153	SLU 21	303	-2	2488	0.33	19	-0.02
153	SLU 22	242	-6	2087	4.73	15.81	-0.05
153	SLU 23	239	-1	2093	-1.77	16.36	-0.01
153	SLU 24	242	-6	2087	4.73	15.81	-0.05
153	SLU 25	240	-3	2091	0.83	16.14	-0.02
153	SLU 26	239	-1	2093	-1.77	16.36	-0.01
153	SLU 27	242	-6	2087	4.73	15.81	-0.05



Nodo Ind.	Cont. N.br.	Reazione a traslazione			Reazione a rotazione		
		x	y	z	x	y	z
153	SLU 28	240	-3	2091	0.83	16.14	-0.02
153	SLU 29	242	-6	2087	4.73	15.81	-0.05
153	SLU 30	240	-3	2091	0.83	16.14	-0.02
153	SLU 31	307	0	2527	-2.31	19.48	0
153	SLU 32	311	-6	2521	4.18	18.93	-0.04
153	SLU 33	308	-2	2525	0.29	19.26	-0.02
153	SLU 34	307	0	2527	-2.31	19.48	0
153	SLU 35	311	-6	2521	4.18	18.93	-0.04
153	SLU 36	308	-2	2525	0.29	19.26	-0.02
153	SLU 37	311	-6	2521	4.18	18.93	-0.04
153	SLU 38	308	-2	2525	0.29	19.26	-0.02
153	SLU 39	340	-5	2707	3.95	20.26	-0.04
153	SLU 40	338	-2	2711	0.05	20.59	-0.01
153	SLU 41	340	-5	2707	3.95	20.26	-0.04
153	SLU 42	338	-2	2711	0.05	20.59	-0.01
153	SLU 43	258	-9	2348	6.61	17.93	-0.06
153	SLU 44	254	-3	2354	0.12	18.48	-0.02
153	SLU 45	258	-9	2348	6.61	17.93	-0.06
153	SLU 46	255	-5	2351	2.71	18.26	-0.04
153	SLU 47	254	-3	2354	0.12	18.48	-0.02
153	SLU 48	258	-9	2348	6.61	17.93	-0.06
153	SLU 49	255	-5	2351	2.71	18.26	-0.04
153	SLU 50	258	-9	2348	6.61	17.93	-0.06
153	SLU 51	255	-5	2351	2.71	18.26	-0.04
153	SLU 52	322	-2	2788	-0.43	21.6	-0.02
153	SLU 53	326	-8	2782	6.06	21.05	-0.06
153	SLU 54	324	-5	2785	2.17	21.38	-0.03
153	SLU 55	322	-2	2788	-0.43	21.6	-0.02
153	SLU 56	326	-8	2782	6.06	21.05	-0.06
153	SLU 57	324	-5	2785	2.17	21.38	-0.03
153	SLU 58	326	-8	2782	6.06	21.05	-0.06
153	SLU 59	324	-5	2785	2.17	21.38	-0.03
153	SLU 60	355	-8	2968	5.83	22.38	-0.06
153	SLU 61	353	-4	2971	1.93	22.71	-0.03
153	SLU 62	355	-8	2968	5.83	22.38	-0.06
153	SLU 63	353	-4	2971	1.93	22.71	-0.03
153	SLU 64	293	-9	2570	6.33	19.53	-0.06
153	SLU 65	289	-3	2576	-0.17	20.08	-0.02
153	SLU 66	293	-9	2570	6.33	19.53	-0.06
153	SLU 67	290	-5	2574	2.43	19.86	-0.04
153	SLU 68	289	-3	2576	-0.17	20.08	-0.02
153	SLU 69	293	-9	2570	6.33	19.53	-0.06
153	SLU 70	290	-5	2574	2.43	19.86	-0.04
153	SLU 71	293	-9	2570	6.33	19.53	-0.06
153	SLU 72	290	-5	2574	2.43	19.86	-0.04
153	SLU 73	357	-2	3010	-0.71	23.2	-0.02
153	SLU 74	361	-8	3005	5.78	22.64	-0.06
153	SLU 75	359	-4	3008	1.89	22.98	-0.03
153	SLU 76	357	-2	3010	-0.71	23.2	-0.02
153	SLU 77	361	-8	3005	5.78	22.64	-0.06
153	SLU 78	359	-4	3008	1.89	22.98	-0.03
153	SLU 79	361	-8	3005	5.78	22.64	-0.06
153	SLU 80	359	-4	3008	1.89	22.98	-0.03
153	SLU 81	390	-7	3191	5.55	23.98	-0.05
153	SLU 82	388	-4	3194	1.65	24.31	-0.03
153	SLU 83	390	-7	3191	5.55	23.98	-0.05
153	SLU 84	388	-4	3194	1.65	24.31	-0.03
153	SLE RA 1	217	-7	1928	4.93	14.67	-0.05
153	SLE RA 2	215	-3	1932	0.6	15.04	-0.02
153	SLE RA 3	217	-7	1928	4.93	14.67	-0.05
153	SLE RA 4	216	-4	1931	2.33	14.89	-0.03
153	SLE RA 5	215	-3	1932	0.6	15.04	-0.02
153	SLE RA 6	217	-7	1928	4.93	14.67	-0.05
153	SLE RA 7	216	-4	1931	2.33	14.89	-0.03
153	SLE RA 8	217	-7	1928	4.93	14.67	-0.05
153	SLE RA 9	216	-4	1931	2.33	14.89	-0.03
153	SLE RA 10	260	-2	2222	0.24	17.12	-0.02
153	SLE RA 11	263	-6	2218	4.57	16.75	-0.04
153	SLE RA 12	261	-4	2220	1.97	16.97	-0.03
153	SLE RA 13	260	-2	2222	0.24	17.12	-0.02
153	SLE RA 14	263	-6	2218	4.57	16.75	-0.04
153	SLE RA 15	261	-4	2220	1.97	16.97	-0.03
153	SLE RA 16	263	-6	2218	4.57	16.75	-0.04
153	SLE RA 17	261	-4	2220	1.97	16.97	-0.03
153	SLE RA 18	282	-6	2342	4.41	17.64	-0.04
153	SLE RA 19	281	-4	2344	1.81	17.86	-0.03
153	SLE RA 20	282	-6	2342	4.41	17.64	-0.04
153	SLE RA 21	281	-4	2344	1.81	17.86	-0.03
153	SLE FR 1	217	-7	1928	4.93	14.67	-0.05
153	SLE FR 2	217	-6	1929	4.07	14.74	-0.04
153	SLE FR 3	217	-7	1928	4.93	14.67	-0.05
153	SLE FR 4	236	-6	2053	3.91	15.64	-0.04
153	SLE FR 5	237	-6	2052	4.78	15.56	-0.05
153	SLE FR 6	250	-6	2135	4.67	16.15	-0.04
153	SLE QP 1	217	-7	1928	4.93	14.67	-0.05
153	SLE QP 2	237	-6	2052	4.78	15.56	-0.05
153	SLD 1	403	-8	2046	-14.51	22.9	-0.05
153	SLD 2	403	-8	2046	-14.51	22.9	-0.05



Nodo Ind.	Cont. N.br.	Reazione a traslazione			Reazione a rotazione		
		x	y	z	x	y	z
153	SLD 3	455	-26	2235	3.4	25.29	-0.18
153	SLD 4	455	-26	2235	3.4	25.29	-0.18
153	SLD 5	208	21	1763	-28.18	14.14	0.15
153	SLD 6	208	21	1763	-28.18	14.14	0.15
153	SLD 7	381	-40	2395	31.53	22.1	-0.28
153	SLD 8	381	-40	2395	31.53	22.1	-0.28
153	SLD 9	93	28	1710	-21.98	9.02	0.19
153	SLD 10	93	28	1710	-21.98	9.02	0.19
153	SLD 11	266	-34	2342	37.73	16.98	-0.24
153	SLD 12	266	-34	2342	37.73	16.98	-0.24
153	SLD 13	19	13	1869	6.15	5.83	0.09
153	SLD 14	19	13	1869	6.15	5.83	0.09
153	SLD 15	71	-5	2059	24.06	8.22	-0.04
153	SLD 16	71	-5	2059	24.06	8.22	-0.04
153	SLV 1	630	-9	2032	-44.32	32.94	-0.07
153	SLV 2	630	-9	2032	-44.32	32.94	-0.07
153	SLV 3	754	-56	2513	1.16	38.66	-0.39
153	SLV 4	754	-56	2513	1.16	38.66	-0.39
153	SLV 5	167	64	1316	-78.93	12.1	0.44
153	SLV 6	167	64	1316	-78.93	12.1	0.44
153	SLV 7	580	-93	2921	72.66	31.17	-0.64
153	SLV 8	580	-93	2921	72.66	31.17	-0.64
153	SLV 9	-106	80	1184	-63.11	-0.05	0.55
153	SLV 10	-106	80	1184	-63.11	-0.05	0.55
153	SLV 11	307	-77	2789	88.48	19.02	-0.53
153	SLV 12	307	-77	2789	88.48	19.02	-0.53
153	SLV 13	-280	44	1592	8.39	-7.54	0.3
153	SLV 14	-280	44	1592	8.39	-7.54	0.3
153	SLV 15	-156	-3	2073	53.87	-1.82	-0.02
153	SLV 16	-156	-3	2073	53.87	-1.82	-0.02
154	SLU 1	151	-6	1870	4.8	2.67	-0.04
154	SLU 2	134	0	1889	-1.99	1.25	0
154	SLU 3	151	-6	1870	4.8	2.67	-0.04
154	SLU 4	141	-3	1881	0.73	1.82	-0.02
154	SLU 5	134	0	1889	-1.99	1.25	0
154	SLU 6	151	-6	1870	4.8	2.67	-0.04
154	SLU 7	141	-3	1881	0.73	1.82	-0.02
154	SLU 8	151	-6	1870	4.8	2.67	-0.04
154	SLU 9	141	-3	1881	0.73	1.82	-0.02
154	SLU 10	196	1	2333	-2.57	3.85	0
154	SLU 11	214	-5	2314	4.23	5.26	-0.04
154	SLU 12	203	-2	2325	0.15	4.41	-0.01
154	SLU 13	196	1	2333	-2.57	3.85	0
154	SLU 14	214	-5	2314	4.23	5.26	-0.04
154	SLU 15	203	-2	2325	0.15	4.41	-0.01
154	SLU 16	214	-5	2314	4.23	5.26	-0.04
154	SLU 17	203	-2	2325	0.15	4.41	-0.01
154	SLU 18	240	-5	2505	3.98	6.37	-0.04
154	SLU 19	230	-1	2516	-0.1	5.52	-0.01
154	SLU 20	240	-5	2505	3.98	6.37	-0.04
154	SLU 21	230	-1	2516	-0.1	5.52	-0.01
154	SLU 22	183	-6	2098	4.51	4	-0.04
154	SLU 23	166	0	2117	-2.29	2.58	0
154	SLU 24	183	-6	2098	4.51	4	-0.04
154	SLU 25	173	-2	2109	0.43	3.15	-0.02
154	SLU 26	166	0	2117	-2.29	2.58	0
154	SLU 27	183	-6	2098	4.51	4	-0.04
154	SLU 28	173	-2	2109	0.43	3.15	-0.02
154	SLU 29	183	-6	2098	4.51	4	-0.04
154	SLU 30	173	-2	2109	0.43	3.15	-0.02
154	SLU 31	228	1	2561	-2.87	5.18	0
154	SLU 32	245	-5	2542	3.93	6.59	-0.04
154	SLU 33	235	-1	2553	-0.15	5.74	-0.01
154	SLU 34	228	1	2561	-2.87	5.18	0
154	SLU 35	245	-5	2542	3.93	6.59	-0.04
154	SLU 36	235	-1	2553	-0.15	5.74	-0.01
154	SLU 37	245	-5	2542	3.93	6.59	-0.04
154	SLU 38	235	-1	2553	-0.15	5.74	-0.01
154	SLU 39	272	-5	2732	3.68	7.7	-0.03
154	SLU 40	262	-1	2744	-0.4	6.85	-0.01
154	SLU 41	272	-5	2732	3.68	7.7	-0.03
154	SLU 42	262	-1	2744	-0.4	6.85	-0.01
154	SLU 43	186	-8	2353	6.35	3.01	-0.06
154	SLU 44	168	-2	2372	-0.45	1.6	-0.02
154	SLU 45	186	-8	2353	6.35	3.01	-0.06
154	SLU 46	175	-5	2364	2.27	2.16	-0.03
154	SLU 47	168	-2	2372	-0.45	1.6	-0.02
154	SLU 48	186	-8	2353	6.35	3.01	-0.06
154	SLU 49	175	-5	2364	2.27	2.16	-0.03
154	SLU 50	186	-8	2353	6.35	3.01	-0.06
154	SLU 51	175	-5	2364	2.27	2.16	-0.03
154	SLU 52	231	-1	2816	-1.03	4.19	-0.01
154	SLU 53	248	-7	2797	5.77	5.61	-0.05
154	SLU 54	238	-4	2808	1.69	4.76	-0.03
154	SLU 55	231	-1	2816	-1.03	4.19	-0.01
154	SLU 56	248	-7	2797	5.77	5.61	-0.05
154	SLU 57	238	-4	2808	1.69	4.76	-0.03
154	SLU 58	248	-7	2797	5.77	5.61	-0.05



Nodo Ind.	Cont. N.br.	Reazione a traslazione			Reazione a rotazione		
		x	y	z	x	y	z
154	SLU 59	238	-4	2808	1.69	4.76	-0.03
154	SLU 60	275	-7	2988	5.52	6.72	-0.05
154	SLU 61	264	-3	2999	1.44	5.87	-0.03
154	SLU 62	275	-7	2988	5.52	6.72	-0.05
154	SLU 63	264	-3	2999	1.44	5.87	-0.03
154	SLU 64	218	-8	2581	6.05	4.34	-0.06
154	SLU 65	200	-2	2599	-0.75	2.93	-0.01
154	SLU 66	218	-8	2581	6.05	4.34	-0.06
154	SLU 67	207	-4	2592	1.97	3.49	-0.03
154	SLU 68	200	-2	2599	-0.75	2.93	-0.01
154	SLU 69	218	-8	2581	6.05	4.34	-0.06
154	SLU 70	207	-4	2592	1.97	3.49	-0.03
154	SLU 71	218	-8	2581	6.05	4.34	-0.06
154	SLU 72	207	-4	2592	1.97	3.49	-0.03
154	SLU 73	262	-1	3044	-1.32	5.52	-0.01
154	SLU 74	280	-7	3025	5.47	6.94	-0.05
154	SLU 75	269	-3	3036	1.4	6.09	-0.03
154	SLU 76	262	-1	3044	-1.32	5.52	-0.01
154	SLU 77	280	-7	3025	5.47	6.94	-0.05
154	SLU 78	269	-3	3036	1.4	6.09	-0.03
154	SLU 79	280	-7	3025	5.47	6.94	-0.05
154	SLU 80	269	-3	3036	1.4	6.09	-0.03
154	SLU 81	307	-7	3215	5.23	8.05	-0.05
154	SLU 82	296	-3	3227	1.15	7.2	-0.02
154	SLU 83	307	-7	3215	5.23	8.05	-0.05
154	SLU 84	296	-3	3227	1.15	7.2	-0.02
154	SLE RA 1	161	-6	1935	4.72	3.05	-0.04
154	SLE RA 2	149	-2	1948	0.19	2.1	-0.02
154	SLE RA 3	161	-6	1935	4.72	3.05	-0.04
154	SLE RA 4	154	-4	1943	2	2.48	-0.03
154	SLE RA 5	149	-2	1948	0.19	2.1	-0.02
154	SLE RA 6	161	-6	1935	4.72	3.05	-0.04
154	SLE RA 7	154	-4	1943	2	2.48	-0.03
154	SLE RA 8	161	-6	1935	4.72	3.05	-0.04
154	SLE RA 9	154	-4	1943	2	2.48	-0.03
154	SLE RA 10	190	-1	2244	-0.2	3.83	-0.01
154	SLE RA 11	202	-6	2231	4.33	4.78	-0.04
154	SLE RA 12	195	-3	2239	1.62	4.21	-0.02
154	SLE RA 13	190	-1	2244	-0.2	3.83	-0.01
154	SLE RA 14	202	-6	2231	4.33	4.78	-0.04
154	SLE RA 15	195	-3	2239	1.62	4.21	-0.02
154	SLE RA 16	202	-6	2231	4.33	4.78	-0.04
154	SLE RA 17	195	-3	2239	1.62	4.21	-0.02
154	SLE RA 18	220	-5	2358	4.17	5.52	-0.04
154	SLE RA 19	213	-3	2366	1.45	4.95	-0.02
154	SLE RA 20	220	-5	2358	4.17	5.52	-0.04
154	SLE RA 21	213	-3	2366	1.45	4.95	-0.02
154	SLE FR 1	161	-6	1935	4.72	3.05	-0.04
154	SLE FR 2	158	-5	1938	3.81	2.86	-0.04
154	SLE FR 3	161	-6	1935	4.72	3.05	-0.04
154	SLE FR 4	176	-5	2065	3.65	3.6	-0.04
154	SLE FR 5	178	-6	2062	4.55	3.79	-0.04
154	SLE FR 6	190	-6	2147	4.44	4.28	-0.04
154	SLE QP 1	161	-6	1935	4.72	3.05	-0.04
154	SLE QP 2	178	-6	2062	4.55	3.79	-0.04
154	SLD 1	351	-7	2051	6.14	11.57	-0.05
154	SLD 2	351	-7	2051	6.14	11.57	-0.05
154	SLD 3	407	-27	2273	24.88	13.85	-0.18
154	SLD 4	407	-27	2273	24.88	13.85	-0.18
154	SLD 5	146	23	1721	-23.4	2.67	0.15
154	SLD 6	146	23	1721	-23.4	2.67	0.15
154	SLD 7	331	-42	2463	39.08	10.27	-0.28
154	SLD 8	331	-42	2463	39.08	10.27	-0.28
154	SLD 9	26	30	1661	-29.97	-2.69	0.2
154	SLD 10	26	30	1661	-29.97	-2.69	0.2
154	SLD 11	210	-35	2403	32.51	4.91	-0.23
154	SLD 12	210	-35	2403	32.51	4.91	-0.23
154	SLD 13	-50	15	1851	-15.77	-6.28	0.1
154	SLD 14	-50	15	1851	-15.77	-6.28	0.1
154	SLD 15	5	-4	2073	2.97	-4	-0.03
154	SLD 16	5	-4	2073	2.97	-4	-0.03
154	SLV 1	589	-10	2030	8.68	22.25	-0.07
154	SLV 2	589	-10	2030	8.68	22.25	-0.07
154	SLV 3	719	-59	2596	56.33	27.61	-0.39
154	SLV 4	719	-59	2596	56.33	27.61	-0.39
154	SLV 5	104	68	1194	-66.47	1.2	0.45
154	SLV 6	104	68	1194	-66.47	1.2	0.45
154	SLV 7	538	-97	3080	92.35	19.06	-0.64
154	SLV 8	538	-97	3080	92.35	19.06	-0.64
154	SLV 9	-181	86	1044	-83.24	-11.48	0.56
154	SLV 10	-181	86	1044	-83.24	-11.48	0.56
154	SLV 11	252	-80	2930	75.58	6.38	-0.53
154	SLV 12	252	-80	2930	75.58	6.38	-0.53
154	SLV 13	-362	48	1529	-47.22	-20.03	0.31
154	SLV 14	-362	48	1529	-47.22	-20.03	0.31
154	SLV 15	-232	-2	2094	0.43	-14.67	-0.02
154	SLV 16	-232	-2	2094	0.43	-14.67	-0.02
155	SLU 1	230	-6	1894	4.47	12.92	-0.04



Nodo Ind.	Cont. N.br.	Reazione a traslazione			Reazione a rotazione		
		x	y	z	x	y	z
155	SLU 2	219	0	1905	-1.93	12.91	-0.01
155	SLU 3	230	-6	1894	4.47	12.92	-0.04
155	SLU 4	223	-3	1901	0.63	12.92	-0.02
155	SLU 5	219	0	1905	-1.93	12.91	-0.01
155	SLU 6	230	-6	1894	4.47	12.92	-0.04
155	SLU 7	223	-3	1901	0.63	12.92	-0.02
155	SLU 8	230	-6	1894	4.47	12.92	-0.04
155	SLU 9	223	-3	1901	0.63	12.92	-0.02
155	SLU 10	279	0	2367	-2.44	15.5	0
155	SLU 11	290	-5	2356	3.96	15.5	-0.03
155	SLU 12	283	-2	2362	0.12	15.5	-0.01
155	SLU 13	279	0	2367	-2.44	15.5	0
155	SLU 14	290	-5	2356	3.96	15.5	-0.03
155	SLU 15	283	-2	2362	0.12	15.5	-0.01
155	SLU 16	290	-5	2356	3.96	15.5	-0.03
155	SLU 17	283	-2	2362	0.12	15.5	-0.01
155	SLU 18	316	-5	2554	3.74	16.61	-0.03
155	SLU 19	309	-2	2560	-0.1	16.61	-0.01
155	SLU 20	316	-5	2554	3.74	16.61	-0.03
155	SLU 21	309	-2	2560	-0.1	16.61	-0.01
155	SLU 22	261	-6	2131	4.21	14.24	-0.04
155	SLU 23	250	0	2142	-2.19	14.24	0
155	SLU 24	261	-6	2131	4.21	14.24	-0.04
155	SLU 25	254	-2	2138	0.37	14.24	-0.02
155	SLU 26	250	0	2142	-2.19	14.24	0
155	SLU 27	261	-6	2131	4.21	14.24	-0.04
155	SLU 28	254	-2	2138	0.37	14.24	-0.02
155	SLU 29	261	-6	2131	4.21	14.24	-0.04
155	SLU 30	254	-2	2138	0.37	14.24	-0.02
155	SLU 31	310	1	2603	-2.7	16.82	0
155	SLU 32	321	-5	2593	3.7	16.83	-0.03
155	SLU 33	314	-2	2599	-0.14	16.82	-0.01
155	SLU 34	310	1	2603	-2.7	16.82	0
155	SLU 35	321	-5	2593	3.7	16.83	-0.03
155	SLU 36	314	-2	2599	-0.14	16.82	-0.01
155	SLU 37	321	-5	2593	3.7	16.83	-0.03
155	SLU 38	314	-2	2599	-0.14	16.82	-0.01
155	SLU 39	347	-5	2790	3.48	17.93	-0.03
155	SLU 40	340	-1	2797	-0.36	17.93	-0.01
155	SLU 41	347	-5	2790	3.48	17.93	-0.03
155	SLU 42	340	-1	2797	-0.36	17.93	-0.01
155	SLU 43	288	-8	2382	5.9	16.34	-0.05
155	SLU 44	277	-2	2392	-0.49	16.33	-0.02
155	SLU 45	288	-8	2382	5.9	16.34	-0.05
155	SLU 46	282	-4	2388	2.07	16.34	-0.03
155	SLU 47	277	-2	2392	-0.49	16.33	-0.02
155	SLU 48	288	-8	2382	5.9	16.34	-0.05
155	SLU 49	282	-4	2388	2.07	16.34	-0.03
155	SLU 50	288	-8	2382	5.9	16.34	-0.05
155	SLU 51	282	-4	2388	2.07	16.34	-0.03
155	SLU 52	337	-2	2854	-1.01	18.92	-0.01
155	SLU 53	349	-7	2843	5.39	18.92	-0.05
155	SLU 54	342	-4	2850	1.55	18.92	-0.03
155	SLU 55	337	-2	2854	-1.01	18.92	-0.01
155	SLU 56	349	-7	2843	5.39	18.92	-0.05
155	SLU 57	342	-4	2850	1.55	18.92	-0.03
155	SLU 58	349	-7	2843	5.39	18.92	-0.05
155	SLU 59	342	-4	2850	1.55	18.92	-0.03
155	SLU 60	375	-7	3041	5.17	20.03	-0.04
155	SLU 61	368	-3	3047	1.33	20.03	-0.03
155	SLU 62	375	-7	3041	5.17	20.03	-0.04
155	SLU 63	368	-3	3047	1.33	20.03	-0.03
155	SLU 64	319	-8	2618	5.64	17.66	-0.05
155	SLU 65	308	-2	2629	-0.76	17.66	-0.02
155	SLU 66	319	-8	2618	5.64	17.66	-0.05
155	SLU 67	313	-4	2625	1.8	17.66	-0.03
155	SLU 68	308	-2	2629	-0.76	17.66	-0.02
155	SLU 69	319	-8	2618	5.64	17.66	-0.05
155	SLU 70	313	-4	2625	1.8	17.66	-0.03
155	SLU 71	319	-8	2618	5.64	17.66	-0.05
155	SLU 72	313	-4	2625	1.8	17.66	-0.03
155	SLU 73	368	-1	3091	-1.27	20.24	-0.01
155	SLU 74	380	-7	3080	5.13	20.25	-0.04
155	SLU 75	373	-3	3086	1.29	20.24	-0.02
155	SLU 76	368	-1	3091	-1.27	20.24	-0.01
155	SLU 77	380	-7	3080	5.13	20.25	-0.04
155	SLU 78	373	-3	3086	1.29	20.24	-0.02
155	SLU 79	380	-7	3080	5.13	20.25	-0.04
155	SLU 80	373	-3	3086	1.29	20.24	-0.02
155	SLU 81	406	-6	3278	4.91	21.35	-0.04
155	SLU 82	399	-3	3284	1.07	21.35	-0.02
155	SLU 83	406	-6	3278	4.91	21.35	-0.04
155	SLU 84	399	-3	3284	1.07	21.35	-0.02
155	SLE RA 1	239	-6	1962	4.4	13.3	-0.04
155	SLE RA 2	231	-2	1969	0.13	13.29	-0.02
155	SLE RA 3	239	-6	1962	4.4	13.3	-0.04
155	SLE RA 4	234	-4	1966	1.84	13.29	-0.02
155	SLE RA 5	231	-2	1969	0.13	13.29	-0.02



Nodo Ind.	Cont. N.br.	Reazione a traslazione			Reazione a rotazione		
		x	y	z	x	y	z
155	SLE RA 6	239	-6	1962	4.4	13.3	-0.04
155	SLE RA 7	234	-4	1966	1.84	13.29	-0.02
155	SLE RA 8	239	-6	1962	4.4	13.3	-0.04
155	SLE RA 9	234	-4	1966	1.84	13.29	-0.02
155	SLE RA 10	271	-2	2277	-0.21	15.02	-0.01
155	SLE RA 11	279	-5	2270	4.06	15.02	-0.03
155	SLE RA 12	275	-3	2274	1.5	15.02	-0.02
155	SLE RA 13	271	-2	2277	-0.21	15.02	-0.01
155	SLE RA 14	279	-5	2270	4.06	15.02	-0.03
155	SLE RA 15	275	-3	2274	1.5	15.02	-0.02
155	SLE RA 16	279	-5	2270	4.06	15.02	-0.03
155	SLE RA 17	275	-3	2274	1.5	15.02	-0.02
155	SLE RA 18	296	-5	2402	3.91	15.76	-0.03
155	SLE RA 19	292	-3	2406	1.35	15.76	-0.02
155	SLE RA 20	296	-5	2402	3.91	15.76	-0.03
155	SLE RA 21	292	-3	2406	1.35	15.76	-0.02
155	SLE FR 1	239	-6	1962	4.4	13.3	-0.04
155	SLE FR 2	237	-5	1964	3.54	13.3	-0.03
155	SLE FR 3	239	-6	1962	4.4	13.3	-0.04
155	SLE FR 4	255	-5	2095	3.4	14.03	-0.03
155	SLE FR 5	256	-6	2094	4.25	14.03	-0.04
155	SLE FR 6	268	-6	2182	4.15	14.53	-0.04
155	SLE QP 1	239	-6	1962	4.4	13.3	-0.04
155	SLE QP 2	256	-6	2094	4.25	14.03	-0.04
155	SLD 1	423	-7	2079	5.88	21.35	-0.05
155	SLD 2	423	-7	2079	5.88	21.35	-0.05
155	SLD 3	493	-25	2301	23.7	24.41	-0.15
155	SLD 4	493	-25	2301	23.7	24.41	-0.15
155	SLD 5	200	21	1752	-22.28	11.57	0.12
155	SLD 6	200	21	1752	-22.28	11.57	0.12
155	SLD 7	434	-39	2493	37.11	21.8	-0.23
155	SLD 8	434	-39	2493	37.11	21.8	-0.23
155	SLD 9	79	28	1695	-28.6	6.27	0.16
155	SLD 10	79	28	1695	-28.6	6.27	0.16
155	SLD 11	312	-33	2436	30.78	16.49	-0.2
155	SLD 12	312	-33	2436	30.78	16.49	-0.2
155	SLD 13	19	14	1887	-15.19	3.65	0.08
155	SLD 14	19	14	1887	-15.19	3.65	0.08
155	SLD 15	89	-4	2109	2.62	6.72	-0.03
155	SLD 16	89	-4	2109	2.62	6.72	-0.03
155	SLV 1	653	-10	2051	8.45	31.44	-0.06
155	SLV 2	653	-10	2051	8.45	31.44	-0.06
155	SLV 3	817	-56	2615	53.81	38.63	-0.33
155	SLV 4	817	-56	2615	53.81	38.63	-0.33
155	SLV 5	125	63	1225	-63.28	8.35	0.37
155	SLV 6	125	63	1225	-63.28	8.35	0.37
155	SLV 7	674	-91	3106	87.92	32.32	-0.54
155	SLV 8	674	-91	3106	87.92	32.32	-0.54
155	SLV 9	-162	80	1082	-79.41	-4.25	0.47
155	SLV 10	-162	80	1082	-79.41	-4.25	0.47
155	SLV 11	387	-75	2963	71.79	19.72	-0.44
155	SLV 12	387	-75	2963	71.79	19.72	-0.44
155	SLV 13	-305	45	1573	-45.31	-10.56	0.26
155	SLV 14	-305	45	1573	-45.31	-10.56	0.26
155	SLV 15	-141	-2	2137	0.05	-3.37	-0.01
155	SLV 16	-141	-2	2137	0.05	-3.37	-0.01
156	SLU 1	189	-5	1976	3.9	5.39	-0.03
156	SLU 2	173	-1	1970	-1.51	4.49	-0.01
156	SLU 3	189	-5	1976	3.9	5.39	-0.03
156	SLU 4	179	-3	1973	0.65	4.85	-0.02
156	SLU 5	173	-1	1970	-1.51	4.49	-0.01
156	SLU 6	189	-5	1976	3.9	5.39	-0.03
156	SLU 7	179	-3	1973	0.65	4.85	-0.02
156	SLU 8	189	-5	1976	3.9	5.39	-0.03
156	SLU 9	179	-3	1973	0.65	4.85	-0.02
156	SLU 10	227	-1	2456	-1.88	6.72	-0.01
156	SLU 11	243	-5	2461	3.53	7.62	-0.02
156	SLU 12	233	-2	2458	0.28	7.08	-0.01
156	SLU 13	227	-1	2456	-1.88	6.72	-0.01
156	SLU 14	243	-5	2461	3.53	7.62	-0.02
156	SLU 15	233	-2	2458	0.28	7.08	-0.01
156	SLU 16	243	-5	2461	3.53	7.62	-0.02
156	SLU 17	233	-2	2458	0.28	7.08	-0.01
156	SLU 18	266	-5	2669	3.37	8.57	-0.02
156	SLU 19	256	-2	2666	0.12	8.03	-0.01
156	SLU 20	266	-5	2669	3.37	8.57	-0.02
156	SLU 21	256	-2	2666	0.12	8.03	-0.01
156	SLU 22	216	-5	2225	3.71	6.53	-0.03
156	SLU 23	200	-1	2219	-1.7	5.64	-0.01
156	SLU 24	216	-5	2225	3.71	6.53	-0.03
156	SLU 25	207	-3	2221	0.46	5.99	-0.02
156	SLU 26	200	-1	2219	-1.7	5.64	-0.01
156	SLU 27	216	-5	2225	3.71	6.53	-0.03
156	SLU 28	207	-3	2221	0.46	5.99	-0.02
156	SLU 29	216	-5	2225	3.71	6.53	-0.03
156	SLU 30	207	-3	2221	0.46	5.99	-0.02
156	SLU 31	254	0	2704	-2.07	7.86	-0.01
156	SLU 32	270	-5	2710	3.34	8.76	-0.02



Nodo Ind.	Cont. N.br.	Reazione a traslazione			Reazione a rotazione		
		x	y	z	x	y	z
156	SLU 33	261	-2	2707	0.09	8.22	-0.01
156	SLU 34	254	0	2704	-2.07	7.86	-0.01
156	SLU 35	270	-5	2710	3.34	8.76	-0.02
156	SLU 36	261	-2	2707	0.09	8.22	-0.01
156	SLU 37	270	-5	2710	3.34	8.76	-0.02
156	SLU 38	261	-2	2707	0.09	8.22	-0.01
156	SLU 39	293	-4	2918	3.18	9.71	-0.02
156	SLU 40	284	-2	2914	-0.07	9.18	-0.01
156	SLU 41	293	-4	2918	3.18	9.71	-0.02
156	SLU 42	284	-2	2914	-0.07	9.18	-0.01
156	SLU 43	236	-7	2483	5.13	6.62	-0.04
156	SLU 44	220	-3	2478	-0.27	5.72	-0.02
156	SLU 45	236	-7	2483	5.13	6.62	-0.04
156	SLU 46	226	-5	2480	1.89	6.08	-0.03
156	SLU 47	220	-3	2478	-0.27	5.72	-0.02
156	SLU 48	236	-7	2483	5.13	6.62	-0.04
156	SLU 49	226	-5	2480	1.89	6.08	-0.03
156	SLU 50	236	-7	2483	5.13	6.62	-0.04
156	SLU 51	226	-5	2480	1.89	6.08	-0.03
156	SLU 52	274	-2	2963	-0.64	7.95	-0.02
156	SLU 53	290	-7	2969	4.76	8.84	-0.03
156	SLU 54	280	-4	2965	1.52	8.3	-0.02
156	SLU 55	274	-2	2963	-0.64	7.95	-0.02
156	SLU 56	290	-7	2969	4.76	8.84	-0.03
156	SLU 57	280	-4	2965	1.52	8.3	-0.02
156	SLU 58	290	-7	2969	4.76	8.84	-0.03
156	SLU 59	280	-4	2965	1.52	8.3	-0.02
156	SLU 60	313	-6	3176	4.6	9.8	-0.03
156	SLU 61	303	-4	3173	1.36	9.26	-0.02
156	SLU 62	313	-6	3176	4.6	9.8	-0.03
156	SLU 63	303	-4	3173	1.36	9.26	-0.02
156	SLU 64	264	-7	2732	4.94	7.76	-0.03
156	SLU 65	248	-3	2727	-0.46	6.86	-0.02
156	SLU 66	264	-7	2732	4.94	7.76	-0.03
156	SLU 67	254	-4	2729	1.7	7.22	-0.02
156	SLU 68	248	-3	2727	-0.46	6.86	-0.02
156	SLU 69	264	-7	2732	4.94	7.76	-0.03
156	SLU 70	254	-4	2729	1.7	7.22	-0.02
156	SLU 71	264	-7	2732	4.94	7.76	-0.03
156	SLU 72	254	-4	2729	1.7	7.22	-0.02
156	SLU 73	301	-2	3212	-0.83	9.09	-0.02
156	SLU 74	317	-6	3217	4.57	9.99	-0.03
156	SLU 75	308	-4	3214	1.33	9.45	-0.02
156	SLU 76	301	-2	3212	-0.83	9.09	-0.02
156	SLU 77	317	-6	3217	4.57	9.99	-0.03
156	SLU 78	308	-4	3214	1.33	9.45	-0.02
156	SLU 79	317	-6	3217	4.57	9.99	-0.03
156	SLU 80	308	-4	3214	1.33	9.45	-0.02
156	SLU 81	341	-6	3425	4.41	10.94	-0.03
156	SLU 82	331	-4	3422	1.17	10.4	-0.02
156	SLU 83	341	-6	3425	4.41	10.94	-0.03
156	SLU 84	331	-4	3422	1.17	10.4	-0.02
156	SLE RA 1	197	-5	2047	3.84	5.72	-0.03
156	SLE RA 2	186	-2	2043	0.24	5.12	-0.02
156	SLE RA 3	197	-5	2047	3.84	5.72	-0.03
156	SLE RA 4	190	-4	2045	1.68	5.36	-0.02
156	SLE RA 5	186	-2	2043	0.24	5.12	-0.02
156	SLE RA 6	197	-5	2047	3.84	5.72	-0.03
156	SLE RA 7	190	-4	2045	1.68	5.36	-0.02
156	SLE RA 8	197	-5	2047	3.84	5.72	-0.03
156	SLE RA 9	190	-4	2045	1.68	5.36	-0.02
156	SLE RA 10	222	-2	2367	-0.01	6.6	-0.01
156	SLE RA 11	233	-5	2370	3.59	7.2	-0.03
156	SLE RA 12	226	-3	2368	1.43	6.84	-0.02
156	SLE RA 13	222	-2	2367	-0.01	6.6	-0.01
156	SLE RA 14	233	-5	2370	3.59	7.2	-0.03
156	SLE RA 15	226	-3	2368	1.43	6.84	-0.02
156	SLE RA 16	233	-5	2370	3.59	7.2	-0.03
156	SLE RA 17	226	-3	2368	1.43	6.84	-0.02
156	SLE RA 18	248	-5	2509	3.49	7.84	-0.02
156	SLE RA 19	242	-3	2507	1.33	7.48	-0.02
156	SLE RA 20	248	-5	2509	3.49	7.84	-0.02
156	SLE RA 21	242	-3	2507	1.33	7.48	-0.02
156	SLE FR 1	197	-5	2047	3.84	5.72	-0.03
156	SLE FR 2	195	-5	2046	3.12	5.6	-0.02
156	SLE FR 3	197	-5	2047	3.84	5.72	-0.03
156	SLE FR 4	210	-5	2185	3.02	6.23	-0.02
156	SLE FR 5	212	-5	2186	3.74	6.35	-0.03
156	SLE FR 6	222	-5	2278	3.67	6.78	-0.03
156	SLE QP 1	197	-5	2047	3.84	5.72	-0.03
156	SLE QP 2	212	-5	2186	3.74	6.35	-0.03
156	SLD 1	371	-7	2167	5.21	13.55	-0.03
156	SLD 2	371	-7	2167	5.21	13.55	-0.03
156	SLD 3	447	-22	2369	20.59	16.45	-0.1
156	SLD 4	447	-22	2369	20.59	16.45	-0.1
156	SLD 5	145	17	1874	-19.15	4.11	0.07
156	SLD 6	145	17	1874	-19.15	4.11	0.07
156	SLD 7	397	-33	2547	32.12	13.78	-0.15



Nodo Ind.	Cont. N.br.	Reazione a traslazione			Reazione a rotazione		
		x	y	z	x	y	z
156	SLD 8	397	-33	2547	32.12	13.78	-0.15
156	SLD 9	27	23	1824	-24.65	-1.07	0.1
156	SLD 10	27	23	1824	-24.65	-1.07	0.1
156	SLD 11	279	-28	2497	26.62	8.59	-0.13
156	SLD 12	279	-28	2497	26.62	8.59	-0.13
156	SLD 13	-23	11	2002	-13.12	-3.74	0.05
156	SLD 14	-23	11	2002	-13.12	-3.74	0.05
156	SLD 15	53	-4	2204	2.26	-0.84	-0.02
156	SLD 16	53	-4	2204	2.26	-0.84	-0.02
156	SLV 1	590	-9	2135	7.51	23.41	-0.04
156	SLV 2	590	-9	2135	7.51	23.41	-0.04
156	SLV 3	770	-47	2643	46.72	30.28	-0.21
156	SLV 4	770	-47	2643	46.72	30.28	-0.21
156	SLV 5	53	52	1400	-54.6	1.05	0.23
156	SLV 6	53	52	1400	-54.6	1.05	0.23
156	SLV 7	651	-76	3093	76.1	23.96	-0.34
156	SLV 8	651	-76	3093	76.1	23.96	-0.34
156	SLV 9	-227	65	1278	-68.63	-11.25	0.29
156	SLV 10	-227	65	1278	-68.63	-11.25	0.29
156	SLV 11	371	-62	2971	62.07	11.66	-0.28
156	SLV 12	371	-62	2971	62.07	11.66	-0.28
156	SLV 13	-345	37	1728	-39.25	-17.58	0.16
156	SLV 14	-345	37	1728	-39.25	-17.58	0.16
156	SLV 15	-166	-2	2236	-0.04	-10.7	-0.01
156	SLV 16	-166	-2	2236	-0.04	-10.7	-0.01
157	SLU 1	203	-4	2050	2.94	10.43	-0.01
157	SLU 2	194	-1	2018	-1.1	10.39	-0.01
157	SLU 3	203	-4	2050	2.94	10.43	-0.01
157	SLU 4	198	-2	2031	0.51	10.41	-0.01
157	SLU 5	194	-1	2018	-1.1	10.39	-0.01
157	SLU 6	203	-4	2050	2.94	10.43	-0.01
157	SLU 7	198	-2	2031	0.51	10.41	-0.01
157	SLU 8	203	-4	2050	2.94	10.43	-0.01
157	SLU 9	198	-2	2031	0.51	10.41	-0.01
157	SLU 10	235	-1	2524	-1.3	12.1	-0.01
157	SLU 11	244	-4	2555	2.74	12.14	-0.01
157	SLU 12	239	-2	2537	0.32	12.11	-0.01
157	SLU 13	235	-1	2524	-1.3	12.1	-0.01
157	SLU 14	244	-4	2555	2.74	12.14	-0.01
157	SLU 15	239	-2	2537	0.32	12.11	-0.01
157	SLU 16	244	-4	2555	2.74	12.14	-0.01
157	SLU 17	239	-2	2537	0.32	12.11	-0.01
157	SLU 18	262	-3	2772	2.65	12.87	-0.01
157	SLU 19	257	-2	2753	0.23	12.85	-0.01
157	SLU 20	262	-3	2772	2.65	12.87	-0.01
157	SLU 21	257	-2	2753	0.23	12.85	-0.01
157	SLU 22	224	-4	2309	2.84	11.31	-0.01
157	SLU 23	215	-1	2278	-1.2	11.27	-0.01
157	SLU 24	224	-4	2309	2.84	11.31	-0.01
157	SLU 25	219	-2	2290	0.41	11.28	-0.01
157	SLU 26	215	-1	2278	-1.2	11.27	-0.01
157	SLU 27	224	-4	2309	2.84	11.31	-0.01
157	SLU 28	219	-2	2290	0.41	11.28	-0.01
157	SLU 29	224	-4	2309	2.84	11.31	-0.01
157	SLU 30	219	-2	2290	0.41	11.28	-0.01
157	SLU 31	257	-1	2783	-1.4	12.98	-0.01
157	SLU 32	265	-3	2815	2.64	13.01	-0.01
157	SLU 33	260	-2	2796	0.22	12.99	-0.01
157	SLU 34	257	-1	2783	-1.4	12.98	-0.01
157	SLU 35	265	-3	2815	2.64	13.01	-0.01
157	SLU 36	260	-2	2796	0.22	12.99	-0.01
157	SLU 37	265	-3	2815	2.64	13.01	-0.01
157	SLU 38	260	-2	2796	0.22	12.99	-0.01
157	SLU 39	283	-3	3031	2.55	13.75	-0.01
157	SLU 40	278	-2	3013	0.13	13.72	-0.01
157	SLU 41	283	-3	3031	2.55	13.75	-0.01
157	SLU 42	278	-2	3013	0.13	13.72	-0.01
157	SLU 43	257	-5	2576	3.85	13.26	-0.01
157	SLU 44	248	-2	2544	-0.19	13.22	-0.01
157	SLU 45	257	-5	2576	3.85	13.26	-0.01
157	SLU 46	251	-3	2557	1.43	13.24	-0.01
157	SLU 47	248	-2	2544	-0.19	13.22	-0.01
157	SLU 48	257	-5	2576	3.85	13.26	-0.01
157	SLU 49	251	-3	2557	1.43	13.24	-0.01
157	SLU 50	257	-5	2576	3.85	13.26	-0.01
157	SLU 51	251	-3	2557	1.43	13.24	-0.01
157	SLU 52	289	-2	3050	-0.38	14.93	-0.01
157	SLU 53	298	-5	3081	3.65	14.97	-0.01
157	SLU 54	293	-3	3063	1.23	14.94	-0.01
157	SLU 55	289	-2	3050	-0.38	14.93	-0.01
157	SLU 56	298	-5	3081	3.65	14.97	-0.01
157	SLU 57	293	-3	3063	1.23	14.94	-0.01
157	SLU 58	298	-5	3081	3.65	14.97	-0.01
157	SLU 59	293	-3	3063	1.23	14.94	-0.01
157	SLU 60	315	-5	3298	3.57	15.7	-0.01
157	SLU 61	310	-3	3279	1.15	15.68	-0.01
157	SLU 62	315	-5	3298	3.57	15.7	-0.01
157	SLU 63	310	-3	3279	1.15	15.68	-0.01



Nodo Ind.	Cont. N.br.	Reazione a traslazione			Reazione a rotazione		
		x	y	z	x	y	z
157	SLU 64	278	-5	2835	3.75	14.13	-0.01
157	SLU 65	269	-2	2804	-0.29	14.1	-0.01
157	SLU 66	278	-5	2835	3.75	14.13	-0.01
157	SLU 67	273	-3	2816	1.33	14.11	-0.01
157	SLU 68	269	-2	2804	-0.29	14.1	-0.01
157	SLU 69	278	-5	2835	3.75	14.13	-0.01
157	SLU 70	273	-3	2816	1.33	14.11	-0.01
157	SLU 71	278	-5	2835	3.75	14.13	-0.01
157	SLU 72	273	-3	2816	1.33	14.11	-0.01
157	SLU 73	310	-2	3309	-0.48	15.8	-0.01
157	SLU 74	319	-5	3341	3.55	15.84	-0.01
157	SLU 75	314	-3	3322	1.13	15.82	-0.01
157	SLU 76	310	-2	3309	-0.48	15.8	-0.01
157	SLU 77	319	-5	3341	3.55	15.84	-0.01
157	SLU 78	314	-3	3322	1.13	15.82	-0.01
157	SLU 79	319	-5	3341	3.55	15.84	-0.01
157	SLU 80	314	-3	3322	1.13	15.82	-0.01
157	SLU 81	336	-5	3557	3.47	16.57	-0.01
157	SLU 82	331	-3	3539	1.05	16.55	-0.01
157	SLU 83	336	-5	3557	3.47	16.57	-0.01
157	SLU 84	331	-3	3539	1.05	16.55	-0.01
157	SLE RA 1	209	-4	2124	2.91	10.68	-0.01
157	SLE RA 2	203	-2	2103	0.21	10.65	-0.01
157	SLE RA 3	209	-4	2124	2.91	10.68	-0.01
157	SLE RA 4	206	-3	2111	1.29	10.66	-0.01
157	SLE RA 5	203	-2	2103	0.21	10.65	-0.01
157	SLE RA 6	209	-4	2124	2.91	10.68	-0.01
157	SLE RA 7	206	-3	2111	1.29	10.66	-0.01
157	SLE RA 8	209	-4	2124	2.91	10.68	-0.01
157	SLE RA 9	206	-3	2111	1.29	10.66	-0.01
157	SLE RA 10	231	-2	2440	0.08	11.79	-0.01
157	SLE RA 11	236	-4	2461	2.78	11.82	-0.01
157	SLE RA 12	233	-3	2448	1.16	11.8	-0.01
157	SLE RA 13	231	-2	2440	0.08	11.79	-0.01
157	SLE RA 14	236	-4	2461	2.78	11.82	-0.01
157	SLE RA 15	233	-3	2448	1.16	11.8	-0.01
157	SLE RA 16	236	-4	2461	2.78	11.82	-0.01
157	SLE RA 17	233	-3	2448	1.16	11.8	-0.01
157	SLE RA 18	248	-4	2605	2.72	12.31	-0.01
157	SLE RA 19	245	-3	2593	1.1	12.29	-0.01
157	SLE RA 20	248	-4	2605	2.72	12.31	-0.01
157	SLE RA 21	245	-3	2593	1.1	12.29	-0.01
157	SLE FR 1	209	-4	2124	2.91	10.68	-0.01
157	SLE FR 2	208	-3	2120	2.37	10.67	-0.01
157	SLE FR 3	209	-4	2124	2.91	10.68	-0.01
157	SLE FR 4	220	-3	2264	2.31	11.16	-0.01
157	SLE FR 5	221	-4	2268	2.85	11.17	-0.01
157	SLE FR 6	229	-4	2365	2.81	11.49	-0.01
157	SLE QP 1	209	-4	2124	2.91	10.68	-0.01
157	SLE QP 2	221	-4	2268	2.85	11.17	-0.01
157	SLD 1	371	-4	2251	3.97	17.83	-0.01
157	SLD 2	371	-4	2251	3.97	17.83	-0.01
157	SLD 3	451	-16	2428	15.91	21.2	-0.05
157	SLD 4	451	-16	2428	15.91	21.2	-0.05
157	SLD 5	144	14	1995	-14.92	8.06	0.05
157	SLD 6	144	14	1995	-14.92	8.06	0.05
157	SLD 7	411	-25	2585	24.87	19.28	-0.08
157	SLD 8	411	-25	2585	24.87	19.28	-0.08
157	SLD 9	30	17	1952	-19.17	3.05	0.06
157	SLD 10	30	17	1952	-19.17	3.05	0.06
157	SLD 11	297	-21	2542	20.62	14.27	-0.07
157	SLD 12	297	-21	2542	20.62	14.27	-0.07
157	SLD 13	-10	9	2109	-10.21	1.14	0.03
157	SLD 14	-10	9	2109	-10.21	1.14	0.03
157	SLD 15	70	-3	2286	1.73	4.5	-0.01
157	SLD 16	70	-3	2286	1.73	4.5	-0.01
157	SLV 1	578	-5	2225	5.72	27.03	-0.01
157	SLV 2	578	-5	2225	5.72	27.03	-0.01
157	SLV 3	769	-34	2659	36.15	35	-0.11
157	SLV 4	769	-34	2659	36.15	35	-0.11
157	SLV 5	38	40	1597	-42.43	3.83	0.13
157	SLV 6	38	40	1597	-42.43	3.83	0.13
157	SLV 7	675	-56	3044	58.98	30.41	-0.18
157	SLV 8	675	-56	3044	58.98	30.41	-0.18
157	SLV 9	-233	49	1493	-53.28	-8.08	0.16
157	SLV 10	-233	49	1493	-53.28	-8.08	0.16
157	SLV 11	403	-47	2939	48.13	18.5	-0.15
157	SLV 12	403	-47	2939	48.13	18.5	-0.15
157	SLV 13	-327	27	1877	-30.44	-12.67	0.08
157	SLV 14	-327	27	1877	-30.44	-12.67	0.08
157	SLV 15	-137	-2	2311	-0.02	-4.69	-0.01
157	SLV 16	-137	-2	2311	-0.02	-4.69	-0.01
158	SLU 1	129	-1	2114	1.72	3.65	0
158	SLU 2	123	0	2055	-0.88	3.41	0
158	SLU 3	129	-1	2114	1.72	3.65	0
158	SLU 4	125	0	2079	0.16	3.5	0
158	SLU 5	123	0	2055	-0.88	3.41	0
158	SLU 6	129	-1	2114	1.72	3.65	0



Nodo Ind.	Cont. N.br.	Reazione a traslazione			Reazione a rotazione		
		x	y	z	x	y	z
158	SLU 7	125	0	2079	0.16	3.5	0
158	SLU 8	129	-1	2114	1.72	3.65	0
158	SLU 9	125	0	2079	0.16	3.5	0
158	SLU 10	148	0	2571	-0.92	4.5	0
158	SLU 11	154	-1	2630	1.69	4.74	0
158	SLU 12	151	0	2595	0.12	4.59	0
158	SLU 13	148	0	2571	-0.92	4.5	0
158	SLU 14	154	-1	2630	1.69	4.74	0
158	SLU 15	151	0	2595	0.12	4.59	0
158	SLU 16	154	-1	2630	1.69	4.74	0
158	SLU 17	151	0	2595	0.12	4.59	0
158	SLU 18	165	-1	2851	1.67	5.2	0
158	SLU 19	161	0	2816	0.11	5.06	0
158	SLU 20	165	-1	2851	1.67	5.2	0
158	SLU 21	161	0	2816	0.11	5.06	0
158	SLU 22	142	-1	2378	1.7	4.2	0
158	SLU 23	136	0	2320	-0.9	3.97	0
158	SLU 24	142	-1	2378	1.7	4.2	0
158	SLU 25	138	0	2343	0.14	4.06	0
158	SLU 26	136	0	2320	-0.9	3.97	0
158	SLU 27	142	-1	2378	1.7	4.2	0
158	SLU 28	138	0	2343	0.14	4.06	0
158	SLU 29	142	-1	2378	1.7	4.2	0
158	SLU 30	138	0	2343	0.14	4.06	0
158	SLU 31	161	0	2836	-0.94	5.06	0
158	SLU 32	167	-1	2894	1.67	5.29	0
158	SLU 33	164	0	2859	0.11	5.15	0
158	SLU 34	161	0	2836	-0.94	5.06	0
158	SLU 35	167	-1	2894	1.67	5.29	0
158	SLU 36	164	0	2859	0.11	5.15	0
158	SLU 37	167	-1	2894	1.67	5.29	0
158	SLU 38	164	0	2859	0.11	5.15	0
158	SLU 39	178	-1	3115	1.65	5.76	0
158	SLU 40	174	0	3080	0.09	5.62	0
158	SLU 41	178	-1	3115	1.65	5.76	0
158	SLU 42	174	0	3080	0.09	5.62	0
158	SLU 43	163	-1	2657	2.24	4.55	0.01
158	SLU 44	157	0	2599	-0.36	4.31	0
158	SLU 45	163	-1	2657	2.24	4.55	0.01
158	SLU 46	159	0	2622	0.68	4.4	0.01
158	SLU 47	157	0	2599	-0.36	4.31	0
158	SLU 48	163	-1	2657	2.24	4.55	0.01
158	SLU 49	159	0	2622	0.68	4.4	0.01
158	SLU 50	163	-1	2657	2.24	4.55	0.01
158	SLU 51	159	0	2622	0.68	4.4	0.01
158	SLU 52	182	0	3115	-0.4	5.4	0
158	SLU 53	188	-1	3173	2.21	5.64	0.01
158	SLU 54	185	-1	3138	0.65	5.49	0.01
158	SLU 55	182	0	3115	-0.4	5.4	0
158	SLU 56	188	-1	3173	2.21	5.64	0.01
158	SLU 57	185	-1	3138	0.65	5.49	0.01
158	SLU 58	188	-1	3173	2.21	5.64	0.01
158	SLU 59	185	-1	3138	0.65	5.49	0.01
158	SLU 60	199	-1	3394	2.19	6.1	0.01
158	SLU 61	196	-1	3359	0.63	5.96	0
158	SLU 62	199	-1	3394	2.19	6.1	0.01
158	SLU 63	196	-1	3359	0.63	5.96	0
158	SLU 64	176	-1	2922	2.23	5.11	0.01
158	SLU 65	170	0	2863	-0.38	4.87	0
158	SLU 66	176	-1	2922	2.23	5.11	0.01
158	SLU 67	172	0	2887	0.66	4.96	0.01
158	SLU 68	170	0	2863	-0.38	4.87	0
158	SLU 69	176	-1	2922	2.23	5.11	0.01
158	SLU 70	172	0	2887	0.66	4.96	0.01
158	SLU 71	176	-1	2922	2.23	5.11	0.01
158	SLU 72	172	0	2887	0.66	4.96	0.01
158	SLU 73	195	0	3379	-0.41	5.96	0
158	SLU 74	201	-1	3438	2.19	6.2	0.01
158	SLU 75	198	-1	3403	0.63	6.05	0
158	SLU 76	195	0	3379	-0.41	5.96	0
158	SLU 77	201	-1	3438	2.19	6.2	0.01
158	SLU 78	198	-1	3403	0.63	6.05	0
158	SLU 79	201	-1	3438	2.19	6.2	0.01
158	SLU 80	198	-1	3403	0.63	6.05	0
158	SLU 81	212	-1	3659	2.18	6.66	0.01
158	SLU 82	209	-1	3624	0.61	6.52	0
158	SLU 83	212	-1	3659	2.18	6.66	0.01
158	SLU 84	209	-1	3624	0.61	6.52	0
158	SLE RA 1	132	-1	2189	1.72	3.81	0
158	SLE RA 2	129	0	2150	-0.02	3.65	0
158	SLE RA 3	132	-1	2189	1.72	3.81	0
158	SLE RA 4	130	0	2166	0.67	3.71	0
158	SLE RA 5	129	0	2150	-0.02	3.65	0
158	SLE RA 6	132	-1	2189	1.72	3.81	0
158	SLE RA 7	130	0	2166	0.67	3.71	0
158	SLE RA 8	132	-1	2189	1.72	3.81	0
158	SLE RA 9	130	0	2166	0.67	3.71	0
158	SLE RA 10	145	0	2494	-0.04	4.37	0



Nodo Ind.	Cont. N.br.	Reazione a traslazione			Reazione a rotazione		
		x	y	z	x	y	z
158	SLE RA 11	149	-1	2533	1.69	4.53	0
158	SLE RA 12	147	0	2510	0.65	4.44	0
158	SLE RA 13	145	0	2494	-0.04	4.37	0
158	SLE RA 14	149	-1	2533	1.69	4.53	0
158	SLE RA 15	147	0	2510	0.65	4.44	0
158	SLE RA 16	149	-1	2533	1.69	4.53	0
158	SLE RA 17	147	0	2510	0.65	4.44	0
158	SLE RA 18	156	-1	2681	1.68	4.84	0
158	SLE RA 19	154	-1	2657	0.64	4.75	0
158	SLE RA 20	156	-1	2681	1.68	4.84	0
158	SLE RA 21	154	-1	2657	0.64	4.75	0
158	SLE FR 1	132	-1	2189	1.72	3.81	0
158	SLE FR 2	132	-1	2182	1.37	3.77	0
158	SLE FR 3	132	-1	2189	1.72	3.81	0
158	SLE FR 4	139	-1	2329	1.36	4.08	0
158	SLE FR 5	140	-1	2337	1.71	4.12	0
158	SLE FR 6	144	-1	2435	1.7	4.32	0
158	SLE QP 1	132	-1	2189	1.72	3.81	0
158	SLE QP 2	140	-1	2337	1.71	4.12	0
158	SLD 1	288	0	2330	2.36	10.79	-0.02
158	SLD 2	288	0	2330	2.36	10.79	-0.02
158	SLD 3	356	-9	2499	10.43	13.26	0
158	SLD 4	356	-9	2499	10.43	13.26	0
158	SLD 5	81	13	2079	-10.35	2.37	-0.04
158	SLD 6	81	13	2079	-10.35	2.37	-0.04
158	SLD 7	307	-17	2642	16.57	10.61	0.04
158	SLD 8	307	-17	2642	16.57	10.61	0.04
158	SLD 9	-28	16	2032	-13.16	-2.38	-0.03
158	SLD 10	-28	16	2032	-13.16	-2.38	-0.03
158	SLD 11	198	-15	2595	13.76	5.86	0.05
158	SLD 12	198	-15	2595	13.76	5.86	0.05
158	SLD 13	-77	8	2174	-7.02	-5.03	0.01
158	SLD 14	-77	8	2174	-7.02	-5.03	0.01
158	SLD 15	-9	-1	2343	1.06	-2.56	0.03
158	SLD 16	-9	-1	2343	1.06	-2.56	0.03
158	SLV 1	490	0	2332	3.41	19.86	-0.06
158	SLV 2	490	0	2332	3.41	19.86	-0.06
158	SLV 3	654	-22	2732	23.91	25.82	0
158	SLV 4	654	-22	2732	23.91	25.82	0
158	SLV 5	-4	33	1729	-28.88	-0.21	-0.1
158	SLV 6	-4	33	1729	-28.88	-0.21	-0.1
158	SLV 7	543	-41	3061	39.46	19.67	0.09
158	SLV 8	543	-41	3061	39.46	19.67	0.09
158	SLV 9	-263	39	1612	-36.05	-11.44	-0.08
158	SLV 10	-263	39	1612	-36.05	-11.44	-0.08
158	SLV 11	283	-34	2944	32.29	8.44	0.11
158	SLV 12	283	-34	2944	32.29	8.44	0.11
158	SLV 13	-374	21	1942	-20.5	-17.59	0.01
158	SLV 14	-374	21	1942	-20.5	-17.59	0.01
158	SLV 15	-210	-1	2341	0.01	-11.62	0.06
158	SLV 16	-210	-1	2341	0.01	-11.62	0.06
159	SLU 1	109	0	2147	0.96	6.02	-0.01
159	SLU 2	110	1	2054	-0.42	6.33	0
159	SLU 3	109	0	2147	0.96	6.02	-0.01
159	SLU 4	110	0	2091	0.13	6.2	0
159	SLU 5	110	1	2054	-0.42	6.33	0
159	SLU 6	109	0	2147	0.96	6.02	-0.01
159	SLU 7	110	0	2091	0.13	6.2	0
159	SLU 8	109	0	2147	0.96	6.02	-0.01
159	SLU 9	110	0	2091	0.13	6.2	0
159	SLU 10	120	0	2567	-0.32	6.81	0
159	SLU 11	120	0	2661	1.05	6.5	-0.01
159	SLU 12	120	0	2604	0.23	6.69	-0.01
159	SLU 13	120	0	2567	-0.32	6.81	0
159	SLU 14	120	0	2661	1.05	6.5	-0.01
159	SLU 15	120	0	2604	0.23	6.69	-0.01
159	SLU 16	120	0	2661	1.05	6.5	-0.01
159	SLU 17	120	0	2604	0.23	6.69	-0.01
159	SLU 18	125	-1	2881	1.09	6.71	-0.01
159	SLU 19	125	0	2825	0.27	6.89	-0.01
159	SLU 20	125	-1	2881	1.09	6.71	-0.01
159	SLU 21	125	0	2825	0.27	6.89	-0.01
159	SLU 22	115	0	2410	1	6.26	-0.01
159	SLU 23	115	0	2317	-0.37	6.58	0
159	SLU 24	115	0	2410	1	6.26	-0.01
159	SLU 25	115	0	2354	0.18	6.45	-0.01
159	SLU 26	115	0	2317	-0.37	6.58	0
159	SLU 27	115	0	2410	1	6.26	-0.01
159	SLU 28	115	0	2354	0.18	6.45	-0.01
159	SLU 29	115	0	2410	1	6.26	-0.01
159	SLU 30	115	0	2354	0.18	6.45	-0.01
159	SLU 31	126	0	2830	-0.27	7.06	-0.01
159	SLU 32	125	-1	2924	1.1	6.75	-0.01
159	SLU 33	126	0	2868	0.28	6.93	-0.01
159	SLU 34	126	0	2830	-0.27	7.06	-0.01
159	SLU 35	125	-1	2924	1.1	6.75	-0.01
159	SLU 36	126	0	2868	0.28	6.93	-0.01
159	SLU 37	125	-1	2924	1.1	6.75	-0.01



Nodo Ind.	Cont. N.br.	Reazione a traslazione			Reazione a rotazione		
		x	y	z	x	y	z
159	SLU 38	126	0	2868	0.28	6.93	-0.01
159	SLU 39	130	-1	3144	1.14	6.95	-0.01
159	SLU 40	130	-1	3088	0.32	7.14	-0.01
159	SLU 41	130	-1	3144	1.14	6.95	-0.01
159	SLU 42	130	-1	3088	0.32	7.14	-0.01
159	SLU 43	140	0	2701	1.22	7.73	-0.01
159	SLU 44	141	1	2607	-0.15	8.05	-0.01
159	SLU 45	140	0	2701	1.22	7.73	-0.01
159	SLU 46	140	1	2645	0.4	7.92	-0.01
159	SLU 47	141	1	2607	-0.15	8.05	-0.01
159	SLU 48	140	0	2701	1.22	7.73	-0.01
159	SLU 49	140	1	2645	0.4	7.92	-0.01
159	SLU 50	140	0	2701	1.22	7.73	-0.01
159	SLU 51	140	1	2645	0.4	7.92	-0.01
159	SLU 52	151	0	3121	-0.05	8.53	-0.01
159	SLU 53	151	0	3214	1.32	8.22	-0.01
159	SLU 54	151	0	3158	0.5	8.41	-0.01
159	SLU 55	151	0	3121	-0.05	8.53	-0.01
159	SLU 56	151	0	3214	1.32	8.22	-0.01
159	SLU 57	151	0	3158	0.5	8.41	-0.01
159	SLU 58	151	0	3214	1.32	8.22	-0.01
159	SLU 59	151	0	3158	0.5	8.41	-0.01
159	SLU 60	156	-1	3434	1.36	8.42	-0.01
159	SLU 61	156	0	3378	0.54	8.61	-0.01
159	SLU 62	156	-1	3434	1.36	8.42	-0.01
159	SLU 63	156	0	3378	0.54	8.61	-0.01
159	SLU 64	146	0	2964	1.27	7.98	-0.01
159	SLU 65	146	1	2871	-0.1	8.3	-0.01
159	SLU 66	146	0	2964	1.27	7.98	-0.01
159	SLU 67	146	0	2908	0.45	8.17	-0.01
159	SLU 68	146	1	2871	-0.1	8.3	-0.01
159	SLU 69	146	0	2964	1.27	7.98	-0.01
159	SLU 70	146	0	2908	0.45	8.17	-0.01
159	SLU 71	146	0	2964	1.27	7.98	-0.01
159	SLU 72	146	0	2908	0.45	8.17	-0.01
159	SLU 73	157	0	3384	0	8.78	-0.01
159	SLU 74	156	-1	3478	1.37	8.47	-0.01
159	SLU 75	157	0	3422	0.55	8.65	-0.01
159	SLU 76	157	0	3384	0	8.78	-0.01
159	SLU 77	156	-1	3478	1.37	8.47	-0.01
159	SLU 78	157	0	3422	0.55	8.65	-0.01
159	SLU 79	156	-1	3478	1.37	8.47	-0.01
159	SLU 80	157	0	3422	0.55	8.65	-0.01
159	SLU 81	161	-1	3698	1.41	8.67	-0.01
159	SLU 82	161	0	3642	0.59	8.86	-0.01
159	SLU 83	161	-1	3698	1.41	8.67	-0.01
159	SLU 84	161	0	3642	0.59	8.86	-0.01
159	SLE RA 1	111	0	2222	0.97	6.09	-0.01
159	SLE RA 2	111	0	2160	0.05	6.3	0
159	SLE RA 3	111	0	2222	0.97	6.09	-0.01
159	SLE RA 4	111	0	2185	0.42	6.21	-0.01
159	SLE RA 5	111	0	2160	0.05	6.3	0
159	SLE RA 6	111	0	2222	0.97	6.09	-0.01
159	SLE RA 7	111	0	2185	0.42	6.21	-0.01
159	SLE RA 8	111	0	2222	0.97	6.09	-0.01
159	SLE RA 9	111	0	2185	0.42	6.21	-0.01
159	SLE RA 10	118	0	2502	0.12	6.62	-0.01
159	SLE RA 11	118	0	2565	1.03	6.41	-0.01
159	SLE RA 12	118	0	2527	0.48	6.53	-0.01
159	SLE RA 13	118	0	2502	0.12	6.62	-0.01
159	SLE RA 14	118	0	2565	1.03	6.41	-0.01
159	SLE RA 15	118	0	2527	0.48	6.53	-0.01
159	SLE RA 16	118	0	2565	1.03	6.41	-0.01
159	SLE RA 17	118	0	2527	0.48	6.53	-0.01
159	SLE RA 18	121	0	2711	1.06	6.55	-0.01
159	SLE RA 19	121	0	2674	0.51	6.67	-0.01
159	SLE RA 20	121	0	2711	1.06	6.55	-0.01
159	SLE RA 21	121	0	2674	0.51	6.67	-0.01
159	SLE FR 1	111	0	2222	0.97	6.09	-0.01
159	SLE FR 2	111	0	2210	0.79	6.13	-0.01
159	SLE FR 3	111	0	2222	0.97	6.09	-0.01
159	SLE FR 4	114	0	2357	0.81	6.27	-0.01
159	SLE FR 5	114	0	2369	1	6.22	-0.01
159	SLE FR 6	116	0	2467	1.02	6.32	-0.01
159	SLE QP 1	111	0	2222	0.97	6.09	-0.01
159	SLE QP 2	114	0	2369	1	6.22	-0.01
159	SLD 1	264	1	2375	1.26	13	0
159	SLD 2	264	1	2375	1.26	13	0
159	SLD 3	324	-6	2575	5.4	15.27	-0.01
159	SLD 4	324	-6	2575	5.4	15.27	-0.01
159	SLD 5	70	10	2068	-5.21	4.81	0
159	SLD 6	70	10	2068	-5.21	4.81	0
159	SLD 7	267	-11	2734	8.6	12.39	-0.02
159	SLD 8	267	-11	2734	8.6	12.39	-0.02
159	SLD 9	-38	11	2004	-6.61	0.06	0
159	SLD 10	-38	11	2004	-6.61	0.06	0
159	SLD 11	159	-10	2670	7.2	7.64	-0.02
159	SLD 12	159	-10	2670	7.2	7.64	-0.02



Nodo Ind.	Cont. N.br.	Reazione a traslazione			Reazione a rotazione		
		x	y	z	x	y	z
159	SLD 13	-96	5	2163	-3.41	-2.82	-0.01
159	SLD 14	-96	5	2163	-3.41	-2.82	-0.01
159	SLD 15	-36	-1	2363	0.74	-0.55	-0.01
159	SLD 16	-36	-1	2363	0.74	-0.55	-0.01
159	SLV 1	469	1	2404	1.71	22.27	0.01
159	SLV 2	469	1	2404	1.71	22.27	0.01
159	SLV 3	613	-13	2873	12.16	27.73	-0.01
159	SLV 4	613	-13	2873	12.16	27.73	-0.01
159	SLV 5	3	23	1670	-14.63	2.76	0.02
159	SLV 6	3	23	1670	-14.63	2.76	0.02
159	SLV 7	481	-27	3230	20.19	20.95	-0.03
159	SLV 8	481	-27	3230	20.19	20.95	-0.03
159	SLV 9	-253	26	1508	-18.2	-8.5	0.01
159	SLV 10	-253	26	1508	-18.2	-8.5	0.01
159	SLV 11	225	-23	3068	16.63	9.69	-0.03
159	SLV 12	225	-23	3068	16.63	9.69	-0.03
159	SLV 13	-385	13	1865	-10.16	-15.28	-0.01
159	SLV 14	-385	13	1865	-10.16	-15.28	-0.01
159	SLV 15	-241	-2	2334	0.28	-9.82	-0.02
159	SLV 16	-241	-2	2334	0.28	-9.82	-0.02
160	SLU 1	27	-205	2886	7.89	0.04	0
160	SLU 2	42	-165	2709	6.35	0.52	0
160	SLU 3	27	-205	2886	7.89	0.04	0
160	SLU 4	36	-181	2780	6.97	0.33	0
160	SLU 5	42	-165	2709	6.35	0.52	0
160	SLU 6	27	-205	2886	7.89	0.04	0
160	SLU 7	36	-181	2780	6.97	0.33	0
160	SLU 8	27	-205	2886	7.89	0.04	0
160	SLU 9	36	-181	2780	6.97	0.33	0
160	SLU 10	43	-199	3368	7.55	0.67	0
160	SLU 11	29	-239	3546	9.09	0.18	0
160	SLU 12	38	-215	3439	8.17	0.48	0
160	SLU 13	43	-199	3368	7.55	0.67	0
160	SLU 14	29	-239	3546	9.09	0.18	0
160	SLU 15	38	-215	3439	8.17	0.48	0
160	SLU 16	29	-239	3546	9.09	0.18	0
160	SLU 17	38	-215	3439	8.17	0.48	0
160	SLU 18	30	-254	3828	9.61	0.25	0
160	SLU 19	38	-230	3722	8.68	0.54	0
160	SLU 20	30	-254	3828	9.61	0.25	0
160	SLU 21	38	-230	3722	8.68	0.54	0
160	SLU 22	28	-223	3224	8.51	0.11	0
160	SLU 23	42	-183	3047	6.96	0.6	0
160	SLU 24	28	-223	3224	8.51	0.11	0
160	SLU 25	37	-199	3118	7.58	0.4	0
160	SLU 26	42	-183	3047	6.96	0.6	0
160	SLU 27	28	-223	3224	8.51	0.11	0
160	SLU 28	37	-199	3118	7.58	0.4	0
160	SLU 29	28	-223	3224	8.51	0.11	0
160	SLU 30	37	-199	3118	7.58	0.4	0
160	SLU 31	44	-217	3706	8.16	0.75	0
160	SLU 32	30	-257	3884	9.71	0.26	0
160	SLU 33	39	-233	3777	8.78	0.55	0
160	SLU 34	44	-217	3706	8.16	0.75	0
160	SLU 35	30	-257	3884	9.71	0.26	0
160	SLU 36	39	-233	3777	8.78	0.55	0
160	SLU 37	30	-257	3884	9.71	0.26	0
160	SLU 38	39	-233	3777	8.78	0.55	0
160	SLU 39	31	-272	4167	10.22	0.32	0
160	SLU 40	39	-248	4060	9.29	0.62	0
160	SLU 41	31	-272	4167	10.22	0.32	0
160	SLU 42	39	-248	4060	9.29	0.62	0
160	SLU 43	35	-260	3636	10.05	0.02	0
160	SLU 44	49	-220	3459	8.51	0.51	0
160	SLU 45	35	-260	3636	10.05	0.02	0
160	SLU 46	44	-236	3530	9.12	0.31	0
160	SLU 47	49	-220	3459	8.51	0.51	0
160	SLU 48	35	-260	3636	10.05	0.02	0
160	SLU 49	44	-236	3530	9.12	0.31	0
160	SLU 50	35	-260	3636	10.05	0.02	0
160	SLU 51	44	-236	3530	9.12	0.31	0
160	SLU 52	51	-255	4118	9.7	0.66	0
160	SLU 53	37	-295	4296	11.25	0.17	0
160	SLU 54	46	-271	4189	10.32	0.46	0
160	SLU 55	51	-255	4118	9.7	0.66	0
160	SLU 56	37	-295	4296	11.25	0.17	0
160	SLU 57	46	-271	4189	10.32	0.46	0
160	SLU 58	37	-295	4296	11.25	0.17	0
160	SLU 59	46	-271	4189	10.32	0.46	0
160	SLU 60	38	-310	4578	11.76	0.23	0
160	SLU 61	46	-286	4472	10.84	0.52	0
160	SLU 62	38	-310	4578	11.76	0.23	0
160	SLU 63	46	-286	4472	10.84	0.52	0
160	SLU 64	36	-278	3974	10.67	0.1	0
160	SLU 65	50	-238	3797	9.12	0.58	0
160	SLU 66	36	-278	3974	10.67	0.1	0
160	SLU 67	45	-254	3868	9.74	0.39	0
160	SLU 68	50	-238	3797	9.12	0.58	0



Nodo Ind.	Cont. N.br.	Reazione a traslazione			Reazione a rotazione		
		x	y	z	x	y	z
160	SLU 69	36	-278	3974	10.67	0.1	0
160	SLU 70	45	-254	3868	9.74	0.39	0
160	SLU 71	36	-278	3974	10.67	0.1	0
160	SLU 72	45	-254	3868	9.74	0.39	0
160	SLU 73	52	-273	4456	10.32	0.73	0
160	SLU 74	38	-312	4634	11.86	0.25	0
160	SLU 75	46	-289	4527	10.94	0.54	0
160	SLU 76	52	-273	4456	10.32	0.73	0
160	SLU 77	38	-312	4634	11.86	0.25	0
160	SLU 78	46	-289	4527	10.94	0.54	0
160	SLU 79	38	-312	4634	11.86	0.25	0
160	SLU 80	46	-289	4527	10.94	0.54	0
160	SLU 81	39	-327	4917	12.38	0.31	0
160	SLU 82	47	-303	4810	11.45	0.6	0
160	SLU 83	39	-327	4917	12.38	0.31	0
160	SLU 84	47	-303	4810	11.45	0.6	0
160	SLE RA 1	28	-210	2983	8.07	0.06	0
160	SLE RA 2	37	-183	2864	7.04	0.38	0
160	SLE RA 3	28	-210	2983	8.07	0.06	0
160	SLE RA 4	33	-194	2912	7.45	0.25	0
160	SLE RA 5	37	-183	2864	7.04	0.38	0
160	SLE RA 6	28	-210	2983	8.07	0.06	0
160	SLE RA 7	33	-194	2912	7.45	0.25	0
160	SLE RA 8	28	-210	2983	8.07	0.06	0
160	SLE RA 9	33	-194	2912	7.45	0.25	0
160	SLE RA 10	38	-206	3304	7.84	0.48	0
160	SLE RA 11	29	-233	3423	8.87	0.16	0
160	SLE RA 12	34	-217	3352	8.25	0.35	0
160	SLE RA 13	38	-206	3304	7.84	0.48	0
160	SLE RA 14	29	-233	3423	8.87	0.16	0
160	SLE RA 15	34	-217	3352	8.25	0.35	0
160	SLE RA 16	29	-233	3423	8.87	0.16	0
160	SLE RA 17	34	-217	3352	8.25	0.35	0
160	SLE RA 18	29	-243	3611	9.21	0.2	0
160	SLE RA 19	35	-227	3540	8.59	0.39	0
160	SLE RA 20	29	-243	3611	9.21	0.2	0
160	SLE RA 21	35	-227	3540	8.59	0.39	0
160	SLE FR 1	28	-210	2983	8.07	0.06	0
160	SLE FR 2	29	-205	2959	7.86	0.12	0
160	SLE FR 3	28	-210	2983	8.07	0.06	0
160	SLE FR 4	30	-214	3148	8.21	0.17	0
160	SLE FR 5	28	-220	3171	8.41	0.1	0
160	SLE FR 6	28	-226	3297	8.64	0.13	0
160	SLE QP 1	28	-210	2983	8.07	0.06	0
160	SLE QP 2	28	-220	3171	8.41	0.1	0
160	SLD 1	227	-145	3178	5.24	8.81	0.01
160	SLD 2	227	-145	3178	5.24	8.81	0.01
160	SLD 3	186	-229	3535	8.89	7	0.02
160	SLD 4	186	-229	3535	8.89	7	0.02
160	SLD 5	150	-69	2631	1.94	5.46	-0.01
160	SLD 6	150	-69	2631	1.94	5.46	-0.01
160	SLD 7	13	-351	3822	14.08	-0.58	0.02
160	SLD 8	13	-351	3822	14.08	-0.58	0.02
160	SLD 9	43	-88	2520	2.75	0.78	-0.02
160	SLD 10	43	-88	2520	2.75	0.78	-0.02
160	SLD 11	-94	-371	3711	14.89	-5.26	0.02
160	SLD 12	-94	-371	3711	14.89	-5.26	0.02
160	SLD 13	-130	-210	2808	7.94	-6.8	-0.02
160	SLD 14	-130	-210	2808	7.94	-6.8	-0.02
160	SLD 15	-171	-295	3165	11.58	-8.61	0
160	SLD 16	-171	-295	3165	11.58	-8.61	0
160	SLV 1	502	-39	3217	0.82	20.78	0.02
160	SLV 2	502	-39	3217	0.82	20.78	0.02
160	SLV 3	401	-238	4063	9.36	16.33	0.05
160	SLV 4	401	-238	4063	9.36	16.33	0.05
160	SLV 5	324	136	1901	-6.82	13.05	-0.03
160	SLV 6	324	136	1901	-6.82	13.05	-0.03
160	SLV 7	-14	-527	4723	21.65	-1.78	0.06
160	SLV 8	-14	-527	4723	21.65	-1.78	0.06
160	SLV 9	70	87	1620	-4.82	1.98	-0.05
160	SLV 10	70	87	1620	-4.82	1.98	-0.05
160	SLV 11	-268	-576	4441	23.64	-12.85	0.04
160	SLV 12	-268	-576	4441	23.64	-12.85	0.04
160	SLV 13	-345	-201	2279	7.46	-16.13	-0.04
160	SLV 14	-345	-201	2279	7.46	-16.13	-0.04
160	SLV 15	-446	-400	3126	16	-20.58	-0.01
160	SLV 16	-446	-400	3126	16	-20.58	-0.01
161	SLU 1	2	-1	2062	0.84	1.63	0.01
161	SLU 2	29	-2	1955	1.72	2.76	0
161	SLU 3	2	-1	2062	0.84	1.63	0.01
161	SLU 4	18	-1	1998	1.37	2.31	0
161	SLU 5	29	-2	1955	1.72	2.76	0
161	SLU 6	2	-1	2062	0.84	1.63	0.01
161	SLU 7	18	-1	1998	1.37	2.31	0
161	SLU 8	2	-1	2062	0.84	1.63	0.01
161	SLU 9	18	-1	1998	1.37	2.31	0
161	SLU 10	25	-2	2440	1.76	2.6	0
161	SLU 11	-2	-1	2547	0.87	1.47	0.01



Nodo Ind.	Cont. N.br.	Reazione a traslazione			Reazione a rotazione		
		x	y	z	x	y	z
161	SLU 12	14	-2	2483	1.4	2.14	0.01
161	SLU 13	25	-2	2440	1.76	2.6	0
161	SLU 14	-2	-1	2547	0.87	1.47	0.01
161	SLU 15	14	-2	2483	1.4	2.14	0.01
161	SLU 16	-2	-1	2547	0.87	1.47	0.01
161	SLU 17	14	-2	2483	1.4	2.14	0.01
161	SLU 18	-4	-1	2755	0.89	1.4	0.01
161	SLU 19	12	-2	2691	1.42	2.07	0.01
161	SLU 20	-4	-1	2755	0.89	1.4	0.01
161	SLU 21	12	-2	2691	1.42	2.07	0.01
161	SLU 22	0	-1	2311	0.86	1.55	0.01
161	SLU 23	27	-2	2204	1.74	2.68	0
161	SLU 24	0	-1	2311	0.86	1.55	0.01
161	SLU 25	16	-2	2246	1.39	2.22	0.01
161	SLU 26	27	-2	2204	1.74	2.68	0
161	SLU 27	0	-1	2311	0.86	1.55	0.01
161	SLU 28	16	-2	2246	1.39	2.22	0.01
161	SLU 29	0	-1	2311	0.86	1.55	0.01
161	SLU 30	16	-2	2246	1.39	2.22	0.01
161	SLU 31	22	-3	2689	1.78	2.51	0.01
161	SLU 32	-4	-1	2796	0.89	1.38	0.01
161	SLU 33	12	-2	2731	1.42	2.06	0.01
161	SLU 34	22	-3	2689	1.78	2.51	0.01
161	SLU 35	-4	-1	2796	0.89	1.38	0.01
161	SLU 36	12	-2	2731	1.42	2.06	0.01
161	SLU 37	-4	-1	2796	0.89	1.38	0.01
161	SLU 38	12	-2	2731	1.42	2.06	0.01
161	SLU 39	-6	-2	3003	0.91	1.31	0.01
161	SLU 40	10	-2	2939	1.44	1.99	0.01
161	SLU 41	-6	-2	3003	0.91	1.31	0.01
161	SLU 42	10	-2	2939	1.44	1.99	0.01
161	SLU 43	4	-1	2595	1.08	2.15	0.01
161	SLU 44	31	-2	2488	1.96	3.28	0.01
161	SLU 45	4	-1	2595	1.08	2.15	0.01
161	SLU 46	20	-1	2531	1.61	2.83	0.01
161	SLU 47	31	-2	2488	1.96	3.28	0.01
161	SLU 48	4	-1	2595	1.08	2.15	0.01
161	SLU 49	20	-1	2531	1.61	2.83	0.01
161	SLU 50	4	-1	2595	1.08	2.15	0.01
161	SLU 51	20	-1	2531	1.61	2.83	0.01
161	SLU 52	26	-3	2973	2	3.11	0.01
161	SLU 53	0	-1	3080	1.12	1.98	0.01
161	SLU 54	15	-2	3016	1.65	2.66	0.01
161	SLU 55	26	-3	2973	2	3.11	0.01
161	SLU 56	0	-1	3080	1.12	1.98	0.01
161	SLU 57	15	-2	3016	1.65	2.66	0.01
161	SLU 58	0	-1	3080	1.12	1.98	0.01
161	SLU 59	15	-2	3016	1.65	2.66	0.01
161	SLU 60	-2	-1	3288	1.14	1.91	0.01
161	SLU 61	14	-2	3224	1.66	2.59	0.01
161	SLU 62	-2	-1	3288	1.14	1.91	0.01
161	SLU 63	14	-2	3224	1.66	2.59	0.01
161	SLU 64	2	-1	2844	1.1	2.06	0.01
161	SLU 65	28	-2	2737	1.98	3.19	0.01
161	SLU 66	2	-1	2844	1.1	2.06	0.01
161	SLU 67	18	-2	2780	1.63	2.74	0.01
161	SLU 68	28	-2	2737	1.98	3.19	0.01
161	SLU 69	2	-1	2844	1.1	2.06	0.01
161	SLU 70	18	-2	2780	1.63	2.74	0.01
161	SLU 71	2	-1	2844	1.1	2.06	0.01
161	SLU 72	18	-2	2780	1.63	2.74	0.01
161	SLU 73	24	-3	3222	2.02	3.03	0.01
161	SLU 74	-3	-1	3329	1.14	1.9	0.01
161	SLU 75	13	-2	3265	1.67	2.58	0.01
161	SLU 76	24	-3	3222	2.02	3.03	0.01
161	SLU 77	-3	-1	3329	1.14	1.9	0.01
161	SLU 78	13	-2	3265	1.67	2.58	0.01
161	SLU 79	-3	-1	3329	1.14	1.9	0.01
161	SLU 80	13	-2	3265	1.67	2.58	0.01
161	SLU 81	-5	-2	3537	1.15	1.83	0.01
161	SLU 82	11	-2	3473	1.68	2.51	0.01
161	SLU 83	-5	-2	3537	1.15	1.83	0.01
161	SLU 84	11	-2	3473	1.68	2.51	0.01
161	SLE RA 1	2	-1	2133	0.84	1.61	0.01
161	SLE RA 2	20	-2	2062	1.43	2.36	0
161	SLE RA 3	2	-1	2133	0.84	1.61	0.01
161	SLE RA 4	12	-1	2090	1.2	2.06	0.01
161	SLE RA 5	20	-2	2062	1.43	2.36	0
161	SLE RA 6	2	-1	2133	0.84	1.61	0.01
161	SLE RA 7	12	-1	2090	1.2	2.06	0.01
161	SLE RA 8	2	-1	2133	0.84	1.61	0.01
161	SLE RA 9	12	-1	2090	1.2	2.06	0.01
161	SLE RA 10	17	-2	2385	1.46	2.25	0.01
161	SLE RA 11	-1	-1	2456	0.87	1.5	0.01
161	SLE RA 12	9	-2	2414	1.22	1.95	0.01
161	SLE RA 13	17	-2	2385	1.46	2.25	0.01
161	SLE RA 14	-1	-1	2456	0.87	1.5	0.01
161	SLE RA 15	9	-2	2414	1.22	1.95	0.01



Nodo Ind.	Cont. N.br.	Reazione a traslazione			Reazione a rotazione		
		x	y	z	x	y	z
161	SLE RA 16	-1	-1	2456	0.87	1.5	0.01
161	SLE RA 17	9	-2	2414	1.22	1.95	0.01
161	SLE RA 18	-2	-1	2595	0.88	1.45	0.01
161	SLE RA 19	8	-2	2552	1.23	1.9	0.01
161	SLE RA 20	-2	-1	2595	0.88	1.45	0.01
161	SLE RA 21	8	-2	2552	1.23	1.9	0.01
161	SLE FR 1	2	-1	2133	0.84	1.61	0.01
161	SLE FR 2	5	-1	2119	0.96	1.76	0.01
161	SLE FR 3	2	-1	2133	0.84	1.61	0.01
161	SLE FR 4	4	-1	2257	0.97	1.71	0.01
161	SLE FR 5	1	-1	2272	0.85	1.56	0.01
161	SLE FR 6	0	-1	2364	0.86	1.53	0.01
161	SLE QP 1	2	-1	2133	0.84	1.61	0.01
161	SLE QP 2	1	-1	2272	0.85	1.56	0.01
161	SLD 1	215	1	2305	1.11	10.69	0
161	SLD 2	215	1	2305	1.11	10.69	0
161	SLD 3	158	6	2513	-3.03	8.75	0.01
161	SLD 4	158	6	2513	-3.03	8.75	0.01
161	SLD 5	152	-8	1966	7.22	7.25	0
161	SLD 6	152	-8	1966	7.22	7.25	0
161	SLD 7	-39	9	2660	-6.6	0.76	0.02
161	SLD 8	-39	9	2660	-6.6	0.76	0.02
161	SLD 9	40	-11	1884	8.31	2.36	0
161	SLD 10	40	-11	1884	8.31	2.36	0
161	SLD 11	-151	6	2577	-5.51	-4.14	0.02
161	SLD 12	-151	6	2577	-5.51	-4.14	0.02
161	SLD 13	-157	-8	2030	4.74	-5.63	0.01
161	SLD 14	-157	-8	2030	4.74	-5.63	0.01
161	SLD 15	-214	-3	2238	0.59	-7.58	0.02
161	SLD 16	-214	-3	2238	0.59	-7.58	0.02
161	SLV 1	510	5	2367	1.38	23.25	-0.01
161	SLV 2	510	5	2367	1.38	23.25	-0.01
161	SLV 3	373	18	2875	-8.87	18.61	0
161	SLV 4	373	18	2875	-8.87	18.61	0
161	SLV 5	360	-19	1531	16.55	15.1	-0.02
161	SLV 6	360	-19	1531	16.55	15.1	-0.02
161	SLV 7	-95	24	3222	-17.6	-0.36	0.03
161	SLV 8	-95	24	3222	-17.6	-0.36	0.03
161	SLV 9	96	-26	1321	19.31	3.48	-0.01
161	SLV 10	96	-26	1321	19.31	3.48	-0.01
161	SLV 11	-359	17	3012	-14.84	-11.98	0.04
161	SLV 12	-359	17	3012	-14.84	-11.98	0.04
161	SLV 13	-372	-19	1668	10.58	-15.49	0.01
161	SLV 14	-372	-19	1668	10.58	-15.49	0.01
161	SLV 15	-509	-6	2176	0.33	-20.13	0.03
161	SLV 16	-509	-6	2176	0.33	-20.13	0.03
162	SLU 1	-39	0	1995	1.2	-2.31	0
162	SLU 2	-21	-3	1905	3	-1.68	0
162	SLU 3	-39	0	1995	1.2	-2.31	0
162	SLU 4	-28	-2	1941	2.28	-1.93	0
162	SLU 5	-21	-3	1905	3	-1.68	0
162	SLU 6	-39	0	1995	1.2	-2.31	0
162	SLU 7	-28	-2	1941	2.28	-1.93	0
162	SLU 8	-39	0	1995	1.2	-2.31	0
162	SLU 9	-28	-2	1941	2.28	-1.93	0
162	SLU 10	-29	-3	2378	2.85	-1.94	0
162	SLU 11	-47	0	2468	1.05	-2.56	0
162	SLU 12	-36	-2	2414	2.13	-2.19	0
162	SLU 13	-29	-3	2378	2.85	-1.94	0
162	SLU 14	-47	0	2468	1.05	-2.56	0
162	SLU 15	-36	-2	2414	2.13	-2.19	0
162	SLU 16	-47	0	2468	1.05	-2.56	0
162	SLU 17	-36	-2	2414	2.13	-2.19	0
162	SLU 18	-51	0	2671	0.99	-2.67	0
162	SLU 19	-40	-2	2617	2.06	-2.3	0
162	SLU 20	-51	0	2671	0.99	-2.67	0
162	SLU 21	-40	-2	2617	2.06	-2.3	0
162	SLU 22	-43	0	2238	1.13	-2.44	0
162	SLU 23	-25	-3	2147	2.92	-1.81	0
162	SLU 24	-43	0	2238	1.13	-2.44	0
162	SLU 25	-32	-2	2184	2.2	-2.06	0
162	SLU 26	-25	-3	2147	2.92	-1.81	0
162	SLU 27	-43	0	2238	1.13	-2.44	0
162	SLU 28	-32	-2	2184	2.2	-2.06	0
162	SLU 29	-43	0	2238	1.13	-2.44	0
162	SLU 30	-32	-2	2184	2.2	-2.06	0
162	SLU 31	-34	-3	2620	2.77	-2.07	0
162	SLU 32	-51	0	2711	0.98	-2.69	0
162	SLU 33	-41	-2	2657	2.05	-2.32	0
162	SLU 34	-34	-3	2620	2.77	-2.07	0
162	SLU 35	-51	0	2711	0.98	-2.69	0
162	SLU 36	-41	-2	2657	2.05	-2.32	0
162	SLU 37	-51	0	2711	0.98	-2.69	0
162	SLU 38	-41	-2	2657	2.05	-2.32	0
162	SLU 39	-55	0	2914	0.91	-2.8	0
162	SLU 40	-44	-2	2859	1.99	-2.43	0
162	SLU 41	-55	0	2914	0.91	-2.8	0
162	SLU 42	-44	-2	2859	1.99	-2.43	0



Nodo Ind.	Cont. N.br.	Reazione a traslazione			Reazione a rotazione		
		x	y	z	x	y	z
162	SLU 43	-49	0	2511	1.59	-2.95	-0.01
162	SLU 44	-31	-3	2420	3.38	-2.33	0
162	SLU 45	-49	0	2511	1.59	-2.95	-0.01
162	SLU 46	-38	-2	2456	2.67	-2.58	0
162	SLU 47	-31	-3	2420	3.38	-2.33	0
162	SLU 48	-49	0	2511	1.59	-2.95	-0.01
162	SLU 49	-38	-2	2456	2.67	-2.58	0
162	SLU 50	-49	0	2511	1.59	-2.95	-0.01
162	SLU 51	-38	-2	2456	2.67	-2.58	0
162	SLU 52	-39	-3	2893	3.23	-2.58	0
162	SLU 53	-57	0	2984	1.44	-3.21	-0.01
162	SLU 54	-47	-2	2930	2.52	-2.83	0
162	SLU 55	-39	-3	2893	3.23	-2.58	0
162	SLU 56	-57	0	2984	1.44	-3.21	-0.01
162	SLU 57	-47	-2	2930	2.52	-2.83	0
162	SLU 58	-57	0	2984	1.44	-3.21	-0.01
162	SLU 59	-47	-2	2930	2.52	-2.83	0
162	SLU 60	-61	0	3187	1.38	-3.32	-0.01
162	SLU 61	-50	-2	3132	2.45	-2.94	0
162	SLU 62	-61	0	3187	1.38	-3.32	-0.01
162	SLU 63	-50	-2	3132	2.45	-2.94	0
162	SLU 64	-53	0	2753	1.51	-3.08	-0.01
162	SLU 65	-35	-3	2663	3.31	-2.46	0
162	SLU 66	-53	0	2753	1.51	-3.08	-0.01
162	SLU 67	-43	-2	2699	2.59	-2.71	0
162	SLU 68	-35	-3	2663	3.31	-2.46	0
162	SLU 69	-53	0	2753	1.51	-3.08	-0.01
162	SLU 70	-43	-2	2699	2.59	-2.71	0
162	SLU 71	-53	0	2753	1.51	-3.08	-0.01
162	SLU 72	-43	-2	2699	2.59	-2.71	0
162	SLU 73	-44	-3	3136	3.16	-2.71	0
162	SLU 74	-61	0	3226	1.36	-3.34	-0.01
162	SLU 75	-51	-2	3172	2.44	-2.96	0
162	SLU 76	-44	-3	3136	3.16	-2.71	0
162	SLU 77	-61	0	3226	1.36	-3.34	-0.01
162	SLU 78	-51	-2	3172	2.44	-2.96	0
162	SLU 79	-61	0	3226	1.36	-3.34	-0.01
162	SLU 80	-51	-2	3172	2.44	-2.96	0
162	SLU 81	-65	0	3429	1.3	-3.45	-0.01
162	SLU 82	-54	-2	3375	2.38	-3.07	0
162	SLU 83	-65	0	3429	1.3	-3.45	-0.01
162	SLU 84	-54	-2	3375	2.38	-3.07	0
162	SLE RA 1	-40	0	2065	1.18	-2.34	0
162	SLE RA 2	-28	-2	2004	2.38	-1.93	0
162	SLE RA 3	-40	0	2065	1.18	-2.34	0
162	SLE RA 4	-33	-1	2028	1.9	-2.09	0
162	SLE RA 5	-28	-2	2004	2.38	-1.93	0
162	SLE RA 6	-40	0	2065	1.18	-2.34	0
162	SLE RA 7	-33	-1	2028	1.9	-2.09	0
162	SLE RA 8	-40	0	2065	1.18	-2.34	0
162	SLE RA 9	-33	-1	2028	1.9	-2.09	0
162	SLE RA 10	-34	-2	2320	2.28	-2.1	0
162	SLE RA 11	-45	0	2380	1.08	-2.51	0
162	SLE RA 12	-38	-1	2344	1.8	-2.26	0
162	SLE RA 13	-34	-2	2320	2.28	-2.1	0
162	SLE RA 14	-45	0	2380	1.08	-2.51	0
162	SLE RA 15	-38	-1	2344	1.8	-2.26	0
162	SLE RA 16	-45	0	2380	1.08	-2.51	0
162	SLE RA 17	-38	-1	2344	1.8	-2.26	0
162	SLE RA 18	-48	0	2515	1.04	-2.59	0
162	SLE RA 19	-41	-1	2479	1.76	-2.34	0
162	SLE RA 20	-48	0	2515	1.04	-2.59	0
162	SLE RA 21	-41	-1	2479	1.76	-2.34	0
162	SLE FR 1	-40	0	2065	1.18	-2.34	0
162	SLE FR 2	-38	-1	2053	1.42	-2.26	0
162	SLE FR 3	-40	0	2065	1.18	-2.34	0
162	SLE FR 4	-40	-1	2188	1.38	-2.33	0
162	SLE FR 5	-42	0	2200	1.14	-2.42	0
162	SLE FR 6	-44	0	2290	1.11	-2.47	0
162	SLE QP 1	-40	0	2065	1.18	-2.34	0
162	SLE QP 2	-42	0	2200	1.14	-2.42	0
162	SLD 1	183	1	2233	2.37	7.34	-0.01
162	SLD 2	183	1	2233	2.37	7.34	-0.01
162	SLD 3	122	10	2433	-5.76	4.93	-0.03
162	SLD 4	122	10	2433	-5.76	4.93	-0.03
162	SLD 5	118	-14	1907	13.85	4.16	0.02
162	SLD 6	118	-14	1907	13.85	4.16	0.02
162	SLD 7	-86	17	2572	-13.27	-3.86	-0.04
162	SLD 8	-86	17	2572	-13.27	-3.86	-0.04
162	SLD 9	1	-17	1827	15.55	-0.97	0.03
162	SLD 10	1	-17	1827	15.55	-0.97	0.03
162	SLD 11	-203	13	2492	-11.57	-8.99	-0.03
162	SLD 12	-203	13	2492	-11.57	-8.99	-0.03
162	SLD 13	-207	-11	1967	8.04	-9.77	0.02
162	SLD 14	-207	-11	1967	8.04	-9.77	0.02
162	SLD 15	-268	-2	2166	-0.1	-12.17	0
162	SLD 16	-268	-2	2166	-0.1	-12.17	0
162	SLV 1	494	4	2288	3.96	20.74	-0.02



Nodo Ind.	Cont. N.br.	Reazione a traslazione			Reazione a rotazione		
		x	y	z	x	y	z
162	SLV 2	494	4	2288	3.96	20.74	-0.02
162	SLV 3	348	27	2788	-16.03	15.01	-0.06
162	SLV 4	348	27	2788	-16.03	15.01	-0.06
162	SLV 5	340	-34	1467	32.31	13.22	0.06
162	SLV 6	340	-34	1467	32.31	13.22	0.06
162	SLV 7	-147	43	3136	-34.34	-5.88	-0.09
162	SLV 8	-147	43	3136	-34.34	-5.88	-0.09
162	SLV 9	62	-43	1264	36.62	1.04	0.08
162	SLV 10	62	-43	1264	36.62	1.04	0.08
162	SLV 11	-424	33	2933	-30.03	-18.05	-0.07
162	SLV 12	-424	33	2933	-30.03	-18.05	-0.07
162	SLV 13	-432	-28	1611	18.31	-19.84	0.05
162	SLV 14	-432	-28	1611	18.31	-19.84	0.05
162	SLV 15	-578	-5	2112	-1.68	-25.57	0.01
162	SLV 16	-578	-5	2112	-1.68	-25.57	0.01
163	SLU 1	-23	-2	1933	1.91	0.07	0
163	SLU 2	-13	-5	1848	4.21	0.59	0.01
163	SLU 3	-23	-2	1933	1.91	0.07	0
163	SLU 4	-17	-4	1882	3.29	0.38	0.01
163	SLU 5	-13	-5	1848	4.21	0.59	0.01
163	SLU 6	-23	-2	1933	1.91	0.07	0
163	SLU 7	-17	-4	1882	3.29	0.38	0.01
163	SLU 8	-23	-2	1933	1.91	0.07	0
163	SLU 9	-17	-4	1882	3.29	0.38	0.01
163	SLU 10	-21	-5	2308	3.89	0.23	0.01
163	SLU 11	-31	-2	2393	1.6	-0.28	0
163	SLU 12	-25	-4	2342	2.97	0.03	0.01
163	SLU 13	-21	-5	2308	3.89	0.23	0.01
163	SLU 14	-31	-2	2393	1.6	-0.28	0
163	SLU 15	-25	-4	2342	2.97	0.03	0.01
163	SLU 16	-31	-2	2393	1.6	-0.28	0
163	SLU 17	-25	-4	2342	2.97	0.03	0.01
163	SLU 18	-35	-2	2590	1.46	-0.43	0
163	SLU 19	-29	-4	2539	2.84	-0.13	0.01
163	SLU 20	-35	-2	2590	1.46	-0.43	0
163	SLU 21	-29	-4	2539	2.84	-0.13	0.01
163	SLU 22	-27	-2	2169	1.75	-0.11	0
163	SLU 23	-17	-5	2084	4.05	0.4	0.01
163	SLU 24	-27	-2	2169	1.75	-0.11	0
163	SLU 25	-21	-4	2118	3.13	0.2	0.01
163	SLU 26	-17	-5	2084	4.05	0.4	0.01
163	SLU 27	-27	-2	2169	1.75	-0.11	0
163	SLU 28	-21	-4	2118	3.13	0.2	0.01
163	SLU 29	-27	-2	2169	1.75	-0.11	0
163	SLU 30	-21	-4	2118	3.13	0.2	0.01
163	SLU 31	-25	-5	2544	3.73	0.05	0.01
163	SLU 32	-36	-2	2629	1.43	-0.46	0
163	SLU 33	-29	-4	2578	2.81	-0.16	0.01
163	SLU 34	-25	-5	2544	3.73	0.05	0.01
163	SLU 35	-36	-2	2629	1.43	-0.46	0
163	SLU 36	-29	-4	2578	2.81	-0.16	0.01
163	SLU 37	-36	-2	2629	1.43	-0.46	0
163	SLU 38	-29	-4	2578	2.81	-0.16	0.01
163	SLU 39	-39	-1	2826	1.3	-0.62	0
163	SLU 40	-33	-3	2775	2.67	-0.31	0.01
163	SLU 41	-39	-1	2826	1.3	-0.62	0
163	SLU 42	-33	-3	2775	2.67	-0.31	0.01
163	SLU 43	-28	-3	2432	2.55	0.15	0
163	SLU 44	-18	-6	2347	4.84	0.67	0.01
163	SLU 45	-28	-3	2432	2.55	0.15	0
163	SLU 46	-22	-5	2381	3.92	0.46	0.01
163	SLU 47	-18	-6	2347	4.84	0.67	0.01
163	SLU 48	-28	-3	2432	2.55	0.15	0
163	SLU 49	-22	-5	2381	3.92	0.46	0.01
163	SLU 50	-28	-3	2432	2.55	0.15	0
163	SLU 51	-22	-5	2381	3.92	0.46	0.01
163	SLU 52	-26	-6	2807	4.52	0.31	0.01
163	SLU 53	-37	-2	2892	2.23	-0.2	0
163	SLU 54	-30	-4	2841	3.6	0.11	0.01
163	SLU 55	-26	-6	2807	4.52	0.31	0.01
163	SLU 56	-37	-2	2892	2.23	-0.2	0
163	SLU 57	-30	-4	2841	3.6	0.11	0.01
163	SLU 58	-37	-2	2892	2.23	-0.2	0
163	SLU 59	-30	-4	2841	3.6	0.11	0.01
163	SLU 60	-40	-2	3089	2.09	-0.35	0
163	SLU 61	-34	-4	3038	3.47	-0.04	0.01
163	SLU 62	-40	-2	3089	2.09	-0.35	0
163	SLU 63	-34	-4	3038	3.47	-0.04	0.01
163	SLU 64	-32	-3	2668	2.38	-0.03	0
163	SLU 65	-22	-6	2583	4.68	0.49	0.01
163	SLU 66	-32	-3	2668	2.38	-0.03	0
163	SLU 67	-26	-5	2617	3.76	0.28	0.01
163	SLU 68	-22	-6	2583	4.68	0.49	0.01
163	SLU 69	-32	-3	2668	2.38	-0.03	0
163	SLU 70	-26	-5	2617	3.76	0.28	0.01
163	SLU 71	-32	-3	2668	2.38	-0.03	0
163	SLU 72	-26	-5	2617	3.76	0.28	0.01
163	SLU 73	-31	-6	3043	4.36	0.13	0.01



Nodo Ind.	Cont. N.br.	Reazione a traslazione			Reazione a rotazione		
		x	y	z	x	y	z
163	SLU 74	-41	-2	3128	2.06	-0.38	0
163	SLU 75	-35	-4	3077	3.44	-0.07	0.01
163	SLU 76	-31	-6	3043	4.36	0.13	0.01
163	SLU 77	-41	-2	3128	2.06	-0.38	0
163	SLU 78	-35	-4	3077	3.44	-0.07	0.01
163	SLU 79	-41	-2	3128	2.06	-0.38	0
163	SLU 80	-35	-4	3077	3.44	-0.07	0.01
163	SLU 81	-45	-2	3325	1.93	-0.53	0
163	SLU 82	-38	-4	3274	3.3	-0.22	0.01
163	SLU 83	-45	-2	3325	1.93	-0.53	0
163	SLU 84	-38	-4	3274	3.3	-0.22	0.01
163	SLE RA 1	-24	-2	2001	1.87	0.02	0
163	SLE RA 2	-17	-4	1944	3.4	0.36	0.01
163	SLE RA 3	-24	-2	2001	1.87	0.02	0
163	SLE RA 4	-20	-3	1967	2.79	0.22	0.01
163	SLE RA 5	-17	-4	1944	3.4	0.36	0.01
163	SLE RA 6	-24	-2	2001	1.87	0.02	0
163	SLE RA 7	-20	-3	1967	2.79	0.22	0.01
163	SLE RA 8	-24	-2	2001	1.87	0.02	0
163	SLE RA 9	-20	-3	1967	2.79	0.22	0.01
163	SLE RA 10	-23	-4	2251	3.19	0.13	0.01
163	SLE RA 11	-30	-2	2307	1.66	-0.22	0
163	SLE RA 12	-26	-3	2273	2.57	-0.01	0
163	SLE RA 13	-23	-4	2251	3.19	0.13	0.01
163	SLE RA 14	-30	-2	2307	1.66	-0.22	0
163	SLE RA 15	-26	-3	2273	2.57	-0.01	0
163	SLE RA 16	-30	-2	2307	1.66	-0.22	0
163	SLE RA 17	-26	-3	2273	2.57	-0.01	0
163	SLE RA 18	-32	-2	2439	1.56	-0.32	0
163	SLE RA 19	-28	-3	2405	2.48	-0.11	0
163	SLE RA 20	-32	-2	2439	1.56	-0.32	0
163	SLE RA 21	-28	-3	2405	2.48	-0.11	0
163	SLE FR 1	-24	-2	2001	1.87	0.02	0
163	SLE FR 2	-23	-3	1989	2.17	0.09	0
163	SLE FR 3	-24	-2	2001	1.87	0.02	0
163	SLE FR 4	-25	-2	2121	2.08	-0.01	0
163	SLE FR 5	-26	-2	2132	1.78	-0.08	0
163	SLE FR 6	-28	-2	2220	1.72	-0.15	0
163	SLE QP 1	-24	-2	2001	1.87	0.02	0
163	SLE QP 2	-26	-2	2132	1.78	-0.08	0
163	SLD 1	205	-4	2140	4.58	9.88	0
163	SLD 2	205	-4	2140	4.58	9.88	0
163	SLD 3	152	10	2365	-6.97	7.79	-0.03
163	SLD 4	152	10	2365	-6.97	7.79	-0.03
163	SLD 5	124	-23	1793	20.14	6.07	0.04
163	SLD 6	124	-23	1793	20.14	6.07	0.04
163	SLD 7	-54	22	2543	-18.37	-0.89	-0.05
163	SLD 8	-54	22	2543	-18.37	-0.89	-0.05
163	SLD 9	1	-26	1721	21.92	0.72	0.05
163	SLD 10	1	-26	1721	21.92	0.72	0.05
163	SLD 11	-177	19	2471	-16.59	-6.24	-0.04
163	SLD 12	-177	19	2471	-16.59	-6.24	-0.04
163	SLD 13	-204	-14	1899	10.53	-7.95	0.03
163	SLD 14	-204	-14	1899	10.53	-7.95	0.03
163	SLD 15	-258	0	2124	-1.03	-10.04	0
163	SLD 16	-258	0	2124	-1.03	-10.04	0
163	SLV 1	524	-6	2153	8.4	23.58	0
163	SLV 2	524	-6	2153	8.4	23.58	0
163	SLV 3	396	28	2721	-19.79	18.59	-0.07
163	SLV 4	396	28	2721	-19.79	18.59	-0.07
163	SLV 5	333	-54	1278	46.53	14.58	0.1
163	SLV 6	333	-54	1278	46.53	14.58	0.1
163	SLV 7	-94	58	3169	-47.46	-2.05	-0.12
163	SLV 8	-94	58	3169	-47.46	-2.05	-0.12
163	SLV 9	41	-62	1095	51.01	1.88	0.12
163	SLV 10	41	-62	1095	51.01	1.88	0.12
163	SLV 11	-386	50	2986	-42.97	-14.75	-0.09
163	SLV 12	-386	50	2986	-42.97	-14.75	-0.09
163	SLV 13	-449	-32	1543	23.35	-18.76	0.07
163	SLV 14	-449	-32	1543	23.35	-18.76	0.07
163	SLV 15	-577	2	2111	-4.85	-23.75	0.01
163	SLV 16	-577	2	2111	-4.85	-23.75	0.01
164	SLU 1	-17	-3	1898	2.4	-1.15	0.01
164	SLU 2	-19	-7	1815	4.91	-1.29	0.01
164	SLU 3	-17	-3	1898	2.4	-1.15	0.01
164	SLU 4	-18	-5	1848	3.9	-1.23	0.01
164	SLU 5	-19	-7	1815	4.91	-1.29	0.01
164	SLU 6	-17	-3	1898	2.4	-1.15	0.01
164	SLU 7	-18	-5	1848	3.9	-1.23	0.01
164	SLU 8	-17	-3	1898	2.4	-1.15	0.01
164	SLU 9	-18	-5	1848	3.9	-1.23	0.01
164	SLU 10	-21	-6	2267	4.49	-1.3	0.01
164	SLU 11	-19	-3	2350	1.98	-1.16	0
164	SLU 12	-20	-5	2300	3.48	-1.24	0.01
164	SLU 13	-21	-6	2267	4.49	-1.3	0.01
164	SLU 14	-19	-3	2350	1.98	-1.16	0
164	SLU 15	-20	-5	2300	3.48	-1.24	0.01
164	SLU 16	-19	-3	2350	1.98	-1.16	0



Nodo Ind.	Cont. N.br.	Reazione a traslazione			Reazione a rotazione		
		x	y	z	x	y	z
164	SLU 17	-20	-5	2300	3.48	-1.24	0.01
164	SLU 18	-20	-2	2544	1.8	-1.17	0
164	SLU 19	-21	-4	2494	3.3	-1.25	0.01
164	SLU 20	-20	-2	2544	1.8	-1.17	0
164	SLU 21	-21	-4	2494	3.3	-1.25	0.01
164	SLU 22	-18	-3	2130	2.18	-1.16	0.01
164	SLU 23	-20	-6	2047	4.69	-1.29	0.01
164	SLU 24	-18	-3	2130	2.18	-1.16	0.01
164	SLU 25	-19	-5	2080	3.69	-1.24	0.01
164	SLU 26	-20	-6	2047	4.69	-1.29	0.01
164	SLU 27	-18	-3	2130	2.18	-1.16	0.01
164	SLU 28	-19	-5	2080	3.69	-1.24	0.01
164	SLU 29	-18	-3	2130	2.18	-1.16	0.01
164	SLU 30	-19	-5	2080	3.69	-1.24	0.01
164	SLU 31	-22	-6	2499	4.27	-1.31	0.01
164	SLU 32	-20	-2	2582	1.76	-1.17	0
164	SLU 33	-21	-4	2532	3.27	-1.25	0.01
164	SLU 34	-22	-6	2499	4.27	-1.31	0.01
164	SLU 35	-20	-2	2582	1.76	-1.17	0
164	SLU 36	-21	-4	2532	3.27	-1.25	0.01
164	SLU 37	-20	-2	2582	1.76	-1.17	0
164	SLU 38	-21	-4	2532	3.27	-1.25	0.01
164	SLU 39	-21	-2	2776	1.58	-1.17	0
164	SLU 40	-22	-4	2726	3.09	-1.26	0.01
164	SLU 41	-21	-2	2776	1.58	-1.17	0
164	SLU 42	-22	-4	2726	3.09	-1.26	0.01
164	SLU 43	-22	-4	2388	3.19	-1.49	0.01
164	SLU 44	-23	-8	2305	5.7	-1.63	0.02
164	SLU 45	-22	-4	2388	3.19	-1.49	0.01
164	SLU 46	-23	-6	2338	4.7	-1.58	0.01
164	SLU 47	-23	-8	2305	5.7	-1.63	0.02
164	SLU 48	-22	-4	2388	3.19	-1.49	0.01
164	SLU 49	-23	-6	2338	4.7	-1.58	0.01
164	SLU 50	-22	-4	2388	3.19	-1.49	0.01
164	SLU 51	-23	-6	2338	4.7	-1.58	0.01
164	SLU 52	-25	-7	2757	5.28	-1.64	0.02
164	SLU 53	-24	-4	2840	2.77	-1.5	0.01
164	SLU 54	-25	-6	2790	4.28	-1.59	0.01
164	SLU 55	-25	-7	2757	5.28	-1.64	0.02
164	SLU 56	-24	-4	2840	2.77	-1.5	0.01
164	SLU 57	-25	-6	2790	4.28	-1.59	0.01
164	SLU 58	-24	-4	2840	2.77	-1.5	0.01
164	SLU 59	-25	-6	2790	4.28	-1.59	0.01
164	SLU 60	-25	-4	3034	2.59	-1.51	0.01
164	SLU 61	-26	-6	2984	4.1	-1.59	0.01
164	SLU 62	-25	-4	3034	2.59	-1.51	0.01
164	SLU 63	-26	-6	2984	4.1	-1.59	0.01
164	SLU 64	-23	-4	2620	2.98	-1.5	0.01
164	SLU 65	-24	-7	2537	5.48	-1.64	0.02
164	SLU 66	-23	-4	2620	2.98	-1.5	0.01
164	SLU 67	-24	-6	2570	4.48	-1.58	0.01
164	SLU 68	-24	-7	2537	5.48	-1.64	0.02
164	SLU 69	-23	-4	2620	2.98	-1.5	0.01
164	SLU 70	-24	-6	2570	4.48	-1.58	0.01
164	SLU 71	-23	-4	2620	2.98	-1.5	0.01
164	SLU 72	-24	-6	2570	4.48	-1.58	0.01
164	SLU 73	-27	-7	2989	5.06	-1.65	0.01
164	SLU 74	-25	-4	3072	2.55	-1.51	0.01
164	SLU 75	-26	-6	3022	4.06	-1.59	0.01
164	SLU 76	-27	-7	2989	5.06	-1.65	0.01
164	SLU 77	-25	-4	3072	2.55	-1.51	0.01
164	SLU 78	-26	-6	3022	4.06	-1.59	0.01
164	SLU 79	-25	-4	3072	2.55	-1.51	0.01
164	SLU 80	-26	-6	3022	4.06	-1.59	0.01
164	SLU 81	-26	-3	3266	2.37	-1.52	0.01
164	SLU 82	-27	-5	3216	3.88	-1.6	0.01
164	SLU 83	-26	-3	3266	2.37	-1.52	0.01
164	SLU 84	-27	-5	3216	3.88	-1.6	0.01
164	SLE RA 1	-17	-3	1964	2.34	-1.15	0.01
164	SLE RA 2	-18	-5	1909	4.01	-1.24	0.01
164	SLE RA 3	-17	-3	1964	2.34	-1.15	0.01
164	SLE RA 4	-18	-5	1931	3.34	-1.21	0.01
164	SLE RA 5	-18	-5	1909	4.01	-1.24	0.01
164	SLE RA 6	-17	-3	1964	2.34	-1.15	0.01
164	SLE RA 7	-18	-5	1931	3.34	-1.21	0.01
164	SLE RA 8	-17	-3	1964	2.34	-1.15	0.01
164	SLE RA 9	-18	-5	1931	3.34	-1.21	0.01
164	SLE RA 10	-20	-5	2210	3.73	-1.25	0.01
164	SLE RA 11	-19	-3	2266	2.06	-1.16	0.01
164	SLE RA 12	-19	-4	2232	3.06	-1.21	0.01
164	SLE RA 13	-20	-5	2210	3.73	-1.25	0.01
164	SLE RA 14	-19	-3	2266	2.06	-1.16	0.01
164	SLE RA 15	-19	-4	2232	3.06	-1.21	0.01
164	SLE RA 16	-19	-3	2266	2.06	-1.16	0.01
164	SLE RA 17	-19	-4	2232	3.06	-1.21	0.01
164	SLE RA 18	-19	-3	2395	1.94	-1.16	0
164	SLE RA 19	-20	-4	2362	2.94	-1.22	0.01
164	SLE RA 20	-19	-3	2395	1.94	-1.16	0



Nodo Ind.	Cont. N.br.	Reazione a traslazione			Reazione a rotazione		
		x	y	z	x	y	z
164	SLE RA 21	-20	-4	2362	2.94	-1.22	0.01
164	SLE FR 1	-17	-3	1964	2.34	-1.15	0.01
164	SLE FR 2	-18	-4	1953	2.67	-1.17	0.01
164	SLE FR 3	-17	-3	1964	2.34	-1.15	0.01
164	SLE FR 4	-18	-4	2082	2.55	-1.17	0.01
164	SLE FR 5	-18	-3	2093	2.22	-1.15	0.01
164	SLE FR 6	-18	-3	2180	2.14	-1.16	0.01
164	SLE QP 1	-17	-3	1964	2.34	-1.15	0.01
164	SLE QP 2	-18	-3	2093	2.22	-1.15	0.01
164	SLD 1	213	-8	2073	6.34	8.88	0.01
164	SLD 2	213	-8	2073	6.34	8.88	0.01
164	SLD 3	173	9	2321	-7.26	7.21	-0.03
164	SLD 4	173	9	2321	-7.26	7.21	-0.03
164	SLD 5	112	-30	1710	24.07	4.38	0.07
164	SLD 6	112	-30	1710	24.07	4.38	0.07
164	SLD 7	-21	26	2538	-21.24	-1.17	-0.06
164	SLD 8	-21	26	2538	-21.24	-1.17	-0.06
164	SLD 9	-15	-32	1648	25.68	-1.14	0.08
164	SLD 10	-15	-32	1648	25.68	-1.14	0.08
164	SLD 11	-148	24	2476	-19.64	-6.69	-0.05
164	SLD 12	-148	24	2476	-19.64	-6.69	-0.05
164	SLD 13	-209	-15	1866	11.69	-9.52	0.04
164	SLD 14	-209	-15	1866	11.69	-9.52	0.04
164	SLD 15	-249	2	2114	-1.91	-11.19	0
164	SLD 16	-249	2	2114	-1.91	-11.19	0
164	SLV 1	532	-15	2043	12.11	22.75	0.02
164	SLV 2	532	-15	2043	12.11	22.75	0.02
164	SLV 3	435	27	2668	-20.96	18.67	-0.08
164	SLV 4	435	27	2668	-20.96	18.67	-0.08
164	SLV 5	295	-69	1130	55.34	12.2	0.15
164	SLV 6	295	-69	1130	55.34	12.2	0.15
164	SLV 7	-30	68	3214	-54.89	-1.39	-0.16
164	SLV 8	-30	68	3214	-54.89	-1.39	-0.16
164	SLV 9	-6	-74	972	59.32	-0.92	0.17
164	SLV 10	-6	-74	972	59.32	-0.92	0.17
164	SLV 11	-331	63	3057	-50.91	-14.51	-0.14
164	SLV 12	-331	63	3057	-50.91	-14.51	-0.14
164	SLV 13	-471	-33	1519	25.39	-20.98	0.09
164	SLV 14	-471	-33	1519	25.39	-20.98	0.09
164	SLV 15	-568	8	2144	-7.68	-25.06	-0.01
164	SLV 16	-568	8	2144	-7.68	-25.06	-0.01
165	SLU 1	17	-3	1896	2.4	0.9	0.01
165	SLU 2	6	-7	1812	4.92	0.49	0.02
165	SLU 3	17	-3	1896	2.4	0.9	0.01
165	SLU 4	10	-5	1846	3.91	0.66	0.01
165	SLU 5	6	-7	1812	4.92	0.49	0.02
165	SLU 6	17	-3	1896	2.4	0.9	0.01
165	SLU 7	10	-5	1846	3.91	0.66	0.01
165	SLU 8	17	-3	1896	2.4	0.9	0.01
165	SLU 9	10	-5	1846	3.91	0.66	0.01
165	SLU 10	10	-6	2266	4.49	0.57	0.02
165	SLU 11	21	-3	2350	1.97	0.98	0.01
165	SLU 12	14	-5	2299	3.49	0.73	0.01
165	SLU 13	10	-6	2266	4.49	0.57	0.02
165	SLU 14	21	-3	2350	1.97	0.98	0.01
165	SLU 15	14	-5	2299	3.49	0.73	0.01
165	SLU 16	21	-3	2350	1.97	0.98	0.01
165	SLU 17	14	-5	2299	3.49	0.73	0.01
165	SLU 18	23	-2	2545	1.79	1.01	0.01
165	SLU 19	16	-5	2494	3.3	0.77	0.01
165	SLU 20	23	-2	2545	1.79	1.01	0.01
165	SLU 21	16	-5	2494	3.3	0.77	0.01
165	SLU 22	19	-3	2129	2.18	0.94	0.01
165	SLU 23	8	-6	2044	4.7	0.53	0.02
165	SLU 24	19	-3	2129	2.18	0.94	0.01
165	SLU 25	12	-5	2078	3.69	0.7	0.01
165	SLU 26	8	-6	2044	4.7	0.53	0.02
165	SLU 27	19	-3	2129	2.18	0.94	0.01
165	SLU 28	12	-5	2078	3.69	0.7	0.01
165	SLU 29	19	-3	2129	2.18	0.94	0.01
165	SLU 30	12	-5	2078	3.69	0.7	0.01
165	SLU 31	12	-6	2498	4.28	0.61	0.01
165	SLU 32	23	-2	2583	1.76	1.02	0.01
165	SLU 33	16	-4	2532	3.27	0.77	0.01
165	SLU 34	12	-6	2498	4.28	0.61	0.01
165	SLU 35	23	-2	2583	1.76	1.02	0.01
165	SLU 36	16	-4	2532	3.27	0.77	0.01
165	SLU 37	23	-2	2583	1.76	1.02	0.01
165	SLU 38	16	-4	2532	3.27	0.77	0.01
165	SLU 39	25	-2	2778	1.57	1.05	0.01
165	SLU 40	18	-4	2727	3.09	0.81	0.01
165	SLU 41	25	-2	2778	1.57	1.05	0.01
165	SLU 42	18	-4	2727	3.09	0.81	0.01
165	SLU 43	21	-5	2385	3.19	1.16	0.01
165	SLU 44	10	-8	2301	5.71	0.75	0.02
165	SLU 45	21	-5	2385	3.19	1.16	0.01
165	SLU 46	14	-7	2335	4.7	0.91	0.02
165	SLU 47	10	-8	2301	5.71	0.75	0.02



Nodo Ind.	Cont. N.br.	Reazione a traslazione			Reazione a rotazione		
		x	y	z	x	y	z
165	SLU 48	21	-5	2385	3.19	1.16	0.01
165	SLU 49	14	-7	2335	4.7	0.91	0.02
165	SLU 50	21	-5	2385	3.19	1.16	0.01
165	SLU 51	14	-7	2335	4.7	0.91	0.02
165	SLU 52	14	-7	2755	5.29	0.83	0.02
165	SLU 53	25	-4	2839	2.77	1.24	0.01
165	SLU 54	19	-6	2789	4.28	0.99	0.01
165	SLU 55	14	-7	2755	5.29	0.83	0.02
165	SLU 56	25	-4	2839	2.77	1.24	0.01
165	SLU 57	19	-6	2789	4.28	0.99	0.01
165	SLU 58	25	-4	2839	2.77	1.24	0.01
165	SLU 59	19	-6	2789	4.28	0.99	0.01
165	SLU 60	27	-4	3034	2.59	1.27	0.01
165	SLU 61	20	-6	2983	4.1	1.02	0.01
165	SLU 62	27	-4	3034	2.59	1.27	0.01
165	SLU 63	20	-6	2983	4.1	1.02	0.01
165	SLU 64	23	-4	2618	2.97	1.2	0.01
165	SLU 65	12	-8	2534	5.5	0.79	0.02
165	SLU 66	23	-4	2618	2.97	1.2	0.01
165	SLU 67	17	-6	2567	4.49	0.95	0.02
165	SLU 68	12	-8	2534	5.5	0.79	0.02
165	SLU 69	23	-4	2618	2.97	1.2	0.01
165	SLU 70	17	-6	2567	4.49	0.95	0.02
165	SLU 71	23	-4	2618	2.97	1.2	0.01
165	SLU 72	17	-6	2567	4.49	0.95	0.02
165	SLU 73	16	-7	2987	5.07	0.87	0.02
165	SLU 74	27	-4	3072	2.55	1.28	0.01
165	SLU 75	21	-6	3021	4.06	1.03	0.01
165	SLU 76	16	-7	2987	5.07	0.87	0.02
165	SLU 77	27	-4	3072	2.55	1.28	0.01
165	SLU 78	21	-6	3021	4.06	1.03	0.01
165	SLU 79	27	-4	3072	2.55	1.28	0.01
165	SLU 80	21	-6	3021	4.06	1.03	0.01
165	SLU 81	29	-3	3267	2.37	1.31	0.01
165	SLU 82	22	-5	3216	3.88	1.06	0.01
165	SLU 83	29	-3	3267	2.37	1.31	0.01
165	SLU 84	22	-5	3216	3.88	1.06	0.01
165	SLE RA 1	17	-3	1963	2.34	0.91	0.01
165	SLE RA 2	10	-6	1906	4.02	0.64	0.01
165	SLE RA 3	17	-3	1963	2.34	0.91	0.01
165	SLE RA 4	13	-5	1929	3.34	0.75	0.01
165	SLE RA 5	10	-6	1906	4.02	0.64	0.01
165	SLE RA 6	17	-3	1963	2.34	0.91	0.01
165	SLE RA 7	13	-5	1929	3.34	0.75	0.01
165	SLE RA 8	17	-3	1963	2.34	0.91	0.01
165	SLE RA 9	13	-5	1929	3.34	0.75	0.01
165	SLE RA 10	13	-5	2209	3.73	0.69	0.01
165	SLE RA 11	20	-3	2266	2.05	0.97	0.01
165	SLE RA 12	16	-4	2232	3.06	0.8	0.01
165	SLE RA 13	13	-5	2209	3.73	0.69	0.01
165	SLE RA 14	20	-3	2266	2.05	0.97	0.01
165	SLE RA 15	16	-4	2232	3.06	0.8	0.01
165	SLE RA 16	20	-3	2266	2.05	0.97	0.01
165	SLE RA 17	16	-4	2232	3.06	0.8	0.01
165	SLE RA 18	21	-3	2395	1.93	0.99	0.01
165	SLE RA 19	17	-4	2361	2.94	0.82	0.01
165	SLE RA 20	21	-3	2395	1.93	0.99	0.01
165	SLE RA 21	17	-4	2361	2.94	0.82	0.01
165	SLE FR 1	17	-3	1963	2.34	0.91	0.01
165	SLE FR 2	16	-4	1952	2.67	0.86	0.01
165	SLE FR 3	17	-3	1963	2.34	0.91	0.01
165	SLE FR 4	17	-4	2081	2.55	0.88	0.01
165	SLE FR 5	19	-3	2093	2.21	0.94	0.01
165	SLE FR 6	19	-3	2179	2.13	0.95	0.01
165	SLE QP 1	17	-3	1963	2.34	0.91	0.01
165	SLE QP 2	19	-3	2093	2.21	0.94	0.01
165	SLD 1	212	-15	2053	6.69	9.37	0.02
165	SLD 2	212	-15	2053	6.69	9.37	0.02
165	SLD 3	246	2	2307	-7.01	10.81	-0.02
165	SLD 4	246	2	2307	-7.01	10.81	-0.02
165	SLD 5	26	-33	1695	24.33	1.29	0.08
165	SLD 6	26	-33	1695	24.33	1.29	0.08
165	SLD 7	138	25	2543	-21.32	6.08	-0.07
165	SLD 8	138	25	2543	-21.32	6.08	-0.07
165	SLD 9	-100	-31	1642	25.75	-4.21	0.08
165	SLD 10	-100	-31	1642	25.75	-4.21	0.08
165	SLD 11	11	26	2491	-19.9	0.58	-0.06
165	SLD 12	11	26	2491	-19.9	0.58	-0.06
165	SLD 13	-209	-9	1878	11.44	-8.94	0.04
165	SLD 14	-209	-9	1878	11.44	-8.94	0.04
165	SLD 15	-175	8	2132	-2.26	-7.5	-0.01
165	SLD 16	-175	8	2132	-2.26	-7.5	-0.01
165	SLV 1	477	-31	1993	13.06	20.91	0.04
165	SLV 2	477	-31	1993	13.06	20.91	0.04
165	SLV 3	560	10	2634	-20.28	24.46	-0.06
165	SLV 4	560	10	2634	-20.28	24.46	-0.06
165	SLV 5	30	-75	1091	56.04	1.54	0.17
165	SLV 6	30	-75	1091	56.04	1.54	0.17



Nodo Ind.	Cont. N.br.	Reazione a traslazione			Reazione a rotazione		
		x	y	z	x	y	z
165	SLV 7	307	64	3227	-55.11	13.38	-0.17
165	SLV 8	307	64	3227	-55.11	13.38	-0.17
165	SLV 9	-270	-71	958	59.54	-11.51	0.19
165	SLV 10	-270	-71	958	59.54	-11.51	0.19
165	SLV 11	7	69	3094	-51.61	0.33	-0.16
165	SLV 12	7	69	3094	-51.61	0.33	-0.16
165	SLV 13	-523	-17	1551	24.71	-22.59	0.08
165	SLV 14	-523	-17	1551	24.71	-22.59	0.08
165	SLV 15	-440	25	2192	-8.63	-19.04	-0.02
165	SLV 16	-440	25	2192	-8.63	-19.04	-0.02
166	SLU 1	25	-2	1933	1.89	0.65	0.01
166	SLU 2	3	-6	1843	4.21	-0.36	0.01
166	SLU 3	25	-2	1933	1.89	0.65	0.01
166	SLU 4	12	-4	1879	3.28	0.04	0.01
166	SLU 5	3	-6	1843	4.21	-0.36	0.01
166	SLU 6	25	-2	1933	1.89	0.65	0.01
166	SLU 7	12	-4	1879	3.28	0.04	0.01
166	SLU 8	25	-2	1933	1.89	0.65	0.01
166	SLU 9	12	-4	1879	3.28	0.04	0.01
166	SLU 10	11	-5	2307	3.88	-0.05	0.01
166	SLU 11	33	-2	2397	1.55	0.96	0.01
166	SLU 12	20	-4	2343	2.95	0.35	0.01
166	SLU 13	11	-5	2307	3.88	-0.05	0.01
166	SLU 14	33	-2	2397	1.55	0.96	0.01
166	SLU 15	20	-4	2343	2.95	0.35	0.01
166	SLU 16	33	-2	2397	1.55	0.96	0.01
166	SLU 17	20	-4	2343	2.95	0.35	0.01
166	SLU 18	37	-1	2596	1.41	1.1	0.01
166	SLU 19	23	-4	2542	2.8	0.49	0.01
166	SLU 20	37	-1	2596	1.41	1.1	0.01
166	SLU 21	23	-4	2542	2.8	0.49	0.01
166	SLU 22	29	-2	2171	1.72	0.81	0.01
166	SLU 23	7	-5	2081	4.04	-0.2	0.01
166	SLU 24	29	-2	2171	1.72	0.81	0.01
166	SLU 25	16	-4	2117	3.11	0.2	0.01
166	SLU 26	7	-5	2081	4.04	-0.2	0.01
166	SLU 27	29	-2	2171	1.72	0.81	0.01
166	SLU 28	16	-4	2117	3.11	0.2	0.01
166	SLU 29	29	-2	2171	1.72	0.81	0.01
166	SLU 30	16	-4	2117	3.11	0.2	0.01
166	SLU 31	15	-5	2545	3.71	0.11	0.01
166	SLU 32	37	-1	2635	1.38	1.12	0.01
166	SLU 33	24	-4	2581	2.78	0.51	0.01
166	SLU 34	15	-5	2545	3.71	0.11	0.01
166	SLU 35	37	-1	2635	1.38	1.12	0.01
166	SLU 36	24	-4	2581	2.78	0.51	0.01
166	SLU 37	37	-1	2635	1.38	1.12	0.01
166	SLU 38	24	-4	2581	2.78	0.51	0.01
166	SLU 39	41	-1	2834	1.24	1.26	0
166	SLU 40	27	-3	2780	2.63	0.65	0.01
166	SLU 41	41	-1	2834	1.24	1.26	0
166	SLU 42	27	-3	2780	2.63	0.65	0.01
166	SLU 43	31	-3	2432	2.51	0.79	0.01
166	SLU 44	9	-6	2342	4.83	-0.23	0.02
166	SLU 45	31	-3	2432	2.51	0.79	0.01
166	SLU 46	18	-5	2378	3.9	0.18	0.01
166	SLU 47	9	-6	2342	4.83	-0.23	0.02
166	SLU 48	31	-3	2432	2.51	0.79	0.01
166	SLU 49	18	-5	2378	3.9	0.18	0.01
166	SLU 50	31	-3	2432	2.51	0.79	0.01
166	SLU 51	18	-5	2378	3.9	0.18	0.01
166	SLU 52	17	-6	2806	4.5	0.09	0.01
166	SLU 53	39	-2	2895	2.18	1.1	0.01
166	SLU 54	26	-4	2842	3.57	0.49	0.01
166	SLU 55	17	-6	2806	4.5	0.09	0.01
166	SLU 56	39	-2	2895	2.18	1.1	0.01
166	SLU 57	26	-4	2842	3.57	0.49	0.01
166	SLU 58	39	-2	2895	2.18	1.1	0.01
166	SLU 59	26	-4	2842	3.57	0.49	0.01
166	SLU 60	43	-2	3094	2.04	1.23	0.01
166	SLU 61	29	-4	3040	3.43	0.63	0.01
166	SLU 62	43	-2	3094	2.04	1.23	0.01
166	SLU 63	29	-4	3040	3.43	0.63	0.01
166	SLU 64	35	-3	2669	2.34	0.95	0.01
166	SLU 65	13	-6	2580	4.66	-0.06	0.01
166	SLU 66	35	-3	2669	2.34	0.95	0.01
166	SLU 67	22	-5	2616	3.73	0.34	0.01
166	SLU 68	13	-6	2580	4.66	-0.06	0.01
166	SLU 69	35	-3	2669	2.34	0.95	0.01
166	SLU 70	22	-5	2616	3.73	0.34	0.01
166	SLU 71	35	-3	2669	2.34	0.95	0.01
166	SLU 72	22	-5	2616	3.73	0.34	0.01
166	SLU 73	21	-6	3043	4.33	0.25	0.01
166	SLU 74	43	-2	3133	2.01	1.26	0.01
166	SLU 75	30	-4	3079	3.4	0.65	0.01
166	SLU 76	21	-6	3043	4.33	0.25	0.01
166	SLU 77	43	-2	3133	2.01	1.26	0.01
166	SLU 78	30	-4	3079	3.4	0.65	0.01



Nodo Ind.	Cont. N.br.	Reazione a traslazione			Reazione a rotazione		
		x	y	z	x	y	z
166	SLU 79	43	-2	3133	2.01	1.26	0.01
166	SLU 80	30	-4	3079	3.4	0.65	0.01
166	SLU 81	47	-2	3332	1.87	1.4	0.01
166	SLU 82	33	-4	3278	3.26	0.79	0.01
166	SLU 83	47	-2	3332	1.87	1.4	0.01
166	SLU 84	33	-4	3278	3.26	0.79	0.01
166	SLE RA 1	26	-2	2001	1.84	0.69	0.01
166	SLE RA 2	11	-4	1941	3.39	0.02	0.01
166	SLE RA 3	26	-2	2001	1.84	0.69	0.01
166	SLE RA 4	17	-3	1965	2.77	0.29	0.01
166	SLE RA 5	11	-4	1941	3.39	0.02	0.01
166	SLE RA 6	26	-2	2001	1.84	0.69	0.01
166	SLE RA 7	17	-3	1965	2.77	0.29	0.01
166	SLE RA 8	26	-2	2001	1.84	0.69	0.01
166	SLE RA 9	17	-3	1965	2.77	0.29	0.01
166	SLE RA 10	17	-4	2251	3.16	0.23	0.01
166	SLE RA 11	32	-2	2310	1.62	0.9	0.01
166	SLE RA 12	23	-3	2274	2.55	0.5	0.01
166	SLE RA 13	17	-4	2251	3.16	0.23	0.01
166	SLE RA 14	32	-2	2310	1.62	0.9	0.01
166	SLE RA 15	23	-3	2274	2.55	0.5	0.01
166	SLE RA 16	32	-2	2310	1.62	0.9	0.01
166	SLE RA 17	23	-3	2274	2.55	0.5	0.01
166	SLE RA 18	34	-2	2443	1.52	0.99	0.01
166	SLE RA 19	25	-3	2407	2.45	0.59	0.01
166	SLE RA 20	34	-2	2443	1.52	0.99	0.01
166	SLE RA 21	25	-3	2407	2.45	0.59	0.01
166	SLE FR 1	26	-2	2001	1.84	0.69	0.01
166	SLE FR 2	23	-3	1989	2.15	0.56	0.01
166	SLE FR 3	26	-2	2001	1.84	0.69	0.01
166	SLE FR 4	25	-2	2122	2.05	0.65	0.01
166	SLE FR 5	28	-2	2134	1.74	0.78	0.01
166	SLE FR 6	30	-2	2222	1.68	0.84	0.01
166	SLE QP 1	26	-2	2001	1.84	0.69	0.01
166	SLE QP 2	28	-2	2134	1.74	0.78	0.01
166	SLD 1	211	-13	2096	9.91	8.77	0.03
166	SLD 2	211	-13	2096	9.91	8.77	0.03
166	SLD 3	253	1	2337	-1.93	10.6	0
166	SLD 4	253	1	2337	-1.93	10.6	0
166	SLD 5	20	-27	1757	22.15	0.4	0.07
166	SLD 6	20	-27	1757	22.15	0.4	0.07
166	SLD 7	159	21	2560	-17.32	6.51	-0.05
166	SLD 8	159	21	2560	-17.32	6.51	-0.05
166	SLD 9	-102	-25	1707	20.8	-4.94	0.06
166	SLD 10	-102	-25	1707	20.8	-4.94	0.06
166	SLD 11	37	23	2511	-18.67	1.17	-0.05
166	SLD 12	37	23	2511	-18.67	1.17	-0.05
166	SLD 13	-196	-5	1930	5.41	-9.04	0.02
166	SLD 14	-196	-5	1930	5.41	-9.04	0.02
166	SLD 15	-154	9	2171	-6.43	-7.2	-0.02
166	SLD 16	-154	9	2171	-6.43	-7.2	-0.02
166	SLV 1	462	-29	2038	21.76	19.74	0.06
166	SLV 2	462	-29	2038	21.76	19.74	0.06
166	SLV 3	563	6	2646	-7.22	24.19	-0.02
166	SLV 4	563	6	2646	-7.22	24.19	-0.02
166	SLV 5	6	-64	1183	51.69	-0.28	0.15
166	SLV 6	6	-64	1183	51.69	-0.28	0.15
166	SLV 7	341	55	3210	-44.89	14.56	-0.13
166	SLV 8	341	55	3210	-44.89	14.56	-0.13
166	SLV 9	-285	-58	1058	48.37	-12.99	0.14
166	SLV 10	-285	-58	1058	48.37	-12.99	0.14
166	SLV 11	51	60	3085	-48.2	1.85	-0.14
166	SLV 12	51	60	3085	-48.2	1.85	-0.14
166	SLV 13	-506	-10	1621	10.7	-22.62	0.03
166	SLV 14	-506	-10	1621	10.7	-22.62	0.03
166	SLV 15	-405	25	2229	-18.27	-18.17	-0.05
166	SLV 16	-405	25	2229	-18.27	-18.17	-0.05
167	SLU 1	20	0	1983	1.11	0.65	0.01
167	SLU 2	-10	-3	1884	2.92	-0.5	0.01
167	SLU 3	20	0	1983	1.11	0.65	0.01
167	SLU 4	2	-2	1923	2.2	-0.04	0.01
167	SLU 5	-10	-3	1884	2.92	-0.5	0.01
167	SLU 6	20	0	1983	1.11	0.65	0.01
167	SLU 7	2	-2	1923	2.2	-0.04	0.01
167	SLU 8	20	0	1983	1.11	0.65	0.01
167	SLU 9	2	-2	1923	2.2	-0.04	0.01
167	SLU 10	-4	-3	2360	2.75	-0.29	0.01
167	SLU 11	25	0	2459	0.93	0.86	0.01
167	SLU 12	8	-2	2400	2.02	0.17	0.01
167	SLU 13	-4	-3	2360	2.75	-0.29	0.01
167	SLU 14	25	0	2459	0.93	0.86	0.01
167	SLU 15	8	-2	2400	2.02	0.17	0.01
167	SLU 16	25	0	2459	0.93	0.86	0.01
167	SLU 17	8	-2	2400	2.02	0.17	0.01
167	SLU 18	28	0	2663	0.86	0.95	0.01
167	SLU 19	10	-2	2604	1.95	0.26	0.01
167	SLU 20	28	0	2663	0.86	0.95	0.01
167	SLU 21	10	-2	2604	1.95	0.26	0.01



Nodo Ind.	Cont. N.br.	Reazione a traslazione			Reazione a rotazione		
		x	y	z	x	y	z
167	SLU 22	23	0	2227	1.02	0.76	0.01
167	SLU 23	-7	-3	2128	2.83	-0.4	0.01
167	SLU 24	23	0	2227	1.02	0.76	0.01
167	SLU 25	5	-2	2168	2.11	0.07	0.01
167	SLU 26	-7	-3	2128	2.83	-0.4	0.01
167	SLU 27	23	0	2227	1.02	0.76	0.01
167	SLU 28	5	-2	2168	2.11	0.07	0.01
167	SLU 29	23	0	2227	1.02	0.76	0.01
167	SLU 30	5	-2	2168	2.11	0.07	0.01
167	SLU 31	-1	-3	2605	2.66	-0.19	0.01
167	SLU 32	28	0	2703	0.84	0.97	0.01
167	SLU 33	11	-1	2644	1.93	0.28	0.01
167	SLU 34	-1	-3	2605	2.66	-0.19	0.01
167	SLU 35	28	0	2703	0.84	0.97	0.01
167	SLU 36	11	-1	2644	1.93	0.28	0.01
167	SLU 37	28	0	2703	0.84	0.97	0.01
167	SLU 38	11	-1	2644	1.93	0.28	0.01
167	SLU 39	31	0	2908	0.77	1.06	0.01
167	SLU 40	13	-1	2848	1.86	0.36	0.01
167	SLU 41	31	0	2908	0.77	1.06	0.01
167	SLU 42	13	-1	2848	1.86	0.36	0.01
167	SLU 43	24	0	2494	1.47	0.81	0.01
167	SLU 44	-5	-3	2395	3.29	-0.34	0.01
167	SLU 45	24	0	2494	1.47	0.81	0.01
167	SLU 46	7	-2	2434	2.56	0.12	0.01
167	SLU 47	-5	-3	2395	3.29	-0.34	0.01
167	SLU 48	24	0	2494	1.47	0.81	0.01
167	SLU 49	7	-2	2434	2.56	0.12	0.01
167	SLU 50	24	0	2494	1.47	0.81	0.01
167	SLU 51	7	-2	2434	2.56	0.12	0.01
167	SLU 52	1	-3	2871	3.11	-0.14	0.01
167	SLU 53	30	0	2970	1.3	1.02	0.01
167	SLU 54	13	-2	2911	2.39	0.33	0.01
167	SLU 55	1	-3	2871	3.11	-0.14	0.01
167	SLU 56	30	0	2970	1.3	1.02	0.01
167	SLU 57	13	-2	2911	2.39	0.33	0.01
167	SLU 58	30	0	2970	1.3	1.02	0.01
167	SLU 59	13	-2	2911	2.39	0.33	0.01
167	SLU 60	33	0	3174	1.22	1.11	0.01
167	SLU 61	15	-1	3115	2.31	0.42	0.01
167	SLU 62	33	0	3174	1.22	1.11	0.01
167	SLU 63	15	-1	3115	2.31	0.42	0.01
167	SLU 64	27	0	2738	1.38	0.92	0.01
167	SLU 65	-2	-3	2639	3.2	-0.24	0.01
167	SLU 66	27	0	2738	1.38	0.92	0.01
167	SLU 67	10	-2	2679	2.47	0.23	0.01
167	SLU 68	-2	-3	2639	3.2	-0.24	0.01
167	SLU 69	27	0	2738	1.38	0.92	0.01
167	SLU 70	10	-2	2679	2.47	0.23	0.01
167	SLU 71	27	0	2738	1.38	0.92	0.01
167	SLU 72	10	-2	2679	2.47	0.23	0.01
167	SLU 73	4	-3	3116	3.02	-0.03	0.01
167	SLU 74	33	0	3214	1.21	1.13	0.01
167	SLU 75	16	-1	3155	2.3	0.43	0.01
167	SLU 76	4	-3	3116	3.02	-0.03	0.01
167	SLU 77	33	0	3214	1.21	1.13	0.01
167	SLU 78	16	-1	3155	2.3	0.43	0.01
167	SLU 79	33	0	3214	1.21	1.13	0.01
167	SLU 80	16	-1	3155	2.3	0.43	0.01
167	SLU 81	36	0	3419	1.13	1.22	0.01
167	SLU 82	18	-1	3359	2.22	0.52	0.01
167	SLU 83	36	0	3419	1.13	1.22	0.01
167	SLU 84	18	-1	3359	2.22	0.52	0.01
167	SLE RA 1	20	0	2052	1.08	0.68	0.01
167	SLE RA 2	1	-2	1987	2.29	-0.09	0.01
167	SLE RA 3	20	0	2052	1.08	0.68	0.01
167	SLE RA 4	9	-1	2013	1.81	0.22	0.01
167	SLE RA 5	1	-2	1987	2.29	-0.09	0.01
167	SLE RA 6	20	0	2052	1.08	0.68	0.01
167	SLE RA 7	9	-1	2013	1.81	0.22	0.01
167	SLE RA 8	20	0	2052	1.08	0.68	0.01
167	SLE RA 9	9	-1	2013	1.81	0.22	0.01
167	SLE RA 10	5	-2	2304	2.18	0.05	0.01
167	SLE RA 11	24	0	2370	0.97	0.82	0.01
167	SLE RA 12	13	-1	2331	1.69	0.36	0.01
167	SLE RA 13	5	-2	2304	2.18	0.05	0.01
167	SLE RA 14	24	0	2370	0.97	0.82	0.01
167	SLE RA 15	13	-1	2331	1.69	0.36	0.01
167	SLE RA 16	24	0	2370	0.97	0.82	0.01
167	SLE RA 17	13	-1	2331	1.69	0.36	0.01
167	SLE RA 18	26	0	2506	0.92	0.88	0.01
167	SLE RA 19	14	-1	2467	1.64	0.42	0.01
167	SLE RA 20	26	0	2506	0.92	0.88	0.01
167	SLE RA 21	14	-1	2467	1.64	0.42	0.01
167	SLE FR 1	20	0	2052	1.08	0.68	0.01
167	SLE FR 2	17	0	2039	1.33	0.53	0.01
167	SLE FR 3	20	0	2052	1.08	0.68	0.01
167	SLE FR 4	18	0	2175	1.28	0.59	0.01



Nodo Ind.	Cont. N.br.	Reazione a traslazione			Reazione a rotazione		
		x	y	z	x	y	z
167	SLE FR 5	22	0	2189	1.03	0.74	0.01
167	SLE FR 6	23	0	2279	1	0.78	0.01
167	SLE QP 1	20	0	2052	1.08	0.68	0.01
167	SLE QP 2	22	0	2189	1.03	0.74	0.01
167	SLD 1	192	-10	2168	7.34	8.29	0.03
167	SLD 2	192	-10	2168	7.34	8.29	0.03
167	SLD 3	240	1	2384	-1.2	10.09	0
167	SLD 4	240	1	2384	-1.2	10.09	0
167	SLD 5	0	-18	1855	15.88	0.29	0.06
167	SLD 6	0	-18	1855	15.88	0.29	0.06
167	SLD 7	160	16	2575	-12.59	6.27	-0.04
167	SLD 8	160	16	2575	-12.59	6.27	-0.04
167	SLD 9	-116	-16	1802	14.66	-4.78	0.05
167	SLD 10	-116	-16	1802	14.66	-4.78	0.05
167	SLD 11	44	19	2523	-13.81	1.2	-0.04
167	SLD 12	44	19	2523	-13.81	1.2	-0.04
167	SLD 13	-196	0	1993	3.27	-8.6	0.02
167	SLD 14	-196	0	1993	3.27	-8.6	0.02
167	SLD 15	-148	10	2209	-5.27	-6.81	-0.01
167	SLD 16	-148	10	2209	-5.27	-6.81	-0.01
167	SLV 1	425	-25	2135	16.63	18.64	0.06
167	SLV 2	425	-25	2135	16.63	18.64	0.06
167	SLV 3	540	2	2679	-4.45	22.96	-0.01
167	SLV 4	540	2	2679	-4.45	22.96	-0.01
167	SLV 5	-30	-47	1348	37.68	-0.45	0.13
167	SLV 6	-30	-47	1348	37.68	-0.45	0.13
167	SLV 7	351	40	3161	-32.58	13.97	-0.1
167	SLV 8	351	40	3161	-32.58	13.97	-0.1
167	SLV 9	-306	-40	1216	34.64	-12.48	0.12
167	SLV 10	-306	-40	1216	34.64	-12.48	0.12
167	SLV 11	74	47	3030	-35.61	1.94	-0.11
167	SLV 12	74	47	3030	-35.61	1.94	-0.11
167	SLV 13	-495	-1	1698	6.52	-21.47	0.03
167	SLV 14	-495	-1	1698	6.52	-21.47	0.03
167	SLV 15	-381	25	2242	-14.56	-17.15	-0.04
167	SLV 16	-381	25	2242	-14.56	-17.15	-0.04
168	SLU 1	-5	0	2039	0.74	-0.56	-0.01
168	SLU 2	-41	-1	1922	1.64	-2.07	0
168	SLU 3	-5	0	2039	0.74	-0.56	-0.01
168	SLU 4	-27	-1	1969	1.28	-1.47	0
168	SLU 5	-41	-1	1922	1.64	-2.07	0
168	SLU 6	-5	0	2039	0.74	-0.56	-0.01
168	SLU 7	-27	-1	1969	1.28	-1.47	0
168	SLU 8	-5	0	2039	0.74	-0.56	-0.01
168	SLU 9	-27	-1	1969	1.28	-1.47	0
168	SLU 10	-42	-2	2407	1.65	-2.17	0
168	SLU 11	-5	0	2524	0.76	-0.66	-0.01
168	SLU 12	-27	-1	2454	1.3	-1.56	0
168	SLU 13	-42	-2	2407	1.65	-2.17	0
168	SLU 14	-5	0	2524	0.76	-0.66	-0.01
168	SLU 15	-27	-1	2454	1.3	-1.56	0
168	SLU 16	-5	0	2524	0.76	-0.66	-0.01
168	SLU 17	-27	-1	2454	1.3	-1.56	0
168	SLU 18	-6	-1	2732	0.77	-0.7	-0.01
168	SLU 19	-27	-1	2662	1.3	-1.61	0
168	SLU 20	-6	-1	2732	0.77	-0.7	-0.01
168	SLU 21	-27	-1	2662	1.3	-1.61	0
168	SLU 22	-5	0	2288	0.75	-0.61	-0.01
168	SLU 23	-42	-2	2170	1.65	-2.12	0
168	SLU 24	-5	0	2288	0.75	-0.61	-0.01
168	SLU 25	-27	-1	2217	1.29	-1.52	0
168	SLU 26	-42	-2	2170	1.65	-2.12	0
168	SLU 27	-5	0	2288	0.75	-0.61	-0.01
168	SLU 28	-27	-1	2217	1.29	-1.52	0
168	SLU 29	-5	0	2288	0.75	-0.61	-0.01
168	SLU 30	-27	-1	2217	1.29	-1.52	0
168	SLU 31	-42	-2	2655	1.66	-2.22	0
168	SLU 32	-6	-1	2773	0.77	-0.71	-0.01
168	SLU 33	-27	-1	2702	1.3	-1.61	0
168	SLU 34	-42	-2	2655	1.66	-2.22	0
168	SLU 35	-6	-1	2773	0.77	-0.71	-0.01
168	SLU 36	-27	-1	2702	1.3	-1.61	0
168	SLU 37	-6	-1	2773	0.77	-0.71	-0.01
168	SLU 38	-27	-1	2702	1.3	-1.61	0
168	SLU 39	-6	-1	2981	0.77	-0.75	-0.01
168	SLU 40	-28	-2	2910	1.31	-1.65	0
168	SLU 41	-6	-1	2981	0.77	-0.75	-0.01
168	SLU 42	-28	-2	2910	1.31	-1.65	0
168	SLU 43	-6	0	2565	0.96	-0.72	-0.01
168	SLU 44	-43	-1	2448	1.86	-2.23	0
168	SLU 45	-6	0	2565	0.96	-0.72	-0.01
168	SLU 46	-28	-1	2495	1.5	-1.62	0
168	SLU 47	-43	-1	2448	1.86	-2.23	0
168	SLU 48	-6	0	2565	0.96	-0.72	-0.01
168	SLU 49	-28	-1	2495	1.5	-1.62	0
168	SLU 50	-6	0	2565	0.96	-0.72	-0.01
168	SLU 51	-28	-1	2495	1.5	-1.62	0
168	SLU 52	-43	-2	2933	1.87	-2.32	0



Nodo Ind.	Cont. N.br.	Reazione a traslazione				Reazione a rotazione		
		x	y	z		x	y	z
168	SLU 53	-7	0	3051	0.98	-0.81	-0.01	-0.01
168	SLU 54	-29	-1	2980	1.52	-1.72	-0.01	-0.01
168	SLU 55	-43	-2	2933	1.87	-2.32	0	0
168	SLU 56	-7	0	3051	0.98	-0.81	-0.01	-0.01
168	SLU 57	-29	-1	2980	1.52	-1.72	-0.01	-0.01
168	SLU 58	-7	0	3051	0.98	-0.81	-0.01	-0.01
168	SLU 59	-29	-1	2980	1.52	-1.72	-0.01	-0.01
168	SLU 60	-7	0	3258	0.99	-0.85	-0.01	-0.01
168	SLU 61	-29	-1	3188	1.52	-1.76	-0.01	-0.01
168	SLU 62	-7	0	3258	0.99	-0.85	-0.01	-0.01
168	SLU 63	-29	-1	3188	1.52	-1.76	-0.01	-0.01
168	SLU 64	-6	0	2814	0.97	-0.76	-0.01	-0.01
168	SLU 65	-43	-1	2697	1.87	-2.28	0	0
168	SLU 66	-6	0	2814	0.97	-0.76	-0.01	-0.01
168	SLU 67	-28	-1	2744	1.51	-1.67	-0.01	-0.01
168	SLU 68	-43	-1	2697	1.87	-2.28	0	0
168	SLU 69	-6	0	2814	0.97	-0.76	-0.01	-0.01
168	SLU 70	-28	-1	2744	1.51	-1.67	-0.01	-0.01
168	SLU 71	-6	0	2814	0.97	-0.76	-0.01	-0.01
168	SLU 72	-28	-1	2744	1.51	-1.67	-0.01	-0.01
168	SLU 73	-43	-2	3182	1.88	-2.37	0	0
168	SLU 74	-7	0	3299	0.99	-0.86	-0.01	-0.01
168	SLU 75	-29	-1	3229	1.52	-1.77	-0.01	-0.01
168	SLU 76	-43	-2	3182	1.88	-2.37	0	0
168	SLU 77	-7	0	3299	0.99	-0.86	-0.01	-0.01
168	SLU 78	-29	-1	3229	1.52	-1.77	-0.01	-0.01
168	SLU 79	-7	0	3299	0.99	-0.86	-0.01	-0.01
168	SLU 80	-29	-1	3229	1.52	-1.77	-0.01	-0.01
168	SLU 81	-7	-1	3507	0.99	-0.9	-0.01	-0.01
168	SLU 82	-29	-1	3437	1.53	-1.81	-0.01	-0.01
168	SLU 83	-7	-1	3507	0.99	-0.9	-0.01	-0.01
168	SLU 84	-29	-1	3437	1.53	-1.81	-0.01	-0.01
168	SLE RA 1	-5	0	2110	0.75	-0.58	-0.01	-0.01
168	SLE RA 2	-29	-1	2032	1.34	-1.58	0	0
168	SLE RA 3	-5	0	2110	0.75	-0.58	-0.01	-0.01
168	SLE RA 4	-19	-1	2063	1.1	-1.18	0	0
168	SLE RA 5	-29	-1	2032	1.34	-1.58	0	0
168	SLE RA 6	-5	0	2110	0.75	-0.58	-0.01	-0.01
168	SLE RA 7	-19	-1	2063	1.1	-1.18	0	0
168	SLE RA 8	-5	0	2110	0.75	-0.58	-0.01	-0.01
168	SLE RA 9	-19	-1	2063	1.1	-1.18	0	0
168	SLE RA 10	-30	-1	2355	1.35	-1.65	0	0
168	SLE RA 11	-5	0	2434	0.76	-0.64	-0.01	-0.01
168	SLE RA 12	-20	-1	2387	1.11	-1.24	0	0
168	SLE RA 13	-30	-1	2355	1.35	-1.65	0	0
168	SLE RA 14	-5	0	2434	0.76	-0.64	-0.01	-0.01
168	SLE RA 15	-20	-1	2387	1.11	-1.24	0	0
168	SLE RA 16	-5	0	2434	0.76	-0.64	-0.01	-0.01
168	SLE RA 17	-20	-1	2387	1.11	-1.24	0	0
168	SLE RA 18	-5	0	2572	0.76	-0.67	-0.01	-0.01
168	SLE RA 19	-20	-1	2525	1.12	-1.27	0	0
168	SLE RA 20	-5	0	2572	0.76	-0.67	-0.01	-0.01
168	SLE RA 21	-20	-1	2525	1.12	-1.27	0	0
168	SLE FR 1	-5	0	2110	0.75	-0.58	-0.01	-0.01
168	SLE FR 2	-10	0	2094	0.87	-0.78	-0.01	-0.01
168	SLE FR 3	-5	0	2110	0.75	-0.58	-0.01	-0.01
168	SLE FR 4	-10	0	2233	0.87	-0.81	-0.01	-0.01
168	SLE FR 5	-5	0	2249	0.75	-0.6	-0.01	-0.01
168	SLE FR 6	-5	0	2341	0.75	-0.62	-0.01	-0.01
168	SLE QP 1	-5	0	2110	0.75	-0.58	-0.01	-0.01
168	SLE QP 2	-5	0	2249	0.75	-0.6	-0.01	-0.01
168	SLD 1	153	-7	2244	4.26	6.47	0.01	0.01
168	SLD 2	153	-7	2244	4.26	6.47	0.01	0.01
168	SLD 3	204	0	2453	-0.24	8.43	0	0
168	SLD 4	204	0	2453	-0.24	8.43	0	0
168	SLD 5	-36	-11	1930	8.63	-1.47	0.02	0.02
168	SLD 6	-36	-11	1930	8.63	-1.47	0.02	0.02
168	SLD 7	136	9	2627	-6.37	5.09	-0.03	-0.03
168	SLD 8	136	9	2627	-6.37	5.09	-0.03	-0.03
168	SLD 9	-147	-9	1870	7.87	-6.3	0.01	0.01
168	SLD 10	-147	-9	1870	7.87	-6.3	0.01	0.01
168	SLD 11	26	11	2567	-7.13	0.26	-0.03	-0.03
168	SLD 12	26	11	2567	-7.13	0.26	-0.03	-0.03
168	SLD 13	-215	0	2044	1.74	-9.64	-0.01	-0.01
168	SLD 14	-215	0	2044	1.74	-9.64	-0.01	-0.01
168	SLD 15	-163	6	2253	-2.76	-7.67	-0.02	-0.02
168	SLD 16	-163	6	2253	-2.76	-7.67	-0.02	-0.02
168	SLV 1	369	-17	2244	9.48	16.16	0.04	0.04
168	SLV 2	369	-17	2244	9.48	16.16	0.04	0.04
168	SLV 3	493	-1	2758	-1.7	20.88	0	0
168	SLV 4	493	-1	2758	-1.7	20.88	0	0
168	SLV 5	-80	-29	1467	20.33	-2.73	0.06	0.06
168	SLV 6	-80	-29	1467	20.33	-2.73	0.06	0.06
168	SLV 7	331	24	3182	-16.95	13	-0.06	-0.06
168	SLV 8	331	24	3182	-16.95	13	-0.06	-0.06
168	SLV 9	-342	-24	1316	18.45	-14.21	0.05	0.05
168	SLV 10	-342	-24	1316	18.45	-14.21	0.05	0.05
168	SLV 11	70	29	3030	-18.83	1.53	-0.08	-0.08



Nodo Ind.	Cont. N.br.	Reazione a traslazione			Reazione a rotazione		
		x	y	z	x	y	z
168	SLV 12	70	29	3030	-18.83	1.53	-0.08
168	SLV 13	-503	1	1739	3.2	-22.08	-0.01
168	SLV 14	-503	1	1739	3.2	-22.08	-0.01
168	SLV 15	-379	16	2254	-7.98	-17.37	-0.05
168	SLV 16	-379	16	2254	-7.98	-17.37	-0.05
169	SLU 1	-57	-212	2823	8	-2.54	0
169	SLU 2	-80	-175	2632	6.53	-3.47	0
169	SLU 3	-57	-212	2823	8	-2.54	0
169	SLU 4	-71	-190	2709	7.12	-3.1	0
169	SLU 5	-80	-175	2632	6.53	-3.47	0
169	SLU 6	-57	-212	2823	8	-2.54	0
169	SLU 7	-71	-190	2709	7.12	-3.1	0
169	SLU 8	-57	-212	2823	8	-2.54	0
169	SLU 9	-71	-190	2709	7.12	-3.1	0
169	SLU 10	-86	-211	3285	7.81	-3.7	0
169	SLU 11	-62	-249	3476	9.28	-2.77	0
169	SLU 12	-76	-226	3361	8.4	-3.33	0
169	SLU 13	-86	-211	3285	7.81	-3.7	0
169	SLU 14	-62	-249	3476	9.28	-2.77	0
169	SLU 15	-76	-226	3361	8.4	-3.33	0
169	SLU 16	-62	-249	3476	9.28	-2.77	0
169	SLU 17	-76	-226	3361	8.4	-3.33	0
169	SLU 18	-65	-265	3755	9.83	-2.86	0
169	SLU 19	-79	-242	3641	8.95	-3.42	0
169	SLU 20	-65	-265	3755	9.83	-2.86	0
169	SLU 21	-79	-242	3641	8.95	-3.42	0
169	SLU 22	-60	-231	3158	8.66	-2.66	0
169	SLU 23	-83	-193	2967	7.19	-3.59	0
169	SLU 24	-60	-231	3158	8.66	-2.66	0
169	SLU 25	-74	-209	3043	7.78	-3.21	0
169	SLU 26	-83	-193	2967	7.19	-3.59	0
169	SLU 27	-60	-231	3158	8.66	-2.66	0
169	SLU 28	-74	-209	3043	7.78	-3.21	0
169	SLU 29	-60	-231	3158	8.66	-2.66	0
169	SLU 30	-74	-209	3043	7.78	-3.21	0
169	SLU 31	-89	-230	3619	8.47	-3.81	0
169	SLU 32	-65	-268	3810	9.94	-2.88	0
169	SLU 33	-79	-245	3695	9.05	-3.44	0
169	SLU 34	-89	-230	3619	8.47	-3.81	0
169	SLU 35	-65	-268	3810	9.94	-2.88	0
169	SLU 36	-79	-245	3695	9.05	-3.44	0
169	SLU 37	-65	-268	3810	9.94	-2.88	0
169	SLU 38	-79	-245	3695	9.05	-3.44	0
169	SLU 39	-68	-284	4090	10.48	-2.98	0
169	SLU 40	-82	-261	3975	9.6	-3.54	0
169	SLU 41	-68	-284	4090	10.48	-2.98	0
169	SLU 42	-82	-261	3975	9.6	-3.54	0
169	SLU 43	-73	-270	3556	10.18	-3.26	0
169	SLU 44	-96	-232	3365	8.71	-4.19	0
169	SLU 45	-73	-270	3556	10.18	-3.26	0
169	SLU 46	-87	-247	3441	9.3	-3.82	0
169	SLU 47	-96	-232	3365	8.71	-4.19	0
169	SLU 48	-73	-270	3556	10.18	-3.26	0
169	SLU 49	-87	-247	3441	9.3	-3.82	0
169	SLU 50	-73	-270	3556	10.18	-3.26	0
169	SLU 51	-87	-247	3441	9.3	-3.82	0
169	SLU 52	-102	-269	4017	9.99	-4.42	0
169	SLU 53	-78	-306	4208	11.46	-3.49	0
169	SLU 54	-92	-284	4093	10.58	-4.05	0
169	SLU 55	-102	-269	4017	9.99	-4.42	0
169	SLU 56	-78	-306	4208	11.46	-3.49	0
169	SLU 57	-92	-284	4093	10.58	-4.05	0
169	SLU 58	-78	-306	4208	11.46	-3.49	0
169	SLU 59	-92	-284	4093	10.58	-4.05	0
169	SLU 60	-81	-322	4488	12.01	-3.59	0
169	SLU 61	-95	-299	4373	11.12	-4.14	0
169	SLU 62	-81	-322	4488	12.01	-3.59	0
169	SLU 63	-95	-299	4373	11.12	-4.14	0
169	SLU 64	-76	-289	3890	10.84	-3.38	0
169	SLU 65	-99	-251	3699	9.37	-4.31	0
169	SLU 66	-76	-289	3890	10.84	-3.38	0
169	SLU 67	-90	-266	3776	9.95	-3.94	0
169	SLU 68	-99	-251	3699	9.37	-4.31	0
169	SLU 69	-76	-289	3890	10.84	-3.38	0
169	SLU 70	-90	-266	3776	9.95	-3.94	0
169	SLU 71	-76	-289	3890	10.84	-3.38	0
169	SLU 72	-90	-266	3776	9.95	-3.94	0
169	SLU 73	-105	-287	4351	10.64	-4.54	0
169	SLU 74	-81	-325	4542	12.11	-3.61	0
169	SLU 75	-95	-303	4428	11.23	-4.16	0
169	SLU 76	-105	-287	4351	10.64	-4.54	0
169	SLU 77	-81	-325	4542	12.11	-3.61	0
169	SLU 78	-95	-303	4428	11.23	-4.16	0
169	SLU 79	-81	-325	4542	12.11	-3.61	0
169	SLU 80	-95	-303	4428	11.23	-4.16	0
169	SLU 81	-84	-341	4822	12.66	-3.7	0
169	SLU 82	-98	-318	4707	11.78	-4.26	0
169	SLU 83	-84	-341	4822	12.66	-3.7	0



Nodo Ind.	Cont. N.br.	Reazione a traslazione			Reazione a rotazione		
		x	y	z	x	y	z
169	SLU 84	-98	-318	4707	11.78	-4.26	0
169	SLE RA 1	-58	-218	2919	8.19	-2.57	0
169	SLE RA 2	-73	-193	2792	7.21	-3.19	0
169	SLE RA 3	-58	-218	2919	8.19	-2.57	0
169	SLE RA 4	-67	-203	2843	7.6	-2.94	0
169	SLE RA 5	-73	-193	2792	7.21	-3.19	0
169	SLE RA 6	-58	-218	2919	8.19	-2.57	0
169	SLE RA 7	-67	-203	2843	7.6	-2.94	0
169	SLE RA 8	-58	-218	2919	8.19	-2.57	0
169	SLE RA 9	-67	-203	2843	7.6	-2.94	0
169	SLE RA 10	-77	-217	3226	8.06	-3.34	0
169	SLE RA 11	-61	-242	3354	9.04	-2.72	0
169	SLE RA 12	-71	-227	3277	8.45	-3.1	0
169	SLE RA 13	-77	-217	3226	8.06	-3.34	0
169	SLE RA 14	-61	-242	3354	9.04	-2.72	0
169	SLE RA 15	-71	-227	3277	8.45	-3.1	0
169	SLE RA 16	-61	-242	3354	9.04	-2.72	0
169	SLE RA 17	-71	-227	3277	8.45	-3.1	0
169	SLE RA 18	-63	-253	3540	9.41	-2.79	0
169	SLE RA 19	-72	-238	3464	8.82	-3.16	0
169	SLE RA 20	-63	-253	3540	9.41	-2.79	0
169	SLE RA 21	-72	-238	3464	8.82	-3.16	0
169	SLE FR 1	-58	-218	2919	8.19	-2.57	0
169	SLE FR 2	-61	-213	2894	7.99	-2.7	0
169	SLE FR 3	-58	-218	2919	8.19	-2.57	0
169	SLE FR 4	-62	-223	3080	8.36	-2.76	0
169	SLE FR 5	-59	-228	3105	8.56	-2.64	0
169	SLE FR 6	-60	-235	3230	8.8	-2.68	0
169	SLE QP 1	-58	-218	2919	8.19	-2.57	0
169	SLE QP 2	-59	-228	3105	8.56	-2.64	0
169	SLD 1	102	-150	3098	5.29	4.39	0.02
169	SLD 2	102	-150	3098	5.29	4.39	0.02
169	SLD 3	136	-232	3434	8.87	5.86	0
169	SLD 4	136	-232	3434	8.87	5.86	0
169	SLD 5	-63	-80	2594	2.16	-2.75	0.02
169	SLD 6	-63	-80	2594	2.16	-2.75	0.02
169	SLD 7	52	-355	3713	14.07	2.13	-0.02
169	SLD 8	52	-355	3713	14.07	2.13	-0.02
169	SLD 9	-170	-102	2497	3.04	-7.41	0.01
169	SLD 10	-170	-102	2497	3.04	-7.41	0.01
169	SLD 11	-55	-377	3617	14.95	-2.52	-0.03
169	SLD 12	-55	-377	3617	14.95	-2.52	-0.03
169	SLD 13	-254	-224	2777	8.24	-11.13	-0.01
169	SLD 14	-254	-224	2777	8.24	-11.13	-0.01
169	SLD 15	-220	-307	3113	11.82	-9.67	-0.02
169	SLD 16	-220	-307	3113	11.82	-9.67	-0.02
169	SLV 1	320	-40	3112	0.78	13.91	0.04
169	SLV 2	320	-40	3112	0.78	13.91	0.04
169	SLV 3	405	-232	3907	9.09	17.54	0.01
169	SLV 4	405	-232	3907	9.09	17.54	0.01
169	SLV 5	-75	119	1902	-6.37	-3.17	0.06
169	SLV 6	-75	119	1902	-6.37	-3.17	0.06
169	SLV 7	209	-520	4551	21.31	8.91	-0.04
169	SLV 8	209	-520	4551	21.31	8.91	-0.04
169	SLV 9	-327	64	1660	-4.19	-14.18	0.04
169	SLV 10	-327	64	1660	-4.19	-14.18	0.04
169	SLV 11	-44	-576	4309	23.48	-2.11	-0.06
169	SLV 12	-44	-576	4309	23.48	-2.11	-0.06
169	SLV 13	-523	-225	2304	8.03	-22.81	-0.02
169	SLV 14	-523	-225	2304	8.03	-22.81	-0.02
169	SLV 15	-438	-416	3099	16.33	-19.19	-0.05
169	SLV 16	-438	-416	3099	16.33	-19.19	-0.05
170	SLU 1	-113	-1	2074	1.02	-4.47	0
170	SLU 2	-120	-1	1965	-0.37	-4.99	0
170	SLU 3	-113	-1	2074	1.02	-4.47	0
170	SLU 4	-117	-1	2009	0.19	-4.78	0
170	SLU 5	-120	-1	1965	-0.37	-4.99	0
170	SLU 6	-113	-1	2074	1.02	-4.47	0
170	SLU 7	-117	-1	2009	0.19	-4.78	0
170	SLU 8	-113	-1	2074	1.02	-4.47	0
170	SLU 9	-117	-1	2009	0.19	-4.78	0
170	SLU 10	-135	-2	2468	-0.24	-5.74	0
170	SLU 11	-128	-2	2577	1.15	-5.21	0
170	SLU 12	-132	-2	2512	0.31	-5.53	0
170	SLU 13	-135	-2	2468	-0.24	-5.74	0
170	SLU 14	-128	-2	2577	1.15	-5.21	0
170	SLU 15	-132	-2	2512	0.31	-5.53	0
170	SLU 16	-128	-2	2577	1.15	-5.21	0
170	SLU 17	-132	-2	2512	0.31	-5.53	0
170	SLU 18	-135	-3	2793	1.2	-5.53	0
170	SLU 19	-139	-3	2727	0.37	-5.85	0
170	SLU 20	-135	-3	2793	1.2	-5.53	0
170	SLU 21	-139	-3	2727	0.37	-5.85	0
170	SLU 22	-121	-2	2332	1.09	-4.85	0
170	SLU 23	-127	-2	2223	-0.3	-5.37	0
170	SLU 24	-121	-2	2332	1.09	-4.85	0
170	SLU 25	-125	-2	2267	0.25	-5.16	0
170	SLU 26	-127	-2	2223	-0.3	-5.37	0



Nodo Ind.	Cont. N.br.	Reazione a traslazione			Reazione a rotazione		
		x	y	z	x	y	z
170	SLU 27	-121	-2	2332	1.09	-4.85	0
170	SLU 28	-125	-2	2267	0.25	-5.16	0
170	SLU 29	-121	-2	2332	1.09	-4.85	0
170	SLU 30	-125	-2	2267	0.25	-5.16	0
170	SLU 31	-143	-3	2726	-0.18	-6.12	0
170	SLU 32	-136	-3	2835	1.21	-5.6	0
170	SLU 33	-140	-3	2770	0.38	-5.91	0
170	SLU 34	-143	-3	2726	-0.18	-6.12	0
170	SLU 35	-136	-3	2835	1.21	-5.6	0
170	SLU 36	-140	-3	2770	0.38	-5.91	0
170	SLU 37	-136	-3	2835	1.21	-5.6	0
170	SLU 38	-140	-3	2770	0.38	-5.91	0
170	SLU 39	-143	-3	3051	1.26	-5.92	0
170	SLU 40	-147	-3	2985	0.43	-6.23	0
170	SLU 41	-143	-3	3051	1.26	-5.92	0
170	SLU 42	-147	-3	2985	0.43	-6.23	0
170	SLU 43	-144	-2	2608	1.31	-5.68	0.01
170	SLU 44	-151	-2	2499	-0.08	-6.2	0
170	SLU 45	-144	-2	2608	1.31	-5.68	0.01
170	SLU 46	-148	-2	2543	0.47	-5.99	0
170	SLU 47	-151	-2	2499	-0.08	-6.2	0
170	SLU 48	-144	-2	2608	1.31	-5.68	0.01
170	SLU 49	-148	-2	2543	0.47	-5.99	0
170	SLU 50	-144	-2	2608	1.31	-5.68	0.01
170	SLU 51	-148	-2	2543	0.47	-5.99	0
170	SLU 52	-166	-2	3002	0.04	-6.95	0
170	SLU 53	-159	-3	3111	1.43	-6.42	0
170	SLU 54	-163	-3	3046	0.6	-6.74	0
170	SLU 55	-166	-2	3002	0.04	-6.95	0
170	SLU 56	-159	-3	3111	1.43	-6.42	0
170	SLU 57	-163	-3	3046	0.6	-6.74	0
170	SLU 58	-159	-3	3111	1.43	-6.42	0
170	SLU 59	-163	-3	3046	0.6	-6.74	0
170	SLU 60	-166	-3	3327	1.48	-6.74	0
170	SLU 61	-170	-3	3261	0.65	-7.06	0
170	SLU 62	-166	-3	3327	1.48	-6.74	0
170	SLU 63	-170	-3	3261	0.65	-7.06	0
170	SLU 64	-152	-2	2866	1.37	-6.06	0.01
170	SLU 65	-159	-2	2757	-0.02	-6.58	0
170	SLU 66	-152	-2	2866	1.37	-6.06	0.01
170	SLU 67	-156	-2	2801	0.54	-6.37	0
170	SLU 68	-159	-2	2757	-0.02	-6.58	0
170	SLU 69	-152	-2	2866	1.37	-6.06	0.01
170	SLU 70	-156	-2	2801	0.54	-6.37	0
170	SLU 71	-152	-2	2866	1.37	-6.06	0.01
170	SLU 72	-156	-2	2801	0.54	-6.37	0
170	SLU 73	-174	-3	3260	0.1	-7.33	0
170	SLU 74	-167	-3	3369	1.49	-6.81	0
170	SLU 75	-171	-3	3304	0.66	-7.12	0
170	SLU 76	-174	-3	3260	0.1	-7.33	0
170	SLU 77	-167	-3	3369	1.49	-6.81	0
170	SLU 78	-171	-3	3304	0.66	-7.12	0
170	SLU 79	-167	-3	3369	1.49	-6.81	0
170	SLU 80	-171	-3	3304	0.66	-7.12	0
170	SLU 81	-174	-3	3585	1.55	-7.12	0
170	SLU 82	-178	-3	3519	0.71	-7.44	0
170	SLU 83	-174	-3	3585	1.55	-7.12	0
170	SLU 84	-178	-3	3519	0.71	-7.44	0
170	SLE RA 1	-115	-2	2148	1.04	-4.58	0
170	SLE RA 2	-120	-2	2075	0.11	-4.93	0
170	SLE RA 3	-115	-2	2148	1.04	-4.58	0
170	SLE RA 4	-118	-2	2104	0.48	-4.79	0
170	SLE RA 5	-120	-2	2075	0.11	-4.93	0
170	SLE RA 6	-115	-2	2148	1.04	-4.58	0
170	SLE RA 7	-118	-2	2104	0.48	-4.79	0
170	SLE RA 8	-115	-2	2148	1.04	-4.58	0
170	SLE RA 9	-118	-2	2104	0.48	-4.79	0
170	SLE RA 10	-130	-2	2411	0.2	-5.42	0
170	SLE RA 11	-125	-2	2483	1.12	-5.07	0
170	SLE RA 12	-128	-2	2440	0.57	-5.28	0
170	SLE RA 13	-130	-2	2411	0.2	-5.42	0
170	SLE RA 14	-125	-2	2483	1.12	-5.07	0
170	SLE RA 15	-128	-2	2440	0.57	-5.28	0
170	SLE RA 16	-125	-2	2483	1.12	-5.07	0
170	SLE RA 17	-128	-2	2440	0.57	-5.28	0
170	SLE RA 18	-130	-2	2627	1.16	-5.29	0
170	SLE RA 19	-132	-2	2583	0.6	-5.5	0
170	SLE RA 20	-130	-2	2627	1.16	-5.29	0
170	SLE RA 21	-132	-2	2583	0.6	-5.5	0
170	SLE FR 1	-115	-2	2148	1.04	-4.58	0
170	SLE FR 2	-116	-2	2133	0.85	-4.65	0
170	SLE FR 3	-115	-2	2148	1.04	-4.58	0
170	SLE FR 4	-120	-2	2277	0.89	-4.86	0
170	SLE FR 5	-119	-2	2292	1.08	-4.79	0
170	SLE FR 6	-122	-2	2387	1.1	-4.93	0
170	SLE QP 1	-115	-2	2148	1.04	-4.58	0
170	SLE QP 2	-119	-2	2292	1.08	-4.79	0
170	SLD 1	86	4	2308	-2.89	3.96	0



Nodo Ind.	Cont. N.br.	Reazione a traslazione			Reazione a rotazione		
		x	y	z	x	y	z
170	SLD 2	86	4	2308	-2.89	3.96	0
170	SLD 3	33	-2	2488	1.58	2.1	0.02
170	SLD 4	33	-2	2488	1.58	2.1	0.02
170	SLD 5	23	9	2025	-6.89	0.67	-0.03
170	SLD 6	23	9	2025	-6.89	0.67	-0.03
170	SLD 7	-155	-11	2622	8	-5.56	0.04
170	SLD 8	-155	-11	2622	8	-5.56	0.04
170	SLD 9	-84	7	1961	-5.85	-4.03	-0.03
170	SLD 10	-84	7	1961	-5.85	-4.03	-0.03
170	SLD 11	-262	-13	2558	9.04	-10.25	0.04
170	SLD 12	-262	-13	2558	9.04	-10.25	0.04
170	SLD 13	-272	-2	2096	0.57	-11.68	-0.02
170	SLD 14	-272	-2	2096	0.57	-11.68	-0.02
170	SLD 15	-325	-8	2275	5.04	-13.55	0.01
170	SLD 16	-325	-8	2275	5.04	-13.55	0.01
170	SLV 1	368	12	2351	-8.93	15.95	0
170	SLV 2	368	12	2351	-8.93	15.95	0
170	SLV 3	239	-2	2770	2.39	11.48	0.05
170	SLV 4	239	-2	2770	2.39	11.48	0.05
170	SLV 5	222	24	1673	-19.09	8.22	-0.07
170	SLV 6	222	24	1673	-19.09	8.22	-0.07
170	SLV 7	-207	-23	3072	18.63	-6.7	0.09
170	SLV 8	-207	-23	3072	18.63	-6.7	0.09
170	SLV 9	-32	20	1512	-16.48	-2.89	-0.08
170	SLV 10	-32	20	1512	-16.48	-2.89	-0.08
170	SLV 11	-461	-28	2910	21.24	-17.8	0.08
170	SLV 12	-461	-28	2910	21.24	-17.8	0.08
170	SLV 13	-478	-2	1813	-0.24	-21.06	-0.04
170	SLV 14	-478	-2	1813	-0.24	-21.06	-0.04
170	SLV 15	-607	-16	2233	11.08	-25.53	0.01
170	SLV 16	-607	-16	2233	11.08	-25.53	0.01
171	SLU 1	-156	-1	2016	1.39	-6.58	-0.01
171	SLU 2	-155	-1	1940	-1.38	-6.61	0
171	SLU 3	-156	-1	2016	1.39	-6.58	-0.01
171	SLU 4	-155	-1	1970	-0.27	-6.59	-0.01
171	SLU 5	-155	-1	1940	-1.38	-6.61	0
171	SLU 6	-156	-1	2016	1.39	-6.58	-0.01
171	SLU 7	-155	-1	1970	-0.27	-6.59	-0.01
171	SLU 8	-156	-1	2016	1.39	-6.58	-0.01
171	SLU 9	-155	-1	1970	-0.27	-6.59	-0.01
171	SLU 10	-181	-1	2442	-1.42	-7.65	0
171	SLU 11	-182	-2	2518	1.35	-7.63	-0.01
171	SLU 12	-182	-1	2472	-0.32	-7.64	-0.01
171	SLU 13	-181	-1	2442	-1.42	-7.65	0
171	SLU 14	-182	-2	2518	1.35	-7.63	-0.01
171	SLU 15	-182	-1	2472	-0.32	-7.64	-0.01
171	SLU 16	-182	-2	2518	1.35	-7.63	-0.01
171	SLU 17	-182	-1	2472	-0.32	-7.64	-0.01
171	SLU 18	-194	-2	2733	1.33	-8.07	-0.01
171	SLU 19	-193	-1	2687	-0.34	-8.09	-0.01
171	SLU 20	-194	-2	2733	1.33	-8.07	-0.01
171	SLU 21	-193	-1	2687	-0.34	-8.09	-0.01
171	SLU 22	-170	-1	2273	1.37	-7.12	-0.01
171	SLU 23	-168	-1	2197	-1.4	-7.14	0
171	SLU 24	-170	-1	2273	1.37	-7.12	-0.01
171	SLU 25	-169	-1	2228	-0.29	-7.13	-0.01
171	SLU 26	-168	-1	2197	-1.4	-7.14	0
171	SLU 27	-170	-1	2273	1.37	-7.12	-0.01
171	SLU 28	-169	-1	2228	-0.29	-7.13	-0.01
171	SLU 29	-170	-1	2273	1.37	-7.12	-0.01
171	SLU 30	-169	-1	2228	-0.29	-7.13	-0.01
171	SLU 31	-194	-1	2699	-1.45	-8.19	0
171	SLU 32	-196	-2	2775	1.32	-8.16	-0.01
171	SLU 33	-195	-1	2730	-0.34	-8.18	-0.01
171	SLU 34	-194	-1	2699	-1.45	-8.19	0
171	SLU 35	-196	-2	2775	1.32	-8.16	-0.01
171	SLU 36	-195	-1	2730	-0.34	-8.18	-0.01
171	SLU 37	-196	-2	2775	1.32	-8.16	-0.01
171	SLU 38	-195	-1	2730	-0.34	-8.18	-0.01
171	SLU 39	-207	-2	2991	1.3	-8.61	-0.01
171	SLU 40	-206	-2	2945	-0.36	-8.63	-0.01
171	SLU 41	-207	-2	2991	1.3	-8.61	-0.01
171	SLU 42	-206	-2	2945	-0.36	-8.63	-0.01
171	SLU 43	-199	-2	2532	1.82	-8.37	-0.02
171	SLU 44	-197	-1	2456	-0.95	-8.4	-0.01
171	SLU 45	-199	-2	2532	1.82	-8.37	-0.02
171	SLU 46	-198	-1	2487	0.15	-8.38	-0.01
171	SLU 47	-197	-1	2456	-0.95	-8.4	-0.01
171	SLU 48	-199	-2	2532	1.82	-8.37	-0.02
171	SLU 49	-198	-1	2487	0.15	-8.38	-0.01
171	SLU 50	-199	-2	2532	1.82	-8.37	-0.02
171	SLU 51	-198	-1	2487	0.15	-8.38	-0.01
171	SLU 52	-223	-1	2958	-1	-9.44	-0.01
171	SLU 53	-225	-2	3034	1.77	-9.41	-0.02
171	SLU 54	-224	-2	2989	0.11	-9.43	-0.01
171	SLU 55	-223	-1	2958	-1	-9.44	-0.01
171	SLU 56	-225	-2	3034	1.77	-9.41	-0.02
171	SLU 57	-224	-2	2989	0.11	-9.43	-0.01



Nodo Ind.	Cont. N.br.	Reazione a traslazione			Reazione a rotazione		
		x	y	z	x	y	z
171	SLU 58	-225	-2	3034	1.77	-9.41	-0.02
171	SLU 59	-224	-2	2989	0.11	-9.43	-0.01
171	SLU 60	-236	-2	3250	1.75	-9.86	-0.02
171	SLU 61	-235	-2	3204	0.09	-9.88	-0.01
171	SLU 62	-236	-2	3250	1.75	-9.86	-0.02
171	SLU 63	-235	-2	3204	0.09	-9.88	-0.01
171	SLU 64	-212	-2	2790	1.79	-8.9	-0.02
171	SLU 65	-211	-1	2714	-0.98	-8.93	-0.01
171	SLU 66	-212	-2	2790	1.79	-8.9	-0.02
171	SLU 67	-211	-1	2744	0.13	-8.92	-0.01
171	SLU 68	-211	-1	2714	-0.98	-8.93	-0.01
171	SLU 69	-212	-2	2790	1.79	-8.9	-0.02
171	SLU 70	-211	-1	2744	0.13	-8.92	-0.01
171	SLU 71	-212	-2	2790	1.79	-8.9	-0.02
171	SLU 72	-211	-1	2744	0.13	-8.92	-0.01
171	SLU 73	-237	-2	3216	-1.02	-9.98	-0.01
171	SLU 74	-238	-2	3292	1.75	-9.95	-0.02
171	SLU 75	-237	-2	3246	0.09	-9.97	-0.01
171	SLU 76	-237	-2	3216	-1.02	-9.98	-0.01
171	SLU 77	-238	-2	3292	1.75	-9.95	-0.02
171	SLU 78	-237	-2	3246	0.09	-9.97	-0.01
171	SLU 79	-238	-2	3292	1.75	-9.95	-0.02
171	SLU 80	-237	-2	3246	0.09	-9.97	-0.01
171	SLU 81	-249	-2	3507	1.73	-10.4	-0.02
171	SLU 82	-249	-2	3461	0.07	-10.42	-0.01
171	SLU 83	-249	-2	3507	1.73	-10.4	-0.02
171	SLU 84	-249	-2	3461	0.07	-10.42	-0.01
171	SLE RA 1	-160	-1	2089	1.38	-6.73	-0.01
171	SLE RA 2	-159	-1	2039	-0.46	-6.75	-0.01
171	SLE RA 3	-160	-1	2089	1.38	-6.73	-0.01
171	SLE RA 4	-160	-1	2059	0.28	-6.74	-0.01
171	SLE RA 5	-159	-1	2039	-0.46	-6.75	-0.01
171	SLE RA 6	-160	-1	2089	1.38	-6.73	-0.01
171	SLE RA 7	-160	-1	2059	0.28	-6.74	-0.01
171	SLE RA 8	-160	-1	2089	1.38	-6.73	-0.01
171	SLE RA 9	-160	-1	2059	0.28	-6.74	-0.01
171	SLE RA 10	-177	-1	2373	-0.49	-7.45	-0.01
171	SLE RA 11	-178	-2	2424	1.35	-7.43	-0.01
171	SLE RA 12	-177	-1	2394	0.25	-7.44	-0.01
171	SLE RA 13	-177	-1	2373	-0.49	-7.45	-0.01
171	SLE RA 14	-178	-2	2424	1.35	-7.43	-0.01
171	SLE RA 15	-177	-1	2394	0.25	-7.44	-0.01
171	SLE RA 16	-178	-2	2424	1.35	-7.43	-0.01
171	SLE RA 17	-177	-1	2394	0.25	-7.44	-0.01
171	SLE RA 18	-185	-2	2568	1.34	-7.73	-0.01
171	SLE RA 19	-184	-1	2537	0.23	-7.74	-0.01
171	SLE RA 20	-185	-2	2568	1.34	-7.73	-0.01
171	SLE RA 21	-184	-1	2537	0.23	-7.74	-0.01
171	SLE FR 1	-160	-1	2089	1.38	-6.73	-0.01
171	SLE FR 2	-160	-1	2079	1.01	-6.74	-0.01
171	SLE FR 3	-160	-1	2089	1.38	-6.73	-0.01
171	SLE FR 4	-167	-1	2223	1	-7.03	-0.01
171	SLE FR 5	-168	-1	2233	1.37	-7.03	-0.01
171	SLE FR 6	-173	-1	2328	1.36	-7.23	-0.01
171	SLE QP 1	-160	-1	2089	1.38	-6.73	-0.01
171	SLE QP 2	-168	-1	2233	1.37	-7.03	-0.01
171	SLD 1	47	7	2256	-6.63	2.25	0.03
171	SLD 2	47	7	2256	-6.63	2.25	0.03
171	SLD 3	-21	-3	2400	2.48	-0.47	-0.02
171	SLD 4	-21	-3	2400	2.48	-0.47	-0.02
171	SLD 5	0	15	2022	-14.86	-0.12	0.07
171	SLD 6	0	15	2022	-14.86	-0.12	0.07
171	SLD 7	-227	-16	2501	15.53	-9.19	-0.08
171	SLD 8	-227	-16	2501	15.53	-9.19	-0.08
171	SLD 9	-109	13	1964	-12.79	-4.87	0.05
171	SLD 10	-109	13	1964	-12.79	-4.87	0.05
171	SLD 11	-335	-18	2444	17.6	-13.94	-0.09
171	SLD 12	-335	-18	2444	17.6	-13.94	-0.09
171	SLD 13	-315	0	2065	0.26	-13.59	-0.01
171	SLD 14	-315	0	2065	0.26	-13.59	-0.01
171	SLD 15	-383	-10	2209	9.38	-16.31	-0.05
171	SLD 16	-383	-10	2209	9.38	-16.31	-0.05
171	SLV 1	343	18	2302	-18.95	15	0.09
171	SLV 2	343	18	2302	-18.95	15	0.09
171	SLV 3	178	-4	2644	4.33	8.41	-0.02
171	SLV 4	178	-4	2644	4.33	8.41	-0.02
171	SLV 5	236	38	1736	-40.03	9.58	0.18
171	SLV 6	236	38	1736	-40.03	9.58	0.18
171	SLV 7	-315	-36	2874	37.56	-12.4	-0.18
171	SLV 8	-315	-36	2874	37.56	-12.4	-0.18
171	SLV 9	-21	33	1592	-34.82	-1.66	0.16
171	SLV 10	-21	33	1592	-34.82	-1.66	0.16
171	SLV 11	-571	-41	2730	42.77	-23.65	-0.21
171	SLV 12	-571	-41	2730	42.77	-23.65	-0.21
171	SLV 13	-513	1	1822	-1.59	-22.47	0
171	SLV 14	-513	1	1822	-1.59	-22.47	0
171	SLV 15	-678	-21	2163	21.69	-29.07	-0.11
171	SLV 16	-678	-21	2163	21.69	-29.07	-0.11



Nodo Ind.	Cont. N.br.	Reazione a traslazione			Reazione a rotazione		
		x	y	z	x	y	z
172	SLU 1	-191	-3	1942	2.03	-7.79	-0.02
172	SLU 2	-182	0	1895	-2.42	-7.61	0
172	SLU 3	-191	-3	1942	2.03	-7.79	-0.02
172	SLU 4	-186	-1	1914	-0.64	-7.68	-0.01
172	SLU 5	-182	0	1895	-2.42	-7.61	0
172	SLU 6	-191	-3	1942	2.03	-7.79	-0.02
172	SLU 7	-186	-1	1914	-0.64	-7.68	-0.01
172	SLU 8	-191	-3	1942	2.03	-7.79	-0.02
172	SLU 9	-186	-1	1914	-0.64	-7.68	-0.01
172	SLU 10	-224	0	2386	-2.69	-9.41	0
172	SLU 11	-233	-3	2434	1.76	-9.58	-0.02
172	SLU 12	-227	-1	2405	-0.91	-9.48	-0.01
172	SLU 13	-224	0	2386	-2.69	-9.41	0
172	SLU 14	-233	-3	2434	1.76	-9.58	-0.02
172	SLU 15	-227	-1	2405	-0.91	-9.48	-0.01
172	SLU 16	-233	-3	2434	1.76	-9.58	-0.02
172	SLU 17	-227	-1	2405	-0.91	-9.48	-0.01
172	SLU 18	-251	-3	2644	1.64	-10.35	-0.02
172	SLU 19	-245	-1	2616	-1.03	-10.24	0
172	SLU 20	-251	-3	2644	1.64	-10.35	-0.02
172	SLU 21	-245	-1	2616	-1.03	-10.24	0
172	SLU 22	-213	-3	2194	1.89	-8.71	-0.02
172	SLU 23	-203	0	2147	-2.56	-8.53	0
172	SLU 24	-213	-3	2194	1.89	-8.71	-0.02
172	SLU 25	-207	-1	2166	-0.78	-8.6	-0.01
172	SLU 26	-203	0	2147	-2.56	-8.53	0
172	SLU 27	-213	-3	2194	1.89	-8.71	-0.02
172	SLU 28	-207	-1	2166	-0.78	-8.6	-0.01
172	SLU 29	-213	-3	2194	1.89	-8.71	-0.02
172	SLU 30	-207	-1	2166	-0.78	-8.6	-0.01
172	SLU 31	-245	0	2638	-2.83	-10.33	0
172	SLU 32	-254	-3	2686	1.62	-10.5	-0.02
172	SLU 33	-249	-1	2657	-1.05	-10.4	0
172	SLU 34	-245	0	2638	-2.83	-10.33	0
172	SLU 35	-254	-3	2686	1.62	-10.5	-0.02
172	SLU 36	-249	-1	2657	-1.05	-10.4	0
172	SLU 37	-254	-3	2686	1.62	-10.5	-0.02
172	SLU 38	-249	-1	2657	-1.05	-10.4	0
172	SLU 39	-272	-3	2897	1.5	-11.27	-0.02
172	SLU 40	-266	-1	2868	-1.17	-11.16	0
172	SLU 41	-272	-3	2897	1.5	-11.27	-0.02
172	SLU 42	-266	-1	2868	-1.17	-11.16	0
172	SLU 43	-241	-4	2438	2.69	-9.81	-0.03
172	SLU 44	-232	-1	2391	-1.76	-9.63	0
172	SLU 45	-241	-4	2438	2.69	-9.81	-0.03
172	SLU 46	-236	-2	2410	0.02	-9.7	-0.01
172	SLU 47	-232	-1	2391	-1.76	-9.63	0
172	SLU 48	-241	-4	2438	2.69	-9.81	-0.03
172	SLU 49	-236	-2	2410	0.02	-9.7	-0.01
172	SLU 50	-241	-4	2438	2.69	-9.81	-0.03
172	SLU 51	-236	-2	2410	0.02	-9.7	-0.01
172	SLU 52	-274	-1	2882	-2.03	-11.43	0
172	SLU 53	-283	-4	2930	2.41	-11.6	-0.02
172	SLU 54	-277	-2	2901	-0.25	-11.5	-0.01
172	SLU 55	-274	-1	2882	-2.03	-11.43	0
172	SLU 56	-283	-4	2930	2.41	-11.6	-0.02
172	SLU 57	-277	-2	2901	-0.25	-11.5	-0.01
172	SLU 58	-283	-4	2930	2.41	-11.6	-0.02
172	SLU 59	-277	-2	2901	-0.25	-11.5	-0.01
172	SLU 60	-301	-4	3141	2.3	-12.37	-0.02
172	SLU 61	-295	-2	3112	-0.37	-12.27	-0.01
172	SLU 62	-301	-4	3141	2.3	-12.37	-0.02
172	SLU 63	-295	-2	3112	-0.37	-12.27	-0.01
172	SLU 64	-263	-4	2691	2.55	-10.73	-0.02
172	SLU 65	-254	-1	2643	-1.9	-10.55	0
172	SLU 66	-263	-4	2691	2.55	-10.73	-0.02
172	SLU 67	-257	-2	2662	-0.12	-10.62	-0.01
172	SLU 68	-254	-1	2643	-1.9	-10.55	0
172	SLU 69	-263	-4	2691	2.55	-10.73	-0.02
172	SLU 70	-257	-2	2662	-0.12	-10.62	-0.01
172	SLU 71	-263	-4	2691	2.55	-10.73	-0.02
172	SLU 72	-257	-2	2662	-0.12	-10.62	-0.01
172	SLU 73	-295	-1	3134	-2.17	-12.35	0
172	SLU 74	-304	-4	3182	2.28	-12.52	-0.02
172	SLU 75	-299	-2	3154	-0.39	-12.42	-0.01
172	SLU 76	-295	-1	3134	-2.17	-12.35	0
172	SLU 77	-304	-4	3182	2.28	-12.52	-0.02
172	SLU 78	-299	-2	3154	-0.39	-12.42	-0.01
172	SLU 79	-304	-4	3182	2.28	-12.52	-0.02
172	SLU 80	-299	-2	3154	-0.39	-12.42	-0.01
172	SLU 81	-322	-4	3393	2.16	-13.29	-0.02
172	SLU 82	-317	-2	3364	-0.51	-13.18	-0.01
172	SLU 83	-322	-4	3393	2.16	-13.29	-0.02
172	SLU 84	-317	-2	3364	-0.51	-13.18	-0.01
172	SLE RA 1	-197	-3	2014	1.99	-8.05	-0.02
172	SLE RA 2	-191	-1	1982	-0.98	-7.93	-0.01
172	SLE RA 3	-197	-3	2014	1.99	-8.05	-0.02
172	SLE RA 4	-194	-2	1995	0.21	-7.98	-0.01



Nodo Ind.	Cont. N.br.	Reazione a traslazione			Reazione a rotazione		
		x	y	z	x	y	z
172	SLE RA 5	-191	-1	1982	-0.98	-7.93	-0.01
172	SLE RA 6	-197	-3	2014	1.99	-8.05	-0.02
172	SLE RA 7	-194	-2	1995	0.21	-7.98	-0.01
172	SLE RA 8	-197	-3	2014	1.99	-8.05	-0.02
172	SLE RA 9	-194	-2	1995	0.21	-7.98	-0.01
172	SLE RA 10	-219	-1	2310	-1.16	-9.13	0
172	SLE RA 11	-225	-3	2342	1.81	-9.25	-0.02
172	SLE RA 12	-221	-2	2323	0.03	-9.18	-0.01
172	SLE RA 13	-219	-1	2310	-1.16	-9.13	0
172	SLE RA 14	-225	-3	2342	1.81	-9.25	-0.02
172	SLE RA 15	-221	-2	2323	0.03	-9.18	-0.01
172	SLE RA 16	-225	-3	2342	1.81	-9.25	-0.02
172	SLE RA 17	-221	-2	2323	0.03	-9.18	-0.01
172	SLE RA 18	-237	-3	2482	1.73	-9.76	-0.02
172	SLE RA 19	-233	-2	2463	-0.05	-9.69	-0.01
172	SLE RA 20	-237	-3	2482	1.73	-9.76	-0.02
172	SLE RA 21	-233	-2	2463	-0.05	-9.69	-0.01
172	SLE FR 1	-197	-3	2014	1.99	-8.05	-0.02
172	SLE FR 2	-196	-3	2008	1.4	-8.03	-0.02
172	SLE FR 3	-197	-3	2014	1.99	-8.05	-0.02
172	SLE FR 4	-208	-3	2148	1.32	-8.54	-0.02
172	SLE FR 5	-209	-3	2155	1.91	-8.56	-0.02
172	SLE FR 6	-217	-3	2248	1.86	-8.9	-0.02
172	SLE QP 1	-197	-3	2014	1.99	-8.05	-0.02
172	SLE QP 2	-209	-3	2155	1.91	-8.56	-0.02
172	SLD 1	17	8	2159	0.37	1.15	0.05
172	SLD 2	17	8	2159	0.37	1.15	0.05
172	SLD 3	-57	-5	2326	14.23	-1.61	-0.03
172	SLD 4	-57	-5	2326	14.23	-1.61	-0.03
172	SLD 5	-29	20	1903	-19.57	-1.48	0.13
172	SLD 6	-29	20	1903	-19.57	-1.48	0.13
172	SLD 7	-276	-23	2459	26.63	-10.65	-0.15
172	SLD 8	-276	-23	2459	26.63	-10.65	-0.15
172	SLD 9	-142	17	1850	-22.81	-6.48	0.11
172	SLD 10	-142	17	1850	-22.81	-6.48	0.11
172	SLD 11	-390	-26	2406	23.4	-15.65	-0.17
172	SLD 12	-390	-26	2406	23.4	-15.65	-0.17
172	SLD 13	-361	-1	1983	-10.41	-15.52	-0.01
172	SLD 14	-361	-1	1983	-10.41	-15.52	-0.01
172	SLD 15	-435	-14	2150	3.46	-18.27	-0.09
172	SLD 16	-435	-14	2150	3.46	-18.27	-0.09
172	SLV 1	328	25	2166	-2.25	14.45	0.17
172	SLV 2	328	25	2166	-2.25	14.45	0.17
172	SLV 3	148	-8	2582	33.3	7.86	-0.05
172	SLV 4	148	-8	2582	33.3	7.86	-0.05
172	SLV 5	225	54	1528	-53.26	8.33	0.36
172	SLV 6	225	54	1528	-53.26	8.33	0.36
172	SLV 7	-375	-53	2913	65.25	-13.63	-0.35
172	SLV 8	-375	-53	2913	65.25	-13.63	-0.35
172	SLV 9	-44	47	1396	-61.43	-3.5	0.31
172	SLV 10	-44	47	1396	-61.43	-3.5	0.31
172	SLV 11	-643	-60	2781	57.09	-25.46	-0.39
172	SLV 12	-643	-60	2781	57.09	-25.46	-0.39
172	SLV 13	-566	2	1728	-29.48	-24.99	0.01
172	SLV 14	-566	2	1728	-29.48	-24.99	0.01
172	SLV 15	-746	-31	2143	6.08	-31.57	-0.2
172	SLV 16	-746	-31	2143	6.08	-31.57	-0.2
173	SLU 1	-215	-4	1853	2.46	-9.16	-0.03
173	SLU 2	-196	1	1834	-3.62	-8.41	0.01
173	SLU 3	-215	-4	1853	2.46	-9.16	-0.03
173	SLU 4	-204	-1	1842	-1.19	-8.71	0
173	SLU 5	-196	1	1834	-3.62	-8.41	0.01
173	SLU 6	-215	-4	1853	2.46	-9.16	-0.03
173	SLU 7	-204	-1	1842	-1.19	-8.71	0
173	SLU 8	-215	-4	1853	2.46	-9.16	-0.03
173	SLU 9	-204	-1	1842	-1.19	-8.71	0
173	SLU 10	-249	2	2305	-4.13	-10.58	0.01
173	SLU 11	-267	-3	2325	1.96	-11.33	-0.02
173	SLU 12	-256	0	2313	-1.69	-10.88	0
173	SLU 13	-249	2	2305	-4.13	-10.58	0.01
173	SLU 14	-267	-3	2325	1.96	-11.33	-0.02
173	SLU 15	-256	0	2313	-1.69	-10.88	0
173	SLU 16	-267	-3	2325	1.96	-11.33	-0.02
173	SLU 17	-256	0	2313	-1.69	-10.88	0
173	SLU 18	-290	-3	2527	1.74	-12.26	-0.02
173	SLU 19	-278	0	2515	-1.91	-11.81	0
173	SLU 20	-290	-3	2527	1.74	-12.26	-0.02
173	SLU 21	-278	0	2515	-1.91	-11.81	0
173	SLU 22	-242	-4	2095	2.21	-10.28	-0.02
173	SLU 23	-223	1	2076	-3.88	-9.52	0.01
173	SLU 24	-242	-4	2095	2.21	-10.28	-0.02
173	SLU 25	-231	-1	2084	-1.45	-9.82	0
173	SLU 26	-223	1	2076	-3.88	-9.52	0.01
173	SLU 27	-242	-4	2095	2.21	-10.28	-0.02
173	SLU 28	-231	-1	2084	-1.45	-9.82	0
173	SLU 29	-242	-4	2095	2.21	-10.28	-0.02
173	SLU 30	-231	-1	2084	-1.45	-9.82	0
173	SLU 31	-276	2	2547	-4.39	-11.69	0.02



Nodo Ind.	Cont. N.br.	Reazione a traslazione			Reazione a rotazione		
		x	y	z	x	y	z
173	SLU 32	-294	-3	2566	1.7	-12.44	-0.02
173	SLU 33	-283	0	2555	-1.95	-11.99	0
173	SLU 34	-276	2	2547	-4.39	-11.69	0.02
173	SLU 35	-294	-3	2566	1.7	-12.44	-0.02
173	SLU 36	-283	0	2555	-1.95	-11.99	0
173	SLU 37	-294	-3	2566	1.7	-12.44	-0.02
173	SLU 38	-283	0	2555	-1.95	-11.99	0
173	SLU 39	-316	-3	2768	1.48	-13.37	-0.02
173	SLU 40	-305	0	2757	-2.17	-12.92	0
173	SLU 41	-316	-3	2768	1.48	-13.37	-0.02
173	SLU 42	-305	0	2757	-2.17	-12.92	0
173	SLU 43	-270	-5	2327	3.29	-11.53	-0.03
173	SLU 44	-252	0	2307	-2.79	-10.78	0
173	SLU 45	-270	-5	2327	3.29	-11.53	-0.03
173	SLU 46	-259	-2	2315	-0.36	-11.08	-0.01
173	SLU 47	-252	0	2307	-2.79	-10.78	0
173	SLU 48	-270	-5	2327	3.29	-11.53	-0.03
173	SLU 49	-259	-2	2315	-0.36	-11.08	-0.01
173	SLU 50	-270	-5	2327	3.29	-11.53	-0.03
173	SLU 51	-259	-2	2315	-0.36	-11.08	-0.01
173	SLU 52	-304	0	2779	-3.3	-12.94	0.01
173	SLU 53	-322	-5	2798	2.79	-13.7	-0.03
173	SLU 54	-311	-2	2786	-0.86	-13.25	-0.01
173	SLU 55	-304	0	2779	-3.3	-12.94	0.01
173	SLU 56	-322	-5	2798	2.79	-13.7	-0.03
173	SLU 57	-311	-2	2786	-0.86	-13.25	-0.01
173	SLU 58	-322	-5	2798	2.79	-13.7	-0.03
173	SLU 59	-311	-2	2786	-0.86	-13.25	-0.01
173	SLU 60	-345	-4	3000	2.57	-14.63	-0.03
173	SLU 61	-334	-1	2988	-1.08	-14.18	-0.01
173	SLU 62	-345	-4	3000	2.57	-14.63	-0.03
173	SLU 63	-334	-1	2988	-1.08	-14.18	-0.01
173	SLU 64	-297	-5	2568	3.03	-12.64	-0.03
173	SLU 65	-278	0	2549	-3.05	-11.89	0
173	SLU 66	-297	-5	2568	3.03	-12.64	-0.03
173	SLU 67	-286	-2	2557	-0.62	-12.19	-0.01
173	SLU 68	-278	0	2549	-3.05	-11.89	0
173	SLU 69	-297	-5	2568	3.03	-12.64	-0.03
173	SLU 70	-286	-2	2557	-0.62	-12.19	-0.01
173	SLU 71	-297	-5	2568	3.03	-12.64	-0.03
173	SLU 72	-286	-2	2557	-0.62	-12.19	-0.01
173	SLU 73	-331	1	3020	-3.56	-14.06	0.01
173	SLU 74	-349	-4	3040	2.53	-14.81	-0.03
173	SLU 75	-338	-1	3028	-1.12	-14.36	-0.01
173	SLU 76	-331	1	3020	-3.56	-14.06	0.01
173	SLU 77	-349	-4	3040	2.53	-14.81	-0.03
173	SLU 78	-338	-1	3028	-1.12	-14.36	-0.01
173	SLU 79	-349	-4	3040	2.53	-14.81	-0.03
173	SLU 80	-338	-1	3028	-1.12	-14.36	-0.01
173	SLU 81	-372	-4	3242	2.31	-15.74	-0.03
173	SLU 82	-361	-1	3230	-1.34	-15.29	0
173	SLU 83	-372	-4	3242	2.31	-15.74	-0.03
173	SLU 84	-361	-1	3230	-1.34	-15.29	0
173	SLE RA 1	-222	-4	1922	2.39	-9.48	-0.02
173	SLE RA 2	-210	-1	1910	-1.67	-8.98	0
173	SLE RA 3	-222	-4	1922	2.39	-9.48	-0.02
173	SLE RA 4	-215	-2	1915	-0.04	-9.18	-0.01
173	SLE RA 5	-210	-1	1910	-1.67	-8.98	0
173	SLE RA 6	-222	-4	1922	2.39	-9.48	-0.02
173	SLE RA 7	-215	-2	1915	-0.04	-9.18	-0.01
173	SLE RA 8	-222	-4	1922	2.39	-9.48	-0.02
173	SLE RA 9	-215	-2	1915	-0.04	-9.18	-0.01
173	SLE RA 10	-245	0	2224	-2	-10.42	0
173	SLE RA 11	-257	-3	2237	2.05	-10.93	-0.02
173	SLE RA 12	-250	-1	2229	-0.38	-10.62	-0.01
173	SLE RA 13	-245	0	2224	-2	-10.42	0
173	SLE RA 14	-257	-3	2237	2.05	-10.93	-0.02
173	SLE RA 15	-250	-1	2229	-0.38	-10.62	-0.01
173	SLE RA 16	-257	-3	2237	2.05	-10.93	-0.02
173	SLE RA 17	-250	-1	2229	-0.38	-10.62	-0.01
173	SLE RA 18	-272	-3	2371	1.91	-11.55	-0.02
173	SLE RA 19	-265	-1	2364	-0.53	-11.24	-0.01
173	SLE RA 20	-272	-3	2371	1.91	-11.55	-0.02
173	SLE RA 21	-265	-1	2364	-0.53	-11.24	-0.01
173	SLE FR 1	-222	-4	1922	2.39	-9.48	-0.02
173	SLE FR 2	-220	-3	1920	1.58	-9.38	-0.02
173	SLE FR 3	-222	-4	1922	2.39	-9.48	-0.02
173	SLE FR 4	-235	-3	2055	1.43	-10	-0.02
173	SLE FR 5	-237	-4	2057	2.25	-10.1	-0.02
173	SLE FR 6	-247	-3	2147	2.15	-10.51	-0.02
173	SLE QP 1	-222	-4	1922	2.39	-9.48	-0.02
173	SLE QP 2	-237	-4	2057	2.25	-10.1	-0.02
173	SLD 1	-2	12	2035	0.38	0.15	-0.01
173	SLD 2	-2	12	2035	0.38	0.15	-0.01
173	SLD 3	-80	-6	2250	18.52	-3.15	-0.13
173	SLD 4	-80	-6	2250	18.52	-3.15	-0.13
173	SLD 5	-47	28	1725	-25.82	-2.03	0.17
173	SLD 6	-47	28	1725	-25.82	-2.03	0.17



Nodo Ind.	Cont. N.br.	Reazione a traslazione			Reazione a rotazione		
		x	y	z	x	y	z
173	SLD 7	-310	-31	2441	34.63	-13.02	-0.24
173	SLD 8	-310	-31	2441	34.63	-13.02	-0.24
173	SLD 9	-165	24	1673	-30.14	-7.19	0.19
173	SLD 10	-165	24	1673	-30.14	-7.19	0.19
173	SLD 11	-427	-35	2390	30.31	-18.18	-0.21
173	SLD 12	-427	-35	2390	30.31	-18.18	-0.21
173	SLD 13	-394	-2	1864	-14.02	-17.05	0.08
173	SLD 14	-394	-2	1864	-14.02	-17.05	0.08
173	SLD 15	-473	-19	2079	4.11	-20.35	-0.04
173	SLD 16	-473	-19	2079	4.11	-20.35	-0.04
173	SLV 1	323	36	1994	-2.78	14.26	0.01
173	SLV 2	323	36	1994	-2.78	14.26	0.01
173	SLV 3	133	-9	2542	43.78	6.3	-0.3
173	SLV 4	133	-9	2542	43.78	6.3	-0.3
173	SLV 5	219	77	1207	-69.88	9.27	0.46
173	SLV 6	219	77	1207	-69.88	9.27	0.46
173	SLV 7	-415	-74	3034	85.33	-17.25	-0.58
173	SLV 8	-415	-74	3034	85.33	-17.25	-0.58
173	SLV 9	-60	67	1081	-80.83	-2.96	0.53
173	SLV 10	-60	67	1081	-80.83	-2.96	0.53
173	SLV 11	-694	-84	2907	74.37	-29.47	-0.51
173	SLV 12	-694	-84	2907	74.37	-29.47	-0.51
173	SLV 13	-607	2	1573	-39.29	-26.5	0.25
173	SLV 14	-607	2	1573	-39.29	-26.5	0.25
173	SLV 15	-798	-43	2120	7.27	-34.46	-0.06
173	SLV 16	-798	-43	2120	7.27	-34.46	-0.06
174	SLU 1	-209	-4	1771	2.62	-8.61	-0.03
174	SLU 2	-189	3	1775	-4.71	-7.99	0.02
174	SLU 3	-209	-4	1771	2.62	-8.61	-0.03
174	SLU 4	-197	0	1773	-1.77	-8.24	0
174	SLU 5	-189	3	1775	-4.71	-7.99	0.02
174	SLU 6	-209	-4	1771	2.62	-8.61	-0.03
174	SLU 7	-197	0	1773	-1.77	-8.24	0
174	SLU 8	-209	-4	1771	2.62	-8.61	-0.03
174	SLU 9	-197	0	1773	-1.77	-8.24	0
174	SLU 10	-248	4	2224	-5.41	-10.45	0.03
174	SLU 11	-268	-3	2221	1.93	-11.07	-0.02
174	SLU 12	-256	1	2223	-2.47	-10.7	0.01
174	SLU 13	-248	4	2224	-5.41	-10.45	0.03
174	SLU 14	-268	-3	2221	1.93	-11.07	-0.02
174	SLU 15	-256	1	2223	-2.47	-10.7	0.01
174	SLU 16	-268	-3	2221	1.93	-11.07	-0.02
174	SLU 17	-256	1	2223	-2.47	-10.7	0.01
174	SLU 18	-293	-3	2413	1.63	-12.12	-0.02
174	SLU 19	-281	1	2415	-2.77	-11.75	0.01
174	SLU 20	-293	-3	2413	1.63	-12.12	-0.02
174	SLU 21	-281	1	2415	-2.77	-11.75	0.01
174	SLU 22	-239	-3	2002	2.27	-9.87	-0.02
174	SLU 23	-220	3	2005	-5.06	-9.25	0.02
174	SLU 24	-239	-3	2002	2.27	-9.87	-0.02
174	SLU 25	-227	0	2004	-2.13	-9.5	0
174	SLU 26	-220	3	2005	-5.06	-9.25	0.02
174	SLU 27	-239	-3	2002	2.27	-9.87	-0.02
174	SLU 28	-227	0	2004	-2.13	-9.5	0
174	SLU 29	-239	-3	2002	2.27	-9.87	-0.02
174	SLU 30	-227	0	2004	-2.13	-9.5	0
174	SLU 31	-279	4	2454	-5.76	-11.71	0.03
174	SLU 32	-298	-3	2451	1.57	-12.33	-0.02
174	SLU 33	-286	1	2453	-2.83	-11.96	0.01
174	SLU 34	-279	4	2454	-5.76	-11.71	0.03
174	SLU 35	-298	-3	2451	1.57	-12.33	-0.02
174	SLU 36	-286	1	2453	-2.83	-11.96	0.01
174	SLU 37	-298	-3	2451	1.57	-12.33	-0.02
174	SLU 38	-286	1	2453	-2.83	-11.96	0.01
174	SLU 39	-323	-2	2644	1.27	-13.38	-0.01
174	SLU 40	-312	2	2645	-3.13	-13.01	0.01
174	SLU 41	-323	-2	2644	1.27	-13.38	-0.01
174	SLU 42	-312	2	2645	-3.13	-13.01	0.01
174	SLU 43	-261	-5	2224	3.53	-10.76	-0.04
174	SLU 44	-242	1	2227	-3.8	-10.14	0.01
174	SLU 45	-261	-5	2224	3.53	-10.76	-0.04
174	SLU 46	-250	-1	2226	-0.86	-10.39	-0.01
174	SLU 47	-242	1	2227	-3.8	-10.14	0.01
174	SLU 48	-261	-5	2224	3.53	-10.76	-0.04
174	SLU 49	-250	-1	2226	-0.86	-10.39	-0.01
174	SLU 50	-261	-5	2224	3.53	-10.76	-0.04
174	SLU 51	-250	-1	2226	-0.86	-10.39	-0.01
174	SLU 52	-301	2	2676	-4.5	-12.6	0.02
174	SLU 53	-320	-4	2673	2.84	-13.22	-0.03
174	SLU 54	-309	0	2675	-1.56	-12.85	0
174	SLU 55	-301	2	2676	-4.5	-12.6	0.02
174	SLU 56	-320	-4	2673	2.84	-13.22	-0.03
174	SLU 57	-309	0	2675	-1.56	-12.85	0
174	SLU 58	-320	-4	2673	2.84	-13.22	-0.03
174	SLU 59	-309	0	2675	-1.56	-12.85	0
174	SLU 60	-345	-4	2866	2.54	-14.27	-0.03
174	SLU 61	-334	0	2868	-1.86	-13.9	0
174	SLU 62	-345	-4	2866	2.54	-14.27	-0.03



Nodo Ind.	Cont. N.br.	Reazione a traslazione			Reazione a rotazione		
		x	y	z	x	y	z
174	SLU 63	-334	0	2868	-1.86	-13.9	0
174	SLU 64	-292	-5	2454	3.18	-12.02	-0.03
174	SLU 65	-272	2	2457	-4.16	-11.4	0.01
174	SLU 66	-292	-5	2454	3.18	-12.02	-0.03
174	SLU 67	-280	-1	2456	-1.22	-11.65	-0.01
174	SLU 68	-272	2	2457	-4.16	-11.4	0.01
174	SLU 69	-292	-5	2454	3.18	-12.02	-0.03
174	SLU 70	-280	-1	2456	-1.22	-11.65	-0.01
174	SLU 71	-292	-5	2454	3.18	-12.02	-0.03
174	SLU 72	-280	-1	2456	-1.22	-11.65	-0.01
174	SLU 73	-331	3	2907	-4.85	-13.86	0.02
174	SLU 74	-350	-4	2903	2.48	-14.48	-0.03
174	SLU 75	-339	0	2905	-1.92	-14.11	0
174	SLU 76	-331	3	2907	-4.85	-13.86	0.02
174	SLU 77	-350	-4	2903	2.48	-14.48	-0.03
174	SLU 78	-339	0	2905	-1.92	-14.11	0
174	SLU 79	-350	-4	2903	2.48	-14.48	-0.03
174	SLU 80	-339	0	2905	-1.92	-14.11	0
174	SLU 81	-376	-3	3096	2.18	-15.53	-0.02
174	SLU 82	-364	0	3098	-2.22	-15.16	0
174	SLU 83	-376	-3	3096	2.18	-15.53	-0.02
174	SLU 84	-364	0	3098	-2.22	-15.16	0
174	SLE RA 1	-218	-4	1837	2.52	-8.97	-0.03
174	SLE RA 2	-205	1	1839	-2.37	-8.56	0
174	SLE RA 3	-218	-4	1837	2.52	-8.97	-0.03
174	SLE RA 4	-210	-1	1839	-0.41	-8.72	-0.01
174	SLE RA 5	-205	1	1839	-2.37	-8.56	0
174	SLE RA 6	-218	-4	1837	2.52	-8.97	-0.03
174	SLE RA 7	-210	-1	1839	-0.41	-8.72	-0.01
174	SLE RA 8	-218	-4	1837	2.52	-8.97	-0.03
174	SLE RA 9	-210	-1	1839	-0.41	-8.72	-0.01
174	SLE RA 10	-244	1	2139	-2.83	-10.19	0.01
174	SLE RA 11	-257	-3	2137	2.06	-10.61	-0.02
174	SLE RA 12	-249	-1	2138	-0.88	-10.36	0
174	SLE RA 13	-244	1	2139	-2.83	-10.19	0.01
174	SLE RA 14	-257	-3	2137	2.06	-10.61	-0.02
174	SLE RA 15	-249	-1	2138	-0.88	-10.36	0
174	SLE RA 16	-257	-3	2137	2.06	-10.61	-0.02
174	SLE RA 17	-249	-1	2138	-0.88	-10.36	0
174	SLE RA 18	-274	-3	2265	1.86	-11.31	-0.02
174	SLE RA 19	-266	0	2266	-1.08	-11.06	0
174	SLE RA 20	-274	-3	2265	1.86	-11.31	-0.02
174	SLE RA 21	-266	0	2266	-1.08	-11.06	0
174	SLE FR 1	-218	-4	1837	2.52	-8.97	-0.03
174	SLE FR 2	-215	-3	1838	1.54	-8.89	-0.02
174	SLE FR 3	-218	-4	1837	2.52	-8.97	-0.03
174	SLE FR 4	-232	-3	1966	1.34	-9.59	-0.02
174	SLE FR 5	-234	-4	1966	2.32	-9.67	-0.02
174	SLE FR 6	-246	-3	2051	2.19	-10.14	-0.02
174	SLE QP 1	-218	-4	1837	2.52	-8.97	-0.03
174	SLE QP 2	-234	-4	1966	2.32	-9.67	-0.02
174	SLD 1	0	-1	1752	0.22	0.5	-0.01
174	SLD 2	0	-1	1752	0.22	0.5	-0.01
174	SLD 3	-65	-23	2009	21.43	-2.01	-0.16
174	SLD 4	-65	-23	2009	21.43	-2.01	-0.16
174	SLD 5	-64	30	1512	-30.47	-2.82	0.21
174	SLD 6	-64	30	1512	-30.47	-2.82	0.21
174	SLD 7	-283	-42	2368	40.21	-11.17	-0.3
174	SLD 8	-283	-42	2368	40.21	-11.17	-0.3
174	SLD 9	-186	35	1564	-35.57	-8.17	0.25
174	SLD 10	-186	35	1564	-35.57	-8.17	0.25
174	SLD 11	-405	-37	2419	35.11	-16.53	-0.26
174	SLD 12	-405	-37	2419	35.11	-16.53	-0.26
174	SLD 13	-404	16	1923	-16.78	-17.34	0.11
174	SLD 14	-404	16	1923	-16.78	-17.34	0.11
174	SLD 15	-469	-6	2179	4.42	-19.85	-0.04
174	SLD 16	-469	-6	2179	4.42	-19.85	-0.04
174	SLV 1	323	3	1426	-3.29	14.42	0.02
174	SLV 2	323	3	1426	-3.29	14.42	0.02
174	SLV 3	166	-53	2084	51.13	8.48	-0.38
174	SLV 4	166	-53	2084	51.13	8.48	-0.38
174	SLV 5	171	82	806	-81.89	6.57	0.59
174	SLV 6	171	82	806	-81.89	6.57	0.59
174	SLV 7	-352	-102	2999	99.49	-13.24	-0.73
174	SLV 8	-352	-102	2999	99.49	-13.24	-0.73
174	SLV 9	-117	95	933	-94.85	-6.11	0.68
174	SLV 10	-117	95	933	-94.85	-6.11	0.68
174	SLV 11	-640	-89	3125	86.54	-25.91	-0.64
174	SLV 12	-640	-89	3125	86.54	-25.91	-0.64
174	SLV 13	-635	46	1848	-46.48	-27.83	0.33
174	SLV 14	-635	46	1848	-46.48	-27.83	0.33
174	SLV 15	-792	-10	2505	7.93	-33.77	-0.07
174	SLV 16	-792	-10	2505	7.93	-33.77	-0.07
175	SLU 1	-192	-4	1723	2.61	-8.46	-0.03
175	SLU 2	-169	4	1737	-5.33	-7.33	0.02
175	SLU 3	-192	-4	1723	2.61	-8.46	-0.03
175	SLU 4	-178	1	1732	-2.15	-7.78	0
175	SLU 5	-169	4	1737	-5.33	-7.33	0.02



Nodo Ind.	Cont. N.br.	Reazione a traslazione			Reazione a rotazione		
		x	y	z	x	y	z
175	SLU 6	-192	-4	1723	2.61	-8.46	-0.03
175	SLU 7	-178	1	1732	-2.15	-7.78	0
175	SLU 8	-192	-4	1723	2.61	-8.46	-0.03
175	SLU 9	-178	1	1732	-2.15	-7.78	0
175	SLU 10	-231	5	2169	-6.13	-9.99	0.03
175	SLU 11	-254	-3	2155	1.8	-11.11	-0.02
175	SLU 12	-240	2	2163	-2.96	-10.44	0.01
175	SLU 13	-231	5	2169	-6.13	-9.99	0.03
175	SLU 14	-254	-3	2155	1.8	-11.11	-0.02
175	SLU 15	-240	2	2163	-2.96	-10.44	0.01
175	SLU 16	-254	-3	2155	1.8	-11.11	-0.02
175	SLU 17	-240	2	2163	-2.96	-10.44	0.01
175	SLU 18	-280	-2	2340	1.45	-12.25	-0.02
175	SLU 19	-267	2	2348	-3.31	-11.58	0.02
175	SLU 20	-280	-2	2340	1.45	-12.25	-0.02
175	SLU 21	-267	2	2348	-3.31	-11.58	0.02
175	SLU 22	-224	-3	1944	2.2	-9.82	-0.02
175	SLU 23	-201	4	1959	-5.74	-8.7	0.03
175	SLU 24	-224	-3	1944	2.2	-9.82	-0.02
175	SLU 25	-210	1	1953	-2.57	-9.15	0.01
175	SLU 26	-201	4	1959	-5.74	-8.7	0.03
175	SLU 27	-224	-3	1944	2.2	-9.82	-0.02
175	SLU 28	-210	1	1953	-2.57	-9.15	0.01
175	SLU 29	-224	-3	1944	2.2	-9.82	-0.02
175	SLU 30	-210	1	1953	-2.57	-9.15	0.01
175	SLU 31	-263	5	2390	-6.55	-11.36	0.04
175	SLU 32	-286	-2	2376	1.39	-12.48	-0.01
175	SLU 33	-272	2	2385	-3.38	-11.8	0.02
175	SLU 34	-263	5	2390	-6.55	-11.36	0.04
175	SLU 35	-286	-2	2376	1.39	-12.48	-0.01
175	SLU 36	-272	2	2385	-3.38	-11.8	0.02
175	SLU 37	-286	-2	2376	1.39	-12.48	-0.01
175	SLU 38	-272	2	2385	-3.38	-11.8	0.02
175	SLU 39	-312	-2	2561	1.04	-13.62	-0.01
175	SLU 40	-298	3	2570	-3.72	-12.94	0.02
175	SLU 41	-312	-2	2561	1.04	-13.62	-0.01
175	SLU 42	-298	3	2570	-3.72	-12.94	0.02
175	SLU 43	-239	-5	2164	3.54	-10.53	-0.04
175	SLU 44	-216	2	2178	-4.4	-9.4	0.02
175	SLU 45	-239	-5	2164	3.54	-10.53	-0.04
175	SLU 46	-225	-1	2173	-1.23	-9.85	0
175	SLU 47	-216	2	2178	-4.4	-9.4	0.02
175	SLU 48	-239	-5	2164	3.54	-10.53	-0.04
175	SLU 49	-225	-1	2173	-1.23	-9.85	0
175	SLU 50	-239	-5	2164	3.54	-10.53	-0.04
175	SLU 51	-225	-1	2173	-1.23	-9.85	0
175	SLU 52	-278	4	2610	-5.21	-12.06	0.02
175	SLU 53	-301	-4	2596	2.73	-13.18	-0.03
175	SLU 54	-287	1	2604	-2.04	-12.51	0
175	SLU 55	-278	4	2610	-5.21	-12.06	0.02
175	SLU 56	-301	-4	2596	2.73	-13.18	-0.03
175	SLU 57	-287	1	2604	-2.04	-12.51	0
175	SLU 58	-301	-4	2596	2.73	-13.18	-0.03
175	SLU 59	-287	1	2604	-2.04	-12.51	0
175	SLU 60	-327	-3	2781	2.38	-14.32	-0.02
175	SLU 61	-313	1	2789	-2.38	-13.65	0.01
175	SLU 62	-327	-3	2781	2.38	-14.32	-0.02
175	SLU 63	-313	1	2789	-2.38	-13.65	0.01
175	SLU 64	-271	-4	2385	3.12	-11.89	-0.03
175	SLU 65	-247	3	2400	-4.82	-10.77	0.02
175	SLU 66	-271	-4	2385	3.12	-11.89	-0.03
175	SLU 67	-257	0	2394	-1.64	-11.22	0
175	SLU 68	-247	3	2400	-4.82	-10.77	0.02
175	SLU 69	-271	-4	2385	3.12	-11.89	-0.03
175	SLU 70	-257	0	2394	-1.64	-11.22	0
175	SLU 71	-271	-4	2385	3.12	-11.89	-0.03
175	SLU 72	-257	0	2394	-1.64	-11.22	0
175	SLU 73	-309	4	2831	-5.62	-13.43	0.03
175	SLU 74	-332	-3	2817	2.31	-14.55	-0.02
175	SLU 75	-319	1	2826	-2.45	-13.87	0.01
175	SLU 76	-309	4	2831	-5.62	-13.43	0.03
175	SLU 77	-332	-3	2817	2.31	-14.55	-0.02
175	SLU 78	-319	1	2826	-2.45	-13.87	0.01
175	SLU 79	-332	-3	2817	2.31	-14.55	-0.02
175	SLU 80	-319	1	2826	-2.45	-13.87	0.01
175	SLU 81	-359	-3	3002	1.97	-15.69	-0.02
175	SLU 82	-345	2	3010	-2.8	-15.01	0.01
175	SLU 83	-359	-3	3002	1.97	-15.69	-0.02
175	SLU 84	-345	2	3010	-2.8	-15.01	0.01
175	SLE RA 1	-201	-4	1786	2.49	-8.85	-0.02
175	SLE RA 2	-186	1	1796	-2.8	-8.1	0.01
175	SLE RA 3	-201	-4	1786	2.49	-8.85	-0.02
175	SLE RA 4	-192	-1	1792	-0.68	-8.4	0
175	SLE RA 5	-186	1	1796	-2.8	-8.1	0.01
175	SLE RA 6	-201	-4	1786	2.49	-8.85	-0.02
175	SLE RA 7	-192	-1	1792	-0.68	-8.4	0
175	SLE RA 8	-201	-4	1786	2.49	-8.85	-0.02
175	SLE RA 9	-192	-1	1792	-0.68	-8.4	0



Nodo Ind.	Cont. N.br.	Reazione a traslazione				Reazione a rotazione			
		x	y	z		x	y	z	
175	SLE RA 10	-227	2	2084		-3.34	-9.87	0.01	
175	SLE RA 11	-242	-3	2074		1.95	-10.62	-0.02	
175	SLE RA 12	-233	0	2080		-1.22	-10.17	0	
175	SLE RA 13	-227	2	2084		-3.34	-9.87	0.01	
175	SLE RA 14	-242	-3	2074		1.95	-10.62	-0.02	
175	SLE RA 15	-233	0	2080		-1.22	-10.17	0	
175	SLE RA 16	-242	-3	2074		1.95	-10.62	-0.02	
175	SLE RA 17	-233	0	2080		-1.22	-10.17	0	
175	SLE RA 18	-260	-2	2197		1.72	-11.38	-0.02	
175	SLE RA 19	-251	0	2203		-1.45	-10.93	0	
175	SLE RA 20	-260	-2	2197		1.72	-11.38	-0.02	
175	SLE RA 21	-251	0	2203		-1.45	-10.93	0	
175	SLE FR 1	-201	-4	1786		2.49	-8.85	-0.02	
175	SLE FR 2	-198	-3	1788		1.43	-8.7	-0.02	
175	SLE FR 3	-201	-4	1786		2.49	-8.85	-0.02	
175	SLE FR 4	-216	-2	1911		1.2	-9.46	-0.02	
175	SLE FR 5	-219	-3	1909		2.26	-9.61	-0.02	
175	SLE FR 6	-231	-3	1992		2.11	-10.11	-0.02	
175	SLE QP 1	-201	-4	1786		2.49	-8.85	-0.02	
175	SLE QP 2	-219	-3	1909		2.26	-9.61	-0.02	
175	SLD 1	10	-1	1690		0.02	0.44	-0.01	
175	SLD 2	10	-1	1690		0.02	0.44	-0.01	
175	SLD 3	-45	-24	1962		22.54	-2.08	-0.17	
175	SLD 4	-45	-24	1962		22.54	-2.08	-0.17	
175	SLD 5	-67	33	1431		-32.56	-2.76	0.23	
175	SLD 6	-67	33	1431		-32.56	-2.76	0.23	
175	SLD 7	-250	-45	2338		42.49	-11.18	-0.31	
175	SLD 8	-250	-45	2338		42.49	-11.18	-0.31	
175	SLD 9	-188	39	1481		-37.97	-8.03	0.27	
175	SLD 10	-188	39	1481		-37.97	-8.03	0.27	
175	SLD 11	-371	-39	2388		37.08	-16.45	-0.27	
175	SLD 12	-371	-39	2388		37.08	-16.45	-0.27	
175	SLD 13	-392	18	1857		-18.02	-17.13	0.12	
175	SLD 14	-392	18	1857		-18.02	-17.13	0.12	
175	SLD 15	-447	-6	2129		4.5	-19.65	-0.04	
175	SLD 16	-447	-6	2129		4.5	-19.65	-0.04	
175	SLV 1	323	3	1352		-3.64	14.24	0.02	
175	SLV 2	323	3	1352		-3.64	14.24	0.02	
175	SLV 3	193	-57	2050		54.09	8.21	-0.39	
175	SLV 4	193	-57	2050		54.09	8.21	-0.39	
175	SLV 5	142	90	684		-87.06	6.7	0.61	
175	SLV 6	142	90	684		-87.06	6.7	0.61	
175	SLV 7	-293	-110	3010		105.36	-13.42	-0.76	
175	SLV 8	-293	-110	3010		105.36	-13.42	-0.76	
175	SLV 9	-144	104	809		-100.84	-5.79	0.71	
175	SLV 10	-144	104	809		-100.84	-5.79	0.71	
175	SLV 11	-579	-96	3135		91.58	-25.92	-0.66	
175	SLV 12	-579	-96	3135		91.58	-25.92	-0.66	
175	SLV 13	-630	50	1769		-49.57	-27.42	0.35	
175	SLV 14	-630	50	1769		-49.57	-27.42	0.35	
175	SLV 15	-761	-10	2467		8.16	-33.45	-0.06	
175	SLV 16	-761	-10	2467		8.16	-33.45	-0.06	
176	SLU 1	-173	-4	1717		2.52	-7.72	-0.02	
176	SLU 2	-152	4	1729		-5.26	-6.88	0.02	
176	SLU 3	-173	-4	1717		2.52	-7.72	-0.02	
176	SLU 4	-160	1	1725		-2.15	-7.22	0	
176	SLU 5	-152	4	1729		-5.26	-6.88	0.02	
176	SLU 6	-173	-4	1717		2.52	-7.72	-0.02	
176	SLU 7	-160	1	1725		-2.15	-7.22	0	
176	SLU 8	-173	-4	1717		2.52	-7.72	-0.02	
176	SLU 9	-160	1	1725		-2.15	-7.22	0	
176	SLU 10	-219	5	2151		-6.08	-9.84	0.03	
176	SLU 11	-240	-2	2139		1.71	-10.68	-0.02	
176	SLU 12	-227	2	2146		-2.96	-10.17	0.01	
176	SLU 13	-219	5	2151		-6.08	-9.84	0.03	
176	SLU 14	-240	-2	2139		1.71	-10.68	-0.02	
176	SLU 15	-227	2	2146		-2.96	-10.17	0.01	
176	SLU 16	-240	-2	2139		1.71	-10.68	-0.02	
176	SLU 17	-227	2	2146		-2.96	-10.17	0.01	
176	SLU 18	-268	-2	2319		1.36	-11.94	-0.01	
176	SLU 19	-256	2	2327		-3.31	-11.44	0.01	
176	SLU 20	-268	-2	2319		1.36	-11.94	-0.01	
176	SLU 21	-256	2	2327		-3.31	-11.44	0.01	
176	SLU 22	-207	-3	1933		2.11	-9.24	-0.02	
176	SLU 23	-187	4	1946		-5.68	-8.4	0.02	
176	SLU 24	-207	-3	1933		2.11	-9.24	-0.02	
176	SLU 25	-195	1	1941		-2.57	-8.73	0.01	
176	SLU 26	-187	4	1946		-5.68	-8.4	0.02	
176	SLU 27	-207	-3	1933		2.11	-9.24	-0.02	
176	SLU 28	-195	1	1941		-2.57	-8.73	0.01	
176	SLU 29	-207	-3	1933		2.11	-9.24	-0.02	
176	SLU 30	-195	1	1941		-2.57	-8.73	0.01	
176	SLU 31	-254	5	2367		-6.5	-11.35	0.03	
176	SLU 32	-274	-2	2355		1.29	-12.19	-0.01	
176	SLU 33	-262	2	2362		-3.38	-11.69	0.01	
176	SLU 34	-254	5	2367		-6.5	-11.35	0.03	
176	SLU 35	-274	-2	2355		1.29	-12.19	-0.01	
176	SLU 36	-262	2	2362		-3.38	-11.69	0.01	



Nodo Ind.	Cont. N.br.	Reazione a traslazione			Reazione a rotazione		
		x	y	z	x	y	z
176	SLU 37	-274	-2	2355	1.29	-12.19	-0.01
176	SLU 38	-262	2	2362	-3.38	-11.69	0.01
176	SLU 39	-303	-1	2535	0.94	-13.46	-0.01
176	SLU 40	-291	3	2543	-3.73	-12.95	0.02
176	SLU 41	-303	-1	2535	0.94	-13.46	-0.01
176	SLU 42	-291	3	2543	-3.73	-12.95	0.02
176	SLU 43	-213	-5	2158	3.43	-9.52	-0.03
176	SLU 44	-192	2	2171	-4.36	-8.68	0.01
176	SLU 45	-213	-5	2158	3.43	-9.52	-0.03
176	SLU 46	-200	-1	2166	-1.25	-9.02	-0.01
176	SLU 47	-192	2	2171	-4.36	-8.68	0.01
176	SLU 48	-213	-5	2158	3.43	-9.52	-0.03
176	SLU 49	-200	-1	2166	-1.25	-9.02	-0.01
176	SLU 50	-213	-5	2158	3.43	-9.52	-0.03
176	SLU 51	-200	-1	2166	-1.25	-9.02	-0.01
176	SLU 52	-259	3	2592	-5.18	-11.63	0.02
176	SLU 53	-280	-4	2580	2.61	-12.47	-0.02
176	SLU 54	-267	1	2587	-2.06	-11.97	0
176	SLU 55	-259	3	2592	-5.18	-11.63	0.02
176	SLU 56	-280	-4	2580	2.61	-12.47	-0.02
176	SLU 57	-267	1	2587	-2.06	-11.97	0
176	SLU 58	-280	-4	2580	2.61	-12.47	-0.02
176	SLU 59	-267	1	2587	-2.06	-11.97	0
176	SLU 60	-308	-3	2760	2.26	-13.74	-0.02
176	SLU 61	-296	1	2768	-2.41	-13.24	0
176	SLU 62	-308	-3	2760	2.26	-13.74	-0.02
176	SLU 63	-296	1	2768	-2.41	-13.24	0
176	SLU 64	-247	-4	2374	3.01	-11.03	-0.03
176	SLU 65	-227	3	2387	-4.78	-10.19	0.02
176	SLU 66	-247	-4	2374	3.01	-11.03	-0.03
176	SLU 67	-235	0	2382	-1.67	-10.53	0
176	SLU 68	-227	3	2387	-4.78	-10.19	0.02
176	SLU 69	-247	-4	2374	3.01	-11.03	-0.03
176	SLU 70	-235	0	2382	-1.67	-10.53	0
176	SLU 71	-247	-4	2374	3.01	-11.03	-0.03
176	SLU 72	-235	0	2382	-1.67	-10.53	0
176	SLU 73	-294	4	2808	-5.6	-13.15	0.02
176	SLU 74	-314	-3	2796	2.19	-13.99	-0.02
176	SLU 75	-302	1	2803	-2.48	-13.48	0.01
176	SLU 76	-294	4	2808	-5.6	-13.15	0.02
176	SLU 77	-314	-3	2796	2.19	-13.99	-0.02
176	SLU 78	-302	1	2803	-2.48	-13.48	0.01
176	SLU 79	-314	-3	2796	2.19	-13.99	-0.02
176	SLU 80	-302	1	2803	-2.48	-13.48	0.01
176	SLU 81	-343	-3	2976	1.84	-15.25	-0.02
176	SLU 82	-331	2	2984	-2.83	-14.75	0.01
176	SLU 83	-343	-3	2976	1.84	-15.25	-0.02
176	SLU 84	-331	2	2984	-2.83	-14.75	0.01
176	SLE RA 1	-182	-3	1779	2.41	-8.16	-0.02
176	SLE RA 2	-169	1	1787	-2.79	-7.6	0.01
176	SLE RA 3	-182	-3	1779	2.41	-8.16	-0.02
176	SLE RA 4	-174	-1	1784	-0.71	-7.82	0
176	SLE RA 5	-169	1	1787	-2.79	-7.6	0.01
176	SLE RA 6	-182	-3	1779	2.41	-8.16	-0.02
176	SLE RA 7	-174	-1	1784	-0.71	-7.82	0
176	SLE RA 8	-182	-3	1779	2.41	-8.16	-0.02
176	SLE RA 9	-174	-1	1784	-0.71	-7.82	0
176	SLE RA 10	-214	2	2068	-3.33	-9.56	0.01
176	SLE RA 11	-227	-3	2060	1.86	-10.12	-0.02
176	SLE RA 12	-219	0	2065	-1.25	-9.79	0
176	SLE RA 13	-214	2	2068	-3.33	-9.56	0.01
176	SLE RA 14	-227	-3	2060	1.86	-10.12	-0.02
176	SLE RA 15	-219	0	2065	-1.25	-9.79	0
176	SLE RA 16	-227	-3	2060	1.86	-10.12	-0.02
176	SLE RA 17	-219	0	2065	-1.25	-9.79	0
176	SLE RA 18	-246	-2	2180	1.63	-10.97	-0.02
176	SLE RA 19	-238	1	2185	-1.49	-10.63	0
176	SLE RA 20	-246	-2	2180	1.63	-10.97	-0.02
176	SLE RA 21	-238	1	2185	-1.49	-10.63	0
176	SLE FR 1	-182	-3	1779	2.41	-8.16	-0.02
176	SLE FR 2	-180	-2	1781	1.37	-8.04	-0.02
176	SLE FR 3	-182	-3	1779	2.41	-8.16	-0.02
176	SLE FR 4	-199	-2	1901	1.13	-8.89	-0.01
176	SLE FR 5	-202	-3	1899	2.17	-9	-0.02
176	SLE FR 6	-214	-3	1980	2.02	-9.56	-0.02
176	SLE QP 1	-182	-3	1779	2.41	-8.16	-0.02
176	SLE QP 2	-202	-3	1899	2.17	-9	-0.02
176	SLD 1	11	-1	1697	-0.04	0.35	-0.01
176	SLD 2	11	-1	1697	-0.04	0.35	-0.01
176	SLD 3	-28	-23	1950	21.76	-1.27	-0.14
176	SLD 4	-28	-23	1950	21.76	-1.27	-0.14
176	SLD 5	-78	32	1456	-31.56	-3.74	0.2
176	SLD 6	-78	32	1456	-31.56	-3.74	0.2
176	SLD 7	-209	-43	2297	41.12	-9.14	-0.27
176	SLD 8	-209	-43	2297	41.12	-9.14	-0.27
176	SLD 9	-194	37	1502	-36.77	-8.86	0.23
176	SLD 10	-194	37	1502	-36.77	-8.86	0.23
176	SLD 11	-325	-38	2343	35.9	-14.26	-0.24



Nodo Ind.	Cont. N.br.	Reazione a traslazione			Reazione a rotazione		
		x	y	z	x	y	z
176	SLD 12	-325	-38	2343	35.9	-14.26	-0.24
176	SLD 13	-375	17	1849	-17.42	-16.73	0.1
176	SLD 14	-375	17	1849	-17.42	-16.73	0.1
176	SLD 15	-414	-6	2102	4.38	-18.35	-0.04
176	SLD 16	-414	-6	2102	4.38	-18.35	-0.04
176	SLV 1	302	4	1386	-3.56	13.14	0.02
176	SLV 2	302	4	1386	-3.56	13.14	0.02
176	SLV 3	210	-54	2033	52.28	9.32	-0.34
176	SLV 4	210	-54	2033	52.28	9.32	-0.34
176	SLV 5	89	86	765	-84.24	3.44	0.53
176	SLV 6	89	86	765	-84.24	3.44	0.53
176	SLV 7	-218	-106	2920	101.9	-9.3	-0.65
176	SLV 8	-218	-106	2920	101.9	-9.3	-0.65
176	SLV 9	-186	99	879	-97.56	-8.7	0.61
176	SLV 10	-186	99	879	-97.56	-8.7	0.61
176	SLV 11	-492	-92	3034	88.59	-21.43	-0.57
176	SLV 12	-492	-92	3034	88.59	-21.43	-0.57
176	SLV 13	-613	48	1766	-47.94	-27.32	0.3
176	SLV 14	-613	48	1766	-47.94	-27.32	0.3
176	SLV 15	-705	-10	2412	7.91	-31.14	-0.06
176	SLV 16	-705	-10	2412	7.91	-31.14	-0.06
177	SLU 1	-168	-4	1756	2.36	-7.59	-0.02
177	SLU 2	-143	3	1751	-4.56	-6.33	0.01
177	SLU 3	-168	-4	1756	2.36	-7.59	-0.02
177	SLU 4	-153	0	1753	-1.79	-6.83	0
177	SLU 5	-143	3	1751	-4.56	-6.33	0.01
177	SLU 6	-168	-4	1756	2.36	-7.59	-0.02
177	SLU 7	-153	0	1753	-1.79	-6.83	0
177	SLU 8	-168	-4	1756	2.36	-7.59	-0.02
177	SLU 9	-153	0	1753	-1.79	-6.83	0
177	SLU 10	-221	4	2167	-5.27	-9.63	0.01
177	SLU 11	-245	-3	2172	1.64	-10.89	-0.01
177	SLU 12	-230	1	2169	-2.51	-10.13	0
177	SLU 13	-221	4	2167	-5.27	-9.63	0.01
177	SLU 14	-245	-3	2172	1.64	-10.89	-0.01
177	SLU 15	-230	1	2169	-2.51	-10.13	0
177	SLU 16	-245	-3	2172	1.64	-10.89	-0.01
177	SLU 17	-230	1	2169	-2.51	-10.13	0
177	SLU 18	-278	-2	2350	1.34	-12.31	-0.01
177	SLU 19	-263	2	2347	-2.81	-11.55	0
177	SLU 20	-278	-2	2350	1.34	-12.31	-0.01
177	SLU 21	-263	2	2347	-2.81	-11.55	0
177	SLU 22	-207	-3	1969	1.99	-9.29	-0.02
177	SLU 23	-183	3	1965	-4.92	-8.02	0.01
177	SLU 24	-207	-3	1969	1.99	-9.29	-0.02
177	SLU 25	-193	1	1966	-2.16	-8.53	0
177	SLU 26	-183	3	1965	-4.92	-8.02	0.01
177	SLU 27	-207	-3	1969	1.99	-9.29	-0.02
177	SLU 28	-193	1	1966	-2.16	-8.53	0
177	SLU 29	-207	-3	1969	1.99	-9.29	-0.02
177	SLU 30	-193	1	1966	-2.16	-8.53	0
177	SLU 31	-260	4	2380	-5.64	-11.32	0.02
177	SLU 32	-285	-2	2385	1.28	-12.58	-0.01
177	SLU 33	-270	2	2382	-2.87	-11.83	0.01
177	SLU 34	-260	4	2380	-5.64	-11.32	0.02
177	SLU 35	-285	-2	2385	1.28	-12.58	-0.01
177	SLU 36	-270	2	2382	-2.87	-11.83	0.01
177	SLU 37	-285	-2	2385	1.28	-12.58	-0.01
177	SLU 38	-270	2	2382	-2.87	-11.83	0.01
177	SLU 39	-318	-2	2563	0.97	-14	-0.01
177	SLU 40	-303	2	2560	-3.18	-13.24	0.01
177	SLU 41	-318	-2	2563	0.97	-14	-0.01
177	SLU 42	-303	2	2560	-3.18	-13.24	0.01
177	SLU 43	-205	-5	2210	3.19	-9.29	-0.02
177	SLU 44	-180	1	2205	-3.72	-8.02	0
177	SLU 45	-205	-5	2210	3.19	-9.29	-0.02
177	SLU 46	-190	-1	2207	-0.96	-8.53	-0.01
177	SLU 47	-180	1	2205	-3.72	-8.02	0
177	SLU 48	-205	-5	2210	3.19	-9.29	-0.02
177	SLU 49	-190	-1	2207	-0.96	-8.53	-0.01
177	SLU 50	-205	-5	2210	3.19	-9.29	-0.02
177	SLU 51	-190	-1	2207	-0.96	-8.53	-0.01
177	SLU 52	-257	2	2621	-4.44	-11.32	0.01
177	SLU 53	-282	-4	2625	2.48	-12.59	-0.02
177	SLU 54	-267	0	2623	-1.67	-11.83	0
177	SLU 55	-257	2	2621	-4.44	-11.32	0.01
177	SLU 56	-282	-4	2625	2.48	-12.59	-0.02
177	SLU 57	-267	0	2623	-1.67	-11.83	0
177	SLU 58	-282	-4	2625	2.48	-12.59	-0.02
177	SLU 59	-267	0	2623	-1.67	-11.83	0
177	SLU 60	-315	-3	2804	2.17	-14	-0.02
177	SLU 61	-300	0	2801	-1.98	-13.24	0
177	SLU 62	-315	-3	2804	2.17	-14	-0.02
177	SLU 63	-300	0	2801	-1.98	-13.24	0
177	SLU 64	-244	-4	2423	2.82	-10.98	-0.02
177	SLU 65	-220	2	2418	-4.09	-9.72	0
177	SLU 66	-244	-4	2423	2.82	-10.98	-0.02
177	SLU 67	-230	-1	2420	-1.32	-10.22	-0.01



Nodo Ind.	Cont. N.br.	Reazione a traslazione			Reazione a rotazione		
		x	y	z	x	y	z
177	SLU 68	-220	2	2418	-4.09	-9.72	0
177	SLU 69	-244	-4	2423	2.82	-10.98	-0.02
177	SLU 70	-230	-1	2420	-1.32	-10.22	-0.01
177	SLU 71	-244	-4	2423	2.82	-10.98	-0.02
177	SLU 72	-230	-1	2420	-1.32	-10.22	-0.01
177	SLU 73	-297	3	2834	-4.81	-13.02	0.01
177	SLU 74	-321	-3	2839	2.11	-14.28	-0.02
177	SLU 75	-307	0	2836	-2.04	-13.52	0
177	SLU 76	-297	3	2834	-4.81	-13.02	0.01
177	SLU 77	-321	-3	2839	2.11	-14.28	-0.02
177	SLU 78	-307	0	2836	-2.04	-13.52	0
177	SLU 79	-321	-3	2839	2.11	-14.28	-0.02
177	SLU 80	-307	0	2836	-2.04	-13.52	0
177	SLU 81	-354	-3	3017	1.8	-15.7	-0.02
177	SLU 82	-340	1	3014	-2.35	-14.94	0
177	SLU 83	-354	-3	3017	1.8	-15.7	-0.02
177	SLU 84	-340	1	3014	-2.35	-14.94	0
177	SLE RA 1	-179	-3	1817	2.25	-8.08	-0.02
177	SLE RA 2	-163	1	1814	-2.36	-7.23	0
177	SLE RA 3	-179	-3	1817	2.25	-8.08	-0.02
177	SLE RA 4	-169	-1	1815	-0.51	-7.57	-0.01
177	SLE RA 5	-163	1	1814	-2.36	-7.23	0
177	SLE RA 6	-179	-3	1817	2.25	-8.08	-0.02
177	SLE RA 7	-169	-1	1815	-0.51	-7.57	-0.01
177	SLE RA 8	-179	-3	1817	2.25	-8.08	-0.02
177	SLE RA 9	-169	-1	1815	-0.51	-7.57	-0.01
177	SLE RA 10	-214	1	2091	-2.83	-9.43	0
177	SLE RA 11	-231	-3	2094	1.78	-10.28	-0.01
177	SLE RA 12	-221	0	2092	-0.99	-9.77	0
177	SLE RA 13	-214	1	2091	-2.83	-9.43	0
177	SLE RA 14	-231	-3	2094	1.78	-10.28	-0.01
177	SLE RA 15	-221	0	2092	-0.99	-9.77	0
177	SLE RA 16	-231	-3	2094	1.78	-10.28	-0.01
177	SLE RA 17	-221	0	2092	-0.99	-9.77	0
177	SLE RA 18	-253	-2	2213	1.57	-11.22	-0.01
177	SLE RA 19	-243	0	2211	-1.19	-10.71	0
177	SLE RA 20	-253	-2	2213	1.57	-11.22	-0.01
177	SLE RA 21	-243	0	2211	-1.19	-10.71	0
177	SLE FR 1	-179	-3	1817	2.25	-8.08	-0.02
177	SLE FR 2	-176	-3	1816	1.33	-7.91	-0.01
177	SLE FR 3	-179	-3	1817	2.25	-8.08	-0.02
177	SLE FR 4	-198	-2	1935	1.13	-8.85	-0.01
177	SLE FR 5	-201	-3	1936	2.05	-9.02	-0.02
177	SLE FR 6	-216	-3	2015	1.91	-9.65	-0.02
177	SLE QP 1	-179	-3	1817	2.25	-8.08	-0.02
177	SLE QP 2	-201	-3	1936	2.05	-9.02	-0.02
177	SLD 1	-4	-1	1773	0.14	-0.28	-0.01
177	SLD 2	-4	-1	1773	0.14	-0.28	-0.01
177	SLD 3	-38	-20	1969	19.26	-1.73	-0.1
177	SLD 4	-38	-20	1969	19.26	-1.73	-0.1
177	SLD 5	-90	26	1589	-27.52	-4.19	0.12
177	SLD 6	-90	26	1589	-27.52	-4.19	0.12
177	SLD 7	-204	-37	2244	36.21	-9.04	-0.17
177	SLD 8	-204	-37	2244	36.21	-9.04	-0.17
177	SLD 9	-198	31	1628	-32.11	-9	0.14
177	SLD 10	-198	31	1628	-32.11	-9	0.14
177	SLD 11	-313	-32	2282	31.62	-13.85	-0.15
177	SLD 12	-313	-32	2282	31.62	-13.85	-0.15
177	SLD 13	-364	14	1902	-15.16	-16.31	0.06
177	SLD 14	-364	14	1902	-15.16	-16.31	0.06
177	SLD 15	-399	-5	2098	3.96	-17.76	-0.02
177	SLD 16	-399	-5	2098	3.96	-17.76	-0.02
177	SLV 1	267	2	1526	-2.84	11.72	0
177	SLV 2	267	2	1526	-2.84	11.72	0
177	SLV 3	185	-47	2027	46.08	8.25	-0.22
177	SLV 4	185	-47	2027	46.08	8.25	-0.22
177	SLV 5	65	72	1052	-73.62	2.45	0.33
177	SLV 6	65	72	1052	-73.62	2.45	0.33
177	SLV 7	-211	-90	2723	89.46	-9.09	-0.42
177	SLV 8	-211	-90	2723	89.46	-9.09	-0.42
177	SLV 9	-191	83	1148	-85.36	-8.95	0.38
177	SLV 10	-191	83	1148	-85.36	-8.95	0.38
177	SLV 11	-467	-78	2819	77.72	-20.49	-0.36
177	SLV 12	-467	-78	2819	77.72	-20.49	-0.36
177	SLV 13	-587	40	1844	-41.99	-26.29	0.19
177	SLV 14	-587	40	1844	-41.99	-26.29	0.19
177	SLV 15	-670	-8	2345	6.94	-29.75	-0.04
177	SLV 16	-670	-8	2345	6.94	-29.75	-0.04
178	SLU 1	-195	-3	1822	2.04	-9.01	-0.01
178	SLU 2	-167	1	1792	-3.42	-7.73	0
178	SLU 3	-195	-3	1822	2.04	-9.01	-0.01
178	SLU 4	-178	0	1804	-1.24	-8.24	0
178	SLU 5	-167	1	1792	-3.42	-7.73	0
178	SLU 6	-195	-3	1822	2.04	-9.01	-0.01
178	SLU 7	-178	0	1804	-1.24	-8.24	0
178	SLU 8	-195	-3	1822	2.04	-9.01	-0.01
178	SLU 9	-178	0	1804	-1.24	-8.24	0
178	SLU 10	-265	2	2200	-3.95	-11.97	0



Nodo Ind.	Cont. N.br.	Reazione a traslazione			Reazione a rotazione		
		x	y	z	x	y	z
178	SLU 11	-292	-2	2230	1.52	-13.25	-0.01
178	SLU 12	-276	0	2212	-1.77	-12.49	0
178	SLU 13	-265	2	2200	-3.95	-11.97	0
178	SLU 14	-292	-2	2230	1.52	-13.25	-0.01
178	SLU 15	-276	0	2212	-1.77	-12.49	0
178	SLU 16	-292	-2	2230	1.52	-13.25	-0.01
178	SLU 17	-276	0	2212	-1.77	-12.49	0
178	SLU 18	-334	-2	2405	1.29	-15.07	-0.01
178	SLU 19	-317	1	2387	-1.99	-14.3	0
178	SLU 20	-334	-2	2405	1.29	-15.07	-0.01
178	SLU 21	-317	1	2387	-1.99	-14.3	0
178	SLU 22	-245	-3	2031	1.77	-11.19	-0.01
178	SLU 23	-217	2	2001	-3.7	-9.91	0
178	SLU 24	-245	-3	2031	1.77	-11.19	-0.01
178	SLU 25	-228	0	2013	-1.51	-10.42	0
178	SLU 26	-217	2	2001	-3.7	-9.91	0
178	SLU 27	-245	-3	2031	1.77	-11.19	-0.01
178	SLU 28	-228	0	2013	-1.51	-10.42	0
178	SLU 29	-245	-3	2031	1.77	-11.19	-0.01
178	SLU 30	-228	0	2013	-1.51	-10.42	0
178	SLU 31	-315	2	2409	-4.22	-14.15	0.01
178	SLU 32	-342	-2	2439	1.24	-15.43	-0.01
178	SLU 33	-326	1	2421	-2.04	-14.66	0
178	SLU 34	-315	2	2409	-4.22	-14.15	0.01
178	SLU 35	-342	-2	2439	1.24	-15.43	-0.01
178	SLU 36	-326	1	2421	-2.04	-14.66	0
178	SLU 37	-342	-2	2439	1.24	-15.43	-0.01
178	SLU 38	-326	1	2421	-2.04	-14.66	0
178	SLU 39	-384	-2	2614	1.02	-17.25	-0.01
178	SLU 40	-367	1	2596	-2.26	-16.48	0
178	SLU 41	-384	-2	2614	1.02	-17.25	-0.01
178	SLU 42	-367	1	2596	-2.26	-16.48	0
178	SLU 43	-236	-4	2297	2.75	-10.97	-0.01
178	SLU 44	-209	0	2267	-2.72	-9.68	0
178	SLU 45	-236	-4	2297	2.75	-10.97	-0.01
178	SLU 46	-220	-1	2279	-0.53	-10.2	-0.01
178	SLU 47	-209	0	2267	-2.72	-9.68	0
178	SLU 48	-236	-4	2297	2.75	-10.97	-0.01
178	SLU 49	-220	-1	2279	-0.53	-10.2	-0.01
178	SLU 50	-236	-4	2297	2.75	-10.97	-0.01
178	SLU 51	-220	-1	2279	-0.53	-10.2	-0.01
178	SLU 52	-306	1	2674	-3.25	-13.93	0
178	SLU 53	-333	-3	2705	2.22	-15.21	-0.01
178	SLU 54	-317	-1	2687	-1.06	-14.44	0
178	SLU 55	-306	1	2674	-3.25	-13.93	0
178	SLU 56	-333	-3	2705	2.22	-15.21	-0.01
178	SLU 57	-317	-1	2687	-1.06	-14.44	0
178	SLU 58	-333	-3	2705	2.22	-15.21	-0.01
178	SLU 59	-317	-1	2687	-1.06	-14.44	0
178	SLU 60	-375	-3	2880	1.99	-17.03	-0.01
178	SLU 61	-359	0	2862	-1.29	-16.26	0
178	SLU 62	-375	-3	2880	1.99	-17.03	-0.01
178	SLU 63	-359	0	2862	-1.29	-16.26	0
178	SLU 64	-286	-4	2506	2.48	-13.14	-0.01
178	SLU 65	-259	1	2476	-2.99	-11.86	0
178	SLU 66	-286	-4	2506	2.48	-13.14	-0.01
178	SLU 67	-270	-1	2488	-0.8	-12.37	-0.01
178	SLU 68	-259	1	2476	-2.99	-11.86	0
178	SLU 69	-286	-4	2506	2.48	-13.14	-0.01
178	SLU 70	-270	-1	2488	-0.8	-12.37	-0.01
178	SLU 71	-286	-4	2506	2.48	-13.14	-0.01
178	SLU 72	-270	-1	2488	-0.8	-12.37	-0.01
178	SLU 73	-356	1	2884	-3.52	-16.11	0
178	SLU 74	-383	-3	2914	1.95	-17.39	-0.01
178	SLU 75	-367	0	2896	-1.33	-16.62	0
178	SLU 76	-356	1	2884	-3.52	-16.11	0
178	SLU 77	-383	-3	2914	1.95	-17.39	-0.01
178	SLU 78	-367	0	2896	-1.33	-16.62	0
178	SLU 79	-383	-3	2914	1.95	-17.39	-0.01
178	SLU 80	-367	0	2896	-1.33	-16.62	0
178	SLU 81	-425	-3	3089	1.72	-19.21	-0.01
178	SLU 82	-409	0	3071	-1.56	-18.44	0
178	SLU 83	-425	-3	3089	1.72	-19.21	-0.01
178	SLU 84	-409	0	3071	-1.56	-18.44	0
178	SLE RA 1	-209	-3	1882	1.97	-9.63	-0.01
178	SLE RA 2	-191	0	1862	-1.68	-8.78	0
178	SLE RA 3	-209	-3	1882	1.97	-9.63	-0.01
178	SLE RA 4	-198	-1	1870	-0.22	-9.12	-0.01
178	SLE RA 5	-191	0	1862	-1.68	-8.78	0
178	SLE RA 6	-209	-3	1882	1.97	-9.63	-0.01
178	SLE RA 7	-198	-1	1870	-0.22	-9.12	-0.01
178	SLE RA 8	-209	-3	1882	1.97	-9.63	-0.01
178	SLE RA 9	-198	-1	1870	-0.22	-9.12	-0.01
178	SLE RA 10	-256	0	2134	-2.03	-11.61	0
178	SLE RA 11	-274	-3	2154	1.61	-12.46	-0.01
178	SLE RA 12	-263	-1	2142	-0.57	-11.95	0
178	SLE RA 13	-256	0	2134	-2.03	-11.61	0
178	SLE RA 14	-274	-3	2154	1.61	-12.46	-0.01



Nodo Ind.	Cont. N.br.	Reazione a traslazione			Reazione a rotazione		
		x	y	z	x	y	z
178	SLE RA 15	-263	-1	2142	-0.57	-11.95	0
178	SLE RA 16	-274	-3	2154	1.61	-12.46	-0.01
178	SLE RA 17	-263	-1	2142	-0.57	-11.95	0
178	SLE RA 18	-302	-2	2271	1.46	-13.67	-0.01
178	SLE RA 19	-291	-1	2258	-0.72	-13.16	0
178	SLE RA 20	-302	-2	2271	1.46	-13.67	-0.01
178	SLE RA 21	-291	-1	2258	-0.72	-13.16	0
178	SLE FR 1	-209	-3	1882	1.97	-9.63	-0.01
178	SLE FR 2	-205	-2	1878	1.24	-9.46	-0.01
178	SLE FR 3	-209	-3	1882	1.97	-9.63	-0.01
178	SLE FR 4	-233	-2	1994	1.09	-10.67	-0.01
178	SLE FR 5	-237	-3	1999	1.82	-10.84	-0.01
178	SLE FR 6	-255	-3	2076	1.71	-11.65	-0.01
178	SLE QP 1	-209	-3	1882	1.97	-9.63	-0.01
178	SLE QP 2	-237	-3	1999	1.82	-10.84	-0.01
178	SLD 1	-51	-3	1865	0.57	-2.63	-0.02
178	SLD 2	-51	-3	1865	0.57	-2.63	-0.02
178	SLD 3	-90	-16	1986	15.41	-4.14	-0.06
178	SLD 4	-90	-16	1986	15.41	-4.14	-0.06
178	SLD 5	-121	17	1775	-21.07	-6.09	0.05
178	SLD 6	-121	17	1775	-21.07	-6.09	0.05
178	SLD 7	-253	-27	2178	28.4	-11.13	-0.08
178	SLD 8	-253	-27	2178	28.4	-11.13	-0.08
178	SLD 9	-221	21	1819	-24.77	-10.56	0.06
178	SLD 10	-221	21	1819	-24.77	-10.56	0.06
178	SLD 11	-353	-23	2223	24.7	-15.6	-0.07
178	SLD 12	-353	-23	2223	24.7	-15.6	-0.07
178	SLD 13	-383	11	2011	-11.78	-17.55	0.04
178	SLD 14	-383	11	2011	-11.78	-17.55	0.04
178	SLD 15	-423	-3	2133	3.06	-19.06	0
178	SLD 16	-423	-3	2133	3.06	-19.06	0
178	SLV 1	207	-3	1671	-1.38	8.72	-0.02
178	SLV 2	207	-3	1671	-1.38	8.72	-0.02
178	SLV 3	108	-37	1974	36.58	4.96	-0.13
178	SLV 4	108	-37	1974	36.58	4.96	-0.13
178	SLV 5	47	49	1440	-56.71	0.73	0.14
178	SLV 6	47	49	1440	-56.71	0.73	0.14
178	SLV 7	-284	-64	2451	69.81	-11.81	-0.2
178	SLV 8	-284	-64	2451	69.81	-11.81	-0.2
178	SLV 9	-189	59	1546	-66.18	-9.88	0.18
178	SLV 10	-189	59	1546	-66.18	-9.88	0.18
178	SLV 11	-521	-54	2557	60.34	-22.42	-0.16
178	SLV 12	-521	-54	2557	60.34	-22.42	-0.16
178	SLV 13	-581	31	2023	-32.95	-26.65	0.11
178	SLV 14	-581	31	2023	-32.95	-26.65	0.11
178	SLV 15	-681	-3	2326	5.01	-30.41	0.01
178	SLV 16	-681	-3	2326	5.01	-30.41	0.01
179	SLU 1	-247	-2	1906	1.63	-11.07	0
179	SLU 2	-212	0	1841	-2.06	-9.34	0
179	SLU 3	-247	-2	1906	1.63	-11.07	0
179	SLU 4	-226	-1	1867	-0.59	-10.03	0
179	SLU 5	-212	0	1841	-2.06	-9.34	0
179	SLU 6	-247	-2	1906	1.63	-11.07	0
179	SLU 7	-226	-1	1867	-0.59	-10.03	0
179	SLU 8	-247	-2	1906	1.63	-11.07	0
179	SLU 9	-226	-1	1867	-0.59	-10.03	0
179	SLU 10	-330	1	2235	-2.35	-14.31	0
179	SLU 11	-365	-2	2301	1.34	-16.05	0
179	SLU 12	-344	0	2261	-0.87	-15.01	0
179	SLU 13	-330	1	2235	-2.35	-14.31	0
179	SLU 14	-365	-2	2301	1.34	-16.05	0
179	SLU 15	-344	0	2261	-0.87	-15.01	0
179	SLU 16	-365	-2	2301	1.34	-16.05	0
179	SLU 17	-344	0	2261	-0.87	-15.01	0
179	SLU 18	-416	-2	2470	1.22	-18.18	0
179	SLU 19	-395	0	2431	-1	-17.14	0
179	SLU 20	-416	-2	2470	1.22	-18.18	0
179	SLU 21	-395	0	2431	-1	-17.14	0
179	SLU 22	-308	-2	2108	1.48	-13.62	0
179	SLU 23	-273	0	2043	-2.21	-11.89	0
179	SLU 24	-308	-2	2108	1.48	-13.62	0
179	SLU 25	-287	0	2069	-0.73	-12.58	0
179	SLU 26	-273	0	2043	-2.21	-11.89	0
179	SLU 27	-308	-2	2108	1.48	-13.62	0
179	SLU 28	-287	0	2069	-0.73	-12.58	0
179	SLU 29	-308	-2	2108	1.48	-13.62	0
179	SLU 30	-287	0	2069	-0.73	-12.58	0
179	SLU 31	-391	1	2438	-2.49	-16.87	0
179	SLU 32	-426	-2	2503	1.19	-18.6	0
179	SLU 33	-405	0	2464	-1.02	-17.56	0
179	SLU 34	-391	1	2438	-2.49	-16.87	0
179	SLU 35	-426	-2	2503	1.19	-18.6	0
179	SLU 36	-405	0	2464	-1.02	-17.56	0
179	SLU 37	-426	-2	2503	1.19	-18.6	0
179	SLU 38	-405	0	2464	-1.02	-17.56	0
179	SLU 39	-477	-2	2672	1.07	-20.73	0
179	SLU 40	-456	0	2633	-1.14	-19.69	0
179	SLU 41	-477	-2	2672	1.07	-20.73	0



Nodo Ind.	Cont. N.br.	Reazione a traslazione			Reazione a rotazione		
		x	y	z	x	y	z
179	SLU 42	-456	0	2633	-1.14	-19.69	0
179	SLU 43	-300	-3	2408	2.17	-13.51	0
179	SLU 44	-265	0	2343	-1.52	-11.78	0
179	SLU 45	-300	-3	2408	2.17	-13.51	0
179	SLU 46	-279	-1	2369	-0.05	-12.47	0
179	SLU 47	-265	0	2343	-1.52	-11.78	0
179	SLU 48	-300	-3	2408	2.17	-13.51	0
179	SLU 49	-279	-1	2369	-0.05	-12.47	0
179	SLU 50	-300	-3	2408	2.17	-13.51	0
179	SLU 51	-279	-1	2369	-0.05	-12.47	0
179	SLU 52	-384	0	2738	-1.81	-16.76	0
179	SLU 53	-419	-3	2803	1.88	-18.49	0
179	SLU 54	-398	-1	2764	-0.33	-17.45	0
179	SLU 55	-384	0	2738	-1.81	-16.76	0
179	SLU 56	-419	-3	2803	1.88	-18.49	0
179	SLU 57	-398	-1	2764	-0.33	-17.45	0
179	SLU 58	-419	-3	2803	1.88	-18.49	0
179	SLU 59	-398	-1	2764	-0.33	-17.45	0
179	SLU 60	-469	-2	2972	1.76	-20.62	0
179	SLU 61	-448	-1	2933	-0.46	-19.58	0
179	SLU 62	-469	-2	2972	1.76	-20.62	0
179	SLU 63	-448	-1	2933	-0.46	-19.58	0
179	SLU 64	-361	-3	2611	2.02	-16.06	0
179	SLU 65	-326	0	2546	-1.67	-14.33	0
179	SLU 66	-361	-3	2611	2.02	-16.06	0
179	SLU 67	-340	-1	2572	-0.19	-15.03	0
179	SLU 68	-326	0	2546	-1.67	-14.33	0
179	SLU 69	-361	-3	2611	2.02	-16.06	0
179	SLU 70	-340	-1	2572	-0.19	-15.03	0
179	SLU 71	-361	-3	2611	2.02	-16.06	0
179	SLU 72	-340	-1	2572	-0.19	-15.03	0
179	SLU 73	-444	0	2940	-1.96	-19.31	0
179	SLU 74	-479	-2	3005	1.73	-21.04	0
179	SLU 75	-458	-1	2966	-0.48	-20	0
179	SLU 76	-444	0	2940	-1.96	-19.31	0
179	SLU 77	-479	-2	3005	1.73	-21.04	0
179	SLU 78	-458	-1	2966	-0.48	-20	0
179	SLU 79	-479	-2	3005	1.73	-21.04	0
179	SLU 80	-458	-1	2966	-0.48	-20	0
179	SLU 81	-530	-2	3174	1.61	-23.18	0
179	SLU 82	-509	-1	3135	-0.6	-22.14	0
179	SLU 83	-530	-2	3174	1.61	-23.18	0
179	SLU 84	-509	-1	3135	-0.6	-22.14	0
179	SLE RA 1	-264	-2	1964	1.59	-11.8	0
179	SLE RA 2	-241	0	1920	-0.87	-10.64	0
179	SLE RA 3	-264	-2	1964	1.59	-11.8	0
179	SLE RA 4	-250	-1	1938	0.11	-11.1	0
179	SLE RA 5	-241	0	1920	-0.87	-10.64	0
179	SLE RA 6	-264	-2	1964	1.59	-11.8	0
179	SLE RA 7	-250	-1	1938	0.11	-11.1	0
179	SLE RA 8	-264	-2	1964	1.59	-11.8	0
179	SLE RA 9	-250	-1	1938	0.11	-11.1	0
179	SLE RA 10	-320	0	2183	-1.06	-13.96	0
179	SLE RA 11	-343	-2	2227	1.39	-15.12	0
179	SLE RA 12	-329	-1	2201	-0.08	-14.42	0
179	SLE RA 13	-320	0	2183	-1.06	-13.96	0
179	SLE RA 14	-343	-2	2227	1.39	-15.12	0
179	SLE RA 15	-329	-1	2201	-0.08	-14.42	0
179	SLE RA 16	-343	-2	2227	1.39	-15.12	0
179	SLE RA 17	-329	-1	2201	-0.08	-14.42	0
179	SLE RA 18	-377	-2	2340	1.31	-16.54	0
179	SLE RA 19	-363	-1	2314	-0.16	-15.85	0
179	SLE RA 20	-377	-2	2340	1.31	-16.54	0
179	SLE RA 21	-363	-1	2314	-0.16	-15.85	0
179	SLE FR 1	-264	-2	1964	1.59	-11.8	0
179	SLE FR 2	-260	-2	1955	1.09	-11.56	0
179	SLE FR 3	-264	-2	1964	1.59	-11.8	0
179	SLE FR 4	-294	-2	2068	1.01	-12.99	0
179	SLE FR 5	-298	-2	2076	1.5	-13.22	0
179	SLE FR 6	-321	-2	2152	1.45	-14.17	0
179	SLE QP 1	-264	-2	1964	1.59	-11.8	0
179	SLE QP 2	-298	-2	2076	1.5	-13.22	0
179	SLD 1	-124	-5	1898	1.15	-5.52	-0.02
179	SLD 2	-124	-5	1898	1.15	-5.52	-0.02
179	SLD 3	-163	-12	2005	10.86	-6.86	-0.02
179	SLD 4	-163	-12	2005	10.86	-6.86	-0.02
179	SLD 5	-188	7	1861	-13.33	-8.89	0.01
179	SLD 6	-188	7	1861	-13.33	-8.89	0.01
179	SLD 7	-316	-15	2217	19.04	-13.33	-0.02
179	SLD 8	-316	-15	2217	19.04	-13.33	-0.02
179	SLD 9	-281	11	1936	-16.03	-13.11	0.02
179	SLD 10	-281	11	1936	-16.03	-13.11	0.02
179	SLD 11	-409	-11	2292	16.33	-17.55	-0.01
179	SLD 12	-409	-11	2292	16.33	-17.55	-0.01
179	SLD 13	-434	8	2148	-7.85	-19.58	0.02
179	SLD 14	-434	8	2148	-7.85	-19.58	0.02
179	SLD 15	-472	2	2254	1.85	-20.91	0.02
179	SLD 16	-472	2	2254	1.85	-20.91	0.02



Nodo Ind.	Cont. N.br.	Reazione a traslazione			Reazione a rotazione		
		x	y	z	x	y	z
179	SLV 1	117	-10	1650	0.52	5.11	-0.04
179	SLV 2	117	-10	1650	0.52	5.11	-0.04
179	SLV 3	21	-27	1907	25.34	1.83	-0.06
179	SLV 4	21	-27	1907	25.34	1.83	-0.06
179	SLV 5	-28	21	1559	-36.43	-2.74	0.02
179	SLV 6	-28	21	1559	-36.43	-2.74	0.02
179	SLV 7	-348	-35	2415	46.29	-13.68	-0.05
179	SLV 8	-348	-35	2415	46.29	-13.68	-0.05
179	SLV 9	-249	31	1738	-43.28	-12.76	0.04
179	SLV 10	-249	31	1738	-43.28	-12.76	0.04
179	SLV 11	-568	-25	2594	39.44	-23.69	-0.02
179	SLV 12	-568	-25	2594	39.44	-23.69	-0.02
179	SLV 13	-618	23	2246	-22.33	-28.27	0.06
179	SLV 14	-618	23	2246	-22.33	-28.27	0.06
179	SLV 15	-714	6	2502	2.49	-31.55	0.04
179	SLV 16	-714	6	2502	2.49	-31.55	0.04
180	SLU 1	-316	-3	2104	1.46	-16.02	-0.01
180	SLU 2	-274	-2	1993	-0.38	-13.9	-0.01
180	SLU 3	-316	-3	2104	1.46	-16.02	-0.01
180	SLU 4	-291	-3	2037	0.36	-14.75	-0.01
180	SLU 5	-274	-2	1993	-0.38	-13.9	-0.01
180	SLU 6	-316	-3	2104	1.46	-16.02	-0.01
180	SLU 7	-291	-3	2037	0.36	-14.75	-0.01
180	SLU 8	-316	-3	2104	1.46	-16.02	-0.01
180	SLU 9	-291	-3	2037	0.36	-14.75	-0.01
180	SLU 10	-410	-3	2395	-0.41	-20.16	-0.01
180	SLU 11	-452	-4	2506	1.42	-22.28	-0.02
180	SLU 12	-427	-3	2440	0.32	-21.01	-0.02
180	SLU 13	-410	-3	2395	-0.41	-20.16	-0.01
180	SLU 14	-452	-4	2506	1.42	-22.28	-0.02
180	SLU 15	-427	-3	2440	0.32	-21.01	-0.02
180	SLU 16	-452	-4	2506	1.42	-22.28	-0.02
180	SLU 17	-427	-3	2440	0.32	-21.01	-0.02
180	SLU 18	-511	-4	2679	1.41	-24.96	-0.02
180	SLU 19	-486	-3	2612	0.31	-23.69	-0.02
180	SLU 20	-511	-4	2679	1.41	-24.96	-0.02
180	SLU 21	-486	-3	2612	0.31	-23.69	-0.02
180	SLU 22	-386	-3	2310	1.44	-19.23	-0.02
180	SLU 23	-344	-2	2199	-0.4	-17.11	-0.01
180	SLU 24	-386	-3	2310	1.44	-19.23	-0.02
180	SLU 25	-361	-3	2244	0.34	-17.96	-0.01
180	SLU 26	-344	-2	2199	-0.4	-17.11	-0.01
180	SLU 27	-386	-3	2310	1.44	-19.23	-0.02
180	SLU 28	-361	-3	2244	0.34	-17.96	-0.01
180	SLU 29	-386	-3	2310	1.44	-19.23	-0.02
180	SLU 30	-361	-3	2244	0.34	-17.96	-0.01
180	SLU 31	-480	-3	2601	-0.43	-23.37	-0.02
180	SLU 32	-522	-4	2712	1.41	-25.49	-0.02
180	SLU 33	-497	-3	2646	0.3	-24.22	-0.02
180	SLU 34	-480	-3	2601	-0.43	-23.37	-0.02
180	SLU 35	-522	-4	2712	1.41	-25.49	-0.02
180	SLU 36	-497	-3	2646	0.3	-24.22	-0.02
180	SLU 37	-522	-4	2712	1.41	-25.49	-0.02
180	SLU 38	-497	-3	2646	0.3	-24.22	-0.02
180	SLU 39	-581	-4	2885	1.39	-28.17	-0.02
180	SLU 40	-556	-3	2818	0.29	-26.9	-0.02
180	SLU 41	-581	-4	2885	1.39	-28.17	-0.02
180	SLU 42	-556	-3	2818	0.29	-26.9	-0.02
180	SLU 43	-387	-4	2665	1.9	-19.73	-0.02
180	SLU 44	-345	-3	2554	0.07	-17.61	-0.02
180	SLU 45	-387	-4	2665	1.9	-19.73	-0.02
180	SLU 46	-362	-4	2598	0.8	-18.45	-0.02
180	SLU 47	-345	-3	2554	0.07	-17.61	-0.02
180	SLU 48	-387	-4	2665	1.9	-19.73	-0.02
180	SLU 49	-362	-4	2598	0.8	-18.45	-0.02
180	SLU 50	-387	-4	2665	1.9	-19.73	-0.02
180	SLU 51	-362	-4	2598	0.8	-18.45	-0.02
180	SLU 52	-481	-4	2956	0.03	-23.86	-0.02
180	SLU 53	-523	-5	3067	1.87	-25.98	-0.02
180	SLU 54	-498	-4	3000	0.77	-24.71	-0.02
180	SLU 55	-481	-4	2956	0.03	-23.86	-0.02
180	SLU 56	-523	-5	3067	1.87	-25.98	-0.02
180	SLU 57	-498	-4	3000	0.77	-24.71	-0.02
180	SLU 58	-523	-5	3067	1.87	-25.98	-0.02
180	SLU 59	-498	-4	3000	0.77	-24.71	-0.02
180	SLU 60	-582	-5	3239	1.85	-28.67	-0.02
180	SLU 61	-556	-4	3173	0.75	-27.39	-0.02
180	SLU 62	-582	-5	3239	1.85	-28.67	-0.02
180	SLU 63	-556	-4	3173	0.75	-27.39	-0.02
180	SLU 64	-457	-4	2871	1.88	-22.94	-0.02
180	SLU 65	-415	-3	2760	0.05	-20.82	-0.02
180	SLU 66	-457	-4	2871	1.88	-22.94	-0.02
180	SLU 67	-432	-4	2804	0.78	-21.66	-0.02
180	SLU 68	-415	-3	2760	0.05	-20.82	-0.02
180	SLU 69	-457	-4	2871	1.88	-22.94	-0.02
180	SLU 70	-432	-4	2804	0.78	-21.66	-0.02
180	SLU 71	-457	-4	2871	1.88	-22.94	-0.02
180	SLU 72	-432	-4	2804	0.78	-21.66	-0.02



Nodo Ind.	Cont. N.br.	Reazione a traslazione			Reazione a rotazione		
		x	y	z	x	y	z
180	SLU 73	-551	-4	3162	0.01	-27.07	-0.02
180	SLU 74	-593	-5	3273	1.85	-29.19	-0.02
180	SLU 75	-568	-4	3206	0.75	-27.92	-0.02
180	SLU 76	-551	-4	3162	0.01	-27.07	-0.02
180	SLU 77	-593	-5	3273	1.85	-29.19	-0.02
180	SLU 78	-568	-4	3206	0.75	-27.92	-0.02
180	SLU 79	-593	-5	3273	1.85	-29.19	-0.02
180	SLU 80	-568	-4	3206	0.75	-27.92	-0.02
180	SLU 81	-652	-5	3445	1.84	-31.88	-0.02
180	SLU 82	-626	-4	3379	0.73	-30.6	-0.02
180	SLU 83	-652	-5	3445	1.84	-31.88	-0.02
180	SLU 84	-626	-4	3379	0.73	-30.6	-0.02
180	SLE RA 1	-336	-3	2163	1.45	-16.94	-0.01
180	SLE RA 2	-308	-3	2089	0.23	-15.52	-0.01
180	SLE RA 3	-336	-3	2163	1.45	-16.94	-0.01
180	SLE RA 4	-319	-3	2119	0.72	-16.09	-0.01
180	SLE RA 5	-308	-3	2089	0.23	-15.52	-0.01
180	SLE RA 6	-336	-3	2163	1.45	-16.94	-0.01
180	SLE RA 7	-319	-3	2119	0.72	-16.09	-0.01
180	SLE RA 8	-336	-3	2163	1.45	-16.94	-0.01
180	SLE RA 9	-319	-3	2119	0.72	-16.09	-0.01
180	SLE RA 10	-399	-3	2357	0.21	-19.7	-0.02
180	SLE RA 11	-427	-4	2431	1.43	-21.11	-0.02
180	SLE RA 12	-410	-3	2387	0.7	-20.26	-0.02
180	SLE RA 13	-399	-3	2357	0.21	-19.7	-0.02
180	SLE RA 14	-427	-4	2431	1.43	-21.11	-0.02
180	SLE RA 15	-410	-3	2387	0.7	-20.26	-0.02
180	SLE RA 16	-427	-4	2431	1.43	-21.11	-0.02
180	SLE RA 17	-410	-3	2387	0.7	-20.26	-0.02
180	SLE RA 18	-466	-4	2546	1.42	-22.9	-0.02
180	SLE RA 19	-449	-3	2502	0.69	-22.05	-0.02
180	SLE RA 20	-466	-4	2546	1.42	-22.9	-0.02
180	SLE RA 21	-449	-3	2502	0.69	-22.05	-0.02
180	SLE FR 1	-336	-3	2163	1.45	-16.94	-0.01
180	SLE FR 2	-330	-3	2148	1.21	-16.65	-0.01
180	SLE FR 3	-336	-3	2163	1.45	-16.94	-0.01
180	SLE FR 4	-369	-3	2263	1.2	-18.44	-0.02
180	SLE FR 5	-375	-3	2278	1.44	-18.73	-0.02
180	SLE FR 6	-401	-4	2354	1.44	-19.92	-0.02
180	SLE QP 1	-336	-3	2163	1.45	-16.94	-0.01
180	SLE QP 2	-375	-3	2278	1.44	-18.73	-0.02
180	SLD 1	-210	-8	1937	1.63	-10.93	0
180	SLD 2	-210	-8	1937	1.63	-10.93	0
180	SLD 3	-248	-10	2164	6.28	-12.43	-0.01
180	SLD 4	-248	-10	2164	6.28	-12.43	-0.01
180	SLD 5	-269	-1	1832	-5.56	-14.12	0
180	SLD 6	-269	-1	1832	-5.56	-14.12	0
180	SLD 7	-393	-9	2588	9.95	-19.1	-0.03
180	SLD 8	-393	-9	2588	9.95	-19.1	-0.03
180	SLD 9	-357	2	1968	-7.07	-18.35	0
180	SLD 10	-357	2	1968	-7.07	-18.35	0
180	SLD 11	-481	-5	2724	8.45	-23.33	-0.03
180	SLD 12	-481	-5	2724	8.45	-23.33	-0.03
180	SLD 13	-502	3	2392	-3.39	-25.02	-0.02
180	SLD 14	-502	3	2392	-3.39	-25.02	-0.02
180	SLD 15	-539	1	2619	1.26	-26.52	-0.03
180	SLD 16	-539	1	2619	1.26	-26.52	-0.03
180	SLV 1	18	-14	1452	1.8	-0.11	0.02
180	SLV 2	18	-14	1452	1.8	-0.11	0.02
180	SLV 3	-74	-19	2014	13.69	-3.83	-0.01
180	SLV 4	-74	-19	2014	13.69	-3.83	-0.01
180	SLV 5	-118	2	1177	-16.48	-7.5	0.03
180	SLV 6	-118	2	1177	-16.48	-7.5	0.03
180	SLV 7	-423	-16	3052	23.15	-19.9	-0.05
180	SLV 8	-423	-16	3052	23.15	-19.9	-0.05
180	SLV 9	-326	10	1503	-20.26	-17.55	0.02
180	SLV 10	-326	10	1503	-20.26	-17.55	0.02
180	SLV 11	-632	-9	3379	19.37	-29.95	-0.06
180	SLV 12	-632	-9	3379	19.37	-29.95	-0.06
180	SLV 13	-676	12	2541	-10.8	-33.62	-0.02
180	SLV 14	-676	12	2541	-10.8	-33.62	-0.02
180	SLV 15	-768	7	3104	1.09	-37.34	-0.05
180	SLV 16	-768	7	3104	1.09	-37.34	-0.05
181	SLU 1	-383	-391	2762	12.53	-10.65	-0.01
181	SLU 2	-343	-390	2589	12.66	-9.64	0
181	SLU 3	-383	-391	2762	12.53	-10.65	-0.01
181	SLU 4	-359	-390	2658	12.61	-10.04	0
181	SLU 5	-343	-390	2589	12.66	-9.64	0
181	SLU 6	-383	-391	2762	12.53	-10.65	-0.01
181	SLU 7	-359	-390	2658	12.61	-10.04	0
181	SLU 8	-383	-391	2762	12.53	-10.65	-0.01
181	SLU 9	-359	-390	2658	12.61	-10.04	0
181	SLU 10	-452	-427	3085	13.34	-13.29	-0.03
181	SLU 11	-492	-428	3257	13.21	-14.29	-0.03
181	SLU 12	-468	-427	3154	13.29	-13.69	-0.03
181	SLU 13	-452	-427	3085	13.34	-13.29	-0.03
181	SLU 14	-492	-428	3257	13.21	-14.29	-0.03
181	SLU 15	-468	-427	3154	13.29	-13.69	-0.03



Nodo Ind.	Cont. N.br.	Reazione a traslazione			Reazione a rotazione		
		x	y	z	x	y	z
181	SLU 16	-492	-428	3257	13.21	-14.29	-0.03
181	SLU 17	-468	-427	3154	13.29	-13.69	-0.03
181	SLU 18	-539	-444	3470	13.51	-15.86	-0.04
181	SLU 19	-515	-443	3366	13.58	-15.25	-0.04
181	SLU 20	-539	-444	3470	13.51	-15.86	-0.04
181	SLU 21	-515	-443	3366	13.58	-15.25	-0.04
181	SLU 22	-439	-410	3016	12.88	-12.52	-0.02
181	SLU 23	-399	-409	2843	13.01	-11.51	-0.01
181	SLU 24	-439	-410	3016	12.88	-12.52	-0.02
181	SLU 25	-415	-409	2912	12.96	-11.91	-0.02
181	SLU 26	-399	-409	2843	13.01	-11.51	-0.01
181	SLU 27	-439	-410	3016	12.88	-12.52	-0.02
181	SLU 28	-415	-409	2912	12.96	-11.91	-0.02
181	SLU 29	-439	-410	3016	12.88	-12.52	-0.02
181	SLU 30	-415	-409	2912	12.96	-11.91	-0.02
181	SLU 31	-508	-446	3339	13.69	-15.16	-0.04
181	SLU 32	-549	-447	3511	13.56	-16.17	-0.04
181	SLU 33	-525	-446	3408	13.64	-15.56	-0.04
181	SLU 34	-508	-446	3339	13.69	-15.16	-0.04
181	SLU 35	-549	-447	3511	13.56	-16.17	-0.04
181	SLU 36	-525	-446	3408	13.64	-15.56	-0.04
181	SLU 37	-549	-447	3511	13.56	-16.17	-0.04
181	SLU 38	-525	-446	3408	13.64	-15.56	-0.04
181	SLU 39	-595	-462	3723	13.85	-17.73	-0.05
181	SLU 40	-571	-462	3620	13.93	-17.13	-0.05
181	SLU 41	-595	-462	3723	13.85	-17.73	-0.05
181	SLU 42	-571	-462	3620	13.93	-17.13	-0.05
181	SLU 43	-478	-502	3503	16.17	-13.2	0
181	SLU 44	-438	-501	3331	16.3	-12.19	0
181	SLU 45	-478	-502	3503	16.17	-13.2	0
181	SLU 46	-454	-501	3400	16.25	-12.59	0
181	SLU 47	-438	-501	3331	16.3	-12.19	0
181	SLU 48	-478	-502	3503	16.17	-13.2	0
181	SLU 49	-454	-501	3400	16.25	-12.59	0
181	SLU 50	-478	-502	3503	16.17	-13.2	0
181	SLU 51	-454	-501	3400	16.25	-12.59	0
181	SLU 52	-548	-538	3826	16.98	-15.84	-0.02
181	SLU 53	-588	-539	3999	16.86	-16.85	-0.03
181	SLU 54	-564	-538	3895	16.93	-16.24	-0.03
181	SLU 55	-548	-538	3826	16.98	-15.84	-0.02
181	SLU 56	-588	-539	3999	16.86	-16.85	-0.03
181	SLU 57	-564	-538	3895	16.93	-16.24	-0.03
181	SLU 58	-588	-539	3999	16.86	-16.85	-0.03
181	SLU 59	-564	-538	3895	16.93	-16.24	-0.03
181	SLU 60	-635	-554	4211	17.15	-18.41	-0.04
181	SLU 61	-611	-554	4108	17.22	-17.81	-0.04
181	SLU 62	-635	-554	4211	17.15	-18.41	-0.04
181	SLU 63	-611	-554	4108	17.22	-17.81	-0.04
181	SLU 64	-535	-520	3757	16.52	-15.07	-0.01
181	SLU 65	-495	-520	3585	16.65	-14.06	-0.01
181	SLU 66	-535	-520	3757	16.52	-15.07	-0.01
181	SLU 67	-511	-520	3654	16.6	-14.47	-0.01
181	SLU 68	-495	-520	3585	16.65	-14.06	-0.01
181	SLU 69	-535	-520	3757	16.52	-15.07	-0.01
181	SLU 70	-511	-520	3654	16.6	-14.47	-0.01
181	SLU 71	-535	-520	3757	16.52	-15.07	-0.01
181	SLU 72	-511	-520	3654	16.6	-14.47	-0.01
181	SLU 73	-604	-557	4080	17.33	-17.71	-0.04
181	SLU 74	-644	-557	4253	17.2	-18.72	-0.04
181	SLU 75	-620	-557	4149	17.28	-18.11	-0.04
181	SLU 76	-604	-557	4080	17.33	-17.71	-0.04
181	SLU 77	-644	-557	4253	17.2	-18.72	-0.04
181	SLU 78	-620	-557	4149	17.28	-18.11	-0.04
181	SLU 79	-644	-557	4253	17.2	-18.72	-0.04
181	SLU 80	-620	-557	4149	17.28	-18.11	-0.04
181	SLU 81	-691	-573	4465	17.49	-20.28	-0.05
181	SLU 82	-667	-573	4361	17.57	-19.68	-0.05
181	SLU 83	-691	-573	4465	17.49	-20.28	-0.05
181	SLU 84	-667	-573	4361	17.57	-19.68	-0.05
181	SLE RA 1	-399	-396	2834	12.63	-11.18	-0.01
181	SLE RA 2	-372	-396	2719	12.72	-10.51	-0.01
181	SLE RA 3	-399	-396	2834	12.63	-11.18	-0.01
181	SLE RA 4	-383	-396	2765	12.68	-10.78	-0.01
181	SLE RA 5	-372	-396	2719	12.72	-10.51	-0.01
181	SLE RA 6	-399	-396	2834	12.63	-11.18	-0.01
181	SLE RA 7	-383	-396	2765	12.68	-10.78	-0.01
181	SLE RA 8	-399	-396	2834	12.63	-11.18	-0.01
181	SLE RA 9	-383	-396	2765	12.68	-10.78	-0.01
181	SLE RA 10	-445	-420	3050	13.17	-12.94	-0.02
181	SLE RA 11	-472	-421	3165	13.09	-13.61	-0.03
181	SLE RA 12	-456	-420	3096	13.14	-13.21	-0.02
181	SLE RA 13	-445	-420	3050	13.17	-12.94	-0.02
181	SLE RA 14	-472	-421	3165	13.09	-13.61	-0.03
181	SLE RA 15	-456	-420	3096	13.14	-13.21	-0.02
181	SLE RA 16	-472	-421	3165	13.09	-13.61	-0.03
181	SLE RA 17	-456	-420	3096	13.14	-13.21	-0.02
181	SLE RA 18	-503	-431	3306	13.28	-14.66	-0.03
181	SLE RA 19	-487	-431	3237	13.33	-14.25	-0.03



Nodo Ind.	Cont. N.br.	Reazione a traslazione			Reazione a rotazione		
		x	y	z	x	y	z
181	SLE RA 20	-503	-431	3306	13.28	-14.66	-0.03
181	SLE RA 21	-487	-431	3237	13.33	-14.25	-0.03
181	SLE FR 1	-399	-396	2834	12.63	-11.18	-0.01
181	SLE FR 2	-394	-396	2811	12.65	-11.05	-0.01
181	SLE FR 3	-399	-396	2834	12.63	-11.18	-0.01
181	SLE FR 4	-425	-407	2953	12.84	-12.09	-0.02
181	SLE FR 5	-430	-407	2976	12.83	-12.22	-0.02
181	SLE FR 6	-451	-414	3070	12.96	-12.92	-0.02
181	SLE QP 1	-399	-396	2834	12.63	-11.18	-0.01
181	SLE QP 2	-430	-407	2976	12.83	-12.22	-0.02
181	SLD 1	-309	-324	2384	9.58	-7.95	0.01
181	SLD 2	-309	-324	2384	9.58	-7.95	0.01
181	SLD 3	-349	-401	2782	12.67	-8.73	0.04
181	SLD 4	-349	-401	2782	12.67	-8.73	0.04
181	SLD 5	-333	-266	2194	7.17	-9.76	-0.05
181	SLD 6	-333	-266	2194	7.17	-9.76	-0.05
181	SLD 7	-466	-521	3522	17.46	-12.35	0.05
181	SLD 8	-466	-521	3522	17.46	-12.35	0.05
181	SLD 9	-394	-292	2430	8.19	-12.09	-0.08
181	SLD 10	-394	-292	2430	8.19	-12.09	-0.08
181	SLD 11	-527	-548	3758	18.48	-14.68	0.02
181	SLD 12	-527	-548	3758	18.48	-14.68	0.02
181	SLD 13	-512	-412	3170	12.98	-15.71	-0.08
181	SLD 14	-512	-412	3170	12.98	-15.71	-0.08
181	SLD 15	-552	-489	3568	16.07	-16.49	-0.05
181	SLD 16	-552	-489	3568	16.07	-16.49	-0.05
181	SLV 1	-137	-211	1540	5.12	-2.02	0.06
181	SLV 2	-137	-211	1540	5.12	-2.02	0.06
181	SLV 3	-239	-394	2531	12.46	-3.97	0.13
181	SLV 4	-239	-394	2531	12.46	-3.97	0.13
181	SLV 5	-188	-72	1042	-0.61	-6.22	-0.1
181	SLV 6	-188	-72	1042	-0.61	-6.22	-0.1
181	SLV 7	-527	-679	4346	23.84	-12.69	0.14
181	SLV 8	-527	-679	4346	23.84	-12.69	0.14
181	SLV 9	-334	-134	1606	1.81	-11.76	-0.17
181	SLV 10	-334	-134	1606	1.81	-11.76	-0.17
181	SLV 11	-672	-742	4910	26.26	-18.23	0.07
181	SLV 12	-672	-742	4910	26.26	-18.23	0.07
181	SLV 13	-621	-420	3420	13.19	-20.48	-0.16
181	SLV 14	-621	-420	3420	13.19	-20.48	-0.16
181	SLV 15	-723	-602	4412	20.53	-22.42	-0.09
181	SLV 16	-723	-602	4412	20.53	-22.42	-0.09

1.3 Risposta modale

Modo: identificativo del modo di vibrare.

Periodo: periodo. [s]

Massa X: massa partecipante in direzione globale X. Il valore è adimensionale.

Massa Y: massa partecipante in direzione globale Y. Il valore è adimensionale.

Massa Z: massa partecipante in direzione globale Z. Il valore è adimensionale.

Massa rot. X: massa rotazionale partecipante attorno la direzione globale X. Il valore è adimensionale.

Massa rot. Y: massa rotazionale partecipante attorno la direzione globale Y. Il valore è adimensionale.

Massa rot. Z: massa rotazionale partecipante attorno la direzione globale Z. Il valore è adimensionale.

Massa sX: massa partecipante in direzione Sisma X. Il valore è adimensionale.

Massa sY: massa partecipante in direzione Sisma Y. Il valore è adimensionale.

Totale masse partecipanti:

Traslazione X: 0.970651

Traslazione Y: 0.971875

Traslazione Z: 0

Rotazione X: 0.811124

Rotazione Y: 0.830241

Rotazione Z: 0.888204

Modo	Periodo	Massa X	Massa Y	Massa Z	Massa rot. X	Massa rot. Y	Massa rot. Z	Massa sX	Massa sY
1	1.30812075	0.000013686	0.000216648	0	0.000564093	0.000063814	0.002754075	0.000013686	0.000216648
2	1.093606357	0.001500572	0.006011437	0	0.014565371	0.00371246	0.006072405	0.001500572	0.006011437
3	1.074790174	0.002544754	0.026870371	0	0.075209504	0.007205676	0.020487778	0.002544754	0.026870371
4	1.070564859	0.017275688	0.001366831	0	0.004521689	0.04606583	0.002626806	0.017275688	0.001366831
5	1.043286725	0.00417187	0.000069969	0	0.000143218	0.011812007	0.000388885	0.00417187	0.000069969
6	0.85093698	0.001547791	0.000207341	0	0.001012791	0.00349341	0.001346836	0.001547791	0.000207341
7	0.810013075	0.001153368	0.001830396	0	0.002069053	0.003587983	0.00504182	0.001153368	0.001830396
8	0.723688616	0.004563114	0.064227761	0	0.110462774	0.009311294	0.042213809	0.004563114	0.064227761
9	0.696426383	0.020380397	0.00976983	0	0.015610983	0.050627431	0.022843387	0.020380397	0.00976983
10	0.640981536	0.003932174	0.000167994	0	0.001171608	0.000686353	0.000005939	0.003932174	0.000167994
11	0.621268863	0.015002519	0.008005853	0	0.002803174	0.02492634	0.000007579	0.015002519	0.008005853
12	0.606015528	0.004316471	0.005292873	0	0.002078207	0.001464588	0.001660494	0.004316471	0.005292873
13	0.592705535	0.000263324	0.020853901	0	0.030191626	0.000008433	0.021667078	0.000263324	0.020853901
14	0.55944392	0.000137763	0.002486397	0	0.003690571	0.000252866	0.000479901	0.000137763	0.002486397
15	0.554325912	0.00325042	0.014142985	0	0.014141281	0.014067841	0.013521256	0.00325042	0.014142985



Contributo	Fx	Fy	Fz	Mx	My	Mz
P-Delta	0	0	0	0	0	0
Totale	0	0	0	0	0	0

Bilancio in condizione di carico: Sisma Y SLV

Contributo	Fx	Fy	Fz	Mx	My	Mz
Forze applicate	0	71584.832	0	-181144.88	0	-1024186.26
Reazioni	0	-71584.832	0	181144.88	0	1024186.26
P-Delta	0	0	0	0	0	0
Totale	0	0	0	0	0	0

Bilancio in condizione di carico: Sisma X SLD

Contributo	Fx	Fy	Fz	Mx	My	Mz
Forze applicate	30119.869	0	0	0	76218.1	-45047.8
Reazioni	-30119.869	0	0	0	-76218.1	45047.8
P-Delta	0	0	0	0	0	0
Totale	0	0	0	0	0	0

Bilancio in condizione di carico: Sisma Y SLD

Contributo	Fx	Fy	Fz	Mx	My	Mz
Forze applicate	0	30317.25	0	-76717.57	0	-433758.24
Reazioni	0	-30317.25	0	76717.57	0	433758.24
P-Delta	0	0	0	0	0	0
Totale	0	0	0	0	0	0

Bilancio in condizione di carico: Rig Ux

Contributo	Fx	Fy	Fz	Mx	My	Mz
Forze applicate	0	0	0	0	0	0
Reazioni	0	0	0	0	0	0
P-Delta	0	0	0	0	0	0
Totale	0	0	0	0	0	0

Bilancio in condizione di carico: Rig Uy

Contributo	Fx	Fy	Fz	Mx	My	Mz
Forze applicate	0	0	0	0	0	0
Reazioni	0	0	0	0	0	0
P-Delta	0	0	0	0	0	0
Totale	0	0	0	0	0	0

Bilancio in condizione di carico: Rig Rz

Contributo	Fx	Fy	Fz	Mx	My	Mz
Forze applicate	0	0	0	0	0	0
Reazioni	0	0	0	0	0	0
P-Delta	0	0	0	0	0	0
Totale	0	0	0	0	0	0

1.5 Risposta di spettro

Spettro: condizione elementare corrispondente allo spettro.

N.b.: nome breve della condizione elementare.

Fx: componente della forza lungo l'asse X. [daN]

Fy: componente della forza lungo l'asse Y. [daN]

Fz: componente della forza lungo l'asse Z. [daN]

Mx: componente della coppia attorno all'asse X. [daN*m]

My: componente della coppia attorno all'asse Y. [daN*m]

Mz: componente della coppia attorno all'asse Z. [daN*m]

Max X: massima reazione lungo l'asse X.

Valore: valore massimo della reazione. [daN]

Angolo: angolo d'ingresso del sisma che provoca il valore massimo della reazione. [deg]

Max Y: massima reazione lungo l'asse Y.

Valore: valore massimo della reazione. [daN]

Angolo: angolo d'ingresso del sisma che provoca il valore massimo della reazione. [deg]

Max Z: massima reazione lungo l'asse Z.

Valore: valore massimo della reazione. [daN]

Angolo: angolo d'ingresso del sisma che provoca il valore massimo della reazione. [deg]

Spettro	Fx	Fy	Fz	Mx	My	Mz	Max X		Max Y		Max Z	
N.b.							Valore	Angolo	Valore	Angolo	Valore	Angolo
SLV X	41570.19	6040.09	0	1.250E04	6.463E04	1.039E05	41576.94	178	29566.9	88	0	0
SLV Y	6040.09	29541.59	0	4.837E04	9015.8602	4.257E05	41576.94	178	29566.9	88	0	0
X SLD	17601.82	2554.33	0	5291.1503	2.732E04	4.400E04	17604.59	178	12457.53	87	0	0
Y SLD	2554.33	12445.75	0	2.035E04	3791.9391	1.796E05	17604.59	178	12457.53	87	0	0

1.6 Annotazioni solutore

Informazioni: informazioni fornite dal solutore al termine del calcolo del modello.

Informazioni



Informazioni

1.7 Statistiche soluzione

Tipo di equazioni	Lineari
Tecnica di soluzione	Intel MKL PARDISO
Numero equazioni	17022
Elemento min. diagonale	655.58665847
Elemento max diagonale	429376436.857136
Rapporto max/min	654949.93119349
Elementi non nulli	547974

2 Verifiche

2.1 Verifica regolarità strutturale

Le unità di misura elencate nel capitolo sono in [m] ove non espressamente specificato.

Livello:

Descr: descrizione livello.

Quota: quota livello. [m]

A1: a1 (Distribuzione masse).

A1n: a1 numeratore (distanza tra centro massa vs. centro rigidezza [se presente] o centro dell'ingombro del piano). [m]

A1d: a1 denominatore (ingombro del piano nella medesima direzione [x o y globale]). [m]

A1r: a1 rapporto (distanza centro massa/rigidezza su ingombro del piano).

A2: a2 (Distribuzione rigidezze).

A2n: a2 numeratore (rigidezza max [x o y globale]).

A2d: a2 denominatore (rigidezza min [x o y globale]).

A2r: a2 rapporto (rigidezza max/min).

A3: a3 (Forma compatta).

A3n: a3 numeratore (area convessa). [m²]

A3d: a3 denominatore (area piano). [m²]

A3r: a3 rapporto (area convessa/area piano).

B: b (Rapporto lati).

Bn: b numeratore (lato max [x o y globale]). [m]

Bd: b denominatore (lato min [x o y globale]). [m]

Br: b rapporto (lato max/min).

C: c (Rapporto rigidezze piano).

Cn: c numeratore (rigidezza elementi verticali).

Cd: c denominatore (rigidezza piano).

Cr: c rapporto (rigidezza elementi verticali/rigidezza piano).

Verifica regolarità strutturale

Controllo regolarità edificio secondo D.M. 17-01-18 (N.T.C.) §7.2.1 - §C7.2.1

Avvertenze

La seguente procedura valuta la regolarità della costruzione secondo quanto indicato nelle NTC 2018 §7.2.1.

Tali valutazioni sono a carattere puramente informativo e vengono condotte sulla base del modello e delle verifiche presenti alla sua generazione, con le limitazioni indicate nella manualistica.

In ogni caso l'impostazione di regolarità della costruzione, in pianta ed elevazione, va indicata nelle preferenze di analisi dall'utente utilizzatore del software.

Sintesi dei risultati

Orizzontamenti considerati nella valutazione

Nessun livello di fondazione trovato

Livelli di elevazione considerati: Rialzato(L2),

Regolarità in pianta - NO

L'edificio risulta NON regolare in pianta, in base alle condizioni indicate in NTC 2018 §7.2.1

Ok - Criterio A1 (Distribuzione masse) rispettato, con rapporto massimo 0 (limite=0,2) al livello Rialzato

N.V. - Criterio A2 (Distribuzione rigidezze) non valutabile al livello Rialzato

Ok - Criterio A3 (Forma compatta) rispettato, con rapporto massimo 1 (limite=1,05) al livello Rialzato

Ok - Criterio B (Rapporto lati) rispettato, con rapporto massimo 1,36 (limite=4) al livello Rialzato

No - Criterio C (Rapporto rigidezze piano) NON rispettato, con rapporto massimo > 999 (limite=0) al livello Rialzato

Regolarità in altezza - Non valutabile

Verifica di regolarità in altezza non valutabile in quanto l'edificio risulta avere meno di due orizzontamenti in elevazione



Valori per piano

Verifiche di regolarità in pianta

Livello		A1			A2			A3			B			C		
Descr	Quota	A1n	A1d	A1r	A2n	A2d	A2r	A3n	A3d	A3r	Bn	Bd	Br	Cn	Cd	Cr
Rialzato	0.73	0.01	12.84	0				121.4444	121.4442	1	12.84	9.46	1.36	9999	1	9999

2.2 Verifica sismica globale

Desc.: descrizione.

Stato limite: (muratura) V=Taglio; PF=Pressoflessione; PFFP=Pressoflessione fuori piano; R=Ribaltamento.

Molt.: moltiplicatore minimo della azione sismica che produce lo stato limite.

Comb.: combinazione.

PGA: accelerazione al suolo.

iPGA (ZE): indicatore di rischio sismico in termini di PGA ovvero rapporto tra l'azione sismica massima sopportabile dall'elemento e l'azione sismica massima che si utilizzerebbe nel progetto nuovo (§C8.3).

TR: tempo di ritorno.

(TR/TRrif)^.41: indicatore di rischio sismico in termini di periodo di ritorno.

fa: fattore di accelerazione.

Stato limite: (muratura) V=Taglio; PF=Presso flessione; PFFP=Pressoflessione fuori piano; R=Ribaltamento.

Coeff.s.: coefficiente minimo prodotto dallo stato limite.

Verifica: stato di verifica.

Maschio: maschio.

Stato limite: (maschio muratura) V=Taglio; PF=Presso flessione; PFFP=Presso flessione fuori piano; R=Ribaltamento.

Trave: trave di collegamento in muratura.

Stato limite: (trave muratura) V=Taglio; F=Flessione.

S. L.: stato limite di riferimento.

TR,C: periodo di ritorno di capacità.

PGA,C: accelerazione di aggancio di capacità.

TR,Rif: periodo di ritorno di riferimento.

PGA,Rif: accelerazione di aggancio di riferimento.

Tipo rottura: tipo di rottura che fornisce il valore minimo degli elementi considerati.

PAM: perdita media annua attesa.

Classe PAM: classe di rischio PAM.

IS-V: indice di sicurezza.

Classe IS-V: classe di rischio IS-V.

Verifica di elementi dotati di indicatori di rischio sismico mediante analisi con fattore q

Verifiche condotte secondo D.M. 17-01-18 (N.T.C.) § C8.7.1

Accelerazioni e tempi di ritorno

Accelerazione di aggancio SLO (ag/g_SLO*S*ST) PGA,SLOrif = 0.081

Accelerazione di aggancio SLD (ag/g_SLD*S*ST) PGA,SLDrif = 0.101

Accelerazione di aggancio SLV (ag/g_SLV*S*ST) PGA,SLVrif = 0.244

Tr,SLOrif = 30 anni

Tr,SLDrif = 50 anni

Tr,SLVrif = 475 anni

Moltiplicatori minimi delle condizioni sismiche

(Il valore di ZE corrisponde al valore di I.R. PGA secondo quanto riportato nella Circolare 7 21-01-19 §C8.3)

Rottura a taglio

Moltiplicatore: 0

Maschio 21

Lunghezza: 8.959; altezza: 3.76; spessore: 0.3; sezione a quota: 4.49

Combinazione SLV 1 N= 70 V par.= 2 l'= 0 fvd= 8333 Vt scorrimento= 0 Vt fess. diag.= 0

Tempo di ritorno 0 anni

Indicatore iTr=(Tr/Tr,SLVrif)^.41 = 0

PGA 0

Indicatore iPGA=PGA/PGA,SLVrif = 0

Fattore di accelerazione fa = 0

Rottura a flessione

Moltiplicatore: 0

Maschio 2

Lunghezza: 1.228; altezza: 2.71; spessore: 0.3 sezione a quota 0.73

Combinazione SLV 1 N = -419 M = -255.44 σ0 = 1137 fd = 143750 Mu = 254.89

Tempo di ritorno 0 anni

Indicatore iTr=(Tr/Tr,SLVrif)^.41 = 0

PGA 0



Indicatore iPGA=PGA/PGA,SLVrif = 0

Fattore di accelerazione fa = 0

Rottura a pressoflessione nel piano ortogonale

Moltiplicatore: 0.159

Maschio 22

Lunghezza: 4.47; altezza: 3.76; spessore: 0.14; sezione a quota: 2.61

Combinazione SLV 1 fd= 143750 Ta= 0.17 Wa= 252 N= -698 M= 48.17 Mc= 48.44

Tempo di ritorno 4 anni

Indicatore iTr=(Tr/Tr,SLVrif)^.41 = 0.141

PGA 0.035

Indicatore iPGA=PGA/PGA,SLVrif = 0.143

Fattore di accelerazione fa = 0.139

Rottura per meccanismi locali di collasso

Moltiplicatore: 0

Maschio 21

Lunghezza: 8.959; altezza: 3.76; spessore: 0.3 f.agg.= 0 a.lim.= 0

Combinazione SLV 1 N top= 70 N base= -14347 T orto= 5 α0= 0 M*= 0 e*= 0 a0*= 0

Tempo di ritorno 0 anni

Indicatore iTr=(Tr/Tr,SLVrif)^.41 = 0

PGA 0

Indicatore iPGA=PGA/PGA,SLVrif = 0

Fattore di accelerazione fa = 0

Indicatori minimi riferiti al solo materiale muratura

Desc.	Stato limite	Molt.	Comb.	PGA	iPGA (ξE)	TR	(TR/TRrif)^.41	fa
Maschio 2	PF	0	SLV 1	0	0	0	0	0
Maschio 21	V	0	SLV 1	0	0	0	0	0
Maschio 22	PFFP	0.159	SLV 1	0.0349	0.1428	4	0.1411	0.139
Maschio 21	R	0	SLV 1	0	0	0	0	0
Trave di accoppiamento 12	PF	0.177	SLV 7	0.0414	0.1693	6	0.1666	0.1647
Trave di accoppiamento 2	V	0	SLV 1	0	0	0	0	0

Coefficienti di sicurezza riferiti al solo materiale muratura

Desc.	Stato limite	Coeff.s.	Comb.	Verifica
Maschio 1	PF SLU	12.005	SLU 2	Si
Maschio 1	V SLU	45.831	SLU 44	Si
Maschio 1	PF	4.578	SLV 7	Si
Maschio 1	V	3.393	SLV 11	Si
Maschio 1	PFFP	10.232	SLV 13	Si
Maschio 1	R	0.134	SLV 3	No
Maschio 2	PF SLU	0.983	SLU 82	No
Maschio 2	V SLU	2.201	SLU 81	Si
Maschio 2	PF	0	SLV 14	No
Maschio 2	V	0	SLV 1	No
Maschio 2	PFFP	0	SLV 10	No
Maschio 2	R	0	SLV 14	No
Maschio 3	PF SLU	0.967	SLU 82	No
Maschio 3	V SLU	1.086	SLU 81	Si
Maschio 3	PF	0	SLV 16	No
Maschio 3	V	0	SLV 1	No
Maschio 3	PFFP	0	SLV 12	No
Maschio 3	R	0	SLV 16	No
Maschio 4	PF SLU	1.99	SLU 43	Si
Maschio 4	V SLU	4.25	SLU 44	Si
Maschio 4	PF	0	SLV 4	No
Maschio 4	V	0	SLV 1	No
Maschio 4	PFFP	0	SLV 3	No
Maschio 4	R	0	SLV 4	No
Maschio 5	PF SLU	3.889	SLU 82	Si
Maschio 5	V SLU	5.398	SLU 39	Si
Maschio 5	PF	3.269	SLV 11	Si
Maschio 5	V	2.782	SLV 3	Si
Maschio 5	PFFP	12.872	SLV 11	Si
Maschio 5	R	0.135	SLV 5	No
Maschio 6	PF SLU	13.187	SLU 43	Si
Maschio 6	V SLU	68.806	SLU 40	Si
Maschio 6	PF	3.503	SLV 3	Si
Maschio 6	V	2.852	SLV 1	Si
Maschio 6	PFFP	13.823	SLV 7	Si
Maschio 6	R	0.032	SLV 7	No
Maschio 7	PF SLU	26.954	SLU 43	Si
Maschio 7	V SLU	39.162	SLU 81	Si
Maschio 7	PF	3.349	SLV 3	Si
Maschio 7	V	2.846	SLV 3	Si
Maschio 7	PFFP	13.551	SLV 7	Si
Maschio 7	R	0.038	SLV 7	No
Maschio 8	PF SLU	53.384	SLU 39	Si
Maschio 8	V SLU	75.997	SLU 40	Si
Maschio 8	PF	4.587	SLV 15	Si
Maschio 8	V	2.871	SLV 15	Si
Maschio 8	PFFP	13.813	SLV 11	Si
Maschio 8	R	0.11	SLV 15	No
Maschio 9	PF SLU	3.017	SLU 82	Si



Desc.	Stato limite	Coeff.s.	Comb.	Verifica
Maschio 9	V SLU	4.829	SLU 39	Si
Maschio 9	PF	2.714	SLV 3	Si
Maschio 9	V	2.601	SLV 15	Si
Maschio 9	PFFP	11.789	SLV 7	Si
Maschio 9	R	0.124	SLV 5	No
Maschio 10	PF SLU	15.205	SLU 44	Si
Maschio 10	V SLU	77.899	SLU 44	Si
Maschio 10	PF	11.127	SLV 3	Si
Maschio 10	V	3.318	SLV 3	Si
Maschio 10	PFFP	20.443	SLV 9	Si
Maschio 10	R	0.083	SLV 9	No
Maschio 11	PF SLU	5.223	SLU 40	Si
Maschio 11	V SLU	7.239	SLU 39	Si
Maschio 11	PF	1.752	SLV 9	Si
Maschio 11	V	0.769	SLV 9	No
Maschio 11	PFFP	10.436	SLV 9	Si
Maschio 11	R	0.106	SLV 7	No
Maschio 12	PF SLU	11.707	SLU 2	Si
Maschio 12	V SLU	5.024	SLU 44	Si
Maschio 12	PF	6.696	SLV 3	Si
Maschio 12	V	1.145	SLV 5	Si
Maschio 12	PFFP	10.923	SLV 9	Si
Maschio 12	R	0.088	SLV 11	No
Maschio 13	PF SLU	9.769	SLU 2	Si
Maschio 13	V SLU	5.704	SLU 44	Si
Maschio 13	PF	3.044	SLV 9	Si
Maschio 13	V	0.942	SLV 9	No
Maschio 13	PFFP	10.327	SLV 9	Si
Maschio 13	R	0.081	SLV 11	No
Maschio 14	PF SLU	3.909	SLU 39	Si
Maschio 14	V SLU	7.523	SLU 2	Si
Maschio 14	PF	1.802	SLV 5	Si
Maschio 14	V	0.901	SLV 5	No
Maschio 14	PFFP	7.915	SLV 5	Si
Maschio 14	R	0.098	SLV 11	No
Maschio 15	PF SLU	8.392	SLU 40	Si
Maschio 15	V SLU	186.488	SLU 73	Si
Maschio 15	PF	4.974	SLV 7	Si
Maschio 15	V	1.719	SLV 11	Si
Maschio 15	PFFP	6.342	SLV 15	Si
Maschio 15	R	0.09	SLV 3	No
Maschio 16	PF SLU	2.851	SLU 2	Si
Maschio 16	V SLU	5.55	SLU 44	Si
Maschio 16	PF	0	SLV 4	No
Maschio 16	V	0	SLV 1	No
Maschio 16	PFFP	1.082	SLV 3	Si
Maschio 16	R	0	SLV 4	No
Maschio 17	PF SLU	0.98	SLU 82	No
Maschio 17	V SLU	4.846	SLU 81	Si
Maschio 17	PF	0	SLV 10	No
Maschio 17	V	0	SLV 1	No
Maschio 17	PFFP	0	SLV 10	No
Maschio 17	R	0	SLV 10	No
Maschio 18	PF SLU	0.968	SLU 82	No
Maschio 18	V SLU	1.328	SLU 81	Si
Maschio 18	PF	0	SLV 12	No
Maschio 18	V	0	SLV 1	No
Maschio 18	PFFP	0	SLV 12	No
Maschio 18	R	0	SLV 12	No
Maschio 19	PF SLU	15.42	SLU 39	Si
Maschio 19	V SLU	12.916	SLU 73	Si
Maschio 19	PF	5.394	SLV 7	Si
Maschio 19	V	3.11	SLV 5	Si
Maschio 19	PFFP	10.704	SLV 3	Si
Maschio 19	R	0.151	SLV 9	No
Maschio 20	PF SLU	13.46	SLU 39	Si
Maschio 20	V SLU	11.005	SLU 81	Si
Maschio 20	PF	3.55	SLV 7	Si
Maschio 20	V	3.583	SLV 7	Si
Maschio 20	PFFP	11.467	SLV 1	Si
Maschio 20	R	0.148	SLV 13	No
Maschio 21	PF SLU	0	SLU 84	No
Maschio 21	V SLU	0	SLU 1	No
Maschio 21	PF	0	SLV 16	No
Maschio 21	V	0	SLV 1	No
Maschio 21	PFFP	0	SLV 1	No
Maschio 21	R	0	SLV 16	No
Maschio 22	PF SLU	0	SLU 84	No
Maschio 22	V SLU	0	SLU 1	No
Maschio 22	PF	0	SLV 12	No
Maschio 22	V	0	SLV 1	No
Maschio 22	PFFP	0	SLV 4	No
Maschio 22	R	0	SLV 12	No
Maschio 23	PF SLU	5.785	SLU 40	Si
Maschio 23	V SLU	7.48	SLU 43	Si
Maschio 23	PF	0	SLV 16	No
Maschio 23	V	0	SLV 9	No
Maschio 23	PFFP	0	SLV 9	No
Maschio 23	R	0	SLV 16	No



Desc.	Stato limite	Coeff.s.	Comb.	Verifica
Maschio 24	PF SLU	6.371	SLU 39	Si
Maschio 24	V SLU	86.493	SLU 43	Si
Maschio 24	PF	1.785	SLV 1	Si
Maschio 24	V	2.107	SLV 3	Si
Maschio 24	PFFP	1.263	SLV 3	Si
Maschio 24	R	0.081	SLV 3	No
Maschio 25	PF SLU	5.535	SLU 39	Si
Maschio 25	V SLU	27.315	SLU 81	Si
Maschio 25	PF	0	SLV 1	No
Maschio 25	V	0	SLV 1	No
Maschio 25	PFFP	0	SLV 1	No
Maschio 25	R	0	SLV 14	No
Maschio 26	PF SLU	5.591	SLU 39	Si
Maschio 26	V SLU	11.664	SLU 81	Si
Maschio 26	PF	1.312	SLV 15	Si
Maschio 26	V	1.92	SLV 3	Si
Maschio 26	PFFP	1.115	SLV 11	Si
Maschio 26	R	0	SLV 5	No
Maschio 27	PF SLU	2.383	SLU 40	Si
Maschio 27	V SLU	4.465	SLU 40	Si
Maschio 27	PF	0	SLV 4	No
Maschio 27	V	0	SLV 1	No
Maschio 27	PFFP	0	SLV 1	No
Maschio 27	R	0	SLV 12	No
Maschio 28	PF SLU	0	SLU 11	No
Maschio 28	V SLU	0	SLU 11	No
Maschio 28	PF	0	SLV 12	No
Maschio 28	V	0	SLV 1	No
Maschio 28	PFFP	0.987	SLV 11	No
Maschio 28	R	0	SLV 12	No
Maschio 29	PF SLU	1.377	SLU 31	Si
Maschio 29	V SLU	2.022	SLU 31	Si
Maschio 29	PF	0	SLV 10	No
Maschio 29	V	0	SLV 1	No
Maschio 29	PFFP	0	SLV 1	No
Maschio 29	R	0	SLV 14	No
Maschio 30	PF SLU	2.76	SLU 31	Si
Maschio 30	V SLU	4.631	SLU 44	Si
Maschio 30	PF	0	SLV 5	No
Maschio 30	V	0	SLV 5	No
Maschio 30	PFFP	0.987	SLV 15	No
Maschio 30	R	0	SLV 16	No
Maschio 31	PF SLU	2.296	SLU 31	Si
Maschio 31	V SLU	3.173	SLU 73	Si
Maschio 31	PF	0	SLV 1	No
Maschio 31	V	0	SLV 1	No
Maschio 31	PFFP	0	SLV 7	No
Maschio 31	R	0	SLV 16	No
Maschio 32	PF SLU	0	SLU 2	No
Maschio 32	V SLU	0	SLU 2	No
Maschio 32	PF	0	SLV 14	No
Maschio 32	V	0	SLV 1	No
Maschio 32	PFFP	0	SLV 14	No
Maschio 32	R	0	SLV 14	No
Maschio 33	PF SLU	0	SLU 83	No
Maschio 33	V SLU	0	SLU 1	No
Maschio 33	PF	0	SLV 16	No
Maschio 33	V	0	SLV 7	No
Maschio 33	PFFP	0	SLV 16	No
Maschio 33	R	0	SLV 16	No
Maschio 34	PF SLU	0	SLU 84	No
Maschio 34	V SLU	0	SLU 1	No
Maschio 34	PF	0	SLV 10	No
Maschio 34	V	0	SLV 1	No
Maschio 34	PFFP	0	SLV 4	No
Maschio 34	R	0	SLV 10	No
Maschio 35	PF SLU	1.285	SLU 44	Si
Maschio 35	V SLU	62.162	SLU 2	Si
Maschio 35	PF	0	SLV 10	No
Maschio 35	V	0	SLV 1	No
Maschio 35	PFFP	0	SLV 3	No
Maschio 35	R	0	SLV 10	No

Verifica maschi in muratura

Maschio	Stato limite	Molt.	Comb.	PGA	IPGA (ZE)	TR	(TR/TRrif)^.41	Verifica
1	PF	2.055	SLV 7	0.362	1.483	1618	1.653	Si
	V	1.863	SLV 7	0.362	1.483	1618	1.653	Si
	PFFP	1000	SLV 1	0.362	1.483	1618	1.653	Si
	R	0.135	SLV 1	0.031	0.127	3	0.125	No
2	PF	0	SLV 1	0	0	0	0	No
	V	0.01	SLV 7	0	0	0	0	No
	PFFP	0.421	SLV 9	0.1	0.41	52	0.404	No
	R	0.138	SLV 7	0.031	0.127	3	0.125	No
3	PF	0	SLV 1	0	0	0	0	No
	V	0.008	SLV 5	0	0	0	0	No
	PFFP	0.463	SLV 11	0.11	0.451	66	0.445	No
	R	0.133	SLV 5	0.031	0.127	3	0.125	No
4	PF	0.289	SLV 1	0.069	0.281	21	0.278	No
	V	0.274	SLV 1	0.064	0.262	18	0.261	No



Maschio	Stato limite	Molt.	Comb.	PGA	IPGA (ZE)	TR	(TR/TRrif)^.41	Verifica
5	PFFP	0.881	SLV 3	0.214	0.878	336	0.868	No
	R	0.104	SLV 13	0.02	0.08	1	0.08	No
	PF	2.294	SLV 11	0.362	1.483	1618	1.653	Si
	V	2.145	SLV 15	0.362	1.483	1618	1.653	Si
6	PFFP	2.818	SLV 11	0.362	1.483	1618	1.653	Si
	R	0.143	SLV 3	0.031	0.127	3	0.125	No
	PF	2.564	SLV 3	0.362	1.483	1618	1.653	Si
	V	1.93	SLV 3	0.362	1.483	1618	1.653	Si
7	PFFP	3.483	SLV 7	0.362	1.483	1618	1.653	Si
	R	0.138	SLV 7	0.031	0.127	3	0.125	No
	PF	2.675	SLV 3	0.362	1.483	1618	1.653	Si
	V	1.942	SLV 3	0.362	1.483	1618	1.653	Si
8	PFFP	1000	SLV 1	0.362	1.483	1618	1.653	Si
	R	0.139	SLV 5	0.031	0.127	3	0.125	No
	PF	2.74	SLV 15	0.362	1.483	1618	1.653	Si
	V	2.025	SLV 15	0.362	1.483	1618	1.653	Si
9	PFFP	3.462	SLV 11	0.362	1.483	1618	1.653	Si
	R	0.144	SLV 1	0.031	0.127	3	0.125	No
	PF	1000	SLV 1	0.362	1.483	1618	1.653	Si
	V	2.837	SLV 1	0.362	1.483	1618	1.653	Si
10	PFFP	3.305	SLV 7	0.362	1.483	1618	1.653	Si
	R	0.15	SLV 1	0.035	0.143	4	0.141	No
	PF	1000	SLV 1	0.362	1.483	1618	1.653	Si
	V	3.29	SLV 13	0.362	1.483	1618	1.653	Si
11	PFFP	1000	SLV 1	0.362	1.483	1618	1.653	Si
	R	0.136	SLV 5	0.031	0.127	3	0.125	No
	PF	1.274	SLV 9	0.31	1.269	969	1.34	Si
	V	0.906	SLV 9	0.22	0.902	361	0.894	No
12	PFFP	2.021	SLV 9	0.362	1.483	1618	1.653	Si
	R	0.123	SLV 3	0.026	0.107	2	0.106	No
	PF	2.11	SLV 9	0.362	1.483	1618	1.653	Si
	V	1.135	SLV 5	0.277	1.132	689	1.165	Si
13	PFFP	2	SLV 9	0.362	1.483	1618	1.653	Si
	R	0.112	SLV 11	0.02	0.08	1	0.08	No
	PF	1.853	SLV 5	0.362	1.483	1618	1.653	Si
	V	0.947	SLV 9	0.231	0.944	408	0.94	No
14	PFFP	1.966	SLV 9	0.362	1.483	1618	1.653	Si
	R	0.115	SLV 3	0.026	0.107	2	0.106	No
	PF	1.4	SLV 5	0.34	1.394	1318	1.52	Si
	V	0.956	SLV 5	0.233	0.954	419	0.95	No
15	PFFP	1.698	SLV 5	0.362	1.483	1618	1.653	Si
	R	0.134	SLV 7	0.031	0.127	3	0.125	No
	PF	1.747	SLV 15	0.362	1.483	1618	1.653	Si
	V	1.632	SLV 15	0.362	1.483	1618	1.653	Si
16	PFFP	2.94	SLV 15	0.362	1.483	1618	1.653	Si
	R	0.103	SLV 1	0.02	0.08	1	0.08	No
	PF	0.46	SLV 1	0.11	0.448	65	0.442	No
	V	0.444	SLV 1	0.106	0.433	59	0.425	No
17	PFFP	1.012	SLV 3	0.247	1.012	492	1.015	Si
	R	0.096	SLV 15	0.02	0.08	1	0.08	No
	PF	0	SLV 1	0	0	0	0	No
	V	0.012	SLV 11	0	0	0	0	No
18	PFFP	0.495	SLV 5	0.118	0.485	79	0.479	No
	R	0.138	SLV 7	0.031	0.127	3	0.125	No
	PF	0	SLV 1	0	0	0	0	No
	V	0.009	SLV 5	0	0	0	0	No
19	PFFP	0.388	SLV 7	0.092	0.376	42	0.37	No
	R	0.13	SLV 5	0.026	0.107	2	0.106	No
	PF	3.261	SLV 3	0.362	1.483	1618	1.653	Si
	V	2.98	SLV 7	0.362	1.483	1618	1.653	Si
20	PFFP	3.236	SLV 3	0.362	1.483	1618	1.653	Si
	R	0.166	SLV 13	0.038	0.157	5	0.155	No
	PF	2.671	SLV 5	0.362	1.483	1618	1.653	Si
	V	2.277	SLV 5	0.362	1.483	1618	1.653	Si
21	PFFP	3.314	SLV 1	0.362	1.483	1618	1.653	Si
	R	0.162	SLV 1	0.035	0.143	4	0.141	No
	PF	0	SLV 1	0	0	0	0	No
	V	0	SLV 1	0	0	0	0	No
22	PFFP	0.5	SLV 7	0.12	0.49	81	0.484	No
	R	0	SLV 1	0	0	0	0	No
	PF	0	SLV 1	0	0	0	0	No
	V	0	SLV 1	0	0	0	0	No
23	PFFP	0.159	SLV 1	0.035	0.143	4	0.141	No
	R	0	SLV 1	0	0	0	0	No
	PF	0.483	SLV 13	0.115	0.471	73	0.464	No
	V	0.477	SLV 13	0.114	0.466	71	0.459	No
24	PFFP	0.629	SLV 13	0.152	0.621	141	0.608	No
	R	0.12	SLV 11	0.026	0.107	2	0.106	No
	PF	1.668	SLV 15	0.362	1.483	1618	1.653	Si
	V	1.349	SLV 3	0.328	1.344	1168	1.446	Si
25	PFFP	1.24	SLV 3	0.302	1.236	894	1.296	Si
	R	0.124	SLV 7	0.026	0.107	2	0.106	No
	PF	0.404	SLV 3	0.096	0.392	46	0.384	No
	V	0.408	SLV 3	0.097	0.395	47	0.387	No
26	PFFP	0.674	SLV 3	0.163	0.665	166	0.65	No
	R	0.106	SLV 7	0.02	0.08	1	0.08	No
	PF	1.26	SLV 3	0.307	1.255	938	1.322	Si
	V	1.2	SLV 3	0.292	1.196	812	1.246	Si
	PFFP	1.094	SLV 11	0.267	1.092	618	1.114	Si



Maschio	Stato limite	Molt.	Comb.	PGA	IPGA (ZE)	TR	(TR/TRrif)^.41	Verifica
27	R	0.114	SLV 5	0.026	0.107	2	0.106	No
	PF	0.431	SLV 1	0.103	0.42	55	0.413	No
	V	0.429	SLV 1	0.102	0.417	54	0.41	No
	PFFP	0.836	SLV 7	0.203	0.83	290	0.817	No
28	R	0.107	SLV 7	0.02	0.08	1	0.08	No
	PF	0.099	SLV 3	0.02	0.08	1	0.08	No
	V	0.098	SLV 3	0.02	0.08	1	0.08	No
	PFFP	0.988	SLV 11	0.241	0.988	459	0.986	No
29	R	0.127	SLV 5	0.026	0.107	2	0.106	No
	PF	0.303	SLV 5	0.071	0.292	23	0.289	No
	V	0.278	SLV 5	0.066	0.269	19	0.267	No
	PFFP	0.659	SLV 5	0.158	0.648	156	0.633	No
30	R	0.125	SLV 5	0.026	0.107	2	0.106	No
	PF	0.52	SLV 9	0.124	0.508	88	0.501	No
	V	0.425	SLV 9	0.101	0.414	53	0.407	No
	PFFP	0.99	SLV 15	0.242	0.99	462	0.989	No
31	R	0.121	SLV 11	0.026	0.107	2	0.106	No
	PF	0.41	SLV 11	0.098	0.399	49	0.394	No
	V	0.376	SLV 11	0.089	0.364	39	0.359	No
	PFFP	0.737	SLV 11	0.178	0.73	206	0.71	No
32	R	0.126	SLV 9	0.026	0.107	2	0.106	No
	PF	0.143	SLV 9	0.031	0.127	3	0.125	No
	V	0.129	SLV 9	0.026	0.107	2	0.106	No
	PFFP	0.304	SLV 9	0.071	0.292	23	0.289	No
33	R	0	SLV 1	0	0	0	0	No
	PF	0	SLV 7	0	0	0	0	No
	V	0	SLV 5	0	0	0	0	No
	PFFP	0.215	SLV 15	0.049	0.201	9	0.197	No
34	R	0	SLV 7	0	0	0	0	No
	PF	0	SLV 1	0	0	0	0	No
	V	0	SLV 1	0	0	0	0	No
	PFFP	0.262	SLV 1	0.061	0.249	16	0.249	No
35	R	0	SLV 1	0	0	0	0	No
	PF	0.056	SLV 5	0	0	0	0	No
	V	0.056	SLV 5	0	0	0	0	No
	PFFP	0.918	SLV 7	0.224	0.915	375	0.908	No
	R	0.129	SLV 5	0.026	0.107	2	0.106	No

Verifica travi di collegamento in muratura

Trave	Stato limite	Molt.	Comb.	PGA	IPGA (ZE)	TR	(TR/TRrif)^.41	Verifica
1	F	1000	SLV 1	0.362	1.483	1618	1.653	Si
	V	0.079	SLV 1	0	0	0	0	No
2	F	1.891	SLV 1	0.362	1.483	1618	1.653	Si
	V	0	SLV 1	0	0	0	0	No
3	F	1000	SLV 1	0.362	1.483	1618	1.653	Si
	V	0.312	SLV 1	0.074	0.303	25	0.299	No
4	F	1.729	SLV 15	0.362	1.483	1618	1.653	Si
	V	0	SLV 1	0	0	0	0	No
5	F	1000	SLV 1	0.362	1.483	1618	1.653	Si
	V	0	SLV 1	0	0	0	0	No
6	F	1.856	SLV 13	0.362	1.483	1618	1.653	Si
	V	0	SLV 1	0	0	0	0	No
7	F	1000	SLV 1	0.362	1.483	1618	1.653	Si
	V	0.088	SLV 13	0.02	0.08	1	0.08	No
8	F	2.478	SLV 15	0.362	1.483	1618	1.653	Si
	V	0	SLV 1	0	0	0	0	No
9	F	3.725	SLV 7	0.362	1.483	1618	1.653	Si
	V	0	SLV 1	0	0	0	0	No
10	F	0.473	SLV 15	0.113	0.463	70	0.456	No
	V	0	SLV 1	0	0	0	0	No
11	F	1000	SLV 1	0.362	1.483	1618	1.653	Si
	V	0	SLV 1	0	0	0	0	No
12	F	0.177	SLV 7	0.041	0.169	6	0.167	No
	V	0	SLV 1	0	0	0	0	No
13	F	3.163	SLV 11	0.362	1.483	1618	1.653	Si
	V	0	SLV 1	0	0	0	0	No
14	F	0.498	SLV 3	0.119	0.487	80	0.482	No
	V	0	SLV 1	0	0	0	0	No
15	F	1000	SLV 1	0.362	1.483	1618	1.653	Si
	V	0	SLV 1	0	0	0	0	No
16	F	1000	SLV 1	0.362	1.483	1618	1.653	Si
	V	0.228	SLV 15	0.053	0.218	11	0.214	No
17	F	1000	SLV 1	0.362	1.483	1618	1.653	Si
	V	0.283	SLV 13	0.067	0.275	20	0.273	No
18	F	3.184	SLV 1	0.362	1.483	1618	1.653	Si
	V	0	SLV 1	0	0	0	0	No
19	F	3.07	SLV 3	0.362	1.483	1618	1.653	Si
	V	0.081	SLV 3	0	0	0	0	No
20	F	1000	SLV 1	0.362	1.483	1618	1.653	Si
	V	0.13	SLV 15	0.026	0.107	2	0.106	No
21	F	1000	SLV 1	0.362	1.483	1618	1.653	Si
	V	0.336	SLV 1	0.079	0.323	30	0.322	No
22	F	1.135	SLV 1	0.277	1.132	689	1.165	Si
	V	0.055	SLV 9	0	0	0	0	No
23	F	1000	SLV 1	0.362	1.483	1618	1.653	Si
	V	0.343	SLV 7	0.081	0.332	31	0.327	No
24	F	0.98	SLV 7	0.239	0.979	448	0.976	No
	V	0.096	SLV 11	0.02	0.08	1	0.08	No
25	F	1000	SLV 1	0.362	1.483	1618	1.653	Si



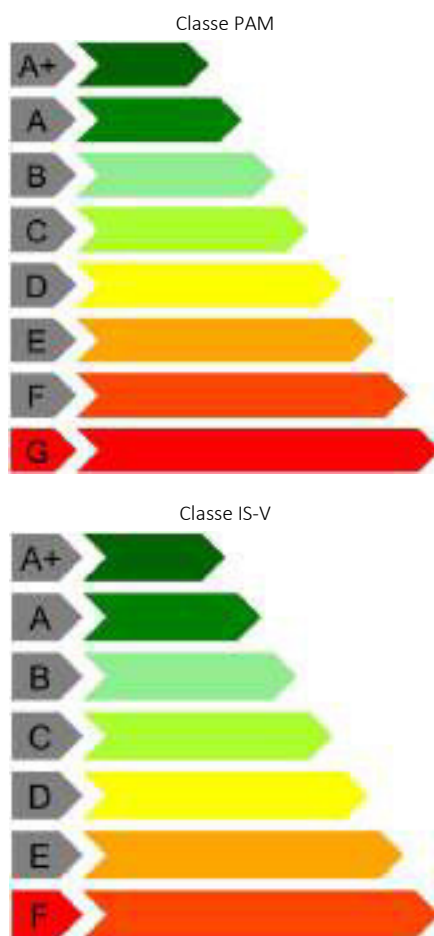
Trave	Stato limite	Molt.	Comb.	PGA	IPGA (ZE)	TR	$(TR/TR_{rif})^{.41}$	Verifica
26	V	0.158	SLV 5	0.035	0.143	4	0.141	No
	F	0.976	SLV 9	0.238	0.975	443	0.972	No
	V	0.031	SLV 9	0	0	0	0	No
27	F	2.508	SLV 1	0.362	1.483	1618	1.653	Si
	V	0.299	SLV 11	0.07	0.286	22	0.284	No

Periodi di ritorno e accelerazioni di aggancio per gli Stati Limite

S. L.	TR,C	PGA,C	TR,Rif	PGA,Rif	Tipo rottura
Stato limite di salvaguardia della vita	0	0	475	0.244	taglio maschio muratura

Coefficienti relativi alle Linee guida per la classificazione del rischio sismico delle costruzioni secondo il D.M. 24 09/01/2020

TR,C	TR,Rif	PAM	Classe PAM	IS-V	Classe IS-V	Tipo rottura
0	475	8.22	G	0	F	taglio maschio muratura



2.3 Verifiche maschi in muratura

Le unità di misura elencate nel capitolo sono in [m, daN, s] ove non espressamente specificato.

X_{ini}: coordinate del punto iniziale del maschio. [m]

Y_{ini}: coordinate del punto iniziale del maschio. [m]

X_{fin}: coordinate del punto finale del maschio. [m]

Y_{fin}: coordinate del punto finale del maschio. [m]

Quota i.: livello o falda inferiore.

Quota s.: livello o falda superiore.

l: lunghezza del maschio. [m]

Sp.: spessore. [m]

h_{netta}: altezza netta (a filo solai). [m]

h_{ini}: altezza nel modello al punto iniziale. [m]

h_{fin}: altezza nel modello al punto finale. [m]

a: distanza tra irrigidimenti laterali. [m]

a.s.,sx: lunghezza di appoggio del solaio di sinistra. [m]



a.s.,dx: lunghezza di appoggio del solaio di destra. [m]
fb: resistenza normalizzata a compressione verticale dei blocchi. [daN/m²]
fk: resistenza caratteristica a compressione della muratura utilizzata. [daN/m²]
fvk0: resistenza caratteristica a taglio in assenza di carichi verticali. [daN/m²]
fmedio: resistenza media a compressione della muratura utilizzata. [daN/m²]
τ0: resistenza media a taglio in assenza di azioni normali [C8.7.1.16]. [daN/m²]
fv0: resistenza media a taglio in assenza di azioni normali [C8.7.1.17]. [daN/m²]
μ: coefficiente di attrito [C8.7.1.17].
φ: coefficiente di ammassamento o ingranamento secondo Circolare 7 21-01-19 §C8.7.1.3.1.1.
fv,lim: valore massimo della resistenza a taglio che può essere impiegata nel calcolo. [daN/m²]
E: modulo di elasticità longitudinale della muratura utilizzato. [daN/m²]
G: modulo di elasticità tangenziale della muratura utilizzato. [daN/m²]
FC: fattore di confidenza della muratura.
Comb.: combinazione.
Quota: quota della sezione di verifica. [m]
N: sforzo normale. [daN]
M: momento flettente nel piano. [daN*m]
σ0: tensione media di compressione. [daN/m²]
Mu: momento flettente ultimo. [daN*m]
c.s.: coefficiente di sicurezza.
Verifica: stato di verifica.
V par: taglio nel piano. [daN]
σN: tensione media di compressione sulla parte reagente. [daN/m²]
l': lunghezza della parte compressa della parete. [m]
fvd: resistenza a taglio di calcolo. [daN/m²]
Vt scorr.: taglio ultimo per verifica a scorrimento. [daN]
Vt fess.diag.: taglio ultimo per verifica a fessurazione diagonale regolare [C8.7.1.17]. [daN]
Vt,lim: taglio limite [C8.7.1.18]. [daN]
c.s.: coefficiente di sicurezza a taglio.
fd: resistenza a compressione di calcolo. [daN/m²]
Sa: accelerazione massima, adimensionalizzata rispetto a g, che l'elemento strutturale subisce durante il sisma.
M: momento flettente fuori piano. [daN*m]
Mc: momento di collasso per azioni perpendicolari al piano. [daN*m]
Coeff.s.: coefficiente di sicurezza.
N top: sforzo normale in sommità. [daN]
N base: sforzo normale al piede. [daN]
V orto: taglio fuori piano. [daN]
α0: moltiplicatore secondo [C8.7.1.1].
M*: massa partecipante al cinematismo. [daN/(m/s²)]
e*: frazione di massa partecipante della muratura [C8.7.1.5].
α0*: accelerazione spettrale di attivazione del meccanismo [C8.7.1.8]. [m/s²]
αLim: accelerazione limite [C7.2.11]. [m/s²]
Stato limite: pF_SLU=Presso flessione per azioni non sismiche; V_SLU=Taglio per azioni non sismiche; PF_SLV=Presso flessione per azioni sismiche; V_SLV=Taglio per azioni sismiche; PFFP_SLV=Presso flessione fuori piano per azioni sismiche; R_SLV=Ribaltamento per azioni sismiche.

Maschio 1

Verifiche condotte secondo D.M. 17-01-18 (N.T.C.)

Dati geometrici

X ini.	Y ini.	X fin.	Y fin.	Quota i.	Quota.s	l	Sp.	h netta	h ini.	h fin.	a	a.s.,sx	a.s.,dx
-20.474	-3.134	-20.474	5.874	L1	L2	9.008	0.45	2.71	2.71	2.71			

Caratteristiche del materiale

(Circolare 7 21-01-19 C8.5.I) Muratura in mattoni pieni e malta di calce LC2_Corti

fb	fk	fvk0	fmedio	τ0	fv0	μ	φ	fv,lim	E	G	FC
600000			345000	9000	20000	0.58	0.77	32500	320000000	128000000	1.2

Verifica a pressoflessione nel piano secondo D.M. 17-01-18 NTC §7.8.2.2.1 in combinazioni non sismiche, γM = 3

Comb.	Quota	N	M	σ0	Mu	c.s.	Verifica
SLU 26	-1.98	-44225	1128.3	10910	172516.68	152.9	Si
SLU 26	0.73	-17274	5699.72	4261	73735.72	12.937	Si
SLU 47	-1.98	-53284	1768.98	13144	201269.65	113.777	Si
SLU 47	0.73	-20613	7093.33	5085	87048.05	12.272	Si
SLU 7	-1.98	-41634	1447.94	10270	163878.99	113.181	Si
SLU 7	0.73	-16054	5168.86	3960	68793.9	13.309	Si
SLU 44	-1.98	-53284	1768.98	13144	201269.65	113.777	Si
SLU 44	0.73	-20613	7093.33	5085	87048.05	12.272	Si
SLU 4	-1.98	-41634	1447.94	10270	163878.99	113.181	Si
SLU 4	0.73	-16054	5168.86	3960	68793.9	13.309	Si
SLU 23	-1.98	-44225	1128.3	10910	172516.68	152.9	Si
SLU 23	0.73	-17274	5699.72	4261	73735.72	12.937	Si
SLU 2	-1.98	-41688	1198.26	10284	164062.89	136.918	Si
SLU 2	0.73	-16235	5791.38	4005	69527.55	12.005	Si
SLU 68	-1.98	-55821	1699.02	13770	208920.91	122.965	Si
SLU 68	0.73	-21653	7001.67	5342	91132.01	13.016	Si



Verifica dei meccanismi locali di collasso con analisi cinematica lineare

forza di aggancio al piano = 0 quota mezzeria = -0.625 Wa = 0.08 Ta = 0.0273

Comb.	N top	N base	V orto	α0	M*	e*	a0*	aLim	Verifica
SLV 4	-11510	-52358	-789	0.085	2836.5	0.889	1.38071	10.28841	No
SLV 3	-11510	-52358	-789	0.085	2836.5	0.889	1.38071	10.28841	No
SLV 2	-14690	-51867	-767	0.085	3136.1	0.893	1.38712	10.28841	No
SLV 1	-14690	-51867	-767	0.085	3136.1	0.893	1.38712	10.28841	No
SLV 13	-21815	-35036	-698	0.087	3828.6	0.903	1.39836	10.28841	No
SLV 14	-21815	-35036	-698	0.087	3828.6	0.903	1.39836	10.28841	No
SLV 15	-18636	-35527	-720	0.087	3517.1	0.898	1.40042	10.28841	No
SLV 16	-18636	-35527	-720	0.087	3517.1	0.898	1.40042	10.28841	No
SLV 8	-10295	-47039	-791	0.085	2724.7	0.889	1.38191	10.11318	No
SLV 7	-10295	-47039	-791	0.085	2724.7	0.889	1.38191	10.11318	No

Tabella dei coefficienti di sicurezza minimi

Stato limite	Coeff.s.	Comb.	Verifica
PF_SLU	12.005	SLU 2	Si
V_SLU	45.831	SLU 44	Si
PF_SLV	4.578	SLV 7	Si
V_SLV	3.393	SLV 11	Si
PFFP_SLV	10.232	SLV 13	Si
R_SLV	0.134	SLV 3	No

Maschio 2

Verifiche condotte secondo D.M. 17-01-18 (N.T.C.)

Dati geometrici

X ini.	Y ini.	X fin.	Y fin.	Quota i.	Quota.s	l	Sp.	h netta	h ini.	h fin.	a	a.s.,sx	a.s.,dx
-17.489	-3.134	-17.489	-1.906	L1	L2	1.228	0.3	2.71	2.71	2.71			

Caratteristiche del materiale

(Circolare 7 21-01-19 C8.5.I) Muratura in mattoni pieni e malta di calce LC2_Corti

fb	fk	fvk0	fmedio	τ0	fv0	μ	φ	fv,lim	E	G	FC
600000			345000	9000	20000	0.58	0.77	32500	320000000	128000000	1.2

Verifica a pressoflessione nel piano secondo D.M. 17-01-18 NTC §7.8.2.2.1 in combinazioni non sismiche, γM = 3

Comb.	Quota	N	M	σ0	Mu	c.s.	Verifica
SLU 79	-1.98	-3542	-713.81	9615	1918.21	2.687	Si
SLU 79	0.73	-658	-401.35	1787	395.26	0.985	No, M>Mu
SLU 75	-1.98	-3540	-714.2	9608	1916.97	2.684	Si
SLU 75	0.73	-658	-401.03	1785	394.91	0.985	No, M>Mu
SLU 73	-1.98	-3538	-714.47	9603	1916.15	2.682	Si
SLU 73	0.73	-657	-400.82	1784	394.68	0.985	No, M>Mu
SLU 76	-1.98	-3538	-714.47	9603	1916.15	2.682	Si
SLU 76	0.73	-657	-400.82	1784	394.68	0.985	No, M>Mu
SLU 83	-1.98	-3665	-788.48	9949	1975.7	2.506	Si
SLU 83	0.73	-721	-439.67	1957	432.03	0.983	No, M>Mu
SLU 81	-1.98	-3665	-788.48	9949	1975.7	2.506	Si
SLU 81	0.73	-721	-439.67	1957	432.03	0.983	No, M>Mu
SLU 84	-1.98	-3663	-788.88	9942	1974.48	2.503	Si
SLU 84	0.73	-720	-439.36	1955	431.68	0.983	No, M>Mu
SLU 82	-1.98	-3663	-788.88	9942	1974.48	2.503	Si
SLU 82	0.73	-720	-439.36	1955	431.68	0.983	No, M>Mu
SLU 78	-1.98	-3540	-714.2	9608	1916.97	2.684	Si
SLU 78	0.73	-658	-401.03	1785	394.91	0.985	No, M>Mu
SLU 80	-1.98	-3540	-714.2	9608	1916.97	2.684	Si
SLU 80	0.73	-658	-401.03	1785	394.91	0.985	No, M>Mu

Verifica a pressoflessione nel piano secondo D.M. 17-01-18 NTC §7.8.2.2.1 in combinazioni sismiche, γM = 2

Comb.	Quota	N	M	σ0	Mu	c.s.	Verifica
SLV 6	-1.98	3184	-2706.05	0	0	0	No, Trazione
SLV 6	0.73	595	382.09	0	0	0	No, Trazione
SLV 8	-1.98	-9041	2197.96	24542	4436.39	2.018	Si
SLV 8	0.73	-1530	-994.02	0	0	0	No, e>l/2
SLV 2	-1.98	-1970	-543.49	5349	1156.9	2.129	Si
SLV 2	0.73	-262	-217.43	0	0	0	No, e>l/2
SLV 9	-1.98	3934	-3088.48	0	0	0	No, Trazione
SLV 9	0.73	692	483.14	0	0	0	No, Trazione
SLV 10	-1.98	3934	-3088.48	0	0	0	No, Trazione
SLV 10	0.73	692	483.14	0	0	0	No, Trazione
SLV 7	-1.98	-9041	2197.96	24542	4436.39	2.018	Si
SLV 7	0.73	-1530	-994.02	0	0	0	No, e>l/2
SLV 4	-1.98	-5638	927.72	15304	3028.19	3.264	Si
SLV 4	0.73	-899	-630.27	0	0	0	No, e>l/2
SLV 5	-1.98	3184	-2706.05	0	0	0	No, Trazione
SLV 5	0.73	595	382.09	0	0	0	No, Trazione
SLV 3	-1.98	-5638	927.72	15304	3028.19	3.264	Si
SLV 3	0.73	-899	-630.27	0	0	0	No, e>l/2
SLV 1	-1.98	-1970	-543.49	5349	1156.9	2.129	Si
SLV 1	0.73	-262	-217.43	0	0	0	No, e>l/2

Verifica a taglio nel piano secondo D.M. 17-01-18 (N.T.C.) §7.8.2.2.2 con rottura per scorrimento in combinazioni non sismiche, γM = 3

Comb.	Quota	N	V par	M	σ0	σN	l'	fvd	Vt scorr.	Vt fess.diag.	Vt,lim	c.s.	Verifica
-------	-------	---	-------	---	----	----	----	-----	-----------	---------------	--------	------	----------



Comb.	Quota	N	V par	M	σ_0	σ_N	I'	fvd	Vt scorr.	Vt fess.diag.	Vt,lim	c.s.	Verifica
SLU 81	-1.98	-3665	14	-788.48		10210	1.1967	6917	2483			183.85	Si
SLU 81	0.73	-721	18	-439.67		193207	0.0124	10833	40			2.2	Si
SLU 83	-1.98	-3665	14	-788.48		10210	1.1967	6917	2483			183.85	Si
SLU 83	0.73	-721	18	-439.67		193207	0.0124	10833	40			2.2	Si
SLU 80	-1.98	-3540	12	-714.2		9608	1.228	6837	2519			204.2	Si
SLU 80	0.73	-658	17	-401.03		176353	0.0124	10833	40			2.42	Si
SLU 82	-1.98	-3663	13	-788.88		10209	1.1959	6917	2482			193.1	Si
SLU 82	0.73	-720	17	-439.36		196317	0.0122	10833	40			2.27	Si
SLU 77	-1.98	-3542	13	-713.81		9615	1.228	6838	2519			193.92	Si
SLU 77	0.73	-658	18	-401.35		173350	0.0127	10833	41			2.34	Si
SLU 74	-1.98	-3542	13	-713.81		9615	1.228	6838	2519			193.92	Si
SLU 74	0.73	-658	18	-401.35		173350	0.0127	10833	41			2.34	Si
SLU 79	-1.98	-3542	13	-713.81		9615	1.228	6838	2519			193.92	Si
SLU 79	0.73	-658	18	-401.35		173350	0.0127	10833	41			2.34	Si
SLU 62	-1.98	-3518	13	-699.41		9550	1.228	6829	2516			195.18	Si
SLU 62	0.73	-646	17	-393.96		169531	0.0127	10833	41			2.37	Si
SLU 60	-1.98	-3518	13	-699.41		9550	1.228	6829	2516			195.18	Si
SLU 60	0.73	-646	17	-393.96		169531	0.0127	10833	41			2.37	Si
SLU 84	-1.98	-3663	13	-788.88		10209	1.1959	6917	2482			193.1	Si
SLU 84	0.73	-720	17	-439.36		196317	0.0122	10833	40			2.27	Si

Verifica a taglio nel piano secondo D.M. 17-01-18 (N.T.C.) §7.8.2.2.2 con rottura per scorrimento in combinazioni sismiche, $\gamma_M = 2$

Comb.	Quota	N	V par	M	σ_0	σ_N	I'	fvd	Vt scorr.	Vt fess.diag.	Vt,lim	c.s.	Verifica
SLV 4	-1.98	-5638	1196	927.72		15304	1.228	11394	4198			3.51	Si
SLV 4	0.73	-899	1428	-630.27		0	0	8333	0			0	No, Vu<V
SLV 8	-1.98	-9041	2351	2197.96		27085	1.1127	13750	4590			1.95	Si
SLV 8	0.73	-1530	2693	-994.02		0	0	8333	0			0	No, Vu<V
SLV 7	-1.98	-9041	2351	2197.96		27085	1.1127	13750	4590			1.95	Si
SLV 7	0.73	-1530	2693	-994.02		0	0	8333	0			0	No, Vu<V
SLV 6	-1.98	3184	-2013	-2706.05		0	0	8333	0			0	No, Vu<V
SLV 6	0.73	595	-2265	382.09		0	0	8333	0			0	No, Vu<V
SLV 3	-1.98	-5638	1196	927.72		15304	1.228	11394	4198			3.51	Si
SLV 3	0.73	-899	1428	-630.27		0	0	8333	0			0	No, Vu<V
SLV 9	-1.98	3934	-2332	-3088.48		0	0	8333	0			0	No, Vu<V
SLV 9	0.73	692	-2668	483.14		0	0	8333	0			0	No, Vu<V
SLV 5	-1.98	3184	-2013	-2706.05		0	0	8333	0			0	No, Vu<V
SLV 5	0.73	595	-2265	382.09		0	0	8333	0			0	No, Vu<V
SLV 2	-1.98	-1970	-113	-543.49		6474	1.0146	9628	2930			25.94	Si
SLV 2	0.73	-262	-60	-217.43		0	0	8333	0			0	No, Vu<V
SLV 1	-1.98	-1970	-113	-543.49		6474	1.0146	9628	2930			25.94	Si
SLV 1	0.73	-262	-60	-217.43		0	0	8333	0			0	No, Vu<V
SLV 10	-1.98	3934	-2332	-3088.48		0	0	8333	0			0	No, Vu<V
SLV 10	0.73	692	-2668	483.14		0	0	8333	0			0	No, Vu<V

Verifica a pressoflessione fuori piano D.M. 17-01-18 (N.T.C.)

quota -0.625 Wa 0.05 denominatore 8 $\gamma_M = 2$

Comb.	fd	Sa	σ_0	N	M	Mc	Coeff.s.	Verifica
SLV 13	143750	0.24	0	-63	49.58	0	0	No, $e > t/2$
SLV 9	143750	0.24	0	2074	49.58	0	0	No, Trazione
SLV 5	143750	0.24	0	1716	49.58	0	0	No, Trazione
SLV 10	143750	0.24	0	2074	49.58	0	0	No, Trazione
SLV 6	143750	0.24	0	1716	49.58	0	0	No, Trazione
SLV 14	143750	0.24	0	-63	49.58	0	0	No, $e > t/2$
SLV 2	143750	0.24	3411	-1257	49.58	183.22	3.7	Si
SLV 1	143750	0.24	3411	-1257	49.58	183.22	3.7	Si
SLV 15	143750	0.24	6114	-2253	49.58	320.97	6.47	Si
SLV 16	143750	0.24	6114	-2253	49.58	320.97	6.47	Si

Verifica dei meccanismi locali di collasso con analisi cinematica lineare

forza di aggancio al piano = 0 quota mezzeraia = -0.625 Wa = 0.05 Ta = 0.0409

Comb.	N top	N base	V orto	α_0	M*	e*	α_0^*	α_{lim}	Verifica
SLV 14	61	531	4	0	0	0	0	10.31558	No, Trazione
SLV 10	692	3934	-8	0	0	0	0	10.31558	No, Trazione
SLV 5	595	3184	-12	0	0	0	0	10.31558	No, Trazione
SLV 13	61	531	4	0	0	0	0	10.31558	No, Trazione
SLV 9	692	3934	-8	0	0	0	0	10.31558	No, Trazione
SLV 6	595	3184	-12	0	0	0	0	10.31558	No, Trazione
SLV 11	-1433	-8291	12	0.071	294.4	0.894	1.16135	10.31558	No
SLV 12	-1433	-8291	12	0.071	294.4	0.894	1.16135	10.31558	No
SLV 7	-1530	-9041	8	0.072	303.8	0.896	1.17474	10.31558	No
SLV 8	-1530	-9041	8	0.072	303.8	0.896	1.17474	10.31558	No

Tabella dei coefficienti di sicurezza minimi

Stato limite	Coeff.s.	Comb.	Verifica
PF_SLU	0.983	SLU 82	No
V_SLU	2.201	SLU 81	Si
PF_SLV	0	SLV 14	No
V_SLV	0	SLV 1	No
PFFP_SLV	0	SLV 10	No
R_SLV	0	SLV 14	No

Maschio 3

Verifiche condotte secondo D.M. 17-01-18 (N.T.C.)



Dati geometrici

X ini.	Y ini.	X fin.	Y fin.	Quota i.	Quota.s	l	Sp.	h netta	h ini.	h fin.	a	a.s.,sx	a.s.,dx
-17.489	0.164	-17.489	1.355	L1	L2	1.191	0.3	2.71	2.71	2.71			

Caratteristiche del materiale

(Circolare 7 21-01-19 C8.5.I) Muratura in mattoni pieni e malta di calce LC2_Corti

fb	fk	fvk0	fmedio	τ_0	fv0	μ	ϕ	fv,lim	E	G	FC
600000			345000	9000	20000	0.58	0.77	32500	320000000	128000000	1.2

Verifica a pressoflessione nel piano secondo D.M. 17-01-18 NTC §7.8.2.2.1 in combinazioni non sismiche, $\gamma_M = 3$

Comb.	Quota	N	M	σ_0	Mu	c.s.	Verifica
SLU 81	-1.98	-4387	1175.91	12279	2218.43	1.887	Si
SLU 81	0.73	-1113	659.11	3116	637.54	0.967	No, M>Mu
SLU 75	-1.98	-4190	1066.66	11727	2135.54	2.002	Si
SLU 75	0.73	-1007	596.45	2819	578.98	0.971	No, M>Mu
SLU 73	-1.98	-4192	1069.18	11733	2136.54	1.998	Si
SLU 73	0.73	-1008	597	2821	579.41	0.971	No, M>Mu
SLU 84	-1.98	-4390	1179.7	12289	2219.9	1.882	Si
SLU 84	0.73	-1114	659.94	3119	638.19	0.967	No, M>Mu
SLU 82	-1.98	-4390	1179.7	12289	2219.9	1.882	Si
SLU 82	0.73	-1114	659.94	3119	638.19	0.967	No, M>Mu
SLU 40	-1.98	-3651	1061.68	10218	1901.07	1.791	Si
SLU 40	0.73	-1003	593.95	2807	576.66	0.971	No, M>Mu
SLU 78	-1.98	-4190	1066.66	11727	2135.54	2.002	Si
SLU 78	0.73	-1007	596.45	2819	578.98	0.971	No, M>Mu
SLU 76	-1.98	-4192	1069.18	11733	2136.54	1.998	Si
SLU 76	0.73	-1008	597	2821	579.41	0.971	No, M>Mu
SLU 80	-1.98	-4190	1066.66	11727	2135.54	2.002	Si
SLU 80	0.73	-1007	596.45	2819	578.98	0.971	No, M>Mu
SLU 83	-1.98	-4387	1175.91	12279	2218.43	1.887	Si
SLU 83	0.73	-1113	659.11	3116	637.54	0.967	No, M>Mu

Verifica a pressoflessione nel piano secondo D.M. 17-01-18 NTC §7.8.2.2.1 in combinazioni sismiche, $\gamma_M = 2$

Comb.	Quota	N	M	σ_0	Mu	c.s.	Verifica
SLV 7	-1.98	3762	3286.76	0	0	0	No, Trazione
SLV 7	0.73	276	-210.56	0	0	0	No, Trazione
SLV 6	-1.98	-10169	-2091.23	28464	4644.7	2.221	Si
SLV 6	0.73	-1591	1019.26	0	0	0	No, e> /2
SLV 8	-1.98	3762	3286.76	0	0	0	No, Trazione
SLV 8	0.73	276	-210.56	0	0	0	No, Trazione
SLV 5	-1.98	-10169	-2091.23	28464	4644.7	2.221	Si
SLV 5	0.73	-1591	1019.26	0	0	0	No, e> /2
SLV 1	-1.98	-5906	-355.42	16531	3040.89	8.556	Si
SLV 1	0.73	-1013	669.01	0	0	0	No, e> /2
SLV 10	-1.98	-9644	-1965.67	26994	4473.94	2.276	Si
SLV 10	0.73	-1526	950.53	0	0	0	No, e> /2
SLV 9	-1.98	-9644	-1965.67	26994	4473.94	2.276	Si
SLV 9	0.73	-1526	950.53	0	0	0	No, e> /2
SLV 2	-1.98	-5906	-355.42	16531	3040.89	8.556	Si
SLV 2	0.73	-1013	669.01	0	0	0	No, e> /2
SLV 3	-1.98	-1726	1257.98	0	0	0	No, e> /2
SLV 3	0.73	-453	300.06	0	0	0	No, e> /2
SLV 4	-1.98	-1726	1257.98	0	0	0	No, e> /2
SLV 4	0.73	-453	300.06	0	0	0	No, e> /2

Verifica a taglio nel piano secondo D.M. 17-01-18 (N.T.C.) §7.8.2.2.2 con rottura per scorrimento in combinazioni non sismiche, $\gamma_M = 3$

Comb.	Quota	N	V par	M	σ_0	σ_N	I'	fvd	Vt scorr.	Vt fess.diag.	Vt,lim	c.s.	Verifica
SLU 41	-1.98	-3647	-34	1057.89		13270	0.9161	7325	2013			58.81	Si
SLU 41	0.73	-1002	-27	593.12		325906	0.0102	10833	33			1.22	Si
SLU 77	-1.98	-4186	-37	1062.87		13618	1.0246	7371	2266			60.95	Si
SLU 77	0.73	-1006	-28	595.63		329766	0.0102	10833	33			1.19	Si
SLU 83	-1.98	-4387	-40	1175.91		14888	0.9822	7541	2222			55.79	Si
SLU 83	0.73	-1113	-31	659.11		363743	0.0102	10833	33			1.09	Si
SLU 82	-1.98	-4390	-40	1179.7		14930	0.9803	7546	2219			55.87	Si
SLU 82	0.73	-1114	-29	659.94		376977	0.0099	10833	32			1.12	Si
SLU 81	-1.98	-4387	-40	1175.91		14888	0.9822	7541	2222			55.79	Si
SLU 81	0.73	-1113	-31	659.11		363743	0.0102	10833	33			1.09	Si
SLU 74	-1.98	-4186	-37	1062.87		13618	1.0246	7371	2266			60.95	Si
SLU 74	0.73	-1006	-28	595.63		329766	0.0102	10833	33			1.19	Si
SLU 62	-1.98	-4148	-37	1041.67		13386	1.033	7340	2275			62.02	Si
SLU 62	0.73	-986	-27	583.73		323384	0.0102	10833	33			1.22	Si
SLU 79	-1.98	-4186	-37	1062.87		13618	1.0246	7371	2266			60.95	Si
SLU 79	0.73	-1006	-28	595.63		329766	0.0102	10833	33			1.19	Si
SLU 60	-1.98	-4148	-37	1041.67		13386	1.033	7340	2275			62.02	Si
SLU 60	0.73	-986	-27	583.73		323384	0.0102	10833	33			1.22	Si
SLU 84	-1.98	-4390	-40	1179.7		14930	0.9803	7546	2219			55.87	Si
SLU 84	0.73	-1114	-29	659.94		376977	0.0099	10833	32			1.12	Si

Verifica a taglio nel piano secondo D.M. 17-01-18 (N.T.C.) §7.8.2.2.2 con rottura per scorrimento in combinazioni sismiche, $\gamma_M = 2$

Comb.	Quota	N	V par	M	σ_0	σ_N	I'	fvd	Vt scorr.	Vt fess.diag.	Vt,lim	c.s.	Verifica
SLV 4	-1.98	-1726	561	1257.98		0	0	8333	0			0	No, Vu<V
SLV 4	0.73	-453	335	300.06		0	0	8333	0			0	No, Vu<V
SLV 6	-1.98	-10169	-2616	-2091.23		28987	1.1694	14131	4957			1.9	Si
SLV 6	0.73	-1591	-2074	1019.26		0	0	8333	0			0	No, Vu<V
SLV 10	-1.98	-9644	-2511	-1965.67		27362	1.1749	13806	4866			1.94	Si
SLV 10	0.73	-1526	-1928	950.53		0	0	8333	0			0	No, Vu<V
SLV 8	-1.98	3762	2461	3286.76		0	0	8333	0			0	No, Vu<V



Comb.	Quota	N	V par	M	$\alpha 0$	αN	I'	fvd	Vt scorr.	Vt fess.diag.	Vt,lim	c.s.	Verifica
SLV 8	0.73	276	1894	-210.56		0	0	8333	0			0	No, Vu<V
SLV 1	-1.98	-5906	-962	-355.42		16531	1.1909	11639	4158			4.32	Si
SLV 1	0.73	-1013	-855	669.01		0	0	8333	0			0	No, Vu<V
SLV 3	-1.98	-1726	561	1257.98		0	0	8333	0			0	No, Vu<V
SLV 3	0.73	-453	335	300.06		0	0	8333	0			0	No, Vu<V
SLV 9	-1.98	-9644	-2511	-1965.67		27362	1.1749	13806	4866			1.94	Si
SLV 9	0.73	-1526	-1928	950.53		0	0	8333	0			0	No, Vu<V
SLV 2	-1.98	-5906	-962	-355.42		16531	1.1909	11639	4158			4.32	Si
SLV 2	0.73	-1013	-855	669.01		0	0	8333	0			0	No, Vu<V
SLV 7	-1.98	3762	2461	3286.76		0	0	8333	0			0	No, Vu<V
SLV 7	0.73	276	1894	-210.56		0	0	8333	0			0	No, Vu<V
SLV 5	-1.98	-10169	-2616	-2091.23		28987	1.1694	14131	4957			1.9	Si
SLV 5	0.73	-1591	-2074	1019.26		0	0	8333	0			0	No, Vu<V

Verifica a pressoflessione fuori piano D.M. 17-01-18 (N.T.C.)

quota -0.625 Wa 0.05 denominatore 8 $\gamma M = 2$

Comb.	fd	Sa	$\alpha 0$	N	M	Mc	Coeff.s.	Verifica
SLV 12	143750	0.24	0	2090	48.08	0	0	No, Trazione
SLV 11	143750	0.24	0	2090	48.08	0	0	No, Trazione
SLV 7	143750	0.24	0	1742	48.08	0	0	No, Trazione
SLV 15	143750	0.24	0	-307	48.08	0	0	No, $e > t/2$
SLV 16	143750	0.24	0	-307	48.08	0	0	No, $e > t/2$
SLV 8	143750	0.24	0	1742	48.08	0	0	No, Trazione
SLV 4	143750	0.24	4101	-1465	48.08	212.41	4.42	Si
SLV 3	143750	0.24	4101	-1465	48.08	212.41	4.42	Si
SLV 13	143750	0.24	7581	-2708	48.08	381.06	7.93	Si
SLV 14	143750	0.24	7581	-2708	48.08	381.06	7.93	Si

Verifica dei meccanismi locali di collasso con analisi cinematica lineare

forza di aggancio al piano = 0 quota mezzeria = -0.625 Wa = 0.05 Ta = 0.0409

Comb.	N top	N base	V orto	$\alpha 0$	M*	e*	$a 0^*$	aLim	Verifica
SLV 12	341	4287	-10	0	0	0	0	10.31558	No, Trazione
SLV 16	-236	24	-2	0	0	0	0	10.31558	No, Trazione
SLV 8	276	3762	-11	0	0	0	0	10.31558	No, Trazione
SLV 7	276	3762	-11	0	0	0	0	10.31558	No, Trazione
SLV 15	-236	24	-2	0	0	0	0	10.31558	No, Trazione
SLV 11	341	4287	-10	0	0	0	0	10.31558	No, Trazione
SLV 6	-1591	-10169	10	0.071	305	0.897	1.14897	10.31558	No
SLV 5	-1591	-10169	10	0.071	305	0.897	1.14897	10.31558	No
SLV 10	-1526	-9644	10	0.071	298.7	0.896	1.15299	10.31558	No
SLV 9	-1526	-9644	10	0.071	298.7	0.896	1.15299	10.31558	No

Tabella dei coefficienti di sicurezza minimi

Stato limite	Coeff.s.	Comb.	Verifica
PF_SLU	0.967	SLU 82	No
V_SLU	1.086	SLU 81	Si
PF_SLV	0	SLV 16	No
V_SLV	0	SLV 1	No
PFFP_SLV	0	SLV 12	No
R_SLV	0	SLV 16	No

Maschio 4

Verifiche condotte secondo D.M. 17-01-18 (N.T.C.)

Dati geometrici

X ini.	Y ini.	X fin.	Y fin.	Quota i.	Quota.s	I	Sp.	h netta	h ini.	h fin.	a	a.s,sx	a.s,dx
-15.941	5.874	-15.941	2.678	L1	L2	3.196	0.3	2.71	2.71	2.71			

Caratteristiche del materiale

(Circolare 7 21-01-19 C8.5.I) Muratura in mattoni pieni e malta di calce LC2_Corti

fb	fk	fvk0	fmedio	$\tau 0$	fv0	μ	ϕ	fv,lim	E	G	FC
600000			345000	9000	20000	0.58	0.77	32500	320000000	128000000	1.2

Verifica a pressoflessione nel piano secondo D.M. 17-01-18 NTC §7.8.2.2.1 in combinazioni non sismiche, $\gamma M = 3$

Comb.	Quota	N	M	$\alpha 0$	Mu	c.s.	Verifica
SLU 46	-1.98	-9591	-1959.7	10005	13442.94	6.86	Si
SLU 46	0.73	-2906	-2240.4	3032	4470.97	1.996	Si
SLU 48	-1.98	-9196	-2500.07	9593	12963.79	5.185	Si
SLU 48	0.73	-2682	-2079.3	2798	4138.1	1.99	Si
SLU 66	-1.98	-9566	-2945.15	9978	13412.26	4.554	Si
SLU 66	0.73	-2858	-2206.83	2981	4399.51	1.994	Si
SLU 64	-1.98	-9566	-2945.15	9978	13412.26	4.554	Si
SLU 64	0.73	-2858	-2206.83	2981	4399.51	1.994	Si
SLU 43	-1.98	-9196	-2500.07	9593	12963.79	5.185	Si
SLU 43	0.73	-2682	-2079.3	2798	4138.1	1.99	Si
SLU 50	-1.98	-9196	-2500.07	9593	12963.79	5.185	Si
SLU 50	0.73	-2682	-2079.3	2798	4138.1	1.99	Si
SLU 71	-1.98	-9566	-2945.15	9978	13412.26	4.554	Si
SLU 71	0.73	-2858	-2206.83	2981	4399.51	1.994	Si
SLU 69	-1.98	-9566	-2945.15	9978	13412.26	4.554	Si
SLU 69	0.73	-2858	-2206.83	2981	4399.51	1.994	Si
SLU 49	-1.98	-9591	-1959.7	10005	13442.94	6.86	Si
SLU 49	0.73	-2906	-2240.4	3032	4470.97	1.996	Si



Verifica dei meccanismi locali di collasso con analisi cinematica lineare

forza di aggancio al piano = 0 quota mezzeria = -0.625 Wa = 0.05 Ta = 0.0409

Comb.	N top	N base	V orto	α0	M*	e*	a0*	aLim	Verifica
SLV 1	1057	-4953	-32	0	0	0	0	10.31558	No, Trazione
SLV 2	1057	-4953	-32	0	0	0	0	10.31558	No, Trazione
SLV 3	1732	-2612	-33	0	0	0	0	10.31558	No, Trazione
SLV 4	1732	-2612	-33	0	0	0	0	10.31558	No, Trazione
SLV 15	-5573	-10013	165	0.051	946.3	0.906	0.81557	10.31558	No
SLV 16	-5573	-10013	165	0.051	946.3	0.906	0.81557	10.31558	No
SLV 14	-6248	-12355	166	0.051	1013.2	0.91	0.81568	10.31558	No
SLV 13	-6248	-12355	166	0.051	1013.2	0.91	0.81568	10.31558	No
SLV 9	-4479	-12496	98	0.06	838.7	0.899	0.96984	10.31558	No
SLV 10	-4479	-12496	98	0.06	838.7	0.899	0.96984	10.31558	No

Tabella dei coefficienti di sicurezza minimi

Stato limite	Coeff.s.	Comb.	Verifica
PF_SLU	1.99	SLU 43	Si
V_SLU	4.25	SLU 44	Si
PF_SLV	0	SLV 4	No
V_SLV	0	SLV 1	No
PFFP_SLV	0	SLV 3	No
R_SLV	0	SLV 4	No

Maschio 5

Verifiche condotte secondo D.M. 17-01-18 (N.T.C.)

Dati geometrici

X ini.	Y ini.	X fin.	Y fin.	Quota i.	Quota.s	l	Sp.	h netta	h ini.	h fin.	a	a.s.,sx	a.s.,dx
-19.459	-3.134	-20.474	-3.134	L1	L2	1.015	0.45	2.71	2.71	2.71			

Caratteristiche del materiale

(Circolare 7 21-01-19 C8.5.I) Muratura in mattoni pieni e malta di calce LC2_Corti

fb	fk	fvk0	fmedio	τ0	fv0	μ	φ	fv,lim	E	G	FC
600000			345000	9000	20000	0.58	0.77	32500	320000000	128000000	1.2

Verifica a pressoflessione nel piano secondo D.M. 17-01-18 NTC §7.8.2.2.1 in combinazioni non sismiche, γM = 3

Comb.	Quota	N	M	σ0	Mu	c.s.	Verifica
SLU 40	0.02	-9716	-909.83	21264	3644.85	4.006	Si
SLU 40	0.42	-9957	-885.99	21791	3702.51	4.179	Si
SLU 84	0.02	-11299	-1027.27	24730	3994.87	3.889	Si
SLU 84	0.42	-11516	-975.45	25204	4037.45	4.139	Si
SLU 81	0.02	-11336	-1028.1	24811	4002.18	3.893	Si
SLU 81	0.42	-11560	-973.64	25300	4045.88	4.155	Si
SLU 41	0.02	-9753	-910.66	21345	3653.76	4.012	Si
SLU 41	0.42	-10000	-884.18	21887	3712.81	4.199	Si
SLU 73	0.02	-10515	-938.55	23013	3830.07	4.081	Si
SLU 73	0.42	-10671	-877.15	23356	3864.26	4.405	Si
SLU 76	0.02	-10515	-938.55	23013	3830.07	4.081	Si
SLU 76	0.42	-10671	-877.15	23356	3864.26	4.405	Si
SLU 39	0.02	-9753	-910.66	21345	3653.76	4.012	Si
SLU 39	0.42	-10000	-884.18	21887	3712.81	4.199	Si
SLU 82	0.02	-11299	-1027.27	24730	3994.87	3.889	Si
SLU 82	0.42	-11516	-975.45	25204	4037.45	4.139	Si
SLU 83	0.02	-11336	-1028.1	24811	4002.18	3.893	Si
SLU 83	0.42	-11560	-973.64	25300	4045.88	4.155	Si
SLU 42	0.02	-9716	-909.83	21264	3644.85	4.006	Si
SLU 42	0.42	-9957	-885.99	21791	3702.51	4.179	Si

Verifica a pressoflessione nel piano secondo D.M. 17-01-18 NTC §7.8.2.2.1 in combinazioni sismiche, γM = 2

Comb.	Quota	N	M	σ0	Mu	c.s.	Verifica
SLV 9	0.02	-8303	-501.13	18173	3588.47	7.161	Si
SLV 9	0.42	-6976	-887.92	15269	3099.16	3.49	Si
SLV 15	0.02	-4519	-561.09	9890	2108.41	3.758	Si
SLV 15	0.42	-4889	-375	10699	2264.53	6.039	Si
SLV 10	0.02	-8303	-501.13	18173	3588.47	7.161	Si
SLV 10	0.42	-6976	-887.92	15269	3099.16	3.49	Si
SLV 5	0.02	-9511	-539.2	20815	4005.82	7.429	Si
SLV 5	0.42	-8236	-917.05	18026	3564.47	3.887	Si
SLV 8	0.02	-5855	-699.76	12815	2660.82	3.802	Si
SLV 8	0.42	-7286	-180.25	15945	3216.04	17.842	Si
SLV 11	0.02	-4648	-661.7	10173	2163.2	3.269	Si
SLV 11	0.42	-6026	-151.11	13188	2728.94	18.059	Si
SLV 12	0.02	-4648	-661.7	10173	2163.2	3.269	Si
SLV 12	0.42	-6026	-151.11	13188	2728.94	18.059	Si
SLV 6	0.02	-9511	-539.2	20815	4005.82	7.429	Si
SLV 6	0.42	-8236	-917.05	18026	3564.47	3.887	Si
SLV 7	0.02	-5855	-699.76	12815	2660.82	3.802	Si
SLV 7	0.42	-7286	-180.25	15945	3216.04	17.842	Si
SLV 16	0.02	-4519	-561.09	9890	2108.41	3.758	Si
SLV 16	0.42	-4889	-375	10699	2264.53	6.039	Si

Verifica a taglio nel piano secondo D.M. 17-01-18 (N.T.C.) §7.8.2.2.2 con rottura per scorrimento in combinazioni non sismiche, γM = 3

Comb.	Quota	N	V par	M	σ0	σN	l'	fvd	Vt scorr.	Vt fess.diag.	Vt,lim	c.s.	Verifica
-------	-------	---	-------	---	----	----	----	-----	-----------	---------------	--------	------	----------



Dati geometrici

X ini.	Y ini.	X fin.	Y fin.	Quota i.	Quota.s	l	Sp.	h netta	h ini.	h fin.	a	a.s,sx	a.s,dx
-15.864	-3.134	-18.459	-3.134	L1	L2	2.595	0.45	2.71	2.71	2.71			

Caratteristiche del materiale

(Circolare 7 21-01-19 C8.5.I) Muratura in mattoni pieni e malta di calce LC2_Corti

fb	fk	fvk0	fmedio	τ_0	fv0	μ	ϕ	fv,lim	E	G	FC
600000			345000	9000	20000	0.58	0.77	32500	320000000	128000000	1.2

Verifica a pressoflessione nel piano secondo D.M. 17-01-18 NTC §7.8.2.2.1 in combinazioni non sismiche, $\gamma_M = 3$

Comb.	Quota	N	M	σ_0	Mu	c.s.	Verifica
SLU 44	0.02	-15994	1150.35	13697	17263.34	15.007	Si
SLU 44	0.42	-15181	1231.28	13000	16553.86	13.444	Si
SLU 50	0.02	-16001	1171.98	13702	17268.69	14.735	Si
SLU 50	0.42	-15188	1255.84	13006	16560.19	13.187	Si
SLU 45	0.02	-16001	1171.98	13702	17268.69	14.735	Si
SLU 45	0.42	-15188	1255.84	13006	16560.19	13.187	Si
SLU 51	0.02	-15997	1159.01	13699	17265.48	14.897	Si
SLU 51	0.42	-15184	1241.11	13003	16556.39	13.34	Si
SLU 47	0.02	-15994	1150.35	13697	17263.34	15.007	Si
SLU 47	0.42	-15181	1231.28	13000	16553.86	13.444	Si
SLU 43	0.02	-16001	1171.98	13702	17268.69	14.735	Si
SLU 43	0.42	-15188	1255.84	13006	16560.19	13.187	Si
SLU 49	0.02	-15997	1159.01	13699	17265.48	14.897	Si
SLU 49	0.42	-15184	1241.11	13003	16556.39	13.34	Si
SLU 48	0.02	-16001	1171.98	13702	17268.69	14.735	Si
SLU 48	0.42	-15188	1255.84	13006	16560.19	13.187	Si
SLU 1	0.02	-13006	877.59	11138	14568.15	16.6	Si
SLU 1	0.42	-12392	941.88	10612	13984.37	14.847	Si
SLU 46	0.02	-15997	1159.01	13699	17265.48	14.897	Si
SLU 46	0.42	-15184	1241.11	13003	16556.39	13.34	Si

Verifica a pressoflessione nel piano secondo D.M. 17-01-18 NTC §7.8.2.2.1 in combinazioni sismiche, $\gamma_M = 2$

Comb.	Quota	N	M	σ_0	Mu	c.s.	Verifica
SLV 2	0.02	-13742	4281.46	11768	16113.27	3.764	Si
SLV 2	0.42	-13030	3444.94	11158	15362.79	4.46	Si
SLV 15	0.02	-16741	-2679.52	14336	19172.78	7.155	Si
SLV 15	0.42	-16296	-1715.77	13955	18729.65	10.916	Si
SLV 13	0.02	-18196	-2557.49	15582	20598.25	8.054	Si
SLV 13	0.42	-17267	-1799.14	14787	19692.85	10.946	Si
SLV 7	0.02	-12149	1623.43	10404	14420.93	8.883	Si
SLV 7	0.42	-12410	1790.15	10627	14701.52	8.212	Si
SLV 14	0.02	-18196	-2557.49	15582	20598.25	8.054	Si
SLV 14	0.42	-17267	-1799.14	14787	19692.85	10.946	Si
SLV 16	0.02	-16741	-2679.52	14336	19172.78	7.155	Si
SLV 16	0.42	-16296	-1715.77	13955	18729.65	10.916	Si
SLV 4	0.02	-12287	4159.43	10522	14569.96	3.503	Si
SLV 4	0.42	-12060	3528.31	10327	14324.8	4.06	Si
SLV 1	0.02	-13742	4281.46	11768	16113.27	3.764	Si
SLV 1	0.42	-13030	3444.94	11158	15362.79	4.46	Si
SLV 3	0.02	-12287	4159.43	10522	14569.96	3.503	Si
SLV 3	0.42	-12060	3528.31	10327	14324.8	4.06	Si
SLV 8	0.02	-12149	1623.43	10404	14420.93	8.883	Si
SLV 8	0.42	-12410	1790.15	10627	14701.52	8.212	Si

Verifica a taglio nel piano secondo D.M. 17-01-18 (N.T.C.) §7.8.2.2.2 con rottura per scorrimento in combinazioni non sismiche, $\gamma_M = 3$

Comb.	Quota	N	V par	M	σ_0	σ_N	I'	fvd	Vt scorr.	Vt fess.diag.	Vt,lim	c.s.	Verifica
SLU 40	0.02	-23045	139	520.43		19734	2.595	8187	9560			68.98	Si
SLU 40	0.42	-22591	138	579.91		19345	2.595	8135	9500			68.81	Si
SLU 82	0.02	-26039	125	814.83		22299	2.595	8529	9959			79.79	Si
SLU 82	0.42	-25386	124	893.88		21739	2.595	8454	9872			79.5	Si
SLU 81	0.02	-26043	121	827.81		22302	2.595	8529	9960			82.37	Si
SLU 81	0.42	-25391	120	908.61		21743	2.595	8455	9873			82.1	Si
SLU 41	0.02	-23049	135	533.41		19738	2.595	8187	9561			70.99	Si
SLU 41	0.42	-22595	134	594.65		19349	2.595	8135	9500			70.83	Si
SLU 83	0.02	-26043	121	827.81		22302	2.595	8529	9960			82.37	Si
SLU 83	0.42	-25391	120	908.61		21743	2.595	8455	9873			82.1	Si
SLU 31	0.02	-20824	111	587.8		17832	2.595	7933	9264			83.8	Si
SLU 31	0.42	-20334	110	646.78		17413	2.595	7877	9199			83.58	Si
SLU 42	0.02	-23045	139	520.43		19734	2.595	8187	9560			68.98	Si
SLU 42	0.42	-22591	138	579.91		19345	2.595	8135	9500			68.81	Si
SLU 34	0.02	-20824	111	587.8		17832	2.595	7933	9264			83.8	Si
SLU 34	0.42	-20334	110	646.78		17413	2.595	7877	9199			83.58	Si
SLU 84	0.02	-26039	125	814.83		22299	2.595	8529	9959			79.79	Si
SLU 84	0.42	-25386	124	893.88		21739	2.595	8454	9872			79.5	Si
SLU 39	0.02	-23049	135	533.41		19738	2.595	8187	9561			70.99	Si
SLU 39	0.42	-22595	134	594.65		19349	2.595	8135	9500			70.83	Si

Verifica a taglio nel piano secondo D.M. 17-01-18 (N.T.C.) §7.8.2.2.2 con rottura per scorrimento in combinazioni sismiche, $\gamma_M = 2$

Comb.	Quota	N	V par	M	σ_0	σ_N	I'	fvd	Vt scorr.	Vt fess.diag.	Vt,lim	c.s.	Verifica
SLV 4	0.02	-12287	4112	4159.43		10522	2.595	10438	12189			2.96	Si
SLV 4	0.42	-12060	3596	3528.31		10327	2.595	10399	12143			3.38	Si
SLV 13	0.02	-18196	-4058	-2557.49		15582	2.595	11450	13370			3.29	Si
SLV 13	0.42	-17267	-3543	-1799.14		14787	2.595	11291	13185			3.72	Si
SLV 12	0.02	-13485	-1679	-428.26		11548	2.595	10643	12428			7.4	Si
SLV 12	0.42	-13681	-1585	-216.92		11716	2.595	10676	12467			7.87	Si
SLV 14	0.02	-18196	-4058	-2557.49		15582	2.595	11450	13370			3.29	Si



Comb.	Quota	N	V par	M	σ_0	σ_N	I'	fvd	Vt scorr.	Vt fess.diag.	Vt,lim	c.s.	Verifica
SLV 14	0.42	-17267	-3543	-1799.14		14787	2.595	11291	13185			3.72	Si
SLV 15	0.02	-16741	-4322	-2679.52		14336	2.595	11201	13079			3.03	Si
SLV 15	0.42	-16296	-3840	-1715.77		13955	2.595	11124	12991			3.38	Si
SLV 3	0.02	-12287	4112	4159.43		10522	2.595	10438	12189			2.96	Si
SLV 3	0.42	-12060	3596	3528.31		10327	2.595	10399	12143			3.38	Si
SLV 16	0.02	-16741	-4322	-2679.52		14336	2.595	11201	13079			3.03	Si
SLV 16	0.42	-16296	-3840	-1715.77		13955	2.595	11124	12991			3.38	Si
SLV 1	0.02	-13742	4376	4281.46		11768	2.595	10687	12480			2.85	Si
SLV 1	0.42	-13030	3893	3444.94		11158	2.595	10565	12337			3.17	Si
SLV 2	0.02	-13742	4376	4281.46		11768	2.595	10687	12480			2.85	Si
SLV 2	0.42	-13030	3893	3444.94		11158	2.595	10565	12337			3.17	Si
SLV 11	0.02	-13485	-1679	-428.26		11548	2.595	10643	12428			7.4	Si
SLV 11	0.42	-13681	-1585	216.92		11716	2.595	10676	12467			7.87	Si

Verifica a pressoflessione fuori piano D.M. 17-01-18 (N.T.C.)

quota -0.625 Wa 0.08 denominatore 8 $\gamma_M = 2$

Comb.	fd	Sa	σ_0	N	M	Mc	Coeff.s.	Verifica
SLV 7	143750	0.24	8919	-10415	157.15	2172.28	13.82	Si
SLV 8	143750	0.24	8919	-10415	157.15	2172.28	13.82	Si
SLV 11	143750	0.24	9639	-11256	157.15	2332.79	14.84	Si
SLV 12	143750	0.24	9639	-11256	157.15	2332.79	14.84	Si
SLV 3	143750	0.24	9742	-11376	157.15	2355.54	14.99	Si
SLV 4	143750	0.24	9742	-11376	157.15	2355.54	14.99	Si
SLV 2	143750	0.24	11168	-13041	157.15	2666.07	16.97	Si
SLV 1	143750	0.24	11168	-13041	157.15	2666.07	16.97	Si
SLV 15	143750	0.24	12143	-14180	157.15	2873.4	18.28	Si
SLV 16	143750	0.24	12143	-14180	157.15	2873.4	18.28	Si

Verifica dei meccanismi locali di collasso con analisi cinematica lineare

forza di aggancio al piano = 0 quota mezzera = -0.625 Wa = 0.08 Ta = 0.0273

Comb.	N top	N base	V orto	α_0	M*	e*	α_0^*	α_{lim}	Verifica
SLV 8	-9968	-9817	1038	0.02	1469.8	0.92	0.32351	10.11318	No
SLV 7	-9968	-9817	1038	0.02	1469.8	0.92	0.32351	10.11318	No
SLV 12	-11000	-10849	959	0.031	1573.5	0.924	0.48531	10.11318	No
SLV 11	-11000	-10849	959	0.031	1573.5	0.924	0.48531	10.11318	No
SLV 9	-13697	-20005	-1030	0.035	1845.4	0.933	0.54592	10.11318	No
SLV 10	-13697	-20005	-1030	0.035	1845.4	0.933	0.54592	10.11318	No
SLV 5	-12665	-18973	-951	0.037	1741.2	0.93	0.57776	10.11318	No
SLV 6	-12665	-18973	-951	0.037	1741.2	0.93	0.57776	10.11318	No
SLV 4	-9708	-11818	434	0.067	1443.7	0.919	1.0633	10.28841	No
SLV 3	-9708	-11818	434	0.067	1443.7	0.919	1.0633	10.28841	No

Tabella dei coefficienti di sicurezza minimi

Stato limite	Coeff.s.	Comb.	Verifica
PF_SLU	13.187	SLU 43	Si
V_SLU	68.806	SLU 40	Si
PF_SLV	3.503	SLV 3	Si
V_SLV	2.852	SLV 1	Si
PFFP_SLV	13.823	SLV 7	Si
R_SLV	0.032	SLV 7	No

Maschio 7

Verifiche condotte secondo D.M. 17-01-18 (N.T.C.)

Dati geometrici

X ini.	Y ini.	X fin.	Y fin.	Quota i.	Quota.s	I	Sp.	h netta	h ini.	h fin.	a	a.s.,sx	a.s.,dx
-13.444	-3.134	-14.864	-3.134	L1	L2	1.42	0.45	2.71	2.71	2.71			

Caratteristiche del materiale

(Circolare 7 21-01-19 C8.5.I) Muratura in mattoni pieni e malta di calce LC2_Corti

fb	fk	fvk0	fmedio	τ_0	f ν_0	μ	ϕ	f ν_{lim}	E	G	FC
600000			345000	9000	20000	0.58	0.77	32500	320000000	128000000	1.2

Verifica a pressoflessione nel piano secondo D.M. 17-01-18 NTC §7.8.2.2.1 in combinazioni non sismiche, $\gamma_M = 3$

Comb.	Quota	N	M	σ_0	Mu	c.s.	Verifica
SLU 44	0.02	-9521	201.26	14900	5523.47	27.445	Si
SLU 44	0.42	-8935	168.46	13983	5254.91	31.194	Si
SLU 43	0.02	-9517	204.85	14894	5521.69	26.954	Si
SLU 43	0.42	-8931	170.93	13976	5253.06	30.733	Si
SLU 66	0.02	-11156	213.37	17459	6223.37	29.167	Si
SLU 66	0.42	-10570	172.43	16542	5980.96	34.686	Si
SLU 45	0.02	-9517	204.85	14894	5521.69	26.954	Si
SLU 45	0.42	-8931	170.93	13976	5253.06	30.733	Si
SLU 47	0.02	-9521	201.26	14900	5523.47	27.445	Si
SLU 47	0.42	-8935	168.46	13983	5254.91	31.194	Si
SLU 51	0.02	-9519	202.7	14897	5522.76	27.247	Si
SLU 51	0.42	-8933	169.45	13980	5254.17	31.008	Si
SLU 48	0.02	-9517	204.85	14894	5521.69	26.954	Si
SLU 48	0.42	-8931	170.93	13976	5253.06	30.733	Si
SLU 46	0.02	-9519	202.7	14897	5522.76	27.247	Si
SLU 46	0.42	-8933	169.45	13980	5254.17	31.008	Si
SLU 49	0.02	-9519	202.7	14897	5522.76	27.247	Si
SLU 49	0.42	-8933	169.45	13980	5254.17	31.008	Si



Comb.	Quota	N	M	σ_0	Mu	c.s.	Verifica
SLV 50	0.02	-9517	204.85	14894	5521.69	26.954	Si
SLV 50	0.42	-8931	170.93	13976	5253.06	30.733	Si

Verifica a pressoflessione nel piano secondo D.M. 17-01-18 NTC §7.8.2.2.1 in combinazioni sismiche, $\gamma_M = 2$

Comb.	Quota	N	M	σ_0	Mu	c.s.	Verifica
SLV 15	0.02	-9590	-1187.59	15008	5972.78	5.029	Si
SLV 15	0.42	-8957	-859.2	14017	5629.94	6.553	Si
SLV 3	0.02	-7831	1493.86	12255	5002.35	3.349	Si
SLV 3	0.42	-7603	1105.68	11899	4872.76	4.407	Si
SLV 2	0.02	-8685	1521.62	13592	5480.5	3.602	Si
SLV 2	0.42	-8417	1125.5	13172	5331.72	4.737	Si
SLV 1	0.02	-8685	1521.62	13592	5480.5	3.602	Si
SLV 1	0.42	-8417	1125.5	13172	5331.72	4.737	Si
SLV 4	0.02	-7831	1493.86	12255	5002.35	3.349	Si
SLV 4	0.42	-7603	1105.68	11899	4872.76	4.407	Si
SLV 14	0.02	-10444	-1159.83	16345	6423.6	5.538	Si
SLV 14	0.42	-9770	-839.39	15290	6068.89	7.23	Si
SLV 16	0.02	-9590	-1187.59	15008	5972.78	5.029	Si
SLV 16	0.42	-8957	-859.2	14017	5629.94	6.553	Si
SLV 8	0.02	-7450	522.97	11659	4784.95	9.15	Si
SLV 8	0.42	-7128	394.85	11155	4599.07	11.648	Si
SLV 13	0.02	-10444	-1159.83	16345	6423.6	5.538	Si
SLV 13	0.42	-9770	-839.39	15290	6068.89	7.23	Si
SLV 7	0.02	-7450	522.97	11659	4784.95	9.15	Si
SLV 7	0.42	-7128	394.85	11155	4599.07	11.648	Si

Verifica a taglio nel piano secondo D.M. 17-01-18 (N.T.C.) §7.8.2.2.2 con rottura per scorrimento in combinazioni non sismiche, $\gamma_M = 3$

Comb.	Quota	N	V par	M	σ_0	σ_N	I'	fvd	Vt scorr.	Vt fess.diag.	Vt,lim	c.s.	Verifica
SLU 83	0.02	-15737	142	237.17		24627	1.42	8839	5648			39.71	Si
SLU 83	0.42	-15151	142	176.62		23710	1.42	8717	5570			39.16	Si
SLU 77	0.02	-14363	128	230.03		22477	1.42	8552	5465			42.85	Si
SLU 77	0.42	-13777	128	175.37		21560	1.42	8430	5387			42.24	Si
SLU 42	0.02	-13975	128	189.98		21871	1.42	8472	5413			42.39	Si
SLU 42	0.42	-13525	128	136.1		21165	1.42	8378	5353			41.92	Si
SLU 82	0.02	-15739	141	235.01		24631	1.42	8840	5649			40.19	Si
SLU 82	0.42	-15153	141	175.14		23714	1.42	8717	5570			39.64	Si
SLU 40	0.02	-13975	128	189.98		21871	1.42	8472	5413			42.39	Si
SLU 40	0.42	-13525	128	136.1		21165	1.42	8378	5353			41.92	Si
SLU 84	0.02	-15739	141	235.01		24631	1.42	8840	5649			40.19	Si
SLU 84	0.42	-15153	141	175.14		23714	1.42	8717	5570			39.64	Si
SLU 81	0.02	-15737	142	237.17		24627	1.42	8839	5648			39.71	Si
SLU 81	0.42	-15151	142	176.62		23710	1.42	8717	5570			39.16	Si
SLU 74	0.02	-14363	128	230.03		22477	1.42	8552	5465			42.85	Si
SLU 74	0.42	-13777	128	175.37		21560	1.42	8430	5387			42.24	Si
SLU 41	0.02	-13973	129	192.14		21867	1.42	8471	5413			41.84	Si
SLU 41	0.42	-13522	129	137.58		21161	1.42	8377	5353			41.37	Si
SLU 39	0.02	-13973	129	192.14		21867	1.42	8471	5413			41.84	Si
SLU 39	0.42	-13522	129	137.58		21161	1.42	8377	5353			41.37	Si

Verifica a taglio nel piano secondo D.M. 17-01-18 (N.T.C.) §7.8.2.2.2 con rottura per scorrimento in combinazioni sismiche, $\gamma_M = 2$

Comb.	Quota	N	V par	M	σ_0	σ_N	I'	fvd	Vt scorr.	Vt fess.diag.	Vt,lim	c.s.	Verifica
SLV 8	0.02	-7450	823	522.97		11659	1.42	10665	6815			8.28	Si
SLV 8	0.42	-7128	699	394.85		11155	1.42	10564	6751			9.66	Si
SLV 4	0.02	-7831	2421	1493.86		12255	1.42	10784	6891			2.85	Si
SLV 4	0.42	-7603	1959	1105.68		11899	1.42	10713	6846			3.49	Si
SLV 14	0.02	-10444	-2266	-1159.83		16345	1.42	11602	7414			3.27	Si
SLV 14	0.42	-9770	-1804	-839.39		15290	1.42	11391	7279			4.04	Si
SLV 1	0.02	-8685	2393	1521.62		13592	1.42	11052	7062			2.95	Si
SLV 1	0.42	-8417	1922	1125.5		13172	1.42	10968	7008			3.65	Si
SLV 16	0.02	-9590	-2238	-1187.59		15008	1.42	11335	7243			3.24	Si
SLV 16	0.42	-8957	-1766	-859.2		14017	1.42	11137	7116			4.03	Si
SLV 15	0.02	-9590	-2238	-1187.59		15008	1.42	11335	7243			3.24	Si
SLV 15	0.42	-8957	-1766	-859.2		14017	1.42	11137	7116			4.03	Si
SLV 2	0.02	-8685	2393	1521.62		13592	1.42	11052	7062			2.95	Si
SLV 2	0.42	-8417	1922	1125.5		13172	1.42	10968	7008			3.65	Si
SLV 3	0.02	-7831	2421	1493.86		12255	1.42	10784	6891			2.85	Si
SLV 3	0.42	-7603	1959	1105.68		11899	1.42	10713	6846			3.49	Si
SLV 7	0.02	-7450	823	522.97		11659	1.42	10665	6815			8.28	Si
SLV 7	0.42	-7128	699	394.85		11155	1.42	10564	6751			9.66	Si
SLV 13	0.02	-10444	-2266	-1159.83		16345	1.42	11602	7414			3.27	Si
SLV 13	0.42	-9770	-1804	-839.39		15290	1.42	11391	7279			4.04	Si

Verifica a pressoflessione fuori piano D.M. 17-01-18 (N.T.C.)

quota -0.625 Wa 0.08 denominatore 8 $\gamma_M = 2$

Comb.	fd	Sa	σ_0	N	M	Mc	Coeff.s.	Verifica
SLV 8	143750	0.24	8728	-5577	85.99	1165.28	13.55	Si
SLV 7	143750	0.24	8728	-5577	85.99	1165.28	13.55	Si
SLV 11	143750	0.24	8800	-5623	85.99	1174.04	13.65	Si
SLV 12	143750	0.24	8800	-5623	85.99	1174.04	13.65	Si
SLV 4	143750	0.24	9849	-6293	85.99	1301.85	15.14	Si
SLV 3	143750	0.24	9849	-6293	85.99	1301.85	15.14	Si
SLV 16	143750	0.24	10086	-6445	85.99	1330.4	15.47	Si
SLV 15	143750	0.24	10086	-6445	85.99	1330.4	15.47	Si
SLV 1	143750	0.24	10880	-6952	85.99	1424.98	16.57	Si
SLV 2	143750	0.24	10880	-6952	85.99	1424.98	16.57	Si



Verifica dei meccanismi locali di collasso con analisi cinematica lineare

forza di aggancio al piano = 0 quota mezzeria = -0.625 Wa = 0.08 Ta = 0.0273

Comb.	N top	N base	V orto	α0	M*	e*	a0*	aLim	Verifica
SLV 7	-4651	-5653	-496	0.024	723.9	0.914	0.38094	10.11318	No
SLV 8	-4651	-5653	-496	0.024	723.9	0.914	0.38094	10.11318	No
SLV 11	-5009	-5665	-502	0.026	759.6	0.917	0.41649	10.11318	No
SLV 12	-5009	-5665	-502	0.026	759.6	0.917	0.41649	10.11318	No
SLV 5	-7274	-8858	510	0.04	987.5	0.932	0.62283	10.11318	No
SLV 6	-7274	-8858	510	0.04	987.5	0.932	0.62283	10.11318	No
SLV 9	-7632	-8871	504	0.042	1023.6	0.934	0.65761	10.11318	No
SLV 10	-7632	-8871	504	0.042	1023.6	0.934	0.65761	10.11318	No
SLV 2	-5939	-7722	165	0.078	852.9	0.924	1.23209	10.28841	No
SLV 1	-5939	-7722	165	0.078	852.9	0.924	1.23209	10.28841	No

Tabella dei coefficienti di sicurezza minimi

Stato limite	Coeff.s.	Comb.	Verifica
PF_SLU	26.954	SLU 43	Si
V_SLU	39.162	SLU 81	Si
PF_SLV	3.349	SLV 3	Si
V_SLV	2.846	SLV 3	Si
PFFP_SLV	13.551	SLV 7	Si
R_SLV	0.038	SLV 7	No

Maschio 8

Verifiche condotte secondo D.M. 17-01-18 (N.T.C.)

Dati geometrici

X ini.	Y ini.	X fin.	Y fin.	Quota i.	Quota.s	l	Sp.	h netta	h ini.	h fin.	a	a.s.,sx	a.s.,dx
-10.059	-3.134	-12.444	-3.134	L1	L2	2.385	0.45	2.71	2.71	2.71			

Caratteristiche del materiale

(Circolare 7 21-01-19 C8.5.I) Muratura in mattoni pieni e malta di calce LC2_Corti

fb	fk	fvk0	fmedio	τ0	fv0	μ	φ	fv,lim	E	G	FC
600000			345000	9000	20000	0.58	0.77	32500	320000000	128000000	1.2

Verifica a pressoflessione nel piano secondo D.M. 17-01-18 NTC §7.8.2.2.1 in combinazioni non sismiche, γM = 3

Comb.	Quota	N	M	σ0	Mu	c.s.	Verifica
SLU 40	0.02	-21559	259.5	20088	19369.62	74.643	Si
SLU 40	0.42	-21108	353.6	19667	19094.05	53.998	Si
SLU 46	0.02	-14945	-239.05	13925	14775.2	61.808	Si
SLU 46	0.42	-14167	-234.1	13200	14156.67	60.473	Si
SLU 47	0.02	-14945	-242.86	13925	14775.34	60.839	Si
SLU 47	0.42	-14167	-236.81	13200	14156.64	59.78	Si
SLU 41	0.02	-21559	265.21	20088	19369.47	73.033	Si
SLU 41	0.42	-21108	357.67	19667	19094.08	53.384	Si
SLU 39	0.02	-21559	265.21	20088	19369.47	73.033	Si
SLU 39	0.42	-21108	357.67	19667	19094.08	53.384	Si
SLU 51	0.02	-14945	-239.05	13925	14775.2	61.808	Si
SLU 51	0.42	-14167	-234.1	13200	14156.67	60.473	Si
SLU 49	0.02	-14945	-239.05	13925	14775.2	61.808	Si
SLU 49	0.42	-14167	-234.1	13200	14156.67	60.473	Si
SLU 43	0.02	-14945	-233.33	13924	14775	63.322	Si
SLU 43	0.42	-14167	-230.03	13200	14156.72	61.543	Si
SLU 44	0.02	-14945	-242.86	13925	14775.34	60.839	Si
SLU 44	0.42	-14167	-236.81	13200	14156.64	59.78	Si
SLU 42	0.02	-21559	259.5	20088	19369.62	74.643	Si
SLU 42	0.42	-21108	353.6	19667	19094.05	53.998	Si

Verifica a pressoflessione nel piano secondo D.M. 17-01-18 NTC §7.8.2.2.1 in combinazioni sismiche, γM = 2

Comb.	Quota	N	M	σ0	Mu	c.s.	Verifica
SLV 16	0.02	-11402	-2706.51	10624	12414.59	4.587	Si
SLV 16	0.42	-10706	-1471.58	9976	11725.16	7.968	Si
SLV 4	0.02	-15771	2453.32	14694	16544.88	6.744	Si
SLV 4	0.42	-15840	1383.78	14759	16607.49	12.002	Si
SLV 12	0.02	-11396	-1060.56	10618	12408.52	11.7	Si
SLV 12	0.42	-11539	-502.47	10751	12549.47	24.976	Si
SLV 2	0.02	-17087	2590.45	15920	17720.94	6.841	Si
SLV 2	0.42	-16666	1409.72	15529	17348.75	12.307	Si
SLV 13	0.02	-12718	-2569.38	11850	13695.2	5.33	Si
SLV 13	0.42	-11533	-1445.65	10746	12543.58	8.677	Si
SLV 14	0.02	-12718	-2569.38	11850	13695.2	5.33	Si
SLV 14	0.42	-11533	-1445.65	10746	12543.58	8.677	Si
SLV 11	0.02	-11396	-1060.56	10618	12408.52	11.7	Si
SLV 11	0.42	-11539	-502.47	10751	12549.47	24.976	Si
SLV 1	0.02	-17087	2590.45	15920	17720.94	6.841	Si
SLV 1	0.42	-16666	1409.72	15529	17348.75	12.307	Si
SLV 3	0.02	-15771	2453.32	14694	16544.88	6.744	Si
SLV 3	0.42	-15840	1383.78	14759	16607.49	12.002	Si
SLV 15	0.02	-11402	-2706.51	10624	12414.59	4.587	Si
SLV 15	0.42	-10706	-1471.58	9976	11725.16	7.968	Si

Verifica a taglio nel piano secondo D.M. 17-01-18 (N.T.C.) §7.8.2.2.2 con rottura per scorrimento in combinazioni non sismiche, γM = 3

Comb.	Quota	N	V par	M	σ0	σN	l'	fvd	Vt scorr.	Vt fess.diag.	Vt,lim	c.s.	Verifica
-------	-------	---	-------	---	----	----	----	-----	-----------	---------------	--------	------	----------



Comb.	Quota	N	V par	M	σ_0	σ_N	I'	fvd	Vt scorr.	Vt fess.diag.	Vt,lim	c.s.	Verifica
SLU 31	0.02	-19481	-84	163.82		18151	2.385	7976	8560			102.29	Si
SLU 31	0.42	-18999	-84	240.45		17702	2.385	7916	8496			101.38	Si
SLU 39	0.02	-21559	-111	265.21		20088	2.385	8234	8837			79.51	Si
SLU 39	0.42	-21108	-111	357.67		19667	2.385	8178	8777			78.91	Si
SLU 42	0.02	-21559	-115	259.5		20088	2.385	8234	8837			76.59	Si
SLU 42	0.42	-21108	-115	353.6		19667	2.385	8178	8777			76	Si
SLU 33	0.02	-19481	-81	167.63		18151	2.385	7976	8560			105.86	Si
SLU 33	0.42	-18999	-81	243.17		17702	2.385	7916	8496			104.94	Si
SLU 34	0.02	-19481	-84	163.82		18151	2.385	7976	8560			102.29	Si
SLU 34	0.42	-18999	-84	240.45		17702	2.385	7916	8496			101.38	Si
SLU 40	0.02	-21559	-115	259.5		20088	2.385	8234	8837			76.59	Si
SLU 40	0.42	-21108	-115	353.6		19667	2.385	8178	8777			76	Si
SLU 41	0.02	-21559	-111	265.21		20088	2.385	8234	8837			79.51	Si
SLU 41	0.42	-21108	-111	357.67		19667	2.385	8178	8777			78.91	Si
SLU 36	0.02	-19481	-81	167.63		18151	2.385	7976	8560			105.86	Si
SLU 36	0.42	-18999	-81	243.17		17702	2.385	7916	8496			104.94	Si
SLU 84	0.02	-24354	-88	176.75		22692	2.385	8581	9210			105	Si
SLU 84	0.42	-23714	-88	265.77		22095	2.385	8502	9124			103.88	Si
SLU 82	0.02	-24354	-88	176.75		22692	2.385	8581	9210			105	Si
SLU 82	0.42	-23714	-88	265.77		22095	2.385	8502	9124			103.88	Si

Verifica a taglio nel piano secondo D.M. 17-01-18 (N.T.C.) §7.8.2.2.2 con rottura per scorrimento in combinazioni sismiche, $\gamma_M = 2$

Comb.	Quota	N	V par	M	σ_0	σ_N	I'	fvd	Vt scorr.	Vt fess.diag.	Vt,lim	c.s.	Verifica
SLV 8	0.02	-12706	1255	487.39		11839	2.385	10701	11485			9.15	Si
SLV 8	0.42	-13079	1101	354.14		12186	2.385	10771	11560			10.5	Si
SLV 14	0.02	-12718	-3947	-2569.38		11850	2.385	10703	11487			2.91	Si
SLV 14	0.42	-11533	-3379	-1445.65		10746	2.385	10482	11250			3.33	Si
SLV 7	0.02	-12706	1255	487.39		11839	2.385	10701	11485			9.15	Si
SLV 7	0.42	-13079	1101	354.14		12186	2.385	10771	11560			10.5	Si
SLV 13	0.02	-12718	-3947	-2569.38		11850	2.385	10703	11487			2.91	Si
SLV 13	0.42	-11533	-3379	-1445.65		10746	2.385	10482	11250			3.33	Si
SLV 2	0.02	-17087	3930	2590.45		15920	2.385	11517	12361			3.15	Si
SLV 2	0.42	-16666	3351	1409.72		15529	2.385	11439	12277			3.66	Si
SLV 1	0.02	-17087	3930	2590.45		15920	2.385	11517	12361			3.15	Si
SLV 1	0.42	-16666	3351	1409.72		15529	2.385	11439	12277			3.66	Si
SLV 4	0.02	-15771	3968	2453.32		14694	2.385	11272	12098			3.05	Si
SLV 4	0.42	-15840	3399	1383.78		14759	2.385	11285	12112			3.56	Si
SLV 15	0.02	-11402	-3910	-2706.51		10624	2.385	10458	11224			2.87	Si
SLV 15	0.42	-10706	-3330	-1471.58		9976	2.385	10328	11085			3.33	Si
SLV 16	0.02	-11402	-3910	-2706.51		10624	2.385	10458	11224			2.87	Si
SLV 16	0.42	-10706	-3330	-1471.58		9976	2.385	10328	11085			3.33	Si
SLV 3	0.02	-15771	3968	2453.32		14694	2.385	11272	12098			3.05	Si
SLV 3	0.42	-15840	3399	1383.78		14759	2.385	11285	12112			3.56	Si

Verifica a pressoflessione fuori piano D.M. 17-01-18 (N.T.C.)

quota -0.625 Wa 0.08 denominatore 8 $\gamma_M = 2$

Comb.	fd	Sa	σ_0	N	M	Mc	Coeff.s.	Verifica
SLV 12	143750	0.24	8912	-9564	144.43	1995.02	13.81	Si
SLV 11	143750	0.24	8912	-9564	144.43	1995.02	13.81	Si
SLV 7	143750	0.24	9603	-10307	144.43	2136.73	14.79	Si
SLV 8	143750	0.24	9603	-10307	144.43	2136.73	14.79	Si
SLV 15	143750	0.24	9797	-10515	144.43	2176.11	15.07	Si
SLV 16	143750	0.24	9797	-10515	144.43	2176.11	15.07	Si
SLV 13	143750	0.24	11248	-12072	144.43	2466.07	17.07	Si
SLV 14	143750	0.24	11248	-12072	144.43	2466.07	17.07	Si
SLV 3	143750	0.24	12102	-12989	144.43	2633.06	18.23	Si
SLV 4	143750	0.24	12102	-12989	144.43	2633.06	18.23	Si

Verifica dei meccanismi locali di collasso con analisi cinematica lineare

forza di aggancio al piano = 0 quota mezzera = -0.625 Wa = 0.08 Ta = 0.0273

Comb.	N top	N base	V orto	α_0	M*	e*	a0*	aLim	Verifica
SLV 16	-8688	-10733	344	0.072	1303.3	0.918	1.13625	10.28841	No
SLV 15	-8688	-10733	344	0.072	1303.3	0.918	1.13625	10.28841	No
SLV 1	-13407	-16252	-343	0.075	1778.8	0.936	1.16687	10.28841	No
SLV 2	-13407	-16252	-343	0.075	1778.8	0.936	1.16687	10.28841	No
SLV 11	-9412	-8864	308	0.075	1375.9	0.922	1.18995	10.11318	No
SLV 12	-9412	-8864	308	0.075	1375.9	0.922	1.18995	10.11318	No
SLV 6	-12684	-18121	-308	0.077	1705.7	0.934	1.20038	10.11318	No
SLV 5	-12684	-18121	-308	0.077	1705.7	0.934	1.20038	10.11318	No
SLV 4	-12795	-13746	-208	0.084	1717	0.934	1.3007	10.28841	No
SLV 3	-12795	-13746	-208	0.084	1717	0.934	1.3007	10.28841	No

Tabella dei coefficienti di sicurezza minimi

Stato limite	Coeff.s.	Comb.	Verifica
PF_SLU	53.384	SLU 39	Si
V_SLU	75.997	SLU 40	Si
PF_SLV	4.587	SLV 15	Si
V_SLV	2.871	SLV 15	Si
PFFP_SLV	13.813	SLV 11	Si
R_SLV	0.11	SLV 15	No

Maschio 9

Verifiche condotte secondo D.M. 17-01-18 (N.T.C.)



Dati geometrici

X ini.	Y ini.	X fin.	Y fin.	Quota i.	Quota.s	l	Sp.	h netta	h ini.	h fin.	a	a.s,sx	a.s,dx
-8.084	-3.134	-9.059	-3.134	L1	L2	0.975	0.45	2.71	2.71	2.71			

Caratteristiche del materiale

(Circolare 7 21-01-19 C8.5.I) Muratura in mattoni pieni e malta di calce LC2_Corti

fb	fk	fvk0	fmedio	τ_0	fv0	μ	ϕ	fv,lim	E	G	FC
600000			345000	9000	20000	0.58	0.77	32500	320000000	128000000	1.2

Verifica a pressoflessione nel piano secondo D.M. 17-01-18 NTC §7.8.2.2.1 in combinazioni non sismiche, $\gamma_M = 3$

Comb.	Quota	N	M	σ_0	Mu	c.s.	Verifica
SLU 40	0.02	-7571	867.88	17264	2907.55	3.35	Si
SLU 40	0.42	-7664	956.63	17476	2933.54	3.067	Si
SLU 81	0.02	-8696	975.09	19829	3206.14	3.288	Si
SLU 81	0.42	-8720	1063.72	19883	3212.07	3.02	Si
SLU 42	0.02	-7571	867.88	17264	2907.55	3.35	Si
SLU 42	0.42	-7664	956.63	17476	2933.54	3.067	Si
SLU 84	0.02	-8699	976.09	19836	3206.92	3.285	Si
SLU 84	0.42	-8721	1064.57	19885	3212.33	3.017	Si
SLU 83	0.02	-8696	975.09	19829	3206.14	3.288	Si
SLU 83	0.42	-8720	1063.72	19883	3212.07	3.02	Si
SLU 41	0.02	-7568	866.88	17257	2906.67	3.353	Si
SLU 41	0.42	-7663	955.78	17473	2933.25	3.069	Si
SLU 82	0.02	-8699	976.09	19836	3206.92	3.285	Si
SLU 82	0.42	-8721	1064.57	19885	3212.33	3.017	Si
SLU 76	0.02	-8055	890.8	18366	3040.15	3.413	Si
SLU 76	0.42	-8019	963.95	18284	3030.44	3.144	Si
SLU 73	0.02	-8055	890.8	18366	3040.15	3.413	Si
SLU 73	0.42	-8019	963.95	18284	3030.44	3.144	Si
SLU 39	0.02	-7568	866.88	17257	2906.67	3.353	Si
SLU 39	0.42	-7663	955.78	17473	2933.25	3.069	Si

Verifica a pressoflessione nel piano secondo D.M. 17-01-18 NTC §7.8.2.2.1 in combinazioni sismiche, $\gamma_M = 2$

Comb.	Quota	N	M	σ_0	Mu	c.s.	Verifica
SLV 11	0.02	-4527	396.55	10321	2019.44	5.093	Si
SLV 11	0.42	-4738	618.68	10804	2104.71	3.402	Si
SLV 15	0.02	-5177	272.65	11805	2279.21	8.359	Si
SLV 15	0.42	-5522	711.6	12592	2413.71	3.392	Si
SLV 1	0.02	-5409	856.24	12333	2369.7	2.768	Si
SLV 1	0.42	-4857	487.81	11074	2152.09	4.412	Si
SLV 14	0.02	-5660	325.64	12906	2466.82	7.575	Si
SLV 14	0.42	-5886	721.22	13421	2553.11	3.54	Si
SLV 13	0.02	-5660	325.64	12906	2466.82	7.575	Si
SLV 13	0.42	-5886	721.22	13421	2553.11	3.54	Si
SLV 4	0.02	-4926	803.25	11233	2179.88	2.714	Si
SLV 4	0.42	-4493	478.18	10245	2005.88	4.195	Si
SLV 16	0.02	-5177	272.65	11805	2279.21	8.359	Si
SLV 16	0.42	-5522	711.6	12592	2413.71	3.392	Si
SLV 12	0.02	-4527	396.55	10321	2019.44	5.093	Si
SLV 12	0.42	-4738	618.68	10804	2104.71	3.402	Si
SLV 2	0.02	-5409	856.24	12333	2369.7	2.768	Si
SLV 2	0.42	-4857	487.81	11074	2152.09	4.412	Si
SLV 3	0.02	-4926	803.25	11233	2179.88	2.714	Si
SLV 3	0.42	-4493	478.18	10245	2005.88	4.195	Si

Verifica a taglio nel piano secondo D.M. 17-01-18 (N.T.C.) §7.8.2.2.2 con rottura per scorrimento in combinazioni non sismiche, $\gamma_M = 3$

Comb.	Quota	N	V par	M	σ_0	σ_N	I'	fvd	Vt scorr.	Vt fess.diag.	Vt,lim	c.s.	Verifica
SLU 83	0.02	-8696	-739	975.09		19829	0.9746	8199	3596			4.87	Si
SLU 83	0.42	-8720	-741	1063.72		19883	0.9746	8207	3599			4.86	Si
SLU 40	0.02	-7571	-711	867.88		17264	0.9746	7857	3446			4.85	Si
SLU 40	0.42	-7664	-713	956.63		17476	0.9746	7886	3458			4.85	Si
SLU 82	0.02	-8699	-736	976.09		19836	0.9746	8200	3596			4.89	Si
SLU 82	0.42	-8721	-738	1064.57		19885	0.9746	8207	3599			4.87	Si
SLU 41	0.02	-7568	-713	866.88		17257	0.9746	7856	3446			4.83	Si
SLU 41	0.42	-7663	-716	955.78		17473	0.9746	7885	3458			4.83	Si
SLU 39	0.02	-7568	-713	866.88		17257	0.9746	7856	3446			4.83	Si
SLU 39	0.42	-7663	-716	955.78		17473	0.9746	7885	3458			4.83	Si
SLU 77	0.02	-8050	-632	889.13		18355	0.9746	8003	3510			5.55	Si
SLU 77	0.42	-8017	-634	962.52		18280	0.9746	7993	3505			5.53	Si
SLU 84	0.02	-8699	-736	976.09		19836	0.9746	8200	3596			4.89	Si
SLU 84	0.42	-8721	-738	1064.57		19885	0.9746	8207	3599			4.87	Si
SLU 74	0.02	-8050	-632	889.13		18355	0.9746	8003	3510			5.55	Si
SLU 74	0.42	-8017	-634	962.52		18280	0.9746	7993	3505			5.53	Si
SLU 42	0.02	-7571	-711	867.88		17264	0.9746	7857	3446			4.85	Si
SLU 42	0.42	-7664	-713	956.63		17476	0.9746	7886	3458			4.85	Si
SLU 81	0.02	-8696	-739	975.09		19829	0.9746	8199	3596			4.87	Si
SLU 81	0.42	-8720	-741	1063.72		19883	0.9746	8207	3599			4.86	Si

Verifica a taglio nel piano secondo D.M. 17-01-18 (N.T.C.) §7.8.2.2.2 con rottura per scorrimento in combinazioni sismiche, $\gamma_M = 2$

Comb.	Quota	N	V par	M	σ_0	σ_N	I'	fvd	Vt scorr.	Vt fess.diag.	Vt,lim	c.s.	Verifica
SLV 3	0.02	-4926	768	803.25		11254	0.9727	10584	4633			6.03	Si
SLV 3	0.42	-4493	702	478.18		10245	0.9746	10382	4553			6.48	Si
SLV 14	0.02	-5660	-1443	325.64		12906	0.9746	10914	4787			3.32	Si
SLV 14	0.42	-5886	-1380	721.22		13421	0.9746	11017	4832			3.5	Si
SLV 15	0.02	-5177	-1803	272.65		11805	0.9746	10694	4690			2.6	Si
SLV 15	0.42	-5522	-1740	711.6		12592	0.9746	10852	4759			2.73	Si
SLV 12	0.02	-4527	-1323	396.55		10321	0.9746	10398	4560			3.45	Si



Comb.	Quota	N	V par	M	σ_0	σ_N	I'	fvd	Vt scorr.	Vt fess.diag.	Vt,lim	c.s.	Verifica
SLV 12	0.42	-4738	-1306	618.68		10804	0.9746	10494	4602			3.52	Si
SLV 16	0.02	-5177	-1803	272.65		11805	0.9746	10694	4690			2.6	Si
SLV 16	0.42	-5522	-1740	711.6		12592	0.9746	10852	4759			2.73	Si
SLV 13	0.02	-5660	-1443	325.64		12906	0.9746	10914	4787			3.32	Si
SLV 13	0.42	-5886	-1380	721.22		13421	0.9746	11017	4832			3.5	Si
SLV 4	0.02	-4926	768	803.25		11254	0.9727	10584	4633			6.03	Si
SLV 4	0.42	-4493	702	478.18		10245	0.9746	10382	4553			6.48	Si
SLV 2	0.02	-5409	1127	856.24		12333	0.9746	10800	4737			4.2	Si
SLV 2	0.42	-4857	1063	487.81		11074	0.9746	10548	4626			4.35	Si
SLV 1	0.02	-5409	1127	856.24		12333	0.9746	10800	4737			4.2	Si
SLV 1	0.42	-4857	1063	487.81		11074	0.9746	10548	4626			4.35	Si
SLV 11	0.02	-4527	-1323	396.55		10321	0.9746	10398	4560			3.45	Si
SLV 11	0.42	-4738	-1306	618.68		10804	0.9746	10494	4602			3.52	Si

Verifica a pressoflessione fuori piano D.M. 17-01-18 (N.T.C.)

quota -0.625 Wa 0.08 denominatore 8 $\gamma_M = 2$

Comb.	fd	Sa	σ_0	N	M	Mc	Coeff.s.	Verifica
SLV 8	143750	0.24	7513	-3295	59.02	695.76	11.79	Si
SLV 7	143750	0.24	7513	-3295	59.02	695.76	11.79	Si
SLV 3	143750	0.24	8169	-3583	59.02	752.18	12.74	Si
SLV 4	143750	0.24	8169	-3583	59.02	752.18	12.74	Si
SLV 11	143750	0.24	8181	-3588	59.02	753.27	12.76	Si
SLV 12	143750	0.24	8181	-3588	59.02	753.27	12.76	Si
SLV 2	143750	0.24	9400	-4122	59.02	856.17	14.51	Si
SLV 1	143750	0.24	9400	-4122	59.02	856.17	14.51	Si
SLV 16	143750	0.24	10397	-4560	59.02	938.69	15.9	Si
SLV 15	143750	0.24	10397	-4560	59.02	938.69	15.9	Si

Verifica dei meccanismi locali di collasso con analisi cinematica lineare

forza di aggancio al piano = 0 quota mezzeria = -0.625 Wa = 0.08 Ta = 0.0273

Comb.	N top	N base	V orto	α_0	M*	e*	α_0^*	α_{Lim}	Verifica
SLV 6	-4601	-6453	104	0.08	638.3	0.929	1.25639	10.11318	No
SLV 5	-4601	-6453	104	0.08	638.3	0.929	1.25639	10.11318	No
SLV 12	-3486	-4302	-106	0.079	526.2	0.918	1.25685	10.11318	No
SLV 11	-3486	-4302	-106	0.079	526.2	0.918	1.25685	10.11318	No
SLV 10	-4608	-7157	81	0.084	638.9	0.929	1.32159	10.11318	No
SLV 9	-4608	-7157	81	0.084	638.9	0.929	1.32159	10.11318	No
SLV 8	-3480	-3598	-82	0.085	525.5	0.917	1.3393	10.11318	No
SLV 7	-3480	-3598	-82	0.085	525.5	0.917	1.3393	10.11318	No
SLV 1	-4201	-4632	67	0.087	597.9	0.925	1.37007	10.28841	No
SLV 2	-4201	-4632	67	0.087	597.9	0.925	1.37007	10.28841	No

Tabella dei coefficienti di sicurezza minimi

Stato limite	Coeff.s.	Comb.	Verifica
PF_SLU	3.017	SLU 82	Si
V_SLU	4.829	SLU 39	Si
PF_SLV	2.714	SLV 3	Si
V_SLV	2.601	SLV 15	Si
PFFP_SLV	11.789	SLV 7	Si
R_SLV	0.124	SLV 5	No

Maschio 10

Verifiche condotte secondo D.M. 17-01-18 (N.T.C.)

Dati geometrici

X ini.	Y ini.	X fin.	Y fin.	Quota i.	Quota.s	I	Sp.	h netta	h ini.	h fin.	a	a.s.,sx	a.s.,dx
-8.084	1.355	-20.474	1.355	L1	L2	12.39	0.45	2.71	2.71	2.71			

Caratteristiche del materiale

(Circolare 7 21-01-19 C8.5.I) Muratura in mattoni pieni e malta di calce LC2_Corti

fb	fk	fvk0	fmedio	τ_0	f ν_0	μ	ϕ	f ν_{lim}	E	G	FC
600000			345000	9000	20000	0.58	0.77	32500	320000000	128000000	1.2

Verifica a pressoflessione nel piano secondo D.M. 17-01-18 NTC §7.8.2.2.1 in combinazioni non sismiche, $\gamma_M = 3$

Comb.	Quota	N	M	σ_0	Mu	c.s.	Verifica
SLU 44	-1.98	-107225	9339.84	19231	507432.36	54.33	Si
SLU 44	0.73	-80541	26995.53	14446	410468.87	15.205	Si
SLU 47	-1.98	-107225	9339.84	19231	507432.36	54.33	Si
SLU 47	0.73	-80541	26995.53	14446	410468.87	15.205	Si
SLU 48	-1.98	-106795	8511.98	19154	506023.43	59.448	Si
SLU 48	0.73	-79985	25908.12	14346	408241.93	15.757	Si
SLU 50	-1.98	-106795	8511.98	19154	506023.43	59.448	Si
SLU 50	0.73	-79985	25908.12	14346	408241.93	15.757	Si
SLU 49	-1.98	-107053	9008.7	19201	506869.4	56.264	Si
SLU 49	0.73	-80319	26560.57	14406	409579.11	15.421	Si
SLU 43	-1.98	-106795	8511.98	19154	506023.43	59.448	Si
SLU 43	0.73	-79985	25908.12	14346	408241.93	15.757	Si
SLU 51	-1.98	-107053	9008.7	19201	506869.4	56.264	Si
SLU 51	0.73	-80319	26560.57	14406	409579.11	15.421	Si
SLU 46	-1.98	-107053	9008.7	19201	506869.4	56.264	Si
SLU 46	0.73	-80319	26560.57	14406	409579.11	15.421	Si
SLU 45	-1.98	-106795	8511.98	19154	506023.43	59.448	Si
SLU 45	0.73	-79985	25908.12	14346	408241.93	15.757	Si



Comb.	Quota	N	M	σ_0	Mu	c.s.	Verifica
SLV 2	-1.98	-86177	7324.32	15456	432564.76	59.059	Si
SLV 2	0.73	-66217	21383.85	11876	350403.83	16.386	Si

Verifica a pressoflessione nel piano secondo D.M. 17-01-18 NTC §7.8.2.2.1 in combinazioni sismiche, $\gamma_M = 2$

Comb.	Quota	N	M	σ_0	Mu	c.s.	Verifica
SLV 7	-1.98	-112572	9349.48	20191	582146.56	62.265	Si
SLV 7	0.73	-78877	31375.91	14147	432068.19	13.771	Si
SLV 2	-1.98	-93735	35801.13	16812	500787.92	13.988	Si
SLV 2	0.73	-82262	37163.39	14754	448073.75	12.057	Si
SLV 1	-1.98	-93735	35801.13	16812	500787.92	13.988	Si
SLV 1	0.73	-82262	37163.39	14754	448073.75	12.057	Si
SLV 8	-1.98	-112572	9349.48	20191	582146.56	62.265	Si
SLV 8	0.73	-78877	31375.91	14147	432068.19	13.771	Si
SLV 6	-1.98	-82586	20033.65	14812	449598.86	22.442	Si
SLV 6	0.73	-80819	21844.46	14495	441274.68	20.201	Si
SLV 11	-1.98	-112012	-7370.76	20090	579821.27	78.665	Si
SLV 11	0.73	-77058	21104.84	13821	423378.21	20.061	Si
SLV 3	-1.98	-102731	32595.88	18425	540445.35	16.58	Si
SLV 3	0.73	-81679	40022.82	14650	445334.28	11.127	Si
SLV 5	-1.98	-82586	20033.65	14812	449598.86	22.442	Si
SLV 5	0.73	-80819	21844.46	14495	441274.68	20.201	Si
SLV 4	-1.98	-102731	32595.88	18425	540445.35	16.58	Si
SLV 4	0.73	-81679	40022.82	14650	445334.28	11.127	Si
SLV 12	-1.98	-112012	-7370.76	20090	579821.27	78.665	Si
SLV 12	0.73	-77058	21104.84	13821	423378.21	20.061	Si

Verifica a taglio nel piano secondo D.M. 17-01-18 (N.T.C.) §7.8.2.2.2 con rottura per scorrimento in combinazioni non sismiche, $\gamma_M = 3$

Comb.	Quota	N	V par	M	σ_0	σ_N	I'	fvd	Vt scorr.	Vt fess.diag.	Vt _{lim}	c.s.	Verifica
SLU 68	-1.98	-120862	123	9145.64	21677	12.39	8446	47090				383.74	Si
SLU 68	0.73	-96215	558	28387.52	17257	12.39	7856	43804				78.53	Si
SLU 70	-1.98	-120690	121	8814.5	21647	12.39	8442	47067				389.85	Si
SLU 70	0.73	-95992	554	27952.55	17217	12.39	7851	43774				79.02	Si
SLU 49	-1.98	-107053	117	9008.7	19201	12.39	8116	45249				388	Si
SLU 49	0.73	-80319	532	26560.57	14406	12.39	7476	41684				78.4	Si
SLU 67	-1.98	-120690	121	8814.5	21647	12.39	8442	47067				389.85	Si
SLU 67	0.73	-95992	554	27952.55	17217	12.39	7851	43774				79.02	Si
SLU 47	-1.98	-107225	119	9339.84	19231	12.39	8120	45272				381.71	Si
SLU 47	0.73	-80541	535	26995.53	14446	12.39	7482	41714				77.9	Si
SLU 72	-1.98	-120690	121	8814.5	21647	12.39	8442	47067				389.85	Si
SLU 72	0.73	-95992	554	27952.55	17217	12.39	7851	43774				79.02	Si
SLU 65	-1.98	-120862	123	9145.64	21677	12.39	8446	47090				383.74	Si
SLU 65	0.73	-96215	558	28387.52	17257	12.39	7856	43804				78.53	Si
SLU 46	-1.98	-107053	117	9008.7	19201	12.39	8116	45249				388	Si
SLU 46	0.73	-80319	532	26560.57	14406	12.39	7476	41684				78.4	Si
SLU 51	-1.98	-107053	117	9008.7	19201	12.39	8116	45249				388	Si
SLU 51	0.73	-80319	532	26560.57	14406	12.39	7476	41684				78.4	Si
SLU 44	-1.98	-107225	119	9339.84	19231	12.39	8120	45272				381.71	Si
SLU 44	0.73	-80541	535	26995.53	14446	12.39	7482	41714				77.9	Si

Verifica a taglio nel piano secondo D.M. 17-01-18 (N.T.C.) §7.8.2.2.2 con rottura per scorrimento in combinazioni sismiche, $\gamma_M = 2$

Comb.	Quota	N	V par	M	σ_0	σ_N	I'	fvd	Vt scorr.	Vt fess.diag.	Vt _{lim}	c.s.	Verifica
SLV 8	-1.98	-112572	5903	9349.48	20191	12.39	12371	68977				11.68	Si
SLV 8	0.73	-78877	6313	31375.91	14147	12.39	11163	62238				9.86	Si
SLV 16	-1.98	-100864	-18741	-23138.24	18091	12.39	11951	66635				3.56	Si
SLV 16	0.73	-75615	-17850	5785.92	13562	12.39	11046	61585				3.45	Si
SLV 7	-1.98	-112572	5903	9349.48	20191	12.39	12371	68977				11.68	Si
SLV 7	0.73	-78877	6313	31375.91	14147	12.39	11163	62238				9.86	Si
SLV 2	-1.98	-93735	18925	35801.13	16812	12.39	11696	65209				3.45	Si
SLV 2	0.73	-82262	18708	37163.39	14754	12.39	11284	62915				3.36	Si
SLV 3	-1.98	-102731	19014	32595.88	18425	12.39	12018	67008				3.52	Si
SLV 3	0.73	-81679	18928	40022.82	14650	12.39	11263	62798				3.32	Si
SLV 13	-1.98	-91868	-18830	-19932.99	16477	12.39	11629	64836				3.44	Si
SLV 13	0.73	-76198	-18070	2926.48	13667	12.39	11067	61702				3.41	Si
SLV 14	-1.98	-91868	-18830	-19932.99	16477	12.39	11629	64836				3.44	Si
SLV 14	0.73	-76198	-18070	2926.48	13667	12.39	11067	61702				3.41	Si
SLV 15	-1.98	-100864	-18741	-23138.24	18091	12.39	11951	66635				3.56	Si
SLV 15	0.73	-75615	-17850	5785.92	13562	12.39	11046	61585				3.45	Si
SLV 1	-1.98	-93735	18925	35801.13	16812	12.39	11696	65209				3.45	Si
SLV 1	0.73	-82262	18708	37163.39	14754	12.39	11284	62915				3.36	Si
SLV 4	-1.98	-102731	19014	32595.88	18425	12.39	12018	67008				3.52	Si
SLV 4	0.73	-81679	18928	40022.82	14650	12.39	11263	62798				3.32	Si

Verifica a pressoflessione fuori piano D.M. 17-01-18 (N.T.C.)

quota -0.625 Wa 0.08 denominatore 8 $\gamma_M = 2$

Comb.	fd	Sa	σ_0	N	M	Mc	Coeff.s.	Verifica
SLV 9	143750	0.24	13781	-76835	750.3	15338.02	20.44	Si
SLV 10	143750	0.24	13781	-76835	750.3	15338.02	20.44	Si
SLV 5	143750	0.24	14007	-78095	750.3	15557.13	20.73	Si
SLV 6	143750	0.24	14007	-78095	750.3	15557.13	20.73	Si
SLV 13	143750	0.24	14485	-80762	750.3	16017.28	21.35	Si
SLV 14	143750	0.24	14485	-80762	750.3	16017.28	21.35	Si
SLV 2	143750	0.24	15239	-84964	750.3	16732.66	22.3	Si
SLV 1	143750	0.24	15239	-84964	750.3	16732.66	22.3	Si
SLV 16	143750	0.24	15315	-85389	750.3	16804.43	22.4	Si
SLV 15	143750	0.24	15315	-85389	750.3	16804.43	22.4	Si



Verifica dei meccanismi locali di collasso con analisi cinematica lineare

forza di aggancio al piano = 0 quota mezzera = -0.625 Wa = 0.08 Ta = 0.0273

Comb.	N top	N base	V orto	α0	M*	e*	a0*	aLim	Verifica
SLV 9	-79000	-82026	3772	0.054	10187.2	0.941	0.84149	10.11318	No
SLV 10	-79000	-82026	3772	0.054	10187.2	0.941	0.84149	10.11318	No
SLV 8	-78877	-112572	-3760	0.055	10174.8	0.941	0.84289	10.11318	No
SLV 7	-78877	-112572	-3760	0.055	10174.8	0.941	0.84289	10.11318	No
SLV 12	-77058	-112012	-3669	0.055	9990.6	0.94	0.85046	10.11318	No
SLV 11	-77058	-112012	-3669	0.055	9990.6	0.94	0.85046	10.11318	No
SLV 6	-80819	-82586	3680	0.056	10371.5	0.942	0.8641	10.11318	No
SLV 5	-80819	-82586	3680	0.056	10371.5	0.942	0.8641	10.11318	No
SLV 4	-81679	-102731	-1262	0.082	10458.7	0.942	1.25887	10.28841	No
SLV 3	-81679	-102731	-1262	0.082	10458.7	0.942	1.25887	10.28841	No

Tabella dei coefficienti di sicurezza minimi

Stato limite	Coeff.s.	Comb.	Verifica
PF_SLU	15.205	SLU 44	Si
V_SLU	77.899	SLU 44	Si
PF_SLV	11.127	SLV 3	Si
V_SLV	3.318	SLV 3	Si
PFFP_SLV	20.443	SLV 9	Si
R_SLV	0.083	SLV 9	No

Maschio 11

Verifiche condotte secondo D.M. 17-01-18 (N.T.C.)

Dati geometrici

X ini.	Y ini.	X fin.	Y fin.	Quota i.	Quota.s	l	Sp.	h netta	h ini.	h fin.	a	a.s,sx	a.s,dx
-18.729	5.874	-20.474	5.874	L1	L2	1.745	0.45	2.71	2.71	2.71			

Caratteristiche del materiale

(Circolare 7 21-01-19 C8.5.I) Muratura in mattoni pieni e malta di calce LC2_Corti

fb	fk	fvk0	fmedio	τ0	fv0	μ	φ	fv,lim	E	G	FC
600000			345000	9000	20000	0.58	0.77	32500	320000000	128000000	1.2

Verifica a pressoflessione nel piano secondo D.M. 17-01-18 NTC §7.8.2.2.1 in combinazioni non sismiche, γM = 3

Comb.	Quota	N	M	σ0	Mu	c.s.	Verifica
SLU 42	0.02	-13975	-1824.37	17797	9529.51	5.223	Si
SLU 42	0.42	-13796	-1645.59	17569	9441.09	5.737	Si
SLU 82	0.02	-16084	-1910.36	20482	10504.51	5.499	Si
SLU 82	0.42	-15760	-1707.45	20070	10362.72	6.069	Si
SLU 84	0.02	-16084	-1910.36	20482	10504.51	5.499	Si
SLU 84	0.42	-15760	-1707.45	20070	10362.72	6.069	Si
SLU 81	0.02	-16461	-1925.74	20963	10666.26	5.539	Si
SLU 81	0.42	-16165	-1874.54	20586	10539.71	5.623	Si
SLU 40	0.02	-13975	-1824.37	17797	9529.51	5.223	Si
SLU 40	0.42	-13796	-1645.59	17569	9441.09	5.737	Si
SLU 39	0.02	-14353	-1839.75	18278	9712.97	5.279	Si
SLU 39	0.42	-14201	-1812.68	18085	9639.77	5.318	Si
SLU 34	0.02	-12482	-1550.76	15895	8765.17	5.652	Si
SLU 34	0.42	-12228	-1261.8	15572	8629.46	6.839	Si
SLU 31	0.02	-12482	-1550.76	15895	8765.17	5.652	Si
SLU 31	0.42	-12228	-1261.8	15572	8629.46	6.839	Si
SLU 83	0.02	-16461	-1925.74	20963	10666.26	5.539	Si
SLU 83	0.42	-16165	-1874.54	20586	10539.71	5.623	Si
SLU 41	0.02	-14353	-1839.75	18278	9712.97	5.279	Si
SLU 41	0.42	-14201	-1812.68	18085	9639.77	5.318	Si

Verifica a pressoflessione nel piano secondo D.M. 17-01-18 NTC §7.8.2.2.1 in combinazioni sismiche, γM = 2

Comb.	Quota	N	M	σ0	Mu	c.s.	Verifica
SLV 1	0.02	-10110	15.52	12875	7891.82	508.41	Si
SLV 1	0.42	-11487	-713.93	14629	8822.76	12.358	Si
SLV 14	0.02	-6782	-2328.28	8636	5498.84	2.362	Si
SLV 14	0.42	-5359	-1335.28	6825	4414.82	3.306	Si
SLV 15	0.02	-9847	-1840.27	12539	7709.46	4.189	Si
SLV 15	0.42	-7772	-993	9898	6232	6.276	Si
SLV 6	0.02	-5370	-1374.16	6838	4422.94	3.219	Si
SLV 6	0.42	-6527	-1330.73	8312	5307.73	3.989	Si
SLV 5	0.02	-5370	-1374.16	6838	4422.94	3.219	Si
SLV 5	0.42	-6527	-1330.73	8312	5307.73	3.989	Si
SLV 16	0.02	-9847	-1840.27	12539	7709.46	4.189	Si
SLV 16	0.42	-7772	-993	9898	6232	6.276	Si
SLV 2	0.02	-10110	15.52	12875	7891.82	508.41	Si
SLV 2	0.42	-11487	-713.93	14629	8822.76	12.358	Si
SLV 10	0.02	-4371	-2077.3	5567	3640.1	1.752	Si
SLV 10	0.42	-4689	-1517.14	5971	3891.23	2.565	Si
SLV 13	0.02	-6782	-2328.28	8636	5498.84	2.362	Si
SLV 13	0.42	-5359	-1335.28	6825	4414.82	3.306	Si
SLV 9	0.02	-4371	-2077.3	5567	3640.1	1.752	Si
SLV 9	0.42	-4689	-1517.14	5971	3891.23	2.565	Si

Verifica a taglio nel piano secondo D.M. 17-01-18 (N.T.C.) §7.8.2.2.2 con rottura per scorrimento in combinazioni non sismiche, γM = 3

Comb.	Quota	N	V par	M	σ0	σN	l'	fvd	Vt scorr.	Vt fess.diag.	Vt,lim	c.s.	Verifica
-------	-------	---	-------	---	----	----	----	-----	-----------	---------------	--------	------	----------



Comb.	Quota	N	V par	M	σ_0	σ_N	I'	fvd	Vt scorr.	Vt fess.diag.	Vt,lim	c.s.	Verifica
SLU 44	0.02	-10205	-655	-707.11		12996	1.745	7288	5723			8.73	Si
SLU 44	0.42	-9609	-515	-362.11		12237	1.745	7187	5644			10.95	Si
SLU 41	0.02	-14353	762	-1839.75		18278	1.745	7993	6276			8.23	Si
SLU 41	0.42	-14201	864	-1812.68		18085	1.745	7967	6256			7.24	Si
SLU 39	0.02	-14353	762	-1839.75		18278	1.745	7993	6276			8.23	Si
SLU 39	0.42	-14201	864	-1812.68		18085	1.745	7967	6256			7.24	Si
SLU 32	0.02	-13111	618	-1576.39		16696	1.745	7782	6111			9.88	Si
SLU 32	0.42	-12903	717	-1540.28		16432	1.745	7746	6083			8.48	Si
SLU 2	0.02	-8097	-629	-621.13		10311	1.745	6930	5442			8.65	Si
SLU 2	0.42	-7646	-515	-300.25		9736	1.745	6854	5382			10.46	Si
SLU 35	0.02	-13111	618	-1576.39		16696	1.745	7782	6111			9.88	Si
SLU 35	0.42	-12903	717	-1540.28		16432	1.745	7746	6083			8.48	Si
SLU 37	0.02	-13111	618	-1576.39		16696	1.745	7782	6111			9.88	Si
SLU 37	0.42	-12903	717	-1540.28		16432	1.745	7746	6083			8.48	Si
SLU 5	0.02	-8097	-629	-621.13		10311	1.745	6930	5442			8.65	Si
SLU 5	0.42	-7646	-515	-300.25		9736	1.745	6854	5382			10.46	Si
SLU 83	0.02	-16461	736	-1925.74		20963	1.745	8351	6557			8.91	Si
SLU 83	0.42	-16165	863	-1874.54		20586	1.745	8300	6518			7.55	Si
SLU 81	0.02	-16461	736	-1925.74		20963	1.745	8351	6557			8.91	Si
SLU 81	0.42	-16165	863	-1874.54		20586	1.745	8300	6518			7.55	Si

Verifica a taglio nel piano secondo D.M. 17-01-18 (N.T.C.) §7.8.2.2.2 con rottura per scorrimento in combinazioni sismiche, $\gamma_M = 2$

Comb.	Quota	N	V par	M	σ_0	σ_N	I'	fvd	Vt scorr.	Vt fess.diag.	Vt,lim	c.s.	Verifica
SLV 5	0.02	-5370	-4906	-1374.16		6838	1.745	9701	7618			1.55	Si
SLV 5	0.42	-6527	-5501	-1330.73		8312	1.745	9996	7849			1.43	Si
SLV 6	0.02	-5370	-4906	-1374.16		6838	1.745	9701	7618			1.55	Si
SLV 6	0.42	-6527	-5501	-1330.73		8312	1.745	9996	7849			1.43	Si
SLV 13	0.02	-6782	-5001	-2328.28		9493	1.5876	10232	7310			1.46	Si
SLV 13	0.42	-5359	-2098	-1335.28		6825	1.745	9698	7616			3.63	Si
SLV 14	0.02	-6782	-5001	-2328.28		9493	1.5876	10232	7310			1.46	Si
SLV 14	0.42	-5359	-2098	-1335.28		6825	1.745	9698	7616			3.63	Si
SLV 7	0.02	-15586	7458	252.56		19848	1.745	12303	9661			1.3	Si
SLV 7	0.42	-14571	6574	-189.79		18555	1.745	12044	9458			1.44	Si
SLV 8	0.02	-15586	7458	252.56		19848	1.745	12303	9661			1.3	Si
SLV 8	0.42	-14571	6574	-189.79		18555	1.745	12044	9458			1.44	Si
SLV 9	0.02	-4371	-6947	-2077.3		8150	1.1918	9963	5344			0.77	No, Vu<V
SLV 9	0.42	-4689	-5881	-1517.14		6327	1.6468	9599	7113			1.21	Si
SLV 10	0.02	-4371	-6947	-2077.3		8150	1.1918	9963	5344			0.77	No, Vu<V
SLV 10	0.42	-4689	-5881	-1517.14		6327	1.6468	9599	7113			1.21	Si
SLV 11	0.02	-14587	5417	-450.58		18576	1.745	12049	9461			1.75	Si
SLV 11	0.42	-12732	6194	-376.2		16214	1.745	11576	9090			1.47	Si
SLV 12	0.02	-14587	5417	-450.58		18576	1.745	12049	9461			1.75	Si
SLV 12	0.42	-12732	6194	-376.2		16214	1.745	11576	9090			1.47	Si

Verifica a pressoflessione fuori piano D.M. 17-01-18 (N.T.C.)

quota -0.625 Wa 0.08 denominatore 8 $\gamma_M = 2$

Comb.	fd	Sa	σ_0	N	M	Mc	Coeff.s.	Verifica
SLV 9	143750	0.24	6598	-5181	105.67	1102.81	10.44	Si
SLV 10	143750	0.24	6598	-5181	105.67	1102.81	10.44	Si
SLV 5	143750	0.24	7894	-6199	105.67	1304.69	12.35	Si
SLV 6	143750	0.24	7894	-6199	105.67	1304.69	12.35	Si
SLV 14	143750	0.24	8317	-6531	105.67	1369.38	12.96	Si
SLV 13	143750	0.24	8317	-6531	105.67	1369.38	12.96	Si
SLV 16	143750	0.24	11086	-8705	105.67	1780.98	16.85	Si
SLV 15	143750	0.24	11086	-8705	105.67	1780.98	16.85	Si
SLV 2	143750	0.24	12638	-9924	105.67	2001.93	18.94	Si
SLV 1	143750	0.24	12638	-9924	105.67	2001.93	18.94	Si

Verifica dei meccanismi locali di collasso con analisi cinematica lineare

forza di aggancio al piano = 0 quota mezzeria = -0.625 Wa = 0.08 Ta = 0.0273

Comb.	N top	N base	V orto	α_0	M*	e*	a0*	aLim	Verifica
SLV 8	-12940	-14477	-357	0.07	1618.6	0.947	1.06983	10.11318	No
SLV 7	-12940	-14477	-357	0.07	1618.6	0.947	1.06983	10.11318	No
SLV 11	-11270	-13375	-332	0.07	1449.3	0.942	1.07952	10.11318	No
SLV 12	-11270	-13375	-332	0.07	1449.3	0.942	1.07952	10.11318	No
SLV 3	-12034	-13462	-264	0.075	1526.8	0.944	1.16224	10.28841	No
SLV 4	-12034	-13462	-264	0.075	1526.8	0.944	1.16224	10.28841	No
SLV 15	-6468	-9789	-179	0.081	964.8	0.919	1.2747	10.28841	No
SLV 16	-6468	-9789	-179	0.081	964.8	0.919	1.2747	10.28841	No
SLV 1	-9588	-11490	-159	0.083	1279.1	0.935	1.29053	10.28841	No
SLV 2	-9588	-11490	-159	0.083	1279.1	0.935	1.29053	10.28841	No

Tabella dei coefficienti di sicurezza minimi

Stato limite	Coeff.s.	Comb.	Verifica
PF_SLU	5.223	SLU 40	Si
V_SLU	7.239	SLU 39	Si
PF_SLV	1.752	SLV 9	Si
V_SLV	0.769	SLV 9	No
PFFP_SLV	10.436	SLV 9	Si
R_SLV	0.106	SLV 7	No

Maschio 12

Verifiche condotte secondo D.M. 17-01-18 (N.T.C.)



Dati geometrici

X ini.	Y ini.	X fin.	Y fin.	Quota i.	Quota.s	l	Sp.	h netta	h ini.	h fin.	a	a.s.,sx	a.s.,dx
-14.839	5.874	-17.729	5.874	L1	L2	2.89	0.45	2.71	2.71	2.71			

Caratteristiche del materiale

(Circolare 7 21-01-19 C8.5.I) Muratura in mattoni pieni e malta di calce LC2_Corti

fb	fk	fvk0	fmedio	τ0	fv0	μ	φ	fv,lim	E	G	FC
600000			345000	9000	20000	0.58	0.77	32500	320000000	128000000	1.2

Verifica a pressoflessione nel piano secondo D.M. 17-01-18 NTC §7.8.2.2.1 in combinazioni non sismiche, γM = 3

Comb.	Quota	N	M	σ0	Mu	c.s.	Verifica
SLU 44	0.02	-19089	-971.1	14678	22613.74	23.287	Si
SLU 44	0.42	-18023	-1764.25	13859	21612.96	12.25	Si
SLU 47	0.02	-19089	-971.1	14678	22613.74	23.287	Si
SLU 47	0.42	-18023	-1764.25	13859	21612.96	12.25	Si
SLU 23	0.02	-18141	-794.54	13949	21725.04	27.343	Si
SLU 23	0.42	-17394	-1531.64	13375	21007.18	13.716	Si
SLU 65	0.02	-21899	-936.58	16839	25102.43	26.802	Si
SLU 65	0.42	-20887	-1748.42	16061	24231.24	13.859	Si
SLU 5	0.02	-15332	-829.05	11789	18948.4	22.856	Si
SLU 5	0.42	-14530	-1547.47	11172	18115.96	11.707	Si
SLU 68	0.02	-21899	-936.58	16839	25102.43	26.802	Si
SLU 68	0.42	-20887	-1748.42	16061	24231.24	13.859	Si
SLU 7	0.02	-15493	-671.05	11913	19113.67	28.483	Si
SLU 7	0.42	-14685	-1210.29	11292	18278.6	15.103	Si
SLU 2	0.02	-15332	-829.05	11789	18948.4	22.856	Si
SLU 2	0.42	-14530	-1547.47	11172	18115.96	11.707	Si
SLU 26	0.02	-18141	-794.54	13949	21725.04	27.343	Si
SLU 26	0.42	-17394	-1531.64	13375	21007.18	13.716	Si
SLU 4	0.02	-15493	-671.05	11913	19113.67	28.483	Si
SLU 4	0.42	-14685	-1210.29	11292	18278.6	15.103	Si

Verifica a pressoflessione nel piano secondo D.M. 17-01-18 NTC §7.8.2.2.1 in combinazioni sismiche, γM = 2

Comb.	Quota	N	M	σ0	Mu	c.s.	Verifica
SLV 14	0.02	-13900	4.29	10688	18328.47	1000	Si
SLV 14	0.42	-14351	2441.17	11035	18864.63	7.728	Si
SLV 13	0.02	-13900	4.29	10688	18328.47	1000	Si
SLV 13	0.42	-14351	2441.17	11035	18864.63	7.728	Si
SLV 2	0.02	-17659	-516.39	13579	22681.91	43.924	Si
SLV 2	0.42	-17740	-2716.22	13641	22772.97	8.384	Si
SLV 3	0.02	-22306	-814.19	17152	27708.15	34.032	Si
SLV 3	0.42	-20313	-3823.51	15620	25600.63	6.696	Si
SLV 4	0.02	-22306	-814.19	17152	27708.15	34.032	Si
SLV 4	0.42	-20313	-3823.51	15620	25600.63	6.696	Si
SLV 10	0.02	-9794	169.48	7531	13280.11	78.356	Si
SLV 10	0.42	-12536	1927.93	9639	16684.92	8.654	Si
SLV 1	0.02	-17659	-516.39	13579	22681.91	43.924	Si
SLV 1	0.42	-17740	-2716.22	13641	22772.97	8.384	Si
SLV 9	0.02	-9794	169.48	7531	13280.11	78.356	Si
SLV 9	0.42	-12536	1927.93	9639	16684.92	8.654	Si
SLV 7	0.02	-26412	-979.38	20309	31822.17	32.492	Si
SLV 7	0.42	-22129	-3310.27	17016	27523.51	8.315	Si
SLV 8	0.02	-26412	-979.38	20309	31822.17	32.492	Si
SLV 8	0.42	-22129	-3310.27	17016	27523.51	8.315	Si

Verifica a taglio nel piano secondo D.M. 17-01-18 (N.T.C.) §7.8.2.2.2 con rottura per scorrimento in combinazioni non sismiche, γM = 3

Comb.	Quota	N	V par	M	σ0	σN	I'	fvd	Vt scorr.	Vt fess.diag.	Vt,lim	c.s.	Verifica
SLU 5	0.02	-15332	1706	-829.05		11789	2.89	7127	9269			5.43	Si
SLU 5	0.42	-14530	1730	-1547.47		11172	2.89	7045	9162			5.3	Si
SLU 55	0.02	-24568	1885	-903.73		18891	2.89	8074	10501			5.57	Si
SLU 55	0.42	-23608	1919	-1733.3		18153	2.89	7976	10373			5.41	Si
SLU 47	0.02	-19089	1886	-971.1		14678	2.89	7513	9770			5.18	Si
SLU 47	0.42	-18023	1917	-1764.25		13859	2.89	7403	9628			5.02	Si
SLU 44	0.02	-19089	1886	-971.1		14678	2.89	7513	9770			5.18	Si
SLU 44	0.42	-18023	1917	-1764.25		13859	2.89	7403	9628			5.02	Si
SLU 23	0.02	-18141	1706	-794.54		13949	2.89	7415	9644			5.65	Si
SLU 23	0.42	-17394	1731	-1531.64		13375	2.89	7339	9544			5.51	Si
SLU 2	0.02	-15332	1706	-829.05		11789	2.89	7127	9269			5.43	Si
SLU 2	0.42	-14530	1730	-1547.47		11172	2.89	7045	9162			5.3	Si
SLU 52	0.02	-24568	1885	-903.73		18891	2.89	8074	10501			5.57	Si
SLU 52	0.42	-23608	1919	-1733.3		18153	2.89	7976	10373			5.41	Si
SLU 68	0.02	-21899	1886	-936.58		16839	2.89	7801	10145			5.38	Si
SLU 68	0.42	-20887	1918	-1748.42		16061	2.89	7697	10010			5.22	Si
SLU 65	0.02	-21899	1886	-936.58		16839	2.89	7801	10145			5.38	Si
SLU 65	0.42	-20887	1918	-1748.42		16061	2.89	7697	10010			5.22	Si
SLU 26	0.02	-18141	1706	-794.54		13949	2.89	7415	9644			5.65	Si
SLU 26	0.42	-17394	1731	-1531.64		13375	2.89	7339	9544			5.51	Si

Verifica a taglio nel piano secondo D.M. 17-01-18 (N.T.C.) §7.8.2.2.2 con rottura per scorrimento in combinazioni sismiche, γM = 2

Comb.	Quota	N	V par	M	σ0	σN	I'	fvd	Vt scorr.	Vt fess.diag.	Vt,lim	c.s.	Verifica
SLV 2	0.02	-17659	9933	-516.39		13579	2.89	11049	14369			1.45	Si
SLV 2	0.42	-17740	7272	-2716.22		13641	2.89	11062	14386			1.98	Si
SLV 12	0.02	-25284	-10174	-823.17		19442	2.89	12222	15894			1.56	Si
SLV 12	0.42	-21112	-9259	-1763.05		16234	2.89	11580	15060			1.63	Si
SLV 9	0.02	-9794	7348	169.48		7531	2.89	9840	12796			1.74	Si
SLV 9	0.42	-12536	8078	1927.93		9639	2.89	10261	13345			1.65	Si
SLV 5	0.02	-10922	11372	13.28		8398	2.89	10013	13022			1.15	Si



Comb.	Quota	N	V par	M	σ_0	σ_N	I'	fvd	Vt scorr.	Vt fess.diag.	Vt,lim	c.s.	Verifica
SLV 5	0.42	-13552	10507	380.71		10421	2.89	10417	13548			1.29	Si
SLV 1	0.02	-17659	9933	-516.39		13579	2.89	11049	14369			1.45	Si
SLV 1	0.42	-17740	7272	-2716.22		13641	2.89	11062	14386			1.98	Si
SLV 11	0.02	-25284	-10174	-823.17		19442	2.89	12222	15894			1.56	Si
SLV 11	0.42	-21112	-9259	-1763.05		16234	2.89	11580	15060			1.63	Si
SLV 15	0.02	-18547	-8735	-293.5		14261	2.89	11186	14547			1.67	Si
SLV 15	0.42	-16924	-6025	1333.88		13014	2.89	10936	14222			2.36	Si
SLV 16	0.02	-18547	-8735	-293.5		14261	2.89	11186	14547			1.67	Si
SLV 16	0.42	-16924	-6025	1333.88		13014	2.89	10936	14222			2.36	Si
SLV 10	0.02	-9794	7348	169.48		7531	2.89	9840	12796			1.74	Si
SLV 10	0.42	-12536	8078	1927.93		9639	2.89	10261	13345			1.65	Si
SLV 6	0.02	-10922	11372	13.28		8398	2.89	10013	13022			1.15	Si
SLV 6	0.42	-13552	10507	380.71		10421	2.89	10417	13548			1.29	Si

Verifica a pressoflessione fuori piano D.M. 17-01-18 (N.T.C.)

quota -0.625 Wa 0.08 denominatore 8 $\gamma_M = 2$

Comb.	fd	Sa	σ_0	N	M	Mc	Coeff.s.	Verifica
SLV 9	143750	0.24	6925	-9006	175.01	1911.59	10.92	Si
SLV 10	143750	0.24	6925	-9006	175.01	1911.59	10.92	Si
SLV 6	143750	0.24	7042	-9158	175.01	1941.71	11.09	Si
SLV 5	143750	0.24	7042	-9158	175.01	1941.71	11.09	Si
SLV 13	143750	0.24	10749	-13979	175.01	2868.54	16.39	Si
SLV 14	143750	0.24	10749	-13979	175.01	2868.54	16.39	Si
SLV 1	143750	0.24	11136	-14483	175.01	2961.59	16.92	Si
SLV 2	143750	0.24	11136	-14483	175.01	2961.59	16.92	Si
SLV 15	143750	0.24	14142	-18392	175.01	3659.22	20.91	Si
SLV 16	143750	0.24	14142	-18392	175.01	3659.22	20.91	Si

Verifica dei meccanismi locali di collasso con analisi cinematica lineare

forza di aggancio al piano = 0 quota mezzera = -0.625 Wa = 0.08 Ta = 0.0273

Comb.	N top	N base	V orto	σ_0	M*	e*	σ_0^*	aLim	Verifica
SLV 12	-13845	-24001	-708	0.057	1912.9	0.93	0.88966	10.11318	No
SLV 11	-13845	-24001	-708	0.057	1912.9	0.93	0.88966	10.11318	No
SLV 7	-15108	-24061	-695	0.059	2040.4	0.933	0.92504	10.11318	No
SLV 8	-15108	-24061	-695	0.059	2040.4	0.933	0.92504	10.11318	No
SLV 16	-12333	-19372	-513	0.067	1760.6	0.925	1.0518	10.28841	No
SLV 15	-12333	-19372	-513	0.067	1760.6	0.925	1.0518	10.28841	No
SLV 3	-16542	-19572	-471	0.072	2185.4	0.937	1.12452	10.28841	No
SLV 4	-16542	-19572	-471	0.072	2185.4	0.937	1.12452	10.28841	No
SLV 14	-12299	-15464	-333	0.079	1757.2	0.925	1.23389	10.28841	No
SLV 13	-12299	-15464	-333	0.079	1757.2	0.925	1.23389	10.28841	No

Tabella dei coefficienti di sicurezza minimi

Stato limite	Coeff.s.	Comb.	Verifica
PF_SLU	11.707	SLU 2	Si
V_SLU	5.024	SLU 44	Si
PF_SLV	6.696	SLV 3	Si
V_SLV	1.145	SLV 5	Si
PFFP_SLV	10.923	SLV 9	Si
R_SLV	0.088	SLV 11	No

Maschio 13

Verifiche condotte secondo D.M. 17-01-18 (N.T.C.)

Dati geometrici

X ini.	Y ini.	X fin.	Y fin.	Quota i.	Quota.s	I	Sp.	h netta	h ini.	h fin.	a	a.s.,sx	a.s.,dx
-10.859	5.874	-13.839	5.874	L1	L2	2.98	0.45	2.71	2.71	2.71			

Caratteristiche del materiale

(Circolare 7 21-01-19 C8.5.I) Muratura in mattoni pieni e malta di calce LC2_Corti

fb	fk	fvk0	fmedio	τ_0	f ν_0	μ	ϕ	f ν_{lim}	E	G	FC
600000			345000	9000	20000	0.58	0.77	32500	320000000	128000000	1.2

Verifica a pressoflessione nel piano secondo D.M. 17-01-18 NTC §7.8.2.2.1 in combinazioni non sismiche, $\gamma_M = 3$

Comb.	Quota	N	M	σ_0	Mu	c.s.	Verifica
SLU 68	0.02	-21084	1353.58	15723	25352.03	18.73	Si
SLU 68	0.42	-20016	2075.81	14926	24358.76	11.735	Si
SLU 47	0.02	-18252	1374.77	13611	22651.95	16.477	Si
SLU 47	0.42	-17131	2086.66	12775	21522.3	10.314	Si
SLU 4	0.02	-14894	961.65	11107	19166.34	19.931	Si
SLU 4	0.42	-14040	1428.72	10470	18230.96	12.76	Si
SLU 7	0.02	-14894	961.65	11107	19166.34	19.931	Si
SLU 7	0.42	-14040	1428.72	10470	18230.96	12.76	Si
SLU 2	0.02	-14642	1175.03	10918	18891.85	16.078	Si
SLU 2	0.42	-13800	1838.92	10291	17964.4	9.769	Si
SLU 26	0.02	-17473	1153.83	13030	21870.9	18.955	Si
SLU 26	0.42	-16685	1828.07	12442	21062.99	11.522	Si
SLU 44	0.02	-18252	1374.77	13611	22651.95	16.477	Si
SLU 44	0.42	-17131	2086.66	12775	21522.3	10.314	Si
SLU 23	0.02	-17473	1153.83	13030	21870.9	18.955	Si
SLU 23	0.42	-16685	1828.07	12442	21062.99	11.522	Si
SLU 65	0.02	-21084	1353.58	15723	25352.03	18.73	Si
SLU 65	0.42	-20016	2075.81	14926	24358.76	11.735	Si



Verifica dei meccanismi locali di collasso con analisi cinematica lineare

forza di aggancio al piano = 0 quota mezzeria = -0.625 Wa = 0.08 Ta = 0.0273

Comb.	N top	N base	V orto	α0	M*	e*	a0*	aLim	Verifica
SLV 11	-12610	-24530	-762	0.052	1804.7	0.924	0.81991	10.11318	No
SLV 12	-12610	-24530	-762	0.052	1804.7	0.924	0.81991	10.11318	No
SLV 8	-14112	-24511	-799	0.053	1955.9	0.929	0.82435	10.11318	No
SLV 7	-14112	-24511	-799	0.053	1955.9	0.929	0.82435	10.11318	No
SLV 3	-16253	-19718	-555	0.069	2172.2	0.935	1.06518	10.28841	No
SLV 4	-16253	-19718	-555	0.069	2172.2	0.935	1.06518	10.28841	No
SLV 15	-11249	-19781	-432	0.072	1668	0.92	1.13736	10.28841	No
SLV 16	-11249	-19781	-432	0.072	1668	0.92	1.13736	10.28841	No
SLV 2	-16588	-15629	-309	0.081	2206	0.936	1.26038	10.28841	No
SLV 1	-16588	-15629	-309	0.081	2206	0.936	1.26038	10.28841	No

Tabella dei coefficienti di sicurezza minimi

Stato limite	Coeff.s.	Comb.	Verifica
PF_SLU	9.769	SLU 2	Si
V_SLU	5.704	SLU 44	Si
PF_SLV	3.044	SLV 9	Si
V_SLV	0.942	SLV 9	No
PFFP_SLV	10.327	SLV 9	Si
R_SLV	0.081	SLV 11	No

Maschio 14

Verifiche condotte secondo D.M. 17-01-18 (N.T.C.)

Dati geometrici

X ini.	Y ini.	X fin.	Y fin.	Quota i.	Quota.s	l	Sp.	h netta	h ini.	h fin.	a	a.s,sx	a.s,dx
-8.084	5.874	-9.859	5.874	L1	L2	1.775	0.45	2.71	2.71	2.71			

Caratteristiche del materiale

(Circolare 7 21-01-19 C8.5.I) Muratura in mattoni pieni e malta di calce LC2_Corti

fb	fk	fvk0	fmedio	τ0	fv0	μ	φ	fv,lim	E	G	FC
600000			345000	9000	20000	0.58	0.77	32500	320000000	128000000	1.2

Verifica a pressoflessione nel piano secondo D.M. 17-01-18 NTC §7.8.2.2.1 in combinazioni non sismiche, γM = 3

Comb.	Quota	N	M	σ0	Mu	c.s.	Verifica
SLU 81	0.02	-14448	2305.13	18089	9974.83	4.327	Si
SLU 81	0.42	-13913	2458.29	17419	9707.1	3.949	Si
SLU 82	0.02	-14106	2238.04	17661	9804.69	4.381	Si
SLU 82	0.42	-13457	2286.92	16848	9472.47	4.142	Si
SLU 32	0.02	-11548	1874.18	14458	8429.27	4.498	Si
SLU 32	0.42	-11157	1994.38	13968	8203.41	4.113	Si
SLU 37	0.02	-11548	1874.18	14458	8429.27	4.498	Si
SLU 37	0.42	-11157	1994.38	13968	8203.41	4.113	Si
SLU 41	0.02	-12750	2154.07	15963	9097.69	4.223	Si
SLU 41	0.42	-12415	2280.87	15544	8915.79	3.909	Si
SLU 35	0.02	-11548	1874.18	14458	8429.27	4.498	Si
SLU 35	0.42	-11157	1994.38	13968	8203.41	4.113	Si
SLU 83	0.02	-14448	2305.13	18089	9974.83	4.327	Si
SLU 83	0.42	-13913	2458.29	17419	9707.1	3.949	Si
SLU 39	0.02	-12750	2154.07	15963	9097.69	4.223	Si
SLU 39	0.42	-12415	2280.87	15544	8915.79	3.909	Si
SLU 42	0.02	-12408	2086.98	15535	8911.73	4.27	Si
SLU 42	0.42	-11959	2109.51	14973	8662.51	4.106	Si
SLU 40	0.02	-12408	2086.98	15535	8911.73	4.27	Si
SLU 40	0.42	-11959	2109.51	14973	8662.51	4.106	Si

Verifica a pressoflessione nel piano secondo D.M. 17-01-18 NTC §7.8.2.2.1 in combinazioni sismiche, γM = 2

Comb.	Quota	N	M	σ0	Mu	c.s.	Verifica
SLV 5	0.02	-4504	2115.81	5639	3812.6	1.802	Si
SLV 5	0.42	-4709	1277.4	5896	3977.78	3.114	Si
SLV 3	0.02	-8265	2025.85	10348	6713.88	3.314	Si
SLV 3	0.42	-7672	555.51	9605	6273.17	11.293	Si
SLV 1	0.02	-6098	2405.72	7634	5073.45	2.109	Si
SLV 1	0.42	-5921	676.78	7413	4935.96	7.293	Si
SLV 4	0.02	-8265	2025.85	10348	6713.88	3.314	Si
SLV 4	0.42	-7672	555.51	9605	6273.17	11.293	Si
SLV 9	0.02	-5305	1487.43	6642	4452.2	2.993	Si
SLV 9	0.42	-5421	1670.94	6788	4544.09	2.719	Si
SLV 13	0.02	-8769	311.14	10978	7082.65	22.763	Si
SLV 13	0.42	-8294	1988.59	10385	6735.49	3.387	Si
SLV 6	0.02	-4504	2115.81	5639	3812.6	1.802	Si
SLV 6	0.42	-4709	1277.4	5896	3977.78	3.114	Si
SLV 14	0.02	-8769	311.14	10978	7082.65	22.763	Si
SLV 14	0.42	-8294	1988.59	10385	6735.49	3.387	Si
SLV 10	0.02	-5305	1487.43	6642	4452.2	2.993	Si
SLV 10	0.42	-5421	1670.94	6788	4544.09	2.719	Si
SLV 2	0.02	-6098	2405.72	7634	5073.45	2.109	Si
SLV 2	0.42	-5921	676.78	7413	4935.96	7.293	Si

Verifica a taglio nel piano secondo D.M. 17-01-18 (N.T.C.) §7.8.2.2.2 con rottura per scorrimento in combinazioni non sismiche, γM = 3

Comb.	Quota	N	V par	M	σ0	σN	l'	fvd	Vt scorr.	Vt fess.diag.	Vt,lim	c.s.	Verifica
-------	-------	---	-------	---	----	----	----	-----	-----------	---------------	--------	------	----------



Comb.	Quota	N	V par	M	σ_0	σ_N	I'	fvd	Vt scorr.	Vt fess.diag.	Vt,lim	c.s.	Verifica
SLU 2	0.02	-6735	694	774.4		8432	1.7749	6680	5335			7.69	Si
SLU 2	0.42	-5953	695	697.5		7453	1.7749	6549	5231			7.52	Si
SLU 35	0.02	-11548	-666	1874.18		14458	1.7749	7483	5977			8.97	Si
SLU 35	0.42	-11157	-660	1994.38		13968	1.7749	7418	5925			8.98	Si
SLU 81	0.02	-14448	-800	2305.13		18089	1.7749	7967	6364			7.96	Si
SLU 81	0.42	-13913	-791	2458.29		17419	1.7749	7878	6292			7.95	Si
SLU 44	0.02	-8433	702	925.46		10559	1.7749	6963	5562			7.92	Si
SLU 44	0.42	-7451	706	874.92		9328	1.7749	6799	5431			7.69	Si
SLU 47	0.02	-8433	702	925.46		10559	1.7749	6963	5562			7.92	Si
SLU 47	0.42	-7451	706	874.92		9328	1.7749	6799	5431			7.69	Si
SLU 83	0.02	-14448	-800	2305.13		18089	1.7749	7967	6364			7.96	Si
SLU 83	0.42	-13913	-791	2458.29		17419	1.7749	7878	6292			7.95	Si
SLU 39	0.02	-12750	-808	2154.07		15963	1.7749	7684	6137			7.59	Si
SLU 39	0.42	-12415	-802	2280.87		15544	1.7749	7628	6093			7.59	Si
SLU 37	0.02	-11548	-666	1874.18		14458	1.7749	7483	5977			8.97	Si
SLU 37	0.42	-11157	-660	1994.38		13968	1.7749	7418	5925			8.98	Si
SLU 5	0.02	-6735	694	774.4		8432	1.7749	6680	5335			7.69	Si
SLU 5	0.42	-5953	695	697.5		7453	1.7749	6549	5231			7.52	Si
SLU 41	0.02	-12750	-808	2154.07		15963	1.7749	7684	6137			7.59	Si
SLU 41	0.42	-12415	-802	2280.87		15544	1.7749	7628	6093			7.59	Si

Verifica a taglio nel piano secondo D.M. 17-01-18 (N.T.C.) §7.8.2.2.2 con rottura per scorrimento in combinazioni sismiche, $\gamma_M = 2$

Comb.	Quota	N	V par	M	σ_0	σ_N	I'	fvd	Vt scorr.	Vt fess.diag.	Vt,lim	c.s.	Verifica
SLV 9	0.02	-5305	5109	1487.43		6642	1.7749	9662	7717			1.51	Si
SLV 9	0.42	-5421	4787	1670.94		6933	1.7378	9720	7601			1.59	Si
SLV 8	0.02	-11729	-5726	849.56		14684	1.7749	11270	9002			1.57	Si
SLV 8	0.42	-10545	-5389	873.15		13202	1.7749	10974	8765			1.63	Si
SLV 7	0.02	-11729	-5726	849.56		14684	1.7749	11270	9002			1.57	Si
SLV 7	0.42	-10545	-5389	873.15		13202	1.7749	10974	8765			1.63	Si
SLV 2	0.02	-6098	3330	2405.72		9163	1.4788	10166	6765			2.03	Si
SLV 2	0.42	-5921	1449	676.78		7413	1.7749	9816	7840			5.41	Si
SLV 11	0.02	-12530	-6835	221.18		15687	1.7749	11471	9162			1.34	Si
SLV 11	0.42	-11257	-5512	1266.69		14093	1.7749	11152	8907			1.62	Si
SLV 5	0.02	-4504	6217	2115.81		7987	1.2531	9931	5600			0.9	No, Vu<V
SLV 5	0.42	-4709	4910	1277.4		5896	1.7749	9513	7598			1.55	Si
SLV 1	0.02	-6098	3330	2405.72		9163	1.4788	10166	6765			2.03	Si
SLV 1	0.42	-5921	1449	676.78		7413	1.7749	9816	7840			5.41	Si
SLV 6	0.02	-4504	6217	2115.81		7987	1.2531	9931	5600			0.9	No, Vu<V
SLV 6	0.42	-4709	4910	1277.4		5896	1.7749	9513	7598			1.55	Si
SLV 10	0.02	-5305	5109	1487.43		6642	1.7749	9662	7717			1.51	Si
SLV 10	0.42	-5421	4787	1670.94		6933	1.7378	9720	7601			1.59	Si
SLV 12	0.02	-12530	-6835	221.18		15687	1.7749	11471	9162			1.34	Si
SLV 12	0.42	-11257	-5512	1266.69		14093	1.7749	11152	8907			1.62	Si

Verifica a pressoflessione fuori piano D.M. 17-01-18 (N.T.C.)

quota -0.625 Wa 0.08 denominatore 8 $\gamma_M = 2$

Comb.	fd	Sa	σ_0	N	M	Mc	Coeff.s.	Verifica
SLV 6	143750	0.24	4933	-3940	107.49	850.73	7.91	Si
SLV 5	143750	0.24	4933	-3940	107.49	850.73	7.91	Si
SLV 10	143750	0.24	5675	-4533	107.49	972.47	9.05	Si
SLV 9	143750	0.24	5675	-4533	107.49	972.47	9.05	Si
SLV 2	143750	0.24	7722	-6168	107.49	1300.03	12.1	Si
SLV 1	143750	0.24	7722	-6168	107.49	1300.03	12.1	Si
SLV 13	143750	0.24	10195	-8143	107.49	1679.24	15.62	Si
SLV 14	143750	0.24	10195	-8143	107.49	1679.24	15.62	Si
SLV 3	143750	0.24	10854	-8670	107.49	1777.37	16.54	Si
SLV 4	143750	0.24	10854	-8670	107.49	1777.37	16.54	Si

Verifica dei meccanismi locali di collasso con analisi cinematica lineare

forza di aggancio al piano = 0 quota mezzeria = -0.625 Wa = 0.08 Ta = 0.0273

Comb.	N top	N base	V orto	α_0	M*	e*	a0*	aLim	Verifica
SLV 12	-9503	-13523	-380	0.064	1275.8	0.934	0.99469	10.11318	No
SLV 11	-9503	-13523	-380	0.064	1275.8	0.934	0.99469	10.11318	No
SLV 8	-9141	-12665	-357	0.065	1239.2	0.932	1.01959	10.11318	No
SLV 7	-9141	-12665	-357	0.065	1239.2	0.932	1.01959	10.11318	No
SLV 15	-7932	-12375	-216	0.078	1117.3	0.927	1.21674	10.28841	No
SLV 16	-7932	-12375	-216	0.078	1117.3	0.927	1.21674	10.28841	No
SLV 5	-3447	-6523	192	0.077	671.1	0.897	1.25438	10.11318	No
SLV 6	-3447	-6523	192	0.077	671.1	0.897	1.25438	10.11318	No
SLV 10	-3809	-7382	169	0.082	706.3	0.899	1.32205	10.11318	No
SLV 9	-3809	-7382	169	0.082	706.3	0.899	1.32205	10.11318	No

Tabella dei coefficienti di sicurezza minimi

Stato limite	Coeff.s.	Comb.	Verifica
PF_SLU	3.909	SLU 39	Si
V_SLU	7.523	SLU 2	Si
PF_SLV	1.802	SLV 5	Si
V_SLV	0.901	SLV 5	No
PFFP_SLV	7.915	SLV 5	Si
R_SLV	0.098	SLV 11	No

Maschio 15

Verifiche condotte secondo D.M. 17-01-18 (N.T.C.)



Dati geometrici

X ini.	Y ini.	X fin.	Y fin.	Quota i.	Quota.s	l	Sp.	h netta	h ini.	h fin.	a	a.s,sx	a.s,dx
-14.266	1.355	-14.266	-3.134	L1	L2	4.489	0.3	2.71	2.71	2.71			

Caratteristiche del materiale

(Circolare 7 21-01-19 C8.5.I) Muratura in mattoni pieni e malta di calce LC2_Corti

fb	fk	fvk0	fmedio	τ0	fv0	μ	φ	fv,lim	E	G	FC
600000			345000	9000	20000	0.58	0.77	32500	320000000	128000000	1.2

Verifica a pressoflessione nel piano secondo D.M. 17-01-18 NTC §7.8.2.2.1 in combinazioni non sismiche, γM = 3

Comb.	Quota	N	M	σ0	Mu	c.s.	Verifica
SLU 81	-1.98	-21164	-4393.65	15716	38337.15	8.726	Si
SLU 81	0.73	-8006	-1532.03	5945	16657.91	10.873	Si
SLU 40	-1.98	-17854	-3997.88	13258	33550.23	8.392	Si
SLU 40	0.73	-6923	-1488.36	5141	14558.51	9.782	Si
SLU 39	-1.98	-17833	-3982.07	13242	33518.88	8.417	Si
SLU 39	0.73	-6912	-1472.15	5132	14535.27	9.873	Si
SLU 41	-1.98	-17833	-3982.07	13242	33518.88	8.417	Si
SLU 41	0.73	-6912	-1472.15	5132	14535.27	9.873	Si
SLU 34	-1.98	-16723	-3563.22	12418	31812.79	8.928	Si
SLU 34	0.73	-6377	-1282.08	4735	13479.98	10.514	Si
SLU 84	-1.98	-21185	-4409.46	15731	38365.69	8.701	Si
SLU 84	0.73	-8018	-1548.24	5954	16680.62	10.774	Si
SLU 82	-1.98	-21185	-4409.46	15731	38365.69	8.701	Si
SLU 82	0.73	-8018	-1548.24	5954	16680.62	10.774	Si
SLU 83	-1.98	-21164	-4393.65	15716	38337.15	8.726	Si
SLU 83	0.73	-8006	-1532.03	5945	16657.91	10.873	Si
SLU 31	-1.98	-16723	-3563.22	12418	31812.79	8.928	Si
SLU 31	0.73	-6377	-1282.08	4735	13479.98	10.514	Si
SLU 42	-1.98	-17854	-3997.88	13258	33550.23	8.392	Si
SLU 42	0.73	-6923	-1488.36	5141	14558.51	9.782	Si

Verifica a pressoflessione nel piano secondo D.M. 17-01-18 NTC §7.8.2.2.1 in combinazioni sismiche, γM = 2

Comb.	Quota	N	M	σ0	Mu	c.s.	Verifica
SLV 7	-1.98	-13590	-5625.88	10092	27983.41	4.974	Si
SLV 7	0.73	-5497	-415.53	4082	11924.62	28.697	Si
SLV 5	-1.98	-14709	523.48	10922	30061.78	57.427	Si
SLV 5	0.73	-5715	-1984.67	4244	12382.43	6.239	Si
SLV 6	-1.98	-14709	523.48	10922	30061.78	57.427	Si
SLV 6	0.73	-5715	-1984.67	4244	12382.43	6.239	Si
SLV 16	-1.98	-12510	-2902.9	9290	25943.6	8.937	Si
SLV 16	0.73	-2778	1157.9	2063	6130.15	5.294	Si
SLV 1	-1.98	-15110	-1936.1	11220	30798.65	15.908	Si
SLV 1	0.73	-7144	-2578.42	5305	15337.83	5.949	Si
SLV 15	-1.98	-12510	-2902.9	9290	25943.6	8.937	Si
SLV 15	0.73	-2778	1157.9	2063	6130.15	5.294	Si
SLV 2	-1.98	-15110	-1936.1	11220	30798.65	15.908	Si
SLV 2	0.73	-7144	-2578.42	5305	15337.83	5.949	Si
SLV 12	-1.98	-12911	-5362.48	9587	26704.52	4.98	Si
SLV 12	0.73	-4207	564.14	3124	9200.01	16.308	Si
SLV 8	-1.98	-13590	-5625.88	10092	27983.41	4.974	Si
SLV 8	0.73	-5497	-415.53	4082	11924.62	28.697	Si
SLV 11	-1.98	-12911	-5362.48	9587	26704.52	4.98	Si
SLV 11	0.73	-4207	564.14	3124	9200.01	16.308	Si

Verifica a taglio nel piano secondo D.M. 17-01-18 (N.T.C.) §7.8.2.2.2 con rottura per scorrimento in combinazioni non sismiche, γM = 3

Comb.	Quota	N	V par	M	σ0	σN	I'	fvd	Vt scorr.	Vt fess.diag.	Vt,lim	c.s.	Verifica
SLU 31	-1.98	-16723	49	-3563.22	12418	4.4889	7211	7211	9711			199.27	Si
SLU 31	0.73	-6377	30	-1282.08	4735	4.4889	6187	6187	8332			276.6	Si
SLU 47	-1.98	-16024	47	-2410.47	11899	4.4889	7142	7142	9618			203.47	Si
SLU 47	0.73	-5517	27	-579.24	4097	4.4889	6102	6102	8217			301.13	Si
SLU 68	-1.98	-17384	50	-2936.01	12909	4.4889	7277	7277	9799			197.25	Si
SLU 68	0.73	-6177	29	-835.4	4587	4.4889	6167	6167	8305			286.49	Si
SLU 52	-1.98	-18693	52	-3449.26	13881	4.4889	7406	7406	9974			191.65	Si
SLU 52	0.73	-6811	31	-1085.79	5058	4.4889	6230	6230	8390			273.7	Si
SLU 76	-1.98	-20054	54	-3974.8	14892	4.4889	7541	7541	10155			186.49	Si
SLU 76	0.73	-7471	32	-1341.95	5548	4.4889	6295	6295	8478			262.03	Si
SLU 65	-1.98	-17384	50	-2936.01	12909	4.4889	7277	7277	9799			197.25	Si
SLU 65	0.73	-6177	29	-835.4	4587	4.4889	6167	6167	8305			286.49	Si
SLU 44	-1.98	-16024	47	-2410.47	11899	4.4889	7142	7142	9618			203.47	Si
SLU 44	0.73	-5517	27	-579.24	4097	4.4889	6102	6102	8217			301.13	Si
SLU 55	-1.98	-18693	52	-3449.26	13881	4.4889	7406	7406	9974			191.65	Si
SLU 55	0.73	-6811	31	-1085.79	5058	4.4889	6230	6230	8390			273.7	Si
SLU 73	-1.98	-20054	54	-3974.8	14892	4.4889	7541	7541	10155			186.49	Si
SLU 73	0.73	-7471	32	-1341.95	5548	4.4889	6295	6295	8478			262.03	Si
SLU 34	-1.98	-16723	49	-3563.22	12418	4.4889	7211	7211	9711			199.27	Si
SLU 34	0.73	-6377	30	-1282.08	4735	4.4889	6187	6187	8332			276.6	Si

Verifica a taglio nel piano secondo D.M. 17-01-18 (N.T.C.) §7.8.2.2.2 con rottura per scorrimento in combinazioni sismiche, γM = 2

Comb.	Quota	N	V par	M	σ0	σN	I'	fvd	Vt scorr.	Vt fess.diag.	Vt,lim	c.s.	Verifica
SLV 6	-1.98	-14709	4822	523.48	10922	4.4889	10518	10518	14164			2.94	Si
SLV 6	0.73	-5715	7039	-1984.67	4244	4.4889	9182	9182	12365			1.76	Si
SLV 10	-1.98	-14029	4820	786.88	10418	4.4889	10417	10417	14028			2.91	Si
SLV 10	0.73	-4425	6585	-1005	3286	4.4889	8991	8991	12107			1.84	Si
SLV 9	-1.98	-14029	4820	786.88	10418	4.4889	10417	10417	14028			2.91	Si
SLV 9	0.73	-4425	6585	-1005	3286	4.4889	8991	8991	12107			1.84	Si
SLV 16	-1.98	-12510	-1419	-2902.9	9290	4.4889	10191	10191	13724			9.67	Si



Comb.	Quota	N	V par	M	σ_0	σ_N	I'	fvd	Vt scorr.	Vt fess.diag.	Vt,lim	c.s.	Verifica
SLV 16	0.73	-2778	-2787	1157.9		2063	4.4889	8746	11778			4.23	Si
SLV 11	-1.98	-12911	-4774	-5362.48		9587	4.4889	10251	13804			2.89	Si
SLV 11	0.73	-4207	-7018	564.14		3124	4.4889	8958	12064			1.72	Si
SLV 8	-1.98	-13590	-4772	-5625.88		10092	4.4889	10352	13940			2.92	Si
SLV 8	0.73	-5497	-6563	-415.53		4082	4.4889	9150	12322			1.88	Si
SLV 12	-1.98	-12911	-4774	-5362.48		9587	4.4889	10251	13804			2.89	Si
SLV 12	0.73	-4207	-7018	564.14		3124	4.4889	8958	12064			1.72	Si
SLV 15	-1.98	-12510	-1419	-2902.9		9290	4.4889	10191	13724			9.67	Si
SLV 15	0.73	-2778	-2787	1157.9		2063	4.4889	8746	11778			4.23	Si
SLV 5	-1.98	-14709	4822	523.48		10922	4.4889	10518	14164			2.94	Si
SLV 5	0.73	-5715	7039	-1984.67		4244	4.4889	9182	12365			1.76	Si
SLV 7	-1.98	-13590	-4772	-5625.88		10092	4.4889	10352	13940			2.92	Si
SLV 7	0.73	-5497	-6563	-415.53		4082	4.4889	9150	12322			1.88	Si

Verifica a pressoflessione fuori piano D.M. 17-01-18 (N.T.C.)

quota -0.625 Wa 0.05 denominatore 8 $\gamma_M = 2$

Comb.	fd	Sa	σ_0	N	M	Mc	Coeff.s.	Verifica
SLV 15	143750	0.24	5982	-8056	181.22	1149.29	6.34	Si
SLV 16	143750	0.24	5982	-8056	181.22	1149.29	6.34	Si
SLV 13	143750	0.24	6229	-8389	181.22	1194.17	6.59	Si
SLV 14	143750	0.24	6229	-8389	181.22	1194.17	6.59	Si
SLV 12	143750	0.24	6793	-9148	181.22	1295.95	7.15	Si
SLV 11	143750	0.24	6793	-9148	181.22	1295.95	7.15	Si
SLV 9	143750	0.24	7616	-10257	181.22	1442.58	7.96	Si
SLV 10	143750	0.24	7616	-10257	181.22	1442.58	7.96	Si
SLV 7	143750	0.24	7735	-10417	181.22	1463.59	8.08	Si
SLV 8	143750	0.24	7735	-10417	181.22	1463.59	8.08	Si

Verifica dei meccanismi locali di collasso con analisi cinematica lineare

forza di aggancio al piano = 0 quota mezzera = -0.625 Wa = 0.05 Ta = 0.0409

Comb.	N top	N base	V orto	σ_0	M*	e*	σ_0^*	aLim	Verifica
SLV 4	-7078	-14774	-158	0.058	1255.3	0.902	0.92836	10.31558	No
SLV 3	-7078	-14774	-158	0.058	1255.3	0.902	0.92836	10.31558	No
SLV 1	-7144	-15110	-153	0.058	1261.7	0.903	0.9354	10.31558	No
SLV 2	-7144	-15110	-153	0.058	1261.7	0.903	0.9354	10.31558	No
SLV 7	-5497	-13590	-116	0.063	1101	0.895	1.0206	10.31558	No
SLV 8	-5497	-13590	-116	0.063	1101	0.895	1.0206	10.31558	No
SLV 6	-5715	-14709	-99	0.065	1122.2	0.896	1.04605	10.31558	No
SLV 5	-5715	-14709	-99	0.065	1122.2	0.896	1.04605	10.31558	No
SLV 12	-4207	-12911	-75	0.07	978	0.89	1.13691	10.31558	No
SLV 11	-4207	-12911	-75	0.07	978	0.89	1.13691	10.31558	No

Tabella dei coefficienti di sicurezza minimi

Stato limite	Coeff.s.	Comb.	Verifica
PF_SLU	8.392	SLU 40	Si
V_SLU	186.488	SLU 73	Si
PF_SLV	4.974	SLV 7	Si
V_SLV	1.719	SLV 11	Si
PFFP_SLV	6.342	SLV 15	Si
R_SLV	0.09	SLV 3	No

Maschio 16

Verifiche condotte secondo D.M. 17-01-18 (N.T.C.)

Dati geometrici

X ini.	Y ini.	X fin.	Y fin.	Quota i.	Quota.s	I	Sp.	h netta	h ini.	h fin.	a	a.s.,sx	a.s.,dx
-12.601	5.874	-12.601	2.763	L1	L2	3.111	0.3	2.71	2.71	2.71			

Caratteristiche del materiale

(Circolare 7 21-01-19 C8.5.I) Muratura in mattoni pieni e malta di calce LC2_Corti

fb	fk	fvk0	fmedio	τ_0	f ν_0	μ	ϕ	f ν_{lim}	E	G	FC
600000			345000	9000	20000	0.58	0.77	32500	320000000	128000000	1.2

Verifica a pressoflessione nel piano secondo D.M. 17-01-18 NTC §7.8.2.2.1 in combinazioni non sismiche, $\gamma_M = 3$

Comb.	Quota	N	M	σ_0	Mu	c.s.	Verifica
SLU 23	-1.98	-8967	-1005.33	9608	12302.48	12.237	Si
SLU 23	0.73	-3793	-1920.28	4064	5605.24	2.919	Si
SLU 26	-1.98	-8967	-1005.33	9608	12302.48	12.237	Si
SLU 26	0.73	-3793	-1920.28	4064	5605.24	2.919	Si
SLU 44	-1.98	-10722	-937.85	11488	14324.92	15.274	Si
SLU 44	0.73	-4366	-2210.93	4679	6401.46	2.895	Si
SLU 47	-1.98	-10722	-937.85	11488	14324.92	15.274	Si
SLU 47	0.73	-4366	-2210.93	4679	6401.46	2.895	Si
SLU 10	-1.98	-9400	-1361.75	10072	12812.65	9.409	Si
SLU 10	0.73	-4053	-2003.61	4343	5968.45	2.979	Si
SLU 5	-1.98	-8513	-629.38	9122	11758.9	18.683	Si
SLU 5	0.73	-3520	-1831.46	3772	5221.77	2.851	Si
SLU 2	-1.98	-8513	-629.38	9122	11758.9	18.683	Si
SLU 2	0.73	-3520	-1831.46	3772	5221.77	2.851	Si
SLU 65	-1.98	-11176	-1313.8	11975	14827.48	11.286	Si
SLU 65	0.73	-4639	-2299.75	4971	6775.48	2.946	Si
SLU 13	-1.98	-9400	-1361.75	10072	12812.65	9.409	Si
SLU 13	0.73	-4053	-2003.61	4343	5968.45	2.979	Si



Comb.	Quota	N	M	σ_0	Mu	c.s.	Verifica
SLU 68	-1.98	-11176	-1313.8	11975	14827.48	11.286	Si
SLU 68	0.73	-4639	-2299.75	4971	6775.48	2.946	Si

Verifica a pressoflessione nel piano secondo D.M. 17-01-18 NTC §7.8.2.2.1 in combinazioni sismiche, $\gamma_M = 2$

Comb.	Quota	N	M	σ_0	Mu	c.s.	Verifica
SLV 3	-1.98	-3529	-5912.1	0	0	0	No, $e \geq l/2$
SLV 3	0.73	680	-2471.32	0	0	0	No, Trazione
SLV 7	-1.98	-3620	-8499.37	0	0	0	No, $e \geq l/2$
SLV 7	0.73	-1724	158.22	1848	2641.34	16.695	Si
SLV 11	-1.98	-5823	-7101.51	6239	8594.82	1.21	Si
SLV 11	0.73	-4066	1153.88	4357	6098.75	5.285	Si
SLV 12	-1.98	-5823	-7101.51	6239	8594.82	1.21	Si
SLV 12	0.73	-4066	1153.88	4357	6098.75	5.285	Si
SLV 2	-1.98	-5654	-2296.57	6058	8357.85	3.639	Si
SLV 2	0.73	400	-3729.54	0	0	0	No, Trazione
SLV 8	-1.98	-3620	-8499.37	0	0	0	No, $e \geq l/2$
SLV 8	0.73	-1724	158.22	1848	2641.34	16.695	Si
SLV 1	-1.98	-5654	-2296.57	6058	8357.85	3.639	Si
SLV 1	0.73	400	-3729.54	0	0	0	No, Trazione
SLV 4	-1.98	-3529	-5912.1	0	0	0	No, $e \geq l/2$
SLV 4	0.73	680	-2471.32	0	0	0	No, Trazione
SLV 6	-1.98	-10703	3552.38	11469	15085.76	4.247	Si
SLV 6	0.73	-2660	-4035.85	2850	4040.3	1.001	Si
SLV 5	-1.98	-10703	3552.38	11469	15085.76	4.247	Si
SLV 5	0.73	-2660	-4035.85	2850	4040.3	1.001	Si

Verifica a taglio nel piano secondo D.M. 17-01-18 (N.T.C.) §7.8.2.2.2 con rottura per scorrimento in combinazioni non sismiche, $\gamma_M = 3$

Comb.	Quota	N	V par	M	σ_0	σ_N	I'	fvd	Vt scorr.	Vt fess.diag.	Vt,lim	c.s.	Verifica
SLU 76	-1.98	-12062	632	-2046.18		12924	3.1109	7279	6793			10.75	Si
SLU 76	0.73	-5172	1046	-2471.9		5542	3.1109	6295	5874			5.62	Si
SLU 44	-1.98	-10722	637	-937.85		11488	3.1109	7087	6614			10.38	Si
SLU 44	0.73	-4366	1039	-2210.93		4679	3.1109	6179	5767			5.55	Si
SLU 55	-1.98	-11608	634	-1670.22		12438	3.1109	7214	6733			10.62	Si
SLU 55	0.73	-4899	1044	-2383.08		5250	3.1109	6256	5838			5.59	Si
SLU 68	-1.98	-11176	636	-1313.8		11975	3.1109	7152	6675			10.5	Si
SLU 68	0.73	-4639	1041	-2299.75		4971	3.1109	6218	5803			5.57	Si
SLU 73	-1.98	-12062	632	-2046.18		12924	3.1109	7279	6793			10.75	Si
SLU 73	0.73	-5172	1046	-2471.9		5542	3.1109	6295	5874			5.62	Si
SLU 2	-1.98	-8513	630	-629.38		9122	3.1109	6772	6320			10.03	Si
SLU 2	0.73	-3520	941	-1831.46		3778	3.1055	6059	5645			6	Si
SLU 65	-1.98	-11176	636	-1313.8		11975	3.1109	7152	6675			10.5	Si
SLU 65	0.73	-4639	1041	-2299.75		4971	3.1109	6218	5803			5.57	Si
SLU 52	-1.98	-11608	634	-1670.22		12438	3.1109	7214	6733			10.62	Si
SLU 52	0.73	-4899	1044	-2383.08		5250	3.1109	6256	5838			5.59	Si
SLU 5	-1.98	-8513	630	-629.38		9122	3.1109	6772	6320			10.03	Si
SLU 5	0.73	-3520	941	-1831.46		3778	3.1055	6059	5645			6	Si
SLU 47	-1.98	-10722	637	-937.85		11488	3.1109	7087	6614			10.38	Si
SLU 47	0.73	-4366	1039	-2210.93		4679	3.1109	6179	5767			5.55	Si

Verifica a taglio nel piano secondo D.M. 17-01-18 (N.T.C.) §7.8.2.2.2 con rottura per scorrimento in combinazioni sismiche, $\gamma_M = 2$

Comb.	Quota	N	V par	M	σ_0	σ_N	I'	fvd	Vt scorr.	Vt fess.diag.	Vt,lim	c.s.	Verifica
SLV 4	-1.98	-3529	-984	-5912.1		0	0	8333	0			0	No, Vu<V
SLV 4	0.73	680	-1399	-2471.32		0	0	8333	0			0	No, Vu<V
SLV 2	-1.98	-5654	1509	-2296.57		6058	3.1109	9545	8908			5.9	Si
SLV 2	0.73	400	2089	-3729.54		0	0	8333	0			0	No, Vu<V
SLV 5	-1.98	-10703	4247	3552.38		11469	3.1109	10627	9918			2.34	Si
SLV 5	0.73	-2660	6149	-4035.85		77871	0.1138	16250	555			0.09	No, Vu<V
SLV 12	-1.98	-5823	-4208	-7101.51		19263	1.0076	12186	3684			0.88	No, Vu<V
SLV 12	0.73	-4066	-5489	1153.88		4357	3.1109	9205	8590			1.57	Si
SLV 1	-1.98	-5654	1509	-2296.57		6058	3.1109	9545	8908			5.9	Si
SLV 1	0.73	400	2089	-3729.54		0	0	8333	0			0	No, Vu<V
SLV 7	-1.98	-3620	-4062	-8499.37		0	0	8333	0			0	No, Vu<V
SLV 7	0.73	-1724	-5480	158.22		1848	3.1109	8703	8122			1.48	Si
SLV 6	-1.98	-10703	4247	3552.38		11469	3.1109	10627	9918			2.34	Si
SLV 6	0.73	-2660	6149	-4035.85		77871	0.1138	16250	555			0.09	No, Vu<V
SLV 11	-1.98	-5823	-4208	-7101.51		19263	1.0076	12186	3684			0.88	No, Vu<V
SLV 11	0.73	-4066	-5489	1153.88		4357	3.1109	9205	8590			1.57	Si
SLV 3	-1.98	-3529	-984	-5912.1		0	0	8333	0			0	No, Vu<V
SLV 3	0.73	680	-1399	-2471.32		0	0	8333	0			0	No, Vu<V
SLV 8	-1.98	-3620	-4062	-8499.37		0	0	8333	0			0	No, Vu<V
SLV 8	0.73	-1724	-5480	158.22		1848	3.1109	8703	8122			1.48	Si

Verifica a pressoflessione fuori piano D.M. 17-01-18 (N.T.C.)

quota -0.625 Wa 0.05 denominatore 8 $\gamma_M = 2$

Comb.	fd	Sa	σ_0	N	M	Mc	Coeff.s.	Verifica
SLV 4	143750	0.24	978	-913	125.59	135.86	1.08	Si
SLV 3	143750	0.24	978	-913	125.59	135.86	1.08	Si
SLV 1	143750	0.24	2302	-2148	125.59	316.13	2.52	Si
SLV 2	143750	0.24	2302	-2148	125.59	316.13	2.52	Si
SLV 7	143750	0.24	2524	-2356	125.59	346.1	2.76	Si
SLV 8	143750	0.24	2524	-2356	125.59	346.1	2.76	Si
SLV 11	143750	0.24	5173	-4828	125.59	693.52	5.52	Si
SLV 12	143750	0.24	5173	-4828	125.59	693.52	5.52	Si
SLV 5	143750	0.24	6935	-6473	125.59	915.78	7.29	Si
SLV 6	143750	0.24	6935	-6473	125.59	915.78	7.29	Si



Verifica dei meccanismi locali di collasso con analisi cinematica lineare

forza di aggancio al piano = 0 quota mezzeria = -0.625 Wa = 0.05 Ta = 0.0409

Comb.	N top	N base	V orto	α0	M*	e*	a0*	aLim	Verifica
SLV 4	680	-3529	-20	0	0	0	0	10.31558	No, Trazione
SLV 3	680	-3529	-20	0	0	0	0	10.31558	No, Trazione
SLV 1	400	-5654	-47	0	0	0	0	10.31558	No, Trazione
SLV 2	400	-5654	-47	0	0	0	0	10.31558	No, Trazione
SLV 16	-7125	-10873	201	0.047	1090.4	0.916	0.75205	10.31558	No
SLV 15	-7125	-10873	201	0.047	1090.4	0.916	0.75205	10.31558	No
SLV 13	-7406	-12998	174	0.05	1118.4	0.918	0.79876	10.31558	No
SLV 14	-7406	-12998	174	0.05	1118.4	0.918	0.79876	10.31558	No
SLV 11	-4066	-5823	155	0.051	787.9	0.897	0.82231	10.31558	No
SLV 12	-4066	-5823	155	0.051	787.9	0.897	0.82231	10.31558	No

Tabella dei coefficienti di sicurezza minimi

Stato limite	Coeff.s.	Comb.	Verifica
PF_SLU	2.851	SLU 2	Si
V_SLU	5.55	SLU 44	Si
PF_SLV	0	SLV 4	No
V_SLV	0	SLV 1	No
PFFP_SLV	1.082	SLV 3	Si
R_SLV	0	SLV 4	No

Maschio 17

Verifiche condotte secondo D.M. 17-01-18 (N.T.C.)

Dati geometrici

X ini.	Y ini.	X fin.	Y fin.	Quota i.	Quota.s	l	Sp.	h netta	h ini.	h fin.	a	a.s,sx	a.s,dx
-11.408	-3.134	-11.408	-1.906	L1	L2	1.228	0.3	2.71	2.71	2.71			

Caratteristiche del materiale

(Circolare 7 21-01-19 C8.5.I) Muratura in mattoni pieni e malta di calce LC2_Corti

fb	fk	fvk0	fmedio	τ0	fv0	μ	φ	fv,lim	E	G	FC
600000			345000	9000	20000	0.58	0.77	32500	320000000	128000000	1.2

Verifica a pressoflessione nel piano secondo D.M. 17-01-18 NTC §7.8.2.2.1 in combinazioni non sismiche, γM = 3

Comb.	Quota	N	M	σ0	Mu	c.s.	Verifica
SLU 79	-1.98	-3520	-703.94	9553	1907.57	2.71	Si
SLU 79	0.73	-681	-415.9	1848	408.45	0.982	No, M>Mu
SLU 84	-1.98	-3645	-780.44	9893	1966	2.519	Si
SLU 84	0.73	-745	-455.36	2023	446.19	0.98	No, M>Mu
SLU 76	-1.98	-3515	-705.31	9542	1905.67	2.702	Si
SLU 76	0.73	-680	-415.4	1845	407.87	0.982	No, M>Mu
SLU 78	-1.98	-3517	-704.76	9547	1906.43	2.705	Si
SLU 78	0.73	-680	-415.6	1846	408.1	0.982	No, M>Mu
SLU 80	-1.98	-3517	-704.76	9547	1906.43	2.705	Si
SLU 80	0.73	-680	-415.6	1846	408.1	0.982	No, M>Mu
SLU 75	-1.98	-3517	-704.76	9547	1906.43	2.705	Si
SLU 75	0.73	-680	-415.6	1846	408.1	0.982	No, M>Mu
SLU 83	-1.98	-3647	-779.62	9899	1967.12	2.523	Si
SLU 83	0.73	-746	-455.66	2024	446.53	0.98	No, M>Mu
SLU 82	-1.98	-3645	-780.44	9893	1966	2.519	Si
SLU 82	0.73	-745	-455.36	2023	446.19	0.98	No, M>Mu
SLU 73	-1.98	-3515	-705.31	9542	1905.67	2.702	Si
SLU 73	0.73	-680	-415.4	1845	407.87	0.982	No, M>Mu
SLU 81	-1.98	-3647	-779.62	9899	1967.12	2.523	Si
SLU 81	0.73	-746	-455.66	2024	446.53	0.98	No, M>Mu

Verifica a pressoflessione nel piano secondo D.M. 17-01-18 NTC §7.8.2.2.1 in combinazioni sismiche, γM = 2

Comb.	Quota	N	M	σ0	Mu	c.s.	Verifica
SLV 6	-1.98	3150	-2807.73	0	0	0	No, Trazione
SLV 6	0.73	527	357.2	0	0	0	No, Trazione
SLV 11	-1.98	-8210	1935.22	22285	4121.61	2.13	Si
SLV 11	0.73	-1393	-886.47	0	0	0	No, e>l/2
SLV 8	-1.98	-7901	1689.09	21445	3999.58	2.368	Si
SLV 8	0.73	-1295	-808.05	0	0	0	No, e>l/2
SLV 5	-1.98	3150	-2807.73	0	0	0	No, Trazione
SLV 5	0.73	527	357.2	0	0	0	No, Trazione
SLV 12	-1.98	-8210	1935.22	22285	4121.61	2.13	Si
SLV 12	0.73	-1393	-886.47	0	0	0	No, e>l/2
SLV 9	-1.98	2840	-2561.6	0	0	0	No, Trazione
SLV 9	0.73	429	278.78	0	0	0	No, Trazione
SLV 7	-1.98	-7901	1689.09	21445	3999.58	2.368	Si
SLV 7	0.73	-1295	-808.05	0	0	0	No, e>l/2
SLV 10	-1.98	2840	-2561.6	0	0	0	No, Trazione
SLV 10	0.73	429	278.78	0	0	0	No, Trazione
SLV 1	-1.98	-357	-1520.99	0	0	0	No, e>l/2
SLV 1	0.73	3	40.86	0	0	0	No, Trazione
SLV 2	-1.98	-357	-1520.99	0	0	0	No, e>l/2
SLV 2	0.73	3	40.86	0	0	0	No, Trazione

Verifica a taglio nel piano secondo D.M. 17-01-18 (N.T.C.) §7.8.2.2.2 con rottura per scorrimento in combinazioni non sismiche, γM = 3

Comb.	Quota	N	V par	M	σ0	σN	l'	fvd	Vt scorr.	Vt fess.diag.	Vt,lim	c.s.	Verifica
-------	-------	---	-------	---	----	----	----	-----	-----------	---------------	--------	------	----------



Comb.	Quota	N	V par	M	σ_0	σ_N	I'	fvd	Vt scorr.	Vt fess.diag.	Vt,lim	c.s.	Verifica
SLU 84	-1.98	-3645	16	-780.44		10127	1.1996	6906	2485			155.64	Si
SLU 84	0.73	-745	5	-455.36		282194	0.0088	10833	29			5.64	Si
SLU 81	-1.98	-3647	17	-779.62		10124	1.2007	6905	2487			148.93	Si
SLU 81	0.73	-746	6	-455.66		274784	0.009	10833	29			4.85	Si
SLU 39	-1.98	-2979	15	-702.57		8752	1.1344	6723	2288			157.26	Si
SLU 39	0.73	-662	6	-404.55		240554	0.0092	10833	30			5.15	Si
SLU 74	-1.98	-3520	15	-703.94		9553	1.228	6829	2516			162.85	Si
SLU 74	0.73	-681	5	-415.9		253375	0.009	10833	29			5.56	Si
SLU 41	-1.98	-2979	15	-702.57		8752	1.1344	6723	2288			157.26	Si
SLU 41	0.73	-662	6	-404.55		240554	0.0092	10833	30			5.15	Si
SLU 62	-1.98	-3495	15	-689.34		9487	1.228	6820	2513			165.21	Si
SLU 62	0.73	-668	5	-408.23		249251	0.0089	10833	29			5.72	Si
SLU 82	-1.98	-3645	16	-780.44		10127	1.1996	6906	2485			155.64	Si
SLU 82	0.73	-745	5	-455.36		282194	0.0088	10833	29			5.64	Si
SLU 83	-1.98	-3647	17	-779.62		10124	1.2007	6905	2487			148.93	Si
SLU 83	0.73	-746	6	-455.66		274784	0.009	10833	29			4.85	Si
SLU 77	-1.98	-3520	15	-703.94		9553	1.228	6829	2516			162.85	Si
SLU 77	0.73	-681	5	-415.9		253375	0.009	10833	29			5.56	Si
SLU 79	-1.98	-3520	15	-703.94		9553	1.228	6829	2516			162.85	Si
SLU 79	0.73	-681	5	-415.9		253375	0.009	10833	29			5.56	Si

Verifica a taglio nel piano secondo D.M. 17-01-18 (N.T.C.) §7.8.2.2.2 con rottura per scorrimento in combinazioni sismiche, $\gamma_M = 2$

Comb.	Quota	N	V par	M	σ_0	σ_N	I'	fvd	Vt scorr.	Vt fess.diag.	Vt,lim	c.s.	Verifica
SLV 7	-1.98	-7901	1931	1689.09		21934	1.2006	12720	4582			2.37	Si
SLV 7	0.73	-1295	1758	-808.05		0	0	8333	0			0	No, Vu<V
SLV 8	-1.98	-7901	1931	1689.09		21934	1.2006	12720	4582			2.37	Si
SLV 8	0.73	-1295	1758	-808.05		0	0	8333	0			0	No, Vu<V
SLV 2	-1.98	-357	-883	-1520.99		0	0	8333	0			0	No, Vu<V
SLV 2	0.73	3	-915	40.86		0	0	8333	0			0	No, Vu<V
SLV 12	-1.98	-8210	2106	1935.22		24114	1.1349	13156	4479			2.13	Si
SLV 12	0.73	-1393	1973	-886.47		0	0	8333	0			0	No, Vu<V
SLV 5	-1.98	3150	-2085	-2807.73		0	0	8333	0			0	No, Vu<V
SLV 5	0.73	527	-1968	357.2		0	0	8333	0			0	No, Vu<V
SLV 9	-1.98	2840	-1911	-2561.6		0	0	8333	0			0	No, Vu<V
SLV 9	0.73	429	-1752	278.78		0	0	8333	0			0	No, Vu<V
SLV 6	-1.98	3150	-2085	-2807.73		0	0	8333	0			0	No, Vu<V
SLV 6	0.73	527	-1968	357.2		0	0	8333	0			0	No, Vu<V
SLV 1	-1.98	-357	-883	-1520.99		0	0	8333	0			0	No, Vu<V
SLV 1	0.73	3	-915	40.86		0	0	8333	0			0	No, Vu<V
SLV 10	-1.98	2840	-1911	-2561.6		0	0	8333	0			0	No, Vu<V
SLV 10	0.73	429	-1752	278.78		0	0	8333	0			0	No, Vu<V
SLV 11	-1.98	-8210	2106	1935.22		24114	1.1349	13156	4479			2.13	Si
SLV 11	0.73	-1393	1973	-886.47		0	0	8333	0			0	No, Vu<V

Verifica a pressoflessione fuori piano D.M. 17-01-18 (N.T.C.)

quota -0.625 Wa 0.05 denominatore 8 $\gamma_M = 2$

Comb.	fd	Sa	σ_0	N	M	Mc	Coeff.s.	Verifica
SLV 6	143750	0.24	0	1504	49.58	0	0	No, Trazione
SLV 5	143750	0.24	0	1504	49.58	0	0	No, Trazione
SLV 10	143750	0.24	0	1381	49.58	0	0	No, Trazione
SLV 9	143750	0.24	0	1381	49.58	0	0	No, Trazione
SLV 2	143750	0.24	1700	-626	49.58	92.65	1.87	Si
SLV 1	143750	0.24	1700	-626	49.58	92.65	1.87	Si
SLV 14	143750	0.24	2813	-1036	49.58	151.87	3.06	Si
SLV 13	143750	0.24	2813	-1036	49.58	151.87	3.06	Si
SLV 4	143750	0.24	6992	-2576	49.58	364.25	7.35	Si
SLV 3	143750	0.24	6992	-2576	49.58	364.25	7.35	Si

Verifica dei meccanismi locali di collasso con analisi cinematica lineare

forza di aggancio al piano = 0 quota mezzeria = -0.625 Wa = 0.05 Ta = 0.0409

Comb.	N top	N base	V orto	α_0	M*	e*	α_0^*	α_{lim}	Verifica
SLV 1	3	-357	-1	0	0	0	0	10.31558	No, Trazione
SLV 6	527	3150	13	0	0	0	0	10.31558	No, Trazione
SLV 5	527	3150	13	0	0	0	0	10.31558	No, Trazione
SLV 9	429	2840	17	0	0	0	0	10.31558	No, Trazione
SLV 2	3	-357	-1	0	0	0	0	10.31558	No, Trazione
SLV 10	429	2840	17	0	0	0	0	10.31558	No, Trazione
SLV 7	-1295	-7901	-16	0.071	281.2	0.892	1.15092	10.31558	No
SLV 8	-1295	-7901	-16	0.071	281.2	0.892	1.15092	10.31558	No
SLV 12	-1393	-8210	-13	0.071	290.5	0.894	1.1625	10.31558	No
SLV 11	-1393	-8210	-13	0.071	290.5	0.894	1.1625	10.31558	No

Tabella dei coefficienti di sicurezza minimi

Stato limite	Coeff.s.	Comb.	Verifica
PF_SLU	0.98	SLU 82	No
V_SLU	4.846	SLU 81	Si
PF_SLV	0	SLV 10	No
V_SLV	0	SLV 1	No
PFFP_SLV	0	SLV 10	No
R_SLV	0	SLV 10	No

Maschio 18

Verifiche condotte secondo D.M. 17-01-18 (N.T.C.)



Dati geometrici

X ini.	Y ini.	X fin.	Y fin.	Quota i.	Quota.s	l	Sp.	h netta	h ini.	h fin.	a	a.s.,sx	a.s.,dx
-11.408	0.164	-11.408	1.355	L1	L2	1.191	0.3	2.71	2.71	2.71			

Caratteristiche del materiale

(Circolare 7 21-01-19 C8.5.I) Muratura in mattoni pieni e malta di calce LC2_Corti

fb	fk	fvk0	fmedio	τ0	fv0	μ	φ	fv,lim	E	G	FC
600000			345000	9000	20000	0.58	0.77	32500	320000000	128000000	1.2

Verifica a pressoflessione nel piano secondo D.M. 17-01-18 NTC §7.8.2.2.1 in combinazioni non sismiche, γM = 3

Comb.	Quota	N	M	σ0	Mu	c.s.	Verifica
SLU 76	-1.98	-4064	1017.68	11375	2081.87	2.046	Si
SLU 76	0.73	-962	570.23	2694	554.1	0.972	No, M>Mu
SLU 42	-1.98	-3551	1022.25	9938	1856.26	1.816	Si
SLU 42	0.73	-966	572.43	2705	556.28	0.972	No, M>Mu
SLU 84	-1.98	-4265	1128.28	11938	2167.44	1.921	Si
SLU 84	0.73	-1069	633.1	2991	612.99	0.968	No, M>Mu
SLU 78	-1.98	-4066	1015.14	11380	2082.7	2.052	Si
SLU 78	0.73	-962	570.14	2694	554.1	0.972	No, M>Mu
SLU 40	-1.98	-3551	1022.25	9938	1856.26	1.816	Si
SLU 40	0.73	-966	572.43	2705	556.28	0.972	No, M>Mu
SLU 73	-1.98	-4064	1017.68	11375	2081.87	2.046	Si
SLU 73	0.73	-962	570.23	2694	554.1	0.972	No, M>Mu
SLU 80	-1.98	-4066	1015.14	11380	2082.7	2.052	Si
SLU 80	0.73	-962	570.14	2694	554.1	0.972	No, M>Mu
SLU 82	-1.98	-4265	1128.28	11938	2167.44	1.921	Si
SLU 82	0.73	-1069	633.1	2991	612.99	0.968	No, M>Mu
SLU 81	-1.98	-4268	1124.46	11946	2168.67	1.929	Si
SLU 81	0.73	-1069	632.96	2991	612.99	0.968	No, M>Mu
SLU 83	-1.98	-4268	1124.46	11946	2168.67	1.929	Si
SLU 83	0.73	-1069	632.96	2991	612.99	0.968	No, M>Mu

Verifica a pressoflessione nel piano secondo D.M. 17-01-18 NTC §7.8.2.2.1 in combinazioni sismiche, γM = 2

Comb.	Quota	N	M	σ0	Mu	c.s.	Verifica
SLV 9	-1.98	-10607	-2358.09	29690	4781.32	2.028	Si
SLV 9	0.73	-1651	1023.95	0	0	0	No, e>l/2
SLV 3	-1.98	579	1923.62	0	0	0	No, Trazione
SLV 3	0.73	-63	46.91	0	0	0	No, e>l/2
SLV 5	-1.98	-9878	-2088.29	27650	4550.99	2.179	Si
SLV 5	0.73	-1511	956.56	0	0	0	No, e>l/2
SLV 2	-1.98	-3855	217.25	10790	2092.75	9.633	Si
SLV 2	0.73	-656	430.47	0	0	0	No, e>l/2
SLV 6	-1.98	-9878	-2088.29	27650	4550.99	2.179	Si
SLV 6	0.73	-1511	956.56	0	0	0	No, e>l/2
SLV 10	-1.98	-10607	-2358.09	29690	4781.32	2.028	Si
SLV 10	0.73	-1651	1023.95	0	0	0	No, e>l/2
SLV 7	-1.98	4902	3599.61	0	0	0	No, Trazione
SLV 7	0.73	466	-321.94	0	0	0	No, Trazione
SLV 4	-1.98	579	1923.62	0	0	0	No, Trazione
SLV 4	0.73	-63	46.91	0	0	0	No, e>l/2
SLV 1	-1.98	-3855	217.25	10790	2092.75	9.633	Si
SLV 1	0.73	-656	430.47	0	0	0	No, e>l/2
SLV 8	-1.98	4902	3599.61	0	0	0	No, Trazione
SLV 8	0.73	466	-321.94	0	0	0	No, Trazione

Verifica a taglio nel piano secondo D.M. 17-01-18 (N.T.C.) §7.8.2.2.2 con rottura per scorrimento in combinazioni non sismiche, γM = 3

Comb.	Quota	N	V par	M	σ0	σN	I'	fvd	Vt scorr.	Vt fess.diag.	Vt,lim	c.s.	Verifica
SLU 79	-1.98	-4069	-31	1011.32		13032	1.0406	7293	2277			74.1	Si
SLU 79	0.73	-962	-21	570		338676	0.0095	10833	31			1.48	Si
SLU 84	-1.98	-4265	-31	1128.28		14321	0.9927	7465	2223			70.6	Si
SLU 84	0.73	-1069	-21	633.1		389383	0.0091	10833	30			1.45	Si
SLU 62	-1.98	-4031	-30	990.11		12804	1.0495	7263	2287			75.47	Si
SLU 62	0.73	-942	-20	558.21		332029	0.0095	10833	31			1.51	Si
SLU 74	-1.98	-4069	-31	1011.32		13032	1.0406	7293	2277			74.1	Si
SLU 74	0.73	-962	-21	570		338676	0.0095	10833	31			1.48	Si
SLU 39	-1.98	-3554	-29	1018.44		12784	0.9265	7260	2018			70.56	Si
SLU 39	0.73	-966	-21	572.29		335702	0.0096	10833	31			1.47	Si
SLU 41	-1.98	-3554	-29	1018.44		12784	0.9265	7260	2018			70.56	Si
SLU 41	0.73	-966	-21	572.29		335702	0.0096	10833	31			1.47	Si
SLU 82	-1.98	-4265	-31	1128.28		14321	0.9927	7465	2223			70.6	Si
SLU 82	0.73	-1069	-21	633.1		389383	0.0091	10833	30			1.45	Si
SLU 83	-1.98	-4268	-33	1124.46		14285	0.996	7460	2229			67.41	Si
SLU 83	0.73	-1069	-23	632.96		374024	0.0095	10833	31			1.33	Si
SLU 81	-1.98	-4268	-33	1124.46		14285	0.996	7460	2229			67.41	Si
SLU 81	0.73	-1069	-23	632.96		374024	0.0095	10833	31			1.33	Si
SLU 77	-1.98	-4069	-31	1011.32		13032	1.0406	7293	2277			74.1	Si
SLU 77	0.73	-962	-21	570		338676	0.0095	10833	31			1.48	Si

Verifica a taglio nel piano secondo D.M. 17-01-18 (N.T.C.) §7.8.2.2.2 con rottura per scorrimento in combinazioni sismiche, γM = 2

Comb.	Quota	N	V par	M	σ0	σN	I'	fvd	Vt scorr.	Vt fess.diag.	Vt,lim	c.s.	Verifica
SLV 8	-1.98	4902	2792	3599.61		0	0	8333	0			0	No, Vu<V
SLV 8	0.73	466	2086	-321.94		0	0	8333	0			0	No, Vu<V
SLV 4	-1.98	579	1207	1923.62		0	0	8333	0			0	No, Vu<V
SLV 4	0.73	-63	886	46.91		0	0	8333	0			0	No, Vu<V
SLV 2	-1.98	-3855	-405	217.25		10790	1.1909	10491	3748			9.26	Si
SLV 2	0.73	-656	-319	430.47		0	0	8333	0			0	No, Vu<V
SLV 5	-1.98	-9878	-2580	-2088.29		28580	1.1521	14049	4856			1.88	Si



Comb.	Quota	N	V par	M	σ_0	σ_N	I'	fvd	Vt scorr.	Vt fess.diag.	Vt,lim	c.s.	Verifica
SLV 5	0.73	-1511	-1934	956.56		0	0	8333	0			0	No, Vu<V
SLV 9	-1.98	-10607	-2833	-2358.09		31586	1.1194	14650	4920			1.74	Si
SLV 9	0.73	-1651	-2111	1023.95		0	0	8333	0			0	No, Vu<V
SLV 10	-1.98	-10607	-2833	-2358.09		31586	1.1194	14650	4920			1.74	Si
SLV 10	0.73	-1651	-2111	1023.95		0	0	8333	0			0	No, Vu<V
SLV 1	-1.98	-3855	-405	217.25		10790	1.1909	10491	3748			9.26	Si
SLV 1	0.73	-656	-319	430.47		0	0	8333	0			0	No, Vu<V
SLV 7	-1.98	4902	2792	3599.61		0	0	8333	0			0	No, Vu<V
SLV 7	0.73	466	2086	-321.94		0	0	8333	0			0	No, Vu<V
SLV 3	-1.98	579	1207	1923.62		0	0	8333	0			0	No, Vu<V
SLV 3	0.73	-63	886	46.91		0	0	8333	0			0	No, Vu<V
SLV 6	-1.98	-9878	-2580	-2088.29		28580	1.1521	14049	4856			1.88	Si
SLV 6	0.73	-1511	-1934	956.56		0	0	8333	0			0	No, Vu<V

Verifica a pressoflessione fuori piano D.M. 17-01-18 (N.T.C.)

quota -0.625 Wa 0.05 denominatore 8 $\gamma_M = 2$

Comb.	fd	Sa	σ_0	N	M	Mc	Coeff.s.	Verifica
SLV 7	143750	0.24	0	2601	48.08	0	0	No, Trazione
SLV 12	143750	0.24	0	2153	48.08	0	0	No, Trazione
SLV 3	143750	0.24	0	160	48.08	0	0	No, Trazione
SLV 4	143750	0.24	0	160	48.08	0	0	No, Trazione
SLV 8	143750	0.24	0	2601	48.08	0	0	No, Trazione
SLV 11	143750	0.24	0	2153	48.08	0	0	No, Trazione
SLV 15	143750	0.24	3734	-1334	48.08	193.98	4.03	Si
SLV 16	143750	0.24	3734	-1334	48.08	193.98	4.03	Si
SLV 1	143750	0.24	6661	-2380	48.08	337.5	7.02	Si
SLV 2	143750	0.24	6661	-2380	48.08	337.5	7.02	Si

Verifica dei meccanismi locali di collasso con analisi cinematica lineare

forza di aggancio al piano = 0 quota mezzera = -0.625 Wa = 0.05 Ta = 0.0409

Comb.	N top	N base	V orto	σ_0	M*	e*	a0*	aLim	Verifica
SLV 4	-63	579	12	0	0	0	0	10.31558	No, Trazione
SLV 7	466	4902	44	0	0	0	0	10.31558	No, Trazione
SLV 12	326	4173	45	0	0	0	0	10.31558	No, Trazione
SLV 3	-63	579	12	0	0	0	0	10.31558	No, Trazione
SLV 8	466	4902	44	0	0	0	0	10.31558	No, Trazione
SLV 11	326	4173	45	0	0	0	0	10.31558	No, Trazione
SLV 10	-1651	-10607	-44	0.057	310.8	0.898	0.92537	10.31558	No
SLV 9	-1651	-10607	-44	0.057	310.8	0.898	0.92537	10.31558	No
SLV 5	-1511	-9878	-44	0.057	297.2	0.896	0.92565	10.31558	No
SLV 6	-1511	-9878	-44	0.057	297.2	0.896	0.92565	10.31558	No

Tabella dei coefficienti di sicurezza minimi

Stato limite	Coeff.s.	Comb.	Verifica
PF_SLU	0.968	SLU 82	No
V_SLU	1.328	SLU 81	Si
PF_SLV	0	SLV 12	No
V_SLV	0	SLV 1	No
PFFP_SLV	0	SLV 12	No
R_SLV	0	SLV 12	No

Maschio 19

Verifiche condotte secondo D.M. 17-01-18 (N.T.C.)

Dati geometrici

X ini.	Y ini.	X fin.	Y fin.	Quota i.	Quota.s	I	Sp.	h netta	h ini.	h fin.	a	a.s,sx	a.s,dx
-8.084	-3.134	-8.084	1.596	L1	L2	4.73	0.45	2.71	2.71	2.71			

Caratteristiche del materiale

(Circolare 7 21-01-19 C8.5.I) Muratura in mattoni pieni e malta di calce LC2_Corti

fb	fk	fvk0	fmedio	τ_0	f ν_0	μ	ϕ	f ν_{lim}	E	G	FC
600000			345000	9000	20000	0.58	0.77	32500	320000000	128000000	1.2

Verifica a pressoflessione nel piano secondo D.M. 17-01-18 NTC §7.8.2.2.1 in combinazioni non sismiche, $\gamma_M = 3$

Comb.	Quota	N	M	σ_0	Mu	c.s.	Verifica
SLU 40	-1.98	-31225	3824.49	14670	60551.56	15.833	Si
SLU 40	0.22	-17277	1048.83	8117	36790.75	35.078	Si
SLU 39	-1.98	-31191	3923.32	14653	60499.48	15.42	Si
SLU 39	0.22	-17254	994.26	8106	36746.35	36.959	Si
SLU 37	-1.98	-29725	3487.88	13965	58250.3	16.701	Si
SLU 37	0.22	-16473	1067.38	7739	35258.73	33.033	Si
SLU 81	-1.98	-37961	4334.18	17834	70125.76	16.18	Si
SLU 81	0.22	-21052	1422.55	9890	43744.53	30.751	Si
SLU 84	-1.98	-37996	4235.35	17850	70171.48	16.568	Si
SLU 84	0.22	-21075	1477.12	9901	43786.5	29.643	Si
SLU 82	-1.98	-37996	4235.35	17850	70171.48	16.568	Si
SLU 82	0.22	-21075	1477.12	9901	43786.5	29.643	Si
SLU 32	-1.98	-29725	3487.88	13965	58250.3	16.701	Si
SLU 32	0.22	-16473	1067.38	7739	35258.73	33.033	Si
SLU 41	-1.98	-31191	3923.32	14653	60499.48	15.42	Si
SLU 41	0.22	-17254	994.26	8106	36746.35	36.959	Si
SLU 42	-1.98	-31225	3824.49	14670	60551.56	15.833	Si
SLU 42	0.22	-17277	1048.83	8117	36790.75	35.078	Si



Comb.	Quota	N	M	σ_0	Mu	c.s.	Verifica
SLV 83	-1.98	-37961	4334.18	17834	70125.76	16.18	Si
SLV 83	0.22	-21052	1422.55	9890	43744.53	30.751	Si

Verifica a pressoflessione nel piano secondo D.M. 17-01-18 NTC §7.8.2.2.1 in combinazioni sismiche, $\gamma_M = 2$

Comb.	Quota	N	M	σ_0	Mu	c.s.	Verifica
SLV 7	-1.98	-23530	9383.01	11054	50616.29	5.394	Si
SLV 7	0.22	-12270	1957.94	5765	27651.43	14.123	Si
SLV 1	-1.98	-21031	-477.59	9880	45718.06	95.727	Si
SLV 1	0.22	-11578	2487.62	5440	26165.11	10.518	Si
SLV 8	-1.98	-23530	9383.01	11054	50616.29	5.394	Si
SLV 8	0.22	-12270	1957.94	5765	27651.43	14.123	Si
SLV 2	-1.98	-21031	-477.59	9880	45718.06	95.727	Si
SLV 2	0.22	-11578	2487.62	5440	26165.11	10.518	Si
SLV 12	-1.98	-26699	9810.06	12543	56663.72	5.776	Si
SLV 12	0.22	-14252	1161.54	6696	31861.02	27.43	Si
SLV 11	-1.98	-26699	9810.06	12543	56663.72	5.776	Si
SLV 11	0.22	-14252	1161.54	6696	31861.02	27.43	Si
SLV 5	-1.98	-25373	-5020.64	11920	54155.32	10.787	Si
SLV 5	0.22	-14763	1343.4	6936	32934.75	24.516	Si
SLV 4	-1.98	-20478	3843.51	9620	44619.17	11.609	Si
SLV 4	0.22	-10831	2671.99	5088	24548.66	9.187	Si
SLV 6	-1.98	-25373	-5020.64	11920	54155.32	10.787	Si
SLV 6	0.22	-14763	1343.4	6936	32934.75	24.516	Si
SLV 3	-1.98	-20478	3843.51	9620	44619.17	11.609	Si
SLV 3	0.22	-10831	2671.99	5088	24548.66	9.187	Si

Verifica a taglio nel piano secondo D.M. 17-01-18 (N.T.C.) §7.8.2.2.2 con rottura per scorrimento in combinazioni non sismiche, $\gamma_M = 3$

Comb.	Quota	N	V par	M	σ_0	σ_N	I'	fvd	Vt scorr.	Vt fess.diag.	Vt _{lim}	c.s.	Verifica
SLU 82	-1.98	-37996	-1189	4235.35		17850	4.7302	7936	16892			14.2	Si
SLU 82	0.22	-21075	-1101	1477.12		9901	4.7302	6876	14636			13.3	Si
SLU 65	-1.98	-33132	-1189	2718		15565	4.7302	7631	16243			13.66	Si
SLU 65	0.22	-18488	-1026	1757.25		8686	4.7302	6714	14291			13.92	Si
SLU 78	-1.98	-36530	-1165	3799.91		17161	4.7302	7844	16696			14.33	Si
SLU 78	0.22	-20294	-1058	1550.25		9534	4.7302	6827	14531			13.73	Si
SLU 75	-1.98	-36530	-1165	3799.91		17161	4.7302	7844	16696			14.33	Si
SLU 75	0.22	-20294	-1058	1550.25		9534	4.7302	6827	14531			13.73	Si
SLU 73	-1.98	-36553	-1245	3734.03		17172	4.7302	7845	16699			13.41	Si
SLU 73	0.22	-20310	-1125	1586.63		9542	4.7302	6828	14533			12.92	Si
SLU 52	-1.98	-34809	-1217	3219.62		16353	4.7302	7736	16467			13.53	Si
SLU 52	0.22	-19381	-1076	1675.13		9105	4.7302	6770	14410			13.39	Si
SLU 76	-1.98	-36553	-1245	3734.03		17172	4.7302	7845	16699			13.41	Si
SLU 76	0.22	-20310	-1125	1586.63		9542	4.7302	6828	14533			12.92	Si
SLU 55	-1.98	-34809	-1217	3219.62		16353	4.7302	7736	16467			13.53	Si
SLU 55	0.22	-19381	-1076	1675.13		9105	4.7302	6770	14410			13.39	Si
SLU 84	-1.98	-37996	-1189	4235.35		17850	4.7302	7936	16892			14.2	Si
SLU 84	0.22	-21075	-1101	1477.12		9901	4.7302	6876	14636			13.3	Si
SLU 68	-1.98	-33132	-1189	2718		15565	4.7302	7631	16243			13.66	Si
SLU 68	0.22	-18488	-1026	1757.25		8686	4.7302	6714	14291			13.92	Si

Verifica a taglio nel piano secondo D.M. 17-01-18 (N.T.C.) §7.8.2.2.2 con rottura per scorrimento in combinazioni sismiche, $\gamma_M = 2$

Comb.	Quota	N	V par	M	σ_0	σ_N	I'	fvd	Vt scorr.	Vt fess.diag.	Vt _{lim}	c.s.	Verifica
SLV 7	-1.98	-23530	4939	9383.01		11054	4.7302	10544	22444			4.54	Si
SLV 7	0.22	-12270	5328	1957.94		5765	4.7302	9486	20192			3.79	Si
SLV 8	-1.98	-23530	4939	9383.01		11054	4.7302	10544	22444			4.54	Si
SLV 8	0.22	-12270	5328	1957.94		5765	4.7302	9486	20192			3.79	Si
SLV 10	-1.98	-28542	-6481	-4593.59		13409	4.7302	11015	23447			3.62	Si
SLV 10	0.22	-16745	-6685	547		7867	4.7302	9907	21087			3.15	Si
SLV 2	-1.98	-21031	-2465	-477.59		9880	4.7302	10309	21944			8.9	Si
SLV 2	0.22	-11578	-2422	2487.62		5440	4.7302	9421	20054			8.28	Si
SLV 5	-1.98	-25373	-6470	-5020.64		11920	4.7302	10717	22813			3.53	Si
SLV 5	0.22	-14763	-6653	1343.4		6936	4.7302	9720	20691			3.11	Si
SLV 11	-1.98	-26699	4929	9810.06		12543	4.7302	10842	23078			4.68	Si
SLV 11	0.22	-14252	5297	1161.54		6696	4.7302	9672	20589			3.89	Si
SLV 6	-1.98	-25373	-6470	-5020.64		11920	4.7302	10717	22813			3.53	Si
SLV 6	0.22	-14763	-6653	1343.4		6936	4.7302	9720	20691			3.11	Si
SLV 12	-1.98	-26699	4929	9810.06		12543	4.7302	10842	23078			4.68	Si
SLV 12	0.22	-14252	5297	1161.54		6696	4.7302	9672	20589			3.89	Si
SLV 9	-1.98	-28542	-6481	-4593.59		13409	4.7302	11015	23447			3.62	Si
SLV 9	0.22	-16745	-6685	547		7867	4.7302	9907	21087			3.15	Si
SLV 1	-1.98	-21031	-2465	-477.59		9880	4.7302	10309	21944			8.9	Si
SLV 1	0.22	-11578	-2422	2487.62		5440	4.7302	9421	20054			8.28	Si

Verifica a pressoflessione fuori piano D.M. 17-01-18 (N.T.C.)

quota -0.625 Wa 0.08 denominatore 8 $\gamma_M = 2$

Comb.	fd	Sa	σ_0	N	M	Mc	Coeff.s.	Verifica
SLV 3	143750	0.24	6778	-14427	286.45	3066.09	10.7	Si
SLV 4	143750	0.24	6778	-14427	286.45	3066.09	10.7	Si
SLV 1	143750	0.24	7161	-15243	286.45	3228.68	11.27	Si
SLV 2	143750	0.24	7161	-15243	286.45	3228.68	11.27	Si
SLV 7	143750	0.24	7703	-16396	286.45	3456.59	12.07	Si
SLV 8	143750	0.24	7703	-16396	286.45	3456.59	12.07	Si
SLV 12	143750	0.24	8879	-18900	286.45	3943.4	13.77	Si
SLV 11	143750	0.24	8879	-18900	286.45	3943.4	13.77	Si
SLV 5	143750	0.24	8980	-19115	286.45	3984.82	13.91	Si
SLV 6	143750	0.24	8980	-19115	286.45	3984.82	13.91	Si



Verifica dei meccanismi locali di collasso con analisi cinematica lineare

forza di aggancio al piano = 0 quota mezzeria = -0.625 Wa = 0.08 Ta = 0.0273

Comb.	N top	N base	V orto	α0	M*	e*	a0*	aLim	Verifica
SLV 10	-13949	-28542	-186	0.096	2257.2	0.91	1.53005	10.11318	No
SLV 9	-13949	-28542	-186	0.096	2257.2	0.91	1.53005	10.11318	No
SLV 12	-12308	-26699	176	0.098	2094.6	0.906	1.56642	10.11318	No
SLV 11	-12308	-26699	176	0.098	2094.6	0.906	1.56642	10.11318	No
SLV 6	-12171	-25373	-177	0.098	2081	0.905	1.56848	10.11318	No
SLV 5	-12171	-25373	-177	0.098	2081	0.905	1.56848	10.11318	No
SLV 13	-15449	-31594	-71	0.1	2406.7	0.914	1.59759	10.28841	No
SLV 14	-15449	-31594	-71	0.1	2406.7	0.914	1.59759	10.28841	No
SLV 8	-10530	-23530	186	0.099	1919.6	0.9	1.59179	10.11318	No
SLV 7	-10530	-23530	186	0.099	1919.6	0.9	1.59179	10.11318	No

Tabella dei coefficienti di sicurezza minimi

Stato limite	Coeff.s.	Comb.	Verifica
PF_SLU	15.42	SLU 39	Si
V_SLU	12.916	SLU 73	Si
PF_SLV	5.394	SLV 7	Si
V_SLV	3.11	SLV 5	Si
PFFP_SLV	10.704	SLV 3	Si
R_SLV	0.151	SLV 9	No

Maschio 20

Verifiche condotte secondo D.M. 17-01-18 (N.T.C.)

Dati geometrici

X ini.	Y ini.	X fin.	Y fin.	Quota i.	Quota.s	l	Sp.	h netta	h ini.	h fin.	a	a.s.,sx	a.s.,dx
-8.084	2.596	-8.084	5.874	L1	L2	3.278	0.45	2.71	2.71	2.71			

Caratteristiche del materiale

(Circolare 7 21-01-19 C8.5.I) Muratura in mattoni pieni e malta di calce LC2_Corti

fb	fk	fvk0	fmedio	τ0	fv0	μ	φ	fv,lim	E	G	FC
600000			345000	9000	20000	0.58	0.77	32500	320000000	128000000	1.2

Verifica a pressoflessione nel piano secondo D.M. 17-01-18 NTC §7.8.2.2.1 in combinazioni non sismiche, γM = 3

Comb.	Quota	N	M	σ0	Mu	c.s.	Verifica
SLU 37	-1.98	-19940	1820.41	13518	27258.9	14.974	Si
SLU 37	0.22	-12862	-424.38	8719	18824.39	44.357	Si
SLU 41	-1.98	-20675	2084.32	14015	28055.71	13.46	Si
SLU 41	0.22	-13370	-472.52	9064	19475.38	41.216	Si
SLU 83	-1.98	-25579	2242.67	17340	32999.99	14.715	Si
SLU 83	0.22	-16483	-530.2	11174	23310.59	43.965	Si
SLU 18	-1.98	-19798	1768.48	13421	27102.92	15.326	Si
SLU 18	0.22	-12764	-416.62	8653	18698.45	44.881	Si
SLU 39	-1.98	-20675	2084.32	14015	28055.71	13.46	Si
SLU 39	0.22	-13370	-472.52	9064	19475.38	41.216	Si
SLU 35	-1.98	-19940	1820.41	13518	27258.9	14.974	Si
SLU 35	0.22	-12862	-424.38	8719	18824.39	44.357	Si
SLU 32	-1.98	-19940	1820.41	13518	27258.9	14.974	Si
SLU 32	0.22	-12862	-424.38	8719	18824.39	44.357	Si
SLU 20	-1.98	-19798	1768.48	13421	27102.92	15.326	Si
SLU 20	0.22	-12764	-416.62	8653	18698.45	44.881	Si
SLU 74	-1.98	-24845	1978.76	16842	32301.44	16.324	Si
SLU 74	0.22	-15975	-482.06	10830	22702.76	47.095	Si
SLU 81	-1.98	-25579	2242.67	17340	32999.99	14.715	Si
SLU 81	0.22	-16483	-530.2	11174	23310.59	43.965	Si

Verifica a pressoflessione nel piano secondo D.M. 17-01-18 NTC §7.8.2.2.1 in combinazioni sismiche, γM = 2

Comb.	Quota	N	M	σ0	Mu	c.s.	Verifica
SLV 9	-1.98	-17518	-5413.12	11876	25921.9	4.789	Si
SLV 9	0.22	-10747	-757.14	7286	16564.4	21.878	Si
SLV 8	-1.98	-18662	7723.06	12651	27420.63	3.55	Si
SLV 8	0.22	-12418	148.7	8418	18950.51	127.441	Si
SLV 10	-1.98	-17518	-5413.12	11876	25921.9	4.789	Si
SLV 10	0.22	-10747	-757.14	7286	16564.4	21.878	Si
SLV 7	-1.98	-18662	7723.06	12651	27420.63	3.55	Si
SLV 7	0.22	-12418	148.7	8418	18950.51	127.441	Si
SLV 6	-1.98	-15633	-5899.12	10598	23400.94	3.967	Si
SLV 6	0.22	-9258	-1094.5	6276	14395.37	13.152	Si
SLV 12	-1.98	-20547	8209.06	13929	29837.77	3.635	Si
SLV 12	0.22	-13906	486.06	9427	21034.01	43.275	Si
SLV 5	-1.98	-15633	-5899.12	10598	23400.94	3.967	Si
SLV 5	0.22	-9258	-1094.5	6276	14395.37	13.152	Si
SLV 16	-1.98	-21686	4008.29	14701	31266.94	7.801	Si
SLV 16	0.22	-14537	444.52	9855	21905.03	49.278	Si
SLV 11	-1.98	-20547	8209.06	13929	29837.77	3.635	Si
SLV 11	0.22	-13906	486.06	9427	21034.01	43.275	Si
SLV 15	-1.98	-21686	4008.29	14701	31266.94	7.801	Si
SLV 15	0.22	-14537	444.52	9855	21905.03	49.278	Si

Verifica a taglio nel piano secondo D.M. 17-01-18 (N.T.C.) §7.8.2.2.2 con rottura per scorrimento in combinazioni non sismiche, γM = 3

Comb.	Quota	N	V par	M	σ0	σN	l'	fvd	Vt scorr.	Vt fess.diag.	Vt,lim	c.s.	Verifica
-------	-------	---	-------	---	----	----	----	-----	-----------	---------------	--------	------	----------



Comb.	Quota	N	V par	M	σ_0	σ_N	I'	fvd	Vt scorr.	Vt fess.diag.	Vt,lim	c.s.	Verifica
SLU 77	-1.98	-24845	1029	1978.76		16842	3.278	7801	11508			11.18	Si
SLU 77	0.22	-15975	575	-482.06		10830	3.278	7000	10325			17.96	Si
SLU 58	-1.98	-23968	1000	1662.92		16248	3.278	7722	11391			11.39	Si
SLU 58	0.22	-15370	583	-426.16		10419	3.278	6945	10244			17.57	Si
SLU 62	-1.98	-24702	1026	1926.82		16746	3.278	7788	11489			11.2	Si
SLU 62	0.22	-15878	577	-474.3		10764	3.278	6991	10312			17.87	Si
SLU 83	-1.98	-25579	1055	2242.67		17340	3.278	7868	11606			11	Si
SLU 83	0.22	-16483	569	-530.2		11174	3.278	7045	10393			18.27	Si
SLU 53	-1.98	-23968	1000	1662.92		16248	3.278	7722	11391			11.39	Si
SLU 53	0.22	-15370	583	-426.16		10419	3.278	6945	10244			17.57	Si
SLU 81	-1.98	-25579	1055	2242.67		17340	3.278	7868	11606			11	Si
SLU 81	0.22	-16483	569	-530.2		11174	3.278	7045	10393			18.27	Si
SLU 74	-1.98	-24845	1029	1978.76		16842	3.278	7801	11508			11.18	Si
SLU 74	0.22	-15975	575	-482.06		10830	3.278	7000	10325			17.96	Si
SLU 79	-1.98	-24845	1029	1978.76		16842	3.278	7801	11508			11.18	Si
SLU 79	0.22	-15975	575	-482.06		10830	3.278	7000	10325			17.96	Si
SLU 60	-1.98	-24702	1026	1926.82		16746	3.278	7788	11489			11.2	Si
SLU 60	0.22	-15878	577	-474.3		10764	3.278	6991	10312			17.87	Si
SLU 56	-1.98	-23968	1000	1662.92		16248	3.278	7722	11391			11.39	Si
SLU 56	0.22	-15370	583	-426.16		10419	3.278	6945	10244			17.57	Si

Verifica a taglio nel piano secondo D.M. 17-01-18 (N.T.C.) §7.8.2.2.2 con rottura per scorrimento in combinazioni sismiche, $\gamma_M = 2$

Comb.	Quota	N	V par	M	σ_0	σ_N	I'	fvd	Vt scorr.	Vt fess.diag.	Vt,lim	c.s.	Verifica
SLV 11	-1.98	-20547	4389	8209.06		13929	3.278	11119	16402			3.74	Si
SLV 11	0.22	-13906	3016	486.06		9427	3.278	10219	15074			5	Si
SLV 3	-1.98	-15403	1999	2388.3		10442	3.278	10422	15373			7.69	Si
SLV 3	0.22	-9575	1537	-680		6491	3.278	9632	14208			9.24	Si
SLV 9	-1.98	-17518	-2958	-5413.12		11876	3.278	10708	15796			5.34	Si
SLV 9	0.22	-10747	-2289	-757.14		7286	3.278	9790	14442			6.31	Si
SLV 10	-1.98	-17518	-2958	-5413.12		11876	3.278	10708	15796			5.34	Si
SLV 10	0.22	-10747	-2289	-757.14		7286	3.278	9790	14442			6.31	Si
SLV 5	-1.98	-15633	-2874	-5899.12		10598	3.278	10453	15419			5.36	Si
SLV 5	0.22	-9258	-2114	-1094.5		6276	3.278	9589	14144			6.69	Si
SLV 7	-1.98	-18662	4472	7723.06		12651	3.278	10864	16025			3.58	Si
SLV 7	0.22	-12418	3191	148.7		8418	3.278	10017	14776			4.63	Si
SLV 6	-1.98	-15633	-2874	-5899.12		10598	3.278	10453	15419			5.36	Si
SLV 6	0.22	-9258	-2114	-1094.5		6276	3.278	9589	14144			6.69	Si
SLV 8	-1.98	-18662	4472	7723.06		12651	3.278	10864	16025			3.58	Si
SLV 8	0.22	-12418	3191	148.7		8418	3.278	10017	14776			4.63	Si
SLV 12	-1.98	-20547	4389	8209.06		13929	3.278	11119	16402			3.74	Si
SLV 12	0.22	-13906	3016	486.06		9427	3.278	10219	15074			5	Si
SLV 4	-1.98	-15403	1999	2388.3		10442	3.278	10422	15373			7.69	Si
SLV 4	0.22	-9575	1537	-680		6491	3.278	9632	14208			9.24	Si

Verifica a pressoflessione fuori piano D.M. 17-01-18 (N.T.C.)

quota -0.625 Wa 0.08 denominatore 8 $\gamma_M = 2$

Comb.	fd	Sa	σ_0	N	M	Mc	Coeff.s.	Verifica
SLV 1	143750	0.24	7294	-10759	198.51	2276.36	11.47	Si
SLV 2	143750	0.24	7294	-10759	198.51	2276.36	11.47	Si
SLV 5	143750	0.24	7582	-11185	198.51	2360.43	11.89	Si
SLV 6	143750	0.24	7582	-11185	198.51	2360.43	11.89	Si
SLV 4	143750	0.24	8156	-12031	198.51	2526.25	12.73	Si
SLV 3	143750	0.24	8156	-12031	198.51	2526.25	12.73	Si
SLV 9	143750	0.24	8691	-12821	198.51	2679.52	13.5	Si
SLV 10	143750	0.24	8691	-12821	198.51	2679.52	13.5	Si
SLV 8	143750	0.24	10455	-15423	198.51	3173.21	15.99	Si
SLV 7	143750	0.24	10455	-15423	198.51	3173.21	15.99	Si

Verifica dei meccanismi locali di collasso con analisi cinematica lineare

forza di aggancio al piano = 0 quota mezzera = -0.625 Wa = 0.08 Ta = 0.0273

Comb.	N top	N base	V orto	α_0	M*	e*	a0*	aLim	Verifica
SLV 13	-12486	-20777	82	0.096	1846	0.92	1.52403	10.28841	No
SLV 14	-12486	-20777	82	0.096	1846	0.92	1.52403	10.28841	No
SLV 15	-11671	-21686	79	0.097	1764.3	0.917	1.54317	10.28841	No
SLV 16	-11671	-21686	79	0.097	1764.3	0.917	1.54317	10.28841	No
SLV 2	-7486	-14495	-99	0.101	1348.8	0.901	1.62885	10.28841	No
SLV 1	-7486	-14495	-99	0.101	1348.8	0.901	1.62885	10.28841	No
SLV 10	-11686	-17518	22	0.101	1765.9	0.917	1.60174	10.11318	No
SLV 9	-11686	-17518	22	0.101	1765.9	0.917	1.60174	10.11318	No
SLV 3	-6671	-15403	-103	0.102	1269.1	0.898	1.65317	10.28841	No
SLV 4	-6671	-15403	-103	0.102	1269.1	0.898	1.65317	10.28841	No

Tabella dei coefficienti di sicurezza minimi

Stato limite	Coeff.s.	Comb.	Verifica
PF_SLU	13.46	SLU 39	Si
V_SLU	11.005	SLU 81	Si
PF_SLV	3.55	SLV 7	Si
V_SLV	3.583	SLV 7	Si
PFFP_SLV	11.467	SLV 1	Si
R_SLV	0.148	SLV 13	No

Maschio 21

Verifiche condotte secondo D.M. 17-01-18 (N.T.C.)



Dati geometrici

X ini.	Y ini.	X fin.	Y fin.	Quota i.	Quota.s	l	Sp.	h netta	h ini.	h fin.	a	a.s.,sx	a.s.,dx
-20.545	-3.134	-20.545	5.825	L2	L3	8.959	0.3	3.76	3.76	3.76			

Caratteristiche del materiale

(Circolare 7 21-01-19 C8.5.I) Muratura in mattoni pieni e malta di calce LC2_Corti

fb	fk	fvk0	fmedio	τ_0	fv0	μ	ϕ	fv,lim	E	G	FC
600000			345000	9000	20000	0.58	0.77	32500	320000000	128000000	1.2

Verifica a pressoflessione nel piano secondo D.M. 17-01-18 NTC §7.8.2.2.1 in combinazioni non sismiche, $\gamma_M = 3$

Comb.	Quota	N	M	σ_0	Mu	c.s.	Verifica
SLU 61	0.73	-19535	3771.28	7269	79699.26	21.133	Si
SLU 61	4.49	72	123.92	0	0	0	No, Trazione
SLU 53	0.73	-18960	3843.9	7054	77574.75	20.181	Si
SLU 53	4.49	86	70.82	0	0	0	No, Trazione
SLU 57	0.73	-19034	3868.97	7082	77849.59	20.122	Si
SLU 57	4.49	80	122.08	0	0	0	No, Trazione
SLU 56	0.73	-18960	3843.9	7054	77574.75	20.181	Si
SLU 56	4.49	86	70.82	0	0	0	No, Trazione
SLU 55	0.73	-19084	3885.68	7100	78032.68	20.082	Si
SLU 55	4.49	75	156.26	0	0	0	No, Trazione
SLU 54	0.73	-19034	3868.97	7082	77849.59	20.122	Si
SLU 54	4.49	80	122.08	0	0	0	No, Trazione
SLU 58	0.73	-18960	3843.9	7054	77574.75	20.181	Si
SLU 58	4.49	86	70.82	0	0	0	No, Trazione
SLU 60	0.73	-19461	3746.21	7241	79425.94	21.202	Si
SLU 60	4.49	79	72.65	0	0	0	No, Trazione
SLU 1	0.73	-13842	3101.7	5150	58085.23	18.727	Si
SLU 1	4.49	77	51.76	0	0	0	No, Trazione
SLU 59	0.73	-19034	3868.97	7082	77849.59	20.122	Si
SLU 59	4.49	80	122.08	0	0	0	No, Trazione

Verifica a pressoflessione nel piano secondo D.M. 17-01-18 NTC §7.8.2.2.1 in combinazioni sismiche, $\gamma_M = 2$

Comb.	Quota	N	M	σ_0	Mu	c.s.	Verifica
SLV 3	0.73	-8773	10587.54	3264	38249.99	3.613	Si
SLV 3	4.49	141	493.11	0	0	0	No, Trazione
SLV 8	0.73	-8826	21932.35	3284	38471.72	1.754	Si
SLV 8	4.49	132	-4.31	0	0	0	No, Trazione
SLV 1	0.73	-11311	-392.85	4209	48923.04	124.534	Si
SLV 1	4.49	115	618.24	0	0	0	No, Trazione
SLV 4	0.73	-8773	10587.54	3264	38249.99	3.613	Si
SLV 4	4.49	141	493.11	0	0	0	No, Trazione
SLV 10	0.73	-19868	-15925.22	7392	83613.45	5.25	Si
SLV 10	4.49	8	111.54	0	0	0	No, Trazione
SLV 6	0.73	-17285	-14668.95	6431	73353.17	5.001	Si
SLV 6	4.49	43	412.77	0	0	0	No, Trazione
SLV 7	0.73	-8826	21932.35	3284	38471.72	1.754	Si
SLV 7	4.49	132	-4.31	0	0	0	No, Trazione
SLV 5	0.73	-17285	-14668.95	6431	73353.17	5.001	Si
SLV 5	4.49	43	412.77	0	0	0	No, Trazione
SLV 9	0.73	-19868	-15925.22	7392	83613.45	5.25	Si
SLV 9	4.49	8	111.54	0	0	0	No, Trazione
SLV 2	0.73	-11311	-392.85	4209	48923.04	124.534	Si
SLV 2	4.49	115	618.24	0	0	0	No, Trazione

Verifica a taglio nel piano secondo D.M. 17-01-18 (N.T.C.) §7.8.2.2.2 con rottura per scorrimento in combinazioni non sismiche, $\gamma_M = 3$

Comb.	Quota	N	V par	M	σ_0	σ_N	I'	fvd	Vt scorr.	Vt fess.diag.	Vt,lim	c.s.	Verifica
SLU 59	0.73	-19034	-217	3868.97	7082	8.9589	6500	17469				80.44	Si
SLU 59	4.49	80	-15	122.08	0	0	5556	0				0	No, Vu<V
SLU 57	0.73	-19034	-217	3868.97	7082	8.9589	6500	17469				80.44	Si
SLU 57	4.49	80	-15	122.08	0	0	5556	0				0	No, Vu<V
SLU 55	0.73	-19084	-315	3885.68	7100	8.9589	6502	17476				55.45	Si
SLU 55	4.49	75	-27	156.26	0	0	5556	0				0	No, Vu<V
SLU 1	0.73	-13842	-56	3101.7	5150	8.9589	6242	16777				301.89	Si
SLU 1	4.49	77	2	51.76	0	0	5556	0				0	No, Vu<V
SLU 58	0.73	-18960	-70	3843.9	7054	8.9589	6496	17459				248.74	Si
SLU 58	4.49	86	2	70.82	0	0	5556	0				0	No, Vu<V
SLU 61	0.73	-19535	-216	3771.28	7269	8.9589	6525	17536				81.15	Si
SLU 61	4.49	72	-15	123.92	0	0	5556	0				0	No, Vu<V
SLU 53	0.73	-18960	-70	3843.9	7054	8.9589	6496	17459				248.74	Si
SLU 53	4.49	86	2	70.82	0	0	5556	0				0	No, Vu<V
SLU 60	0.73	-19461	-69	3746.21	7241	8.9589	6521	17526				253.55	Si
SLU 60	4.49	79	2	72.65	0	0	5556	0				0	No, Vu<V
SLU 54	0.73	-19034	-217	3868.97	7082	8.9589	6500	17469				80.44	Si
SLU 54	4.49	80	-15	122.08	0	0	5556	0				0	No, Vu<V
SLU 56	0.73	-18960	-70	3843.9	7054	8.9589	6496	17459				248.74	Si
SLU 56	4.49	86	2	70.82	0	0	5556	0				0	No, Vu<V

Verifica a taglio nel piano secondo D.M. 17-01-18 (N.T.C.) §7.8.2.2.2 con rottura per scorrimento in combinazioni sismiche, $\gamma_M = 2$

Comb.	Quota	N	V par	M	σ_0	σ_N	I'	fvd	Vt scorr.	Vt fess.diag.	Vt,lim	c.s.	Verifica
SLV 9	0.73	-19868	-6939	-15925.22	7392	8.9589	9812	26371				3.8	Si
SLV 9	4.49	8	-1569	111.54	0	0	8333	0				0	No, Vu<V
SLV 3	0.73	-8773	-16	10587.54	3264	8.9589	8986	24152				1000	Si
SLV 3	4.49	141	589	493.11	0	0	8333	0				0	No, Vu<V
SLV 6	0.73	-17285	-8276	-14668.95	6431	8.9589	9620	25854				3.12	Si
SLV 6	4.49	43	-1493	412.77	0	0	8333	0				0	No, Vu<V
SLV 5	0.73	-17285	-8276	-14668.95	6431	8.9589	9620	25854				3.12	Si



Comb.	Quota	N	V par	M	$\alpha 0$	αN	I'	fvd	Vt scorr.	Vt fess.diag.	Vt,lim	c.s.	Verifica
SLV 5	4.49	43	-1493	412.77		0	0	8333	0			0	No, Vu<V
SLV 1	0.73	-11311	-4548	-392.85		4209	8.9589	9175	24659			5.42	Si
SLV 1	4.49	115	-331	618.24		0	0	8333	0			0	No, Vu<V
SLV 8	0.73	-8826	6830	21932.35		4917	5.9832	9317	16723			2.45	Si
SLV 8	4.49	132	1573	-4.31		0	0	8333	0			0	No, Vu<V
SLV 4	0.73	-8773	-16	10587.54		3264	8.9589	8986	24152			1000	Si
SLV 4	4.49	141	589	493.11		0	0	8333	0			0	No, Vu<V
SLV 7	0.73	-8826	6830	21932.35		4917	5.9832	9317	16723			2.45	Si
SLV 7	4.49	132	1573	-4.31		0	0	8333	0			0	No, Vu<V
SLV 2	0.73	-11311	-4548	-392.85		4209	8.9589	9175	24659			5.42	Si
SLV 2	4.49	115	-331	618.24		0	0	8333	0			0	No, Vu<V
SLV 10	0.73	-19868	-6939	-15925.22		7392	8.9589	9812	26371			3.8	Si
SLV 10	4.49	8	-1569	111.54		0	0	8333	0			0	No, Vu<V

Verifica a pressoflessione fuori piano D.M. 17-01-18 (N.T.C.)

quota 2.61 Wa 0.05 denominatore $8 \gamma M = 2$

Comb.	fd	Sa	$\alpha 0$	N	M	Mc	Coeff.s.	Verifica
SLV 1	143750	0.46	0	-5537	1303.33	0	0	No, $e > t/2$
SLV 15	143750	0.46	0	-8038	1303.33	0	0	No, $e > t/2$
SLV 2	143750	0.46	0	-5537	1303.33	0	0	No, $e > t/2$
SLV 11	143750	0.46	0	-3504	1303.33	0	0	No, $e > t/2$
SLV 16	143750	0.46	0	-8038	1303.33	0	0	No, $e > t/2$
SLV 12	143750	0.46	0	-3504	1303.33	0	0	No, $e > t/2$
SLV 8	143750	0.46	0	-2030	1303.33	0	0	No, $e > t/2$
SLV 4	143750	0.46	0	-3124	1303.33	0	0	No, $e > t/2$
SLV 3	143750	0.46	0	-3124	1303.33	0	0	No, $e > t/2$
SLV 7	143750	0.46	0	-2030	1303.33	0	0	No, $e > t/2$

Verifica dei meccanismi locali di collasso con analisi cinematica lineare

forza di aggancio al piano = 0 quota mezzeria = 2.61 Wa = 0.05 Ta = 0.0787

Comb.	N top	N base	V orto	$\alpha 0$	M*	e*	$\alpha 0^*$	aLim	Verifica
SLV 8	132	-8826	-70	0	0	0	0	8.8646	No, Trazione
SLV 1	115	-11311	-81	0	0	0	0	7.65071	No, Trazione
SLV 7	132	-8826	-70	0	0	0	0	8.8646	No, Trazione
SLV 2	115	-11311	-81	0	0	0	0	7.65071	No, Trazione
SLV 6	43	-17285	21	0	0	0	0	8.8646	No, Trazione
SLV 4	141	-8773	-109	0	0	0	0	7.65071	No, Trazione
SLV 9	8	-19868	81	0	0	0	0	8.8646	No, Trazione
SLV 10	8	-19868	81	0	0	0	0	8.8646	No, Trazione
SLV 5	43	-17285	21	0	0	0	0	8.8646	No, Trazione
SLV 3	141	-8773	-109	0	0	0	0	7.65071	No, Trazione

Tabella dei coefficienti di sicurezza minimi

Stato limite	Coeff.s.	Comb.	Verifica
PF_SLU	0	SLU 84	No
V_SLU	0	SLU 1	No
PF_SLV	0	SLV 16	No
V_SLV	0	SLV 1	No
PFFP_SLV	0	SLV 1	No
R_SLV	0	SLV 16	No

Maschio 22

Verifiche condotte secondo D.M. 17-01-18 (N.T.C.)

Dati geometrici

X ini.	Y ini.	X fin.	Y fin.	Quota i.	Quota.s	I	Sp.	h netta	h ini.	h fin.	a	a.s.,sx	a.s.,dx
-16.019	5.825	-16.019	1.355	L2	L3	4.47	0.14	3.76	3.76	3.76			

Caratteristiche del materiale

(Circolare 7 21-01-19 C8.5.I) Muratura in mattoni pieni e malta di calce LC2_Corti

fb	fk	fvk0	fmedio	$\tau 0$	f $\nu 0$	μ	ϕ	f ν ,lim	E	G	FC
600000			345000	9000	20000	0.58	0.77	32500	320000000	128000000	1.2

Verifica a pressoflessione nel piano secondo D.M. 17-01-18 NTC §7.8.2.2.1 in combinazioni non sismiche, $\gamma M = 3$

Comb.	Quota	N	M	$\alpha 0$	Mu	c.s.	Verifica
SLU 1	0.73	-1681	-1021.94	2686	3633.56	3.556	Si
SLU 1	4.49	38	-1.46	0	0	0	No, Trazione
SLU 61	0.73	-2483	-1474.43	3968	5279.68	3.581	Si
SLU 61	4.49	49	-27.52	0	0	0	No, Trazione
SLU 59	0.73	-2428	-1449.91	3879	5167.47	3.564	Si
SLU 59	4.49	48	-23.64	0	0	0	No, Trazione
SLU 57	0.73	-2428	-1449.91	3879	5167.47	3.564	Si
SLU 57	4.49	48	-23.64	0	0	0	No, Trazione
SLU 54	0.73	-2428	-1449.91	3879	5167.47	3.564	Si
SLU 54	4.49	48	-23.64	0	0	0	No, Trazione
SLU 56	0.73	-2293	-1375.68	3663	4893.31	3.557	Si
SLU 56	4.49	51	-9.38	0	0	0	No, Trazione
SLU 58	0.73	-2293	-1375.68	3663	4893.31	3.557	Si
SLU 58	4.49	51	-9.38	0	0	0	No, Trazione
SLU 60	0.73	-2348	-1400.2	3752	5006.19	3.575	Si
SLU 60	4.49	52	-13.26	0	0	0	No, Trazione
SLU 53	0.73	-2293	-1375.68	3663	4893.31	3.557	Si
SLU 53	4.49	51	-9.38	0	0	0	No, Trazione



Comb.	Quota	N	M	σ_0	Mu	c.s.	Verifica
SLU 55	0.73	-2518	-1499.4	4023	5349.35	3.568	Si
SLU 55	4.49	45	-33.14	0	0	0	No, Trazione

Verifica a pressoflessione nel piano secondo D.M. 17-01-18 NTC §7.8.2.2.1 in combinazioni sismiche, $\gamma_M = 2$

Comb.	Quota	N	M	σ_0	Mu	c.s.	Verifica
SLV 5	0.73	-1097	2074.15	1753	2417.02	1.165	Si
SLV 5	4.49	11	-299.29	0	0	0	No, Trazione
SLV 9	0.73	-2443	2520.67	3904	5285.72	2.097	Si
SLV 9	4.49	-115	-505.66	0	0	0	No, $e \geq l/2$
SLV 6	0.73	-1097	2074.15	1753	2417.02	1.165	Si
SLV 6	4.49	11	-299.29	0	0	0	No, Trazione
SLV 1	0.73	496	-787.64	0	0	0	No, Trazione
SLV 1	4.49	222	219.46	0	0	0	No, Trazione
SLV 4	0.73	516	-2794.08	0	0	0	No, Trazione
SLV 4	4.49	276	457.73	0	0	0	No, Trazione
SLV 3	0.73	516	-2794.08	0	0	0	No, Trazione
SLV 3	4.49	276	457.73	0	0	0	No, Trazione
SLV 7	0.73	-1031	-4613.98	0	0	0	No, $e \geq l/2$
SLV 7	4.49	192	494.95	0	0	0	No, Trazione
SLV 2	0.73	496	-787.64	0	0	0	No, Trazione
SLV 2	4.49	222	219.46	0	0	0	No, Trazione
SLV 8	0.73	-1031	-4613.98	0	0	0	No, $e \geq l/2$
SLV 8	4.49	192	494.95	0	0	0	No, Trazione
SLV 10	0.73	-2443	2520.67	3904	5285.72	2.097	Si
SLV 10	4.49	-115	-505.66	0	0	0	No, $e \geq l/2$

Verifica a taglio nel piano secondo D.M. 17-01-18 (N.T.C.) §7.8.2.2.2 con rottura per scorrimento in combinazioni non sismiche, $\gamma_M = 3$

Comb.	Quota	N	V par	M	σ_0	σ_N	I'	fvd	Vt scorr.	Vt fess.diag.	Vt,lim	c.s.	Verifica
SLU 1	0.73	-1681	148	-1021.94		2686	4.47	5914	3701			25.07	Si
SLU 1	4.49	38	-2	-1.46		0	0	5556	0			0	No, $V_u < V$
SLU 57	0.73	-2428	486	-1449.91		3879	4.47	6073	3800			7.82	Si
SLU 57	4.49	48	17	-23.64		0	0	5556	0			0	No, $V_u < V$
SLU 55	0.73	-2518	684	-1499.4		4023	4.47	6092	3812			5.58	Si
SLU 55	4.49	45	30	-33.14		0	0	5556	0			0	No, $V_u < V$
SLU 59	0.73	-2428	486	-1449.91		3879	4.47	6073	3800			7.82	Si
SLU 59	4.49	48	17	-23.64		0	0	5556	0			0	No, $V_u < V$
SLU 58	0.73	-2293	190	-1375.68		3663	4.47	6044	3782			19.91	Si
SLU 58	4.49	51	-3	-9.38		0	0	5556	0			0	No, $V_u < V$
SLU 53	0.73	-2293	190	-1375.68		3663	4.47	6044	3782			19.91	Si
SLU 53	4.49	51	-3	-9.38		0	0	5556	0			0	No, $V_u < V$
SLU 61	0.73	-2483	485	-1474.43		3968	4.47	6085	3808			7.85	Si
SLU 61	4.49	49	17	-27.52		0	0	5556	0			0	No, $V_u < V$
SLU 54	0.73	-2428	486	-1449.91		3879	4.47	6073	3800			7.82	Si
SLU 54	4.49	48	17	-23.64		0	0	5556	0			0	No, $V_u < V$
SLU 56	0.73	-2293	190	-1375.68		3663	4.47	6044	3782			19.91	Si
SLU 56	4.49	51	-3	-9.38		0	0	5556	0			0	No, $V_u < V$
SLU 60	0.73	-2348	189	-1400.2		3752	4.47	6056	3790			20.06	Si
SLU 60	4.49	52	-2	-13.26		0	0	5556	0			0	No, $V_u < V$

Verifica a taglio nel piano secondo D.M. 17-01-18 (N.T.C.) §7.8.2.2.2 con rottura per scorrimento in combinazioni sismiche, $\gamma_M = 2$

Comb.	Quota	N	V par	M	σ_0	σ_N	I'	fvd	Vt scorr.	Vt fess.diag.	Vt,lim	c.s.	Verifica
SLV 10	0.73	-2443	2588	2520.67		4834	3.6096	9300	4700			1.82	Si
SLV 10	4.49	-115	282	-505.66		0	0	8333	0			0	No, $V_u < V$
SLV 9	0.73	-2443	2588	2520.67		4834	3.6096	9300	4700			1.82	Si
SLV 9	4.49	-115	282	-505.66		0	0	8333	0			0	No, $V_u < V$
SLV 3	0.73	516	-967	-2794.08		0	0	8333	0			0	No, $V_u < V$
SLV 3	4.49	276	-70	457.73		0	0	8333	0			0	No, $V_u < V$
SLV 2	0.73	496	422	-787.64		0	0	8333	0			0	No, $V_u < V$
SLV 2	4.49	222	105	219.46		0	0	8333	0			0	No, $V_u < V$
SLV 7	0.73	-1031	-2295	-4613.98		0	0	8333	0			0	No, $V_u < V$
SLV 7	4.49	192	-286	494.95		0	0	8333	0			0	No, $V_u < V$
SLV 1	0.73	496	422	-787.64		0	0	8333	0			0	No, $V_u < V$
SLV 1	4.49	222	105	219.46		0	0	8333	0			0	No, $V_u < V$
SLV 8	0.73	-1031	-2295	-4613.98		0	0	8333	0			0	No, $V_u < V$
SLV 8	4.49	192	-286	494.95		0	0	8333	0			0	No, $V_u < V$
SLV 6	0.73	-1097	2336	2074.15		7582	1.0337	9850	1425			0.61	No, $V_u < V$
SLV 6	4.49	11	294	-299.29		0	0	8333	0			0	No, $V_u < V$
SLV 4	0.73	516	-967	-2794.08		0	0	8333	0			0	No, $V_u < V$
SLV 4	4.49	276	-70	457.73		0	0	8333	0			0	No, $V_u < V$
SLV 5	0.73	-1097	2336	2074.15		7582	1.0337	9850	1425			0.61	No, $V_u < V$
SLV 5	4.49	11	294	-299.29		0	0	8333	0			0	No, $V_u < V$

Verifica a pressoflessione fuori piano D.M. 17-01-18 (N.T.C.)

quota 2.61 W_a 0.03 denominatore 8 $\gamma_M = 2$

Comb.	fd	Sa	σ_0	N	M	Mc	Coeff.s.	Verifica
SLV 9	143750	0.46	0	-1221	303.47	0	0	No, $e \geq l/2$
SLV 7	143750	0.46	0	-644	303.47	0	0	No, $e \geq l/2$
SLV 8	143750	0.46	0	-644	303.47	0	0	No, $e \geq l/2$
SLV 2	143750	0.46	0	542	303.47	0	0	No, Trazione
SLV 5	143750	0.46	0	-362	303.47	0	0	No, $e \geq l/2$
SLV 4	143750	0.46	0	457	303.47	0	0	No, Trazione
SLV 3	143750	0.46	0	457	303.47	0	0	No, Trazione
SLV 6	143750	0.46	0	-362	303.47	0	0	No, $e \geq l/2$
SLV 10	143750	0.46	0	-1221	303.47	0	0	No, $e \geq l/2$
SLV 1	143750	0.46	0	542	303.47	0	0	No, Trazione



Verifica dei meccanismi locali di collasso con analisi cinematica lineare

forza di aggancio al piano = 0 quota mezzera = 2.61 Wa = 0.03 Ta = 0.1686

Comb.	N top	N base	V orto	α0	M*	e*	a0*	aLim	Verifica
SLV 7	192	-1031	-7	0	0	0	0	2.39674	No, Trazione
SLV 3	276	516	7	0	0	0	0	2.39674	No, Trazione
SLV 2	222	496	13	0	0	0	0	2.39674	No, Trazione
SLV 11	66	-2377	-13	0	0	0	0	2.39674	No, Trazione
SLV 6	11	-1097	13	0	0	0	0	2.39674	No, Trazione
SLV 4	276	516	7	0	0	0	0	2.39674	No, Trazione
SLV 12	66	-2377	-13	0	0	0	0	2.39674	No, Trazione
SLV 5	11	-1097	13	0	0	0	0	2.39674	No, Trazione
SLV 8	192	-1031	-7	0	0	0	0	2.39674	No, Trazione
SLV 1	222	496	13	0	0	0	0	2.39674	No, Trazione

Tabella dei coefficienti di sicurezza minimi

Stato limite	Coeff.s.	Comb.	Verifica
PF_SLU	0	SLU 84	No
V_SLU	0	SLU 1	No
PF_SLV	0	SLV 12	No
V_SLV	0	SLV 1	No
PFFP_SLV	0	SLV 4	No
R_SLV	0	SLV 12	No

Maschio 23

Verifiche condotte secondo D.M. 17-01-18 (N.T.C.)

Dati geometrici

X ini.	Y ini.	X fin.	Y fin.	Quota i.	Quota.s	l	Sp.	h netta	h ini.	h fin.	a	a.s.,sx	a.s.,dx
-19.499	-3.134	-20.545	-3.134	L2	L3	1.046	0.3	3.76	3.76	3.76			

Caratteristiche del materiale

(Circolare 7 21-01-19 C8.5.I) Muratura in mattoni pieni e malta di calce LC2_Corti

fb	fk	fvk0	fmedio	τ0	fv0	μ	φ	fv,lim	E	G	FC
600000			345000	9000	20000	0.58	0.77	32500	320000000	128000000	1.2

Verifica a pressoflessione nel piano secondo D.M. 17-01-18 NTC §7.8.2.2.1 in combinazioni non sismiche, γM = 3

Comb.	Quota	N	M	σ0	Mu	c.s.	Verifica
SLU 33	1.73	-2237	77.33	7132	1067.09	13.799	Si
SLU 33	3.63	-783	-57.23	2496	396.83	6.934	Si
SLU 38	1.73	-2237	77.33	7132	1067.09	13.799	Si
SLU 38	3.63	-783	-57.23	2496	396.83	6.934	Si
SLU 36	1.73	-2237	77.33	7132	1067.09	13.799	Si
SLU 36	3.63	-783	-57.23	2496	396.83	6.934	Si
SLU 34	1.73	-2208	77	7040	1054.62	13.697	Si
SLU 34	3.63	-776	-58.6	2474	393.41	6.714	Si
SLU 31	1.73	-2208	77	7040	1054.62	13.697	Si
SLU 31	3.63	-776	-58.6	2474	393.41	6.714	Si
SLU 21	1.73	-2249	70.88	7171	1072.38	15.129	Si
SLU 21	3.63	-783	-54.97	2495	396.56	7.214	Si
SLU 42	1.73	-2174	110.7	6932	1039.97	9.395	Si
SLU 42	3.63	-786	-68.84	2506	398.27	5.785	Si
SLU 40	1.73	-2174	110.7	6932	1039.97	9.395	Si
SLU 40	3.63	-786	-68.84	2506	398.27	5.785	Si
SLU 39	1.73	-2218	111.2	7070	1058.71	9.521	Si
SLU 39	3.63	-796	-66.79	2539	403.4	6.04	Si
SLU 41	1.73	-2218	111.2	7070	1058.71	9.521	Si
SLU 41	3.63	-796	-66.79	2539	403.4	6.04	Si

Verifica a pressoflessione nel piano secondo D.M. 17-01-18 NTC §7.8.2.2.1 in combinazioni sismiche, γM = 2

Comb.	Quota	N	M	σ0	Mu	c.s.	Verifica
SLV 5	1.73	-1507	-371.68	4803	756.66	2.036	Si
SLV 5	3.63	-755	-182.03	2407	386.95	2.126	Si
SLV 9	1.73	-964	-699.76	0	0	0	No, e>l/2
SLV 9	3.63	-66	-21.76	210	34.31	1.576	Si
SLV 13	1.73	-1174	-711.87	0	0	0	No, e>l/2
SLV 13	3.63	475	218.39	0	0	0	No, Trazione
SLV 4	1.73	-3703	699.43	11806	1748.89	2.5	Si
SLV 4	3.63	-2048	-270.23	6528	1013.31	3.75	Si
SLV 16	1.73	-1895	-394.17	6042	941.83	2.389	Si
SLV 16	3.63	250	263.98	0	0	0	No, Trazione
SLV 6	1.73	-1507	-371.68	4803	756.66	2.036	Si
SLV 6	3.63	-755	-182.03	2407	386.95	2.126	Si
SLV 10	1.73	-964	-699.76	0	0	0	No, e>l/2
SLV 10	3.63	-66	-21.76	210	34.31	1.576	Si
SLV 3	1.73	-3703	699.43	11806	1748.89	2.5	Si
SLV 3	3.63	-2048	-270.23	6528	1013.31	3.75	Si
SLV 14	1.73	-1174	-711.87	0	0	0	No, e>l/2
SLV 14	3.63	475	218.39	0	0	0	No, Trazione
SLV 15	1.73	-1895	-394.17	6042	941.83	2.389	Si
SLV 15	3.63	250	263.98	0	0	0	No, Trazione

Verifica a taglio nel piano secondo D.M. 17-01-18 (N.T.C.) §7.8.2.2.2 con rottura per scorrimento in combinazioni non sismiche, γM = 3

Comb.	Quota	N	V par	M	σ0	σN	l'	fvd	Vt scorr.	Vt fess.diag.	Vt,lim	c.s.	Verifica
-------	-------	---	-------	---	----	----	----	-----	-----------	---------------	--------	------	----------



Comb.	Quota	N	V par	M	σ_0	σ_N	I'	fvd	Vt scorr.	Vt fess.diag.	Vt,lim	c.s.	Verifica
SLU 43	1.73	-3278	-238	-65.44		10449	1.0456	6949	2180			9.18	Si
SLU 43	3.63	-1017	-251	-13.73		3242	1.0456	5988	1878			7.48	Si
SLU 48	1.73	-3278	-238	-65.44		10449	1.0456	6949	2180			9.18	Si
SLU 48	3.63	-1017	-251	-13.73		3242	1.0456	5988	1878			7.48	Si
SLU 49	1.73	-3234	-228	-65.94		10311	1.0456	6930	2174			9.54	Si
SLU 49	3.63	-1006	-241	-15.78		3209	1.0456	5983	1877			7.79	Si
SLU 44	1.73	-3206	-221	-66.28		10219	1.0456	6918	2170			9.8	Si
SLU 44	3.63	-999	-234	-17.14		3186	1.0456	5980	1876			8	Si
SLU 45	1.73	-3278	-238	-65.44		10449	1.0456	6949	2180			9.18	Si
SLU 45	3.63	-1017	-251	-13.73		3242	1.0456	5988	1878			7.48	Si
SLU 50	1.73	-3278	-238	-65.44		10449	1.0456	6949	2180			9.18	Si
SLU 50	3.63	-1017	-251	-13.73		3242	1.0456	5988	1878			7.48	Si
SLU 71	1.73	-3203	-187	-25.62		10210	1.0456	6917	2170			11.58	Si
SLU 71	3.63	-1020	-201	-27.59		3253	1.0456	5989	1879			9.33	Si
SLU 51	1.73	-3234	-228	-65.94		10311	1.0456	6930	2174			9.54	Si
SLU 51	3.63	-1006	-241	-15.78		3209	1.0456	5983	1877			7.79	Si
SLU 47	1.73	-3206	-221	-66.28		10219	1.0456	6918	2170			9.8	Si
SLU 47	3.63	-999	-234	-17.14		3186	1.0456	5980	1876			8	Si
SLU 46	1.73	-3234	-228	-65.94		10311	1.0456	6930	2174			9.54	Si
SLU 46	3.63	-1006	-241	-15.78		3209	1.0456	5983	1877			7.79	Si

Verifica a taglio nel piano secondo D.M. 17-01-18 (N.T.C.) §7.8.2.2.2 con rottura per scorrimento in combinazioni sismiche, $\gamma_M = 2$

Comb.	Quota	N	V par	M	σ_0	σ_N	I'	fvd	Vt scorr.	Vt fess.diag.	Vt,lim	c.s.	Verifica
SLV 16	1.73	-1895	-970	-394.17		6689	0.9444	9671	2740			2.82	Si
SLV 16	3.63	250	-257	263.98		0	0	8333	0			0	No, Vu<V
SLV 1	1.73	-2981	716	381.73		9505	1.0456	10234	3210			4.48	Si
SLV 1	3.63	-1822	-19	-315.82		5809	1.0456	9495	2978			158	Si
SLV 9	1.73	-964	-152	-699.76		0	0	8333	0			0	No, Vu<V
SLV 9	3.63	-66	-399	-21.76		381	0.5751	8410	1451			3.64	Si
SLV 15	1.73	-1895	-970	-394.17		6689	0.9444	9671	2740			2.82	Si
SLV 15	3.63	250	-257	263.98		0	0	8333	0			0	No, Vu<V
SLV 4	1.73	-3703	590	699.43		12322	1.0017	10798	3245			5.5	Si
SLV 4	3.63	-2048	105	-270.23		6528	1.0456	9639	3023			28.79	Si
SLV 3	1.73	-3703	590	699.43		12322	1.0017	10798	3245			5.5	Si
SLV 3	3.63	-2048	105	-270.23		6528	1.0456	9639	3023			28.79	Si
SLV 14	1.73	-1174	-844	-711.87		0	0	8333	0			0	No, Vu<V
SLV 14	3.63	475	-381	218.39		0	0	8333	0			0	No, Vu<V
SLV 2	1.73	-2981	716	381.73		9505	1.0456	10234	3210			4.48	Si
SLV 2	3.63	-1822	-19	-315.82		5809	1.0456	9495	2978			158	Si
SLV 13	1.73	-1174	-844	-711.87		0	0	8333	0			0	No, Vu<V
SLV 13	3.63	475	-381	218.39		0	0	8333	0			0	No, Vu<V
SLV 10	1.73	-964	-152	-699.76		0	0	8333	0			0	No, Vu<V
SLV 10	3.63	-66	-399	-21.76		381	0.5751	8410	1451			3.64	Si

Verifica a pressoflessione fuori piano D.M. 17-01-18 (N.T.C.)

quota 2.61 Wa 0.05 denominatore 8 $\gamma_M = 2$

Comb.	fd	Sa	σ_0	N	M	Mc	Coeff.s.	Verifica
SLV 13	143750	0.46	0	-33	152.11	0	0	No, e>t/2
SLV 16	143750	0.46	0	-640	152.11	0	0	No, e>t/2
SLV 14	143750	0.46	0	-33	152.11	0	0	No, e>t/2
SLV 10	143750	0.46	0	-282	152.11	0	0	No, e>t/2
SLV 9	143750	0.46	0	-282	152.11	0	0	No, e>t/2
SLV 15	143750	0.46	0	-640	152.11	0	0	No, e>t/2
SLV 5	143750	0.46	3511	-1101	152.11	160.47	1.05	Si
SLV 6	143750	0.46	3511	-1101	152.11	160.47	1.05	Si
SLV 11	143750	0.46	7345	-2304	152.11	324.8	2.14	Si
SLV 12	143750	0.46	7345	-2304	152.11	324.8	2.14	Si

Verifica dei meccanismi locali di collasso con analisi cinematica lineare

forza di aggancio al piano = 0 quota mezzeria = 2.61 Wa = 0.05 Ta = 0.0787

Comb.	N top	N base	V orto	α_0	M*	e*	α_0^*	aLim	Verifica
SLV 9	12	-2668	3	0	0	0	0	8.8646	No, Trazione
SLV 2	-192	-5192	93	0	221.6	0.939	0	7.65071	No
SLV 16	136	-1534	-94	0	0	0	0	7.65071	No, Trazione
SLV 15	136	-1534	-94	0	0	0	0	7.65071	No, Trazione
SLV 12	29	-2936	-54	0	0	0	0	8.8646	No, Trazione
SLV 1	-192	-5192	93	0	221.6	0.939	0	7.65071	No
SLV 13	131	-1453	-77	0	0	0	0	7.65071	No, Trazione
SLV 14	131	-1453	-77	0	0	0	0	7.65071	No, Trazione
SLV 10	12	-2668	3	0	0	0	0	8.8646	No, Trazione
SLV 11	29	-2936	-54	0	0	0	0	8.8646	No, Trazione

Tabella dei coefficienti di sicurezza minimi

Stato limite	Coeff.s.	Comb.	Verifica
PF_SLU	5.785	SLU 40	Si
V_SLU	7.48	SLU 43	Si
PF_SLV	0	SLV 16	No
V_SLV	0	SLV 9	No
PFFP_SLV	0	SLV 9	No
R_SLV	0	SLV 16	No

Maschio 24

Verifiche condotte secondo D.M. 17-01-18 (N.T.C.)



Dati geometrici

X ini.	Y ini.	X fin.	Y fin.	Quota i.	Quota.s	I	Sp.	h netta	h ini.	h fin.	a	a.s.,sx	a.s.,dx
-16.104	-3.134	-18.499	-3.134	L2	L3	2.395	0.3	3.76	3.76	3.76			

Caratteristiche del materiale

(Circolare 7 21-01-19 C8.5.I) Muratura in mattoni pieni e malta di calce LC2_Corti

fb	fk	fvk0	fmedio	τ0	fv0	μ	φ	fv,lim	E	G	FC
600000			345000	9000	20000	0.58	0.77	32500	320000000	128000000	1.2

Verifica a pressoflessione nel piano secondo D.M. 17-01-18 NTC §7.8.2.2.1 in combinazioni non sismiche, γM = 3

Comb.	Quota	N	M	σ0	Mu	c.s.	Verifica
SLU 36	1.73	-4285	-193.61	5964	4756.01	24.564	Si
SLU 36	3.73	-1479	-264.19	2059	1726.5	6.535	Si
SLU 42	1.73	-4258	-238.08	5926	4728.12	19.86	Si
SLU 42	3.73	-1460	-267.56	2032	1705.05	6.373	Si
SLU 35	1.73	-4288	-183.8	5967	4758.25	25.889	Si
SLU 35	3.73	-1481	-264.57	2061	1728.51	6.533	Si
SLU 33	1.73	-4285	-193.61	5964	4756.01	24.564	Si
SLU 33	3.73	-1479	-264.19	2059	1726.5	6.535	Si
SLU 39	1.73	-4260	-228.26	5929	4730.36	20.724	Si
SLU 39	3.73	-1462	-267.94	2035	1707.06	6.371	Si
SLU 40	1.73	-4258	-238.08	5926	4728.12	19.86	Si
SLU 40	3.73	-1460	-267.56	2032	1705.05	6.373	Si
SLU 38	1.73	-4285	-193.61	5964	4756.01	24.564	Si
SLU 38	3.73	-1479	-264.19	2059	1726.5	6.535	Si
SLU 41	1.73	-4260	-228.26	5929	4730.36	20.724	Si
SLU 41	3.73	-1462	-267.94	2035	1707.06	6.371	Si
SLU 37	1.73	-4288	-183.8	5967	4758.25	25.889	Si
SLU 37	3.73	-1481	-264.57	2061	1728.51	6.533	Si
SLU 32	1.73	-4288	-183.8	5967	4758.25	25.889	Si
SLU 32	3.73	-1481	-264.57	2061	1728.51	6.533	Si

Verifica a pressoflessione nel piano secondo D.M. 17-01-18 NTC §7.8.2.2.1 in combinazioni sismiche, γM = 2

Comb.	Quota	N	M	σ0	Mu	c.s.	Verifica
SLV 16	1.73	-4691	-2282.62	6529	5317.19	2.329	Si
SLV 16	3.73	-1263	666.63	1758	1490.64	2.236	Si
SLV 15	1.73	-4691	-2282.62	6529	5317.19	2.329	Si
SLV 15	3.73	-1263	666.63	1758	1490.64	2.236	Si
SLV 9	1.73	-4258	-1578.9	5926	4851.4	3.073	Si
SLV 9	3.73	-1710	-172.93	2379	2007.32	11.608	Si
SLV 4	1.73	-4131	2603.55	5750	4714.25	1.811	Si
SLV 4	3.73	-1650	-1072.12	2297	1939.14	1.809	Si
SLV 13	1.73	-4581	-2747.13	6376	5199.93	1.893	Si
SLV 13	3.73	-1406	560.02	1958	1657.3	2.959	Si
SLV 10	1.73	-4258	-1578.9	5926	4851.4	3.073	Si
SLV 10	3.73	-1710	-172.93	2379	2007.32	11.608	Si
SLV 3	1.73	-4131	2603.55	5750	4714.25	1.811	Si
SLV 3	3.73	-1650	-1072.12	2297	1939.14	1.809	Si
SLV 1	1.73	-4022	2139.04	5597	4595.32	2.148	Si
SLV 1	3.73	-1794	-1178.74	2497	2104.28	1.785	Si
SLV 14	1.73	-4581	-2747.13	6376	5199.93	1.893	Si
SLV 14	3.73	-1406	560.02	1958	1657.3	2.959	Si
SLV 2	1.73	-4022	2139.04	5597	4595.32	2.148	Si
SLV 2	3.73	-1794	-1178.74	2497	2104.28	1.785	Si

Verifica a taglio nel piano secondo D.M. 17-01-18 (N.T.C.) §7.8.2.2.2 con rottura per scorrimento in combinazioni non sismiche, γM = 3

Comb.	Quota	N	V par	M	σ0	σN	I'	fvd	Vt scorr.	Vt fess.diag.	Vt,lim	c.s.	Verifica
SLU 48	1.73	-5710	53	-16.89		7947	2.395	6615	4753			90.12	Si
SLU 48	3.73	-2019	49	-327.05		2811	2.395	5930	4261			86.49	Si
SLU 50	1.73	-5710	53	-16.89		7947	2.395	6615	4753			90.12	Si
SLU 50	3.73	-2019	49	-327.05		2811	2.395	5930	4261			86.49	Si
SLU 43	1.73	-5710	53	-16.89		7947	2.395	6615	4753			90.12	Si
SLU 43	3.73	-2019	49	-327.05		2811	2.395	5930	4261			86.49	Si
SLU 46	1.73	-5708	48	-26.71		7944	2.395	6615	4753			99.43	Si
SLU 46	3.73	-2018	46	-326.67		2808	2.395	5930	4261			91.68	Si
SLU 49	1.73	-5708	48	-26.71		7944	2.395	6615	4753			99.43	Si
SLU 49	3.73	-2018	46	-326.67		2808	2.395	5930	4261			91.68	Si
SLU 42	1.73	-4258	-41	-238.08		5926	2.395	6346	4559			111.9	Si
SLU 42	3.73	-1460	-18	-267.56		2032	2.395	5827	4186			228.51	Si
SLU 51	1.73	-5708	48	-26.71		7944	2.395	6615	4753			99.43	Si
SLU 51	3.73	-2018	46	-326.67		2808	2.395	5930	4261			91.68	Si
SLU 45	1.73	-5710	53	-16.89		7947	2.395	6615	4753			90.12	Si
SLU 45	3.73	-2019	49	-327.05		2811	2.395	5930	4261			86.49	Si
SLU 44	1.73	-5706	45	-33.25		7942	2.395	6614	4753			106.78	Si
SLU 44	3.73	-2016	45	-326.41		2806	2.395	5930	4261			95.49	Si
SLU 47	1.73	-5706	45	-33.25		7942	2.395	6614	4753			106.78	Si
SLU 47	3.73	-2016	45	-326.41		2806	2.395	5930	4261			95.49	Si

Verifica a taglio nel piano secondo D.M. 17-01-18 (N.T.C.) §7.8.2.2.2 con rottura per scorrimento in combinazioni sismiche, γM = 2

Comb.	Quota	N	V par	M	σ0	σN	I'	fvd	Vt scorr.	Vt fess.diag.	Vt,lim	c.s.	Verifica
SLV 15	1.73	-4691	-2139	-2282.62		7332	2.1327	9800	6270			2.93	Si
SLV 15	3.73	-1263	-892	666.63		2095	2.009	8752	5275			5.91	Si
SLV 13	1.73	-4581	-2371	-2747.13		8514	1.7936	10036	5400			2.28	Si
SLV 13	3.73	-1406	-824	560.02		1958	2.395	8725	6269			7.61	Si
SLV 2	1.73	-4022	2178	2139.04		6713	1.9969	9676	5796			2.66	Si
SLV 2	3.73	-1794	939	-1178.74		3688	1.6213	9071	4412			4.7	Si
SLV 14	1.73	-4581	-2371	-2747.13		8514	1.7936	10036	5400			2.28	Si



Comb.	Quota	N	V par	M	σ_0	σ_N	I'	fvd	Vt scorr.	Vt fess.diag.	Vt,lim	c.s.	Verifica
SLV 14	3.73	-1406	-824	560.02		1958	2.395	8725	6269			7.61	Si
SLV 16	1.73	-4691	-2139	-2282.62		7332	2.1327	9800	6270			2.93	Si
SLV 16	3.73	-1263	-892	666.63		2095	2.009	8752	5275			5.91	Si
SLV 8	1.73	-4455	1090	1435.33		6200	2.395	9573	6878			6.31	Si
SLV 8	3.73	-1347	174	-339.18		1875	2.395	8708	6257			35.98	Si
SLV 1	1.73	-4022	2178	2139.04		6713	1.9969	9676	5796			2.66	Si
SLV 1	3.73	-1794	939	-1178.74		3688	1.6213	9071	4412			4.7	Si
SLV 3	1.73	-4131	2411	2603.55		8092	1.7018	9952	5081			2.11	Si
SLV 3	3.73	-1650	871	-1072.12		3347	1.6436	9003	4439			5.1	Si
SLV 4	1.73	-4131	2411	2603.55		8092	1.7018	9952	5081			2.11	Si
SLV 4	3.73	-1650	871	-1072.12		3347	1.6436	9003	4439			5.1	Si
SLV 7	1.73	-4455	1090	1435.33		6200	2.395	9573	6878			6.31	Si
SLV 7	3.73	-1347	174	-339.18		1875	2.395	8708	6257			35.98	Si

Verifica a pressoflessione fuori piano D.M. 17-01-18 (N.T.C.)

quota 2.61 Wa 0.05 denominatore $8 \gamma_M = 2$

Comb.	fd	Sa	σ_0	N	M	Mc	Coeff.s.	Verifica
SLV 3	143750	0.46	4230	-3039	348.42	440.13	1.26	Si
SLV 4	143750	0.46	4230	-3039	348.42	440.13	1.26	Si
SLV 1	143750	0.46	4311	-3097	348.42	448.22	1.29	Si
SLV 2	143750	0.46	4311	-3097	348.42	448.22	1.29	Si
SLV 7	143750	0.46	4342	-3120	348.42	451.35	1.3	Si
SLV 8	143750	0.46	4342	-3120	348.42	451.35	1.3	Si
SLV 12	143750	0.46	4519	-3247	348.42	469.01	1.35	Si
SLV 11	143750	0.46	4519	-3247	348.42	469.01	1.35	Si
SLV 6	143750	0.46	4611	-3313	348.42	478.2	1.37	Si
SLV 5	143750	0.46	4611	-3313	348.42	478.2	1.37	Si

Verifica dei meccanismi locali di collasso con analisi cinematica lineare

forza di aggancio al piano = 0 quota mezzeria = 2.61 Wa = 0.05 Ta = 0.0787

Comb.	N top	N base	V orto	α_0	M*	e*	α_0^*	aLim	Verifica
SLV 3	-63	-4012	91	0.042	496	0.988	0.62316	7.65071	No
SLV 4	-63	-4012	91	0.042	496	0.988	0.62316	7.65071	No
SLV 14	-91	-7127	-89	0.043	496.3	0.983	0.63867	7.65071	No
SLV 13	-91	-7127	-89	0.043	496.3	0.983	0.63867	7.65071	No
SLV 8	-102	-4860	69	0.051	496.5	0.981	0.75748	8.8646	No
SLV 7	-102	-4860	69	0.051	496.5	0.981	0.75748	8.8646	No
SLV 9	-52	-6279	-66	0.052	495.9	0.99	0.76693	8.8646	No
SLV 10	-52	-6279	-66	0.052	495.9	0.99	0.76693	8.8646	No
SLV 2	-44	-4172	64	0.053	495.9	0.991	0.77937	7.65071	No
SLV 1	-44	-4172	64	0.053	495.9	0.991	0.77937	7.65071	No

Tabella dei coefficienti di sicurezza minimi

Stato limite	Coeff.s.	Comb.	Verifica
PF_SLU	6.371	SLU 39	Si
V_SLU	86.493	SLU 43	Si
PF_SLV	1.785	SLV 1	Si
V_SLV	2.107	SLV 3	Si
PFFP_SLV	1.263	SLV 3	Si
R_SLV	0.081	SLV 3	No

Maschio 25

Verifiche condotte secondo D.M. 17-01-18 (N.T.C.)

Dati geometrici

X ini.	Y ini.	X fin.	Y fin.	Quota i.	Quota.s	I	Sp.	h netta	h ini.	h fin.	a	a.s.,sx	a.s.,dx
-13.684	-3.134	-14.704	-3.134	L2	L3	1.02	0.3	3.76	3.76	3.76			

Caratteristiche del materiale

(Circolare 7 21-01-19 C8.5.I) Muratura in mattoni pieni e malta di calce LC2_Corti

fb	fk	fvk0	fmedio	τ_0	f ν_0	μ	ϕ	f ν_{lim}	E	G	FC
600000			345000	9000	20000	0.58	0.77	32500	320000000	128000000	1.2

Verifica a pressoflessione nel piano secondo D.M. 17-01-18 NTC §7.8.2.2.1 in combinazioni non sismiche, $\gamma_M = 3$

Comb.	Quota	N	M	σ_0	Mu	c.s.	Verifica
SLU 32	0.73	-2580	31.34	8430	1179.49	37.64	Si
SLU 32	3.73	-1071	-91.68	3501	522.86	5.703	Si
SLU 39	0.73	-2474	30.79	8083	1136.34	36.901	Si
SLU 39	3.73	-1089	-95.93	3558	531.02	5.535	Si
SLU 42	0.73	-2475	28.94	8090	1137.12	39.29	Si
SLU 42	3.73	-1089	-93.83	3560	531.32	5.663	Si
SLU 37	0.73	-2580	31.34	8430	1179.49	37.64	Si
SLU 37	3.73	-1071	-91.68	3501	522.86	5.703	Si
SLU 40	0.73	-2475	28.94	8090	1137.12	39.29	Si
SLU 40	3.73	-1089	-93.83	3560	531.32	5.663	Si
SLU 35	0.73	-2580	31.34	8430	1179.49	37.64	Si
SLU 35	3.73	-1071	-91.68	3501	522.86	5.703	Si
SLU 41	0.73	-2474	30.79	8083	1136.34	36.901	Si
SLU 41	3.73	-1089	-95.93	3558	531.02	5.535	Si
SLU 83	0.73	-3403	41	11121	1498.6	36.555	Si
SLU 83	3.73	-1384	-117.2	4524	666.86	5.69	Si
SLU 81	0.73	-3403	41	11121	1498.6	36.555	Si
SLU 81	3.73	-1384	-117.2	4524	666.86	5.69	Si



Comb.	Quota	N	M	σ_0	Mu	c.s.	Verifica
SLU 20	0.73	-2600	31.45	8496	1187.67	37.764	Si
SLU 20	3.73	-1068	-90.87	3490	521.29	5.737	Si

Verifica a pressoflessione nel piano secondo D.M. 17-01-18 NTC §7.8.2.2.1 in combinazioni sismiche, $\gamma_M = 2$

Comb.	Quota	N	M	σ_0	Mu	c.s.	Verifica
SLV 6	0.73	-3605	279.95	11782	1661.37	5.934	Si
SLV 6	3.73	-790	-266.44	2581	394.32	1.48	Si
SLV 3	0.73	-1494	855.32	0	0	0	No, $e \geq l/2$
SLV 3	3.73	-80	-680.22	0	0	0	No, $e \geq l/2$
SLV 5	0.73	-3605	279.95	11782	1661.37	5.934	Si
SLV 5	3.73	-790	-266.44	2581	394.32	1.48	Si
SLV 2	0.73	-2135	855.58	6976	1026.47	1.2	Si
SLV 2	3.73	-106	-683.35	0	0	0	No, $e \geq l/2$
SLV 1	0.73	-2135	855.58	6976	1026.47	1.2	Si
SLV 1	3.73	-106	-683.35	0	0	0	No, $e \geq l/2$
SLV 4	0.73	-1494	855.32	0	0	0	No, $e \geq l/2$
SLV 4	3.73	-80	-680.22	0	0	0	No, $e \geq l/2$
SLV 15	0.73	-3559	-790.16	11631	1642.37	2.079	Si
SLV 15	3.73	-1948	521.42	6367	941.82	1.806	Si
SLV 7	0.73	-1469	279.1	4800	719.66	2.578	Si
SLV 7	3.73	-704	-255.99	2301	352.29	1.376	Si
SLV 16	0.73	-3559	-790.16	11631	1642.37	2.079	Si
SLV 16	3.73	-1948	521.42	6367	941.82	1.806	Si
SLV 8	0.73	-1469	279.1	4800	719.66	2.578	Si
SLV 8	3.73	-704	-255.99	2301	352.29	1.376	Si

Verifica a taglio nel piano secondo D.M. 17-01-18 (N.T.C.) §7.8.2.2.2 con rottura per scorrimento in combinazioni non sismiche, $\gamma_M = 3$

Comb.	Quota	N	V par	M	σ_0	σ_N	I'	fvd	Vt scorr.	Vt fess.diag.	Vt,lim	c.s.	Verifica
SLU 84	0.73	-3405	8	39.14		11127	1.02	7039	2154			262.65	Si
SLU 84	3.73	-1385	68	-115.1		4526	1.02	6159	1885			27.85	Si
SLU 79	0.73	-3509	8	41.54		11468	1.02	7085	2168			263.65	Si
SLU 79	3.73	-1367	65	-112.95		4467	1.02	6151	1882			28.81	Si
SLU 83	0.73	-3403	10	41		11121	1.02	7038	2154			225.33	Si
SLU 83	3.73	-1384	69	-117.2		4524	1.02	6159	1885			27.31	Si
SLU 74	0.73	-3509	8	41.54		11468	1.02	7085	2168			263.65	Si
SLU 74	3.73	-1367	65	-112.95		4467	1.02	6151	1882			28.81	Si
SLU 60	0.73	-3529	8	41.65		11534	1.02	7093	2171			272.21	Si
SLU 60	3.73	-1364	65	-112.14		4456	1.02	6150	1882			29.11	Si
SLU 81	0.73	-3403	10	41		11121	1.02	7038	2154			225.33	Si
SLU 81	3.73	-1384	69	-117.2		4524	1.02	6159	1885			27.31	Si
SLU 77	0.73	-3509	8	41.54		11468	1.02	7085	2168			263.65	Si
SLU 77	3.73	-1367	65	-112.95		4467	1.02	6151	1882			28.81	Si
SLU 62	0.73	-3529	8	41.65		11534	1.02	7093	2171			272.21	Si
SLU 62	3.73	-1364	65	-112.14		4456	1.02	6150	1882			29.11	Si
SLU 80	0.73	-3511	7	39.68		11474	1.02	7085	2168			315.82	Si
SLU 80	3.73	-1368	64	-110.84		4469	1.02	6151	1882			29.4	Si
SLU 82	0.73	-3405	8	39.14		11127	1.02	7039	2154			262.65	Si
SLU 82	3.73	-1385	68	-115.1		4526	1.02	6159	1885			27.85	Si

Verifica a taglio nel piano secondo D.M. 17-01-18 (N.T.C.) §7.8.2.2.2 con rottura per scorrimento in combinazioni sismiche, $\gamma_M = 2$

Comb.	Quota	N	V par	M	σ_0	σ_N	I'	fvd	Vt scorr.	Vt fess.diag.	Vt,lim	c.s.	Verifica
SLV 8	0.73	-1469	350	279.1		5100	0.9599	9353	2694			7.7	Si
SLV 8	3.73	-704	145	-255.99		5344	0.4392	9402	1239			8.54	Si
SLV 13	0.73	-4200	-724	-789.91		14496	0.9658	11233	3254			4.5	Si
SLV 13	3.73	-1974	81	518.29		8864	0.7423	10106	2251			27.95	Si
SLV 2	0.73	-2135	649	855.58		21723	0.3275	12678	1246			1.92	Si
SLV 2	3.73	-106	-63	-683.35		0	0	8333	0			0	No, $V_u < V$
SLV 7	0.73	-1469	350	279.1		5100	0.9599	9353	2694			7.7	Si
SLV 7	3.73	-704	145	-255.99		5344	0.4392	9402	1239			8.54	Si
SLV 14	0.73	-4200	-724	-789.91		14496	0.9658	11233	3254			4.5	Si
SLV 14	3.73	-1974	81	518.29		8864	0.7423	10106	2251			27.95	Si
SLV 4	0.73	-1494	733	855.32		0	0	8333	0			0	No, $V_u < V$
SLV 4	3.73	-80	10	-680.22		0	0	8333	0			0	No, $V_u < V$
SLV 16	0.73	-3559	-640	-790.16		13732	0.864	11080	2872			4.49	Si
SLV 16	3.73	-1948	153	521.42		8932	0.7271	10120	2207			14.39	Si
SLV 3	0.73	-1494	733	855.32		0	0	8333	0			0	No, $V_u < V$
SLV 3	3.73	-80	10	-680.22		0	0	8333	0			0	No, $V_u < V$
SLV 1	0.73	-2135	649	855.58		21723	0.3275	12678	1246			1.92	Si
SLV 1	3.73	-106	-63	-683.35		0	0	8333	0			0	No, $V_u < V$
SLV 15	0.73	-3559	-640	-790.16		13732	0.864	11080	2872			4.49	Si
SLV 15	3.73	-1948	153	521.42		8932	0.7271	10120	2207			14.39	Si

Verifica a pressoflessione fuori piano D.M. 17-01-18 (N.T.C.)

quota 2.61 Wa 0.05 denominatore 8 $\gamma_M = 2$

Comb.	fd	Sa	σ_0	N	M	Mc	Coeff.s.	Verifica
SLV 1	143750	0.46	0	-586	148.39	0	0	No, $e \geq t/2$
SLV 7	143750	0.46	0	-612	148.39	0	0	No, $e \geq t/2$
SLV 2	143750	0.46	0	-586	148.39	0	0	No, $e \geq t/2$
SLV 3	143750	0.46	0	-98	148.39	0	0	No, $e \geq t/2$
SLV 4	143750	0.46	0	-98	148.39	0	0	No, $e \geq t/2$
SLV 8	143750	0.46	0	-612	148.39	0	0	No, $e \geq t/2$
SLV 12	143750	0.46	5032	-1540	148.39	221.45	1.49	Si
SLV 11	143750	0.46	5032	-1540	148.39	221.45	1.49	Si
SLV 5	143750	0.46	7315	-2239	148.39	315.68	2.13	Si
SLV 6	143750	0.46	7315	-2239	148.39	315.68	2.13	Si



Verifica dei meccanismi locali di collasso con analisi cinematica lineare

forza di aggancio al piano = 0 quota mezzera = 2.61 Wa = 0.05 Ta = 0.0787

Comb.	N top	N base	V orto	α0	M*	e*	a0*	aLim	Verifica
SLV 5	92	-3605	78	0	0	0	0	8.8646	No, Trazione
SLV 6	92	-3605	78	0	0	0	0	8.8646	No, Trazione
SLV 3	-131	-1494	-146	0	213.8	0.953	0	7.65071	No
SLV 8	-215	-1469	-146	0	217.5	0.934	0	8.8646	No
SLV 9	112	-4225	146	0	0	0	0	8.8646	No, Trazione
SLV 7	-215	-1469	-146	0	217.5	0.934	0	8.8646	No
SLV 10	112	-4225	146	0	0	0	0	8.8646	No, Trazione
SLV 4	-131	-1494	-146	0	213.8	0.953	0	7.65071	No
SLV 13	27	-4200	147	0	0	0	0	7.65071	No, Trazione
SLV 14	27	-4200	147	0	0	0	0	7.65071	No, Trazione

Tabella dei coefficienti di sicurezza minimi

Stato limite	Coeff.s.	Comb.	Verifica
PF_SLU	5.535	SLU 39	Si
V_SLU	27.315	SLU 81	Si
PF_SLV	0	SLV 1	No
V_SLV	0	SLV 1	No
PFFP_SLV	0	SLV 1	No
R_SLV	0	SLV 14	No

Maschio 26

Verifiche condotte secondo D.M. 17-01-18 (N.T.C.)

Dati geometrici

X ini.	Y ini.	X fin.	Y fin.	Quota i.	Quota.s	l	Sp.	h netta	h ini.	h fin.	a	a.s.,sx	a.s.,dx
-10.099	-3.134	-12.284	-3.134	L2	L3	2.185	0.3	3.76	3.76	3.76			

Caratteristiche del materiale

(Circolare 7 21-01-19 C8.5.I) Muratura in mattoni pieni e malta di calce LC2_Corti

fb	fk	fvk0	fmedio	τ0	fv0	μ	φ	fv,lim	E	G	FC
600000			345000	9000	20000	0.58	0.77	32500	320000000	128000000	1.2

Verifica a pressoflessione nel piano secondo D.M. 17-01-18 NTC §7.8.2.2.1 in combinazioni non sismiche, γM = 3

Comb.	Quota	N	M	σ0	Mu	c.s.	Verifica
SLU 33	1.73	-3817	625.91	5822	3871.58	6.186	Si
SLU 33	3.73	-1256	157.33	1916	1340.15	8.518	Si
SLU 39	1.73	-3781	686.62	5769	3838.64	5.591	Si
SLU 39	3.73	-1230	153.49	1877	1313.23	8.556	Si
SLU 35	1.73	-3816	628.4	5822	3871.17	6.16	Si
SLU 35	3.73	-1255	155.52	1915	1339.31	8.612	Si
SLU 38	1.73	-3817	625.91	5822	3871.58	6.186	Si
SLU 38	3.73	-1256	157.33	1916	1340.15	8.518	Si
SLU 42	1.73	-3782	684.12	5769	3839.05	5.612	Si
SLU 42	3.73	-1231	155.31	1878	1314.06	8.461	Si
SLU 41	1.73	-3781	686.62	5769	3838.64	5.591	Si
SLU 41	3.73	-1230	153.49	1877	1313.23	8.556	Si
SLU 32	1.73	-3816	628.4	5822	3871.17	6.16	Si
SLU 32	3.73	-1255	155.52	1915	1339.31	8.612	Si
SLU 37	1.73	-3816	628.4	5822	3871.17	6.16	Si
SLU 37	3.73	-1255	155.52	1915	1339.31	8.612	Si
SLU 36	1.73	-3817	625.91	5822	3871.58	6.186	Si
SLU 36	3.73	-1256	157.33	1916	1340.15	8.518	Si
SLU 40	1.73	-3782	684.12	5769	3839.05	5.612	Si
SLU 40	3.73	-1231	155.31	1878	1314.06	8.461	Si

Verifica a pressoflessione nel piano secondo D.M. 17-01-18 NTC §7.8.2.2.1 in combinazioni sismiche, γM = 2

Comb.	Quota	N	M	σ0	Mu	c.s.	Verifica
SLV 12	1.73	-3239	-99.06	4942	3395.71	34.278	Si
SLV 12	3.73	-1098	372.68	1676	1183.58	3.176	Si
SLV 14	1.73	-3774	-1517.76	5757	3928.49	2.588	Si
SLV 14	3.73	-1537	1180.43	2344	1646.67	1.395	Si
SLV 3	1.73	-4033	2481.36	6153	4184.69	1.686	Si
SLV 3	3.73	-1100	-859.25	1679	1185.53	1.38	Si
SLV 11	1.73	-3239	-99.06	4942	3395.71	34.278	Si
SLV 11	3.73	-1098	372.68	1676	1183.58	3.176	Si
SLV 1	1.73	-4378	2470.9	6678	4521.3	1.83	Si
SLV 1	3.73	-1257	-807.58	1918	1352.19	1.674	Si
SLV 2	1.73	-4378	2470.9	6678	4521.3	1.83	Si
SLV 2	3.73	-1257	-807.58	1918	1352.19	1.674	Si
SLV 15	1.73	-3429	-1507.3	5232	3586.21	2.379	Si
SLV 15	3.73	-1380	1128.76	2105	1481.21	1.312	Si
SLV 13	1.73	-3774	-1517.76	5757	3928.49	2.588	Si
SLV 13	3.73	-1537	1180.43	2344	1646.67	1.395	Si
SLV 4	1.73	-4033	2481.36	6153	4184.69	1.686	Si
SLV 4	3.73	-1100	-859.25	1679	1185.53	1.38	Si
SLV 16	1.73	-3429	-1507.3	5232	3586.21	2.379	Si
SLV 16	3.73	-1380	1128.76	2105	1481.21	1.312	Si

Verifica a taglio nel piano secondo D.M. 17-01-18 (N.T.C.) §7.8.2.2.2 con rottura per scorrimento in combinazioni non sismiche, γM = 3

Comb.	Quota	N	V par	M	σ0	σN	l'	fvd	Vt scorr.	Vt fess.diag.	Vt,lim	c.s.	Verifica
-------	-------	---	-------	---	----	----	----	-----	-----------	---------------	--------	------	----------



Comb.	Quota	N	V par	M	σ_0	σ_N	I'	fvd	Vt scorr.	Vt fess.diag.	Vt,lim	c.s.	Verifica
SLU 80	1.73	-5012	342	729.05		7647	2.185	6575	4310			12.62	Si
SLU 80	3.73	-1670	209	206.93		2547	2.185	5895	3864			18.47	Si
SLU 77	1.73	-5012	344	731.55		7646	2.185	6575	4310			12.53	Si
SLU 77	3.73	-1669	212	205.12		2546	2.185	5895	3864			18.25	Si
SLU 81	1.73	-4977	369	789.77		7593	2.185	6568	4305			11.66	Si
SLU 81	3.73	-1644	229	203.09		2508	2.185	5890	3861			16.82	Si
SLU 79	1.73	-5012	344	731.55		7646	2.185	6575	4310			12.53	Si
SLU 79	3.73	-1669	212	205.12		2546	2.185	5895	3864			18.25	Si
SLU 75	1.73	-5012	342	729.05		7647	2.185	6575	4310			12.62	Si
SLU 75	3.73	-1670	209	206.93		2547	2.185	5895	3864			18.47	Si
SLU 82	1.73	-4978	367	787.27		7594	2.185	6568	4305			11.74	Si
SLU 82	3.73	-1645	227	204.91		2509	2.185	5890	3861			17.01	Si
SLU 78	1.73	-5012	342	729.05		7647	2.185	6575	4310			12.62	Si
SLU 78	3.73	-1670	209	206.93		2547	2.185	5895	3864			18.47	Si
SLU 84	1.73	-4978	367	787.27		7594	2.185	6568	4305			11.74	Si
SLU 84	3.73	-1645	227	204.91		2509	2.185	5890	3861			17.01	Si
SLU 74	1.73	-5012	344	731.55		7646	2.185	6575	4310			12.53	Si
SLU 74	3.73	-1669	212	205.12		2546	2.185	5895	3864			18.25	Si
SLU 83	1.73	-4977	369	789.77		7593	2.185	6568	4305			11.66	Si
SLU 83	3.73	-1644	229	203.09		2508	2.185	5890	3861			16.82	Si

Verifica a taglio nel piano secondo D.M. 17-01-18 (N.T.C.) §7.8.2.2.2 con rottura per scorrimento in combinazioni sismiche, $\gamma_M = 2$

Comb.	Quota	N	V par	M	σ_0	σ_N	I'	fvd	Vt scorr.	Vt fess.diag.	Vt,lim	c.s.	Verifica
SLV 4	1.73	-4033	2285	2481.36		9389	1.4319	10211	4387			1.92	Si
SLV 4	3.73	-1100	732	-859.25		3924	0.9347	9118	2557			3.49	Si
SLV 15	1.73	-3429	-1734	-1507.3		5835	1.9589	9500	5583			3.22	Si
SLV 15	3.73	-1380	-458	1128.76		5588	0.8229	9451	2333			5.09	Si
SLV 1	1.73	-4378	2193	2470.9		9211	1.5842	10176	4836			2.2	Si
SLV 1	3.73	-1257	735	-807.58		3103	1.3508	8954	3628			4.94	Si
SLV 14	1.73	-3774	-1826	-1517.76		6074	2.0709	9548	5932			3.25	Si
SLV 14	3.73	-1537	-456	1180.43		5264	0.9731	9386	2740			6.01	Si
SLV 16	1.73	-3429	-1734	-1507.3		5835	1.9589	9500	5583			3.22	Si
SLV 16	3.73	-1380	-458	1128.76		5588	0.8229	9451	2333			5.09	Si
SLV 3	1.73	-4033	2285	2481.36		9389	1.4319	10211	4387			1.92	Si
SLV 3	3.73	-1100	732	-859.25		3924	0.9347	9118	2557			3.49	Si
SLV 13	1.73	-3774	-1826	-1517.76		6074	2.0709	9548	5932			3.25	Si
SLV 13	3.73	-1537	-456	1180.43		5264	0.9731	9386	2740			6.01	Si
SLV 7	1.73	-3420	986	1097.53		5218	2.185	9377	6147			6.24	Si
SLV 7	3.73	-1015	313	-223.72		1548	2.185	8643	5665			18.12	Si
SLV 8	1.73	-3420	986	1097.53		5218	2.185	9377	6147			6.24	Si
SLV 8	3.73	-1015	313	-223.72		1548	2.185	8643	5665			18.12	Si
SLV 2	1.73	-4378	2193	2470.9		9211	1.5842	10176	4836			2.2	Si
SLV 2	3.73	-1257	735	-807.58		3103	1.3508	8954	3628			4.94	Si

Verifica a pressoflessione fuori piano D.M. 17-01-18 (N.T.C.)

quota 2.61 Wa 0.05 denominatore 8 $\gamma_M = 2$

Comb.	fd	Sa	σ_0	N	M	Mc	Coeff.s.	Verifica
SLV 12	143750	0.46	3718	-2437	317.87	354.41	1.11	Si
SLV 11	143750	0.46	3718	-2437	317.87	354.41	1.11	Si
SLV 16	143750	0.46	3869	-2536	317.87	368.4	1.16	Si
SLV 15	143750	0.46	3869	-2536	317.87	368.4	1.16	Si
SLV 8	143750	0.46	3959	-2595	317.87	376.65	1.18	Si
SLV 7	143750	0.46	3959	-2595	317.87	376.65	1.18	Si
SLV 14	143750	0.46	4241	-2780	317.87	402.48	1.27	Si
SLV 13	143750	0.46	4241	-2780	317.87	402.48	1.27	Si
SLV 4	143750	0.46	4674	-3064	317.87	441.96	1.39	Si
SLV 3	143750	0.46	4674	-3064	317.87	441.96	1.39	Si

Verifica dei meccanismi locali di collasso con analisi cinematica lineare

forza di aggancio al piano = 0 quota mezzeria = 2.61 Wa = 0.05 Ta = 0.0787

Comb.	N top	N base	V orto	α_0	M*	e*	a0*	aLim	Verifica
SLV 11	-12	-4600	197	0	452.2	0.997	0	8.8646	No
SLV 6	-113	-5855	-197	0	453.3	0.978	0	8.8646	No
SLV 5	-113	-5855	-197	0	453.3	0.978	0	8.8646	No
SLV 8	-20	-5536	180	0	452.3	0.995	0	8.8646	No
SLV 7	-20	-5536	180	0	452.3	0.995	0	8.8646	No
SLV 12	-12	-4600	197	0	452.2	0.997	0	8.8646	No
SLV 10	-104	-4919	-180	0	453.1	0.979	0.00421	8.8646	No
SLV 9	-104	-4919	-180	0	453.1	0.979	0.00421	8.8646	No
SLV 16	-34	-3620	84	0.042	452.3	0.993	0.61039	7.65071	No
SLV 15	-34	-3620	84	0.042	452.3	0.993	0.61039	7.65071	No

Tabella dei coefficienti di sicurezza minimi

Stato limite	Coeff.s.	Comb.	Verifica
PF_SLU	5.591	SLU 39	Si
V_SLU	11.664	SLU 81	Si
PF_SLV	1.312	SLV 15	Si
V_SLV	1.92	SLV 3	Si
PFFP_SLV	1.115	SLV 11	Si
R_SLV	0	SLV 5	No

Maschio 27

Verifiche condotte secondo D.M. 17-01-18 (N.T.C.)



Dati geometrici

X ini.	Y ini.	X fin.	Y fin.	Quota i.	Quota.s	I	Sp.	h netta	h ini.	h fin.	a	a.s.,sx	a.s.,dx
-8.084	-3.134	-9.099	-3.134	L2	L3	1.015	0.3	3.76	3.76	3.76			

Caratteristiche del materiale

(Circolare 7 21-01-19 C8.5.I) Muratura in mattoni pieni e malta di calce LC2_Corti

fb	fk	fvk0	fmedio	τ0	fv0	μ	φ	fv,lim	E	G	FC
600000			345000	9000	20000	0.58	0.77	32500	320000000	128000000	1.2

Verifica a pressoflessione nel piano secondo D.M. 17-01-18 NTC §7.8.2.2.1 in combinazioni non sismiche, γM = 3

Comb.	Quota	N	M	σ0	Mu	c.s.	Verifica
SLU 32	1.73	-976	-131.03	3206	475.82	3.631	Si
SLU 32	3.63	-538	96.99	1767	267.12	2.754	Si
SLU 36	1.73	-973	-131.09	3197	474.48	3.62	Si
SLU 36	3.63	-538	97.52	1767	267	2.738	Si
SLU 42	1.73	-861	-166.53	2829	421.87	2.533	Si
SLU 42	3.63	-533	111.14	1752	264.82	2.383	Si
SLU 39	1.73	-864	-166.47	2838	423.23	2.542	Si
SLU 39	3.63	-534	110.61	1753	264.93	2.395	Si
SLU 33	1.73	-973	-131.09	3197	474.48	3.62	Si
SLU 33	3.63	-538	97.52	1767	267	2.738	Si
SLU 34	1.73	-971	-131.13	3190	473.59	3.612	Si
SLU 34	3.63	-538	97.87	1766	266.93	2.727	Si
SLU 38	1.73	-973	-131.09	3197	474.48	3.62	Si
SLU 38	3.63	-538	97.52	1767	267	2.738	Si
SLU 41	1.73	-864	-166.47	2838	423.23	2.542	Si
SLU 41	3.63	-534	110.61	1753	264.93	2.395	Si
SLU 31	1.73	-971	-131.13	3190	473.59	3.612	Si
SLU 31	3.63	-538	97.87	1766	266.93	2.727	Si
SLU 40	1.73	-861	-166.53	2829	421.87	2.533	Si
SLU 40	3.63	-533	111.14	1752	264.82	2.383	Si

Verifica a pressoflessione nel piano secondo D.M. 17-01-18 NTC §7.8.2.2.1 in combinazioni sismiche, γM = 2

Comb.	Quota	N	M	σ0	Mu	c.s.	Verifica
SLV 4	1.73	-1634	455.62	5369	792.96	1.74	Si
SLV 4	3.63	45	-360.91	0	0	0	No, Trazione
SLV 14	1.73	-882	-539.13	0	0	0	No, e>1/2
SLV 14	3.63	-1144	486.26	3758	562.78	1.157	Si
SLV 6	1.73	-1916	146.89	6293	922.12	6.277	Si
SLV 6	3.63	-336	-162.61	1105	169.2	1.041	Si
SLV 16	1.73	-582	-560.84	0	0	0	No, e>1/2
SLV 16	3.63	-1163	540.31	3821	571.81	1.058	Si
SLV 15	1.73	-582	-560.84	0	0	0	No, e>1/2
SLV 15	3.63	-1163	540.31	3821	571.81	1.058	Si
SLV 2	1.73	-1934	477.33	6354	930.54	1.949	Si
SLV 2	3.63	64	-414.97	0	0	0	No, Trazione
SLV 3	1.73	-1634	455.62	5369	792.96	1.74	Si
SLV 3	3.63	45	-360.91	0	0	0	No, Trazione
SLV 5	1.73	-1916	146.89	6293	922.12	6.277	Si
SLV 5	3.63	-336	-162.61	1105	169.2	1.041	Si
SLV 13	1.73	-882	-539.13	0	0	0	No, e>1/2
SLV 13	3.63	-1144	486.26	3758	562.78	1.157	Si
SLV 1	1.73	-1934	477.33	6354	930.54	1.949	Si
SLV 1	3.63	64	-414.97	0	0	0	No, Trazione

Verifica a taglio nel piano secondo D.M. 17-01-18 (N.T.C.) §7.8.2.2.2 con rottura per scorrimento in combinazioni non sismiche, γM = 3

Comb.	Quota	N	V par	M	σ0	σN	I'	fvd	Vt scorr.	Vt fess.diag.	Vt,lim	c.s.	Verifica
SLU 40	1.73	-861	-350	-166.53		3047	0.9422	5962	1685			4.81	Si
SLU 40	3.63	-533	-351	111.14		1982	0.8972	5820	1566			4.47	Si
SLU 81	1.73	-1321	-358	-153.79		4340	1.0149	6134	1868			5.22	Si
SLU 81	3.63	-702	-358	119.72		2315	1.0104	5864	1778			4.96	Si
SLU 41	1.73	-864	-349	-166.47		3050	0.9444	5962	1689			4.83	Si
SLU 41	3.63	-534	-349	110.61		1975	0.9004	5819	1572			4.5	Si
SLU 82	1.73	-1318	-359	-153.85		4330	1.0149	6133	1867			5.21	Si
SLU 82	3.63	-701	-359	120.25		2319	1.008	5865	1773			4.94	Si
SLU 39	1.73	-864	-349	-166.47		3050	0.9444	5962	1689			4.83	Si
SLU 39	3.63	-534	-349	110.61		1975	0.9004	5819	1572			4.5	Si
SLU 83	1.73	-1321	-358	-153.79		4340	1.0149	6134	1868			5.22	Si
SLU 83	3.63	-702	-358	119.72		2315	1.0104	5864	1778			4.96	Si
SLU 42	1.73	-861	-350	-166.53		3047	0.9422	5962	1685			4.81	Si
SLU 42	3.63	-533	-351	111.14		1982	0.8972	5820	1566			4.47	Si
SLU 34	1.73	-971	-296	-131.13		3190	1.0149	5981	1821			6.15	Si
SLU 34	3.63	-538	-297	97.87		1836	0.9763	5800	1699			5.72	Si
SLU 84	1.73	-1318	-359	-153.85		4330	1.0149	6133	1867			5.21	Si
SLU 84	3.63	-701	-359	120.25		2319	1.008	5865	1773			4.94	Si
SLU 31	1.73	-971	-296	-131.13		3190	1.0149	5981	1821			6.15	Si
SLU 31	3.63	-538	-297	97.87		1836	0.9763	5800	1699			5.72	Si

Verifica a taglio nel piano secondo D.M. 17-01-18 (N.T.C.) §7.8.2.2.2 con rottura per scorrimento in combinazioni sismiche, γM = 2

Comb.	Quota	N	V par	M	σ0	σN	I'	fvd	Vt scorr.	Vt fess.diag.	Vt,lim	c.s.	Verifica
SLV 6	1.73	-1916	98	146.89		6293	1.0149	9592	2920			29.86	Si
SLV 6	3.63	-336	264	-162.61		15461	0.0725	11425	249			0.94	No, Vu<V
SLV 2	1.73	-1934	811	477.33		8245	0.782	9982	2342			2.89	Si
SLV 2	3.63	64	516	-414.97		0	0	8333	0			0	No, Vu<V
SLV 16	1.73	-582	-1126	-560.84		0	0	8333	0			0	No, Vu<V
SLV 16	3.63	-1163	-831	540.31		30099	0.1288	14353	555			0.67	No, Vu<V
SLV 3	1.73	-1634	834	455.62		7942	0.686	9922	2042			2.45	Si



Comb.	Quota	N	V par	M	σ_0	σ_N	I'	fvd	Vt scorr.	Vt fess.diag.	Vt,lim	c.s.	Verifica
SLV 3	3.63	45	371	-360.91		0	0	8333	0			0	No, Vu<V
SLV 4	1.73	-1634	834	455.62		7942	0.686	9922	2042			2.45	Si
SLV 4	3.63	45	371	-360.91		0	0	8333	0			0	No, Vu<V
SLV 13	1.73	-882	-1150	-539.13		0	0	8333	0			0	No, Vu<V
SLV 13	3.63	-1144	-686	486.26		15414	0.2475	11416	847			1.23	Si
SLV 15	1.73	-582	-1126	-560.84		0	0	8333	0			0	No, Vu<V
SLV 15	3.63	-1163	-831	540.31		30099	0.1288	14353	555			0.67	No, Vu<V
SLV 1	1.73	-1934	811	477.33		8245	0.782	9982	2342			2.89	Si
SLV 1	3.63	64	516	-414.97		0	0	8333	0			0	No, Vu<V
SLV 14	1.73	-882	-1150	-539.13		0	0	8333	0			0	No, Vu<V
SLV 14	3.63	-1144	-686	486.26		15414	0.2475	11416	847			1.23	Si
SLV 5	1.73	-1916	98	146.89		6293	1.0149	9592	2920			29.86	Si
SLV 5	3.63	-336	264	-162.61		15461	0.0725	11425	249			0.94	No, Vu<V

Verifica a pressoflessione fuori piano D.M. 17-01-18 (N.T.C.)

quota 2.61 Wa 0.05 denominatore 8 $\gamma_M = 2$

Comb.	fd	Sa	σ_0	N	M	Mc	Coeff.s.	Verifica
SLV 4	143750	0.46	0	-824	147.64	0	0	No, $e>t/2$
SLV 12	143750	0.46	0	-899	147.64	0	0	No, $e>t/2$
SLV 2	143750	0.46	0	-937	147.64	0	0	No, $e>t/2$
SLV 8	143750	0.46	0	-803	147.64	0	0	No, $e>t/2$
SLV 11	143750	0.46	0	-899	147.64	0	0	No, $e>t/2$
SLV 3	143750	0.46	0	-824	147.64	0	0	No, $e>t/2$
SLV 7	143750	0.46	0	-803	147.64	0	0	No, $e>t/2$
SLV 1	143750	0.46	0	-937	147.64	0	0	No, $e>t/2$
SLV 16	143750	0.46	3755	-1143	147.64	166.22	1.13	Si
SLV 15	143750	0.46	3755	-1143	147.64	166.22	1.13	Si

Verifica dei meccanismi locali di collasso con analisi cinematica lineare

forza di aggancio al piano = 0 quota mezzeria = 2.61 Wa = 0.05 Ta = 0.0787

Comb.	N top	N base	V orto	σ_0	M*	e*	α_0^*	α_{Lim}	Verifica
SLV 13	-46	-2017	127	0	210.4	0.98	0	7.65071	No
SLV 14	-46	-2017	127	0	210.4	0.98	0	7.65071	No
SLV 8	44	-1100	-60	0	0	0	0	8.8646	No, Trazione
SLV 11	26	-1288	12	0	0	0	0	8.8646	No, Trazione
SLV 3	36	-1156	-127	0	0	0	0	7.65071	No, Trazione
SLV 7	44	-1100	-60	0	0	0	0	8.8646	No, Trazione
SLV 2	12	-1391	-113	0	0	0	0	7.65071	No, Trazione
SLV 4	36	-1156	-127	0	0	0	0	7.65071	No, Trazione
SLV 12	26	-1288	12	0	0	0	0	8.8646	No, Trazione
SLV 1	12	-1391	-113	0	0	0	0	7.65071	No, Trazione

Tabella dei coefficienti di sicurezza minimi

Stato limite	Coeff.s.	Comb.	Verifica
PF_SLU	2.383	SLU 40	Si
V_SLU	4.465	SLU 40	Si
PF_SLV	0	SLV 4	No
V_SLV	0	SLV 1	No
PFFP_SLV	0	SLV 1	No
R_SLV	0	SLV 12	No

Maschio 28

Verifiche condotte secondo D.M. 17-01-18 (N.T.C.)

Dati geometrici

X ini.	Y ini.	X fin.	Y fin.	Quota i.	Quota.s	I	Sp.	h netta	h ini.	h fin.	a	a.s.,sx	a.s.,dx
-8.084	1.355	-20.545	1.355	L2	L3	12.46	0.3	3.76	3.76	3.76			

Caratteristiche del materiale

(Circolare 7 21-01-19 C8.5.I) Muratura in mattoni pieni e malta di calce LC2_Corti

fb	fk	fvk0	fmedio	τ_0	fv0	μ	ϕ	fv,lim	E	G	FC
600000			345000	9000	20000	0.58	0.77	32500	320000000	128000000	1.2

Verifica a pressoflessione nel piano secondo D.M. 17-01-18 NTC §7.8.2.2.1 in combinazioni non sismiche, $\gamma_M = 3$

Comb.	Quota	N	M	σ_0	Mu	c.s.	Verifica
SLU 40	0.73	-25911	27518.07	6931	147693.67	5.367	Si
SLU 40	4.49	-54	491.31	0	0	0	No, $e>l/2$
SLU 38	0.73	-26933	26437.49	7205	152959.53	5.786	Si
SLU 38	4.49	-65	475.55	0	0	0	No, $e>l/2$
SLU 34	0.73	-27148	26881.53	7263	154061.33	5.731	Si
SLU 34	4.49	-72	492.86	0	0	0	No, $e>l/2$
SLU 42	0.73	-25911	27518.07	6931	147693.67	5.367	Si
SLU 42	4.49	-54	491.31	0	0	0	No, $e>l/2$
SLU 33	0.73	-26933	26437.49	7205	152959.53	5.786	Si
SLU 33	4.49	-65	475.55	0	0	0	No, $e>l/2$
SLU 36	0.73	-26933	26437.49	7205	152959.53	5.786	Si
SLU 36	4.49	-65	475.55	0	0	0	No, $e>l/2$
SLU 39	0.73	-25588	26852.02	6845	146023.91	5.438	Si
SLU 39	4.49	-43	465.34	0	0	0	No, $e>l/2$
SLU 35	0.73	-26611	25771.45	7119	151303.27	5.871	Si
SLU 35	4.49	-54	449.59	0	0	0	No, $e>l/2$
SLU 37	0.73	-26611	25771.45	7119	151303.27	5.871	Si
SLU 37	4.49	-54	449.59	0	0	0	No, $e>l/2$



Comb.	Quota	N	M	σ_0	Mu	c.s.	Verifica
SLV 41	0.73	-25588	26852.02	6845	146023.91	5.438	Si
SLV 41	4.49	-43	465.34	0	0	0	No, $e \geq 1/2$

Verifica a pressoflessione nel piano secondo D.M. 17-01-18 NTC §7.8.2.2.1 in combinazioni sismiche, $\gamma_M = 2$

Comb.	Quota	N	M	σ_0	Mu	c.s.	Verifica
SLV 2	0.73	-32856	42367.33	8789	189974.29	4.484	Si
SLV 2	4.49	-86	1057.08	0	0	0	No, $e \geq 1/2$
SLV 4	0.73	-30678	44905.65	8207	178296.37	3.97	Si
SLV 4	4.49	-33	1036.2	0	0	0	No, $e \geq 1/2$
SLV 12	0.73	-24779	21107.92	6629	146001.1	6.917	Si
SLV 12	4.49	2	184.13	0	0	0	No, Trazione
SLV 1	0.73	-32856	42367.33	8789	189974.29	4.484	Si
SLV 1	4.49	-86	1057.08	0	0	0	No, $e \geq 1/2$
SLV 11	0.73	-24779	21107.92	6629	146001.1	6.917	Si
SLV 11	4.49	2	184.13	0	0	0	No, Trazione
SLV 6	0.73	-33587	24997.21	8985	193865.91	7.756	Si
SLV 6	4.49	-163	635.74	44	1015.29	1.597	Si
SLV 7	0.73	-26329	33458.27	7043	154581.33	4.62	Si
SLV 7	4.49	14	566.15	0	0	0	No, Trazione
SLV 8	0.73	-26329	33458.27	7043	154581.33	4.62	Si
SLV 8	4.49	14	566.15	0	0	0	No, Trazione
SLV 5	0.73	-33587	24997.21	8985	193865.91	7.756	Si
SLV 5	4.49	-163	635.74	44	1015.29	1.597	Si
SLV 3	0.73	-30678	44905.65	8207	178296.37	3.97	Si
SLV 3	4.49	-33	1036.2	0	0	0	No, $e \geq 1/2$

Verifica a taglio nel piano secondo D.M. 17-01-18 (N.T.C.) §7.8.2.2.2 con rottura per scorrimento in combinazioni non sismiche, $\gamma_M = 3$

Comb.	Quota	N	V par	M	σ_0	σ_N	I'	fvd	Vt scorr.	Vt fess.diag.	Vt,lim	c.s.	Verifica
SLU 33	0.73	-26933	152	26437.49		7205	12.4605	6516	24359			160.26	Si
SLU 33	4.49	-65	-4	475.55		0	0	5556	0			0	No, $V_u < V$
SLU 36	0.73	-26933	152	26437.49		7205	12.4605	6516	24359			160.26	Si
SLU 36	4.49	-65	-4	475.55		0	0	5556	0			0	No, $V_u < V$
SLU 34	0.73	-27148	151	26881.53		7263	12.4605	6524	24387			161.92	Si
SLU 34	4.49	-72	-4	492.86		0	0	5556	0			0	No, $V_u < V$
SLU 35	0.73	-26611	154	25771.45		7119	12.4605	6505	24316			157.84	Si
SLU 35	4.49	-54	-4	449.59		0	0	5556	0			0	No, $V_u < V$
SLU 41	0.73	-25588	159	26852.02		6845	12.4605	6468	24179			151.81	Si
SLU 41	4.49	-43	-4	465.34		0	0	5556	0			0	No, $V_u < V$
SLU 38	0.73	-26933	152	26437.49		7205	12.4605	6516	24359			160.26	Si
SLU 38	4.49	-65	-4	475.55		0	0	5556	0			0	No, $V_u < V$
SLU 42	0.73	-25911	157	27518.07		6931	12.4605	6480	24222			154.08	Si
SLU 42	4.49	-54	-4	491.31		0	0	5556	0			0	No, $V_u < V$
SLU 37	0.73	-26611	154	25771.45		7119	12.4605	6505	24316			157.84	Si
SLU 37	4.49	-54	-4	449.59		0	0	5556	0			0	No, $V_u < V$
SLU 40	0.73	-25911	157	27518.07		6931	12.4605	6480	24222			154.08	Si
SLU 40	4.49	-54	-4	491.31		0	0	5556	0			0	No, $V_u < V$
SLU 39	0.73	-25588	159	26852.02		6845	12.4605	6468	24179			151.81	Si
SLU 39	4.49	-43	-4	465.34		0	0	5556	0			0	No, $V_u < V$

Verifica a taglio nel piano secondo D.M. 17-01-18 (N.T.C.) §7.8.2.2.2 con rottura per scorrimento in combinazioni sismiche, $\gamma_M = 2$

Comb.	Quota	N	V par	M	σ_0	σ_N	I'	fvd	Vt scorr.	Vt fess.diag.	Vt,lim	c.s.	Verifica
SLV 8	0.73	-26329	2787	33458.27		7043	12.4605	9742	36417			13.07	Si
SLV 8	4.49	14	246	566.15		0	0	8333	0			0	No, $V_u < V$
SLV 12	0.73	-24779	-2195	21107.92		6629	12.4605	9659	36107			16.45	Si
SLV 12	4.49	2	-91	184.13		0	0	8333	0			0	No, $V_u < V$
SLV 2	0.73	-32856	8398	42367.33		8789	12.4605	10091	37722			4.49	Si
SLV 2	4.49	-86	534	1057.08		0	0	8333	0			0	No, $V_u < V$
SLV 7	0.73	-26329	2787	33458.27		7043	12.4605	9742	36417			13.07	Si
SLV 7	4.49	14	246	566.15		0	0	8333	0			0	No, $V_u < V$
SLV 3	0.73	-30678	8491	44905.65		8207	12.4605	9975	37287			4.39	Si
SLV 3	4.49	-33	583	1036.2		0	0	8333	0			0	No, $V_u < V$
SLV 11	0.73	-24779	-2195	21107.92		6629	12.4605	9659	36107			16.45	Si
SLV 11	4.49	2	-91	184.13		0	0	8333	0			0	No, $V_u < V$
SLV 15	0.73	-25509	-8116	3737.79		6824	12.4605	9698	36253			4.47	Si
SLV 15	4.49	-75	-542	-237.2		27	9.1997	8339	23014			42.49	Si
SLV 4	0.73	-30678	8491	44905.65		8207	12.4605	9975	37287			4.39	Si
SLV 4	4.49	-33	583	1036.2		0	0	8333	0			0	No, $V_u < V$
SLV 1	0.73	-32856	8398	42367.33		8789	12.4605	10091	37722			4.49	Si
SLV 1	4.49	-86	534	1057.08		0	0	8333	0			0	No, $V_u < V$
SLV 16	0.73	-25509	-8116	3737.79		6824	12.4605	9698	36253			4.47	Si
SLV 16	4.49	-75	-542	-237.2		27	9.1997	8339	23014			42.49	Si

Verifica a pressoflessione fuori piano D.M. 17-01-18 (N.T.C.)

quota 2.61 Wa 0.05 denominatore 8 $\gamma_M = 2$

Comb.	fd	Sa	σ_0	N	M	Mc	Coeff.s.	Verifica
SLV 11	143750	0.46	3278	-12252	1812.74	1788.56	0.99	No, $M > M_u$
SLV 12	143750	0.46	3278	-12252	1812.74	1788.56	0.99	No, $M > M_u$
SLV 8	143750	0.46	3390	-12671	1812.74	1847.87	1.02	Si
SLV 7	143750	0.46	3390	-12671	1812.74	1847.87	1.02	Si
SLV 15	143750	0.46	3511	-13124	1812.74	1912.03	1.05	Si
SLV 16	143750	0.46	3511	-13124	1812.74	1912.03	1.05	Si
SLV 13	143750	0.46	3823	-14289	1812.74	2076.34	1.15	Si
SLV 14	143750	0.46	3823	-14289	1812.74	2076.34	1.15	Si
SLV 4	143750	0.46	3884	-14518	1812.74	2108.51	1.16	Si
SLV 3	143750	0.46	3884	-14518	1812.74	2108.51	1.16	Si



Verifica dei meccanismi locali di collasso con analisi cinematica lineare

forza di aggancio al piano = 0 quota mezzera = 2.61 Wa = 0.05 Ta = 0.0787

Comb.	N top	N base	V orto	α0	M*	e*	a0*	aLim	Verifica
SLV 12	2	-24779	223	0	0	0	0	8.8646	No, Trazione
SLV 7	14	-26329	226	0	0	0	0	8.8646	No, Trazione
SLV 8	14	-26329	226	0	0	0	0	8.8646	No, Trazione
SLV 11	2	-24779	223	0	0	0	0	8.8646	No, Trazione
SLV 9	-176	-32036	-226	0.062	2579.5	0.993	0.90106	8.8646	No
SLV 10	-176	-32036	-226	0.062	2579.5	0.993	0.90106	8.8646	No
SLV 5	-163	-33587	-224	0.062	2579.4	0.994	0.90387	8.8646	No
SLV 6	-163	-33587	-224	0.062	2579.4	0.994	0.90387	8.8646	No
SLV 13	-128	-27687	-72	0.074	2579.2	0.995	1.07708	7.65071	No
SLV 14	-128	-27687	-72	0.074	2579.2	0.995	1.07708	7.65071	No

Tabella dei coefficienti di sicurezza minimi

Stato limite	Coeff.s.	Comb.	Verifica
PF_SLU	0	SLU 11	No
V_SLU	0	SLU 11	No
PF_SLV	0	SLV 12	No
V_SLV	0	SLV 1	No
PFFP_SLV	0.987	SLV 11	No
R_SLV	0	SLV 12	No

Maschio 29

Verifiche condotte secondo D.M. 17-01-18 (N.T.C.)

Dati geometrici

X ini.	Y ini.	X fin.	Y fin.	Quota i.	Quota.s	l	Sp.	h netta	h ini.	h fin.	a	a.s.,sx	a.s.,dx
-18.769	5.825	-20.545	5.825	L2	L3	1.775	0.3	3.76	3.76	3.76			

Caratteristiche del materiale

(Circolare 7 21-01-19 C8.5.I) Muratura in mattoni pieni e malta di calce LC2_Corti

fb	fk	fvk0	fmedio	τ0	fv0	μ	φ	fv,lim	E	G	FC
600000			345000	9000	20000	0.58	0.77	32500	320000000	128000000	1.2

Verifica a pressoflessione nel piano secondo D.M. 17-01-18 NTC §7.8.2.2.1 in combinazioni non sismiche, γM = 3

Comb.	Quota	N	M	σ0	Mu	c.s.	Verifica
SLU 13	1.73	-2710	1551.53	5088	2255.11	1.453	Si
SLU 13	3.63	-858	67.97	1611	746.62	10.985	Si
SLU 34	1.73	-2653	1605.85	4982	2211.33	1.377	Si
SLU 34	3.63	-853	60.64	1601	742.11	12.238	Si
SLU 73	1.73	-3629	1764.66	6814	2951.94	1.673	Si
SLU 73	3.63	-1168	48.07	2193	1009.03	20.99	Si
SLU 5	1.73	-2819	1445.58	5293	2339.88	1.619	Si
SLU 5	3.63	-868	82.21	1630	755.4	9.189	Si
SLU 2	1.73	-2819	1445.58	5293	2339.88	1.619	Si
SLU 2	3.63	-868	82.21	1630	755.4	9.189	Si
SLU 10	1.73	-2710	1551.53	5088	2255.11	1.453	Si
SLU 10	3.63	-858	67.97	1611	746.62	10.985	Si
SLU 26	1.73	-2763	1499.9	5188	2296.36	1.531	Si
SLU 26	3.63	-863	74.88	1620	750.89	10.028	Si
SLU 31	1.73	-2653	1605.85	4982	2211.33	1.377	Si
SLU 31	3.63	-853	60.64	1601	742.11	12.238	Si
SLU 76	1.73	-3629	1764.66	6814	2951.94	1.673	Si
SLU 76	3.63	-1168	48.07	2193	1009.03	20.99	Si
SLU 23	1.73	-2763	1499.9	5188	2296.36	1.531	Si
SLU 23	3.63	-863	74.88	1620	750.89	10.028	Si

Verifica a pressoflessione nel piano secondo D.M. 17-01-18 NTC §7.8.2.2.1 in combinazioni sismiche, γM = 2

Comb.	Quota	N	M	σ0	Mu	c.s.	Verifica
SLV 6	1.73	-1098	5634.82	0	0	0	No, e>1/2
SLV 6	3.63	-286	441.99	0	0	0	No, e>1/2
SLV 12	1.73	-5183	-4360.33	9732	4234.42	0.971	No, M>Mu
SLV 12	3.63	-1796	-554.84	3371	1549.9	2.793	Si
SLV 14	1.73	-3301	-242.94	6197	2781.42	11.449	Si
SLV 14	3.63	-127	363.01	0	0	0	No, e>1/2
SLV 9	1.73	-1523	4325.03	0	0	0	No, e>1/2
SLV 9	3.63	92	590.56	0	0	0	No, Trazione
SLV 5	1.73	-1098	5634.82	0	0	0	No, e>1/2
SLV 5	3.63	-286	441.99	0	0	0	No, e>1/2
SLV 1	1.73	-1882	4123.03	0	0	0	No, e>1/2
SLV 1	3.63	-1388	-132.25	2606	1205.97	9.119	Si
SLV 11	1.73	-5183	-4360.33	9732	4234.42	0.971	No, M>Mu
SLV 11	3.63	-1796	-554.84	3371	1549.9	2.793	Si
SLV 10	1.73	-1523	4325.03	0	0	0	No, e>1/2
SLV 10	3.63	92	590.56	0	0	0	No, Trazione
SLV 13	1.73	-3301	-242.94	6197	2781.42	11.449	Si
SLV 13	3.63	-127	363.01	0	0	0	No, e>1/2
SLV 2	1.73	-1882	4123.03	0	0	0	No, e>1/2
SLV 2	3.63	-1388	-132.25	2606	1205.97	9.119	Si

Verifica a taglio nel piano secondo D.M. 17-01-18 (N.T.C.) §7.8.2.2.2 con rottura per scorrimento in combinazioni non sismiche, γM = 3

Comb.	Quota	N	V par	M	σ0	σN	l'	fvd	Vt scorr.	Vt fess.diag.	Vt,lim	c.s.	Verifica
-------	-------	---	-------	---	----	----	----	-----	-----------	---------------	--------	------	----------



Comb.	Quota	N	V par	M	σ_0	σ_N	I'	fvd	Vt scorr.	Vt fess.diag.	Vt,lim	c.s.	Verifica
SLU 55	1.73	-3685	873	1710.34		9667	1.2707	6845	2609			2.99	Si
SLU 55	3.63	-1173	882	55.4		2203	1.7753	5849	3115			3.53	Si
SLU 52	1.73	-3685	873	1710.34		9667	1.2707	6845	2609			2.99	Si
SLU 52	3.63	-1173	882	55.4		2203	1.7753	5849	3115			3.53	Si
SLU 13	1.73	-2710	817	1551.53		9555	0.9453	6830	1937			2.37	Si
SLU 13	3.63	-858	830	67.97		1611	1.7753	5770	3073			3.7	Si
SLU 31	1.73	-2653	874	1605.85		10437	0.8474	6947	1766			2.02	Si
SLU 31	3.63	-853	886	60.64		1601	1.7753	5769	3073			3.47	Si
SLU 23	1.73	-2763	763	1499.9		8903	1.0344	6743	2092			2.74	Si
SLU 23	3.63	-863	777	74.88		1620	1.7753	5772	3074			3.96	Si
SLU 10	1.73	-2710	817	1551.53		9555	0.9453	6830	1937			2.37	Si
SLU 10	3.63	-858	830	67.97		1611	1.7753	5770	3073			3.7	Si
SLU 26	1.73	-2763	763	1499.9		8903	1.0344	6743	2092			2.74	Si
SLU 26	3.63	-863	777	74.88		1620	1.7753	5772	3074			3.96	Si
SLU 73	1.73	-3629	929	1764.66		10045	1.2042	6895	2491			2.68	Si
SLU 73	3.63	-1168	938	48.07		2193	1.7753	5848	3115			3.32	Si
SLU 34	1.73	-2653	874	1605.85		10437	0.8474	6947	1766			2.02	Si
SLU 34	3.63	-853	886	60.64		1601	1.7753	5769	3073			3.47	Si
SLU 76	1.73	-3629	929	1764.66		10045	1.2042	6895	2491			2.68	Si
SLU 76	3.63	-1168	938	48.07		2193	1.7753	5848	3115			3.32	Si

Verifica a taglio nel piano secondo D.M. 17-01-18 (N.T.C.) §7.8.2.2.2 con rottura per scorrimento in combinazioni sismiche, $\gamma_M = 2$

Comb.	Quota	N	V par	M	σ_0	σ_N	I'	fvd	Vt scorr.	Vt fess.diag.	Vt,lim	c.s.	Verifica
SLV 9	1.73	-1523	2470	4325.03		0	0	8333	0			0	No, Vu<V
SLV 9	3.63	92	2538	590.56		0	0	8333	0			0	No, Vu<V
SLV 5	1.73	-1098	3717	5634.82		0	0	8333	0			0	No, Vu<V
SLV 5	3.63	-286	3024	441.99		0	0	8333	0			0	No, Vu<V
SLV 6	1.73	-1098	3717	5634.82		0	0	8333	0			0	No, Vu<V
SLV 6	3.63	-286	3024	441.99		0	0	8333	0			0	No, Vu<V
SLV 10	1.73	-1523	2470	4325.03		0	0	8333	0			0	No, Vu<V
SLV 10	3.63	92	2538	590.56		0	0	8333	0			0	No, Vu<V
SLV 13	1.73	-3301	-942	-242.94		6197	1.7753	9573	5099			5.42	Si
SLV 13	3.63	-127	224	363.01		0	0	8333	0			0	No, Vu<V
SLV 1	1.73	-1882	3215	4123.03		0	0	8333	0			0	No, Vu<V
SLV 1	3.63	-1388	1846	-132.25		2606	1.7753	8855	4716			2.56	Si
SLV 14	1.73	-3301	-942	-242.94		6197	1.7753	9573	5099			5.42	Si
SLV 14	3.63	-127	224	363.01		0	0	8333	0			0	No, Vu<V
SLV 11	1.73	-5183	-3122	-4360.33		124101	0.1392	16250	679			0.22	No, Vu<V
SLV 11	3.63	-1796	-2451	-554.84		3448	1.736	9023	4699			1.92	Si
SLV 2	1.73	-1882	3215	4123.03		0	0	8333	0			0	No, Vu<V
SLV 2	3.63	-1388	1846	-132.25		2606	1.7753	8855	4716			2.56	Si
SLV 12	1.73	-5183	-3122	-4360.33		124101	0.1392	16250	679			0.22	No, Vu<V
SLV 12	3.63	-1796	-2451	-554.84		3448	1.736	9023	4699			1.92	Si

Verifica a pressoflessione fuori piano D.M. 17-01-18 (N.T.C.)

quota 2.61 Wa 0.05 denominatore 8 $\gamma_M = 2$

Comb.	fd	Sa	σ_0	N	M	Mc	Coeff.s.	Verifica
SLV 1	143750	0.46	0	-1425	258.28	0	0	No, e>t/2
SLV 2	143750	0.46	0	-1425	258.28	0	0	No, e>t/2
SLV 9	143750	0.46	0	-805	258.28	0	0	No, e>t/2
SLV 6	143750	0.46	0	-588	258.28	0	0	No, e>t/2
SLV 5	143750	0.46	0	-588	258.28	0	0	No, e>t/2
SLV 10	143750	0.46	0	-805	258.28	0	0	No, e>t/2
SLV 13	143750	0.46	4032	-2148	258.28	311.51	1.21	Si
SLV 14	143750	0.46	4032	-2148	258.28	311.51	1.21	Si
SLV 3	143750	0.46	4429	-2359	258.28	340.98	1.32	Si
SLV 4	143750	0.46	4429	-2359	258.28	340.98	1.32	Si

Verifica dei meccanismi locali di collasso con analisi cinematica lineare

forza di aggancio al piano = 0 quota mezzera = 2.61 Wa = 0.05 Ta = 0.0787

Comb.	N top	N base	V orto	α_0	M*	e*	α_0^*	α_{lim}	Verifica
SLV 10	86	-2666	38	0	0	0	0	8.8646	No, Trazione
SLV 5	94	-4210	-50	0	0	0	0	8.8646	No, Trazione
SLV 15	-63	-1908	149	0	367.9	0.984	0	7.65071	No
SLV 16	-63	-1908	149	0	367.9	0.984	0	7.65071	No
SLV 6	94	-4210	-50	0	0	0	0	8.8646	No, Trazione
SLV 9	86	-2666	38	0	0	0	0	8.8646	No, Trazione
SLV 2	29	-6573	-149	0	0	0	0	7.65071	No, Trazione
SLV 1	29	-6573	-149	0	0	0	0	7.65071	No, Trazione
SLV 13	1	-1427	145	0	0	0	0	7.65071	No, Trazione
SLV 14	1	-1427	145	0	0	0	0	7.65071	No, Trazione

Tabella dei coefficienti di sicurezza minimi

Stato limite	Coeff.s.	Comb.	Verifica
PF_SLU	1.377	SLU 31	Si
V_SLU	2.022	SLU 31	Si
PF_SLV	0	SLV 10	No
V_SLV	0	SLV 1	No
PFFP_SLV	0	SLV 1	No
R_SLV	0	SLV 14	No

Maschio 30

Verifiche condotte secondo D.M. 17-01-18 (N.T.C.)



Dati geometrici

X ini.	Y ini.	X fin.	Y fin.	Quota i.	Quota.s	l	Sp.	h netta	h ini.	h fin.	a	a.s.,sx	a.s.,dx
-14.879	5.825	-17.769	5.825	L2	L3	2.89	0.3	3.76	3.76	3.76			

Caratteristiche del materiale

(Circolare 7 21-01-19 C8.5.I) Muratura in mattoni pieni e malta di calce LC2_Corti

fb	fk	fvk0	fmedio	τ_0	fv0	μ	ϕ	fv,lim	E	G	FC
600000			345000	9000	20000	0.58	0.77	32500	320000000	128000000	1.2

Verifica a pressoflessione nel piano secondo D.M. 17-01-18 NTC §7.8.2.2.1 in combinazioni non sismiche, $\gamma_M = 3$

Comb.	Quota	N	M	σ_0	Mu	c.s.	Verifica
SLU 5	1.73	-5455	-2561.7	6292	7273.52	2.839	Si
SLU 5	3.63	-2034	-489.07	2346	2854.88	5.837	Si
SLU 13	1.73	-5373	-2574.02	6197	7172.73	2.787	Si
SLU 13	3.63	-2000	-523.54	2307	2807.97	5.363	Si
SLU 10	1.73	-5373	-2574.02	6197	7172.73	2.787	Si
SLU 10	3.63	-2000	-523.54	2307	2807.97	5.363	Si
SLU 76	1.73	-7050	-2836.91	8131	9170.29	3.232	Si
SLU 76	3.63	-2598	-597.72	2997	3616.47	6.05	Si
SLU 34	1.73	-5330	-2580.37	6148	7121.06	2.76	Si
SLU 34	3.63	-1982	-541.25	2286	2783.92	5.143	Si
SLU 26	1.73	-5413	-2568.05	6243	7221.98	2.812	Si
SLU 26	3.63	-2017	-506.78	2326	2830.85	5.586	Si
SLU 23	1.73	-5413	-2568.05	6243	7221.98	2.812	Si
SLU 23	3.63	-2017	-506.78	2326	2830.85	5.586	Si
SLU 73	1.73	-7050	-2836.91	8131	9170.29	3.232	Si
SLU 73	3.63	-2598	-597.72	2997	3616.47	6.05	Si
SLU 2	1.73	-5455	-2561.7	6292	7273.52	2.839	Si
SLU 2	3.63	-2034	-489.07	2346	2854.88	5.837	Si
SLU 31	1.73	-5330	-2580.37	6148	7121.06	2.76	Si
SLU 31	3.63	-1982	-541.25	2286	2783.92	5.143	Si

Verifica a pressoflessione nel piano secondo D.M. 17-01-18 NTC §7.8.2.2.1 in combinazioni sismiche, $\gamma_M = 2$

Comb.	Quota	N	M	σ_0	Mu	c.s.	Verifica
SLV 13	1.73	-3912	-8924.39	0	0	0	No, $e \geq l/2$
SLV 13	3.63	-759	656.44	876	1089.53	1.66	Si
SLV 11	1.73	-3063	11465.44	0	0	0	No, $e \geq l/2$
SLV 11	3.63	-1665	2667.45	0	0	0	No, $e \geq l/2$
SLV 14	1.73	-3912	-8924.39	0	0	0	No, $e \geq l/2$
SLV 14	3.63	-759	656.44	876	1089.53	1.66	Si
SLV 5	1.73	-8233	-13200.84	0	0	0	No, $e \geq l/2$
SLV 5	3.63	-2372	-3114.19	2736	3350.7	1.076	Si
SLV 6	1.73	-8233	-13200.84	0	0	0	No, $e \geq l/2$
SLV 6	3.63	-2372	-3114.19	2736	3350.7	1.076	Si
SLV 10	1.73	-6850	-15599.05	0	0	0	No, $e \geq l/2$
SLV 10	3.63	-1620	-2152.51	1869	2305.71	1.071	Si
SLV 8	1.73	-4446	13863.65	0	0	0	No, $e \geq l/2$
SLV 8	3.63	-2417	1705.77	2788	3412.8	2.001	Si
SLV 9	1.73	-6850	-15599.05	0	0	0	No, $e \geq l/2$
SLV 9	3.63	-1620	-2152.51	1869	2305.71	1.071	Si
SLV 7	1.73	-4446	13863.65	0	0	0	No, $e \geq l/2$
SLV 7	3.63	-2417	1705.77	2788	3412.8	2.001	Si
SLV 12	1.73	-3063	11465.44	0	0	0	No, $e \geq l/2$
SLV 12	3.63	-1665	2667.45	0	0	0	No, $e \geq l/2$

Verifica a taglio nel piano secondo D.M. 17-01-18 (N.T.C.) §7.8.2.2.2 con rottura per scorrimento in combinazioni non sismiche, $\gamma_M = 3$

Comb.	Quota	N	V par	M	σ_0	σ_N	I'	fvd	Vt scorr.	Vt fess.diag.	Vt,lim	c.s.	Verifica
SLU 2	1.73	-5455	-1041	-2561.7	6292	2.89	6394	5544				5.33	Si
SLU 2	3.63	-2034	-1039	-489.07	2346	2.89	5868	5088				4.9	Si
SLU 52	1.73	-7092	-1115	-2830.56	8180	2.89	6646	5762				5.17	Si
SLU 52	3.63	-2616	-1113	-580	3017	2.89	5958	5165				4.64	Si
SLU 65	1.73	-7132	-1117	-2824.59	8226	2.89	6652	5768				5.16	Si
SLU 65	3.63	-2633	-1114	-563.25	3037	2.89	5960	5168				4.64	Si
SLU 76	1.73	-7050	-1113	-2836.91	8131	2.89	6640	5757				5.17	Si
SLU 76	3.63	-2598	-1111	-597.72	2997	2.89	5955	5163				4.65	Si
SLU 73	1.73	-7050	-1113	-2836.91	8131	2.89	6640	5757				5.17	Si
SLU 73	3.63	-2598	-1111	-597.72	2997	2.89	5955	5163				4.65	Si
SLU 47	1.73	-7174	-1119	-2818.24	8275	2.89	6659	5773				5.16	Si
SLU 47	3.63	-2650	-1116	-545.53	3057	2.89	5963	5170				4.63	Si
SLU 44	1.73	-7174	-1119	-2818.24	8275	2.89	6659	5773				5.16	Si
SLU 44	3.63	-2650	-1116	-545.53	3057	2.89	5963	5170				4.63	Si
SLU 55	1.73	-7092	-1115	-2830.56	8180	2.89	6646	5762				5.17	Si
SLU 55	3.63	-2616	-1113	-580	3017	2.89	5958	5165				4.64	Si
SLU 68	1.73	-7132	-1117	-2824.59	8226	2.89	6652	5768				5.16	Si
SLU 68	3.63	-2633	-1114	-563.25	3037	2.89	5960	5168				4.64	Si
SLU 5	1.73	-5455	-1041	-2561.7	6292	2.89	6394	5544				5.33	Si
SLU 5	3.63	-2034	-1039	-489.07	2346	2.89	5868	5088				4.9	Si

Verifica a taglio nel piano secondo D.M. 17-01-18 (N.T.C.) §7.8.2.2.2 con rottura per scorrimento in combinazioni sismiche, $\gamma_M = 2$

Comb.	Quota	N	V par	M	σ_0	σ_N	I'	fvd	Vt scorr.	Vt fess.diag.	Vt,lim	c.s.	Verifica
SLV 6	1.73	-8233	-5649	-13200.84	0	0	8333	1465	0			0	No, $V_u < V$
SLV 6	3.63	-2372	-4923	-3114.19	19956	0.3962	12325	1465	0			0.3	No, $V_u < V$
SLV 9	1.73	-6850	-7577	-15599.05	0	0	8333	0	0			0	No, $V_u < V$
SLV 9	3.63	-1620	-6092	-2152.51	15436	0.3499	11420	1199	0			0.2	No, $V_u < V$
SLV 5	1.73	-8233	-5649	-13200.84	0	0	8333	0	0			0	No, $V_u < V$
SLV 5	3.63	-2372	-4923	-3114.19	19956	0.3962	12325	1465	0			0.3	No, $V_u < V$
SLV 12	1.73	-3063	5136	11465.44	0	0	8333	0	0			0	No, $V_u < V$



Comb.	Quota	N	V par	M	σ_0	σ_N	I'	fvd	Vt scorr.	Vt fess.diag.	Vt,lim	c.s.	Verifica
SLV 12	3.63	-1665	4416	2667.45		0	0	8333	0			0	No, Vu<V
SLV 13	1.73	-3912	-5377	-8924.39		0	0	8333	0			0	No, Vu<V
SLV 13	3.63	-759	-3778	656.44		1453	1.7419	8624	4507			1.19	Si
SLV 8	1.73	-4446	7064	13863.65		0	0	8333	0			0	No, Vu<V
SLV 8	3.63	-2417	5585	1705.77		3633	2.2177	9060	6028			1.08	Si
SLV 7	1.73	-4446	7064	13863.65		0	0	8333	0			0	No, Vu<V
SLV 7	3.63	-2417	5585	1705.77		3633	2.2177	9060	6028			1.08	Si
SLV 14	1.73	-3912	-5377	-8924.39		0	0	8333	0			0	No, Vu<V
SLV 14	3.63	-759	-3778	656.44		1453	1.7419	8624	4507			1.19	Si
SLV 11	1.73	-3063	5136	11465.44		0	0	8333	0			0	No, Vu<V
SLV 11	3.63	-1665	4416	2667.45		0	0	8333	0			0	No, Vu<V
SLV 10	1.73	-6850	-7577	-15599.05		0	0	8333	0			0	No, Vu<V
SLV 10	3.63	-1620	-6092	-2152.51		15436	0.3499	11420	1199			0.2	No, Vu<V

Verifica a pressoflessione fuori piano D.M. 17-01-18 (N.T.C.)

quota 2.61 Wa 0.05 denominatore 8 $\gamma_M = 2$

Comb.	fd	Sa	σ_0	N	M	Mc	Coeff.s.	Verifica
SLV 15	143750	0.46	3280	-2844	420.44	415.16	0.99	No, M>Mu
SLV 16	143750	0.46	3280	-2844	420.44	415.16	0.99	No, M>Mu
SLV 12	143750	0.46	3539	-3069	420.44	446.97	1.06	Si
SLV 11	143750	0.46	3539	-3069	420.44	446.97	1.06	Si
SLV 13	143750	0.46	3788	-3284	420.44	477.31	1.14	Si
SLV 14	143750	0.46	3788	-3284	420.44	477.31	1.14	Si
SLV 8	143750	0.46	4269	-3701	420.44	535.75	1.27	Si
SLV 7	143750	0.46	4269	-3701	420.44	535.75	1.27	Si
SLV 9	143750	0.46	5230	-4535	420.44	651.07	1.55	Si
SLV 10	143750	0.46	5230	-4535	420.44	651.07	1.55	Si

Verifica dei meccanismi locali di collasso con analisi cinematica lineare

forza di aggancio al piano = 0 quota mezzeria = 2.61 Wa = 0.05 Ta = 0.0787

Comb.	N top	N base	V orto	α_0	M*	e*	α_0^*	aLim	Verifica
SLV 14	172	-7240	58	0	0	0	0	7.65071	No, Trazione
SLV 10	79	-9287	-70	0	0	0	0	8.8646	No, Trazione
SLV 16	126	-6097	116	0	0	0	0	7.65071	No, Trazione
SLV 15	126	-6097	116	0	0	0	0	7.65071	No, Trazione
SLV 9	79	-9287	-70	0	0	0	0	8.8646	No, Trazione
SLV 13	172	-7240	58	0	0	0	0	7.65071	No, Trazione
SLV 11	-72	-5475	124	0.038	598.5	0.989	0.55372	8.8646	No
SLV 12	-72	-5475	124	0.038	598.5	0.989	0.55372	8.8646	No
SLV 5	-45	-9897	-121	0.039	598.3	0.993	0.56706	8.8646	No
SLV 6	-45	-9897	-121	0.039	598.3	0.993	0.56706	8.8646	No

Tabella dei coefficienti di sicurezza minimi

Stato limite	Coeff.s.	Comb.	Verifica
PF_SLU	2.76	SLU 31	Si
V_SLU	4.631	SLU 44	Si
PF_SLV	0	SLV 5	No
V_SLV	0	SLV 5	No
PFFP_SLV	0.987	SLV 15	No
R_SLV	0	SLV 16	No

Maschio 31

Verifiche condotte secondo D.M. 17-01-18 (N.T.C.)

Dati geometrici

X ini.	Y ini.	X fin.	Y fin.	Quota i.	Quota.s	I	Sp.	h netta	h ini.	h fin.	a	a.s,sx	a.s,dx
-10.899	5.825	-13.879	5.825	L2	L3	2.98	0.3	3.76	3.76	3.76			

Caratteristiche del materiale

(Circolare 7 21-01-19 C8.5.I) Muratura in mattoni pieni e malta di calce LC2_Corti

fb	fk	fvk0	fmedio	τ_0	f ν_0	μ	ϕ	f ν_{lim}	E	G	FC
600000			345000	9000	20000	0.58	0.77	32500	320000000	128000000	1.2

Verifica a pressoflessione nel piano secondo D.M. 17-01-18 NTC §7.8.2.2.1 in combinazioni non sismiche, $\gamma_M = 3$

Comb.	Quota	N	M	σ_0	Mu	c.s.	Verifica
SLU 23	1.73	-5170	3009.56	5783	7156.47	2.378	Si
SLU 23	3.63	-1926	193.97	2154	2793.78	14.403	Si
SLU 26	1.73	-5170	3009.56	5783	7156.47	2.378	Si
SLU 26	3.63	-1926	193.97	2154	2793.78	14.403	Si
SLU 34	1.73	-5023	3034.86	5619	6968.64	2.296	Si
SLU 34	3.63	-1879	211.76	2102	2728.17	12.883	Si
SLU 13	1.73	-5098	3021.91	5703	7064.81	2.338	Si
SLU 13	3.63	-1903	202.6	2129	2761.77	13.632	Si
SLU 10	1.73	-5098	3021.91	5703	7064.81	2.338	Si
SLU 10	3.63	-1903	202.6	2129	2761.77	13.632	Si
SLU 73	1.73	-6664	3379.73	7455	9021.35	2.669	Si
SLU 73	3.63	-2455	208.61	2746	3534.09	16.941	Si
SLU 31	1.73	-5023	3034.86	5619	6968.64	2.296	Si
SLU 31	3.63	-1879	211.76	2102	2728.17	12.883	Si
SLU 2	1.73	-5245	2996.61	5867	7252.2	2.42	Si
SLU 2	3.63	-1950	184.81	2181	2827.34	15.299	Si
SLU 76	1.73	-6664	3379.73	7455	9021.35	2.669	Si
SLU 76	3.63	-2455	208.61	2746	3534.09	16.941	Si



Comb.	Quota	N	M	σ_0	Mu	c.s.	Verifica
SLU 5	1.73	-5245	2996.61	5867	7252.2	2.42	Si
SLU 5	3.63	-1950	184.81	2181	2827.34	15.299	Si

Verifica a pressoflessione nel piano secondo D.M. 17-01-18 NTC §7.8.2.2.1 in combinazioni sismiche, $\gamma_M = 2$

Comb.	Quota	N	M	σ_0	Mu	c.s.	Verifica
SLV 7	1.73	-1394	-12879.01	0	0	0	No, $e \geq l/2$
SLV 7	3.63	-1160	-1863.46	0	0	0	No, $e \geq l/2$
SLV 6	1.73	-8797	17690.94	0	0	0	No, $e \geq l/2$
SLV 6	3.63	-3311	827.14	3704	4783.94	5.784	Si
SLV 10	1.73	-9249	15229.61	0	0	0	No, $e \geq l/2$
SLV 10	3.63	-2580	1878.82	2886	3753.52	1.998	Si
SLV 12	1.73	-1846	-15340.33	0	0	0	No, $e \geq l/2$
SLV 12	3.63	-429	-811.78	0	0	0	No, $e \geq l/2$
SLV 1	1.73	-5678	9863	0	0	0	No, $e \geq l/2$
SLV 1	3.63	-3411	-1341.53	3815	4923.44	3.67	Si
SLV 5	1.73	-8797	17690.94	0	0	0	No, $e \geq l/2$
SLV 5	3.63	-3311	827.14	3704	4783.94	5.784	Si
SLV 11	1.73	-1846	-15340.33	0	0	0	No, $e \geq l/2$
SLV 11	3.63	-429	-811.78	0	0	0	No, $e \geq l/2$
SLV 9	1.73	-9249	15229.61	0	0	0	No, $e \geq l/2$
SLV 9	3.63	-2580	1878.82	2886	3753.52	1.998	Si
SLV 8	1.73	-1394	-12879.01	0	0	0	No, $e \geq l/2$
SLV 8	3.63	-1160	-1863.46	0	0	0	No, $e \geq l/2$
SLV 2	1.73	-5678	9863	0	0	0	No, $e \geq l/2$
SLV 2	3.63	-3411	-1341.53	3815	4923.44	3.67	Si

Verifica a taglio nel piano secondo D.M. 17-01-18 (N.T.C.) §7.8.2.2.2 con rottura per scorrimento in combinazioni non sismiche, $\gamma_M = 3$

Comb.	Quota	N	V par	M	σ_0	σ_N	I'	fvd	Vt scorr.	Vt fess.diag.	Vt,lim	c.s.	Verifica
SLU 76	1.73	-6664	1672	3379.73		7534	2.9486	6560	5803			3.47	Si
SLU 76	3.63	-2455	1668	208.61		2746	2.98	5922	5294			3.17	Si
SLU 34	1.73	-5023	1499	3034.86		6301	2.6576	6396	5099			3.4	Si
SLU 34	3.63	-1879	1498	211.76		2102	2.98	5836	5217			3.48	Si
SLU 55	1.73	-6739	1664	3366.78		7561	2.9713	6564	5851			3.52	Si
SLU 55	3.63	-2478	1660	199.46		2772	2.98	5925	5297			3.19	Si
SLU 31	1.73	-5023	1499	3034.86		6301	2.6576	6396	5099			3.4	Si
SLU 31	3.63	-1879	1498	211.76		2102	2.98	5836	5217			3.48	Si
SLU 52	1.73	-6739	1664	3366.78		7561	2.9713	6564	5851			3.52	Si
SLU 52	3.63	-2478	1660	199.46		2772	2.98	5925	5297			3.19	Si
SLU 47	1.73	-6886	1648	3341.48		7702	2.98	6583	5885			3.57	Si
SLU 47	3.63	-2525	1643	181.67		2824	2.98	5932	5303			3.23	Si
SLU 65	1.73	-6811	1656	3354.43		7619	2.98	6571	5875			3.55	Si
SLU 65	3.63	-2501	1652	190.82		2798	2.98	5929	5300			3.21	Si
SLU 68	1.73	-6811	1656	3354.43		7619	2.98	6571	5875			3.55	Si
SLU 68	3.63	-2501	1652	190.82		2798	2.98	5929	5300			3.21	Si
SLU 44	1.73	-6886	1648	3341.48		7702	2.98	6583	5885			3.57	Si
SLU 44	3.63	-2525	1643	181.67		2824	2.98	5932	5303			3.23	Si
SLU 73	1.73	-6664	1672	3379.73		7534	2.9486	6560	5803			3.47	Si
SLU 73	3.63	-2455	1668	208.61		2746	2.98	5922	5294			3.17	Si

Verifica a taglio nel piano secondo D.M. 17-01-18 (N.T.C.) §7.8.2.2.2 con rottura per scorrimento in combinazioni sismiche, $\gamma_M = 2$

Comb.	Quota	N	V par	M	σ_0	σ_N	I'	fvd	Vt scorr.	Vt fess.diag.	Vt,lim	c.s.	Verifica
SLV 5	1.73	-8797	9058	17690.94		0	0	8333	0			0	No, $V_u < V$
SLV 5	3.63	-3311	6909	827.14		3704	2.98	9074	8112			1.17	Si
SLV 8	1.73	-1394	-5845	-12879.01		0	0	8333	0			0	No, $V_u < V$
SLV 8	3.63	-1160	-4895	-1863.46		0	0	8333	0			0	No, $V_u < V$
SLV 2	1.73	-5678	6205	9863		0	0	8333	0			0	No, $V_u < V$
SLV 2	3.63	-3411	3761	-1341.53		3815	2.98	9096	8132			2.16	Si
SLV 9	1.73	-9249	7033	15229.61		0	0	8333	0			0	No, $V_u < V$
SLV 9	3.63	-2580	6067	1878.82		3763	2.2854	9086	6230			1.03	Si
SLV 12	1.73	-1846	-7871	-15340.33		0	0	8333	0			0	No, $V_u < V$
SLV 12	3.63	-429	-5737	-811.78		0	0	8333	0			0	No, $V_u < V$
SLV 11	1.73	-1846	-7871	-15340.33		0	0	8333	0			0	No, $V_u < V$
SLV 11	3.63	-429	-5737	-811.78		0	0	8333	0			0	No, $V_u < V$
SLV 7	1.73	-1394	-5845	-12879.01		0	0	8333	0			0	No, $V_u < V$
SLV 7	3.63	-1160	-4895	-1863.46		0	0	8333	0			0	No, $V_u < V$
SLV 6	1.73	-8797	9058	17690.94		0	0	8333	0			0	No, $V_u < V$
SLV 6	3.63	-3311	6909	827.14		3704	2.98	9074	8112			1.17	Si
SLV 1	1.73	-5678	6205	9863		0	0	8333	0			0	No, $V_u < V$
SLV 1	3.63	-3411	3761	-1341.53		3815	2.98	9096	8132			2.16	Si
SLV 10	1.73	-9249	7033	15229.61		0	0	8333	0			0	No, $V_u < V$
SLV 10	3.63	-2580	6067	1878.82		3763	2.2854	9086	6230			1.03	Si

Verifica a pressoflessione fuori piano D.M. 17-01-18 (N.T.C.)

quota 2.61 Wa 0.05 denominatore 8 $\gamma_M = 2$

Comb.	fd	Sa	σ_0	N	M	Mc	Coeff.s.	Verifica
SLV 8	143750	0.46	0	-2241	433.53	0	0	No, $e \geq l/2$
SLV 12	143750	0.46	0	-1568	433.53	0	0	No, $e \geq l/2$
SLV 7	143750	0.46	0	-2241	433.53	0	0	No, $e \geq l/2$
SLV 15	143750	0.46	0	-2173	433.53	0	0	No, $e \geq l/2$
SLV 16	143750	0.46	0	-2173	433.53	0	0	No, $e \geq l/2$
SLV 11	143750	0.46	0	-1568	433.53	0	0	No, $e \geq l/2$
SLV 13	143750	0.46	3763	-3364	433.53	489.13	1.13	Si
SLV 14	143750	0.46	3763	-3364	433.53	489.13	1.13	Si
SLV 3	143750	0.46	4940	-4416	433.53	635.66	1.47	Si
SLV 4	143750	0.46	4940	-4416	433.53	635.66	1.47	Si



Verifica dei meccanismi locali di collasso con analisi cinematica lineare

forza di aggancio al piano = 0 quota mezzeria = 2.61 Wa = 0.05 Ta = 0.0787

Comb.	N top	N base	V orto	α0	M*	e*	a0*	aLim	Verifica
SLV 14	107	-7120	151	0	0	0	0	7.65071	No, Trazione
SLV 12	21	-5974	38	0	0	0	0	8.8646	No, Trazione
SLV 15	121	-6476	146	0	0	0	0	7.65071	No, Trazione
SLV 13	107	-7120	151	0	0	0	0	7.65071	No, Trazione
SLV 11	21	-5974	38	0	0	0	0	8.8646	No, Trazione
SLV 16	121	-6476	146	0	0	0	0	7.65071	No, Trazione
SLV 3	-207	-7187	-147	0.032	619.3	0.971	0.47675	7.65071	No
SLV 4	-207	-7187	-147	0.032	619.3	0.971	0.47675	7.65071	No
SLV 2	-220	-7831	-142	0.033	619.6	0.969	0.50006	7.65071	No
SLV 1	-220	-7831	-142	0.033	619.6	0.969	0.50006	7.65071	No

Tabella dei coefficienti di sicurezza minimi

Stato limite	Coeff.s.	Comb.	Verifica
PF_SLU	2.296	SLU 31	Si
V_SLU	3.173	SLU 73	Si
PF_SLV	0	SLV 1	No
V_SLV	0	SLV 1	No
PFFP_SLV	0	SLV 7	No
R_SLV	0	SLV 16	No

Maschio 32

Verifiche condotte secondo D.M. 17-01-18 (N.T.C.)

Dati geometrici

X ini.	Y ini.	X fin.	Y fin.	Quota i.	Quota.s	l	Sp.	h netta	h ini.	h fin.	a	a.s,sx	a.s,dx
-8.084	5.825	-9.899	5.825	L2	L3	1.815	0.3	3.76	3.76	3.76			

Caratteristiche del materiale

(Circolare 7 21-01-19 C8.5.I) Muratura in mattoni pieni e malta di calce LC2_Corti

fb	fk	fvk0	fmedio	τ0	fv0	μ	φ	fv,lim	E	G	FC
600000			345000	9000	20000	0.58	0.77	32500	320000000	128000000	1.2

Verifica a pressoflessione nel piano secondo D.M. 17-01-18 NTC §7.8.2.2.1 in combinazioni non sismiche, γM = 3

Comb.	Quota	N	M	σ0	Mu	c.s.	Verifica
SLU 10	1.73	-967	-1219.12	0	0	0	No, e>l/2
SLU 10	3.63	-395	-99.78	725	355.27	3.561	Si
SLU 13	1.73	-967	-1219.12	0	0	0	No, e>l/2
SLU 13	3.63	-395	-99.78	725	355.27	3.561	Si
SLU 23	1.73	-1066	-1176.16	0	0	0	No, e>l/2
SLU 23	3.63	-413	-104.59	759	371.66	3.553	Si
SLU 76	1.73	-1516	-1358.65	2785	1329.18	0.978	No, M>Mu
SLU 76	3.63	-611	-79.1	1123	547.32	6.919	Si
SLU 5	1.73	-1170	-1130.88	0	0	0	No, e>l/2
SLU 5	3.63	-433	-109.69	795	388.83	3.545	Si
SLU 26	1.73	-1066	-1176.16	0	0	0	No, e>l/2
SLU 26	3.63	-413	-104.59	759	371.66	3.553	Si
SLU 73	1.73	-1516	-1358.65	2785	1329.18	0.978	No, M>Mu
SLU 73	3.63	-611	-79.1	1123	547.32	6.919	Si
SLU 31	1.73	-864	-1264.4	0	0	0	No, e>l/2
SLU 31	3.63	-376	-94.68	690	338.07	3.57	Si
SLU 34	1.73	-864	-1264.4	0	0	0	No, e>l/2
SLU 34	3.63	-376	-94.68	690	338.07	3.57	Si
SLU 2	1.73	-1170	-1130.88	0	0	0	No, e>l/2
SLU 2	3.63	-433	-109.69	795	388.83	3.545	Si

Verifica a pressoflessione nel piano secondo D.M. 17-01-18 NTC §7.8.2.2.1 in combinazioni sismiche, γM = 2

Comb.	Quota	N	M	σ0	Mu	c.s.	Verifica
SLV 16	1.73	-1006	-799.9	1847	898.97	1.124	Si
SLV 16	3.63	-1161	576.32	2132	1035.23	1.796	Si
SLV 1	1.73	-2934	-8.25	5388	2545.23	308.546	Si
SLV 1	3.63	-334	-452.24	0	0	0	No, e>l/2
SLV 10	1.73	2998	-5381.12	0	0	0	No, Trazione
SLV 10	3.63	1045	-924.02	0	0	0	No, Trazione
SLV 13	1.73	1570	-3474.2	0	0	0	No, Trazione
SLV 13	3.63	-106	-51.39	194	95.84	1.865	Si
SLV 6	1.73	1647	-4341.34	0	0	0	No, Trazione
SLV 6	3.63	977	-1044.27	0	0	0	No, Trazione
SLV 5	1.73	1647	-4341.34	0	0	0	No, Trazione
SLV 5	3.63	977	-1044.27	0	0	0	No, Trazione
SLV 15	1.73	-1006	-799.9	1847	898.97	1.124	Si
SLV 15	3.63	-1161	576.32	2132	1035.23	1.796	Si
SLV 9	1.73	2998	-5381.12	0	0	0	No, Trazione
SLV 9	3.63	1045	-924.02	0	0	0	No, Trazione
SLV 2	1.73	-2934	-8.25	5388	2545.23	308.546	Si
SLV 2	3.63	-334	-452.24	0	0	0	No, e>l/2
SLV 14	1.73	1570	-3474.2	0	0	0	No, Trazione
SLV 14	3.63	-106	-51.39	194	95.84	1.865	Si

Verifica a taglio nel piano secondo D.M. 17-01-18 (N.T.C.) §7.8.2.2.2 con rottura per scorrimento in combinazioni non sismiche, γM = 3

Comb.	Quota	N	V par	M	σ0	σN	l'	fvd	Vt scorr.	Vt fess.diag.	Vt,lim	c.s.	Verifica
-------	-------	---	-------	---	----	----	----	-----	-----------	---------------	--------	------	----------



Comb.	Quota	N	V par	M	σ_0	σ_N	I'	fvd	Vt scorr.	Vt fess.diag.	Vt,lim	c.s.	Verifica
SLU 76	1.73	-1516	-1465	-1358.65		145327	0.0348	10833	113			0.08	No, Vu<V
SLU 76	3.63	-611	-1489	-79.1		1123	1.8151	5705	3107			2.09	Si
SLU 2	1.73	-1170	-1124	-1130.88		0	0	5556	0			0	No, Vu<V
SLU 2	3.63	-433	-1148	-109.69		795	1.8151	5661	3083			2.69	Si
SLU 5	1.73	-1170	-1124	-1130.88		0	0	5556	0			0	No, Vu<V
SLU 5	3.63	-433	-1148	-109.69		795	1.8151	5661	3083			2.69	Si
SLU 23	1.73	-1066	-1191	-1176.16		0	0	5556	0			0	No, Vu<V
SLU 23	3.63	-413	-1214	-104.59		759	1.8151	5657	3080			2.54	Si
SLU 34	1.73	-864	-1322	-1264.4		0	0	5556	0			0	No, Vu<V
SLU 34	3.63	-376	-1345	-94.68		690	1.8151	5648	3075			2.29	Si
SLU 13	1.73	-967	-1255	-1219.12		0	0	5556	0			0	No, Vu<V
SLU 13	3.63	-395	-1278	-99.78		725	1.8151	5652	3078			2.41	Si
SLU 10	1.73	-967	-1255	-1219.12		0	0	5556	0			0	No, Vu<V
SLU 10	3.63	-395	-1278	-99.78		725	1.8151	5652	3078			2.41	Si
SLU 31	1.73	-864	-1322	-1264.4		0	0	5556	0			0	No, Vu<V
SLU 31	3.63	-376	-1345	-94.68		690	1.8151	5648	3075			2.29	Si
SLU 73	1.73	-1516	-1465	-1358.65		145327	0.0348	10833	113			0.08	No, Vu<V
SLU 73	3.63	-611	-1489	-79.1		1123	1.8151	5705	3107			2.09	Si
SLU 26	1.73	-1066	-1191	-1176.16		0	0	5556	0			0	No, Vu<V
SLU 26	3.63	-413	-1214	-104.59		759	1.8151	5657	3080			2.54	Si

Verifica a taglio nel piano secondo D.M. 17-01-18 (N.T.C.) §7.8.2.2.2 con rottura per scorrimento in combinazioni sismiche, $\gamma_M = 2$

Comb.	Quota	N	V par	M	σ_0	σ_N	I'	fvd	Vt scorr.	Vt fess.diag.	Vt,lim	c.s.	Verifica
SLV 6	1.73	1647	-3606	-4341.34		0	0	8333	0			0	No, Vu<V
SLV 6	3.63	977	-3491	-1044.27		0	0	8333	0			0	No, Vu<V
SLV 14	1.73	1570	-3707	-3474.2		0	0	8333	0			0	No, Vu<V
SLV 14	3.63	-106	-3355	-51.39		279	1.2651	8389	3184			0.95	No, Vu<V
SLV 13	1.73	1570	-3707	-3474.2		0	0	8333	0			0	No, Vu<V
SLV 13	3.63	-106	-3355	-51.39		279	1.2651	8389	3184			0.95	No, Vu<V
SLV 1	1.73	-2934	324	-8.25		5388	1.8151	9411	5125			15.79	Si
SLV 1	3.63	-334	92	-452.24		0	0	8333	0			0	No, Vu<V
SLV 10	1.73	2998	-4815	-5381.12		0	0	8333	0			0	No, Vu<V
SLV 10	3.63	1045	-4525	-924.02		0	0	8333	0			0	No, Vu<V
SLV 5	1.73	1647	-3606	-4341.34		0	0	8333	0			0	No, Vu<V
SLV 5	3.63	977	-3491	-1044.27		0	0	8333	0			0	No, Vu<V
SLV 9	1.73	2998	-4815	-5381.12		0	0	8333	0			0	No, Vu<V
SLV 9	3.63	1045	-4525	-924.02		0	0	8333	0			0	No, Vu<V
SLV 15	1.73	-1006	-1548	-799.9		9958	0.3366	10325	1043			0.67	No, Vu<V
SLV 15	3.63	-1161	-1317	576.32		3138	1.2334	8961	3316			2.52	Si
SLV 2	1.73	-2934	324	-8.25		5388	1.8151	9411	5125			15.79	Si
SLV 2	3.63	-334	92	-452.24		0	0	8333	0			0	No, Vu<V
SLV 16	1.73	-1006	-1548	-799.9		9958	0.3366	10325	1043			0.67	No, Vu<V
SLV 16	3.63	-1161	-1317	576.32		3138	1.2334	8961	3316			2.52	Si

Verifica a pressoflessione fuori piano D.M. 17-01-18 (N.T.C.)

quota 2.61 Wa 0.05 denominatore 8 $\gamma_M = 2$

Comb.	fd	Sa	σ_0	N	M	Mc	Coeff.s.	Verifica
SLV 2	143750	0.46	0	-1478	264.06	0	0	No, $e > t/2$
SLV 6	143750	0.46	0	1360	264.06	0	0	No, Trazione
SLV 1	143750	0.46	0	-1478	264.06	0	0	No, $e > t/2$
SLV 16	143750	0.46	0	-1709	264.06	0	0	No, $e > t/2$
SLV 15	143750	0.46	0	-1709	264.06	0	0	No, $e > t/2$
SLV 5	143750	0.46	0	1360	264.06	0	0	No, Trazione
SLV 14	143750	0.46	0	216	264.06	0	0	No, Trazione
SLV 10	143750	0.46	0	1868	264.06	0	0	No, Trazione
SLV 13	143750	0.46	0	216	264.06	0	0	No, Trazione
SLV 9	143750	0.46	0	1868	264.06	0	0	No, Trazione

Verifica dei meccanismi locali di collasso con analisi cinematica lineare

forza di aggancio al piano = 0 quota mezzeria = 2.61 Wa = 0.05 Ta = 0.0787

Comb.	N top	N base	V orto	σ_0	M*	e*	a0*	aLim	Verifica
SLV 7	-156	-7086	189	0	378	0.965	0	8.8646	No
SLV 3	-53	-4595	188	0	376	0.987	0	7.65071	No
SLV 10	178	2209	-189	0	0	0	0	8.8646	No, Trazione
SLV 2	45	-1957	101	0	0	0	0	7.65071	No, Trazione
SLV 1	45	-1957	101	0	0	0	0	7.65071	No, Trazione
SLV 5	169	1707	-102	0	0	0	0	8.8646	No, Trazione
SLV 9	178	2209	-189	0	0	0	0	8.8646	No, Trazione
SLV 4	-53	-4595	188	0	376	0.987	0	7.65071	No
SLV 6	169	1707	-102	0	0	0	0	8.8646	No, Trazione
SLV 8	-156	-7086	189	0	378	0.965	0	8.8646	No

Tabella dei coefficienti di sicurezza minimi

Stato limite	Coeff.s.	Comb.	Verifica
PF_SLU	0	SLU 2	No
V_SLU	0	SLU 2	No
PF_SLV	0	SLV 14	No
V_SLV	0	SLV 1	No
PFFP_SLV	0	SLV 14	No
R_SLV	0	SLV 14	No

Maschio 33

Verifiche condotte secondo D.M. 17-01-18 (N.T.C.)



Dati geometrici

X ini.	Y ini.	X fin.	Y fin.	Quota i.	Quota.s	l	Sp.	h netta	h ini.	h fin.	a	a.s.,sx	a.s.,dx
-14.229	1.355	-14.229	-3.134	L2	L3	4.489	0.14	3.76	3.76	3.76			

Caratteristiche del materiale

(Circolare 7 21-01-19 C8.5.I) Muratura in mattoni pieni e malta di calce LC2_Corti

fb	fk	fvk0	fmedio	τ_0	fv0	μ	ϕ	fv,lim	E	G	FC
600000			345000	9000	20000	0.58	0.77	32500	320000000	128000000	1.2

Verifica a pressoflessione nel piano secondo D.M. 17-01-18 NTC §7.8.2.2.1 in combinazioni non sismiche, $\gamma_M = 3$

Comb.	Quota	N	M	σ_0	Mu	c.s.	Verifica
SLU 59	0.73	-5260	-235.96	8370	10593.11	44.893	Si
SLU 59	4.49	0	38.92	0	0	0	No, e>1/2
SLU 58	0.73	-5251	-227.84	8356	10577.62	46.427	Si
SLU 58	4.49	0	40.23	0	0	0	No, Trazione
SLU 55	0.73	-5266	-241.38	8379	10603.44	43.928	Si
SLU 55	4.49	0	38.04	0	0	0	No, e>1/2
SLU 56	0.73	-5251	-227.84	8356	10577.62	46.427	Si
SLU 56	4.49	0	40.23	0	0	0	No, Trazione
SLU 1	0.73	-3601	-59.67	5729	7512.81	125.904	Si
SLU 1	4.49	0	29.78	0	0	0	No, Trazione
SLU 60	0.73	-5548	-305.73	8828	11102.63	36.315	Si
SLU 60	4.49	0	41.02	0	0	0	No, Trazione
SLU 54	0.73	-5260	-235.96	8370	10593.11	44.893	Si
SLU 54	4.49	0	38.92	0	0	0	No, e>1/2
SLU 53	0.73	-5251	-227.84	8356	10577.62	46.427	Si
SLU 53	4.49	0	40.23	0	0	0	No, Trazione
SLU 61	0.73	-5557	-313.86	8842	11117.9	35.423	Si
SLU 61	4.49	0	39.71	0	0	0	No, e>1/2
SLU 57	0.73	-5260	-235.96	8370	10593.11	44.893	Si
SLU 57	4.49	0	38.92	0	0	0	No, e>1/2

Verifica a pressoflessione nel piano secondo D.M. 17-01-18 NTC §7.8.2.2.1 in combinazioni sismiche, $\gamma_M = 2$

Comb.	Quota	N	M	σ_0	Mu	c.s.	Verifica
SLV 16	0.73	569	-730.54	0	0	0	No, Trazione
SLV 16	4.49	328	93.84	0	0	0	No, Trazione
SLV 9	0.73	-2728	1221.66	4341	5905.25	4.834	Si
SLV 9	4.49	-57	72.14	91	128.91	1.787	Si
SLV 14	0.73	476	115.69	0	0	0	No, Trazione
SLV 14	4.49	242	106.27	0	0	0	No, Trazione
SLV 8	0.73	-5070	-1497.36	8067	10627.74	7.098	Si
SLV 8	4.49	58	-11	0	0	0	No, Trazione
SLV 15	0.73	569	-730.54	0	0	0	No, Trazione
SLV 15	4.49	328	93.84	0	0	0	No, Trazione
SLV 13	0.73	476	115.69	0	0	0	No, Trazione
SLV 13	4.49	242	106.27	0	0	0	No, Trazione
SLV 11	0.73	-2417	-1599.1	3846	5254.04	3.286	Si
SLV 11	4.49	229	30.69	0	0	0	No, Trazione
SLV 12	0.73	-2417	-1599.1	3846	5254.04	3.286	Si
SLV 12	4.49	229	30.69	0	0	0	No, Trazione
SLV 10	0.73	-2728	1221.66	4341	5905.25	4.834	Si
SLV 10	4.49	-57	72.14	91	128.91	1.787	Si
SLV 7	0.73	-5070	-1497.36	8067	10627.74	7.098	Si
SLV 7	4.49	58	-11	0	0	0	No, Trazione

Verifica a taglio nel piano secondo D.M. 17-01-18 (N.T.C.) §7.8.2.2.2 con rottura per scorrimento in combinazioni non sismiche, $\gamma_M = 3$

Comb.	Quota	N	V par	M	σ_0	σ_N	I'	fvd	Vt scorr.	Vt fess.diag.	Vt,lim	c.s.	Verifica
SLU 57	0.73	-5260	14	-235.96	8370	4.4889	6672	4193				308.26	Si
SLU 57	4.49	0	0	38.92	0	0	5556	0				0	No, Vu<V
SLU 56	0.73	-5251	6	-227.84	8356	4.4889	6670	4192				744.73	Si
SLU 56	4.49	0	-1	40.23	0	0	5556	0				0	No, Vu<V
SLU 54	0.73	-5260	14	-235.96	8370	4.4889	6672	4193				308.26	Si
SLU 54	4.49	0	0	38.92	0	0	5556	0				0	No, Vu<V
SLU 60	0.73	-5548	6	-305.73	8828	4.4889	6733	4231				676.57	Si
SLU 60	4.49	0	-1	41.02	0	0	5556	0				0	No, Vu<V
SLU 53	0.73	-5251	6	-227.84	8356	4.4889	6670	4192				744.73	Si
SLU 53	4.49	0	-1	40.23	0	0	5556	0				0	No, Vu<V
SLU 55	0.73	-5266	19	-241.38	8379	4.4889	6673	4194				221.69	Si
SLU 55	4.49	0	0	38.04	0	0	5556	0				0	No, Vu<V
SLU 59	0.73	-5260	14	-235.96	8370	4.4889	6672	4193				308.26	Si
SLU 59	4.49	0	0	38.92	0	0	5556	0				0	No, Vu<V
SLU 58	0.73	-5251	6	-227.84	8356	4.4889	6670	4192				744.73	Si
SLU 58	4.49	0	-1	40.23	0	0	5556	0				0	No, Vu<V
SLU 61	0.73	-5557	14	-313.86	8842	4.4889	6734	4232				297.49	Si
SLU 61	4.49	0	0	39.71	0	0	5556	0				0	No, Vu<V
SLU 1	0.73	-3601	3	-59.67	5729	4.4889	6319	3971				1000	Si
SLU 1	4.49	0	-1	29.78	0	0	5556	0				0	No, Vu<V

Verifica a taglio nel piano secondo D.M. 17-01-18 (N.T.C.) §7.8.2.2.2 con rottura per scorrimento in combinazioni sismiche, $\gamma_M = 2$

Comb.	Quota	N	V par	M	σ_0	σ_N	I'	fvd	Vt scorr.	Vt fess.diag.	Vt,lim	c.s.	Verifica
SLV 9	0.73	-2728	5119	1221.66		4341	4.4889	9201	5783			1.13	Si
SLV 9	4.49	-57	509	72.14		138	2.9682	8361	3474			6.82	Si
SLV 15	0.73	569	-2064	-730.54		0	0	8333	0			0	No, Vu<V
SLV 15	4.49	328	-193	93.84		0	0	8333	0			0	No, Vu<V
SLV 13	0.73	476	1093	115.69		0	0	8333	0			0	No, Vu<V
SLV 13	4.49	242	119	106.27		0	0	8333	0			0	No, Vu<V
SLV 16	0.73	569	-2064	-730.54		0	0	8333	0			0	No, Vu<V



Comb.	Quota	N	V par	M	σ_0	σ_N	I'	fvd	Vt scorr.	Vt fess.diag.	Vt,lim	c.s.	Verifica
SLV 16	4.49	328	-193	93.84		0	0	8333	0			0	No, Vu<V
SLV 10	0.73	-2728	5119	1221.66		4341	4.4889	9201	5783			1.13	Si
SLV 10	4.49	-57	509	72.14		138	2.9682	8361	3474			6.82	Si
SLV 11	0.73	-2417	-5405	-1599.1		3846	4.4889	9103	5720			1.06	Si
SLV 11	4.49	229	-533	30.69		0	0	8333	0			0	No, Vu<V
SLV 8	0.73	-5070	-5111	-1497.36		8067	4.4889	9947	6251			1.22	Si
SLV 8	4.49	58	-511	-11		0	0	8333	0			0	No, Vu<V
SLV 14	0.73	476	1093	115.69		0	0	8333	0			0	No, Vu<V
SLV 14	4.49	242	119	106.27		0	0	8333	0			0	No, Vu<V
SLV 12	0.73	-2417	-5405	-1599.1		3846	4.4889	9103	5720			1.06	Si
SLV 12	4.49	229	-533	30.69		0	0	8333	0			0	No, Vu<V
SLV 7	0.73	-5070	-5111	-1497.36		8067	4.4889	9947	6251			1.22	Si
SLV 7	4.49	58	-511	-11		0	0	8333	0			0	No, Vu<V

Verifica a pressoflessione fuori piano D.M. 17-01-18 (N.T.C.)

quota 2.61 Wa 0.03 denominatore 8 $\gamma_M = 2$

Comb.	fd	Sa	σ_0	N	M	Mc	Coeff.s.	Verifica
SLV 11	143750	0.46	0	-547	304.75	0	0	No, $e > t/2$
SLV 9	143750	0.46	0	-646	304.75	0	0	No, $e > t/2$
SLV 10	143750	0.46	0	-646	304.75	0	0	No, $e > t/2$
SLV 5	143750	0.46	0	-3188	304.75	0	0	No, $e > t/2$
SLV 13	143750	0.46	0	2354	304.75	0	0	No, Trazione
SLV 6	143750	0.46	0	-3188	304.75	0	0	No, $e > t/2$
SLV 12	143750	0.46	0	-547	304.75	0	0	No, $e > t/2$
SLV 7	143750	0.46	0	-3089	304.75	0	0	No, $e > t/2$
SLV 8	143750	0.46	0	-3089	304.75	0	0	No, $e > t/2$
SLV 14	143750	0.46	0	2354	304.75	0	0	No, Trazione

Verifica dei meccanismi locali di collasso con analisi cinematica lineare

forza di aggancio al piano = 0 quota mezzera = 2.61 Wa = 0.03 Ta = 0.1686

Comb.	N top	N base	V orto	α_0	M*	e*	α_0^*	aLim	Verifica
SLV 11	229	-2417	-27	0	0	0	0	2.39674	No, Trazione
SLV 14	242	476	-5	0	0	0	0	2.39674	No, Trazione
SLV 8	58	-5070	-19	0	0	0	0	2.39674	No, Trazione
SLV 13	242	476	-5	0	0	0	0	2.39674	No, Trazione
SLV 16	328	569	-20	0	0	0	0	2.39674	No, Trazione
SLV 12	229	-2417	-27	0	0	0	0	2.39674	No, Trazione
SLV 7	58	-5070	-19	0	0	0	0	2.39674	No, Trazione
SLV 15	328	569	-20	0	0	0	0	2.39674	No, Trazione
SLV 6	-228	-5381	28	0.023	437.7	0.958	0.3552	2.39674	No
SLV 5	-228	-5381	28	0.023	437.7	0.958	0.3552	2.39674	No

Tabella dei coefficienti di sicurezza minimi

Stato limite	Coeff.s.	Comb.	Verifica
PF_SLU	0	SLU 83	No
V_SLU	0	SLU 1	No
PF_SLV	0	SLV 16	No
V_SLV	0	SLV 7	No
PFFP_SLV	0	SLV 16	No
R_SLV	0	SLV 16	No

Maschio 34

Verifiche condotte secondo D.M. 17-01-18 (N.T.C.)

Dati geometrici

X ini.	Y ini.	X fin.	Y fin.	Quota i.	Quota.s	I	Sp.	h netta	h ini.	h fin.	a	a.s.,sx	a.s.,dx
-12.642	5.825	-12.642	1.355	L2	L3	4.47	0.14	3.76	3.76	3.76			

Caratteristiche del materiale

(Circolare 7 21-01-19 C8.5.I) Muratura in mattoni pieni e malta di calce LC2_Corti

fb	fk	fvk0	fmedio	τ_0	f ν_0	μ	ϕ	f ν_{lim}	E	G	FC
600000			345000	9000	20000	0.58	0.77	32500	320000000	128000000	1.2

Verifica a pressoflessione nel piano secondo D.M. 17-01-18 NTC §7.8.2.2.1 in combinazioni non sismiche, $\gamma_M = 3$

Comb.	Quota	N	M	σ_0	Mu	c.s.	Verifica
SLU 1	0.73	-2649	-1537.06	4233	5612.86	3.652	Si
SLU 1	4.49	16	-24.67	0	0	0	No, Trazione
SLU 58	0.73	-3689	-2084.75	5895	7648.02	3.669	Si
SLU 58	4.49	21	-38.96	0	0	0	No, Trazione
SLU 61	0.73	-3906	-2221.21	6241	8060.03	3.629	Si
SLU 61	4.49	26	-41.31	0	0	0	No, Trazione
SLU 57	0.73	-3778	-2176.2	6037	7818.25	3.593	Si
SLU 57	4.49	27	-37.73	0	0	0	No, Trazione
SLU 59	0.73	-3778	-2176.2	6037	7818.25	3.593	Si
SLU 59	4.49	27	-37.73	0	0	0	No, Trazione
SLU 60	0.73	-3816	-2129.76	6098	7890.8	3.705	Si
SLU 60	4.49	21	-42.54	0	0	0	No, Trazione
SLU 54	0.73	-3778	-2176.2	6037	7818.25	3.593	Si
SLU 54	4.49	27	-37.73	0	0	0	No, Trazione
SLU 53	0.73	-3689	-2084.75	5895	7648.02	3.669	Si
SLU 53	4.49	21	-38.96	0	0	0	No, Trazione
SLU 55	0.73	-3838	-2237.16	6132	7931.34	3.545	Si
SLU 55	4.49	30	-36.91	0	0	0	No, Trazione



Comb.	Quota	N	M	σ_0	Mu	c.s.	Verifica
SLU 56	0.73	-3689	-2084.75	5895	7648.02	3.669	Si
SLU 56	4.49	21	-38.96	0	0	0	No, Trazione

Verifica a pressoflessione nel piano secondo D.M. 17-01-18 NTC §7.8.2.2.1 in combinazioni sismiche, $\gamma_M = 2$

Comb.	Quota	N	M	σ_0	Mu	c.s.	Verifica
SLV 10	0.73	-3220	1966.27	5145	6893.66	3.506	Si
SLV 10	4.49	156	39.08	0	0	0	No, Trazione
SLV 8	0.73	-2335	-5131.18	3731	5058.5	0.986	No, M>Mu
SLV 8	4.49	-124	-95.6	197	275.67	2.884	Si
SLV 4	0.73	68	-3928.91	0	0	0	No, Trazione
SLV 4	4.49	159	110.29	0	0	0	No, Trazione
SLV 3	0.73	68	-3928.91	0	0	0	No, Trazione
SLV 3	4.49	159	110.29	0	0	0	No, Trazione
SLV 6	0.73	-1432	1121.1	2288	3139.84	2.801	Si
SLV 6	4.49	278	143.75	0	0	0	No, Trazione
SLV 1	0.73	339	-2053.23	0	0	0	No, Trazione
SLV 1	4.49	280	182.1	0	0	0	No, Trazione
SLV 9	0.73	-3220	1966.27	5145	6893.66	3.506	Si
SLV 9	4.49	156	39.08	0	0	0	No, Trazione
SLV 2	0.73	339	-2053.23	0	0	0	No, Trazione
SLV 2	4.49	280	182.1	0	0	0	No, Trazione
SLV 5	0.73	-1432	1121.1	2288	3139.84	2.801	Si
SLV 5	4.49	278	143.75	0	0	0	No, Trazione
SLV 7	0.73	-2335	-5131.18	3731	5058.5	0.986	No, M>Mu
SLV 7	4.49	-124	-95.6	197	275.67	2.884	Si

Verifica a taglio nel piano secondo D.M. 17-01-18 (N.T.C.) §7.8.2.2.2 con rottura per scorrimento in combinazioni non sismiche, $\gamma_M = 3$

Comb.	Quota	N	V par	M	σ_0	σ_N	I'	fvd	Vt scorr.	Vt fess.diag.	Vt,lim	c.s.	Verifica
SLU 1	0.73	-2649	123	-1537.06		4233	4.47	6120	3830			31.23	Si
SLU 1	4.49	16	-2	-24.67		0	0	5556	0			0	No, Vu<V
SLU 56	0.73	-3689	156	-2084.75		5895	4.47	6342	3969			25.44	Si
SLU 56	4.49	21	-2	-38.96		0	0	5556	0			0	No, Vu<V
SLU 60	0.73	-3816	154	-2129.76		6098	4.47	6369	3985			25.84	Si
SLU 60	4.49	21	-2	-42.54		0	0	5556	0			0	No, Vu<V
SLU 55	0.73	-3838	643	-2237.16		6132	4.47	6373	3988			6.2	Si
SLU 55	4.49	30	30	-36.91		0	0	5556	0			0	No, Vu<V
SLU 58	0.73	-3689	156	-2084.75		5895	4.47	6342	3969			25.44	Si
SLU 58	4.49	21	-2	-38.96		0	0	5556	0			0	No, Vu<V
SLU 53	0.73	-3689	156	-2084.75		5895	4.47	6342	3969			25.44	Si
SLU 53	4.49	21	-2	-38.96		0	0	5556	0			0	No, Vu<V
SLU 61	0.73	-3906	447	-2221.21		6241	4.47	6388	3997			8.95	Si
SLU 61	4.49	26	17	-41.31		0	0	5556	0			0	No, Vu<V
SLU 59	0.73	-3778	448	-2176.2		6037	4.47	6361	3980			8.88	Si
SLU 59	4.49	27	17	-37.73		0	0	5556	0			0	No, Vu<V
SLU 54	0.73	-3778	448	-2176.2		6037	4.47	6361	3980			8.88	Si
SLU 54	4.49	27	17	-37.73		0	0	5556	0			0	No, Vu<V
SLU 57	0.73	-3778	448	-2176.2		6037	4.47	6361	3980			8.88	Si
SLU 57	4.49	27	17	-37.73		0	0	5556	0			0	No, Vu<V

Verifica a taglio nel piano secondo D.M. 17-01-18 (N.T.C.) §7.8.2.2.2 con rottura per scorrimento in combinazioni sismiche, $\gamma_M = 2$

Comb.	Quota	N	V par	M	σ_0	σ_N	I'	fvd	Vt scorr.	Vt fess.diag.	Vt,lim	c.s.	Verifica
SLV 6	0.73	-1432	1266	1121.1		2348	4.3557	8803	5368			4.24	Si
SLV 6	4.49	278	344	143.75		0	0	8333	0			0	No, Vu<V
SLV 2	0.73	339	207	-2053.23		0	0	8333	0			0	No, Vu<V
SLV 2	4.49	280	241	182.1		0	0	8333	0			0	No, Vu<V
SLV 1	0.73	339	207	-2053.23		0	0	8333	0			0	No, Vu<V
SLV 1	4.49	280	241	182.1		0	0	8333	0			0	No, Vu<V
SLV 4	0.73	68	-532	-3928.91		0	0	8333	0			0	No, Vu<V
SLV 4	4.49	159	62	110.29		0	0	8333	0			0	No, Vu<V
SLV 5	0.73	-1432	1266	1121.1		2348	4.3557	8803	5368			4.24	Si
SLV 5	4.49	278	344	143.75		0	0	8333	0			0	No, Vu<V
SLV 8	0.73	-2335	-1195	-5131.18		149792	0.1113	16250	253			0.21	No, Vu<V
SLV 8	4.49	-124	-255	-95.6		201	4.3835	8374	5139			20.12	Si
SLV 9	0.73	-3220	1436	1966.27		5145	4.47	9362	5859			4.08	Si
SLV 9	4.49	156	252	39.08		0	0	8333	0			0	No, Vu<V
SLV 7	0.73	-2335	-1195	-5131.18		149792	0.1113	16250	253			0.21	No, Vu<V
SLV 7	4.49	-124	-255	-95.6		201	4.3835	8374	5139			20.12	Si
SLV 3	0.73	68	-532	-3928.91		0	0	8333	0			0	No, Vu<V
SLV 3	4.49	159	62	110.29		0	0	8333	0			0	No, Vu<V
SLV 10	0.73	-3220	1436	1966.27		5145	4.47	9362	5859			4.08	Si
SLV 10	4.49	156	252	39.08		0	0	8333	0			0	No, Vu<V

Verifica a pressoflessione fuori piano D.M. 17-01-18 (N.T.C.)

quota 2.61 Wa 0.03 denominatore 8 $\gamma_M = 2$

Comb.	fd	Sa	σ_0	N	M	Mc	Coeff.s.	Verifica
SLV 8	143750	0.46	0	-1393	303.47	0	0	No, e>t/2
SLV 5	143750	0.46	0	-769	303.47	0	0	No, e>t/2
SLV 9	143750	0.46	0	-2279	303.47	0	0	No, e>t/2
SLV 7	143750	0.46	0	-1393	303.47	0	0	No, e>t/2
SLV 2	143750	0.46	0	774	303.47	0	0	No, Trazione
SLV 6	143750	0.46	0	-769	303.47	0	0	No, e>t/2
SLV 3	143750	0.46	0	587	303.47	0	0	No, Trazione
SLV 4	143750	0.46	0	587	303.47	0	0	No, Trazione
SLV 10	143750	0.46	0	-2279	303.47	0	0	No, e>t/2
SLV 1	143750	0.46	0	774	303.47	0	0	No, Trazione



Verifica dei meccanismi locali di collasso con analisi cinematica lineare

forza di aggancio al piano = 0 quota mezzeria = 2.61 Wa = 0.03 Ta = 0.1686

Comb.	N top	N base	V orto	α0	M*	e*	a0*	aLim	Verifica
SLV 5	278	-1432	8	0	0	0	0	2.39674	No, Trazione
SLV 3	159	68	7	0	0	0	0	2.39674	No, Trazione
SLV 2	280	339	11	0	0	0	0	2.39674	No, Trazione
SLV 9	156	-3220	2	0	0	0	0	2.39674	No, Trazione
SLV 1	280	339	11	0	0	0	0	2.39674	No, Trazione
SLV 4	159	68	7	0	0	0	0	2.39674	No, Trazione
SLV 10	156	-3220	2	0	0	0	0	2.39674	No, Trazione
SLV 6	278	-1432	8	0	0	0	0	2.39674	No, Trazione
SLV 15	-248	-5893	-12	0.03	436.5	0.955	0.4583	2.39674	No
SLV 16	-248	-5893	-12	0.03	436.5	0.955	0.4583	2.39674	No

Tabella dei coefficienti di sicurezza minimi

Stato limite	Coeff.s.	Comb.	Verifica
PF_SLU	0	SLU 84	No
V_SLU	0	SLU 1	No
PF_SLV	0	SLV 10	No
V_SLV	0	SLV 1	No
PFFP_SLV	0	SLV 4	No
R_SLV	0	SLV 10	No

Maschio 35

Verifiche condotte secondo D.M. 17-01-18 (N.T.C.)

Dati geometrici

X ini.	Y ini.	X fin.	Y fin.	Quota i.	Quota.s	l	Sp.	h netta	h ini.	h fin.	a	a.s.,sx	a.s.,dx
-8.084	-3.134	-8.084	5.825	L2	L3	8.959	0.3	3.76	3.76	3.76			

Caratteristiche del materiale

(Circolare 7 21-01-19 C8.5.I) Muratura in mattoni pieni e malta di calce LC2_Corti

fb	fk	fvk0	fmedio	τ0	fv0	μ	φ	fv,lim	E	G	FC
600000			345000	9000	20000	0.58	0.77	32500	320000000	128000000	1.2

Verifica a pressoflessione nel piano secondo D.M. 17-01-18 NTC §7.8.2.2.1 in combinazioni non sismiche, γM = 3

Comb.	Quota	N	M	σ0	Mu	c.s.	Verifica
SLU 4	0.73	-21345	5466.91	7942	86291.76	15.784	Si
SLU 4	4.49	-45	138.1	17	201.43	1.459	Si
SLU 47	0.73	-27597	7874.25	10268	108035.49	13.72	Si
SLU 47	4.49	-60	208.32	22	267.61	1.285	Si
SLU 44	0.73	-27597	7874.25	10268	108035.49	13.72	Si
SLU 44	4.49	-60	208.32	22	267.61	1.285	Si
SLU 7	0.73	-21345	5466.91	7942	86291.76	15.784	Si
SLU 7	4.49	-45	138.1	17	201.43	1.459	Si
SLU 5	0.73	-21671	6682.98	8063	87465.97	13.088	Si
SLU 5	4.49	-56	191.73	21	248.76	1.297	Si
SLU 2	0.73	-21671	6682.98	8063	87465.97	13.088	Si
SLU 2	4.49	-56	191.73	21	248.76	1.297	Si
SLU 51	0.73	-27270	6658.19	10146	106940.38	16.061	Si
SLU 51	4.49	-49	154.69	18	220.29	1.424	Si
SLU 46	0.73	-27270	6658.19	10146	106940.38	16.061	Si
SLU 46	4.49	-49	154.69	18	220.29	1.424	Si
SLU 49	0.73	-27270	6658.19	10146	106940.38	16.061	Si
SLU 49	4.49	-49	154.69	18	220.29	1.424	Si
SLU 9	0.73	-21345	5466.91	7942	86291.76	15.784	Si
SLU 9	4.49	-45	138.1	17	201.43	1.459	Si

Verifica a pressoflessione nel piano secondo D.M. 17-01-18 NTC §7.8.2.2.1 in combinazioni sismiche, γM = 2

Comb.	Quota	N	M	σ0	Mu	c.s.	Verifica
SLV 10	0.73	-25886	9615.43	9631	106813.19	11.109	Si
SLV 10	4.49	105	1027.32	0	0	0	No, Trazione
SLV 9	0.73	-25886	9615.43	9631	106813.19	11.109	Si
SLV 9	4.49	105	1027.32	0	0	0	No, Trazione
SLV 2	0.73	-17220	3337.21	6407	73092.48	21.902	Si
SLV 2	4.49	194	445.76	0	0	0	No, Trazione
SLV 1	0.73	-17220	3337.21	6407	73092.48	21.902	Si
SLV 1	4.49	194	445.76	0	0	0	No, Trazione
SLV 3	0.73	-15637	-74.3	5818	66708.41	897.771	Si
SLV 3	4.49	75	-150.84	0	0	0	No, Trazione
SLV 8	0.73	-17460	-2816.96	6496	74053.45	26.288	Si
SLV 8	4.49	-186	-908.52	0	0	0	No, e> /2
SLV 7	0.73	-17460	-2816.96	6496	74053.45	26.288	Si
SLV 7	4.49	-186	-908.52	0	0	0	No, e> /2
SLV 5	0.73	-22739	8554.77	8460	94805.01	11.082	Si
SLV 5	4.49	210	1080.16	0	0	0	No, Trazione
SLV 4	0.73	-15637	-74.3	5818	66708.41	897.771	Si
SLV 4	4.49	75	-150.84	0	0	0	No, Trazione
SLV 6	0.73	-22739	8554.77	8460	94805.01	11.082	Si
SLV 6	4.49	210	1080.16	0	0	0	No, Trazione

Verifica a taglio nel piano secondo D.M. 17-01-18 (N.T.C.) §7.8.2.2.2 con rottura per scorrimento in combinazioni non sismiche, γM = 3

Comb.	Quota	N	V par	M	σ0	σN	l'	fvd	Vt scorr.	Vt fess.diag.	Vt,lim	c.s.	Verifica
-------	-------	---	-------	---	----	----	----	-----	-----------	---------------	--------	------	----------



Comb.	Quota	N	V par	M	σ_0	σ_N	I'	fvd	Vt scorr.	Vt fess.diag.	Vt,lim	c.s.	Verifica
SLU 5	0.73	-21671	-287	6682.98		8063	8.9589	6631	17821			62.16	Si
SLU 5	4.49	-56	-28	191.73		60	3.0832	5564	5146			184.93	Si
SLU 23	0.73	-22637	-284	6395.89		8423	8.9589	6679	17950			63.14	Si
SLU 23	4.49	-69	-28	193.81		46	4.9811	5562	8311			297.87	Si
SLU 55	0.73	-29491	-295	7308.83		10973	8.9589	7019	18864			64.03	Si
SLU 55	4.49	-86	-28	212.33		48	6.005	5562	10020			362.62	Si
SLU 26	0.73	-22637	-284	6395.89		8423	8.9589	6679	17950			63.14	Si
SLU 26	4.49	-69	-28	193.81		46	4.9811	5562	8311			297.87	Si
SLU 44	0.73	-27597	-299	7874.25		10268	8.9589	6925	18611			62.18	Si
SLU 44	4.49	-60	-27	208.32		67	2.9802	5564	4975			180.99	Si
SLU 2	0.73	-21671	-287	6682.98		8063	8.9589	6631	17821			62.16	Si
SLU 2	4.49	-56	-28	191.73		60	3.0832	5564	5146			184.93	Si
SLU 65	0.73	-28563	-297	7587.16		10627	8.9589	6973	18740			63.12	Si
SLU 65	4.49	-73	-28	210.4		51	4.7871	5562	7988			289.84	Si
SLU 47	0.73	-27597	-299	7874.25		10268	8.9589	6925	18611			62.18	Si
SLU 47	4.49	-60	-27	208.32		67	2.9802	5564	4975			180.99	Si
SLU 68	0.73	-28563	-297	7587.16		10627	8.9589	6973	18740			63.12	Si
SLU 68	4.49	-73	-28	210.4		51	4.7871	5562	7988			289.84	Si
SLU 52	0.73	-29491	-295	7308.83		10973	8.9589	7019	18864			64.03	Si
SLU 52	4.49	-86	-28	212.33		48	6.005	5562	10020			362.62	Si

Verifica a taglio nel piano secondo D.M. 17-01-18 (N.T.C.) §7.8.2.2.2 con rottura per scorrimento in combinazioni sismiche, $\gamma_M = 2$

Comb.	Quota	N	V par	M	σ_0	σ_N	I'	fvd	Vt scorr.	Vt fess.diag.	Vt,lim	c.s.	Verifica
SLV 9	0.73	-25886	-7301	9615.43		9631	8.9589	10260	27574			3.78	Si
SLV 9	4.49	105	-423	1027.32		0	0	8333	0			0	No, Vu<V
SLV 3	0.73	-15637	1680	-74.3		5818	8.9589	9497	25525			15.19	Si
SLV 3	4.49	75	229	-150.84		0	0	8333	0			0	No, Vu<V
SLV 8	0.73	-17460	7227	-2816.96		6496	8.9589	9633	25889			3.58	Si
SLV 8	4.49	-186	425	-908.52		0	0	8333	0			0	No, Vu<V
SLV 2	0.73	-17220	-2770	3337.21		6407	8.9589	9615	25841			9.33	Si
SLV 2	4.49	194	-5	445.76		0	0	8333	0			0	No, Vu<V
SLV 4	0.73	-15637	1680	-74.3		5818	8.9589	9497	25525			15.19	Si
SLV 4	4.49	75	229	-150.84		0	0	8333	0			0	No, Vu<V
SLV 6	0.73	-22739	-7606	8554.77		8460	8.9589	10025	26945			3.54	Si
SLV 6	4.49	210	-356	1080.16		0	0	8333	0			0	No, Vu<V
SLV 7	0.73	-17460	7227	-2816.96		6496	8.9589	9633	25889			3.58	Si
SLV 7	4.49	-186	425	-908.52		0	0	8333	0			0	No, Vu<V
SLV 5	0.73	-22739	-7606	8554.77		8460	8.9589	10025	26945			3.54	Si
SLV 5	4.49	210	-356	1080.16		0	0	8333	0			0	No, Vu<V
SLV 1	0.73	-17220	-2770	3337.21		6407	8.9589	9615	25841			9.33	Si
SLV 1	4.49	194	-5	445.76		0	0	8333	0			0	No, Vu<V
SLV 10	0.73	-25886	-7301	9615.43		9631	8.9589	10260	27574			3.78	Si
SLV 10	4.49	105	-423	1027.32		0	0	8333	0			0	No, Vu<V

Verifica a pressoflessione fuori piano D.M. 17-01-18 (N.T.C.)

quota 2.61 Wa 0.05 denominatore 8 $\gamma_M = 2$

Comb.	fd	Sa	σ_0	N	M	Mc	Coeff.s.	Verifica
SLV 8	143750	0.46	0	-7917	1303.33	0	0	No, $e > t/2$
SLV 4	143750	0.46	0	-8084	1303.33	0	0	No, $e > t/2$
SLV 7	143750	0.46	0	-7917	1303.33	0	0	No, $e > t/2$
SLV 3	143750	0.46	0	-8084	1303.33	0	0	No, $e > t/2$
SLV 12	143750	0.46	3475	-9340	1303.33	1361.14	1.04	Si
SLV 11	143750	0.46	3475	-9340	1303.33	1361.14	1.04	Si
SLV 1	143750	0.46	3590	-9650	1303.33	1404.92	1.08	Si
SLV 2	143750	0.46	3590	-9650	1303.33	1404.92	1.08	Si
SLV 15	143750	0.46	4772	-12826	1303.33	1848.82	1.42	Si
SLV 16	143750	0.46	4772	-12826	1303.33	1848.82	1.42	Si

Verifica dei meccanismi locali di collasso con analisi cinematica lineare

forza di aggancio al piano = 0 quota mezzera = 2.61 Wa = 0.05 Ta = 0.0787

Comb.	N top	N base	V orto	α_0	M*	e*	α_0^*	α_{lim}	Verifica
SLV 5	210	-22739	-63	0	0	0	0	8.8646	No, Trazione
SLV 4	75	-15637	-99	0	0	0	0	7.65071	No, Trazione
SLV 3	75	-15637	-99	0	0	0	0	7.65071	No, Trazione
SLV 10	105	-25886	2	0	0	0	0	8.8646	No, Trazione
SLV 2	194	-17220	-117	0	0	0	0	7.65071	No, Trazione
SLV 9	105	-25886	2	0	0	0	0	8.8646	No, Trazione
SLV 6	210	-22739	-63	0	0	0	0	8.8646	No, Trazione
SLV 1	194	-17220	-117	0	0	0	0	7.65071	No, Trazione
SLV 12	-291	-20607	63	0.072	1856	0.985	1.05902	8.8646	No
SLV 11	-291	-20607	63	0.072	1856	0.985	1.05902	8.8646	No

Tabella dei coefficienti di sicurezza minimi

Stato limite	Coeff.s.	Comb.	Verifica
PF_SLU	1.285	SLU 44	Si
V_SLU	62.162	SLU 2	Si
PF_SLV	0	SLV 10	No
V_SLV	0	SLV 1	No
PFFP_SLV	0	SLV 3	No
R_SLV	0	SLV 10	No



2.4 Verifiche travi di accoppiamento in muratura

Le unità di misura elencate nel capitolo sono in [m, daN] ove non espressamente specificato.

X ini.: coordinata punto iniziale. [m]

Y ini.: coordinata punto iniziale. [m]

Z ini.inf.: coordinata punto iniziale. [m]

Z ini.sup.: coordinata punto iniziale. [m]

H ini.: altezza della sezione iniziale. [m]

X fin.: coordinata punto finale. [m]

Y fin.: coordinata punto finale. [m]

Z fin.inf.: coordinata punto finale. [m]

Z fin.sup.: coordinata punto finale. [m]

H fin.: altezza della sezione finale. [m]

Luce: lunghezza della trave. [m]

Spessore: spessore. [m]

R. Trazione: resistenza a trazione dell'elemento teso disposto orizzontalmente. [daN]

fb: resistenza normalizzata a compressione in direzione orizzontale dei blocchi. [daN/m²]

f_{hk}: resistenza caratteristica a compressione della muratura utilizzata in direzione orizzontale. [daN/m²]

f_{vk0}: resistenza caratteristica a taglio in assenza di carichi verticali. [daN/m²]

f_{hmedio}: resistenza media a compressione della muratura utilizzata in direzione orizzontale. [daN/m²]

τ₀: resistenza media a taglio in assenza di azioni normali [C8.7.1.16]. [daN/m²]

f_{v0}: resistenza media a taglio in assenza di azioni normali [C8.7.1.17]. [daN/m²]

μ: coefficiente di attrito [C8.7.1.17].

φ: coefficiente di ammortamento o ingranamento secondo Circolare 7 21-01-19 §C8.7.1.3.1.1.

f_{vk,lim}: valore caratteristico massimo della resistenza a taglio che può essere impiegata nel calcolo (§11.10.3.3). [daN/m²]

E: modulo di elasticità longitudinale della muratura utilizzato. [daN/m²]

G: modulo di elasticità tangenziale della muratura utilizzato. [daN/m²]

FC: fattore di confidenza della muratura.

Sezione: sezione di verifica.

yM: fattore parziale di sicurezza del materiale.

N: sforzo normale. [daN]

M: momento flettente nel piano. [daN*m]

Mu: momento ultimo. [daN*m]

Comb.: combinazione.

c.s.: coefficiente di sicurezza.

Verifica: stato di verifica.

M: momento flettente. [daN*m]

V: taglio nel piano. [daN]

Vt: resistenza a taglio secondo [7.8.4]. [daN]

Vp: resistenza a taglio secondo [7.8.6]. [daN]

Vt fess. diag.: resistenza a taglio per fessurazione diagonale secondo §C8.7.1.3.1.1 formule [C8.7.1.16] ovvero [C8.7.1.17]. [daN]

Vt,lim: taglio limite [C8.1.7.18]. [daN]

Stato limite: pF_SLV=Presso flessione per azioni sismiche; V_SLV=Taglio per azioni sismiche.

Coeff.s.: coefficiente di sicurezza.

Trave di accoppiamento 1

Verifiche condotte secondo D.M. 17-01-18 (N.T.C.)

Dati geometrici

X ini.	Y ini.	Z ini.inf.	Z ini.sup.	H ini.	X fin.	Y fin.	Z fin.inf.	Z fin.sup.	H fin.	Luce	Spessore	R. Trazione
-18.459	-3.134	-1.98	0.02	2	-19.459	-3.134	-1.98	0.02	2	1	0.45	30000

Caratteristiche del materiale

(Circolare 7 21-01-19 C8.5.I) Muratura in mattoni pieni e malta di calce LC2_Corti

fb	f _{hk}	f _{vk0}	f _{hmedio}	τ ₀	f _{v0}	μ	φ	f _{vk,lim}	E	G	FC
120000			172500	9000	20000	0.577	0.767	6500	320000000	128000000	1.2

Verifiche a pressoflessione delle travi in muratura in combinazioni non sismiche

Sezione	yM	N	M	Mu	Comb.	c.s.	Verifica
ini.	3	-2265	-182.59	9132.35	SLU 78	50.02	Si
fin.	3	-1370	-561.95	9132.35	SLU 78	16.25	Si
ini.	3	-2265	-182.59	9132.35	SLU 75	50.02	Si
fin.	3	-1370	-561.95	9132.35	SLU 75	16.25	Si
ini.	3	-2414	-183.71	9132.35	SLU 81	49.71	Si
fin.	3	-1426	-612.34	9132.35	SLU 81	14.91	Si
ini.	3	-2264	-182.2	9132.35	SLU 73	50.12	Si
fin.	3	-1368	-564.27	9132.35	SLU 73	16.18	Si
ini.	3	-2414	-183.71	9132.35	SLU 83	49.71	Si
fin.	3	-1426	-612.34	9132.35	SLU 83	14.91	Si



Sezione	yM	N	M	Mu	Comb.	c.s.	Verifica
ini.	3	-2264	-182.2	9132.35	SLU 76	50.12	Si
fin.	3	-1368	-564.27	9132.35	SLU 76	16.18	Si
ini.	3	-2266	-183.16	9132.35	SLU 79	49.86	Si
fin.	3	-1371	-558.47	9132.35	SLU 79	16.35	Si
ini.	3	-2412	-183.14	9132.35	SLU 84	49.87	Si
fin.	3	-1425	-615.82	9132.35	SLU 84	14.83	Si
ini.	3	-2265	-182.59	9132.35	SLU 80	50.02	Si
fin.	3	-1370	-561.95	9132.35	SLU 80	16.25	Si
ini.	3	-2412	-183.14	9132.35	SLU 82	49.87	Si
fin.	3	-1425	-615.82	9132.35	SLU 82	14.83	Si

Verifiche a taglio delle travi in muratura secondo §C8.7.1.3.1 in combinazioni non sismiche

Sezione	yM	N	M	V	Vt	Vp	Vt fess. diag.	Vt,lim	Comb.	c.s.	Verifica
ini.	3	-2056	-141.48	-3233			4288	1693	SLU 40	0.52	No
fin.	3	-1170	-547.74	1064			3934	1538	SLU 40	1.45	Si
ini.	3	-2264	-182.2	-3292			4372	1728	SLU 73	0.52	No
fin.	3	-1368	-564.27	1224			4013	1574	SLU 73	1.29	Si
ini.	3	-2264	-182.2	-3292			4372	1728	SLU 76	0.52	No
fin.	3	-1368	-564.27	1224			4013	1574	SLU 76	1.29	Si
ini.	3	-2412	-183.14	-3621			4431	1752	SLU 82	0.48	No
fin.	3	-1425	-615.82	1286			4036	1584	SLU 82	1.23	Si
ini.	3	-2414	-183.71	-3619			4431	1752	SLU 81	0.48	No
fin.	3	-1426	-612.34	1294			4037	1584	SLU 81	1.22	Si
ini.	3	-2056	-141.48	-3233			4288	1693	SLU 42	0.52	No
fin.	3	-1170	-547.74	1064			3934	1538	SLU 42	1.45	Si
ini.	3	-2412	-183.14	-3621			4431	1752	SLU 84	0.48	No
fin.	3	-1425	-615.82	1286			4036	1584	SLU 84	1.23	Si
ini.	3	-2057	-142.05	-3232			4289	1694	SLU 39	0.52	No
fin.	3	-1172	-544.26	1072			3935	1538	SLU 39	1.44	Si
ini.	3	-2057	-142.05	-3232			4289	1694	SLU 41	0.52	No
fin.	3	-1172	-544.26	1072			3935	1538	SLU 41	1.44	Si
ini.	3	-2414	-183.71	-3619			4431	1752	SLU 83	0.48	No
fin.	3	-1426	-612.34	1294			4037	1584	SLU 83	1.22	Si

Verifiche a pressoflessione delle travi in muratura in combinazioni sismiche

Sezione	yM	N	M	Mu	Comb.	c.s.	Verifica
ini.	2	-2529	89.77	13698.53	SLV 5	152.59	Si
fin.	2	-1410	-830.95	13698.53	SLV 5	16.49	Si
ini.	2	-818	-780.29	13698.53	SLV 16	17.56	Si
fin.	2	-1224	489.44	13698.53	SLV 16	27.99	Si
ini.	2	-1746	475.05	13698.53	SLV 4	28.84	Si
fin.	2	-400	-1051.74	13698.53	SLV 4	13.02	Si
ini.	2	-818	-780.29	13698.53	SLV 15	17.56	Si
fin.	2	-1224	489.44	13698.53	SLV 15	27.99	Si
ini.	2	-1746	475.05	13698.53	SLV 3	28.84	Si
fin.	2	-400	-1051.74	13698.53	SLV 3	13.02	Si
ini.	2	-2529	89.77	13698.53	SLV 6	152.59	Si
fin.	2	-1410	-830.95	13698.53	SLV 6	16.49	Si
ini.	2	-1329	-755.32	13698.53	SLV 14	18.14	Si
fin.	2	-1557	342.38	13698.53	SLV 14	40.01	Si
ini.	2	-2257	500.01	13698.53	SLV 1	27.4	Si
fin.	2	-733	-1198.8	13698.53	SLV 1	11.43	Si
ini.	2	-1329	-755.32	13698.53	SLV 13	18.14	Si
fin.	2	-1557	342.38	13698.53	SLV 13	40.01	Si
ini.	2	-2257	500.01	13698.53	SLV 2	27.4	Si
fin.	2	-733	-1198.8	13698.53	SLV 2	11.43	Si

Verifiche a taglio delle travi in muratura secondo §C8.7.1.3.1 in combinazioni sismiche

Sezione	yM	N	M	V	Vt	Vp	Vt fess. diag.	Vt,lim	Comb.	c.s.	Verifica
ini.	2	-2257	500.01	-4651			6102	2398	SLV 1	0.52	No
fin.	2	-733	-1198.8	-1088			5492	2110	SLV 1	1.94	Si
ini.	2	-1746	475.05	-4117			5897	2305	SLV 4	0.56	No
fin.	2	-400	-1051.74	-1258			5359	2042	SLV 4	1.62	Si
ini.	2	-1746	475.05	-4117			5897	2305	SLV 3	0.56	No
fin.	2	-400	-1051.74	-1258			5359	2042	SLV 3	1.62	Si
ini.	2	-1329	-755.32	-27			5731	2227	SLV 14	83.8	Si
fin.	2	-1557	342.38	3005			5822	2270	SLV 14	0.76	No
ini.	2	-2257	500.01	-4651			6102	2398	SLV 2	0.52	No
fin.	2	-733	-1198.8	-1088			5492	2110	SLV 2	1.94	Si
ini.	2	-818	-780.29	507			5526	2127	SLV 16	4.19	Si
fin.	2	-1224	489.44	2835			5689	2207	SLV 16	0.78	No
ini.	2	-818	-780.29	507			5526	2127	SLV 15	4.19	Si
fin.	2	-1224	489.44	2835			5689	2207	SLV 15	0.78	No
ini.	2	-2529	89.77	-3655			6211	2445	SLV 5	0.67	No
fin.	2	-1410	-830.95	543			5763	2242	SLV 5	4.13	Si
ini.	2	-2529	89.77	-3655			6211	2445	SLV 6	0.67	No
fin.	2	-1410	-830.95	543			5763	2242	SLV 6	4.13	Si
ini.	2	-1329	-755.32	-27			5731	2227	SLV 13	83.8	Si
fin.	2	-1557	342.38	3005			5822	2270	SLV 13	0.76	No

Tabella dei coefficienti di sicurezza minimi

Stato limite	Coeff.s.	Comb.	Verifica
PF_SLV	11.427	SLV 1	Si
V_SLV	0.515	SLV 1	No
PF_SLU	14.83	SLU 82	Si
V_SLU	0.484	SLU 82	No



Trave di accoppiamento 2

Verifiche condotte secondo D.M. 17-01-18 (N.T.C.)

Dati geometrici

X ini.	Y ini.	Z ini.inf.	Z ini.sup.	H ini.	X fin.	Y fin.	Z fin.inf.	Z fin.sup.	H fin.	Luce	Spessore	R. Trazione
-18.459	-3.134	0.42	0.73	0.31	-19.459	-3.134	0.42	0.73	0.31	1	0.45	30000

Caratteristiche del materiale

(Circolare 7 21-01-19 C8.5.I) Muratura in mattoni pieni e malta di calce LC2_Corti

fb_	f _{hk}	f _{vk0}	f _{hmedio}	τ ₀	f _{v0}	μ	φ	f _{vk,lim}	E	G	FC
120000			172500	9000	20000	0.577	0.767	6500	320000000	128000000	1.2

Verifiche a pressoflessione delle travi in muratura in combinazioni non sismiche

Sezione	yM	N	M	Mu	Comb.	c.s.	Verifica
ini.	3	19	-193.7	219.4	SLU 75	1.13	Si
fin.	3	99	-158.57	219.4	SLU 75	1.38	Si
ini.	3	15	-212.65	219.4	SLU 81	1.03	Si
fin.	3	105	-174.08	219.4	SLU 81	1.26	Si
ini.	3	15	-194.4	219.4	SLU 74	1.13	Si
fin.	3	97	-158.57	219.4	SLU 74	1.38	Si
ini.	3	15	-212.65	219.4	SLU 83	1.03	Si
fin.	3	105	-174.08	219.4	SLU 83	1.26	Si
ini.	3	19	-193.7	219.4	SLU 78	1.13	Si
fin.	3	99	-158.57	219.4	SLU 78	1.38	Si
ini.	3	15	-194.4	219.4	SLU 79	1.13	Si
fin.	3	97	-158.57	219.4	SLU 79	1.38	Si
ini.	3	15	-194.4	219.4	SLU 77	1.13	Si
fin.	3	97	-158.57	219.4	SLU 77	1.38	Si
ini.	3	18	-211.95	219.4	SLU 84	1.04	Si
fin.	3	106	-174.08	219.4	SLU 84	1.26	Si
ini.	3	19	-193.7	219.4	SLU 80	1.13	Si
fin.	3	99	-158.57	219.4	SLU 80	1.38	Si
ini.	3	18	-211.95	219.4	SLU 82	1.04	Si
fin.	3	106	-174.08	219.4	SLU 82	1.26	Si

Verifiche a taglio delle travi in muratura secondo §C8.7.1.3.1 in combinazioni non sismiche

Sezione	yM	N	M	V	Vt	Vp	Vt fess. diag.	Vt,lim	Comb.	c.s.	Verifica
ini.	3	15	-212.65	1042			358	133	SLU 81	0.13	No
fin.	3	105	-174.08	-939			358	119	SLU 81	0.13	No
ini.	3	21	-193.23	954			358	132	SLU 76	0.14	No
fin.	3	100	-158.58	-862			358	119	SLU 76	0.14	No
ini.	3	21	-193.23	954			358	132	SLU 73	0.14	No
fin.	3	100	-158.58	-862			358	119	SLU 73	0.14	No
ini.	3	19	-193.7	956			358	132	SLU 78	0.14	No
fin.	3	99	-158.57	-863			358	120	SLU 78	0.14	No
ini.	3	18	-211.95	1039			358	132	SLU 84	0.13	No
fin.	3	106	-174.08	-938			358	118	SLU 84	0.13	No
ini.	3	15	-212.65	1042			358	133	SLU 83	0.13	No
fin.	3	105	-174.08	-939			358	119	SLU 83	0.13	No
ini.	3	19	-193.7	956			358	132	SLU 80	0.14	No
fin.	3	99	-158.57	-863			358	120	SLU 80	0.14	No
ini.	3	18	-211.95	1039			358	132	SLU 82	0.13	No
fin.	3	106	-174.08	-938			358	118	SLU 82	0.13	No
ini.	3	15	-194.4	958			358	133	SLU 79	0.14	No
fin.	3	97	-158.57	-863			358	120	SLU 79	0.14	No
ini.	3	19	-193.7	956			358	132	SLU 75	0.14	No
fin.	3	99	-158.57	-863			358	120	SLU 75	0.14	No

Verifiche a pressoflessione delle travi in muratura in combinazioni sismiche

Sezione	yM	N	M	Mu	Comb.	c.s.	Verifica
ini.	2	-364	-201.58	329.11	SLV 13	1.63	Si
fin.	2	294	-6.11	329.11	SLV 13	53.87	Si
ini.	2	389	-46.76	329.11	SLV 3	7.04	Si
fin.	2	-164	-194.71	329.11	SLV 3	1.69	Si
ini.	2	-432	-194.36	329.11	SLV 11	1.69	Si
fin.	2	161	-23.76	329.11	SLV 11	13.85	Si
ini.	2	571	-20.9	329.11	SLV 2	15.74	Si
fin.	2	-180	-221.33	329.11	SLV 2	1.49	Si
ini.	2	-547	-227.43	329.11	SLV 15	1.45	Si
fin.	2	309	20.51	329.11	SLV 15	16.05	Si
ini.	2	-364	-201.58	329.11	SLV 14	1.63	Si
fin.	2	294	-6.11	329.11	SLV 14	53.87	Si
ini.	2	571	-20.9	329.11	SLV 1	15.74	Si
fin.	2	-180	-221.33	329.11	SLV 1	1.49	Si
ini.	2	-547	-227.43	329.11	SLV 16	1.45	Si
fin.	2	309	20.51	329.11	SLV 16	16.05	Si
ini.	2	389	-46.76	329.11	SLV 4	7.04	Si
fin.	2	-164	-194.71	329.11	SLV 4	1.69	Si
ini.	2	-432	-194.36	329.11	SLV 12	1.69	Si
fin.	2	161	-23.76	329.11	SLV 12	13.85	Si

Verifiche a taglio delle travi in muratura secondo §C8.7.1.3.1 in combinazioni sismiche

Sezione	yM	N	M	V	Vt	Vp	Vt fess. diag.	Vt,lim	Comb.	c.s.	Verifica
ini.	2	571	-20.9	217			537	86	SLV 2	0.4	No
fin.	2	-180	-221.33	-880			585	227	SLV 2	0.26	No
ini.	2	571	-20.9	217			537	86	SLV 1	0.4	No



Sezione	yM	N	M	V	Vt	Vp	Vt fess. diag.	Vt,lim	Comb.	c.s.	Verifica
fin.	2	-180	-221.33	-880			585	227	SLV 1	0.26	No
ini.	2	176	-108.18	855			537	175	SLV 9	0.2	No
fin.	2	110	-112.49	-551			537	186	SLV 9	0.34	No
ini.	2	-364	-201.58	1087			634	249	SLV 13	0.23	No
fin.	2	294	-6.11	-287			537	154	SLV 13	0.54	No
ini.	2	-547	-227.43	1025			683	270	SLV 15	0.26	No
fin.	2	309	20.51	-239			537	151	SLV 15	0.63	No
ini.	2	457	-53.98	594			537	119	SLV 5	0.2	No
fin.	2	-32	-177.06	-729			546	207	SLV 5	0.28	No
ini.	2	-547	-227.43	1025			683	270	SLV 16	0.26	No
fin.	2	309	20.51	-239			537	151	SLV 16	0.63	No
ini.	2	457	-53.98	594			537	119	SLV 6	0.2	No
fin.	2	-32	-177.06	-729			546	207	SLV 6	0.28	No
ini.	2	-364	-201.58	1087			634	249	SLV 14	0.23	No
fin.	2	294	-6.11	-287			537	154	SLV 14	0.54	No
ini.	2	176	-108.18	855			537	175	SLV 10	0.2	No
fin.	2	110	-112.49	-551			537	186	SLV 10	0.34	No

Tabella dei coefficienti di sicurezza minimi

Stato limite	Coeff.s.	Comb.	Verifica
PF_SLV	1.447	SLV 15	Si
V_SLV	0.2	SLV 5	No
PF_SLU	1.032	SLU 81	Si
V_SLU	0.126	SLU 82	No

Trave di accoppiamento 3

Verifiche condotte secondo D.M. 17-01-18 (N.T.C.)

Dati geometrici

X ini.	Y ini.	Z ini.inf.	Z ini.sup.	H ini.	X fin.	Y fin.	Z fin.inf.	Z fin.sup.	H fin.	Luce	Spessore	R. Trazione
-14.864	-3.134	-1.98	0.02	2	-15.864	-3.134	-1.98	0.02	2	1	0.45	30000

Caratteristiche del materiale

(Circolare 7 21-01-19 C8.5.I) Muratura in mattoni pieni e malta di calce LC2_Corti

fb	fhk	fvk0	fhmmedio	τ0	fv0	μ	φ	fvk,lim	E	G	FC
120000			172500	9000	20000	0.577	0.767	6500	320000000	128000000	1.2

Verifiche a pressoflessione delle travi in muratura in combinazioni non sismiche

Sezione	yM	N	M	Mu	Comb.	c.s.	Verifica
ini.	3	-2350	76.56	9132.35	SLU 47	119.29	Si
fin.	3	-2347	-166.24	9132.35	SLU 47	54.94	Si
ini.	3	-2352	78.27	9132.35	SLU 50	116.68	Si
fin.	3	-2349	-166.82	9132.35	SLU 50	54.74	Si
ini.	3	-2351	77.24	9132.35	SLU 51	118.23	Si
fin.	3	-2348	-166.47	9132.35	SLU 51	54.86	Si
ini.	3	-2352	78.27	9132.35	SLU 43	116.68	Si
fin.	3	-2349	-166.82	9132.35	SLU 43	54.74	Si
ini.	3	-2352	78.27	9132.35	SLU 48	116.68	Si
fin.	3	-2349	-166.82	9132.35	SLU 48	54.74	Si
ini.	3	-2352	78.27	9132.35	SLU 45	116.68	Si
fin.	3	-2349	-166.82	9132.35	SLU 45	54.74	Si
ini.	3	-2351	77.24	9132.35	SLU 46	118.23	Si
fin.	3	-2348	-166.47	9132.35	SLU 46	54.86	Si
ini.	3	-2351	77.24	9132.35	SLU 49	118.23	Si
fin.	3	-2348	-166.47	9132.35	SLU 49	54.86	Si
ini.	3	-2624	69.01	9132.35	SLU 64	132.34	Si
fin.	3	-2632	-163.41	9132.35	SLU 64	55.88	Si
ini.	3	-2350	76.56	9132.35	SLU 44	119.29	Si
fin.	3	-2347	-166.24	9132.35	SLU 44	54.94	Si

Verifiche a taglio delle travi in muratura secondo §C8.7.1.3.1 in combinazioni non sismiche

Sezione	yM	N	M	V	Vt	Vp	Vt fess. diag.	Vt,lim	Comb.	c.s.	Verifica
ini.	3	-3382	43.05	-2677			4819	1903	SLU 81	0.71	No
fin.	3	-3422	-153.82	1224			4835	1908	SLU 81	1.56	Si
ini.	3	-3155	50.84	-2453			4728	1868	SLU 77	0.76	No
fin.	3	-3185	-156.7	1032			4740	1873	SLU 77	1.82	Si
ini.	3	-3153	49.81	-2452			4727	1868	SLU 78	0.76	No
fin.	3	-3184	-156.35	1033			4739	1873	SLU 78	1.81	Si
ini.	3	-3155	50.84	-2453			4728	1868	SLU 79	0.76	No
fin.	3	-3185	-156.7	1032			4740	1873	SLU 79	1.82	Si
ini.	3	-3153	49.81	-2452			4727	1868	SLU 75	0.76	No
fin.	3	-3184	-156.35	1033			4739	1873	SLU 75	1.81	Si
ini.	3	-3153	49.81	-2452			4727	1868	SLU 80	0.76	No
fin.	3	-3184	-156.35	1033			4739	1873	SLU 80	1.81	Si
ini.	3	-3382	43.05	-2677			4819	1903	SLU 83	0.71	No
fin.	3	-3422	-153.82	1224			4835	1908	SLU 83	1.56	Si
ini.	3	-3381	42.03	-2676			4818	1902	SLU 84	0.71	No
fin.	3	-3420	-153.47	1225			4834	1908	SLU 84	1.56	Si
ini.	3	-3155	50.84	-2453			4728	1868	SLU 74	0.76	No
fin.	3	-3185	-156.7	1032			4740	1873	SLU 74	1.82	Si
ini.	3	-3381	42.03	-2676			4818	1902	SLU 82	0.71	No
fin.	3	-3420	-153.47	1225			4834	1908	SLU 82	1.56	Si



Verifiche a pressoflessione delle travi in muratura in combinazioni sismiche

Sezione	yM	N	M	Mu	Comb.	c.s.	Verifica
ini.	2	-2404	697.89	13698.53	SLV 3	19.63	Si
fin.	2	-1494	-990.58	13698.53	SLV 3	13.83	Si
ini.	2	-1817	-598.04	13698.53	SLV 14	22.91	Si
fin.	2	-2747	741.51	13698.53	SLV 14	18.47	Si
ini.	2	-1473	-631.97	13698.53	SLV 16	21.68	Si
fin.	2	-2511	954.59	13698.53	SLV 16	14.35	Si
ini.	2	-1817	-598.04	13698.53	SLV 13	22.91	Si
fin.	2	-2747	741.51	13698.53	SLV 13	18.47	Si
ini.	2	-2404	697.89	13698.53	SLV 4	19.63	Si
fin.	2	-1494	-990.58	13698.53	SLV 4	13.83	Si
ini.	2	-2748	731.82	13698.53	SLV 1	18.72	Si
fin.	2	-1730	-1203.65	13698.53	SLV 1	11.38	Si
ini.	2	-2822	305.96	13698.53	SLV 5	44.77	Si
fin.	2	-2361	-771.43	13698.53	SLV 5	17.76	Si
ini.	2	-1473	-631.97	13698.53	SLV 15	21.68	Si
fin.	2	-2511	954.59	13698.53	SLV 15	14.35	Si
ini.	2	-2822	305.96	13698.53	SLV 6	44.77	Si
fin.	2	-2361	-771.43	13698.53	SLV 6	17.76	Si
ini.	2	-2748	731.82	13698.53	SLV 2	18.72	Si
fin.	2	-1730	-1203.65	13698.53	SLV 2	11.38	Si

Verifiche a taglio delle travi in muratura secondo §C8.7.1.3.1 in combinazioni sismiche

Sezione	yM	N	M	V	Vt	Vp	Vt fess. diag.	Vt,lim	Comb.	c.s.	Verifica
ini.	2	-1473	-631.97	1087			5788	2254	SLV 15	2.07	Si
fin.	2	-2511	954.59	2669			6203	2442	SLV 15	0.92	No
ini.	2	-1817	-598.04	646			5926	2318	SLV 14	3.59	Si
fin.	2	-2747	741.51	2772			6298	2483	SLV 14	0.9	No
ini.	2	-1817	-598.04	646			5926	2318	SLV 13	3.59	Si
fin.	2	-2747	741.51	2772			6298	2483	SLV 13	0.9	No
ini.	2	-2404	697.89	-3794			6161	2423	SLV 4	0.64	No
fin.	2	-1494	-990.58	-1719			5797	2258	SLV 4	1.31	Si
ini.	2	-2748	731.82	-4235			6298	2483	SLV 1	0.59	No
fin.	2	-1730	-1203.65	-1616			5891	2302	SLV 1	1.42	Si
ini.	2	-2822	305.96	-3042			6328	2496	SLV 6	0.82	No
fin.	2	-2361	-771.43	40			6144	2416	SLV 6	59.87	Si
ini.	2	-1473	-631.97	1087			5788	2254	SLV 16	2.07	Si
fin.	2	-2511	954.59	2669			6203	2442	SLV 16	0.92	No
ini.	2	-2822	305.96	-3042			6328	2496	SLV 5	0.82	No
fin.	2	-2361	-771.43	40			6144	2416	SLV 5	59.87	Si
ini.	2	-2404	697.89	-3794			6161	2423	SLV 3	0.64	No
fin.	2	-1494	-990.58	-1719			5797	2258	SLV 3	1.31	Si
ini.	2	-2748	731.82	-4235			6298	2483	SLV 2	0.59	No
fin.	2	-1730	-1203.65	-1616			5891	2302	SLV 2	1.42	Si

Tabella dei coefficienti di sicurezza minimi

Stato limite	Coeff.s.	Comb.	Verifica
PF_SLV	11.381	SLV 1	Si
V_SLV	0.586	SLV 1	No
PF_SLU	54.742	SLU 43	Si
V_SLU	0.711	SLU 81	No

Trave di accoppiamento 4

Verifiche condotte secondo D.M. 17-01-18 (N.T.C.)

Dati geometrici

X ini.	Y ini.	Z ini.inf.	Z ini.sup.	H ini.	X fin.	Y fin.	Z fin.inf.	Z fin.sup.	H fin.	Luce	Spessore	R. Trazione
-14.864	-3.134	0.42	0.73	0.31	-15.864	-3.134	0.42	0.73	0.31	1	0.45	30000

Caratteristiche del materiale

(Circolare 7 21-01-19 C8.5.I) Muratura in mattoni pieni e malta di calce LC2_Corti

fb	f _{hk}	f _{vk0}	f _{hmedio}	τ ₀	f _{v0}	μ	φ	f _{vk,lim}	E	G	FC
120000			172500	9000	20000	0.577	0.767	6500	320000000	128000000	1.2

Verifiche a pressoflessione delle travi in muratura in combinazioni non sismiche

Sezione	yM	N	M	Mu	Comb.	c.s.	Verifica
ini.	3	-757	-292.61	219.4	SLU 82	0.75	No
fin.	3	-757	-207.9	219.4	SLU 82	1.06	Si
ini.	3	-757	-292.46	219.4	SLU 83	0.75	No
fin.	3	-757	-208.03	219.4	SLU 83	1.05	Si
ini.	3	-717	-277.51	219.4	SLU 41	0.79	No
fin.	3	-717	-191.64	219.4	SLU 41	1.14	Si
ini.	3	-657	-254.05	219.4	SLU 73	0.86	No
fin.	3	-657	-184.55	219.4	SLU 73	1.19	Si
ini.	3	-717	-277.66	219.4	SLU 40	0.79	No
fin.	3	-717	-191.51	219.4	SLU 40	1.15	Si
ini.	3	-657	-254.05	219.4	SLU 76	0.86	No
fin.	3	-657	-184.55	219.4	SLU 76	1.19	Si
ini.	3	-717	-277.51	219.4	SLU 39	0.79	No
fin.	3	-717	-191.64	219.4	SLU 39	1.14	Si
ini.	3	-757	-292.61	219.4	SLU 84	0.75	No
fin.	3	-757	-207.9	219.4	SLU 84	1.06	Si
ini.	3	-717	-277.66	219.4	SLU 42	0.79	No



Sezione	yM	N	M	Mu	Comb.	c.s.	Verifica
fin.	3	-717	-191.51	219.4	SLU 42	1.15	Si
ini.	3	-757	-292.46	219.4	SLU 81	0.75	No
fin.	3	-757	-208.03	219.4	SLU 81	1.05	Si

Verifiche a taglio delle travi in muratura secondo §C8.7.1.3.1 in combinazioni non sismiche

Sezione	yM	N	M	V	Vt	Vp	Vt fess. diag.	Vt,lim	Comb.	c.s.	Verifica
ini.	3	-657	-254.05	1279			533	209	SLU 76	0.16	No
fin.	3	-657	-184.55	-1140			533	209	SLU 76	0.18	No
ini.	3	-717	-277.66	1364			549	215	SLU 42	0.16	No
fin.	3	-717	-191.51	-1192			549	215	SLU 42	0.18	No
ini.	3	-757	-292.46	1457			560	219	SLU 81	0.15	No
fin.	3	-757	-208.03	-1289			560	219	SLU 81	0.17	No
ini.	3	-717	-277.51	1364			549	215	SLU 39	0.16	No
fin.	3	-717	-191.64	-1192			549	215	SLU 39	0.18	No
ini.	3	-757	-292.61	1458			560	218	SLU 82	0.15	No
fin.	3	-757	-207.9	-1288			560	218	SLU 82	0.17	No
ini.	3	-657	-254.05	1279			533	209	SLU 73	0.16	No
fin.	3	-657	-184.55	-1140			533	209	SLU 73	0.18	No
ini.	3	-757	-292.46	1457			560	219	SLU 83	0.15	No
fin.	3	-757	-208.03	-1289			560	219	SLU 83	0.17	No
ini.	3	-757	-292.61	1458			560	218	SLU 84	0.15	No
fin.	3	-757	-207.9	-1288			560	218	SLU 84	0.17	No
ini.	3	-717	-277.66	1364			549	215	SLU 40	0.16	No
fin.	3	-717	-191.51	-1192			549	215	SLU 40	0.18	No
ini.	3	-717	-277.51	1364			549	215	SLU 41	0.16	No
fin.	3	-717	-191.64	-1192			549	215	SLU 41	0.18	No

Verifiche a pressoflessione delle travi in muratura in combinazioni sismiche

Sezione	yM	N	M	Mu	Comb.	c.s.	Verifica
ini.	2	-649	-175.86	329.11	SLV 11	1.87	Si
fin.	2	-559	-76.29	329.11	SLV 11	4.31	Si
ini.	2	-600	-249.97	329.11	SLV 15	1.32	Si
fin.	2	-216	8.56	329.11	SLV 15	38.46	Si
ini.	2	-275	-34.2	329.11	SLV 3	9.62	Si
fin.	2	-676	-229.45	329.11	SLV 3	1.43	Si
ini.	2	-649	-175.86	329.11	SLV 12	1.87	Si
fin.	2	-559	-76.29	329.11	SLV 12	4.31	Si
ini.	2	-136	-32.99	329.11	SLV 2	9.98	Si
fin.	2	-520	-228.13	329.11	SLV 2	1.44	Si
ini.	2	-136	-32.99	329.11	SLV 1	9.98	Si
fin.	2	-520	-228.13	329.11	SLV 1	1.44	Si
ini.	2	-275	-34.2	329.11	SLV 4	9.62	Si
fin.	2	-676	-229.45	329.11	SLV 4	1.43	Si
ini.	2	-461	-248.76	329.11	SLV 14	1.32	Si
fin.	2	-60	9.88	329.11	SLV 14	33.31	Si
ini.	2	-461	-248.76	329.11	SLV 13	1.32	Si
fin.	2	-60	9.88	329.11	SLV 13	33.31	Si
ini.	2	-600	-249.97	329.11	SLV 16	1.32	Si
fin.	2	-216	8.56	329.11	SLV 16	38.46	Si

Verifiche a taglio delle travi in muratura secondo §C8.7.1.3.1 in combinazioni sismiche

Sezione	yM	N	M	V	Vt	Vp	Vt fess. diag.	Vt,lim	Comb.	c.s.	Verifica
ini.	2	-184	-171.83	808			586	227	SLV 10	0.28	No
fin.	2	-38	-71.88	-658			547	208	SLV 10	0.32	No
ini.	2	-87	-107.1	639			560	214	SLV 5	0.34	No
fin.	2	-176	-143.28	-740			584	226	SLV 5	0.31	No
ini.	2	-136	-32.99	451			573	221	SLV 1	0.49	No
fin.	2	-520	-228.13	-816			676	267	SLV 1	0.33	No
ini.	2	-600	-249.97	1019			697	276	SLV 15	0.27	No
fin.	2	-216	8.56	-528			595	231	SLV 15	0.44	No
ini.	2	-136	-32.99	451			573	221	SLV 2	0.49	No
fin.	2	-520	-228.13	-816			676	267	SLV 2	0.33	No
ini.	2	-461	-248.76	1012			660	261	SLV 13	0.26	No
fin.	2	-60	9.88	-544			553	211	SLV 13	0.39	No
ini.	2	-87	-107.1	639			560	214	SLV 6	0.34	No
fin.	2	-176	-143.28	-740			584	226	SLV 6	0.31	No
ini.	2	-600	-249.97	1019			697	276	SLV 16	0.27	No
fin.	2	-216	8.56	-528			595	231	SLV 16	0.44	No
ini.	2	-461	-248.76	1012			660	261	SLV 14	0.26	No
fin.	2	-60	9.88	-544			553	211	SLV 14	0.39	No
ini.	2	-184	-171.83	808			586	227	SLV 9	0.28	No
fin.	2	-38	-71.88	-658			547	208	SLV 9	0.32	No

Tabella dei coefficienti di sicurezza minimi

Stato limite	Coeff.s.	Comb.	Verifica
PF_SLV	1.317	SLV 15	Si
V_SLV	0.257	SLV 13	No
PF_SLU	0.75	SLU 82	No
V_SLU	0.15	SLU 82	No

Trave di accoppiamento 5

Verifiche condotte secondo D.M. 17-01-18 (N.T.C.)



Dati geometrici

X ini.	Y ini.	Z ini.inf.	Z ini.sup.	H ini.	X fin.	Y fin.	Z fin.inf.	Z fin.sup.	H fin.	Luce	Spessore	R. Trazione
-12.444	-3.134	-1.98	0.02	2	-13.444	-3.134	-1.98	0.02	2	1	0.45	30000

Caratteristiche del materiale

(Circolare 7 21-01-19 C8.5.I) Muratura in mattoni pieni e malta di calce LC2_Corti

fb	f _{hk}	f _{vk0}	f _{hmedio}	τ ₀	f _{v0}	μ	φ	f _{vk,lim}	E	G	FC
120000			172500	9000	20000	0.577	0.767	6500	320000000	128000000	1.2

Verifiche a pressoflessione delle travi in muratura in combinazioni non sismiche

Sezione	yM	N	M	Mu	Comb.	c.s.	Verifica
ini.	3	-2914	-110.54	9132.35	SLU 41	82.62	Si
fin.	3	-2808	-136.41	9132.35	SLU 41	66.95	Si
ini.	3	-3384	-135.64	9132.35	SLU 81	67.33	Si
fin.	3	-3268	-147.21	9132.35	SLU 81	62.03	Si
ini.	3	-3151	-133.94	9132.35	SLU 73	68.18	Si
fin.	3	-3050	-129.29	9132.35	SLU 73	70.63	Si
ini.	3	-2912	-112.25	9132.35	SLU 42	81.36	Si
fin.	3	-2807	-135.9	9132.35	SLU 42	67.2	Si
ini.	3	-3151	-133.94	9132.35	SLU 76	68.18	Si
fin.	3	-3050	-129.29	9132.35	SLU 76	70.63	Si
ini.	3	-2912	-112.25	9132.35	SLU 40	81.36	Si
fin.	3	-2807	-135.9	9132.35	SLU 40	67.2	Si
ini.	3	-3381	-137.35	9132.35	SLU 82	66.49	Si
fin.	3	-3267	-146.7	9132.35	SLU 82	62.25	Si
ini.	3	-3381	-137.35	9132.35	SLU 84	66.49	Si
fin.	3	-3267	-146.7	9132.35	SLU 84	62.25	Si
ini.	3	-3384	-135.64	9132.35	SLU 83	67.33	Si
fin.	3	-3268	-147.21	9132.35	SLU 83	62.03	Si
ini.	3	-2914	-110.54	9132.35	SLU 39	82.62	Si
fin.	3	-2808	-136.41	9132.35	SLU 39	66.95	Si

Verifiche a taglio delle travi in muratura secondo §C8.7.1.3.1 in combinazioni non sismiche

Sezione	yM	N	M	V	Vt	Vp	Vt fess. diag.	Vt _{lim}	Comb.	c.s.	Verifica
ini.	3	-3152	-132.8	-4222			4727	1868	SLU 75	0.44	No
fin.	3	-3050	-129.64	1974			4686	1852	SLU 75	0.94	No
ini.	3	-3152	-132.8	-4222			4727	1868	SLU 80	0.44	No
fin.	3	-3050	-129.64	1974			4686	1852	SLU 80	0.94	No
ini.	3	-3154	-131.08	-4226			4728	1868	SLU 79	0.44	No
fin.	3	-3051	-130.15	1971			4686	1852	SLU 79	0.94	No
ini.	3	-3384	-135.64	-4601			4819	1903	SLU 81	0.41	No
fin.	3	-3268	-147.21	2164			4773	1885	SLU 81	0.87	No
ini.	3	-3381	-137.35	-4598			4819	1902	SLU 82	0.41	No
fin.	3	-3267	-146.7	2168			4773	1885	SLU 82	0.87	No
ini.	3	-3154	-131.08	-4226			4728	1868	SLU 74	0.44	No
fin.	3	-3051	-130.15	1971			4686	1852	SLU 74	0.94	No
ini.	3	-3152	-132.8	-4222			4727	1868	SLU 78	0.44	No
fin.	3	-3050	-129.64	1974			4686	1852	SLU 78	0.94	No
ini.	3	-3154	-131.08	-4226			4728	1868	SLU 77	0.44	No
fin.	3	-3051	-130.15	1971			4686	1852	SLU 77	0.94	No
ini.	3	-3381	-137.35	-4598			4819	1902	SLU 84	0.41	No
fin.	3	-3267	-146.7	2168			4773	1885	SLU 84	0.87	No
ini.	3	-3384	-135.64	-4601			4819	1903	SLU 83	0.41	No
fin.	3	-3268	-147.21	2164			4773	1885	SLU 83	0.87	No

Verifiche a pressoflessione delle travi in muratura in combinazioni sismiche

Sezione	yM	N	M	Mu	Comb.	c.s.	Verifica
ini.	2	-2354	-604.84	13698.53	SLV 9	22.65	Si
fin.	2	-2785	109.7	13698.53	SLV 9	124.87	Si
ini.	2	-1354	-766.31	13698.53	SLV 14	17.88	Si
fin.	2	-2655	616.06	13698.53	SLV 14	22.24	Si
ini.	2	-2354	-604.84	13698.53	SLV 10	22.65	Si
fin.	2	-2785	109.7	13698.53	SLV 10	124.87	Si
ini.	2	-1042	-562.7	13698.53	SLV 15	24.34	Si
fin.	2	-2288	630.32	13698.53	SLV 15	21.73	Si
ini.	2	-3173	373.71	13698.53	SLV 1	36.66	Si
fin.	2	-1803	-783.13	13698.53	SLV 1	17.49	Si
ini.	2	-1042	-562.7	13698.53	SLV 16	24.34	Si
fin.	2	-2288	630.32	13698.53	SLV 16	21.73	Si
ini.	2	-2862	577.32	13698.53	SLV 4	23.73	Si
fin.	2	-1436	-768.87	13698.53	SLV 4	17.82	Si
ini.	2	-1354	-766.31	13698.53	SLV 13	17.88	Si
fin.	2	-2655	616.06	13698.53	SLV 13	22.24	Si
ini.	2	-3173	373.71	13698.53	SLV 2	36.66	Si
fin.	2	-1803	-783.13	13698.53	SLV 2	17.49	Si
ini.	2	-2862	577.32	13698.53	SLV 3	23.73	Si
fin.	2	-1436	-768.87	13698.53	SLV 3	17.82	Si

Verifiche a taglio delle travi in muratura secondo §C8.7.1.3.1 in combinazioni sismiche

Sezione	yM	N	M	V	Vt	Vp	Vt fess. diag.	Vt _{lim}	Comb.	c.s.	Verifica
ini.	2	-3173	373.71	-5394			6468	2555	SLV 2	0.47	No
fin.	2	-1803	-783.13	-1016			5920	2316	SLV 2	2.28	Si
ini.	2	-2900	-262.84	-4456			6359	2509	SLV 5	0.56	No
fin.	2	-2530	-310.06	837			6211	2445	SLV 5	2.92	Si
ini.	2	-2862	577.32	-4782			6344	2502	SLV 4	0.52	No
fin.	2	-1436	-768.87	-1194			5773	2247	SLV 4	1.88	Si
ini.	2	-1042	-562.7	-64			5616	2171	SLV 15	34.06	Si



Sezione	yM	N	M	V	Vt	Vp	Vt fess. diag.	Vt,lim	Comb.	c.s.	Verifica
fin.	2	-2288	630.32	3508			6114	2403	SLV 15	0.68	No
ini.	2	-3173	373.71	-5394			6468	2555	SLV 1	0.47	No
fin.	2	-1803	-783.13	-1016			5920	2316	SLV 1	2.28	Si
ini.	2	-2862	577.32	-4782			6344	2502	SLV 3	0.52	No
fin.	2	-1436	-768.87	-1194			5773	2247	SLV 3	1.88	Si
ini.	2	-2900	-262.84	-4456			6359	2509	SLV 6	0.56	No
fin.	2	-2530	-310.06	837			6211	2445	SLV 6	2.92	Si
ini.	2	-1042	-562.7	-64			5616	2171	SLV 16	34.06	Si
fin.	2	-2288	630.32	3508			6114	2403	SLV 16	0.68	No
ini.	2	-1354	-766.31	-676			5740	2231	SLV 13	3.3	Si
fin.	2	-2655	616.06	3686			6261	2467	SLV 13	0.67	No
ini.	2	-1354	-766.31	-676			5740	2231	SLV 14	3.3	Si
fin.	2	-2655	616.06	3686			6261	2467	SLV 14	0.67	No

Tabella dei coefficienti di sicurezza minimi

Stato limite	Coeff.s.	Comb.	Verifica
PF_SLV	17.492	SLV 1	Si
V_SLV	0.474	SLV 1	No
PF_SLU	62.035	SLU 81	Si
V_SLU	0.413	SLU 81	No

Trave di accoppiamento 6

Verifiche condotte secondo D.M. 17-01-18 (N.T.C.)

Dati geometrici

X ini.	Y ini.	Z ini.inf.	Z ini.sup.	H ini.	X fin.	Y fin.	Z fin.inf.	Z fin.sup.	H fin.	Luce	Spessore	R. Trazione
-12.444	-3.134	0.42	0.73	0.31	-13.444	-3.134	0.42	0.73	0.31	1	0.45	30000

Caratteristiche del materiale

(Circolare 7 21-01-19 C8.5.I) Muratura in mattoni pieni e malta di calce LC2_Corti

fb_	fhk	fvk0	fhmmedio	τ0	fv0	μ	φ	fvk,lim	E	G	FC
120000			172500	9000	20000	0.577	0.767	6500	320000000	128000000	1.2

Verifiche a pressoflessione delle travi in muratura in combinazioni non sismiche

Sezione	yM	N	M	Mu	Comb.	c.s.	Verifica
ini.	3	-723	-194.46	219.4	SLU 77	1.13	Si
fin.	3	-723	-220.42	219.4	SLU 77	1	No
ini.	3	-835	-222.28	219.4	SLU 81	0.99	No
fin.	3	-835	-250.74	219.4	SLU 81	0.88	No
ini.	3	-723	-194.46	219.4	SLU 74	1.13	Si
fin.	3	-723	-220.42	219.4	SLU 74	1	No
ini.	3	-795	-208.78	219.4	SLU 41	1.05	Si
fin.	3	-795	-234.08	219.4	SLU 41	0.94	No
ini.	3	-834	-222.42	219.4	SLU 82	0.99	No
fin.	3	-834	-250.58	219.4	SLU 82	0.88	No
ini.	3	-794	-208.93	219.4	SLU 42	1.05	Si
fin.	3	-794	-233.93	219.4	SLU 42	0.94	No
ini.	3	-794	-208.93	219.4	SLU 40	1.05	Si
fin.	3	-794	-233.93	219.4	SLU 40	0.94	No
ini.	3	-835	-222.28	219.4	SLU 83	0.99	No
fin.	3	-835	-250.74	219.4	SLU 83	0.88	No
ini.	3	-834	-222.42	219.4	SLU 84	0.99	No
fin.	3	-834	-250.58	219.4	SLU 84	0.88	No
ini.	3	-795	-208.78	219.4	SLU 39	1.05	Si
fin.	3	-795	-234.08	219.4	SLU 39	0.94	No

Verifiche a taglio delle travi in muratura secondo §C8.7.1.3.1 in combinazioni non sismiche

Sezione	yM	N	M	V	Vt	Vp	Vt fess. diag.	Vt,lim	Comb.	c.s.	Verifica
ini.	3	-834	-222.42	1345			581	225	SLU 82	0.17	No
fin.	3	-834	-250.58	-1401			581	225	SLU 82	0.16	No
ini.	3	-795	-208.78	1253			570	222	SLU 39	0.18	No
fin.	3	-795	-234.08	-1303			570	222	SLU 39	0.17	No
ini.	3	-794	-208.93	1253			570	222	SLU 42	0.18	No
fin.	3	-794	-233.93	-1303			570	222	SLU 42	0.17	No
ini.	3	-795	-208.78	1253			570	222	SLU 41	0.18	No
fin.	3	-795	-234.08	-1303			570	222	SLU 41	0.17	No
ini.	3	-834	-222.42	1345			581	225	SLU 84	0.17	No
fin.	3	-834	-250.58	-1401			581	225	SLU 84	0.16	No
ini.	3	-794	-208.93	1253			570	222	SLU 40	0.18	No
fin.	3	-794	-233.93	-1303			570	222	SLU 40	0.17	No
ini.	3	-835	-222.28	1345			581	225	SLU 83	0.17	No
fin.	3	-835	-250.74	-1402			581	225	SLU 83	0.16	No
ini.	3	-721	-194.7	1184			550	215	SLU 73	0.18	No
fin.	3	-721	-220.16	-1235			550	215	SLU 73	0.17	No
ini.	3	-835	-222.28	1345			581	225	SLU 81	0.17	No
fin.	3	-835	-250.74	-1402			581	225	SLU 81	0.16	No
ini.	3	-721	-194.7	1184			550	215	SLU 76	0.18	No
fin.	3	-721	-220.16	-1235			550	215	SLU 76	0.17	No

Verifiche a pressoflessione delle travi in muratura in combinazioni sismiche

Sezione	yM	N	M	Mu	Comb.	c.s.	Verifica
ini.	2	-128	5.34	329.11	SLV 2	61.58	Si
fin.	2	-520	-229.54	329.11	SLV 2	1.43	Si



Sezione	yM	N	M	Mu	Comb.	c.s.	Verifica
ini.	2	-540	-228.43	329.11	SLV 14	1.44	Si
fin.	2	-157	-22.7	329.11	SLV 14	14.5	Si
ini.	2	-128	5.34	329.11	SLV 1	61.58	Si
fin.	2	-520	-229.54	329.11	SLV 1	1.43	Si
ini.	2	-540	-228.43	329.11	SLV 13	1.44	Si
fin.	2	-157	-22.7	329.11	SLV 13	14.5	Si
ini.	2	-558	-73.76	329.11	SLV 8	4.46	Si
fin.	2	-658	-162.7	329.11	SLV 8	2.02	Si
ini.	2	-260	6.6	329.11	SLV 3	49.89	Si
fin.	2	-643	-232.1	329.11	SLV 3	1.42	Si
ini.	2	-260	6.6	329.11	SLV 4	49.89	Si
fin.	2	-643	-232.1	329.11	SLV 4	1.42	Si
ini.	2	-672	-227.18	329.11	SLV 15	1.45	Si
fin.	2	-280	-25.26	329.11	SLV 15	13.03	Si
ini.	2	-558	-73.76	329.11	SLV 7	4.46	Si
fin.	2	-658	-162.7	329.11	SLV 7	2.02	Si
ini.	2	-672	-227.18	329.11	SLV 16	1.45	Si
fin.	2	-280	-25.26	329.11	SLV 16	13.03	Si

Verifiche a taglio delle travi in muratura secondo §C8.7.1.3.1 in combinazioni sismiche

Sezione	yM	N	M	V	Vt	Vp	Vt fess. diag.	Vt,lim	Comb.	c.s.	Verifica
ini.	2	-242	-148.07	772			602	235	SLV 10	0.3	No
fin.	2	-142	-92.1	-667			575	222	SLV 10	0.33	No
ini.	2	-119	-77.94	670			569	219	SLV 6	0.33	No
fin.	2	-251	-154.15	-753			604	236	SLV 6	0.31	No
ini.	2	-260	6.6	507			607	237	SLV 3	0.47	No
fin.	2	-643	-232.1	-867			709	280	SLV 3	0.32	No
ini.	2	-540	-228.43	867			681	269	SLV 14	0.31	No
fin.	2	-157	-22.7	-573			579	224	SLV 14	0.39	No
ini.	2	-128	5.34	527			571	220	SLV 2	0.42	No
fin.	2	-520	-229.54	-861			676	267	SLV 2	0.31	No
ini.	2	-119	-77.94	670			569	219	SLV 5	0.33	No
fin.	2	-251	-154.15	-753			604	236	SLV 5	0.31	No
ini.	2	-540	-228.43	867			681	269	SLV 13	0.31	No
fin.	2	-157	-22.7	-573			579	224	SLV 13	0.39	No
ini.	2	-242	-148.07	772			602	235	SLV 9	0.3	No
fin.	2	-142	-92.1	-667			575	222	SLV 9	0.33	No
ini.	2	-260	6.6	507			607	237	SLV 4	0.47	No
fin.	2	-643	-232.1	-867			709	280	SLV 4	0.32	No
ini.	2	-128	5.34	527			571	220	SLV 1	0.42	No
fin.	2	-520	-229.54	-861			676	267	SLV 1	0.31	No

Tabella dei coefficienti di sicurezza minimi

Stato limite	Coeff.s.	Comb.	Verifica
PF_SLV	1.418	SLV 3	Si
V_SLV	0.304	SLV 9	No
PF_SLU	0.875	SLU 81	No
V_SLU	0.161	SLU 82	No

Trave di accoppiamento 7

Verifiche condotte secondo D.M. 17-01-18 (N.T.C.)

Dati geometrici

X ini.	Y ini.	Z ini.inf.	Z ini.sup.	H ini.	X fin.	Y fin.	Z fin.inf.	Z fin.sup.	H fin.	Luce	Spessore	R. Trazione
-9.059	-3.134	-1.98	0.02	2	-10.059	-3.134	-1.98	0.02	2	1	0.45	30000

Caratteristiche del materiale

(Circolare 7 21-01-19 C8.5.I) Muratura in mattoni pieni e malta di calce LC2_Corti

fb	fhk	fvk0	fhmmedio	t0	fv0	μ	φ	fvk,lim	E	G	FC
120000			172500	9000	20000	0.577	0.767	6500	320000000	128000000	1.2

Verifiche a pressoflessione delle travi in muratura in combinazioni non sismiche

Sezione	yM	N	M	Mu	Comb.	c.s.	Verifica
ini.	3	-1075	-814.17	9132.35	SLU 76	11.22	Si
fin.	3	-2016	-185.33	9132.35	SLU 76	49.28	Si
ini.	3	-1074	-812.78	9132.35	SLU 75	11.24	Si
fin.	3	-2015	-184.86	9132.35	SLU 75	49.4	Si
ini.	3	-1114	-876.22	9132.35	SLU 82	10.42	Si
fin.	3	-2152	-181.76	9132.35	SLU 82	50.24	Si
ini.	3	-1113	-874.13	9132.35	SLU 83	10.45	Si
fin.	3	-2151	-181.05	9132.35	SLU 83	50.44	Si
ini.	3	-1074	-812.78	9132.35	SLU 78	11.24	Si
fin.	3	-2015	-184.86	9132.35	SLU 78	49.4	Si
ini.	3	-1114	-876.22	9132.35	SLU 84	10.42	Si
fin.	3	-2152	-181.76	9132.35	SLU 84	50.24	Si
ini.	3	-1113	-874.13	9132.35	SLU 81	10.45	Si
fin.	3	-2151	-181.05	9132.35	SLU 81	50.44	Si
ini.	3	-1074	-810.69	9132.35	SLU 79	11.26	Si
fin.	3	-2015	-184.16	9132.35	SLU 79	49.59	Si
ini.	3	-1075	-814.17	9132.35	SLU 73	11.22	Si
fin.	3	-2016	-185.33	9132.35	SLU 73	49.28	Si
ini.	3	-1074	-812.78	9132.35	SLU 80	11.24	Si
fin.	3	-2015	-184.86	9132.35	SLU 80	49.4	Si



Verifiche a taglio delle travi in muratura secondo §C8.7.1.3.1 in combinazioni non sismiche

Sezione	yM	N	M	V	Vt	Vp	Vt fess. diag.	Vt,lim	Comb.	c.s.	Verifica
ini.	3	-910	-758.63	-277			3830	1489	SLU 41	5.37	Si
fin.	3	-1841	-135.04	3187			4202	1657	SLU 41	0.52	No
ini.	3	-911	-760.71	-279			3830	1489	SLU 42	5.34	Si
fin.	3	-1841	-135.75	3191			4202	1657	SLU 42	0.52	No
ini.	3	-910	-758.63	-277			3830	1489	SLU 39	5.37	Si
fin.	3	-1841	-135.04	3187			4202	1657	SLU 39	0.52	No
ini.	3	-1113	-874.13	-325			3911	1527	SLU 81	4.7	Si
fin.	3	-2151	-181.05	3557			4327	1709	SLU 81	0.48	No
ini.	3	-1113	-874.13	-325			3911	1527	SLU 83	4.7	Si
fin.	3	-2151	-181.05	3557			4327	1709	SLU 83	0.48	No
ini.	3	-1075	-814.17	-308			3896	1520	SLU 73	4.93	Si
fin.	3	-2016	-185.33	3231			4272	1687	SLU 73	0.52	No
ini.	3	-911	-760.71	-279			3830	1489	SLU 40	5.34	Si
fin.	3	-1841	-135.75	3191			4202	1657	SLU 40	0.52	No
ini.	3	-1114	-876.22	-327			3912	1527	SLU 82	4.67	Si
fin.	3	-2152	-181.76	3560			4327	1709	SLU 82	0.48	No
ini.	3	-1114	-876.22	-327			3912	1527	SLU 84	4.67	Si
fin.	3	-2152	-181.76	3560			4327	1709	SLU 84	0.48	No
ini.	3	-1075	-814.17	-308			3896	1520	SLU 76	4.93	Si
fin.	3	-2016	-185.33	3231			4272	1687	SLU 76	0.52	No

Verifiche a pressoflessione delle travi in muratura in combinazioni sismiche

Sezione	yM	N	M	Mu	Comb.	c.s.	Verifica
ini.	2	-529	-1328.15	13698.53	SLV 14	10.31	Si
fin.	2	-1992	443.9	13698.53	SLV 14	30.86	Si
ini.	2	-159	-1302.68	13698.53	SLV 15	10.52	Si
fin.	2	-1600	490.69	13698.53	SLV 15	27.92	Si
ini.	2	-1383	231.86	13698.53	SLV 2	59.08	Si
fin.	2	-1120	-782.66	13698.53	SLV 2	17.5	Si
ini.	2	-1013	257.33	13698.53	SLV 4	53.23	Si
fin.	2	-728	-735.86	13698.53	SLV 4	18.62	Si
ini.	2	-1013	257.33	13698.53	SLV 3	53.23	Si
fin.	2	-728	-735.86	13698.53	SLV 3	18.62	Si
ini.	2	-1259	-811.86	13698.53	SLV 10	16.87	Si
fin.	2	-2145	-39.99	13698.53	SLV 10	342.54	Si
ini.	2	-529	-1328.15	13698.53	SLV 13	10.31	Si
fin.	2	-1992	443.9	13698.53	SLV 13	30.86	Si
ini.	2	-1383	231.86	13698.53	SLV 1	59.08	Si
fin.	2	-1120	-782.66	13698.53	SLV 1	17.5	Si
ini.	2	-1259	-811.86	13698.53	SLV 9	16.87	Si
fin.	2	-2145	-39.99	13698.53	SLV 9	342.54	Si
ini.	2	-159	-1302.68	13698.53	SLV 16	10.52	Si
fin.	2	-1600	490.69	13698.53	SLV 16	27.92	Si

Verifiche a taglio delle travi in muratura secondo §C8.7.1.3.1 in combinazioni sismiche

Sezione	yM	N	M	V	Vt	Vp	Vt fess. diag.	Vt,lim	Comb.	c.s.	Verifica
ini.	2	-26	-726.96	934			5210	1962	SLV 11	2.1	Si
fin.	2	-837	115.99	2307			5534	2131	SLV 11	0.92	No
ini.	2	-1259	-811.86	-27			5703	2213	SLV 10	81.99	Si
fin.	2	-2145	-39.99	3172			6057	2378	SLV 10	0.75	No
ini.	2	-159	-1302.68	2138			5263	1991	SLV 15	0.93	No
fin.	2	-1600	490.69	4291			5839	2278	SLV 15	0.53	No
ini.	2	-26	-726.96	934			5210	1962	SLV 12	2.1	Si
fin.	2	-837	115.99	2307			5534	2131	SLV 12	0.92	No
ini.	2	-529	-1328.15	1850			5411	2068	SLV 13	1.12	Si
fin.	2	-1992	443.9	4550			5996	2350	SLV 13	0.52	No
ini.	2	-529	-1328.15	1850			5411	2068	SLV 14	1.12	Si
fin.	2	-1992	443.9	4550			5996	2350	SLV 14	0.52	No
ini.	2	-159	-1302.68	2138			5263	1991	SLV 16	0.93	No
fin.	2	-1600	490.69	4291			5839	2278	SLV 16	0.53	No
ini.	2	-1259	-811.86	-27			5703	2213	SLV 9	81.99	Si
fin.	2	-2145	-39.99	3172			6057	2378	SLV 9	0.75	No
ini.	2	-1383	231.86	-2552			5752	2237	SLV 2	0.88	No
fin.	2	-1120	-782.66	-251			5647	2187	SLV 2	8.7	Si
ini.	2	-1383	231.86	-2552			5752	2237	SLV 1	0.88	No
fin.	2	-1120	-782.66	-251			5647	2187	SLV 1	8.7	Si

Tabella dei coefficienti di sicurezza minimi

Stato limite	Coeff.s.	Comb.	Verifica
PF_SLV	10.314	SLV 13	Si
V_SLV	0.516	SLV 13	No
PF_SLU	10.422	SLU 82	Si
V_SLU	0.48	SLU 82	No

Trave di accoppiamento 8

Verifiche condotte secondo D.M. 17-01-18 (N.T.C.)

Dati geometrici

X ini.	Y ini.	Z ini.inf.	Z ini.sup.	H ini.	X fin.	Y fin.	Z fin.inf.	Z fin.sup.	H fin.	Luce	Spessore	R. Trazione
-9.059	-3.134	0.42	0.73	0.31	-10.059	-3.134	0.42	0.73	0.31	1	0.45	30000



Caratteristiche del materiale

(Circolare 7 21-01-19 C8.5.I) Muratura in mattoni pieni e malta di calce LC2_Corti

fb	f _{hk}	f _{vk0}	f _{hmedio}	τ ₀	f _{v0}	μ	φ	f _{vk,lim}	E	G	FC
120000			172500	9000	20000	0.577	0.767	6500	320000000	128000000	1.2

Verifiche a pressoflessione delle travi in muratura in combinazioni non sismiche

Sezione	yM	N	M	Mu	Comb.	c.s.	Verifica
ini.	3	75	-146.09	219.4	SLU 75	1.5	Si
fin.	3	27	-145.36	219.4	SLU 75	1.51	Si
ini.	3	75	-146.14	219.4	SLU 73	1.5	Si
fin.	3	28	-145.32	219.4	SLU 73	1.51	Si
ini.	3	68	-161.15	219.4	SLU 83	1.36	Si
fin.	3	16	-160.26	219.4	SLU 83	1.37	Si
ini.	3	75	-146.09	219.4	SLU 78	1.5	Si
fin.	3	27	-145.36	219.4	SLU 78	1.51	Si
ini.	3	69	-161.22	219.4	SLU 84	1.36	Si
fin.	3	17	-160.2	219.4	SLU 84	1.37	Si
ini.	3	74	-146.03	219.4	SLU 79	1.5	Si
fin.	3	26	-145.42	219.4	SLU 79	1.51	Si
ini.	3	75	-146.09	219.4	SLU 80	1.5	Si
fin.	3	27	-145.36	219.4	SLU 80	1.51	Si
ini.	3	75	-146.14	219.4	SLU 76	1.5	Si
fin.	3	28	-145.32	219.4	SLU 76	1.51	Si
ini.	3	69	-161.22	219.4	SLU 82	1.36	Si
fin.	3	17	-160.2	219.4	SLU 82	1.37	Si
ini.	3	68	-161.15	219.4	SLU 81	1.36	Si
fin.	3	16	-160.26	219.4	SLU 81	1.37	Si

Verifiche a taglio delle travi in muratura secondo §C8.7.1.3.1 in combinazioni non sismiche

Sezione	yM	N	M	V	Vt	Vp	Vt fess. diag.	Vt,lim	Comb.	c.s.	Verifica
ini.	3	68	-161.15	1048			358	125	SLU 81	0.12	No
fin.	3	16	-160.26	-1062			358	133	SLU 81	0.12	No
ini.	3	68	-161.15	1048			358	125	SLU 83	0.12	No
fin.	3	16	-160.26	-1062			358	133	SLU 83	0.12	No
ini.	3	69	-161.22	1048			358	124	SLU 84	0.12	No
fin.	3	17	-160.2	-1062			358	132	SLU 84	0.12	No
ini.	3	75	-146.09	956			358	123	SLU 78	0.13	No
fin.	3	27	-145.36	-969			358	131	SLU 78	0.13	No
ini.	3	75	-146.09	956			358	123	SLU 80	0.13	No
fin.	3	27	-145.36	-969			358	131	SLU 80	0.13	No
ini.	3	74	-146.03	956			358	124	SLU 79	0.13	No
fin.	3	26	-145.42	-969			358	131	SLU 79	0.14	No
ini.	3	75	-146.09	956			358	123	SLU 75	0.13	No
fin.	3	27	-145.36	-969			358	131	SLU 75	0.13	No
ini.	3	75	-146.14	956			358	123	SLU 76	0.13	No
fin.	3	28	-145.32	-969			358	131	SLU 76	0.13	No
ini.	3	75	-146.09	956			358	123	SLU 73	0.13	No
fin.	3	28	-145.32	-969			358	131	SLU 73	0.13	No
ini.	3	69	-161.22	1048			358	124	SLU 82	0.12	No
fin.	3	17	-160.2	-1062			358	132	SLU 82	0.12	No

Verifiche a pressoflessione delle travi in muratura in combinazioni sismiche

Sezione	yM	N	M	Mu	Comb.	c.s.	Verifica
ini.	2	347	-2.39	329.11	SLV 4	137.77	Si
fin.	2	-649	-177.28	329.11	SLV 4	1.86	Si
ini.	2	-215	-180.21	329.11	SLV 13	1.83	Si
fin.	2	717	-5.18	329.11	SLV 13	63.59	Si
ini.	2	-270	-130.75	329.11	SLV 12	2.52	Si
fin.	2	16	-76.04	329.11	SLV 12	4.33	Si
ini.	2	-354	-187.24	329.11	SLV 16	1.76	Si
fin.	2	595	-11.03	329.11	SLV 16	29.85	Si
ini.	2	347	-2.39	329.11	SLV 3	137.77	Si
fin.	2	-649	-177.28	329.11	SLV 3	1.86	Si
ini.	2	485	4.64	329.11	SLV 1	70.92	Si
fin.	2	-527	-171.43	329.11	SLV 1	1.92	Si
ini.	2	485	4.64	329.11	SLV 2	70.92	Si
fin.	2	-527	-171.43	329.11	SLV 2	1.92	Si
ini.	2	-215	-180.21	329.11	SLV 14	1.83	Si
fin.	2	717	-5.18	329.11	SLV 14	63.59	Si
ini.	2	-354	-187.24	329.11	SLV 15	1.76	Si
fin.	2	595	-11.03	329.11	SLV 15	29.85	Si
ini.	2	-270	-130.75	329.11	SLV 11	2.52	Si
fin.	2	16	-76.04	329.11	SLV 11	4.33	Si

Verifiche a taglio delle travi in muratura secondo §C8.7.1.3.1 in combinazioni sismiche

Sezione	yM	N	M	V	Vt	Vp	Vt fess. diag.	Vt,lim	Comb.	c.s.	Verifica
ini.	2	-215	-180.21	1039			595	231	SLV 13	0.22	No
fin.	2	717	-5.18	-246			537	0	SLV 13	0	No
ini.	2	402	-51.86	514			537	132	SLV 5	0.26	No
fin.	2	51	-106.41	-825			537	195	SLV 5	0.24	No
ini.	2	-354	-187.24	1019			632	248	SLV 15	0.24	No
fin.	2	595	-11.03	-192			537	78	SLV 15	0.4	No
ini.	2	-215	-180.21	1039			595	231	SLV 14	0.22	No
fin.	2	717	-5.18	-246			537	0	SLV 14	0	No
ini.	2	191	-107.31	768			537	172	SLV 9	0.22	No
fin.	2	425	-56.54	-587			537	126	SLV 9	0.22	No
ini.	2	402	-51.86	514			537	132	SLV 6	0.26	No



Sezione	yM	N	M	V	Vt	Vp	Vt fess. diag.	Vt,lim	Comb.	c.s.	Verifica
fin.	2	51	-106.41	-825			537	195	SLV 6	0.24	No
ini.	2	485	4.64	195			537	112	SLV 1	0.57	No
fin.	2	-527	-171.43	-1040			678	268	SLV 1	0.26	No
ini.	2	485	4.64	195			537	112	SLV 2	0.57	No
fin.	2	-527	-171.43	-1040			678	268	SLV 2	0.26	No
ini.	2	-354	-187.24	1019			632	248	SLV 16	0.24	No
fin.	2	595	-11.03	-192			537	78	SLV 16	0.4	No
ini.	2	191	-107.31	768			537	172	SLV 10	0.22	No
fin.	2	425	-56.54	-587			537	126	SLV 10	0.22	No

Tabella dei coefficienti di sicurezza minimi

Stato limite	Coeff.s.	Comb.	Verifica
PF_SLV	1.758	SLV 15	Si
V_SLV	0	SLV 13	No
PF_SLU	1.361	SLU 82	Si
V_SLU	0.119	SLU 82	No

Trave di accoppiamento 9

Verifiche condotte secondo D.M. 17-01-18 (N.T.C.)

Dati geometrici

X ini.	Y ini.	Z ini.inf.	Z ini.sup.	H ini.	X fin.	Y fin.	Z fin.inf.	Z fin.sup.	H fin.	Luce	Spessore	R. Trazione
-17.729	5.874	-1.98	0.02	2	-18.729	5.874	-1.98	0.02	2	1	0.45	30000

Caratteristiche del materiale

(Circolare 7 21-01-19 C8.5.I) Muratura in mattoni pieni e malta di calce LC2_Corti

fb	f _{hk}	f _{vk0}	f _{hmedio}	τ ₀	f _{v0}	μ	φ	f _{vk,lim}	E	G	FC
120000			172500	9000	20000	0.577	0.767	6500	320000000	128000000	1.2

Verifiche a pressoflessione delle travi in muratura in combinazioni non sismiche

Sezione	yM	N	M	Mu	Comb.	c.s.	Verifica
ini.	3	-3110	-232.54	9132.35	SLU 74	39.27	Si
fin.	3	-2090	-466.63	9132.35	SLU 74	19.57	Si
ini.	3	-3289	-252.88	9132.35	SLU 81	36.11	Si
fin.	3	-2187	-493.23	9132.35	SLU 81	18.52	Si
ini.	3	-2896	-208.22	9132.35	SLU 53	43.86	Si
fin.	3	-1974	-434.8	9132.35	SLU 53	21	Si
ini.	3	-3289	-252.88	9132.35	SLU 83	36.11	Si
fin.	3	-2187	-493.23	9132.35	SLU 83	18.52	Si
ini.	3	-3075	-228.56	9132.35	SLU 60	39.96	Si
fin.	3	-2071	-461.4	9132.35	SLU 60	19.79	Si
ini.	3	-3075	-228.56	9132.35	SLU 62	39.96	Si
fin.	3	-2071	-461.4	9132.35	SLU 62	19.79	Si
ini.	3	-2896	-208.22	9132.35	SLU 58	43.86	Si
fin.	3	-1974	-434.8	9132.35	SLU 58	21	Si
ini.	3	-2896	-208.22	9132.35	SLU 56	43.86	Si
fin.	3	-1974	-434.8	9132.35	SLU 56	21	Si
ini.	3	-3110	-232.54	9132.35	SLU 79	39.27	Si
fin.	3	-2090	-466.63	9132.35	SLU 79	19.57	Si
ini.	3	-3110	-232.54	9132.35	SLU 77	39.27	Si
fin.	3	-2090	-466.63	9132.35	SLU 77	19.57	Si

Verifiche a taglio delle travi in muratura secondo §C8.7.1.3.1 in combinazioni non sismiche

Sezione	yM	N	M	V	Vt	Vp	Vt fess. diag.	Vt,lim	Comb.	c.s.	Verifica
ini.	3	-3110	-232.54	-5050			4710	1862	SLU 74	0.37	No
fin.	3	-2090	-466.63	2060			4302	1699	SLU 74	0.82	No
ini.	3	-3469	-19.74	-5033			4854	1915	SLU 75	0.38	No
fin.	3	-2468	-243.96	2098			4453	1761	SLU 75	0.84	No
ini.	3	-3648	-40.08	-5422			4925	1942	SLU 84	0.36	No
fin.	3	-2565	-270.56	2284			4492	1777	SLU 84	0.78	No
ini.	3	-3648	-40.08	-5422			4925	1942	SLU 82	0.36	No
fin.	3	-2565	-270.56	2284			4492	1777	SLU 82	0.78	No
ini.	3	-3289	-252.88	-5439			4782	1889	SLU 81	0.35	No
fin.	3	-2187	-493.23	2246			4341	1715	SLU 81	0.76	No
ini.	3	-3289	-252.88	-5439			4782	1889	SLU 83	0.35	No
fin.	3	-2187	-493.23	2246			4341	1715	SLU 83	0.76	No
ini.	3	-3075	-228.56	-4974			4696	1856	SLU 62	0.37	No
fin.	3	-2071	-461.4	2023			4294	1696	SLU 62	0.84	No
ini.	3	-3075	-228.56	-4974			4696	1856	SLU 60	0.37	No
fin.	3	-2071	-461.4	2023			4294	1696	SLU 60	0.84	No
ini.	3	-3110	-232.54	-5050			4710	1862	SLU 79	0.37	No
fin.	3	-2090	-466.63	2060			4302	1699	SLU 79	0.82	No
ini.	3	-3110	-232.54	-5050			4710	1862	SLU 77	0.37	No
fin.	3	-2090	-466.63	2060			4302	1699	SLU 77	0.82	No

Verifiche a pressoflessione delle travi in muratura in combinazioni sismiche

Sezione	yM	N	M	Mu	Comb.	c.s.	Verifica
ini.	2	-6615	2591.86	13698.53	SLV 10	5.29	Si
fin.	2	-6090	3269.05	13698.53	SLV 10	4.19	Si
ini.	2	-1828	-173.58	13698.53	SLV 3	78.92	Si
fin.	2	547	-2218.45	13698.53	SLV 3	6.17	Si
ini.	2	-1828	-173.58	13698.53	SLV 4	78.92	Si
fin.	2	547	-2218.45	13698.53	SLV 4	6.17	Si



Sezione	yM	N	M	Mu	Comb.	c.s.	Verifica
ini.	2	3004	-3420.34	13698.53	SLV 11	4.01	Si
fin.	2	2726	-3372.79	13698.53	SLV 11	4.06	Si
ini.	2	3004	-3420.34	13698.53	SLV 12	4.01	Si
fin.	2	2726	-3372.79	13698.53	SLV 12	4.06	Si
ini.	2	-7292	3119.17	13698.53	SLV 5	4.39	Si
fin.	2	-5671	2728.91	13698.53	SLV 5	5.02	Si
ini.	2	2328	-2893.04	13698.53	SLV 7	4.73	Si
fin.	2	3145	-3912.93	13698.53	SLV 7	3.5	Si
ini.	2	-7292	3119.17	13698.53	SLV 6	4.39	Si
fin.	2	-5671	2728.91	13698.53	SLV 6	5.02	Si
ini.	2	2328	-2893.04	13698.53	SLV 8	4.73	Si
fin.	2	3145	-3912.93	13698.53	SLV 8	3.5	Si
ini.	2	-6615	2591.86	13698.53	SLV 9	5.29	Si
fin.	2	-6090	3269.05	13698.53	SLV 9	4.19	Si

Verifiche a taglio delle travi in muratura secondo §C8.7.1.3.1 in combinazioni sismiche

Sezione	yM	N	M	V	Vt	Vp	Vt fess. diag.	Vt,lim	Comb.	c.s.	Verifica
ini.	2	2328	-2893.04	-7041			5199	1359	SLV 7	0.19	No
fin.	2	3145	-3912.93	-194			5199	1074	SLV 7	5.52	Si
ini.	2	-4714	1630.08	-5279			7085	2800	SLV 2	0.53	No
fin.	2	-2098	-225.9	-1288			6038	2369	SLV 2	1.84	Si
ini.	2	-1828	-173.58	-6994			5930	2320	SLV 3	0.33	No
fin.	2	547	-2218.45	-1693			5199	1834	SLV 3	1.08	Si
ini.	2	3004	-3420.34	-5366			5199	1128	SLV 11	0.21	No
fin.	2	2726	-3372.79	1496			5199	1228	SLV 11	0.82	No
ini.	2	-1828	-173.58	-6994			5930	2320	SLV 4	0.33	No
fin.	2	547	-2218.45	-1693			5199	1834	SLV 4	1.08	Si
ini.	2	426	-1931.26	-1411			5199	1862	SLV 16	1.32	Si
fin.	2	-847	-417.98	3940			5538	2133	SLV 16	0.54	No
ini.	2	3004	-3420.34	-5366			5199	1128	SLV 12	0.21	No
fin.	2	2726	-3372.79	1496			5199	1228	SLV 12	0.82	No
ini.	2	426	-1931.26	-1411			5199	1862	SLV 15	1.32	Si
fin.	2	-847	-417.98	3940			5538	2133	SLV 15	0.54	No
ini.	2	2328	-2893.04	-7041			5199	1359	SLV 8	0.19	No
fin.	2	3145	-3912.93	-194			5199	1074	SLV 8	5.52	Si
ini.	2	-4714	1630.08	-5279			7085	2800	SLV 1	0.53	No
fin.	2	-2098	-225.9	-1288			6038	2369	SLV 1	1.84	Si

Tabella dei coefficienti di sicurezza minimi

Stato limite	Coeff.s.	Comb.	Verifica
PF_SLV	3.501	SLV 7	Si
V_SLV	0.193	SLV 7	No
PF_SLU	18.515	SLU 81	Si
V_SLU	0.347	SLU 81	No

Trave di accoppiamento 10

Verifiche condotte secondo D.M. 17-01-18 (N.T.C.)

Dati geometrici

X ini.	Y ini.	Z ini.inf.	Z ini.sup.	H ini.	X fin.	Y fin.	Z fin.inf.	Z fin.sup.	H fin.	Luce	Spessore	R. Trazione
-17.729	5.874	0.42	0.73	0.31	-18.729	5.874	0.42	0.73	0.31	1	0.45	30000

Caratteristiche del materiale

(Circolare 7 21-01-19 C8.5.I) Muratura in mattoni pieni e malta di calce LC2_Corti

fb	f _{hk}	f _{vk0}	f _{fm} medio	τ ₀	f _{v0}	μ	φ	f _{vk,lim}	E	G	FC
120000			172500	9000	20000	0.577	0.767	6500	320000000	128000000	1.2

Verifiche a pressoflessione delle travi in muratura in combinazioni non sismiche

Sezione	yM	N	M	Mu	Comb.	c.s.	Verifica
ini.	3	-508	-222.4	219.4	SLU 81	0.99	No
fin.	3	-670	-279.52	219.4	SLU 81	0.78	No
ini.	3	-428	-196.88	219.4	SLU 74	1.11	Si
fin.	3	-592	-253.36	219.4	SLU 74	0.87	No
ini.	3	-428	-196.88	219.4	SLU 77	1.11	Si
fin.	3	-592	-253.36	219.4	SLU 77	0.87	No
ini.	3	-508	-222.4	219.4	SLU 83	0.99	No
fin.	3	-670	-279.52	219.4	SLU 83	0.78	No
ini.	3	-845	-194.94	219.4	SLU 82	1.13	Si
fin.	3	-1041	-260.74	219.4	SLU 82	0.84	No
ini.	3	-845	-194.94	219.4	SLU 84	1.13	Si
fin.	3	-1041	-260.74	219.4	SLU 84	0.84	No
ini.	3	-501	-205.81	219.4	SLU 41	1.07	Si
fin.	3	-623	-250.62	219.4	SLU 41	0.88	No
ini.	3	-501	-205.81	219.4	SLU 39	1.07	Si
fin.	3	-623	-250.62	219.4	SLU 39	0.88	No
ini.	3	-412	-191.87	219.4	SLU 62	1.14	Si
fin.	3	-576	-248.22	219.4	SLU 62	0.88	No
ini.	3	-428	-196.88	219.4	SLU 79	1.11	Si
fin.	3	-592	-253.36	219.4	SLU 79	0.87	No

Verifiche a taglio delle travi in muratura secondo §C8.7.1.3.1 in combinazioni non sismiche

Sezione	yM	N	M	V	Vt	Vp	Vt fess. diag.	Vt,lim	Comb.	c.s.	Verifica
ini.	3	-428	-196.88	1306			472	187	SLU 77	0.14	No



Sezione	yM	N	M	V	Vt	Vp	Vt fess. diag.	Vt,lim	Comb.	c.s.	Verifica
fin.	3	-592	-253.36	-1511			516	203	SLU 77	0.13	No
ini.	3	-501	-205.81	1339			492	194	SLU 41	0.15	No
fin.	3	-623	-250.62	-1496			524	206	SLU 41	0.14	No
ini.	3	-412	-191.87	1275			468	185	SLU 62	0.15	No
fin.	3	-576	-248.22	-1480			512	202	SLU 62	0.14	No
ini.	3	-428	-196.88	1306			472	187	SLU 79	0.14	No
fin.	3	-592	-253.36	-1511			516	203	SLU 79	0.13	No
ini.	3	-331	-166.34	1118			447	176	SLU 53	0.16	No
fin.	3	-498	-222.06	-1323			491	194	SLU 53	0.15	No
ini.	3	-508	-222.4	1463			494	195	SLU 83	0.13	No
fin.	3	-670	-279.52	-1668			537	211	SLU 83	0.13	No
ini.	3	-501	-205.81	1339			492	194	SLU 39	0.15	No
fin.	3	-623	-250.62	-1496			524	206	SLU 39	0.14	No
ini.	3	-412	-191.87	1275			468	185	SLU 60	0.15	No
fin.	3	-576	-248.22	-1480			512	202	SLU 60	0.14	No
ini.	3	-428	-196.88	1306			472	187	SLU 74	0.14	No
fin.	3	-592	-253.36	-1511			516	203	SLU 74	0.13	No
ini.	3	-508	-222.4	1463			494	195	SLU 81	0.13	No
fin.	3	-670	-279.52	-1668			537	211	SLU 81	0.13	No

Verifiche a pressoflessione delle travi in muratura in combinazioni sismiche

Sezione	yM	N	M	Mu	Comb.	c.s.	Verifica
ini.	2	-2025	-481.67	329.11	SLV 14	0.68	No
fin.	2	-37	-133.78	329.11	SLV 14	2.46	Si
ini.	2	-2025	-481.67	329.11	SLV 13	0.68	No
fin.	2	-37	-133.78	329.11	SLV 13	2.46	Si
ini.	2	1591	249.79	329.11	SLV 3	1.32	Si
fin.	2	-655	-183.22	329.11	SLV 3	1.8	Si
ini.	2	1734	-565.9	329.11	SLV 16	0.58	No
fin.	2	3992	-178.44	329.11	SLV 16	1.84	Si
ini.	2	-2168	334.02	329.11	SLV 2	0.99	No
fin.	2	-4684	-138.56	329.11	SLV 2	2.38	Si
ini.	2	-2168	334.02	329.11	SLV 1	0.99	No
fin.	2	-4684	-138.56	329.11	SLV 1	2.38	Si
ini.	2	6069	-378.68	329.11	SLV 11	0.87	No
fin.	2	7067	-232.22	329.11	SLV 11	1.42	Si
ini.	2	6069	-378.68	329.11	SLV 12	0.87	No
fin.	2	7067	-232.22	329.11	SLV 12	1.42	Si
ini.	2	1734	-565.9	329.11	SLV 15	0.58	No
fin.	2	3992	-178.44	329.11	SLV 15	1.84	Si
ini.	2	1591	249.79	329.11	SLV 4	1.32	Si
fin.	2	-655	-183.22	329.11	SLV 4	1.8	Si

Verifiche a taglio delle travi in muratura secondo §C8.7.1.3.1 in combinazioni sismiche

Sezione	yM	N	M	V	Vt	Vp	Vt fess. diag.	Vt,lim	Comb.	c.s.	Verifica
ini.	2	1591	249.79	451			537	0	SLV 3	0	No
fin.	2	-655	-183.22	-1744			712	282	SLV 3	0.16	No
ini.	2	-2025	-481.67	1121			1077	399	SLV 13	0.36	No
fin.	2	-37	-133.78	-143			547	207	SLV 13	1.45	Si
ini.	2	1591	249.79	451			537	0	SLV 4	0	No
fin.	2	-655	-183.22	-1744			712	282	SLV 4	0.16	No
ini.	2	6026	-133.97	1670			537	0	SLV 8	0	No
fin.	2	5673	-233.65	-1526			537	0	SLV 8	0	No
ini.	2	6069	-378.68	2066			537	0	SLV 11	0	No
fin.	2	7067	-232.22	-1114			537	0	SLV 11	0	No
ini.	2	6026	-133.97	1670			537	0	SLV 7	0	No
fin.	2	5673	-233.65	-1526			537	0	SLV 7	0	No
ini.	2	1734	-565.9	1770			537	0	SLV 15	0	No
fin.	2	3992	-178.44	-369			537	0	SLV 15	0	No
ini.	2	1734	-565.9	1770			537	0	SLV 16	0	No
fin.	2	3992	-178.44	-369			537	0	SLV 16	0	No
ini.	2	6069	-378.68	2066			537	0	SLV 12	0	No
fin.	2	7067	-232.22	-1114			537	0	SLV 12	0	No
ini.	2	-2025	-481.67	1121			1077	399	SLV 14	0.36	No
fin.	2	-37	-133.78	-143			547	207	SLV 14	1.45	Si

Tabella dei coefficienti di sicurezza minimi

Stato limite	Coeff.s.	Comb.	Verifica
PF_SLV	0.582	SLV 15	No
V_SLV	0	SLV 3	No
PF_SLU	0.785	SLU 81	No
V_SLU	0.126	SLU 81	No

Trave di accoppiamento 11

Verifiche condotte secondo D.M. 17-01-18 (N.T.C.)

Dati geometrici

X ini.	Y ini.	Z ini.inf.	Z ini.sup.	H ini.	X fin.	Y fin.	Z fin.inf.	Z fin.sup.	H fin.	Luce	Spessore	R. Trazione
-13.839	5.874	-1.98	0.02	2	-14.839	5.874	-1.98	0.02	2	1	0.45	30000

Caratteristiche del materiale

(Circolare 7 21-01-19 C8.5.I) Muratura in mattoni pieni e malta di calce LC2_Corti

fb_	fhk	fvk0	fmedio	τ0	fv0	μ	φ	fvk,lim	E	G	FC
120000			172500	9000	20000	0.577	0.767	6500	320000000	128000000	1.2



Verifiche a pressoflessione delle travi in muratura in combinazioni non sismiche

Sezione	yM	N	M	Mu	Comb.	c.s.	Verifica
ini.	3	-2535	-282.45	9132.35	SLU 55	32.33	Si
fin.	3	-2573	-420.11	9132.35	SLU 55	21.74	Si
ini.	3	-3232	-224.6	9132.35	SLU 84	40.66	Si
fin.	3	-3275	-392.39	9132.35	SLU 84	23.27	Si
ini.	3	-2275	-279.81	9132.35	SLU 68	32.64	Si
fin.	3	-2309	-403.59	9132.35	SLU 68	22.63	Si
ini.	3	-3232	-224.6	9132.35	SLU 82	40.66	Si
fin.	3	-3275	-392.39	9132.35	SLU 82	23.27	Si
ini.	3	-2810	-285.22	9132.35	SLU 76	32.02	Si
fin.	3	-2851	-437.49	9132.35	SLU 76	20.87	Si
ini.	3	-2309	-258.34	9132.35	SLU 34	35.35	Si
fin.	3	-2344	-387.36	9132.35	SLU 34	23.58	Si
ini.	3	-2535	-282.45	9132.35	SLU 52	32.33	Si
fin.	3	-2573	-420.11	9132.35	SLU 52	21.74	Si
ini.	3	-2810	-285.22	9132.35	SLU 73	32.02	Si
fin.	3	-2851	-437.49	9132.35	SLU 73	20.87	Si
ini.	3	-2275	-279.81	9132.35	SLU 65	32.64	Si
fin.	3	-2309	-403.59	9132.35	SLU 65	22.63	Si
ini.	3	-2309	-258.34	9132.35	SLU 31	35.35	Si
fin.	3	-2344	-387.36	9132.35	SLU 31	23.58	Si

Verifiche a taglio delle travi in muratura secondo §C8.7.1.3.1 in combinazioni non sismiche

Sezione	yM	N	M	V	Vt	Vp	Vt fess. diag.	Vt _{lim}	Comb.	c.s.	Verifica
ini.	3	-3003	-222.28	-2343			4667	1845	SLU 80	0.79	No
fin.	3	-3043	-377.86	4493			4683	1851	SLU 80	0.41	No
ini.	3	-3003	-222.28	-2343			4667	1845	SLU 75	0.79	No
fin.	3	-3043	-377.86	4493			4683	1851	SLU 75	0.41	No
ini.	3	-3003	-222.28	-2343			4667	1845	SLU 78	0.79	No
fin.	3	-3043	-377.86	4493			4683	1851	SLU 78	0.41	No
ini.	3	-3522	-130.18	-2640			4875	1923	SLU 81	0.73	No
fin.	3	-3563	-302.93	4933			4891	1929	SLU 81	0.39	No
ini.	3	-3232	-224.6	-2576			4759	1880	SLU 82	0.73	No
fin.	3	-3275	-392.39	4846			4776	1886	SLU 82	0.39	No
ini.	3	-3232	-224.6	-2576			4759	1880	SLU 84	0.73	No
fin.	3	-3275	-392.39	4846			4776	1886	SLU 84	0.39	No
ini.	3	-2810	-285.22	-2300			4590	1815	SLU 76	0.79	No
fin.	3	-2851	-437.49	4434			4606	1822	SLU 76	0.41	No
ini.	3	-3293	-127.86	-2408			4783	1889	SLU 79	0.78	No
fin.	3	-3331	-288.4	4580			4799	1895	SLU 79	0.41	No
ini.	3	-2810	-285.22	-2300			4590	1815	SLU 73	0.79	No
fin.	3	-2851	-437.49	4434			4606	1822	SLU 73	0.41	No
ini.	3	-3522	-130.18	-2640			4875	1923	SLU 83	0.73	No
fin.	3	-3563	-302.93	4933			4891	1929	SLU 83	0.39	No

Verifiche a pressoflessione delle travi in muratura in combinazioni sismiche

Sezione	yM	N	M	Mu	Comb.	c.s.	Verifica
ini.	2	182	-1745.61	13698.53	SLV 13	7.85	Si
fin.	2	-1570	-416.24	13698.53	SLV 13	32.91	Si
ini.	2	182	-1745.61	13698.53	SLV 14	7.85	Si
fin.	2	-1570	-416.24	13698.53	SLV 14	32.91	Si
ini.	2	-8000	2782.23	13698.53	SLV 8	4.92	Si
fin.	2	-7332	2064.77	13698.53	SLV 8	6.63	Si
ini.	2	-8000	2782.23	13698.53	SLV 7	4.92	Si
fin.	2	-7332	2064.77	13698.53	SLV 7	6.63	Si
ini.	2	3136	-2453.4	13698.53	SLV 6	5.58	Si
fin.	2	3419	-2774.84	13698.53	SLV 6	4.94	Si
ini.	2	-7564	2263.15	13698.53	SLV 12	6.05	Si
fin.	2	-7898	2371.57	13698.53	SLV 12	5.78	Si
ini.	2	3572	-2972.48	13698.53	SLV 10	4.61	Si
fin.	2	2853	-2468.04	13698.53	SLV 10	5.55	Si
ini.	2	-7564	2263.15	13698.53	SLV 11	6.05	Si
fin.	2	-7898	2371.57	13698.53	SLV 11	5.78	Si
ini.	2	3136	-2453.4	13698.53	SLV 5	5.58	Si
fin.	2	3419	-2774.84	13698.53	SLV 5	4.94	Si
ini.	2	3572	-2972.48	13698.53	SLV 9	4.61	Si
fin.	2	2853	-2468.04	13698.53	SLV 9	5.55	Si

Verifiche a taglio delle travi in muratura secondo §C8.7.1.3.1 in combinazioni sismiche

Sezione	yM	N	M	V	Vt	Vp	Vt fess. diag.	Vt _{lim}	Comb.	c.s.	Verifica
ini.	2	-1269	-15.33	-3845			5707	2215	SLV 2	0.58	No
fin.	2	316	-1438.91	-677			5199	1887	SLV 2	2.79	Si
ini.	2	182	-1745.61	1959			5199	1916	SLV 13	0.98	No
fin.	2	-1570	-416.24	5570			5827	2272	SLV 13	0.41	No
ini.	2	-3158	-174.92	787			6462	2552	SLV 16	3.24	Si
fin.	2	-4795	1035.64	6740			7117	2812	SLV 16	0.42	No
ini.	2	-4610	1555.36	-5017			7043	2784	SLV 4	0.55	No
fin.	2	-2909	12.97	494			6363	2511	SLV 4	5.09	Si
ini.	2	182	-1745.61	1959			5199	1916	SLV 14	0.98	No
fin.	2	-1570	-416.24	5570			5827	2272	SLV 14	0.41	No
ini.	2	-7564	2263.15	-2611			8225	3204	SLV 12	1.23	Si
fin.	2	-7898	2371.57	5919			8358	3248	SLV 12	0.55	No
ini.	2	-4610	1555.36	-5017			7043	2784	SLV 3	0.55	No
fin.	2	-2909	12.97	494			6363	2511	SLV 3	5.09	Si
ini.	2	-7564	2263.15	-2611			8225	3204	SLV 11	1.23	Si
fin.	2	-7898	2371.57	5919			8358	3248	SLV 11	0.55	No
ini.	2	-1269	-15.33	-3845			5707	2215	SLV 1	0.58	No



Sezione	yM	N	M	V	Vt	Vp	Vt fess. diag.	Vt,lim	Comb.	c.s.	Verifica
fin.	2	316	-1438.91	-677			5199	1887	SLV 1	2.79	Si
ini.	2	-3158	-174.92	787			6462	2552	SLV 15	3.24	Si
fin.	2	-4795	1035.64	6740			7117	2812	SLV 15	0.42	No

Tabella dei coefficienti di sicurezza minimi

Stato limite	Coeff.s.	Comb.	Verifica
PF_SLV	4.608	SLV 9	Si
V_SLV	0.408	SLV 13	No
PF_SLU	20.874	SLU 73	Si
V_SLU	0.389	SLU 82	No

Trave di accoppiamento 12

Verifiche condotte secondo D.M. 17-01-18 (N.T.C.)

Dati geometrici

X ini.	Y ini.	Z ini.inf.	Z ini.sup.	H ini.	X fin.	Y fin.	Z fin.inf.	Z fin.sup.	H fin.	Luce	Spessore	R. Trazione
-13.839	5.874	0.42	0.73	0.31	-14.839	5.874	0.42	0.73	0.31	1	0.45	30000

Caratteristiche del materiale

(Circolare 7 21-01-19 C8.5.I) Muratura in mattoni pieni e malta di calce LC2_Corti

fb	fhk	fvk0	fhmmedio	t0	fv0	μ	φ	fvk,lim	E	G	FC
120000			172500	9000	20000	0.577	0.767	6500	320000000	128000000	1.2

Verifiche a pressoflessione delle travi in muratura in combinazioni non sismiche

Sezione	yM	N	M	Mu	Comb.	c.s.	Verifica
ini.	3	-613	-224.47	219.4	SLU 74	0.98	No
fin.	3	-745	-240.45	219.4	SLU 74	0.91	No
ini.	3	-666	-247.11	219.4	SLU 82	0.89	No
fin.	3	-794	-262.44	219.4	SLU 82	0.84	No
ini.	3	-673	-228.63	219.4	SLU 41	0.96	No
fin.	3	-778	-240.83	219.4	SLU 41	0.91	No
ini.	3	-708	-250.74	219.4	SLU 81	0.88	No
fin.	3	-841	-266.68	219.4	SLU 81	0.82	No
ini.	3	-631	-225	219.4	SLU 40	0.98	No
fin.	3	-731	-236.6	219.4	SLU 40	0.93	No
ini.	3	-613	-224.47	219.4	SLU 77	0.98	No
fin.	3	-745	-240.45	219.4	SLU 77	0.91	No
ini.	3	-673	-228.63	219.4	SLU 39	0.96	No
fin.	3	-778	-240.83	219.4	SLU 39	0.91	No
ini.	3	-613	-224.47	219.4	SLU 79	0.98	No
fin.	3	-745	-240.45	219.4	SLU 79	0.91	No
ini.	3	-708	-250.74	219.4	SLU 83	0.88	No
fin.	3	-841	-266.68	219.4	SLU 83	0.82	No
ini.	3	-666	-247.11	219.4	SLU 84	0.89	No
fin.	3	-794	-262.44	219.4	SLU 84	0.84	No

Verifiche a taglio delle travi in muratura secondo §C8.7.1.3.1 in combinazioni non sismiche

Sezione	yM	N	M	V	Vt	Vp	Vt fess. diag.	Vt,lim	Comb.	c.s.	Verifica
ini.	3	-572	-220.83	1395			511	201	SLU 80	0.14	No
fin.	3	-698	-236.21	-1473			544	213	SLU 80	0.14	No
ini.	3	-544	-218.41	1390			503	199	SLU 73	0.14	No
fin.	3	-667	-233.39	-1465			536	210	SLU 73	0.14	No
ini.	3	-666	-247.11	1553			536	210	SLU 82	0.14	No
fin.	3	-794	-262.44	-1631			570	222	SLU 82	0.14	No
ini.	3	-572	-220.83	1395			511	201	SLU 75	0.14	No
fin.	3	-698	-236.21	-1473			544	213	SLU 75	0.14	No
ini.	3	-708	-250.74	1561			547	214	SLU 81	0.14	No
fin.	3	-841	-266.68	-1643			583	226	SLU 81	0.14	No
ini.	3	-708	-250.74	1561			547	214	SLU 83	0.14	No
fin.	3	-841	-266.68	-1643			583	226	SLU 83	0.14	No
ini.	3	-544	-218.41	1390			503	199	SLU 76	0.14	No
fin.	3	-667	-233.39	-1465			536	210	SLU 76	0.14	No
ini.	3	-666	-247.11	1553			536	210	SLU 84	0.14	No
fin.	3	-794	-262.44	-1631			570	222	SLU 84	0.14	No
ini.	3	-572	-220.83	1395			511	201	SLU 78	0.14	No
fin.	3	-698	-236.21	-1473			544	213	SLU 78	0.14	No
ini.	3	-553	-215.67	1364			506	199	SLU 63	0.15	No
fin.	3	-679	-231.06	-1442			539	211	SLU 63	0.15	No

Verifiche a pressoflessione delle travi in muratura in combinazioni sismiche

Sezione	yM	N	M	Mu	Comb.	c.s.	Verifica
ini.	2	-7977	-144.25	329.11	SLV 10	2.28	Si
fin.	2	-1360	868.91	329.11	SLV 10	0.38	No
ini.	2	-7977	-144.25	329.11	SLV 9	2.28	Si
fin.	2	-1360	868.91	329.11	SLV 9	0.38	No
ini.	2	7296	-127.99	329.11	SLV 7	2.57	Si
fin.	2	481	-1165.85	329.11	SLV 7	0.28	No
ini.	2	7026	-251.91	329.11	SLV 12	1.31	Si
fin.	2	1379	-1092.6	329.11	SLV 12	0.3	No
ini.	2	-7707	-20.33	329.11	SLV 6	16.19	Si
fin.	2	-2258	795.66	329.11	SLV 6	0.41	No
ini.	2	2359	54.28	329.11	SLV 3	6.06	Si
fin.	2	-1526	-564.79	329.11	SLV 3	0.58	No



Sezione	yM	N	M	Mu	Comb.	c.s.	Verifica
ini.	2	7026	-251.91	329.11	SLV 11	1.31	Si
fin.	2	1379	-1092.6	329.11	SLV 11	0.3	No
ini.	2	2359	54.28	329.11	SLV 4	6.06	Si
fin.	2	-1526	-564.79	329.11	SLV 4	0.58	No
ini.	2	-7707	-20.33	329.11	SLV 5	16.19	Si
fin.	2	-2258	795.66	329.11	SLV 5	0.41	No
ini.	2	7296	-127.99	329.11	SLV 8	2.57	Si
fin.	2	481	-1165.85	329.11	SLV 8	0.28	No

Verifiche a taglio delle travi in muratura secondo §C8.7.1.3.1 in combinazioni sismiche

Sezione	yM	N	M	V	Vt	Vp	Vt fess. diag.	Vt,lim	Comb.	c.s.	Verifica
ini.	2	7296	-127.99	407			537	0	SLV 7	0	No
fin.	2	481	-1165.85	-2334			537	113	SLV 7	0.05	No
ini.	2	7026	-251.91	790			537	0	SLV 12	0	No
fin.	2	1379	-1092.6	-1908			537	0	SLV 12	0	No
ini.	2	2359	54.28	143			537	0	SLV 3	0	No
fin.	2	-1526	-564.79	-1991			944	361	SLV 3	0.18	No
ini.	2	7026	-251.91	790			537	0	SLV 11	0	No
fin.	2	1379	-1092.6	-1908			537	0	SLV 11	0	No
ini.	2	1460	-358.82	1420			537	0	SLV 16	0	No
fin.	2	1468	-320.61	-571			537	0	SLV 16	0	No
ini.	2	1460	-358.82	1420			537	0	SLV 15	0	No
fin.	2	1468	-320.61	-571			537	0	SLV 15	0	No
ini.	2	-3041	-326.52	1577			1348	468	SLV 13	0.3	No
fin.	2	646	267.84	149			537	55	SLV 13	0.37	No
ini.	2	7296	-127.99	407			537	0	SLV 8	0	No
fin.	2	481	-1165.85	-2334			537	113	SLV 8	0.05	No
ini.	2	-3041	-326.52	1577			1348	468	SLV 14	0.3	No
fin.	2	646	267.84	149			537	55	SLV 14	0.37	No
ini.	2	2359	54.28	143			537	0	SLV 4	0	No
fin.	2	-1526	-564.79	-1991			944	361	SLV 4	0.18	No

Tabella dei coefficienti di sicurezza minimi

Stato limite	Coeff.s.	Comb.	Verifica
PF SLV	0.282	SLV 7	No
V SLV	0	SLV 3	No
PF SLU	0.823	SLU 81	No
V SLU	0.135	SLU 82	No

Trave di accoppiamento 13

Verifiche condotte secondo D.M. 17-01-18 (N.T.C.)

Dati geometrici

X ini.	Y ini.	Z ini.inf.	Z ini.sup.	H ini.	X fin.	Y fin.	Z fin.inf.	Z fin.sup.	H fin.	Luce	Spessore	R. Trazione
-9.859	5.874	-1.98	0.02	2	-10.859	5.874	-1.98	0.02	2	1	0.45	30000

Caratteristiche del materiale

(Circolare 7 21-01-19 C8.5.I) Muratura in mattoni pieni e malta di calce LC2_Corti

fb	f _{hk}	f _{vk0}	f _{hmedio}	τ ₀	f _{v0}	μ	φ	f _{vk,lim}	E	G	FC
120000			172500	9000	20000	0.577	0.767	6500	320000000	128000000	1.2

Verifiche a pressoflessione delle travi in muratura in combinazioni non sismiche

Sezione	yM	N	M	Mu	Comb.	c.s.	Verifica
ini.	3	-1853	-589.38	9132.35	SLU 83	15.49	Si
fin.	3	-2930	-221.21	9132.35	SLU 83	41.28	Si
ini.	3	-1763	-564.29	9132.35	SLU 79	16.18	Si
fin.	3	-2760	-205.24	9132.35	SLU 79	44.5	Si
ini.	3	-1763	-564.29	9132.35	SLU 74	16.18	Si
fin.	3	-2760	-205.24	9132.35	SLU 74	44.5	Si
ini.	3	-1853	-589.38	9132.35	SLU 81	15.49	Si
fin.	3	-2930	-221.21	9132.35	SLU 81	41.28	Si
ini.	3	-1745	-559.37	9132.35	SLU 60	16.33	Si
fin.	3	-2726	-202.12	9132.35	SLU 60	45.18	Si
ini.	3	-1763	-564.29	9132.35	SLU 77	16.18	Si
fin.	3	-2760	-205.24	9132.35	SLU 77	44.5	Si
ini.	3	-1656	-534.28	9132.35	SLU 58	17.09	Si
fin.	3	-2556	-186.16	9132.35	SLU 58	49.06	Si
ini.	3	-1656	-534.28	9132.35	SLU 56	17.09	Si
fin.	3	-2556	-186.16	9132.35	SLU 56	49.06	Si
ini.	3	-1656	-534.28	9132.35	SLU 53	17.09	Si
fin.	3	-2556	-186.16	9132.35	SLU 53	49.06	Si
ini.	3	-1745	-559.37	9132.35	SLU 62	16.33	Si
fin.	3	-2726	-202.12	9132.35	SLU 62	45.18	Si

Verifiche a taglio delle travi in muratura secondo §C8.7.1.3.1 in combinazioni non sismiche

Sezione	yM	N	M	V	Vt	Vp	Vt fess. diag.	Vt,lim	Comb.	c.s.	Verifica
ini.	3	-1853	-589.38	-2317			4207	1659	SLU 81	0.72	No
fin.	3	-2930	-221.21	4763			4638	1834	SLU 81	0.39	No
ini.	3	-1745	-559.37	-2081			4164	1640	SLU 62	0.79	No
fin.	3	-2726	-202.12	4331			4557	1802	SLU 62	0.42	No
ini.	3	-1547	-487.52	-2051			4085	1606	SLU 41	0.78	No
fin.	3	-2486	-191.88	4154			4460	1764	SLU 41	0.42	No
ini.	3	-1763	-564.29	-2120			4171	1643	SLU 77	0.78	No



Sezione	yM	N	M	V	Vt	Vp	Vt fess. diag.	Vt,lim	Comb.	c.s.	Verifica
fin.	3	-2760	-205.24	4402			4570	1807	SLU 77	0.41	No
ini.	3	-1745	-559.37	-2081			4164	1640	SLU 60	0.79	No
fin.	3	-2726	-202.12	4331			4557	1802	SLU 60	0.42	No
ini.	3	-1853	-589.38	-2317			4207	1659	SLU 83	0.72	No
fin.	3	-2930	-221.21	4763			4638	1834	SLU 83	0.39	No
ini.	3	-2278	-359.88	-2368			4377	1730	SLU 82	0.73	No
fin.	3	-3318	5.01	4730			4793	1893	SLU 82	0.4	No
ini.	3	-2278	-359.88	-2368			4377	1730	SLU 84	0.73	No
fin.	3	-3318	5.01	4730			4793	1893	SLU 84	0.4	No
ini.	3	-1763	-564.29	-2120			4171	1643	SLU 74	0.78	No
fin.	3	-2760	-205.24	4402			4570	1807	SLU 74	0.41	No
ini.	3	-1763	-564.29	-2120			4171	1643	SLU 79	0.78	No
fin.	3	-2760	-205.24	4402			4570	1807	SLU 79	0.41	No

Verifiche a pressoflessione delle travi in muratura in combinazioni sismiche

Sezione	yM	N	M	Mu	Comb.	c.s.	Verifica
ini.	2	4310	-3997.77	13698.53	SLV 7	3.43	Si
fin.	2	4354	-4202.37	13698.53	SLV 7	3.26	Si
ini.	2	1728	-2578.27	13698.53	SLV 16	5.31	Si
fin.	2	-1361	-227.92	13698.53	SLV 16	60.1	Si
ini.	2	5024	-4603.02	13698.53	SLV 11	2.98	Si
fin.	2	3612	-3581.59	13698.53	SLV 11	3.82	Si
ini.	2	4310	-3997.77	13698.53	SLV 8	3.43	Si
fin.	2	4354	-4202.37	13698.53	SLV 8	3.26	Si
ini.	2	-7487	3804.69	13698.53	SLV 6	3.6	Si
fin.	2	-7384	3310.25	13698.53	SLV 6	4.14	Si
ini.	2	1728	-2578.27	13698.53	SLV 15	5.31	Si
fin.	2	-1361	-227.92	13698.53	SLV 15	60.1	Si
ini.	2	5024	-4603.02	13698.53	SLV 12	2.98	Si
fin.	2	3612	-3581.59	13698.53	SLV 12	3.82	Si
ini.	2	-7487	3804.69	13698.53	SLV 5	3.6	Si
fin.	2	-7384	3310.25	13698.53	SLV 5	4.14	Si
ini.	2	-6773	3199.44	13698.53	SLV 9	4.28	Si
fin.	2	-8126	3931.03	13698.53	SLV 9	3.48	Si
ini.	2	-6773	3199.44	13698.53	SLV 10	4.28	Si
fin.	2	-8126	3931.03	13698.53	SLV 10	3.48	Si

Verifiche a taglio delle travi in muratura secondo §C8.7.1.3.1 in combinazioni sismiche

Sezione	yM	N	M	V	Vt	Vp	Vt fess. diag.	Vt,lim	Comb.	c.s.	Verifica
ini.	2	5024	-4603.02	4103			5199	0	SLV 11	0	No
fin.	2	3612	-3581.59	9393			5199	869	SLV 11	0.09	No
ini.	2	-7487	3804.69	-6815			8194	3193	SLV 6	0.47	No
fin.	2	-7384	3310.25	-3623			8153	3180	SLV 6	0.88	No
ini.	2	1728	-2578.27	2777			5199	1536	SLV 15	0.55	No
fin.	2	-1361	-227.92	7500			5744	2233	SLV 15	0.3	No
ini.	2	-7487	3804.69	-6815			8194	3193	SLV 5	0.47	No
fin.	2	-7384	3310.25	-3623			8153	3180	SLV 5	0.88	No
ini.	2	5024	-4603.02	4103			5199	0	SLV 12	0	No
fin.	2	3612	-3581.59	9393			5199	869	SLV 12	0.09	No
ini.	2	-4190	1779.95	-5489			6875	2719	SLV 2	0.5	No
fin.	2	-2411	-43.42	-1731			6163	2425	SLV 2	1.4	Si
ini.	2	-4190	1779.95	-5489			6875	2719	SLV 1	0.5	No
fin.	2	-2411	-43.42	-1731			6163	2425	SLV 1	1.4	Si
ini.	2	1728	-2578.27	2777			5199	1536	SLV 16	0.55	No
fin.	2	-1361	-227.92	7500			5744	2233	SLV 16	0.3	No
ini.	2	4310	-3997.77	2458			5199	402	SLV 8	0.16	No
fin.	2	4354	-4202.37	7637			5199	353	SLV 8	0.05	No
ini.	2	4310	-3997.77	2458			5199	402	SLV 7	0.16	No
fin.	2	4354	-4202.37	7637			5199	353	SLV 7	0.05	No

Tabella dei coefficienti di sicurezza minimi

Stato limite	Coeff.s.	Comb.	Verifica
PF_SLV	2.976	SLV 11	Si
V_SLV	0	SLV 11	No
PF_SLU	15.495	SLU 81	Si
V_SLU	0.385	SLU 81	No

Trave di accoppiamento 14

Verifiche condotte secondo D.M. 17-01-18 (N.T.C.)

Dati geometrici

X ini.	Y ini.	Z ini.inf.	Z ini.sup.	H ini.	X fin.	Y fin.	Z fin.inf.	Z fin.sup.	H fin.	Luce	Spessore	R. Trazione
-9.859	5.874	0.42	0.73	0.31	-10.859	5.874	0.42	0.73	0.31	1	0.45	30000

Caratteristiche del materiale

(Circolare 7 21-01-19 C8.5.I) Muratura in mattoni pieni e malta di calce LC2_Corti

fb	fhk	fvk0	fmedio	t0	fv0	μ	φ	fvk,lim	E	G	FC
120000			172500	9000	20000	0.577	0.767	6500	320000000	128000000	1.2

Verifiche a pressoflessione delle travi in muratura in combinazioni non sismiche

Sezione	yM	N	M	Mu	Comb.	c.s.	Verifica
ini.	3	-894	-220.61	219.4	SLU 82	0.99	No
fin.	3	-806	-209.76	219.4	SLU 82	1.05	Si



Sezione	yM	N	M	Mu	Comb.	c.s.	Verifica
ini.	3	-894	-220.61	219.4	SLU 84	0.99	No
fin.	3	-806	-209.76	219.4	SLU 84	1.05	Si
ini.	3	-489	-236.43	219.4	SLU 81	0.93	No
fin.	3	-495	-241.78	219.4	SLU 81	0.91	No
ini.	3	-397	-207.36	219.4	SLU 62	1.06	Si
fin.	3	-396	-209.61	219.4	SLU 62	1.05	Si
ini.	3	-489	-236.43	219.4	SLU 83	0.93	No
fin.	3	-495	-241.78	219.4	SLU 83	0.91	No
ini.	3	-482	-214.93	219.4	SLU 41	1.02	Si
fin.	3	-494	-222.56	219.4	SLU 41	0.99	No
ini.	3	-412	-212.13	219.4	SLU 74	1.03	Si
fin.	3	-412	-214.89	219.4	SLU 74	1.02	Si
ini.	3	-482	-214.93	219.4	SLU 39	1.02	Si
fin.	3	-494	-222.56	219.4	SLU 39	0.99	No
ini.	3	-412	-212.13	219.4	SLU 77	1.03	Si
fin.	3	-412	-214.89	219.4	SLU 77	1.02	Si
ini.	3	-412	-212.13	219.4	SLU 79	1.03	Si
fin.	3	-412	-214.89	219.4	SLU 79	1.02	Si

Verifiche a taglio delle travi in muratura secondo §C8.7.1.3.1 in combinazioni non sismiche

Sezione	yM	N	M	V	Vt	Vp	Vt fess. diag.	Vt _{lim}	Comb.	c.s.	Verifica
ini.	3	-489	-236.43	1490			489	193	SLU 83	0.13	No
fin.	3	-495	-241.78	-1525			490	194	SLU 83	0.13	No
ini.	3	-397	-207.36	1310			464	183	SLU 62	0.14	No
fin.	3	-396	-209.61	-1333			464	183	SLU 62	0.14	No
ini.	3	-482	-214.93	1351			487	192	SLU 41	0.14	No
fin.	3	-494	-222.56	-1391			490	194	SLU 41	0.14	No
ini.	3	-412	-212.13	1340			468	185	SLU 77	0.14	No
fin.	3	-412	-214.89	-1364			468	185	SLU 77	0.14	No
ini.	3	-397	-207.36	1310			464	183	SLU 60	0.14	No
fin.	3	-396	-209.61	-1333			464	183	SLU 60	0.14	No
ini.	3	-412	-212.13	1340			468	185	SLU 79	0.14	No
fin.	3	-412	-214.89	-1364			468	185	SLU 79	0.14	No
ini.	3	-412	-212.13	1340			468	185	SLU 74	0.14	No
fin.	3	-412	-214.89	-1364			468	185	SLU 74	0.14	No
ini.	3	-482	-214.93	1351			487	192	SLU 39	0.14	No
fin.	3	-494	-222.56	-1391			490	194	SLU 39	0.14	No
ini.	3	-489	-236.43	1490			489	193	SLU 81	0.13	No
fin.	3	-495	-241.78	-1525			490	194	SLU 81	0.13	No
ini.	3	-319	-183.06	1160			443	175	SLU 53	0.15	No
fin.	3	-313	-182.73	-1172			442	174	SLU 53	0.15	No

Verifiche a pressoflessione delle travi in muratura in combinazioni sismiche

Sezione	yM	N	M	Mu	Comb.	c.s.	Verifica
ini.	2	-4696	-140.98	329.11	SLV 13	2.33	Si
fin.	2	-2283	275.46	329.11	SLV 13	1.19	Si
ini.	2	8420	-146.47	329.11	SLV 7	2.25	Si
fin.	2	6505	-419.54	329.11	SLV 7	0.78	No
ini.	2	4277	-117.78	329.11	SLV 3	2.79	Si
fin.	2	1881	-531.27	329.11	SLV 3	0.62	No
ini.	2	7169	-157.5	329.11	SLV 12	2.09	Si
fin.	2	6459	-211.27	329.11	SLV 12	1.56	Si
ini.	2	7169	-157.5	329.11	SLV 11	2.09	Si
fin.	2	6459	-211.27	329.11	SLV 11	1.56	Si
ini.	2	-525	-104.22	329.11	SLV 1	3.16	Si
fin.	2	-2130	-418.76	329.11	SLV 1	0.79	No
ini.	2	-4696	-140.98	329.11	SLV 14	2.33	Si
fin.	2	-2283	275.46	329.11	SLV 14	1.19	Si
ini.	2	4277	-117.78	329.11	SLV 4	2.79	Si
fin.	2	1881	-531.27	329.11	SLV 4	0.62	No
ini.	2	8420	-146.47	329.11	SLV 8	2.25	Si
fin.	2	6505	-419.54	329.11	SLV 8	0.78	No
ini.	2	-525	-104.22	329.11	SLV 2	3.16	Si
fin.	2	-2130	-418.76	329.11	SLV 2	0.79	No

Verifiche a taglio delle travi in muratura secondo §C8.7.1.3.1 in combinazioni sismiche

Sezione	yM	N	M	V	Vt	Vp	Vt fess. diag.	Vt _{lim}	Comb.	c.s.	Verifica
ini.	2	4277	-117.78	242			537	0	SLV 4	0	No
fin.	2	1881	-531.27	-1953			537	0	SLV 4	0	No
ini.	2	7169	-157.5	1427			537	0	SLV 12	0	No
fin.	2	6459	-211.27	-1954			537	0	SLV 12	0	No
ini.	2	-525	-104.22	4			677	268	SLV 2	70.94	Si
fin.	2	-2130	-418.76	-1146			1105	407	SLV 2	0.36	No
ini.	2	-525	-104.22	4			677	268	SLV 1	70.94	Si
fin.	2	-2130	-418.76	-1146			1105	407	SLV 1	0.36	No
ini.	2	8420	-146.47	1008			537	0	SLV 7	0	No
fin.	2	6505	-419.54	-2388			537	0	SLV 7	0	No
ini.	2	7169	-157.5	1427			537	0	SLV 11	0	No
fin.	2	6459	-211.27	-1954			537	0	SLV 11	0	No
ini.	2	107	-154.54	1638			537	186	SLV 16	0.11	No
fin.	2	1727	162.95	-505			537	0	SLV 16	0	No
ini.	2	4277	-117.78	242			537	0	SLV 3	0	No
fin.	2	1881	-531.27	-1953			537	0	SLV 3	0	No
ini.	2	107	-154.54	1638			537	186	SLV 15	0.11	No
fin.	2	1727	162.95	-505			537	0	SLV 15	0	No
ini.	2	8420	-146.47	1008			537	0	SLV 8	0	No
fin.	2	6505	-419.54	-2388			537	0	SLV 8	0	No



Tabella dei coefficienti di sicurezza minimi

Stato limite	Coeff.s.	Comb.	Verifica
PF_SLV	0.619	SLV 3	No
V_SLV	0	SLV 3	No
PF_SLU	0.907	SLU 81	No
V_SLU	0.127	SLU 81	No

Trave di accoppiamento 15

Verifiche condotte secondo D.M. 17-01-18 (N.T.C.)

Dati geometrici

X ini.	Y ini.	Z ini.inf.	Z ini.sup.	H ini.	X fin.	Y fin.	Z fin.inf.	Z fin.sup.	H fin.	Luce	Spessore	R. Trazione
-8.084	1.596	0.22	0.73	0.51	-8.084	2.596	0.22	0.73	0.51	1	0.45	30000

Caratteristiche del materiale

(Circolare 7 21-01-19 C8.5.I) Muratura in mattoni pieni e malta di calce LC2_Corti

fb	fhk	fvk0	fhmmedio	τ0	fv0	μ	φ	fvk,lim	E	G	FC
120000			172500	9000	20000	0.577	0.767	6500	320000000	128000000	1.2

Verifiche a pressoflessione delle travi in muratura in combinazioni non sismiche

Sezione	yM	N	M	Mu	Comb.	c.s.	Verifica
ini.	3	-165	-12.65	593.83	SLU 77	46.96	Si
fin.	3	-459	-52.73	593.83	SLU 77	11.26	Si
ini.	3	-165	-12.65	593.83	SLU 79	46.96	Si
fin.	3	-459	-52.73	593.83	SLU 79	11.26	Si
ini.	3	-170	-13.39	593.83	SLU 60	44.33	Si
fin.	3	-453	-51.84	593.83	SLU 60	11.46	Si
ini.	3	-138	-8.63	593.83	SLU 83	68.83	Si
fin.	3	-491	-57.45	593.83	SLU 83	10.34	Si
ini.	3	-191	-10.61	593.83	SLU 82	55.99	Si
fin.	3	-519	-55.28	593.83	SLU 82	10.74	Si
ini.	3	-191	-10.61	593.83	SLU 84	55.99	Si
fin.	3	-519	-55.28	593.83	SLU 84	10.74	Si
ini.	3	-170	-13.39	593.83	SLU 62	44.33	Si
fin.	3	-453	-51.84	593.83	SLU 62	11.46	Si
ini.	3	-70	-1.19	593.83	SLU 41	499.93	Si
fin.	3	-421	-50.6	593.83	SLU 41	11.74	Si
ini.	3	-165	-12.65	593.83	SLU 74	46.96	Si
fin.	3	-459	-52.73	593.83	SLU 74	11.26	Si
ini.	3	-138	-8.63	593.83	SLU 81	68.83	Si
fin.	3	-491	-57.45	593.83	SLU 81	10.34	Si

Verifiche a taglio delle travi in muratura secondo §C8.7.1.3.1 in combinazioni non sismiche

Sezione	yM	N	M	V	Vt	Vp	Vt fess. diag.	Vt,lim	Comb.	c.s.	Verifica
ini.	3	-165	-12.65	549			633	244	SLU 74	0.45	No
fin.	3	-459	-52.73	-1064			712	280	SLU 74	0.26	No
ini.	3	-191	-10.61	532			640	248	SLU 84	0.47	No
fin.	3	-519	-55.28	-1109			728	287	SLU 84	0.26	No
ini.	3	-138	-8.63	508			626	241	SLU 83	0.47	No
fin.	3	-491	-57.45	-1126			720	284	SLU 83	0.25	No
ini.	3	-165	-12.65	549			633	244	SLU 79	0.45	No
fin.	3	-459	-52.73	-1064			712	280	SLU 79	0.26	No
ini.	3	-218	-14.63	573			647	251	SLU 80	0.44	No
fin.	3	-487	-50.56	-1046			719	284	SLU 80	0.27	No
ini.	3	-170	-13.39	556			635	245	SLU 60	0.44	No
fin.	3	-453	-51.84	-1052			710	280	SLU 60	0.27	No
ini.	3	-170	-13.39	556			635	245	SLU 62	0.44	No
fin.	3	-453	-51.84	-1052			710	280	SLU 62	0.27	No
ini.	3	-165	-12.65	549			633	244	SLU 77	0.45	No
fin.	3	-459	-52.73	-1064			712	280	SLU 77	0.26	No
ini.	3	-138	-8.63	508			626	241	SLU 81	0.47	No
fin.	3	-491	-57.45	-1126			720	284	SLU 81	0.25	No
ini.	3	-191	-10.61	532			640	248	SLU 82	0.47	No
fin.	3	-519	-55.28	-1109			728	287	SLU 82	0.26	No

Verifiche a pressoflessione delle travi in muratura in combinazioni sismiche

Sezione	yM	N	M	Mu	Comb.	c.s.	Verifica
ini.	2	-874	-114.66	890.75	SLV 10	7.77	Si
fin.	2	-95	-4.11	890.75	SLV 10	216.56	Si
ini.	2	-138	-62.31	890.75	SLV 2	14.3	Si
fin.	2	-168	-22.08	890.75	SLV 2	40.34	Si
ini.	2	-874	-114.66	890.75	SLV 9	7.77	Si
fin.	2	-95	-4.11	890.75	SLV 9	216.56	Si
ini.	2	414	93.5	890.75	SLV 11	9.53	Si
fin.	2	-564	-65.52	890.75	SLV 11	13.59	Si
ini.	2	546	84.04	890.75	SLV 8	10.6	Si
fin.	2	-522	-63.89	890.75	SLV 8	13.94	Si
ini.	2	414	93.5	890.75	SLV 12	9.53	Si
fin.	2	-564	-65.52	890.75	SLV 12	13.59	Si
ini.	2	-742	-124.12	890.75	SLV 5	7.18	Si
fin.	2	-53	-2.49	890.75	SLV 5	358.3	Si
ini.	2	-138	-62.31	890.75	SLV 1	14.3	Si
fin.	2	-168	-22.08	890.75	SLV 1	40.34	Si
ini.	2	-742	-124.12	890.75	SLV 6	7.18	Si



Sezione	yM	N	M	Mu	Comb.	c.s.	Verifica
fin.	2	-53	-2.49	890.75	SLV 6	358.3	Si
ini.	2	546	84.04	890.75	SLV 7	10.6	Si
fin.	2	-522	-63.89	890.75	SLV 7	13.94	Si

Verifiche a taglio delle travi in muratura secondo §C8.7.1.3.1 in combinazioni sismiche

Sezione	yM	N	M	V	Vt	Vp	Vt fess. diag.	Vt,lim	Comb.	c.s.	Verifica
ini.	2	-874	-114.66	1120			1117	441	SLV 9	0.39	No
fin.	2	-95	-4.11	-244			909	346	SLV 9	1.42	Si
ini.	2	546	84.04	-163			884	241	SLV 8	1.48	Si
fin.	2	-522	-63.89	-1219			1023	401	SLV 8	0.33	No
ini.	2	-742	-124.12	1066			1082	427	SLV 5	0.4	No
fin.	2	-53	-2.49	-128			898	340	SLV 5	2.67	Si
ini.	2	414	93.5	-109			884	266	SLV 12	2.43	Si
fin.	2	-564	-65.52	-1336			1034	406	SLV 12	0.3	No
ini.	2	-190	31.69	384			934	359	SLV 16	0.94	No
fin.	2	-449	-45.93	-1090			1003	392	SLV 16	0.36	No
ini.	2	-190	31.69	384			934	359	SLV 15	0.94	No
fin.	2	-449	-45.93	-1090			1003	392	SLV 15	0.36	No
ini.	2	-742	-124.12	1066			1082	427	SLV 6	0.4	No
fin.	2	-53	-2.49	-128			898	340	SLV 6	2.67	Si
ini.	2	546	84.04	-163			884	241	SLV 7	1.48	Si
fin.	2	-522	-63.89	-1219			1023	401	SLV 7	0.33	No
ini.	2	414	93.5	-109			884	266	SLV 11	2.43	Si
fin.	2	-564	-65.52	-1336			1034	406	SLV 11	0.3	No
ini.	2	-874	-114.66	1120			1117	441	SLV 10	0.39	No
fin.	2	-95	-4.11	-244			909	346	SLV 10	1.42	Si

Tabella dei coefficienti di sicurezza minimi

Stato limite	Coeff.s.	Comb.	Verifica
PF_SLV	7.176	SLV 5	Si
V_SLV	0.304	SLV 11	No
PF_SLU	10.337	SLU 81	Si
V_SLU	0.252	SLU 81	No

Trave di accoppiamento 16

Verifiche condotte secondo D.M. 17-01-18 (N.T.C.)

Dati geometrici

X ini.	Y ini.	Z ini.inf.	Z ini.sup.	H ini.	X fin.	Y fin.	Z fin.inf.	Z fin.sup.	H fin.	Luce	Spessore	R. Trazione
-18.499	-3.134	0.73	1.73	1	-19.499	-3.134	0.73	1.73	1	1	0.3	30000

Caratteristiche del materiale

(Circolare 7 21-01-19 C8.5.I) Muratura in mattoni pieni e malta di calce LC2_Corti

fb	fhk	fvk0	fhmmedio	τ0	fv0	μ	φ	fvk,lim	E	G	FC
120000			172500	9000	20000	0.577	0.767	6500	320000000	128000000	1.2

Verifiche a pressoflessione delle travi in muratura in combinazioni non sismiche

Sezione	yM	N	M	Mu	Comb.	c.s.	Verifica
ini.	3	-552	-84.65	1522.06	SLU 42	17.98	Si
fin.	3	98	211.72	1522.06	SLU 42	7.19	Si
ini.	3	-627	-97.75	1522.06	SLU 84	15.57	Si
fin.	3	101	234.05	1522.06	SLU 84	6.5	Si
ini.	3	-558	-84.89	1522.06	SLU 39	17.93	Si
fin.	3	90	212.42	1522.06	SLU 39	7.17	Si
ini.	3	-552	-84.65	1522.06	SLU 40	17.98	Si
fin.	3	98	211.72	1522.06	SLU 40	7.19	Si
ini.	3	-633	-97.99	1522.06	SLU 81	15.53	Si
fin.	3	93	234.75	1522.06	SLU 81	6.48	Si
ini.	3	-580	-90.99	1522.06	SLU 74	16.73	Si
fin.	3	79	211.32	1522.06	SLU 74	7.2	Si
ini.	3	-580	-90.99	1522.06	SLU 77	16.73	Si
fin.	3	79	211.32	1522.06	SLU 77	7.2	Si
ini.	3	-633	-97.99	1522.06	SLU 83	15.53	Si
fin.	3	93	234.75	1522.06	SLU 83	6.48	Si
ini.	3	-627	-97.75	1522.06	SLU 82	15.57	Si
fin.	3	101	234.05	1522.06	SLU 82	6.5	Si
ini.	3	-558	-84.89	1522.06	SLU 41	17.93	Si
fin.	3	90	212.42	1522.06	SLU 41	7.17	Si

Verifiche a taglio delle travi in muratura secondo §C8.7.1.3.1 in combinazioni non sismiche

Sezione	yM	N	M	V	Vt	Vp	Vt fess. diag.	Vt,lim	Comb.	c.s.	Verifica
ini.	3	-633	-97.99	735			1408	556	SLU 81	0.76	No
fin.	3	93	234.75	-234			1155	414	SLU 81	1.77	Si
ini.	3	-558	-84.89	689			1379	543	SLU 41	0.79	No
fin.	3	90	212.42	-363			1155	415	SLU 41	1.14	Si
ini.	3	-570	-90.59	644			1383	545	SLU 76	0.85	No
fin.	3	92	210.15	-115			1155	414	SLU 76	3.61	Si
ini.	3	-627	-97.75	735			1406	555	SLU 84	0.75	No
fin.	3	101	234.05	-243			1155	412	SLU 84	1.7	Si
ini.	3	-552	-84.65	689			1376	542	SLU 42	0.79	No
fin.	3	98	211.72	-372			1155	413	SLU 42	1.11	Si
ini.	3	-558	-84.89	689			1379	543	SLU 39	0.79	No
fin.	3	90	212.42	-363			1155	415	SLU 39	1.14	Si



Sezione	yM	N	M	V	Vt	Vp	Vt fess. diag.	Vt,lim	Comb.	c.s.	Verifica
ini.	3	-570	-90.59	644			1383	545	SLU 73	0.85	No
fin.	3	92	210.15	-115			1155	414	SLU 73	3.61	Si
ini.	3	-552	-84.65	689			1376	542	SLU 40	0.79	No
fin.	3	98	211.72	-372			1155	413	SLU 40	1.11	Si
ini.	3	-633	-97.99	735			1408	556	SLU 83	0.76	No
fin.	3	93	234.75	-234			1155	414	SLU 83	1.77	Si
ini.	3	-627	-97.75	735			1406	555	SLU 82	0.75	No
fin.	3	101	234.05	-243			1155	412	SLU 82	1.7	Si

Verifiche a pressoflessione delle travi in muratura in combinazioni sismiche

Sezione	yM	N	M	Mu	Comb.	c.s.	Verifica
ini.	2	118	-533.42	2283.09	SLV 13	4.28	Si
fin.	2	-488	400.76	2283.09	SLV 13	5.7	Si
ini.	2	-865	412.9	2283.09	SLV 3	5.53	Si
fin.	2	571	-140.8	2283.09	SLV 3	16.21	Si
ini.	2	118	-533.42	2283.09	SLV 14	4.28	Si
fin.	2	-488	400.76	2283.09	SLV 14	5.7	Si
ini.	2	-487	405.75	2283.09	SLV 2	5.63	Si
fin.	2	1047	-177.38	2283.09	SLV 2	12.87	Si
ini.	2	-912	-189.22	2283.09	SLV 11	12.07	Si
fin.	2	-982	277.67	2283.09	SLV 11	8.22	Si
ini.	2	-487	405.75	2283.09	SLV 1	5.63	Si
fin.	2	1047	-177.38	2283.09	SLV 1	12.87	Si
ini.	2	-259	-526.28	2283.09	SLV 16	4.34	Si
fin.	2	-964	437.34	2283.09	SLV 16	5.22	Si
ini.	2	-865	412.9	2283.09	SLV 4	5.53	Si
fin.	2	571	-140.8	2283.09	SLV 4	16.21	Si
ini.	2	-259	-526.28	2283.09	SLV 15	4.34	Si
fin.	2	-964	437.34	2283.09	SLV 15	5.22	Si
ini.	2	-912	-189.22	2283.09	SLV 12	12.07	Si
fin.	2	-982	277.67	2283.09	SLV 12	8.22	Si

Verifiche a taglio delle travi in muratura secondo §C8.7.1.3.1 in combinazioni sismiche

Sezione	yM	N	M	V	Vt	Vp	Vt fess. diag.	Vt,lim	Comb.	c.s.	Verifica
ini.	2	-487	405.75	-1190			1928	751	SLV 2	0.63	No
fin.	2	1047	-177.38	-660			1733	358	SLV 2	0.54	No
ini.	2	-865	412.9	-910			2079	819	SLV 4	0.9	No
fin.	2	571	-140.8	-688			1733	513	SLV 4	0.75	No
ini.	2	-259	-526.28	1926			1837	706	SLV 16	0.37	No
fin.	2	-964	437.34	881			2119	836	SLV 16	0.95	No
ini.	2	118	-533.42	1647			1733	626	SLV 13	0.38	No
fin.	2	-488	400.76	909			1928	751	SLV 13	0.83	No
ini.	2	-865	412.9	-910			2079	819	SLV 3	0.9	No
fin.	2	571	-140.8	-688			1733	513	SLV 3	0.75	No
ini.	2	-912	-189.22	1260			2098	827	SLV 12	0.66	No
fin.	2	-982	277.67	299			2126	839	SLV 12	2.81	Si
ini.	2	-912	-189.22	1260			2098	827	SLV 11	0.66	No
fin.	2	-982	277.67	299			2126	839	SLV 11	2.81	Si
ini.	2	118	-533.42	1647			1733	626	SLV 14	0.38	No
fin.	2	-488	400.76	909			1928	751	SLV 14	0.83	No
ini.	2	-487	405.75	-1190			1928	751	SLV 1	0.63	No
fin.	2	1047	-177.38	-660			1733	358	SLV 1	0.54	No
ini.	2	-259	-526.28	1926			1837	706	SLV 15	0.37	No
fin.	2	-964	437.34	881			2119	836	SLV 15	0.95	No

Tabella dei coefficienti di sicurezza minimi

Stato limite	Coeff.s.	Comb.	Verifica
PF_SLV	4.28	SLV 13	Si
V_SLV	0.367	SLV 15	No
PF_SLU	6.484	SLU 81	Si
V_SLU	0.755	SLU 82	No

Trave di accoppiamento 17

Verifiche condotte secondo D.M. 17-01-18 (N.T.C.)

Dati geometrici

X ini.	Y ini.	Z ini.inf.	Z ini.sup.	H ini.	X fin.	Y fin.	Z fin.inf.	Z fin.sup.	H fin.	Luce	Spessore	R. Trazione
-18.499	-3.134	3.63	4.49	0.86	-19.499	-3.134	3.63	4.49	0.86	1	0.3	30000

Caratteristiche del materiale

(Circolare 7 21-01-19 C8.5.I) Muratura in mattoni pieni e malta di calce LC2_Corti

fb	fhk	fvk0	fhmmedio	τ0	fv0	μ	φ	fvk,lim	E	G	FC
120000			172500	9000	20000	0.577	0.767	6500	320000000	128000000	1.2

Verifiche a pressoflessione delle travi in muratura in combinazioni non sismiche

Sezione	yM	N	M	Mu	Comb.	c.s.	Verifica
ini.	3	233	-49.54	1125.71	SLU 47	22.72	Si
fin.	3	233	71.84	1125.71	SLU 47	15.67	Si
ini.	3	251	-50.68	1125.71	SLU 50	22.21	Si
fin.	3	251	71.92	1125.71	SLU 50	15.65	Si
ini.	3	233	-49.54	1125.71	SLU 44	22.72	Si
fin.	3	233	71.84	1125.71	SLU 44	15.67	Si
ini.	3	240	-50	1125.71	SLU 49	22.51	Si



Sezione	yM	N	M	Mu	Comb.	c.s.	Verifica
fin.	3	240	71.87	1125.71	SLU 49	15.66	Si
ini.	3	240	-50	1125.71	SLU 46	22.51	Si
fin.	3	240	71.87	1125.71	SLU 46	15.66	Si
ini.	3	201	-44.58	1125.71	SLU 66	25.25	Si
fin.	3	201	56.93	1125.71	SLU 66	19.77	Si
ini.	3	251	-50.68	1125.71	SLU 48	22.21	Si
fin.	3	251	71.92	1125.71	SLU 48	15.65	Si
ini.	3	240	-50	1125.71	SLU 51	22.51	Si
fin.	3	240	71.87	1125.71	SLU 51	15.66	Si
ini.	3	251	-50.68	1125.71	SLU 43	22.21	Si
fin.	3	251	71.92	1125.71	SLU 43	15.65	Si
ini.	3	251	-50.68	1125.71	SLU 45	22.21	Si
fin.	3	251	71.92	1125.71	SLU 45	15.65	Si

Verifiche a taglio delle travi in muratura secondo §C8.7.1.3.1 in combinazioni non sismiche

Sezione	yM	N	M	V	Vt	Vp	Vt fess. diag.	Vt,lim	Comb.	c.s.	Verifica
ini.	3	240	-50	364			855	273	SLU 51	0.75	No
fin.	3	240	71.87	-149			855	273	SLU 51	1.83	Si
ini.	3	201	-44.58	344			855	281	SLU 64	0.82	No
fin.	3	201	56.93	-170			855	281	SLU 64	1.66	Si
ini.	3	251	-50.68	365			855	271	SLU 43	0.74	No
fin.	3	251	71.92	-149			855	271	SLU 43	1.82	Si
ini.	3	240	-50	364			855	273	SLU 49	0.75	No
fin.	3	240	71.87	-149			855	273	SLU 49	1.83	Si
ini.	3	233	-49.54	364			855	275	SLU 47	0.76	No
fin.	3	233	71.84	-150			855	275	SLU 47	1.83	Si
ini.	3	251	-50.68	365			855	271	SLU 45	0.74	No
fin.	3	251	71.92	-149			855	271	SLU 45	1.82	Si
ini.	3	240	-50	364			855	273	SLU 46	0.75	No
fin.	3	240	71.87	-149			855	273	SLU 46	1.83	Si
ini.	3	251	-50.68	365			855	271	SLU 50	0.74	No
fin.	3	251	71.92	-149			855	271	SLU 50	1.82	Si
ini.	3	233	-49.54	364			855	275	SLU 44	0.76	No
fin.	3	233	71.84	-150			855	275	SLU 44	1.83	Si
ini.	3	251	-50.68	365			855	271	SLU 48	0.74	No
fin.	3	251	71.92	-149			855	271	SLU 48	1.82	Si

Verifiche a pressoflessione delle travi in muratura in combinazioni sismiche

Sezione	yM	N	M	Mu	Comb.	c.s.	Verifica
ini.	2	660	335.34	1688.57	SLV 2	5.04	Si
fin.	2	460	-217.38	1688.57	SLV 2	7.77	Si
ini.	2	-384	-399.8	1688.57	SLV 15	4.22	Si
fin.	2	-184	294.82	1688.57	SLV 15	5.73	Si
ini.	2	660	335.34	1688.57	SLV 1	5.04	Si
fin.	2	460	-217.38	1688.57	SLV 1	7.77	Si
ini.	2	-384	-399.8	1688.57	SLV 16	4.22	Si
fin.	2	-184	294.82	1688.57	SLV 16	5.73	Si
ini.	2	161	336.09	1688.57	SLV 4	5.02	Si
fin.	2	252	-337.53	1688.57	SLV 4	5	Si
ini.	2	115	-400.55	1688.57	SLV 14	4.22	Si
fin.	2	24	414.97	1688.57	SLV 14	4.07	Si
ini.	2	887	-143.86	1688.57	SLV 9	11.74	Si
fin.	2	418	333.82	1688.57	SLV 9	5.06	Si
ini.	2	115	-400.55	1688.57	SLV 13	4.22	Si
fin.	2	24	414.97	1688.57	SLV 13	4.07	Si
ini.	2	161	336.09	1688.57	SLV 3	5.02	Si
fin.	2	252	-337.53	1688.57	SLV 3	5	Si
ini.	2	887	-143.86	1688.57	SLV 10	11.74	Si
fin.	2	418	333.82	1688.57	SLV 10	5.06	Si

Verifiche a taglio delle travi in muratura secondo §C8.7.1.3.1 in combinazioni sismiche

Sezione	yM	N	M	V	Vt	Vp	Vt fess. diag.	Vt,lim	Comb.	c.s.	Verifica
ini.	2	-384	-399.8	862			1414	549	SLV 16	0.64	No
fin.	2	-184	294.82	470			1345	516	SLV 16	1.1	Si
ini.	2	115	-400.55	962			1282	460	SLV 13	0.48	No
fin.	2	24	414.97	552			1282	478	SLV 13	0.87	No
ini.	2	660	335.34	-347			1282	337	SLV 2	0.97	No
fin.	2	460	-217.38	-746			1282	387	SLV 2	0.52	No
ini.	2	887	-143.86	621			1282	270	SLV 9	0.43	No
fin.	2	418	333.82	192			1282	396	SLV 9	2.06	Si
ini.	2	161	336.09	-448			1282	451	SLV 3	1.01	Si
fin.	2	252	-337.53	-827			1282	433	SLV 3	0.52	No
ini.	2	887	-143.86	621			1282	270	SLV 10	0.43	No
fin.	2	418	333.82	192			1282	396	SLV 10	2.06	Si
ini.	2	161	336.09	-448			1282	451	SLV 4	1.01	Si
fin.	2	252	-337.53	-827			1282	433	SLV 4	0.52	No
ini.	2	115	-400.55	962			1282	460	SLV 14	0.48	No
fin.	2	24	414.97	552			1282	478	SLV 14	0.87	No
ini.	2	660	335.34	-347			1282	337	SLV 1	0.97	No
fin.	2	460	-217.38	-746			1282	387	SLV 1	0.52	No
ini.	2	-384	-399.8	862			1414	549	SLV 15	0.64	No
fin.	2	-184	294.82	470			1345	516	SLV 15	1.1	Si

Tabella dei coefficienti di sicurezza minimi

Stato limite	Coeff.s.	Comb.	Verifica
PF_SLV	4.069	SLV 13	Si
V_SLV	0.434	SLV 9	No
PF_SLU	15.653	SLU 43	Si



Stato limite	Coeff.s.	Comb.	Verifica
V SLU	0.742	SLU 43	No

Trave di accoppiamento 18

Verifiche condotte secondo D.M. 17-01-18 (N.T.C.)

Dati geometrici

X ini.	Y ini.	Z ini.inf.	Z ini.sup.	H ini.	X fin.	Y fin.	Z fin.inf.	Z fin.sup.	H fin.	Luce	Spessore	R. Trazione
-14.704	-3.134	3.73	4.49	0.76	-16.104	-3.134	3.73	4.49	0.76	1.4	0.3	30000

Caratteristiche del materiale

(Circolare 7 21-01-19 C8.5.I) Muratura in mattoni pieni e malta di calce LC2_Corti

fb _m	f _{hk}	f _{vk0}	f _{hmedio}	τ ₀	f _{v0}	μ	φ	f _{vk,lim}	E	G	FC
120000			172500	9000	20000	0.577	0.767	6500	320000000	128000000	1.2

Verifiche a pressoflessione delle travi in muratura in combinazioni non sismiche

Sezione	yM	N	M	Mu	Comb.	c.s.	Verifica
ini.	3	198	17.08	879.14	SLU 50	51.47	Si
fin.	3	198	-105.73	879.14	SLU 50	8.31	Si
ini.	3	198	17.08	879.14	SLU 45	51.47	Si
fin.	3	198	-105.73	879.14	SLU 45	8.31	Si
ini.	3	192	16.25	879.14	SLU 49	54.09	Si
fin.	3	192	-104.52	879.14	SLU 49	8.41	Si
ini.	3	192	16.25	879.14	SLU 46	54.09	Si
fin.	3	192	-104.52	879.14	SLU 46	8.41	Si
ini.	3	192	16.25	879.14	SLU 51	54.09	Si
fin.	3	192	-104.52	879.14	SLU 51	8.41	Si
ini.	3	188	15.7	879.14	SLU 47	55.99	Si
fin.	3	188	-103.71	879.14	SLU 47	8.48	Si
ini.	3	188	15.7	879.14	SLU 44	55.99	Si
fin.	3	188	-103.71	879.14	SLU 44	8.48	Si
ini.	3	167	7.9	879.14	SLU 66	111.29	Si
fin.	3	167	-98.88	879.14	SLU 66	8.89	Si
ini.	3	198	17.08	879.14	SLU 43	51.47	Si
fin.	3	198	-105.73	879.14	SLU 43	8.31	Si
ini.	3	198	17.08	879.14	SLU 48	51.47	Si
fin.	3	198	-105.73	879.14	SLU 48	8.31	Si

Verifiche a taglio delle travi in muratura secondo §C8.7.1.3.1 in combinazioni non sismiche

Sezione	yM	N	M	V	Vt	Vp	Vt fess. diag.	Vt,lim	Comb.	c.s.	Verifica
ini.	3	167	7.9	389			585	195	SLU 64	0.5	No
fin.	3	167	-98.88	-446			585	195	SLU 64	0.44	No
ini.	3	198	17.08	378			585	189	SLU 48	0.5	No
fin.	3	198	-105.73	-457			585	189	SLU 48	0.41	No
ini.	3	192	16.25	380			585	190	SLU 49	0.5	No
fin.	3	192	-104.52	-456			585	190	SLU 49	0.42	No
ini.	3	192	16.25	380			585	190	SLU 46	0.5	No
fin.	3	192	-104.52	-456			585	190	SLU 46	0.42	No
ini.	3	198	17.08	378			585	189	SLU 45	0.5	No
fin.	3	198	-105.73	-457			585	189	SLU 45	0.41	No
ini.	3	188	15.7	380			585	191	SLU 47	0.5	No
fin.	3	188	-103.71	-455			585	191	SLU 47	0.42	No
ini.	3	188	15.7	380			585	191	SLU 44	0.5	No
fin.	3	188	-103.71	-455			585	191	SLU 44	0.42	No
ini.	3	198	17.08	378			585	189	SLU 43	0.5	No
fin.	3	198	-105.73	-457			585	189	SLU 43	0.41	No
ini.	3	192	16.25	380			585	190	SLU 51	0.5	No
fin.	3	192	-104.52	-456			585	190	SLU 51	0.42	No
ini.	3	198	17.08	378			585	189	SLU 50	0.5	No
fin.	3	198	-105.73	-457			585	189	SLU 50	0.41	No

Verifiche a pressoflessione delle travi in muratura in combinazioni sismiche

Sezione	yM	N	M	Mu	Comb.	c.s.	Verifica
ini.	2	611	124.11	1318.71	SLV 5	10.63	Si
fin.	2	615	-226.91	1318.71	SLV 5	5.81	Si
ini.	2	-248	11.09	1318.71	SLV 15	118.87	Si
fin.	2	421	317.26	1318.71	SLV 15	4.16	Si
ini.	2	4	92.58	1318.71	SLV 13	14.24	Si
fin.	2	809	293.6	1318.71	SLV 13	4.49	Si
ini.	2	485	-5.18	1318.71	SLV 1	254.59	Si
fin.	2	-185	-464.72	1318.71	SLV 1	2.84	Si
ini.	2	232	-86.67	1318.71	SLV 4	15.22	Si
fin.	2	-572	-441.06	1318.71	SLV 4	2.99	Si
ini.	2	232	-86.67	1318.71	SLV 3	15.22	Si
fin.	2	-572	-441.06	1318.71	SLV 3	2.99	Si
ini.	2	485	-5.18	1318.71	SLV 2	254.59	Si
fin.	2	-185	-464.72	1318.71	SLV 2	2.84	Si
ini.	2	4	92.58	1318.71	SLV 14	14.24	Si
fin.	2	809	293.6	1318.71	SLV 14	4.49	Si
ini.	2	611	124.11	1318.71	SLV 6	10.63	Si
fin.	2	615	-226.91	1318.71	SLV 6	5.81	Si
ini.	2	-248	11.09	1318.71	SLV 16	118.87	Si
fin.	2	421	317.26	1318.71	SLV 16	4.16	Si



Verifiche a taglio delle travi in muratura secondo §C8.7.1.3.1 in combinazioni sismiche

Sezione	yM	N	M	V	Vt	Vp	Vt fess. diag.	Vt,lim	Comb.	c.s.	Verifica
ini.	2	611	124.11	29			878	225	SLV 5	7.83	Si
fin.	2	615	-226.91	-624			878	224	SLV 5	0.36	No
ini.	2	4	92.58	611			878	330	SLV 13	0.54	No
fin.	2	809	293.6	11			878	178	SLV 13	16.46	Si
ini.	2	485	-5.18	-105			878	250	SLV 2	2.39	Si
fin.	2	-185	-464.72	-788			927	356	SLV 2	0.45	No
ini.	2	485	-5.18	-105			878	250	SLV 1	2.39	Si
fin.	2	-185	-464.72	-788			927	356	SLV 1	0.45	No
ini.	2	467	153.44	244			878	254	SLV 9	1.04	Si
fin.	2	913	0.58	-384			878	147	SLV 9	0.38	No
ini.	2	4	92.58	611			878	330	SLV 14	0.54	No
fin.	2	809	293.6	11			878	178	SLV 14	16.46	Si
ini.	2	-248	11.09	712			944	365	SLV 15	0.51	No
fin.	2	421	317.26	110			878	262	SLV 15	2.39	Si
ini.	2	-248	11.09	712			944	365	SLV 16	0.51	No
fin.	2	421	317.26	110			878	262	SLV 16	2.39	Si
ini.	2	611	124.11	29			878	225	SLV 6	7.83	Si
fin.	2	615	-226.91	-624			878	224	SLV 6	0.36	No
ini.	2	467	153.44	244			878	254	SLV 10	1.04	Si
fin.	2	913	0.58	-384			878	147	SLV 10	0.38	No

Tabella dei coefficienti di sicurezza minimi

Stato limite	Coeff.s.	Comb.	Verifica
PF_SLV	2.838	SLV 1	Si
V_SLV	0.36	SLV 5	No
PF_SLU	8.315	SLU 43	Si
V_SLU	0.414	SLU 43	No

Trave di accoppiamento 19

Verifiche condotte secondo D.M. 17-01-18 (N.T.C.)

Dati geometrici

X ini.	Y ini.	Z ini.inf.	Z ini.sup.	H ini.	X fin.	Y fin.	Z fin.inf.	Z fin.sup.	H fin.	Luce	Spessore	R. Trazione
-12.284	-3.134	3.73	4.49	0.76	-13.684	-3.134	3.73	4.49	0.76	1.4	0.3	30000

Caratteristiche del materiale

(Circolare 7 21-01-19 C8.5.I) Muratura in mattoni pieni e malta di calce LC2_Corti

fb	f _{hk}	f _{vk0}	f _{hmedio}	τ ₀	f _{v0}	μ	φ	f _{vk,lim}	E	G	FC
120000			172500	9000	20000	0.577	0.767	6500	320000000	128000000	1.2

Verifiche a pressoflessione delle travi in muratura in combinazioni non sismiche

Sezione	yM	N	M	Mu	Comb.	c.s.	Verifica
ini.	3	40	32.43	879.14	SLU 77	27.11	Si
fin.	3	40	-83.73	879.14	SLU 77	10.5	Si
ini.	3	6	41.63	879.14	SLU 82	21.12	Si
fin.	3	6	-93.69	879.14	SLU 82	9.38	Si
ini.	3	-36	45.66	879.14	SLU 42	19.25	Si
fin.	3	-36	-86.13	879.14	SLU 42	10.21	Si
ini.	3	11	42.64	879.14	SLU 83	20.62	Si
fin.	3	11	-94.17	879.14	SLU 83	9.34	Si
ini.	3	11	42.64	879.14	SLU 81	20.62	Si
fin.	3	11	-94.17	879.14	SLU 81	9.34	Si
ini.	3	40	32.43	879.14	SLU 74	27.11	Si
fin.	3	40	-83.73	879.14	SLU 74	10.5	Si
ini.	3	6	41.63	879.14	SLU 84	21.12	Si
fin.	3	6	-93.69	879.14	SLU 84	9.38	Si
ini.	3	-36	45.66	879.14	SLU 40	19.25	Si
fin.	3	-36	-86.13	879.14	SLU 40	10.21	Si
ini.	3	-32	46.66	879.14	SLU 39	18.84	Si
fin.	3	-32	-86.61	879.14	SLU 39	10.15	Si
ini.	3	-32	46.66	879.14	SLU 41	18.84	Si
fin.	3	-32	-86.61	879.14	SLU 41	10.15	Si

Verifiche a taglio delle travi in muratura secondo §C8.7.1.3.1 in combinazioni non sismiche

Sezione	yM	N	M	V	Vt	Vp	Vt fess. diag.	Vt,lim	Comb.	c.s.	Verifica
ini.	3	40	32.43	289			585	214	SLU 77	0.74	No
fin.	3	40	-83.73	-394			585	214	SLU 77	0.54	No
ini.	3	6	41.63	275			585	219	SLU 84	0.8	No
fin.	3	6	-93.69	-408			585	219	SLU 84	0.54	No
ini.	3	46	30.48	291			585	214	SLU 62	0.73	No
fin.	3	46	-81.74	-392			585	214	SLU 62	0.55	No
ini.	3	40	32.43	289			585	214	SLU 79	0.74	No
fin.	3	40	-83.73	-394			585	214	SLU 79	0.54	No
ini.	3	11	42.64	274			585	219	SLU 83	0.8	No
fin.	3	11	-94.17	-409			585	219	SLU 83	0.53	No
ini.	3	46	30.48	291			585	214	SLU 60	0.73	No
fin.	3	46	-81.74	-392			585	214	SLU 60	0.55	No
ini.	3	6	41.63	275			585	219	SLU 82	0.8	No
fin.	3	6	-93.69	-408			585	219	SLU 82	0.54	No
ini.	3	11	42.64	274			585	219	SLU 81	0.8	No
fin.	3	11	-94.17	-409			585	219	SLU 81	0.53	No
ini.	3	35	31.42	290			585	215	SLU 80	0.74	No



Sezione	yM	N	M	V	Vt	Vp	Vt fess. diag.	Vt,lim	Comb.	c.s.	Verifica
fin.	3	35	-83.25	-393			585	215	SLU 80	0.55	No
ini.	3	40	32.43	289			585	214	SLU 74	0.74	No
fin.	3	40	-83.73	-394			585	214	SLU 74	0.54	No

Verifiche a pressoflessione delle travi in muratura in combinazioni sismiche

Sezione	yM	N	M	Mu	Comb.	c.s.	Verifica
ini.	2	593	333.69	1318.71	SLV 2	3.95	Si
fin.	2	445	-233.32	1318.71	SLV 2	5.65	Si
ini.	2	-387	-415.22	1318.71	SLV 14	3.18	Si
fin.	2	199	167.02	1318.71	SLV 14	7.9	Si
ini.	2	-450	-312.18	1318.71	SLV 15	4.22	Si
fin.	2	-302	133.5	1318.71	SLV 15	9.88	Si
ini.	2	530	436.72	1318.71	SLV 3	3.02	Si
fin.	2	-55	-266.83	1318.71	SLV 3	4.94	Si
ini.	2	530	436.72	1318.71	SLV 4	3.02	Si
fin.	2	-55	-266.83	1318.71	SLV 4	4.94	Si
ini.	2	-387	-415.22	1318.71	SLV 13	3.18	Si
fin.	2	199	167.02	1318.71	SLV 13	7.9	Si
ini.	2	115	294.81	1318.71	SLV 7	4.47	Si
fin.	2	-726	-165.82	1318.71	SLV 7	7.95	Si
ini.	2	-450	-312.18	1318.71	SLV 16	4.22	Si
fin.	2	-302	133.5	1318.71	SLV 16	9.88	Si
ini.	2	593	333.69	1318.71	SLV 1	3.95	Si
fin.	2	445	-233.32	1318.71	SLV 1	5.65	Si
ini.	2	115	294.81	1318.71	SLV 8	4.47	Si
fin.	2	-726	-165.82	1318.71	SLV 8	7.95	Si

Verifiche a taglio delle travi in muratura secondo §C8.7.1.3.1 in combinazioni sismiche

Sezione	yM	N	M	V	Vt	Vp	Vt fess. diag.	Vt,lim	Comb.	c.s.	Verifica
ini.	2	28	-273.3	489			878	326	SLV 9	0.67	No
fin.	2	869	66	53			878	161	SLV 9	3.04	Si
ini.	2	-387	-415.22	661			981	382	SLV 13	0.58	No
fin.	2	199	167.02	189			878	300	SLV 13	1.59	Si
ini.	2	593	333.69	-96			878	229	SLV 2	2.38	Si
fin.	2	445	-233.32	-627			878	258	SLV 2	0.41	No
ini.	2	530	436.72	-176			878	242	SLV 4	1.37	Si
fin.	2	-55	-266.83	-755			893	338	SLV 4	0.45	No
ini.	2	28	-273.3	489			878	326	SLV 10	0.67	No
fin.	2	869	66	53			878	161	SLV 10	3.04	Si
ini.	2	-387	-415.22	661			981	382	SLV 14	0.58	No
fin.	2	199	167.02	189			878	300	SLV 14	1.59	Si
ini.	2	530	436.72	-176			878	242	SLV 3	1.37	Si
fin.	2	-55	-266.83	-755			893	338	SLV 3	0.45	No
ini.	2	593	333.69	-96			878	229	SLV 1	2.38	Si
fin.	2	445	-233.32	-627			878	258	SLV 1	0.41	No
ini.	2	-450	-312.18	581			998	390	SLV 15	0.67	No
fin.	2	-302	133.5	61			959	372	SLV 15	6.12	Si
ini.	2	-450	-312.18	581			998	390	SLV 16	0.67	No
fin.	2	-302	133.5	61			959	372	SLV 16	6.12	Si

Tabella dei coefficienti di sicurezza minimi

Stato limite	Coeff.s.	Comb.	Verifica
PF_SLV	3.02	SLV 3	Si
V_SLV	0.412	SLV 1	No
PF_SLU	9.336	SLU 81	Si
V_SLU	0.535	SLU 81	No

Trave di accoppiamento 20

Verifiche condotte secondo D.M. 17-01-18 (N.T.C.)

Dati geometrici

X ini.	Y ini.	Z ini.inf.	Z ini.sup.	H ini.	X fin.	Y fin.	Z fin.inf.	Z fin.sup.	H fin.	Luce	Spessore	R. Trazione
-9.099	-3.134	0.73	1.73	1	-10.099	-3.134	0.73	1.73	1	1	0.3	30000

Caratteristiche del materiale

(Circolare 7 21-01-19 C8.5.I) Muratura in mattoni pieni e malta di calce LC2_Corti

fb_	fhk	fvk0	fhmmedio	t0	fv0	μ	φ	fvk,lim	E	G	FC
120000			172500	9000	20000	0.577	0.767	6500	320000000	128000000	1.2

Verifiche a pressoflessione delle travi in muratura in combinazioni non sismiche

Sezione	yM	N	M	Mu	Comb.	c.s.	Verifica
ini.	3	-409	67.16	1522.06	SLU 41	22.66	Si
fin.	3	275	225.17	1522.06	SLU 41	6.76	Si
ini.	3	-407	66.85	1522.06	SLU 42	22.77	Si
fin.	3	276	225.48	1522.06	SLU 42	6.75	Si
ini.	3	-450	83	1522.06	SLU 83	18.34	Si
fin.	3	309	243.7	1522.06	SLU 83	6.25	Si
ini.	3	-450	83	1522.06	SLU 81	18.34	Si
fin.	3	309	243.7	1522.06	SLU 81	6.25	Si
ini.	3	-401	80.04	1522.06	SLU 76	19.02	Si
fin.	3	282	216.47	1522.06	SLU 76	7.03	Si
ini.	3	-448	82.69	1522.06	SLU 84	18.41	Si
fin.	3	310	244.01	1522.06	SLU 84	6.24	Si



Sezione	yM	N	M	Mu	Comb.	c.s.	Verifica
ini.	3	-409	67.16	1522.06	SLU 39	22.66	Si
fin.	3	275	225.17	1522.06	SLU 39	6.76	Si
ini.	3	-401	80.04	1522.06	SLU 73	19.02	Si
fin.	3	282	216.47	1522.06	SLU 73	7.03	Si
ini.	3	-448	82.69	1522.06	SLU 82	18.41	Si
fin.	3	310	244.01	1522.06	SLU 82	6.24	Si
ini.	3	-407	66.85	1522.06	SLU 40	22.77	Si
fin.	3	276	225.48	1522.06	SLU 40	6.75	Si

Verifiche a taglio delle travi in muratura secondo §C8.7.1.3.1 in combinazioni non sismiche

Sezione	yM	N	M	V	Vt	Vp	Vt fess. diag.	Vt _{lim}	Comb.	c.s.	Verifica
ini.	3	-401	80.04	905			1316	515	SLU 73	0.57	No
fin.	3	282	216.47	-417			1155	368	SLU 73	0.88	No
ini.	3	-448	82.69	1029			1335	523	SLU 84	0.51	No
fin.	3	310	244.01	-559			1155	361	SLU 84	0.65	No
ini.	3	-401	80.04	905			1316	515	SLU 76	0.57	No
fin.	3	282	216.47	-417			1155	368	SLU 76	0.88	No
ini.	3	-407	66.85	962			1318	516	SLU 40	0.54	No
fin.	3	276	225.48	-620			1155	370	SLU 40	0.6	No
ini.	3	-450	83	1028			1335	524	SLU 81	0.51	No
fin.	3	309	243.7	-560			1155	362	SLU 81	0.65	No
ini.	3	-448	82.69	1029			1335	523	SLU 82	0.51	No
fin.	3	310	244.01	-559			1155	361	SLU 82	0.65	No
ini.	3	-409	67.16	961			1319	516	SLU 39	0.54	No
fin.	3	275	225.17	-621			1155	370	SLU 39	0.6	No
ini.	3	-450	83	1028			1335	524	SLU 83	0.51	No
fin.	3	309	243.7	-560			1155	362	SLU 83	0.65	No
ini.	3	-409	67.16	961			1319	516	SLU 41	0.54	No
fin.	3	275	225.17	-621			1155	370	SLU 41	0.6	No
ini.	3	-407	66.85	962			1318	516	SLU 42	0.54	No
fin.	3	276	225.48	-620			1155	370	SLU 42	0.6	No

Verifiche a pressoflessione delle travi in muratura in combinazioni sismiche

Sezione	yM	N	M	Mu	Comb.	c.s.	Verifica
ini.	2	-666	410.86	2283.09	SLV 1	5.56	Si
fin.	2	785	-264.11	2283.09	SLV 1	8.64	Si
ini.	2	401	-331.73	2283.09	SLV 14	6.88	Si
fin.	2	-186	494.71	2283.09	SLV 14	4.62	Si
ini.	2	-666	410.86	2283.09	SLV 2	5.56	Si
fin.	2	785	-264.11	2283.09	SLV 2	8.64	Si
ini.	2	401	-331.73	2283.09	SLV 13	6.88	Si
fin.	2	-186	494.71	2283.09	SLV 13	4.62	Si
ini.	2	-895	448.89	2283.09	SLV 4	5.09	Si
fin.	2	540	-239.61	2283.09	SLV 4	9.53	Si
ini.	2	172	-293.7	2283.09	SLV 15	7.77	Si
fin.	2	-430	519.21	2283.09	SLV 15	4.4	Si
ini.	2	-469	10.58	2283.09	SLV 12	215.78	Si
fin.	2	-376	282.2	2283.09	SLV 12	8.09	Si
ini.	2	-469	10.58	2283.09	SLV 11	215.78	Si
fin.	2	-376	282.2	2283.09	SLV 11	8.09	Si
ini.	2	-895	448.89	2283.09	SLV 3	5.09	Si
fin.	2	540	-239.61	2283.09	SLV 3	9.53	Si
ini.	2	172	-293.7	2283.09	SLV 16	7.77	Si
fin.	2	-430	519.21	2283.09	SLV 16	4.4	Si

Verifiche a taglio delle travi in muratura secondo §C8.7.1.3.1 in combinazioni sismiche

Sezione	yM	N	M	V	Vt	Vp	Vt fess. diag.	Vt _{lim}	Comb.	c.s.	Verifica
ini.	2	172	-293.7	1845			1733	614	SLV 15	0.33	No
fin.	2	-430	519.21	1349			1905	740	SLV 15	0.55	No
ini.	2	401	-331.73	1724			1733	558	SLV 14	0.32	No
fin.	2	-186	494.71	1506			1807	691	SLV 14	0.46	No
ini.	2	-895	448.89	-682			2091	824	SLV 4	1.21	Si
fin.	2	540	-239.61	-1764			1733	522	SLV 4	0.3	No
ini.	2	-469	10.58	1102			1921	747	SLV 11	0.68	No
fin.	2	-376	282.2	76			1884	729	SLV 11	9.62	Si
ini.	2	-666	410.86	-804			1999	784	SLV 1	0.98	No
fin.	2	785	-264.11	-1606			1733	450	SLV 1	0.28	No
ini.	2	401	-331.73	1724			1733	558	SLV 13	0.32	No
fin.	2	-186	494.71	1506			1807	691	SLV 13	0.46	No
ini.	2	-469	10.58	1102			1921	747	SLV 12	0.68	No
fin.	2	-376	282.2	76			1884	729	SLV 12	9.62	Si
ini.	2	-895	448.89	-682			2091	824	SLV 3	1.21	Si
fin.	2	540	-239.61	-1764			1733	522	SLV 3	0.3	No
ini.	2	172	-293.7	1845			1733	614	SLV 16	0.33	No
fin.	2	-430	519.21	1349			1905	740	SLV 16	0.55	No
ini.	2	-666	410.86	-804			1999	784	SLV 2	0.98	No
fin.	2	785	-264.11	-1606			1733	450	SLV 2	0.28	No

Tabella dei coefficienti di sicurezza minimi

Stato limite	Coeff.s.	Comb.	Verifica
PF_SLV	4.397	SLV 15	Si
V_SLV	0.28	SLV 1	No
PF_SLU	6.238	SLU 82	Si
V_SLU	0.508	SLU 82	No



Trave di accoppiamento 21

Verifiche condotte secondo D.M. 17-01-18 (N.T.C.)

Dati geometrici

X ini.	Y ini.	Z ini.inf.	Z ini.sup.	H ini.	X fin.	Y fin.	Z fin.inf.	Z fin.sup.	H fin.	Luce	Spessore	R. Trazione
-9.099	-3.134	3.63	4.49	0.86	-10.099	-3.134	3.63	4.49	0.86	1	0.3	30000

Caratteristiche del materiale

(Circolare 7 21-01-19 C8.5.I) Muratura in mattoni pieni e malta di calce LC2_Corti

fb_	fhk	fvk0	fhmedio	τ0	fv0	μ	φ	fvk_lim	E	G	FC
120000			172500	9000	20000	0.577	0.767	6500	320000000	128000000	1.2

Verifiche a pressoflessione delle travi in muratura in combinazioni non sismiche

Sezione	yM	N	M	Mu	Comb.	c.s.	Verifica
ini.	3	-112	44.11	1125.71	SLU 48	25.52	Si
fin.	3	-112	-53.25	1125.71	SLU 48	21.14	Si
ini.	3	-112	44.11	1125.71	SLU 43	25.52	Si
fin.	3	-112	-53.25	1125.71	SLU 43	21.14	Si
ini.	3	-177	26.78	1125.71	SLU 64	42.03	Si
fin.	3	-177	-46.73	1125.71	SLU 64	24.09	Si
ini.	3	-114	43.85	1125.71	SLU 46	25.67	Si
fin.	3	-114	-52.88	1125.71	SLU 46	21.29	Si
ini.	3	-112	44.11	1125.71	SLU 50	25.52	Si
fin.	3	-112	-53.25	1125.71	SLU 50	21.14	Si
ini.	3	-114	43.85	1125.71	SLU 49	25.67	Si
fin.	3	-114	-52.88	1125.71	SLU 49	21.29	Si
ini.	3	-116	43.67	1125.71	SLU 44	25.78	Si
fin.	3	-116	-52.64	1125.71	SLU 44	21.39	Si
ini.	3	-116	43.67	1125.71	SLU 47	25.78	Si
fin.	3	-116	-52.64	1125.71	SLU 47	21.39	Si
ini.	3	-114	43.85	1125.71	SLU 51	25.67	Si
fin.	3	-114	-52.88	1125.71	SLU 51	21.29	Si
ini.	3	-112	44.11	1125.71	SLU 45	25.52	Si
fin.	3	-112	-53.25	1125.71	SLU 45	21.14	Si

Verifiche a taglio delle travi in muratura secondo §C8.7.1.3.1 in combinazioni non sismiche

Sezione	yM	N	M	V	Vt	Vp	Vt fess. diag.	Vt_lim	Comb.	c.s.	Verifica
ini.	3	-177	26.78	181			915	353	SLU 64	1.95	Si
fin.	3	-177	-46.73	-341			915	353	SLU 64	1.03	Si
ini.	3	-114	43.85	158			894	342	SLU 51	2.17	Si
fin.	3	-114	-52.88	-365			894	342	SLU 51	0.94	No
ini.	3	-114	43.85	158			894	342	SLU 49	2.17	Si
fin.	3	-114	-52.88	-365			894	342	SLU 49	0.94	No
ini.	3	-112	44.11	157			893	342	SLU 48	2.17	Si
fin.	3	-112	-53.25	-365			893	342	SLU 48	0.94	No
ini.	3	-116	43.67	158			894	342	SLU 44	2.16	Si
fin.	3	-116	-52.64	-364			894	342	SLU 44	0.94	No
ini.	3	-116	43.67	158			894	342	SLU 47	2.16	Si
fin.	3	-116	-52.64	-364			894	342	SLU 47	0.94	No
ini.	3	-112	44.11	157			893	342	SLU 43	2.17	Si
fin.	3	-112	-53.25	-365			893	342	SLU 43	0.94	No
ini.	3	-112	44.11	157			893	342	SLU 45	2.17	Si
fin.	3	-112	-53.25	-365			893	342	SLU 45	0.94	No
ini.	3	-112	44.11	157			893	342	SLU 50	2.17	Si
fin.	3	-112	-53.25	-365			893	342	SLU 50	0.94	No
ini.	3	-114	43.85	158			894	342	SLU 46	2.17	Si
fin.	3	-114	-52.88	-365			894	342	SLU 46	0.94	No

Verifiche a pressoflessione delle travi in muratura in combinazioni sismiche

Sezione	yM	N	M	Mu	Comb.	c.s.	Verifica
ini.	2	-101	-292.46	1688.57	SLV 13	5.77	Si
fin.	2	150	332.04	1688.57	SLV 13	5.09	Si
ini.	2	340	168.92	1688.57	SLV 5	10	Si
fin.	2	404	-175.94	1688.57	SLV 5	9.6	Si
ini.	2	340	168.92	1688.57	SLV 6	10	Si
fin.	2	404	-175.94	1688.57	SLV 6	9.6	Si
ini.	2	-385	-326.61	1688.57	SLV 15	5.17	Si
fin.	2	-210	349.91	1688.57	SLV 15	4.83	Si
ini.	2	-385	-326.61	1688.57	SLV 16	5.17	Si
fin.	2	-210	349.91	1688.57	SLV 16	4.83	Si
ini.	2	-214	321.92	1688.57	SLV 4	5.25	Si
fin.	2	-466	-399.53	1688.57	SLV 4	4.23	Si
ini.	2	-101	-292.46	1688.57	SLV 14	5.77	Si
fin.	2	150	332.04	1688.57	SLV 14	5.09	Si
ini.	2	69	356.07	1688.57	SLV 1	4.74	Si
fin.	2	-106	-417.39	1688.57	SLV 1	4.05	Si
ini.	2	-214	321.92	1688.57	SLV 3	5.25	Si
fin.	2	-466	-399.53	1688.57	SLV 3	4.23	Si
ini.	2	69	356.07	1688.57	SLV 2	4.74	Si
fin.	2	-106	-417.39	1688.57	SLV 2	4.05	Si

Verifiche a taglio delle travi in muratura secondo §C8.7.1.3.1 in combinazioni sismiche

Sezione	yM	N	M	V	Vt	Vp	Vt fess. diag.	Vt_lim	Comb.	c.s.	Verifica
ini.	2	69	356.07	-575			1282	469	SLV 2	0.82	No
fin.	2	-106	-417.39	-1008			1318	502	SLV 2	0.5	No
ini.	2	-385	-326.61	869			1414	550	SLV 15	0.63	No



Sezione	yM	N	M	V	Vt	Vp	Vt fess. diag.	Vt,lim	Comb.	c.s.	Verifica
fin.	2	-210	349.91	499			1354	520	SLV 15	1.04	Si
ini.	2	340	168.92	-169			1282	414	SLV 5	2.45	Si
fin.	2	404	-175.94	-679			1282	400	SLV 5	0.59	No
ini.	2	-214	321.92	-509			1356	521	SLV 3	1.02	Si
fin.	2	-466	-399.53	-877			1442	563	SLV 3	0.64	No
ini.	2	-101	-292.46	804			1317	501	SLV 13	0.62	No
fin.	2	150	332.04	368			1282	453	SLV 13	1.23	Si
ini.	2	340	168.92	-169			1282	414	SLV 6	2.45	Si
fin.	2	404	-175.94	-679			1282	400	SLV 6	0.59	No
ini.	2	69	356.07	-575			1282	469	SLV 1	0.82	No
fin.	2	-106	-417.39	-1008			1318	502	SLV 1	0.5	No
ini.	2	-101	-292.46	804			1317	501	SLV 14	0.62	No
fin.	2	150	332.04	368			1282	453	SLV 14	1.23	Si
ini.	2	-214	321.92	-509			1356	521	SLV 4	1.02	Si
fin.	2	-466	-399.53	-877			1442	563	SLV 4	0.64	No
ini.	2	-385	-326.61	869			1414	550	SLV 16	0.63	No
fin.	2	-210	349.91	499			1354	520	SLV 16	1.04	Si

Tabella dei coefficienti di sicurezza minimi

Stato limite	Coeff.s.	Comb.	Verifica
PF_SLV	4.046	SLV 1	Si
V_SLV	0.498	SLV 1	No
PF_SLU	21.142	SLU 43	Si
V_SLU	0.936	SLU 43	No

Trave di accoppiamento 22

Verifiche condotte secondo D.M. 17-01-18 (N.T.C.)

Dati geometrici

X ini.	Y ini.	Z ini.inf.	Z ini.sup.	H ini.	X fin.	Y fin.	Z fin.inf.	Z fin.sup.	H fin.	Luce	Spessore	R. Trazione
-17.769	5.825	0.73	1.73	1	-18.769	5.825	0.73	1.73	1	1	0.3	30000

Caratteristiche del materiale

(Circolare 7 21-01-19 C8.5.I) Muratura in mattoni pieni e malta di calce LC2_Corti

fb	fhk	fvk0	fhmmedio	τ0	fv0	μ	φ	fvk,lim	E	G	FC
120000			172500	9000	20000	0.577	0.767	6500	320000000	128000000	1.2

Verifiche a pressoflessione delle travi in muratura in combinazioni non sismiche

Sezione	yM	N	M	Mu	Comb.	c.s.	Verifica
ini.	3	2141	322.2	1522.06	SLU 76	4.72	Si
fin.	3	2443	487.61	1522.06	SLU 76	3.12	Si
ini.	3	2188	303.35	1522.06	SLU 47	5.02	Si
fin.	3	2400	461.95	1522.06	SLU 47	3.29	Si
ini.	3	2172	309.75	1522.06	SLU 68	4.91	Si
fin.	3	2415	470.64	1522.06	SLU 68	3.23	Si
ini.	3	2188	303.35	1522.06	SLU 44	5.02	Si
fin.	3	2400	461.95	1522.06	SLU 44	3.29	Si
ini.	3	2037	297.66	1522.06	SLU 34	5.11	Si
fin.	3	2262	429.51	1522.06	SLU 34	3.54	Si
ini.	3	2037	297.66	1522.06	SLU 31	5.11	Si
fin.	3	2262	429.51	1522.06	SLU 31	3.54	Si
ini.	3	2172	309.75	1522.06	SLU 65	4.91	Si
fin.	3	2415	470.64	1522.06	SLU 65	3.23	Si
ini.	3	2141	322.2	1522.06	SLU 73	4.72	Si
fin.	3	2443	487.61	1522.06	SLU 73	3.12	Si
ini.	3	2157	315.8	1522.06	SLU 52	4.82	Si
fin.	3	2429	478.92	1522.06	SLU 52	3.18	Si
ini.	3	2157	315.8	1522.06	SLU 55	4.82	Si
fin.	3	2429	478.92	1522.06	SLU 55	3.18	Si

Verifiche a taglio delle travi in muratura secondo §C8.7.1.3.1 in combinazioni non sismiche

Sezione	yM	N	M	V	Vt	Vp	Vt fess. diag.	Vt,lim	Comb.	c.s.	Verifica
ini.	3	1335	221.77	636			1155	0	SLU 36	0	No
fin.	3	1623	349.41	-376			1155	0	SLU 36	0	No
ini.	3	1335	221.77	636			1155	0	SLU 38	0	No
fin.	3	1623	349.41	-376			1155	0	SLU 38	0	No
ini.	3	1322	227.11	696			1155	0	SLU 42	0	No
fin.	3	1635	356.68	-446			1155	0	SLU 42	0	No
ini.	3	2037	297.66	769			1155	0	SLU 34	0	No
fin.	3	2262	429.51	-534			1155	0	SLU 34	0	No
ini.	3	1486	227.46	470			1155	0	SLU 46	0	No
fin.	3	1761	381.85	-66			1155	0	SLU 46	0	No
ini.	3	1486	227.46	470			1155	0	SLU 49	0	No
fin.	3	1761	381.85	-66			1155	0	SLU 49	0	No
ini.	3	2188	303.35	603			1155	0	SLU 47	0	No
fin.	3	2400	461.95	-224			1155	0	SLU 47	0	No
ini.	3	1322	227.11	696			1155	0	SLU 40	0	No
fin.	3	1635	356.68	-446			1155	0	SLU 40	0	No
ini.	3	1486	227.46	470			1155	0	SLU 51	0	No
fin.	3	1761	381.85	-66			1155	0	SLU 51	0	No
ini.	3	2188	303.35	603			1155	0	SLU 44	0	No
fin.	3	2400	461.95	-224			1155	0	SLU 44	0	No



Verifiche a pressoflessione delle travi in muratura in combinazioni sismiche

Sezione	yM	N	M	Mu	Comb.	c.s.	Verifica
ini.	2	4720	2022.15	2283.09	SLV 1	1.13	Si
fin.	2	8734	752.13	2283.09	SLV 1	3.04	Si
ini.	2	13584	1965.01	2283.09	SLV 5	1.16	Si
fin.	2	13605	1250.05	2283.09	SLV 5	1.83	Si
ini.	2	-4088	-1833.19	2283.09	SLV 15	1.25	Si
fin.	2	-7466	-330.27	2283.09	SLV 15	6.91	Si
ini.	2	-3157	1170.13	2283.09	SLV 4	1.95	Si
fin.	2	1783	174.05	2283.09	SLV 4	13.12	Si
ini.	2	4720	2022.15	2283.09	SLV 2	1.13	Si
fin.	2	8734	752.13	2283.09	SLV 2	3.04	Si
ini.	2	-12952	-1776.04	2283.09	SLV 11	1.29	Si
fin.	2	-12338	-828.19	2283.09	SLV 11	2.76	Si
ini.	2	-12952	-1776.04	2283.09	SLV 12	1.29	Si
fin.	2	-12338	-828.19	2283.09	SLV 12	2.76	Si
ini.	2	13584	1965.01	2283.09	SLV 6	1.16	Si
fin.	2	13605	1250.05	2283.09	SLV 6	1.83	Si
ini.	2	-3157	1170.13	2283.09	SLV 3	1.95	Si
fin.	2	1783	174.05	2283.09	SLV 3	13.12	Si
ini.	2	-4088	-1833.19	2283.09	SLV 16	1.25	Si
fin.	2	-7466	-330.27	2283.09	SLV 16	6.91	Si

Verifiche a taglio delle travi in muratura secondo §C8.7.1.3.1 in combinazioni sismiche

Sezione	yM	N	M	V	Vt	Vp	Vt fess. diag.	Vt,lim	Comb.	c.s.	Verifica
ini.	2	13584	1965.01	689			1733	0	SLV 6	0	No
fin.	2	13605	1250.05	-2245			1733	0	SLV 6	0	No
ini.	2	13584	1965.01	689			1733	0	SLV 5	0	No
fin.	2	13605	1250.05	-2245			1733	0	SLV 5	0	No
ini.	2	3789	-981.17	2270			1733	0	SLV 14	0	No
fin.	2	-516	247.81	682			1939	756	SLV 14	1.11	Si
ini.	2	13305	1064.01	1714			1733	0	SLV 9	0	No
fin.	2	10830	1098.75	-1514			1733	0	SLV 9	0	No
ini.	2	13305	1064.01	1714			1733	0	SLV 10	0	No
fin.	2	10830	1098.75	-1514			1733	0	SLV 10	0	No
ini.	2	4720	2022.15	-1147			1733	0	SLV 2	0	No
fin.	2	8734	752.13	-1754			1733	0	SLV 2	0	No
ini.	2	4720	2022.15	-1147			1733	0	SLV 1	0	No
fin.	2	8734	752.13	-1754			1733	0	SLV 1	0	No
ini.	2	-3157	1170.13	-1695			2996	1149	SLV 3	0.68	No
fin.	2	1783	174.05	-603			1733	0	SLV 3	0	No
ini.	2	3789	-981.17	2270			1733	0	SLV 13	0	No
fin.	2	-516	247.81	682			1939	756	SLV 13	1.11	Si
ini.	2	-3157	1170.13	-1695			2996	1149	SLV 4	0.68	No
fin.	2	1783	174.05	-603			1733	0	SLV 4	0	No

Tabella dei coefficienti di sicurezza minimi

Stato limite	Coeff.s.	Comb.	Verifica
PF_SLV	1.129	SLV 1	Si
V_SLV	0	SLV 1	No
PF_SLU	3.121	SLU 73	Si
V_SLU	0	SLU 2	No

Trave di accoppiamento 23

Verifiche condotte secondo D.M. 17-01-18 (N.T.C.)

Dati geometrici

X ini.	Y ini.	Z ini.inf.	Z ini.sup.	H ini.	X fin.	Y fin.	Z fin.inf.	Z fin.sup.	H fin.	Luce	Spessore	R. Trazione
-17.769	5.825	3.63	4.49	0.86	-18.769	5.825	3.63	4.49	0.86	1	0.3	30000

Caratteristiche del materiale

(Circolare 7 21-01-19 C8.5.I) Muratura in mattoni pieni e malta di calce LC2_Corti

fb_	fhk	fvk0	fhmmedio	τ0	fv0	μ	φ	fvk,lim	E	G	FC
120000			172500	9000	20000	0.577	0.767	6500	320000000	128000000	1.2

Verifiche a pressoflessione delle travi in muratura in combinazioni non sismiche

Sezione	yM	N	M	Mu	Comb.	c.s.	Verifica
ini.	3	-732	-57.63	1125.71	SLU 2	19.53	Si
fin.	3	-732	5.21	1125.71	SLU 2	216.26	Si
ini.	3	-894	-61.74	1125.71	SLU 52	18.23	Si
fin.	3	-894	-7.98	1125.71	SLU 52	141.1	Si
ini.	3	-950	-58.85	1125.71	SLU 73	19.13	Si
fin.	3	-950	-15.75	1125.71	SLU 73	71.49	Si
ini.	3	-950	-58.85	1125.71	SLU 76	19.13	Si
fin.	3	-950	-15.75	1125.71	SLU 76	71.49	Si
ini.	3	-732	-57.63	1125.71	SLU 5	19.53	Si
fin.	3	-732	5.21	1125.71	SLU 5	216.26	Si
ini.	3	-784	-67.35	1125.71	SLU 47	16.71	Si
fin.	3	-784	7.15	1125.71	SLU 47	157.39	Si
ini.	3	-784	-67.35	1125.71	SLU 44	16.71	Si
fin.	3	-784	7.15	1125.71	SLU 44	157.39	Si
ini.	3	-840	-64.47	1125.71	SLU 65	17.46	Si
fin.	3	-840	-0.62	1125.71	SLU 65	1826.87	Si
ini.	3	-894	-61.74	1125.71	SLU 55	18.23	Si



Sezione	yM	N	M	Mu	Comb.	c.s.	Verifica
fin.	3	-894	-7.98	1125.71	SLU 55	141.1	Si
ini.	3	-840	-64.47	1125.71	SLU 68	17.46	Si
fin.	3	-840	-0.62	1125.71	SLU 68	1826.87	Si

Verifiche a taglio delle travi in muratura secondo §C8.7.1.3.1 in combinazioni non sismiche

Sezione	yM	N	M	V	Vt	Vp	Vt fess. diag.	Vt,lim	Comb.	c.s.	Verifica
ini.	3	-347	-35.95	283			974	381	SLU 69	1.35	Si
fin.	3	-347	-8.21	-233			974	381	SLU 69	1.63	Si
ini.	3	-347	-35.95	283			974	381	SLU 66	1.35	Si
fin.	3	-347	-8.21	-233			974	381	SLU 66	1.63	Si
ini.	3	-587	-55.94	315			1056	417	SLU 51	1.32	Si
fin.	3	-587	4.11	-201			1056	417	SLU 51	2.07	Si
ini.	3	-291	-38.83	293			955	372	SLU 45	1.27	Si
fin.	3	-291	-0.44	-223			955	372	SLU 45	1.67	Si
ini.	3	-291	-38.83	293			955	372	SLU 50	1.27	Si
fin.	3	-291	-0.44	-223			955	372	SLU 50	1.67	Si
ini.	3	-291	-38.83	293			955	372	SLU 43	1.27	Si
fin.	3	-291	-0.44	-223			955	372	SLU 43	1.67	Si
ini.	3	-347	-35.95	283			974	381	SLU 64	1.35	Si
fin.	3	-347	-8.21	-233			974	381	SLU 64	1.63	Si
ini.	3	-587	-55.94	315			1056	417	SLU 49	1.32	Si
fin.	3	-587	4.11	-201			1056	417	SLU 49	2.07	Si
ini.	3	-587	-55.94	315			1056	417	SLU 46	1.32	Si
fin.	3	-587	4.11	-201			1056	417	SLU 46	2.07	Si
ini.	3	-291	-38.83	293			955	372	SLU 48	1.27	Si
fin.	3	-291	-0.44	-223			955	372	SLU 48	1.67	Si

Verifiche a pressoflessione delle travi in muratura in combinazioni sismiche

Sezione	yM	N	M	Mu	Comb.	c.s.	Verifica
ini.	2	582	18.5	1688.57	SLV 2	91.26	Si
fin.	2	-411	-375.5	1688.57	SLV 2	4.5	Si
ini.	2	2742	34	1688.57	SLV 8	49.66	Si
fin.	2	2400	-180.5	1688.57	SLV 8	9.35	Si
ini.	2	-1154	-71.87	1688.57	SLV 16	23.5	Si
fin.	2	-161	357.64	1688.57	SLV 16	4.72	Si
ini.	2	582	18.5	1688.57	SLV 1	91.26	Si
fin.	2	-411	-375.5	1688.57	SLV 1	4.5	Si
ini.	2	2105	44.45	1688.57	SLV 3	37.99	Si
fin.	2	1088	-409.41	1688.57	SLV 3	4.12	Si
ini.	2	-1154	-71.87	1688.57	SLV 15	23.5	Si
fin.	2	-161	357.64	1688.57	SLV 15	4.72	Si
ini.	2	2742	34	1688.57	SLV 7	49.66	Si
fin.	2	2400	-180.5	1688.57	SLV 7	9.35	Si
ini.	2	-2677	-97.81	1688.57	SLV 13	17.26	Si
fin.	2	-1660	391.55	1688.57	SLV 13	4.31	Si
ini.	2	-2677	-97.81	1688.57	SLV 14	17.26	Si
fin.	2	-1660	391.55	1688.57	SLV 14	4.31	Si
ini.	2	2105	44.45	1688.57	SLV 4	37.99	Si
fin.	2	1088	-409.41	1688.57	SLV 4	4.12	Si

Verifiche a taglio delle travi in muratura secondo §C8.7.1.3.1 in combinazioni sismiche

Sezione	yM	N	M	V	Vt	Vp	Vt fess. diag.	Vt,lim	Comb.	c.s.	Verifica
ini.	2	582	18.5	-110			1282	357	SLV 1	3.25	Si
fin.	2	-411	-375.5	-467			1423	554	SLV 1	1.19	Si
ini.	2	-2677	-97.81	690			2203	846	SLV 13	1.23	Si
fin.	2	-1660	391.55	310			1853	729	SLV 13	2.35	Si
ini.	2	582	18.5	-110			1282	357	SLV 2	3.25	Si
fin.	2	-411	-375.5	-467			1423	554	SLV 2	1.19	Si
ini.	2	2742	34	-160			1282	0	SLV 7	0	No
fin.	2	2400	-180.5	-650			1282	0	SLV 7	0	No
ini.	2	2105	44.45	-262			1282	0	SLV 3	0	No
fin.	2	1088	-409.41	-677			1282	191	SLV 3	0.28	No
ini.	2	-2677	-97.81	690			2203	846	SLV 14	1.23	Si
fin.	2	-1660	391.55	310			1853	729	SLV 14	2.35	Si
ini.	2	1764	-0.89	80			1282	0	SLV 12	0	No
fin.	2	2025	49.61	-416			1282	0	SLV 12	0	No
ini.	2	1764	-0.89	80			1282	0	SLV 11	0	No
fin.	2	2025	49.61	-416			1282	0	SLV 11	0	No
ini.	2	2105	44.45	-262			1282	0	SLV 4	0	No
fin.	2	1088	-409.41	-677			1282	191	SLV 4	0.28	No
ini.	2	2742	34	-160			1282	0	SLV 8	0	No
fin.	2	2400	-180.5	-650			1282	0	SLV 8	0	No

Tabella dei coefficienti di sicurezza minimi

Stato limite	Coeff.s.	Comb.	Verifica
PF_SLV	4.124	SLV 3	Si
V_SLV	0	SLV 3	No
PF_SLU	16.714	SLU 44	Si
V_SLU	1.268	SLU 43	Si

Trave di accoppiamento 24

Verifiche condotte secondo D.M. 17-01-18 (N.T.C.)



Dati geometrici

X ini.	Y ini.	Z ini.inf.	Z ini.sup.	H ini.	X fin.	Y fin.	Z fin.inf.	Z fin.sup.	H fin.	Luce	Spessore	R. Trazione
-13.879	5.825	0.73	1.73	1	-14.879	5.825	0.73	1.73	1	1	0.3	30000

Caratteristiche del materiale

(Circolare 7 21-01-19 C8.5.I) Muratura in mattoni pieni e malta di calce LC2_Corti

fb	f _{hk}	f _{vk0}	f _{hmedio}	τ ₀	f _{v0}	μ	φ	f _{vk,lim}	E	G	FC
120000			172500	9000	20000	0.577	0.767	6500	320000000	128000000	1.2

Verifiche a pressoflessione delle travi in muratura in combinazioni non sismiche

Sezione	yM	N	M	Mu	Comb.	c.s.	Verifica
ini.	3	-932	190.27	1522.06	SLU 84	8	Si
fin.	3	-506	122.53	1522.06	SLU 84	12.42	Si
ini.	3	-1236	205.28	1522.06	SLU 76	7.41	Si
fin.	3	-877	102.1	1522.06	SLU 76	14.91	Si
ini.	3	-932	190.27	1522.06	SLU 82	8	Si
fin.	3	-506	122.53	1522.06	SLU 82	12.42	Si
ini.	3	-1252	197.47	1522.06	SLU 47	7.71	Si
fin.	3	-1007	75.23	1522.06	SLU 47	20.23	Si
ini.	3	-1236	205.28	1522.06	SLU 73	7.41	Si
fin.	3	-877	102.1	1522.06	SLU 73	14.91	Si
ini.	3	-1247	200.12	1522.06	SLU 68	7.61	Si
fin.	3	-963	84.34	1522.06	SLU 68	18.05	Si
ini.	3	-1252	197.47	1522.06	SLU 44	7.71	Si
fin.	3	-1007	75.23	1522.06	SLU 44	20.23	Si
ini.	3	-1247	200.12	1522.06	SLU 65	7.61	Si
fin.	3	-963	84.34	1522.06	SLU 65	18.05	Si
ini.	3	-1242	202.62	1522.06	SLU 55	7.51	Si
fin.	3	-921	93	1522.06	SLU 55	16.37	Si
ini.	3	-1242	202.62	1522.06	SLU 52	7.51	Si
fin.	3	-921	93	1522.06	SLU 52	16.37	Si

Verifiche a taglio delle travi in muratura secondo §C8.7.1.3.1 in combinazioni non sismiche

Sezione	yM	N	M	V	Vt	Vp	Vt fess. diag.	Vt _{lim}	Comb.	c.s.	Verifica
ini.	3	-364	129.51	321			1301	508	SLU 39	1.58	Si
fin.	3	47	119.39	-320			1155	425	SLU 39	1.33	Si
ini.	3	-369	127.3	263			1303	509	SLU 37	1.94	Si
fin.	3	10	111.78	-255			1155	433	SLU 37	1.7	Si
ini.	3	-932	190.27	304			1528	604	SLU 84	1.99	Si
fin.	3	-506	122.53	-322			1358	534	SLU 84	1.66	Si
ini.	3	-815	155.33	312			1481	586	SLU 42	1.88	Si
fin.	3	-455	100.18	-341			1337	524	SLU 42	1.54	Si
ini.	3	-815	155.33	312			1481	586	SLU 40	1.88	Si
fin.	3	-455	100.18	-341			1337	524	SLU 40	1.54	Si
ini.	3	-481	164.45	314			1348	529	SLU 83	1.69	Si
fin.	3	-5	141.74	-301			1157	436	SLU 83	1.45	Si
ini.	3	-364	129.51	321			1301	508	SLU 41	1.58	Si
fin.	3	47	119.39	-320			1155	425	SLU 41	1.33	Si
ini.	3	-932	190.27	304			1528	604	SLU 82	1.99	Si
fin.	3	-506	122.53	-322			1358	534	SLU 82	1.66	Si
ini.	3	-369	127.3	263			1303	509	SLU 35	1.94	Si
fin.	3	10	111.78	-255			1155	433	SLU 35	1.7	Si
ini.	3	-481	164.45	314			1348	529	SLU 81	1.69	Si
fin.	3	-5	141.74	-301			1157	436	SLU 81	1.45	Si

Verifiche a pressoflessione delle travi in muratura in combinazioni sismiche

Sezione	yM	N	M	Mu	Comb.	c.s.	Verifica
ini.	2	14820	2326.88	2283.09	SLV 7	0.98	No
fin.	2	11635	457.64	2283.09	SLV 7	4.99	Si
ini.	2	14989	1984.75	2283.09	SLV 12	1.15	Si
fin.	2	10416	200.97	2283.09	SLV 12	11.36	Si
ini.	2	-15748	-1741.3	2283.09	SLV 5	1.31	Si
fin.	2	-10582	-15.8	2283.09	SLV 5	144.49	Si
ini.	2	-15579	-2083.43	2283.09	SLV 10	1.1	Si
fin.	2	-11801	-272.47	2283.09	SLV 10	8.38	Si
ini.	2	14820	2326.88	2283.09	SLV 8	0.98	No
fin.	2	11635	457.64	2283.09	SLV 8	4.99	Si
ini.	2	3924	1302.17	2283.09	SLV 4	1.75	Si
fin.	2	5281	591.38	2283.09	SLV 4	3.86	Si
ini.	2	-15579	-2083.43	2283.09	SLV 9	1.1	Si
fin.	2	-11801	-272.47	2283.09	SLV 9	8.38	Si
ini.	2	3924	1302.17	2283.09	SLV 3	1.75	Si
fin.	2	5281	591.38	2283.09	SLV 3	3.86	Si
ini.	2	14989	1984.75	2283.09	SLV 11	1.15	Si
fin.	2	10416	200.97	2283.09	SLV 11	11.36	Si
ini.	2	-15748	-1741.3	2283.09	SLV 6	1.31	Si
fin.	2	-10582	-15.8	2283.09	SLV 6	144.49	Si

Verifiche a taglio delle travi in muratura secondo §C8.7.1.3.1 in combinazioni sismiche

Sezione	yM	N	M	V	Vt	Vp	Vt fess. diag.	Vt _{lim}	Comb.	c.s.	Verifica
ini.	2	-5247	81.72	-1661			3832	1383	SLV 2	0.83	No
fin.	2	-1385	449.35	-1583			2287	904	SLV 2	0.57	No
ini.	2	14820	2326.88	1711			1733	0	SLV 7	0	No
fin.	2	11635	457.64	1074			1733	0	SLV 7	0	No
ini.	2	14989	1984.75	2425			1733	0	SLV 11	0	No
fin.	2	10416	200.97	1703			1733	0	SLV 11	0	No
ini.	2	-5247	81.72	-1661			3832	1383	SLV 1	0.83	No



Sezione	yM	N	M	V	Vt	Vp	Vt fess. diag.	Vt,lim	Comb.	c.s.	Verifica
fin.	2	-1385	449.35	-1583			2287	904	SLV 1	0.57	No
ini.	2	4487	161.73	1890			1733	0	SLV 16	0	No
fin.	2	1218	-264.18	1400			1733	283	SLV 16	0.2	No
ini.	2	14820	2326.88	1711			1733	0	SLV 8	0	No
fin.	2	11635	457.64	1074			1733	0	SLV 8	0	No
ini.	2	3924	1302.17	-489			1733	0	SLV 3	0	No
fin.	2	5281	591.38	-695			1733	0	SLV 3	0	No
ini.	2	3924	1302.17	-489			1733	0	SLV 4	0	No
fin.	2	5281	591.38	-695			1733	0	SLV 4	0	No
ini.	2	14989	1984.75	2425			1733	0	SLV 12	0	No
fin.	2	10416	200.97	1703			1733	0	SLV 12	0	No
ini.	2	4487	161.73	1890			1733	0	SLV 15	0	No
fin.	2	1218	-264.18	1400			1733	283	SLV 15	0.2	No

Tabella dei coefficienti di sicurezza minimi

Stato limite	Coeff.s.	Comb.	Verifica
PF_SLV	0.981	SLV 7	No
V_SLV	0	SLV 3	No
PF_SLU	7.415	SLU 73	Si
V_SLU	1.326	SLU 39	Si

Trave di accoppiamento 25

Verifiche condotte secondo D.M. 17-01-18 (N.T.C.)

Dati geometrici

X ini.	Y ini.	Z ini.inf.	Z ini.sup.	H ini.	X fin.	Y fin.	Z fin.inf.	Z fin.sup.	H fin.	Luce	Spessore	R. Trazione
-13.879	5.825	3.63	4.49	0.86	-14.879	5.825	3.63	4.49	0.86	1	0.3	30000

Caratteristiche del materiale

(Circolare 7 21-01-19 C8.5.I) Muratura in mattoni pieni e malta di calce LC2_Corti

fb_	f _{hk}	f _{vk0}	f _{hmedio}	τ ₀	f _{v0}	μ	φ	f _{vk,lim}	E	G	FC
120000			172500	9000	20000	0.577	0.767	6500	320000000	128000000	1.2

Verifiche a pressoflessione delle travi in muratura in combinazioni non sismiche

Sezione	yM	N	M	Mu	Comb.	c.s.	Verifica
ini.	3	169	14.06	1125.71	SLU 76	80.09	Si
fin.	3	169	-64.59	1125.71	SLU 76	17.43	Si
ini.	3	227	14.73	1125.71	SLU 52	76.41	Si
fin.	3	227	-63.08	1125.71	SLU 52	17.85	Si
ini.	3	340	16.05	1125.71	SLU 47	70.15	Si
fin.	3	340	-60.14	1125.71	SLU 47	18.72	Si
ini.	3	3	15.77	1125.71	SLU 82	71.41	Si
fin.	3	3	-58.12	1125.71	SLU 82	19.37	Si
ini.	3	3	15.77	1125.71	SLU 84	71.41	Si
fin.	3	3	-58.12	1125.71	SLU 84	19.37	Si
ini.	3	282	15.37	1125.71	SLU 65	73.24	Si
fin.	3	282	-61.65	1125.71	SLU 65	18.26	Si
ini.	3	340	16.05	1125.71	SLU 44	70.15	Si
fin.	3	340	-60.14	1125.71	SLU 44	18.72	Si
ini.	3	227	14.73	1125.71	SLU 55	76.41	Si
fin.	3	227	-63.08	1125.71	SLU 55	17.85	Si
ini.	3	169	14.06	1125.71	SLU 73	80.09	Si
fin.	3	169	-64.59	1125.71	SLU 73	17.43	Si
ini.	3	282	15.37	1125.71	SLU 68	73.24	Si
fin.	3	282	-61.65	1125.71	SLU 68	18.26	Si

Verifiche a taglio delle travi in muratura secondo §C8.7.1.3.1 in combinazioni non sismiche

Sezione	yM	N	M	V	Vt	Vp	Vt fess. diag.	Vt,lim	Comb.	c.s.	Verifica
ini.	3	340	16.05	253			855	250	SLU 47	0.99	No
fin.	3	340	-60.14	-451			855	250	SLU 47	0.56	No
ini.	3	282	15.37	252			855	264	SLU 68	1.05	Si
fin.	3	282	-61.65	-451			855	264	SLU 68	0.58	No
ini.	3	223	18.32	258			855	277	SLU 46	1.07	Si
fin.	3	223	-52.4	-445			855	277	SLU 46	0.62	No
ini.	3	223	18.32	258			855	277	SLU 49	1.07	Si
fin.	3	223	-52.4	-445			855	277	SLU 49	0.62	No
ini.	3	282	15.37	252			855	264	SLU 65	1.05	Si
fin.	3	282	-61.65	-451			855	264	SLU 65	0.58	No
ini.	3	227	14.73	251			855	276	SLU 52	1.1	Si
fin.	3	227	-63.08	-452			855	276	SLU 52	0.61	No
ini.	3	227	14.73	251			855	276	SLU 55	1.1	Si
fin.	3	227	-63.08	-452			855	276	SLU 55	0.61	No
ini.	3	169	14.06	250			855	288	SLU 73	1.15	Si
fin.	3	169	-64.59	-453			855	288	SLU 73	0.64	No
ini.	3	223	18.32	258			855	277	SLU 51	1.07	Si
fin.	3	223	-52.4	-445			855	277	SLU 51	0.62	No
ini.	3	340	16.05	253			855	250	SLU 44	0.99	No
fin.	3	340	-60.14	-451			855	250	SLU 44	0.56	No

Verifiche a pressoflessione delle travi in muratura in combinazioni sismiche

Sezione	yM	N	M	Mu	Comb.	c.s.	Verifica
ini.	2	877	212.78	1688.57	SLV 2	7.94	Si
fin.	2	1034	-225.77	1688.57	SLV 2	7.48	Si



Sezione	yM	N	M	Mu	Comb.	c.s.	Verifica
ini.	2	2755	-199.27	1688.57	SLV 10	8.47	Si
fin.	2	2744	105.36	1688.57	SLV 10	16.03	Si
ini.	2	-2810	231.21	1688.57	SLV 8	7.3	Si
fin.	2	-2799	-171.48	1688.57	SLV 8	9.85	Si
ini.	2	749	-266.83	1688.57	SLV 14	6.33	Si
fin.	2	612	204.02	1688.57	SLV 14	8.28	Si
ini.	2	-2810	231.21	1688.57	SLV 7	7.3	Si
fin.	2	-2799	-171.48	1688.57	SLV 7	9.85	Si
ini.	2	-804	298.76	1688.57	SLV 3	5.65	Si
fin.	2	-667	-270.14	1688.57	SLV 3	6.25	Si
ini.	2	2755	-199.27	1688.57	SLV 9	8.47	Si
fin.	2	2744	105.36	1688.57	SLV 9	16.03	Si
ini.	2	877	212.78	1688.57	SLV 1	7.94	Si
fin.	2	1034	-225.77	1688.57	SLV 1	7.48	Si
ini.	2	-804	298.76	1688.57	SLV 4	5.65	Si
fin.	2	-667	-270.14	1688.57	SLV 4	6.25	Si
ini.	2	749	-266.83	1688.57	SLV 13	6.33	Si
fin.	2	612	204.02	1688.57	SLV 13	8.28	Si

Verifiche a taglio delle travi in muratura secondo §C8.7.1.3.1 in combinazioni sismiche

Sezione	yM	N	M	V	Vt	Vp	Vt fess. diag.	Vt,lim	Comb.	c.s.	Verifica
ini.	2	749	-266.83	563			1282	312	SLV 13	0.55	No
fin.	2	612	204.02	43			1282	350	SLV 13	8.21	Si
ini.	2	2755	-199.27	-30			1282	0	SLV 10	0	No
fin.	2	2744	105.36	-428			1282	0	SLV 10	0	No
ini.	2	877	212.78	-381			1282	273	SLV 1	0.72	No
fin.	2	1034	-225.77	-852			1282	215	SLV 1	0.25	No
ini.	2	2794	-55.39	-313			1282	0	SLV 6	0	No
fin.	2	2871	-23.58	-696			1282	0	SLV 6	0	No
ini.	2	-932	-180.85	789			1602	633	SLV 15	0.8	No
fin.	2	-1089	159.65	178			1656	655	SLV 15	3.69	Si
ini.	2	877	212.78	-381			1282	273	SLV 2	0.72	No
fin.	2	1034	-225.77	-852			1282	215	SLV 2	0.25	No
ini.	2	749	-266.83	563			1282	312	SLV 14	0.55	No
fin.	2	612	204.02	43			1282	350	SLV 14	8.21	Si
ini.	2	-932	-180.85	789			1602	633	SLV 16	0.8	No
fin.	2	-1089	159.65	178			1656	655	SLV 16	3.69	Si
ini.	2	2755	-199.27	-30			1282	0	SLV 9	0	No
fin.	2	2744	105.36	-428			1282	0	SLV 9	0	No
ini.	2	2794	-55.39	-313			1282	0	SLV 5	0	No
fin.	2	2871	-23.58	-696			1282	0	SLV 5	0	No

Tabella dei coefficienti di sicurezza minimi

Stato limite	Coeff.s.	Comb.	Verifica
PF_SLV	5.652	SLV 3	Si
V_SLV	0	SLV 5	No
PF_SLU	17.428	SLU 73	Si
V_SLU	0.555	SLU 44	No

Trave di accoppiamento 26

Verifiche condotte secondo D.M. 17-01-18 (N.T.C.)

Dati geometrici

X ini.	Y ini.	Z ini.inf.	Z ini.sup.	H ini.	X fin.	Y fin.	Z fin.inf.	Z fin.sup.	H fin.	Luce	Spessore	R. Trazione
-9.899	5.825	0.73	1.73	1	-10.899	5.825	0.73	1.73	1	1	0.3	30000

Caratteristiche del materiale

(Circolare 7 21-01-19 C8.5.I) Muratura in mattoni pieni e malta di calce LC2_Corti

fb	fhk	fvk0	fhmmedio	t0	fv0	μ	φ	fvk,lim	E	G	FC
120000			172500	9000	20000	0.577	0.767	6500	320000000	128000000	1.2

Verifiche a pressoflessione delle travi in muratura in combinazioni non sismiche

Sezione	yM	N	M	Mu	Comb.	c.s.	Verifica
ini.	3	2747	527.83	1522.06	SLU 76	2.88	Si
fin.	3	2480	164.18	1522.06	SLU 76	9.27	Si
ini.	3	2767	519.65	1522.06	SLU 68	2.93	Si
fin.	3	2415	144.44	1522.06	SLU 68	10.54	Si
ini.	3	2777	515.47	1522.06	SLU 47	2.95	Si
fin.	3	2382	134.31	1522.06	SLU 47	11.33	Si
ini.	3	2757	523.65	1522.06	SLU 52	2.91	Si
fin.	3	2447	154.04	1522.06	SLU 52	9.88	Si
ini.	3	2747	527.83	1522.06	SLU 73	2.88	Si
fin.	3	2480	164.18	1522.06	SLU 73	9.27	Si
ini.	3	2777	515.47	1522.06	SLU 44	2.95	Si
fin.	3	2382	134.31	1522.06	SLU 44	11.33	Si
ini.	3	2757	523.65	1522.06	SLU 55	2.91	Si
fin.	3	2447	154.04	1522.06	SLU 55	9.88	Si
ini.	3	2589	479.26	1522.06	SLU 34	3.18	Si
fin.	3	2311	145.37	1522.06	SLU 34	10.47	Si
ini.	3	2767	519.65	1522.06	SLU 65	2.93	Si
fin.	3	2415	144.44	1522.06	SLU 65	10.54	Si
ini.	3	2589	479.26	1522.06	SLU 31	3.18	Si
fin.	3	2311	145.37	1522.06	SLU 31	10.47	Si



Verifiche a taglio delle travi in muratura secondo §C8.7.1.3.1 in combinazioni non sismiche

Sezione	yM	N	M	V	Vt	Vp	Vt fess. diag.	Vt,lim	Comb.	c.s.	Verifica
ini.	3	1936	395.37	399			1155	0	SLU 49	0	No
fin.	3	1737	117.81	-397			1155	0	SLU 49	0	No
ini.	3	2777	515.47	482			1155	0	SLU 47	0	No
fin.	3	2382	134.31	-631			1155	0	SLU 47	0	No
ini.	3	1936	395.37	399			1155	0	SLU 51	0	No
fin.	3	1737	117.81	-397			1155	0	SLU 51	0	No
ini.	3	1936	395.37	399			1155	0	SLU 46	0	No
fin.	3	1737	117.81	-397			1155	0	SLU 46	0	No
ini.	3	1747	359.16	572			1155	0	SLU 36	0	No
fin.	3	1665	128.87	-653			1155	0	SLU 36	0	No
ini.	3	1739	362.66	633			1155	0	SLU 40	0	No
fin.	3	1693	137.33	-722			1155	0	SLU 40	0	No
ini.	3	1739	362.66	633			1155	0	SLU 42	0	No
fin.	3	1693	137.33	-722			1155	0	SLU 42	0	No
ini.	3	2589	479.26	654			1155	0	SLU 34	0	No
fin.	3	2311	145.37	-886			1155	0	SLU 34	0	No
ini.	3	1747	359.16	572			1155	0	SLU 38	0	No
fin.	3	1665	128.87	-653			1155	0	SLU 38	0	No
ini.	3	2777	515.47	482			1155	0	SLU 44	0	No
fin.	3	2382	134.31	-631			1155	0	SLU 44	0	No

Verifiche a pressoflessione delle travi in muratura in combinazioni sismiche

Sezione	yM	N	M	Mu	Comb.	c.s.	Verifica
ini.	2	19201	2333.64	2283.09	SLV 10	0.98	No
fin.	2	13434	401.57	2283.09	SLV 10	5.69	Si
ini.	2	10916	1408.27	2283.09	SLV 13	1.62	Si
fin.	2	2915	73.5	2283.09	SLV 13	31.06	Si
ini.	2	-18186	-1993.27	2283.09	SLV 8	1.15	Si
fin.	2	-12179	-235.98	2283.09	SLV 8	9.67	Si
ini.	2	16035	1945.26	2283.09	SLV 5	1.17	Si
fin.	2	14459	470.75	2283.09	SLV 5	4.85	Si
ini.	2	-15021	-1604.89	2283.09	SLV 11	1.42	Si
fin.	2	-13204	-305.16	2283.09	SLV 11	7.48	Si
ini.	2	10916	1408.27	2283.09	SLV 14	1.62	Si
fin.	2	2915	73.5	2283.09	SLV 14	31.06	Si
ini.	2	16035	1945.26	2283.09	SLV 6	1.17	Si
fin.	2	14459	470.75	2283.09	SLV 6	4.85	Si
ini.	2	-18186	-1993.27	2283.09	SLV 7	1.15	Si
fin.	2	-12179	-235.98	2283.09	SLV 7	9.67	Si
ini.	2	19201	2333.64	2283.09	SLV 9	0.98	No
fin.	2	13434	401.57	2283.09	SLV 9	5.69	Si
ini.	2	-15021	-1604.89	2283.09	SLV 12	1.42	Si
fin.	2	-13204	-305.16	2283.09	SLV 12	7.48	Si

Verifiche a taglio delle travi in muratura secondo §C8.7.1.3.1 in combinazioni sismiche

Sezione	yM	N	M	V	Vt	Vp	Vt fess. diag.	Vt,lim	Comb.	c.s.	Verifica
ini.	2	19201	2333.64	1672			1733	0	SLV 10	0	No
fin.	2	13434	401.57	-1659			1733	0	SLV 10	0	No
ini.	2	650	226.71	1495			1733	491	SLV 15	0.33	No
fin.	2	-5076	-138.52	2807			3763	1366	SLV 15	0.49	No
ini.	2	16035	1945.26	783			1733	0	SLV 5	0	No
fin.	2	14459	470.75	-3022			1733	0	SLV 5	0	No
ini.	2	19201	2333.64	1672			1733	0	SLV 9	0	No
fin.	2	13434	401.57	-1659			1733	0	SLV 9	0	No
ini.	2	10916	1408.27	2056			1733	0	SLV 13	0	No
fin.	2	2915	73.5	1480			1733	0	SLV 13	0	No
ini.	2	650	226.71	1495			1733	491	SLV 16	0.33	No
fin.	2	-5076	-138.52	2807			3763	1366	SLV 16	0.49	No
ini.	2	16035	1945.26	783			1733	0	SLV 6	0	No
fin.	2	14459	470.75	-3022			1733	0	SLV 6	0	No
ini.	2	10916	1408.27	2056			1733	0	SLV 14	0	No
fin.	2	2915	73.5	1480			1733	0	SLV 14	0	No
ini.	2	365	113.66	-909			1733	567	SLV 1	0.62	No
fin.	2	6331	304.1	-3062			1733	0	SLV 1	0	No
ini.	2	365	113.66	-909			1733	567	SLV 2	0.62	No
fin.	2	6331	304.1	-3062			1733	0	SLV 2	0	No

Tabella dei coefficienti di sicurezza minimi

Stato limite	Coeff.s.	Comb.	Verifica
PF_SLV	0.978	SLV 9	No
V_SLV	0	SLV 1	No
PF_SLU	2.884	SLU 73	Si
V_SLU	0	SLU 2	No

Trave di accoppiamento 27

Verifiche condotte secondo D.M. 17-01-18 (N.T.C.)

Dati geometrici

X ini.	Y ini.	Z ini.inf.	Z ini.sup.	H ini.	X fin.	Y fin.	Z fin.inf.	Z fin.sup.	H fin.	Luce	Spessore	R. Trazione
-9.899	5.825	3.63	4.49	0.86	-10.899	5.825	3.63	4.49	0.86	1	0.3	30000



Caratteristiche del materiale

(Circolare 7 21-01-19 C8.5.I) Muratura in mattoni pieni e malta di calce LC2_Corti

fb	f _{hk}	f _{vk0}	f _{hmedio}	τ ₀	f _{v0}	μ	φ	f _{vk,lim}	E	G	FC
120000			172500	9000	20000	0.577	0.767	6500	320000000	128000000	1.2

Verifiche a pressoflessione delle travi in muratura in combinazioni non sismiche

Sezione	yM	N	M	Mu	Comb.	c.s.	Verifica
ini.	3	-1501	68.49	1125.71	SLU 73	16.44	Si
fin.	3	-1501	-106.18	1125.71	SLU 73	10.6	Si
ini.	3	-1160	72.4	1125.71	SLU 2	15.55	Si
fin.	3	-1160	-94.92	1125.71	SLU 2	11.86	Si
ini.	3	-1501	68.49	1125.71	SLU 76	16.44	Si
fin.	3	-1501	-106.18	1125.71	SLU 76	10.6	Si
ini.	3	-1370	78.47	1125.71	SLU 65	14.35	Si
fin.	3	-1370	-108.16	1125.71	SLU 65	10.41	Si
ini.	3	-1160	72.4	1125.71	SLU 5	15.55	Si
fin.	3	-1160	-94.92	1125.71	SLU 5	11.86	Si
ini.	3	-1434	73.62	1125.71	SLU 55	15.29	Si
fin.	3	-1434	-107.2	1125.71	SLU 55	10.5	Si
ini.	3	-1370	78.47	1125.71	SLU 68	14.35	Si
fin.	3	-1370	-108.16	1125.71	SLU 68	10.41	Si
ini.	3	-1434	73.62	1125.71	SLU 52	15.29	Si
fin.	3	-1434	-107.2	1125.71	SLU 52	10.5	Si
ini.	3	-1304	83.6	1125.71	SLU 47	13.47	Si
fin.	3	-1304	-109.18	1125.71	SLU 47	10.31	Si
ini.	3	-1304	83.6	1125.71	SLU 44	13.47	Si
fin.	3	-1304	-109.18	1125.71	SLU 44	10.31	Si

Verifiche a taglio delle travi in muratura secondo §C8.7.1.3.1 in combinazioni non sismiche

Sezione	yM	N	M	V	Vt	Vp	Vt fess. diag.	Vt,lim	Comb.	c.s.	Verifica
ini.	3	-701	42.65	230			1096	433	SLU 43	1.89	Si
fin.	3	-701	-60.64	-474			1096	433	SLU 43	0.91	No
ini.	3	-1062	67.22	176			1220	481	SLU 46	2.73	Si
fin.	3	-1062	-89.77	-527			1220	481	SLU 46	0.91	No
ini.	3	-1304	83.6	140			1303	510	SLU 47	3.64	Si
fin.	3	-1304	-109.18	-563			1303	510	SLU 47	0.91	No
ini.	3	-701	42.65	230			1096	433	SLU 48	1.89	Si
fin.	3	-701	-60.64	-474			1096	433	SLU 48	0.91	No
ini.	3	-1062	67.22	176			1220	481	SLU 49	2.73	Si
fin.	3	-1062	-89.77	-527			1220	481	SLU 49	0.91	No
ini.	3	-701	42.65	230			1096	433	SLU 45	1.89	Si
fin.	3	-701	-60.64	-474			1096	433	SLU 45	0.91	No
ini.	3	-1370	78.47	146			1326	518	SLU 68	3.54	Si
fin.	3	-1370	-108.16	-557			1326	518	SLU 68	0.93	No
ini.	3	-1062	67.22	176			1220	481	SLU 51	2.73	Si
fin.	3	-1062	-89.77	-527			1220	481	SLU 51	0.91	No
ini.	3	-701	42.65	230			1096	433	SLU 50	1.89	Si
fin.	3	-701	-60.64	-474			1096	433	SLU 50	0.91	No
ini.	3	-1304	83.6	140			1303	510	SLU 44	3.64	Si
fin.	3	-1304	-109.18	-563			1303	510	SLU 44	0.91	No

Verifiche a pressoflessione delle travi in muratura in combinazioni sismiche

Sezione	yM	N	M	Mu	Comb.	c.s.	Verifica
ini.	2	-3922	413.54	1688.57	SLV 6	4.08	Si
fin.	2	-3928	-291.17	1688.57	SLV 6	5.8	Si
ini.	2	254	565.68	1688.57	SLV 4	2.99	Si
fin.	2	240	-399.17	1688.57	SLV 4	4.23	Si
ini.	2	-1710	689.45	1688.57	SLV 2	2.45	Si
fin.	2	-1725	-475.99	1688.57	SLV 2	3.55	Si
ini.	2	-1710	689.45	1688.57	SLV 1	2.45	Si
fin.	2	-1725	-475.99	1688.57	SLV 1	3.55	Si
ini.	2	254	565.68	1688.57	SLV 3	2.99	Si
fin.	2	240	-399.17	1688.57	SLV 3	4.23	Si
ini.	2	-1480	-511.41	1688.57	SLV 13	3.3	Si
fin.	2	-1466	308.13	1688.57	SLV 13	5.48	Si
ini.	2	484	-635.17	1688.57	SLV 15	2.66	Si
fin.	2	499	384.95	1688.57	SLV 15	4.39	Si
ini.	2	-3922	413.54	1688.57	SLV 5	4.08	Si
fin.	2	-3928	-291.17	1688.57	SLV 5	5.8	Si
ini.	2	-1480	-511.41	1688.57	SLV 14	3.3	Si
fin.	2	-1466	308.13	1688.57	SLV 14	5.48	Si
ini.	2	484	-635.17	1688.57	SLV 16	2.66	Si
fin.	2	499	384.95	1688.57	SLV 16	4.39	Si

Verifiche a taglio delle travi in muratura secondo §C8.7.1.3.1 in combinazioni sismiche

Sezione	yM	N	M	V	Vt	Vp	Vt fess. diag.	Vt,lim	Comb.	c.s.	Verifica
ini.	2	254	565.68	-15			1282	432	SLV 4	28.18	Si
fin.	2	240	-399.17	-575			1282	435	SLV 4	0.76	No
ini.	2	254	565.68	-15			1282	432	SLV 3	28.18	Si
fin.	2	240	-399.17	-575			1282	435	SLV 3	0.76	No
ini.	2	2696	-359.26	928			1282	0	SLV 12	0	No
fin.	2	2702	200.13	470			1282	0	SLV 12	0	No
ini.	2	2627	1	696			1282	0	SLV 7	0	No
fin.	2	2624	-35.11	213			1282	0	SLV 7	0	No
ini.	2	2696	-359.26	928			1282	0	SLV 11	0	No
fin.	2	2702	200.13	470			1282	0	SLV 11	0	No
ini.	2	-1710	689.45	-392			1870	736	SLV 2	1.87	Si



Sezione	yM	N	M	V	Vt	Vp	Vt fess. diag.	Vt,lim	Comb.	c.s.	Verifica
fin.	2	-1725	-475.99	-995			1875	737	SLV 2	0.74	No
ini.	2	2627	1	696			1282	0	SLV 8	0	No
fin.	2	2624	-35.11	213			1282	0	SLV 8	0	No
ini.	2	484	-635.17	759			1282	381	SLV 16	0.5	No
fin.	2	499	384.95	279			1282	378	SLV 16	1.35	Si
ini.	2	-1710	689.45	-392			1870	736	SLV 1	1.87	Si
fin.	2	-1725	-475.99	-995			1875	737	SLV 1	0.74	No
ini.	2	484	-635.17	759			1282	381	SLV 15	0.5	No
fin.	2	499	384.95	279			1282	378	SLV 15	1.35	Si

Tabella dei coefficienti di sicurezza minimi

Stato limite	Coeff.s.	Comb.	Verifica
PF_SLV	2.449	SLV 1	Si
V_SLV	0	SLV 7	No
PF_SLU	10.31	SLU 44	Si
V_SLU	0.906	SLU 44	No